



This is a digital copy of a book that was preserved for generations on library shelves before it was carefully scanned by Google as part of a project to make the world's books discoverable online.

It has survived long enough for the copyright to expire and the book to enter the public domain. A public domain book is one that was never subject to copyright or whose legal copyright term has expired. Whether a book is in the public domain may vary country to country. Public domain books are our gateways to the past, representing a wealth of history, culture and knowledge that's often difficult to discover.

Marks, notations and other marginalia present in the original volume will appear in this file - a reminder of this book's long journey from the publisher to a library and finally to you.

Usage guidelines

Google is proud to partner with libraries to digitize public domain materials and make them widely accessible. Public domain books belong to the public and we are merely their custodians. Nevertheless, this work is expensive, so in order to keep providing this resource, we have taken steps to prevent abuse by commercial parties, including placing technical restrictions on automated querying.

We also ask that you:

- + *Make non-commercial use of the files* We designed Google Book Search for use by individuals, and we request that you use these files for personal, non-commercial purposes.
- + *Refrain from automated querying* Do not send automated queries of any sort to Google's system: If you are conducting research on machine translation, optical character recognition or other areas where access to a large amount of text is helpful, please contact us. We encourage the use of public domain materials for these purposes and may be able to help.
- + *Maintain attribution* The Google "watermark" you see on each file is essential for informing people about this project and helping them find additional materials through Google Book Search. Please do not remove it.
- + *Keep it legal* Whatever your use, remember that you are responsible for ensuring that what you are doing is legal. Do not assume that just because we believe a book is in the public domain for users in the United States, that the work is also in the public domain for users in other countries. Whether a book is still in copyright varies from country to country, and we can't offer guidance on whether any specific use of any specific book is allowed. Please do not assume that a book's appearance in Google Book Search means it can be used in any manner anywhere in the world. Copyright infringement liability can be quite severe.

About Google Book Search

Google's mission is to organize the world's information and to make it universally accessible and useful. Google Book Search helps readers discover the world's books while helping authors and publishers reach new audiences. You can search through the full text of this book on the web at <http://books.google.com/>

RÜTTI

A. FLÜCKA

ELEMENTE

Phys 212.4.5



HARVARD COLLEGE



SCIENCE CENTER
LIBRARY



**TERMÉSZETTUDOMÁNYI
KÖNYVKIADÓ-VÁLLALAT.**

MEGINDULT 1872-BEN.

LVI. KÖTET.

TERMÉSZETTUDOMÁNYI
KÖNYVKIADÓ-VÁLLALAT.

A M. TUD. AKADÉMIA SEGÍTKEZÉSÉVEL

KIADJA

A K. M. TERMÉSZETTUDOMÁNYI TÁRSULAT.

LVI.

RÓITI,

A FIZIKA ELEMEI.

II.

A VIII. (1893—1895. ÉVI) CZIKLUS

HETEDIK KÖTETE

A KÖNYVKIADÓ-VÁLLALAT ALÁÍRÓI SZÁMÁRA.

67 C. 23. 1.

A
FIZIKA ELEMEL.

IRTA

ANTONIO RÒITI.

FORDÍTOTTA

CZÓGLER ALAJOS.

A FORDÍTÁST KIEGÉSZÍTETTE ÉS FELÜLVIZSGÁLTA

BARTONIEK GÉZA.

MÁSODIK KÖTET.

NÉGYSZÁZHETVENHÁROM ÁBRÁVAL, ÉS 3 SZÍNES TÁBLÁVAL.

BUDAPEST.

KIADJA A K. M. TERMÉSZETTUDOMÁNYI TÁRSULAT.

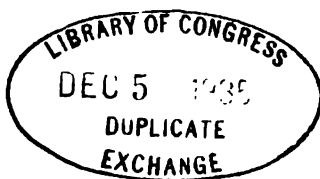
1895.

21.

Phys 2.4.2.4.5
✓



Beethoven's 9th Symphony



432095

TARTALOM.

ÖTÖDIK RÉSZ.

SUGÁRZÓ ENERGIA.

	Pont
XXVII. Fejezet. — Sugárzás és terjedés. 1. lap	
A világtérbeli éterrel közölt energia	1
Mérő készülékek.	2
Fény	3
A testek tulajdonságai a sugárzó energia szempontjából... .	4—6
Egyenes vonalú terjedés és következményei	7—9
A sugárzó energiának adott felületre eső mennyisége.	10—11
A sugárzó energiának adott felületből kilépő mennyisége	12
Sugárzó képesség	13
Fényesség és világító képesség	14
Fotométria.	15—18
A fény egysége	19
A sugárzó képességre ható különféle körülmények	20—22
A kihülés törvénye	23—24
A fajlagos hő meghatározása a kihülés révén	25
 XXVIII. Fejezet. — Visszaverődés. 23. lap	
A fényvisszaverődés törvénye	26—27
A sík tükör képei	28
Kapcsolat a tükör s a kép mozgása között	29
Sík tükrök némely alkalmazása	30—33
A sík tükrök többszörös képei	34—35
Görbe tükrök	36
Homorú gömbi tükör	37—45
Domború gömbtükrök	46—47
A sugárzás tanulmányozása a hőhatás révén	48—49
Visszaverő képesség	50
Az energia szétesőródása	51

	Pont
XXIX. Fejezet. — Sugártörés...	43. lap
A különböző közegek törése	52
A törés törvénye	53
Törésmutató	54
Visszás törésmutató	55
Abszolút törésmutató	56
Törés okozta látszólagos eltolódások	57
Határszög	58
Teljes visszaverődés és alkalmazásai	59—61
Törés a prizmban	62—64
Törés a gömbfelületen	65—74
Törés két gömbfelületen	75
A gömbi lencsék különböző fajtái	76
Vékony gyűjtő lencsék kapcsolt pontjai	77
Vékony gyűjtő lencse gyűjtőponttávolsága	78—79
Különböző vékony lencsék gyűjtőponttávolsága	80
Vékony szóró lencsék	81
Optikai középpont, melléktengely	82—83
A lencsék valódi és képzetes képei	84—87
Gömbidom miatti eltérés, világosság	88—90
Gömbfelületek centrált rendszerének Gauss-féle elmélete	91
Centrált rendszer konjugált pontjai	92
Első és második gyújtópont	93
Első és második főpont	94
A kilépő sugarak grafikai szerkesztése	95
Csomópontok	96
A sarkalatos pontok közötti kapcsolat	97—98
Egy pont képének megszerkesztése	99
Nagyítás	100
A kép nagysága s a sugarak széthajlása közötti kapcsolat	101
Kapcsolat a törésmutatók és a gyűjtőponttávolságok között	102
A centrált rendszerre vonatkozó alapképletek	103
A lencse optikai középpontja	104
A lencse sarkalatos pontjainak meghatározása	105
Alkalmazás a lencsék hat fajtájára	106
A végtelen vékony lencse esete	107
A centrált rendszer visszavezetése a vékony lencse esetére, vagy egyetlen gömbfelületre	108
XXX. Fejezet. — Az emberi szem, az optikai műszerek	96. lap
A szemgolyó leírása	109
A retina	110
A schematikus szem sarkalatos tulajdonságai és pontjai	111

	Pont
A redukált szem	112
Valamely tárgy látszólagos nagysága	113
A tiszta látás feltételei	114—115
Az alkalmazkodás	116
Az emmetrop, ametrop és asztigmátikus szem	117
Látás s a nagyság megítélése	118—120
Optikai csalódások	121
Irradiáció	122
Távolság megítélése egy szemmel, két szemmel	123—124
Sztereoszkóp	125—126
Optikai készülékek	127
Objektívek	128
Sötét kamara	129
Napmikroszkóp	130
Vetítő készülékek	131
Okulárok	132
Pozitív okulár	133
Egyszerű mikroszkóp	134—135
Két lencséből álló rendszer elemeinek levezetése	136
RAMSDEN pozitív okulárja	137
CAMPANI negatív okulárja	138
Összetett készülékek	139
Összetett mikroszkóp	140—145
Asztronómiai távcső	146—148
Földi távcső	149
GALILEI-féle távcső	150
Katoptrikus távcsövek	151
A sugárzó energia terjedésssebességének mérése	152—156
XXXI. Fejezet. — Színszórás és achromatizmus .. 142. lap	
A Nap színe	157
Egyszerű fény, összetett fény	158
Kiegészítő színek	159
A színérzetek elmélete	160—161
Daltonizmus	162
Káprázatbeli képek	163
Ellentétbeli hatások	164
Tiszta színek megfigyelésének módja	165
FRAUNHOFER-féle vonalak	166—167
Spektrométer	168
Törésmutató meghatározása	169
Teljes és részletes színszórás	170—173
Anomális színszórás	174

	Pont
Amici-féle prizma	175
Achromatizált prizmák	176—177
Achromatizált lencsék	178
Szivárvány	179
XXXII. Fejezet. — Interferencia	166. lap
Az emisszió elmélet és a hullámzási elmélet	180
Interferencia-csíkok a FRESNEL-féle tükrökkel	181
Magyarázat	182
Az interferencia-csíkok eltolódása vékony lemez hatására	183
Az interferencia-csíkok függése a törésmutatótól	184
Fehér fénybeli interferencia-csíkok	185
Az interferencia feltételei	186
A fény hullámhosszának meghatározása	187
A fényrezgések azaporaása	188
A látás és a hallás összehasonlítása	189
A visszaverődés és a törés magyarázása	190
A törő közegekben a terjedési sebesség függ a színtől	191
A csillagok szikrázása	192
Vékony lemezek színei a visszavert fényben	193
Vékony lemezek színei az átmenő fényben	194
Vékony levegő-rétegek fehér fény esetében	195—196
NEWTON-féle színgyűrűk	197—198
Interferencia nagy útkülönbségek esetében	199
HUYGENS elve	200
Látványos ellentmondás a hang- és a fény-hullámok között	201
Diffrakció; az árnyék geometriai elmélete csupán megközelítő	202
FRESNEL-féle övek	203—204
Kicsi nyílásoktól előidézett diffrakció-tünetmények	205
Kicsiny körlemezről okozott diffrakció	206
Az egyenes vonalú terjedés igazolása	207
Nagy kiterjedésű ernyő szélén létrejövő diffrakció	208
Párhuzamos fény diffrakciója keskeny résen	209
FRAUNHOFER-féle rácsok	210
A hullámhossz pontos mérése	211
Normális színekép	212
XXXIII. Fejezet. — Spektroszkópia	213. lap
A színekép különböző nevei	213
A szilárd és a folyós testek színeképe	214
Az egyszerű fény egysége	215
A légneműek emisszió-színeképe	216
Az izzás előidőzésének különféle módjai	217

	Pont
Két színek összehasonlítása ...	218
Színek elemzése ...	219
Ötvények színei. — Az ötvények mennyileges elemzése ...	220
Egy és ugyanazon anyag különféle színei ...	221—222
Sötét hő-színkép ...	223
Sötét kémiai színkép ...	224
A fényforrások hasznossági tényezőjének megítélése ...	225
A testek színe visszavert fényben ...	226
A fényforrás hatása a színre ...	227
Színek átmenő fényben. — Elnyelési színkép ...	228
Thermochrózis ...	229—231
A színkép megfordítása ...	232—233
Összefüggés az elnyelő képesség és a kisugárzó képesség között ...	234—237
A Nap kémiai elemzése ...	238
Földi vonalak ...	239
Protuberanciák ...	240
A bolygók és az álló csillagok színei ...	241—242
A <i>corona</i> , az üstökösök és az északi fény színei ...	243
DOPPLER-féle elv és alkalmazásai ...	244
XXXIV. Fejezet. — <i>A sugárzó energia elnyelése</i> ... 239. lap	
Az elnyelt energia különféle nyilvánulásai ...	245
Átalakul hőbeli energiává ...	246
Radiométer ...	247—248
Fotofon ...	249
Kaloreszczenzia ...	250
Foszforeszczenzia ...	251
Fluoreszczenzia ...	252—254
A sugárzó energia átalakul a molekulák potenciális energiájává ...	255
Fotografia ...	256—258
Összehasonlítás a növényi élettel ...	259
Színes fotográfálás ...	260
XXXV. Fejezet. — <i>Kettős törés és sarkítás</i> ... 251. lap	
Az izlandi mészpát kettős törése ...	261
Rendes sugár, rendkívüli sugár ...	262
Rendes törésmutató, rendkívüli törésmutató ...	263
HUYGENS szabálya a két sugár megszerkesztésére ...	264
A hullámfelület az egytengelyű kristályokban ...	265
A hullámfelület a kéttengelyű kristályokban ...	266
Két mészpáton átment képek intenzitása ...	267—268
Sarkított fény ...	269—270
MALUS-féle törvény ...	271

	Pont
Visszaverődés révén sarkított fény	272
Brewster törvényei	273
Egyszerű törés révén előállított részletesen sarkított fény	274
Tükör mint elemző	275
Kettőtörő prisma, Nicol-féle hasáb	276
Turmalin-fogó	278
Egyenes vonalú sarkítás magyarázata	279—280
Kettős törés magyarázata	281—282
Interferencia-jelenségek tengelylyel párhuzamos vékony kettőtörő lemezekben	283—285
Tengelyre merőleges lemezek, összetartó fény	286—287
Kéttengelyű kristálylemezkek összehajló fényben	288
Mechanikai behatással előidézett kettőtörés	289
Egymásra merőleges rezgő mozgások összetevése	290
Körben sarkított fény	291
Ellipszisben sarkított fény	292—293
Fémes visszaverődés	294
A kvarcz forgató sarkítása	295—297
Polariméterek	298—299
Különböző anyagok körös sarkítása	300
Hemiedria és a forgató sarkítás	301
Fajlagos forgató képesség; saccharimétria	302

HATODIK RÉSZ.

ELEKTROMOSSÁG, MÁGNESSÉG.

XXXVI. Fejezet. — Elektromos hatások	302. lap
Elektromos állapot	303
Jó és rossz vezetők	304—305
Szigetelők	306
Elektromos vonzás és taszítás	307
Kétféle elektromos állapot	308—310
Elektromozás megosztás útján	311—314
Elektroszkópikus porok	315
Elektromosság mennyisége	316
COULOMB törvénye	317—319
Az elektromosság a vezetők felületén helyezkedik el	320—321
Az elektromos erők eredője vezetők belső pontjaiban	322
Az elektromosság algebrai mennyiségként tekintve	323—326

	Pont
Az elektromosság mennyiségének egysége	327
Az elektromosság megmaradásának elve	328—329
Az elektromosság egyetemes gyűjtője	330
Mi az elektromosság?	331—332
XXXVII. Fejezet. — Elektromos potenciál	325. lap
Az elektromos erők munkája	333—334
A potenciál meghatározása	335—336
Elektromos tér	337
Elektromos erő	338
Elektromos szintfelületek, erővonalak	339
Az erő áramlása	340
Erőáramlás értéke zárt felületen keresztül	341
Egyenletes tér	342
Két elektromos pont erőtere	343
A pozitív elektromosság alacsonyabb szintfelületekre törekszik	344
A potenciál a vezető minden pontjában ugyanaz	345—346
XXXVIII. Fejezet. — Az elektromosság elosztódása a vezetőkben	337. lap
Vezető gömb	347
Elektromos kapacitás	348—351
Elektromos sűrűség	352—354
Az elektromos tér intenzitása valamely vezető közelében	355
Elektromos feszültség	356
Az elektromosság a levegővel közlódik	357—358
XXXIX. Fejezet. — Elektromozó gépek	347. lap
Dörzsölő elektromos gép	359
Elektrofór	360
Megosztó elektromos gép	361—364
Töltött vezető elektromos energiája	365—367
XL. Fejezet. — Elektromos sűrítők	357. lap
A potenciál értéke vezető burkolattal körül vett térben	368—369
A vezető kapacitása a szomszédságában levő testektől függ	370
Gömbalakú sűrítő	371
Leydeni palaczk	372—373
A sűrítő kisütésének különböző módjai	374—376
Sűrítők telepe	377
Lánczolatosan kapcsolt sűrítők	378—379
Sűrítő elektroszkóp	380—381
Sík kondenzátorok	382—384

	Pont
Abszolút elektrométer	385
Quadráns-elektrométer	386—387
XLII. Fejezet. — Dielektrikumok	359. lap
Az elektromos hatások tovaszármaztatása	388
A sűrítő töltése nem a fegyverzeteken foglal helyet.	389
A megosztás fajlagos együttthatója.....	390
Ezen együttthatónak hatása az elektromos erőre	391
A dielektrikumok sarkítása	392
MAXWELL-féle elektromos eltolódás	393
A dielektrikum térfogategységbeli energiája	394
Nyomás és feszültség a dielektrikum belsejében	395
MAXWELL elmélete	396
A dielektrikumok és a rugalmas testek összehasonlítása	397
Utólagos (maradék) töltés	398
Elektromos szívósság és idomíthatóság	399
XLIII. Fejezet. Elektromos kisülések	392. lap
Elektromos hőmérő	400
LANE-féle mérőpalack	401
Kisülésnél fejlődő hő	402—407
LICHTENBERG-féle alakok	408
Az elektromos kisülés chemiai hatásai	409—412
Ütő távolság	413
A vezetők alakjának hatása	414
Az elektromos szikra	415
Maradék-töltés	416
Részletes kisülés, rezgésszerű kisülés	417
Szikrázó tábla és szikrázó cső	418
Az elektromos háborgás terjedés-sebessége	418
A közeg hatása a szikrára	419—421
XLIII. Fejezet. — Oszlopok	412. lap
GALVANI kísérlete	422
VOLTA kísérletei	423—427
Elektromindítók, elektromos áram	428—431
Az elektromindító erő forrása	432—438
Érintkezési elmélet, chemiai elmélet	439—440
Az áram gyengülésének okai	441
A galvánelem különféle alakjai	442—447
XLIV. Fejezet. — Mágneses tűnemények	435. lap
Természetes és mesterséges mágnes.	448—449

	Pont
Mágnesi sarkiság	450
Deklináció	451—454
Inklináció	455
A Föld mágnesi hatásai	456—461
Mágnesi vonzás és taszítás	462
Sarkerősség, a mágnesség mennyiségének egysége	463—464
Mágnesi tér	465
Mágnesi nyomaték	466
A földmágnességi tér intenzitásának abszolút mérése	467—468
A mágnesi nyomatékok abszolút mérése	469
Elemi mágnesek	470
A mágnesség szolenoidális és lamelláris eloszlása	471—472
Mágnesi potenciál, mágnesi erő	473
Egyszerű szolenoid esete	474
Egyszerű lemez esete	475—483
Mágnesi megosztás	484—487
Mágnesi merevség	488
Mágnesezés módjai	489—490
A mágnesek emelő képessége	491
A hőmérséklet hatása a maradandó mágnességre	492
Futólagos pillantás a mágnesség elméletére	493

XLV. Fejezet. — Elektromágneses hatások ... 471. lap

OERSTED kísérlete	494—496
Sinus- és tangens galvanométer	497—499
Az elektromágnesi hatás alaptörvénye	500
Az áram abszolút mérése, elektromágnesi hatásból	501—503
Állandó kitérésű galvanométerek	504—508
Ballisztikus galvanométer	509—513
Az elektromosság mennyiségének elektromágnesi mértéke	514
Az áram elektrosztatikai mértéke	515—516
Az áramtól létesített mágnesi tér	517—519
Az áramnak egy mágnesi sarkon végzett munkája nem füg- getlen a befutott úttól	520
Az ebből eredő forgó mozgások	521
Két áram között működő tömegmozdító hatások	522
Az áram energiája mágnesi térben	523
Két áram kölcsönös energiája	524
Az áram belső energiája	525
Az elektrodinamikai hatások törvénye AMPÈRE szerint.	526
AMPÈRE kísérletei	527—531
Elektrodinamikai szolenoidok és mágnesek	532—533
AMPÈRE elmélete a mágnesség okaira nézve	534

	Pont
Elektromágnes	535—536
Az elektrodinamikai szolenoid energiája	537
Mágnesi tér a szolenoid belsejében	538
Mágnesezés intenzitása, mágnesi susceptibilitás	539
Mágnesező erő	540
A mágnesi susceptibilitás mérése	541
A mágnesezés görbéje. Mágnesi telítettség	542
A coërcitiv erő mérése	543
Mágnesi hiszterézis	544
Semleges állapot. Lemágnesítés	545
A hiszterézis okozta fölmelegedés	546
Mechanikai hatások befolyása a mágnesítésre	547—548
A hőmérséklet hatása. Recalescentia	549—550
Mágnesi indukció. Permeabilitás	551
Paramagneses és diamagneses anyagok	552
A mágnesi tér okozta mozgások	553
A mágnesezés elmélete EWING felfogása szerint	554
 XLVI. Fejezet. — <i>Elektromos telegrafia</i>	 534. lap
Különféle rendszerek áttekintése	555
Telegráf vonalak és telepek. MORSE rendszere	556
HUGHES telegráfja	557
CASELLI-féle pantelegráf	558
Tengeralatti telegrafia	559
Elektromos jelző készülékek	560
Elektromos órák	561
Elektromos chronografok	562—563
 XLVII. Fejezet. — <i>OHM törvénye</i>	 549. lap
Elektromos ellenállás	564—569
Elektromos potenciál a vezetékek különböző részein	570—571
OHM törvénye	572—573
Abszolút elektromágnesi egységek	574
Gyakorlati elektromágnesi egységek	575—577
 XLVIII. Fejezet. — <i>OHM törvényének alkalmazása</i>	 563. lap
KIRCHHOFF-féle törvények	578
Elágazó áramok	579—581
Az áramindítók kapcsolásának különböző módjai	582—584
WHEATSTONE-féle híd	585
Rheostatok	586
Ellenállások mérése	587—588
Fémek fajlagos ellenállása	589—591

	Pont
Elektromos pirométer és bolométer	592
Elektromos fotofon	593—594
Mágnesi tér hatása az elektromos vezető képességre	595
Mikrofon	596
Folyadékok fajlagos ellenállása	597—598
Galvánelem állandói; néhány módszer a meghatározásukra	599—603
Voltmérők és ampermérők	604
A galvanométer legnagyobb érzékenysége és a mágnesező tekerés legnagyobb mágnesező ereje	605—606
A kapacitás mérése elektromágnesi úton	607—610

XLIX. Fejezet. — Az elektromos áram és a hőbeli energia 598. lap

JOULE törvénye	611—614
A vezeték hőmérséklete	615—619
Izzó lámpa	620—622
Elektromos ívfény	623—629
PELTIER-féle tűnemény	630—632
Thermoelektromos áram	633—640
Thermoelektromos oszlopok	641
Az elektromindító erőnek függése a hőmérsékleti különbségtől	642—643
THOMSON-féle hatás	644
Thermoelektromos potenciálkülönbségek	645

L. Fejezet. — Az elektromos áram és a kémiai energia 630. lap

Elektrolízis. Első törvény	646—648
Voltaméterek	649—652
A polarizáció elektromindító ereje	653—654
Gázelem	655
Az elektrolízis második törvénye	656—657
Elektrokémiai egyenértékek	658
Az elektromindító erő lezármasztatva az energia megmara- dásának elvéből	659—661
Vízbontás igen gyenge elektromindító erővel	662—663
Másodlagos hatások	664—666
Másodrendű elemek, vagy akkumulátorok	667
Nem polarizálódó elektródák	668
Galvanoplasztika, fémekkel való bevonás	669—670
Elektromos metallurgia	671
Kapillaris elektrométer	672

LI. Fejezet. — Elektromos áram és a mechanikai energia 655. lap.

Elektromos motorok	673—675
Elektromágnesi áramindítás	676—678

	Pont
FARADAY kísérletei	679—684
LENZ-féle törvényből folyó kísérletek	685
Indított áram erőssége	686—690
Kölcsönös indukció együtthatója	691—692
Indukált elektromindító erő	693
Mágnesi tér intenzitásának meghatározása indított áramokkal	694
A mágnesi permeabilitás meghatározása	695
Önindukció meghatározása. Extra áram	696—697
RUHMKORFF-féle szikraindító	698—703
Kisülés a ritkított gázokban	704—706
CROOKES-féle csövek	707—712
Mágneshatások gázokban történő kisülésekre	713—716
Mágnes-elektromos gépek	718
Dinamo-elektromos gépek	719
PACINOTTI-GRAMME-féle gyűrű	720—722
A dinamo-gépek elemi elmélete	723
A gépek gerjesztésének különböző módjai	724
Az indukált tekercs visszahatása	725
Mágnesi körök. Mágnesi ellenállás	726
A dinamo-gép karakterisztikája	727—728
A dinamo-gép munkasíkere	729
A dinamo-gép összehasonlítása az oszloppal	730—731
Az energia elektromos átvitele	732—737
LII. Fejezet. — Váltakozó áramok és elektromos rezgések 719. lap	
Váltakozó elektromindító erő és áramintenzitás kifejezése	
Impedancia	738
Hatásos intenzitás	739—740
Elektrodinamométer	741
Hatásos elektromindító erő	742
A váltakozó áramok hatásfoka	743
Alternátor	744—745
Transzformátor	746—747
A váltakozó áramok elfojtása	748
Egyenlő járású (szinchronikus) motorok	749
Forgó mágnesi terű motorok	750
Telefonia	751
Egy kondenzátor kisülési áramai	752
Folytonos vagy megszakgatott kisülés	753
Rezgésszerű kisülés. A rezgés tartama	754—756
HERTZ kísérletei	757
Elektromos vibrátor	758
Elektromos rezonátor	759

	Pont
Álló elektromos hullámok	760—761
Elektromos sugarak visszaverődése... ..	762
Elektromos sugarak polarizációja	763
Elektromos sugarak törése	764
A fény elektromágnesi elmélete... ..	765
A dielektromos állandó és a törésmutató	766
Az elektromos vezetés és az átlátszatlanság	767
Az atomok elektromos rezgései	768
Mágneses forgató sarkítás	769
Polarizáció-síknak mágnesi elfordítása	770
HALL-féle tűnemény	771—772
Elektromos kettős törés	773
Elektromos és mágneses hatásokból eredő optikai tűnemények magyarázata	774
A mágnes-elektromos tűnemények a dialektrikumokban folynak le, nem pedig a vezetőkben	775
LIII. Fejezet. — Léggöri elektromosság... ..	753. lap
Villámlás	776—778
A villám háromféle alakja	779
FRANKLIN-féle villámhárító	780—781
Oldallagos kistűlések	782
Az épületek megvédése	783—784
Módszerek a potenciál mérésére az atmoszféra különböző pontjain... ..	785—786
Állandó feljegyzések	787
A légkörben bolyongó elektromozott tömegek	788
Lord KELVIN elmélete... ..	789
 Beszámoló a Természettudományi Könyvkiadó-Vállalat nyolczadik, 1893—1895. évi ciklusáról	 785
A Természettud. Könyvkiadó-Vállalat nyolczadik, 1893—1895. évi ciklusának pártoló tagjai	787
A Természettudományi Társulat kiadványai	807

A FIZIKA ELEMEL.

II. KÖTET.

THE UNIVERSITY OF CHICAGO

1911

ÖTÖDIK RÉSZ.

SUGÁRZÓ ENERGIA.

XXVII. FEJEZET.

SUGÁRZÁS ÉS TERJEDÉS.

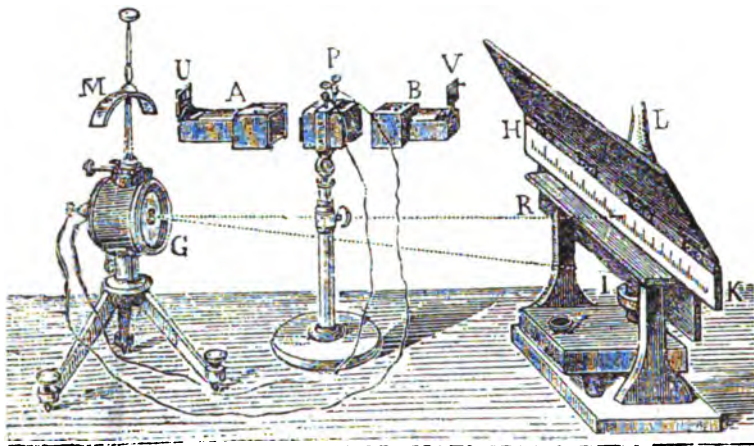
1. A hő terjedéséről szólván, említettük (I, 351), hogy a hő a súlyamérhető anyagokat nem tartalmazó téren is áthatolhat, és hogy ezt azzal a feltevessel magyarázhatjuk, hogy a testek molekuláiról energia megy át az éterre, erről pedig más testekre vagy pedig az érzékszervekre. Ilyeténképen az energia különböző hatásokat létesít: hevítést, chemiai hatásokat, fény- és hőérzeteket.

2. Az energia ez új alakjának tanulmányozására igen alkalmas a 409. ábrában előtüntetett készülék, melyet mindjárt le is írunk, bár működésének egyes részleteit még nem értjük.

A készülék a *P hőelektromos oszlop*ból, a *G reflexió*s galvanométerből és a *HK* skálával ellátott *L* lámpából áll. A kellő helyen mindezekkel a műszerekkel behatóan meg fogunk ismerkedni. Most elég annyit tudnunk, hogy a *G* galvanométer tűkre az *I* láng képét a *HK* skálára veti, a melyen a kép azonnal elmozdul, a mint a *P* oszlop két fejét, melyeket az *A* és *B* sárgaréz tok óv, a legcsekélyebb mérsékletváltozás éri.

Hogy erről meggyőződjünk, először is csukjuk le az *U* és

V ajtócskákat, hogy ily módon megóvjuk az oszlopot a környezetben levő testek behatásától, és azután jegyezzük meg a lánagnak a skálán levő *O* helyét.* Tartsuk most kezünket *A* elé



409. ábra. Készülék a sugárzó energia tanulmányozására.

és nyissuk fel az ajtócskát: a kép elmozdul a skálán, mondjuk jobbra. Csukjuk le az ajtócskát, várjunk, míg a kép *O*-ba visszatér, helyezzünk *A* elé egy darab jeget és nyissuk fel újra az ajtócskát: a kép balra el fog mozdulni.

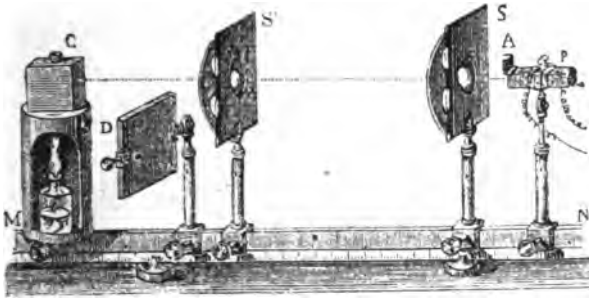
Az érzékenységet annyira fokozhatjuk, hogy a kép 6 cm.-nyire, s még nagyobb távolságra is eltér, a mikor az oszlop és az eléje tartott test közötti mérsékletkülönbség csak 1 fokra rúg.

A kitérések, melyek a skála hosszát nem lépik túl, közelítőleg arányosak azzala hőmennyiséggel, mely valamely hőforrásból az időegység tartamában az egyik oszlopfejre esik, miközben a másik a maga ajtócskájával zárva van s ennél fogva mérséklete megegyezik a környezetével.

A *P* hőelektromos oszlopnak (410. ábra) *A* feje előtt a forró vízzel, vagy hevített olajjal megtöltött *C* kockát, vagy az

* Az *O* pont ott van, hol a visszavert *R* sugár a skálára esik.

L rézlapot (411. ábra), mely borszesz lámpával 400° -ra van hevítve, vagy szintén széles lepke-lángot alkalmazunk; a választott hőforrás és az oszlop közé két ernyő, *S* és *S'* van téve, a



410. ábra. A sugárzó energia tanulmányozása.



411. ábra. Melegített rézlap.

melyek a beeső nyalábot határolják. Kétszer, háromszor stb. akkora, de az *A* oszlopfejnél mindig kisebb nyílással a képnek a skálán való kitérése is kétszer, háromszor stb. akkorává válik.

3. Bármely test folytonosan sugároz ki energiát, és a midőn mérséklete bizonyos határt túllép, a **sötét** testből **világító** testté, azaz más test közreműködése nélkül is láthatóvá válik. És pedig először is sötét vörös színben látjuk, mely szín a további hevítéskor mindinkább élénkül, később átmegy a narancs-színbe, a sárgába, és végre a fehérbe, mikor is a test vakító fényű, mint a Nap.

A hő és a **fény** sugárzásának tüneményei korántsem olyan különbözők, mint az első pillanatra látszik. Mind a kettő súlymérhető anyagot nem tartalmazó térben másodpercenkénti 300 millió méternyi rengeteg sebességgel (179) terjed. Mind a kettő bizonyos testeken különböző sebességgel hatol át, és más testekben ezek energiáját, vagy a mozgását vagy a helyzetét, növeli. Mind a kettő, miként látni fogjuk, teljesen azonos törvényeknek hódol, úgy, hogy bizvást feltehetjük, hogy különbségek inkább szubjektív mint objektív.

Némileg hasonló dolog fordul elő a hangzó testek esetében. Az a megrezdítés, melyet érzünk, midőn például kezünket zongora lapjára tesszük, vajmi más, mint a mit a fülünkkel érzünk, pedig az ok ugyanaz: a rezgő mozgás. Hasonlóképen különböző a hatás, melylyel a Nap a kezét meg a szemet éri. A melegség és a káprázat, melyet érzünk, mind a kettő a sugárzó energiától származik, mely az egyik vagy a másik érzetet gerjeszti a szervhez képest, melyet ér.

4. A testek **átlátszók** vagy **átlátszatlanok** a szerint, a mint a fényt áteresztik vagy feltartóztatják. Az átlátszó testeket **tiszta átlátszóknak** mondjuk, ha rajtuk a tárgyak körvonalai láthatók; az ellenkező esetben **áttetszőknek** mondatnak. Ha pedig a sugárzó energia terjedését a hő szempontjából tekintjük, az átlátszóságot **diathermanitásnak** nevezzük, és a testek **diatherman** vagy **atherman** testeknek mondatnak a szerint, a mint a sugárzó hőt áteresztik vagy feltartóztatják.

Miként az átlátszó testeknek különböző színezetök van, úgy a diatherman testeknek, mint mondani szoktuk, különböző hőbeli színezetök, **thermochrozisuk** van, mert csak bizonyos meghatározott tulajdonságú sugarakat bocsátanak át, a többit visszaverik, vagy pedig elnyelik, miközben az energiát felmelegítéssükre vagy kémiai szétbontásukra használják fel. De erről a fontos tárgyról később még majd behatóbban fogunk szólni.

Itt megjegyezzük, hogy az átlátszatlanság nem abszolút tulajdonság, hanem függ a test vastagságától; például az arany lemezekben átlátszatlan, de az aranyfűst a fényt, zöldesre festve, átereszti; a papiros áttetsző, de egy könyvnyi papiros átlátszatlan, stb.

5. A hő és a fény, miként a hang, a minden irányban egyazon szerkezetű közegekben egyenes vonalban terjed, és azt a vonalat, melynek mentén terjed, **sugárnak** nevezzük (I, 287). Ezt a tényt, a mennyiben fényről van szó, a mindennapi tapasztalás bizonyítja és a mindjárt leírandó tünetmények

(7, 8) is megerősítik. A mi pedig a hőt illeti, elegendő, ha a 410. ábrában előtüntetett készülékhez fordulunk: a láng képe csak akkor mozdul el, ha az S és S' ernyők nyílásai és a P oszlop feje egyenes vonalban fekszenek. Mérhető keresztmetszeten kilépő sugarak összességét *sugárnyalábnak* vagy *fénypamatnak* is nevezik.

6. A mint a sugarak két közegnek, p. levegőnek és víznek különválasztó felületéhez érnek, általában véve három különböző tünetényt észlelhetünk rajtuk: **visszaverődést, törést és diffúziót**. A sugárzó energia egy része megtörik, azaz a második közegbe való behatolása alkalmával új irányt vesz fel és a *megtörött sugarakat* alkotja. Másik része a *szabályosan visszavert sugarakat* alkotja a hang visszaverődésének (I, 293) törvényei szerint. Harmadik része szintén visszafordul, de minden irányban szétszoródik, mondjuk *diffundál*. E három rész összege egyenlő az egész *beeső energiával*, feltéve, hogy az energiának semmi átalakulása nem lép közbe, vagyis hogy egyik közeg részéről sem történik **sugár-elnyelés**.

A megtörött sugarak felmelegíthetnek egy testet, mely őket el képes nyelni és mely a második közegben van, mindazonáltal úgy hatnak, hogy a második közegben levő szem megláthatja, hogy mi történik az elsőben.

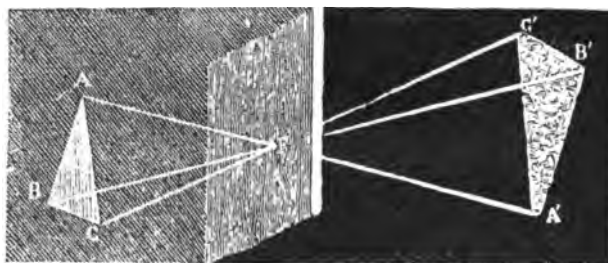
A szabályosan visszavert sugarak, melyek a szembe érkezőnek, ezt megtévesztik, mert a fényforrást más helyen mutatják, mint a hol tényleg van.

A szétszóró fény annál gyengébb, minél símább és egyenletesebb a két közeget elválasztó felület. Épen ezek a szétszóró sugarak teszik a sötét testeket láthatókká és más testek megvilágítására képesekké. Így például látjuk a Holdat, a mely megvilágít bennünket, mert felületének pontjaitól, melyek fényt a Naptól kapnak, minden irányban szétszóró sugarak indulnak ki. Ugyanezen oknál fogva a napfénynek egy nyalábja vagy pamatja, mely sötét szobába hatol, oldalról is észrevehetővé válik, mert

megvilágítja a levegőben levő port. Hasonlólag, ha a levegőben füstöt terjesztünk el, láthatókká válnak a párhuzamos, széthajló vagy összehajló nyalábok a szerint, a mint olyan igen messze levő forrástól származnak mint a Nap, vagy közelfekvőtől, a milyen például egy égő magnézium-lámpa, vagy végre alkalmas lencsékkel vagy tükrökkel arra kényszerítettnek, hogy egy pont felé összehajoljanak.

7. Ezek előrebecsátása után fogjunk a **fény egyenes vonalu terjedése** némely következményének tanulmányozásához, melyek az efféle terjedés kísérleti bebizonyítására szolgálnak (5).

Legyen valamely szoba minden oldalról átlátszatlan falal elzárva és ne legyenek benne világító testek, úgy, hogy a szoba egészen sötét. Ha az egyik falon keresztül egy kicsiny



412. ábra. Képletkézés kicsiny nyíláson át.

lyukat fúrunk, a szemközt levő falon a külső tárgyaknak megfordított képét látjuk lerajzolva.

A kép annál élénkebb és tisztább, de egyúttal annál kisebb is, mentül közelebb van egymáshoz a két fal, egyébként pedig független a nyílás alakjától. A dolog magyarázata könnyű. A külső tárgyak minden egyes pontja, mint például A pont (412. ábra), minden irányban bocsátja ki vagy szórja szét (6) a sugarakat, melyeknek egy kúp alakú nyalábja az F' nyíláson áthatol és a szemközt levő falra ellipszis-alakú világos képet

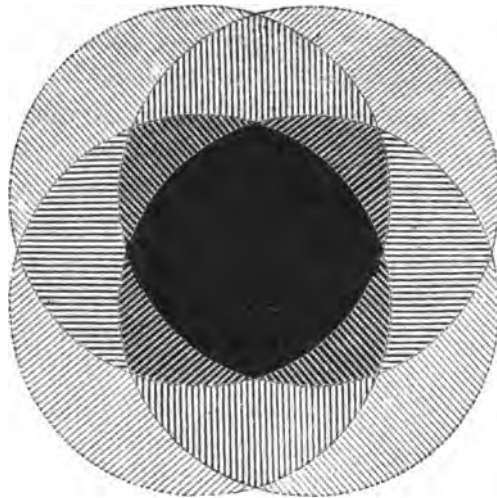
vet; a B pont ugyanilyen hatást létesít B' -ben, és így az egymás fölé helyezett ellipszisek összessége létrehozza a képet, mely a függélyes irányra vonatkozólag fel van ugyan fordítva, de nincsen megfordítva jobbról balra az ernyőnek azon az oldalán, melyre a fény esik; de ha az ernyő áttetsző és annak hátulsó lapját tekintjük, a kép nyilván felfordított marad, de egyúttal jobbra balra is meg van fordítva. Ha a nyílás háromszögalakú vagy bármilyen más alakú, de még mindig kicsiny volna, a kép ugyanannyi háromszögecske összességéből alakulna, és így tovább. Nagyobb nyílásokkal a tárgy minden egyes pontjának megfelelő kép nagyobbodik, hasonlóképen nagyobbodik a nyílás és az ernyő közötti távolsággal, s ez az oka, hogy a kép kevésbbé éles és olyan, mint egy nagyon vastag csúcschal készített rajz. — Azok a világosabb ellipszisek, melyek a föld színén a fák árnyékát megszakítgatják, mind megannyi képei a Napnak, a melyeket a levelek közötti hézagokon átmenő sugarak hoznak létre.

8. A fény egyenes vonalú terjedését, mint az **árnyékok elméletének** alapját, ez az elmélet szintén beigazolja.

Ha a fényforrás elannyira kicsiny, hogy pontnak tekinthető (ilyen volna a Napnak igen erősen gyűjtő lencsétől létesített képe, vagy ónpapírosba tűhegygyel szúrt lyuk, melyet láng elé tartunk), ez valamely jelenlevő sötét testet akként világít meg, hogy a felület megvilágított része élesen különbözik az egész meg nem világított résztől, mely árnyékban marad. A *teljes megvilágítás* és a *saját árnyék* közötti határvonalat az az egyenes vonja meg, mely a fényforráson átmenve a sötét test felületét, ezt folytonosan érintve, egészen körülkerüli.

Az ekként létesített kúpba a sötét testen túl menő sugarak nem léphetnek be, a kúpban levő szem pedig nem fogja látni a fényforrást. Valamely ernyőn, ezen kúp metszetén belül, elő fog tűnni a *vetett árnyék*, kívül pedig az ernyőn *teljes megvilágítás* fog lenni.

Átlátszatlan korong, mely vele párhuzamos sík és egy négyzet csúcsaiban elhelyezett négy fénypont között fekszik, a síkra *összeített árnyékot* vet, mely négy körből áll, melyek a korong távolsága és nagysága szerint vagy egészen különállók lehetnek, vagy egymást részben fedhetik, miként a 413. ábra mutatja. Hol az árnyékkörök mindannyian fedik egymást, ott a

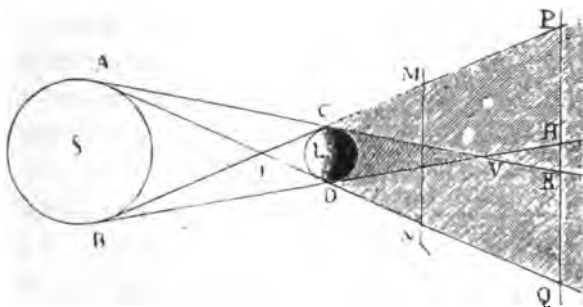


413. ábra. Teljes és félárnyék.

sík teljes árnyékban van, és teljesen meg van világítva, a hová a négy kör egyike sem esik; azokon a helyeken pedig, hol a körök csak részben vagy éppen nem fedik egymást, a sík *félárnyékba* van burkolva.

9. Ha a fénypontok száma határtalanul növekszik, a félárnyék különböző részeit nem lehet egymástól megkülönböztetni, mert egymásba össze fognak folyni. Ez az eset beáll mindig, midőn a fényforrásnak némi kiterjedése van. Ilyen fényforrást ábrázoljon a 414. ábrában *S*, és képzeljük, hogy az

$ABVHK$ és $ABIPQ$ két kúpfelületet vontuk, melyek S -t és az L sötét testet kívülről és belülről érintik és az utóbbin két érintési vonalat határoznak meg; e két vonal közötti felületrész **fél-**



414. ábra. Teljes és vetett árnyék.

árnyékban fekszik, mely a test saját árnyékát a megvilágított részétől elmosódva különíti el (példa a Hold fázisai).

A mi a vetett árnyékot illeti, ez az első kúp CVD részén belül egészen teljes, mert innét egyetlen egy egyenest sem húzhatunk S -nek valamely pontjához a nélkül, hogy L -t metszenők; a második kúp fenmaradó egész $CVDQP$ részében van a félárnyék. Valamely szem ezen utóbbi helyről csak részben láthatná a fényforrást: annál nagyobb sarlót lát belőle, mentül közelebb esik a $CPDQ$ kúpfelülethez, de csak gyűrűalakú övet lát belőle, ha a V csúcson túl és a külső kúp VHK megnyújtásán belül fekszik.

Ha felteszszük, hogy S a Napot, L pedig a Holdat tünteti elő, itt számot adhatunk mindazon jelenségekről, melyeket a **napfogyatkozás** tár elénk. A **holdfogyatkozásban** a sötét test a Föld, a Hold pedig az ernyő szerepét játszsza.

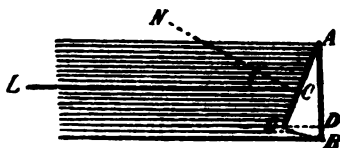
Hasonlóképen világos, hogy a félárnyéknak valamely MN ernyőre vetett öve annál szélesebb, mentül távolabb van az ernyő; így esik meg, hogy valamely toronynak a Naptól a földre vetett árnyéka a csúcsában elmosódottabb mint a lábában.

10. A sugárzó energia, midőn olyan közegben terjed, mely el nem nyeli, valamely pontba bizonyos **intenzitással** érkezik meg, mely *a kiinduló ponttól való távolság négyzetével fordított viszonyban van*. Ezt a tételt ugyanoly módon bizonyítjuk be, mint a hang erősségére vonatkozólag tettük (I, 295).

Az optikai hatásokra nézve akként igazoljuk be, hogy kimutatjuk, hogy egy gyertya valamely fehér lapot 1 m távolságból épen úgy világít meg, mint 4 gyertya 2 m távolságból, mint 9 gyertya 3 méter távolságból, stb.

Másrészt beigazolható, hogy a mikor az energia diathermán közegen (4) — minőnek a levegőt is tekinthetjük — keresztül terjed, a mennyiben a P oszlopra (2, 409. ábra) való hő hatását tekintjük, szintén csak ezt a törvényt követi. Ha ugyanis egy csekély méretű fényforrást, vagy pedig ha a forrás nagy, annak ernyővel határolt kis részét alkalmazzuk, azt találjuk, hogy a kitéréseknek a forrás és a feléje fordított oszlopfej közötti távolság négyzetével való szorozmánya állandó.

11. Eme beigazolásokban azonban ügyelnünk kell, hogy a sugarak merőlegesen essenek az oszlopfejre vagy a megvizsgálandó pontban levő fehér lapra, mert különben az eredménynek csekély a bizonyító ereje. Hogy ezt belássuk, csak azt kell meggondolnunk, hogy a megvilágított felület 1 cm^2 területére külön-



415. ábra. Merőleges és ferde sugarak.

böző mennyiségű energia esik a szerint, a mint a sugarakhoz különbözőképen hajlik, hol is a sugarakat egyszerűség kedvéért párhuzamosaknak vesszük fel; a legtöbb akkor esik rá, midőn a sugarakra merőleges, mint AB -ben (415. ábra); de midőn a

fekvése más, például AC , csak annyi energia esik rá, a mennyi AD -re, vagyis AC -nek AB -re való vetületére esnek.

Ennélfogva *valamely adott felületre eső energia-mennyiség arányos e felületnek a sugarakra merőleges síkra való vetületével.*

E törvényt kifejezhetjük még úgy is, hogy azt mondjuk, hogy adott területre eső energia-mennyiség arányos a beesési szög cosinusával. Valóban, ha a beesési szögnek (I, 293) azt az LON szöget nevezzük, melyet például az LO sugár a felület NO normálisával bezár, és figyelembe vesszük, hogy ez a szög egyenlő a CAB szöggel, úgy

$$AD = AC \cos CAB = AC \cos LON.$$

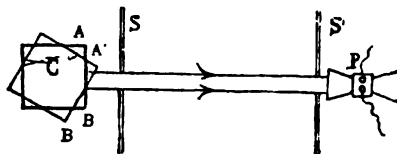
12. A területegységre eső energia-mennyiség, a mellett, hogy az imént látott módon a távolságtól és a hajlástól függ, nyilván függ még a sugárzó forrástól is. Méretei, fényessége és az irány, melyben a sugarakat löveli, itt egyaránt hatással lehetnek.

Nagyobb világosság kedvéért tegyük fel, hogy homogén, egyenletesen izzó sík lapról van szó; hasonlóképen tegyük fel, hogy valamennyi pontjából a bennök emelt merőlegesek mentén egyenlő mennyiségű energia sugárzik ki. Ekkor bizonyos, hogy a kisugárzás, miként már érintettük (2), arányos a sugárzó felülettel. Hogy eldöntsük, vajjon függ-e a sugarak irányától is, szemünket egy belül megfeketített hosszú csővel fegyverezzük fel és ezt merőlegesen tartjuk az említett izzó lapra, vagy a mi egyre megy, egy fehér lapra (6), mely a fényt egyenletesen diffundálja; ezután ugyanezt a megfigyelést teszszük a csőnek tetszés szerinti hajlást adva: nem leszünk képesek fényességben semmi különbséget észrevenni.

Épen úgy, ha az S és S' ernyők (416. ábra) nyílásait a P oszlop tengelyével egyazon egyenes vonalba helyezzük és a forró vizet tartalmazó C kockának bekormozott AB vagy $A'B'$

lapját tetszés szerint hajlítjuk, a képnek a (409. ábra) skáláján való elmozdulása állandó marad.

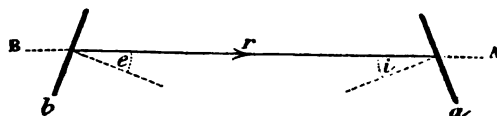
Innét következik, hogy a ferdén kilövelt sugaraknak, hogy ugyanazt a hatást idézzék elő, mint a merőlegesen kilövelték, nagyobb mennyiségben kell jelen lenniök, és éppen akkora felü-



416. ábra. A sugárzás törvénye.

letről kell kiindulniok, hogy ennek reájuk való merőleges vetülete állandó maradjon; innét pedig következik (11), hogy a kilövelt energia arányos a kisugárzás szögének cosinusával, ha így nevezzük azt a szöget, melyet a sugarak a sugárzó felület normálisával bezárnak. Ez az úgynevezett **cosinus-törvény**.

13. Ezt megállapítván, a forrás felületegységéből időegységenként kilépő energia mennyiségét az energia-forrás **sugárzó képességének** fogjuk mondani és S -sel jelölni; akkor a b sík



417. ábra. A sugárzás törvénye.

területből ugyanezen idő alatt AB irányban e kisugárzási szög alatt kibocsátott energia mennyisége nyilván

$$Q = S \cdot b \cdot \cos e. \quad (1)$$

Az energiának az az I mennyisége pedig, mely a sík területű lapra i beesési szög alatt időegységenként beesik, a következőkép van adva:

$$I = S \cdot \frac{a \cos i \cdot b \cos e}{r^2}, \quad (2)$$

hol r az a és b közötti távolság, melyet oly nagynak veszünk fel, hogy az a és b különböző pontjai közötti távolság-különbségeket elhanyagolhassuk.

Ezek az elmélekdedések görbe felületek esetére is vonatkoztathatók, ha olyan kicsiny részekre osztva képzeljük, hogy e részecskék síkoknak legyenek tekinthetők; vagyis ha a görbe felületeket, mint mondani szoktuk, síkelemekre bontjuk szét és e síkelemek mindegyik párjára nézve felírjuk az (1) alatti egyenletet és végre mindezeket az egyenleteket összegezzük. De az ilyen számvetés jóval túlhaladja az e műben alkalmazásba vett matematikai műveletek terjedelmét és meg kell elégednünk annak felemlítésével, hogy egy gömbölyű test, melynek felülete mindent tekintve ugyanazon feltételeknek felel meg, ugyanazt a hatást idézi elő, mint ugyanazon határok közé fogott egyenletes sík; példa erre nézve a Nap.

Ezt előre bocsátva, álljon szemközt két akármilyen felület, de legyenek oly távol egymástól, hogy mindazokat az egyeneseket, melyek az egyiknek valamely pontját a másiknak különböző pontjaival összekötik, egyenlő hosszúaknak s egymással párhuzamosaknak vehessük. És legyenek A és B az ő vetületeik oly síkra, mely összekötő vonalaikra merőleges. A dolog úgy áll, mintha az A sík területre az az energia esnék, melyet az r távolságban levő B sík terület sugároz ki.

Az energia mennyiségét (2) alapján ekként fejezzük ki:

$$I = S \frac{AB}{r^2}, \quad (3)$$

és ha $SB = K$ tétetik,

$$I = K \frac{A}{r^2}. \quad (4)$$

14. A hőhatás lehetővé teszi a sugárzó energiának mérését, de nem a fényhatását; hisz ez lényegében véve szubjektív tűnemény, mely a szemnek a sugárzó energia különböző fajtái iránt való érzékenységtől függ. Mindamellett, ha a fényt

az optikai hatás okául tekintjük, s ha elfogadjuk az ok és a hatás arányosságát, a fényről is mint mennyiségről szólhatunk s összehasonlíthatjuk egymás között a fény különböző forrásait.

A fénymérés, vagyis a *fotométria*, mely ezt a kérdést tárgyalja, az imént adott képleteken alapszik, a melyek állandóinak most megfelelő értelmezést fogunk adni. Az (1) képletben előforduló S együttható a **fényesség** nevét kapja, és a felület-egységből merőlegesen kilépő fény mennyiségét jelenti. A (4) képlet K együtthatója a fényforrás bizonyos iránybeli **világító képességének** nevét kapja, azt a fénymennyiséget jelentvén, mely az illető irány felé útnak indítatik.

A fényesség és a világító képesség közötti különbséget különösen hangsúlyozzuk, megjegyezvén, hogy ez utóbbit csakis a kiáramló energia mennyisége határozza meg s egyszerűen arra vonatkozik, hogy mennyire képes valamely fényforrás tőle bizonyos távolságban levő fehér lapot megvilágítani, míg ellenben az első még a fényforrás terjedelmétől is függ. Így például a pillangós gáz vagy petróleumláng világító képessége oldalról vagy lapjáról körülbelől egyenlő, bár a két kisugárzó lap meglehetősen különböző; ámde éléről a fényessége jóval nagyobb.

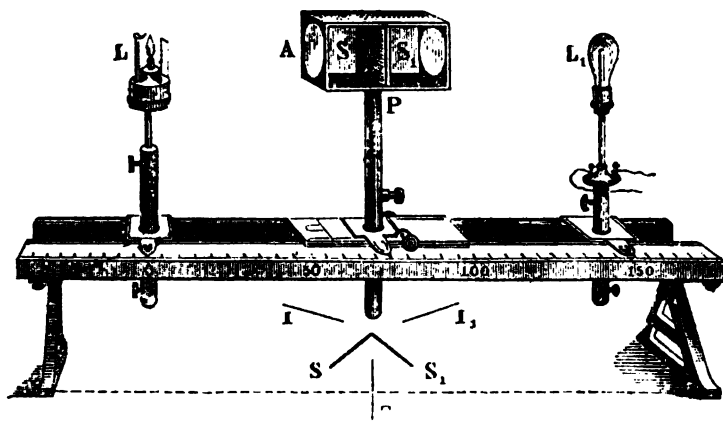
15. A *fotométria* feladata a különböző fényforrások fényességének s még gyakrabban világító képességének egymás között való összehasonlítása. E végből a két fényforrás távolságát akként szabályozzuk, hogy egyazon hajlás mellett egy fehér ernyőn ugyanazt a hatást létesítsék; ezután megmérjük az ernyőtől való r és r_1 távolságokat, és a (13) pont (4) képlete szerint

$$\frac{K}{r^2} = \frac{K_1}{r_1^2},$$

honnét a világító képességek viszonya

$$\frac{K}{K_1} = \frac{r^2}{r_1^2}.$$

16. A különböző fotométerek közül le fogjuk írni a BUNSEN-félet. Legegyszerűbb alakjában egy papiroslapból áll, melyen zsírfolt van; ez a folt világosabbnak vagy sötétebbnek látszik a lap többi részénél a szerint, a mint a hátulról vagy elülről van erősebben megvilágítva. A megvilágítás szabályozásával elérhető, hogy a zsírfolt csaknem láthatatlanná válik; ez azonban a szem helyzetétől is függ, s ezenkívül a folt nem enyészik el egyidejűleg a lap két oldalán.

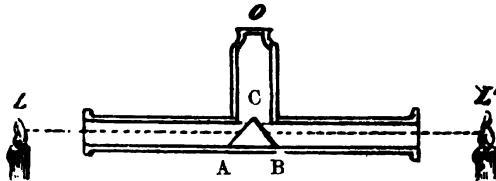


418. ábra. Bunsen-féle fotométer.

Azért is czélszerű a lapnak mindkét oldalát egyidejűleg szemlélni, hogy biztosan meg lehessen ítélni, vajjon egyenlőn van-e megvilágítva, vagy nem. Ennélfogva BUNSEN a fotométerének a 418. ábrában látható alakot adta. A zsírfoltos *F* ernyő a *P* oszlopon *S* és *S'* tükrök előtt áll, melyet a lap két oldalának *I* és *I'* képeit mutatják a kísérletezőnek. Az oszlop centiméterekre beosztott számon ide-oda tolható az összehasonlítandó két fényforrás, *L* és *L'* között; addig kell ide-oda tologatni, míg az ernyő két oldala egyenlően megvilágítottnak nem tűnik fel. Ekkor csak az ernyőnek a két fényforrástól való távolságainak négyzeteit kell egymással elosztani, s meg van a világító erőnek a viszonya. A távolságok nyilván a számon olvastatnak le.

Ha a két fényforrást egymástól állandó távolságban hagyjuk meg, pl. az egyiket 0, a másikat pedig 150 cm vonalán, a szádra a centimétereken kívül még a távolság viszonyának négyzeteit is felírhatjuk; így aztán a 75 cm-vonás 1 világító képességet jelent, 50 cm-vonás 4—, 30 cm-vonás 16-ot s így tovább.

17. Irjuk még le RITCHIE fotométerét. A CA és CB (419. ábra) azonos lapok fehérek és az egymásra merőleges és belülről befeketített csövek tengelyéhez egyenlőképen hajolnak.



419. ábra. Ritchie-féle fotométer.

Midőn az O -ba helyezett szem a mezőnek két felében nem vesz észre semmi különbséget, megmérjük a CL és CL' távolságokat és a 15. p. utolsó képletébe r és r_1 helyébe teszszük.

18. Ha egymástól nagyon különböző erősségű forrásokat kellene összehasonlítani, az ezen képlettől kifejezett törvény alkalmazása nagyon kényelmetlen és kevésbé szabatos volna, mert az egyik távolságnak a másikhoz képest rendkívül nagy-nak kellene lennie. Ily esetben ahhoz a fogáshoz folyamodhatunk, hogy az erősebbik fényforrás hatását kevésbé intenzívvé teszszük, mit úgy érünk el, hogy korongot forgatunk előtte, mely részben átlátszó, részben átlátszatlan szektorokból áll. Ha a forgás sebessége nagy, ezen ernyő megvilágítása, a képeknek a szemben való tartóssága (I, 195) miatt, egyenletesnek látszik, és $\frac{1}{n}$ -re redukálódik, ha ez a tört fejezi ki a területnek az átlátszó szektoroktól elfoglalt részét.

19. A fotométeres méréseket egészen sötét és fekete falu, a fényt vissza nem verő szobában kell végezni. De azért mindig jelentős hibaforrások maradnak fenn, mert a különböző fényforrásoknak más meg más a színük, mert a szem csekély különbségeket az intenzitásban nem különböztethet meg, végre mert nehéz olyan **fényegységet** szerezni, mely állandó marad és könnyen sokszorosítható. Az angolok normális lángul olyan spermacet-gyertyának a lángját fogadták el, melyből 6 darab tesz egy angol fontot és 120 grant (mintegy 7,77 gr) éget óránként 45 mm magasságú lánggal égvén; de tapasztalták, hogy világító képességek 15 százaléknyi változásnak van alávetve. Németországban rendszerint paraffin-gyertyát (*Vereinskerze*) használnak, melyből 12 tesz egy kilogrammot, s a mely állítólag csak 4 százaléknyi változást mutat, ha arról van gondoskodva, hogy a láng állandóan 5 cm magasságú legyen. Franciaországban még most is az úgynevezett Carcel-lámpát használják, melynek méretei pontosan meg vannak állapítva és óránként 42 g tisztított repce-olajat fogyaszt; Olaszországban is ezt az egységet használják a gáz ellenőrzésére.

Habár ezek a lángok ipari célokra eléggé állandók, korántsem ilyenek a tudományos követelmények szempontjából azon jelentős zavarok miatt, melyeknek alá vannak vetve.

Állandóbb fényforrásokat sokan ajánlottak. VERNON-HARCOURT a pentan-gőz lángját ajánlja, mely a töle megjelölt feltételek mellett egyenértékű $\frac{1}{8}$ Carcel-lángzóval; de tapasztaltatott, hogy az elégető levegő állapota hatással van reá. Úgy látszik, hogy hasonló kifogás alá esik HEFNER-ALTENECK javaslata, ki szerint a fény egységét egy 4 cm magas szabad láng sugározza ki, melyet egy 0,8 cm átmérőjű csövet kitöltő és amil-acetáttal ($C_7H_{14}O_2$) áztatott tömör bél meggyújtásával nyerünk; szükséges, hogy a lámpa igen tiszta levegőben égjen. E láng intenzitása akkor egyenlő az angol gyertyáéval, midőn magassága, melyet onnét kell számítani, hol a bél szenesedni kezd, 4,35 cm-re rüg.

SUGÁRZÁS ÉS TERJEDÉS.

Azonban az 1884-ben Párisban ülésező nemzetközi konferencia VIOLLE eszméjét fogadta el s a következőt határozta:

A fehér fény gyakorlati egysége az a fénymennyiség, melyet a megolvasztott és a megmerevülés mérsékletén levő platinának 1 cm²-nyi felülete normális irányban kilövel.

Kétségtelen, hogy a nemzetközi konferenciától elfogadott fényegység elméletileg mindenben eleget tesz az állandóság követelményeinek, de a nehézség, melylyel gyakorlati kivitele jár, ez idő szerint még nagyon kétségessé teszi, hogy közkeletűvé válnék. SIEMENS törekedett az egység elterjedését megkönnyíteni, olyan készüléket szerkesztvén, melyben egy platina lemez elektromos árammal megolvasztható s a belőle a megmerevülés pillanatában kisugárzó fény észlelhető.

VIOLLE alább következő táblázata magában foglalja a felsorolt fényegységek közötti összehasonlítás eredményeit.

	Violle-féle egység	Carcel	Angol gyertya	Német gyertya	Hefner-féle lámpa
Violle-féle egység --- ---	1	2,08	18,5	16,4	18,9
Carcel --- --- ---	0,481	1	8,91	7,89	9,08
Angol gyertya --- --- ---	0,054	0,112	1	0,89	1,02
Német gyertya --- ---	0,061	0,127	1,13	1	1,15
Hefner-féle lámpa --- ---	0,053	0,110	0,98	0,87	1

20. A hőhatásokra térve ismételve felemlítjük, hogy ez esetben a 13. p. (1) egyenletében levő S együtthatót **sugárzó képességnek** nevezzük; ez mértéke azon energiának, melyet a test az időegységben a területegységről merőlegesen kiáraszt.

Az egyazon mérsékletre hevített s azonos körülmények közé helyezett különböző anyagok különböző hőmennyiségeket sugároznak ki, minél fogva különböző sugárzó tehetségek van.

Egymás között való összehasonlításuk úgy történt, hogy vékony rétegben a C kocka (410. ábra, 2) lapjaira erősítették, mely lapok egymás után a P hőelektromos oszlop felé akként fordítottak, hogy a sugarak irányára, miként az oszlop feje is, merőlegesek legyenek.

A koromra vonatkoztatott sugárzó tehetségek 100°-n.

(MELLONI.)			(De la PROVOSTAYE és DESAINS).		
Korom	---	1,00	Simított platina	---	0,10
Ólomkarbonát	---	1,00	Rézlemez	---	0,05
Khinai tus	---	0,85	Aranylemez	---	0,04
Sellak	---	0,72	Chemikailag kiválasztott ezüst	---	0,05
Fémfelületek	---	0,12	Simított ezüst	---	0,02

E számokból kitűnik, hogy a legnagyobb sugárzó tehetségek van a kormozott felületeknek, a legkisebb pedig a fémfelületeknek. A sugárzó tehetség változik a fém természetével, és még inkább felületének símaságával. De azért nem kell gondolni, hogy durva érdességek és karczások jelentősen fokozzák, sőt leginkább épen az igen finom érdességek növelik, melyek tapintással észre nem vehetők és szemmel egymástól meg nem különböztethetők és a felületeket csak a tükörfényről fosztják meg.

21. A fentebbi számok különben épen nem abszolút értékek, mert a rétegeknek a koczka lapjaira való illesztése módjától s maguknak a rétegeknek vastagságától is függnek. Minden anyagra nézve, bizonyos meghatározott módon felrakva, van bizonyos vastagság, melynél a *kisugárzás a legnagyobb*; e vastagság porrá tört kősóra nézve 0,03 mm, közvetetlenül a lángtól lerakódott koromra nézve 0,2, ugyanezen koromra nézve, ha szénszulfidban való elosztása után van lecsapva, csak 0,069 (E. VILLARI).

Hogy a sugárzó képesség bizonyos fokig a réteg vastagságával növekszik, elméleti szempontból igen fontos tény, mert azt mutatja, hogy a sugárzást nem csak a felület idézi elő, hanem a bizonyos mélységben levő molekulák is közreműködnek. De ha a vastagság bizonyos határon túllép, megeshetik, hogy a hő nem elegendő gyorsasággal vezettetik (I, 352) a test

belsejéből a felületi rétegbe, mely is ennél fogva alacsonyabb mérsékletű a koczkában levő folyadéknál.

22. Valóban, a sugárzó energia rohamosan növekszik a forrás mérsékletének emelésével, miről könnyű meggyőződni. Ezenkívül a különböző anyagok viszonylagos sugárzó tehetsége is változik; így például az ólomkarbonáté, mely 100° körül megegyezik a koroméval, 550° -nál mintegy a $\frac{3}{4}$ -ére száll le (De la PROVOSTAYE és DESAINS). Ennél fogva a törvény, mely szerint a sugárzás a mérséklettől függ, valamennyi testre nézve nem ugyanaz. A törvényt kifejező különböző képletek tehát csak azokra a különös esetekre érvényesek, a melyekben megtétettek a kísérletek, melyekből a képletek levezettettek.

Később látni fogjuk, hogy a mérséklet, miként már érintettük **(3)**, nem csupán a kisugárzott energia mennyiségére, hanem még a minőségére is hatással van.

23. Mindazonáltal csekély mérséklet változásokra nézve elfogadható az a megközelítés, mely szerint felteszszük, hogy a sugárzó tehetőség változásai arányosak a mérsékletnövekedésekkel. Feltéve ezenfelül, hogy a levegőtől áramlás útján **(I, 350, 358)** elvezetett hő arányos az illető test és a környezet mérsékletének különbségével, **Newton kihűlési törvényére** jutunk, azaz hogy a testtől az időegységben elveszített hő, s ennél fogva a test mérsékletének csökkenése is, arányos a test és a környezet mérsékletének különbségével. Ez a törvény nagy megközelítéssel igazolható, míg a mérsékletek különbsége nem ér el 20° -ot; **FOURIER** is elfogadta **(I, 355)** minden elméleti vizsgálatában, s már mi is alkalmaztuk **(I, 499)**.

24. Tágasabb mérsékleti határok között **DULONG** és **PETIT** a **NEWTON**-féle törvényt meg nem felelőnek találta. Belülről bekormozott rézgolyóba, melyből a levegőt kiszivattyúzták, hőmérőt tettek s az egészet vízfürdőbe merítették, hogy a rézgolyó állandóan alacsonyabb mérsékleten maradjon; a mérsék-

letnek az idővel való csökkenését megfigyelve, azt találták, hogy a kihülés gyorsasága az

$$A\alpha^{\theta} (\alpha^{\theta} - 1)$$

képlettel fejezhető ki, hol $\alpha = 1,0077$.

Ez a képlet azt a hőmennyiséget fejezi ki, melyet az időegységben egy olyan test ad ki, mely ezen egész időtartamban θ Celsius-fok mérsékleten marad, és légüres edénybe van helyezve, melynek falai állandóan θ mérsékletűek. Az A együtt-ható a mértékegységen kívül csakis a test felületének állapotától (20) függ.

DULONG és PETIT képletöket 300° -on aluli mérsékletekre nézve állapították meg; később a magasabb mérsékletekre nézve nagyon hamarosnak találtatott. Ellenben a helyette felállított STEFAN-féle képlet:

$$A (T^4 - \theta^4),$$

melyben T és θ a test és a hűvelő abszolút mérsékletét (I, 470, 539) jelentik, nagyon lassúnak találtatott, midőn a beigazolására platinát használtak.

25. Bármint legyen is a kihülés törvénye, kimutatható, hogy két test, melynek felülete úgy fizikai mint geometriai szempontból egyenlő, a környezetnek hőt adván át, a fajhévökkel (I, 365) arányos időt használ fel arra, hogy egyazon kezdeti mérsékletéről egyazon végső mérsékletre jusson. Ugyanis két, C illetőleg C' fajhévű (tömegegységnyi) test $C\tau$, illetőleg $C'\tau$ hőt veszít, midőn mérsékletét τ igen kicsiny csökkenés éri. Ha x és x' azon igen rövid idők, melyeket a közös τ lehűlésre felhasználnak, a kibocsátott hő még Bx és Bx' -tel is kifejezhető, hol a B együttható ugyanaz a két testre nézve, mert azonos felületük van és a mérsékletre nézve is azonos feltételeknek vannak alávetve; ez annál inkább fog állani, mentül kisebb τ , mert feltehető, hogy ebben az időközben a két testnek t közép-mérséklete van. Mondhatjuk tehát, hogy

$$C\tau = Bx, \quad C'\tau = Bx',$$

és innét:

$$\frac{C}{C'} = \frac{x}{x'} \quad (1)$$

Mínthogy ekként kimutattuk, hogy a tétel az igen kicsiny τ lehülésre áll, következik, hogy helyes marad egy második igen kicsiny lehülésre nézve is, úgy szintén harmadikra, stb., érvényes tehát az összegükre, vagyis egyazon mérséklet-csökkenésre nézve is.

E tételen alapszik a **fajhő meghatározásának** egy mód-szere. — A megvizsgálendő anyaggal megtöltünk egy kicsiny, könnyű és fényes fémgolyót, melybe érzékeny hőmérő golyója merül, és fedéllel lezárjuk. Ezután az egészet felhevítjük és beállítjuk egy fémedénybe, mely nagy mennyiségű vízbe van merítve, hogy mérséklete állandó maradjon. Ha a fémgolyónak és tartalmának hőfoghatósága csekély, czélszerű a nagy fémedényből a levegőt kiszivattyúzni, hogy a kihülés gyorsaságát csökkentsek. Ha X a kicsiny fémgolyó és a benne levő hőmérő vízártéke (I, 365), M a megvizsgálendő test tömege, c pedig a fajheve, a lehülő rendszer hőfoghatósága

$$Mc + X,$$

és megfigyelve a hőmérőt és a másodpercózmutatót, meghatározzuk azt az x időt, mely alatt s mérsékletről t -re száll alá. Ezután ismétljük a kísérletet; megtöltjük ugyanazt a fémgolyót vízzel és visszahelyezzük ugyanabba a fémedénybe ugyanazon mérsékleten, mint az előbb. Ha most M' a használt víz tömege és x' az s és t mérsékletek között eltelt idő, úgy (1) szerint:

$$\frac{Mc + X}{M' + X} = \frac{x}{x'},$$

mely egyenlet, ha c szerint megoldjuk, megadja a keresett fajhőt.

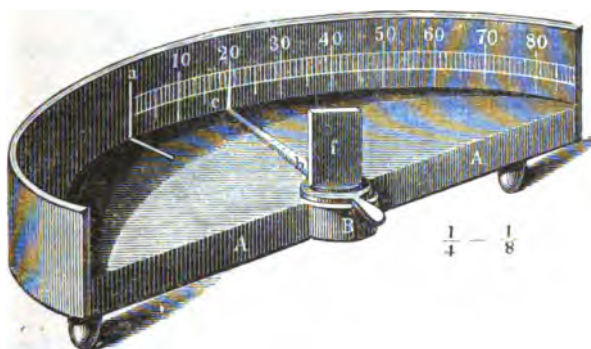
Jól megjegyzendő, hogy e módszer csak jó hővezető testekre nézve ad szabatos eredményeket.

XXVIII. FEJEZET.

VISSZAVERŐDÉS.

26. A sugárzó energia a hanggal egyazon törvény szerint verődik vissza (I, 293), azaz *a beesés szöge és a visszaverődés szöge egymással egyenlő s ugyanabban a síkban fekszik.*

Az optikai hatásokat tekintve, ez a törvény a 420. ábrában látható készülékkel előadási kísérletben igazolható. Az *f* tükör az *a* nyílással s körbeosztással ellátott hengeres fél-doboznak



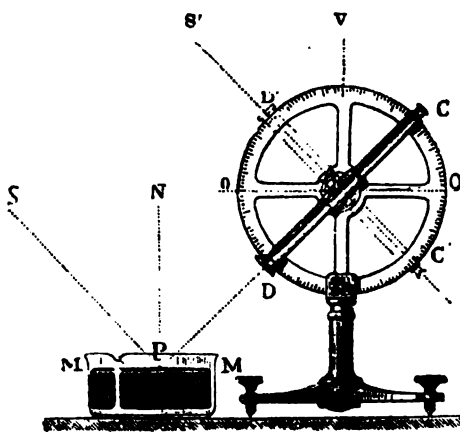
420. ábra. A visszaverődés törvényének igazolása.

homorú oldala felé van fordítva; a tükör síkja a henger tengelyébe esik s e körül forgatható és *bc* merőleges mutatóval van ellátva. Ha a mutatót pl. 20°-ra, 30°-ra stb. állítjuk s a nyíláson át fénynyalábot vetünk a forgástengelyre, a körbeosztáson fényes csíkot látunk, mely pontosan 40°-ra, 60°-ra, stb. esik.

27. Ezzel a készülékkel nem tehetünk olyan szabatos kísérletet, hogy eldönthetnők, vajjon a visszaverődés törvénye feltét-

lenül szigorú-e vagy csak megközelítőleg áll-e. De a következő eszközzel kimutatható, hogy megvan az a teljes szigorúsága, mely megkívántatik, hogy egy tudományág alapja lehessen a nélkül, hogy attól kellene tartani, hogy a belőle vont következtetések nem fognának megfelelni a tényeknek.

Tükörül az MM' higany (421. ábra) szabad felülete szolgál, mely tökéletesen vízszintes (I, 172). Előtte *theodolit* van felállítva, vagyis egy beosztott kör, melynek A tengelye



421. ábra. A visszaverődés törvényének pontos kimutatása.

körül a CD mészslátó akként forgatható, hogy forgás közben a körrel párhuzamos marad. Ezt a mészslátót először is egy csillagnak a higanyban látható képére, azután pedig közvetlenül a csillagra irányítjuk, mi sikerülni fog a nélkül, hogy a kört elmozdítanók, feltéve, hogy ez pontosan függélyes. Ekkor látni fogjuk, hogy a V függélyes vonal megfelel a CAD' szöget, mely a mészslátónak egymásra következő két helyzete közé van foglalva. A törvény ekként be van igazolva.

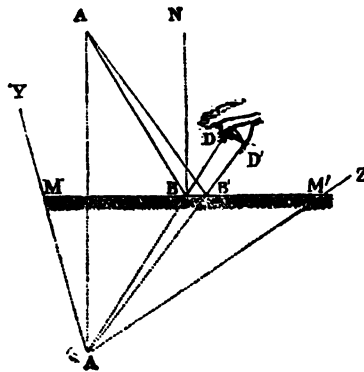
Valóban, a csillagtól jövő sugarak, úgy mint SP , $S'A$, hiba nélkül párhuzamosaknak vehetők, de párhuzamosak a VA , NP

függvényesek is, minélfogva a beesés SPN szöge egyenlő az $S'AV$ szöggel, melyet az előbb VAC -vel egyenlőnek találtunk, mely szög ismét egyenlő a megfelelő NPD szöggel, vagyis a visszaverődés szögével. Ezen kívül az S és S' beeső sugarak és a PC visszavert sugár függvényes síkban vannak, mely ennél fogva magában foglalja a higany vízszintes felületére emelt merőlegest is.

28. Mindennapi tapasztalás, hogy síktükrökben a tükrök előtt levő tárgyak képét a tükör mögött látjuk; ez onnét van, hogy a szembe hatásokat csakis az az irány határozza meg, melyben a sugarak a szembe jutnak, és az ilyen hatások ismétlődése révén megszoktuk a sugarakat olyan fényforrásba helyezni vissza, mely ebbe az irányba esik.

A tükör mögött semmi sem történik, mi a látást előmozdítaná; a sugárzó energia oda el nem jut, miért is az ilyen képeket *látászólagosoknak* (virtuálisoknak) nevezzük. De azért ezeknek is megvan a maguk teljesen meghatározott helyzete, melyet a visszaverődés törvénye (26) szerint foglalnak el.

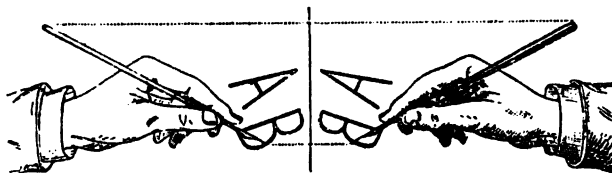
Legyen A -ban (422. ábra) valamely fénypont, melyből az MM' síktükörre az AA' merőlegest emeljük. A beeső sugarak végtelen sokaságából választjuk ki AB -t és képzeljük a neki megfelelő visszavert sugarat BD -t, meghosszabbítva, míg AA' -t éri, mely az NB normálissal párhuzamos. Mivel a beesés és a visszaverődés ABN és NBD szögei egymással egyen-



422. ábra. Kép keletkezése a síktükörben.

lők (26), egyenlők lesznek a BAA' és $BA'A$ szögek is, minélfogva az AMB és $A'MB$ háromszögek, melyeknek az MB közös oldaluk van, összeillők, és az MM' tükör megfelel AA' -t.

Mindaz, a mit az AB beeső sugárról mondtunk, az A -ból kiinduló minden más sugárra nézve is áll; ennél fogva minden visszavert sugárnak meghosszabbítása A' ponton megy keresztül, tehát *síktükörre nézve a fénypont és képe szimmetrikus*.

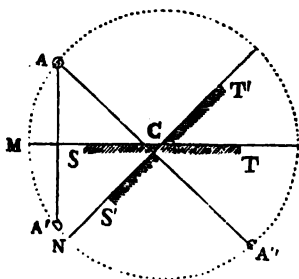


423. ábra. Képzésképzés síktükörrel.

És az egyes pontok révén könnyű megszerkeszteni bármely tárgynak képét, miként az első tekintetre megérthető 423-ik ábrában látjuk.

29. A mondottakból következik, hogy a szem csak akkor láthatja az A' képet (422. ábra), ha belül fekszik az $A'YZ$ kúpon, melyet leír az az egyenes, mely a tükör szélét körül kerüli

és e mellett maradandóan átmegy az A' ponton, melynek helyzete állandó marad, ha mindjárt a szem elmozdul is.



424. ábra. Képelmozdulás a mozgó tükörben.

Ha ellenben a tükröt mozgatjuk, elmozdul a kép is. Ha a tükröt maga-magával párhuzamosan eltávolítjuk a fényponttól, vagy ehhez közelítjük, nyilvánvaló, hogy a fénypontnak a képétől való távolsága az elmozdulás kétszeresével változik.

Ha pedig az ST tükör (424. ábra) a síkjában fekvő C egyenes körül forog, valamely mozdulatban A pont képe kört ír le, melynek középpontja C . Valóban, tekintsük a tükröt az ST és $S'T'$ helyzetben, s azonnal látjuk, hogy a szimmetriánál (28)

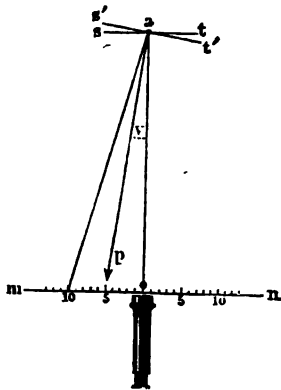
fogva A és A' , valamint A és A'' egyenlő távolságban vannak C -től.

Az $A'A''$ ív, melyet a kép leírt, kétszerese a tükör szélső két állása közötti MN ívnek. Ugyanis

$$A'A'' = AA'' - AA' = 2 (AN - AM) = 2 MN.$$

30. Az I. kötet **331.** pontjában már láttuk a forgó tükrök alkalmazását a manométeres lángok feloldására. Alkalmazzák még bizonyos rendkívül gyors lefolyású fénytűnemények, mint az elektromos szikrák tartamának megméréseire: a keresett idő úgy viszonylik egy forgás idejéhez, mint a kép leírta ívnek fele áll az egész kerülethez.

Sokkal elterjedtebb és gyakoribb alkalmazás azonban az az eljárás, mely szerint a kicsinységek miatt közvetlenül meg nem figyelhető elmozdulásokat láthatókká és mérhetőkké tesszük. Ez akként történik, hogy az elmozdulás közlődik az st forgatható tükörrel (425. ábra), mely előtt, és pedig merőlegesen a tengelyére, a -ra, az mn beosztott rúd van elhelyezve; az osztásvonalak képeit messzelátóval nézzük. Ha minden akként van elrendezve, hogy akkor, midőn a tükör merőleges a messzelátóra, a beosztás 0 pontját látjuk, úgy a tükörnek v szöggel való elfordulása után a tükörben a 10 osztáspont fog megjelenni, melyet az



425. ábra. Kicsiny elmozdulások mérése.

$$x = a \tan 2v$$

képlet határoz meg, melyben a az ap távolságot jelenti.

A messzelátót szabatos vizsgálatokban használjuk; előadási kísérletekben azonban a tükröcskére 0-ból egy sugárnyalábot vetünk és a visszavert nyalábot a 10-zel jelölt pontban

fogja fel a rúd, vagy a mi még jobb, egy beosztott ív, melynek középpontja a .

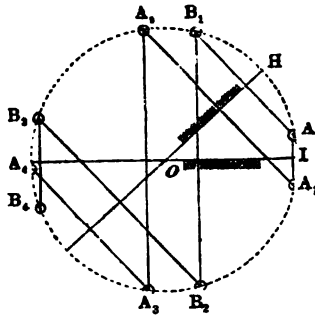
31. Hogy a napsugaraknak megadhassuk a megkívántató irányt, olyan siktükört használunk, melyet egymásra merőleges két tengely körül kézzel forgathatunk (fényvető naptükör). Hogy pedig a sugarak iránya állandóan megmaradjon, a tükröt alkalmas óraművel mozgattatjuk (*heliostat*).

32. A sík felületeken való visszaverődést alkalmazzuk még a *goniométer*ben, mely a kristályok lapszögeinek mérésére szolgál, s a melyről a következőkben lesz még alkalmunk bővebben szólni.

33. A miként alkalmazzuk a visszaverődést a léghőmérő skálájára (I, 457), akként alkalmazhatjuk még a barométerre és több más olyan eszközre is, melyekkel, midőn leolvasást teszünk, az úgynevezett *parallaktikus hibát* követhetjük el, mely onnét származik, hogy valamely megfigyelt pontot ferde irányban vonatkoztatunk a skála osztáspontjaira. Ha azonban úgy nézünk, hogy a megfigyelt pont eltakarja a saját képét, mely a skálával párhuzamosan felállított tükörben látszik, a látás vonala szükségképen merőleges a skálára.

34. Két szögtükör között levő A fénypont (426. ábra) többrendbeli képet idéz elő. Az I tükrön való első visszaverődés a széthajló sugaraknak olyan nyalábját fogja adni (28), melynek csúcspontja A_1 ; e sugarak a H tükrre érkezvén, újra vissza fognak verődni és az A_2 képet fogják alkotni és vissza fognak térni az I tükrre; ekként létrejön az A_3 kép, és egy további visszaverődés révén az A_4 kép, mely az ábra előtüntetete esetében az utolsó, mert mind a két tükrő mögött lévén, az a sugárnyaláb, melynek ő a csúcspontja, többé nem verődhetik vissza. Hasonló módon keletkeznek a B_1, B_2, B_3, B_4 képek. Könnyű megérteni, hogy a két rendszer utolsó képei, A_4 és B_4 , össze

fognak esni, ha a tükrök hajlásszöge az egész kerületnek egész hányad része. Ekkor a különböző képek az O pont körül szimmetrikusan el vannak osztva, és hozzájuk számítva magát az A fénypontot is, számuk annyi, a hányszor az IOH szög a négy



426. ábra. Szögtükrök képei.

derékszögben foglaltatik. Ezen alapszik az általánosan ismert *kaleidoszkóp*.

35. Ha a szög zérusra redukálódik, a tükrök párhuzamosak és szemközt fekvők; a képek most akként fekszenek, mint a 427. ábra mutatja, számuknak pedig végtelennek kellene

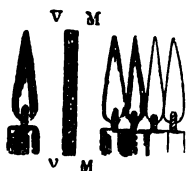


427. ábra. Többszörös képek.

lennie. Mivel azonban a visszavert energia csak egy bizonyos része a beesőnek, és pedig annál kisebb része, mintül kisebbek a tükrök, az egymásra következő képeket folytonosan halványodóknak látjuk. Ha azután a szemközt levő tükrök hátul megcsiszolt üvegből valók, a fénynek minden egyes visszaverődés alkalmával kétszer kell átmennie az üvegen, és ha ez színes,

az egymásra következő képeknek színezete folyton szembetűnőbbé válik.

Kiki meggyőződhetik a többszörös képekről (428. ábra),

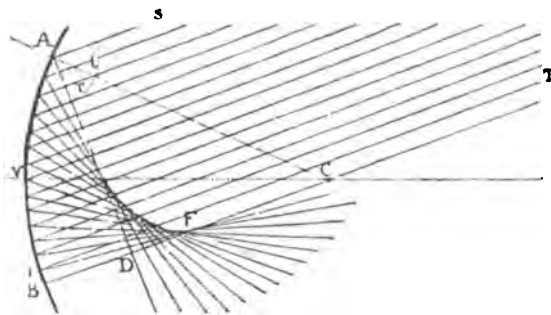


melyek a közönséges ezüstözött üveg-tükrökben láthatók, ha ferdén tekintünk reájuk; itt voltaképen két visszaverő sík van: a hátulsó (*MM*) fémből, az elülső (*VV*) pedig üvegből való, mely utóbbi csaknem az egész fényt áteresztí ugyan,

de egy részét mégis visszaveri.

36. A visszaverődés törvénye érvényes a görbe felületekre nézve is, csak azt kell figyelembe vennünk, hogy ily esetben a beesési merőleges valamely pontban nem egyéb az érintő síkra ezen pontban emelt merőlegesnél.

A **gömbre tükrök** közül csaknem kizárólag a **gömbtükröket** használjuk, mert előállításuk a legkönnyebb; vannak köztük homorúak és domborúak. Az *AB* ív (429. ábra) egy gömb-



429. ábra. Gömbtükör.

tükör *főmetszetét* tünteti elő, melyet a tükör *C görbületi középpontján*, vagyis azon gömbfelület középpontján átmenő sík határoz meg, a melynek a tükörfelület részét teszi. Ha a tükör széle köralakú, a gömbszelet *V csúcsát felületi középpontnak*, és a *V-n* és a *C görbületi középponton* átmenő korlátlan hosz-

szúságú egyenest *főtengelynek*, a *C*-n átmenő minden más egyenest (pl. *CB*) pedig *melléktengelynek* nevezzük.

Figyelembe véve, hogy a gömbben minden sugár merőleges a végpontján átmenő érintő síkra, a példaképen az *A* pontban húzott beesési merőlegest *CA* adja, és az *SA* beeső sugár olyan *AD* irányba verődik vissza (26), hogy az *SAC* beesési szög egyenlő a *CAD* visszaverődési szöggel.

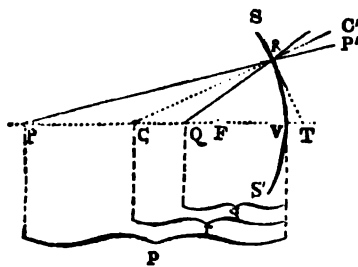
Hasonlóképen szerkesztjük meg az *SA*-val párhuzamosan beeső többi sugárnak megfelelő visszavert sugarat; mindezen visszavert sugaraknak egymásra következő metszéspontjai egy forgásbeli felületen fekszenek, melyet *gyűjtőfelületnek*, *kauszti-kának* nevezünk, mivel tetemes mennyiségű fény gyülemlik össze rajta.

Ha *D* az *AD* visszavert sugárnak és az *SA* beeső sugárral párhuzamos *CB* melléktengelynek metszéspontja, a *CDA* háromszög egyenlőszárú, tehát $CD=AD$. De $CB=CA$, ennél fogva *D* pont közelebb esik a tükörhöz, mint a *C* görbületi középponthoz. Az *SA*-val párhuzamos többi sugárnak, melyek folyton kisebbedő szög alatt esnek a tükrökre, olyan visszavert sugarak felelnek meg, melyek a *CB* melléktengelyt egymástól mindinkább kevésbé különböző két részre osztják. Így a *TI* sugár *IF* felé verődik vissza és az *F* pont csaknem *BC* közepén van.

Ebből következik, hogy ha a sugarak beesése nem nagyon ferde, a párhuzamos nyalábnak megfelelő visszavert sugarak oly pontban egyesülnek, mely a tükrőtől és a görbületi középponttól nagyon megközelítőleg egyenlő távolságban van. Ha a beeső nyaláb párhuzamos a főtengellyel, ezt az egyesülési pontot *főgyűjtőpontnak* nevezzük. Vizsgálatainkat arra az esetre fogjuk szorítani, melyben a tükrök a hozzájuk tartozó egész gömbfelületnek csekély részét teszik, vagy mint mondani szoktuk, melyben a *tükör nyílása csekély*, és ennél fogva a beesés nem nagyon ferde.

37. Ha a Nap felé homorú tükört fordítunk, ernyő segítségével megkereshetjük, hogy hol van a visszavert nyalábnak a legkisebb keresztmetszete. Általában igen fényes kicsiny kört fogunk találni még akkor is, midőn a tükör kerülete nem szabályos, hanem a tükör a gömbnek tetszésszerűen határolt darabja. A Nap olyan messzire van tőlünk, hogy a különböző pontjaiból hozzánk érkező sugarakat egymással párhuzamosaknak tekinthetjük; ennél fogva a Nap minden egyes pontjának egy egyedüli visszavert nyaláb felel meg, a melynek csúcspontja az illető melléktengelyen fekszik. Mindezek a csúcspontok közelítőleg ugyanabba a síkba esnek, mely sík a görbületi sugár közepében van, és a melyet **gyújtósíknak** nevezünk, és épen e csúcspontok összessége létesíti a Nap képét. E kép *valódi kép*, mert a sík tükrökben látott képektől (28) eltérőleg egymást metsző sugarakból származik, és ernyőn felfogható.

38. Tegyük most fel, hogy valamely P pontból (430. ábra) széthajló nyaláb esik a tükörrre. Húzzuk meg a PC tengelyt, a



430. ábra. Konjugált pontok.

PR beeső sugarat és a megfelelő RQ visszavert sugarat (36), és R -ben az RT érintőt. Ez utóbbi merőleges lévén CC' -re, és mivel még $C'RP'$ szög is egyenlő CRQ szöggel, megfelel a PRQ háromszögnek QRP' külső szögét, és ennél fogva PQ vonal C -ben

és T -ben harmonikusan van osztva, tehát

$$PC : CQ = PT : QT. \quad (1)$$

Nilvánvaló, hogy mindazok a sugarak, melyek P -ből a PC tengelyhez való egyazon hajlással indulnak ki, visszaverődés után ugyanabban a Q pontban találkoznak; de ha a hajlás különböző, változni fog a T pont s vele együtt a Q pont is. Mindazonáltal ha a tükör nyílása, vagyis az SCS' szög kicsiny,

T pont mindig olyan közel fog esni V -hez, hogy Q helyzetét megközelítőleg állandónak tekinthetjük. Ennélfogva *csékely nyílású tükrökben az egy pontból kiinduló sugarak visszaverődés után közelítőleg egyazon pontban találkoznak.*

E két pontot **konjugált** pontnak nevezzük, mert az egyik képe a másiknak. És mondhatjuk, hogy *a tükör s az \bar{o} görbületi középpontja a két konjugált pont közötti távolságot harmonikusan osztja.*

Ha

$$CV = r, \quad PV = t, \quad QV = k$$

az (1) képletbeli közelítéssel

$$PC = t - r, \quad CQ = r - k, \quad PT = t, \quad QT = k$$

tehát

$$\frac{t-r}{r-k} = \frac{t}{k}, \quad (2)$$

honnét

$$\frac{1}{t} + \frac{1}{k} = \frac{2}{r}. \quad (3)$$

39. Ebből a képletből kitűnik, hogy a P fénypontnak a tükörtől való távolodásával, vagyis t növekedtével, képének (Q -nak) k távolsága csökken, míg végre a $k = \frac{r}{2}$ értéket éri el, mely nem egyéb a már talált (36) fűgyújtótávolságnál.

Ha ellenben közelítjük a P pontot, képe (Q) távolodik a tükörtől.

A két pont összeesik a C görbületi középpontban; valóban, ha $t = r$, (2) szerint $k = r$; ez esetben a beeső sugarak merőlegesek a tükrökre, minélfogva a fény visszafordulva ugyanazt az utat teszi meg.

Midőn $t = \frac{r}{2}$ tétetik, k végtelen nagy. Ebből következik, hogy ha a fénypont igen közel jut a gyújtóponthoz, a visszavert nyaláb egy folyton távolodó pont felé hajlik össze, míg végre

párhuzamossá válik. Ez utóbbi eset fordul elő a világító tornyok reflektoraiban.

Ha a fénypont még inkább közeledik a tükörhöz, a visszavert nyaláb széthajlóvá válik és ennél fogva megszűnik valódi képet adni, és látszólagos képet ad. Valóban, ha (2)-ben $t < \frac{r}{2}$ tételik, k értékét negatívnak találjuk, mi úgy értelmezendő, hogy k hosszát a tükör ellenkező oldaláról kell számítani, hogy a sugarak meghosszabbításának találkozó pontját megtaláljuk. A fényforrás további folytonos közeledésekor látszólagos képe is közeledik a tükörhöz; a már igen kicsiny távolságokban a görbe tükör végre úgy viselkedik, mint a sík tükör.

40. Ha az FV gyújtótávolságot f -fel jelöljük, úgy (36)

$$f = \frac{r}{2},$$

és a megelőző pont (3) képlete a következő alakot ölti:

$$\frac{1}{t} + \frac{1}{k} = \frac{1}{f}. \quad (3')$$

A képletben rejlő kapcsolat grafikailag is előtűntethető, ha 120° -ú szög (431. ábra) száraitra $OP = t$ és $OQ = k$ hosszakat rámerjük; meghúzáván PQ egyenest, ez a szög felező vonaláról $OF = f$ darabot vág le. Ugyanis, ha $FH \parallel OQ$ meghuzatik, azonnal belátható, hogy

$$\frac{HF}{OQ} = \frac{OP - OH}{OP},$$

s minthogy OFH háromszög szögei egyenlők, még

$$OH = HF = OF,$$

s azért is

$$\frac{OF}{OQ} = 1 - \frac{OF}{OP},$$

vagyis

$$\frac{1}{OQ} + \frac{1}{OP} = \frac{1}{OF},$$

mi nem más, mint (3').

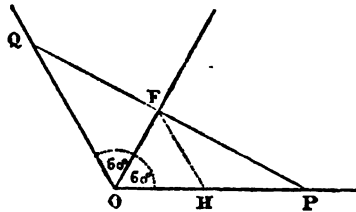
Ha a távolságokat nem a tükörtől, hanem a gyújtóponttól számítjuk, vagyis ha

$\tau = PF = PV - FV = t - f$, $x = QF = QV - FV = k - f$ tétetik, a (3') alatti egyenlet ily alakot ölt:

$$\frac{1}{\tau + f} + \frac{1}{k + f} = \frac{1}{f}$$

vagy

$$\tau x = f^2. \quad (4)$$



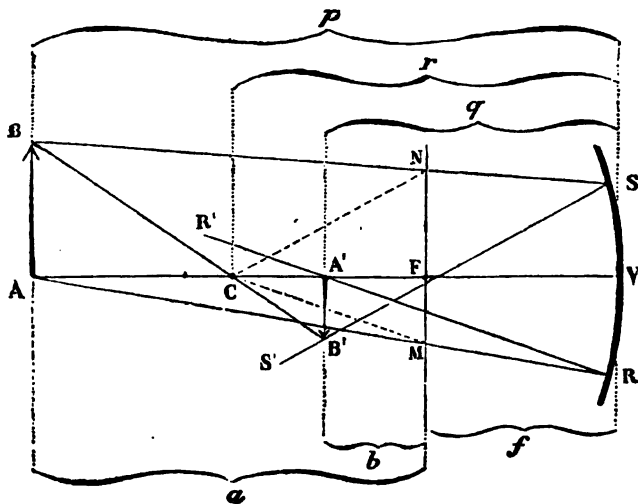
481. ábra. A tárgy és kép helyzete.

Ez a képlet Newton-tólszármazik, amelyből azonnalszembe-
ötlik, hogy τ -nak és x -nak egyenlő előjelűnek kell lenni, és hogy
ennél fogva a két konjugált pont a főgyújtópontnak mindig egy
azon oldalán fekszik, miként ép az imént más úton le is vezettük.

41. Nyilvánvaló, hogy mindaz, mit a három megelőző pont-
ban megállapítottunk, egyaránt érvényes akár a főtengelyen
(36) fekszik a P fénypont, akár azon kívül, mely utóbbi eset-
ben a Q kép a P ponton átmenő melléktengelyen fekszik, és a
két konjugált pont és a tükör közötti t és k távolságok ismét
eleget tesznek a (3) alatti képletnek. Ebből következik, hogy a
 CP sugarú gömbön fekvő különböző pontoknak konjugált pontjai
a CQ sugarú gömbön fekszenek. Ha már most csak olyan pon-
tokat tekintünk, melyek olyan gömbszeleteken fekszenek, me-
lyek csekély nyílásúak és a melyeknek csúcspontja a főtén-
gelybe esik, úgy e szeletek közelítőleg összeesnek érintő síkjaik-
kal, miből következtethetjük, hogy eme síkok egyike minden
pontjának konjugált pontja a másik sík és az illető pont mellék-

tengelyének metszéspontjában fekszik, és hogy ennél fogva az egyik síkra helyezett alaknak képe egy, a másik síkon fekvő hasonló kép, a tükör C középpontja pedig a hasonlóság középpontja. A P és Q pontokban a főtengelyre merőlegesen állított eme síkokat **konjugált síkoknak** nevezzük; a **gyújtó sík** pedig, miként már mondtunk (37), az a sík, mely az F gyújtópontban a főtengelyre merőlegesen van állítva. Ennek a síknak, miként már tudjuk, az a tulajdonsága van, hogy a főtengelyhez közel eső minden pontjából kiinduló nyaláb visszaverődés után az illető pontból húzott melléktengelyvel párhuzamos nyalábbá válik.

42. A mondottak nyomán valamely pontnak konjugált pontját szerkesztés útján igen könnyen meg lehet határozni, és ezután a homorú tükrök képeit megszerkeszteni. Legyen például az AB



432. ábra. Konjugált pontok szerkesztése.

nyíl (432. ábra) a C görbületi középponton kívül, és fekdjék az A végpont a CV főtengelyen. Húzzunk A -ból tetszésszerű AR egyenest, mely az MN gyújtósíkot M -ben metszi. Minthogy a

gyújtósík valamely M pontjából kiinduló minden sugár az MC melléktengelylyel párhuzamosan veretik vissza: A pont képe az RR' egyenes valamely pontjában fog lenni, és mivel még az AN főtengelyen is kell feküdnie, tényleg e két egyenes metszéspontjában, A' -ben fog feküdni, és A' adja A -nak konjugált pontját. Hogy a nyíl másik végpontjának, B -nek, képét is megtaláljuk, hasonlóképen járunk el. U. i. húzunk egy tetszésszerű BS beeső sugarat, S -ből SS' párhuzamosat az NC' melléktengelyhez, mely BS -nek a gyújtósíkkal való N metszéspontján megy át, és oda, a hol SS' metszi a BC melléktengelyt, esik majd B -nek konjugált pontja.

Ebben az esetben a kép valódi, fordított és kicsinyített. Ha a tárgy a C görbületi középpont és az F gyújtópont között fekszik, a kép szintén valódi és fordított, de nagyított volna.

43. A nagyítás, vagyis a kép nagyságának a tárgy nagyságához való viszonya a 38. p. (2) képlete szerint nyilván

$$N = \frac{K}{T} = \frac{A'B'}{AB} = \frac{CA'}{CA} = \frac{r-k}{t-r'}$$

és (3) és (4) figyelembe vételével

$$N = \frac{r}{2t-r} = \frac{f}{t-f} = \frac{f}{\tau},$$

honnét kitűnik, hogy a nagyítást meghatározza a gyújtótávolságnak a gyújtóponttól számított tárgytávolsághoz való viszonya.

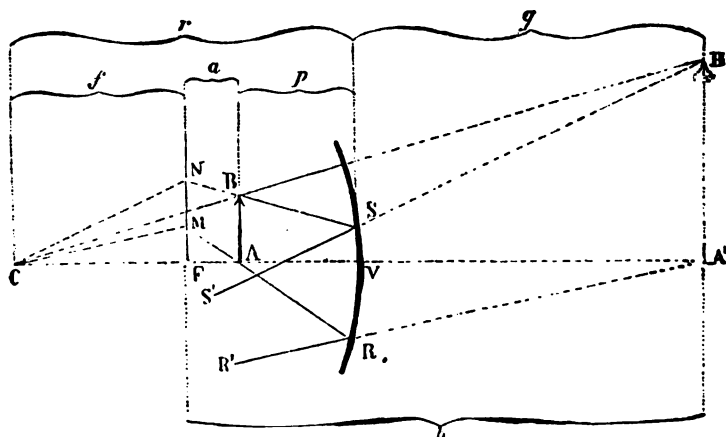
44. Hasonló a szerkesztés abban az esetben, midőn a tárgy a főgyújtópont és a tükör között fekszik, miként a 433. ábrából látható, mely bővebb magyarázatra nem szorul. Ez esetben az $A'B'$ kép látszólagos, egyenes állású és nagyított.

A nagyítás abszolút értéke:

$$N = \frac{A'B'}{AB} = \frac{CA'}{CA} = \frac{CF + FA'}{CF + FA} = \frac{f+x}{f+\tau}$$

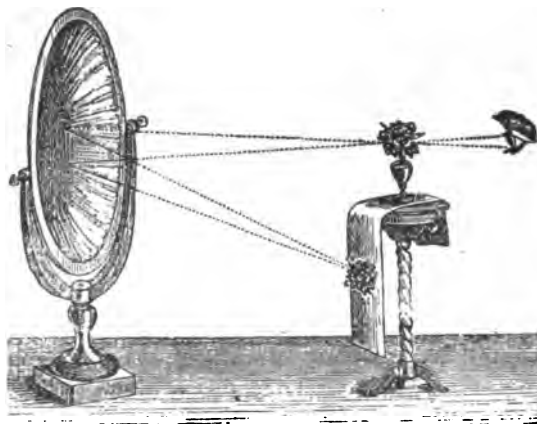
és (4) figyelembe vételével

$$N = \frac{f}{\tau} = \frac{r}{r-2k}$$



433. ábra. Konjugált pontok szerkesztése.

45. Mind e fejtegetések kísérletileg igazolhatók lánggal és papiros ernyővel, melyen a képeket, ha valódiak, felfoghatjuk. A látszólagos képek csak közvetlenül a szemmel figyel-

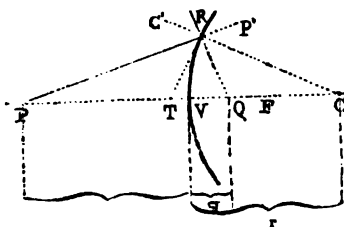


434. ábra. A valódi kép szemléltetése.

hetők meg; a szem a valódi képeket a tükör előtt a levegőben lebegve is láthatja, feltéve, hogy felfogja nyálábját azoknak a

sugaraknak, melyeknek keresztező pontja a képeket létesíti. A 434. ábra az erre vonatkozó előadási kísérletet tünteti elő, és pedig azt az esetet, a mikor a tárgy s a kép a tükörtől egyenlő távolságban, t. i. a görbületi középpontban van.

46. A domború tükrök képlete megegyezik a 38. p. (3) képletével, melyben csak r és k jelét kell ellenkezőre változtatni, mert úgy a C görbületi középpont (435. ábra), mint a P pont Q képe a tükör másik oldalára esik. Valóban, az RT érintő a



435. ábra. Konjugált pontok.

PRQ belsőszöget, a CRC beesési merőleges pedig a PRQ külsőszöget felezi, tehát a PRQ háromszög alapja harmonikusan van osztva; ennél fogva

$$PT : TQ = PC : CQ,$$

és ha itt is felteszszük, hogy T és V megközelítőleg összeesik (38), úgy

$$t : k = (r + t) : (r - k),$$

honnét

$$-\frac{1}{k} + \frac{1}{t} = -\frac{2}{r},$$

a mi bebizonyítandó volt.

Ez a képlet még ekként is írható:

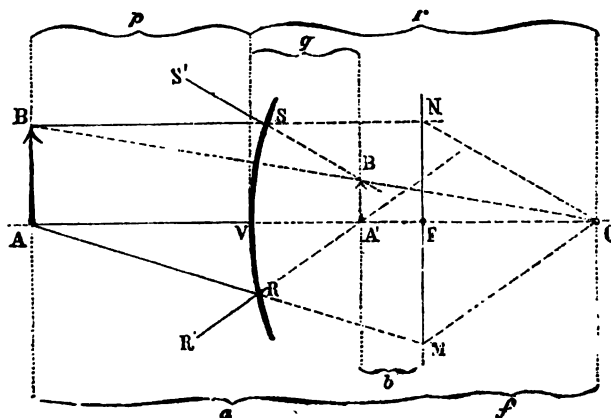
$$k = \frac{r}{2 + \frac{r}{t}},$$

és ezen alakjából rögtön kitűnik, hogy k nem változtathatja meg jelét, és 0-tól $\frac{r}{2}$ -ig megy, ha t a 0-tól ha ∞ -ig növekszik.

A domború tükrökben tehát valamely fénypont képe mindig látszólagos, és a tükör mögött a tükör csúcsától a (szintén látszólagos) gyújtópontig mozdul el, a midőn a fénypont a tükör csúcsától végtelen távolságba megy.

A 40. p. (4) képlete minden módosítás nélkül érvényes a domború tükrökre is.

47. Valamely AB tárgy (436. ábra) $A'B'$ képének megszerkesztése hasonló a homorú tükrök képeinek megszerkesztéséhez (42), s legott látjuk, hogy az $A'B'$ kép mindig egyenes állású



436. ábra. A kép szerkesztése.

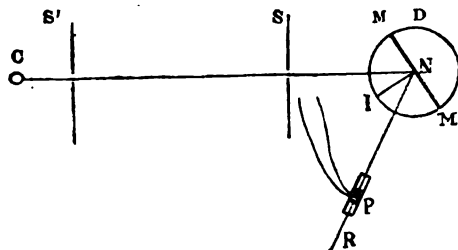
és a tárgynál kisebb. Hogy ezt igazoljuk, csak azokra a tükröző üveggömbökre kell tekintenünk, melyekkel a kerteket díszítik. A nagyítást (43) ez esetben az egységnél kisebb szám, nevezetesen pedig

$$N = \frac{A'B'}{AB} = \frac{r}{2t + r} = \frac{f}{a}$$

fejezi ki.

48. Annak kimutatása végett, hogy a sugárzó energia a **hőhatásokban** is követi a visszaverődés törvényét, ismét a 410. ábrában (2) elötüntetett készülékhez folyamodhatunk, melyhez a jobb

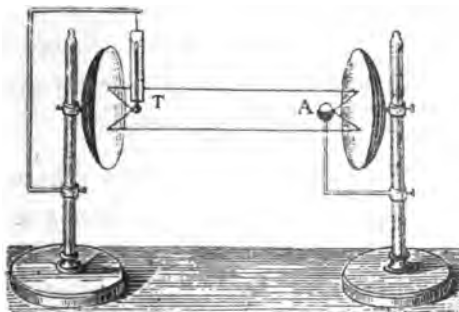
oldalon még egy másik, az N -en (437. ábra) átmenő függélyes, körülforgatható és a P hőelektromos oszlopot tartó NR rúd van kapcsolva. N körül, függélyes állásban maradván, még az MM' tükör is foroghat, melynek NI mutatója a D beosztott körön a beesési merőleges állását jelzi. A C hőforrás és az S és S' er-



437. ábra. A hőhatás kimutatása.

nyők nyílásai vízszintes egyenesben fekszenek ; hogy a galvanométer maximális kitérését figyelhessük meg, kell, hogy az oszlop ugyanazon magasságban és olyan állásban legyen, hogy a tengelye és a beeső CN nyaláb bezárta RNC szöget az NI mutató megfelezze (28).

49. Közvetett bizonyítékot nyújtanak a gyújtótükrök, melyek a Nap felé fordítva a sugarakat egy pontba gyűjtik össze,



438. ábra. Gyújtópont.

s itt gyúlékony anyagokat lángra lobbantanak, és éppen ez oknál fogva nevezzük e pontot gyújtópontnak.

Lehet két homorú tükröt (438. ábra) akként is szemközt fordítani, hogy főtengelyök összeessék ; ha az egyiknek gyújtópontjába, A -ba, izzó vasgolyót teszünk, tapasztaljuk, hogy a hőmérő akkor mutatja a legmagasabb hőfokot, ha golyója a másiknak T gyújtópontjába esik. Gyulékony anyagok T -ben elégnak. Az első tükrő párhuzamos sugarak nyalábját veri vissza (39), mely a második visszaverődés révén a második tükrő gyújtópontjába hajlik össze.

50. A visszavert sugarak intenzitása, úgy a szemre mint a hőmérőre nézve, függ a felületek símaságától (6) és szintén az anyagtól, melyből a tükrő készíttve van.

Valamely anyag visszaverő képességének mértéke a beeső sugarak intenzitásának viszonya a visszavert sugarakéhoz. Rendszerint a beesési szöggel növekszik. Ez a változás rendkívül csekély a fémfelületekre nézve, az átlátszó testekre nézve azonban tetemes, és teljesen ugyanaz, akár a fotométerrel, akár a hőelektromos oszloppal mérjük.

E változással összhangzásban van az a megfigyelés, hogy ha este kivilágított szobában vagyunk, és az ablakokra merőlegesen tekintünk, a külső tárgyakat látjuk, mert ez esetben csaknem minden fény áthatol ; ellenkezőleg, ha ferdén tekintünk, a belső tárgyakat látjuk tükröződni, mert ekkor a sugarakat mintegy belső visszaverődés éri. Így az átlátszó testek visszaverő tehetsége, mely merőleges beeséskor oly gyenge, nagyon ferde beeséskor még a fémekét is felülmúlja.

51. Említettük már, hogy a felületek sohasem oly símak, hogy a fényt nem szórnák szét, a fénynyel pedig együttesen szóródik szét minden irányban a hőhatás is, mit kimutathatunk, ha a 437. ábrabeli (48) MM' tükrő helyett papiroslevelet, ólomfehérrel bevont lapot stb. használunk ; a megfigyelés eredménye, hogy bárminő legyen is az oszlop hajlása a beeső nyalábhoz képest, a galvanométeren mindig van kitérés. Ez a tűnemény némileg bonyolult és törvényei még nincsenek egészen kiderítve.

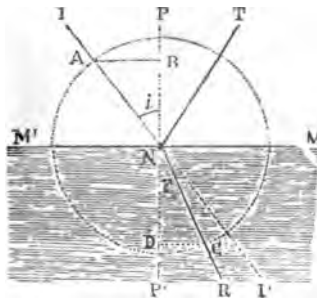
Később még visszatérünk reá; de annyit már is bizvást mondhatunk, hogy mindaz, mit róla tudunk, az optikai és a hőhatásokra egyaránt érvényes.

XXIX. FEJEZET.

SUGÁRTÖRÉS.

52. Valamely sugár egy testből átmegy egy másikba a nélkül, hogy irányától eltérítették, ha az elválasztó felületre merőleges irányt követi. De ha a beeső sugár arra bármiként hajlik, a második testben új irányt követ, melyet **megtörött sugárnak** nevezünk.

Tüntesse elő MM' (439. ábra) a vízszintes síkot, mely a levegőt a víztől elválasztja, és N -be érkezzék az IN beeső sugár,



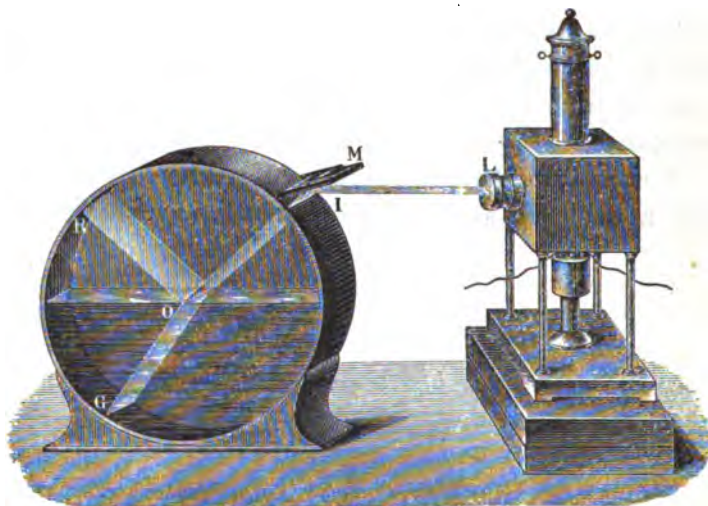
439. ábra. Sugártörés.

mely a PP' beesési merőlegessel (mely a jelen esetben függőleges) az i *beesési szöget* zárja be. A helyett, hogy egyenes vonalban NI' mentén tovább haladna, két sugárra szakad: a visszavert NT sugárra és a megtörött NR sugárra, mely utóbbi az r *törési szöget* alkotja. Midőn a sugár, miként a jelen esetben is,

a beesési merőlegeshez közeledik, azt mondjuk, hogy a második test *erősebben tör*, mint az első; a víz erősebben tör, mint a levegő.

53. A sugártörés törvényei a következők: *A beeső és a megtört sugár és a beesési merőleges egyazon síkban fekszik. A beesési szög sinusának a törési szög sinusához való viszonya független a sugarak hajlásától.*

E törvények azt mondják, hogy ha N -ből mint középpontból kört írunk le, és e körnek és a két sugárnak A és C metszéspontjából a PP' beesési merőlegesre az AB és CD merőlegeseket húzzuk, az $AB : CD$ viszony állandó marad, bármek-



440. ábra. A sugártörés törvényének igazolása.

kora is az INP szög. De változik a két test minősége szerint, úgy szintén a sugárnak azon minősége szerint, mely a szemben a különböző színek hatását kelti, miről később szólunk.

Ennélfogva most meg kell elégednünk a törvénynek némileg durva, előadásbeli beigazolásával; de nem fogjuk annak idején elmulasztani, hogy megmutassuk, miként lehet igen nagy szigorúsággal kimutatni.

Az előadásbeli kísérlethez való készüléket a 440. ábra mutatja. Az egész egy dob, melynek egyik lapja üveg, és a melyen keskeny rés van, ez előtt pedig az M tükörnek alkalmas hajlást adhatunk, hogy egy fénynyalábot a réstől az O középpont felé irányítsunk. Ez a beeső nyaláb, mely a víz felületére érkezvén, az OR visszavert és az OG megtörött nyalábot létesíti, melyeket akként teszünk láthatókká, hogy a vízbe néhány csepp tejet keverünk, a levegőbe pedig kevés szivarfüstöt fúvunk.

Az O középponttal szemközt tartott függő ón megjelöli a beesési merőleges irányát, és az R és G pontoktól való távolságainak viszonya a sinusok viszonya, melyet állandónak találunk, ha az IO sugárnak akármi más hajlást adunk is oly módon, hogy a dobot az alapján forgatjuk és az M tükörnek a kellő hajlást adjuk.

54. Valamely közegből erősebben törő közegbe átmenő adott sugár beesési szöge sinusának a törési szöge sinusához való állandó viszonyát a két közeg **viszonylagos törésmutatójának** mondjuk; értéke ez esetben nagyobb az egységnél s így írható:

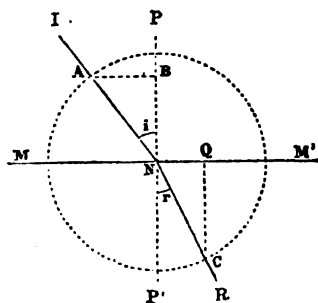
$$n = \frac{\sin i}{\sin r}. \quad (1)$$

A levegőre és vízre vonatkozó törésmutató körülbelül $\frac{4}{3}$, a levegőre és üvegre vonatkozó körülbelül $\frac{3}{2}$, a gyémántra vonatkozó, mely valamennyi között a legnagyobb, $\frac{11}{4}$; a következőkben meg fogjuk adni a pontos értékeket (170).

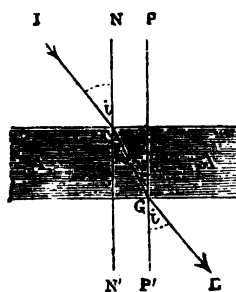
Ha adva van a törésmutató és a beesési szög, az (1) kifejezés segítségével kiszámíthatjuk a törési szöget, vagy pedig megszerkeszthetjük a következő módon, mely egyszerű folyamánya az 53. pontban mondottaknak. Az N pontból (441. ábra), melyben az IN beeső sugár a két közeg MM' elválasztó felületét éri, mint középpontból kört rajzolunk, melynek a beeső sugárral való A metszéspontjából a PP' beesési merőlegesre az AB merőlegest emeljük; ezután N -ből kiindulva NQ hosszt rakjuk fel, mely ekként van meghatározva:

$$NQ = \frac{AB}{n},$$

vége Q -ból a beesési merőlegessel párhuzamos QC -t húzzuk. Ez a kört C pontban éri, s ezen kell átmennie a megtörött sugárnak.



441. ábra. A törés szögének szerkesztése.



442. ábra. Törés párhuzamos lapokon.

55. Mikor a sugár gyengébben törő közegbe hatol, mikor például vízből levegőbe lép, a beesési szög sinusának a törési szög sinusához való viszonya kisebb az egységnél és *viasszás mutatónak* vagy *viasszafordulásbeli mutatónak* neveztetik.

Az n törésmutatónak és az n' viasszás mutatónak szorzománya egyenlő az egységgel: $nn' = 1$. Ennek kimutatására előrebocsátjuk, hogy ha sík és egymással párhuzamos lapoktól határolt lemezen át valamely távolfekvő pontra, például csillagra tekintünk, ez a pont nem látszik elmozdultnak. Ebből következtetjük, hogy a lemezből kilépő sugarak párhuzamosak a beesőkkel. Így tehát IFN szög (442. ábra) egyenlő $P'GE$ szöggel. De egyenlők az NN' és PP' beesési merőlegesek között levő belső váltó szögek is. A két mutató tehát:

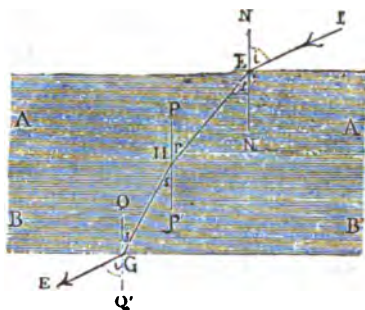
$$n = \frac{\sin IFN}{\sin N'FG} = \frac{\sin i}{\sin r}, \quad n' = \frac{\sin FGP}{\sin P'GE} = \frac{\sin r}{\sin i},$$

mely értékek, ha a megfelelő tagokat sokszorozzuk, a bebizonyítandó kapcsolatot adják. Ha tehát a sugár E -ből jövet G felé irányul, először GF , azután pedig FI mentén halad.

Ez az eset különös esete az úgynevezett **kölcsönösség törvényének**, mely minden sugárzásbeli tüneményre kiterjed, s a melyet így fejezhetünk ki: *ha valamely sugár bizonyos adott testeken való áthatolásában meghatározott útát követ, ugyanezt az útát követi az ellenkező irányban való haladásában is.*

56. Valamely anyag **abszolút törésmutatója** a légüres térből érkező sugárra vonatkozik. Könnyen levezethetjük azt a kapcsolatot, mely két anyag abszolút és viszonylagos törésmutatója között van.

Legyen egymásra téve két réteg, AA és BB (443. ábra), melyeket párhuzamos síkok határolnak; fölöttük és alattuk legyen légüres tér. Abszolút törésmutatóik legyenek x és y , viszonylagos mutatójuk pedig legyen n . A kilépő GE nyaláb, miként az előbb, párhuzamos az IF be-



443. ábra. Törésmutatók kapcsolata.

esővel, tehát (55) szerint

$$x = \frac{\sin i}{\sin r}, \quad n = \frac{\sin r}{\sin s}, \quad \frac{1}{y} = \frac{\sin s}{\sin i},$$

mely értékekből kapjuk, ha a megfelelő tagokat sokszorozzuk,

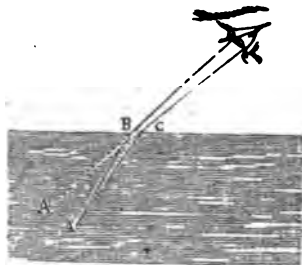
$$\frac{xn}{y} = 1 \quad \text{és} \quad n = \frac{y}{x},$$

vagyis az egyik közegből a másikba való átmenet viszonylagos mutatója egyenlő a második közeg abszolút mutatójával, osztva ezt az első közegével. Másrészt, mivel minden mérés a levegőben történik, valamely testnek a levegőre vonatkoztatott mutatójából (n) abszolút mutatóját (y) megkapjuk, ha az előbbenit a levegő abszolút mutatójával (172) megsokszorozzuk.

57. A sugártörés miatt a folyadékokba merített tárgyak elmozdultaknak látszanak, mert például az A' pontból (444. ábra)

kiinduló sugarak nagyobb hajlással lépnek ki a folyadékból, és a szem, mely őket felfogja, A pontba helyezi vissza (28). Ez az oka, hogy üres tál fenekére tett pénzdarab emelkedni látszik, ha föléje vizet öntünk; ugyanezen oknál fogva a pálcza, ha egy része vízbe merül, töröttnek látszik.

Hasonlóképen valamely csillag sugarainak, hogy hozzánk eljussanak, a légüres térből folyton erősödő törésű levegőrétegeket kell átjárniok, ennél fogva folytonos eltérítésben részesülnek,



444. ábra. A tárgyak látszólagos helyzete.

és a földfelülethez homorúan hajló görbe vonalakat írnak le. Szemünk azután úgy ítél, hogy a csillag a görbének szemünkhöz érkező pontjához húzott érintőben fekszik, tehát a zenit felé eltolva látjuk. A légköri sugártörés ilyen hatások okozzák, hogy a Napot már kevés-
sel a kelte előtt látjuk, és látjuk még valamivel a lenyugvása után is, hogy a hegyeket magasabbak-

nak véljük a valóságnál, hogy néha a messzefekvő tárgyakat, melyeket más közbenfekvő tárgyak miatt (60) közvetlenül nem láthatunk meg, a levegőben lebegni látjuk.

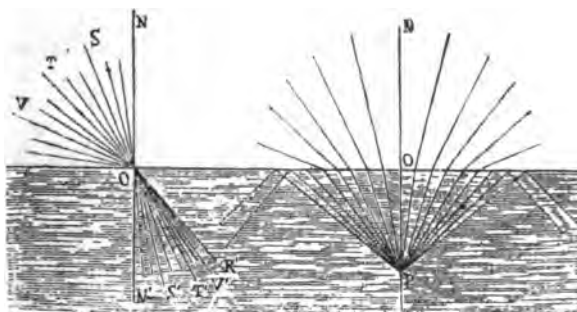
Minthogy továbbá a légkör folytonosan hullámszik, a sugarak útja is folytonosan változik, s némelyek ezzel igyekeznek megmagyarázni a nekünk csak pontoknak látszó csillagok szikrázását. A bolygók ellenben nem szikráznak, mert korongoskának mutatkoznak, a melyeknek terjedelme jóval nagyobb a légköri sugártörés okozta eltolódásoknál. Később (192) valószínűbb magyarázatot fogunk előterjeszteni.

Párhuzamos síkaktól határolt lemezek is, mindamellett, hogy minden sugarat a beesés irányával párhuzamos irányban eresztenek át, feltűnő eltolódást hoznak létre, mit a törés törvényeivel könnyű megmagyarázni.

58. A sugártörésnek

$$\sin i = n \sin r \quad (1)$$

képletéből (54) következik, hogy $i = 0$ érték mellett r is $= 0$, hogy tehát az ON' megtört sugár (445. ábra) a beeső NO sugárral egyazon egyenesbe esik. A képlet még azt is mondja, hogy a törési szög (r) a beesési szöggel (i) együttesen növekszik, de emennél mindig kisebb marad, feltéve, hogy a második közeg erősebben töri (52) a fényt az elsőnél. Ha már most i szög



445. ábra. Határszög.

446. ábra. Teljes visszaverődés.

0-tól 90° -ig növekszik, miként az ábra mutatja, r szög bizonyos maximális $N'O'R = \rho$ értéket ér el, melyet (1)-ből nyerünk, ha benne $i = 90^\circ$ tétetik, azaz

$$\sin \rho = \frac{1}{n}.$$

A törési szögnek ezt a maximális értékét **határszögnek** nevezzük. Levegőre és vízre nézve $48^\circ 35'$, mert $n = \frac{4}{3}$; levegőre és közönséges üvegre nézve mintegy 42° , mert n körülbelül $= \frac{3}{2}$ (54).

59. Látjuk tehát, hogy a sugárzó energia, legalább részben, minden beeséskor mindig átmegy a levegőből az üvegbe, de az ellenkező átmenetnek csak akkor van helye, ha a beeső sugár a merőlegessel a határszögnél kisebb szöget zár be. Ha ennél

nagyobb, a teljes visszaverődés tüneménye jön létre, vagyis a víztől visszavert sugár erőssége, mely a beesési szöggel növekszik (50), utóvégre a beeső sugárnak egész erősségére tesz szert.

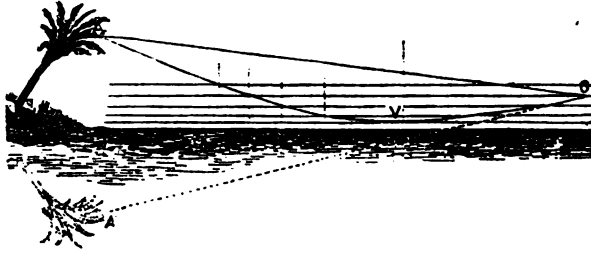
Innét van, hogy a vízben levő valamely P fénypontból (446. ábra), mely a fényt minden irányban árasztja, a PN merőlegeshez közel eső sugarak nagyobb erősséggel lépnek ki a levegőbe, mint a távolabb esők, és a víz felszínén egy O középpontú kör keletkezik, a melyen kívül fény nem léphet ki. Fordítva is (55), a víz alatt levő valamely szem az összes külső tárgyakat úgy látja, mintha egy kúpon belül volnának összegyűjtve, mely kúp csúcshöze (58) szerint $2\rho = 97^\circ$.

60. Ha a közeg teljesen átlátszó, a teljes visszaverődés rendkívül élénk fényességgel jár. Így az üvegben levő repedés ezüst szalagocskának látszik; vízbe merített üres kémcső fényesebb a higanynyal megtöltötnél; folyadékokban levő levegőbuborékok élénken ragyognak. Ugyancsak a teljes visszaverődésnek tulajdonítandó a habnak, a hónak, a porrá tört üvegnek s általában mindazon átlátszó testeknek fehérsége, melyek porrá törve átlátszóságukat elvesztik. De visszanyerik, ha vízzel, vagy még inkább, ha erősen törő olajokkal megnedvesítettnek.

A teljes visszaverődés tüneménye a sugártöréssel társulva, létre hozza a **fata morgánát**, mely Reggióban és Calabriában, némely őszi reggelen láthatóvá teszi a Siciliában levő épületeket, oszlopokat s egyéb tárgyakat.

Ugyanígy származik a **légtükrözés**, mely az afrikai sivatagokon vizet láttat, a melynek felületén a távol fekvő tárgyak fordított képei tükröződnek. A forró homokot nyaldosó levegő megritkul s felemelkedik, de eme mozgás mellett is megeshetik, hogy lent melegebb marad mint fent. A magasan fekvő pontoktól, a felhőktől vagy az égtől jövő sugarak mindinkább gyengülő törékenységgű rétegeken hatolnak át s a beesési merőleges-

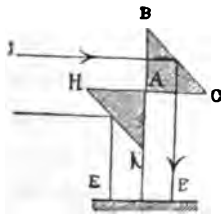
től mindinkább távoznak, elannyira, hogy végre teljes visszaverődésben részesülnek. A fény tehát a földfelülethez domborúan



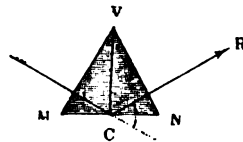
447. ábra. Légtükrözés.

hajló görbe vonalban terjed és alulról érkezik a megfigyelőnek szemébe, *O*-ba (447. ábra). Hasonló oka van a *déli*bábnak is.

61. A teljes visszaverődésnek jó hasznát vesszük mindakkor, midőn a fényt gyengítetlenül akarjuk eltéríteni; ilyenkor háromszög-keresztmetszetű üveghasábokhoz folyamodunk. Az *ABC* derékszögű és egyenlőszárú háromszög (448. ábra) egy ilyen hasábnak merőleges átmetszete. A beeső *I* sugár az *AB* első lapot eltérés nélkül lépi át és visszaverődés miatt csak vajmi



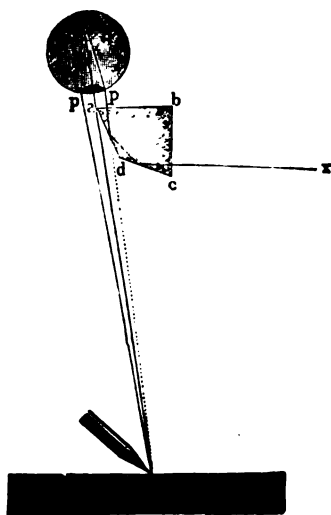
448. ábra. Üveghasáb.



449. ábra. Egyenlőoldaltú hasáb.

kevésbé gyengül (50), ellenben a második lapon, *BC*-n, teljesen visszaverődik, mert 45° alatt, tehát a határszögnél (58) nagyobb szög alatt esik reá; végre a harmadik lapon, vagyis *AC*-n át merőlegesen lép ki.

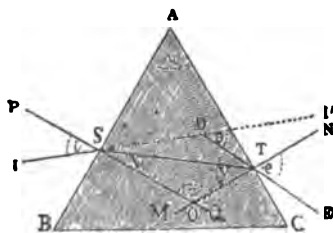
Hogy megmutassuk, hogy az E sugár mennyivel intenzívebb a közönséges visszaverődéssel eltérített sugárnál, egy második derékszögű hasábot, HAK -t, szorosan az első hasáb mellé akként helyezünk el, a mint a 448. ábra mutatja; ezután a két hasábra napsugárnyalábot vetünk és a megvilágításbeli különbséget az EE' -be helyezett ernyőn figyeljük meg.



450. ábra. Világos kamara.

Ha a hasáb merőleges átmetszete egyenlőoldalú (449. ábra), az M lapra merőlegesen beeső I sugár az MN lapon 60° -ú szög alatt teljes visszaverődésben részesül, és merőlegesen esik a harmadik lapra, melyen át az eredeti irányával 60° -ú szöget alkotva, lép ki.

A teljes visszaverődésű hasábok mint **világos kamarák** (camera lucida) alkalmazhatók a tárgyak lerajzolására. E végből a pupillát oly közel tartjuk a hasáb éléhez, hogy fele része közvetlenül foghassa fel az íróon csúcsából (450. ábra) kiinduló sugarakat, a másik fele pedig az $abcd$ hasábból kétszeri teljes visszaverődés után kilépő nyalábot fogja fel.



451. ábra. Sugártörés a hasábban.

62. Lássuk most, hogy miként térítettik el az olyan sugár, mely a hasáb második lapjára a határszögnél kisebb szög alatt esik s ennél fogva a levegőbe kilép.

Az IS beeső sugár (451. ábra) fekdűjék a hasáb merőleges metszetében, BAC -ben; első ízben való törésekor a PQ beesési merőlegeshez

közeledik és a hasábban ST irányban halad; ezután egy második törésben részesül, melyben az MN második beesési merőlegestől távolodva a TE irányt követi, úgy, hogy a sugár eltérítése (deviatio) az EDI' szöggel van meghatározva. És azonnal látjuk, hogy a sugár a hasáb A törő élétől távozik, BC alapjához pedig közeledik, úgy, hogy az E -ben levő szem a sugárzó pontnak a csúcs felé felemelt látszólagos képét (28) látná.

A δ eltérítés függ az n törésmutatótól, a v törőszögtől és az i beesési szögtől. Valóban, az SDT háromszögre nézve

$$\delta = (i - x) + (e - y) = i + e - (x + y).$$

De ha úgy $x + y$ -hoz, mint v -hez z -t adjuk, két derékszöget nyerünk, ennél fogva

$$x + y = v \quad (1)$$

és

$$\delta = i + e - v. \quad (2)$$

Ezek az egyenletek és az S és T -ben való törésre vonatkozó

$$\left. \begin{aligned} \sin i &= n \sin x \\ \sin e &= n \sin y \end{aligned} \right\} \quad (3)$$

egyenletek teljesen meghatározzák nem csupán a δ eltérítést, hanem még e , x és y -t is, feltéve, hogy n , v és i ismeretes.

63. Ugyanezen egyenletekből, némileg bonyolódott számítás útján, arra az eredményre jutunk, hogy ha az i beesési szöget folytonosan változtatjuk, vagy a mi egyre megy, ha a hasábot mindig egyazon irányban forgatjuk, a δ eltérítés kisebbedik, elér egy bizonyos minimumot, s ezután ismét növekszik. És kimutatható, hogy az eltérítés minimuma akkor áll be, midőn

$$i = e, \text{ tehát ha } x = y,$$

vagyis midőn a belépő a kilépő sugár a hasáb A csúcsára vonatkozólag szimmetrikus.

Ebben a különös esetben (1)-ből

$$2x = v,$$

és (2)-ből:

$$\delta = 2i - v,$$

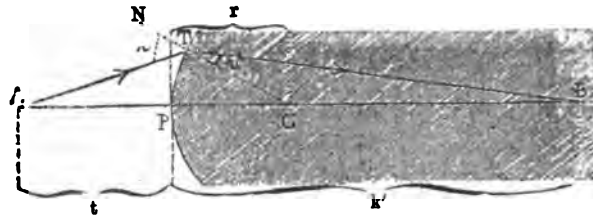
mely értékekre nézve keletkezik a (3) alatti egyenletekből

$$n = \frac{\sin \frac{1}{2}(\delta + v)}{\sin \frac{1}{2}v}, \quad (4)$$

mely egyenletet a törésmutatók meghatározásakor rendszerint használjuk, mert a minimális eltérés és a törő szög nagyobb szabatsággal mérhető, mint a beesési és a törési szög.

64. Ha a sugártörés törvényének eme folyományait igazolni akarjuk, különösen pedig, ha a törésmutatók méréséhez hozzálátunk, új jelenséggel fogunk találkozni: a Nap fehér sugarai a hasábból színesen lépnek ki. Ha egyszerűség kedvéért ezt a tűneményt egyelőre figyelmen kívül akarjuk hagyni, fényforrásul a sós borszesznek sárga lángját alkalmazhatjuk, vagy pedig a heliostat (31) nyílása elé vörös üveget teszünk.

65. A sugártörés törvényei (53) akkor is érvényesek, midőn a két közeg elválasztó felülete görbe, mely esetben a beesési és a törési szögeken azokat a szögeket értjük, melyeket a beeső és a megtört sugarak a felületnek a beesés pontjában emelt normálisával bezárnak.



452. ábra. Sugártörés görbe felületen.

Tegyük fel, hogy a fénysugarak levegőből üvegbe haladnak egy olyan gömbfelületen keresztül, melynek görbületi középpontja C. (452. ábra). Vegyünk figyelembe egy nyalábot, melynek sugarai egyazon pontból indulnak ki, vagy a mint mondani szokás, egy *homocentrikus nyalábot*. Az A sugárzó pontból kiinduló szám-

talán sugár közül a középpont felé haladó sugár a gömbbe a P ponton át lép a nélkül, hogy eltérítették. Egy másik, ATN_i szög alatt belépő nyaláb az üvegben TB irányt vesz fel; $CTB = r$ törési szögére nézve áll (56):

$$\frac{\sin i}{\sin r} = \frac{n_2}{n_1} = n, \quad (1)$$

hol n_1 és n_2 az első, illetőleg második közegnek, tehát a mi esetünkben a levegőnek és az üvegnek abszolút törésmutatója, n pedig az üvegnek a levegőre vonatkozó mutatója.

Az ATC , CTB és ATB háromszögek a következő egyenlőségeket szolgáltatják:

$$\frac{\sin ATC}{\sin TAC} = \frac{CA}{CT}, \quad \frac{\sin CBT}{\sin CTB} = \frac{CT}{CB}, \quad \frac{\sin TAC}{\sin CBT} = \frac{TB}{TA},$$

melyekből, ha a megfelelő tagokat összeszorozzuk, ered:

$$\frac{\sin ATC}{\sin CTB} = \frac{CA}{CB} \cdot \frac{TB}{TA}.$$

De ATC szögnek és az i beesési szögnek egyenlő sinusuk van, tehát (1) figyelembe vételével:

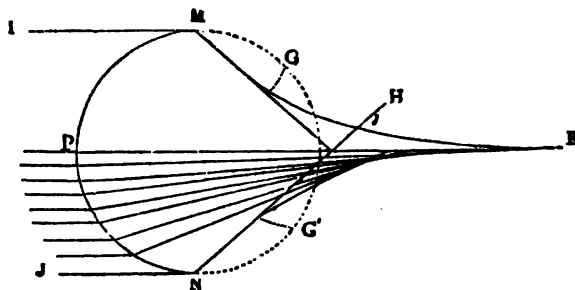
$$\frac{\sin i}{\sin r} = \frac{n_2}{n_1} = \frac{CA}{CB} \cdot \frac{TB}{TA},$$

és szintén

$$\frac{n_2}{n_1} \cdot \frac{CB}{CA} = \frac{TB}{TA}. \quad (2)$$

66. Ez az egyenlet a megtört sugarak grafikai meghatározására szolgálhat, és mutatja, hogy a T beesési pont változásával B pont általában véve elmozdul, úgy, hogy az A -ból származó megtört sugarak nem egyetlen pontba futnak össze, hanem forgásfelületeken (diakausztikus felületeken) metszik egymást, melyek hasonlóak a gömbtükrőknél említett (*katakausztikus*) gyújtófelületekhez (36). Megfigyelhetjük őket egy vízzel telt pohár fenekén, ha a poharat a napsugarak felé fordítjuk. A GFG' görbe vonal (453. ábra) azon kausztikus felületnek tengelymenti

metszetét mutatja, mely az MPN törő felületen átmenő $IMJN$ párhuzamos nyalábtól származik. Az F csúcshoz találkoznak a **centrális sugarak**, melyek a felületet merőlegesen vagy csaknem merőlegesen érték.



453. ábra. Sugártörés görbe felületen.

67. Ha gondunk van rá, hogy a sugarak a felületre csak csekély szögek alatt essenek, azaz hogy a beesési pontok, mint T (452. ábra), igen közel legyenek P -hez, a megtört sugarak mindegyike megközelítőleg B -be fog jutni; ekkor az $AT - AP$ és $BT - BP$ különbségek elhanyagolhatók, minélfogva a (2) alatti képlet megközelítőleg ezt az alakot ölti:

$$\frac{n_2}{n_1} \cdot \frac{CB}{CA} = \frac{BP}{AP},$$

vagy pedig, ha $CP = r$, $AP = t$ és $BP = k'$ tétetik;

$$\frac{n_2}{n_1} \cdot \frac{k' - r}{t + r} = \frac{k'}{t}, \quad (3)$$

mely alak egyértékű a következővel:

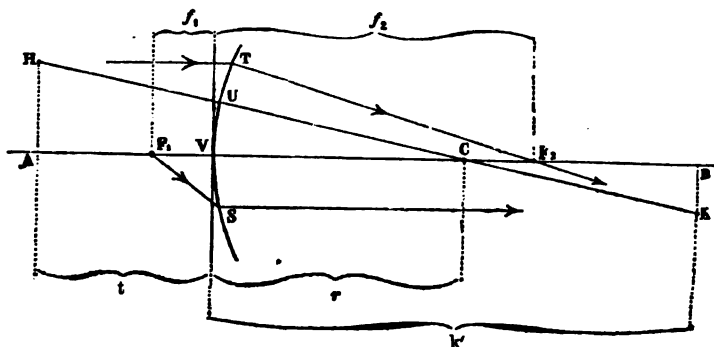
$$\frac{n_1}{t} + \frac{n_2}{k'} = \frac{n_2 - n_1}{r}. \quad (4)$$

Innét kitűnik, hogy k' értéke független a sugarak különböző hajlásától, minélfogva valamely A pontból kiinduló sugarak egyazon B pontban futnak össze, mit akként szoktunk kifejezni, hogy a **homocentrikus sugarak homocentrikusak maradnak, midőn valamely sugártörő gömbfelületen mennek át, feltéve, hogy a beesési szögek igen kicsinyek.**

Ha a beeső sugarak B -ből indulnának ki, a kölcsönösség törvényénél (55) fogva a törés után A -ban kereszteznék egymást. E két pontot **konjugált pontnak** nevezzük, és a (4) alatti egyenletet, mely a gömbfelületről való t és k' távolságait összefüzi, a konjugált pontok *minta-egyenletének* mondjuk.

68. Ez az egyenlet érvényes, bárminő is az A sugárzó pontnak a gömbfelületre vonatkozó helyzete, feltéve, hogy a sugarak, melyek e felületre esnek, ezt csaknem merőlegesen érik.

Minden más, a törő felületről ugyanazon $UH=t$ távolságban levő H pontnak (454. ábra) konjugált pontja (K) a HC -centrális sugáron, és pedig az $UK=k'$ távolságon fekszik.



454. ábra. Sugártörés görbe felületen.

Látjuk tehát, hogy a valamely gömbszelethez tartozó pontoknak képe egy másik gömbszeleten fekszik. De ha azt akarjuk, hogy az erre a következményre vezető (4) alatti egyenlet érvényes maradjon, kell, hogy ezek a gömbszeletek csekély nyílásúak legyenek, a minthogy csekély nyílásúnak kell lennie a TS gömbszeletnek is, mely a sugártörést létesíti. Ilyetén megszorítások mellett a gömbszeleteket érintő síkjaikkal helyettesítve képzelhetjük, mi nem fog észrevehető hibákra vezetni.

A törő felület ily módon vissza lévén vezetve egy csekély nyílású gömbszeletre, ha ennek tengelyéül a csúcától (V) és a görbületi középpontjától (C) meghatározott egyenest vesszük,

mondhatjuk, hogy *a tengelyre merőleges valamely sík minden pontjának képe egy másik, a tengelyre szintén merőleges síkban fekszik*. Két ilyen természetű síkot, hogy az egyiknek mindegyik pontja a másik sík egy pontjának a konjugáltja, **konjugált sík**nak nevezünk.

69. Jelöljük f_1 -gyel azt az értéket, melyet t -re nézve nyerünk, ha (4)-ben $k' = \infty$ tétetik, úgy

$$\frac{n_1}{f_1} = \frac{n_2 - n_1}{r}, \quad (5)$$

és f_2 legyen k' -nek az az értéke, mely $t = \infty$ -nek felel meg, ekkor

$$\frac{n_2}{f_2} = \frac{n_2 - n_1}{r}. \quad (6)$$

A V csúcstól számított

$$f_1 = \frac{n_1 r}{n_2 - n_1} \quad (5a)$$

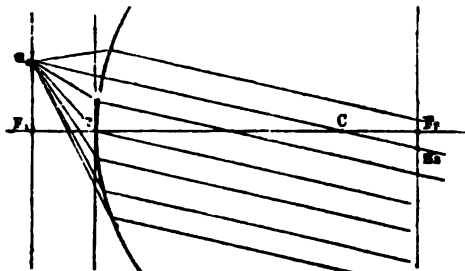
távolság meghatározza a CV tengelyen azt a helyet, melyen az A fénypontnak lennie kell, hogy a megtört sugarak egyesülési pontja végtelenben legyen, azaz hogy a tengellyel párhuzamos nyalábot alkossanak. Ezt a helyet F_1 -gyel fogjuk jelölni és **első gyújtópont**nak fogjuk nevezni.

A V -től a második közeg felé számított

$$f_2 = \frac{n_2 r}{n_2 - n} \quad (6a)$$

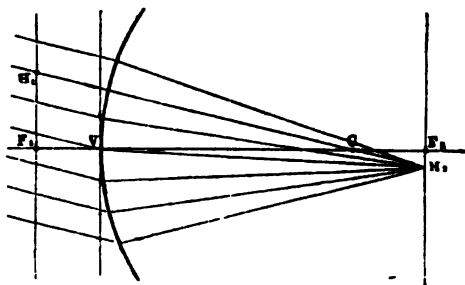
távolság ellenben meghatározza a VC tengellyel párhuzamosan beeső nyalábnak a törés után való F_2 egyesülési pontját. E pontot **második gyújtópont**nak nevezzük.

Az F_1 -ban és F_2 -ben a tengelyre merőlegesen emelt síkokat **első**, illetőleg **második gyújtósík**nak fogjuk nevezni. Az első gyújtósíkon fekvő H_1 fénypontból (455. ábra) kiinduló sugarak a törés révén párhuzamosakká válnak a H_1C egyenes-sel, mely a fénypontot a középponttal köti össze a H_1C -vel



455. ábra. Első gyújtósnak.

(456. ábra) párhuzamosan beeső nyaláb pedig oly nyalábot hoz létre, mely ezen egyenesnek és a második gyújtósnak H_2 metszéspontjába hajlik össze.



456. ábra. Második gyújtósnak.

70. Az F_1V első gyújtótávolság úgy viszonylik a másodikhoz, F_2V -hez, mint az első közeg törésmutatója a második közegéhez, mi a megelőző egyenletek megfelelő tagjainak osztásából közvetlenül folyik:

$$\frac{f_1}{f_2} = \frac{n_1}{n_2}; \quad (7)$$

ha pedig a megfelelő tagokat kivonjuk, a gyújtótávolságok különbségeül a görbületi sugár hosszát nyerjük:

$$f_2 - f_1 = r. \quad (8)$$

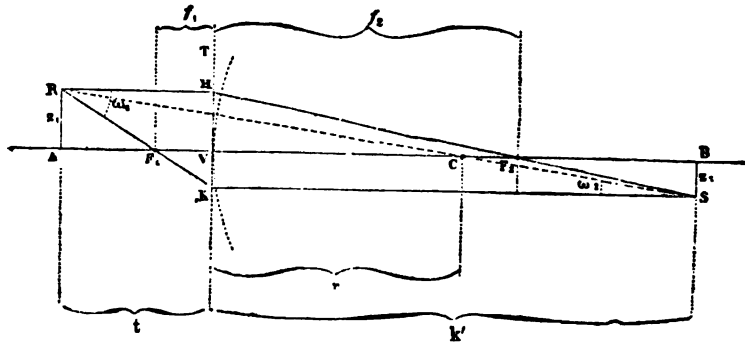
A konjugált pontok (4) alatti egyenletének könnyű szerivel

adhatunk még más, néha kényelmesebb alakot. E végből minden tagot elosztjuk az egyenlet jobb oldalán levő taggal és azután (5a) és (6a) szerint helyettesítjük a gyújtótávolságokat, mi a következő képletre vezet:

$$\frac{f_2}{k'} + \frac{f_1}{t} = 1, \quad (4a)$$

melyről megjegyzendő, hogy a gömbtükrök képletébe (38) megy át, ha benne $f_2 = f_1 = \frac{r}{2}$ tétetik.

71. A képek megszerkesztésére térve át, megjegyezzük, hogy a mennyiben a gömbszeleteket érintő síkjaikkal helyettesíthetjük (68), nem szükséges, hogy az ábrákban a főtengelyeket megrajzoljuk, s elegendő, ha a főtengelyre merőleges egyenesekkel tüntetjük elő. Így a 457. ábrában a TV egyenes elő-



457. ábra. A kép megszerkesztése.

tüntetheti a gömbfelületet, mely a két közeget elválasztja; F_1 és F_2 a két gyújtópontot tünteti elő. Hogy a főtengelyen kívül eső R pont képét megszerkesztjük, húzzuk meg a tengellyel párhuzamos RH -t; ez olyan sugarat tüntet elő, mely törés után átmegy az F_2 második gyújtóponton, s ezen a HF_2 sugáron kell lennie a keresett képnek; ezután húzzuk meg a RF_1 sugarat, mely K -ban megtörvén, a tengellyel párhuzamos KS sugárrá

válík, melyen szintén rajta kell lenni a képnek, mely tehát S -ben lesz, minek mintegy a próbája, hogy az S -t R -rel összekötő egyenes a C középponton megy át. A tengelyre merőlegeket húzva, SB adja RA képét.

72. Az ACR és BCS hasonló háromszögekből

$$\frac{AR}{BS} = \frac{CA}{CB} = \frac{CV + VA}{VB - CV}$$

és a nagyítás, vagyis a kép K nagyságának viszonya a tárgy T nagyságához,

$$N_t = \frac{K}{T} = \frac{k' - r}{t + r},$$

és a **67.** p. (3) képlete és a **70.** p. (7) képlete révén :

$$\frac{K}{T} = \frac{n_1 k'}{n_2 t} = \frac{f_1 k'}{f_2 t}, \quad (9)$$

és szintén a **70.** p. (4a) képlete révén :

$$\frac{K}{T} = \frac{k' - f_2}{f_2} = \frac{f_1}{t - f_1}. \quad (10)$$

73. Legyen az RH és RK beeső sugaraktól bezárt szög ω_1 , a megfelelő HS és KS megtörött sugaraktól bezárt szög pedig ω_2 ; az RKH és SKH derékszögű háromszögek a következő egyenlőségeket adják :

$$HK = HR \tan \omega_1 = KS \tan \omega_2;$$

tekintve, hogy $HR = VA = t$ és $KS = VB = k'$ és figyelembe véve még a (9) alatti képletet, következik, hogy :

$$\frac{\tan \omega_1}{\tan \omega_2} = \frac{k'}{t} = \frac{n_2 K}{n_1 T}. \quad (11)$$

A sugarak összehajlása és a nagyítás közötti eme kapcsolatnak a következőkben hasznát fogjuk venni.

74. Mielőtt tovább mennénk, helyén való, hogy megállapodjunk az iránt, hogy a különböző esetekben minő jelekkel lássuk el a hosszakat, melyek a gömbfelületen át való törésre vonatkozó képletekben előfordulnak.

1. Eddigélé feltettük, hogy a felület a domborúságát fordítja a beeső sugarak felé, és az r görbületi sugarat hallgatagon pozitív mennyiségnek tekintettük. Ha tehát olyan felületről fogunk szólni, mely homorúságát fordítja a beeső sugarak felé, r helyett $-r$ irandó.

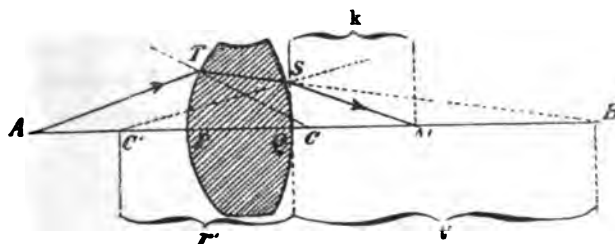
2. Mindig feltettük, hogy a beeső fény egy a gömb előtt levő pontból hajlik szét, és a fénypontnak a gömbfelületről való távolságát a t pozitív számmal fejeztük ki. De képzeljük az ellenkező esetet, azaz hogy a felületre összehajló nyaláb esik, minőt például egy gömbtükör szolgáltat. Ekkor azt szoktuk mondani, hogy a fénypont *látszólagos* (virtuális), mert a fény a valóságban nem belőle indul ki, hanem feléje fut össze; ez az egyesülési pont a második közegben fekszik, tehát a megelőző képletekben t helyett $-t$ irandó.

3. A k' pozitív számmal eddigélé a felület és a második közegben megtört sugarak egyesülési pontja közötti távolságot jelöltük; de ha a sugarak széthajlók volnának, a k' negatív szám fejezi ki a felületnek távolságát e sugarak meghosszabbításának egyesülési pontjától, vagyis a fénypontnak látszólagos képétől.

4. A T és K pozitív számok, melyekkel a tárgy egyik méretét és képének homolog méretét fejeztük ki; arra az esetre vonatkoztak, hogy a kép a tárgyhöz képest meg van fordítva. Ha tehát e méreteket ellenkező jelű számértékekkel fogjuk kifejezve találni, ebből majd azt következtetjük, hogy kép és tárgy a tengelynek egyazon oldalára van fordítva.

75. Ezek után tekintsük most azt az esetet, melyben az n_1 törésmutatójú közegből kiinduló és az r sugarú gömbi felületen át az n_2 törésmutatójú második közegbe törött fény e közegből kilép, és pedig r_1 sugarú homorú gömbi felületen át lép ki egy harmadik közegbe, melynek mutatója $n_3 < n_2$. Mint mindig, úgy most is csaknem merőleges beesésekre, vagyis csekély nyílású gömbszeletre fogunk szorítkozni. Valamely homoczen-

trikus nyaláb, mely széthajlólág esik az első törő felületre, homocentrikus marad, és ennél fogva szintén homocentrikusan lép ki a második felületen át. Tegyük fel, hogy A fénypont (458. ábra) a két gömb C és C' középpontját összekötő egyenesen van; az olyan sugarak, mint TS , melyek egy izben már megtörttek, a helyett, hogy az üvegben tovább haladva B -ben egyesülnének, a második felületen, SQ -n át kilépnek,



458. ábra. Törés a lencsében.

hogy megközelítőleg egy másik A' pontban fussanak össze, mely pont A -nak **konjugált** pontja.

Legyen abszolút érték szerint $C'Q=r'$, $BQ=t'$, $QA'=k$; hogy a 67. p. (4) képletét erre a második törésre alkalmazhassuk, figyelembe kell vennünk, hogy a közegekkel együtt a mutatók is változnak, hogy a sugarak domború felület helyett homorúra esnek, hogy végre a B pont, melyben a most beesőknek tekintendő sugarak egyesülnek, a törő felület mögött van; mindezeknél fogva (4)-ben n_1 helyett n_2 , n_2 helyett n_3 , r helyett $-r'$, t helyett t' , k' helyett k teendő, s ekkor:

$$-\frac{n_2}{t'} + \frac{n_3}{k} = \frac{n_3 - n_2}{-r'},$$

vagy pedig

$$\frac{n_3}{k} - \frac{n_2}{t'} = \frac{n_2 - n_3}{r'},$$

mely egyenlet, tekintve hogy $k = PB - PQ$, és a lencse PQ vastagsága g -vel van jelölve, így alakul:

$$\frac{n_3}{k} - \frac{n_2}{k' - g} = \frac{n_2 - n_3}{r'}. \quad (12)$$

Ha ebből az egyenletből és a (4) alattiból k' -t kiküszöböljük, a második felületből kilépő sugarak egyesülési pontja k távolságának meghatározására a következőt kapjuk:

$$\frac{1}{\frac{n_1}{t} - \frac{n_2 - n_1}{r}} + \frac{1}{\frac{n_3}{k} - \frac{n_2 - n_3}{r'}} + \frac{g}{n_2} = 0. \quad (13)$$

Hogy a kilépő sugarak párhuzamosak legyenek, vagy a mi ugyanazt mondja, hogy $k = \infty$ legyen, az A pontnak olyan a távolságban kell az első felülettől lennie, mely eleget tesz a következő egyenletnek:

$$\frac{1}{\frac{n_1}{a} - \frac{n_2 - n_1}{r}} - \frac{r'}{n_2 - n_3} + \frac{g}{n_2} = 0,$$

honnét

$$a = \frac{n_2 r' - (n_2 - n_3) g}{n_2 (n_2 - n_3) r + n_2 (n_2 - n_1) r' - (n_2 - n_1) (n_2 - n_3) g} n_1 r. \quad (14)$$

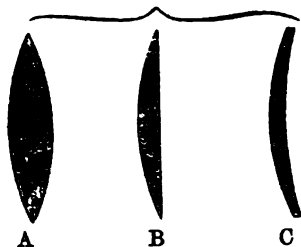
Viszont, ha a sugarak az első közegben párhuzamosak, azaz ha $t = \infty$, a kilépő sugarak a második felülettől számított következő a' távolságban fognak egyesülni:

$$a' = \frac{n_2 r - (n_2 - n_1) g}{n_2 (n_2 - n_3) r + n_2 (n_2 - n_1) r' - (n_2 - n_1) (n_2 - n_3) g} n_3 r'. \quad (15)$$

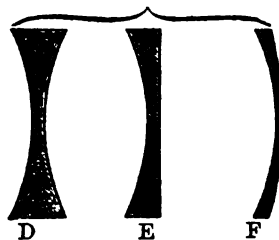
76. Már most a gyakorlatban leginkább előforduló esetre fogunk szorítkozni, azaz a **lencsékkel** fogunk foglalkozni, vagyis azokkal a legtöbbszörre átlátszó üvegű testekkel, melyeket rendszerint két gömbi felület határol s melyek a levegőbe merülnek.

A lencsék vagy **gyűjtő** lencsék (459. ábra), vagy **szóró** lencsék (460. ábra) a szerint, a mint a párhuzamos sugarakat összegyűjtik vagy szétszórják, mit napfényvel mutathatunk ki, ha a levegőt füsttel telítjük, hogy a nyaláb láthatóvá váljék (6). Az első csoportba tartozik a **kétszer-domború** (biconvex)

lencse (A), a *sík domború* (planconvex) lencse (B) és a *homorú-domború* (concav convex) lencse vagy *gyűjtő meniszkus* (C); a másodikba a *kétszer-homorú* (biconcav) (D), a *sík homorú* (planconcav) (E) és a *domború-homorú* (convex concav) lencse vagy *szóró meniszkus* (F).



459. ábra. Gyűjtő lencsék.



460. ábra. Szóró lencsék.

Észrevehető, hogy a gyűjtő lencsék a közepükön vastagabbak, a szórók pedig vékonyabbak mint a szélükön.

Valamely lencse *görbületi középpontjai* az öt határoló gömbi felületek középpontjai; az *optikai tengely* az az egyenes, mely mind a két felületre merőleges, és ennél fogva vagy mind a két görbületi középponton megy át, vagy pedig az egyedüli középpontból a sík felületre merőlegesen van állítva.

77. Gyakorlati szempontból legtöbbször olyan vékony lencsét szoktak tárgyalni, hogy vastagságuk elhanyagolható. Mi is első sorban az úgynevezett *végtesenlél vékony lencsét* fogjuk tekinteni. Ezekre nézve a 75. pont (12)-ben $n_3 = n_1$ és $g = 0$ teendő; ha ezután ezt az egyenletet a 67. p. (4) alatti egyenletéhez adjuk, és ha az abszolút mutatók helyett a viszonylagosakat (56) írjuk, vagyis ha

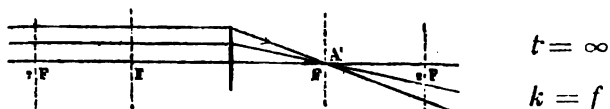
$$\frac{n_2}{n_1} = n$$

téteket, úgy a lencséknek a következő minta-képletét nyerjük:

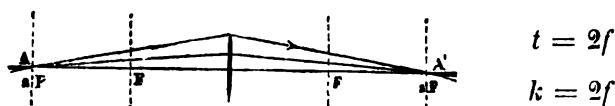
$$\frac{1}{t} + \frac{1}{k} = (n - 1) \left(\frac{1}{r} + \frac{1}{r'} \right). \quad (1)$$

A sugárzó pont és a képe, melyek a lencsétől t , illetőleg k távolságban vannak, *konjugált pontok*, mert ha a beeső sugarak a második pontból indulnának ki, a kilépők az elsőben kereszteznék egymást.

78. Az (1) egyenlet segítségével vizsgáljuk meg, hogy az A fénypont változásával miként helyezkedik el az A' kép. Legyen először A végtelen távolságban, vagyis essenek a lencsére a tengelylyel párhuzamos sugarak. A kilépő sugarak az F gyújtó-



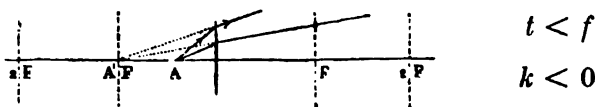
461. ábra. A tárgy a végtelenben, a kép a gyújtópontban.



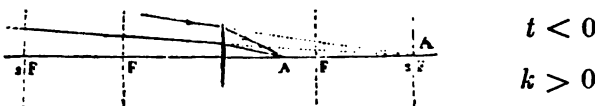
462. ábra. A tárgy és kép a kétszeres gyújtótávolságban.



463. ábra. A tárgy a gyújtópontban, a kép a végtelenben.



464. ábra. A tárgy a gyújtótávolságon belül.



465. ábra. A tárgy a lencse mögött, a gyújtótávolságon belül.

pontban (461. ábra) futnak össze, a melynek a lencsétől való f távolságát (gyújtótávolság) (1)-ből nyerjük, ha benne $t = \infty$ tétetik, azaz

$$\frac{1}{f} = (n - 1) \left(\frac{1}{r} + \frac{1}{r'} \right). \quad (2)$$

Ennélfogva az (1) egyenlet így is írható:

$$\frac{1}{t} + \frac{1}{k} = \frac{1}{f}. \quad (3)$$

Midőn A véges távolságba jut, k növekszik, vagyis az A' kép távolodik a lencsétől.

Midőn $t = 2f$ (462. ábra), k szintén $= 2f$, és a konjugált pontok egyenlő távolságúak.

Ha t -t még tovább csökkentjük, k azért tovább növekszik, és ha $t = f$ (463. ábra), úgy $\frac{1}{k} = 0$, vagyis A képe végtelenbe megy, a kilépő sugarak párhuzamosak.

A $t < f$ (464. ábra) értékek mellett k értéke negatív, a mi azt mondja, hogy a kilépő sugarak széthajolnak, és k abszolút értéke azt a távolságot méri, a melyben a sugarak egymást a lencse előtt (A' -ben) metszik, ha terjedésökkel ellenkező irányban meghosszabbíttatnak. Ily esetben A képe látszólagos.

Ha végre a lencsére egy nyaláb esnék, melynek sugarai a t távolságban levő A pont felé (465. ábra) futnak, úgy t negatív volna (74, (2)), és az abszolút értéket (3)-ba téve,

$$\frac{1}{k} = \frac{1}{f} + \frac{1}{t}$$

volna, vagyis k mindig pozitívnak adódnék ki és a kép mindig valódi volna.

79. A (3) egyenlet taglalásából kapott emez eredmények akként igazolhatók, hogy a lencsét először is a párhuzamos napsugaraknak tesszük ki, hogy meghatározzuk gyújtótávolságát, f -et; azután a lámpa és ernyő közé helyezzük és a távolságokat úgy szabályozzuk, hogy a lámpa képe az ernyőn tisztán jelenjék meg (45).

80. Az (1) képletet egy kétszer-domború lencsét tekintve, vezettük le, de azért a képlet általános. Valóban, ha sík-domború lencsékre akarjuk alkalmazni, csak azt kell meggondolnunk, hogy a sík végtelen sugarú gömbnek tekinthető, tehát benne $r' = \infty$ teendő, úgy, hogy ez esetben a 78. pontnak a gyújtótávolságot kifejező (2) képlete ez:

$$\frac{1}{f} = (n-1) \frac{1}{r} \quad \text{---} \quad (2a)$$

A meniszkusokra nézve elegendő, ha a sugarak egyikének jelét ellenkezőre változtatjuk, a mikor is:

$$\frac{1}{f} = (n-1) \left(\frac{1}{r} - \frac{1}{r'} \right) \quad \left\{ \begin{array}{l} \text{---} \quad r < r' \\ \text{---} \quad r > r' \end{array} \right. \quad (2b)$$

mi gyűjtő vagy szóró meniszkusra vonatkozik a szerint, a mint f pozitív vagy pedig negatív, vagyis a mint r kisebb, illetőleg nagyobb r' -nél.

Valóban, a szóró lencsék a rájuk eső párhuzamos sugarakat széthajlóká teszik, miért is a kép látszólagos és a gyűjtő távolság negatív.

A sík-homorú lencsékre nézve $r < 0$, $r' = \infty$, tehát

$$\frac{1}{f} = -(n-1) \frac{1}{r}, \quad \text{---} \quad (2c)$$

és a homorú-homorúakra nézve

$$\frac{1}{f} = -(n-1) \left(\frac{1}{r} + \frac{1}{r'} \right). \quad \text{---} \quad (2d)$$

81. Ha ezek után a 78. p. (3) képletébe f abszolút értékét viszszük be, a szóró lencsékre nézve kapjuk:

$$\frac{1}{t} + \frac{1}{k} = -\frac{1}{f} \quad \text{vagy szintén} \quad k = -\frac{f}{1 + \frac{f}{t}}. \quad (3a)$$

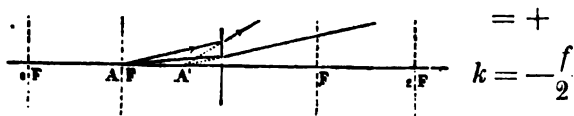
A közben tehát, hogy az A sugárzó pont (466. és 467. ábra) végtelen távolságból kiindulva mindaddig közeledik, míg nem a

lencsével érintkezik, A' képe mindig látszólagos marad és az f távolságból o -ig mozdul el.

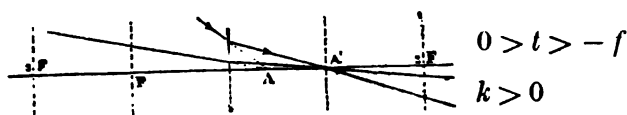
Ha pedig a beeső sugarak valamely A pont (468. ábra) felé hajlanak össze, t értéke (3a)-ban negatív; és ha $[t]$ -vel jelöljük t ab-



466. ábra. Látszólagos kép.



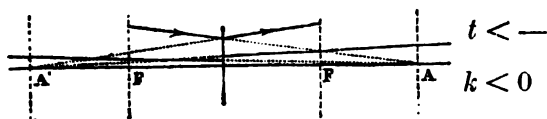
467. ábra. Látszólagos kép.



468. ábra. Valódi kép.



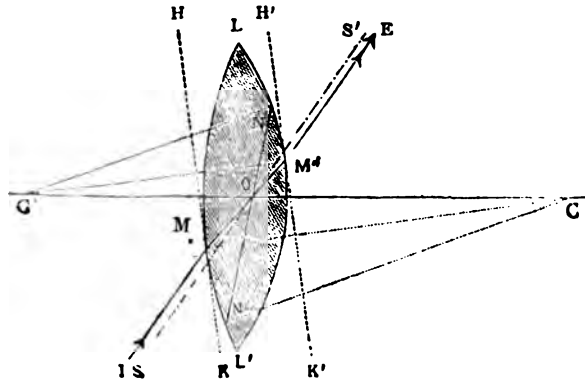
469. ábra. A kép a végtelenben.



470. ábra. A kép negatív.

szolut értékét, úgy k pozitív mindaddig, míg $\frac{f}{[t]} > 1$, vagyis $[t] < f$, és akkor az A' kép valódi. De $k = \infty$ (469. ábra), ha $[t] = f$; és k negatív akkor (470. ábra), midőn $[t] > f$, mely esetben az A' kép a lencse előtt fekszik és látszólagos.

82. Hogy azt az esetet is tárgyalhassuk, midőn a fénypont nincs az optikai tengelyen (76), térjünk vissza az LL' kétszer domború lencséhez (471. ábra), melynek középpontjai C és C' , és húzzunk ezekből párhuzamos félátmérőket, CM és $C'M'$ -t. Nyilvánvaló, hogy az M és M' -ben a gömbfelületekhez vont



471. ábra. A középponton átmenő sugarak.

HK és $H'K'$ érintő síkok szintén párhuzamosak. Ennélfogva az a sugár, mely a lencsét M -től M' felé járja át, olyan körülmények között van, mintha a HK és $H'K'$ párhuzamos lapokkal határolt lemezen hatolna át, és ennélfogva (55) az IM beeső sugár, melyből MM' származik, és az ennek megfelelő kilépő $M'E$ sugár egymással párhuzamos.

Jelöljük O -val MM' -nek a CC' optikai tengelylyel való metszéspontját. E pont az optikai középpont, és az a tulajdonsága van, hogy benne kereszteződnek mindazok a sugarak, melyek irányát a lencse nem változtatja meg. Valóban, mivel a CMO és $C'M'O$ háromszögek szögei egyenlők, O pont CC' -et a CM és $C'M'$ görbületi sugarakkal arányos részekre osztja és ha O ponton át tetszőszerinti irányban valamely NN' egyenest húzzunk, a CNO és $C'N'O$ háromszögek szintén hasonlóak, és a CN és $C'N'$ beesési merőleges épen úgy, mint CM és $C'M'$, egymással párhuzamos.

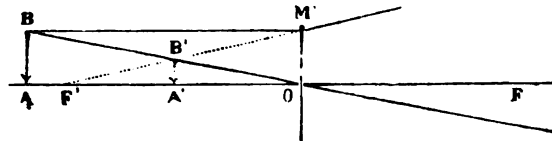
83. Ha a lencse, miként most felteszszük, igen vékony, az IM beeső és az $M'E$ kilépő sugarak csaknem összeesnek SS' -sel, mely velük párhuzamos és az O optikai középponton megy át. És ekkor feltehetjük, hogy az optikai középponton átmenő sugarak útjokat ugyanazon SS' melléktengelynek nevezett egyenes mentén folytatják.

84. Ezt megállapítva és folyton feltéve, hogy a sugarak a lencsét csaknem merőlegesen találják (67) és a tengellyel igen kicsiny szögeket zárnak be, minden sugárzó pontnak képe a hozzá



472. ábra. Kép szerkesztése a gyűjtő lencsén.

tartozó melléktengelynek valamely pontjában fog feküdni, úgy, hogy ha ismerjük a gyújtótávolságot (78), vajmi könnyen megszerkeszthetjük valamely B pont (472. ábra) képét.



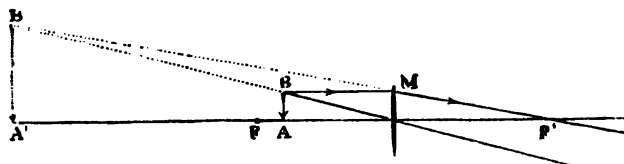
473. ábra. Kép szerkesztése a szóró lencsén.

Meghúzzuk a BO melléktengelyt s az optikai tengellyel párhuzamos BM sugarat, mely az F' gyújtópont felé töretik, és B' -ben, hol BO és MF' találkozik, van a keresett kép, mely nyilván fordított állású.

A 473. ábra hasonló szerkesztést tüntet elő szóró lencsére nézve, mely esetben a kép látszólagos és egyenes állású.

Ugyancsak látszólagos a kép a 474. ábrán előtüntetett esetben, mikor is a sugárzó pont a gyűjtő lencse s ennek gyújtópontja között van.

Észrevehető, hogy mikor a kép látszólagos, a fényponttal együtt a tengelynek egyazon oldalán van; ellenben a tengely a két konjugált pont között van akkor, midőn a kép valódi.



474. ábra. Látszólagos kép a gyűjtő lencsén.

85. Ha két tetszőleges konjugált ponton, pl. B és B' -n keresztül (472. ábra) a tengelyre merőleges síkokat állítunk, az egyik sík bármely pontjának képe a másik síkon fog feküdni. Ez okból **konjugált síkoknak** nevezzük. Hogy erről meggyőződjünk, elég kimutatnunk, hogy e síkoknak a tengellyel való A és A' metszéspontjai eleget tesznek a konjugált pontok egyenletének (78):

$$\frac{1}{t} + \frac{1}{k} = \frac{1}{f}. \quad (3)$$

Az ABF , ONF és $A'B'F'$, OMF' hasonló háromszögekből:

$$AB : ON = AF : OF, \quad A'B' : OM = A'F : OF',$$

honnét, ha a megfelelő tagokat sokszorozzuk és figyelembe vesszük, hogy $AB = OM$, $A'B' = ON$, a megelőző jelöléseket megtartva, kapjuk:

$$1 = \frac{(t-f)(k-f)}{f^2},$$

vagy ha ismét a következő jelzéssel élünk:

$$t-f = \tau, \quad k-f = x,$$

úgy

$$1 = \frac{\tau x}{f^2},$$

mely egyenlet teljesen egyértékű a (3) alattival.

Ebből tehát következtethetjük, hogy valamely tárgynak,

vagy jobban mondva az optikai tengelyre merőleges síkon levő alaknak a képe pontról pontra a megfelelő konjugált síkon fekszik.

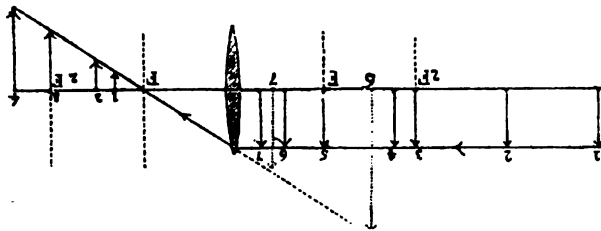
86. Az ABO és $A'B'O$ háromszögeket megtekintve azonnal látjuk, hogy az $A'B'=K$ kép és az $AB=T$ tárgy úgy viszonylik, mint a lencsétől való távolságuk:

$$\frac{K}{T} = \frac{k}{t}, \quad (4)$$

és a megelőző egyenlet révén:

$$\frac{K}{T} = \frac{1}{\frac{t}{f} - 1}. \quad (5)$$

Mivel ez a képlet gyűjtő lencsére nézve azon feltevéssel vezetett le, hogy a kép valódi s ennél fogva fordított: mindazon esetekben, midőn a $t < f$ értékek mellett k -ra nézve negatív értékeket fog adni, azt fogja mondani (74, (4)), hogy egyenes állású, tehát látszólagos képek forognak szóban (84. 474. ábra).



475. ábra. A tárgy és kép helyzete a gyűjtő lencsén.

Midőn $t > 2f$, (5)-ből következik, hogy $0 < K < T$. Vagyis, midőn a tárgy a kétszeres gyújtótávolságon túl fekszik, képe valódi és kicsinyített, miként a 475. ábra 1. és 2. esete mutatja.

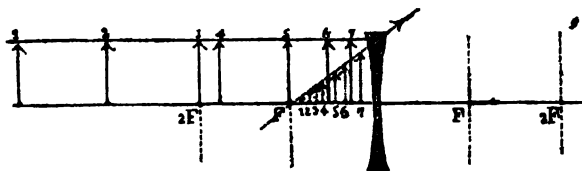
Midőn $t = 2f$, akkor $K = T$. A kétszeres gyújtótávolságban a kép fordított, de a tárggyal egyenlő (3, a 475. ábrában).

Ha $2f > t > f$, ekkor $K > T$. Vagyis midőn a tárgy a gyújtópont és a kétszeres gyújtótávolság között van, képe, mely mindig valódi, nagyítva jelenik meg. (4, 475. ábra).

Végre, midőn $t < f$, ekkor $K < 0$, mi azt mondja, a lencse és

a gyújtópont között levő tárgynak egyenes állású, valódi és mindig nagyított képe van (6, 7, 475. ábra).

87. Az olvasó szorgalmára bízuk, hogy a (4) képletet, a 81. p. (3a) képletével egybevetve, a szóró lencsékre alkalmazza. Könnyű felismerni, hogy ez esetben a képek mindig látszó-



476. ábra. A tárgy és kép helyzete a gyűjtő lencsén.

lagosak, hogy a lencse előtt a gyújtóponton belül keletkeznek, és hogy annál inkább kicsinyítettek, mentül távolabb van a tárgy (476. ábra).

88. Mindezek az eredmények a 45. pontban jelzett módon igazolhatók; a láng helyett üvegre metszett s hátulról erősen megvilágított skálát használunk. De ha azt akarjuk, hogy a képek tiszták és a tárgyhoz hasonlóak legyenek, figyelembe kell vennünk mindazokat az egyszerűsítéseket, melyeket a beigazolandó képletek levezetésében tettünk.

Mindenekelőtt fel kell tartóztatnunk az optikai tengelytől nagyon elhajló sugarakat, s ennél fogva csak oly gömbszeleteket szabad alkalmaznunk, melyeknek nyílása csak néhány fokra rúg, és a melyeknek felülete annál kisebb, mentül görbültebbek; máskülönb elmosódott és eltorzított, vagy általános kifejezéssel élve, **gömbi eltéréseket** előtűntető képeket nyerünk. A szélekből kilépő sugarak a lencséhez közelebb eső pontokban találkoznak, mint a centrális sugarak, mihez hasonlót a 453. p. ábrájában láthatunk.

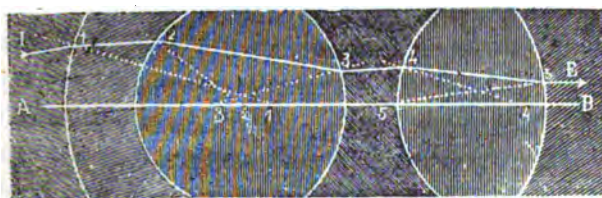
89. A lencsét **aplanatikusnak** nevezzük, ha a gömbi eltérés hibájában nem szenved, azaz ha minden fénypontra nézve

a kilépő sugarak, vagy meghosszabbításaik, egészen szigorúan egy pontban találkoznak. Kimutatható, hogy a gömbi lencsék csak megközelítőleg lehetnek aplanatikusak.

De gyakran van szükségünk rövid gyújtótávolságú s ennél fogva (80) erősen görbült lencsékre, és ha ezeket nagyon kicsinyeknek készítenők, ezzel a képek intenzitásának, vagy mint mondani szokás, **világosságának** ártanánk. Ilyenkor inkább több gömbi lencsét egyesítünk oly módon, hogy egymást kölcsönösen javítsák, mint hogy megküzdjünk azokkal a tetemes nehézségekkel, melyekkel a gömbtől eltérő görbületek készítése jár.

90. Mindazonáltal még ha a lencsék, vagy a lencserendszer megközelítőleg aplanatikusokká tétetnek is, megeshetik, hogy a konjugált gyújtópontok távolsága a valóságban eltér a kiszámított távolságoktól; ez onnét van, hogy az eddigelé követett megközelítőleges elméletben a lencsék vastagságát elhanyagoltuk (77) és ennél fogva feltettük, hogy az irányuktól el nem térített és csupán önmagukkal párhuzamosan eltolt sugarak egyazon melléktengelyben (82) esnek össze.

91. A következőkben a **vastag lencsék Gauss-féle elméletének** vázlatát fogjuk előterjeszteni, s e végből egy még általánosabb esetet fogunk tárgyalni.



477. ábra. Centrált lencse-rendszer.

Ki fogunk ugyanis terjeszkedni egy **centrált rendszerre**, azaz olyanra, mely több átlátszó közegből áll, melyek az 1, 2, 3, 4, ... (477. ábra) gömbi felületektől akként vannak egymás-

tól elkülönítve, hogy ezek középpontjai egyazon AB egyenesen, **a rendszer tengelyén** fekszenek.

A 477. ábrában fel van tételezve, hogy a hat közeg balról jobbra menőleg fokozódó törőképesseg szerint következik egymásra, mert a sugár akként van felrajzolva, hogy minden egyes felületen való átmenetben a beesési merőlegeshez közeledik.

92. A legtöbb esetben nem fontos, hogy megismerkedjünk az $I12345E$ töredeztet vonalnak egész menetével, melyet a sugártörés törvénye és minden egyes közeg törésmutatójának ismerete révén tárgyalhatnánk; elegendő, ha meghatározzuk az utolsó közegbe lépő E sugár irányát, feltéve, hogy az első közegben haladó I beeső sugáré adva van. Ez oknál fogva fontosak az optikai rendszereknek úgynevezett **sarkalatos tulajdonságai**, melyeket geometriai tételek módjára vezetünk le, s melyek a jeleztük feladatmegoldására kényelmes eszközöket szolgáltatnak.

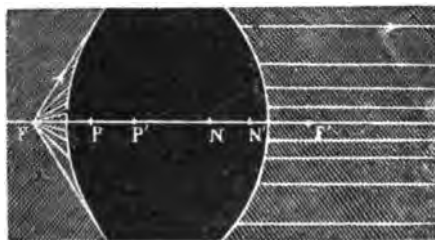
E tételek csakis **centrális sugarakra (66)** vonatkoznak és annál nagyobb megközelítéssel érvényesek, mentül kisebb részeit teszi az egész gömbfelületnek az a gömbszelet, melyet a tengely körül a sugarak érnek. Levezetésükben tehát felteszszük, hogy a fénysugarak a rendszer tengelyével és a válaszfelületek különböző beesési merőlegeseivel oly csekély szögeket zárnak be, hogy ezeket sinusaikkal vagy tangenseikkel csak úgy mérhetjük, mint az oldalak közé zárt ívekkel.

Ez esetben, melyhez minden gyakorlati eset közel jár, könnyű kimutatni, hogy az első közegbeli homocentrikus nyaláb (67) szintén homocentrikus kilépő nyalábot ad az utolsó közegben. Valóban, az első közegbeli A fénypontnak megvan a maga konjugált pontja a második közegben az első gömbi felületre vonatkozólag; ezt a pontot nevezzük A_1 -nek; fénypontnak tekinthetjük (74, (2)), melynek a második felületre vonatkozólag meg lesz a maga konjugált pontja (A_2) a harmadik közegben, és így tovább egészen az utolsó közegig, melyben a kilépő sugarak egyesülési pontját A' -nak fogjuk nevezni. A'

valódi kép akkor, ha a sugarak tényleg találkoznak ; *látszólagos*, ha meghosszabbításaik az utolsó felület előtt egyesülnek.

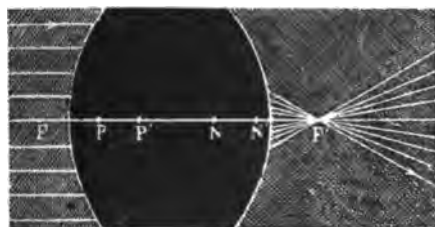
A fénypont és képe a figyelembe vett rendszerre vonatkozólag a konjugált pontok egy párját alkotja.

93. Ha A ponton át a tengelyre merőleges síkot állítunk, eme pontok mindegyikének meg lesz az első felületre vonatkozólag a maga konjugált pontja az A_1 ponton át a tengelyre merőlegesen álló síkban. Hasonlóképen eme második sík minden



478. ábra. Első gyújtópont.

egyik pontjának meg lesz, a második felületre vonatkozólag, a maga konjugált pontja az A_2 ponton át a tengelyre merőlegesen állított síkban, és így tovább az utolsó síkig, mely A' ponton megy át. Az első és az utolsó sík a figyelembe vett centrált rendszerre nézve konjugált sík.



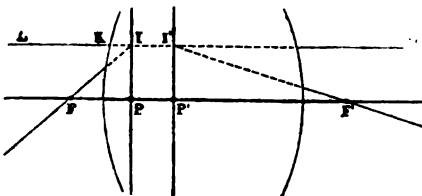
479. ábra. Második gyújtópont.

Ha közülök az egyik végtelen távolságban van, a másikat **gyújtósíknak** nevezzük ; a gyújtósíknak a tengellyel való átmetszése **gyújtópont** nevet visel.

Az **első gyújtópontnak** (F , 478. ábra) az a tulajdonsága van, hogy a belőle kiinduló sugarak az **utolsó közegben a tengelylyel párhuzamos nyalábot alkotnak**, **konjugált pontja** tehát **végtelen távolságban van**. A **második gyújtópont** (F' , 479. ábra) pedig a **tengelylyel párhuzamosan beeső nyalábnak megfelelő kilépő sugarak egyesülési pontja**.

A gyújtópontokon át a **tengelyre merőlegesen állított síkok** a **gyújtósíkok**, s minden fénypontból, mely e síkokon fekszik, a rendszerből párhuzamosan kilépő sugarak nyalábjá származik.

94. A **tengelyre merőleges bármely síkban levő alaknak képe**, midőn csak egy törő felület forog szóban, miként láttuk (68, 72), az **adott alakhoz geometriailag hasonló és az adott sík konjugált síkjában fekszik**. Azonban ennek a képnek, melyet a **második törő felületre vonatkozólag tárgynak tekinthetünk**,



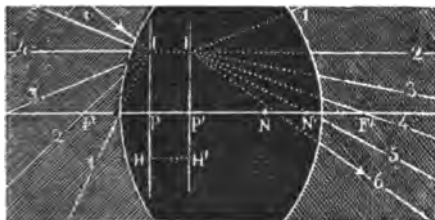
480. ábra. Fősíkok.

szintén **geometriailag hasonló a képe**, miből következtethető, hogy **több közeg esetében minden alaknak**, mely a **tengelyre merőleges valamely síkban fekszik**, a **megfelelő konjugált síkban** (93) **fekvő képe is hasonló**. A **hasonlóság viszonya**, vagyis a **nagyítás**, az **adott sík helyzetétől fog függni**, és a **mint mindjárt látni fogjuk**, **mindig van olyan két konjugált sík**, melyekre nézve ez a **viszony egyenlő az egységgel**, s **hogy ennél fogva bennük fekvő két konjugált pont a tengelylyel párhuzamos egyenesbe esik**.

Valóban, legyenek F és F' (480. ábra) a rendszer gyújtópontjai s tekintsünk a **tengelylyel párhuzamosan beeső valamely**

LK sugarat, melynek szükségképen az F' második gyújtóponton átmenő valamely sugár fog megfelelni. Tegyük fel, hogy ez a sugár $I'F'$ mentén halad, mely LM -et I' -ben metszi. Hasonlólag az olyan beeső sugárnak, mely az utolsó közegben az ML irányt követi, az F első gyújtóponton átmenő kilépő sugár tartozik megfelelni, és viszont, az FI sugárnak, mely LM -et I -ben metszi, az $I'M$ sugár felel meg. De az I pont kúpalakú nyaláb csúcsának tekinthető, a melyből két sugár, FI és LI , indul ki, és mivel eme két beeső sugárból az $I'M$ és $I'F'$ kilépő két sugár származik, látjuk, hogy I és I' , melyek a tengelylyel párhuzamos egyenesen fekszenek, a konjugált pontok egy párját alkotják (481. ábra).

Az ezen a pontokon át a tengelyre merőlegesen állított IP és $I'P'$ síkok tehát konjugált síkok, és GAUSS szerint **fősíkok**-



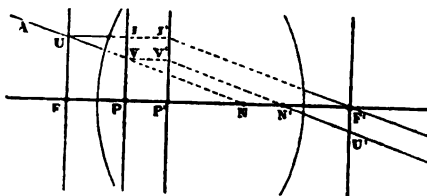
481. ábra. Fősíkok.

nak neveztetnek. Tudjuk már (93), hogy minden a tengelylyel párhuzamos hengeres nyaláb kúp alakú nyalábbá alakíttatik át, melynek csúcsa a második gyújtópontban van; most azonban látjuk, hogy a henger és a kúp az $I'P'$ fősíkon metszi egymást, és felemlítjük azt a nevezetes tulajdonságot, hogy *a tengelylyel párhuzamos bármely egyenes a fősíkokat egymáshoz konjugált két pontban metszi*; és hogy ez oknál fogva az egyik fősíkra rajzolt alaknak képe a másik fősíkon van, mely kép nagyság szerint az alakkal egyenlő és a tengelyre vonatkozólag is egyenlőképen fekszik.

A fősíkok a tengelyt a két **főpontban** (P és P') metszik.

Az első főpont (P) távolsága az első gyújtóponttól (F) és a második főpont (P') távolsága a második gyújtóponttól (F') a rendszer első, illetőleg második gyújtótávolsága.

95. Ha adva vannak az F, F' gyújtópontok (482. ábra) és a P, P' főpontok, bármely beeső sugárnak megfelelő kilépő sugár megszerkeszthető. Az AV beeső sugár az első gyújtósíkot U -ban, az első fősíkot V -ben metszi. Mivel U a gyújtó síkban

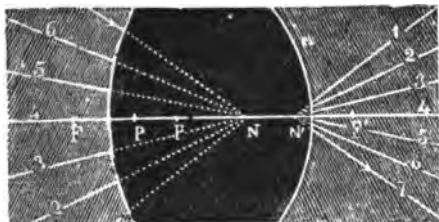


482. ábra. A kilépő sugár szerkesztése.

fekszik, a belőle kiinduló sugarak egymással párhuzamosan lépnek ki (93); de minthogy e sugarak közül UI' , mely párhuzamos a tengellyel, a második gyújtóponton átmenve (94) $I'F'$ irányban lép ki, az AU sugár $I'F'$ -fel párhuzamosan fog kilépni. Másrészt, mivel a V és V' pontok konjugált pontok, a kilépő sugár iránya átmegy V' ponton; e sugarat tehát úgy kapjuk meg, hogy V' -ből $I'F'$ -hez párhuzamost húzunk, mely a második gyújtósíkot szükségképen át fogja metszeni olyan U' pontban, melyre nézve $U'F' = VI$.

96. Tegyük most fel, hogy a beeső sugár olyan irányú, hogy a tengelyt az első főgyújtóponttól számított FN távolságban éri, mely egyenlő a második gyújtótávolsággal $P'F'$ -fel. Ez esetben az UNF és $I'F'P'$ háromszögek összeillők, ennél fogva $I'F'$ párhuzamos AN -nel és következésképpen $V'N'U'$ is párhuzamos AN -nel. Minthogy az elmélkedés az N felé irányuló bármely beeső sugárra érvényes, mondhatjuk, hogy az N pont felé

irányuló minden beeső sugárból (483. ábra) olyan kilépő sugár származik, mely vele párhuzamos és N' -en megy át.

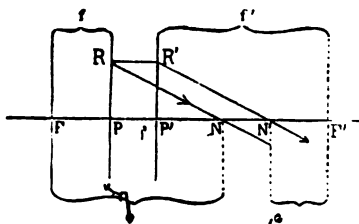


483. ábra. Csomópontok.

Az N és N' pontok, melyek a LISTING-től felismert eme tulajdonsággal fel vannak ruházva, **csomópontoknak** vagy egyszerűen **csomóknak** neveztetnek.

97. A mondottak szerint minden centrált rendszerben a pontoknak három párja van, melyek fontos tulajdonságokkal vannak ellátva; nevezetesen a két gyújtópont, két főpont és két csomó. E hat pontot a rendszer **sarkalatos pontjainak** szokás nevezni. Ezek a rendszert akként határozzák meg, hogy ismerve őket, magára a rendszerre vonatkozó bármely feladat megoldható, mire nézve példákat is fogunk látni. Előbb azonban a sarkalatos pontok között bizonyos kapcsolatokat fogunk megállapítani, melyekből ki fog tűnni, hogy négyet ismerve belőlük, a másik kettőt meghatározhatjuk.

Legyenek e végből f és f' a *gyújtótávolságok*, vagyis az F és F' gyújtópontok (484. ábra) távolságai a megfelelő P és P' főpontoktól; legyenek továbbá φ és φ' a gyújtópontoknak az



484. ábra. Főpontok és csomópontok.

N és N' csomóktól való távolságai; figyelembe vesszük még, hogy az R és R' pontok, melyek a fősíkokban és egy a tengellyel párhuzamos egyenesben (91.) fekszenek, konjugált pontok,

úgy, hogy az R felé irányuló beeső sugarak R' -en átmenő egyenesek mentén lépnek ki. De az RN beeső sugár az N csomó felé tart, tehát (96) a megfelelő kilépő sugár vele párhuzamos, és a második csomón (N') fog átmenni. Ennélfogva $RNN'R'$ paralelogramm, tehát

$$PP' = RR' = NN', \quad (1)$$

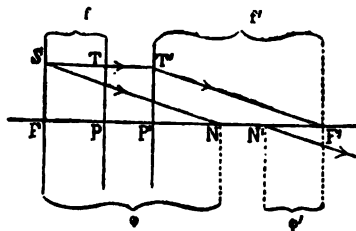
azaz a fõpontok kölcsönös távolsága egyenlõ a csomópontokéval; ennélfogva:

$$PP' + P'N = NN' + P'N,$$

vagy szintén:

$$\varphi - f = f' - \varphi'. \quad (2)$$

98. Az első gyújtósíknak valamely S pontjából (485. ábra) kiinduló sugarak az õt az N első csomóval összekötõ NS -sel



485. ábra. Gyújtópont és csomó.

párhuzamos nyálábot nem zenek (93). De az ST' sugár, mely párhuzamos a tengellyel az első közegben, az utolsó közegben az F' gyújtópont felé irányulva lép ki; ennélfogva $T'F'$, mely a kilépő sugár részét teszi, SN -nel párhuzamos és az SFN

és $T'P'F'$ háromszögek összeillők, tehát:

$$\varphi = f', \quad (3)$$

a mi azt mondja, hogy az első gyújtópont és az első csomó közötti távolság egyenlõ a második gyújtótávolsággal, miként ezt már láttuk (96).

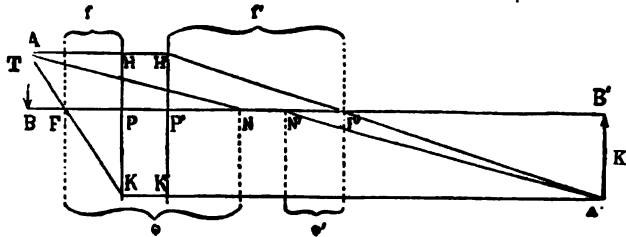
Így tehát (2)-nél fogva még:

$$f = \varphi', \quad (4)$$

vagyis az első gyújtótávolság egyenlõ a második gyújtópont és a második csomó közötti távolsággal.

Ha tehát négy sarkalatos pont helyét ismerjük, könnyen meghatározhatjuk a másik kettőét.

99. Valamely adott A pont képét meghatározni sem nehezebb. A -ból (486. ábra) ugyanis a tengelylyel párhuzamos AH' egyenest és az első gyújtóponton (F) átmenő AK -t húzzuk. Az elsőnek megfelelő kilépő sugár $H'A'$, mely a második gyújtóponton (F') megy át, a másodiknak megfelel a tengelylyel pár-



486. ábra. Képszerkesztés.

huzamos KA' , és keresztező pontjukban, A' -ban, fog lenni A képe. A szerkesztés próbája, hogy a csomókon átmenő AN és $A'N'$ egyeneseknek egymással párhuzamosaknak kell lenniök.

A csomók eme tulajdonságát az A' kép szerkesztésére is felhasználhatjuk, a mennyiben AN -t és a vele párhuzamos $N'A'$ -t AH' -val és $H'F'A'$ -val, vagy pedig AFK -val és KA -val együttesen meghúzzuk.

100. A két konjugált pontnak az illető fókusoktól való AH és $A'K'$ távolságát t és k' , a tengelytől való távolságukat pedig T és K' -val fogjuk jelölni. Az FPK és AHK hasonló háromszögekből:

$$FP : AH = PK : HK,$$

vagy szintén:

$$\frac{f}{t} = \frac{K'}{T + K'}$$

és hasonlólag az $F'P'H'$ és $A'K'H'$ háromszögekből:

$$\frac{f'}{k'} = \frac{T}{T + K'};$$

ez egyenletekből összegezés útján kapjuk:

$$\frac{f}{t} + \frac{f'}{k'} = 1, \quad (1)$$

osztás útján pedig

$$\frac{K'}{T} = \frac{fk'}{f't} = \frac{k'-f'}{f'-f} = \frac{f}{t-f}, \quad (2)$$

mely képleteknek ugyanaz az alakjuk van, mint a csupán két közegre vonatkozó megfelelő képleteknek (70, 72).

101. Hasonlóképen általános érvényű a

$$\frac{\text{tang } \omega_1}{\text{tang } \omega_2} = \frac{n_2 K'}{n_1 T}$$

képlet, melyet a képek nagysága és a sugarak összehajlósága közötti viszony kifejezésére a 73. pontban egyetlen törő felületre vonatkozólag állapítottunk meg. Valóban két sugár, melyek az első törés után ω_2 szöget zárnak be, a második felület felé ugyanezen szög alatt hajolva tartanak, és ha ω_3 az a szög, melyet a második törés után zárnak be és z_3 a nagysága a képnek, melyet létesítenek, végre n_3 a harmadik közeg törésmutatója, úgy

$$\frac{\text{tang } \omega_2}{\text{tang } \omega_3} = \frac{n_3 K}{n_2 K'}.$$

Ha e két egyenlőség megfelelő tagjait egymással megszorozzuk, kapjuk, hogy :

$$\frac{\text{tang } \omega_1}{\text{tang } \omega_3} = \frac{n_3 K}{n_1 T}.$$

És nyilvánvaló, hogy ugyanezen eljárással le lehetne vezetni az analog kapcsolatot tetszés szerinti számú közegre nézve, melyek centrált gömbi felületekkel vannak egymástól elválasztva, úgy, hogy ha n és n' az elsőnek és az utolsónak a mutatója, T és K két homolog hossz a rendszer két konjugált síkján, ω és ω' pedig azon szögek, melyeket két beeső és a megfelelő két kilépő sugár bezár, ez esetben :

$$\frac{\text{tg } \omega}{\text{tg } \omega'} = \frac{n' K}{n T}. \quad (3)$$

102. De a 486. ábrában az AHK és $A'H'K'$ háromszögekből

$$HK = HA \tan HAK, \quad H'K' = K'A' \tan K'A'H',$$

és figyelembe véve, hogy $HK = H'K'$, $HA = t$, $K'A' = k$, $HAK = \omega$, $K'A'H' = \omega'$, kapjuk, hogy

$$\frac{\tan \omega}{\tan \omega'} = \frac{k}{t},$$

és (2) révén:

$$\frac{K'}{T} = \frac{f}{f'} \cdot \frac{\tan \omega}{\tan \omega'},$$

és (3) révén:

$$\frac{f}{f'} = \frac{n}{n'}. \quad (4)$$

Innét következik, hogy *valamely centrált rendszer gyújtótávolságai úgy viszonylanak egymáshoz, mint a szélső közegek törésmutatói.*

A nagyítást kifejező (2) képlet ennél fogva még így is írható:

$$\frac{K'}{T} = \frac{n}{n_1} \cdot \frac{k}{t}. \quad (2a)$$

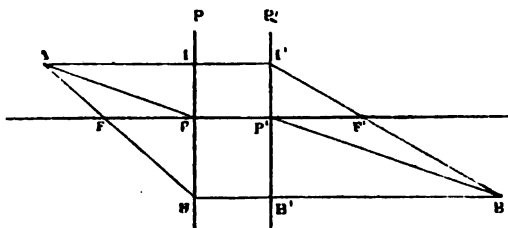
103. Eddigélé a sarkalatos pontokat úgy használtuk fel, mintha ismeretesek volnának, de nem mutattuk még meg, miként kell őket meghatározni.

E végből meg kellene keresni, hogy helyzetük miként függ a középpontok helyzetétől, a gömbsugarak nagyságától, nem különben a rendszert alkotó különböző közegek törésmutatójától; itt azonban e vizsgálatot csak abban a különös esetben fogjuk végrehajtani, midőn a szélső közegek azonosak, mely eset elvégre is a legfontosabb a gyakorlatban, mivel csaknem mindig két oldalt a levegőbe merített lencséről van szó. Ez esetben $n=n'$, tehát (4) szerint a gyújtótávolságok egyenlők, és a 98. p. (3) és (4) alatti képlete azt mondja, hogy a két csomópont összeesik a két fóponttal, minél fogva valamely lencsének vagy lencserendszernek meghatározására csupán négy pont is

elegendő, u. m. a két főtérpont (P és P' , 487. ábra) és a két gyújtópont (F és F'), melyek akként fekszenek, hogy

$$PF = P'F'$$

legyen. Hogy pedig valamely A pont képét megszerkesztjük, nyilvánvaló (99), hogy mindössze is csak A -ból párhuzamosat kell húzni a rendszer tengelyével, míg nem a második főtérpont (P') metszi, az I' metszéspontot össze kell kötni a második gyújtóponttal (F'), ezután meghúzni az F -en átmenő AH -t, és



487. ábra. Sarkalatos pontok meghatározása.

a keresett kép abban a (B) pontban fog lenni, hol a tengelylyel párhuzamosan húzott HB az $I'F'$ egyenest metszi. Az A és B konjugált pontokat a P és P' csomókkal összekötő AP és $P'B$ egyeneseknek párhuzamosoknak kell lenniök, mi a szerkesztés helyességét igazolja.

Azonos szélső közegek esetében még a 100. p. (1) képlete, minthogy $f' = f$, így alakul:

$$\frac{1}{t} + \frac{1}{k} = \frac{1}{f}, \quad (1a)$$

és azt fejezi ki, hogy a két konjugált pont és a megfelelő főtérpontok közötti távolságok visszás értékeinek összege egyenlő a gyújtótávolság visszás értékével.

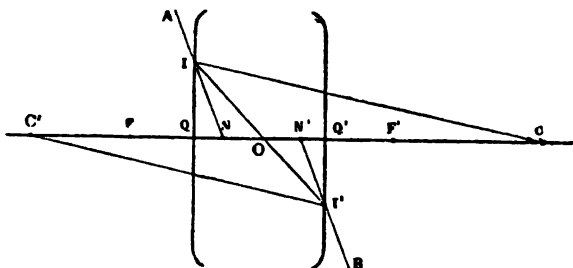
A (2a) egyenlet pedig a következő egyszerűbb alakot ölti:

$$\frac{K}{T} = \frac{k}{t} = \frac{k-f}{f} = \frac{f}{t-f}, \quad (2b)$$

vagyis a kép nagysága úgy áll a tárgéhoz, mint a megfelelő főtérponttól való távolságaik.

Megjegyezzük, hogy ezen egyenletek alakja azonos a vékony lencsékre nézve a 86. pontban megállapított képletek alakjával.

104. Egy egyszerű lencsére nézve legyen Q és Q' (488. ábra) a két gömbi felület és N és N' a rendszer főpontjaival összeeső (103) két csomó. Minden AI beeső sugár, mely N felé irányul, az N' -en átmenő $I'B$ párhuzamos mentén lép ki (96). Egy N felé összehajló fénykúp N' -ből széthajló kúpot adna. De az egyik kútból a másikba való átmenet csak két közbenső kúp révén történhetik meg, melyeket a lencsén belül levő sugarak



488. ábra. Optikai középpont.

létesítenek. Valóban, ha az AI beeső s a megfelelő $I'B$ kilépő sugarat tekintjük, észreveszszük, hogy az egyiktől a másikhoz való átmenet szükségképen az II' belső sugár közvetítésével történik, mely sugár a tengelyt O -ban metszi.

Az OIQ és $OI'Q'$ háromszögekből

$$OI : OI' = OQ : OQ',$$

a OIN és $OI'N'$ háromszögekből pedig

$$OI : OI' = ON : ON', \quad (5)$$

úgy tehát

$$OQ : OQ' = ON : ON', \quad (6)$$

vagyis az O pont a lencse vastagságát és a csomók egymástól való távolságát arányos részekre osztja. Ez tehát szilárd pont a lencsében és optikai középpontnak nevezhető.

Valamely beeső nyaláb, mely N felé hajlik össze, a lencsében olyan nyalábbá alakul át, melynek sugarai egymást O -ban keresztezik, és innét a második törőfelületig menve, ebből úgy lép ki, mintha N' -ből indultak volna ki.

105. Szokás szerint tegyük fel, hogy a Q és Q' gömbszeletek megfelelő érintő síkjaikkal helyettesíthetők; ekkor a QIO és $Q'I'O$ egyenlő szögek, melyeket az II' sugár eme síkokkal alkot, úgy tekinthetők, mintha ugyanezen sugártól és a törő felületektől volnának alkotva Ennélfogva egyenlők az $I'IC$ és $II'C'$ szögek is, melyek az II' sugár és a CI és $C'I'$ görbületi sugarak közé vannak foglalva, mely utóbbiak tehát egymással párhuzamosak. De ekkor az OIC és $OI'C'$ háromszögek hasonlóak és a következő arányt adják:

$$OI : OI' = CI : C'I',$$

melyből (5) és (6) figyelembe vételével a következő arányok vezethetők le:

$$\frac{CI}{C'I'} = \frac{QO - NO}{Q'O - N'O} = \frac{QN}{Q'N'}$$

$$\frac{QN}{CI} = \frac{Q'N'}{C'I'} = \frac{QN - Q'N'}{CI - C'I'}.$$

Eme viszonylatok megállapítása után, figyelembe véve, hogy a jelen esetben a fősíkok az N és N' csomókon mennek át, nem nehéz megtalálni az FN és $F'N'$ gyújtótávolságok értékeit, melyek egymással egyenlők és ennél fogva:

$$FN = FQ + QN = F'Q' + Q'N,$$

és a megelőző arány szerint:

$$QN = CI \frac{F'Q' - FQ}{IC - I'C'}, \quad Q'N' = C'I' \frac{F'Q' - FQ}{IC - I'C'}.$$

Legyen

az első görbületi sugár $CI = r$;

a második görbületi sugár $C'I' = r'$;

a lencse vastagsága $QQ' = g$;

az első felület távolsága az első csomótól $QN = b$;

a második felület távolsága a második csomótól $Q'N' = b'$;

az első gyújtópont távolsága az első felülettől $FQ = a$;

a második gyújtópont távolsága a második felülettől $F'Q' = a'$;

a gyújtótávolság $FN' = FN = f' = f$,

ennek alapján tehát

$$b = \frac{a' - a}{r - r'} r, \quad b' = \frac{a' - a}{r - r'} r',$$

$$f = a + b = f' = a' + b',$$

és ha a 75. pontban talált (14) és (15) alatti értékeket ide helyet-

tesítjük, minthogy ezekben $n_3 = n_1$, és ennél fogva $\frac{n_2}{n_1} = n$ té-

tetett, könnyen levezethetők a következők:

$$\frac{b}{r} = \frac{b'}{r'} = \frac{n_1 g}{n_2 (r + r') - (n_2 - n_1) g},$$

vagy szintén:

$$b = \frac{gr}{n(r + r') - (n - 1)g}, \quad b' = \frac{gr'}{n(r + r') - (n - 1)g} \quad (1)$$

és:

$$f = \frac{n_1 n_2 r r'}{(n_2 - n_1) [n_2 (r + r') - (n_2 - n_1) g]}, \quad (2)$$

vagy szintén:

$$\frac{1}{f} = (n - 1) \left(\frac{1}{r} + \frac{1}{r'} \right) - \frac{(n - 1)^2}{n} \cdot \frac{g}{rr'}. \quad (3).$$

106. Alkalmazzuk e képleteket a lencsék hat fajára (76) azzal a feltevéssel, hogy olyan üvegből valók, melynek a levegőre vonatkozó törésmutatója $n = \frac{3}{2}$. Ekkor:

$$b = \frac{2gr}{3(r + r') - g}, \quad b' = \frac{2gr'}{3(r + r') - g},$$

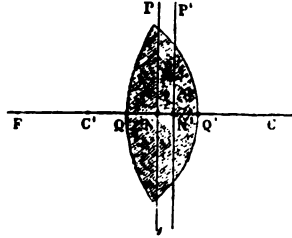
$$f = \frac{6rr'}{3(r + r') - g}.$$

Valamennyi esetben a következő jelölésekkel fogunk élni:

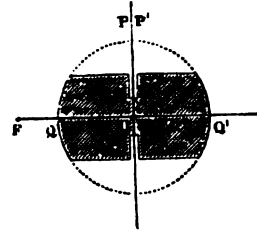
Q és Q' az első és a második csúcspont; C és C' az első és a második görbületi középpont; P és P' az első és a második fő-

sík; F és F' az első és a második gyújtópont. Felteszszük továbbá, hogy a beeső fény balról jobbra tart.

1. **Kétszer-domború lencsék** (489. ábra). Ezekre nézve a megelőző képletek minden módosítás nélkül érvényesek; és figyelembe véve, hogy minden betű pozitív szám helyén áll,



489. ábra. Kétszer-domború lencse.

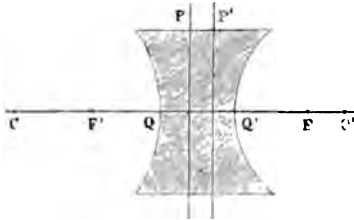


490. ábra. Gömb.

b -t Q -tól jobbra, b' -et pedig Q' -tól balra számítjuk, az első gyújtópont helyének megállapítására f -et P -tól balra számítván.

Abban a különös esetben, midőn valóságos gömb (490. ábra) forog szóban, $r=r'=\frac{g}{2}$, minélfogva

$$b = b' = r, \quad f = \frac{3}{2} r.$$



491. ábra. Kétszer-homorú lencse.

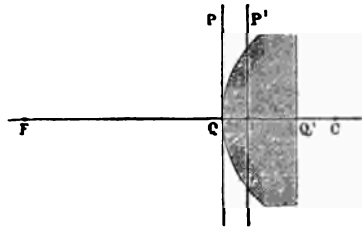
2. **Kétszer-homorú lencsék** (491. ábra). A görbületi sugarak negatívak, ennélfogva ha r és r' abszolút értékeiket jelentik, a képletek a következők:

$$b = \frac{-2gr}{-3(r+r')-g} = \frac{2gr}{3(r+r')+g},$$

$$b' = \frac{2gr'}{3(r+r') + g},$$

$$f = \frac{6rr'}{-3(r+r') - g} = -\frac{6rr'}{3(r+r') + g},$$

következésképpen b Q -tól mindig jobbra, b' -et Q' -tól balra, f -et pedig P -tól jobbra számítjuk, tehát ez esetben a gyújtópontok látszólagosak.



492. ábra. Sík-domború lencse.

3. **Sík-domború lencsék** (492. ábra). Itt $r' = \infty$ teendő, és a képletek a következők:

$$\lim_{r' \rightarrow \infty} b = \lim_{r' \rightarrow \infty} \frac{2gr}{3(r+r') - g} = 0,$$

$$\lim_{r' \rightarrow \infty} b' = \lim_{r' \rightarrow \infty} \frac{2g}{3\left(\frac{r}{r'} + 1\right) - \frac{g}{r'}} = \frac{2}{3}g,$$

$$\lim_{r' \rightarrow \infty} f = \lim_{r' \rightarrow \infty} \frac{6r}{3\left(\frac{r}{r'} + 1\right) - \frac{g}{r'}} = 2r.$$

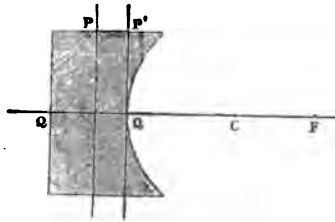
Az első fősík tehát érintő sík a domború felülethez, a másodikat pedig a vastagság $\frac{2}{3}$ részében a sík felülettől balra számítjuk. A valódi gyújtópont a gömbszelet csúcsától felrakott átmérő végpontjában fekszik.

4. **Sík-homorú lencsék** (493. ábra). Itt $r = \infty$ teendő, és a második görbületi sugár negatív; hogy ha abszolút értéke r' , akkor:

$$\lim_{r \rightarrow \infty} b = \lim_{r \rightarrow \infty} \frac{2g}{3 \left(1 - \frac{r'}{r}\right) - \frac{g}{r}} = \frac{2}{3} g,$$

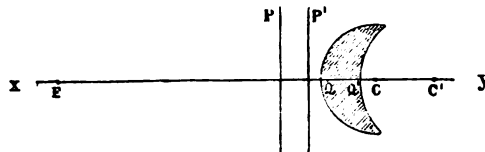
$$\lim_{r \rightarrow \infty} b' = 0,$$

$$\lim_{r \rightarrow \infty} f = - \frac{6r'}{3 \left(1 - \frac{r'}{r}\right) - \frac{g}{r}} = -2r'.$$



493. ábra. Sík-homorú lencse.

Az első fókusz a vastagság $\frac{2}{3}$ részébe esik a sík felülettől számítva, a második pedig a görbe felület érintő síkja; az első látszólagos gyújtópont az első főlonttól (P) jobbra felrakott átmérő végpontjában fog feküdni.



494. ábra. Gyűjtő meniszkus.

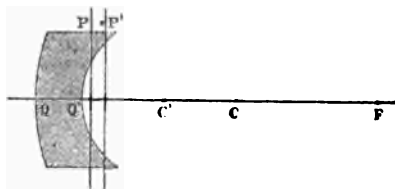
5. Gyűjtő meniszkusok (494. ábra). Az első görbületi sugár (r) pozitív, a második negatív, és ha abszolút értéke r' , úgy $r' > r$, minélfogva:

$$b = \frac{2gr}{3(r - r') - g} = - \frac{2gr}{3(r' - r) + g} < 0,$$

$$b' = \frac{-2gr'}{3(r - r') - g} = \frac{3gr'}{3(r' - r) + g} > 0,$$

$$f = \frac{-6rr'}{3(r-r')-g} = \frac{6rr'}{3(r'-r)+g} > 0,$$

Mint hogy b negativnek, b' pedig pozitívnak adódik ki, mind a két fősík az illető csúcspontokból balra esik, tehát mind a kettő a lencsén kívül a domború oldal mellett fekszik; az első valódi gyújtópont P -től balra van.



495. ábra. Szóró meniszkus.

6. Szóró meniszkusok (495. ábra). Az első görbületi sugár (r) pozitív, a második negatív és abszolút értékre nézve $r' < r$. Ennélfogva:

$$\left. \begin{aligned} b &= \frac{2gr}{3(r-r')-g} > 0 \\ b' &= \frac{-2gr'}{3(r-r')-g} < 0 \\ f &= \frac{-6rr'}{3(r-r')-g} < 0 \end{aligned} \right\} \text{ ha } r > r' + \frac{g}{3}.$$

Az ábrában előtüntetett leggyakoribb esetben, a mikor is a lencse vastagsága kisebb a két görbületi sugár különbségének háromszorosánál, a gyújtópont látszólagos, és mind a két fősík jobbra esik az illető csúcspontoktól, vagyis a homorú oldalon a lencsén kívül fekszik.

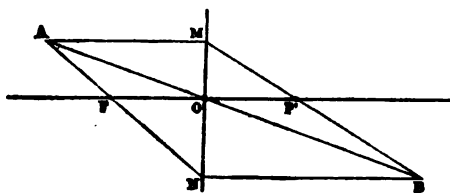
107. Ha a lencse vastagságát folyton kisebbedőnek képzeljük, sarkalatos pontjai bizonyos határhelyzetek felé mozdulnak el, a melyek a **végtelenül vékony lencsének** felelnek meg. E határhelyzeteket megkapjuk, ha a **105.** képleteiben a $g = 0$ helyettesítést teszszük. De midőn $g = 0$, a két felület Q és (Q')

csúcspontjai összeesnek az optikai középponttal (104) és mivel b és b' zérussal egyenlővé válik, ezen egyetlen ponttal összeesnek a főpontok, tehát a csomók is. Valamely végtelenül vékony lencsét tehát meghatározza az optikai középpont és a két gyújtópont, mely utóbbiak a lencsétől egyenlő távolságokra esnek. A gyújtótávolságot a 105. p. (3) képletéből kapjuk, ha ebben $g = 0$ tétetik:

$$\frac{1}{f} = (n - 1) \left(\frac{1}{r} + \frac{1}{r'} \right),$$

mely képlet a 78. pontban találttal azonos.

Az O optikai középpontban (496. ábra) a tengelyre merőlegesen állított sík az érintő síkok, fősíkok és csomóponti síkok minden tulajdonságával fel van ruházva, úgy, hogy valamely AM beeső sugár, mely a tengelylyel párhuzamos, a második gyújtó-



496. ábra. Képszerkesztés.

ponton átmenő MF' irányban lép ki; az első gyújtóponton átmenő AFN beeső sugár pedig a tengelylyel párhuzamos NB mentén lép ki; végre a csomópontnak tekintett optikai középpont felé tartó AO sugár eltorítás nélkül hagyja el a lencsét, és mivel O -ban a két csomó összeesik, még csak eltolódást sem szenved.

Az olyan egyeneseket, melyek mint AOB , az optikai középponton mennek át, miként már mondtunk, melléktengelyeknek nevezzük. A 496. ábra megmutatja az eljárást, hogy az adott A pontnak B képét megszerkeszszük.

108. Ez a szerkesztés hasonló a 103. pontbelihez (487. ábra), mely a lencsék bármely rendszerére vonatkozólag két

konjugált pont meghatározására szolgál; sőt az egyik szerkesztés visszavihető a másikkra. Valóban, ha az egyik ábrát a másikkal összehasonlítjuk, észreveszszük, hogy egy vastag lencsét, vagy pedig egy egész lencserendszert egy végtelenül vékony lencsével helyettesítettnek képzelhetjük, mely vékony lencsének ugyanaz a gyújtótávolsága van és a melynek gyújtópontja összeesik a rendszer gyújtópontjával, úgy, hogy optikai középpontja az első főpontba esik. Ezek után elegendő egy adott alaknak képét a végtelenül vékony lencsére nézve megszerkeszteni és a tengelylyel párhuzamosan a két főpont közötti távolsággal egyenlő úton át elcsúsztatni, hogy ezen alaknak a rendszerre vonatkozó képét nyerjük.

Ezért mondjuk, hogy a vékony lencse *egyértékű* az adott rendszerrel, melyben a szélső közegek azonosak.

Midőn az első közeg különbözik az utolsótól, a rendszer nem vezethető vissza vékony lencsére, de hasonló módon visszavezethető egyetlen gömbi felületre, mely két közeget választ el. Valóban, a 100. pontnak tetszés szerinti rendszerre vonatkozó (1) és (2) képletei azonosak a 70. p. (4a) és 72. p. (10) képleteivel, melyek egyetlen törő felületre vonatkoznak, és ha még az általános rendszerbeli szerkesztést (99. p. 486. ábra) összehasonlítjuk a másikkal (71. p. 457. ábra), azonnal szembeötlik, hogy elegendő, ha a rendszert olyan gömbi felülettel helyettesítjük, mely átmegy az első főponton és a melynek görbületi középpontja összeesik az első csomóval; ezután megszerkesztjük az adott pont képét erre a felületre vonatkozólag, s végre a tengelylyel párhuzamosan elcsúsztatjuk a rendszer két főpontja közötti távolsággal egyenlő úton.

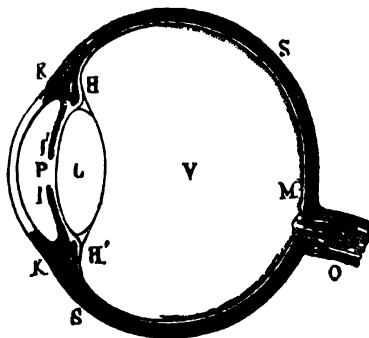
Ilyen fogásokkal valamely centrált rendszerre vonatkozó minden feladat visszavezethető vagy egy vékony lencse, vagy pedig két közeget elválasztó egyetlen gömbi felület esetére.

XXX. FEJEZET.

AZ EMBERI SZEM ÉS AZ OPTIKAI MŰSZEREK.

109. Áttérünk az alkalmazásokra, s megkezdjük a szem ismertetésével.

A külső részekkel nem foglalkozunk. A *szemgolyót* szívós hártya borítja s gömbded alakját a benne levő folyadékok nyomása miatt tartja meg; elülső részén erősebben görbült gömbszelet (KK' , 497. ábra), a teljesen átlátszó *szarúhártya* (*cornea*) dudorodik ki, míg a többi része (SS) fehér és átlátszatlan, és *izomhártyának* (*sclerotica*) neveztetik. Ennek belső felülete véredé-



497. ábra. Emberi szem.

nyekben gazdag fekete hártyával, az *edényhártyával* (*choroidea*) van bevonva, a melyen ismét az *ideghártya* (*retina*) fekszik, mely nem egyéb az *Ólító ideg* szétágzásánál. A szarúhártya mögött látjuk a különböző egyének szemeiben más meg más színű *szivárványhártyát* (*iris*), melynek közepén a *P* nyílás, a *pupilla* van, mely a beeső fény nagyobb vagy ki-

sebb erősségéhez képest önkéntelenül összehúzódik vagy kitágul. Az iris mögött van az *L kristálylencse*; ez kétszer domború lencse, mely belseje felé mindinkább erősbödő állományú és törékenységgű rétegekből áll és igen vékony hártyával, a *capsulával* van bevonva, mely az úgynevezett *ciliar-izmokkal* (HH'), az edényhártya nyujtványával van összekapcsolva.

A kristálylencse a szemet két részre osztja, melyek közül az előlső *P* rész a víztől keveset különböző s ezért *víznedvnek* (*humor aqueus*) nevezett folyadékkal van kitöltve, a hátsó *V* rész zselatinszerű folyadékot tartalmaz: ez az *üvegnedv* (*humor vitreus* vagy *corpus vitreum*), mely igen vékony és átlátszó hártyába (üveghártya, *membrana hyaloidea*) van foglalva, mely hártya a kristálylencse hátsó lapjával és az ideghártyával kapcsolatos.

110. A retina nem színtelen, miként néhány évvel ezelőtt még hitték, hanem szép biborszínű (szembibor), mely szín azonban a fény hatása alatt elszíntelenedik és a halál után még a sötétben sem marad meg 24 óránál tovább. Némely állat szembiborán, közvetlenül az állat megölése után, megfigyelték azon tárgyak képeit, melyeket az állat utóljára látott. Még nem tudjuk, hogy ez az érdekes jelenség miféle szerepet játszik a látásban.

A retina felületét számtalan parányi pálczika alkotja, melyek a felületére merőlegesek és idegnyelecskéket fognak körül, melyeknek alapja kissé duzzadt és a melyek csapocskáknak nevezetnek. A csapocskák a legsűrűbben a szemgolyó tengelyének közelében, a legérzékenyebb helyen vannak, hol is az úgynevezett *sárga folt* (*macula lutea*, *M*) figyelhető meg, melynek közepét ideghártyagödörnek (*fovea centralis*) nevezük; innét tovább menve folytonosan ritkulnak, míg végre a ciliar-izmok felé eltűnnek s velők együtt megszűnik az érzékenység is.

Van még egy másik érzéketlen hely, a *vakfolt* vagy a *Mariotte-féle folt* *O*-nál, ott, a hol a látóideg a szemgolyóba

A



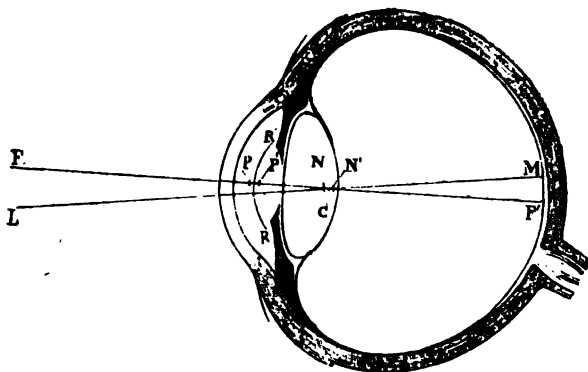
B



lép. Hogy erről meggyőződünk, csukjuk be bal szemünket s jobb szemünkkel nézzünk mereven *A* pontra; ha e szemünket a

papírostól fokozatosan távolabb viszzük, egy bizonyos távolságba jutunk, melyben a másik pont (B) láthatatlanná válik.

111. A sugarak a pupillán át lépnek be, és hogy a retinát elérhessék, a különböző törékenységu közegnek egész rendszerén kell áthatolnia, mely közegnek elválasztó felületei egészen szigorúan véve nem gömbi felületek, sőt még csak nem is forgásfelületek, de azért észrevehető hiba nélkül gömbieknek és centráltnak (91) vehetők. E felületeknek, mint látni fogjuk (116), változékony görbületük van; egyelőre azt az alakjukat tekintjük, melyet felvesznek, midőn a szem nyugszik (117). Továbbá nem vesszük figyelembe a szaruhártya és a víznedv törésmutatója közötti csekély különbséget, a kristály-lencsét pedig helyettesítve képzeljük egy ugyanolyan alakú, de homogén és olyan törésmutatójú lencsével, mely ugyanakkora gyújtótávolságot létesít.



498. ábra. Schematikus szem.

Ilyetén egyszerűsítésekkel az úgynevezett **schematikus szemet** nyerjük, mely tehát négy közegnek centráltnak rendszeréből áll, úgy mint levegőből (tör. mutatója 1), víznedvből (tör. mutatója 1,3465), kristálylencséből (tör. mutatója 1,4545) és üvegnedvből (tör. mutatója 1,3465), melyeket három felület

választ el: a szaruhártya elülső felülete, melynek görbületi sugara 7,8 mm, a kristálylencse elülső felülete, melynek görbületi sugara 9,58 mm, és hátulsó felülete, melynek görbületi sugara —5,87 mm. Az első és a második között 3,78 mm köz van, a második és harmadik között pedig 4 mm.

A 498. ábra a schematikus szemet kétszeres nagyságban tünteti elő; sarkalatos pontjainak (97) a szaruhártya csúcsától számított helyzetét a megelőző adatokból FERRARIS ekként határozta meg:

Első gyújtópont F	--- --- --- --- ---	12,8095 mm
Második gyújtópont F''	--- --- --- --- ---	22,2119 "
Első főpont P	--- --- --- --- ---	1,9578 "
Második főpont P'	--- --- --- --- ---	2,3276 "
Első csomópont N	--- --- --- --- ---	7,0748 "
Második csomópont N'	--- --- --- --- ---	7,4446 "

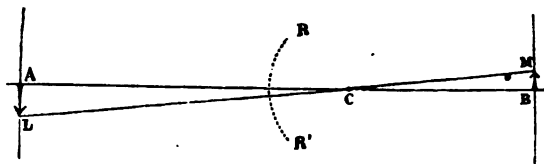
Eme pontok ki lévén tűzve, az előterjesztett szabályok (99) segítségével könnyű meghatározni a képeket, melyeket a tengelyhez közel eső fénypontok a szemben létrehoznak. Így például, figyelembe véve a csomók tulajdonságát (96), L -nek képe azon az $N'M$ egyenesen fog lenni, melyet a második csomóból párhuzamosan húzunk azon egyenessel, mely L -t az első csomóval, N -nel, összeköti. És midőn valamely pont felé tekintünk, szemünket akként fordítjuk, hogy $N'M$ az ideghártyagödröt (110) érje.

112. De a rendszer még tovább is egyszerűsíthető, ha a három belső közeget egyetlen egy közeggel helyettesítve gondoljuk, melyet a levegőtől olyan gömbi felület választ el, hogy a beeső sugarak kevés híján ugyanoly mértékben hajoljanak össze (108).

Ily módon az úgynevezett redukált szemet kapjuk, melyben a két csomó összeesik C középső pontjukban, mely pont középpontja az egyetlen RR' gömbi felületnek és a szem középpontjának nevezetik. E gömb sugara mintegy 5,1 mm, a közép-

pont távolsága a retinától körülbelül 15 mm, az egyetlen folyadék törésmutatója pedig 1,34.

113. Valamely L pont (499. ábra) képe a redukált szemben az L ponton és a C középponton átmenő egyenesen fog lenni, mely egyenes, midőn nézünk, a retinát az M gödörben találja, és ennél fogva **látásvonalnak** neveztetik, de nem esik össze a czen-



499. ábra. A tárgy képe a redukált szemben.

trális tengelylyel, mert a sárga folt nincs a középén, hanem a második gyújtópontra (F' , 498. ábra) vonatkozólag kissé a halánték felé esik.

Azonban valamely AL tárgy (499. ábra) és BM képe a C középpontra vonatkozólag homocentrikusak. A kép nagysága a retinán a távolsággal változik és a két hasonló háromszög megtekintéséből a nagyságra nézve a következő kifejezést kapjuk:

$$BM = CB \frac{AL}{CA}.$$

Ha valamely tárgy AL valódi nagyságának a szem középpontjától való CA távolságához való viszonyát a **tárgy látszólagos nagyságának** nevezzük, és figyelembe vesszük, hogy ama középpontnak a retinától való CB távolsága egyazon szemre nézve állandó, úgy látjuk, hogy **a retina-kép nagysága arányos a tárgy látszólagos nagyságával.**

A P pupilla, miként a 498. ábra mutatja, kissé beljebb esik mint a redukált szem RR' felülete, azonban kényelem kedvéért ezen a felületen szoktuk felvenni, mikor is a **pupilla átmérőjével** annak a körnek átmérőjét vesszük, a melyben az a kúp, melynek csúcsa a C középpont, irányvonala pedig a pupilla, metszi az RR' felületet.

114. A retina-képek fordítottak, és ha mégis egyenesen látunk, ez a szokás dolga. Ennek bebizonyítására kártyalapon lyukat fúrunk, hátulról megvilágítjuk, a szemtől 5 cm-nyire tartjuk, s közéje és a szem közé tűhegyet tartunk. A retinára egyenes árnyék vetődik, de a szokás hatalmánál fogva a tűt megfordítva látjuk.

115. A tiszta látás két feltétele a következő: 1. a tárgy képének a retinán, jobban mondva a sárga folton kell létre jönnie; 2. a képnek eléggé terjedelmesnek kell lennie.

116. A mi az elsőt illeti, megjegyezzük, hogy ha a szem változatlan alakú volna, csak azokat a tárgyakat láthatnók tisztán, melyek bizonyos meghatározott távolságban vannak, mi a tapasztalással ellenkezik. Ennélfogva a szem, hogy a különböző távolságokhoz alkalmazkodjék, magamagát módosítja. A szemnek ez az **alkalmazkodó képessége** a kristálylencsében rejlik, melynek capsulája nagyobb vagy kisebb görbületet vévén fel, a sugarakat többé vagy kevésbé összehajlókká teszi.

Az alkalmazkodó képességnek két határa van, melyek egyén szerint változnak, s melyeket *közeleső pontnak* (punctum proximum) és *távoleső pontnak* (punctum remotum) nevezünk. E pontokat meghatározhatjuk, ha a szemhez igen közel kártyalapot tartunk, melybe a pupilla átmérőjénél kisebb távolságban két lyukacsát szúrunk, s ezeken keresztül egy gombostű fejére nézünk, melyet a kártyától lassacskán távolabb viszünk. Midőn még közel van, kétszeresnek látjuk, mert a két kis nyáláb nem egyesülhet a retinának egyetlen pontjában; azután, midőn a közeleső pontba jut, egyszeresnek látjuk, míg nem a távoleső pontot túlhaladván, ismét kétszeresnek jelenik meg.

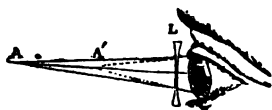
De az utóbbi körülmény nem fog minden szemnél beállni, mert az úgynevezett *myop* vagy *brachymetrop* (rövid látó) szemnek távoleső pontja a szem előtt véges távolságban van, ellenben az *emmetrop* szemé a szem előtt végtelen távolságban; más szemé ismét, a *hypermetrop* szemé, a szem mögött van,

úgy, hogy a retinára olyan nyalábot is gyűjthetnek össze, mely a szaruhártyára már is összehajlóan esik.

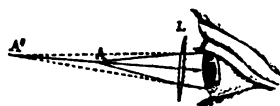
117. Nyugalmi állapotban a szem mindig a távoleső pontra alkalmazkodik, és a közelebb eső tárgyak megtekintése mindig valamelyes erőltetéssel jár.

Az emmetrop szemet, melynek távoleső pontja a végtelenben, közeleső pontja pedig mintegy 20 cm távolságban van, *normális szemnek* tekintjük; a többi, az úgynevezett *ametrop* szemnek szemüvegre van szüksége.

A rövidlátóknak, kiknek szeme nagyon mély, szóró lencsére van szükségük, úgy, hogy messzefekvő pontokból, mint *A*-ból (500. ábra), érkező sugarak a lencsén áthaladván, úgy esnek be a szembe, mint ha közelebb eső pontokból (*A'*) indulnának ki; és valóban, ha a lencsét oly módon választjuk meg és helyezzük el, hogy gyújtópontja összeessen a távoleső ponttal, a párhuzamosan beeső nyaláb úgy fog a lencséből kilépni és a szembe belépni, mintha ebből a pontból indulna ki, és az ekként felfegyverzett rövidlátó szem ugyanazon körülmények közé jut, mint az emmetrop szem.



500. ábra. Rövidlátó szem.



501. ábra. Hypermetrop szem.

Ellenben a hypermetrop szemek, melyek nem alkalmazkodhatnak kis távolságokra, mert nagyon rövidek, gyűjtőlencsékhez fognak folyamodni, melyek az *A*-ból (501. ábra) érkező sugarakat kevésbé széthajlókká teszik.

Azonban az *ametropia*, mely eme bajok mindkettejét magában foglalja és a szemtengely hosszának különbségeiből származik, nem jár az alkalmazkodó tehetség tágasságának

semmi eltéréssel, úgy, hogy az ebben a bajban sínlődő szemek megfelelő lencsék alkalmazásával normálisakká válnak.

Soha sem lehet eléggé kárhóztatni azt a közönbösséget, melylyel némelyek a szemök sugártörő tehetségnek még ha csekély bajait is elviselik, és még inkább azt a balvéleményt, mely őket a szemüveg viselésétől visszatartóztatja; már pedig a szemhez helyesen megválasztott lencsék okos használata az egyedüli eszköz, mely őket gyógyíthatatlan bajoktól s esetleg a vakástól megóvhatja.

Némely szemben a különböző törő-felületek, különösen pedig a szaruhártya és a kristálylencse felületei, annyira eltérnek a gömbi alaktól (111), hogy ennek hatása miatt némely egyén, ki egy pontban csillagalakban keresztesződő egyenesekre tekint, nem látja egyidejűleg valamennyi egyenest egyforma tisztán. Bárki, ki a 8. pontbeli 413. ábrára tekint, kipuhathatja, vajjon szenved-e ebben a szervi bajban, melyet **asztigmatizmusnak** nevezünk s a melyet nem lehet gömbi lencsékkel enyhíteni, hanem csak olyanokkal, melyeknek a különböző délkörök mentén különböző, és a pedig a szeméivel egyenlő, de ellenkező jelű görbületeik vannak.

118. Van még az alkalmazkodó tehetség határának olyatén csökkenése, mely az évek haladásával rendszerint együtt jár és ennélfogva **prezbiopiának** neveztetik. Ez a kristálylencse megkeményedéséből vagy az őt igazító izomszálak elernyedéséből származik, minélfogva a közeleső pont mindinkább távozik, a nélkül, hogy ezt a távoleső pont megfelelő elmozdulása jóvá tenné. Ilyenkor gyűjtő lencsére van szükség, hogy olvasni vagy az igen kicsiny tárgyakat szemlélni lehessen.

A retinán tényleg annál nagyobb képet nyerünk, mentül közelebb hozzuk a tárgyakat, mit különben ösztönszerűleg teszünk. Ennélfogva közeleső pontunkban helyezzük el őket, miért is némelyek e pontot a **tiszta látás távolságának** nevezik; mások ellenben azt a valamivel nagyobb távolságot neve-

zik úgy, a melyben valamely nyomtatványt megerősítés nélkül olvashatunk. De megeshetik, hogy a közeleső pont nem fekszik elég közel arra nézve, hogy a retinán elegendő nagyságú képet létesítsen (115, (2)), s ilyenkor mesterségesen közelítjük oly módon, hogy a szem gyűjtő tehetségét lencsével fokozzuk.

119. A tiszta látás révén nyert képnek minimális nagysága a különböző szemek szerint változik, s változik a tárgy színével, fényességével és hátterével.

A legkedvezőbb körülmények között sikerült megkülönböztetni két pontot, melyek képei $\frac{1}{200}$ mm-nyire állottak el egymástól; körülbelül ennyire rúg a csapok átmérője a sárga foltban (110), a mi arra vall, hogy a csapok a retinának végső érző elemei.

A képeknek az ideghártyagödörre eső részei a legtisztábban különböztethetők meg; a többi annál zavartabb, mentül távolabb esnek tőle. De a gödör oly kicsiny, hogy a karhosszúság távolságában tartott mutató ujjunk körmének képe épen csak hogy elfedi. És hogy mégis jóval terjedelmesebb *mezőt* is át tudunk tekinteni, ezt a szem nagy mozgékonyságának kell tulajdonítanunk, melynélfogva a különböző pontokat egymásra következőleg tekintí. Ez a magyarázata, hogy miért oly nehéz szürküléskor az égbolton valamely csillagra vagy a tengeren valamely vitorlára rátalálni, pedig igen jól meg tudjuk különböztetni, ha már egyszer megláttuk.

120. A retina-képek a külső tárgyakról való ítéletünk alapját teszik. Nagyságukat képeik nagysága szerint ítéljük meg. De a kép méretei csakis a *látásszögtől* függenek, mely szög a tárgy homolog méreteinek végpontjain átmenő látásvonalak (113) közé van zárva.

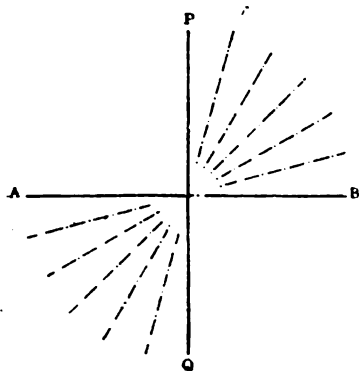
Ha adott szöget bezáró látásvonalak nagyon ferdén fordítatnak egy korlátlan hosszú egyenesre, ebből nagyobb darabot foglalnak magukba, mint a midőn merőlegesen vannak fordítva; és valóban, ha megpróbáljuk megjelölni egy falon,

hogy mily magasra érne a kalap, mely fejünket fedi, ha a földre a fal mellé leteszszük: mindenki a valódinál nagyobb magasságot jelölne meg.

Arra az esetre nézve, midőn a megbecsülendő méret megközelítőleg merőleges a szemtengelyre, a 113. pontban már megállapítottuk, hogy látszólagos nagyságát a valódi nagysága és a szem középpontjától való távolsága közötti viszonynyal mérjük. Ha ezt a távolságot ismerjük, a valódi nagyság megítélése mintegy észrevétlenül történik; de ha a körvonalak tisztaságából, vagy az alkalmazkodó tehetség megerőltetéséből, vagy a két szem tengelyének adandó hajlásból kell következtetnünk, akkor nem jövünk tisztába és gyakran csalódunk. Így ha a szemhatár közelében levő holdat fátyolozva látjuk, meszszebb levőnek és ennélfogva nagyobbak véljük, mint a midőn magasan áll.

121. Hogy lássuk, mennyire hamissá válhatik ítéletünk, a látásbeli vagy optikai csalódások néhány példáját fogjuk idézni.

A függélyes vonalakat általában hosszabbaknak ítéljük a vízszinteseknél: koczkának, vagy még inkább czilinder-kalapnak



502. ábra. Látásbeli csalódás.

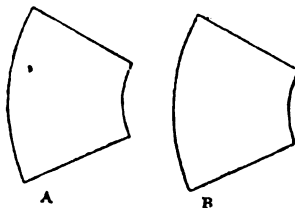


503. áb. a. Látásbeli csalódás.

magassága felülmulni látszik a szélességét. Üres szoba kisebbnek tűnik elő a bebutorozottnál. A PQ egyenes (502. ábra), mely

merőleges AB -re, ferdének látszik, mert az üres szögeket kisebbnek véljük a tömötteknél. Az A és B egyenesek (503. ábra) lefelé menet összehajolni látszanak s az őket keresztező vonalak nem látszanak egyeneseknek. E körülményt figyelembe kellene venniök az építészeknek, hogy aféle hibát el ne kövessenek, minőt a figyelmes szemlélő a flórenczi dóm új homlokzatán észre vesz, hol is a jobbra- és balra-kanyarodó spirális oszlopok, mivel egymáshoz közel vannak, ferde állásúaknak látszanak.

Az A és B szektorok (504. ábra) különböző nagyságúaknak látszanak, pedig a valóságban egyenlők; stb. Itt azonban nem



504. ábra. Látásbeli csalódás.

terjeszkedhetünk ki ezeknek és számtalan más csalódásnak magyarázatára, melyek már a fizio-logia és részben a pszichológia terére lépnek.



505. ábra. Irradiáció.

122. Mindazonáltal fel kell említenünk az **irradiáció** tünetét, mely abban áll, hogy az erősen megvilágított területek nagyobbaknak látszanak a sötéteknél; fehér négyzet fekete alapon nagyobb-nak látszik fekete négyzetnél fehér alapon; pálczika láng előtt megvékonyultnak tűnik elő. Az 505. ábrában, ha néhány méternyiről tekintjük, a fehér csik jóval szélesebbnek látszik a feketénél.

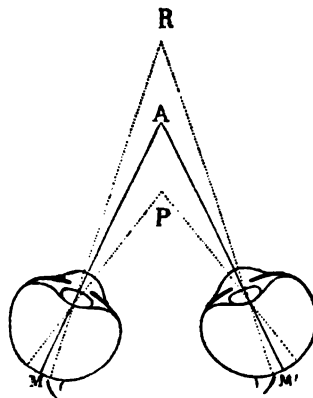
Kellőképen megvilágított tárgy sötét alapon még 30'' látászög alatt is látható, míg ellenben fekete vonalnak fehér alapon

nem lehet 2'-nál kisebb látásszöge; ennélfogva Amerikában azt az eszmét pendítették meg, hogy a könyveket fekete lapokra fehér betűkkel nyomtassák.

Az irradiációt az alkalmazkodó tehetség tökéletlenségével és a szem gömbi eltéréssel magyarázzák; az utóbbi miatt valamely fénypontnak a retinán kicsiny kör, a *szórási kör* felel meg.

123. Nem kevésbbé csalódhatunk a *távolság megítélésében*, midőn csak egy szemmel nézünk. A távolságok megítélésében az vezérel, hogy némely tárgyat részben mások mögött látunk, hogy egyes részleteiket többé-kevésbbé különböztetjük meg; tájékoztat bennünket még az árnyékvető fényforrás helyzete, és még inkább tájékoztatnak a szemnek adott különböző helyzetek, melyeknél fogva a megfigyelt tárgy a háttérrel egymástól többé-kevésbbé távol eső pontokban fedi; de a mélység valódi érzetére csak mind a két szem együttes használata révén jutunk.

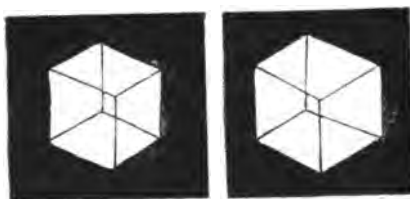
124. Valamely *A* pont (506. ábra) megtekintésekor a két szem látásvonalát e pontban hajlítjuk össze, úgy, hogy a két kép az *M* és *M'* gödrökön keletkezik. Ezt a pontot egyszerűnek látjuk, míg ellenben minden más pontot, mint *P* és *R*-t, melyek vagy közelebb, vagy távolabb esnek, kettősen látunk, miről könnyen meggyőződhetünk, ha ujjunkat szemünk elé tartjuk és egy távolabb fekvő tárgyra tekintünk. Miként a két gödörnek közép-pontja, úgy a két retina minden pontja kettenként megfelel egymásnak, és a képek, melyek *két megfelelő ponton* keletkeznek, a szokás erejénél fogva egyetlen egy észrevételben olvad-



506. ábra. Látás két szemmel.

nak össze. Azt a felületet, melyen egy pillanatban egyszerűeknek látszó pontok fekszenek, *horopternek* nevezzük.

125. De két szemmel a tárgyakat egyidejűleg különböző oldalakról látjuk, miről könnyen meggyőződhetünk, ha vékony könyvet felénk fordított háttal egyenesen tartunk: jobb szemünk a czímlapot, bal szemünk pedig az utolsó lapot fogja látni. És épen e két különböző képnek összeolvadása kelti fel a **domborúság érzetét**, melyet csak oly módon idézhetünk elő mes-



507. ábra.

508. ábra.

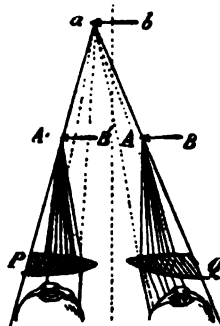
Fél szemmel látott kocka.

terségesen, hogy mindegyik szem elé egy neki megfelelő távlati képet állítunk. Így ha az 507. és 508. ábra közé egy kártyalapot akként tartunk, hogy az elsőt csakis a bal szem, a másodikat csakis a jobb szem lássa, és ha a látásvonalakat akként hajoltatjuk össze, mint ha a lapon keresztül akarnánk nézni, csakhamar sikerülni fog egy átlátszó kockát látnunk.

126. Ha azonban a két rajz terjedelmesebb volna, nem lehetne a szemeket kényszeríteni, hogy a megkívántató összehajlásra helyezkedjenek. És ezért mindig legjobb a **stereoszkóphoz** folyamodni. A leggyakoribb fajtáját az 509. ábra keresztmetszetben tünteti elő. *P* és *Q* két gyűjtő fél-lencse, *AB* és *A'B'* pedig a két stereoszkópos rajz, melyek a belőlük kiinduló sugarak eltérítése miatt két, egymást *ab*-ben fedő látszólagos képet adnak.

A stereoszkóp a többi között arra is szolgálhat, hogy vele a hamis bankjegyeket felismerjük, és hogy megtudjuk, hogy

valamely nyomtatványnak két másolata egyazon levonatbeli-e vagy sem. Valóban, ugyanazon metszetről vagy betűfajtáról való két másolat teljesen azonos, és a stereoszkóppal együttesen megfigyelve egyazon síkon jelenik meg; de ha utánzatok vagy másod-nyomtatványok, lehetetlen, hogy a vonások vagy betűk teljesen egyenközűek legyenek a két lap mindegyikén, és ennél fogva különböző síkokon jelennek meg.



509. ábra. Sztereoszkóp.

127. A lencséből vagy tükrökből összeállított **optikai műszerek** arra valók, hogy olyan képeket hozzanak létre, melyek a megfigyelésre nézve kedvezőbb körülmények között vannak a pusztá szemmel közvetlenül megtekintett tárgyaknál. Az optikai műszereket alkotó lencsék vagy lencserendszerek *tárgylencsékre (objektív)* és *szemlencsékre (okulár)* osztatnak fel.

128. Valamely objektív nem egyéb gyűjtő rendszernél, melynek feladata, hogy a tárgy valódi képét hozza létre; lehet homorú tükrök (*katoptrikai objektív*), vagy pedig gyűjtő lencse vagy lencserendszer (*dioptrikai objektív*).

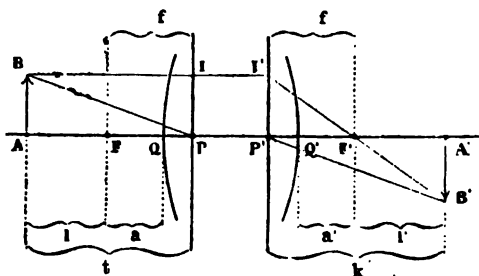
A gömbtükrök elméletéből az itt megkívántatókat már ismerjük (36), és a következőkben (151) szólni fogunk néhány műszerről, melynél objektívként használtatnak.

A **dioptrikai objektívek**re vonatkozólag megjegyezzük, hogy mindig több lencséből állanak, és pedig a végből, hogy a gömbi eltérést, a mennyire csak lehet, csökkentsék, és hogy a képek szivárvány-színezetének elejét vegyék, vagy mint mondani szoktuk, hogy a képeket *achromatikusakká* (178) tegyék. Továbbá újra felemlítjük, hogy levegőbe merített lencserendszertől létesített képnek nagysága és helyzete (106) csakis a rendszer gyűjtótávolságától ($FP = F'P'$, 510. ábra) és a fókuszok

(P, P') helyzetétől függ. Hogy az $A'B'$ kép valódi legyen, nyilván elegendő, hogy az AB tárgy az első fősíktól a PF -nél nagyobb $PA = t$ távolságban legyen.

Ezek után valamely objektív jellemző alaptulajdonságainak meghatározásában ekként járhatunk el:

1. meghatározzuk a második gyújtópontot (F'), megmérvén, hogy a második (utolsó) felülettől (Q') számított mekkora



510. ábra. A kép függése a gyújtótávolságtól.

a' távolságban van a végtelen (igen messze) távolságban levő valamely tárgynak képe;

2. megfordítjuk a rendszert és hasonlóképen meghatározzuk a másik gyújtópont a távolságát az első (Q) felülettől;

3. az első gyújtóponttól l távolságban valamely AB tárgyat helyezünk el és megmérjük valódi képének ($A'B'$) a második gyújtóponttól való (l') távolságát. Mivel:

$$t = f + l, \quad k = f + l',$$

az általános egyenlet (103):

$$\frac{1}{t} + \frac{1}{k} = \frac{1}{f} \quad (1a)$$

a következő NEWTON-féle alakot ölti:

$$fa = ll', \quad (1b)$$

mely f kiszámítására szolgál.

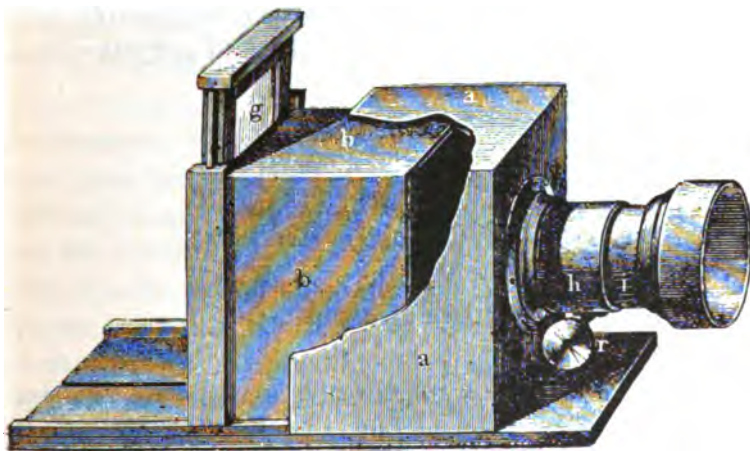
Ismervén f -et, az első (P) fősíknak az első (Q) felülettől való távolságát $f - a$, és a második fősíknak (P') a második felülettől (Q') való távolságát $f - a'$ adja.

A való kép fordított, és az objektív nagyítása, vagyis a kép K nagyságának a tárgy T nagyságához való viszonya egyenlő a képnek a második fókustól való k távolsága és a tárgynak az első fókustól való t távolsága közötti viszonyával (103):

$$\frac{K}{T} = \frac{k}{t} = \frac{k-f}{f} = \frac{f}{t-f} = \frac{l'}{f} = \frac{f}{l}. \quad (2a)$$

Ha $t > k$, vagyis $t > 2f$, a kép kisebb a tárgynál, és az objektív a helyett, hogy nagyítana, kicsinyít.

129. Rendszerint ez esik meg a sötét kamarának (camera obscura) nevezett készülékben (511. ábra), mely épen egy objektívből áll, mely a szekrény elülső falának közepébe illesztett



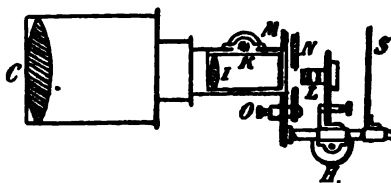
511. ábra. Sötét kamara.

fémcsőbe van foglalva. A külső tárgyak valódi képét pontosan rávethetjük az áttetsző g lapra, és pedig oly módon, hogy vagy a szekrény hátulsó kettős falát, vagy pedig az r csavar segítségével a lencserendszert mozditjuk el. A g lapon íróónnal utánarajzolhatjuk a tárgy körvonalait; a fotografus azonban a

lapot a fény iránt érzékeny lemezzel helyettesíti, miről később (257) fogunk szólni. A legközönségesebb fotografiai objektívek két achromatikus (178) gyűjtőlencséből állanak, melyeknek gyűjtőtávolsága 30—40 cm s a melyek között 8—10 cm-nyi köz van. Közéjük egy átlátszatlan s a közepén kerek nyílással ellátott fényrekesz (diafragma) van téve, mely feltartóztatja a merőleges beeséstől nagyon eltérő sugarakat (27). Mentül kisebb a nyílás, annál tisztábbak a képek, de intenzitásukból is annál többet vesztenek.

130. A napmikroszkóp elvégre szintén csak gyűjtő objektív, melyet azonban úgy alkalmazunk, hogy egy ernyőre nagyított valódi képet vessen, minél fogva a tárgyat a gyűjtőpont és a kétszeres gyűjtőtávolság közé megfordítva kell elhelyezni.

Az előbbeni megjelöléseket használva, a nagyítást (2a) képlet fejezi ki; ha erős nagyítást kívánunk, rövid gyűjtőtávolságú



512. ábra. Napmikroszkóp.

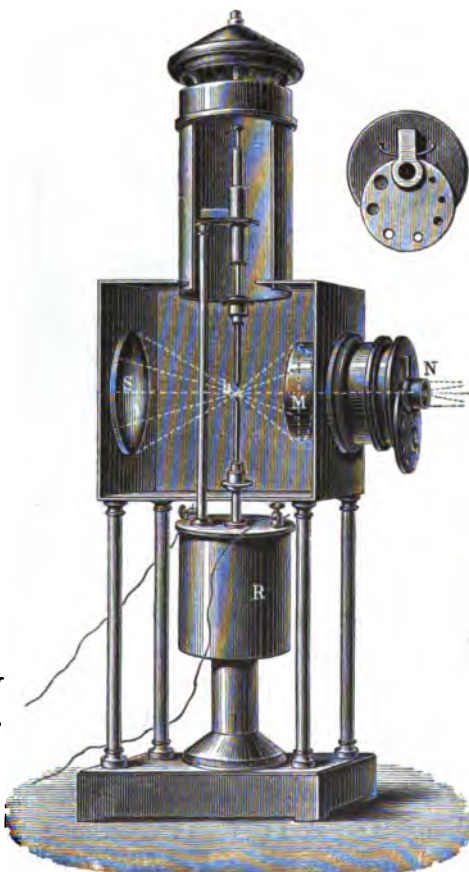
lencsét kell használnunk. De mivel ez a világosság rovására van (89), egyetlen lencse helyett ez esetben is több lencséből álló gyűjtő rendszert alkalmazunk, miként *L*-ben (512. ábra) látható.

A tárgyat, mely az átlukasztott *M* és *N* két lemez közé van illesztve, erősen meg kell világítanunk, ha azt akarjuk, hogy a kép elegendő világos legyen; ugyanis a tőle kiinduló fény sokkal nagyobb *S* felületen oszlik meg; pontosan szólva az

$$S = \left(\frac{K}{T} \right)^2 s$$

felületen oszlik meg, hol s a tárgy területe. Ez az oka, hogy a *C* kollektor-lencsét kell alkalmaznunk, melyet közvetlenül a heliostattra (31) illesztünk, s mely a napsugarakat az *I* második lencsére gyűjti, melynek gyújtópontja közelében van elhelyezve a tárgy. A *K* és *H* hajtócsavarok segítségével az *I* és *L* lencsákat a készülék tengelye mentén a megkívántató helyzetbe állítjuk a végből, hogy a kép tisztán jelenjék meg az ernyőn, melyet az idegen fénytől kerek nyílással ellátott *S* lap óv meg.

131. A napmikroszkóphoz hasonlóak a vetítő készülékek, melyekkel nagy hallgatóságnak képeket, apró tárgyakat vagy kis térben végbemenő jelenségeket, például egy hőmérő járását, folyadékok, gázok keveredését vagy egy hangvilla rajzait stb. szoktak bemuttatni. Ilyenkor az elektromos fényhez folyamodhatunk, mint az 513. ábrában előtüntetett lámpában, mely az *S* gömbtükör középpontjában és az *M* gyűjtőlencse (kollektor vagy kondenzátor lencse) gyújtópontjában ég; vagy pedig felhasználhatunk egy mézsküpot, melyet oxigénben égő

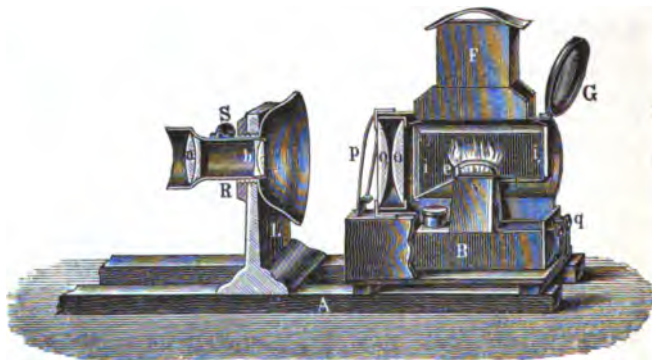


513. ábra. Vetítő készülék.

hidrogén-árammal vagy világító gáz áramával izzitunk (*Drummond-féle fény*).

A **bűvös lámpa** (laterna magica) szerényebb fajtája az ide tartozó készülékeknek, melyek közül mint igen kényelmeset a *szkiptikon* említjük fel, melyet az 514. ábra keresztmetszetben mutat.

Fényforrásul két lapos láng (*e*) szolgál, melyeket a *B* tartó kőolajjal táplál, s a melyek a légáramlást élesztő *F* kürtővel ellátott szekrénybe vannak zárva. *I* és *I'* két sík üveglemez, *G* homorú tükör, *O*, *O* pedig két kollektorlencse, melyek arra



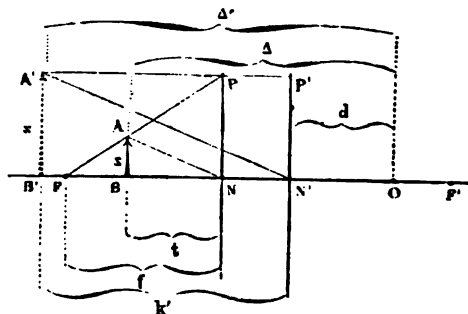
514. ábra. Szkiptikon.

valók, hogy megvilágítsák a *P* csiptetőbe fogott vetítendő képet, vagy pedig a tárgyat, mely az *L* a vetítő készülék előtt van elhelyezve; ez utóbbi az *A* sínpáron csúsztható és egy tölcserből és az *a* és *b* lencséből áll, melyek az *S* hajtóval igazíthatók.

132. Térjünk át az **okulárokra** (127). Ezek kicsiny lencserendszerek, melyeken át a szem vagy tárgyakat, vagy objektívektől létrehozott valódi képeket, vagy végre látszólagos (virtuális) tárgyakat (74, (2)) figyel meg. Az okulárok csaknem mindig látszólagos képeket adnak. *Pozitív okulároknak* azokat nevezzük, melyek valódi tárgyak vagy valódi képek megfigyelésére

valók; ezek, nem tekintve a rövidlátók szemüvegeit (117), mindannyian gyűjtő rendszerek. A *negatív okulárok* pedig lát-szólágos tárgyak megszemlélésére szolgálnak, azaz összehajló nyalábok összegyűjtésére valók; némely negatív okulár *gyűjtő*, mint pl. a HUYGENS-féle (138), más pedig *szóró*, mint a GALILEI-féle (150).

133. Abban az esetben, midőn a **pozitív okulár** vékony lencsének tekinthető, a 84. p. 473. ábrájából látható, hogy miként lehet a lencse és a gyújtópont (F) közé helyezett tárgynak képét megszerkeszteni. A kép, mint tudjuk, látszólagos és ennél fogva egyenes állású és nagyított. Abban az általánosabb esetben, midőn az okulár vastag lencséből vagy több lencséből áll, a tengelyre merőleges AB tárgy (515. ábra) pedig az



515. ábra. Egyszerű nagyító.

első gyújtópont és az első csomó közé van helyezve, A -t összekötjük N -nel, a második csomóból (N') az NA -val párhuzamos $N'A'$ vonalat húzzuk, ezután A -t összekötjük az F gyújtóponttal s e vonalat meghosszabbítjuk, míg az első fősíkot P -ben nem metszi, végre e pontból párhuzamosat húzunk a tengellyel, és a hol ez az egyenes $N'A'$ -t metszi, abban az A' pontban van A -nak konjugált pontja, a tengelyre merőleges $A'B'$ pedig AB -nek a képe, melyet tisztán lát az a szem, mely tőle abban a távolságban fekszik, melyre alkalmazkodva van.

134. Ily módon használt okulárt **egyszerű nagyítónak** nevezünk, melyet hasznunkra fordíthatunk mindakkor, midőn oly kicsiny tárgyat akarunk megsejmelni, mely a puszt szemben nem adna a retinán elegendő nagyságú képet (118), még ha a tárgy a közel eső pontban feküdnék is.

A 103. p. általános képlete :

$$\frac{1}{t} + \frac{1}{k} = \frac{1}{f}, \quad (1a)$$

az esetben, midőn $t < f$, k -ra nézve negatív értéket ad, mi azt jelenti, hogy e távolságot a második fókustól ($N'P'$) az AB fényforrás felé kell számítani, miként már a szerkesztés is világosan mutatja.

A kép K nagysága és a tárgy T nagysága közötti viszony, mely a 103. p. (2b) képlete szerint :

$$\frac{K}{T} = \frac{k}{t},$$

tehát negatív, s ennél fogva a kép egyenes (74, (4)). Abszolút értékében e viszony :

$$\frac{K}{T} = \frac{f}{f-t} = \frac{f+k}{f}. \quad (2c)$$

Azonban a puszt szemmel megfigyelt tárgynak látszólagos nagyságát (113) meghatározza valódi T nagyságának a szem középpontjától való d távolságához való viszonya, vagyis $\frac{T}{d}$; hasonlóképen $\frac{K}{d'}$ a kép látszólagos nagysága, ennél fogva a **nagyítás**, melyet az okulárokra nézve eme két látszólagos nagyság viszonya határoz meg, a következő :

$$N = \frac{K'd}{Td'}.$$

Ha $d = d' - k$ a szem középpontjának (O) a vékony lencsétől vagy a lencserendszer második fókuszától (N') való távolsága, $d = d'$ -re nézve :

$$N = \frac{K}{T} = \frac{k+f}{f} = \frac{\Delta-d}{f} + 1.$$

Ennélfogva máskülönben egyenlő körülmények között a rövidlátók kisebb nagyításban részesülnek; de mindenkire nézve jó, hogy rövid gyújtótávolságú okulárt válaszszon és ezt igen közel a szemhez helyezze el, a tárgyat pedig addig mozgassa el, míg egészen tisztán nem látja.

Mindazonáltal midőn egy nyomtatvány előtt gyűjtő lencsét változatlan helyzetben tartunk, s egyik szemünkkel rajta keresztül nézünk, míg a másikat pusztán hagyjuk, úgy látszik, hogy jó, ha távolodunk. De meg kell gondolnunk, hogy ebben az esetben a távolság, melyből a tárgyat közvetlenül nézzük, nem egyenlő — miként az imént feltettük — azzal a távolsággal, melyből a képet látjuk, azaz Δ nem $= \Delta'$; de vékony lencsére nézve $\Delta = t + d$, és ekkor a nagyítás:

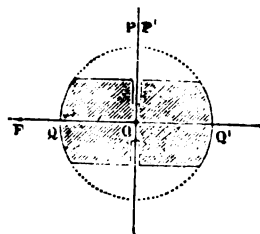
$$N' = \frac{K\Delta}{T\Delta'} = \frac{k}{t} \cdot \frac{d+t}{d+k},$$

vagy pedig k -nek (1a)-ból vett abszolút értékét helyettesítve:

$$N' = \frac{t+d}{t + \left(1 - \frac{t}{f}\right)d},$$

mely kifejezés, a zárójelben levő tag kisebb lévén az egységnél, d -vel együtt folytonosan növekszik, ha t változatlan marad.

135. Jelenleg nagyon használatos BREWSTER egyszerű nagyítója, mely végső elemzésben nem egyéb egy gömbnél, melyből a fölösleges részek elannyira le vannak metszve, hogy az egészből csak egy henger marad, mely két gömbszeletben végződik (516. ábra). A henger tengelyére merőlegesen és a középponttal szemközt egy csatorna van kiköszörölve, mely csak a centrális sugarakat ereszti át és ennél fogva a gömbi eltérést (88) csök-

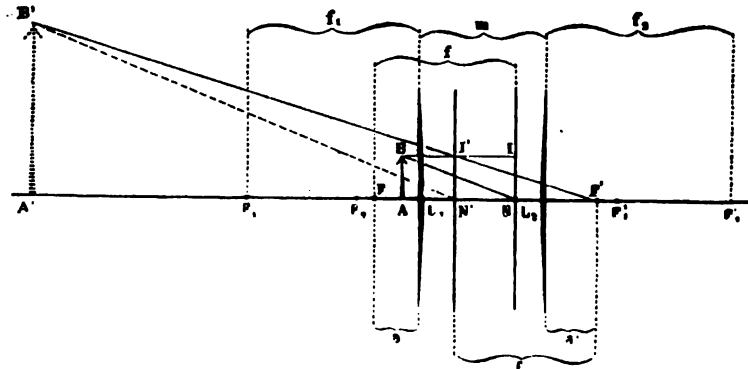


516. ábra. A Brewster-féle nagyító elve.

kenti. Ebben a mikroszkópban, miként már tudjuk (106, (1)), a csomópontok, tehát a fókuszok is a középpontban összeesnek és a középpontnak a gyújtóponttól való távolsága a gömbsugarának mintegy a $\frac{2}{3}$ része.

Egyszerű nagyítóul gyakran alkalmazunk két sík-domború lencséből álló rendszert is; a lencsék sárgarézgyűrűkbe vannak foglalva, melyek lehetővé teszik a közöttük levő távolság szabályozását, hogy mindenki a szeméhez a legjobb módon alkalmazhassa. Ez a rendszer, melyet WOLLASTON gondolt ki, a francia *doublet* néven ismeretes.

136. És itt helyén való, hogy megmutassuk, miként vezethetjük le két lencséből álló rendszernek elemeit, ha az egyes lencséknek — melyeket vékonyaknak fogunk felvenni — elemei



517. ábra. Lencserendszer elemeinek szerkesztése.

adva vannak. Az L_1 első lencsének (517. ábra) gyújtópontjai legyenek F_1, F_1' , gyújtótávolsága legyen f_1 , az L_2 második lencsétől való távolsága pedig m ; a második lencse gyújtópontjait és gyújtótávolságát jelöljük F_2, F_2' és f_2 -vel.

Hogy a sugarak a második lencséből egymással párhuzamosan lépjenek ki, kell hogy olyan nyaláb essék rá, mely első gyújtópontjából, F_2 -ből, hajlik szét; ennél fogva a rendszernek F első gyújtópontja az a pont, melynek az L_1 első lencsére vonat-

kozó képe F_2 . Ha a -val jelöljük az FL_1 távolságot és a lencsék minta-képletét, vagyis a 78. p. (3) képletét alkalmazzuk, melyben

$$f = f_1, \quad t = a,$$

$$k = -F_2 L_1 = -F_2 L_2 + L_1 L_2 = m - f_2$$

teendő (k a figyelembe vett lencse előtt számítandó), a következő egyenlet áll:

$$\frac{1}{a} + \frac{1}{m - f_2} = \frac{1}{f_1}. \quad (\alpha)$$

A kombinált rendszer F' második gyújtópontja hasonló módon az a pont, a melyben az L_2 -ből kilépő azon sugarak egyesülnek, melyek az L_1 -re párhuzamosan esett sugarakból származtak, vagyis az L_1 lencse F_1' második gyújtópontjának L_2 -re vonatkozó képe, minélfogva ez esetben a lencse minta-képletében

$$f = f_2, \quad k = L_2 F' = a',$$

$$t = -L_2 F'_1 = -L_1 F'_1 + L_1 L_2 = m - f_1$$

teendő, mi a következő második egyenletre vezet:

$$\frac{1}{m - f_1} + \frac{1}{a'} = \frac{1}{f_2}. \quad (\beta)$$

Másrészt, ha f -fel jelöljük a rendszer gyújtótávolságát, vagyis az F első gyújtópont távolságát az N első csomótól, és ha meggondoljuk, hogy ugyanezen rendszerre nézve F_1 és F_2' -nek szükségképen konjugált pontoknak kell lenniök, alkalmazhatjuk a 103. p. (1a) képletét, mely, tekintve hogy

$$t = F_1 N = F_1 L_1 + FN - FL_1 = f_1 + f - a,$$

$$k' = F'_2 N' = F'_2 L_2 + F' N' - F' L_2 = f_2 + f - a',$$

a következő alakot ölti:

$$\frac{1}{f_1 + f - a} + \frac{1}{f_2 + f - a'} = \frac{1}{f}. \quad (\gamma)$$

Az α), β) és γ) egyenletekből

$$\left. \begin{aligned} a &= \frac{f_2 - m}{f_1 + f_2 - m} f_1, & a' &= \frac{f_1 - m}{f_1 + f_2 - m} f_2, \\ f &= \frac{f_1 f_2}{f_1 + f_2 - m}. \end{aligned} \right\} \quad (3)$$

137. Alkalmazzuk e képleteket RAMSDEN pozitív okulárjára, mely majdnem minden csillagászati messzelátónak alkotó része, és miként a *doublet* (135), két síkdomború lencséből áll, a melyeknek azonban egyazon f_1 gyújtótávolságuk van. A két lencse közötti köz rendszerint $m = \frac{2}{3} f_1$, mely értékét a megelőző képletekre téve, kapjuk:

$$a = a' = \frac{1 - \frac{2}{3}}{2 - \frac{3}{3}} f_1 = \frac{1}{4} f_1,$$

$$f = \frac{f_1}{2 - \frac{2}{3}} = \frac{3}{4} f_1,$$

honnét azonnal kitetszik, hogy a gyújtópontok a rendszeren kívül esnek, és hogy ezen kívül:

$$f - a = \frac{1}{2} f_1,$$

vagy szintén hogy az első lencsének az első csomóponttól való távolsága

$$\frac{m}{2} = \frac{1}{3} f_1$$

hosszszal nagyobb a második csomóponttól való távolságánál; a második csomó tehát megelőzi az elsőt, miként az 517. ábra is mutatja, melyből egyúttal kitűnik, hogy miként keletkezik az AB tárgynak $A'B'$ látszólagos és nagyított képe.

138. A CAMPANI- vagy HUYGENS-féle negatív okulár szintén gyűjtő, és két síkdomború lencséből áll, melyeknek sík lapja a szem felé van fordítva. Ha az L_2 második lencsének (518. ábra), mely elé szemünket tartjuk, f_2 gyújtótávolsága kisebb a két lencse közötti m köznél ($f_2 < m$), az első lencsée pedig valamivel nagyobb, azaz $f_1 > m$, a sarkalatos pontok úgy vannak elhelyezve, miként az ábra mutatja.

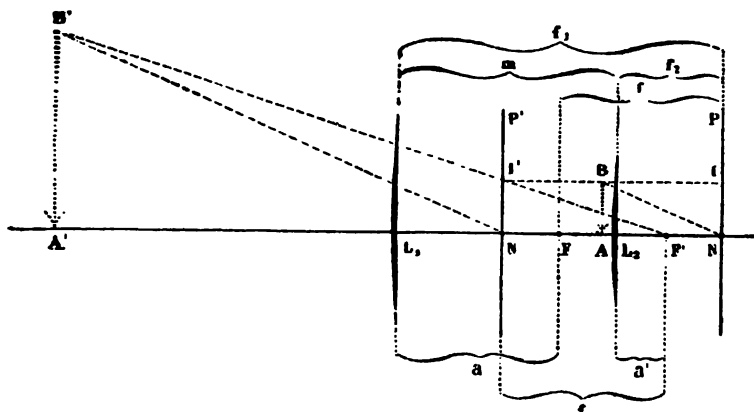
Mutassuk ki ezt arra a negatív okulárra, melyet DOLLOND angol optikus szokott szerkeszteni. Ebben :

$$f_1 = \frac{3}{2} m, \quad f_2 = \frac{1}{2} m,$$

minélfogva a 136. p. (3) alatti képletei így módosulnak :

$$a = \frac{\frac{1}{2} - 1}{\frac{3}{2} + \frac{1}{2} - 1} \cdot \frac{3}{2} m = -\frac{3}{4} m, \quad a' = \frac{1}{4} m,$$

$$f = \frac{3}{4} m.$$



518. Ábra. Negatív okulár.

Az F első gyújtópontnak az L_1 első lencsétől való a távolsága negatív lévén, a lencse mögött, tehát jobbra kell számítani, és az f gyújtótávolság pozitív lévén, az első gyújtóponttól szintén jobbra számítandó, és az első csomó N -ben fog lenni olyan módon, hogy $L_2 N = L_1 F + FN = 2f$.

Valamely beeső nyaláb, mely F felé hajlik össze, párhuzamos kilépő nyalábot fog eredményezni, de ha a beeső nyaláb az F és a második lencse (L_2) között fekvő A felé hajlik össze, olyan nyaláb létesül, mely A' pontból vagyis A -nak a rendszerre vonatkozó konjugált pontjából hajlik szét, és ha a szem erre a

pontra van alkalmazkodva, $A'B'$ -ben a látszólagos AB tárgynak látszólagos képét fogja látni.

Ennek az okulárnak az a jó oldala van, hogy — a mint látni fogjuk (141) — nagyon terjedelmes mezőt és igen szabályos képeket ad. Ennélfogva alkalmazzák is minden összetett mikroszkópban és messzelátóban, melyek irányok kitűzésére (148) nem használatnak.

A szóró okulárokról később, a GALILEI-féle messzelátó leírásában fogunk szólni.

139. Áttérünk most az **összetett műszerekre**; ezek objektívól és okulárból állanak. Az objektív, mint tudjuk, magában véve valódi fordított képet adna, az okulár pedig arra való, hogy vele ezt a képet szemléljük, azaz hogy ennek a képnek látszólagos, nagyított és olyan távolságba helyezett képét adja, a melyre a szem alkalmazkodni képes. Ha a szem végtelen távolságra van alkalmazkodva, eme kép helyzete a második gyújtósík; ha véges távolságra van alkalmazkodva, közelebb kell esnie. De abban az anormális esetben, midőn a szem hypermetrop, az okulárnak valódi, a megfigyelő háta mögött keletkező képet kellene adnia, és ez a szem, felfogván a kilépő sugarakat, ezeket kisebb távolságban, és pedig épen a retinán egyesíti.

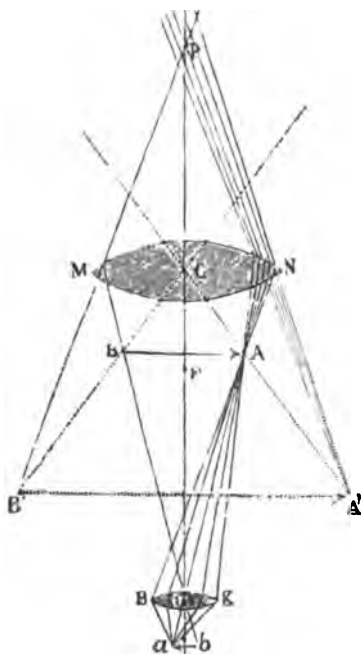
Legegyszerűbb alkotó részeikre visszavezetve, mindezek a műszerek két vékony lencséből állanak; de a gyakorlatban mind az objektív, mind pedig az okulár több lencséből áll, hogy ily módon az eltérések kisebbedjenek, vagy pedig, hogy más czélok, például a mező tágitása, stb. el legyenek érhetők. Minden esetben úgy tanulmányozhatjuk őket, ha mindegyik rendszert a vele egyértékű (108) vékony lencsével helyettesítve gondoljuk.

E műszerek *mikroszkópoknak* vagy pedig *messzelátóknak* neveztetnek a szerint, a mint kicsiny és hozzáférhető tárgyak megfigyelésére, vagy pedig hozzá nem férhető tárgyak megfigyelésére szolgálnak.

140. Az összetett mikroszkópban a HK rövid gyújtótávolságú tárgylencse (519. ábra) és az MN gyűjtő okulár változatlan hosszúságú cső végeibe van illesztve; a csövet oly közel visszük az ab tárgyhoz, a mennyire szükséges, hogy az MN fölött levő szem a képet tisztán lássa. A tárgy az objektív gyújtópontján kissé túl esik, minélfogva (86) az objektív az AB valódi és nagyított képet nemzi, melyet az egyszerű mikroszkóp módjára (134) szereplő okulár segítségével figyelünk meg.

A tárgy és az objektív közötti távolságot tehát akként kell szabályozni, hogy az AB valódi kép az MN lencse s ennek F gyújtópontja közé essék, és hogy az MN -ből kilépő sugarak oly távolságban egyesüljenek, amelyre a szem alkalmazkodni képes (116), hogy az $A'B'$ látszólagos képet tisztán lássa. Így például az a pontból kiinduló és a HK lencsére eső sugarak az aO melléktengelyen fekvő A pontban tényleg egyesülnek, ezután folytatják útjukat, míg nem az MN lencsére esnek, mely akként téríti el őket, hogy meghosszabbításaik az AC melléktengely A' pontjában metszik egymást.

Ebből következik, hogy a mikroszkóp mezeje, vagyis a benne áttekinthető terület, az MN okulár átmérőjétől függ, nevezetesen pedig a mezőt az a kúp foglalja magában, melynek

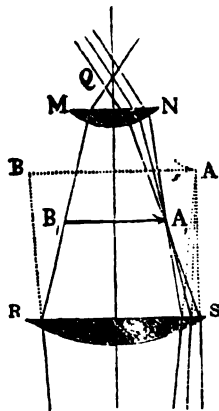


519. ábra. Összetett mikroszkóp.

csúcsa az objektív O optikai középpontja, alapja pedig maga a szemlencse.

Hogy az egész mezőt egyszerre áttekinthessük, a szemet az MN lencsétől hátra húzva, és pedig abban a P pontban kell tartanunk, melyben a lencse az objektív O középpontjának képét létesíti, s mely ponton a tárgy különböző pontjaiból kiinduló fénynyalábok tengelyei mind átmennek.

141. A mező tágitására az objektív és az AB valódi kép közé, melyet az objektív létrehozna, egy harmadik RS (520. ábra) lencsét teszünk, melyet éppen ezért *mező-lencsének* nevezünk: ily módon a mikroszkópot a CAMPANI-féle negatív okulárral (138) szereltük fel. A két lencse köz-



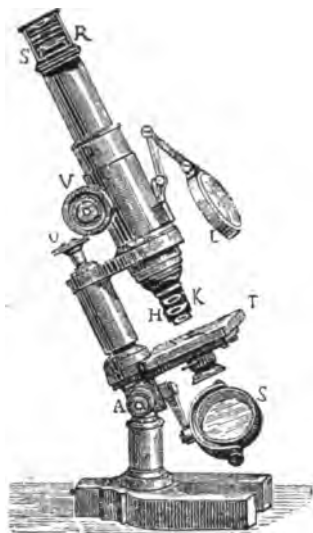
520. ábra. Mező-lencse.

zötti távolság kétszerese az MN lencse gyújtótávolságának s valamivel nagyobb az RS lencse gyújtótávolságánál. Az ábrából kitűnik, hogy az objektívből kilépő nyaláb, mely A -ban egyesülne, a műszer tengelye felé térített el, A_1 -ben egyesül, és átmegy az MN okuláron, melyet máskülönben nem érne el. Igaz ugyan, hogy az A_1B_1 kép valamivel kisebb AB -nél, melyet az objektív egymaga adott volna, de azért kimutatható, hogy egyazon nagyítás mellett a harmadik lencse megkétszerezi a mezőt. Van még

más jó oldala is, miről később (178) fogunk szólni.

142. Az összetett mikroszkóp felszerelését az 521. ábra mutatja. A mikroszkópos praeparatumot, mely rendszerint két üveglemez közé van foglalva, a T tárgytartóra helyezzük, illetőleg két csiptetővel rászorítjuk, hogy el ne mozdulhasson. A lencsét tartó csövet a hüvelyében a V csavar s egy fogasrúd segítségével gyorsan eltolhatjuk, az U finom csavarral pedig pontosan beállítjuk. A tárgyat, ha átlátszó, az S homorú

tükörrel világítjuk meg, mely az ég szétszórt fényét vagy egy lámpáét reá veti; ha átlátszatlan, a fényt az L lencsével gyűjt-



521. ábra. Felszerelt összetett mikroszkóp.

jük össze. A megfigyelő kényelmére a készülék az A térd segítségével ferde állásba helyezhető.

143. Az összetett mikroszkóp nagyítását az $A'B'$ kép (519. ábra) egyik méretének az ab tárgy homolog méretéhez való viszonyával, vagy pedig az okulár és az objektív nagyításának szorozmányával mérjük:

$$N = \frac{A'B'}{ab} = \frac{A'B'}{AB} \cdot \frac{AB}{ab};$$

és ha a két lencserendszer gyújtótávolságát ismerjük, könnyen kiszámíthatjuk a 128. és 134. p. képleteivel. A számítást azonban az olvasó szorgalmára bizzuk és inkább a nagyítás meghatározására szolgáló kísérleti módszert terjesztjük elő.

A tárgytartóra egy *mikrométert* helyezünk; ez üveglemez, melyen 1 milliméter 100 részre van beosztva; a mikroszkóp

mellé a tiszta látás távolságába pedig egy papiros lapot teszünk. A közben, hogy jobb szemünkkel a mikrométer képét figyeljük meg, a ballal a czeruza hegyét követjük, melylyel a papiros lapon a megfigyelt képet rajzoljuk. Ezután a körzővel lemérjük például 10 ily módon lemásolt osztályrész távolságát és felrakjuk egy decziméterre. Ha az osztályrészek itt 100 mm hosszt foglalnak el, ez annyit tesz, hogy a milliméternek minden századrésze 10 mm hosszúnak látszik, a vonalmenti nagyítás tehát 1000-szeres.

A meghatározás talán még könnyebb, ha teljes visszaverődésű hasábot (61) vagy parányi tükröt használunk, melyet az okulár fölé akként erősítünk meg, hogy a pupilla egyik fele a mikroszkópból érkező sugarakat, másik fele pedig a czeruza-hegytől érkezőket fogja fel, épen úgy, mint a mikor a világos kamarát használjuk; ily berendezés mellett a papirosra le is rajzolhatjuk a mikroszkópos preparatumok képeit.

144. Ha azután valamely mikroszkópi tárgyat mérni akarunk, kényelmesebb az *okulár-mikrométert* használnunk, vagyis a 100 részre osztott millimétert az okulár és az objektív közé, és pedig épen oda helyezzük, a hol az *AB* (519. ábra) vagy *A₁B₁* (520. ábra) valódi kép keletkezik. Ha egyszer s mindenkorra meghatározzuk, hogy a tárgytartón levő 0,01 mm az okulár-mikrométer *n* osztályrészét öleli fel, nyilvánvaló, hogy annak a tárgynak nagysága *n' : n* század-milliméter, melynek képe az okulár-mikrométer *n'* osztályrészét öleli fel.

Érdekes tudnunk, hogy bármennyire tökéletesbüljön is a mikroszkóp, az elmélet kimutatja, hogy lehetetlen megkülönböztetnünk bizonyos határon alul levő, a sugarak hullámhosszától (187) függő távolságokat. A fehér fényre nézve HELMHOLTZ a legkisebb még megkülönböztethető közöket $\frac{1}{4836}$ mm-nek számította ki, és $\frac{1}{4854}$ mm-nek az ibolyaszínű fényre nézve, a melynek a legrövidebb hullámai vannak. Ha az objektív utolsó encsét egy csepp vízbe vagy más folyadékba merítjük, mely

a mikroszkópos tárgyat borítja, e határok némileg szűkebbekké válnak, úgy, hogy az elmélet szerint ilyes berendezés (*immerzió*) mellett és fehér fényt alkalmazva, nem lehetetlen még $\frac{1}{4848}$ millimétert is megkülönböztetni.

A gyakorlatban csaknem elérhetjük az elméleti határokat, mert a legjobb HARTNACK-féle mikroszkóppal fehér fényben HARTING szerint $\frac{1}{3331}$ mm, DIPPEL szerint pedig $\frac{1}{3500}$ mm, és kék fényben DIPPEL szerint $\frac{1}{4654}$ mm tisztán látható.

145. Minden mikroszkóphoz néhány objektívrendszer s néhány okulár tartozik, hogy az egyikhez vagy másikhoz folyamodhassunk a szerint, a mint erősebb nagyításra vagy tágasabb mezőre van szükségünk. Helyén való itt megjegyeznünk, hogy a mikroszkóp jóságát nem a nagyítás dönti el, mert nem az a fontos, hogy mentül nagyobb képeket lássunk, hanem hogy jól megkülönböztethessük a legapróbb részleteket. A műszertől tehát első sorban a **képek világosságát** és a **feloldó képességet** kívánjuk, s ezeket megvizsgáljuk tipikus praeparatummokkal, minők némely diatomeák (például a *navicula* és a *pleurosigma*), vagy pedig a NOBERT-féle 20 mikrométeres vonalcsoporttal, melyeknek elsejében 1 párisi vonal (= 2,256 mm) 1000 részre, utolsójában szintén 1 párisi vonal 20000 részre van felosztva. Két mikroszkóp közül az a jobbik, mely egyazon nagyítás mellett több csoportot old fel. Egy másik kívánság a **penetráló tehetség**, melynélfogva a tárgytól némi mélységben levő rétegecske egyidejűleg megfigyelhető. Egy más kívánság még az, hogy az objektív és a praeparatum között hézag maradjon, hogy lemezt lehessen közbetenni.

146. Áttérünk a messzelátókra (139). Ezek csakis okulárban különböznek egymástól. A **csillagászati messzelátó** okulárja, miként az objektívje, gyűjtő rendszer; míg azonban a mikroszkópban a két rendszer egymástól változatlan távolságban marad, addig itt egymáshoz közelíthető vagy egymástól távolítható, hogy a *HK* objektívtől (522. ábra) nemzett *AB*

valódi kép az MN okulár F gyújtópontján belül kerüljön; az okulár lehet vagy pozitív, vagy negatív (132), de mi egyértékű vékony lencsével (108) helyettesítettnek fogjuk feltételezni.



522. ábra.
Csillagászati távcső.

Hogy a sugarak járását megértsük, csak arra kell visszagondolnunk, mit az összetett mikroszkópról (140) mondtunk, mert az 522. és 519. ábra között csak az a különbség, hogy most az ab tárgy igen messze van, a valóságban nagyon sokkal messzebb van, semhogy ezt a könyv lapján, hol nagyon is közel esik, elő lehetne tüntetni. Következésképpen (128) az objektívtől létrehozott kép, a messzelátóban, kisebb a tárgynál; de megmarad a maga látszólagos nagysága (113), midőn az objektív O középpontjából nézzük, mert az aOb és AOB szögek egymással egyenlők.

Másrészt az okulár C középpontjából tekintett $A'B'$ látszólagos kép nagyságát az $A'CB' = ACB$ szög méri, s ez a nagyság alig különbözik a szem középpontjára vonatkoztatott nagyságtól. A tárgy pedig mindenkor oly nagy távolságban van a messzelátó OC hosszához képest, hogy csaknem ugyanakkorának látjuk akár O -ból, akár C -ből szemléljük. Ennélfogva a messzelátó nagyítása, melyet az $A'B'$ virtuális kép látszólagos nagyságának az ab tárgy látszólagos nagyságához való viszonya fejez ki, észrevehető hiba nélkül az $A'CB'$ és aOb igen kicsiny szögeknek, vagy szintén az ACB és AOB szögeknek, vagy végre tangenseiknek viszonyával is kifejezhető; tehát

$$N = \frac{AB}{IC} : \frac{AB}{IO} = \frac{IO}{IC} = \frac{OC - IC}{IC},$$

vagy pedig, ha a messzelátó hossza $OC = H$ tételük, és figyelembe véve, hogy IC nagyon megközelítőleg egyenlő az okulár f_2 gyújtótávolságával:

$$N = \frac{H - f_2}{f_2}.$$

Látjuk tehát, hogy a nagyítás annál erősebb, mentül hosszabb a messzelátó és mentül rövidebb a szemlencse gyújtótávolsága. Emmetrop szemre (116) nézve minden megfigyelt pontból származó sugaraknak egymással párhuzamosaknak kell lenniök, midőn a szemlencséből kilépnek, ennél fogva a valódi képnek, melyet az objektív egymagában adna, az okulár első gyújtópontjába kell esnie, és ennek a gyújtópontnak össze kell esnie az objektív második gyújtópontjával, ha a megfigyelt pont (mint például egy csillag esetében) oly messze van, hogy a sugarak párhuzamosaknak tekinthetők. Ez esetben, ha az objektív gyújtótávolságát f_1 -fel jelöljük, $IO = f_1$, $IC = f_2$, és ennél fogva

$$N = \frac{f_1}{f_2},$$

vagyis a csillagászati messzelátó nagyítását az objektív gyújtótávolságának az okulár gyújtótávolságához való viszonya fejezi ki.

A gyakorlatban azonban jobb a nagyítást közvetlenül meghatározni: balszemünkkel egy függélyes skálát figyelünk meg, jobbszemünkkel pedig a messzelátóban való képét figyeljük meg; ha a kép egy osztályrésze a skálának m osztályrészét fedi, a nagyítás éppen m .

Meghatározhatjuk még úgy is, hogy áttetsző ernyőn fel fogjuk az úgynevezett szemkört, mely nem egyéb az objektívnek az okulártól adott P (522. ábra) valódi képénél, és megmérjük átmérőjét, r -t. A nagyítást meghatározza az objektív R átmérőjének ehhez az r átmérőhöz való viszonya. Valóban, ha

a szemgyűrűnek a szemlencsétől való távolságát x -szel jelöljük, úgy (78):

$$\frac{1}{H} + \frac{1}{x} = \frac{1}{f_2},$$

és (86):

$$\frac{R}{r} = \frac{H}{x} = \frac{H-f_2}{f_2} = N.$$

147. A szemkörben kereszteződnek mindazok a sugarak, melyek az objektíven keresztül mentek, ennél fogva a kép világosságára és a mező terjedelmére vonatkozólag kíváncsi, hogy a szem ott legyen, hol a kör keletkezik.

A mi a **világosságot** illeti, ez, ha nem tekintjük is a lencsék felületén való visszaverődésből származó fényvesztést, lehet nagyobb is, kisebb is a közvetetlen látásbelinél. Ugyanis a tárgyból kiinduló energia úgy érkezik a szembe, mintha valamely N^2 -szer akkora területről indulna ki, és ennél fogva a kép fényessége (13) alább száll. Másrészt azonban fokozódik azon körülménynél fogva, hogy a puszta szem a tárgy minden pontjából egy-egy sugárkúpot fog fel, melynek alapja a pupilla, holott a messzelátóval felfegyverzett szem olyan sugárkúpot fog fel, melyeknek alapja az objektív, feltéve, hogy a pupilla az egész szemkört felöleli. A gyakorlatban, midőn valamennyire terjedelmes képeket figyelünk meg, az első hatás a túlnyomó, úgy, hogy a képek halványabbak a megfelelő tárgyaknál; ellenben ha a kép egy pontra redukálódik, mint a csillagok megfigyelésében, a világosság az objektív területével arányosan növekszik és ugyanekkor az alap sötétebbnek látszik. Innét van, hogy égi testeket messzelátóval nappal is meg lehet figyelni, melyek szabad szemmel nem láthatók.

148. Szólanunk kell még a messzelátónak egy másik igen fontos alkalmazásáról, s ezzel igazolnunk a messzelátónak a visszaverődés törvényeinek kimutatására való alkalmazását (27). A messzelátó ugyanis irányok kitűzésére, s ennek alapján két pontnak egy harmadik pontra vonatkozó szögtávolsága meg-

határozására is szolgál. E végből az okulár fel van szerelve **fonálkeresztes diafragmával**; ez átlátszatlan korong, *DE* (522. ábra), közepén nyílással, melyen át két igen finom pókszál keresztben van kifeszítve.

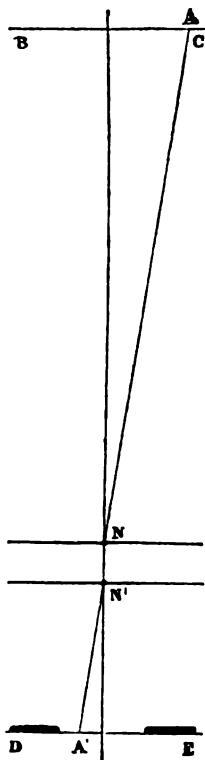
Az okulár ez esetben mindig pozitív (133), és a csövecske, melybe az okulárt alkotó lencsék foglalva vannak, némi surlódással csúsztatható egy másik csőben, melyben a fonálkeresztes diafragma van elhelyezve, s ez a cső ismét egy harmadik, az objektivet magában foglaló nagyobb csőben ide-oda tolható.

Minden megfigyelőnek egyszer s mindenkorra a saját szeméhez kell igazítani az okulár állását, hogy a kereszt szálait egészen tisztán lássa, és ha meg akar figyelni valamely tárgyat, elég ha elmozdítja a második csövet, mely magával viszi az okulár csövecskéjét. Hogy a tárgyat tisztán lássa, kell hogy az objektív adta valódi kép a fonálkereszt síkjára essék, más szóval kell, hogy a *DE* fonálkereszt (523. ábra) síkja és a *BC* tárgy síkja az objektívre vonatkozólag konjugált síkok legyenek. Ha most még *N* és *N'* magának az objektívnek csomója, úgy akkor, midőn az okuláron keresztül *A* pont képét a szálak *A'* keresztező-pontjába esni látjuk, meg lehetünk győződve, hogy az *AN* és *N'A'* egyenesek párhuzamosak. Az *N'A'* egyenest, mely a szálak keresztező pontját az objektív második csomójával összeköti, **irányzó vonalnak** nevezik; némelyek a *messzeldítő optikai tengelyének* nevezik, bár úgyszólván soha sem esik össze a centrális tengellyel.

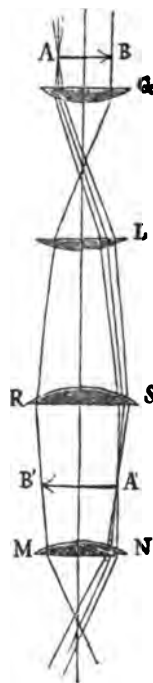
De azért az irányzó vonal a fonálkereszt egy adott állására nézve az objektív csövére vonatkozólag változatlan helyzetű marad; ha azt akarjuk, hogy ilyen maradjon akkor is, midőn különböző távolságban levő tárgyakat akarván megfigyelni, a fonálkereszt helyzetét változtatjuk: megkivántatik, hogy párhuzamos legyen a cső geometriai tengelyével. És ezt el lehet érni, mert a diafragma négy csavar csúcsa közé állítva, van a helyén megerősítve, és ha a csőből kifelé álló csavarfejeket forgatjuk, a fonálkereszt saját síkjában mozdul el. Az optikai ten-

gely és a geometriai tengely bizonyára akkor fog egymással párhuzamos lenni, midőn a csövet saját tengelye körül forgatván, egyazon megírányzott pontnak képe maradandóan a szá-
lak keresztező pontjába esik.

Azokban a messzelátókban, melyek különböző távolságokban levő pontok megírányzására vannak rendeltetve, a HUYGENS-féle negatív okulárnak (138) hasznát nem vehetjük, mert a fonálkeresztet a két lencse közé, hol a valódi képek keletkeznek, kellene elhelyezni, és az optikai tengely félretolódna, midőn az okulár-csövet elmozdítjuk.



523. ábra. Fonálkereszt állása.



524. ábra. Földi messzelátó.

149. A földi messzelátók, ellentétben az eddig leírt csil-
lagászati messzelátóval, egyenes képeket adnak; okulárjaik

bonyolódottabbak. Le fogjuk írni a legközönségesebbet. Az 524. ábrában AB az objektívtől létrehozott valódi fordított kép, mely a G első lencse gyújtópontján belül esik; e lencse hatása miatt A pont sugarai valamennyire széthajló nyalábbá (78, 464. ábra) válnak, mely átmegy a tengelyen és egy második L lencsére esik, mely kissé összehajlóvá teszi, és végre az RS harmadik lencsén átmenvén, A' pontban A képét nemzi, minél fogva az MN okulár elé kerülő kép másodszor is meg van fordítva, tehát a tárgyra vonatkozólag egyenes állású.

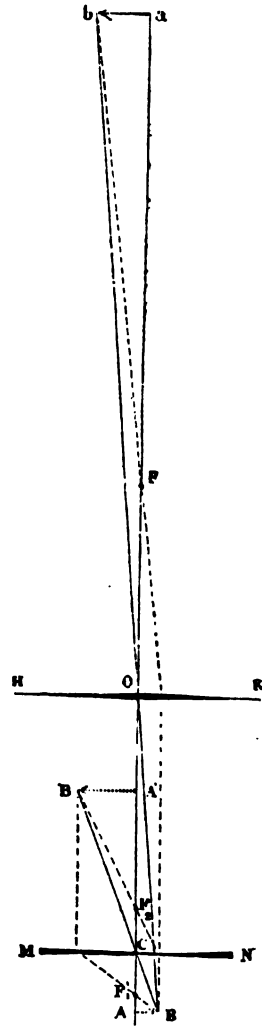
Ez az okulár végső elemzésben összetett mikroszkóp, melynek objektívjét a G és L lencse alkotja, RS pedig a mezős lencse mint a 141. p. 520. ábrájában, végre MN az okulár. Mivel az összetett mikroszkóp fordított képet ad és mivel a vele megfigyelt AB meg van fordítva a tárgyhöz képest: a két fordítás lerontja egymást s egyenes képet látunk.

150. A Galilei-féle messzelátóban, mely a színházi csövekben is szerepel, a kép az által válik egyenessé, hogy szemlencsének szóró lencsét MN , (525. ábra) használunk, mely akként van elhelyezve, hogy az AB kép, melyet a HK tárgylencse egymagában adna, a gyújtópontján kissé túl essék. Minden összehajló nyalábból, mely erre az MN lencsére esik, mint például az A felé irányuló nyalábból, széthajló nyaláb (81, 470. ábra) származik, mint ha csak A' -ből indulna ki (525. ábra). A szem pedig az $A'B'$ egyenesállású látszólagos képet fogja megfigyelni, feltéve hogy a szemlencse és a tárgylencse közötti távolságot esetről-esetre akként szabályozzuk, hogy a kilépő sugarak a tiszta látás távolságában találkozzanak.

Az 526. ábra az ab tárgy $A'B'$ képének megszerkesztését mutatja abban az esetben, midőn a HK tárgylencse és az MN szemlencse végtelenül vékony lencsékkel van helyettesítve.



525. ábra. Galilei-féle távcső.

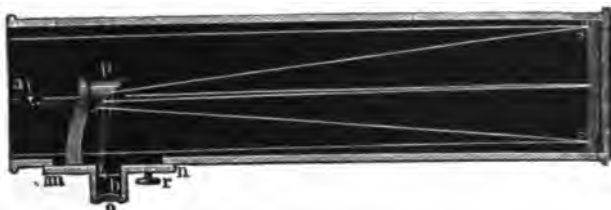


526. ábra. Képszervezés.

151. Vessünk még egy pillantást a katoptrikus messzelátókra, melyekben homorú tükrök vannak alkalmazva.

A NEWTON-félében (527. ábra) az SS homorú tükör objektív-

ként szerepel, és a -ban valódi képet adna, ezt azonban a F siktükör b felé téríti, és b -ban az O okulárral szemléljük.



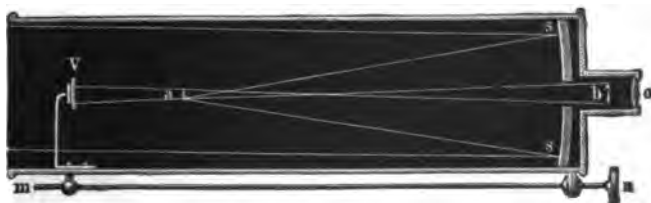
527. ábra. Newton-féle teleszkóp.

A HERSCHEL-félében (528. ábra) az SS homorú tükör a tengely felé hajlik, úgy hogy az a valódi képet az O okuláron keresztül közvetlenül megláthatja valamely észlelő, ki a fényforrásnak hátat fordít.



528. ábra. Herschel-féle teleszkóp.

A GREGORY-féle teleszkóp SS homorú tükre (529. ábra) a közepén át van fúrva, és a -ban a V második homorú tükör középpontja és gyújtópontja között, valódi képet ad; a V tükör

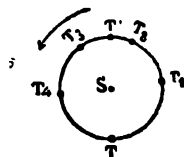


529. ábra. Gregory-féle teleszkóp.

tehát (45) megnagyítja e képet b -ben, hol ezt az első tükör nyílásán keresztül okulár segítségével figyeljük meg. Az mn húzó a V tükörnek beállítására szolgál.

152. Nem hagyhatjuk szó nélkül az optikai műszereknek azt a szerepét, melyet a **sugárzó energia terjedése sebességének** megmérésére való alkalmazásukban játszottak.

E mérésre különböző módszerek vannak ; első sorban arról szólnunk, mely csillagászati megfigyeléseken alapszik. Jupiternek négy holdja közül, melyeket GALILEI az ő messzelátójával (150) fedezett fel, ROEMER szerint megfigyeljük a bolygóhoz legközelebb eső holdnak fogyatkozásait, vagyis azt a pillanatot, melyben az illető hold a Jupiter árnyékkúpjába merül, vagy onnét kilép, és pedig akkor, a mikor a Föld pályájának a T' -, s azután T helyén volt.



580. ábra. Jupiter és holdjai.

A hold keringési ideje állandó, s azért mégis azt tapasztalták, hogy két egymásra következő eltűnése vagy két egymásra következő kilépése között nem egyenlő idő telik el. Ez annak az időnek tulajdonítandó, melyet a fény megkíván, míg hozzánk érkezik. De ez az idő nem okoz észrevehető különbségeket, midőn a Föld T vagy T' közelében, azaz a fénysugarak irányára merőleges irányban mozog, mert a holdtól való távolsága igen keveset változik, és a késedelmek, melyek két egymásra követ-

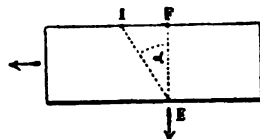
kező eltűnés között vannak, egymást kiegyenlítik. Ekkor két ilyen megfigyelés között eltelt idő a keringési időt méri, mely 42 h, 28 min, 35 sec. De midőn a Föld T' -ből T_4 -n át T -be menve a fény elől fut, a késedelmek folyton növekednek és összegeződve egészben véve 16 min 26,4 sec-ra rúgnak (DELAMBRE). Ez tehát azon idő, melyet a sugarak a $T'T$ útnak, vagyis a földpálya átmérőjének befutására megkívánnak. A keringés másik felében a Föld a fénynek szemközt megy, és a holdnak eltűnései közötti időközök folyton fogyatkozva ugyanannyival megrövidülnek.

Mindezekből tehát azt következtetjük, hogy a fénynek 8 min 13,2 sec-ra (493,2 sec-ra) van szüksége, hogy a Naptól hozzánk jöjjön; hogy erről fogalmunk legyen, felemlítjük, hogy egy lokomotivnak, óránként 60 km sebességgel haladva, 200 évnél több időre volna szüksége, hogy ekkora útát befusson; a fény a földgömböt másodpercenként mintegy 6 és félszer futhatná körül.

A Föld és a Nap közötti távolságot 148 450 000 km-nek véve s ezt 493,2-del elosztva, a fény sebessége mintegy 301 000 km per sec.

A Napon történő dolgokról mintegy 8 percznyi késedelemmel veszünk tudomást, s e késedelem 3 évnél nagyobb időközre rúg a hozzánk legközelebb levő többi álló csillagra nézve, melyek tőlünk legalább 200 000-szer távolabb vannak a Napnál; a tőlünk messzebb levő álló csillagokra vonatkozó konjekturák néhány évszázadnyi késedelemre vezetnek, úgy, hogy jelenleg azon forradalmaknak vagyunk tanúi (241), melyeken ezen égi testek régmúlt időkben mentek keresztül.

153. Egy másik csillagászati módszer a fény aberrációján alapszik, melyet BRADLEY 1728-ban fedezett fel. Ez a tűnemény bizonyos látszólagos elmozdulásban áll, melyet az álló csillagokon egy év lefolyása alatt megfigyelhetünk: az ekliptika síkjában fekvők egyenes vonalú kirándulásokat látszanak tenni, az ekliptika sarkainak közelében levők kicsiny köröket látszanak leírni, valamennyi többi pedig kicsiny ellipszisekben látszik keringeni. Hogy ennek okát



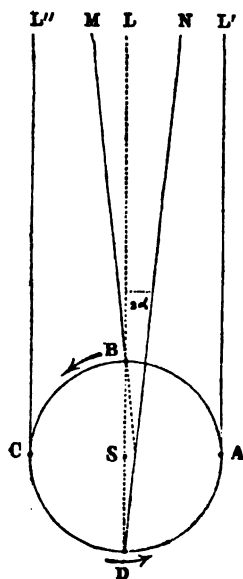
531. Ábra. Golyó útja a vonatban.

megérthessük, tegyük fel, hogy egy vasuti vonatot, futására merőleges irányban, puskalövés ér. A golyó fúrta két lyukat összekötő vonal nem fog merőleges lenni a keresztül lőtt kocsi hosszirányára, hanem a belépő golyó fúrta *I* lyuk (531. ábra) közelebb fog esni a lokomotivhoz, mint az *E*

lyuk, melyet a golyó kiléptekor fúr, minek oka az az idő, mely eltelik, míg a golyó a kocsit keresztül járja. És ha a lövedék sebességét v -vel, a vonatét v' -vel jelöljük, nyilvánvaló, hogy

$$\frac{FE}{FI} = \frac{v}{v'} = \frac{1}{\tan \alpha}.$$

Hasonlóképen úgy látszik, hogy valamely csillag, mely a földpálya síkjában fekszik, egy év alatt kicsiny egyenes vonalú kirándulást tesz, minek oka egyrészt a Föld keringő mozgása, másrészt a fény sebessége. Az évnél különböző, a földpálya különböző pontjainak megfelelő napjaiban a sugarak csak akkor érnek hozzánk a maguk valódi irányában, midőn a Földet a

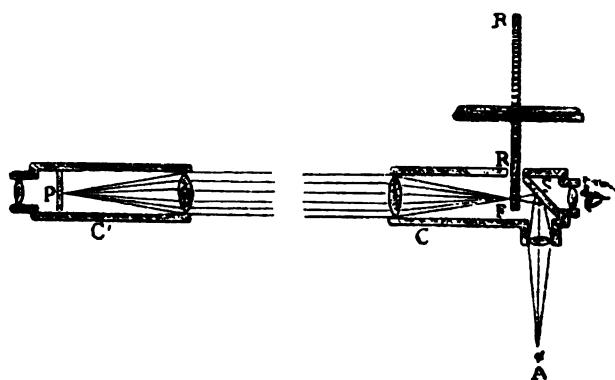


532. Ábra. A fény aberrációja.

csillaggal összekötő egyenesben mozgunk, vagyis midőn A-ban (532. ábra) vagy C-ben vagyunk. Más pontokban a sugarak elmozdultaknak látszanak; B-ben és D-ben mozgásunk merőleges a fény mozgására, és a látszólagos elmozdulás a legnagyobb: a helyett, hogy a sugarakat az $L'A$ és $L'C$ -vel párhuzamos LBD mentén kapnók, az MB , illetőleg ND irányban jönnek hozzánk. Ha tehát 2α -val jelöljük az ezen irányok bezárta szöget, vagyis a csillag évi látszólagos kirándulásának szögmértékét, a fénysebesség a földkeringés sebességéhez az $1 : \tan \alpha$ viszonyban fog lenni, és mivel a csillagászati megfigyelések szerint megközelítőleg $2\alpha = 41''$, a fény sebessége mintegy 10 000-szerese a Föld sebességének.

154. Eme két módszer mindegyike föltételezi, hogy a Földnek a Naptól való távolsága ismeretes. Most azonban látni fogjuk, hogy eme bizonytalan adattól függetlenül is sikerült a fény sebességének meghatározása a földgömb felületén.

FIZEAU 8633 m távolságban két messzelátót (C és C' , 533. ábra) objektívjeikkel szemközt állított fel. Az elsőnek okulárja előtt a tengelyhez 45° alatt hajló síklapú és átlátszó S lemez állott, s oldalt fel volt szerelve egy csővel, melynek lencséje az A fényforrás képét a C objektív F gyújtópontjába vetette, úgy, hogy a második távcsőbe párhuzamos sugarak nyalábjába esett. E sugarak a P gyújtópontban egyesültek, s itt visszaverettek egy



533. ábra. Fizeau kísérlete.

sík tükörtől, mely a tengelyre merőlegesen állott, ezután párhuzamosan kiléptek, F -ben újra találkoztak, s az S lemezen részben áthatolva, a szemlencsére estek, melyen át a megfigyelő ragyogó fénypontot látott.

Azonban az F gyújtósíkban az RR fogaskerék forgott, melynek átlátszatlan fogai egyenlő szélességűek voltak az átlátszó közőkkel; a kerék forgásbeli sebességéhez képest a ragyogó pont majd eltűnt, majd ismét megjelent. Az első eltűnés másodpercenkénti 12,6 forgásnál állott be, az első megjelenés kétszer annyi számú forgásnál; a második eltűnés háromszor annyinál, és így tovább. Mivel pedig mind az egyes fogaknak, mind pedig a fogak közötti hézagoknak szélessége a kerület $\frac{1}{1440}$ részét tette, azon idő, mely alatt egy-egy köz a gyújtópont előtt elhaladt, másodpercekben volt:

$$1 : (1\,440 \times 12,6) = 1 : 18\,144,$$

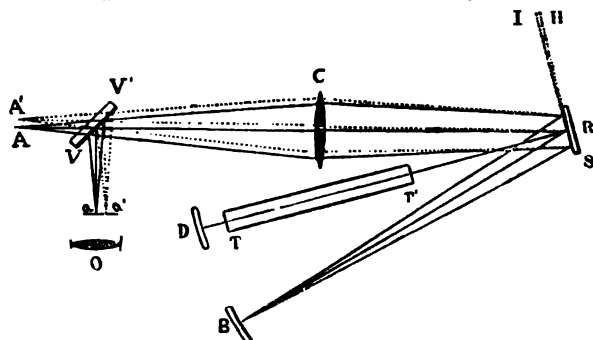
és egyenlő volt azon idővel, mely alatt a fény ide-oda ment, azaz mely alatt

$$2 \times 8\,633 = 17\,266 \text{ m}$$

utat befutott. E kísérlet szerint tehát a fény a levegőben másodpercenként $17\,266 \times 18\,144 = 313\,274\,304$ méternyi sebességgel terjed.

CORNU 1875-ben a meghatározást ugyanezen módszer szerint és tökéletesebb eszközökkel ismételte, és sok megfigyelés középértékéül a levegőben $300\,330$ km, az üres térben pedig $300\,400$ km másodpercenkénti sebességet kapott, mely adatnak valószínű hibája $1/1000$.

155. FOUCAULT ellenben 1862-ben más módszert követett, melynek eszméje WHEATSTONE és ARAGO-tól való, s mely abban áll, hogy az A pontból (534. ábra) kiinduló sugarak a VV' üveg-



534. ábra. Foucault kísérlete.

lemezen és a C gyűjtő lencsén át az S sík tükörre vezettetnek, hogy ettől visszavetve, A valódi képe éppen a B homorú tükör felületén keletkezzék, melynek görbületi középpontja R -ben van. Ily módon B -ből mint csúcspontból egy kúpalakú nyaláb megy vissza az S tükörhöz, ettől újra visszaveretik, s a lencsén újra átmenve, részben az A fényforrásban, részben pedig a VV' lemeztől visszaveretve, egy üvegskálán, α -ban, gyülemlik ismét

össze, hol is az O okulár segítségével megfigyelhető. Az S tükör azonban igen nagy sebességgel forog, minélfogva a B -ből visszatérő fény már nem találja kezdetbeli IR helyzetében, hanem IRH szöggel elfordulva, úgy hogy a fény visszafelé menet a pontozott vonalakat követi, és a megfigyelő nem látja már a képet α -ban, hanem α' -ban.

Megmértén az aa' és AR távolságokat, kiszámítható az IHR szög, melylyel az S tükör elfordult, és e szögből, megmértén még a tükör szögsebességét, kiszámítható az idő, mely ehhez az elforduláshoz megkívántatott: ez az idő pontosan meg egyezik azon idővel, melyet a fény az RB út kétszeri befutására megkívánt. FOUCAULT ily módon a fény sebességét 298 000 km-nek találta.

Ezután egy másik D homorú tükröt oly módon alkalmazván, hogy a sugaraknak a vízzel megtöltött TT' csövet kellett átfutniok, azt találta, hogy a kép ez esetben nagyobb eltolódásban részesült, minélfogva *a fény a vízben lassabban terjed, mint a levegőben*; később (190) látni fogjuk eme tény kiváló jelentőségét.

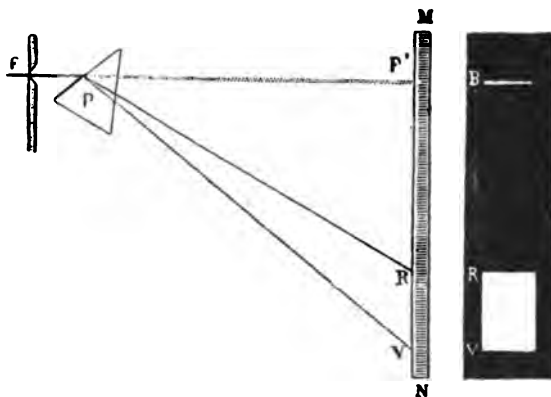
156. A földpálya méreteire vonatkozó csillagászati adatokból és a fény aberrációjából (153) kiszámítható a terjedés sebessége; és viszont, ismerve ezt a sebességet, le lehet belőle vezetni a Földnek a Naptól való távolságát, és úgy látszik, hogy ez utóbbi eljárás nagyobb szabotosságot enged meg, különösen a mióta az amerikai MICHELSON és NEWCOMB fontos módosításokkal ismételte FOUCAULT kísérletét. Az első a fénynek az űrben való sebességét másodpercenkénti 299 853 kilométerre, az utóbbi pedig 299 860 kilométerre teszi, mely értéket az aberráció állandójával ($\alpha = 20,492''$, NYRÉN szerint) egybevetve, a Földnek a Naptól való távolságát $149,61 \times 10^6$ kilométernek találjuk.

A fény sebességét az abszolút $C. G. S.$ -rendszerben kerek számban 3×10^{10} -nek fogjuk felvenni.

XXXI. FEJEZET.

SZÍNSZÓRÁS ÉS ACHROMATIZMUS.

157. Sötét szobába az F vízszintes résen át (535. ábra) a heliostat vagy naptükör segítségével a napsugarak egy nyalábát vetjük, mely, ha zavartalanul terjedhet, a szemközt levő fehér ernyőre F' -ben a B fényes csíkot veti. De ha azután a



535. ábra. A színek keletkezése.

nyílás mögé a P hasábot akként helyezük, hogy oldalélei vízszintesek, törőéle pedig fent legyen, a sugárnyaláb a mellett, hogy a hasáb alapja felé eltérítettik, egyúttal szét is szóródik, azaz legyező módjára szétágazódik, és a szemközt levő ernyőn a Nap színeképe (spektruma) jelenik meg; vagyis szivárványszínű függélyes szalagot fogunk látni, melyben a vörös fent (R), az ibolyaszín pedig lent (V) fog lenni.

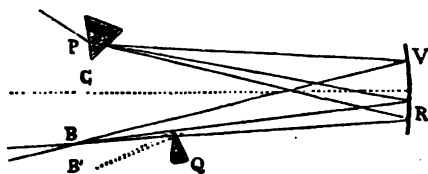
Adott beesésű fehér fényből tehát végtelen sok különböző

törékenységgű, azaz különböző törésmutatójú sugár származik, és e sugarak a különböző színek érzetét keltik fel.

NEWTON nyomán hét színt szoktunk a színeképben megkülönböztetni, melyek a gyengébb törékenységtől az erősebb törékenységek felé menve, rendszerint (174) ekként sorakoznak: *vörös, narancs, sárga, zöld, világoskék (azur), sötétkék (indigó), ibolya*.

Mivel azonban a színérzet az egyik végtől a másikig folytonosan változik, a színek eme skálája önkényesen van megálapítva. A zöld és sárga közé közbe lehetne iktatni a zöldes-sárgát, vagy az alma-sárgát; a zöld és kék közé a zöldes kéket, stb.

158. De bizonyos, hogy a színekép minden egyes pontjában a fény egyszerű, vagyis, ha az *MN* ernyőbe, melyre a színeképet vetítettük, kicsiny nyílást vágunk, az ezen átmenő igen vékony nyaláb egy második hasábbal többé már szét nem bontható,



536. ábra. A színekép színeinek egyesítése.

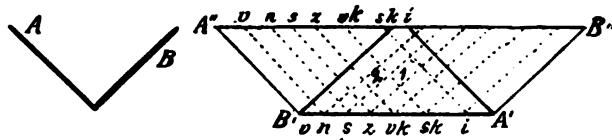
hanem csupán többé-kevésbé eltérítették a szerint a mint közelebb-távolabb van a szélső ibolyától.

Homogén sugarak, vagyis egyazon törékenységgű sugarak nyalábjá **monochromatikus (egyszínű) fényt**, vagy **egyszerű színt** hoz létre. És ha a napfény különböző színű sugarakból úgy van *összetéve*, kell hogy e sugarak mindegyikének egyesítéséből újra fehér fény származzék. Valóban, ha a színeképet homorú tükörrre (536. ábra) ejtjük és a visszavert nyalábot fehér lapon felfogjuk, úgy *B*-ben, hol (42) a *P*hasáb képe keletkezik, a lap fehér fénynyel van megvilágítva, e ponton túl a színekép színei ellenkező sorrendben ismét előkerülnek.

159. Ha ezután a kicsiny Q hasábbal a visszavert nyáláb egy részét oldalt vettetik, a B kép megszűnik fehér lenni és még egy másik B' kép fog megjelenni. B és B' színei összetettek és kiegészítő színek, mert a színeknek azon sugarai, melyek az egyikben nincsenek meg, a másikat hozzák létre. Ha például B zöld, úgy B' vörös; ha B' ibolya, úgy B narancs.

160. A fehérnek érzetét felkeltjük akként is, hogy a színekép valamennyi színét rendkívül gyors egymásutánban a szembe vezetjük, mi végből a színes sugarakat forgó vagy lengő síktükörrel vezetjük vissza. Ekkor a képeknek a szemben való maradványa miatt a hatás olyan, mintha a különböző sugaraktól a retinán gerjesztett ingerek egyidejűek volnának, szín és így egyetlen érzetbe olvadnak össze.

Mindazonáltal nem kell gondolnunk, hogy a fehér szín látásához a színekép valamennyi színének közreműködése kívántatik.



537. ábra. A fehér szín keletkezése.

Hogy erről meggyőződjünk, a naptükör elé az eddig használt vízszintes rés helyett két összefutó és a vízszinteshez 45° alatt hajló A és B részt (537. ábra) illesztünk, s e réseket egy messzelátó tárgylencséje elé helyezett függélyes hasábon át figyeljük meg.

A két résznek $A'A''$ és $B'B''$ színeképét részben egymáson fekvő paralelogrammoknak fogjuk látni, s meg lehet majd állapítani a hatást, melyet két egyszerű sugárnak egyidejű közreműködése a szemre tesz: 1-ben a sárgának és az indigónak kombinált hatását, 2-ben a narancsét és a kékét, stb. Ekként beigazolhatjuk például a következő táblázatban összeállított kombinációkat.

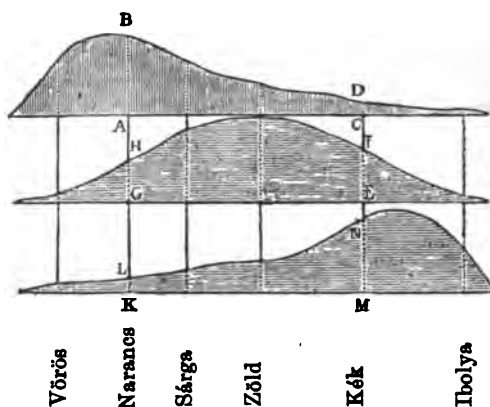
Egyszerű színek	Ibolya	Indigo	Kék	Zöldes kék	Zöld	Zöldes sárga	Sárga
Vörös	Bibor	Sötét piros	Halvány piros	Fehér	Halvány sárga	Arany sárga	Narancs
Narancs	Sötét piros	Halvány piros	Fehér	Halvány sárga	Sárga	Sárga	
Sárga	Halvány piros	Fehér	Halvány zöld	Halvány zöld	Zöldes sárga		
Zöldes sárga	Fehér	Halvány zöld	Halvány zöld	Zöld			
Zöld	Halvány kék	Ultra- marin	Zöldes kék				
Zöldes kék	Ultra- marin	Ultra- marin					
Kék	Indigó						

A miként az *egyszerű* kéknek az *egyszerű* narancssal való kombinált hatása miatt fehéret látunk, épen úgy minden más egyszerű színnek megvan a maga társa, melylyel együtt a szembe érkeve a fehérrel azonos érzetet ébreszt. Így például az ibolya valamelyes zöldes sárgával, a vörös valamelyes zöldes kékkel, stb.* Nem fölösleges azonban megjegyeznünk, hogy az imént leírtuk kísérlet ismétlésében megkívántatik, hogy a szem az egymást fedő két színeknek, annak sora szerint csakis igen kicsiny megvilágított részét lássa, mert máskülönben a szomszédos színek elkápráztatják és a fényérzet bonyolódottabbá válik.

161. A színérzetek elmélete, mely ez idő szerint általánosan el van fogadva, a következő. A szemben nem találunk a mására annak a számtalan szervnek, mely a fülben a külön-

* A színek kombinációjának ezt a módját nem szabad összetévesztetnünk azokkal a keverékekkel, melyeket a festő a palettáján készít, a midőn például berlini kékkel és a sárga gummi-guttiból zöldet kever. Erről később (226) fogunk szólni.

böző egyszerű hangok számára van rendeltetve. Úgy látszik, hogy a szemben a különböző idegeknek csak három fajtája van: vöröset érző idegek, zöldet érzők és ibolyát érzők. Mindezeket az idegeket bármily homogén fény (158) izgatja, de különböző mértékben: az elsőket leginkább a színek vörös tájékán levő



538. ábra. A színérzet szemléltetése.

sugarak, a második nembelieket a közepes törékenységtűk, a harmadik félüket az ibolyaszínűek, úgy, hogy a különböző izgathatóságot az 538. ábrabeli három görbével tüntethetnők elő, hol is a metszéki pontok a színek különböző tájékainak felelnek meg.

A fehér fény a háromféle ideg egyenlő izgatásának eredménye. Valóban, a három görbe egyenlő területet foglal el, és a színek minden sugarának együttes hatása fehéret ad (158). Hasonlóképen ha a narancs és az kék ordinátáit figyelembe vesszük, kitűnik hogy

$$AB + CD = EF + GH = KL + MN,$$

és fehéret látunk, ha az ezen ordinátáknak megfelelő sugarakat egymással összekeverjük (160).

Megjegyezzük, hogy ezen elmélet szerint minden színérzet keverve van a fehérnek érzetével, mert mindig mind a három

nembeli ideg izgatattik; sőt a fehér érzete el is nyomhatja a másik színét, ha a sugarak nagyon intenzívek, mi tényleg meg is esik, különösen az ibolya fény esetében. A feketét teljes nyugalomnak, a szürkét gyenge, de egyenlő izgatásoknak kell tulajdonítani. Igen gyenge fényben nem különböztethetjük meg a színeket, miként például reggel napkeltekor is megesik.

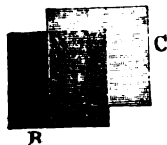
162. Ez az elmélet számot ad a daltonizmus (színtévesztés) néven ismert betegségről is, mely baj miatt nem lehet jól megkülönböztetni a színeket, tehát részletes vakságnak tekinthető. Közönségesen az első nembeli idegek az érzéketlenek. A ki e bajban szenved, nem látja a színek színeit, sőt a vörös sugarait, és az egész színek rá nézve két árnyalatra olvad össze: az egyik a vöröstől a zöldig ér, s ezt ő sárgának nevezi, a másik pedig rá nézve kék. Nem veszi észre a különbségeket, melyeket az összetett színekben a vörösnek hozzájárulása előidézhethet. A bíbor-vörös, az ibolya, a zöldes-kék és a fehér neki egyenlőnek látszik, legfeljebb a világosságban vesz észre különbségeket. Oly eseteket is jegyeztek fel, melyekben valamennyi szín mindössze is csak világosságbeli különbségekre olvadt össze. Ekkor az idegeknek csak egyik faja tevékeny. Vannak azután olyan egyének is, kiknek csak az egyik szemök színtévesztő, a másik pedig csaknem normális.

Az utasok biztonságára nézve igen fontos, hogy a vasuti alkalmazottak ne szenvedjenek ebben a bajban, mely sokkal elterjedtebb, semmint gondolnók, mely miatt nem ismerhetik fel a különböző színű jelzéseket, miért is az igazgatóságok nem mulasztják el, hogy alkalmazás előtt színbeli látásukat vizsgálatnak vessék alá.

163. Egyéb szubjektív tüneteményeket azzal a feltevéssel magyarázunk, hogy az izgatott idegek kifáradnak és ennél fogva érzéketlenednek. Így midőn nappal időben az utcáról gyenge világosságú szobába lépünk, először semmit sem látunk, de később, midőn a látó idegek magukhoz tértek, már megkülön-

böztethetjük az egyes tárgyakat, végre pedig egészen jól látjuk. Ugyanezen oknál fogva a Nap sötét képét látjuk a világos égboltról leválni, ha a Napba néztünk és szemünket elfordítjuk. Az egymásra következő színváltozásait eme **káprázatbeli képeknek**, melyeket igen fényes testnek megfigyelése után becsukott vagy homályos háttér felé fordított szemmel figyelünk meg, a különböző látó idegek fáradtságának különböző tartamával magyarázzuk.

Ha szürke háttérben levő vörös négyzetre némi ideig mereven tekintünk, csak az első nembeli idegek fáradnak ki, mint a melyek a négyzet képét felfogják; és valóban, a vörös kevésbé



539. ábra.
Káprázatbeli kép.

élénknek látszik. Ha azután tekintetünket a háttérre fordítjuk, kiegészítő színű, tehát zöldes négyzetet fogunk látni, mert a másik két nembeli idegek frissek és ennél fogva nagyobb az észrevesző képességek. Ha pedig úgy tekintünk, hogy az új kép a régít részben elfedje, két négyzetet (*B* és *C*, 539. ábra) látunk, melyek képe halvány vörös a hol egymást fedik, élénk vörös a retinának frissen izgatott pontjainak megfelelőleg, világos zöld pedig ott, a hol a vörös, idegei már fáradtak és a szürke háttér fehér fényét fogják fel.

164. Az ellentétbeli hatások, melyeknél fogva valamely szín élénkebbnek látszik, midőn kiegészítő színének (159) közepében van, részben ugyanilyen eredetűek; minthogy a tekintet mindig nyugtalan, a közben, hogy a retina valamely pontban, például a vörösnek hatását fogja fel, a zöldnek megfelelő idegek pihennek, és ennél fogva teljes mértékben megtartják a zöld sugarak iránt való fogékonyságukat, melyek kevéssel azután ugyanabba a pontba érkeznek.

Azonban az ellentét okai bonyolódottabbak, mert itt közreműködik az a szokásunk, hogy némely tárgy színét a jelenlevő többi tárgy színéhez és világosságához képest viszonylagosan

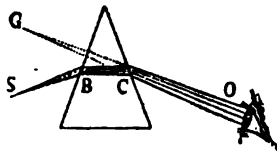
ítéljük meg. Hogy erről fogalmunk legyen, elegendő, ha azt a példát említjük fel, a midőn fehér lapot nappali fénynyel és gyertyával egyidejűleg világítunk meg: az első fényforrástól vetett árnyék, melyet a gyertya sugarai is megvilágítanak, sárgának látszik, a mint hogy sárga is; de a gyertyalángtól vetett árnyék kékesnek tűnik elő, pedig a valóságban fehér, és ez a csalódás onnét van, hogy az összehasonlítás alapjául a lap világosabb tájékait vesszük, s ennél fogva ezeket a valóságban sárgás tájékokat fehéreknek véljük. — Bővebben azonban nem foglalkozhatunk ezekkel, és más ilyes tényekkel, melyek magyarázatára azt is kellene elemeznünk, hogy mily hatással van a fény erőssége a színérzetre, és ennél fogva ítéletünkre is; e helyett az olvasót HELMHOLTZ klasszikus munkáira utaljuk.

Itt még csak annyit említünk fel, hogy némelyek véleménye szerint a színek észrevevésében mutatkozó sokféle különös jelenség könnyebben magyarázható, ha három helyett négyféle elemi színérzetet tételezünk fel, t. i. a pirosat, zöldet, sárgát és kéket. Egyesek kétségbe vonják azt, hogy annyiféle idegvégződés volna, a mennyi az elemi színérzet s azt a javaslatot teszik, hogy a különböző színérzeteket mechanikailag, t. i. az egyféle képen izgatható idegek különböző, az izgatás minőségétől függő mozgásával magyarázzuk; avagy chemiai hatásokból, melyeknek az egyféle idegek végén levő anyagok összetevés és szétbontás révén lennének alávétve. Annyi kétségtelen, hogy ebben az igen nehéz kérdésben az utolsó szó még nincsen kimondva.

165. Térjünk vissza a napfénynek a hasábbal létesített szín-szórására (157), és vessük fel azt a kérdést, vajjon a sugarak törékenysége folytonosan változik-e, azaz nincsen-e a Nap színképében semmi sötét hézag?

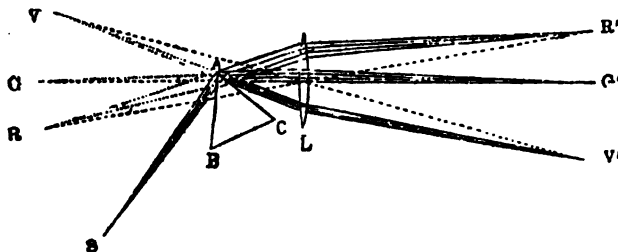
Hogy e kérdésre megfelelhessünk, gondoljuk meg, hogy a midőn az *S* nyílásból (540. ábra) homogén (158), például sárga sugarak nyalábja indul ki, az *O*-ban levő szem, mely a kilépő nyalábot felfogja, *G*-ben nem színeképet fog látni, hanem a

nyílásnak csak egyetlen, a hasáb törő éle felé mozdult látszólagos képét fogja látni; ha a kilépő nyalábot gyűjtő lencsén vezetjük át, a nyílás valódi képét is felfoghatjuk az ernyőn.



540. ábra. Tiszta színek látása.

De ha az S nyílásból (541. ábra) három monochromatikus nyaláb indulna ki, az L lencsére három külön nyaláb esnék, mintha R , G és V -ből indulnának ki, és a lencse az R' , G' és V' valódi képeket adná.



541. ábra. Tiszta színek keletkezése.

Ezek a képek annál keskenyebbek, mentül szűkebb a nyílás, és egymástól annál távolabb fognak esni, mentül erősebb a lencse nagyítása, és mentül nagyobb a különböző színű sugarakra nézve a hasáb okozta eltérítések különbsége. Ennélfogva hasonló kedvező körülmények közé kell helyezkednünk, ha **tiszta színek**et akarunk tanulmányozni.

Ily módon tényleg igen hosszú színeképet nyerhetünk és megállapíthatjuk, hogy a Nap színeképet számos sötét vonal szakgatja meg; e vonalakat először WOLLASTON figyelte meg, később FRAUNHOFER és mások újra felfedezték és gondosabban tanul-

mányozták és számukat ezrekre rugónak találták. E vonalak nyilván arról tanuskodnak, hogy a Naptól nem jutnak el hozzánk a megfelelő törékenyséű sugarak.

166. A közepes hosszúságú színeképben e vonalak csoportokba verődnek össze, miként a könyvhöz mellékelt I. és II. táblán látható, és FRAUNHOFER nyomán szokás többet közülök a betűrend betűivel jelölni. Az *A*, *B* és *C* vonalak a vörösben vannak; *D* a sárga tájékán, mely a színekép legfényesebb része, *E* a sárga és a zöld között, *F* a zöldes kékben, *G* az indigóban, *H* az ibolyában (I. táblán 1).

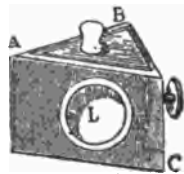
Mellesleg megjegyezzük, hogy chromolitografiával lehetetlen valamely színeképet hiven visszacni, mert minden festék összetett színű, a színeképi színek pedig egyszerűek.

167. A helyett, hogy a színeképet ernyőre vetítenők, czél-szerűbb a FRAUNHOFER-féle vonalakat messzelátóval figyelni meg; ennek tárgylencsáját az 541. ábrában *L* tüntetné elő.

E vonalakhoz folyamodunk mindakkor, midőn a színeképnek valamely jól meghatározott pontját kell kitűznünk, így például, midőn a 62. p. (1), (2) és (3) képleteit, és velők együtt a sugártörés alaptörvényeit (53) akarjuk beigazolni, vagy midőn pontosan meg akarjuk mérni a különböző anyagok törésmutatóit (54).

Ha szilárd anyag forog szóban, hasábot vágunk belőle, vagyis két tökéletes síklapot csiszoltatunk reá, a melyeknek *v* hajlásszögét meghatározzuk; ezután megmérjük a δ minimális eltérítést arra a FRAUNHOFER-vonalra nézve, a melyre nézve a törésmutatót kívánjuk, s ez értékeket a 63. p. (4) képletébe helyettesítjük.

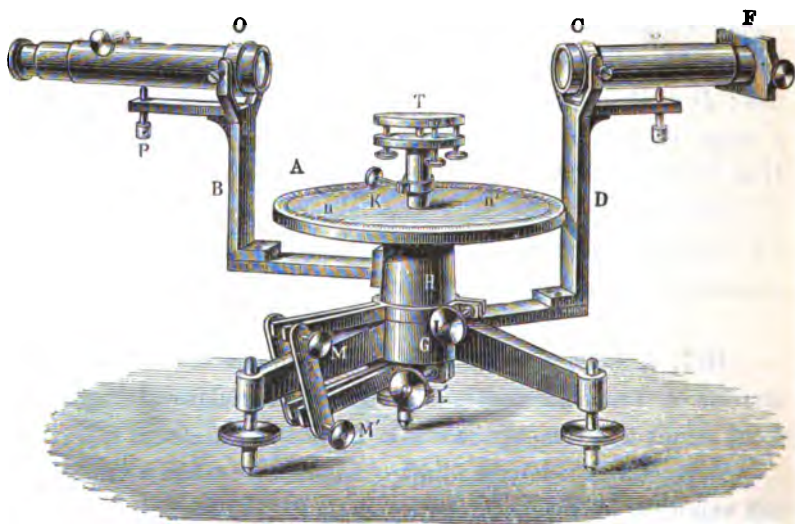
Ha folyadékról van szó, üres üveghasábba öntjük, melynek az egyforma vastag s egészen sík *LC* és *AB* (ú. n. síkpár-



542. ábra.
Üres üveghasáb.

huzamos) lemezekből való törőlapjai (542. ábra) semmi eltérést nem okoznak, midőn a hasáb üres (55).

168. A mérés megtételére a **spektrométer** szolgál. A következőkben egy tökéletesebb fajtát fogunk leírni; képét az 543. ábra mutatja. Az *S* kollimator mozdíthatatlanul van a há-



543. ábra. Spektrométer.

romlábra erősítve, szemlencséje nincs, és a *C* tárgylencse gyújtópontjában *F* függélyes rés van, mely egy csavarral tetszés szerint szűkíthető.

Az *O* megfigyelő messzelátó a *H* gyűrűvel és a fokokra beosztott *A* gyűrűvel együttesen forgatható; a *T* asztalka pedig, mely tetszés szerint emelhető és hajlítható, az *A* gyűrűn belül a *K* koronggal együtt forgatható; e korong az *n* és *n'* noniuszokkal (I. Függelék) van ellátva.

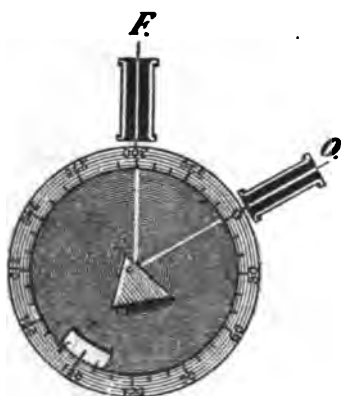
Az *O* megfigyelő messzelátó pontos beállítása úgy történik, hogy az *L* csavart megszorítjuk, *M*-et pedig forgatjuk; a *T* asztalkáé pedig úgy, hogy megszorítjuk *L'*-t és forgatjuk *M'*-et.

Az *O* messzelátó tárgylencséjének gyújtópontjában függé-

lyes szálnak kell lennie (148), azaz a messzelátónak végtelenre alkalmazkodó szemre kell beállítva lennie. Az F résznek is függélyesnek, a két messzelátó tengelyének pedig az A gyűrű és a T asztalka közös forgás-tengelyére merőlegesnek kell lennie. Végre kell, hogy ugyanezen forgástengely párhuzamos legyen az asztalkára helyezendő hasáb törő élével, és hogy a törőszög felező vonalába essék.

169. Miután gondosan teljesítettük mindezeket a feltételeket, melyeknek különben is nehezen érthető kriteriumait itt mellőzzük, hozzálátunk a törőszög megméréséhez.

E végből az O messzelátóban megfigyeljük az F résznek a hasáb első lapjától visszavert képét, és feljegyezzük a noniusz



544. ábra.



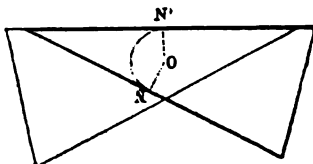
545. ábra.

A törőszög mérése.

állását, mely az 554. ábrában 150° -nál volna. Ezután szilárdan tartva a beosztott gyűrűt és vele együtt a messzelátót, az asztalkát hasábostul forgatjuk mindaddig, míg a résznek a hasáb második lapjától visszavert képe újra össze nem esik a függélyes szállal, és újra leolvassuk a noniusz állását, mely az 545. ábrában 270° volna. A két leolvasás különbsége azt az NON' szöget (546. ábra) méri, melylyel a hasábot forgattuk, és mely szög pótszöge a keresett törőszögnek:

$$\nu = 180 - (270 - 150) = 180 - 120 = 60^\circ.$$

A minimális eltérítés meghatározására az asztalkát és a messzelátót az 547. ábrában elötüntetett módon állítjuk be. A függélyes szálát összeejtetjük azzal a FRAUNHOFER-vonallal, a melyre vonatkozólag a törésmutatót kívánjuk, és megkeres-

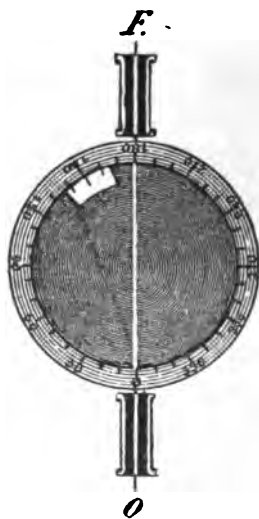


546. ábra. Az elforgatás szöge.

sük azt a pontot, melyben eme vonal eltérítése úgy az asztalka jobbra-forgatásakor mint balra-forgatásakor növekszik; ezután leolvassuk a noniusz állását, mely az ábrában 110° volna.



547. ábra.



548. ábra.

Az eltérítés meghatározása.

Végre eltávolítjuk a hasábot, és szilárdan tartva az asztalkát, a messzelátót egyenest a résre állítjuk be (548. ábra).

A megelőző állás és a noniusznak a gyűrűre vonatkozó mostani állása (150°) közötti különbség épen a minimális eltérítést méri, mely tehát a mi példánkban:

$$\delta = 150 - 110 = 40^\circ.$$

Ennélfogva a 63. p. (4) képletébe való helyettesítés révén a törésmutató:

$$n = \frac{\sin \frac{1}{2} (v + \delta)}{\sin \frac{1}{2} v} = \frac{\sin 50}{\sin 30} = 1,532.$$

170. A spektrométer más módokon is alkalmazható a törésmutatók meghatározására, de nekünk elég ennyi, és minden további fejtegetés nélkül a következő táblázatban néhány adatot közlünk.

Törésmutatók.

Közegek	B	C	D	E	F	G	H	d	Megfigyelők
FARADAY-féle flint ---	1,7050	1,7077	1,7148	1,7242	1,7325	1,7498	1,7651	0,0601	FLÜCKNER
3. sz. flint ---	1,7049	1,7070	1,7144	1,7234	1,7320	1,7486	1,7637	0,0588	DUTRON
9. sz. crown ---	1,6020	1,6038	1,6085	1,6145	1,6200	1,6308	1,6404	0,0384	FRAUNHOFER
13. sz. crown ---	1,5258	1,5268	1,5296	1,5330	1,5361	1,5417	1,5466	0,0208	u. a.
Kőso ---	1,5243	1,5253	1,5280	1,5314	1,5343	1,5399	1,5447	0,0204	u. a.
Vis ---	1,5408	1,5415	1,5448	1,5498	1,5541	1,5622	1,5691	0,0388	BADEN-POWELL
Terpentin olaj ---	1,3310	1,3320	1,3336	1,3357	1,3380	1,3412	1,3448	0,0138	u. a.
Szénaszulfid ---	1,3309	1,3317	1,3336	1,3359	1,3378	1,3413	1,3442	0,0133	FRAUNHOFER
Gyémánt ---	1,4705	1,4715	1,4744	1,4784	1,4817	1,4882	1,4939	0,0234	u. a.
	1,6182	1,6219	1,6308	1,6439	1,6555	1,6799	1,7020	0,0838	BADEN-POWELL
	2,4073	2,4100	2,4173	2,4269	2,4354	2,4514	2,4648	0,0675	B. WALTER

Az utolsó oszlopban minden anyagra nézve felírtuk a B és H vonalakra vonatkozó mutatók d különbségét, melyet az illető anyag teljes színszórása mértékéül szoktunk tekinteni, mert máskülönben egyenlő körülmények között a szinkép hossza vele növekszik.

Gyakran hallunk valamely anyag törésmutatójáról szólni

a nélkül, hogy meghatározott minőségű sugarakra vonatkoztatnák; ilyenkor a színekép legintenzívebb része, és pedig a zöldes-sárgában levő E vonal forog szóban.

Ily értelemben mondjuk, hogy például a kanada-balzsam mutatója 1,53, a gyémánté 2,43, stb.

171. A folyadékok törésmutatói a mérséklet növekedésével némileg csökkennek. Így például a víznek a D vonalra vonatkozó mutatója t° -on RÜHLMANN szerint a következő:

$$n = 1,333\,74 - 0,000\,002\,014\,t^2 + 0,000\,000\,000\,051\,t^4,$$

és ennél fogva 0° -tól folytonosan csökken, még a sűrűség maximumán (I, 418) átmenve is. Általában véve eddigelé még nem volt szabatosan megállapítható a sűrűség (d) hatása, de úgy látszik, hogy az $\frac{n-1}{d}$ kifejezés eléggé állandó marad.

A szilárd testek mutatója igen keveset változik; a mérsékletemelkedésével a legtöbb növekszik, és csak néhány csökken.

172. A gázok törésmutatója olyan kicsiny, s a különböző sugarakra nézve oly kevéssé különböző, hogy sok ideig kétségbe vonták szóró tehetségüket, mely azonban immár kétségen kívül meg van állapítva.

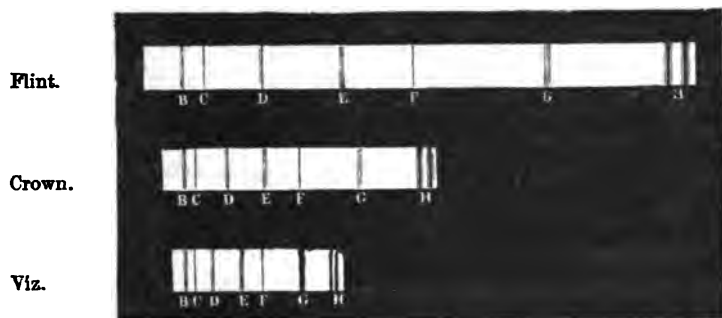
Itt megelégszünk azzal, hogy a D vonalra vonatkozó néhány abszolút mutató értékét KETTLER szerint felsoroljuk; megjegyezzük még, hogy miként a folyadékok esetében, a mérséklet emelkedésével és a sűrűség csökkenésével alább száll, a nélkül, hogy ez ideig sikerült volna a változékonyság szabatos törvényét felismerni.

Néhány gáz abszolút törésmutatója 0° -on.

Légköri levegő	---	1,000 294 70	Hidrogén	---	---	1,000 142 94
Száraz levegő	---	1,000 294 60	Kénssav	---	---	1,000 686 01
Széndioxid	---	1,000 449 22	Cyanogén	---	---	1,000 784 40

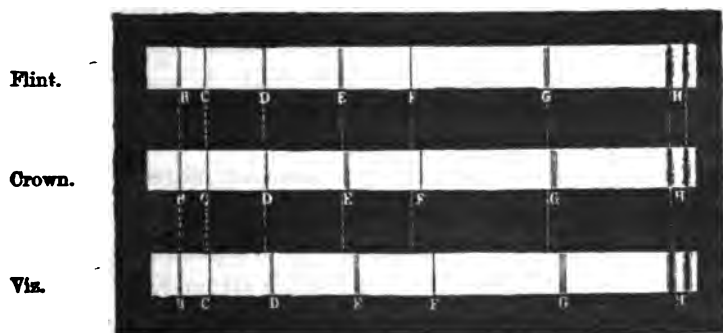
173. Vegyünk egy úgynevezett **poliprizmát**, vagyis három-oldalú hasábot, mely különböző anyagokból áll, melyek az élekre merőleges síkokkal vannak egymástól elkülönítve, és gondoskodjunk róla, hogy tiszta napszínképet (165) adjon.

Hogy figyelmünket határozott esetre fordítsuk, tegyük fel, hogy három rétegből áll: fent *flint*-ből, lent *víz*-ből, középen *crown*-ből; ekkor egy színkép helyett három egymás felett levő



549. ábra. Poliprizmán keletkező színkép.

színképet kapunk, melyek az 549. ábrában elő vannak tüntetve, úgy, a mint a 170. p. táblázata nyomán előre várhattuk.



550. ábra. Poliprizmán keletkező színkép.

Igyekezzünk most azon, hogy eme színképek mindegyikének egyazon hossza legyen a *B* és *H* FRAUNHOFER-vonalak kö-

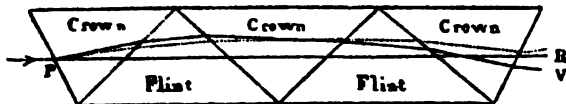
zött; ezt úgy érhetjük el, hogy három párhuzamos, a hasábtól kellő távolságban elhelyezett ernyőn fogjuk fel őket. Ekkor látni fogjuk, hogy a közbülső vonalak nem esnek egymás fölé (550. ábra). De mindegyik vonal állandóan egyazon színre esik, minélfogva valamely adott szín terjedelme a különböző törő közegekre nézve nem arányos a színek hosszával. E körülményt úgy szoktuk kifejezni, hogy két egymás után következő vonalnak megfelelő törésmutató különbségét *részletes színszórásnak* nevezzük, és azt mondjuk, hogy *két anyag részletes színszórásának viszonya változó*.

174. Nem csupán a színek elosztása különböző, de némely test olyan színeképet ad, melynél még a színek sorrendje is más; ez az *anomális színszórás* jelensége. Így például a fuchsinnak (anilin-vörösnek) 20 perzentos alkohol oldata, melyet igen vékony üveghasádba öntünk, olyan színeképet ad, melynek kevésbé eltérített széle ibolyaszínű, ezután következik a vörös, s végre, a legerősebben eltérített szélén a sárga; a zöld és a világos kék hiányzik. Hasonló anomáliákat mindazon anyagok színeképei mutatnak, a melyeknek *felületi színek* van, melyeknek ennélfogva más meg más a színük, a szerint, a mint visszavert fényben, vagy átmenő fényben szemléljük őket; ilyenek például az anilin-tinták, melyek vörös, világos kék vagy ibolyaszínű betűket adnak, de vastag rétegekben zöldes színűek.

175. Az előrebecsátottak után könnyen megérthető, hogy miképen működik az *Amici hasábj*a, melynek az a rendeltetése, hogy magának a beeső nyalábnak irányában adjon színeképet. Ez a hasáb két ellentétes hasábból áll, melyek úgy vannak egymásra illesztve, hogy a második hasáb kiegyenlítse a színekép középső sugarainak (például az *E* vonalnak megfelelő sugaraknak) az első hasáb okozta eltérítését, de azért az első (*flin*ből való) hasáb színszórása mégis felülmulja (173) a második (*crown*ből való) hasábjét. Hosszadalmas volna, de nem

volna nehéz a két üveg törésmutatójából számítás útján meghatározni a két hasábnak adandó törő szögeket.

Két hasáb helyett több hasábot szoktak kombinálni, hogy a színekép hosszabb legyen. Ily módon igen kényelmes rendszereket nyerünk, mert egyenest ráirányozhatjuk őket a fényforrásra, melynek színeképét meg akarjuk figyelni. Az 551. ábra öthasábos rendszert mutat: a három közbülső hasáb derékszögű, a szélsők törőszögei pedig az E vonalbeli sugarakra rótt



551. ábra. Öthasábos rendszer.

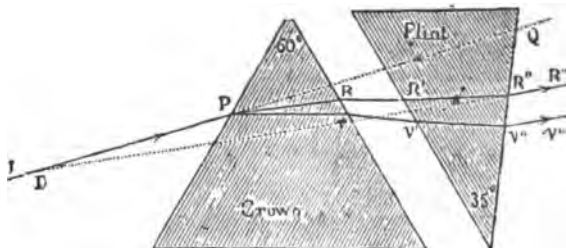
feltételnek tesznek eleget. A PR pontozott vonal a vörös sugarak járását mutatja, a PV teli vonal pedig az ibolyaszínűekét. Látjuk, hogy keresztezik egymást, és ennél fogva a színekép meg van fordítva ahhoz a színeképhez képest, melyet kapnánk, ha az öt hasáb egyazon minőségű üvegből való volna.

176. Ezután a megfordított feladat következik: **achromatikus hasábot** kell szerkeszteni, vagyis olyant, mely a sugarakat eltéríti a nélkül, hogy őket szétszórná, és ennél fogva fehéren hagyja őket kilépni. Newton ilyen hasábot lehetetlennek vélt, mert azt hitte, hogy a különböző anyagok színszórása arányos az eltérítéssel; de azóta, hogy ez a vélemény tévesnek ismertetett fel, a **színtelenítés**, **achromatizmus** problémája igen nagy megközelítéssel oldatott meg. És pedig a következőképen:

Az IP beeső sugár (552. ábra), átmenvén egy crown-üveg hasábon, színeképpé szóródik szét, melynek szélső sugarai az RR' vörös és a VV' ibolya. Ez a színes nyaláb egy második, az elsőhöz képest ellenkező állású hasábra esvén, ellenkezőleg el fog térítettetni, és könnyen belátható, hogy a törőszöget

akként választhatjuk, hogy a második kilépés alkalmával az $R''R'''$ és $V''V'''$ szélső sugarak párhuzamosak legyenek. Ha ekkor a retinára érkeznek, itt egy egyetlen pontban egyesülnek s nem fogják többé külön-külön a vörösnek és az ibolyának érzetét kelteni, hanem egyetlen egy érzetet fognak ébresztetni.

Most azonban minden a körül forog, hogy az $R''R'''$ és $V''V'''$ sugarak IP -hez szög alatt hajoljanak, mert máskülönben a színszórással együtt el volna enyésztetve az eltérítés is,



552. ábra. Achromatikus hasáb.

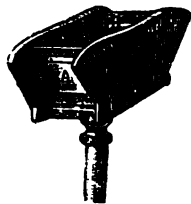
és az összetett hasáb épen úgy működne, mint egyetlen egy anyag, melyet párhuzamos lapok határolnak (55). Ha azonban a második hasáb *flint*-ből való, melynek teljes színszórása (170) mintegy kétszer akkora, mint a crown-üvegé, a nélkül, hogy a középső sugarakat is ugyanannyiszor erősebben térítené el, és ha e hasábnak megfelelő nagyságú törőszöge van: az $R''R'''$ és $V''V'''$ sugarak egymással párhuzamosan lépnek ki, és a beeső sugarhoz szög alatt hajolnak, miként ezt kívántuk.

Az egymással összekapcsolandó két hasáb törőszögének számítás útján való meghatározása a 170. pontbeli számértékek alapján történik; a számítás nem nehéz ugyan, de kissé hosszadalmas, miért is elmellőzzük; megjegyezzük azonban, hogy csakis két üveghasábbal egész szigorúan csakis kétféle különböző törékenységu sugarat tehetünk párhuzamossá. De ha e sugarakat a legintenzívebb színek közül választjuk, a szem nem

igen vesz tudomást a többi sugárnak gyenge eltérítéséről, és a hasáb közelítőleg achromatikus.

177. Hogy a megközelítő achromatizmus lehetőségét tényleg is kimutassuk, az 553. ábrabeli készülékhez folyamodhatunk; ez vizet tartalmazó kis edény, melynek üveglemezekből való *A* és *B* lapjai csuklók körül forgathatók.

E lapokra törő élével felfelé állított hasázból kilépő nyalábot vezetünk, és a színeképét mindaddig, míg az *A* és *B* lapok párhuzamosak, semmi változás nem éri; de ha lassacskán szétforgatjuk őket, a színekép megrövidül, halványabb lesz, és végre egészen fehérre válik. De azért a kilépő nyalábnak mégis észrevehető az eltérítése a beeső nyalábhoz képest. Ha ezt a vízhasábot még jobban szétnyitjuk, a különböző színű sugarak ismét különválnak, és a színekép újra megjelenik, csak hogy megfordítva, azaz fent van az ibolya, lent pedig a vörös.

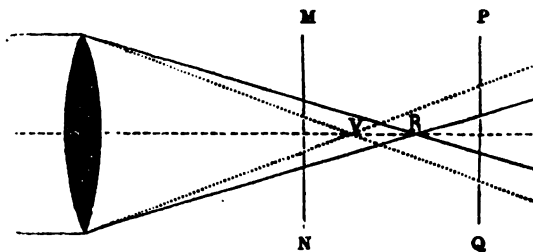


553. ábra. Vízhasáb.

178. Az achromatizmus problémájának nagy gyakorlati fontossága van a lencsék szerkesztésében. Nyilvánvaló, hogy valamely lencse gyújtótávolsága más meg más a különböző törékenységű sugarakra nézve: nagyobb a kevésbé eltérített, vagyis a vörös sugarakra nézve, kisebb a többi sugárra nézve; ezt könnyen kimutathatjuk, ha mintegy 50 cm gyújtótávolságú lencsével félig vörös, félig kék üveggel befedett, két nyíllal jelzett és hátulról megvilágított nyílásnak valódi képét vetítjük.

Ha pedig gyűjtőlencsére párhuzamos sugárnyaláb esik (554. ábra), az ibolyaszínű gyújtópont *V*-ben, a lencséhez közelebb, a vörös pedig *R*-ben, a lencsétől távolabb keletkezik. Az ábrában az *RV* távolság túlozva van, hogy annál jobban szembe tűnjék; a valóságban a gyújtótávolságnak csak mintegy $\frac{1}{40}$ része a crownlencsére nézve, és mintegy $\frac{1}{20}$ része a flint-

lencsékre nézve. A lencse és a gyújtópont közé helyezett MN ernyőre a középén valamennyi sugár ráesik, a megvilágított terület tehát fehérnek látszik; de a szélei elmosódó színekkel vannak szegélyezve, melyek a sárgán kezdve a narancson át a vörösbe mennek át, a szerint, a mint sorban az ibolya, a világos kék, stb. sugarak elmaradnak s végül a vörösek egyedül marad-



554. ábra. Színeltérés.

nak meg. Ha ellenben az ernyőt PQ -ban, a gyújtóponton túl helyezzük el, a megvilágított terület széleinek az ibolyaszínbe átmenő kékes színezetök van.

Hasonlóképen a lencsék adta képeknek is színes szegélyzetük fog lenni, mely a képeket elmosódottakká teszi. Ezt a jelentős hibát **chromatikus eltérésnek** vagy színi eltérésnek nevezük, és akként segíthetünk rajta, hogy egy gyűjtő crown-üveglencséhez szóró flintüveglencsét kapcsolunk (555. ábra), és így módon, a két üvegfaj adva lévén, szabadon választható még három görbületi sugár, melyeket számítás útján akként állapíthatunk meg, hogy a rendszernek meg legyen a kívánt gyújtótávolsága, melyben két különböző színnek megfelelő gyújtópont összeessék. Ha e feltételeknek eleget tettünk, szabadon választható még a görbületi sugarak egyike, melyet akként határozzunk meg, hogy a gömbi eltérés (88) lehető legkisebb legyen.

Itt nem tárgyalhatjuk mindezeket a számításokat, és az olvasót speciális munkákra utaljuk. De megjegyezzük, hogy az esetben, ha a különböző üvegek adta színeképek egymáshoz tel-

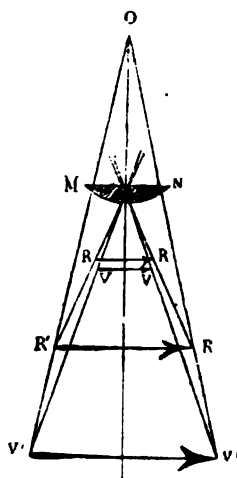
jesen hasonlóknak volnának, tökéletes achromatizmus elérésére elegendő volna a vörös sugarak gyújtópontját az ibolyaszínűekével összeejteni. De mivel a részletes színszórásoknak nincsen ilyen arányosságuk (173), a többi gyújtópont nem fog összeesni, és hogy ez a körülmény mentül kevésbé ártalmas legyen, jobb a szélső sugarak helyett a legfényesebbeket, nevezetesen pedig C és F FRAUNHOFER-vonalaknak megfelelőket összeejteni.



555. ábra. Achromatikus lencse.

Rendszerint ily módon achromatizálják az optikai műszerek tárgylencséit s fenmaradó hibájukat utólag még az okulárral javítják. Ha ez pozitív (133), elegendő, ha lencséinek egyike flint- és crownból van összetéve; a másik lencse lehet egyszerű is. Ha negatív (138), mint az összetett mikroszkópban, két egyszerű crown-lencsét használunk.

Valóban, az RS mezős lencse (141. p. 520. ábra) a helyett, hogy egy fehér A_1B_1 képet hozna létre, a valóságban a színes képek egész sorát létesíti, melyek közül a szélsőket RR és VV tünteti elő az 556. ábrában; a vörös kép távolabb van mint az ibolyaszínű, s így ennél nagyobb is. Azonban eme képek az O szemgyűrűnél (146) a kellőképen megválasztott MN lencsén át figyelgetnek meg, és ennél fogva RR' és $V'V'$ -ben jelennek meg, vagyis fedik egymást, és így a különböző törékenységsű sugarak egyesülnek, mielőtt a szembe jutnának.



556. ábra. Achromatikus szerkezet.

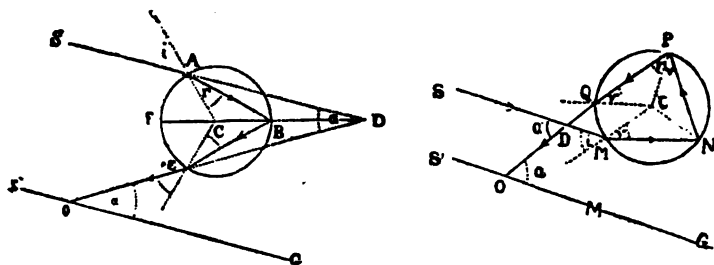
179. Eme fejezet záradékaul vázolni fogjuk, hogy a visszaverődés, törés és színszórás törvényeivel miként magyarázható meg a **szivárvány** tüneménye. Tudva van, hogy ha háttal a Nap felé fordulva, cseppekké fozlott felhőre tekintünk, két körív határolta szalagot látunk, mely körívek középpontja a Napot szemünkkel összekötő egyenesben fekszik. E szalag a színeknek némileg elhalványult színeit mutatja, és belül van az ibolya, kívül pedig a vörös. A vörös ív sugarát mintegy 42° -ú, az ibolya ívét pedig mintegy 40° -ú szög alatt látjuk.

Hogy a tünemény keletkezését megértsük, gondoljuk meg, hogy a napsugarak párhuzamosaknak vehetők, és tegyük fel, hogy a Nap egy fénypontra van redukálva, mely csak egyféle törékenységu sugarakat lövel ki. Az SA sugár (557. ábra), mely gömbalakú cseppre esik, első ízben megtöretvén, AB mentén halad tova, ezután visszaverődvén, BE mentén fordul vissza, és EO irányban lép ki, és ily módon a kezdetbeli iránytól $SDO = \alpha$ szöggel tér el. A kilépő sugár ugyanekkora α szöggel hajlik az $S'G$ egyeneshez, mely a Napot a megfigyelő O szemével köti össze. De az eltérítés a cseppbe való belépés pontjához képest változik, minélfogva a párhuzamos sugárnyaláb minden irányba szétszóródva lép ki, tehát a szemre csak vajmi gyenge hatással lehet, különösen a midőn a szem távol van, és csak akkor fog feltűnő fényérzetet kelteni, ha a széthajlás bizonyos meghatározott mértéken belül marad. Ha a sugarak járását számításnak vetjük alá, azt találjuk, hogy minimális széthajlással akkor lépnek ki, midőn eltérítésüknek bizonyos értéke van, mely a törésmutatótól függ, és mely a vörös sugarakra nézve $\alpha = 42^\circ 30'$, az ibolyaszínűekre pedig $40^\circ 40'$.

Ennélfogva csakis azok a sugarak fognak *hatásosak* lenni, melyek a cseppből csaknem párhuzamosan lépnek ki, és a közvetlen napsugarakkal, tehát $S'O$ -val is, $42^\circ 30'$ szöget zárnak be, ha vörösek, és $40^\circ 40'$ szöget, ha ibolyaszínűek; a többi a szemre nézve kárba vész.

Ha a dolog így állana, a szivárványban a tiszta színekpi

színeket kellene látnunk; azonban a Nap korántsem látszik fénypontnak, hanem 30'-nyi átmérőjű korongnak, minélfogva minden egyszerű szín egyenlő látszólagos szélességű övön terül el, és a szivárvány az ilyes övek egymásra helyezkedéséből származik.



557. ábra. Szivárvány keletkezése. 558. ábra. Mellékszivárvány keletkezése.

Az első szivárvány fölött gyakran látható még egy második, bár gyengébb fényű szivárvány, melynek színei ellenkező sorakoznak, a vörös tehát a szalag belső szélén, az ibolya pedig a külsőn van. Ez a második ív kétszeri belső visszaverődésből származik, miként az $SMNPQO$ vonal (558. ábra) mutatja. A számításból kiderül, hogy ez esetben a vörös sugaraknak $50^\circ 40'$ -nyi, az ibolyaszínűeknek pedig $52^\circ 30'$ -nyi eltérítésben kell részesülniök, hogy hatásosak legyenek, és a tapasztalás megerősíti ezt az eredményt. Mivel mindegyik visszaverődés a sugarak meggyengülésével jár (50), a második szivárvány jóval gyengébb fényű, és ha ez a körülmény nem forogna fenn, még egy harmadik, sőt még egy negyedik szivárványt is kellene látnunk, miként a cseppben való háromszori és négyszeri visszaverődésre vonatkozó számításból ki is derül.

XXXII. FEJEZET.

INTERFERENCIA.

180. A fény bizonyára egyik alakja az energiának, és mi sugárzó energiának neveztük. Most azt a kérdést fogjuk röviden megvitatni, vajjon helyzeti energiának vagy pedig mozgásbeli energiának (I, 115) tekintendő-e ?

Hogy itt mozgásbeli tüneményről van szó, ennek beigazolására elegendőnek látszik az a pusztá tény, hogy a terjedésre időt kíván meg (152); de minő anyag az, mely mozog, és hogyan mozog ? Miféle az a test, mely a Napból már kiindult, de a Földre még le nem érkezett energiával rendelkezik, és minő körülmények között kell lennie e testnek, hogy ilyen energiával rendelkezék ? — Két elmélet igyekszik e kérdésekre megfelelni, és bajos volna még egy másikat felállítani. Vagy olyas anyagnak kell lennie, mely a Napból indul ki és hozzánk érkezik, vagy pedig impulzusokból kell állania, melyeket a Nap valamely anyaggal közöl, s melyeket ez az anyag, a hang tüneményéhez hasonló módon, tovaterjeszt. Az első az **emisszió-elmélet**, vagy a fény anyagi elmélete, mely szerint a tünemény a golyózapor egy neme volna; a második a fény **hullám-elmélete**, mely szerint abban a rugalmas közegben, melyet kozmikus éternek neveztünk (I, 29), hullámok terjednek. Az első, mely NEWTON*-tól származik, könnyen megmagyarázta az egyenes vonalú terjedést (7), a visszaverődést, a sugártörést és a fény aberrációját (153), de azután minden egyes új ténnyel, melyet az ő segítségével megmagyarázni igyekeztek, bonyolódot-

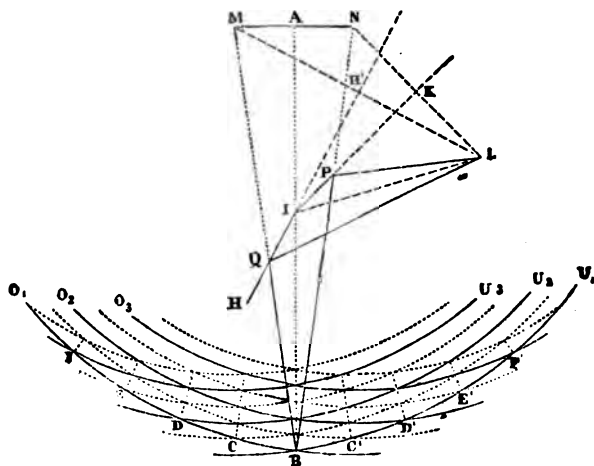
* Helyesebben : a melyet NEWTON-nak szeretnek tulajdonítani.

tabbá vált: nem volt elég, hogy a fényttestcskéknak haladó mozgásbeli energiájuk volt légyen, hanem még több különböző fajúaknak kellett lenniök, a súlyamérhető anyagra különböző hatással kellett lenniök, és még egymásra vonatkozólag is helyzeti energiával kellett rendelkezniök. Ezen kívül nem egy olyan következményre vezetett, melyet később a tényekkel ellenmondónak ismertek fel (190), úgy hogy NEWTON, LAPLACE és BIOT tekintélye ellenére is jelenleg már egészen el van vetve, és mindenki azzal a feltevessel él, hogy a sugárzó hő és a fény annak a hullámozó mozgásnak tulajdonítandó, melyet a súlyos anyag részecskéinek rezgése az éterrel közöl. — Az egyszerűbb fénytűnemények magyarázatára elegendő a hullámozó mozgás időszakos voltának feltevése; de fogunk olyan tűneményekkel is találkozni, melyekre nézve eme mozgás formáját szabatosan ki kell fejezni, a mikor is arra a feltevésre leszünk szorítva, hogy a fény, ellentétben a hosszmenti hanghullámokkal, kereszt hullámokból (I, 284) áll.

181. Azt az idegenkedést, melyet annyi jeles a hullámelmélet ellen tanusított, érthetővé teszi az a sajátosságos körülmény, hogy épen a legegyszerűbb és legközönségesebb fénytűneményeknek, mint például az igen messze fekvő forrásokból eredő nyalábok közelítőleg hengeres alakjának magyarázatára nem volt alkalmas. Úgy látszott, hogy a fénynek, ha valóban hullámozó mozgás, meg kellene kerülnie az akadályokat, és valamely nyíláson kilépve, úgy kellene elterjednie, mint a hanghullámoknak vagy a vízhullámoknak. Jelenleg szabatosan meg tudjuk jelölni az okot, melynélfogva a sugarak henger- vagy kúpalakot vesznek fel, de ha szigorúak akarunk lenni, ezen ok kifejtése még mindig egyike a hullámelmélet legnehezebb kérdéseinek. Itt meg kell elégednünk, hogy később (207) vázlatosan foglalkozzunk vele. Most megkezdjük egy új fénytűnemény tanulmányozását, mely ellenállhatatlanul kényszerít ezen elmélet elfogadására, mert úgyszólván láthatóvá teszi a fény-

hullámokat és módot nyújt hosszúságuk (I, 282) megmérésére.

Tudjuk, hogy két interferáló hang (I, 324) csendet létesíthet; hasonlóképen megeshetik, miként ezt először GRIMALDI állította, hogy fény fényhez adva bizonyos körülmények között sötétséget idéz elő. A fény interferenciája nagyon sokféle eszközzel mutatható ki; mi FRESNEL tükör-készülékét fogjuk választani. Ez két darab fém, vagy gyakrabban fekete üveg siktükör, melyek úgy vannak egymás mellé illesztve, hogy egyetlen visszaverő felületet alkossanak, és azután egymáshoz úgy hajlítva, hogy két derékszögnél csak valamicskével kisebb szöget

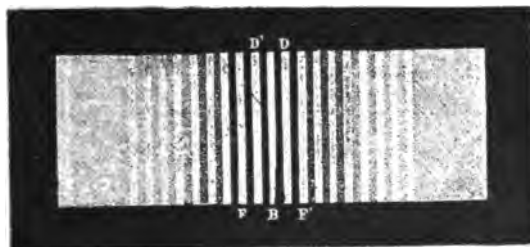


559. ábra. Fresnel kísérlete.

zárjanak be. Tegyük fel, hogy a két tükör függőlegesen áll, és hogy az IK és IH egyenesek (559. ábra) vízszintes sikkal való átmetszetüket tüntetik elő; megjegyezzük azonban, hogy az ábra világossága kedvéért a HIK szöget sokkal kevésbé tompának rajzoltuk, mint a minőt a két tükörnek a valóságban be kell zárnia. A két tükör előtt az L függélyes fényvonal áll; ilyen volna egy megvilágított szűk rés, vagy egy henger-lencsének gyújtó-

vonala; a tükrök előtt a visszavert sugarak akként terjednek, mintha L -nek M és N képeitől jönnének (28).

Ha most azon a helyen, hol a két visszavert nyaláb találkozik, függélyes fehér ernyőt állítunk fel, és ezt MN vonallal egészen párhuzamossá tesszük, ez az ernyő nem lesz egyenletesen megvilágítva, hanem az úgynevezett *interferencia-csíkokat*, vagyis váltakozva világos és sötét függélyes csíkok sorát fogjuk rajta látni, miként az 560. ábra mutatja. Ha az L fényforrás (559. ábra) monochromatikus (158), például vörös, a B középső csík (560. ábra), mely megfelel az ernyő és az AB



560. ábra. Interferencia-csíkok.

vonala (559. ábra) metszéspontjának, vörös és fényesebb valamennyi többinél, melyek váltakozva feketék és vörösek.

Nem lehet kétséges, hogy a sötét csíkok a két fény egymásra-helyezkedéséből származnak, mert a mint a tükrök egyikét beföldjük, helyük legott világossá válik.

182. A tünemény kipuhatólására tekintsük az M és N pontokat rezgés-középpontoknak, melyek folytonosan egyazon fázisúak (I, 24), és képzeljük el a hengerhullámoknak (I, 284) azt a két rendszerét, melyek eme két középpontból kiindulva terjednek. Az MN vonalra a közepén merőleges AB vonal mentén egyazon fázissal találkoznak, mert AB vonal az M és N -től egyenlő távolságban levő pontok helye; ennél fogva AB -nek különböző pontjai a kicsiny mozgások összetételének törvénye (I, 287) szerint kétszer akkora tágassággal rezegnek, mint rezeg-

nének akkor, ha őket a két hullámrendszernek csak az egyikre gerjesztené. — Ugyanígy áll a dolog a térnek mindazon pontjaira nézve, melyeknek M és N -től való távolság-különbsége a hullámhossz egész számú többszöröse (I, 283). — Ellenben azokat a pontokat, melyekre nézve ez a távolság-különbség egy félhullámhosszra vagy a félhullámhossz páratlan számú többszörösére rúg, a két hullámrendszer a közben gerjeszti, hogy fázisuk ellenkező (I, 283), ennél fogva a két hatás lerontja egymást, és ezek a pontok folytonosan nyugalomban maradnak.

Hogy kitűzhessük az egyik vagy a másik esethez tartozó különböző pontok helyét, húzzunk M és N -ből mint középpontokból több körivet, melyeknek sugarai félhullámhosszal különböznek, s húzzuk őket váltakozva teljes és pontozott vonalakkal. Ezek az ívek a hullámfelületnek az ábraskijával való átmetszését tüntetik elő, és a hol két egyfajta ív metszi egymást, megegyező gerjesztéseknek van helye, de ellenkezők lesznek a teljes és a pontozott ívek keresztezésében: az első esetben a fény erősödik, a másodikban gyengül, sőt egészen el is enyészik, ha a két rezgő mozgás tágassága egyenlő. Tehát miként a B pont, úgy eminnen és amonnan a D és D' , F és F' , stb. pontok fényesek lesznek, míg a C és C' , E és E' stb. pontok sötétek maradnak.

Figyelembe veendő, hogy az ábrában az egymásra következő ívek közötti távolságok rendkívül túlozva vannak, elannyira, hogy a valóságban az imént nevezett pontok csaknem az AB -re merőleges egyazon síkban fekszenek, és mindegyiköknél megfelel az 560. ábrában előtüntetett, váltakozva világos és sötét csíkok egyikének közepe.

183. Ha a visszavert nyalábok egyikének útjába, például a jobboldalon levő IK tükörtől visszavert nyaláb útjába vékony csillámlemezt vagy fúvással szétpattantott üveghártyát helyezünk, a csíkok egész rendszere jobbra tolódik el. Azonban a középső csík olyan két sugárnak egyesüléséből származik,

melyeknek egyenlő idő kellett arra, hogy forrásaiktól ezen középső pontig jussanak, a lemezke közbetétele miatt pedig azon csíkok egyikének helyét foglalja el, a melyekre nézve a jobboldali út azelőtt rövidebb volt; ennélfogva a jobboldali sugár most lassabban terjedt, miből azt következtethetjük, hogy *az erősebben törő közegekben a fény sebessége kisebb*, mi meg-egyezik azzal, mit FOUCAULT a vízre nézve kimutatott (155).

184. Ha a tükrökre eső monochromatikus fényt megváltoztatjuk, és pedig a színek vörös sugaraitól az ibolyaszínűek felé eső színeket (157) választjuk, a csíkok felveszik az illető szint és folytonosan keskenyebbé és szorosabbakká válnak. Másrészt a *B, C, D, E* pontok egymáshoz közelebb jutnának, ha két egymásra következő ív között levő köz kisebbé válnék, vagyis ha a hullámok hosszai csökkennének. Ennélfogva a színek különböző színeinek, a vöröstől a törékenyebb sugarak felé haladva, folyton csökkenő hullámhosszakat kell tulajdonítaniunk.

185. Ha ezután nappali fehér fényt alkalmazunk, látni fogjuk az ernyőn, hogy a középső csík fehér, de szélei szírványszínekkel játszva az oldalt levő első két sötét csík felé vörösben mosódnak el; e sötétcsíkokra másik két világos csík következik, melyek közepük felé ibolyaszínre festenek, hogy azután zöldben, sárgában és vörösben mosódjának el; ezután a többi sötét és világos csík következik egymásra; az utóbbiak különböző színezetűek. A napfény létesítette csíkok képe teljesen megegyezik azzal a képpel, mely létre jönne, ha azok a különböző szélességű csíkok, melyeket az ezt a fényt alkotó végtelen sokaságú egyszerű sugarak (158) létesítenének, egymásra helyezkednének.

De ebben az esetben csak igen kevés oldalvást eső csík figyelhető meg, mely körülményről nem nehéz számot adni. Tekintsünk ugyanis egy pontot, melyre valamely λ hullámhosszúságú egyszerű fénynek világos csíkja esik; a két sugár

befutotta utak különbsége erre a pontra nézve a hullámhossznak valamely k egész számú többszöröse, vagyis:

$$\delta = x\lambda.$$

Ha már most ugyanebbe a pontba egy λ' hullámhosszúságú másik egyszerű fény hatása miatt sötét csík esik, ezen útkülönbség a félhullámhossz páratlan számú többszörösére rúg, tehát:

$$\delta = (2x + 1) \frac{\lambda'}{2}.$$

Ezen egyenlőségekből pedig:

$$\lambda - \lambda' = \frac{\lambda'}{2x},$$

honnét látjuk, hogy x mentül nagyobb egész szám, vagyis mentül inkább távozzunk a középső csíktól, valamely adott színre vonatkozó maximális intenzitás annál inkább össze fog esni a legközelebb eső szín minimális intenzitásával; tehát általában a maximális csíkok folyton sűrűsödnek, miből olyas kiegyenlítés származik, mely a szemben a fehér fény hatását kelti.

Ha a napfényt színes üvegen bocsátjuk át, a látható csíkok száma is növekszik ugyan, de azért hasonló oknál fogva még mindig korlátozott; az átvezetett fény ugyanis sohasem monochromatikus. Később (199) látni fogjuk, hogy miként sikerült megfigyelni az interferenciát még oly útkülönbségekkel is, melyek a hullámhossz néhány ezerszeresére rúgtak.

186. FRESNEL tükrein kívül még sok más készülék szolgál az interferencia létrehozására, de valamennyiben az *interferáló sugaraknak egyazon forrásból kell származniok*, máskülönben csíkok nem mutatkoznak. Hogy ugyanis valamely pont sötétnek tűnjék elő, kell, hogy ebben a pontban a két rezgő mozgás állandóan ellenkező fázisban maradjon azon az egész időn át, melyben a képek szemünkben tartanak, vagyis, mint nem sokára látni fogjuk, néhány billiónyi rezgés tartamán át; és könnyen érthető, hogy két egymástól független forrásnak, a

minő volna két láng vagy két izzó test, nem lehet ilyen rendkívüli fázisbeli állandósága.

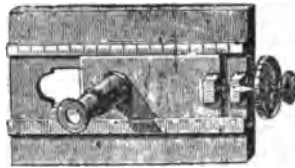
Egy másik szükségképeni feltétel arra nézve, hogy a tér valamely pontjában interferencia keletkezzék, abban áll, hogy ebben a pontban olyan két rezgő mozgás tevődjék össze, melynek mindegyike *a forrásnak igen csekély terjedelmű részétől származik*; mert ha ugyanezen pontban a fényforrásnak néhány egymástól némi távolságban levő elempárjaitól származó impulzusok tevődnének össze: az egyik pár sötét csíkjai, a másik pár világos csíkainak helyére esnének, miből egyenletes megvilágítás származnék. És hogy a mindennapi életben úgyszólván sohasem tapasztaljuk, hogy fény fényhez adva sötétséget szül, ez onnét van, hogy az interferenciának imént előterjesztett két feltétele nincsen teljesítve.

Ha a két rezgő mozgás fázisa az idővel változik — egymástól független két fényforrásra nézve mindig ez az eset forog fenn, — úgy valamely adott felületet egyenletesen világítanak meg és a megvilágítás intenzitása a középértéke azon világos és sötét csíkok intenzitásának, melyeket ezek a fényforrások létesítenének, ha állandóan egyazon fázisban maradnának. Ennélfogva, a rezgések tágasságát egyenlőnek tételezve fel, a sötét csíkok közepében az intenzitás zérus, a világos csíkok közepében pedig kétszerese az előbb figyelembe vett egyenletes megvilágítás intenzitásának, mivel pedig emez a maga részéről megint kétszerese annak, melyet a forrásoknak csak az egyike adna, következik, hogy a világos csíkok közepében a megvilágítás négyszer akkora, mint egy egyedüli forrás megvilágítása. Másrészt, a mozgások összetételének elvénél fogva, a világos csíkok közepében a rezgések tágassága csak kétszer akkora, mint az összetevő mozgások mindegyikének tágassága. Tehát azt kell következtetnünk, hogy a *fényintenzitás arányos a rezgő mozgás tágasságainak négyzetével*.

Ez összhangzásban van azzal az elvvel, mely az akusztiká-

ban is érvényes (I, 295), hogy a fényérzet intenzitása arányos az időegységben az idegekre eső eleven erővel.

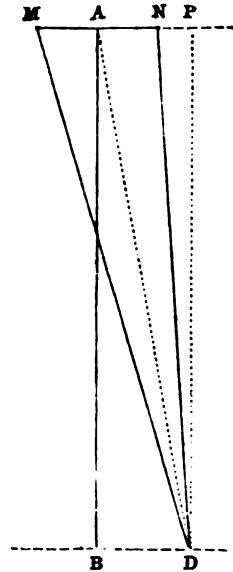
187. A helyett, hogy a csíkokat, mint eddig feltételeztük, ernyőn fognók fel, megfigyelhetjük őket akként is, hogy a fényt közvetlenül szemünkkel, vagy a mi még jobb, okulár közvetítésével fogjuk fel, mely őket megnagyítja. A tűnemény létrejön a tükrök előtt levő egész térben, melyben a visszavert fény-



561. ábra. Fresnel-féle okulármikrométer.

nyalábok összetevődnek, és az okulár használata mellett egy szem, mely végtelenre van alkalmazkodva, a csíkoknak azt a rendszerét fogja látni, mely ugyan-ezen okulár gyújtósíkjában jön létre. Ha e síkba fonálkereszt (148) van téve, mely mikrométer-csavarral mozdítható el (minőt az 561. ábra mutat), egymásután beállíthatjuk a különböző csíkok középvonalaira, s így megmérhetjük ezeknek egymástól való távolságát. Ilyetén mérésekből, ismerve a megfigyelt D pontnak (562. ábra) az M és N két látszólagos képnek A közepétől való távolságát, valamint e képeknek egymástól való távolságát, FRESNEL meghatározta a különböző monochromatikus fénynek megfelelő hullámhosszakat.

Ha ugyanis D -ből MN -re a DP merőlegest húzzuk, az MPD és NPD derékszögű háromszögekből:



562. ábra. Hullámhossz meghatározása.

$$MP^2 = \overline{MD^2} - PD^2; NP^2 = ND^2 - PD^2,$$

és ha kivonjuk a megfelelő tagokat:

$$(MP - NP)(MP + NP) = (MD - ND)(MD + ND);$$

mivel pedig:

$$MP + NP = 2AP = 2BD,$$

és mivel továbbá MN igen kicsiny MD -hez és ND -hez képest, igen nagy megközelítéssel $MN + ND = 2AD$ tehető, tehát

$$MD - ND = \frac{MN}{AD} BD.$$

De $MD - ND$ nem egyéb a megfigyelt D pontba érkező két hullámrendszer útkülönbségénél; ha tehát D a közepe az első világos csíknak, mely az 560. ábrabeli B középső csíkra következik, ez a különbség éppen egy hullámhossz (182).

Ezzel csak a hullámhosszak meghatározásának lehetőségét akartuk megmutatni; a következőkben (211) olyan módszert fogunk ismertetni, mely sokkal nagyobb pontosságot enged meg. Mindazonáltal már itt közöljük a FRAUNHOFER-féle legfontosabb vonalaknak (166) megfelelő hullámhosszakát, és pedig a *centiméter milliomod részeiben*:

A	B	C	D	E	F	G	H
$\lambda = 76,04,$	$68,70,$	$65,63,$	$58,92,$	$52,69,$	$48,61,$	$43,07,$	$39,66.$

188. Ismervén a hullámhosszt és a terjedés v sebességét, kiszámíthatjuk a másodpercenként végzett rezgések számát (I, 307) a következő képlettel:

$$v = \nu \lambda. \quad (1)$$

És itt felmerül a kérdés, vajjon a terjedés sebessége, miként a hang esetében (I, 291), független-e a rezgések tartamától? A súlyos közegekben nem független ugyan (191), de legalább a világterre nézve úgy látszik, hogy a különböző törékenyséű sugarak egyazon sebességgel terjednek. A fogyatkozások alkalmával ugyanis az elsötétülés ugyanabban a pillanatban áll be, a melyben a sötét hősugarak megszűnnek hatni. Más-

részt ha felteszszük, hogy a változó csillagok, mint a *Mira Ceti*, fogyatkozásoknak köszönhetik fényességüknek időszakos változását, fokozatos színváltozásokat tüntetnének elő, ha a különböző sugarak más meg más sebességgel terjednének. De ilyesmit, mindamellett hogy a fénynek olyan nagy időre van szüksége, hogy onnét hozzánk jöjjön (152), épen nem figyeltek meg. Felteszszük tehát, hogy az űrben mind megannyi sugár egyenlő sebességgel terjed, és pedig (156) másodpercenként $v = 3 \times 10^{10}$ czentiméternyi sebességgel; ha tehát (1)-ben λ azon értékeit helyettesítjük, melyek a *H* és *A* *FRAUNHOFER*-vonalaknak felelnek meg, melyek a látható színeknek mintegy a határán vannak, megközelítőleg:

$$\nu_h = \frac{3 \times 10^{10}}{40 \times 10^{-6}} = \frac{3}{40} 10^{16} = 750 \times 10^{13},$$

$$\nu_a = \frac{3}{76} 10^{16} = 400 \times 10^{13}.$$

Mondhatjuk tehát, hogy valaminth a fül nem hallja meg a túlságos magas és a túlságos mély hangokat, épen úgy a szem nem veszi észre a fényt, ha másodpercenkénti rezgései 800 billión felül és 400 billión alul vannak. Kivételes esetekben, és bizonyos óvatossággal eme határok tágulnak és 1400 billiót (*MASCART*), illetőleg 367 billiót (*HELMHOLTZ*) érnek el.

189. Ha figyelembe vesszszük, hogy a különböző törékenység a hullámok különböző hosszától függ (184), és pedig úgy, hogy a hullámhossz a színek vörös sugaraitól az ibolyaszínűekig folytonosan fogy: nem nehéz megértenünk, hogy a miként két egyszerű hang eredő hanggá tevődik össze (I, 326), épen úgy tevődik össze két egyszerű fény összetett fénynyé. Objektív szempontból a két tünemény analog; de ha a fizikai tüneményről átmegyünk az ő fiziológiai hatására, egészen különböző dolgokkal állunk szemben. A szemnek épen nincs olyan szétbontó tehetsége, mint a fülnek (I, 328), mert a Nap fehér fényében nem tudja megkülönböztetni a szivárvány

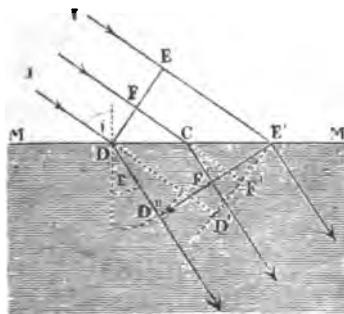
színeket; ép ily kevésbé tudja megkülönböztetni a napfény
fehérségét attól a fehértől, mely két egyszerű fény összetételé-
ből származik (160).

A hallásbeli érzetek, a mennyiben a hangok tisztaságát és színezetét illetik, híven megfelelnek a fizikai tényeknek. De a színek érzete inkább a szervezetünk belsejében ébresztett fiziológiai hatásoknak, semmint a külső dolgoknak felel meg.

Ez oknál fogva a hiú ábrándok közé tartoznak a színekép hét színe és a hanglépcső hét hangja közötti képzelt analógiák, valamint a színeknek ezen analógiákra alapított harmoniája.

190. A hullámelméletben a **fény visszaverődésének törvényét (36)** egészen úgy vezetjük le, a miként a hang visszaverődését vezettük le; ennél fogva egyszerűen az I. kötet **293.** pontjára utalunk.

A sugártörés magyarázata pedig a következő. Vegyük fel az IE, JD párhuzamos nyalábot (563. ábra); a hullámfelület



563. ábra. Sugártörés.

tehát e nyalábra merőleges sík, melyet abban a pillanatban, melyben a nyaláb a két közeget elválasztó felületet éri, DE -tűntet elő. A D pont parciális hullámok középpontjává (I, 287) válik, és azon t idő alatt, melyben E pont v sebességgel MM' -ig jut, úgy, hogy $EE' = vt$, a D -ből kiinduló részletes hullám D' -ig ($DD' = EE'$) jutna, ha a terjedésnek a második közegben való

v' sebessége megegyeznék az első közegben valóval. De ha ennél kisebb, ez a részletes hullám ugyanazon idő alatt EE' -nél kisebb sugarúvá, mondjuk $DD'' = v't$ sugarúvá válik. Hasonlóképpen áll a dolog MM -nek valamennyi többi pontjára nézve is, melyeket a beeső DE hullám sorban egymásután megrezdit, miből következik, hogy a burkoló hullámfelület a második közegben nem $D'F'E'$, hanem $D'F''E'$. De a $DD'E$ és $DD''E'$ derékszögű háromszögekből:

$$DD' = DE' \sin DE'D; \quad DD'' = DE' \sin DE'D'',$$

vagy pedig:

$$vt = DE' \sin i, \quad v't = DE' \sin r,$$

honnét osztás útján:

$$\frac{v}{v'} = \frac{\sin i}{\sin r} = n. \quad (1)$$

A beesés szögének sinusa tehát állandó viszonyban van a törés szögének sinusához (53), s e viszony egyenlő a két közegben való terjedés sebességének viszonyával.

Hogy azonban, a tapasztalással összhangzólag, $n > 1$ legyen, kell hogy v nagyobb legyen v' -nél, vagyis hogy a sugárzó energia a levegőben sebesebben terjedjen, mint a vízben. Az emisszió-elmélet pedig éppen az ellenkező eredményre vezetett, s éppen ezért a fénysebességnek a vízben való közvetlen mérése, melyről a 155. pontban már szólottunk, döntő csapást mért rá.

191. Jeleztük már az okokat (188), melyeknél fogva a különböző sugaraknak az üres térben való terjedése sebességét állandónak vesszük; de ha figyelembe vesszük a színszórás tüneményét (157), melyből a sugarak különböző törékenysége következik, azt kell következtetnünk, hogy a súlyos közegekben, mint a vízben, üvegben, stb., a terjedés sebessége a vöröstől az ibolya felé csökken. Mindazonáltal a levegőre s a többi gázra nézve, melyeknek igen csekély színszóró tehetségük van (172), észrevehető hiba nélkül feltehető, hogy a különböző sugarak bennök egyenlő sebességűek.

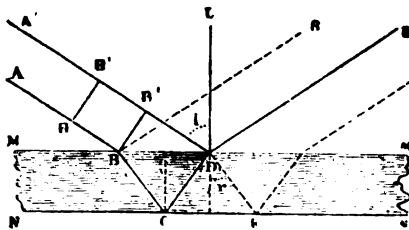
192. Hogy visszatérjünk a hullámmozgások interferenciájára, jelezni akarjuk, hogy ez sok tüneteknek, a többi között a csillagok szikrázásának (pillogásának) magyarázatára alkalmas. E tünet, mely a fényességnek és még a színnek is hirtelen való változásaiból áll, nyilván nem tulajdonítandó, mint némelyek vélik (57), a puszta sugártörésnek ; mert ha a dolog így állana, a messzelátóval nézett valamely csillagnak folytonosan el kellene mozdulnia, és így a képeknek a szemben való tartóssága (I, 195) miatt fényes görbe vonalnak hatását kellene keltenie. ARAGO szerint az igazi ok az volna, hogy a sugarak, melyek a retina egy pontjában egyesülnek, hogy itt a csillag képét létesítsék, a légkörben szomszédos utakat futnak ugyan be, de ezek az utak vagy a változó mérséklet vagy a higrométeres állapot miatt különbözök, és ennélfogva némelyek a többihez képest elmaradnak, úgy, hogy bizonyos törékenységek interferálnak, vagyis kioltják egymást és az eredő fény színessé válik. E magyarázattal összevág az a tény, hogy a szikrázás szembeötlőbb a messzelátóban, mint a szabad szemben, mert a tárgylencse nagyobb sugárnyalábot fog össze, mint a pupilla. A bolygókra nézve, melyek képének észrevehető átmérője van, az interferencia feltételei a képben pontról pontra változnak, minélfogva állandó fényesség s csaknem egyforma színezet származik.

193. A fény interferenciája teljesen megmagyaráz még egy igen közönséges tünetet: a **vékony lemezek színeit**. Ilyen vékony lemezek például a szappanbuborékok ; az üveglemezek, melyeket akként nyerünk, hogy egy üvegcső megolvasztott végére golyót fűvünk és pedig olyan hirtelen, hogy felpattanjon ; a víz felületén szétterülő (I, 200) vékony folyadékrétegek, mint a terpentin olaj rétegei ; az oxidréteg, melynél fogva a keményített aczél sárgának, kéknek vagy ibolyaszínűnek látszik ; a szivárványszínű csík, melyet a csigák maguk után hagynak, stb.

A lemezre eső fény részben már az első felületről verődik

vissza, részben pedig behatol a lemezbe ennek második felületéig, hol újabb visszaverődés támad, úgy, hogy a szembe két fénynyaláb érkezik, melyek egyazon forrásból származnak, de a melyek egy kevésbé különböző utakat tettek meg, és ennél fogva interferálhatnak; az eredő fény színes, mert a lemez vastagságához és természetéhez képest hiányzik belőle egy-néhány többé vagy kevésbé törékeny sugár.

Legyen MM és NN (564. ábra) a vékony lemeznek két határlapja, melyeket síkoknak tételezünk fel, s érzézzék az



564. ábra. Interferencia vékony lemezen.

elsőre egy monochromatikus és AB -vel párhuzamos fénynyaláb. A beesés B pontjában AB a visszavert BR sugárra és a megtörött BC sugárra szakad, mely utóbbi az NN második lapra érkezhén, részben CD felé verődik vissza; az MM első lap D pontjában újabb törés történik, melynél fogva a DE sugár lép ki.

Ugyanazon DE egyenes mentén azonban még az a sugár is terjed, mely egyetlen visszaverődés után az AB -vel párhuzamos $A'D$ beeső sugárból származik. A DE mentén összetevődő két sugár eredő sugarat hoz létre, melynek intenzitása az összetevő sugarak fázis különbségétől függ.

A beeső sugarakat egymással párhuzamosoknak tételeztük fel, mintha igen messze levő forrásból származnának; a hullámfelület tehát az irányukra merőleges HH' sík, és így e sík különböző pontjai bármely pillanatban egyazon fázisban fognak lenni (I, 286). Azonban a H és H' -ből egyidejűleg kiinduló két

azonos impulzus nem fog egyazon idő alatt például E -be érkezni, minthogy a $HBCDE$ és $H'DE$ utak, melyeket be kell futniok, nem egyenlők. A késedelem nem csupán vonalmenti különbségüktől, hanem még a fény sebességétől is függ, melyet a levegőre vonatkozólag v -vel, a lemez anyagára vonatkozólag pedig v' -vel fogunk jelölni; a késedelem tehát:

$$t = \frac{BC + CD}{v'} - \frac{B'D}{v}. \quad (2)$$

Ha a beesés és a törés szögét i -vel és r -rel, a lemez vastagságát pedig a -val jelöljük, és figyelembe vesszük, hogy:

$$B'D = BD \sin DBB' = BD \sin i,$$

$$BC + CD = \frac{BD}{\sin r},$$

$$BD = 2a \operatorname{tang} r = 2a \frac{\sin r}{\cos r},$$

a (2) alatti kifejezés így alakul:

$$t = 2a \frac{\sin r}{\cos r} \left(\frac{1}{v' \sin r} - \frac{\sin i}{v} \right),$$

vagy pedig, figyelembe véve a 190. p. (1) képletét:

$$t = \frac{2a}{v'} \cdot \frac{1 - \sin^2 r}{\cos r} = \frac{2a}{v'} \cos r,$$

vagy szintén:

$$t = \frac{2a}{\lambda'} \tau \cos r, \quad (3)$$

mely kifejezést a következő kapcsolat (I. 282.) révén nyertük:

$$v' = \frac{\lambda'}{\tau},$$

hol τ a λ' hullámhossznak megfelelő rezgésidő a lemez anyagában.

Ha mármost a fáziskülönbség, melylyel a két impulzus E -be érkezik, csakis ettől a késedelemtől függne, a két impulzus összevágó volna, midőn

$$t = 0, \tau, 2\tau, 3\tau, \dots \quad (4)$$

és ellenkező volna, midőn

$$t = \frac{\tau}{2}, 3 \frac{\tau}{2}, 5 \frac{\tau}{2}, \dots \quad (5)$$

Ebből az következne, hogy a fény hullámhosszához képest elenyésző vastagságú lemezről, melyre nézve $t = 0$ vehető, E -be egyező fázisú impulzusok érkeznének s ezek egymást erősítvén, a lemeznek világosnak kellene látszania. A tapasztalat az ellenkezőről tanuskodik. Vannak analógiák, melyek azon feltevésre készítetnek, hogy visszaverődéskor a fázis módosulásokban részesülhet a szerint, a mint a közeg, melyben a fény terjed, törékenyebb vagy kevésbé törékeny a törő felületen túl levő közegnél. Így az I. k. 306. pontjában láttuk, hogy a tetőre erősített kötél felső végéről visszavert hullámmozgás jelt változtat, ha ez a vég szilárd, és nem változtat, ha vékony fonálra van függesztve. Hasonlóképen a sípokban is (I, 318) a hullámok visszaverődéskor jelt változtatnak vagy nem változtatnak a szerint, a mint a sípok fedettek vagy nyitak, úgy, hogy az első esetben egy beeső sűrített hullám szintén sűrített visszavert hullámot létesít, a másodikban pedig ritkítottat. Úgyisint midőn rugalmas golyó nyugvó golyóba ütközik, visszapattan ha kisebb tömegű, és ugyanazon irányban halad tovább, ha nagyobb tömegű az ütött golyónál. Mindez arra a gondolatra készítet, hogy a fényhullámok visszaverődésekor ehhez hasonló valami esik meg, melynél fogva a visszavert hullám a beeső hullámrezgés irányát megtartja, ha a második közeg kisebb törésű, mint az első; ellenben ellenkező az iránya, ha a második közeg erősebben törő.

Ha a lemez erősebben tör, mint a levegő, — az 564. ábrán epen ezt az esetet tünteti elő, — az utóbbi eset forog fenn a D pontban való visszaverődésre nézve, az első pedig a C -ben valóra nézve, minélfogva a két impulzus, még akkor is, ha a $H'DE$ és $HBCDE$ utakat egyenlő időben futná meg, E -be mégis ellenkező fázissal érkeznek meg, mintha az egyik a másikkal szemben fél rezgésidőnyi, vagyis $\frac{\tau}{2}$ késedelmet szenvedett volna.

Ezt elfogadva, a vékony lemezek minden tűneménye a legapróbb részletekig megfelel az elméleti eredményeknek. A lemez világos t -nek (5) alatti értékei mellett, azaz midőn az útkülönbségből származó késedelem a rezgésidő felének páratlan számú többsese, és sötétnek mutatkozik a (4) alatti értékek mellett, vagyis midőn eme késedelem a rezgésidő egész számú többsese.

Ha tehát k bármely egész szám, ide értve a zérust is, a (3) alatti kifejezést tekintve következik, hogy a lemez *világos*, midőn a következő feltétel van teljesítve:

$$\frac{2k+1}{2} = \frac{2a}{\lambda'} \cos r, \text{ vagy } a = \frac{2k+1}{4} \frac{\lambda'}{\cos r}, \quad (6)$$

és *sötét*, midőn

$$k = \frac{2a}{\lambda'} \cos r, \text{ vagy } a = \frac{k}{2} \cdot \frac{\lambda'}{\cos r}. \quad (7)$$

Merőleges beesés esetében, azaz midőn $i = 0$, $r = 0$, tehát $\cos r = 1$, minélfogva a megelőző két feltétel ily alakot ölt:

$$\text{világosságra nézve: } a = \frac{2k+1}{4} \lambda', \quad (6a)$$

$$\text{sötétségre nézve: } a = \frac{k}{2} \lambda'. \quad (7a)$$

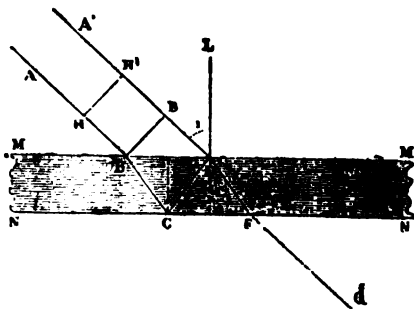
Ha pedig két mozgás, összetevődése alkalmával, se teljesen össze nem vágó, se teljesen nem ellenkező, eredő mozgásának tágassága, s ennek megfelelőleg a fény erőssége eme két határérték közé fog esni.

A tűnemény tárgyalásának teljessége megkíváná, hogy figyelembe vegyük az egymásra következő visszaverődéseket is, melyek száma végtelen (35); de ezek gyengék és a tűneményt lényegében nem módosítják, úgy, hogy megelégedhetünk azzal a megközelítéssel, melyet az első két visszaverődés figyelembe vételével kaptunk.

194. Lássuk inkább, hogy mi történik, midőn a lemez a szem és a fényforrás között foglal helyet. A H -ból (565. ábra) kiinduló és B -be érkező impulzus első törés után a lemezben BC mentén terjed, ezután első visszaverődés után CD mentén

és második visszaverődés után DF mentén, hogy második törés miatt FG irányban lépjen ki. Ellenben a másik impulzus, mely H' -ből egyidejűleg indult ki, csak kétszer tört meg: egyszer D -ben s egyszer F -ben, és az egyszerűbb $H'DFG$ útát fogja követni, hogy az elsővel összetevődve lépjen ki.

A két út különbsége azonos a megelőző esetben (194) előtüntetett különbséggel, mikor is a lemezt arról az oldalról néztük, a melyiken a fényforrás volt, és ennél fogva ugyanazt a (3) alatti késedelmet okozza. Csakhogy a jelen esetben mit sem kell



565. ábra. Vékony lemez színe.

ehhez a késedelemhez csatolni, hogy megkapjuk az igazi fáziskülönbséget, a melylyel a két mozgás interferál; ugyanis a $H'DFG$ út mentén nincsenek visszaverődések, a másik mentén pedig kettő is van, melyek vagy nem létesítenek fázisbeli felcserélődést, vagy ha létesítenek is, kiegyenlítik egymást, mert egyazon nembeliek lévén, mindegyikök egyértékű egy fél rezgés-időnyi késedelemmel, egészben véve tehát egy egész rezgés-idővel, minél fogva a fázist nem módosítják.

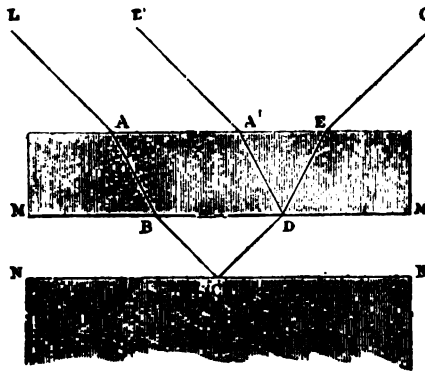
Ez az oka annak, hogy ha valamely lemez sötétnek látszik visszavert fényben, maximális fényűnek fog látszani, ha egyébként azonos körülmények között átmenő fényben figyeljük meg.

195. A lemezre érkező fény rendszerint nem egy színű, miként eddigelé feltettük, hanem összetett nappali fény. Ez

esetben interferencia révén azok a sugarak oltják ki egymást, melyekre nézve az imént levezetett feltételek teljesítve vannak, s ennél fogva a lemez a fenmaradó sugaraktól létesített összetett fény színét mutatja.

A színezet a beeső sugarak hajlása szerint változik, és adott hajlásra nézve az átmenő fényben megfigyelt színezet kiegészítője (159) a visszavert fényben látottnak. Mindezek a következtetések teljesen megfelelnek a valóságnak.

196. Ugyanezeket a tümenényeket létrehozzák azok a levegőrétegek is, melyek két, egymáshoz igen közel levő átlátszó test közé szorultak; ez oknál fogva gyakran élénk színekben látjuk az üvegben levő repedéseket, a kristályok hasadó lapjait, stb. Ilyen színjátékokat könnyen hozhatunk létre, ha két lehetőleg sík felületű és igen tiszta üveglapot egymásra teszünk; e

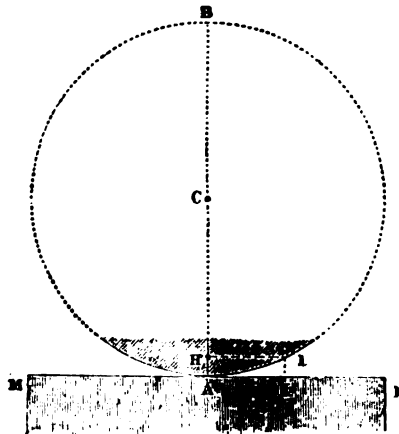


566. ábra. Levegőréteg okozta szín.

lapok között levegőréteg marad, mely különbözőképen színezett görbe vonalakat mutat, melyek alakjukat változtatják, ha a lapokat nyomkodjuk. Hogy a két üveg között levő MN vékony levegőrétegnek (566. ábra) valóban vékony lemez módjára kell viselkednie, könnyen megérthetjük, ha elgondoljuk, hogy az EO kilépő sugárnak, mely az üveg belsejében visszavert DE sugárból származik, intenzitása mindannyiszor zérus, a

midőn a rezgő mozgások DE mentén lerontják egymást, úgy, hogy az interferencia feltételei O -ban megegyeznek az E -re nézve érvényesekkel, és egészen közönbős, hogy a szem a DEO törött vonalnak mely pontjában van. Ha a két üvegből álló rendszer monochromatikus fénynek van kitéve, váltokozva világos és sötét csíkokat fog mutatni, fehér fényben pedig szivárványszínben játszókat fog mutatni és minden **izochromatikus csík**, azaz a melynek egész hossza mentén egyazon színe van, azon pontoknak a helye, melyekben a levegőrétegnek vastagsága ugyanaz.

197. NEWTON, ki először tanulmányozta e tüneményt, igyekeztén az emisszió-elmélettel megfejteni, két igen csekély görbületű lencsét tett egymásra, úgy, hogy egy pontban érintkeztek és az izochromatikus vonalak köralakúak voltak.



567. ábra. A Newton-féle színes gyűrűk keletkezése.

Newton színgyűrűi könnyen megfigyelhetők, ha MM sík üveglapra (567. ábra) síkdomború lencsét teszünk, melynek görbületi sugara igen nagy, sokkal nagyobb az ábrabeli CA -nál. Az A érintkező pont visszavert fényben sötétnek látszik, és monochromatikus fényben középpontja a váltokozva világos és sötét

tét csíkoknak, melyek a középponttól való távolságuk növekedésével folyton sűrűbbekké válnak. Fonálkereszttel ellátott okulárral, mely finom csavar segítségével eltolható, megmérhetők a gyűrűk átmérői, és NEWTON a következő törvényt találta:

A világos gyűrűk sugarainak négyzetei úgy viszonylanak egymáshoz, mint a páratlan számok, a sötétek sugarainak négyzetei pedig miként a páros számok.

E törvények könnyen levezethetők a hullámelmélettel. Legyen e végből (567. ábra) $HI = \rho$ a megmért gyűrű sugara, $IK = HA = a$ pedig a két üveg közé foglalt levegőrétegnek megfelelő vastagsága, végre $AB = d$ azon gömb átmérője, melynek a [görbe lencsefelület részét teszi. Ismert geometriai tétel szerint:

$$HI^2 = HA \times HB,$$

vagy pedig:

$$\rho^2 = a(d - a);$$

de mivel a rendkívül kicsiny d -hez képest, észrevehető hiba nélkül írhatjuk, hogy:

$$\rho^2 = ad.$$

Ha mármost I oly gyűrűnek a pontja, melyben a fényerősség maximum, a megfelelő levegőréteg a vastagságát a 193. p. (6) képlete határozza meg, ha pedig sötét gyűrűnek pontja, a értékét a (7) képlet fejezi ki. Ha tehát λ a hullámhossz a levegőben, k pedig bármely egész szám, a világos gyűrűk sugarait kifejezi a következő képlet:

$$\rho^2 = \frac{2k + 1}{4} \cdot \frac{\lambda d}{\cos r}, \quad (6b)$$

a sötéteket pedig:

$$\rho^2 = \frac{k}{2} \cdot \frac{\lambda d}{\cos r}. \quad (7b)$$

Merőleges beesésre vonatkozólag e képletek így alakulnak:

$$\rho = \frac{1}{2} \sqrt{(2k + 1) \lambda d}, \quad (6c)$$

$$\rho = \sqrt{\frac{k}{2} \lambda d}. \quad (7c)$$

E képletek világosan kifejezik NEWTON-nak tapasztalati úton talált törvényeit, és teljesen beigazolhatók, ha beléjük ρ , d és λ más úton megmért értékei helyettesíttetnek. Sőt velük igen jól meghatározhatjuk valamely adott egyszerű fénynek λ hullámhosszát is.

198. Megjegyezzük még, hogy az i beesési szög növekedésével az r törési szög is növekszik és ennél fogva $\cos r$ csökken, következésképpen ρ -nak növekednie kell. Valóban, ha a fény folyton növekedő ferdeséggel esik be, a gyűrűk mindinkább kiszélesülnek.

Ha a két üveg közé a levegőnél erősebben törő közeget teszünk, ebben a fény kisebb sebességgel terjed (183), tehát valamely adott rezgésidőnek megfelelő λ hullámhossz is kisebb. És a kísérlet ezzel összhangzólag valóban igazolja, hogy a gyűrűk összeszorulnak, midőn levegő helyett víz van a két üveg között. Ezen felül szorosabbak még a kék fényben mint a vörösből, és tudjuk már FRESNEL kísérletéből, hogy az ibolyahullámok rövidebbek a vöröseknél.

A fehér nappali fény hullámhosszai e szélső két érték között vannak, ennél fogva fehér fényben a gyűrűk szivárványszínűek, a minőknek lenniök kellene, ha az egyes monochromatikus sugarak számtalan gyűrűrendszerre összetevődnek.

Itt közöljük még a színes gyűrűknek NEWTON-tól származó osztályozását, feljegyezvén a ccentiméter milliomod részeiben azon levegőréteg vastagságát is, mely az illető színnek megfelelő.

Első csoport		Második csoport	
Kékes-fehér	11,4	Sötét bíbor	27,6
Sárgás-fehér	14,8	Kék	36,0
Barna-vörös	16,8	Sárga	43,2
		Vörös	49,2
Harmadik csoport		Negyedik csoport	
Bíbor	55,2	Halvány vörös	82,8
Kék	60,2	Halvány zöld	95,4
Sárgás zöld	66,6		
Sötét vörös	71,2		

199. Tudjuk, hogy mindezeknek a színezetnek, származásuk módjánál fogva, összetetteknek kell lenniök, miről meggyőződhetünk, ha velük rést világítunk meg s ezt hasábbal megfigyeljük (165). Midőn ρ kicsiny, csak egy olyan k egész szám van, mely λ -nak azon értékeire nézve, melyek a látható sugaraknak felelnek meg, eleget tesz a (7c) alatti értéknek; de a mint ρ növekszik, már két, azután három stb. ilyen egész szám van; ennél fogva abban a mértékben, melyben a középponttól távozunk, növekszik a kioltott sugarak száma és azoké, melyek maximális intenzitással jelennek meg, úgy hogy minden pontban akadnak a színek minden tájékának képviselői, melyek együttesen olyan összetett sugarakat adnak, melyek a napfénytől merőben különböznek, mert sötét sávoktól áthatogatott színeképeket adnak; de minden objektív különféleségük mellett is bennünk a fehér érzetét (189) keltik, és ennél fogva a középponttól távolodva, a gyűrűk élessége folytonosan csökken s bizonyos távolságban egészen megszűnik.

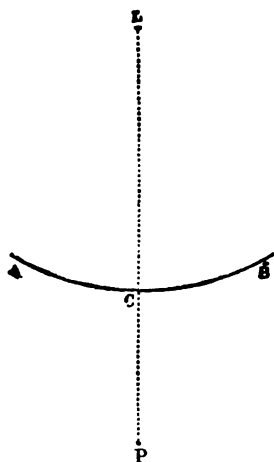
Monochromatikus fény használata mellett a gyűrűk sokkal nagyobb távolságban megkülönböztethetők maradnak (185). Ha ezenkívül a lencsét az alatta levő laptól mikrométer-csavar segítségével lassan eltávolítjuk, azt tapasztaljuk, hogy minden negyed-hullámhossznyi eltávolodásra a világos gyűrűk a velük szomszédos gyűrűk helyét foglalják el. Ha megállapítunk egy pontot, megszámlálhatjuk, hogy hány gyűrű vonul el fölötte a fokozatos távolodáskor, s ily módon sikerül megfigyelnünk aránylag nagy útkülönbségekkel létesülő interferenciákat is, és pedig annál nagyobb útkülönbségekkel létesülőket, mintül homogénebb az alkalmazott fény. Ily módon sikerült FIZEAU-nak, etil- és metilalkohol sós keverékének sárga lángját alkalmazván, az interferenciákat 1,5 cm vastag levegőrétegen át megfigyelnie, a mikor is a két sugár útkülönbsége 50 000 hullámhosszra rúgott.

Bizvást következtethetjük tehát, hogy a FIZEAU-tól] használt fényforrás rezgésbeli állapota mintegy 50 000 rezgés tartamán

át, vagyis mintegy egy-tizezermilliomod (10^{-10}) másodperc lefolyása alatt változatlanul fenmaradt; ez igen rövid idő, de jóval nagyobb annál, melyet FRESNEL feltételezett, a ki vörös üvegen áteresztett fényvel (185) nem láthatván mintegy száz osiknál többet, kijelenté, hogy lehetetlen két, habár homogén sugarat interferáltatni, ha az egyik a másikkal szemben tetemes késedelembe van; ezt a lehetetlenséget a fényforrás rohamos változásainak tulajdonította, a melyeknél fogva a forrás rezgő mozgása mintegy száznál több rezgés után szerinte nem maradhatott meg egyazon fázisban.

§ 200. A hullámfelület, miként láttuk (I, 286), a közeg azon pontjainak helye, melyek adott pillanatban egyazon fázisban vannak; ha tehát a rezgő mozgás egy pontból indul ki s minden irányban ugyanazon sebességgel terjed, miként ez minden izotrop közegben (I, 404) történik: a hullámfelület gömbalakú,

és a rezgések középpontjától nagy távolságban észrevehető hiba nélkül érintő síkjával cserélhető fel, vagyis síknak tekinthető; a rezgések középpontjától végtelen távolságban pedig egész szigorúan síkok.



568. ábra. Huygens elve.

Mondottuk már (I, 287), hogy a midőn az elmozdulások olyan kicsinyek, hogy a közegben velük arányos rugalmas erőket ébresztenek, a közeg különböző pontjaival közölt mozgások a parallelogramm szabálya szerint tehetők össze. A kicsiny mozgások összetételének ez az elve, melyet a megelőző pontokban bőven alkalmaz-

tunk, mint következményt foglalja magában Huygens elvét, mely ekként fejezhető ki:

«A rezgő mozgás, melyet az L rezgés-középpont bármely F

pontban (568. ábra) gerjeszt, minden pillanatban eredője mindazon rezgő mozgásoknak, melyeket a P pontban bármely közbeeső ACB hullámfelületnek különböző elemei ébresztenek, ha ugyanezen elemek mindegyikét külön-külön rezgés-középpontnak tekintjük.

Ez az elv elvégre is nyilvánvaló, mert alapján véve azt fejezi ki, hogy az L pontból kiinduló minden impulzus az ACB hullámfelületen át jut el P -be, úgy, hogy ha a mozgásnak L forrását megszüntetnők, és ACB különböző pontjaival valami úton-módon azokat az impulzusokat közölnők, melyeket ezen L forrás hatása révén kapnak: az ACB felületen túl levő közegnek állapota semmivel sem változnék.

201. Ezek után kössük össze az L forrást a P ponttal; LP -nek az ACB gömbi felülettel való C metszéspontját nevezzük a hullám *pólusának* P pontra vonatkozólag, és nézzük, hogy minek kell P -ben történnie, ha a C pólusban kicsiny akadályt helyezünk el, mely nem eresztí át a hullámmozgást, vagy pedig ha bármi módon korlátozzuk a hullámfelületet.

Fontos, hogy ezt megtudjuk, mert első pillanatra a hangtani kísérleti eredmények a fénytaniakkal össze nem egyeztetetőknek látszanak. Ha L -ben megszólal egy csengetyű, C -be pedig hanghullámokat át nem eresztő puha párnát helyezünk, a P -ben levő fül mégis meghallja a hangot, ellenben a szem P -ből nem láthat meg egy L -ben levő mécset, ha C -ben egy kicsiny átlátszatlan test van.

Fordítva, tegyük fel, hogy ACB egy átlátszatlan s egyidejűleg tömött és lágy rétegnek a felülete, úgy, hogy se a fény, se a hang ne hatolhasson át rajta, és C -ben vágjunk rajta kicsiny nyílást. A szem, legalább a 7. pontbeli megállapítások szerint, nem fogja meglátni az L fényforrást, ha kívül fekszik azon a kúpon, melynek csúcsa L és a melynek felületét a C nyílást körüljáró egyenes nemzi; ellenben a hang csaknem egyformán hallatszik az ACB előtti egész térben.

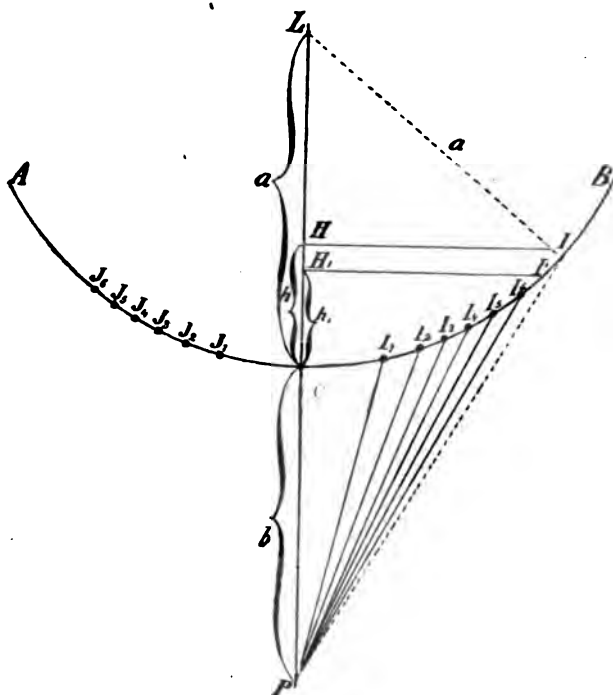
Mivel pedig a hang kétségtelenül hullámzó mozgásnak tulajdonítható, érthető, hogy mennyire meg volt okolva az az ellenszenv, melylyel annyi jeles férfiú azon feltevés iránt viselkedett, hogy a fény is hullámzó mozgás, mely feltevés a többi között nem adott számot azon alapvető tényről, a melyen az árnyékok egész elmélete (8) alapszik.

202. FRESNEL-é a nagy érdem, hogy minden kétsége eloszlatott, a mikor kimutatta, hogy a fény és az árnyék eloszlódása tulajdonképen nem is olyan, mint a minőnek a fény úgynevezett egyenes vonalú terjedéséből következik, és hogy ennél fogva az árnyékok elmélete nem szigorú, hanem csak megközelítő; sőt kimutatta, hogy ez a nagy megközelítés azon körülménynek tulajdonítandó, hogy a fényhullámok rendkívül rövidek a testek közönséges méreteihez képest, és hogy a hangra nézve épen azért nem állhat az a geometriai elmélet, mert a hanghullámok hosszúak ugyanazokhoz a méretekhez képest; ezen felül a **diffrakció** (fényhajlás) tünetényeit (208), melyeket eleintén az egyenes vonalú terjedés törvénye alól való kivételeknek tekintettek és zavaró okoknak róttak fel, a hullámmozgás általános törvényeinek vetette alá és a legapróbb részletekig megmagyarázta. FRESNEL mindezt akként fejtette meg, hogy a fény interferenciájának elvét, melyet már YOUNG állapított volt meg, HUYGENS-nek csak az imént (200) kifejezett elvével kombinálta.

203. Itt nem vihetjük keresztül FRESNEL számításait egész terjedelmükben, de megkísértjük legfontosabb levezetései egy-némelyikének lehetőségét megmutatni; megkezdjük pedig egy gömbhullámmal, mely az L középpontból (569. ábra) indul ki és a rajzlap síkját az ACB ívben metszi. Ugyanezen síkban felvesszük a gömbön kívül fekvő P pontot, összekötjük L -vel, s ezzel meghatározzuk a C pólust; ezután az AB íven, C -nek mind a két oldalán, felvesszünk olyan $I_1, I_2, I_3 \dots$ és $J_1, J_2, J_3 \dots$ pontokat, hogy két egymásra következőnek P -től való távolsága

egy állandó $\frac{\lambda}{2}$ kicsiny hosszzal különbözzék, a melyet egy félhullámhosszzal egyenlőnek fogunk feltételezni.

Ily módon az AB ívet úgynevezett *elemi ívekre* osztottuk fel, melyeknek elseje J_1I_1 , a többi pedig $I_1I_2, I_2I_3, I_3I_4, \dots$ a jobboldalon, $J_1J_2, J_2J_3, J_3J_4, \dots$ a baloldalon. Az AB ív, ha LP



569. ábra. Fresnel-féle elemi övek.

körül forog, a hullámfelületet nemzi, s mindegyik elemi ív egy egy gömbi övet fog nemzeni, melyet *elemi öv*-nek fogunk nevezni.

Most ki fogjuk mutatni, hogy bármely elemi övnek területe egyenlő az őt közbefoglaló két elemi öv területének középértékével.

Bocsássuk e végből az AB ívnek bármely I pontjából az IH

merőlegest LP -re; legyen $LC = LI = a$, $PC = b$, $CH = h$, $PI - PC = \delta$; az IHL és IHP derékszögű háromszögek a következő kapcsolatot adják:

$$a^2 - (a - h)^2 = (b + \delta)^2 - (b + h)^2,$$

vagy pedig:

$$2(a + b)h = 2b\delta + \delta^2; \quad (1)$$

egy másik I' pontra nézve, melyre vonatkozólag $PI' - PC = \delta'$, $CH' = h'$, hasonlóképen áll:

$$2(a + b)h' = 2b\delta' + \delta'^2,$$

és kivonás után:

$$2(a + b)(h - h') = (\delta - \delta')(2b + \delta + \delta').$$

Ha II' az n -dik elemi ív, úgy:

$$\delta = n \frac{\lambda}{2}, \quad \delta' = \frac{n-1}{2} \lambda,$$

s innét

$$\delta - \delta' = \frac{\lambda}{2}; \quad \delta + \delta' = \frac{2n-1}{2} \lambda;$$

és figyelembe véve, hogy a gömböv területe megegyezik olyan derékszögű négyszög területével, melynek egyik oldala az öv magassága, másik oldala pedig a kiegyenesített főkör: az elemi öv területe:

$$Z_n = 2\pi a(h - h') = \frac{\pi a}{a + b} \left(b\lambda + \frac{2n-1}{4} \lambda^2 \right).$$

Ha n helyett $n-1$ tétetik, a megelőző öv területét (Z_{n-1}) kapjuk, ha pedig n helyett $n+1$ tétetik, a következő övét (Z_{n+1}) nyerjük, és könnyű kimutatni, hogy:

$$Z_{n-1} + Z_{n+1} = 2Z_n,$$

a mi azt mondja, hogy egy elemi öv területe egyenlő a két szomszédos öv területének félösszegével, a mi bebizonyítandó volt.

204. Ezt előrebocsátva megjegyezzük, hogy az a mozgás, melyet az AB hullámfelület mindegyik eleme P -ben ébreszt,

emez elem területétől, P -től való távolságától és hajlásától függ; de ha csupán az egészen szomszédos elemek hatásának összehasonlítására szorítkozunk, a hajlást és a távolságot állandónak tekinthetjük, és feltehetjük, hogy az a sebesség, melyet ez elemek mindegyike P -be küld, arányos a területével. Ez esetben, mindig szem előtt tartva, hogy a hullámfelület minden pontja egyazon fázisban van, könnyen érthető, hogy valamely Z_n elemi öv minden egyes pontjának megfelel a szomszédos Z_{n+1} övnek egy-egy pontja, mely P -től egy félhullámhossznyival távolabb van, úgy, hogy az ezen két ponttól P -be érkező impulzusok fázisai ellenkezők, s ennél fogva egymást lerontják. Ha tehát ez a két öv egyenlő volna, együttes hatásuk zérus volna. Ezek az övek némileg különbözök ugyan, ámde mindegyikük egyenlő a két szomszédosnak félösszegével (203), minél fogva a Z_n öv hatását megsemmisíti a megelőző félövnek és a reá következő félövnek hatása.

Ha hasonló módon kombinálunk minden övet, nem marad más hatásos, mint a C pólus körüli $J_1 C I_1$ legelső övnek a fele, és a legutolsónak a fele. De ez utóbbi igen ferdén hajolván az őt a P -vel összekötő egyeneshez, nem létesíthet észrevehető hatást. Ennél fogva a hullám minden pontjától P -ben gerjesztett eredő sebesség igen nagy megközelítéssel ugyanaz a sebesség, melyet ugyanott a kiegyenlítettlenül maradt első félöv létesítene.

205. Ez a megfontolás váratlan eredményekre vezet.

Helyezzünk C -be, merőlegesen LP -re, átlátszatlan síkot; legyen benne r sugarú kicsiny környílás, melynek középpontja LP -be esik. Ez a kör egy a hullámfelülethez tartozó gömbszeletnek az alapja, és tegyük fel, hogy annyira kicsiny, hogy πr^2 területe egyenlőnek vehető magának a gömbszeletnek a területével. De ez utóbbi (1) szerint a következő:

$$2\pi ah = \frac{2\pi ab\delta}{a+b} \left(1 + \frac{\delta}{2b} \right),$$

és bármily közel feküdjék is P a gömbhöz, $\frac{\delta}{2b}$ bizvást elhanyagolható az egység mellett, úgy, hogy elegendő megközelítéssel kapjuk, hogy:

$$\pi r^2 = 2\pi ah = \frac{2\pi ab}{a+b} \delta,$$

mely kifejezés segítségével a középponti sugár és a gömb-szelet széle mellett elhaladó sugarak közötti δ útkülönbség a következőleg fejezhető ki:

$$\delta = \frac{1}{2} \frac{a+b}{ab} r^2. \quad (3)$$

1. Ha a nyílás olyannyira kicsiny, hogy bármely két pontja P -től való távolságának különbsége a félhullámhossznak kicsiny hányadrésze, a mozgások, melyeket különböző pontjai P -ben ébresztenek, megközelítőleg összevágók, és ennél fogva a fényerősséget csak azon irány ferdesége csökkentheti, a mely irányban a mozgás terjed. Ebből tehát következik, hogy a fény szétszóródik mindazon irányokban, melyeknek nincs túlságos hajlásuk a hullámfelülethez, minél fogva P pont körül a világítás elmosódik a nélkül, hogy az árnyéknak éles körvonala volna.

2. Ha a nyílás akkora, hogy az első elemi övnek éppen felét foglalja el, P -ben éppen annak a sebességnek kell létrejönnie, mely létrejönne az átlátszatlan lap távollétében is. Ha, miként a megelőző esetben, kisebb, P -ben a sebesség is kisebb annál a sebességnél, melyet az egész hullám akadálytalan terjedése létesítene. Ha nagyobb, P -nek nagyobb sebességet kell nyernie mindaddig, míg a nyílás elfoglalván az egész első elemi övet, azaz míg $\delta = \frac{\lambda}{2}$ -re növekedvén, P minden pillanatban kétszer akkora sebességre tesz szert, mint a mekkorát nyerne az akadálytalan terjedés hatása miatt; és mivel a megvilágítás arányos a sebesség négyzetével (186), ilyen nyílásnak az a hatása, hogy P -ben a fényerősség megnégyszereződik.

3. Ha azonban a nyílás még tovább növekszik, úgy, hogy

feltárja a második elemi övnek egy részét is, a fénynek gyengülnie kell, mert e résztől P olyan impulzusokat kap, melyek az első övtől erdőkhoz képest ellenkező fázisúak, és a P -ben levő megvilágítás minimum, midőn

$$\delta = \lambda,$$

vagyis midőn az első két öv szabadon van.

Midőn $\delta = 3\frac{\lambda}{2}$, a második övet a harmadik övnek fele és az első övnek fele kompenzálja, úgy, hogy a P -ben levő megvilágítás azzá válik, mely az egész hullám szabad terjedését illeti meg, és így lépésről-lépésre levezethető, hogy általában minimum figyelhető meg, midőn $\delta = 2k\frac{\lambda}{2}$, vagyis midőn:

$$\frac{a+b}{ab} r^2 = 2k\lambda, \quad (4)$$

és maximum, midőn

$$\delta = \frac{2k+1}{2} \lambda,$$

vagyis:

$$\frac{a+b}{ab} r^2 = (2k+1) \lambda, \quad (5)$$

hol k tetszés szerinti egész szám, mely azonban az azonnal (207) előterjesztendő okból nem túlságos nagy.

Valóban, mivel minden övet a két hatásos öv fele kompenzál, mindössze is csak a középponti öv fele és a szélső öv fele marad, melyek közelítőleg kompenzálják egymást, ha a sorszám páros, és összegeződnek, ha páratlan. De jól megjegyzendő, hogy a kompenzáció annál kevésbé teljes, mentül ferdébbek a szélső sugarak.

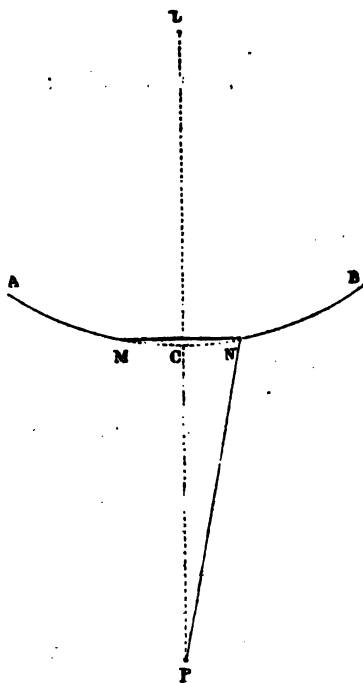
Nyilván való, hogy a (4) vagy (5) alatti feltételeknek akként is tehetünk eleget, hogy a nyílás r sugarát állandóan megtartva, a b távolságot oly módon változtatjuk, hogy a megvizsgált P pontot LP mentén elmozdítjuk.

Ily módon FRESNEL mikrométeres okulárjának (187. p.

561. ábra) használatával kimutathatta, hogy a megelőző leveztések híven fejezik ki a való tényeket.

206. Nem kevésbé érdekes következménye a hullámelméletnek az, hogy egy köralakú korongocskától vetett geometriai árnyék középpontjának megvilágítotttnak kell lennie, mintha csak a korongocska ott sem volna és az egész hullám szabadon terjedne.

Legyen ugyanis MN (570. ábra) az átlátszatlan korong, melynek középpontja az LP vonalon fekszik, és mely csak



kevés számú elemi övet foglal magában. Osszuk fel az AB hullám felületét, és pedig a jelen esetben a korong MN szélén kezdve, az elemi övek olyatén sorára, hogy a P pont felé menő megfelelő sugaraik félhullámhosszal különbözzenek. Ezen övek mindegyikétől származó minden sugár a két határos öv (203) sugara rezgésének felétől kioltottnak tekinthető, kivéve az MN széllel határos övet és az AB felé eső szélső övet, melyeknek sugara rezgésbeli sebességek felét megtartják. De, a miként már említettük, a szélső sugarak nagy ferdeségek miatt hatástalanoknak

570. ábra. Megvilágított középpontú árnyék.

tekinthetők, úgy, hogy csakis a koronggal határos övnek fele marad hatásos. Ennek az övnek egyre-másra ugyanaz a kiterjedése van, mint a C sark körüli első elemi övnek; és ha a korong oly kicsiny, hogy a szélén kiinduló sugarak nem hajol-

nak túlságosan a középponti sugárhoz, ez övek hatásai egyenlők maradnak, azaz (204) a P pont körülbelül ugyanazt a sebességet kapja, melyet kapna, ha a korong ott sem volna, és a geometriai árnyék közepének megvilágítottának kell lennie.

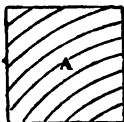
Ezt a sajátyszerű következtetést Poisson vonta s azután FRESNEL kísérletileg megerősítette. Miként látjuk, független a korong átmérőjétől és a távolságtól, melyben árnyékát felfogjuk, ha ugyan az elhajló sugarak nem túlságosan ferdek.

Midőn a korong MN átmérője és P -től való távolsága akkora, hogy az AB hullámon nagyon sok elemi öv van eltakarva, a koronggal szomszédos félövől P -be érkező mozgásnak hatásos összetevője a nagy ferdeség miatt annyira meg van gyengülve, hogy észrevehető hatása már nem igen lehet és P sötét marad.

207. A terjedés irányához való ez a nagy ferdeség az oka, hogy a mikor egy nyílással ellátott korlátlan ernyőnek hatását tanulmányoztuk (205), kivettük azt az esetet, melyben a nyílás nagy számú elemi övet foglal magában. Ilyenkor a két félöv, melyektől a P pont mozgását függni láttuk (569. ábra), vagyis a középponti és a szélső félöv abszolút érték szerint nem létesít egyenlő sebességeket; ennél fogva a szélső sugarak, melyeknek ferdesége tetemes s melyek távolabb fekvő pontoktól jönnek, sokkal kevésbé intenzívek, úgy, hogy már nem képesek a pólus környékéről kiinduló sugarak hatását kiegyenlíteni. E sugarak tehát P -ben ugyanazt a hatást létesítik, mintha a lyukas ernyő ott sem volna, de ez csak azon feltétel mellett áll, ha a nyílás igen sok elemi övet foglal magában. Tudjuk, hogy λ rendkívüli kicsinysége (187) miatt e feltételnek eleget tehetünk a nélkül, hogy a nyílásnak valami nagynak kellene lennie.

Az ilyen nyíláson keresztül nem csupán a P pont van megvilágítva, hanem mindazok a pontok is világosságban vannak, melyek a határlap geometriai árnyékát meghatározó kúpon

belül fekszenek, kivéve a szélekhez igen közel levőket. Fordítva is, a kúpon kívül fekvő, és magától a széltől bizonyos távolságban levő pontok nem mozdíttatnak meg a hullámnak a nyíláson átmenő részétől. Vegyük fel ugyanis a tetszés szerinti alakú A nyílást (571. ábra) a rajzlap síkjában, és előtte bizonyos távolságban, de a geometriai árnyék kúpján kívül egy Q pontot,



571. ábra. Árnyék nagy nyílás esetében

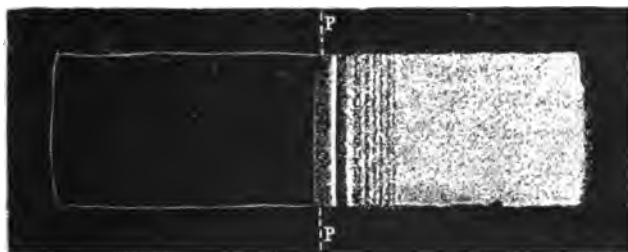
mely körül mint középpont körül képzeljünk fél-félhullám-hosszakkal növekedő sugarakkal gömböket leírva. E gömbök a nyílást annyi igen keskeny és olyan szalagra fogják osztani, hogy e szalagok egyikének Q -ra való hatását a szomszédos két fél-szalagnak hatása közönbösíti (204). Ha aztán figyelembe vesszük, hogy még a szélső fél-szalagok sem idézhetnek elő észrevehető hatást, mert igen rövidek: belátható, hogy a Q pontnak árnyékban kell maradnia.

Ily módon megokolva találjuk az árnyékok geometriai elméletének alaptételét legalább azokra a pontokra nézve, melyek a szélekhez nem nagyon közel fekszenek. Ne felejtjük, hogy a magyarázat egészen a hullámhossz rendkívüli kicsinségén alapszik; minélfogva egy nyílást, mely nem rendkívül kicsiny, roppant nagy számmal találunk félhullámhossznyi közökkel szerkesztett egyközepű gömbök. A magyarázat nem volna alkalmazható azokra a közönséges körülményekre, melyek között a hangtani tünetmények fordulnak elő, mert a hanghullámok hossza összehasonlítható a fül és a hangforrás közötti távolsággal, és ennélfogva valamely hullám létesítette hatás nem szorítkozik többé a pólusa körüli kicsiny tájék hatására.

208. De még a fénytünetmények esetében is tévedés volna azt hinnünk, hogy a sugaraknak valóságos és önálló fizikai létök van, és hogy egymástól különválhatnak. Valahányszor megkísértjük az ilyen különválasztást, folytonosan szűkebb és szűkebbre szabván a fény járta rést, mindannyiszor a **diffrak-**

ció **tüneményeibe** ütközünk, melyek közül néhányat már a megelőző pontokban jeleztünk. Különböen egyáltalában nem is szükséges, hogy igen kicsiny nyílásokhoz folyamodjunk, hogy a fény terjedésének geometriai elméletét tökéletlennek ismerjük fel. Elég, ha megfigyeljük, hogy mi történik bármely test árnyéka szélén, feltéve, hogy a testet igen kicsiny fényforrással világítjuk meg: hirtelen átmenet helyett a fehér fénybe szivárvány színekkel játszó, felváltva világos egyszerű színű és sötét csíkok sorát fogjuk látni.

A kísérletet igen könnyen megtehetjük, ha a heliostatba nyílással ellátott átlátszatlan lapot helyezünk, és a sötét szobába eső nyalábot erősen gyűjtő lencsével fogjuk fel. A Napnak kicsiny valódi képe alkotja a fényforrást, mely egy szemközt



572. ábra. Monochromatikus fény okozta csíkok.

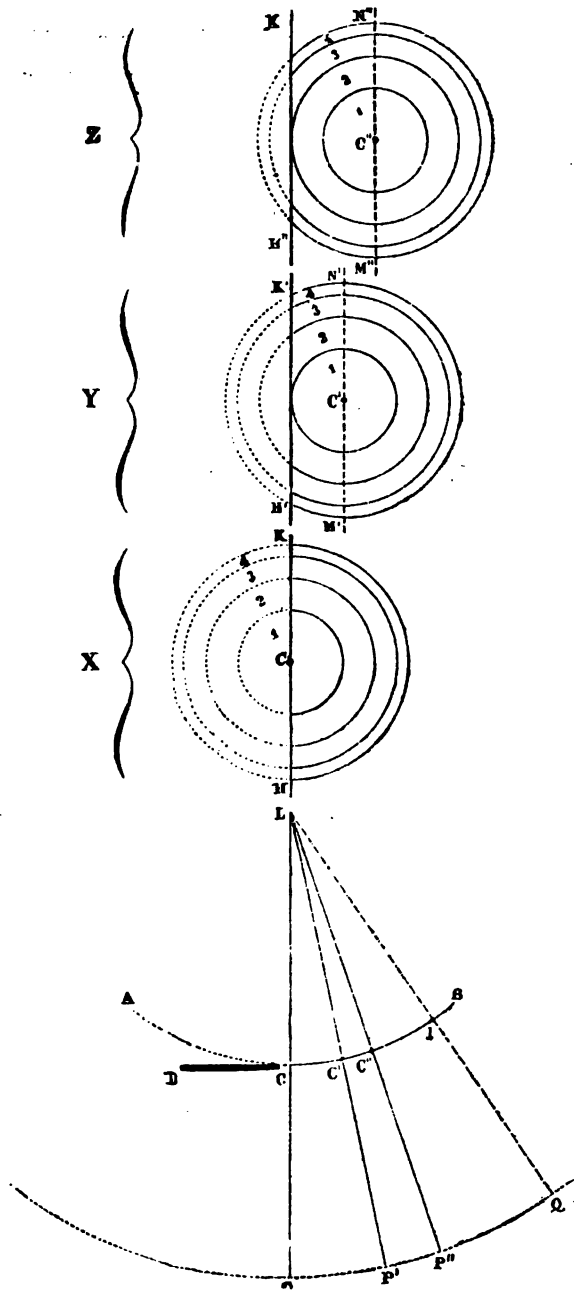
felállított fehér ernyőt egyenletesen világít meg. Bármint, hacsak nem igen kicsiny átlátszatlan testtel megmutathatjuk a diffrakciós csíkokat, melyek árnyékát szegélyezik.

Hogy erről legalább megközelítőleg számot adjunk, elegendő, ha a szélnek kicsiny darabját egyenes vonalúnak tekintjük, és, hogy figyelmünket határozott esetre fordítsuk, függélyes állásúnak tesszük fel. Ez esetben a monochromatikus fény előidézte csíkok képét az 572. ábra tünteti elő, melyben a geometriai árnyék határát *PP* jelöli. A fény gyenge világosságú elmosódással kissé túllépi ezt a határt azon oldal felé, melynek, a geometriai elmélet szerint, teljes árnyékban kellene

lennie; a másik oldalon pedig fokozatosan erősödve terjed bizonyos maximumig, ezután minimumra megy át, s ilyenképpen a mindinkább elvékonyuló és elhalványuló csíkok sorát nemzi, melyek végre folytonos megvilágításban folynak szét.

Az LP egyenes (573. ábra), mely az L fénypontot a geometriai árnyék széléhez tartozó valamely P ponttal köti össze, C -ben éri a CD átlátszatlan testet, minélfogva C adja P -nek az ACB hullámfelületre vonatkozó pólusát, mely felületet a szokott módon elemi övekre osztva, LP -re merőleges síkra való vetületben X alatt látjuk. Mindegyik elemi övnek fele, az átlátszatlan lap miatt, meg van akadályozva abban, hogy mozgását P -be küldje; a másik, HK -tól jobbra eső fele szabadon hat, úgy, hogy ha v -vel jelöljük azt a sebességet, melyet P az egész hullám szabad terjedése révén nyerne, azt kell következtetnünk, hogy a CD sötét test hatása miatt $\frac{1}{2} v$ -re redukálódik.

Kössük most össze L -t a C' ponttal, mely az első és a második elemi öv között ezek határvonalán fekszik; és vegyük P mellett figyelembe a P' pontot, mely ezen az összekötő vonalon fekszik. P' -nek pólusa C' , és ha erre vonatkozólag az ACB hullámfelületet újra elemi övekre osztjuk és (Y alatt) LP' -re merőleges síkra vetítjük, világosan látjuk, hogy P' -be a jobboldali fél-hullámtól származó $\frac{1}{2} v$ sebességen kívül az ezzel összevágó v sebesség érkezik, mely az első elemi félövől származik (204), mely P -re vonatkozólag fedve maradt, és $H'K'$ és $M'N'$ közé van foglalva; így tehát a P' pont $\frac{3}{2} v$ sebességet fog nyerni, melyből azonban levonandó az a kicsiny ellenkező sebesség, mely a harmadik öv részeinek $H'K'$ és $M'N'$ közé foglalt felétől származik. Mivel minden többi egymásra következő övnek hatása egymást megközelítőleg megsemmisíti és mivel a fény intenzitása a sebesség négyzetével arányos (186): P' sokkal erősebben van megvilágítva, mint P .



578. ábra. Diffrakció.

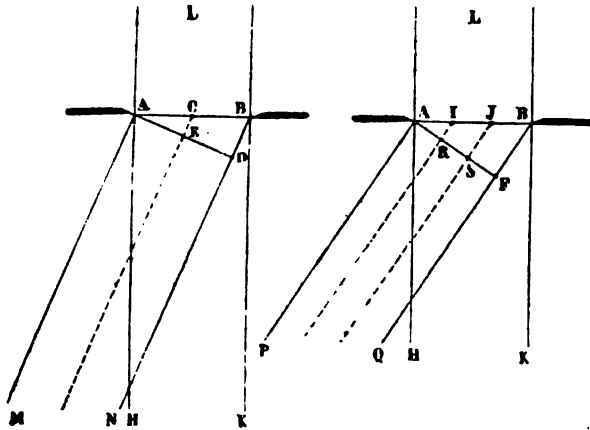
Ellenben az olyan P' pont, melynek sarka az 573. ábrában megjelölt helyzetben C'' , a megvilágítás minimumát fogja előtűntetni. Valóban az $M''N''$ jobb oldaláról származó mozgás $\frac{1}{2}v$ -re redukálódik, mihez csaknem semmi sem járul hozzá, mert az 1 és 2 övnek $H''K''$ és $M''N''$ között levő fele csaknem teljesen ellensúlyozza egymást, és a 3 övnek $H''K''$ és $M''N''$ között levő és az egymásra következő övektől nem kompenzált része csekélységre redukálódik. P' -nek megvilágítása tehát csaknem egyenlő a P -ével, és így tovább, mígnem egy O pont, melynek I pólusa C -től nagyobb számú elemi öv távolságába esik, az egész v sebességet fogja nyerni, tehát itt a fény négyszerte intenzívebb, mint P és P' -ben.

Nyilvánvaló, hogy a PP' , $P'P''$, stb. távolságok LC és PC -n kívül függnék még a λ hullámhossztól is, melynek segítségével ACB elemi övekre osztatott, úgy, hogy a csikok szélessége az L -ből kiinduló egyszerű fény színével együtt változik, és ha L napfényből ered, a diffrakciós csikok szivárványszínekkel tűnnek elő (185).

209. A diffrakció-tüneményekre vonatkozó elmélekdedések jóval egyszerűbbekké válnak, ha a helyett, hogy egy hullámfelület adott részének véges távolságban levő pontra való hatását akarnók levezetni, megelégszünk a végtelen távolságban történőknek tanulmányozásával; vagy más szavakkal: könnyebb a sík hullámokkal elbánni, mint a gömbiekkel.

Nem mulaszthatjuk el, hogy ezt egy tanulságos példán bemutassuk. Figyelembe fogjuk ugyanis venni azt a diffrakciót, melyet korlátlan kiterjedésű, átlátszatlan lapba vágott, egyenes vonalú **szűk rés** idéz elő, feltéve, hogy a rés függélyes és vízszintes síkkal való átmetszését AB (574. ábra) tünteti elő. Ha a fény merőlegesen esik rá, egy igen messze fekvő L ponttól, a minő volna a Napnak gömbölyű gombtól visszavert képe: a hullámfelület AB -ben síknak vehető. Ha rá **HUYGENS** elvét (200)

alkalmazzuk, látni fogjuk, hogy eme síkhullámnak a reá merőleges AH és BK irányban kell terjednie, úgy, hogy végtelen távolságban a közvetlenül átmenő nyalábot alkotó különböző sugarak még összevágók fognak lenni, és ha a szemmel fogjuk fel őket, a retina egy pontjába futnak össze, vagy pedig ha tárgylencsén mennek át, egyetlen pontban hajolnak össze, mely pont



574. ábra. Diffrakció szűk résen.

rezgésbeli tágassága egyenlő az egyes sugaraknak megfelelő tágasságok összegével.

Válaszszunk egy másik AM , BN irányt oly módon, hogy BN -re az AD merőleget emelvén, $BD = \lambda$ legyen. Ekkor az AD -n levő különböző pontok más meg más fázissal rezegnek.

Az E középső pont, melyre nézve $CE = \frac{\lambda}{2}$, A -val ellenkező fázisú, és hasonlóképen az AE darabon választott minden pontnak megfelel az ED darabon egy pont, mely vele szintén ellenkező fázisú fog lenni. Hatásaik tehát lerontják egymást, és a tárgylencse gyújtósíkjának azon pontjában, melyben az MM , BN párhuzamos nyalábnak a rés képét kellene nemznie, sötétség fog lenni.

Ellenben az AP , BQ irányban, melyre nézve a két szélső sugárnak BF útkülönbsége $\frac{3\lambda}{2}$ -re rúg, világosság fog lenni; ha ugyanis a rés szélességét három egyenlő részre osztva képzeljük, kettő közülök kompenzálja egymást, a harmadik rész különböző pontjainak pedig egymással összevágó sebességek van, minél fogva az AP , BQ iránynak megfelelőleg az objektív gyújtósíkja meg van világítva. Ezen irány és a megelőző AM , BN irány között a megvilágítás zérustól bizonyos maximumra emelkedik, és ha a ferdeséget még fokozzuk, ismét zérusra tér abban az irányban, melyre nézve a szélső sugarak útkülönb-



575. ábra. A vonalas rés diffrakciós csíkjai.

sége 2λ , és így tovább. A közvetetlen nyaláb másik oldalán a tűneménynek szimmetrikus lefolyása van, úgy hogy az objektív gyújtósíkjában felállított ernyőn az 575. ábrában előtüntetett csíkokat fogjuk látni.

Még jobban látjuk, ha okulár segítségével közvetetlenül nézzük. Különben az e fajta diffrakció-tűnemények megfigyelésére legalkalmasabb a végtelenre beállított csillagászati messzelátó (146), melynek tárgylencséje elé ónpapirost helyezünk, melybe a rést tollkéssel metszszük; a messzelátót messze levő fénypontra vagy a réssel párhuzamos fényvonalra irányozzuk; az utóbbit például úgy kapjuk, hogy kicsiny csillám-hengert a napra teszünk ki.

Az 575. ábrabeli sötét sávok között levő fényes nyalábok szélessége a beeső fény hullámhosszával változik: legnagyobb a vörös fényben, legkisebb az ibolyaszínűben. Ha tehát fehér fényt használunk, a középső fehér nyalábot színes csíkok sze-

gélyezik, melyekben a színek sora ugyanazon rendben következik, mint a visszavert fényben nézett NEWTON-féle színgyűrűkben (198).

210. Sokkal érdekesebb a tünemény, midőn egyetlen egy rés helyett a messzelátó tárgylencséje elé a párhuzamos rések egész sorát, vagyis FRAUNHOFER-féle rácsot helyezünk, melyet vagy úgy készíthetünk, hogy igen vékony fémdrótokat egymás mellett kifeszítünk, vagy pedig kormozott lemezre igen sűrűn párhuzamos vonalakat húzunk, vagy pedig ilyeneket gyémánttal karczolunk üvegbe. Ha a messzelátót távol fekvő résre vagy a Nap fehér fényét visszaverő fémhengernek ragyogó vonalára irányozzuk: a középben a fényvonal O fehér képét (576. ábra)



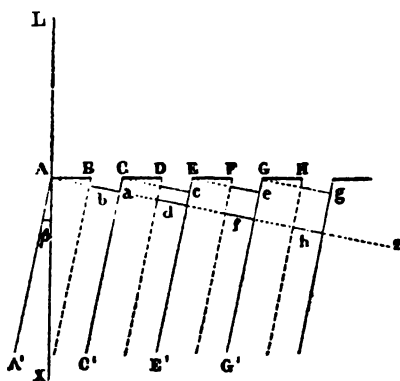
576. ábra. Fraunhofer-féle ráccsal keletkező színekép.

mindkét oldalon pedig a színekép sorát fogjuk látni, melyekben befelé van az ibolya, kifelé a vörös. A középső képhez legközelebb eső két V_1R_1 képet *elsőrendű színeképek*nek nevezzük; ezeket a V_2R_2 *másodrendű színeképektől* az R_1V_2 sötét köz választja el; e színeképek sárga-narancs-vörös tájékát a következő két *harmadrendű színeképek*nek ibolyaszín-kék tájéka fedi, miként a V_3R_2 -ben megjelölve látjuk.

Ha a forrás monochromatikus fényt sugároz, e színeképek mindegyike egy-egy illető színű fényes vonalra redukálódik, miként az ábrabeli G_1, G_2, \dots pontok a sárga fényre nézve elötüntetik.

Az 577. ábrában AB, CD, EF, \dots egy rácsnak átlátszatlan közeit, BC, DE, FG, \dots pedig világos közeit tünteti elő; e közöket egymással egyenlőknek vesszük s egy világos és sötét

köz együttes szélességét m -mel jelöljük, úgy, hogy például $AB + BC = m$. Tegyük fel, hogy a rácsra AL -lel párhuzamos nyaláb esik, úgy, hogy a rács síkja összeesik valamely hullám-felülettel. Mindegyik átlátszatlan darab baloldali szélétől húzzuk meg az AA' , CC' , EE' , . . . párhuzamosokat, melyek LX -hez β szög alatt hajolnak, melyet akként választunk, hogy eme pár-



577. ábra. A diffrakció magyarázata.

huzamosakra Aa , Cc , Ee , . . . ugyanannyi merőleget emelvén, a Ca , Ec , Ge , . . . metszetek egyenlők legyenek egy λ hullám-hosszsal, úgy, hogy például

$$Ca = AC \sin a \quad AC,$$

vagy

$$\lambda = m \sin \beta. \quad (1)$$

Ezt előrebecsátva, a különböző átlátszó közök, melyeket HUYGENS elve szerint világítóknak tekinthetünk, az AA' irányban ugyanannyi síkhullám-részt indítanak útnak, mely részek egymás között egész számú hullámhosszakkal különböznek, és ennél fogva ugyanazt a hatást idézik elő, mintha mindannyi az AaZ síkra volna áttéve. Ha már most az átlátszatlan közök nem volnának ott, eme hullámrészek mindegyikének fele kiküszöbölne a másik félnek hatását, miként a megelőző pontban láttuk. De az átlátszatlan köz miatt ilyenén kompenzáció nem

esik meg, minél fogva a $b, d, f, h \dots$ hullámrészek zérustól különböző sebességet létesítenek, és az AA' irányban világosság fog keletkezni.

Hasonlóképen világosság keletkezik, habár kevésbbé intenzív, a többi irányokban, melyekre nézve

$$\sin \beta = k \frac{\lambda}{m}. \quad (2)$$

Ekkor $k = 0$ -nak meg fog felelni a középső kép, $k = 1$ -nek a két oldalt levő kép, melyeket elsőrendű színeknek nevezünk, $k = 2$ -nek meg fognak felelni a másodrendű színek, stb.

De megeshetik, hogy eme színek egyenmelyike hiányzik. Így például hiányozhatnak a másodrendűek, ha a sötét közök épen olyan szélesek, mint a világosak. Ugyanis $k=2$ -re nézve, — mivel Ca -nak $=2\lambda$ kell lennie, és mivel feltevésünk szerint $AB = BC$, — mindegyik hullám-résznek, mint például b -nek, szélei egyazon fázisban volnának és b -t, miként a megelőző (209) pontban, szét lehetne bontani két ellenkező félre, melyek egymást kompenzálnák.

Hátra van még, hogy megmutassuk, hogy miért is vannak a különböző világos csíkok, melyekre a diffrakciós színek monochromatikus fény esetében redukálódnak, egymástól teljesen sötét mezőkkel elválasztva. E végből vegyünk figyelembe oly irányt, mely a (2) képlettel meghatározottaktól különbözik, és tegyük fel, hogy a Ca, Ec, Ge, \dots útkülönbségek egyenlők $k\lambda$ -val, hozzáadva ehhez még λ -nak bármennyit, ha még olyan kicsiny hányadrészét. Hogy figyelmünket határozott esetre fordítsuk, legyen ez a hányadrész $\frac{\lambda}{100}$, és ekkor a mozgások, melyek a b, d, f, \dots hullámrészekről indulnak ki, a következő értékekkel fognak az első mozgástól az egymásra következőkig különbözni:

$$\frac{\lambda}{100}, \quad \frac{2\lambda}{100}, \quad \dots \quad \frac{50\lambda}{100};$$

így az ötvenegyedik ellenkező fázisban fog lenni az elsővel, és az első ötvenet le fogja rontani a következő ötven. A századik réstől kezdve megint találni másik ötvenet, melyek hasonlóképen kettésével meg fogják egymást semmisíteni. A rács végén tehát csak ötvennél kevesebb rés marad hatásos, a mely nem létesít észrevehető hatást.

Látjuk tehát, hogy megvilágítás csak a (2) képlettől meghatározott irányokban van. Ez a képlet, ha a rácson centiméterenként N rés van, azaz, ha $mN = 1$ cm, a következő alakot ölti:

$$\sin \beta = kN\lambda. \quad (3)$$



578. ábra. A hullámhossz meghatározása.

211. A FRAUNHOFER-féle rácsok a legkényelmesebb módot szolgáltatják a **hullámhossz szabatos meghatározására**. Valamely spektrométer (168. p. 543. ábra) asztalkájára hasáb helyett az M rácsot (578. ábra) karczolásaival függőlegesen helyezük el, és a készüléket úgy igazítjuk, hogy a rács merőleges legyen az L kollimátor-cső tengelyére, mely csőnek a rése függőlegesen áll a tárgylencse gyújtósíkjában. Ha a rés szűk és nap-pali fényrel van megvilágítva, a végtelenre beállított F messze-látóval megfigyelt diffrakciós színek a FRAUNHOFER-féle vonalakat fogják mutatni, és hogy a mindegyiküknek megfelelő hullámhosszt meghatározzuk, elég, ha a beosztott körön

leolvassuk azt a γ szöget, a melylyel el kell fordítani a messzelátót, hogy az illető vonalat az elsőrendű két színekben (210) meg-
irányozzuk (148); ekkor a (3) alatti képlet, melyben $\beta = \frac{\gamma}{2}$ és $k=1$ teendő, a keresett hullámhosszt centiméterekben a kö-
 vetkezőleg adja:

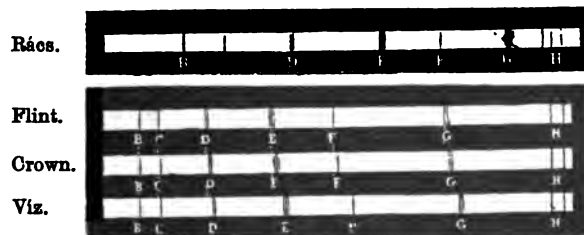
$$\lambda = \frac{\sin \frac{1}{2} \gamma}{N}. \quad (4)$$

Próbául hasonlóképen megmérjük a γ_1 szöget a másod-
 rendű két színekpre vonatkozólag, és szintén kell állania:

$$\lambda = \frac{\sin \frac{1}{2} \gamma_1}{2N}.$$

Ily módon mérettek meg a 187. pontban közölt hullám-
 hosszak.

212. A hasábok színekéitől (173) eltérőleg a diffrakziós
 színeképek, bárminemű legyen is az őket létesítő rács, mindany-
 nyian hasonlók egymáshoz. Az 579. ábra világosan mutatja,



579. ábra. Színeképek összehasonlítása.

hogy minő és mekkora a különbség a diffrakziós színekép és az
 épen olyan hosszú hasáb-színeképek között, melyeket a flint, a
 crown és a víz színszórása révén kapunk; az utóbbiak az első-
 höz képest az ibolya felé kinyúlnak, a vörös felé pedig össze-
 szorulnak.

A rácsokkal előállított színekben az eltérítés szögének sinusa, tehát maga a csekély eltérítés is, arányos a hullámhosszal, úgy, hogy két FRAUNHOFER-vonal közötti távolság akként változik, mint a megfelelő hullámhosszak különbsége; ez oknál fogva a diffrakciós színekpet **normális színek**nek nevezzük. Ellenben a hasáb-színekpekben a hullámhossznak az eltérítéssel való kapcsolata a különböző közegekre nézve különböző.

CAUCHY elméleti megfontolásokból kiindulva, a következő képletet állította fel a törésmutató (n) és a hullámhossz (λ) közötti kapcsolat kifejezésére:

$$n = a + \frac{b}{\lambda^2} + \frac{c}{\lambda^4} + \dots,$$

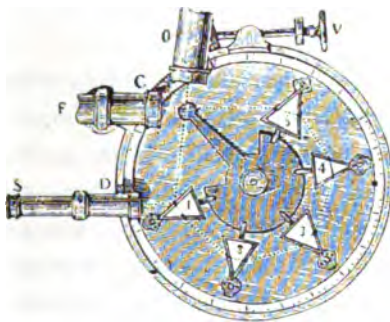
hol a , b , c , ... a közeggel együttesen változó együtthatók.

E képlet beigazolására n és λ egymásnak megfelelő értékeit helyettesítették beléje, s ily módon azt találták, hogy a harmadik tag után következő tagok igen kicsinyek. Ajánlottak más képleteket is, melyek szintén híven adják vissza a megfigyelt tényeket, de a melyeknek összhangja megszűnik, ha belőlük azokat a törésmutatókat le akarjuk származtatni, melyek λ azon értékeinek felelnek meg, melyek a megfigyelhető értékeknél nagyobbak vagy kisebbek. Be kell tehát ismerni, hogy e képletek egyike sem szigorú kifejezője a valóságnak, s meg kell engedni, hogy a színszórás elmélete még le nem küzdött nehézségekkel áll szemben. A szabad éterben, azaz a súlyos anyagot nem tartalmazó térben, minden hullámhosszaságú fénynek mindig egyazon sebessége van, de különböző a sebessége az átlátszó közegekben, minek még nem tudjuk szabatosan kifejezni az okát, melyet természetesen azon hatásnak szoktak tulajdonítani, melyet az atómkok az éterre kifejtenek, és a mely különböző eredményeket hoz létre a hullámok változó hosszához képest.

XXXIII. FEJEZET.

SPEKTROSZKÓPIA.

213. Már tanulmányoztuk a hasáb anyagának a színképre való hatását; most meg kell még ismerkednünk azon különbségekkel, melyek a különböző forrásokból származó sugaraknak egyazon hasábtól létesített színeképében mutatkoznak. E végből a már a **168.** pontban leírt és a törésmutatók mérésére alkalmazott spektrométert használhatjuk; hogy azon-



580. ábra. Spektrométerhez való hasábok.

ban terjedelmesebb színeképeket kapjunk, a sugárnyalábot egymásután több flintüveg hasábon vezethetjük át, miként az 580. ábra mutatja; ebben egyúttal olyan berendezést látunk, mely lehetővé teszi a hasáboknak akként való beállítását, hogy a minimális eltérítést (**601**) adják. Végre használhatjuk az úgynevezett *egyenes látású spektroszkópot* (581. ábra), mely Amici-féle hasábrendszerrel van ellátva. De mindegyik esetben

a készüléknek olyan berendezésűnek kell lennie, hogy eleget tegyen a már ismertetett tiszta színek (165) létesítésére megkívántató feltételeknek.



581. ábra. Egyenes látású spektroszkóp.

214. Bárminő készüléket válasszunk és bármekkora gondot fordítsunk is a lencséknek gyújtópontra való beállítására, a rés megszükitésére, stb., ha fényforrásul izzó szilárd testet vagy folyadékot használunk, sohasem fog sikerülni, hogy a Nap színekében levő FRAUNHOFER-vonalakhoz hasonló sötét vonalaktól áthatogatott színekpet kapjunk. Mindig folytonos színekpet fogunk megfigyelni, mely azonban a forrás mérséklete szerint különböző lehet.

Izzó platinadrót, oxigénben égő hidrogén vagy világító gáz áramától izzítottoltatlan mészdarab (*Drummond-fény*), eléggessel vagy elektromos árammal izzásig hevítette izzó szén (*elektromos fény*) és kellő hőfokra hevített minden más szilárd test vagy folyadék a leírt módon viselkedik. Így a közönséges lángok is, mint az olajok vagy zsíradékok lángjai, a petroleum és a világító gáz lángja, melyekben nagyon parányi szénrészecskék lebegnek, folytonos színekpet adnak, mely az égés nagyobb vagy kisebb mérsékletéhez képest az ibolyaszín felé többé vagy kevésbé ki van terjedve.

DRAPER nyomán általánosan el van fogadva, hogy az összes szilárd testek, 525° -ra hevítettén, piros sugarakat kezdenek kibocsátani s ha ezután fokozatosan tovább hevítettnek, színekpök tovább és tovább terjed az ibolya felé s már meglevő részének fényessége is fokozódik. H. F. WEBER azonban megjegyzé, hogy a dolog kissé másképp történik. Szerinte az izzás valamilyen meghatározhatatlan, fakó szürkének nevezhető színnel kezd

észrevehetővé válni, mely azután lassan-lassan világosabb színt ölt, s bizonyos sárgásszürke színen átmenve, végül sötét vörössé válik. Az első szürke fénynek hullámhossza közel van a *D* vonaléhoz; a hőmérsékletet tovább emelvén, a színek egyidejűleg mindkét irány felé, t. i. a vörös és az ibolya felé terjed el a középső részből.

Rendkívül érdekes két kissé vaskos csiptető közé kifeszített platinadrót spektrumát szemlélni, ha elektromos árammal hevítetik, a mennyiben hőmérséklete a csiptetőtől a középső pontja felé növekedik. Színeke háromszögletes; az alap, mely a legmelegebb pontoknak felel meg, a vöröstől az ibolyáig terjed; innét távolodván, a színek mindkét oldalán rövidül, míg végül a zöldes-sárga tájon, csúcsban végződik, hol is a szürkének gyenge érzete marad csak fenn. Kétségtelen, hogy ez a szemnek a különböző színű sugárzás iránti érzékenységtől függ, valamint attól a körülménytől, hogy a látás a színeket csak akkor veszi észre, a mikor a fénynek bizonyos intenzitása van (161). A különböző fémeket nem kell ugyanarra a hőfokra hevíteni, hogy azt a bizonyos fakó színt kibocsássák; így például EMDEN szerint a vas 405° , a platina 408° , a réz és az ezüst 405° , az arany pedig 423° hőmérsékleten kezd szürkésen világítani. Bizonyára azért, mert a különböző testeknek különböző hőmérsékletekre van szükségök, hogy az észrevezésre megkívántató energiának minimumát kilöveljék.

215. Az 1884-iki párisi nemzetközi konferencia határozata (19), mely szerint *minden egyszerű fénynek egysége az ugyanazon nemű fénynek ama mennyisége, melyet a megolvasztott platinának 1 cm^2 felülete a megmerevülés mérsékletén merőleges irányban kilövel.* VIOLLE megmérte a következő intenzitásokat azon λ hullámhosszaságú sugarakra nézve, melyeket elektromos áramtól izzított platinadrót lövelt ki.

Mérséklet	$\lambda=65,6$ C	$\lambda=58,92$ D	$\lambda=53,5$ (E=52,7)	$\lambda=48,2$ (F=48,6)
775°	0,000 4	0,000 07	0,000 03	—
954 az ezüst olvadás-pontja	0,002 0	0,001 2	0,000 7	—
1045 „ arany „ „	0,006 4	0,004 5	0,002 7	0,001 3
1500 „ palladium „ „	0,303	0,271	0,225	0,156
1775 „ platina „ „	1,000	1,000	1,000	1,000

Észrevehető, hogy mily rohamosan növekszik a fényesség a mérséklet emelkedésével. Például 1045°-on elegendő a mérsékletet 55°-kal emelni, hogy a fényesség 60-szorta nagyobbá váljék. De úgy látszik, hogy a növekedés nem korlátlan; legalább F. LUCAS azt találta, hogy a szénben csak 4713°-ig emelkedik, azután pedig csökken.

216. A légneműek ellenben megszakgatott színeképeket adnak; színeképek ugyanis sötétebb alapon levő fényes vonalakból állanak, de a színek sorrendje mindig az marad, a melyet NEWTON állapított meg (157), ha csak a prizma nem okoz anomális színszórást (174).

E színeképek egynémelyikében a fényes vonalak igen vékonyak és aránylag nagy közökkel vannak egymástól elválasztva. Ilyenek például a mellékelt I. táblán a 2, 3, 7, 8 és 12 alatt levők; ezeket **vonalas színeképeknek** nevezzük. Másokban megint elmosódó csíkok vannak, mint a nitrogénnek 14 alatt levő színeképe; ezeket **sávos színeképeknek** mondjuk.

217. A légneműek izzítására különböző eljárásokat használhatunk, midőn színeképeiket tanulmányozni akarjuk. Vagy elpárolgztatjuk a különböző anyagokat a BUNSEN-lángzó igen halovány lángjában, melyben a világító gáz a levegővel keverve ég, vagy pedig, ha magasabb mérsékletet kívánunk, oxigénnel táplált hidrogénlángot használunk.

Felhasználjuk az elektromosságot is, mely, miként látni fogjuk, igen magas mérsékleteket létesíthet. Midőn két fémdarab között elektromos szikra ugrik át, részecskéket szakít le s eze-

ket elpárologtatja és izzítja; ily módon tanulmányozzuk a fémgőzök színekeit. De a szikra izzítja a gázakat is, melyeken keresztül hatol; ily módon állítjuk elő azon anyagok színekeit, melyek közönségesen légnemű állapotban vannak. A gázt kevés milliméternyi higany nyomása alatt *Plücker-féle* csőbe zárjuk, melynek alakját az 582. ábra mutatja; végeibe platinadrótok vannak forrasztva, melyek között a szikrát, a később leírandó módon, átugratjuk. A csőnek *MN* kapilláris része ilyenkor a gáz természetéhez képest különböző színekkel ragyog és a spektroszkóp nyílásának megvilágítására szolgálhat.

Az elektromos fényív az elektromosságnek két széncsúcs között való átmeneteléből származik, mely csúcsok, miként említettük (214), folytonos színekpet adnak. De ha a két csúcs közé valamely fémnek vagy más illékony testnek egy darabkáját helyezük, a színek a légneműeket megillető vonalas színekép (215) jellegét ölti.

218. Emlékszünk rá, hogy valamely spektroszkóp lényeges részei a *P* hasáb (583. ábra), az *F* rés, mely az *L* lencse gyújtópontjába van helyezve, és a *CO* megfigyelő messzelátó, mely a hasábból kilépő sugarakat összegyűjti.

Hogy a légneműek színeképét alkotó fényes vonalak viszonylagos helyzetét meghatározhassuk, egyenként meghatározhatnók törésmutatóikat vagy a minimális eltérést, miként a 169. pontban tanultuk. De hamarosabban járhatunk el a következő fogások egyikével:

1. A készülékhez egy harmadik *ST* csövet kapcsolunk, melyben *S*-nél üveglemezre fotografált kicsiny vízszintes skála, *T*-nél pedig gyűjtő lencse van; a skálát valamilyen lánggal megvilágítjuk és képét a hasábnak a *CO* messzelátó felé fordított lap-



582. ábra.
Plücker-féle
cső.

vörös vonalat ad, mely majdnem összeesik az **A** **FRAUNHOFER**-vonallal, és egy gyengét az ibolyában, ezenkívül egy némi kiterjedésű övet mutat, melynek maximális intenzitása az ibolyában van. A strontium szinképét (az I. táblán 9) az ibolyaszínű sugarak hiánya jellemzi; van hat vonala a vörösben, egy a narancsban s egy a kéken.

Ebből a néhány példából már kitűnik, hogy, ha a különböző színeképek táblájával rendelkezünk, felismerhetjük, vajjon egy adott fényforrásban jelen vannak-e vagy nem a megfelelő anyagok gőzei. Nagyobb biztosság okáért czélszerű a teljes visszaverődésű hasábot (217) felhasználni és a megvizsgálandó színeképet azon anyag színeképével hasonlítani össze, a melynek jelenlétét a fényforrásban gyanítjuk, hogy beigazoljuk, vajjon a fényes vonalak teljesen megfelelnek-e. Ebben áll a **színeképelemzés**, a melynek segítségével azelőtt ismeretlen anyagokat ismertek fel; ilyenek a caesium, a rubidium, a thallium (I. táblán 5, 6, 7) — ez utóbbi nevét színeképe zöld vonalának ($\lambda_{Th} = 53,5 \times 10^{-6}$ cm) köszönheti, — az indium (I. táblán 8), a gallium.

Hogy azonban a színeképelemzés minden kétséget kizáró eredményeket adjon, a következő két kérdésre kell megfelelnünk:

1. Egyazon test mindig ugyanazt a színeképet adja-e, akár szabad állapotban van, akár pedig más testekkel vegyülve?

2. Minden testnek csak egy színeképe van-e, vagy pedig megvizsgálásának körülményeihez képest több is?

220. Az első kérdésre azt feleljük, hogy a legtöbb fémvegyület a lángban vagy pedig elektromos kisütésnek alávetve disszociálódik (I, 492), és a szabad fém vonalas színeképe láthatóvá válik. De ha meggátoljuk a felbomlást, sávós színeképeket (215) kapunk, és úgy látszik, hogy minden chemiai vegyületnek külön színeképe van, bár ez a dolog még nincs a megkívántató biztossággal eldöntve.

Valamely ötvény színeképe általában azon fémek vonalait

tünteteti elő, a melyekből össze van téve ; de ha az egyik fém mennyisége túlnyomó, színeképének vonalai is túlnyomóak, és a többinek vonalai annál gyengébbekké válnak, mentül kisebb mennyiségben van az illető fém jelen, míg végre egészen eltűnnek. Ily módon sikerült LOCKYER-nek az arany- és ezüst-**ötvények mennyileges elemzése** ugyanazzal a szabatossággal, melyet a pénzverőkben chemiai módszerekkel érnek el.

221. A második kérdésre meg azt feleljük, hogy a színekép a nyomással, a sűrűséggel, a légnemű réteg vastagságával és a mérséklettel változik. De azért az nem esik meg, hogy a vonalak eltolódnának, hanem igenis az, hogy némelyek meggyengülnek, mások fényesebbekké válnak, és pedig elannyira, hogy szélső esetben némelyek egészen eltűnnek, mások meg előkerülnek.

Igy például a caesium, melynek a BUNSEN-lángzóval (**216**) két jellemző kék és két narancs vonala van (az I. táblán 5), magasabb mérsékletben zöld és sárga vonalakat is mutat, úgy, hogy a táblában látható képet szolgáltatja.

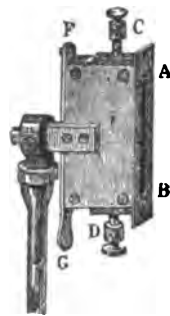
A különbség olyan is lehet, hogy valamely színeképről át-megyünk a másikra, melynek az elsővel közös vonalai vannak, innét egy harmadikra, melynek közös vonalai vannak a másodikkal, de a mely már egyet sem tartalmaz az elsőnek vonalaiból. Az illetén változékonyságnak oka még nincsen felderítve. Némelyek az eddigelé egyszerűeknek felvett testek további szétbomlásának tulajdonítják ; mások meg a különböző rezgéseknek, melyek felvételére az atomok a szerint képesek, a mint elszigetelve vagy molekulákba csoportosulva vannak ; mások szerint ismét az egyedüli ok a molekulai ütközések kisebb-nagyobb számában rejlik, melyet a sűrűség és a mérséklet határoz meg. Ezek tagadják az egyes molekulák felbomlását.

222. De kétségbe nem vonható tény, hogy például a hidrogén, mely 1 mm és 3 mm nyomás között jellemző három vonalú színeképet (az I. táblán 12) ad, melyek közül az egyik a C-vel (vörös),

a másik **F**-fel (kék) esik össze, a harmadik pedig **G**-vel szomszédos : nagyobb sűrűség mellett a nitrogénéhez (az I. táblán 14) hasonló sávós színeképet ad, s ennek vonalai azután mindinkább kiszélesbülnek, míg végre 132 cm-nyi higanyoszlop nyomásánál lassacskán folytonos színeképbe megy át (WÜLLNER).

A mérséklet is elég nagy hatással van a színeképek alakjára. Így az oxigéné, melyet a leydeni palaczk erős kisütései létesítenek, bizonyos számú vonalból áll, melyek túlnyomó része a szélső ibolyaszinben van (I. táblán 13). Valamivel alacsonyabb mérsékleten, melyet a szikrák csökkentésével nyerünk, a színekép négy vonalból áll : egy a vörösben, kettő a zöldben, egy a kékben, és a nyomás növekedésével e vonalak kiszélesbülnek. Ha a mérséklet még lejebb száll, úgy, hogy az oxigén már alig világít, miként a PLÜCKER-féle cső (216) vastagabb részeiben, a színekép folytonossá válik. Hasonlóképen a leydeni palaczknak a nitrogénen át kisülő erős szikrái igen sok vonalból álló színeképet adnak, a gyenge szikrák pedig sávosat.

223. Miután a színeképeket szemmel már megfigyeltük volna, tanulmányozzuk most őket a hőelektromos oszloppal (2, 409. ábra), melynek e célra az 585. ábrában előtüntetett különös alakot adjuk, hogy az esetben, ha egyik oldalát, például **AB**-t a színekép különböző tájékaiba helyezzük, oly keskeny nyaláb essék reá, mely csaknem homogén sugarakból áll.



De mielőtt a hőhatás szétoszlódásának méréséhez fognánk, meg kell bizonyosodnunk, hogy a használt hasáb és lencse diathermán (4), azaz hogy átereszt-e mindenféle törékenységgű sugarat, ide értve 585. ábra. Vonalas oszlop. azokat is, melyek szemünkre nézve hatás-talanok. A mint látni fogjuk, e kíváncsi minden anyag közül a kőszó felel meg legjobban. És ha a Nap tiszta

színképét kőso-hasábbal és lencsével állítjuk elő, és a sugarakat egymásután az oszlop igen keskeny részével fogjuk fel, észre fogjuk venni, hogy a hőhatás gyengül ugyan, valahányszor a sötét vonalak egy-egy csoportján megyünk át, de egészben az ibolyaszintől a vörös felé növekszik, és *még a vörösen túl is tovább növekszik*, hogy azután ismét gyengüljön. Ily módon ki van mutatva a tisztán hőhatású **sötét sugarak** léte, melyeknek kiterjedése nagyobb a látható színképénél.

Ezekkel a láthatatlan sugarakkal is létrehozhatjuk az interferencia és a diffrakció tünetényeit, s ily módon meg lehetett mérni az ő hullámhosszukat is.

Láttuk (187), hogy az **A FRAUNHOFER**-vonálnak, mely a színkép szélső vörös tájékán van, 76×10^{-6} cm hosszú hullám felel meg; **LANGLEY**-nek visszaverő rács (210) segítségével sikerült megmutatnia, hogy a légkörünket átjáró sötét napsugarak határa több mint háromszorta hosszabb hullám, nevezetesen pedig 270×10^{-6} cm hosszú hullám. Felemlítjük még, hogy egy kormozott felület legintenzivebb sugárzásának 100° -on ugyancsak **LANGLEY** szerint 750×10^{-6} cm hosszú hulláma van, s ugyanő mintb izonyosat állítja, hogy sikerült még 3000×10^{-6} cm hosszú hullámokat is megmérnie. Érdekes, hogy itt felemlítsük, hogy az emberi fültől észrevehető legrövidebb hanghullám **SAVART** szerint mintegy 1,4 cm hosszú.

224. Mindnyájan ismerjük a napsugarak chemiai hatását, melyen a fotografia mestersége alapszik. Nos, ha a színképet fotografiai lemezen (257) fogjuk fel, azt tapasztaljuk, hogy a hatás az **E FRAUNHOFER**-vonaltól kezdve a szélső ibolyán túl mintegy olyan darabra terjed, mint a milyen hosszú az egész látható rész, és hogy a hatást ugyanazok a sötét vonalak hasogatják át a látható részben, és más hasonló vonalak a nem látható részben, melyek **L, M, N, . . .** betűkkel jelöltettek. Ezeknek **MASCART** szerint a következő hullámhosszak (a centiméter milliomodrészeiben) felelnek meg:

H	L	M	N	O	P	Q	R
39,67	38,19	37,29	35,80	34,40	33,60	32,86	31,77

Az **aktinikus sugarak**, mint a hogy a chemiai hatású, de a szemre nem ható sugarakat nevezzük, a **H** vonalon túl kisebb-nagyobb mértékben terjednek ahhoz képest, hogy minő vegyületre hatnak, hogy minő anyagból van a hasáb és hogy minő forrásból erednek. Így a kvarcz nagyon átlátszó az e fajta sugarakra nézve, és az elektromos fény, a szikrák fénye, és a magnézium fénye is, hosszabb fotográfiát ad, mint a Nap.

A Nap színeképében (I. táblán 1) a legkedvezőbb légköri körülmények között levő legrövidebb hullámot CORNU fotografálta; hossza $29,5 \times 10^{-6}$ cm és az **U**-vonalnak felel meg; a legrövidebb, melyről eddigelé tudomást szereztünk, aluminium-csúcsok között átugró szikrától származik; hossza $18,5 \times 10^{-6}$ cm.

225. Már ez a rövid vázlat is meggyőzhet bennünket arról, hogy szemünk a sugárzó energiának nagyon korlátozott bírálója és hogy ennél fogva a világító képességek nagyon is különbözők lehetnek, bár ha a fényforrások az energiának ugyanazt a mennyiségét bocsátják ki. Fizikai szempontból a legtakarékosabb fényforrás az, melynek az összes energia kisebb mennyiségét kell kisugároznia, hogy a szemre adott hatást idézzon elő. Az eddig legtakarékosabbnak talált fényforrás a Kuba szigeten található *Pyrophorus noctilucus* (LINNÉ) nevű bogár. LANGLEY és VERY szerint a bogár látható színeke rövidebb mint a Napé, de a zöldben viszonylag erősebb és látható sugarakon kívül másféléket nem bocsát ki, úgy, hogy egyenlő világító képesség mellett csak $\frac{1}{400}$ -részét bocsátja ki annak az összes energiának, mely a gyertya lángjából szétárad. Az összes mesterséges fényforrások közül a legtakarékosabb, t. i. az elektromos ívfény — ugyanakkora világosság mellett — szintén sok százszor annyi energiát sugároz ki.

Mindazonáltal ha vakok vagyunk is a sötét hősugarak és az ibolyántúli sugarak iránt, azon leszünk, hogy a fénysugaraktól származó tűnemények fölött egy kissé elmélkedjünk, s ennek eredményét analógia révén kiterjesszük a többi sugárra is, és a rendelkezésünkre álló eszközökkel kipuhatoljuk, vajjon a tények beigazolják-e ezt az általánosítást.

226. Megállapítottuk már (6), hogy a nem önmaguktól fényes testeket azért látjuk, mert a sugarakat minden irányban szétszórják. Fehéréknek vagy szürkéknek akkor látjuk, ha minden sugarat egyenlő mértékben szórnak szét, feketéknek, ha mindannyit elnyelik; de ha néhány bizonyos törékenységet elnyelnek, a többit pedig szétszórják, színeseknek kell hogy lássuk őket. Valóban, ha a színeképet fehér lapra vetítjük, ezen a színek igazi árnyalatát a maguk valódi erősségében látjuk, mintha csak messzelátóval közvetetlenül figyelnök meg őket; ha ellenben vörös lapra vetítjük, csak a kevésbbé törékeny rész a narancsig tartja meg a maga fényét; a sárga már kevésbbé élénk, a zöld még halványabb, a többi pedig mind sötét marad, miként a II. tábla 14-ik képének alsó része jelzi.

Ezt előre bocsátva, könnyű megmagyarázni, hogy a festőknek miért sikerül például kék és sárga festék keverékéből zöldet előállítaniok, holott a színekép sárga sugarainak a világos kékekkel való egyesítése a fehérnek érzetét kelti (160). A festékek vagy a porok sohasem szórnak szét monochromatikus fényt (158), a sárga festék főleg az ibolya és a világos kék sugarakat nyeli el, a világos kék pedig főleg a vörösöket és a sárgákat, úgy, hogy a szétszóró fényben túlnyomó marad a zöld.

A fehér testek, ellentétben a feketékkel, a színekép minden látható sugarát visszaverik, és ennél fogva nem ragadják magukhoz e sugarak energiáját; e körülmény igazolja a világos ruházatnak nyáron való használatát. Ezt tekintve tanulságos az a kísérlet, melyben két azonos hőmérőt kiteszünk a napra, melyek közül az egyiknek golyója be van kormozva, a másiké pedig

ólomfehérrel be van vonva. Az első magasabbra szökik fel mint a második, míg mindakettő egyazon mérsékletet éri el, ha valamely kályha sötét sugarait fogják fel.

227. Nem tekintve néhány kivételes esetet, melyekről annak idején szólni fogunk, valamely test nem lövelhet ki egy meghatározott sugarat, ha azt fel nem veszi; s ez az oka, hogy a színárnyalatok a fényforrással változnak. Így a sós alkoholnak csaknem monochromatikus lángjánál (218) minden vagy sárgának vagy feketének látszik; a gyertyafénynél, mely szegény az erősebb törékenyséű sugarakban, sárgás papírost a fehértől nem különböztethetünk meg, és a világos kék szövetek zöldeseknek látszanak.

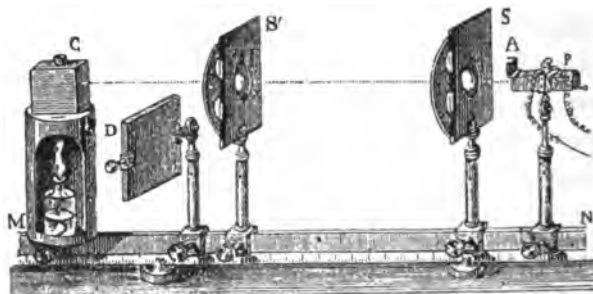
228. Hasonlóképen keletkeznek azok a színárnyalatok, melyeket a nappali fény felvesz, midőn bizonyos testeken átmegegy. Így például a vörös üveg átlátszó a színek kevésbé törékeny részére nézve, de csaknem átlátszatlan a zöld, kék és ibolya sugarakra nézve; ellenben a kóbaltüveg, mely átmenő fényben kék, egy sáv híján csaknem minden vörös és sárga sugarat elnyel, és elnyeli még a zöld egy részét; a II. táblán a 12. kép elötünteti azt, a mi a Nap színekéből megmarad, miután ilyen üveget átjárt volna, vagyis mint mondani szoktuk, az üveg elnyelésbeli színeképét. A chlorofil-oldat elnyelésbeli színeképét a II. táblán 11 alatt látni.

Világos tehát, hogy valamely anyag bizonyos sugarakra nézve lehet átlátszó, más sugarakra nézve pedig átlátszatlan; így a kóbaltüveg átlátszatlan az izzó nátrium-gőz sugaraira nézve.

229. Hasonlóképen azok az anyagok, melyek minden fény-sugarat áteresztenek és ennél fogva színtelenek: átlátszatlanok, vagy a mint mondani szoktuk, *athermánok* (4) lehetnek némely sötét sugarra nézve; és ha volna olyan szem, mely ilyen sugarak iránt fogékony volna, színeseknek látná őket. Ez

beigazolható, nem ugyan a szemmel, hanem a hőelektromos oszloppal.

Ilyes kísérletben ekként járunk el. Meghatározzuk a kitérést, melyet valamely sugárforrásból, például a meleg vízzel



586. ábra. Igazolás a hőelektromos oszloppal.

teli *C* koczkából (586. ábra), az *L* rézlemezről (587. ábra), a LOCATELLI-féle lámpából (588. ábra), vagy végre izzó platina-spirálisból (589. ábra) közvetlenül az *AB* oszlopra (586. ábra) eső sugarak létesítenek; ezután megmérjük a kitérést a meg-



587. ábra.
Rézlemez sugarai.



588. ábra.
Locatelli-féle lámpa.



589. ábra.
Platinaspirális.

vizsgálendő lemez közbetétele után. A második kitérés kisebb az elsőnél a felületeken visszavert és az elnyelt energia miatt.

A két kitérés közötti különbség általában véve a lemez vastagságával növekszik, de kősó (*NaCl*) és szilvin (*KCl*) esetében csaknem állandó marad, jelöl annak, hogy e két testre nézve csakis a visszaverődés idézi elő. A kősó és a szilvin tehát a

sötét hősugarakra nézve az eddigelé legátlátszóbbaknak ismert testek, bár teljesen ők sem átlátszók.

Egyazon lemez különböző mértékben csökkenti a különböző források sugarait. Így a fluórpát a LOCATELLI-lámpától reá eső energiának 78 százalékát eresztí át, de 100° -ú kormozott fémlameztől reá esőnek csak 33 százalékát. A fénysugarakra nézve nagyon átlátszó tükörűveg a LOCATELLI-lámpa energiájának $\frac{2}{3}$ részét, a platinaspirálisénak $\frac{3}{4}$ részét, 400° -ú fémlamezének 0,94 részét tartja vissza, a 100° -ú korom sugaraira nézve pedig teljesen athermán. A nagyon átlátszó és szintelen timsó is a lámpától és a spirálistól érkező sugaraknak csak 2, illetőleg 9 százalékát eresztí át, a másik két forrásnak pedig minden sugarát elnyeli.

230. Tétettek azonban közvetlenebb kísérletek is, a mennyiben a vonalas oszloppal (223, 585. ábra) megmérték, hogy mily mértékben gyengítik a különböző anyagok a kősohasáb és a kőso-lencse segítségével létrehozott színek különböző sugarait.

Ily módon beigazoltatott, hogy vannak testek, melyek a mellett, hogy a szemre nézve átlátszók és szintelenek, egyúttal áteresztik az egész hőbeli energiát is, melyet világító sugaraktól kapnak; az ilyen sugarakra vonatkozólag az üveg és timsó, a víz, a fluórpát és a kőso egyenlőképen viseli magát.

Különbség csak a vöröseknel kevésbbé törékeny sötét sugarakra nézve mutatkozik, amelyek színekepeigen terjedelmes (223), a melyek tehát különböző mértékben törékenyek, és más meg más mértékben hatolnak át a különböző testeken; ezek mindazokat a különbségeket mutatják, a melyeket a világító sugarak a színeikkel tárnak elénk, és ez oknál fogva MELLONI a hősugaraknak ilyenén *színezetét thermochrózisnak* (4) nevezte el. Az üveg a vörösekkel szomszédosakat kezdi elnyelni, és folyton növekedő mértékben nyeli el a többit, melyek a vörösektől még jobban eltérnek, míg végre egészen athermánná válik; a timsó

elnyelő képessége még nagyobb. A jég pedig teljesen athermán a sötét sugarakra nézve. Ellenben a fekete üveg átlátszatlan a világos hősugarakra nézve, és azért bizonyos mértékben mégis áttereszti néhány sötét sugarat; a fekete üvegnél még diathermánabb a jódnak szén-szulfid oldata, jóllehet minden látható sugárra nézve átlátszatlan. Ugyanezt mondhatjuk az ebonitról is.

Az üvegnek a világító sugarakkal szemben való átlátszó-sága, kapcsolatban athermán tulajdonságával, hasznunkra van az üvegházakban; ugyanis ezekbe a Nap energiájának tetemes részét bebocsátja, és megakadályozza a belső tárgytól kiinduló sugaraknak a szabadba való térését; e tárgyak olyan alacsony mérsékleten vannak, hogy csakis sötét sugarakat bocsátanak ki (214).

231. Ha volna olyan szem, mely mindenféle törékenységgű sugár különböző hatása iránt fogékony volna, olyan tüneményeknek volna tánuja, melyeket mi alig gyaníthatunk. A különböző testek, melyeket mi 400—500 fokon alul egyaránt sötétnek látunk, kisebb-nagyobb terjedelmű hőszíneképük és ennek egyik-másik tekintetben való különböző erőssége révén különböző színűeknek tünnének elő. Másrészt a világító testek, melyeket egyaránt fehéreknek ítélünk, különböző fényt lövelnének ki a szerint, a mint bizonyos aktinikus sugarakban vagy más nembeli sugarakban többé-kevésbé gazdagok volnának. És a ránk nézve átlátszó és színtelen testek, mint a kőszó, gyémánt, kvarcz, és a többi kristály és a különböző üvegfajok, a legváltozatosabb színezeteket vennék fel.

232. Megismerkedtünk már a kőbalt-üveg és a chlorofil elnyelésbeli színeképével (228). A többi színes szilárd test és folyadék, midőn izzó testnek fehér fénye megy rajta keresztül, hasonló szélesebb és elmosódottabb nyaláboktól megszakgatott színeképeket ad.

Ellenben a légneműek elnyelésbeli színeképeit élesebb, a FRAUNHOFER-félékhez hasonló vonalak metszik keresztül, de

ezek fekvése a légneműek természetéhez képest más. Nézzük meg például a II. táblában 4. szám alatt a salétromsav-anhidrid színeképét. A nátriumgőze csak egy sötét kettős-vonalból áll, mely pontosan a *D* vonalnak, tehát annak a sárga vonalnak (az I. táblán 2) a helyére esik, melyre az ő emissziós színeképe redukálódik (218).

Azt kell tehát következtetnünk, hogy a nátriumgőz ugyanazt a fajta sugarat bocsátja ki és nyeli el.

233. A színekép megfordítása kísérletileg megmutatható a DRUMMOND-féle (131) vagy a magnézium-fénynyel, ha a fényforrás és a spektroszkóp rése közé sós borszesz lángját helyezzük. De egyszerűbb berendezést is használhatunk. A *b* palackban (590. ábra) konyhasó-oldat van, melybe cink-darabkákat teszünk; ha még kénsavat öntünk bele, a felszálló hidrogénbuborékok chlórnátriumot ragadnak magukkal, és összekeveredve az *a* csövön bevezetett világító gázzal, két csövön ömlenek ki, melyek közül az első egy körlángzóhoz vezet, melyet reá tett vasgyűrűvel szabályozhatunk, a második pedig egy hosszú résszel van kapcsolatban; ha már most a *c* megszakítás révén a levegővel keveredett gázokat meggyújtjuk, *d*-nél kúpalakú lángocskát kapunk, mely a fényesebb széles lángon mint háttérén sötétlen tűnik elő.

A kisugárzott fénynek az elnyelttel való ez az igen szigorú megegyezése egy igen nagy jelentőségű, a termodinamika második törvényéből (I, 534) származtatható törvény megállapításának kiinduló pontja volt.



590. ábra. Színekép megfordítása.

234. Megállapítása végett tegyük fel, hogy valamely I kamarában, mely egyenletes mérsékleten van tartva, ugyanazon mérsékletű C test van elzárva, mely bizonyos fajta sugarakat elnyel a nélkül, hogy őket kisugározni tehetsége volna. Ily módon energiára tenne szert, ezt magában tartaná, és mérséklete folyton emelkednék, azaz minden további feltétel nélkül a hidegebb kamarából hő menne át erre a melegebb testre. Tudjuk, hogy ez nem lehetséges (I, 538).

Itt az az ellenvetés tehető, hogy a C test nem melegednék meg, ha a helyett, hogy az elnyelt sugarakkal azonosakat sugározna ki, ezeket erősebb vagy gyengébb törékenyséű sugarakká alakítaná át, és ebben az új formában adna túl a nyert energián.

Az ellenvetés nem állhat meg. Jelöljük ugyanis R -rel az I kamarából kiinduló sugárfajt, melyet C elnyel, mely test ismét S fajta sugarakat lövel ki. Ezek az új fajta sugarak, miután I -re érkeztek, vagy visszaadottnak C -nek, vagy feltartóztatva maradnak. Ha visszaadottnak, C mérséklete megint csak emelkedik; kell tehát, hogy I őket elnyelje s ne sugározza ki. Vagyis, míg C elnyeli az R fajta sugarakat és cserében kisugároz S fajtákat: addig I -nek el kellene nyelni az S fajtákat és kisugározni R fajtákat. De nyilvánvaló, hogy ilyesmi be nem igazolható, ha I és C egyazon anyagból való s felületük ugyanazon körülmények között van.

Azt kell tehát következtetnünk, hogy ha valamely test adott törékenyséű sugarakat lövel ki, kell, hogy ugyanezeket el is nyelje; és ha mérséklete állandó marad, megkivántatik, hogy az elnyelt energia pontosan kiegyenlítse a kisugárzottat.

Hasonló dolog fordul elő aráhangzás tüneményében (I, 317), mely szerint például valamely kifeszített húr csak akkor rezdül meg, midőn a levegőt olyan hullámrendszer járja át, minőt a rezgő húr maga is gerjeszthet.

A mondottakból következik, hogy magas mérsékleten a különböző testek annál kevésbé világítanak, mentül átlátszóbbak. Így az izzás mérséklete ugyanaz minden fémre nézve, mert

az elnyelés mindegyikben csaknem egyenlő, míg ugyanezen mérsékleten az üveg alig világít. Ha volna test, mely bármily magas hőfokra hevítve teljesen átlátszó maradna, nem is válnék világítóvá sohasem.

235. Nagyobb világosság kedvéért tegyük fel, hogy valamely izzó kályhában teljesen különböző testek vannak: égetett mész, üveg és szén. Nem fogunk észrevenni semmi különbséget a mindezekből a testekből és a kályha falaiból kisugárzó fény között. A szén csaknem minden reája eső sugarat elnyel, de ugyanígy ki is lövel mindennemű sugarat; a mész, mely fehér test léte majdnem minden fénysugarat visszaver, csak keveset sugároz ki; az üveg is keveset sugároz ki, de tovább is csaknem átlátszó marad, és így nem akadályozza meg, hogy a falaktól kilövelt sugarak nagy mennyisége érkezzék hozzánk. Általában az az anyag, mely valamely fajta sugarakból keveset nyel el, vagy átereszt, vagy visszeri őket, és a magából csak annyit ad, a mennyit elnyelt.

236. Ha tehát csak két egyazon mérsékletű test van jelen, és ha közöttük az energia meghatározott törékenységű sugarak alakjában cserélődik ki oly formán, hogy az első a másodiktól kisugárzott E energiának A' hányadrészét (sugárzó képesség) nyeli el, a második pedig az elsőtől kisugárzott E' energiának A hányadrészét nyeli el: úgy $A' \cdot E = A \cdot E'$ kell lennie, vagy pedig:

$$E : A = E' : A'.$$

És ha az elsővel egy harmadik testet helyezünk kapcsolatba, a melynek sugárzó képessége E'' , elnyelő képessége pedig A'' , szintén állni fog, hogy:

$$E : A = E'' : A'';$$

így tehát kimondhatjuk, hogy egyazon törékenységű sugarakra nézve a sugárzó képességnek az elnyelő képességhez való viszonya állandó minden testre nézve, mely egyazon a mérsékleten van.

237. A mérséklet emelkedésével minden testnek sugárzó képessége növekszik (22), s ez magyarázza meg, hogy a színkép megfordítása (233) miért nem sikerül minden esetben.

Maradjunk csak a nátriumgőzöknél, mert a mit róluk mondani fogunk, könnyű minden más esetre vonatkoztatni. Ha a forrás, mely a folytonos színekpet adja, olajlámpának a lángja, és ha e láng és a spektroszkóp rése közé sós alkohol lángját helyezük: a **D** kettős vonal világosnak, nem pedig sötétnek fog előtűnni; így áll a dolog akkor is, ha **DRUMMOND**-fényt és a **BUNSEN**-lángzónak nátriumszulfáttal sárgára festett lángját használjuk. Hogy a kettős vonal sötétnek tűnjék elő, kell, hogy az elnyelő gőz kevésbé meleg legyen a kisugárzó forrásnál.

Tegyük fel ugyanis, hogy mind a kettőnek ugyanaz a mérséklete van. Ha a forrás **D** sugarainak energiája Q , s ebből elnyeletik $\frac{1}{n}$ rész: a gőz ugyanennyit ki fog sugározni (236), úgy, hogy a résnek az a képe, mely a **D** vonalpárnak felel meg, ugyanolyan világos marad, mintha a gőz ott sem volna.

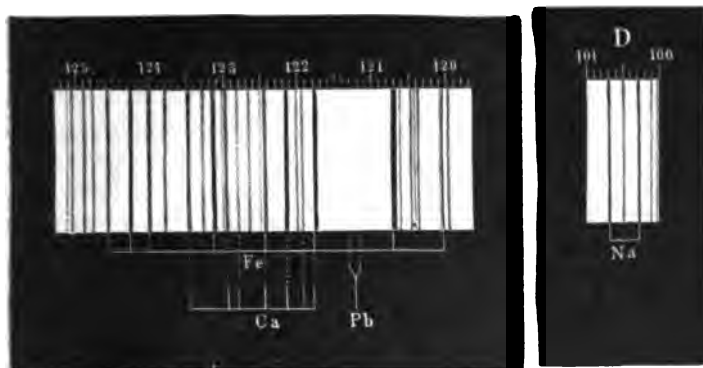
Tegyük most fel, hogy a gőz mérséklete változatlan marad, a forrásé pedig oly mértékben emelkedik, hogy a sárga sugarak energiája $2Q$ -ra száll fel. A gőz most elnyel $\frac{2Q}{n}$ energiát s továbbá is $\frac{Q}{n}$ energiát sugároz ki. A résbe tehát nem érkezik meg az egész $2Q$ energia, hanem csupán:

$$2Q - \frac{2Q}{n} + \frac{Q}{n} = \left(2 - \frac{1}{n}\right) Q,$$

minélfogva képe, mely a **D** vonalaknak felel meg, meggyengül s világos mezőn sötétnek fog látszani.

238. Vajjon véletlen-e a nátrium kettős vonalának a napszínkép **D** vonalával való összeesése? Vagy inkább nem volna-e feltehető, hogy a Nap atmoszférájában nátriumgőz van? **KIRCHHOFF**, hogy e kérdésekre megfelelhessen, a legnagyobb körültekintéssel vetette egybe (217) a napszínképet a kezünk ügyébe

eső különböző anyagok emissziós szinképével, és tényleg igen sok más összeesést állapított meg, melyeket egy táblában felrajzolt, a honnét az 591. ábra két része is lemásoltatott. A második a nátrium két emissziós vonalának D-vél való összeesését mutatja, az első pedig a vas és a calcium hét-hét fényes vona-



591. ábra. Töredék Kirchhoff táblájából.

lát mutatja, melyek a napszinkép ugyanannyi sötét vonalával pontosan egybevágnek, ellenben az ólom (*Pb*) két fényes vonalának megfelelő sötét vonalak nincsenek.

KIRCHHOFF gondosságát valóban bámulnunk kell, ha rajzait összehasonlítjuk a szinkép fotografiájával, melyet később DRAPER állított elő.

ANGSTRÖM és THALÉN később egy 3,387 m hosszú napszinképet rajzolt, és szabatosan meghatározta 1000 sötét vonal hullámhosszát, melyek közül 460 a vasnak ugyanannyi világos vonalával esik össze. És a valószínűségszámítás biztosít bennünket, hogy 2^{400} tehető 1 ellen, hogy ilyen összeesés nem véletlen. Feltethetjük tehát, hogy a Nap atmoszférájában vasgözök vannak.

Nagyon valószínű (ROWLAND szerint), hogy ugyanott még a következő anyagok vannak: nátrium, calcium, bárium, magnézium, mangán, titánium, chróm, nikkel, kóbalt, hidrogén, aluminium, cink, réz, silicium, strontium, vanadium, szén,

scandium, yttrium, zirconium, molibden, lantán, niobium, palladium, neodým, cadmium, cerium, glucinium, germanium, rhodium, ezüst, ón, erbium, kálium. Ellenben nyomát sem találni a Nap színeképében az antimon, arzén, bizmút, bór, nitrogén, cesium, arany, indium, higany, foszfor, rubidium, szelén, kén, thallium, praseodymnak.

Ebből következtetjük, hogy a Nap magva magasabb mérsékletű (237), mint az atmoszférája, és hogy minden törékenységű sugarat sugároz ki, melyek közül sokat elnyelnek az ugyanebben az atmoszférában jelen levő gőzök.

239. De a földi légkör is nyel el sugarakat a benne levő vízgőznél fogva, és a Nap színeképében az úgynevezett **tellurikus vonalakat** (JANSSEN) hozza létre, melyek a **D** vonal és a szélső vörös között csoportokat alkotnak, és intenzitásban gyarapodnak, midőn a Nap a szemhatár felé közeledik. Később (244) egy elmés módszert fogunk megismertetni, melynek segítségével a földi származású vonalakat a többiektől megkülönböztethetjük.

240. A Nap atmoszférájának, mint minden más testnek, a mondottak szerint (236) ugyanazokat a sugarakat kell kisugároznia, a melyeket elnyel, és ennél fogva emissziós színeképének fényes vonalakat kell előtűntetnie a Nap színeképét áthasító sötét vonalak helyén. És valóban, ha erős csillagászati messzelátó gyújtósíkjába egy spektroszkóp rését helyezzük, és különböző pontokra nézve a Nap valódi képeit rajta átvezetjük: a szélére jutva, a színekép néhány fényes vonalra redukálódik, különösen pedig a hidrogén (I. táblán 12) és a magnézium vonalaira, melyek, erős színszórás használata mellett, egymástól igen messzire eshetnek.

Ha azután a rést tágitjuk, megfigyelhetjük az úgynevezett **protuberanciákat**, melyek bizonyára kitörésekből származnak. Az 592. ábra egyazon izzó hidrogén-kitörésnek néhány percznyi időközben megfigyelt különböző képeit mutatja; és sejtelmünk lesz ezen kitörés mérhetetlen sebességéről, ha elgon-

doljuk, hogy 100,000 km-nél nem volt alacsonyabb. Obszervatóriumainkban napról napra feljegyzik a Napon előforduló erupeziókat abban a reményben, hogy a nagy égítetnek eme természethistóriája rá fog találni a maga KEPLER-ére, ki azt meg tudja érteni és magyarázni.



592. ábra. Protuberanciák.

241. A bolygók a Nap visszavert fényében ragyognak, és színekük csak csekélyes módosulásokat tüntetnek elő, melyek vizgózt tartalmazó légkör jelenlétére utalnak, különösen a Vénuson, a Jupiteren és az Uranuson. A Hold módosulások nélkül való színekét ad, mi megegyezik azon körülménnyel, hogy légköre nincs.

Az álló csillagok hasonló elnyelésbeli színeképeket adnak, melyek azonban a Nap színeképétől valamennyire különböznek, és négy csoportba oszthatók: az elsőbe tartoznak a **fehér csillagok**, melyek a megfigyeltéknek felét teszik (Sirius, Vega, Regulus, a Lant α -ja; II. táblán 2 alatt); ezek igen kevés vonalat láttatnak, és pedig éppen a hidrogén vonalait bizonyos vastagságban mutatják, és egy a **D**-nek megfelelő finom vonalat. A **sárga csillagoknak** (a mi Napunk, Arcturus, Pollux, stb.) igen sok, rendkívül vékony vonaluk van, melyek a napszínkép (II. táblán 1 alatt) vonalaival esnek össze. A **vörös csillagoknak** (Hercules α -ja, Pegasus β -ja, Orion α -ja) (II. tábla 3. alatt) különböző színekük van, de mind sávos (**215**), és ezenkívül sötét vonalakat is tartalmaznak a Nap vonalainak helyén (túlno-

mólag a magnézium, nátrium, vas és hidrogénhez tartoznak). A negyedik csoportba igen apró vörösfüvi csillagok tartoznak, melyeknek színe három elmosódott övből, egy vörösből, egy zöldből és egy világos kékből áll.

Úgy látszik, hogy ez az osztályozás az élet különböző korszakaival vág össze, mert a különböző mérsékletekre utal, melyeken a csillagok vannak. A képződés első időszakában igen kevés elnyelésbeli vonalat mutatnak; a másodikban atmoszférájuk hűlni kezd és elnyel; innét vannak az egyszerű testek jellemző elnyelésbeli vonalai; a harmadik korszakban az atmoszféra mérséklete már annyira süllyedt, hogy egyes gőzök nem lehetnek többé disszociált állapotban, s ennél fogva sávos színek keletkeznek; végre a negyedik korszakban a légkör még bonyolódottabb összetételű anyagokat tartalmaz. De a negyedik csoportbeli színekben néha fel-feltűnedeznek a hidrogén fényes vonalai, melyek valamely hidrogén-kitörést vagy más testtel való összeütközést hoznak hírül.

A változó fényű csillagok színe szintén változó, mi szintén forradalmakról tesz tanuságot.

242. A kettős csillagok a szemben két kiegészítő színnek (159), a vörösnek és a zöldnek hatását keltik. De ha spektroszkóppal figyeljük meg őket, az egyik vörös és kék nélkül való színekpet ad, ellenben a másik az első csoportbeli fehér csillagok (241) színekéhez hasonlót ad. A zöld színezet tehát csak képzeletes, nem egyéb ellentétbeli hatásnál (164).

243. Teljes napfogyatkozások alkalmával a Hold sötét korongját fényes sugárkéve, az úgynevezett korona veszi körül, mely a Nap atmoszférájának részét teszi; színe megegyezik a Holdéval, és ennél fogva a Nap sugarainak visszaverődéséből származik, de, miként a protuberanciák (240), át van hasítva a hidrogén fényes vonalaitól, s ezeken kívül még három zöld vonalat mutat, melyek, a mint látszik, az elektromos szikrával izgatott szénhidrogén-vegyületek emissziós színeivel esnek

össze. Ezek a vonalak sok gondot adnak a spektroszkópistáknak, mert előfordulnak az északi fény szinképében is, továbbá az üstökösök magváában, míg csóváik a Nap fényét verik vissza.*

Mindazonáltal a spektroszkóp segítségével néhány év alatt tett csodálatos fölfedezéseknek eme szerény ismertetésén túl nem terjeszkedhetünk. Az olvasót specziális művekre, így például P. SECCHI munkáira utaljuk.

244. De azért még sem hallgathatjuk el Doppler elvét, melynek megértésére figyelembe fogjuk venni az akusztikában előforduló hasonló esetet, mely szerint a hang magassága a hangforrás és a fül viszonylagos sebességétől függ. Midőn a lokomotív sípszóval indul el, a fütty a növekedő sebességnek megfelelőleg mélyebbé válik, ellenben midőn a hangforrás felénk jön, a hang magasabb, mint a mikor veszteg marad. És ez könnyen megmagyarázható, ha meggondoljuk, hogy az első esetben a hullámmozgás sűrűsödései és ritkulásai a dobhártyát hosszabb időközökben ütik meg, mint viszonylagos nyugalomban, a második esetben pedig rövidebbekben.

Hasonló dolognak kell történnie a sugarakkal, feltéve, hogy a sugárzó energia, miként állítottuk volt, valóban hullámmozgás. Midőn a forrás felénk közeledik, a dolog úgy áll, mintha a rezgések száma növekednék és ennél fogva, feltéve, hogy a terjedésségi sebesség nem változik, a hullámoknak meg kell rövidülniök, és valószínű, hogy a gyorsabb rezgésektől származó hullámok tulajdonságaira tesznek szert, azaz hogy törékenyebbekké (157) válnak, és hogy a megfelelő FRAUNHOFER-vonalak az ibolya felé mozdulnak el.

A fény sebessége azonban oly nagy, hogy a törékenységek észrevehető változását éppen nem várhatjuk azoktól a moza-

* A legújabb vizsgálatok azt gyaníttatják, hogy ezek a vonalak az 1894-ben fölfedezett új elemről, az *argon*-ról erednek.

gásoktól, melyeket mechanikai úton állíthatunk elő. Ellenben a Föld és a többi égi test sebessége nem hasonlíthatatlanul kisebb a fényénél és lehetővé tette DOPPLER elvének beigazolását. HUGGINS ugyanis megfigyelhette, hogy Sirius színekében az F vonal nem esik teljesen össze a hidrogén kék vonalával (222), hanem valami kevéssé a kevésbé törekeny tájék felé van eltolódva, és az eltolódás mértékéből következik, hogy Sirius a Naptól másodpercenkénti 47 km sebességgel távozik. E fajta vizsgálatok más égitestekre vonatkozólag is tétettek, és olyan ismeretekkel kecsegtetnek, a minőket még nem régiben fantasztikusoknak vélték volna.

Másrészt LOCKYER kimutatta, hogy a hidrogénnek a Napon megfigyelt (240) fényes vonalai majd kiszélesbülnek, majd szűkebbé válnak, mi a szoláris kitörések hevességéről vagy a gáznemű tömeg lezuhanásáról tanuskodik. A törekenység eme módosulásaiából az illetén mozgásoknak másodpercenként 200 km-nél nagyobb sebességére lehetett következtetni.

CORNU a DOPPLER-féle elvet igen elmésen alkalmazta a Napunk színekében levő tellurikus vonalaknak (239) a többi vonaltól való elkülönítésére. A Nap valódi képét kitűnő spektroszkópnak részére vetítette, és pedig oly lencse segítségével, melyet oldalvást akként mozdíthatott el, hogy a napkorongnak majd az egyik, majd a másik szélét, a Nap forgástengelyével párhuzamosan, rögtönösen a résre vihette. — A Nap olyan gyorsan forog, hogy keleti széle mintegy másodpercenkénti két kilométer sebességgel közeledik felénk, nyugati széle tehát ugyanekkorával távolodik, minélfogva a törekenységbeli különbségnek eme sebesség kétszeresének kell megfelelnie, és ez elegendő is, mert a lencsét gyorsan elmozdítván, a spektroszkópban némileg lengeni látjuk azokat a sötét vonalakat, melyek a Naptól származnak, ellenben a földi légkör elnyelésétől származók veszteg maradnak.

XXXIV. FEJEZET.

A SUGÁRZÓ ENERGIA ELNYELETÉSE.

245. Nyomatékosan emlegettük, hogy az elnyelt sugarak nem semmisülnek meg, hanem az energia valamely más alakját öltik.

A sugárzó energia, midőn a molekulai mozgás energiájává alakul át, különböző tűneményeket hozhat létre: **melegedést**, midőn a molekulák eleven ereje növekszik a nélkül, hogy rezgés-idejök $\frac{1}{4 \times 10^{14}}$ másodpercet meghaladna; **foszforeszkálást**, midőn rezgéseik elég gyorsak arra nézve, hogy az étérrel közlődvé, újra fényt létesítsenek, és pedig a beesőtől rendszerint különbözőt.

Ezen kívül az elnyelt sugarak **szerkezetbeli változásokat** létesíthetnek, melyek a legtöbb esetben a chemiai összetétel megváltozásában nyilvánulnak.

246. A sugárzó energia okozta melegedésre vonatkozólag a már mondottakhoz rövid elmélkedést fogunk csatolni, mely a hőmérőnek és hőelektromos oszlopnak a sugárzó hőre vonatkozó mérésekben való alkalmazását igazolja. Úgy az egyik, mint a másik műszerrel tényleg mérséklet-emelkedést határozunk meg, és felteszszük, hogy ez arányos a sugárzás révén közölt hővel.

Valóban, ha az időegységben valamely hőmérőre, melynek elnyelő képessége a , q energia érkezik, úgy melegedése közben aq energiára tesz szert, és midőn elérte maradandó állapotát, az elnyelt hőnek egyenlőnek kell lennie az ugyanazon időben elvesztéssel. Ha már most mindig csak igen kicsiny mérséklet-változásokat veszünk figyelembe, elfogadhatjuk Newton törvényét

(23), és feltehetjük, hogy a kiadott hő arányos a hőmérőnek a környezethez képest való t mérsékletbeli túlságával, hogy tehát ct -vel fejezhető ki. Ekkor

$$aq = ct \text{ és } t = \frac{a}{c} q;$$

innét kitűnik, hogy a megfigyelt mérsékletbeli túlságnak a sugárzó energiával való arányossága csak azon feltétel mellett állhat meg, hogy az a elnyelő képesség minden törekenységtű sugárra nézve egyazon értékű, mely körülmény a füstkoromra nézve tényleg fennállónak találtatott; ez az oka, hogy a hőmérőt és a hőelektromos oszlop fejét be kell kormozni.

247. A sugárzó energia fokozván a molekulák mozgását, vajjon nem mozdíthatna-e meg valamely tömeget is? Nem alakulhatna-e át közvetlenül látható energiává? E kérdéssel sokan foglalkoztak, s az eredménytelen kísérletek hosszú sora után mégis igenlő feleletre látszott találni a radiométer nevű műszerben. Ez higany-légszivattyúval (I, 224, 258) a lehető legjobban kiüresített üveggömbből (593. ábra) áll, melyben csillámból, alumíniumból vagy parafából készített, lapátokkal ellátott igen könnyű kerék foroghat; e lapátoknak csak az egyik, egyazon forgásirány szerint való lapja van bekormozva.

A mint a készülék előtt lángot gyújtunk, vagy pedig egy oldalról bármi módon sugárzó energiát vetünk rá, a kerék forogni kezd, mintha csak befeketített lapjait a fény eltaszítaná, a szögsebességet pedig a sugárzó energiával arányosnak találjuk, úgy, hogy ha például a fényforrást kétszer akkora távolságba viszsük, a forgások száma negyedrésznire száll le (10). Általában az emissziós tűneményeknek előadásbeli kísérletekben való megmutatására radiométert lehetne használni a hőelektromos oszlop és a galvanométer (2) helyett.

De immár kétségtelenné van téve, hogy az előrehajtást nem közvetlenül a sugárforrás idézi elő, hanem hogy eredete a készülék belsejében van. Ugyanis ha az üveggömböt szaba-

don felfüggesztjük, a lapátos kerékkel ellenkező irányban forogni fog: együtt indulnak meg a nyugalomból és tehetetlenségi nyomatékuikkal fordított viszonyban levő szögsebességre tesznek szert, miként az I. k. 119. p. (3) alatti képlete a



593. ábra. Crookes-féle radiométer.

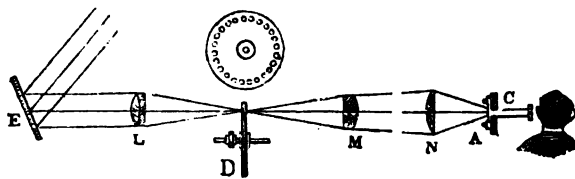
dinamika harmadik törvényével (I. 91) egybevetve megkivánja. Ha ellenben a készüléket felfordítva függesztjük fel, úgy, hogy két darabja — t. i. a gömb és a kerék — a surlódás révén összefüggővé válik, az egész rendszer, bár szabadon foroghatna, állandóan nyugalomban marad, jelélül annak, hogy a lapá-

tokra ható forgató nyomaték egyenlő és ellenkező irányú a hűvelyre hatóval.

248. Meg lévén ekként állapítva, hogy a mozgató erő belső erő, ezt közelebbről még is határozhatjuk. Elég ha felemlítjük, hogy mindegyik lapát fekete lapjának jobban meg kell melegednie, mint a másiknak, és hogy az üveggömb, bármennyire ki van üresítve, még sem teljesen légüres (I, 245), hanem nagy számú molekulát tartalmaz, melyek meleg falba ütközvén, megmelegszenek és ennél fogva a beeső sebességnél nagyobbbal pattannak vissza. A dolog tehát úgy áll, mint ha a molekulák nagyobb impulzust kapnának a fekete laptól, mint a másiktól, és ennél fogva a hatás és visszahatás közötti egyenlőség (I, 91) révén a fekete lapon a másikhöz képest nyomástöbblet keletkezik, melynek a sugárforrástól távozva enged.

E magyarázatot megerősíti az a tény, hogy ha a ritkítást bizonyoshatáron túl viszzük, a kerékszögsebessége csökkenni kezd.

249. Helyén levő, hogy egy másik érdekes fölfedezést is vázoljunk, mely a sugárzó energia mechanikai hatásaira vonatkozik; s a melyről Párisban annak idején túlzó hangon beszéltek, hogy az amerikai BELL «megszólaltatta a fényt».



594. ábra. Fotofon.

Az *E* heliostát (594. ábra) tükrén visszavert és az *L* lencsétől összegyűjtött sugarakat időszakosan meg-megszakítja a *D* lyukas korong, mely a lencse gyújtópontjában forog. Egy másik *M* lencse a sugarakat messzire vezeti, hol is az *N* harmadik lencsétől újra összegyűjtve, a tetszés szerinti anyagból való

A vékony lemezre esnek. Ez a lemez most hangot ad, mely a C hangtölcsér (I, 295) segítségével a fülbe jut. Az illetén készüléket **fotofonnak** nevezték el.

Kétségtelennek látszik, hogy a tömeg nem egészében rezeg, mert egyazon lemezzel minden magasságú hang létrehozható. Bizonyos, hogy a tűnemény első sorban felületi hatásból származik, mert a hang erősödik, ha a felület elnyelő tehetőségét oly módon fokozzuk, hogy különböző anyagok igen vékony rétegével vonjuk be, vagy még jobban, ha bekormozzuk, s egészen közömbös, hogy mi a lemez anyagi minősége. A vöröseknel kevésbé törékeny sötét sugarak, melyeknek egymagukban nagyobb energiájuk van (223), a leghatásosabbak.

250. Lássuk most, hogy az elnyelt sugarak miként hozhatnak létre különböző törékenyséű más sugarakat. Egy üveg-gömb, melyben a jódnak szén-szulfid oldata van, átlátszatlan, de diathermán lencsét alkot, melylyel a sötét sugarakat valamely testre, például platina korommal bevont platina-lemezre koncentrálnak, mely őket oly mohón nyeli el, hogy izzóvá válik, és ennél fogva az elnyelteknél törékenyebb sugarakat bocsát ki. Az ilyes tűneménynek **kaloresszkálás** a neve.

251. Ellenben a foszforesszkálás tűneményében a gerjesztő fény szokott rendszerint törékenyebb lenni a kibocsátott-nál. S valamint a kaloresszkálásban a vörös melletti sötét sugarak nemzik a fényt, úgy a foszforesszkálásban a fényt túlnyomólag az ibolyán túl levő láthatatlan sugarak (224) hozzák létre.

Ez utóbbi tűneményt sok anyag mutatja, de nem mind egyenlő mértékben. Némelyek csak bizonyos idővel annak utána, hogy a gerjesztő fény hatásának kitétettek, szűnnek meg foszforesszkáló fényt kibocsátani, mások pedig gyorsan rá kialszanak. Így a stronciumszulfid a preparáció módja szerint vörös, zöld, kék vagy narancsszínű fényt néhány órán át sugároz ki; a méspát sárga foszforesszkálása pedig egy félmásodperc múlva szűnik meg, az alumíniumoxid vöröse $\frac{1}{20}$, az

urániumnitrát zöldese $\frac{1}{100}$, a chininbiszulfát-oldat égszínűje $\frac{1}{10000}$ másodpercig tart (E. BECQUEREL).

252. Az utóbbi esetekben, midőn az anyag hirtelen megszűnik fényleni, a tünetényt rendszerint **fluoreszkálásnak** nevezzük. A fluoreszkáló anyagok közkeletűek: a kereskedelemben is előforduló uránüveg; a chininszulfát, mely néhány csepp kénsav hozzátétele mellett vízben feloldódik; chlorofil-oldat, melyet egyszerűen úgy nyerünk, hogy *polygonum hydropiper*-leveleket egy órán át éterben áztatunk; a nem tisztított petroleum néhány faja; a vadgesztenyefa héjának alkohol-kivonata, stb. Ha e folyadékok egyikének szabad felületére gyűjtő lencsével napfényt vezetünk, oldalról szép fénykúpot látunk, melynek mélyebben behatoló sugarai mindinkább halványulnak.

A fluoreszkálás tanulmányozása e két kérdésre redukálódik: Miféle beeső sugarak gerjesztik leginkább? Mifélek a kibocsájtott új sugarak? E kérdésekre a legjobban úgy felelhetünk meg, hogy a Nap tiszta színeképét **(165)** a megvizsgálandó anyagra, például chininbiszulfát-oldattal itatott papirosra vagy uránüveg-lemezre vetjük, a mikor is kvarcz-hasábot és lencsét használunk, mert a kvarcz az ibolyántúli sötét sugarakra nézve a legátlátszóbb testnek ismertetett fel. Azonban előadásbeli kísérletekben nagyon jól használhatjuk a közönséges lencsákat hasáboakat is.

A színekép a rendesnél hosszabb és a különböző esetekhez képest más-más színezetű; az ibolyántúli tájékon ugyanazok a sötét vonalak hasítgatják át, melyeket a fotografia révén **(224)** nyerünk. És általában a fluoreszkálás ugyanabban a mértékben ébreszthető fel, a melyben a chemiai reakciók gerjeszthetők, azaz a látható tájék törékenyebb sugaraival és az aktinikusoknak nevezett még törékenyebb sugarakkal.

253. Ha azonban napfény helyett izzó szilárd test vagy folyadék fényéhez folyamodunk, a sötét vonalak ezen a tájékon is csak úgy hiányzanak, mint a többin **(214)**; de a gerjesztés

nagyobb vagy kisebb hosszúságra terjedhet, a mennyiben a különböző források nem egyformán gazdagok aktinikus sugarakban. Közönséges lángjaink, nemkülönben a DRUMMOND-fény, szegények az ilyenekben; annál gazdagabbak az elektromos ívfény, a magnéziumfény, a kénnek és még inkább a szénszulfidnak lángja.

Szép az a kísérlet, midőn kóbalt-üveggel üvegezett lámpásban magnézium-szalagot gyújtunk meg, és például uránüvegpoharat világítunk meg vele. A lámpa üvegén át kisugárzott fény sötétkéék, a pohár pedig zöldes-sárga fényben ragyog.

Ha ellenben ugyanezt a poharat napfényvel világítjuk és kóbaltüvegen át figyeljük meg, zöld fényéből jóformán semmit sem látunk. Azt következtetjük tehát, hogy a kóbalt-üveg átlátszóbb a fluoreszkálást gerjesztő, mint a már gerjesztett sugarakra nézve, és hogy a fluoreszkáló színeknek a diffúziós színektől való különböző voltát szembeötlővé tegyük, eme kísérlettel szemben megteszünk egy másikat, mely peecsétviaszrúdnak vörös üvegen át való megvilágításából és megtekintéséből áll.

Itt felemlítjük azt is, hogy a fény, mely valamely fluoreszkáló anyagnak elegendő vastagságú rétegén átment, többé már nem gerjeszthet fluoreszkálást ugyanabban az anyagban, a mint hogy kell is lennie, ha igaz, hogy a gerjesztő sugarak elnyeletnek. Sőt konstatalható, hogy a fluoreszkálás színeképe épen azokban a pontokban a legélénkebb, a hol az elnyelésbeli színkép (228) a legsötétebb.

Ha a kevésbé törékeny sugarak nem alkalmasak is a fluoreszkálás előidézésére, a már foszforeszkálóvá tett anyagokra mégis akként hatnak, hogy az ezen anyagoktól elnyelt energia emisszióját meggyorsítva a fényt élénkítik. A kísérletet akként tehetjük meg, hogy valamely szulfiddal bevont kártyapapírosra, mely a napfénynek már ki volt téve, tiszta színeképet vetítünk; látni fogjuk, hogy foszforeszkálása a vörös tájékon, és még inkább a sötét hősugarak tájékán, megélénkül. De némi idővel az

után, hogy a színekép hatott, a foszforeszkálás kimerül, azonban fénylőknek fogjuk látni azokat a pontokat, melyekre a vörös és a sötét sugarak tájékának FRAUNHOFER vonalai estek, mert e pontok meg maradtak óva a hőhatású sugaraknak a kisugárzást gyorsító hatása ellen.

254. Hogy meg lehessen felelni a második kérdésre (252) is, azaz hogy mifélek a fluoereszkáláskor kibocsátott sugarak, sok kísérlet hajtatott végre, melyekből kétségtelenül kiderül, hogy az egyszerű gerjesztő sugarak összetett fényt nemzenek. De ha már összetett, az a vélemény kerekedett felül, hogy soha sem tartalmaz a gerjesztő sugaraknál még törékenyebbeket; azonban némelyek szerint ez a szabály nem általános érvényű. Itt különben csak jelezni akartuk ezt az elméleti szempontból nevezetes véleménykülönbséget.

255. A sugárzó energia, bizonyos anyagoktól való elnyelésekor, azonkívül, hogy a molekulai eleven erőt fokozza, még átalakulhat, miként már mondtuk (245), helyzeti energiává is, és pedig oly módon, hogy kémiai szétbontásokat létesít; ilyenek az ezüst-sóknak a fotográfiában alkalmazott szétbontása, és még más ennél fontosabbak, melyeknél fogva a növények a légkörben levő széndioxidból és vízgőzökből a szén és hidrogént magukhoz ragadják s belőlük saját szöveteket építik fel.

Tudjuk azonban, hogy a napsugaraknak, különösen pedig a törékenyebbeknek hatására a chlór és a hidrogén keveréke robbanással vegyül és e közben hőt fejleszt. Vajjon a robbanáskor keletkező egész hőt a sugárzó energia átalakulásának kell-e tulajdonítanunk? Bizonyára nem, mert a keveréknek helyzeti energiája volt, mely hasonló a szén- és az oxigén-atómnak égés előtti, már említett (I., 338) energiájához. A hő, mely úgy az egyik, mint a másik esetben fejlődik, azon eleven erőből származik, melyre a heterogén molekulák szert tesznek, midőn egymásra zuhanva, a vegyület molekuláit hozzák létre. Nos hát mi a sugárzó energia szerepe? A következő: a kemiku-

sok felteszik, hogy a chlór és a hidrogén molekulái két-két atómból állanak, és hogy nem hozhatnak létre sósav-molekulákat (melyek szintén két atómból vannak összetéve), ha előbb izolált atómokra nem szakadnak szét. És a sugárzó energiának éppen az volna a feladata, hogy ezt a kettéhasítást létesítse. Körülbelül úgy működik, mint az izomerő, mely a sziklát a mélység széléig tolja, vagy a puska kakasát húzza. A sziklának már előbb is meg volt a maga, a Földre vonatkozó energiája, valamint a puskapornak is volt chemiai helyzeti energiája, mely energiák készek voltak az eleven erővé való átalakulásra; de nem voltak még az átalakulás tényleges bekövetkezésére alkalmas körülmények között.

256. Hadd következék még a szokottabb **fotografiai eljárásnak** legalább összefoglaló áttekintése. Ez két művelethől áll: a *negatív képnek* üvegen való előállításából és a pozitív képnek papirosra való lemásolásából.

A negatív műveletet azzal kezdjük, hogy az üveglemezt a leggondosabban megtisztítjuk, először salétromsavval, azután alkohollal és tripellel. Most vékony réteget öntünk reá a kereskedelembe is előforduló kollódiumból, mely lögyapotnak alkohol és éterben való oldata és mely káliumjodürrel, bromürrel, vagy szintén chlorürrel szakmunkákban előírt különböző arányok szerint van keverve; azonban rövidség okáért felteszük, hogy csakis bromür van benne.

A bromürös kollódiumot a lemezen szétosztva és a fölőset lecsepegetve, az alkoholt és étert elpárologtatjuk, a lemezt vékonyka hártájával ezüstnitrát vízoldatába merítjük; hol is az ezüst a bromürben a kálium helyébe lép. E műveletet sötétben, vagy legalább is chemiai hatású sugaraktól mentes helyen, tehát sárga vagy vörös üvegeken át **(224)** gyengén megvilágított szobában kell végezni. — Manapság nem igen szorulunk a lemezek ilyen elkészítésére, a mennyiben a kereskedésben rendkívül el vannak terjedve az ú. n. száraz lemezek, melyekhez az

ezüstsó albumin vagy zselatin-réteggel van rögzítve. — Az érzékeny lemez alkalmas foglalatba tételik, mely megóvja a fénytől, midőn a szobából kivisszszük, hogy az *expozíció* (kinntartás) műveletéhez fogjunk.

257. E célra a **sötét kamara (129)** szolgál, melynek hátsó fala az említett foglalattal vagy homályosra köszörült üveglappal cserélhető ki, elülső lapja pedig az achromatikus objektivet tartja.* Következik a *beállítás a gyújtópontra*, mikor is arra törekszünk, hogy a fotográfozandó tárgy valódi képe lehetőleg élesen mutatkozzék a homályos üvegen, melyet azután az érzékeny lemezzel helyettesítünk, s ezt az érzékeny réteg minőségéhez, a világosságához és még a mérséklethez képest is hosszabb vagy rövidebb időn át a fény hatásának teszszük ki.

A fény megindítja az ezüsbromür szétbontását saját intenzitásának aránya szerint; de a kinntartás után, midőn a lemezt visszaviszszük a homályos szobába, még semmiféle képet sem veszünk észre rajta. A lemezt tehát valamely *előidézővel* kell kezelni, vagyis oly anyaggal, mely az ezüstsónak a fénytől megkezdett szétbontását befejezi. E célra rendszerint a vasszulfátnak vagy szintén a pirogalluszsavnak hígított oldata szolgál, melyet a lemezre öntvén, a negatív kép csakhamar *kibontakozik*, és pedig többé vagy kevésbé sötét árnyalatokkal azokon a helyeken, melyek a kinntartás alatt erősebben vagy gyengébben világítottak meg.

Még csak a *kép állandósítása* van hátra, vagyis el kell távolítani a fel nem bontott ezüsbromürt, mert különben a fénytől ez is megfeketednék. E célra nátronthioszulfít-oldat

* Hogy a *fotografiai objektívek* akként achromatizáltassanak, hogy az optikai gyújtópont a lehető legtökéletesebben összeessék a chemiai gyújtóponttal, a lencsék görbületi sugarait azon feltétellel kell kiszámítani (178), hogy a D és H FRAUNHOFER-vonalaknak megfelelő gyújtópontok összeessenek.

igen jól használható. Ez után a lemez átlátszó azokon a helyeken, melyek sötétben maradtak, áttetsző a közép-erősségű fény tájékán, és sötét ott, a hol teljes fény érte. Miután még sok vízzel leöblítettük, megszáritottuk és ha kell, valamilyen lakkal megóvtuk, a negatív kép készen van és akárhány pozitív másolatot adhat.

258. A pozitív képekhez való papiros, minőt árulni szoktak, káliumbromürrel (257) itatott albuminos papiros. Ezt is ezüsthüvelyben áztatják, sötétben megszáritják, a negatív kép zselatinos lapjára fektetik és a napfénybe vagy szintén a nappali szétszórt fénybe kiteszik. A kinntartás ideje, mely a körülmények szerint változik, tisztán a gyakorlat dolga.

Ez után a papirost ismételve megmossák, hogy a fölös ezüsthüvelyt eltávolíttassák; erre a kép nátronthioszulfid-hüvelybe kerül, melyben az árnyalatok jobban kibontakoznak s egyúttal a felbontatlan ezüsthüvely eltávolíttatik és így a kép állandósított. Végül aranychlorid oldatban való áztatás megadja a képnek a készítő ízlésének megfelelő színezetet. Bőséges lemosás és megszáritás fejezi be a fotografiai műveleteket.

259. A törékenyebb sugaraknak nagyobb chemiai hatásuk van, s ez az oka, hogy a fotografusnak sötét kamarája előtt a kék és az ibolya csaknem úgy hat, mint a fehér, a vörös pedig majdnem úgy, mint a fekete.

A fák zöldje is majdnem oly hatású, mint a fekete, úgy, hogy sokáig úgy vélekedtek, hogy a növényi élet chemiai munkáját (256) szintén a törékenyebb sugarak végzik el, melyek a chlorofiltól elnyeletvén, nem lehetnek többé hatással a fotografiai lemezekre. De a chlorofil elnyelésbeli színe (228, a II. táblán 11) a vörösben sok hézagot tüntet elő, mi azt mutatja, hogy a chlorofil ezeket a kevésbé törékeny sugarakat is elnyeli. Másrészt közvetlen kísérletek is kimutatták, hogy a növények mindennapi respirációja jól megy végbe az ilyen sugarak hatása alatt, sőt még sokkal jobban, mint csakis az ibolya-

színűek hatása alatt. Úgy látszik tehát, hogy minden elnyelt sugár kivétel nélkül hozzájárul a víz és a széndioxid disszociációjához a növényélet asszimiláló folyamatának létesítésében, és hogy a vörös sugarak, mint nagyobb hőhatásúak és ennél fogva több energiával rendelkezők, nagyobb hatást fejtenek ki.

Ennek ötletéből érdekes még az a tény, hogy az ezüst-bromürt akármilyen színű fény is felbonthatja, ha oly anyaggal van keverve, mely az illető fényt elnyelheti. Így ha a száraz lemezeket anilin-zöld vagy naftalin-kék, vagy valamilyen más erre alkalmas festő anyagban áztatjuk s aztán megszáritjuk, a lemez *orthochromatikussá* válik, mely a színek piros és narancs színű részére is érzékeny. Ugyanilyen fogással sikerült végül a színek sötét hősugarait is lefotografálni.

260. Sok fizikusnak (s még több nem-fizikusnak) meddő tapogatódzása után LIPPMANN a legújabb időben egy észszerű eljárást állapított meg, mely a színek **fotografálásának** problémájata megvalósulás útjára terelte. Az eljárás WIENER-nek egy rendkívül érdekes kísérletén, a haladó fényhullámoknak álló fényhullámokká való átalakításán alapul; ez az átalakítás visszaverődés révén történik, olyan formán, mint a hanghullámok esetében (I, 306). A higanynyal telt dézsának egyik fala a fény iránt érzékeny száraz lemez, melynek jód- vagy bromezüst-oldattal telített vékony zselatin- vagy kollódium-hártyája a higanynyal érintkezik s így tökéletesen visszaverő tükör támad rajta. A színek a lemezre vetítettén, a higanytükrön visszavert fény a beesővel az érzékeny rétegben, félhullámhossznyi közökben, hullámhegyeket és hullámvölgyeket tartalmazó síkok sorát létesíti, melyekben tehát a fényhatás maximumai és minimumai váltakoznak. Ennek megfelelőleg a kémiai hatás az egymásra következő síkokban felváltva maximális és minimális, a minnek azután az a következménye, hogy az előidézés folyamata a hártyában rendkívül vékony ezüstretegecskék sorát létesíti, melyek sűrűsége tisztán csak a hatást előidéző fény hullámhosszá-

tól függ. Ha most a lemezt sötét háttér felé tartjuk, s fehér fényt ejtünk rája, a szinképet az ő saját eredeti színeiben fogjuk megláthatni, és pedig ugyanazon oknál fogva, mely a vékony lemezek színeit (193) idézi elő. Ugyanis két egymásra következő rétegecskén visszaverődő fény a rétegecskék közének kétszeresével, vagyis ama fénynek hullámhosszával egyenlő útkülönbséggel tevődik össze, mely a réteget létrehozta volt. Ennek az a következménye, hogy az illető fénynek sugarai a visszaverődött fényben erősödnek, ellenben a beeső fény többi sugarai mind gyengülnek. Minthogy pedig az érzékeny hártában ezer meg ezer ilyen rétegecske képződik, az utóbbiak gyengülése, az előbbinek pedig erősödése rendkívül sokszor ismétlődik: végre is a visszavert fény monochromatikussá válik, és pedig olyanná, a minő ezt a félhullámhossz szerinti rétegződést kémiai úton előidézte volt. Könnyen megérthető, hogy a kiegészítő színeket fogjuk látni, ha a lemezt átmenő fényben szemléljük.

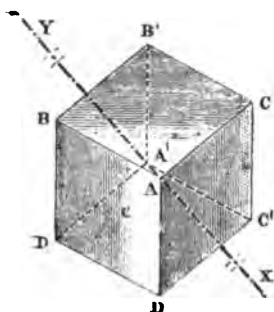
XXXV. FEJEZET.

KETTŐS TÖRÉS ÉS SARKÍTÁS.

261. A sugárzó energia azon tünetjeinek, melyeket eddigelé tanulmányoztunk, illő módosításokkal analog tünetek felelnek meg az akusztikában; de a most vázolandókra nézve az analogia teljesen megszűnik és épen ezek a tünetek fognak bennünket a legbiztosabban vezetni a sugárzó energiát alkotó hullámzó mozgásról kifejtendő fogalmaink megállapításában.

A sugártörés (52) csak addig olyan egyszerű, minőnek eddig megismertük, a meddig izotrop közegekben történik, a melyekben a terjedés sebessége minden irányban egyenlő. De a

kristályokban (kivéve a szabályos rendszerbelieket, melyek izotrop közegek) a tünemény bonyolódottabbá válik és **kettős törés** néven ismeretes, mert az anizotrop kristályokban minden beeső sugárnak általában két megtört sugár felel meg; maguk a kristályok **kettőstörő közegeknek** nevezetnek. E tüneményt ERASMUS BARTHOLINUS fedezte föl 1669-ben, midőn a fénynek az izlandi páton való átmenetelét vizsgálta. Az izlandi pát, mint tudva van, mészkarbonát, mely a hatszöges rendszerben



595. ábra. Izlandi pát.

kristályosodik, és három hasadó lapja révén könnyen hozható az 595. ábrában előtüntetett parallelepiped-alakra, melynek három tompa lapszöge egymással teljesen egyenlő ($105^{\circ} 5'$) és akként fekszik, hogy az egymással szemközt fekvő A és A' két testszöget három, egymással szintén egyenlő tompa ($101^{\circ} 54'$) élszög alkotja, míg a többi hat testszög mindegyikét egy tompa és két hegyes élszög határolja.

Midőn a kristály akként van hasítva, hogy élei mind egyenlők, hat egyenlő rombus határolja, és ilyenkor *romboéder*-nek nevezzük. Ez esetben azon XY egyenes, mely a tompa testszögek egyikének A csúcsán megy át és a három élhez egyenlőképen hajlik, magában foglalja a szemközt fekvő A' csúcsot is.

A *kristály tengelye* nem valamelyes meghatározott egyenes, hanem az XY -nal párhuzamos irány; a *főmetszet* pedig olyan sík, mely a lapok valamelyikére merőleges és magában foglalja a kristály tengelyét, azaz vele egyirányú.

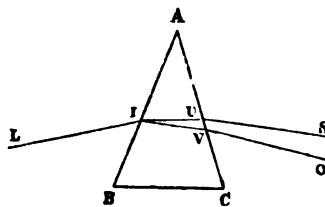
262. Mészpát-romboéderen át szemlélt közel fekvő tárgy kettősnek látszik. Ha a mészpátot például nyomtatott papírosra teszszük és két szemmel nézünk, a képek egyike magasabbra emeltnek látszik, mint a másik, mi nagyobb törékenységre mu-

tat (57). Ezt a képet **rendes képnek** nevezzük, mert a közönséges törés törvényeit (53) követi; a másikat, a mélyebben fekvőt, mely egészen más törvényeket követ, **rendkívüli képnek** mondjuk.

Ha ugyanis hozzátétőleges kísérletképen a kristályt a papiros síkjában forgatjuk, a mélyebb képet forogni látjuk a magasabb körül, mely a közönséges sugártörés törvényének megfelelőleg veszteg marad.

Hasonlóképen ha a romboéderen keresztül vékony párhuzamos sugárnyalábot vezetünk át, mindig két nyaláb lép ki, még merőleges beeséskor is, és e nyalábok annál jobban válnak szét, mentül vastagabb a kristály; az egyik követi a közönséges törési törvényt, a másik nem, minélfogva minden beeső sugárból egy **rendes sugár** és egy **rendkívüli sugár** származik: az első veszteg marad, ha a kristályt forgatjuk, a második elmozdul. Mivel a beesés lapja párhuzamos a kilépés lapjával, mind a két kilépő sugár iránya megegyezik a beeső sugár irányával, és ez az oka, hogy az ilyen kettőstörő kristályon keresztül a messzefekvő tárgyakat mégis egyszerűeknek látjuk.

263. Ha a mézpátból *ABC* hasábot (596. ábra) metszünk és az *LI* monochromatikus sugarat vezetjük reá, két kilépő sugarat nyerünk: az erőbben eltérített *VO* **rendes** sugarat.



596. ábra. Mézpát-hasáb.

és a gyengébben eltérített *US* **rendkívüli** sugarat. Csak egy esetben van kivétel: abban, a melyben a sugár a hasáb belsejében a kristály tengelye mentén terjed; a sugár ekkor nem hasad két.

sugárra. Ha a hasáb úgy van kimetszve, hogy a tengely merőleges az A törőszög felező síkjára, a sugár tengelymentileg terjed, midőn a hasáb minimális eltérésre van beállítva (63); ha ezen esetben a szokott módon (169) meghatározzuk a törésmutatót, a sárga nátriumfényre nézve az 1,6585 számot találjuk, és a rendes sugárnak mindig ez a szám felel meg, bármilyen is a hasáb törő lapjainak a tengelyhez viszonyított iránya.

Ellenben a rendkívüli sugár törésmutatója változó, és ezen felül még nem is marad meg mindig a beesés síkjában, miként a törés első törvénye megkívánná. Csak akkor marad meg benne, midőn a beesés síkja párhuzamos a tengelylyel, vagy pedig merőleges reá. Az első esetben a beesés síkja főmetszet; ekkor a beesési szög sinusának a rendkívüli törési szög sinusához való viszonya változó és a sárga fényre nézve 1,6585 és 1,4864 között foglaltatik. Csak a második esetben, azaz midőn a hasáb törő éle párhuzamos a tengelylyel és a beesés síkja merőleges ugyancsak a törő élre, követi mind a két sugár (különböző törésmutatóval) az egyszerű törés két törvényét. A mindig az egyszerű törés törvényét követő rendes sugár két sinusának mindenkor állandó viszonyát **rendes törésmutató**nak, és a csak az utóbbi esetben állandó viszonyt **rendkívüli törésmutató**nak nevezzük.

A mézspát törésmutatói.

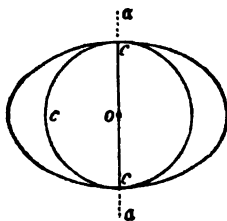
(RUDBERG szerint.)

	B	C	D	E	F	G	H
Rendkívüli	1,4839	1,4846	1,4864	1,4887	1,4908	1,4945	1,4978
Rendes	1,6531	1,6545	1,6585	1,6636	1,6680	1,6762	1,6833

264. Ha figyelembe vesszük, hogy a törésmutató fordított viszonyban van a fénynek az illető közegbeli terjedési sebességével (190), mondhatjuk, hogy a rendkívüli sugár a mézspátban

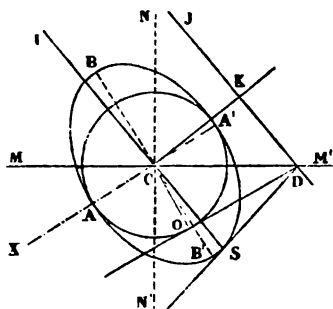
általában véve gyorsabban terjed, mint a rendes; legnagyobb a sebessége a tengelyre merőleges irányban, legkisebb a tengely mentén, és ilyenkor egyenlő a rendesével.

A rendes sugarak hullámfelülete kétségen kívül gömbalakú, de a mi a rendkívüliekét illeti, HUYGENS feltette, hogy ellipszoid, melyet egy ellipszisnek a saját kistengelye körüli forgása nemz, és nem mulasztotta el, hogy ezt kísérletileg igazolja. Az 597. ábra a két hullámfelületnek délkörmenti metszetét tünteti elő.



597. ábra. Hullámfelületek.

STOKES, MASCART és GLAZEBROOK e feltevés teljes szabatságát a modern fizika legjobb mérő-módszereinek felhasználá-



598. ábra. A megtört sugarak szerkesztése.

sával mutatta ki. Leírásukba nem bocsátkozhatunk, de röviden elő fogjuk terjeszteni, hogy HUYGENS szabálya szerint miként szerkeszthetjük meg a két megtört sugarat.

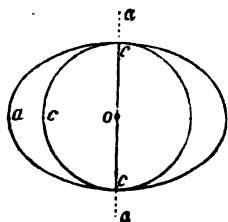
Legyen MM' (598. ábra) a mészpát és a levegőnek sík elválasztó felülete, és legyen merőleges a rajzlap síkjára. Az IC beeső sugár feküdjék a rajzlap síkjában, és a reá merőleges CK sík tüntesse elő a levegőbeli sík hullámfelületet. Húzzunk K -ből IC -hez párhuzamosat, míg az MM' síkot D -ben metszi, és tüzzük ki a kristály CX tengelyét, mely esetleg a rajzlap síkjából ki is léphet. Ezután szabjuk ki rajta a CA hosszt akként, hogy KD úgy álljon CA -hoz, mint a levegőbeli sebesség áll a rendes sugár sebességéhez, és írjuk le az 597. ábra értelmében a gömböt és az ellipszoidot, melyeknek CA a közös féltengelyük, és a melyek előtüntetik a mészpátban levő két hullámfelületet abban az esetben, a midőn C a rezgés középpontja.

A rendes sugarat a 190. pontban előterjesztett mód szerint akként nyerjük, hogy D -ből érintő síkot húzunk a gömbhöz és a beesés C pontját összekötjük az O érintési ponttal. Hasonlóképen a D ponton átmenő és az ellipszoidot érintő síknak S érintési pontja meghatározza a CS rendkívüli sugár útját, mely sugár csak akkor esik a rajzlap síkjába, ha ez a kristálynak főmetszete vagy szintén ha merőleges a tengelyre. Az első esetben az ellipszoidnak eme síkkal való metszete délkörmenti ellipszis, a másodikban pedig egyenlítői kör.

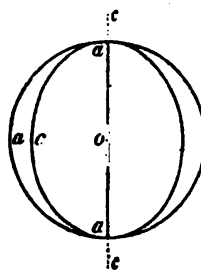
265. A mészpáthoz hasonló módon viselkednek mindazok a kristályok, melyek egy tengely körül szimmétrikus szerkezetűek, és ennél fogva **egy tengelyű kristályoknak** neveztetnek; ezek mindannyian a hatszöges és a négyszöges rendszerbe tartoznak. Eme kettőtörő közegekre nézve HUYGENS törvényei (264) érvényesek; de két csoportba tartoznak a szerint, a mint a rendes törésmutató nagyobb vagy kisebb a rendkívülinél. Az első csoportbelieket, melyek közé a mészpát is tartozik, *negatív kristályoknak*, a második csoportbelieket pedig *pozitív kristályoknak* nevezzük. A következő két rajz a hullámfelületek délköri metszeteit mutatja a két esetben.

Egytengelyű kristályok.

Negatív kristályok.



Pozitív kristályok.



Mészpát ---
 Korund ---
 Apatit... ---
 Nefelin ---
 Csillám ---
 Turmalin ---

Hatszögesek

Vezuvianit... ---
 Oktaedrit ---

Négyszögesek

Jég
 Ametiszt
 Kvarcz
 Dioptáz
 Káliumszulfát

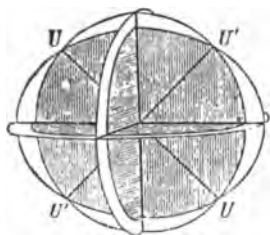
Zirkon
 Apofillit
 Rutil

266. A többi három rendszer, azaz a rombus, egyhajlású és háromhajlású rendszer kristályai szintén kettőtörőek, mert a beeső sugarak bennök általában két sugárra hasadnak, de eme sugarak egyike sem követi a közönséges törés törvényét, azaz mind a kettő rendkívüli: a beesés síkjából általában véve kilépnek s hullámaik terjedésének sebessége változik azon irány szerint, melyben a kristályok átmennek.

Mindazonáltal eme kristályok mindegyikében van három egymásra merőleges sík, melyekből a két sugár nem lép ki, s ezen kívül az egyik sugárnak állandó törésmutatója van bennök, a másik pedig az egytengelyű kristályok rendkívüli sugárához hasonló módon viselkedik.

A hullámfelületnek az eme közegekben való alakját FRES-

NEL langesze ismerte fel; a **felület**, miként a matematikusok mondják, negyedfokú, és két rétegből áll, melyek az imént említett három fősík mindegyikétől ellipszisben és körben metszetnek; de az egyik réteg nem burkolja be teljesen a másikat, hanem úgy metszik egymást, hogy négy köldököt alkotnak, melyek az 599. ábrában U -val vannak



599. ábra. Hullámfelület mintája.

jelölve, mely a három fősíknak eme felülettel való metszeteit mutatja, hogy róla legalább megközelítő fogalmat nyujtsunk.

Mondottuk, hogy az egytengelyű kristályokban van egy irány, a tengely, melynek mentén a síkhullámok kettős törés nélkül terjedhetnek. Ily értelemben az utóbbi három rendszer-

beli kristályoknak két tengelyük van, és ezért **kéttengelyű kristályoknak** neveztetnek. De ha nem is szándékunk, hogy eme tárgy tanulmányozásába mélyedjünk, még is meg kell jegyeznünk, hogy eme kristályok tengelyeinek nincs meg mind az a tulajdonságuk, melyek például a mészpát egyetlen tengelyét illetik meg.

267. Térjünk vissza a mészpáthoz, melyre nézve a HUYGENS-féle szabály (264) segítségével elegendő szabatsággal fejezhettük ki a kettős törés törvényeit; azonban még nem fejeztük ki az okot, melynél fogva a levegőben terjedő egyetlen hullámmozgás a kristályban különböző faju és sebességű hullámokra szakad szét.

Hogy ennek magyarázatát adjuk, HUYGENS-nek egy másik kísérletéhez kell folyamodnunk. Ha két mészpátot akként teszünk egymásra, hogy olyan legyen viszonylagos fekvésük, mint a minő volna, ha csak egy kristályt alkotnának, sem az elsőől származó O rendes kép, sem pedig az E rendkívüli kép nem hasad ketté. És ha a két mészpát között hézagot hagyunk is, az

elsőnek O rendes képe a másodikban csakis egy O_0 rendes képet, és hasonlóképen E rendkívüli képe csakis egy E_0 rendkívüli képet hoz létre.

Ha azonban a második mészpátot az egymáson fekvő lapokra emelt közös merőleges körül forgatjuk, az első mészpáttól származó mind a két kép kettőssé válik, úgy, hogy az O_0 és O_1 , vagy szintén az E_0 és E_1 új képek párja, mely a kezdetbeli képek egyikétől származik, ugyanazt a helyzetet foglalja el, melyet elfoglalna, ha közönséges fénytől származnék; a különbség csak az, hogy a fényerősségek nem egyenlők. Ha a második mészpát szögmenti elmozdulása csekély, a kezdetbeli O rendes intenzív O_0 rendeset ad, melyet gyenge O_1 rendkívüli kísér, és hasonlóképen a kezdetbeli E rendkívüli intenzív E_0 rendkívülit és igen gyenge E_1 rendest létesít.

Ha a szögmenti elmozdulást fokozzuk, a két gyenge kép erősbödik, a két fényes kép pedig gyengül, mígnem 45° -nyi elmozdulásnál mind a négy egyforma. Ha azután a második mészpátot még tovább forgatjuk, az eddig gyenge két kép erősebbé válik, a másik kettő pedig gyengül, és 90° -nál, vagyis midőn a két kristály főmetszete (261) egymásra merőleges, a kezdetbeli két kép teljesen eltűnik és magára hagyja a másik két O_0 és E_0 képet, vagyis az első mészpáttól rendszeren törött fény csak rendkívüli képet ad a második mészpátban, és az elsőől létesített rendkívüli kép csakis rendeset ad a másodikban.

A forgatást folytatva, a változások ugyanazon sora ismétlődik, úgy, hogy egy egész forgásban minden negyed-forgásra a képek két párja felváltva eltűnik.

A következő áttekintés, melyben α a főmetszetektől bezárt szög, elötlünteti eme változásokat.

	O	E
	sugárból	eredő képek
$\alpha = 0$	O	E
$0 < \alpha < 90^\circ$	O_o gyengül, O_e erősbul.	E_e gyengül, E_o erősbul
$\alpha = 45^\circ$	$O_o = O_e$	$E_e = E_o$
$\alpha = 90^\circ$	O_e	E_o
$90^\circ < \alpha < 180^\circ$	O_e gyengül, O_o erősbul.	E_o gyengül, E_e erősbul
$\alpha = 135^\circ$	$O_e = O_o$	$E_o = E_e$
$\alpha = 180^\circ$	O_o	E_e

268. Hogy a tűneményt egyidejűleg sokan láthassák, kicsiny nyíláson át a napsugarak egy nyalábját vezetjük a szobába, mely nyaláb mérsékelt távolságban hengeresnek tekinthető, és e nyalábot merőlegesen ejtjük egy mészpátra,* melyet két hasadási lapja határol. A kristályból két nyaláb fog kilépni: a rendes a beesőnek meghosszabbítása mentén egyenest terjed tova, a rendkívüli oldalvást tolódik el. Ha mind a kettőt ernyőn felfogjuk, közelítőleg egyenlő erősségű képeket nyerünk, és nem tekintve a visszavert kevés energiát, mondhatjuk, hogy az egész beeső fény egyenlően oszlik meg a két kilépő nyaláb között.

Ha most mind a két nyalábot egy második mészpátra ejtjük, melyet a különböző állásokban forgathatunk, mindenki szemmel kísérheti a váltakozó fényerősségeket, melyeket a négy kör az ernyőn előtűntet.

269. Földjük azonban el az első mészpátrából kilépő nyalábok egyikét, például a rendkívülit a heliostat csövén levő lyukas koronggal, a rendest pedig hagyjuk szabadon tovább menni, hogy egymagában *megелеmezzük* a második mészpát segítségével. Ez a sugár egymástól különböző intenzitású két sugárra oszlik, melyek minden negyedforgás után váltakozva jelennek meg, úgy hogy az egész fény rendes sugár alakjában lép ki,

* E kísérletben mészpátok helyett rendszerint két *kettőstörő* hasábot használnak, melyeket nem sokára (276) meg fogunk ismerni.

midőn a mészpátok főmetszetei párhuzamosak, és rendkívüli sugárként lép ki, midőn a főmetszetek kereszteződnek.

Ennélfogva az a fény, mely az első kristályon átment, nagyon is különbözik a természetes fénytől. A természetes fény egy hengeres nyalábjának a terjedése irányán kívül semmi egyéb viszonylata nincs a térhez, úgy, hogy a számtalan sík közül, melyekben benne fekszik, fizikai tulajdonságai révén lehetetlen volna egyet a többitől megkülönböztetni; ellenben a mészpátból kilépő rendes nyalábnak a terjedésére merőleges irányokban különböző tulajdonságai vannak, elannyira, hogy ha eredetéről mit sem tudnánk s feladatunk volna, hogy természetét kipuhatoljuk: elemző mészpát segítségével igen pontosan felismerhetnők eme tranzverzális tulajdonságait és meghatározhatnók amaz egymásra merőleges két sík fekvését, a melyekre nézve eme tulajdonságok szimmetrikusak, és a melyekbe az elemző mészpát főmetszetét helyezvén, a nyaláb nem hasad ketté. Azt a fényt, melynek illetén tranzverzális tulajdonságai vannak, bármiként tett is rájuk szert, **sarkított** vagy **polarizált fénynek** nevezzük, és azt a síkot, melyre vonatkozólag épen úgy viselkedik, mint a hogy a rendes sugár viseli magát a mészpát főmetszetére vonatkozólag, a **sarkítás síkjának** mondjuk. Fekvését kísérleti úton határozhatjuk meg, mert annak a síknak fekvésével esik össze, melyet az *elemző mészpát* főmetszetének adnunk kell, hogy belőle csakis egy rendes sugár lépjen ki.

270. Ha most az első, *sarkító*nak nevezhető mészpátból kilépő rendes sugár helyett a rendkívülinek magatartását vizsgáljuk meg, vagyis ha a két kristály közé úgy helyezzük a lyukas korongot, hogy visszatartsa a rendeset és tovább ereszsze a rendkívülit, azt fogjuk látni, hogy ennek is épen olyan tulajdonságai vannak, mint a másik nyalábnak, azzal az egyetlen különbséggel, hogy sarkításának síkja 90° -kal el van fordulva. Ennélfogva azt mondjuk, hogy a rendkívüli sugár a sarkító mészpát főmetszetére merőleges síkban van sarkítva.

271. Az izlandi pátban a rendes és a rendkívüli nyalábnak egyazon intenzitása van, mely az őket létesítő természetes fény intenzitásának felét teszi.

Ezen kívül azon mérésekből, melyek azon két sugár intenzitására vonatkozólag tétettek, melyekre a mészpáton átmenő sarkított sugár szétszakad, megállapított MALUS törvénye, mely szerint a négy intenzitás ekként fejezhető ki:

$$\begin{aligned} O_o &= O \cos^2 \alpha, & O_e &= O \sin^2 \alpha, \\ E_e &= E \cos^2 \alpha, & E_o &= E \sin^2 \alpha, \end{aligned}$$

hol α a két mészpát főmetszetétől bezárt szöget jelenti, a többi jelölés pedig megegyezik a 267. pontbeliakkal.

Összegezés révén kapjuk, hogy:

$$O_o + O_e = O (\cos^2 \alpha + \sin^2 \alpha) = O, \text{ és } E_e + E_o = E,$$

vagyis valamely a mészpátba hatoló sarkított sugár intenzitása egyenlő azon sugarak intenzitásának összegével, a melyekre széthasadt.

272. Ugyancsak MALUS 1803-ban azt az igen nevezetes fölfedezést tette, hogy a fény a kettős törésen kívül még az átlátszó testek felületén való visszaverődésekor is sarkíttatik. Így például az üvegről bizonyos szög alatt visszavert nyalábnak a beesés síkjára vonatkozólag egészen ugyanazon tulajdonságai vannak, mint a mészpát rendes sugarainak a kristály főmetszetére vonatkozólag, minélfogva meghatározásunkhoz képest azt fogjuk mondani, hogy *a visszavert sugarak a beesés síkjában vannak sarkítva*. A különböző szögek alatt visszavert fény úgy viselkedik, mintha természetes fénynek és a beesés síkjában sarkított fénynek keveréke volna, s ez oknál fogva **részben sarkított fénynek** nevezzük.

273. Az a szög, melyet a visszavert sugaraknak a visszaverő felülettel be kell zárniok, hogy teljesen sarkítottak legyenek

nek, a különböző anyagokra nézve más meg más, és a **sarkítás szöge** nevét viseli. Üvegre nézve ez a szög $35^\circ 25'$.

A sarkítás akkor teljes, midőn a visszavert és a megtörtött sugár egymásra merőleges. Ez BREWSTER törvénye, mely még ekként fejezhető ki: a sarkítás szögének tangense egyenlő a törésmutató visszás értékével. Ha ugyanis n a mutató, i , r és β pedig a beesés, törés és a sarkítás szöge, úgy: $\beta = 90 - i$, és:

$$n = \frac{\sin i}{\sin r} = \frac{\cos \beta}{\sin r};$$

de a törvény első alakja szerint

$$\beta + (90 - r) = 90^\circ, \text{ vagyis } \beta = r,$$

$$\text{tehát } n = \frac{\cos \beta}{\sin \beta} \text{ vagy pedig } \operatorname{tg} \beta = \frac{1}{n}.$$

274. Ha most mészpáttal elemezzük azt a fényt is, mely valamely közegből egy másikba egyszerű törés révén megy át, azt fogjuk látni, hogy részben van sarkítva (**272**), és pedig a beesés síkjára merőleges síkban; ennél fogva a visszavert és a megtört sugarak egymásra merőlegesen vannak sarkítva. Az egyszerűen megtört fénynek sarkított része merőleges beeséskor egyenlő zérussal, azontúl pedig a beesés szögével növekszik, épen úgy, a mint a visszavert sugarak intenzitása gyarapszik; ezenfelül a sarkított rész a visszavert és a megtörtött nyalábban mindig egyenlő, és ha az utóbbi nyalábban sohasem teszi a nyaláb egészét, még a sarkítás szöge (**273**) alatt sem, úgy ez a körülmény összhangzásban van azzal a ténnyel, hogy a megtört nyaláb teljes intenzitása mindig nagyobb, mint a visszavert nyalábé.

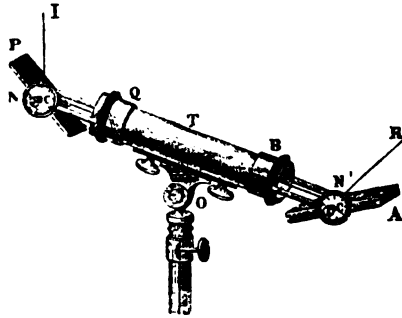
De egyszerű törés útján is teljesen sarkíthatjuk a fényt, ha néhány üveglemezen, úgynevezett üveglemez-oszlopon bocsátjuk át: minden következő töréskor az átmenő fényben növekszik a sarkított rész.

275. A fény elemzésére, vagyis annak felismerésére, hogy a fény sarkítva van-e, és hogy miként van sarkítva, eddigelé

csakis a mézspátot használtuk. De minden készülék, mely a fény sarkítására alkalmas, vagyis minden **sarkító**, egyszersmind **elemző**ül is használható.

Példaképen felemlítjük Biot készülékét, melyet a 600. ábra tüntet elő.

A T cső a Q gyűrűvel fel van szerelve, mely enyhe surlódással forgatható és két karral van ellátva, melyek között a fekete üvegből való P tükör akként forgatható, hogy a cső tengelyéhez tetszés szerinti szög alatt hajolhat s e hajlást az N -beosztott körön leolvashatjuk. A P tükörre természetes fénynek I nyalábját olyan beeséssel vezetjük, hogy a visszavert nyaláb



600. ábra. Biot készüléke.

a cső tengelye irányában terjedjen, s ezt a többé-kevésbé sarkított nyalábot a cső B végére helyezett mézspáttal elemezhetjük. Ily módon a P tükör sarkítóként szerepel, és ha $35^\circ 25'$ alatt hajlik a cső tengelyéhez, az ICC' síkban teljesen sarkított nyalábot ad.

De ha a mézspát helyett B -ben egy másik A tükröt alkalmazunk, mely épen úgy fel van szerelve, mint a P tükör, úgy ez az A tükör elemzőként használható, ha akként állítjuk be, hogy a cső tengelyéhez szintén $35^\circ 25'$ alatt hajoljon, és ha ezután tartó-gyűrűjét forgatjuk.

Forgassuk annyira, hogy a két tükör párhuzamos legyen, és hogy ennél fogva beesési síkjaik összeessenek. Ekkor az R

nyaláb, mely két visszaverődést viselt el, a legnagyobb erősségű, de abban a mértékben gyengül, a melyben a két beesési sík közötti szög növekszik, és végre egészen kialszik, ha ez a szög 90° -ot ért el. Ezután ismét megjelenik, erősödik és 180° -nál, vagyis midőn a két beesési sík újra összeesik, visszanyeri maximális erősségét, hogy azután ismét gyengüljön és 270° -nál újra elenyészessék.

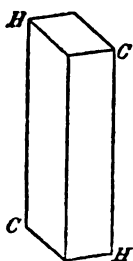
Világos, hogy az R visszavert nyaláb ugyanazokon a fázisokon menne át, ha akármi más módon sarkítanók is a T cső mentén terjedő nyalábot; az A tükör tehát elemzőként használható. Hogy vele a megvizsgálandó nyaláb sarkítása síkját meghatározzuk, próbálgatással oly fekvést adunk neki, melyben a legtöbb fényt veri vissza: ekkor a keresett sík a tükrökre merőleges vonal és a cső tengelyén átmenő sík.

276. A tükröknek, melyek eme kísérletekben nem lehetnek fémből valók (294), az a rossz oldaluk van, hogy a fényt jócskán meggyengítik, és hogy kezelésük kényelmetlen, különösen ha a sarkítás síkjának fekvését tetszés szerint kell változtatni.

Sokkal kényelmesebbek a mészpátkristályok; hogy azonban a rendes nyalábot a rendkívülitől elválasszák, igen nagyoknak kellene lenniök s ennél fogva elég költségesek volnának. Ez okból czélszerű a mészpátnak a **kettőstörő hasáb** alakját adni s ezután üveghasáb segítségével a lehető legjobban achromatizálni (176).

Ezen kívül még egyéb fogásokat is gondoltak ki, hogy mérsékelt nagyságú mészpáttal csak az egyik nyalábot, és ezt ne túlságos vékonyan nyerjük. Felemlítjük a Nicol-félét, mert ez a leghasználatosabb. **Nicol hasábjá**, vagy a mint egyszerűen mondani szoktuk, a **nicol**, akként készül, hogy mészpátból hosszúkas paralelepipedet (601. ábra) hasítanak, ezt a főmetsetre merőleges sík mentén ketté vágják, és két felét kanadabalzsam vékony rétegével összeragasztják. Mivel emez anyag

törésmutatója (170) a mészpát rendes és rendkívüli törésmutatója között fekszik, megeshetik, hogy alkalmas beesés esetében a rendes nyaláb, törékenyebb lévén, teljes visszaverődésben (59) részesül, ellenben a rendkívüli sugarak szabadon átmehetnek a balzsamon; ennél fogva a kristályt akként kell szétvágni, hogy ez a feltétel az alapokra csaknem merőleges sugarakra nézve telje-



601. ábra. Mészpát paralelepiped.



602. ábra. Nicol-hasáb.

sítve legyen. Ekkor valamely L sugár (602. ábra), mely az egyik alapra esik, a hasáb első felében ketté hasad; a rendes nyalábot a balzsam teljesen visszaveri és O -ban elnyeli a korom, melylyel az oldalfelületek be vannak vonva; ennél fogva csakis az E rendkívüli nyaláb megy át, mely az alapok hosszabbik átszögellője síkjában van sarkítva.

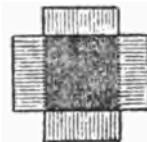
277. Mikor nem baj, ha a fény színessé válik, a **turmalin**hoz folyamodhatunk, melyből sokkal egyszerűbb, kényelmesebb és kevésbé költséges sarkítók, tehát elemzők is készíthetők. Barna vagy zöld turmalinból egy vagy két milliméter vastagságú és a *kristálytani tengelylyel* párhuzamos lemezt metsszünk; ennek az a tulajdonsága van, hogy a beeső természetes fényt főmetszetére merőlegesen sarkítja, és hogy rendkívüli

sugarakra nézve átlátszó, a rendesekre nézve pedig átlátszatlan.*

Ebből tehát következik, hogy két hasonló lemez egymásra téve áteresztí a fényt, midőn a tengelyek párhuzamosak (603. ábra), és visszatartja, midőn a tengelyek kereszteződnek (604. ábra). A *turmalin-csiptető*, melyet a mineralógusok oly



603. ábra. Fényáteresztés.



604. ábra. Fényvisszatartás.

sűrűn használnak, gyűrűkben forgatható két ilyen lemez rendszeréből áll; a gyűrűk könnyen nyíló csiptető végeire vannak erősítve.

278. Mielőtt az elméleti megfontolásokra térnénk, fontos, hogy FRESNEL-nek és ARAGO-nak a sarkított fény interferenciájára vonatkozó kísérleteit említsük fel, melyekből kétségtelenül kiderült, hogy egyazon síkban sarkított nyaláb egészen úgy interferál, mintha természetes fényből való volna, hogy azonban *egymásra merőleges síkokban sarkított két nyaláb sohasem árulja el az interferenciának még a legkisebb nyomát sem.*

279. És most állapotjunk meg egy kissé, hogy lássuk, hogy az eddigelé felhozott tünetényekből mit következtethetünk a sugárzó energiát alkotó hullámmozgás formájára nézve.

Mindenekelőtt a fénysarkítás, melynél fogva egy sugár-

* A turmalinról szólva, igen érdekes KIRCHHOFF kísérlete, melynek révén a sugárzó tehetség és az elnyelő tehetség közötti egyenlőségnek elve (236) új bizonyítékra talált. A hevített turmalin ugyanolyan sugarakat bocsát ki, mint a minőket elnyel; azaz a tengelylyel párhuzamos síkban sarkított sugarakat bocsát ki.

nyaláb a terjedésre merőleges irányokban különböző tulajdonságokról tanuskodik, arra késztet, hogy kizárjuk a hanghullámokhoz hasonló tisztán longitudinális hullámok lehetőségét, és fel kell tennünk, hogy az éter tranzverzális elmozdulásokban részesül.

Ezen kívül, támaszkodva arra a tényre, hogy két sugár nem interferál, ha egymásra merőlegesen van sarkítva (278), feltehetjük, hogy ezen elmozdulásokat nem kíséri a sugarakkal párhuzamos összetevő, mert ez mindenestre interferencia-csíkokat hozna létre. Arra vagyunk tehát utalva, hogy elfogadjuk Young felfogását, mely szerint az éter a fény terjedése közben a hullámfelületen időszakosan mozog.

A teljesen sarkított fényben a sugarakra mindig merőleges mozgásnak egyenes vonalúnak kell lennie és a sarkítás síkjával állandó szöget kell bezárnia; és szabatosan szólva, mivel minden tünemény szimmétrikus e síkra vonatkozólag: a mozgásnak vagy reája merőlegesen, vagy vele párhuzamosan kell végbemennie.

Úgy az egyik, mint a másik hipotézisnek meg voltak a maga hívei, és arra nézve, a mit mi tárgyalni kívánunk, egészen közömbös választást tehetünk; de mégis a másodikat, a FRESNEL-től származót fogjuk elfogadni, mert ha szigorúan bebizonyítottanak nem mondható is, sok körülmény kedvez neki. Felteszszük tehát, hogy *sarkított nyalábokban az éter tranzverzális és egyenes vonalú rezgései merőlegesek a sarkítás síkjára.*

Ezt előre bocsátva nyilvánvaló, hogy az egymásra merőlegesen sarkított nyalábok nem interferálhatnak (278), és meg van magyarázva, hogy intenzitásuk minden pontban, melybe odajutnak, összegeződik, mert egymásra merőleges két rezgő mozgásnak eredő mozgása soha sem lehet zérus, s matematikai úton is kimutatható, hogy az eredő mozgást a két összetevő mozgás eleven erejének összegével egyenlő eleven erő illeti meg.

280. A mészpátból tehát, ha természetes fény esik rá, két párhuzamos nyaláb lép ki, melyeknek hullámfelületén az éterrezgések egyenes vonalúak s egymásra merőlegesek; ha pedig a beeső nyaláb vastag és a mészpát lehetőleg vékony, a rendes nyaláb fedi a rendkívülit, s az egyiknek rezgései összetevődvn a másiknak rezgéseivel, az eredő hullámfelületen valamelyes rezgő mozgást fognak létesíteni. És ha az eredő nyaláb tulajdonságait tanulmányozzuk, azonosaknak fogjuk találni a mészpátba még be nem lépett természetes fény tulajdonságaival: ez az eljárás is arra a következtetésre vezet, hogy a természetes fényben, miként a sarkítottban, a rezgések tranzverzálisak.

De a természetes fényt alkotó tranzverzális rezgéseknek a hullámfelületet érintő minden irányban kell végbemenniök, mert mindig két egyenlő összetevőre bomlanak szét.

281. Tudjuk, hogy míg a rezgő mozgás súlyos anyagot nem tartalmazó térben, vagy miként mondani szoktuk, a szabad éterben terjed: minden irányban a rezgés tartamától független egyazon sebessége van, mely körülmény a közeg homogén és izotrop voltának feltevésére késztet.

Az átlagosan egyforma szerkezetű testekben, minők a lég-neműek, a folyadékok, a homogén és amorf szilárd testek, valamint szabályos rendszerbeli kristályok, a sebesség az illető testek szerint változik; függ ugyan a rezgésidőtől, miként a színszórásból kiderül, de minden irányban ugyanakkora. Ebből azt következtetjük, hogy az éter sűrűsége és rugalmassága (I, 282) szintén egyforma, de vagy az egyik, vagy a másik, vagy mind a kettő is, a különböző testek szerint változik; sőt a színszórás arra a feltevésre késztet, hogy a hullámmozgás terjedésében aktív részt vesznek a súlyos részecskék is (212). De mindezekben az esetekben a hullámfelületnek mindenképen gömbalakja van.

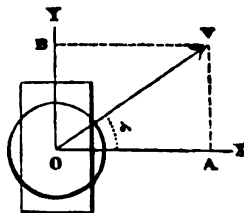
A hatszöges és négyszöges rendszerbeli kristályokra nézve,

melyeknek *orsószerű szerkezetük* van, azaz egyforma szerkezetűek a tengelyre merőleges minden irányban, de különböző szerkezetűek magának a tengelynek irányában, önként felmerül az a gondolat, hogy az éter egyenlőképen van elosztva a tengelyre merőleges minden síkban, és hogy az ezen síkokban bármily irányú elmozdulástól ébresztett rugalmasság mindig egyenlő, a reájuk merőleges irányú elmozdulástól ébresztett azonban különböző. Ha így áll a dolog, a tengelymenti terjedés sebességének függetlennek kell lennie a tranzverzális mozgások fekvésétől, és valóban, a rendes és rendkívüli sugarak nem válnak szét, valamennyi impulzus egyidejűleg érkezik valamely pontból a másikba. De minden más iránybeli terjedésnek meg kell zavartatnia a különböző rugalmasságtól, melyet a tranzverzális elmozdulások egymásra merőleges két irányban gerjesztenek: ezen irányok mentén szét fognak bomlani a tengelylyel párhuzamos és a tengelyre merőleges összetevőkre, és a két összetevőnek, a gerjesztett rugalmasság négyzetgyökere arányában (I, 282), különböző sebességgel kell terjednie. Valóban, az egytengelyű negatív kristályokban (265) a rendkívüli sugár megelőzi a rendest, vagyis a tengelylyel párhuzamos rezgésekre nézve a hullámfelület beburkolja a gömbalakút, a melyen a rezgések a tengelyre merőlegesek.

282. Egy mechanikai analógia révén határozottabb fogalmat nyerhetünk eme folyamatról. Képzeljünk két pálczát, egy kör-átmetszetűt és egy derékszögű négyszög-átmetszetűt, melyek egyik végükön egyazon egyenes mentén vannak összekapcsolva, és tegyük fel, hogy az elsőből a második felé tranzverzális hullámmozgás terjed. Az elsőben a tranzverzális elmozdulások fekvése egészen közönbös, s ez elmozdulások lehetnek nem egyazon síkban fekvők is; hogy azonban a másodikban történendőket meghatározhassuk, helyén való, hogy minden elmozdulást a négyszög oldalaival párhuzamos összetevőkre bontsuk szét; és mivel a hajlítással szemben való ellenállás a

hosszabbik oldal irányában nagyobb, ez az összetevő gyorsabban fog tovaterjedni, mint a másik, minél fogva a tranzverzális és egymásra merőleges hullámoknak két rendszere képződik. Ez az eset hasonló ahhoz, melyben a természetes fény egy nyalábja mészpátba hatolván, egymásra merőlegesen sarkított és különböző sebességgel terjedő két nyalábra szakad.

A hengeres pálca, ha a négyszög egyik oldalával párhuzamosan rezeg, megfelel annak az esetnek, melyben a sarkított fény a kristály főmetszetével párhuzamos vagy erre merőleges sarkítási sikkal esik a mészpátra s ennél fogva csak egy képet ad. Ha pedig a hengeres pálca egy síkban, de a négyszög két oldala közé eső irányban rezeg, ez megfelel azon esetnek, midőn a beeső fény sarkításának sikkja a mészpát főmetszetéhez ferdén hajlik. Változó hajlással változik a derékszögű pálczában az összetevők intenzitása is, és pedig ha OV (605. ábra) tünteti elő a tranzverzális v sebességet valamely adott pillanatban, összetevőit



605. ábra. Két pálca összekapcsolása.

$$OA = v \cos \alpha \quad \text{és} \quad OB = v \sin \alpha$$

tünteti elő. És ha I -vel jelöljük a v sebességnek megfelelő eleven erőt, az összetevőknek megfelelő eleven erők:

$$I \cos^2 \alpha \quad \text{és} \quad I \sin^2 \alpha.$$

Ha eme kifejezéseket összehasonlítjuk azokkal, melyek a sarkított fénynek a mészpáttól ketté hasított sugarának intenzitását fejezik ki (281), észre fogjuk venni, hogy mechanikai példánk MALUS törvényét követi s ennél fogva értelmezi is.

283. A sarkításnak ez az elmélete annyira tökéletes, hogy a belőle folyó összes következményeket a tények mindig megerősítik. A következőkben le fogjuk fogjuk belőle származtatni az úgy-

nevezett **színes v. chromatikus sarkítás** tüneményeit, melyeket ARAGO fedezett föl és FRESNEL teljesen megmagyarázott.

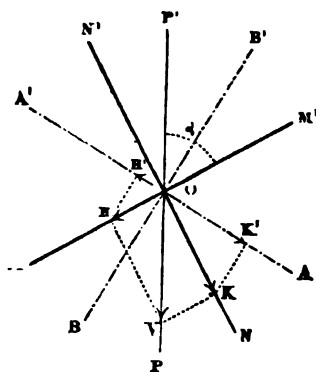
E tünemények ama pompás szinekből állanak, melyeket megfigyelhetünk, midőn sarkított napfényt kettőtörő vékony lemezen vezetünk át s azután elemzővel fogunk fel.

Először is tegyük fel, hogy a kettőtörő lemez egytengelyű kristályból a tengelylyel párhuzamosan van kimetszve és L -ben (606. ábra) a P sarkító nicol és az A elemző nicol közé párhuzamos sugarak nyalábjára merőlegesen van elhelyezve.

Ezután tüntessen elő a 607. ábra egy, a lemezzel párhuzamos síkot és ebben a síkban legyen PP' a sarkító nicol főmet-szete, mely nicolból a fény PP' irányban rezegve fog kilépni. Adott pillanatban OV tüntesse elő a rezgés sebességét a lemezbe való belépésekor, a melynek optikai tengelye legyen MM' . Az OV sebesség a lemezbe lépén, két egymásra merőleges össze-tevőre bomlik, és pedig OH az MM' -mel párhuzamos és OK



606. ábra. Chromatikus sarkítás.



607. ábra. Chromatikus sarkítás.

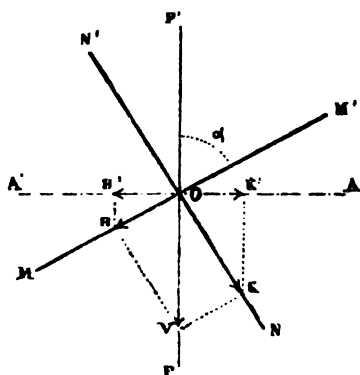
merőleges sebességre; ezek két rezgő mozgást létesítenek, melyek a kettőtörő lemezben különböző sebességgel fognak terjedni és ennél fogva bizonyos fáziskülönbséggel fognak kilépni; de nem interferálhatnak, mert egymásra merőlegesek.

E két mozgás az elemző nicolba érkezik, melynek főmet-szete AA' , és mindegyikük két részre bomlik: egy AA' mentén rezgőre, és egy másakra, mely a merőleges BB' irányban rezeg. AA' mentén tehát az interferenciára képes két rezgés tevődik össze, és az eredő rezgő mozgás mint rendkívüli nyaláb egyedül

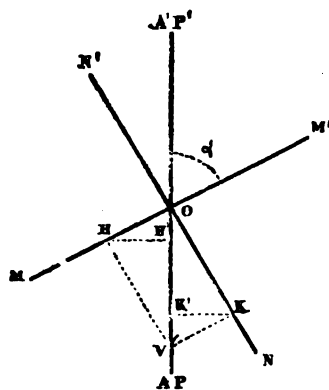
fog az elemző nicolból kilépni, mert a másikat, melynek összetevői BB' mentén rezegnek, a kanadabalzsam oldalvást téríti.

284. Egyszínű fény használatát feltételezve tekintsük a különböző eseteket.

1. Ha a két nicol keresztesződik (608. ábra), a lemez nélkül semmi fényt sem eresztenek át. Ha olyan lemezt teszünk közbe, mely az egyik mozgást a másikkal szemben egy egész hullámhosszal késlelteti meg, a két sebesség a kilépéskor ugyanabban az $OH:OK$ viszonyban fog lenni, a melyben a belépéskor volt, és ennél fogva az AA' irányban való OH' és OK' összetevőik mindig egyenlők és ellenkezőek fognak lenni, minél fogva a mező sötét marad.



608. ábra. Keresztesződő nicol.



609. ábra. Párhuzamos főmetszet.

Ha azonban a lemez vastagsága félhullámhosszynyi késlelmet létesít, a két mozgás ellenkező fázissal lép ki a lemezről, vagyis míg az egyiknek sebessége OH , a másiké KO , és eme sebességeknek AA' mentén való összetevői egyenlők és összevágók. Ha tehát ilyen lemezt teszünk közbe, a fénynek ismét elő kell tünnie, ha csak a lemez MM' tengelye nem párhuzamos a PP' főmetszettel vagy erre nem

merőleges; és ha a lemezt saját síkjában forgatjuk, a fény intenzitása zérusról bizonyos maximumra fog emelkedni, míg eme két sík α szöge 0° -ról 45° -ra vagy szintén 90° -ról 45° -ra megy át.

Ha a lemez vastagsága eme két vastagság közé esik, a fény ugyanazon változásoknak van alávetve, de kevésbé intenzív fog lenni.

2. A két nicolnak PP' és AA' főmetszete (609. ábra) legyen egymással párhuzamos, a második tehát ereszsze át az elsőől kapott egész fényt. A megelőzőkhöz hasonló megfontolások révén könnyű levezetni, hogy az olyan lemez, mely egy egész hullámhossznyi útkülönbséget létesít, bárminő legyen is a fekvése, a fényt nem szakítja meg, és hogy egy félhullámhosszt létesítő lemez átereszti az egész fényt, midőn MM' tengelye és a PP' főmetszet közötti α szög zérus vagy 90° , és visszatartja, midőn $\alpha = 45^\circ$.

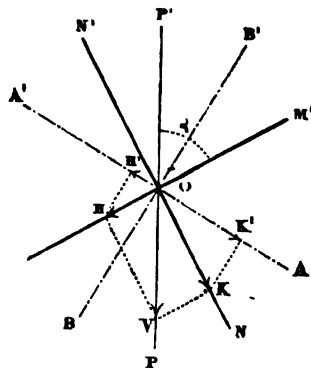
Egészben véve a jelen esetben a rendszertől átbocsátott fény épen kiegészítője a megelőző esetben átbocsátottnak, úgy, hogy a két esetben átbocsátott intenzitások összege α -nak egy adott értékére nézve egyenlő a lemezre eső intenzitással.

3. Ha a két nicol közé nem sík lapú lemezt, hanem egy kettőstörő testből való síkhomorú lencsét helyezünk, mely akként van csiszolva, hogy optikai tengelye merőleges legyen a kristály tengelyére, váltakozva világos és sötét gyűrűket fogunk megfigyelni, melyek megfelelnek a különböző lemez-vastagságoknak, melyek egész számú hullámhosszakkal vagy páratlan számú félhullámhosszakkal járnak, és ezek a gyűrűk mindenben hasonlóak a NEWTON-félékhez (197). Keresztezett nicolokkal a tűnemény megfelel a visszavert fényben látott gyűrűknek, párhuzamosakkal pedig az áteresztett fényben látottaknak.

4. Eme síkhomorú lencse MM' kristálytani tengelye (610. ábra) és a sarkító PP' főmetszete közötti α szög állandóan 45° legyen. Ha ekkor az elemzőt forgatjuk, a gyűrűk a legfényesebbekké válnak mindannyiszor, midőn az AA' és PP' főmet-

szetek párhuzamosak vagy merőlegesek; és egyenletes világítást hagyva eltűnnek, midőn a főmetszet a kettőstörő lemez MM' és NN' rezgéssíkjainak egyike fölött megy át.

5. Megváltoztatván az egyszínű fényt, megváltozik a terjedésnek lemezben való két sebessége is, és ennél fogva egészen mások a vastagságok, melyek egy adott fáziskülönbséget idéznek elő; innét könnyű előre látni, hogy mi fog történni, ha az egyszínű fény helyett összetett nappali fényt használunk. Egy kettőstörő lemez színesnek fog látszani azért, mert egyes sugarak különböző esetekben interferencia révén eltűnnek, s azok szerint, miket a 2. esetet tárgyalva mondtunk, azok a színek, melyeket adott lemezzel és kristálytani tengelyének adott állásában keresztezett nicolokkal figyelünk meg, mindig kiegészítői a párhuzamos nicolokkal látott színeknek.



610. ábra. Állandó szög esete.

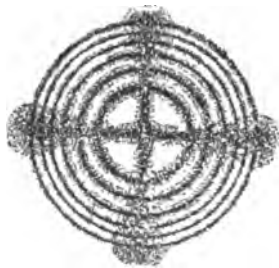
Világos tehát, hogy ha elemzőnek nicol helyett mészpát-hasábot használunk, a beeső nyaláb keresztmetszetéhez képest két külön vagy egymást részben elfödő képet nyerünk. A két kép kiegészítő lévén, a mezőnek az a része, melyben egymást elfedik, fehérnek fog látszani.

6. Nem egyenletes vastagságú lemez különböző pontjaiban más meg más színeket fog mutatni, úgy, hogy ha egy kettőstörő lemezt bizonyos előre kitűzött helyeken mesterségesen kivékonnyitunk, természetes fényben láthatatlan virágok rajzait szerkeszthetjük meg, melyek azonban sarkító és elemző közé téve a legélénkebb színeket veszik fel. Könnyű hasíthatósága miatt e szép kísérletre legalkalmasabb a kristályos gipsz, mely nem egytengelyű ugyan, de azért szintén szétbontja (266) a rezgő moz-

gásokat egymásra merőleges két összetevőre és van egy, a hasadási síkokra merőleges síkja, mely egészen úgy viseli magát, mint az egytengelyű kristályok főmetszete.

285. Mindezek a tünetények előadásokban vetithetők, ha a sarkító nicol helyett a napállító tükrét használjuk, melynek e célból fekete üvegből kell lennie, hogy a déli órákban a fényt eléggé sarkítsa (272). A nyalábot egy vagy két lencsével összefogjuk és az elemző nicolt a rendszer gyújtósíkjában helyezzük el, a kettőstörő lemezt pedig igen közel tesszük a nicol azon lapja elé, melyre a fény beesik. A kilépő fényt némi távolságban elhelyezett fehér ernyőn fogjuk fel. Ez a berendezés igen jól használható a mindjárt leírandó tünetények vetítésére is.

286. Ha a fény valamely egytengelyű kristálynak a tengelyre merőleges lemezére merőlegesen esik, egyazon sebességgel terjed tovább, bármilyen legyen is a rezgések iránya (281), és ennél fogva a lemez semmi látható hatást sem létesít, midőn egy sarkító és elemző közé van téve és a tengelyével párhuzamos sugarak terjednek benne. De ha a reája eső fény



611. ábra. Sötét kereszt.



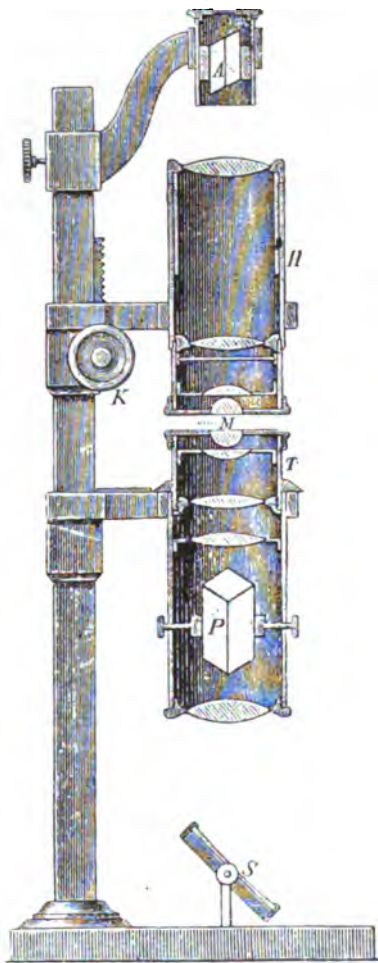
612. ábra. Világos kereszt.

összehajló nyalábot alkot, sötét keresztől átmetszettgyűrűk rendszere (611. ábra) tűnik elő, ha a sarkító és az elemző főmetszete kereszteződik, és a kiegészítő rendszert (612. ábra látjuk, ha a főmetszetek párhuzamosak. Nappali fehér fényben a gyűrűk, mi-

ként a NEWTON-félék, szivárványszínűek, de a kereszt fekete az egyik esetben (III. Tábla, 1) és fehér a másokban (III. Tábla, 2).

E tűnemény megfigyelésének legegyszerűbb módja abban

áll, hogy a kettőstörő lemezt a turmalin-csiptetőbe (277) szorítjuk s közvetlenül szemünk elé tartjuk, csak hogy a turmalin maga is színes lévén, a színek módosulást szenvednek. Ezenkívül figyelembe veendő még, hogy a gyűrűk annál szélesebbek, mentül vékonyabb a lemez és mentül kisebb a rendes és rendkívüli törésmutatója közötti különbség, minélfogva ajég, az apofillit, a nikkelszulfát stb. vékony lemezei oly nagy gyűrűket adnak, hogy a szem át nem tekintheti, ha turmalin-csiptetőt használunk. Ily esetben jó szolgálatot tesz a NÖRREMBERG-féle sarkító készülék, melyet LANG mintája szerint a 613. ábra tüntet elő. Az Stükörről visszavert sugarak egy lencsén át a *P* sarkító nicolra esnek, s négy más lencsén át, melyek közül az utolsó félgömb, az *M* kettőstörő lemezre hajolnak össze. In-



613. ábra. Nörreberg-féle sarkító készülék

nét nagyon széthajolva lépnének ki, de a felső *H* dioptrikai rendszer enyhe összehajlásra téríti őket, a melylyel

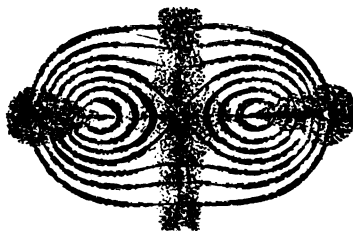
az *A* elemző nicolon mennek át, mielőtt a szembe jutnának.

287. Hogy a színes gyűrűkről és az őket átmetsző kereszt-ről számot adjunk, előrebocsátjuk, hogy a kristálytani tengelyre merőleges lemezt fénykúp járja át s ennél fogva különböző hajlású sugarak mennek rajta keresztül. Abban a mértékben, melyben a beeső sugár hajlása növekszik, növekszik a fáziskülönbség is, melylyel a rendes és a rendkívüli sugár kilép, és pedig növekszik két oknál fogva: először mert nagyobb a terjedési sebességeknek különbsége, másodszor, mert hosszabb úton járnak át a kettőstörő anyagot. Azokban a pontokban, hol az egyik sugár fázisa a másikat páratlan számú félhullámhosszakkal előzi meg, sötétség keletkezik; és ellenkezőleg, hol a fáziskülönbség a hullámhossz egész számú többsége, legnagyobb fényerősség van. Ezt tekintve tehát a tűnemény feltételei hasonlóak a kristálytani tengelylyel párhuzamos síkhomorú lencse tűneményeihez, melyeket a **284.** pontban (3.) alatt tárgyaltunk, mely módon a gyűrűk keletkezését nem nehéz megérteni.

A mi pedig az őket átmetsző keresztet illeti, tekintsük azt az esetet, melyben a két turmalin egymásra merőleges, és gondoljuk meg, hogy azok a beeső sugarak, melyek vagy a sarkítónak, vagy az elemzőnek főmetszetében fekszenek, a kristályban olyan sugarakat hoznak létre, melyeknek rezgései eme síkok egyikéhez vagy másikához párhuzamosak; és ennél fogva, ha az egyik turmalin át is eresztí öket, a másik szükségképen visszatartja. Következésképpen a fény ezen a két merőleges síkon nem mehet át és fekete keresztet fogunk látni.

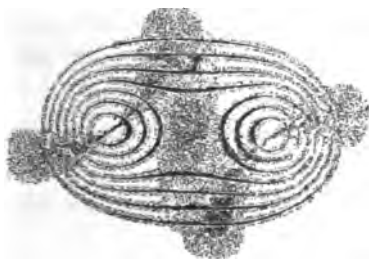
288. A kéttengelyű kristályok, melyek a tengelyeiktől bezárt hegyes szög felező vonalára merőlegesen vannak kismetszve és a keresztezett turmalinok közé vannak téve, mind-egyik tengely körül bizonyos számú világos és sötét oválist tüntetnek elő, melyek kiszélesedve, végre a nyolczas alakját

veszik fel s ezután hosszúdad görbéké fajulnak el, melyek mind a két tengelyt körül fogják; a görbéknek ezt a rendszerét sötét seprők metszik át. Midőn a két tengely síkja összeesik a turmalinok egyikének főmetszetével, e seprők keresztet alkotnak,

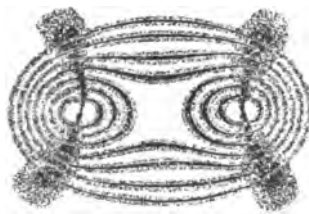


614. ábra. Seprők alkotta kereszt.

miként a 614. ábra (III. Tábla, 3) mutatja. Ha a lemezt saját síkjában forgatjuk, a gyűrűk is forognak, de alakjukat nem változtatják, a seprők azonban a tengelyeken átmenő két hiperbola-ággá alakulnak át. A 615. ábra a seprőket abban az esetben mutatja,



615. ábra. Kevéssel kimozdított seprő.



616. ábra. Jobban elmozdított seprők.

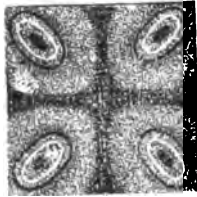
midőn a lemezt első állásából igen kevésbé kimozdítjuk, a 616. ábra pedig abban az esetben, midőn a két tengely síkja 45° alatt van a turmalinok főmetszeteire (III. Tábla, 4).

Ha a turmalinok nem kereszteződnek, hanem párhuzamosak, a seprők világosakká válnak és a gyűrűk az előbbeni színek kiegészítő színeit veszik fel.

Ezen alakok ugyanazon alapelvekkel magyarázhatók, melyeket az egytengelyű kristályokra alkalmazhatunk, de részletes tárgyalásuk sokkal bonyolódottabb, semhogy itt előterjeszthetnők.

289. Mindazonáltal nem hallgathatjuk el, hogy a rendszerint egyszerűen törő anyagok kettóstörőekké válhatnak, ha szerkezetük bármely oknál fogva megváltozik.

Csavaros csiptetővel összeszorított üveg két keresztezett nicol mezejét világossá teszi, úgyszintén egy üvegléc is, melyet hajlítunk vagy megrezdítünk. A szívós folyadékok is, mint például a kanada-balzsam, sötét nicolok között keverve, világosságot idéznek elő. Az üveg kettóstörővé válhatik, ha némileg magas



617. ábra. Üvegkoczkaképe.

hőfokra hevítjük s ezután hirtelen lehűtjük. Így például a 617. ábra azt a képet tárja elénk, melyet egy hirtelen hűtött üvegkoczká mutat, ha keresztezett nicolok közé akként helyezzük, hogy lapjai párhuzamosak legyenek a nicolok főmetaszeteivel.

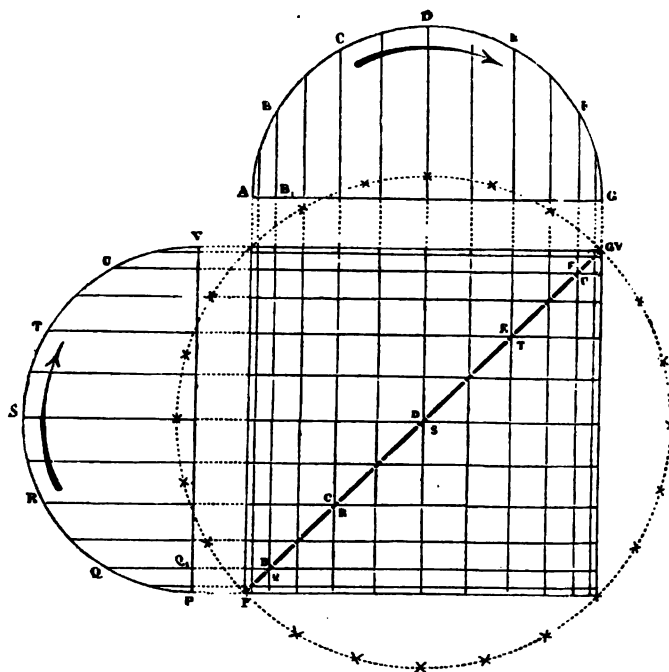
Az elektromozgás is gerjeszthet kettóstörést a rendszerint izotrop szilárd testekben és folyadékokban.

Mindezek a tények igen fontosak, mert arról tanuskodnak, hogy a fényt terjesztő éter a különböző testekben sűrűségét vagy rugalmasságát változtatja, ha a súlyos anyag szerkezete bármilyen módon megváltozik.

290. A természetes fényen kívül és azon a sarkított fényen kívül, melynek tulajdonságaival eleddig megismerkedtünk, vannak a fénynek még olyan nemei is, melyek oda utalnak, hogy az éter tranzverzális rezgései elipszismmentiek vagy körmentiek, és ennél fogva a sarkításnak különböző nemeit különböztethetjük meg: egyenes vonalú sarkítást, melyet mostanáig tanulmányoztunk, elipszisben való sarkítást és körben való sarkítást.

Az a monochromatikus fény, mely a **284.** pontbeli kísér-

letekben a sarkító nicolon s ezután a tengelylyel párhuzamos kettőstörő lemezen ment át, csak abban az egy esetben van egyenes vonalban sarkítva, midőn a lemez tengelye a nicol főmetszetével párhuzamos vagy erre merőleges; és valóban, ha a fényt elemezzük, ez esetben a két maximális intenzitást és a teljes sötétségnek két azimutját az elemzőnek egy egész forduló-

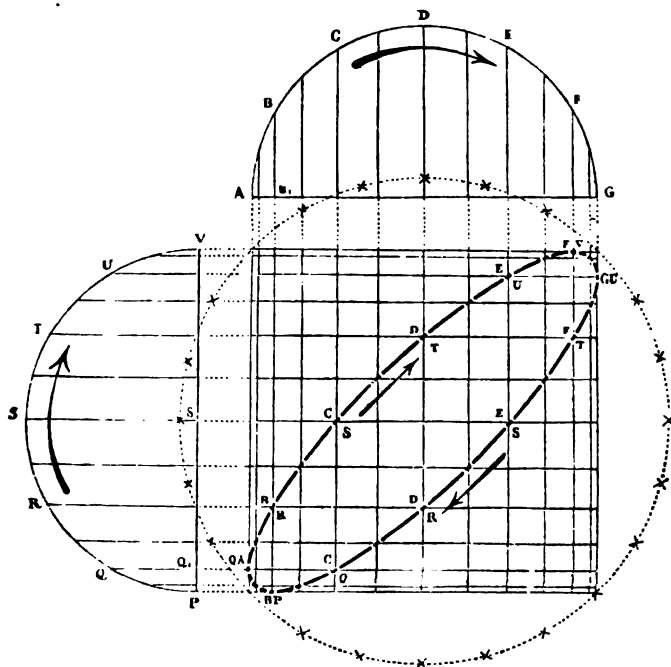


618. ábra. Egyenes vonalú sarkítás.

lata révén nyerjük. De a többi esetben a lemezből kilépő fény elipszisben vagy körben van sarkítva.

A dolog magyarázatára az a feltevés van elfogadva, hogy minden monochromatikus fény egyszerű rezgő mozgásnak (I, 24) tulajdonítandó (189). Mi pedig első sorban felteszszük, hogy a kristálylemezből kilépő két egymásra merőleges rezgésnek egyazon távassága van, s hogy az egyik az AG irányban

(618. ábra), a másik pedig a PV irányban megy végbe, úgy, hogy például az elsőt akként nyerjük, hogy egy pontot képzelünk, mely az $ABC \dots$ körön egyenletesen kering és e pontból az AG átmérőre merőlegeseket emelünk. A kör az ábrában 24 egyenlő részre van osztva, és így a minden huszonnegyed-rez-gés végén elfoglalt helyzeteket e merőlegesek talppontja határozza meg.

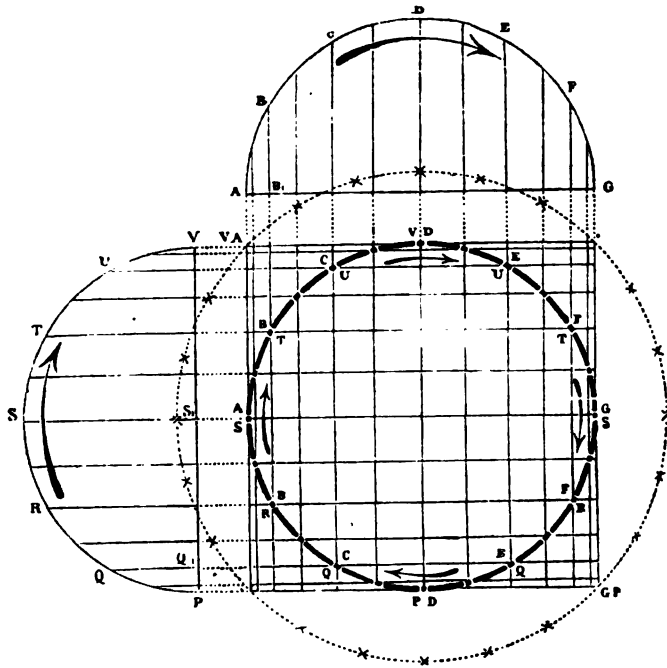


619. ábra. Ellipzisszerű sarkítás.

1. Ha a lémez átfutásakor a mozgások egyike a másikat egész számú rezgésekkel előzi meg (284, (1)), kilépéskor mind a kettő ugyanazon fázisban van, melyben belépéskor volt; míg tehát az egyik az étért A -ból B_1 -be mozdítaná, addig a másik P -ből Q_1 -be mozdítaná, együttesen hatva pedig a kicsiny mozgások összetételének elvénél fogva azon négyzet $[AP, GV]$ át-

szögellője mentén fogják elmozdítani, melyet a két összetevő mozgás tágasságát előtűntető átmérőkkel szerkesztünk. Ily esetben az összetevőkből egyszerű egyenes vonalú rezgő mozgás származik, melynek ugyanaz a tartama van, de a melynek tágasságát eme négyzet átszögellője adja.

2. Ha azonban a lemez olyan vastag, hogy a belőle kilépő, AG -vel párhuzamos mozgás a PV -vel párhuzamoshoz képest



620. ábra. Körös sarkítás.

$\frac{1}{12}$ rezgésnyi késedelembe van, az eredő mozgás ellipszismenti fog lenni, miként világosan kitűnik, ha a 619. ábrában előtűntetett szerkesztést követjük.

3. [Ha a fázis-különbség még nagyobb, az ellipszis szélesebbé válik, míg végre egy negyed-rezgésnyi különbségre, vagyis arra az esetre, hogy az első mozgás a másodikhoz képest

egy negyed-hullámot késik, az eredő mozgás körmentivé válik és az óramutatók mozgásának irányában megy végbe, miként a 620. ábrán látni. Ha azután a fáziskülönbség még inkább nő, a kör ellipszissé alakul át, melynek nagytengelye a $[VA, GP]$ átszögellőre esik; és ez az ellipszis folytonosan keskenyebbé válva, $\frac{1}{2} \lambda$ különbségre ebbe az átszögellőbe magába megy át. Még tovább növekedő fáziskülönbségre az egyenes újra kinyílik és ellipszisbe megy át, melyet azonban az eredő mozgás az óramutatók járásával ellenkezőleg fut be; és a mozgás újra körmentivé, de ellenkező járásúvá válik, midőn az AG összetevő $\frac{3}{4} \lambda$ -val késik PV -hez képest, úgy, hogy az első mozgás épen akkor indul ki A -ból G felé, midőn a második S_1 -ből P felé kezd leszállani.

291. Hogy tehát körös sarkítás keletkezzék, kell, hogy a kettőtörő lemez $\frac{1}{4} \lambda$, vagy szintén $\frac{3}{4} \lambda$, vagy általában a negyedhullámhossz páratlan többszörösével egyenlő különbséget létesítsen. És világos, hogy a lemez vastagságának a különböző monochromatikus fényre nézve más meg másnak kell lennie. Rendszerint azonban 0,0032 cm vastagságú csillámlemezt használunk, mely a napszínkép legintenzívebb sugaraire nézve illetően különbséget létesít. Ezt **negyedhullámos csillámnak** nevezzük, és két üveglemez közé zárva parafakorongba illesztjük, a melyen egy nyíl a kristálytani tengely irányát jelöli meg. Igaz ugyan, hogy a vörös sugarakra nézve a különbség valamennyivel nagyobb, az ibolyaszínűekre pedig kisebb, úgy, hogy a fehér fényt ezzel az eszközzel nem lehet teljesen körben sarkítani, de elegendő arra, hogy vele kellő megközelítéssel megmutassuk a **körben sarkított fény tulajdonságait**.

A csillám tengelyét 45° alatt állítjuk be a sarkító főtetszetére, és a mondottak szerint (290, (3)) az ebből a rendszerből kilépő fény körben sarkított fog lenni. Valóban, bárminő legyen is az elemző nicol fekvése, nem fogunk semmi intenzitásbeli különbséget észrevenni, mintha csak természetes fényvel volna

dolgunk. De azért ettől mégis feltűnően megkülönböztethető, mert ha az elemző elé egy második negyedhullámos csillámot az elsővel párhuzamosan teszünk, úgy, hogy a két késedelem összegeződés révén egy félhullámhosszra rüg: a rezgések egyenes vonalúakká válnak, és ha az elemző nicolt forgatjuk, a két csillámból kilépő fényben az egyenes vonalú sarkítás minden tulajdonságát felismerjük.

Ha ellenben természetes fényt vezetünk át egy a tengelyvel párhuzamos lemezen, jól tudjuk, hogy a sarkításnak semmi nyomát sem figyelhetjük meg.

292. Az ellipszisben sarkított fény tulajdonságai első látszatra megegyeznek a részben sarkított fény (272) tulajdonságaival, mert az elemző egy fordulatára az intenzitás két maximumát és két minimumát figyeljük meg a nélkül, hogy valamikor teljes sötétség következne be.

De azért itt is nagy a különbség, miként ezt sokféle módon kimutathatjuk, melyek közül a legkönnyebben megérthetőt fogjuk előterjeszteni. Ha az elemző elé egy negyedhullámos csillámot oly módon teszünk, hogy tengelye 45° -ot zárjon be azzal az azimuttal, melynek a maximális intenzitás felel meg, világos, hogy a midőn részben sarkított fényvel van dolgunk, az egyenes vonalban sarkított rész körben sarkított fényt fog nemzeni, mely a maradék természetes fényvel keverődve, semmi nevezetes azimutot sem fog mutatni, és bármiként forgatjuk is az elemzőt, többé semmiféle intenzitás-változást sem fogunk megfigyelni. Ha ellenben ellipszisben sarkított fényvel van dolgunk, a csillám nem fog egyéb hatást előidézni, mint hogy az ellipszis alakját és fekvését megváltoztatja, és ennél fogva az elemzőnek mindig olyan két helyzete fog lenni, mely két maximális intenzitásnak felel meg.

Nem terjeszkedhetünk itt ki a különböző módszerekre, melyek segítségével kimutatható, vajjon az ellipszisminti mozgás jobbra vagy balra járó-e, és hogy mekkora az ellipszis két

tengelyének viszonya: elég ha tudjuk, hogy ez a meghatározás is lehetséges. Inkább szabatosabban fogjuk kifejezni a **természetes fény szerkezetére** vonatkozó felfogásunkat (280).

A természetes fény, mely vékony mészpátlemezen megy át, úgy, hogy a rendes sugarak a rendkívüliekkel keverődve maradnak, kilépéskor mindazokkal a tulajdonságokkal rendelkeznek, melyekkel belépéskor fel volt ruházva; mondhatjuk tehát, hogy természetes fény marad. Másrészt tudjuk, hogy bármilyen időszakos mozgás a mészpátban két egyenes vonalú, egymásra merőleges rezgő mozgásra bomlik fel és ezek a kilépés alkalmával újra összetevődvén, az eredő hullám felületén általában véve ellipszisminti mozgást fognak nemzeni, ide számítva a körnek és az egyenesnek két szélső esetét is; és az ellipszis, legalább midőn a két összetevő mozgás nem marad meg változatlanul egyazon fázisban, lassanként minden lehető alakot felvesz (220). FIZEAU kísérleteiből (199) kiderült ugyan, hogy valamely fényforrás igen szabályosan vihet végbe több ezernyi egymásra következő rezgést, de nem hihető, hogy néhányszori fázisváltozás nélkül végbeviessen mintegy ötven billiónyi, hogy kiteljék az a tizedmásodperc, a melyre a képeknek retinánkon szükségök van.

Ily módon arra jutunk, hogy a természetes fényt tranzverzális mozgásokból állónak képzeljük el, mely mozgásoknak ellipszis-pályájuk van, mely minden lehető módon, másodpercenként számtalanszor, szabálytalanul változik.

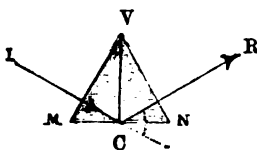
293. Ellenben az ellipszisben sarkított fényre nézve fel kell tennünk, hogy az éterrészecskék a hullámfelületen nagyság és fekvés szerint meghatározott ellipsziseket futnak be, melyek egymással mind egyenlők s egyazon időben iratnak le.

Most a teljes visszaverődéssel (59) előidézett ellipszises sarkításról fogunk szólni, és bevezetőül ismételve fel-
említjük, hogy a természetes fény levegőből üvegre vagy vízre érkezvén, egy visszavert és egy megtört nyalábra oszlik, mely

nyalábokban egyenlő mennyiségű sarkított fény van, de az elsőben a rezgések merőlegesek a beesés síkjára, míg a másodikra nézve e síkban benne fekszenek (274).

Midőn a megtört nyaláb nem jön létre, FRESNEL azt a megfigyelést tette, hogy a természetes fény, az első közegtől teljesen visszaveretvén, nincsen sarkítva. Később fölfedezte, hogy ha a beeső fény már egyenes vonalban van sarkítva, teljes visszaverődés révén általában véve ellipszisben sarkított fénynyé válik.

Ezt az átalakulást a következőképen magyarázta. Az IC beeső sugár (621. ábra), mely egyenesben van sarkítva, C -be a határszögnél (58) nagyobb szög alatt érkezvén, egymásra merőlegesen sarkított két részre bomlik, a melyek visszaverődés révén fázisváltozásban részesülnek, mely különböző a szerint, a



621. ábra. Fresnel magyarázata.

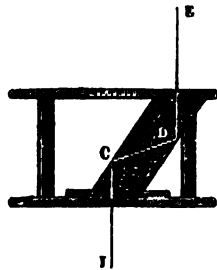
mint az ICR visszaverődési síkra merőlegesen vagy vele párhuzamosan rezegnek. Eme két rész összetevődvén, az ellipszisben sarkított CR sugár létesül; a két rész intenzitásának viszonya a visszaverődés VCR síkjától és a beeső IC sugár sarkításának síkjától bezárt α szögtől függ. Az $\alpha = 45^\circ$ azimutra nézve a két rész egyenlő.

Fáziskülönbségük az anyagtól és az ICV beesési szögtől függ. Egy bizonyos fajtájú saint-gobain-i üvegre nézve FRESNEL azt találta, hogy a különbség legnagyobb, midőn a beesés szöge $50^\circ 30'$, mely esetben $1/8$ hullámhosszra rúg.

E szerint az egyenes vonalban sarkított fénynek, ha ezen szög alatt egymásután két teljes visszaverődés éri és ha az azimut $\alpha = 45^\circ$, körben sarkított fénynyé kell átalakulnia.

A Fresnel-féle paralelepipeddel, melyet átmetszetben a

622. ábra tüntet elő, tényleg létrehozhatjuk a körös sarkítást, bármekkora legyen is a beeső fény hullámhossza; ez oknál fogva ez az eszköz tökéletesebb a negyedhullámos csillámnál (291). Az IC beeső sugárnak, mely merőlegesen esik a parallelepiped alapjára, az $ICDE$ síkra 45° alatt hajló síkban kell sarkítva lennie, és ekkor minden visszaverődéskor merőleges összetevőinek ugyanaz az intenzitása fog lenni és az egyik a másikat



622. ábra. Fresnel-féle parallelepiped.

$\frac{1}{8}\lambda$ -val előzi meg, úgy, hogy a DE kilépő körben lesz sarkított, miről az ismert módokon győződhetünk meg, vagy pedig oly módon, hogy a parallelepipedre egy másik, vele azonosat és egyenlő fekvésűt helyezünk, a mikor is négy visszaverődés révén a fáziskülönbség $\frac{4}{8}\lambda = \frac{1}{2}\lambda$, és a kilépő fény egyenes vonalban sarkított.

294. A fémes visszaverődés egy másik módja az ellipszisben való sarkítás előidézésének, mert itt is, adott azimutban egyenes vonalban sarkított beeső fényre nézve, a visszavert fénynek két összetevője, mely egymásra merőleges síkokban van sarkítva, fáziskülönbséget tüntet elő.

Az eredő ellipszis alakja és fekvése ezen különbségtől, úgy szintén ezen összetevők intenzitásának viszonyától függ.

Ha az α azimutot, vagyis a sarkítás síkja és a beesés síkja közötti szöveget változatlanul megtartjuk, és a sugárnak a fémi felülethez való hajlását változtatjuk, a visszavert nyalábot pedig nicollal elemezzük, azt találjuk, hogy sarkítása kisebb-nagyobb mértékben közeledik az egyenes vonalúhoz vagy a körben valóhoz; megállapodás szerint a *főbeesési szög*nek azt az I beesési szöveget nevezzük, melyre nézve a visszavert sugár, átmenvén az elemzőn, a legcsekélyebb intenzitásbeli változásoknak van alávetve, vagyis körben sarkított sugarakhoz a leghasonlóbb. Mivel továbbá a főbeesésre nézve a fáziskülönbség

$\frac{1}{4}\lambda$, a sarkítás egészen pontosan körössé válik, midőn a két összetevő intenzitása egyenlő. A valóságban ez nem következik be 45° -ú, hanem valamely, a különböző fémek szerint változó A azimutnál.

Körös sarkítás fémes visszaverődés révén.

Fém	Függőleges I	Azimut A
Higany --- --- --- ---	78°	26°
Aczél --- --- --- ---	75	17
Ezüst --- --- --- ---	73	40
Tükörötvény --- ---	76	21

295. A **265.** pontban a kvarczot az egytengelyű pozitív kristályok közé soroztuk; és valóban, a rendes sugarak hullámfelülete gömb, mely érintés nélkül magába zárja a rendkívüli sugarak hullámfelületét, mely hosszúdad forgási ellipszoid. De itt megjegyezzük, hogy a rendes és a rendkívüli sugarak sarkítása a kvarcz belsejében nem egyenes vonalú, kivéve azt az esetet, midőn a tengelyre merőlegesen terjednek; minden más irányban a két fénysugár ellenkező forgású ellipszisekben sarkított, és midőn a terjedés iránya a tengely, körben sarkított.

A kérdést egész általánosságban nem tárgyalhatjuk ugyan, de figyelembe fogjuk venni azokat az igen fontos tüneteményeket, melyeket a kvarcz tár elénk, midőn tengelyével párhuzamos nyaláb járja át, és melyeket FRESNEL épen azzal a feltevessel magyarázott, hogy a kvarczban a tengely mentén két ellenkező forgású körös sarkítású sugár különböző sebességgel terjed.

E tünetemények **forgató sarkításnak** neveztetnek.

Nicolból kilépő, tehát egyenes vonalban sarkított egyszerű fényt egy második nicollal fogunk fel, s ezt úgy állítjuk, hogy a sugarat kioltsa; ezután a keresztezett nicolok közé néhány milliméter vastagságú kvarczlemezt teszünk, melynek lapjai merőlegesek a tengelyre. A fény előtünik, de újra kioltható, ha az elemző nicolt bizonyos szöggel forgatjuk. A kvarczból kilépő

fény tehát sarkított marad, de sarkításának síkja bizonyos szöggel elfordult. Némely kvarczkristályra nézve a mező akkor válik újra sötétté, ha az elemzőt az óramutató irányában forgatjuk, és ezeket a kristályokat *jobbra forgatóknak* nevezzük; másokra nézve a forgatás ellenkező: ezeket *balra forgatóknak* mondjuk.

A szög, melylyel a sarkítás síkja elfordul, arányos a kvarczlemez vastagságával, és két ellenkező forgatású kvarczra nézve abszolút érték szerint ugyanakkora, úgy, hogy ha a keresztezett nicolok közé két egyenlő vastagságú lemezt, egy jobbra forgatót és egy balra forgatót teszünk, a mező sötét marad.

296. A sarkítás síkjának forgása a különböző sugarakra nézve a vöröstől az ibolyaszín felé növekszik; a következő táblázatban a különböző FRAUNHOFER-vonalaknak megfelelő sugarakra nézve össze vannak állítva azok a forgatások, melyeket 1 mm vastagságú kvarczlemez létesít.

Sugarak	Forgatások BROCH szerint	θ°
	θ	
B	15° 18'	7221
C	17° 15'	7420
D	21° 40'	7519
E	27° 28'	7626
F	32° 30'	7680
G	42° 12'	7828

BÍOR azt a törvényt állította fel, hogy a forgatások fordított viszonyban vannak a hullámhossz négyzetével, de a táblázat utolsó oszlopában levő számok, melyek e két mennyiség szorzományaival arányosak, azt mutatják, hogy a törvény csak megközelítő.

Ha monochromatikus fény helyett a sarkító nicolra fehér fényt bocsátunk, a különböző egyszerű színek sarkításának síkjai a kvarczon át más meg más elfordulásban részesülnek; ha tehát a kilépő nyalábot egy második nicol segítségével vizsgáljuk, ez minden állásában egy-egy színt kiolt, a többi pedig kisebb-

nagyobb intenzitással keresztül megy, minélfogva a kvarcz színesnek fog látszani, és szint változtat, ha az elemző nicolt forgatjuk.

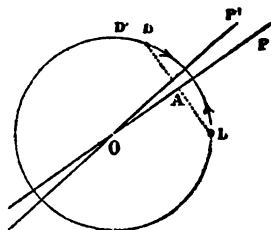
A legjobb eszköz annak kipróbálására, hogy mely sugarak nincsenek meg a kilépő fényben, a spektroszkóp: a szinképben egy sötét nyalábot fogunk látni, mely az elemző nicol forgatásakor fokozatosan elmozdul.

Ha eme nicol helyett achromatikus kettőtörő hasábot (276) használunk, kiegészítő színű két képet kapunk, mert minden egyszerű fényű nyalábnak az a része, mely a rendes képben hiányzik, szükségképen megvan a rendkívüli képben.

297. Mondottuk, hogy a kvarcz magaviselete azon feltevés-sel magyarázható, hogy a tengely mentén két ellenkező körös sugar különböző sebességgel terjed. Tudjuk ugyanis (290, (3)), hogy a körben való sarkítás két, $\frac{1}{4}\lambda$ fáziskülönbségű egyenes vonalú sarkítás eredőjének tekinthető, most pedig meg fogjuk mutatni, hogy az egyenes vonalú sarkítás két ellenkező körös sarkításból összetettnek is gondolható.

Legyen D és L (623. ábra) az a két helyzet, melyet egy pont adott pillanatban elfoglalna, ha vagy jobbra forgó, vagy balra forgó körmozgásnak volna alávetve; mivel a két szögsebesség egyenlő, az OP egyenes, mely abban a pillanatban a DL ívet felezi, minden más pillanatban tovább is felezni fogja.

Ha tehát a két körmozgás mindegyikét két összetevőre bontjuk, melyek egyike emez egyenesbe, másika pedig reá merőlegesen esik, legott látjuk, hogy az OP irányban eső részek egymással mindig egyenlők és összevágók, míg a merőlegesek egyenlők és ellenkezők, úgy, hogy az eredő mozgás az OP irányban fog végbemenni, és egyszerű rezgő mozgás (I, 24),

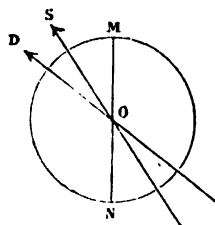


623. ábra. A kvarcz magaviselete.

melynek távassága egyenlő a kör átmérőjének kétszeresével. Azonban OP fekvése a D és L helyzetek egyidejűségétől függ. Ha valamely oknál fogva a jobbra járó mozgás, mely a rajzlap síkjára merőleges irányban terjed, elkésve érkeznek meg ebbe a síkba, úgy hogy a D' helyzet volna egyidejű az L helyzettel, az ívet felező vonal nem volna többé OP , hanem OP' , és az eredő rezgő mozgás POP' szögmenti elmozdulással ebbe az új irányba jutna.

Hogy tehát a kvarcznak magaviseletét megmagyarázzuk, csak azt kell feltennünk, hogy az egyenes vonalú rezgések belépéskor két ellenkező körmozgásra bomlanak szét, hogy ezek különböző sebességgel terjednek és így az egyik a másikkal szemben megkésve érkezik a kilépés lapjára, és hogy itt újra összetevődve, ismét egyenes vonalú rezgésekké alakulnak át.

298. A sarkítási sík forgásának megméréseire nicolt kép-zeltünk alkalmazva, melynek tokjához erősített mutató egy kör



624. ábra. Sarkító készülék alapja.

osztásvonalai előtt jár; de ez az eszköz nem enged meg nagy pontosságot, mert nem vagyunk egészen biztosak annak megítélésében, hogy melyik állásban legsötétebb a mező. Az érzékenység fokozására több berendezést gondoltak ki; itt azzal fogunk foglalkozni, mely a gyakorlatban a legegyszerűbb.

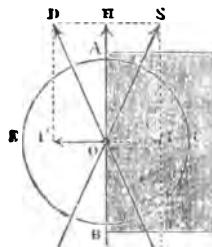
Képzeljük, hogy köralakú mezőt sarkított fény világít meg, de a sarkítás síkja ne legyen ugyanaz arra a két részre nézve, melyre az MN átmérő (624. ábra) a mezőt osztja. Tegyük fel, hogy a jobboldali félben az éter OD irányban, a baloldali félben pedig OS irányban rezeg.

Ha a mezőt nicollal szemléljük, vagy a jobboldali vagy a baloldali mező sötét, a szerint, a mint a főmetszete vagy OD -re vagy OS -re merőleges, és az egész mező csak akkor van

egyenletesen megvilágítva, ha a főmetszet *DOS* hegyes szög felező vonalára vagy merőleges, vagy vele párhuzamos. Tegyük fel, hogy az elemző nicol ezen állások elsejében van: ha jobbra vagy balra kevésbé elmozdítjuk, a baloldali, illetőleg a jobboldali tájék sötétté válik. A világítás egyenletességét annál kisebb elmozdulással zavarhatjuk meg, mentül hegyesebb a *DOS* szög, melyet a mező két felét megillető rezgési síkok bezárnak. Nyilvánvaló azonban, hogy ez a szög nem lehet bizonyos határon alul, mely a fény intenzitásától függ; czélszerű e határt annál szűkebbre szabni, mentül nagyobb mennyiségű fény áll rendelkezésünkre.

299. Az imént megbeszélt feltételek meg vannak valósítva több készülékben, melyek közül **Laurent polariméterét** fogjuk leírni. Ebben két nicol közé köralakú nyílással ellátott diafragma van téve; a nyílás egyik fele egy félhullámos lemezzel van fedve, azaz olyan lemezzel, mely $\frac{1}{2} \lambda$ fáziskülönbséget idéz elő a rajta átmenő egymásra merőleges két mozgás között. Ez rendszerint a tengelylyel párhuzamosan hasított kvarc-lemez, melynek a tengelylyel szintén párhuzamos egyenes vonalú szélé a nyílás egyik átmérőjével összeesik.

Legyen *ACB* (625. ábra) az a félkör, melyet az *AB* tengelyű kvarc-lemez elfoglal, és legyen *OS* a sarkító nicol főmetszete, melynek mentén a rezgések a kör *AEB* szabad felében végbemennek. A kör másik felében az *OS* rezgés, a lemezen átmenvén, az *OH* és *OI* összetevőkre bomlik, melyek különböző sebességgel akként terjednek, hogy kilépéskor az egyik a másikhoz képest $\frac{1}{2} \lambda$ -val van elkésve.



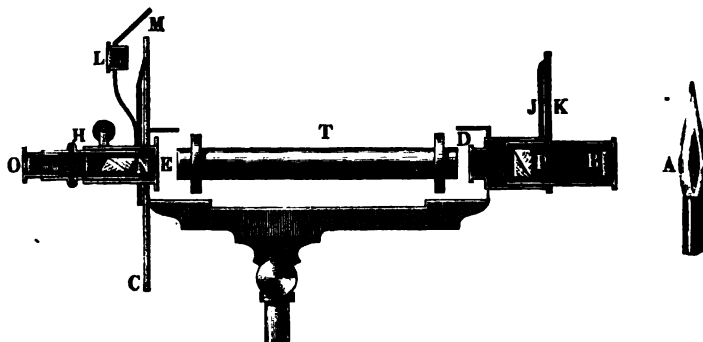
625. ábra. Laurent polariméterének elve.

Abban a pillanatban tehát, a melyben a tengelylyel párhuzamos rezgés *OH* fázisban lép ki, a merőleges rezgés *OI*-vel

ellenkező fázisban fog kilépni, vagyis az OI' egyenlő és ellenkező sebességgel fog rendelkezni, mely OH -val egyetemben az OD eredőt fogja adni, és ennél fogva OD a rezgés síkja az ACB félkörben. A mező két felében a rezgések síkjától bezárt szög tehát DOS , vagyis kétszerese azon SOH szögnek, melyet a sarkító nicol főmetszete a kvarcz tengelyével alkot.

Világos azonban, hogy minden monochromatikus fényre nézve az őt megillető félhullámos lemez alkalmazandó, és ha megváltoztatjuk a fényt, kellőképen meg kell változtatni a lemez vastagságát.

LAURENT polarimétere a sárga nátriumfényre van szerkesztve. A-ban (626. ábra) van egy erre a célra való gázlángzónak a lángja, melybe nátriumszulfátot tartalmazó platina-



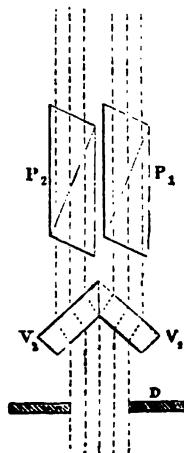
626. ábra. Laurent polarimétere.

kosaracska van téve; B -ben két üveglemez között káliumbichromátréteg van, melynek az a feladata, hogy a lángtól kilövelt egyéb színek utolsó nyomait elnyelje. Az ily módon a lehető legjobban homogénné vált fény először a P sarkítón, azután pedig a félig a félhullámos lemezzel fedett D diafragmán át a T csövön megy keresztül, mely cső párhuzamos és síklapú üveglemezekkel van elzárva és a megvizsgálandó anyagot tartalmazza. E -ben van egy másik diafragma, és erre az OH GALILEI-féle messzelátóval összekapcsolt N elemző nicol következik.

A sarkító a K emeltyűvel forgatható, s hasonló módon forgatható az N elemző is, melynek azimutja a C szilárd körön nívusz és lencse (L) segítségével leolvasható.

Hogy eme készülékkel a sarkítás síkjának forgását mérjük, először is a sarkító P nicolt úgy állítjuk be, hogy főmeteszététől és a D kvarcz tengelyétől bezárt szög az a szög legyen, mely a fényintenzitásnak megfelelő, a maximális érzékenységet (298) adja; ezután az N elemzőt arra az azimutra állítjuk be, a melyben a két félkör egyenlően megvilágítottanak látszik, és a melyet zérussal fogunk jelölni. Ez megtörténvén, az elemző és a kvarcz közé közbe teszszük a T csövet, mely azal az anyaggal van megtöltve, melyről gyanítjuk, hogy forgató képessége van. Ha ez az anyag a beeső fény sarkításának síkját forgatja, a mezőnek két fele különböző intenzitást vesz fel, és az a szög, melylyel az elemzőt forgatni kell, hogy az intenzitások ismét egyenlők legyenek, megadja a keresett forgást.

RIGHI eme polariméter olyatén módosítását ajánlotta, mely minden egyszerű fényre alkalmassá teszi a nélkül, hogy a kvarczlemezt ki kellene cserélni. Ő két egymás mellé helyezett sarkító nicolt, P_1 és P_2 -t (627. ábra) alkalmaz, és a belőlük kilépő nyalábokat a $V_1 V_2$ szögüveg segítségével egymással határossá teszi, úgy, hogy a D diafragmában levő környilást megvilágítják; a fény rezgései ebben a két félben egymással bizonyos szöveget zárnak be, mely tetszés szerint változtatható, ha az egyik nicolt változatlan helyzetben tartva, a másikat forgatjuk.



627. ábra.
Righi módosítása.

300. Ezekkel és más hasonló polariméterekkel azt talál-
ták, hogy a kvarczon kívül forgató képessége van még a czinó-

bernek és a nátriumperjodátnak, melyek egytengelyű létükre a kvarczhoz hasonló módon viselkednek; továbbá a chlornátriumnak, brómnátriumnak és még néhány más kristálynak, melyek szabályos rendszerbe tartoznak s a sarkítás síkját mindig egyazon módon forgatják, bármily irányban megy is át rajtuk a fény.

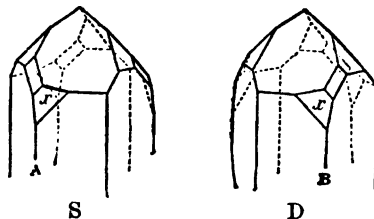
Mindezek a testek a kristályos szerkezettel együtt elvesztik forgató képességüket is, így például az amorf kovasav már nem forgat. Ellenben a strichninszulfát, mely a négyszöges rendszerben kristályosodik, a rajta a tengely irányában átmenő fény sarkítási síkját forgatja, és forgató tehetségét oldott állapotban is megtartja, mi azt mutatja, hogy eme tehetsége nem csupán molekulai szerkezetétől származik, hanem hogy molekuláit is megilleti.

Van még sok kéttengelyű anyag, mely csakis amorf állapotban vagy oldatban árul el forgató képességet; ilyenek a cukor, a kámfor, a chinin, az aszparagin, stb. Eme testek némelyike jobbra forgató, másika balra forgató, sőt némelyek származásukhoz, elkészítésük módjához és kristály-alakjuk módosulásaihoz képest mind a két forgást is előidézhetik. Például a közönséges szőlősav hatástalan, de PASTEUR-nek sikerült jobbra forgató és balra forgató szőlősavvá különválasztania; az előbbeni nem egyéb az utóbbival izomer, de tulajdonságaira nézve tőle eltérő borkősavnál. E két sav minden sójának van forgató képessége, és pedig jobbra vagy balra tartó forgást létesít a szerint, a mint az egyik vagy a másik savtól származik.

Hasonlóképen a közönséges aszparagin balra forgatja a sarkítás síkját, de PRUTTI-nak nem régiben sikerült ugyanolyan chemiai összetételű aszparagint feltalálnia, mely jobbra forgatja. Az előbbeni íztelen, az utóbbi édes. Emez aszparaginok egyikének minden derivátuma a másik analog derivátumainak forgatásával ellenkezőket létesít. PRUTTI-nak később sikerült az egyik aszparagint a másikká átalakítania, a miként JUNGFLAISCH-nek a borkősavak hasonló átalakítása sikerült.

301. Ezen izomervegyületek oldatainak optikai magatartása mindig kapcsolatban van azzal a különböző kristályalakkal, melylyel szilárd állapotban fel vannak ruházva. A balraforogatók baloldali hemiédriát, a jobbraforogatók jobboldalit tüntetnek elő.

Jóval régebben HERSCHEL bizonyos kvarczokon is ismert fel ilyenén kölcsönös vonatkozást. Hogy erről fogalmat nyújtunk, ugyanazt a két kvarczkristályt említjük fel; képük a 628. ábrában látható. Ezek piramiscsúcsokban végződő hexago-



628. ábra. Herschel kvarczkristályai.

nalis hasábok, de ezen kívül három váltakozó csúcsuk plagiédres lapocskákkal (x) le van tompítva. Ha magunk elé tartjuk az S kristály A letompított élét, látjuk, hogy az x lapocska jobbról balra lejt, és ekkor azt mondjuk, hogy a kristálynak bal hemiédriája van; optikailag balra forogató. Ha ellenben a D kristály B élével vagyunk szemközt, az x lapocskát bal oldalunkról jobb oldalunk felé látjuk lejtetni: e kristálynak jobb hemiédriája van, és a sarkítás síkját is jobbra forgatja.

302. Nem csupán a kristályosodásra képes testek között, hanem a folyadékok között is vannak olyanok, melyek a sarkítás síkját forgatják; ilyenek a terpentinolaj, cézdrusolaj, lavendulaolaj s általában minden illó olaj, a gummi arabicum, a dextrin, stb.

Némely anyagra nézve, mint a terpentín-, narancs- és bergamotolajra és kámforra nézve ki volt mutatható, hogy eme

tulajdonságuk megvan légnemű állapotukban is; s ez a legszebb bizonyítéka annak, hogy a forgató képesség az egyes molekulákhoz van kötve.

Mindegyik esetben a sarkítás síkjának forgása arányos a fény járta réteg vastagságával, és hogy ebből a szempontból a különböző anyagokat összehasonlítsuk, meg szoktuk mérni **fajlagos forgató képességeket**, vagyis azt a hányadost, melyet kapunk, ha a 10 czentiméteres rétegtől előidézett forgást az illető anyag sűrűségével elosztjuk; ha tehát l a réteg vastagsága (hossza) decziméterekben, θ a sarkítás síkjának szögmenti elmozdulása, d pedig a sűrűség, ez esetben a fajlagos forgató képesség:

$$\rho = \frac{\theta}{ld}. \quad (1)$$

Az oldatokra nézve Biot eleintén azt hitte, hogy a forgás arányos a hatásos anyagnak a hatástalan folyadékban feloldott mennyiségével. E szerint ha p grammnyi hatásos anyag fel van oldva az oldószer q grammjában, és ha d az oldat sűrűsége, úgy $\frac{p+q}{d}$ a térfogata, és a térfogategységben levő hatásos anyag tömege $\frac{pd}{p+q}$. És ha ezen oldat l hosszúságú oszlopa θ forgást idéz elő, a fajlagos forgató képességet

$$\rho = \frac{\theta}{l} \frac{p+q}{pd} \quad (2)$$

fejezi ki.

Később azonban felismerték, hogy az ekként meghatározott együttható a töménység fokával, és egyazon töménységű oldatokra nézve a hatástalan oldószer természetével változik. Csak néhány esetben van meg kellő megközelítéssel a forgásnak a feloldott mennyiséggel való arányossága, s ezek között első sorban a nádcukrot kell felemlítenünk, a miért is fajlagos forgató képességének állandóságára van alapítva a **saccharimétria**, vagyis a szörpök cukortartalma meghatározásának egy módszere.

A nádcukor fajlagos forgató képessége.

(ARNDSTEN szerint.)

C	D	E	F
53,41°	67,07°	85,406°	101,38°.

Ezeket az értékeket, ha a hullámhosszt λ -val jelöljük, adja e következő képlet:

$$\rho_c = \frac{2538}{\lambda^2} - 5,58.$$

Összehasonlítás kedvéért felírjuk a kvarcra (sűrűsége 2,653) vonatkozó analog képletet:

$$\rho_k = \frac{30766}{\lambda^2} - 66,1.$$

Valamely oldatban levő cukor mennyiségének meghatározása, ha az oldatban más hatásos anyag nincs, igen egyszerű. Ha ugyanis felteszszük, hogy a nádcukor forgató képessége a nátriumfényre nézve 67°, az oldat minden egyes köbcentiméterében levő cukor mennyiségét a (2) képlet szerint grammokban a következő szám fejezi ki:

$$c = \frac{dp}{p + q} = \frac{1}{67} \cdot \frac{\theta}{l}, \quad (3)$$

vagy pedig SCHMITZ szerint szabatosabban:

$$c = 0,015\,013 \frac{\theta}{l} + 0,000\,003\,06 \left(\frac{\theta}{l} \right)^2.$$

Abban a gyakoribb esetben, hogy az oldatban még más hatásos anyag is van, a meghatározás arra a tényre van alapítva, hogy a jobbra forgató nádcukor balra forgató invert-cukorra alakul át, ha sósavat adunk hozzá és 10 perczig 70° mérsekleten tartjuk. Ha tehát meghatároztuk a φ szöget a megvizsgálandó oldatra nézve, ennek 100 köbcentiméteréhez 10 cm³ sósavat adunk, 70°-ra felhevítjük és ugyancsak az előbbeni

csővel megfigyeljük a balra forgatást, melyet φ' -vel fogunk jelölni. Ha nem volna a sávvval felhígítva, 1,1 φ' találtatnék.

Ha már most θ -val jelöljük a jobbra forgató cukor előidézte forgást, és ψ -vel a hozzá kevert anyagoktól előidézetet, úgy:

$$\varphi = \theta + \psi,$$

és θ' -val jelölvén a csakis az invert cukortól előidézetet, ekkor:

$$1,1 \varphi' = \theta' - \psi.$$

De (3) szerint

$$\theta = 67 \text{ lz},$$

és TUCHSCHMID kísérletei szerint invert cukorra* nézve t mérsékleten:

$$\theta' = (29,33 - 0,336t) \text{ lz}.$$

Tehát

$$\begin{aligned} \theta + \theta' &= \varphi + 1,1 \varphi', \\ (96,33 - 0,336t) \text{ lz} &= \varphi + 1,1 \varphi'. \end{aligned}$$

Ennélfogva 1 cm³ oldatban levő jobbraforgató cukor mennyisége grammokban következő:

$$z = \frac{1}{l} \cdot \frac{\varphi + 1,1 \varphi'}{96,33 - 0,336t}.$$

* A saccharimétriával behatóan foglalkozik Dr. SZILÁSI JAKAB-nak «Cukrok, cukrosanyagok és megvizsgálásuk» című munkája, mely a Társulat kiadásában jelent meg.

HATODIK RÉSZ.

ELEKTROMOSSÁG ÉS MÁGNESSEG.

XXXVI. FEJEZET.

ELEKTROMOS HATÁSOK.

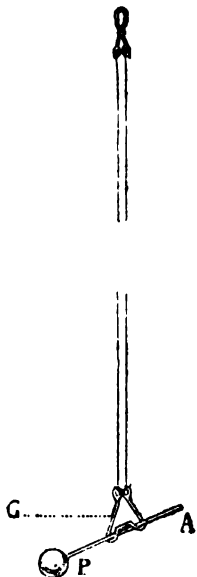
303. Bizonyos testek, mint a borostyánkő, az üveg, a kén, a gyanták, a porcellán, az ebonit, a kályhán szárított fa, a drágakövek stb., megdörzsölve olyan tulajdonságra tesznek szert, a minő az előtt nem volt meg nekik: magukhoz vonzanak könnyű kis testeket, például papirosszeletkéket, parafát, pelyheket, szalmaszálat stb. Azt mondjuk, hogy ekkor *elektromos állapotban* vannak, vagy hogy meg vannak *elektromozva*, és azt az ismeretlen okot, mely őket ezzel a tulajdonsággal felruházta, *elektromosságnak* nevezzük.

Mivel itt igen kicsiny mozgató erőkkel van dolgunk, hogy hatásaikat láthatókká tegyük, azon kell lennünk, hogy a lehető legkönnyebben mozgatható testre hassanak. Igen alkalmas erre a célra a 629. ábrában előtüntetett készülék, mely a G gamótól függélyesen feszített két selyemgubószáלבól áll; a gamó szárai közé az A sellakpálczikát fektetjük, a melynek egyik végén a P parafa- vagy bodzabélgolyó van.

Az egész rendszer, ha csupán a nehézség hatásának van alávetve, biztos egyensúlyú (I, 53) meghatározott helyzetet vesz fel, melyben a két fonál függélyes, a súlypontot magában fog-

láló síkban van feszítve. A függélyes körül való minden szög-
menti elfordulás a súlypont emelkedésével jár, és csak úgy
tarthat el valameddig, ha a rendszerre egy
vízszintes erő a pálczikára merőlegesen
hat; a pálczika annál rövidebb lehet, men-
tül hosszabbak és mentül közelebb vannak
egymáshoz a szálak és mentül kisebb ter-
het hordanak.

A készülék tehát igen érzékenynyé te-
hető és mi **elektroszkóp**nak fogjuk hasz-
nálni, azaz arra való fog lenni, hogy meg-
mutassa, vajjon valamely adott test elektro-
mos állapotban van-e vagy sem.



629. ábra. Elektroszkóp.

304. A golyó élénken közeledik egy
üveg-, pecsétviasz- vagy kénpálcza felé,
melyet flanelhez való dörzsölés után oldal-
vást azonnal feléje tartunk. De teljesen
mozdulatlan marad, ha kézzel fémdarabot,
fapálczát vagy bármely más nedves testet
viszünk a közelébe, ha előbb még olyan erősen dörzsöltük is
e testeket. Eme különböző viselkedés szerint az előbbeni teste-
ket régente az *idioelektromos*, az utóbbiakat pedig az *anelek-
tromos* testek csoportjába sorozták.

De mindjárt teszünk egy másik kísérletet, melyből ki fog
derülni, hogy ez a felosztás nem szabatos. Üvegcsőnek egyik
végébe parafával fémpálczikát erősítünk, ezután, másik végét
kezünkben tartva, megdörzsöljük. Kimutathatjuk, hogy az elek-
tromos állapot átmegy a fémre is, egészen ennek szabad végeig,
mert ez is azon tulajdonságra tesz szert, hogy az elektroszkóp
gömbjét vonzza. Hasonlóképen viseli magát valamennyi többi
úgynevezett anelektromos test. Ebből azt következtetjük, hogy
az elektromos állapot e testekbe vezetés révén megy át, s ezért
az elektromosságot **vezető** testeknek nevezhetjük őket.

Ha a fém

álczika helyett sellakból, ebonitból vagy más úgynevezett idioelektromos testből való p^álczikát használunk, nem mutatható ki, hogy pusztá vezetés révén egész a végeig elektromossá válik, miért is az ilyen testeket az elektromosság rossz vezetőinek, vagy szigetelőkn^ek nevezzük.

305. Még tovább is mehetünk. Valamely vezető, melyet megelektromoztunk, megszűnik a gömböt vonzani, a mint újjunkkal megérintjük, vagy pedig egyazon vezető anyagból való lánczczal a földdel összeköttetésbe tettük. Az elektromos állapotnak illetén megszűnése miatt a föld az elektromosság egyetemes gyűjtőjének neveztetett. Ennélfogva gyaníthatjuk, hogy a fémek a vezetésen kívül (304) talán még közvetetlen dörzsölés útján is elektromosakká válhatnak, és hogy csak azért nem mutatják az elektromosság jeleit, mert kézben tartva, a földdel közlekednek, melybe talán ily módon az elektromos állapot átvitetik. Valóban, ha az elektromosságnak illetén átvitelét megakadályozzuk oly módon, hogy a vezetőt szigetelő markolattal látjuk el, látni fogjuk, hogy a fémek is vonzzák a bodzabélgolyót, ha előbb flannellel vagy még inkább, ha prémmel megveregetjük.

Minden test kivétel nélkül idioelektromos, nincs köztük egy anelektromos sem; a maguktartása közötti különbség kisebb-nagyobb vezető tehetségüktől és azon körülménytől függ, hogy a csaknem mindig nedves talaj jó vezető.

A következő testek fogyatkozó vezető tehetség szerint vannak sorba szedve:

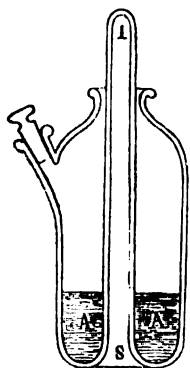
Jó vezetők: fémek, néhány fémozid és szulfid, mint például a piroluzit (mangandioxid), a piritek, stb., égetett szén, savak, sóoldatok, víz, élő növények, állati szervek, len- és gyapottonalak.

Félvezetők: alkohol, száraz fa, márvány, papiros, szalma, 0°-ú jég.

Rossz vezetők vagy szigetelők: száraz földes oxidok, zsiros

olajok, —20°-ú jég, mész, kaucsuk, éteres olajok, porcellán, bőr, száraz papiros, tollak és szőrök, gyapjú és selyem, drágakövek, üveg, viasz, kén, gyanták, borostyánkő, sellak, száraz gázak közönséges mérsékleten.

306. A mondottakból következik, hogy valamely vezető nem árulhat el elektromos állapotot, ha nincsen elszigetelve. Tapasztaljuk azonban, hogy minden, még a legjobban elszigetelt, tehát a levegőben selyemszálakra függesztett vagy sellaklábakra állított test is, idővel elveszti elektromosságát. Az **elektromosságnak** ez a **szétszóródása** onnét van, hogy még a sellak is, bár a legrosszabb vezető szilárd test, melyet ismerünk, kevésbé mégis vezet, és hogy ezen kívül az elektromos állapot a levegő-molekuláival, s a benne lebegő porral közlődik.



630. ábra.
Elektromos tartó.

A szétszóródás igen gyors a nedves levegőben, nem annyira a légnemű állapotban jelenlevő víz, mint inkább a tartókra való lecsapódás miatt, mely tartók mindegyike többé-kevésbbé higroszkópos. Ennélfogva az elektromos kísérletek csak száraz időben és csak akkor sikerülnek jól, ha a szigetelőket megmelegítjük és ledörzsöljük. Ugyanezen oknál fogva czélszerű az üvegtartókat sellakkal bevonni, mert felületük különben könnyen megnedvesedik. Még czélszerűbb őket elfödve tartani, és alant kénsavval körülvenni, miként a 630. ábrában az *IS* tartóra nézve látjuk.

307. Elektroszkópunk (303) bodzabélgolyója jól vezet, ellenben a sellakpálczika, melyre tűzve van, nem vezet. Ha tehát megengedjük, hogy a golyó az öt vonzó testtel érintkezésbe jusson, várható, hogy vezetés révén (304) elektromossá válik. Midőn ezt megpróbáljuk, új tűnemény tárul fel előttünk: érintkezés után hevesen visszalődul; ugyanaz a test, mely érintkezés előtt vonzotta, most eltaszítja.

Hasonlóképen taszítja egymást két üvegpálczika, melyeket egyazon módon dörzsöltünk meg; erről könnyen meggyőződhetünk, ha az egyiket a két szálon függő gamóba a golyós sellakpálcza helyébe teszszük, a másikat pedig hozzája közelítjük. Ugyanilyen módon eljárva, két pecsétviaszpálcza, két kénpálcza, két ebonitpálcza stb. szintén taszítja egymást.

Ugyanigy, ha egyazon vezetőnek részei egymáshoz képest elmozdulhatnak, mindig el fognak egymástól távolodni, valahányszor ezt a vezetőt megelektromozzuk. Erről könnyen meggyőződhetünk az **aranylemezes elektroszkóp** (631. ábra) segítségével. Az *a* és *b* aranylemezek a *C* üvegharang alatt fel vannak függesztve, mely őket a légáramlástól megóvjá, és az ebonitdugón keresztülmenő *BB'* fémpálczával egyetemben a földtől elszigetelt vezetőt alkotnak.



631. ábra. Aranylemezes elektroszkóp.

308. Két elektromozott test azonban nem mindig taszítja egymást. Ha ugyanis ugyanazzal a flannellel pecsétviaszt és üveget dörzsölünk, ezek vonzzák egymást.

Azt kell tehát következtetnünk, hogy egymástól különböző **két elektromos állapot** ébreszthető, s ennek megfelelőleg két-féle elektromosságot különböztetünk meg: *üveg-* és *gyanta-elektromosságot*.

Minthogy egyazon test különböző esetekben dörzsölés révén úgy az egyik, mint a másik elektromos állapotot felveheti, ez az elnevezés nem megfelelő s azért jelenleg a két elektromos állapotot inkább *pozitív* és *negatív* elnevezéssel szokták egymástól megkülönböztetni, abban állapotván meg, hogy a gyapju az üveget pozitív elektromossá, a gyantát pedig negatív elektromossá teszi.

Egyenlő nevűleg elektromozott testek taszítják, különböző nevűleg elektromozottak pedig vonzzák egymást.

309. A 629. ábrabeli kétszálú (bifilár) elektroszkóp **(303)** segítségével eldönthető, hogy a két elektromos állapot közül melyikben van az a test, melyet feléje közelítünk. E végből a golyót csak megdörzsölt pecsétviaszszal kell érintenünk, vagy mint mondani szoktuk, negatív töltéssel kell ellátnunk; ha ekkor a megvizsgálandó test eltaszítja, következik, hogy ez is negatív elektromos állapotban **(308)** van; ha ellenben vonzza, úgy ez a test lehet pozitív elektromos, de lehet természetes állapotban is. Ennek eldöntésére a golyót ujjunkkal érintve, először is kisütjük, ezután megdörzsölt üvegpálcza segítségével pozitív töltéssel látjuk el; ha most taszítatik, minden kétség el van oszlatva.

Ily módon például felismerhetjük, hogy egy üvegpálcza, melynek egyik fele homályosra van csiszolva, másik fele pedig közönséges állapotban van, ellenkező elektromosságokat vesz fel a szerint, a mint gyapjával az egyik vagy a másik felét dörzsöljük. A homályos fele gyanta-elektromosságot, tehát negatívot vesz fel. Posztóval dörzsölt ebonit negatív elektromos állapotba jut; és pozitív állapotba jut, ha amalgámmal bevont bőrrel dörzsöljük.

310. Az egymással dörzsölt testeknek mindig mind a kettője elektromossá válik; és pedig ellenkező nevű elektromosságokat vesznek fel.

Ha például üvegpálczát jó vastag vulkánózott kaucsukkal dörzsölünk, az üveg pozitívvá, de a kaucsuk is elektromossá, és pedig negatívvá válik.

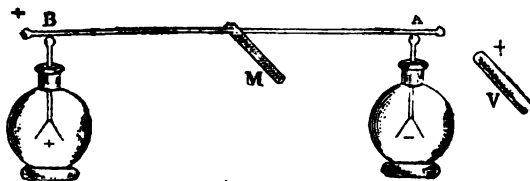
311. Az eddigiekből azt kell következtetnünk, hogy a taszítás biztos jele az egyenlő nevű elektromozásnak; de úgy látszik, hogy vonzás épen úgy lehetséges akkor, midőn a két test egyike természetes állapotban van, mint a mikor a két test ellenkező elektromos állapotban van; hiszen épen e nembeli volt az első tünetény **(303)**, mely a mozgásokat elénk tárta.

Ámde most meg fogunk ismerkedni az elektromozásnak

egy új módjával, melynek révén a testek elhagyják természetes állapotukat és érintkezés nélkül is elektromosakká válnak, a mint közelükbe egy másik, már megelektromozott testet viszünk, úgy, hogy az említett vonzás úgy tekinthető, mint ennek a megosztásbeli elektromozásnak vagy pedig mint mondani kezdik: az elektrostatikai indukciónak a következménye.

Az ide vonatkozó kísérletek sokféleképpen rendezhetők be; mi azt fogjuk választani, mely nedves levegőben is (306), mint az iskolában, hol többen vannak együtt, a legjobban sikerül.

Vegyünk két, a 631. ábrabelihez hasonló aranylemezes elektroszkópot, és miután megelőzőleg meleg helyen tartottuk őket, hogy az ebonitdugó jól szigeteljen, kössük össze *A* és *B* fémgombjaikat (632. ábra) sárgaréz pálczával, mely az *M* szige-



632. ábra. A megosztással gerjesztett elektromosság kimutatása.

telő nyéllel van ellátva. Ha aztán az így összeállított vezetőrendszerhez *A* oldalán a bármi módon megelektromozott *V* pálczát közelítjük: a lemezek mind a két párja szétugrik, de a *V* pálcza eltávolítása után ismét összeesik. Vezető rendszerünk tehát egy elektromozott testnek puszta közelléte miatt az elektromos állapot jeleit árulja el, és e jelek a test eltávolításával együtt megszűnnek.

Távolítsuk azonban el az *AB* sárgarézpálczát, mielőtt a *V* testet elvinnők; és ime, most a lemezek szétválva maradnak még akkor is, ha a testet elviszszük!

Mi módon van most megtöltve a két elektroszkóp? Egynevéleg elektromozva nem lehetnek, mert ha közöttük pálczával a közlekedést helyreállítjuk, a lemezek összeesnek.

Meg kell tudnunk, hogy a kettő közül melyik jutott a V megosztó test elektromos állapotába; vajjon a hozzá közelebb levő A volt-e ez, vagy pedig a másik?

Ha jól meggondoljuk a dolgot, okunk van előre kimondani, hogy a közelebbi elektroszkóp ellenkező nevűleg elektromozódik; hiszen tudjuk, hogy ez esetben kell, hogy a megosztó testtől vonzassék. De helyén levő, hogy erről meg is győződünk.

312. E végből először is az egyik elektroszkópnak, például A -nak gombját *megérintjük* egy ebonitpálczával, melyet gypjával jól megdörzsöltünk; az elektroszkópot tehát vezetés révén **(304)** negatív töltéssel látjuk el. Távolítsuk el az ebonitot: ha a szigetelés jó, a lemezek továbbra is szétválva maradnak. Míg az aranylemezek ilyenképen negatív módon elektromozva vannak, közelítsük igen lassan a megelektromozott ebonitot a gombhoz és látni fogjuk, hogy a lemezek fokozatosan még inkább széthajolnak, ellenben összehajolnak, ha messziről egy pozitív állapotban levő testtel, például gypjával megdörzsölt üvegpálczával közeledünk.

Ha ellenben üveggel való érintés útján a lemezeket pozitív töltéssel látjuk el, látni fogjuk, hogy még jobban széthajolnak, ha az üveggel ismét közeledünk, és összeesnek, ha lassacskán az ebonitot közelítjük.

Ily módon ismertető jelünk van a megosztás révén való elektromozottság fajának eldöntésére.

313. Süssük most ki a két elektroszkópot, kössük őket össze a sárgarézpálczával, A oldala felől közelítsünk egy pozitív elektromos testet, távolítsuk el az összekötő pálczát, vigyük el a megosztó testet, és vizsgáljuk meg egyenként az elektroszkópokat.

Az A -beli széthajlás növekszik, ha az ebonitot közelítjük, csökken, ha az üveget közelítjük. Tehát a megosztó testhez

közelebb fekvő *A* valóban negatív. *B* magatartása épen az ellenkező: tehát pozitív.

Próbaképen megosztó testül negatív módon elektromozot-tat használunk, és mindig tapasztalni fogjuk, hogy:

Valamely vezető, melyet elektromozott test megosztó hatá-sának vetünk alá, szomszédos pontjaiban a megosztó testével ellenkező elektromos állapotba jut, messzebb fekvő pontjaiban pedig egynevűbe; az ellenkező állapotban levő tájékoknak semleges vonallal kell elválasztva lenniök.

314. A mondottakból megérthető, hogy ha egy vezetőt a közben, hogy valamely elektromozott test megosztó hatásának van alávetve, a földdel kötünk össze, annak a megosztó testével ellenkező nevű töltést kell felvennie, mert ekkor a földdel egyetemben egyetlen vezető rendszert alkot és a semleges vonal igen nagy távolságba tolódik el.

Valóban, ha a két elektroszkópot összekötjük a sárgaréz-pálczával, és őket, midőn a megosztó test még közelben van, bármely pontban megérintjük, és e test eltávolítása előtt ma-gukra hagyjuk: kimutathatjuk, hogy mind a kettő egymással egynevű, de a megosztóval ellenkező nevű elektromos-ságot kapott.

315. Mielőtt tovább mennénk, helyén van, hogy az ismer-tetett eljárások (**309, 312**) egyikével megállapítsuk, hogy minő elektromosságot vesz fel a szokásos dörzsölve elektromozó gépek gyűjtője, és ily módon az intenzív elektromozásnak kényelmes eszközével rendelkezhetünk. Magának a gépnek mű-ködését később (**359**) fogjuk megismertetni.

Felismervén, hogy a gép gyűjtője pozitív töltést vesz fel, lehetőleg nagy, félgömbökben végződő fémhengert teszünk a közelébe, és hogy jól el legyen szigetelve, sellakkal bevont selyemszálakon függ. Ez a henger megosztás révén felveszi a két elektromos állapotot a semleges vonaltól elválasztott tája-
kon; ha fátylon keresztül **elektroszkópos port**, azaz finom

porrá dörzsölt minium és kénkeveréket szítalunk reá, látni fogjuk, hogy a hengernek negatív, vagyis az elektromozó gépnek gyűjtője felé fordított tájéka vörössel, a másik tájéka pedig sárgával vonódik be. A két pornak szemecskéi egymáshoz és a fáttyol szálaihoz surlódván, ellenkező nevű elektromosságot nyernek: a minium pozitív lesz és a negatív tájék vonzza, a negatívva vált kén pedig a másik tájékra húzódik.

Ha a henger a földdel közlekedik, egész felületét minium fogja fedni (314).

316. Eddigélé csak minőleges kísérleteket tettünk, de itt az ideje, hogy mérésekhez lássunk, melyek nélkül a megfigyelt tények többé-kevésbé valószínű magyarázgatásába fogni annyi volna, mint magunkat a légvár-építés veszedelmének kitenni.

Vajjon mi mérhető meg a szóban forgó tűneményekben? Nyilvánvaló, hogy megmérhetők a különböző ható testek közötti távolságok, megmérhető az egymásra ható vonzásuk és tasztításuk. Hogy azonban megvizsgáljuk, hogy mi módon változnak emez erők a távolságokkal, először is meg kell bizonyosodnunk, hogy intenzitásukra nincs-e valami más körülmény is hatással; már pedig az eddigiekből is tudjuk, hogy kétségtelenül hatással van reája az elektromozás intenzitása, vagy a mint mondani szokás, az **elektromosság mennyisége**, mely a szétszóródás miatt idővel mindinkább fogy.

Kérdés azonban, vajjon az elektromosság, az elektromos tűneményeknek előttünk ismeretlen oka, valóban olyas mennyiség-e, mely mérésnek vethető alá? Volt már példánk egy másik mennyiségre, melyet szabatos méréseknek vethetünk alá, a nélkül, hogy a természetét is ismertük volna: értjük a hőt (I, 339). Ebben az esetben kézzelfogható volt, hogy az égéskor fejlődő hőnek arányosnak kell lennie az illető tüzelőszer tömegével. Ámde itt feltehetjük-e, hogy az elektromosságnak például egy üvegpálczában gerjesztett mennyisége arányos a flanelen való végighúzások számával? Avagy nem lehetséges-e,

hogy minden következő dörzsölésre hatással van a pálczának már meglevő, többé-kevésbbé intenzív elektromos állapota?

Ésszerűbb az a feltevés, hogy egy már megelektromozott és tökéletesen elszigetelt fémgolyónak egy másik, vele azonos, de természetes állapotban levő golyóval való érintésekor (633. ábra) az első golyónak **elektromos töltése**, vagyis a neki meglevő elektromosságnak mennyisége a felére száll le; ha pedig egyidejűleg és szimmetrikusan két azonos golyóval (634. ábra) érintkezik, harmadára száll le és így tovább. Ezt fel-



633. ábra.



634. ábra.

Az elektromosság közlődése.

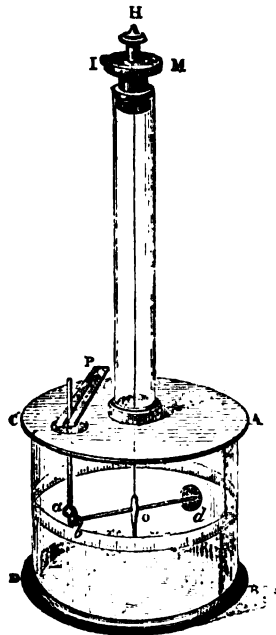
téve és a szétszóródástól **(306)** kellőképen óvakodva, bizonyos kísérletekben az elektromosság mennyiségével előre meghatározott arányok szerint rendelkezhetünk. De még nem hasonlíthatunk össze egymástól független elektromozásoktól származó mennyiségeket, mert ily módon nem sikerült még mértekegységet megállapítanunk.

Valamint a hőnek egy jól meghatározott hatásából kiindulva meghatározhattuk a kalóriát (I, **339**), úgy nemsokára látni fogjuk **(327)**, hogy megállapíthatjuk majd az elektromosság egységét is.

317. Két elektromos test közötti taszítás meghatározására COULOMB egy ismeretes erőt állított vele szembe, nevezetesen egy szálnak torziós rugalmasságát, miként CAVENDISH már az általános tömegvonzásra (I, **140**) alkalmazta volt; s itt mindjárt megjegyezzük, hogy ez utóbbi igen csekély az elektromos hatásokhoz képest, úgy, hogy ezek mérésében elhanyagolható.

Coulomb mérlege a 635. ábrában látható. Egy ezüstdrót

felső vége a H csíptetőbe van szorítva, mely az I mutatóval együttesen az M beosztott korong tengelye körül forgatható. A dróton bd sellakpálczika függ, melynek egyik végén a b fémgömböcske, másik végén pedig a d függélyes korong van; ez utóbbi mint ellensúly működik és a lengéseket csillapítja. A hengeres borító üvegből van és a pálczika magasságában



635. ábra. Coulomb mérlege.

fokokra van beosztva, és mindent akként rendezünk be, hogy a mikor a drót természetes nyugalmi helyzetében van, a b golyócska a beosztás zérus-pontjával szemközt álljon. Az a második vezető golyót jól szigetelő nyéllal a CA fedélen keresztül dugjuk és a P tartóval épen ott tartatjuk, a hová a mozgó b golyó a drót természetes állapotában helyezkedik. Ily módon a két golyó érintkezésbe jut, midőn nincsen megelektromozva. De ha azután a fedél nyílásán keresztül dugott és már megelektromozott vezetővel érintkeztetjük őket, a b golyó továbbmozdul, és néhány lengés után új egyensúlyi helyzetet vesz fel, melyet az a feltétel határoz meg (I, 53), hogy a drót rugalmasságának for-

gató nyomatéka egyenlő az elektromos taszításával.

Az első nyomaték azonban arányos a csavarodás szögével (I, 158), melyet az üveghengeren levő beosztással mérhetünk meg, s a melyet α -val fogunk jelölni; α értékéből pedig kiszámíthatjuk a két golyócska kölcsönös távolságát.

Ha már most a H felfüggesztést úgy forgatjuk, hogy a golyócskák egymáshoz közelebb jussanak, vagy pedig, hogy egymástól még inkább távolodjanak: a drót torziója nagyobbodik,

illetőleg kisebbedik, mértékét pedig megadja az üveghengeren leolvasott szögtávolság, melyhez még az I mutató jelezte szög-menti elmozdulást hozzá kell adni, illetve belőle ki kell vonni.

COULOMB ily módon azt találta, hogy a középpontjaik kölcsönös távolságához képest igen kicsiny golyók közötti taszítás ugyanezen távolság négyzetével fordított viszonyban van.

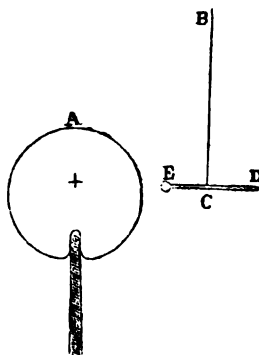
318. COULOMB hasonló eljárással kimutatta, hogy ez a törvény még a vonzásra is érvényes; e végből a golyókat ellenkező töltéssel látta el és a drót felfüggesztését megfelelő módon forgatta el. Ugyanazon eredményre jutott a következő második módon is.

Jól elszigetelt *A* fémgolyó (636. ábra) elé *BC* selyemgubószálra a *DE* sellakpálczikát, melyre egy vezető golyócska volt erősítve, egyensúlyozva függesztette fel, és megfigyelte, hogy hány lengést tesz, midőn a golyócskának az álló gömbbel ellenkező nevű töltése volt; megfigyelte pedig ezt különböző távolságokban, melyek azonban mindig elég nagyok voltak arra nézve, hogy a vonzó erőnek egy lengés útjában való változásait el lehessen hanyagolni. Ily módon azt találta, hogy bizonyos időben végzett lengések *n* száma fordított viszonyban van a két golyó *l* távolságával; és mivel az irányító erő e számmal négyzetes egyenes viszonyban van (I, 87), ezen az úton is következtethette, hogy az elektromos vonzások fordított viszonyban vannak a távolság négyzetével. Valóban, mivel a kísérletek szerint:

$$n l = \text{const.},$$

és mivel

$$\frac{f}{n^2} = \text{const.},$$



636. ábra. Coulomb törvényének igazolása.

úgy, ha az első egyenlet négyzetét a második egyenlettel szorozzuk:

$$l^2 f = \text{const.}$$

COULOMB továbbá még azt is kipuhatolta, hogy miként változnak az elektromos hatások két golyó között, ha töltéseiket ismert arányok szerint leszállítjuk és folyton egyazon távolságban tartjuk. Azt találta, hogy ha az egyiknek töltését felére, harmadára, negyedére stb. (316) leszállítottuk, a közöttük működő taszító vagy vonzó erő is felére, harmadára stb. száll le. Megfigyeléseinek eredményét tehát a következő törvényben foglalhatta össze:

Az elektromos hatások az elektromosságok mennyiségének szorzatával egyenes, a távolság négyzetével pedig fordított arányban vannak.

319. COULOMB minden lehető óvatossággal élt, hogy a szét-szóródás zavaró hatásait csökkentse, és nem mulasztotta el ezeket a leggondosabban tanulmányozni, hogy ily módon megfigyeléseinek eredményeit kijavíthassa. De mind a mellett is a számok, melyeket kapott, az imént kifejezett törvénynek csak közelítőleg tesznek eleget.

Már pedig nagyon is fontos, hogy eldöntsük, vajjon ez a törvény csak megközelítő-e, mint például BOYLE-nak a gázok összenyomhatóságára vonatkozó törvénye (I, 234), vagy pedig, hogy az eltéréseket csak azoknak az el nem kerülhető hibáknak kell betudni, mely minden kísérleti meghatározással, különösen pedig az ilyen nehéz és kényes mérésekkel együttjárnak.

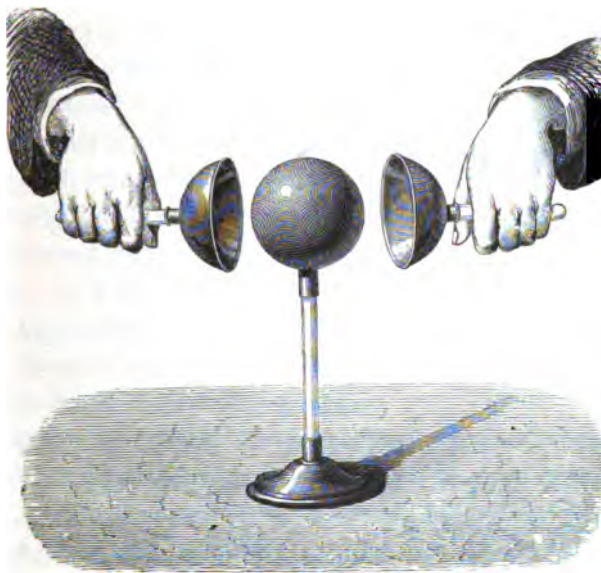
A kérdést a következő kísérletek közvetett úton döntötték el.

320. Ha egy megelektromozott nagy golyót egyidejűleg érintünk egyazon nagyságú, de egyébként különböző golyócskákkal, úgy ezek, akár tömör, akár üres fémből valók, akár parafából, akár ha még szigetelőből vannak is készítve, ha csak felületi rétegük az elektromosságot jól vezető egyazon anyagból

van: különbség nélkül ugyanazzal a hatással vannak a COULOMB-féle mérleg mozgó golyócskájára.

Ebből következik, hogy mindannyian egyazon elektromosság-mennyiségre tettek szert.

321. Üvegrudon álló sárgarézgömböt erősen megelektromozunk és szigetelő markolatokkal ellátott két félgömbbel (637. ábra) borítjuk be. Ekkor kimutatható, hogy ezek minden

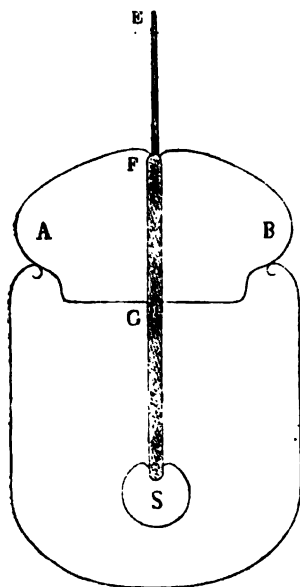


637. ábra. Az elektromosság eloszlása a vezetők felületén.

elektromosságától megfosztják, mert ha egy elektroszkóp (307) gombjával érintkeztetjük, az aranylemezek vesztve maradnak.

A 638. ábrában látható fémből való gyűjtő legyen selyemszálakon felfüggesztve; szintén fémből való fedője, melyet az *AB* tüntet elő, a rajta átmenő *EFG* ebonitpálcza segítségével akként legyen rátehető, hogy a pálcza az *S* vezető-golyó szigetelő markolatába illeszkedjék. A golyót megelektromozzuk, bele-

teszszük a gyűjtőbe, ezt befedjük, és lenyomván az *E* pálczát, a golyót a gyűjtő belső falával érintkeztetjük. Ezután a golyót



638. ábra. Az elektromosság eloszlása.

kiveszszük, és tapasztaljuk, hogy elektromosságát teljesen elvesztette, a szigetelt gyűjtő pedig töltést nyert.

Látjuk tehát, hogy az *elektromos állapot a vezető belsejéből mindig a felületére megy át.*

322. Ezen kívül a legnagyobb szabotossággal bebizonyított, hogy valamely vezetőn levő elektromosságnak semmi hatása sincsen a vezetőn belül fekvő pontokra, vagy jobban mondva, azok a hatások, melyeket ez az elektromosság a vezetőn belül fekvő pontok mindegyikére kifejt, zérussal egyenlő eredővé tevődnek össze.

FARADAY e célra üveglábakon álló fakamarát állított össze, ónpapirossal bevonta, és a belsejében a legérzékenyebb elektroszkópokkal, a többi között egy aranylemezessel, helyezkedett el. Ennek gombját a kamara falaival összeköttetésbe tévén, a lemezek teljes nyugalomban maradtak, bármily erősen elektromozta is az egész kamarát.

Ez az alapkísérlet, melyre soha sem lehet elegendő súlyt helyezni, kényelmesebben ismételtető. Egy elektroszkópot körülvesszünk két fémháló-borítóval, minők a kereskedésben előfordulnak, az egész rendszert a földtől elszigeteljük és az elektromos gépből megtöltjük. Bár az ilyen vezető felülete nem folytonos, a lemezek mégis egészen veszteg maradnak.

Jelenleg a legcsekélyebb elektromos hatások felismerésére is olyan érzékeny eszközökkel rendelkezünk, hogy teljesen fel

vagyunk jogosítva arra a feltevésre, hogy a vezetők belsejére vonatkozó ez a törvény teljes matematikai szigorúsággal be van igazolva. De ha egészen szigorú, úgy COULOMB törvénye (318) is az, mert matematikailag kimutatható, hogy ez amannak szükségképeni következménye.

És ezzel megegyezőleg minden későbbi dedukció, mely számítás révén COULOMB törvényéből származott, teljes összhangzásban van az eddig megfigyelt számos és változatos tapasztalati ténnyel.

323. Azon alapigazságok egyikével van tehát dolgunk, melyek elméleti kiinduló pontokul szolgálnak. Hogy képletileg is kifejezzük, legyen q és q' az egymásra ható elektromosságok mennyisége, r kölcsönös távolságuk és F az erő, melylyel egymást taszítják, ha egyenűiek, és egymást vonzzák, ha különűiek; úgy:

$$F = c \frac{qq'}{r^2}, \quad (1)$$

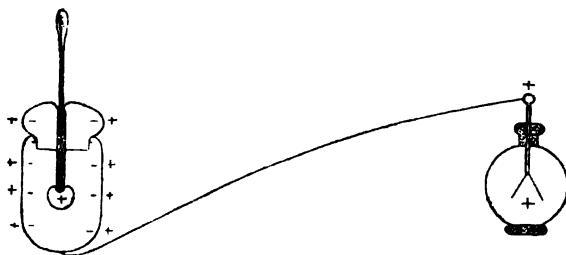
hol a c együttható csakis az erőnek, a távolságnak és az elektromosságok mennyiségének választott egységétől függ, s így a kísérletek egész sorára nézve állandó.

Nem mulaszthatjuk el, hogy legalább ne utaljunk arra, hogy ez a kifejezés megegyezik NEWTONnak az egyetemes gravitációra (I, 135) vonatkozó törvényével azzal a különbséggel, hogy itt elektromosság-mennyiségek szerepelnek a velük nem homogén anyagi tömegek helyett.

324. Térjünk vissza a 638. ábrabeli (321) jól szigetelt gyűjtőhöz és helyezzünk el egy elektroszkópot tőle akkora távolságban, hogy a megelektromozott gyűjtőnek az aranylemezekre való megosztó hatása (311) elenyésző legyen. A két készüléket hosszú fémdróttal kötjük össze. Töltsük meg az S golyót, mely a fedőre a szigetelő pálcza segítségével van függesztve, például pozitív elektromossággal; ezután tegyük be a gyűjtőbe, vigyázva, hogy valahogy ne érintse (639. ábra).

Az elektroszkóp lemezkéi legott szétugranak, és pozitív töltést árulnak el. Széthajlásuk változatlan marad, bármiként helyez-
zük is el a golyót a gyűjtő belsejében.

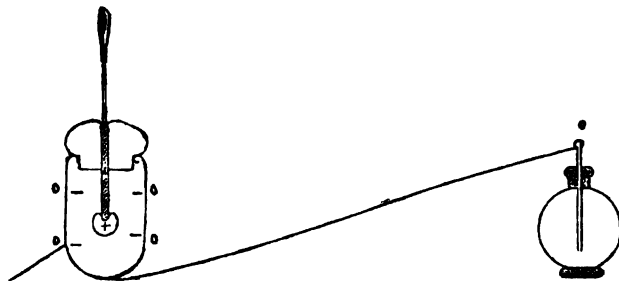
Ha azonban eltávolítjuk a golyót a nélkül, hogy érintettük



639. ábra. Pozitív töltés.

volna, minden visszatér a természetes állapotba (311). Ha el-
lenben eltávolítás előtt a gyűjtőt egy pillanatra a földdel kötjük
össze, a lemezek ismét szétugranak, és most negatív elektro-
mossággal vannak megtöltve,

Mindezt a megosztás révén való elektromozásra vonatkozó
eddiggi ismereteinkkel már megmagyarázhatjuk. Mivel a gyűjtő

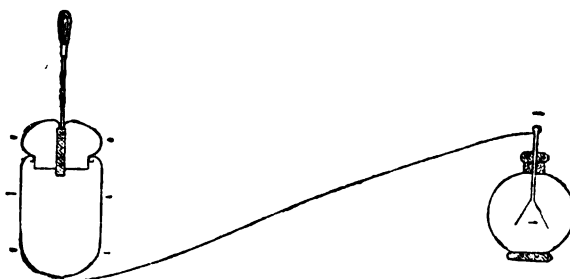


640. ábra. Negatív töltés.

szigetelve van (640. ábra), belseje negatív, azaz a megosztóval
ellenkező nevű elektromosságot vesz fel, külseje pedig, mely az
aranylemezekkel egy egészet alkot, pozitív elektromos állapotba
jut. Ha összekötjük a földdel (640. ábra), a pozitív elektromosság
igen nagy messzeségbe húzódik (314), de a golyóhoz legköze-

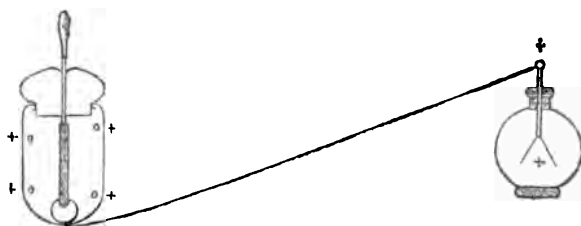
lebb eső pontok negatív elektromos állapotban maradnak. Ez a negatív elektromosság a megosztás okának eltávolítása után (641. ábra), szabadon szétterül a gyűjtő felületén (321).

Nagyon tanulságos ez a kísérlet, ha megismétlésekor fonálkeresztes messzelátóval szabatosan megfigyeljük az aranylemezek állását; nem fogunk ugyanis semmi különbséget



641. ábra. A negatív elektromosság szétterülése.

észrevenni azon állásuk között, melyet ez első esetben (639. ábra) vettek fel, midőn a golyó előidézte pozitív elektromosság hatása miatt hajoltak szét, és amaz állásuk között, melyet a második esetben (642. ábra) vettek fel, mikor is a golyó eltávolítása után szabadon szétterülő negatív elektromosság hatására ugrottak szét.



642. ábra. A golyó a gyűjtő falával érintkezik.

325. De ez még nem minden. Ha a messzelátóval gondosan megfigyeljük a lemezek állását, midőn a golyó a gyűjtő belsejében van (639. ábra), és ha ezután a golyót a gyűjtő falához érintetjük (642. ábra), úgy, hogy elektromos állapota a

gyűjtő felületére húzódjék: a lemezek széthajlása épen akkora, mint volt az előbb. Tudjuk (321), hogy most, ha kiveszszük a golyót, az elektromosságnak többé már semmi nyomát sem árulja el.

Mondottuk, hogy ez a kísérlet igen tanulságos. Valóban, ha szabad feltennünk, hogy egyenlő okok egyenlő eredményeket hoznak létre, arra tanít bennünket:

1. Hogy a burkolatban megosztás révén keletkező ellenkező elektromosságok mennyisége úgy egymással, mint a megosztóval egyenlő.

2. Hogy az ellenkező elektromosságoknak két egyenlő mennyisége, ha minden más elektromos megosztástól megóvott vezető felületén van, e vezető természetes állapotában meghagyja.

326. Ennélfogva az elektromossággal, a nélkül, hogy mi-benlétét ismernünk kellene, úgy bánhatunk el, mint valamelyes algebrai mennyiséggel, mely pozitív és negatív értékeket vehet fel. Ezzel a megállapodással az F erőnek a **323.** pontbeli

$$F = c \frac{qq'}{r^2} \quad (1)$$

képletből kifejezett értéke pozitív, ha q és q' -nak egyazon jele van, és negatív, ha jelük különböző; és ha továbbá is ragaszkodunk ahhoz a megállapodáshoz (I, **101, 142**), mely szerint a taszító erőket pozitívaknak, a vonzókat pedig negatívaknak tekintjük: észreveszszük, hogy ez a képlet felöleli az elektromos hatásoknak mindazon lehető eseteit, melyeket eddig megfigyeltünk.

327. És most végre megállapíthatjuk az **elektromosság egységét**. Egységül azt az elektromosság mennyiségét veszszük, mely egy pontba* összegyűjtve a levegőn át az erő egy-

* A valóságban lehetetlen volna egy szigetelt pontba véges menny-

ségével hat az ugyanannyi elektromossággal megtöltött és a távolság egységében levő anyagi pontra.

De ha az 1. képletben $q = q'$, $F = 1$ és $r = 1$ tétetik, az

$$1 = cq^2$$

alakot ölti, és ha még felteszszük, hogy ez esetben $q = 1$, következik, hogy $c = 1$, úgy, hogy az imént elfogadott mértékrendszerben, melyet **elektrostatikai abszolút rendszernek** nevezünk, a COULOMB törvényét kifejező képlet az

$$F = \frac{qq'}{r^2} \quad (2)$$

egyszerűbb alakot ölti.

A C. G. S. rendszerbeli erőegység, melynek neve *din* (I, 82, *m*), az az erő, mely 1 grammnyi tömegre 1 másodpercig állandó intenzitással hatván, e tömegben másodpercenkénti 1 centiméter sebességet létesít.

Ezt tekintve, mondhatjuk, hogy a mi elektromosság-egységünk 1 grammnyi tömegű anyagi pontra, mely szintén az elektromosság-egységgel van megtöltve, 1 cm távolságból 1 másodpercig hatván, e tömegben szintén másodpercenkénti 1 cm sebességet létesítene.*

328. De hát micsoda is az az elektromosság?

Anyagias folyadék-e, vagy pedig az energia egyik formája? — Ezt még nem tudjuk! De az eddigelé megfigyelt összes tényekkel összhangzásban azt az egyet bizvást állíthatjuk, hogy az elektromosságot épen úgy nem lehet megsemmisí-

nyiségű elektromosságot összegyűjteni, mert, miként látni fogjuk (358), szétszóródnék, vagyis a környező levegőbe menne át. Elektromozott pontnak felvétele matematikai absztrakció.

* Itt megjegyezzük, hogy míg az elektromosság-egység az elektromosság-egységre az erő egységével (1 *din*) hat, addig a tömegegység a tömegegységre a gravitáció hatása révén (I, 140) csak

$$65 \times 10^{-9} = 0,000\ 000\ 065$$

erőegységgel hat.

teni, mint az anyagot, ép olyan kevésbé lehet elpusztítani, mint az energiát; és az **elektromosság megmaradásának** ezt az elvét a természet egyik fontos törvényének tekinthetjük, melynek bizonyára nem csekélyebb jelentősége van, mint az anyag és az energia megmaradására (I, 115) vonatkozó analog törvényeknek.

E törvényt oly értelemben fogjuk fel, hogy a testek egy rendszerben, mely minden külső elektromozó hatástól megvan óva, nem lehetséges pozitív elektromosságot gerjeszteni a nélkül, hogy egyidejűleg egyenlő mennyiségű negatív elektromosság ne nyilvánulna, minélfogva az elektromosságok mennyiségének algebrai összege a rendszerben mindig állandó.

329. Láttuk már, hogy a mikor két testet egymással dörzsölünk, ellenkező elektromosságokat vesznek fel; és hogy kimutassuk, hogy ezen elektromosságok tényleg egyenlő mennyiségben vannak meg, elegendő, ha e két testet, a szétszóródástól óvakodva, egymásután a 639. ábrabeli készülékbe (**324**) teszszük és megfigyeljük, vajjon az aranylemezek a két esetben egyenlőképen hajolnak-e szét. Vagy szintén együttesen tehetjük e testeket a szigetelt gyűjtőbe, és ekkor azt tapasztaljuk, hogy az aranylemezek vesztég maradnak, jeléül annak, hogy az egyikről gerjesztett elektromosság teljesen kiegyenlíti a másiktól gerjesztettet. És a lemezek akkor sem fognak megmozdulni, ha a gyűjtőbe olyan szerkezetet zárunk, mely a dörzsölés műveletére és ennélfogva a két test megelektromozására alkalmas; ilyen szerkezet volna egyike azon elektromozó gépeknek, melyeket meg fogunk ismerni (**359**).

Az illetén kísérletekben egyáltalában nem szükséges, hogy az elektromozott testek a gyűjtő falától el legyenek szigetelve; vagy az egyik, vagy a másik, vagy mind a kettő is fémi összeköttetésben lehet vele, és az összeköttetés lehet folytonos, vagy pedig tetszés szerint megszakított: az aranylemezek az elektromosságnak legkisebb jelét sem árulják el.

Ez a dolog arról tanuskodik, hogy ha a burkolat belsejében bármiféle, ha még oly kézzelfogható, vagy még oly bonyolódott tünet is megy végbe, az elektroszkóphoz vezető drótban semmiféle elektromosság sem megy át.

Bizvást következtethetjük tehát, hogy a burkolat belsejében minden épen úgy menne végbe akkor is, ha a fémdrót a helyett, hogy az elektroszkóphoz vezet, a földbe vezetne.

330. Nos, midőn kísérleteinket végrehajtjuk, egy szoba belsejében vagyunk, melynek falai, padlója és tetőzete a földdel közlekedő vezető burkolatot alkotnak. Úgy áll a dolog, mintha a földbe, ebbe az igen nagy gyűjtőbe vájt üregben volnánk.

Ha tegnap minden testet, vezetőt és szigetelőt, a természetes állapotban hagyunk ott, és ha semmi sem mozdult meg, és bent semmi olyasmi sem esett meg, a mi elektromosságot gerjeszthetne: bizonyosak lehetünk benne, hogy ma ott minden dolgot a természetes állapotban fogunk találni, időközben bármi történt legyen is odakint (322).

Ha most valamely testet pozitív elektromossággal töltünk, valamely pontban szükségképen épen annyi negatív elektromosságot gerjesztünk (329).

És ha megengedjük is, hogy ez a negatív töltés a földdel közlekedjék, azért még sem fog távozni a szobából, hanem megosztás révén visszatartatik (325).

Tegyük fel, hogy a test, melyet pozitív töltéssel látunk el, fémdarab, és kössük össze vezetőleg a földdel, úgy, hogy a földdel egyetemben egy gyűjtőt alkot. Pozitív elektromosságának a külső felületre kell húzódnia (321), hacsak nem talál már a falakon szétosztott ellenkező elektromosságra, melylyel közönbösödik. Ily módon sül ki az a fémdarab, mely valamely vezető üregében van és azt érinti: s ugyanígy értendő a földnek úgynevezett egyetemes gyűjtő-szerepe (305).

331. A szobában járkálva, talpünknek a padlóhoz való dörzsölődése, a testünkön levő ruhához, a tőlünk megmozdított

levegőhöz való dörzölődésünk, mind megannyi forrása az elektromosságnak. S azért külsőleg még sem mutatkozik a pozitív vagy negatív töltésnek legcsekélyebb nyoma sem. Sőt mi több, belsőleg rendkívül bonyolódott folyamata megy végbe azon fizikai és chemiai tűneményeknek, melyeknek összessége az életet alkotja, s a melyeknek mindegyikéről elmondhatjuk, hogy elektromos tűnemények kísérik. És mégis minden pozitív elektromozásnak elmaradhatatlanul megfelel az ellenkező elektromozás.

Úgy áll a dolog, mint ha olyas *valami* forogna szóban, a mi csak úgy gyűjthető össze valamely pontban, ha egy másiktól elvételik, úgy hogy minden fölöslegének éppen akkora hiány felel meg.

Ha ebből a szempontból indulunk ki, az elektromosság csak egyféle volna, és a két elektromos állapot csak elektromosságbeli fogyatkozásnak vagy gyarapodásnak felelne meg.

Ez egyike az anyag elengedhetetlen tulajdonságainak, vagy még szabatosabban szólva, elengedhetetlen tulajdonsága minden individuálisan létezőnek. Eme felfogás szerint az elektromosság az anyagnak egy igen finom, súlyméréseinknek alá nem vethető faja volna, a világtérbeli éterhez hasonló anyag, mely azonban teljesen különbözik a nehéz anyagtól, mert egészen más hatásokat tár elénk (323, 327). Fel lehetne talán tenni azt is, hogy az elektromosság az energia egyik alakja. Hisz az energiának is, ha egy testtől elvételik, szükségképpen meg kell jelennie egy másikban; az energia is elpusztíthatatlan. Az energia abban különbözik az anyagtól, hogy különböző, egymással átváltoztatható alakokat ölthet, míg a különböző anyagok egymással nem alakulnak át: a hidrogén nem válik oxigénné, mint a hogy a hő átalakul mechanikai munkává, vagy a chemiai helyzeti energia átalakul hővé.

Nos, habár kellőképen meg van állapítva, hogy az elektromosság magamagával mindig azonos marad és hogy az elektromos tűnemények az elektromosságnak egyik pontból a másikba

való átviteléből állanak; habár eddigelé nem lehetett az elektromosságnak akár hővé, akár mechanikai munkává, akár pedig az energia egy másik alakjává való átalakulását kimutatni: a tudomány jelenlegi állása mellett még sem lehet állítani, hogy az elektromosság az anyagnak valamilyen fajtája lenne.

332. Nincs továbbá semmi érvünk annak eldöntésére, hogy a két elektromos állapot közül melyik tulajdonítandó elektromosságbeli fölöslegnek, és melyik elektromosságbeli hiánynak; mégis, hogy gondolatainkat határozott fogalomhoz fűzhessük, egész önkényesen fel fogjuk tenni, hogy *a pozitív elektromozás az elektromosság hozzáadásának, a negatív pedig elvonásának felel meg*; de el kell készülnie lennünk, hogy e felfogást legott elejtjük, a mint valamely tény vele ellenkezik.

XXXVII. FEJEZET.

ELEKTROMOS POTENCIÁL.

333. Valaki előtt talán furcsának tűnhetik fel, mikor azt hallja, hogy az elektromosság nem hozható létre, hogy az elektromosság nem pusztítható el; hogy energia árán nem nyerhető, hogy eltűnése nem hővé való átalakulás, sem pedig sugárzó energiává vagy pedig a tömeg eleven erejévé való átalakulás.

Álljunk meg egy kissé ennél a pontnál, mert arra készlet, hogy minden kétértelműséget eloszlassunk.

Nagyon is igaz, és különböző esetekben ki is fogjuk mutatni, hogy az elektromozás munkát kíván, és hogy a természetes állapotba való visszatérés igen gyakran melegséget, fényt, kémiai szétbontást, mechanikai hatásokat létesít.

De hiszen munkát kíván az is, ha a kútból vizet meri-

tünk és a tetőn levő tartóba visszük; a tetőről alászálló víz pedig az energia legkülönbözőbb nyilvánulásait létesítheti. De azért mondjuk-e, hogy az elfogyasztott munka vízzé alakult át, és hogy azután a víz hővé, chemiai energiává vagy tudom is én mivé változott át?

Bizonyára nem. És ha nem mondjuk ezt a vízről, nem mondjuk az elektromosságról sem.

Munkát kell ugyan végeznünk, hogy valamely testet meg-elektromozzunk, de munkánk nem alakul át elektromossággá, jóllehet elosztását akként változtatja, hogy oly körülmények közé jut, melyekben munkánkat visszaadhatja. A megelektromozott test ugyanis vonz vagy taszít más testeket, és ezek mozgásba jöhetnek, azaz a tömegök eleven ereje megváltozhatik.

És most épen azon leszünk, hogy az elektromos erők munkáját tanulmányozzuk.

334. Lássunk először is csak két testet, melyeket egymáshoz dörzsölünk, vagy bármely más olyan műveletnek vetünk alá, mely őket elektromos állapotba juttatja. Ha az első q mennyiségű elektromosságra tett szert, a második (329) — q mennyiséget nyert, vagyis elfogadott álláspontunk (332) szerint ugyanannyit veszített.

E két test most vonzza egymást. Egyszerűség kedvéért oly kicsinyeknek teszszük fel őket, hogy méreteiket távolságukhoz képest, melyet r -rel fogunk jelölni, elhanyagolhassuk; az erő, melylyel egymást vonzzák, (327) szerint:

$$F = - \frac{q^2}{r^2}.$$

Magukra hagyva egymás felé közelednek, eleven erőre tesznek szert, összeütköznek, és elektromos vezető képességükhöz (304) képest kisebb-nagyobb idő elteltével természetes állapotba jutnak.

Az ebben a folyamatban fejlesztett hő egyenértéke azon

munkának, melyet elfogyasztottunk, hogy e két testet megelektromozzuk s egymástól r távolságba vigyük.

Ha ellenben távolságukat nagyobbítani akarjuk, folyton csökkenő erőt kell leküzdenünk, mely erő csak akkor válik zérussá, mikor a két test egymástól végtelen távolságban van. Ennélfogva olyatén munkát kell végeznünk, mint a minő megkívántatik, hogy súlyos testet a földtől eltávolítsunk (I, 99). És kimutatható (I, 144), hogy végtelen távolság elérésére megkívántató munkának ez a kifejezése:

$$\frac{q^2}{r}.$$

335. Ha ellenben egyenlő nevűleg elektromozott két test van jelen, melyek töltése q és q' és mind a kettő vagy pozitív vagy negatív, az

$$F = \frac{qq'}{r^2}$$

erővel fogják egymást taszítani, és magukra hagyva, végtelen kölcsönös távolságba jutnak, miközben egészben véve

$$\frac{qq'}{r}$$

eleven erőre tesznek szert, mely egyenértékű azon munkával, mely megkívántatik, hogy végtelen távolságból r távolságnyira közelítessenek egymáshoz.

Az esetben, ha e testek egyikének töltése épen az egység, azaz hogy $q' = 1$, kölcsönös hatásuk $\frac{q}{r^2}$ -re, elektromos energiájuk pedig $\frac{q}{r}$ -re redukálódik. És miként a gravitáció esetében (I, 145), úgy most is a

$$V = \frac{q}{r}$$

kifejezést potenciálnak nevezzük, mely q elektromosság-mennyiségtől származik és felhalmozódása pontjától számított

r távolságra vonatkozik; a **potenciál** egy adott pontban azt a munkát fejezi ki, melyet az elektromos erők végeznek, midőn a pozitív elektromosság egységével megtöltött anyagi részecske attól a ponttól végtelen távolságba megy át, s ily módon magát ezen erők hatása alól kívánja.

Ha a q töltés pozitív, a potenciál szintén pozitív és végrehajtott munkát fejez ki; az ellenkező esetben felemésztett munkát fejez ki, és pedig abszolút érték szerint azt a munkát adja, mely megkívántatik, hogy az elektromosság egységével megtöltött pont az elektromos vonzás ellenében végtelen távolságba vitessék.

336. Ha a q töltés a helyett, hogy egyetlen pontban össze volna gyűjtve, miként eddig feltettük, pontrendszerre, testre, vagy testrendszerre volna szétosztva: eme bonyolódottabb rendszertől származó potenciál egyenlő azon egyes pontok potenciáljainak összegével, melyekre a rendszer szétbontva képzelhető.

Legyenek e végből egy elektromozott test különböző pontjaiban levő pozitív vagy negatív elektromosságának mennyiségei q_1, q_2, q_3, \dots , egy adott P ponttól mért távolságaik pedig r_1, r_2, r_3, \dots ; akkor

$$V_r = \frac{q_1}{r_1} + \frac{q_2}{r_2} + \frac{q_3}{r_3} + \dots \quad (3)$$

összeg megadja ezen test elektromos potenciáljának P pontbeli értékét, mely mindenkor az elektromosság egységével megtöltött igen kicsiny testre ható elektromos erők munkáját fejezi ki, mialatt e testecske a tér illető pontjából a végtelenbe megy át.

337. Először is vegyünk figyelembe két P és Q pontot a tér azon részében, melyben elektromozott testektől származó hatások észrevehetők, vagy, miként mondani szoktuk, vegyünk figyelembe két P és Q pontot az **elektromos térben**, mely eme testektől származik; és tegyük fel, hogy egységnyi töltésű tes-

tecske P -ből Q -be átmehet a nélkül, hogy e miatt a tér tulajdonságai észrevehető módosulást szenvednének. Ezen átmenetnek bizonyos munka felel meg, melyet a mondottakból folyólag a P és Q pontbeli potenciálok különbsége fejez ki, és független a P és Q között befutott úttól.

Teljes szigorúsággal a **zérus-potenciál** csak minden elektromozott testtől való végtelen távolságban van.

Kényelem kedvéért azonban relatív zérusnak szoktuk felvenni a föld potenciálját, épen úgy, a mint a mérséklet zéruspontjául a jég olvadása pontját, vagy a magasságok zéruspontjául a tenger színét vesszük.

338. Ha két pontban levő potenciálok különbsége azt a munkát méri, mely egységnyi töltésű testecskének eme pontok egyikéből a másikába való átviteléhez megkívántatik, követke-



643. ábra. Potenciálkülönbség ábrázolása.

zik, hogy magának az ezen pontokat összekötő egyenes mentén ható **elektromos erőnek** középértékét megkapjuk, ha a potenciálok különbségét elosztjuk a távolsággal (I, 107);

$$F = \frac{V_p - V_q}{d} \quad (4),$$

és az erőnek ez a középértéke annál közelebb jár ahhoz a valódi értékhez, melylyel az egyik vagy a másik pontban bír, mentül kisebb d távolságuk. Az elektromos erőnek valódi értéke a P pontban és Px irányban tehát a következőképen van megadva:

$$F = \lim_{d \rightarrow 0} \frac{V_p - V_q}{d}. \quad (4a)$$

339. Habár fölöslegesnek látszhatnék, azért mégis újra felemlítjük, hogy azon pontok mértani helyét, melyeknek egy-azon potenciál felel meg, **egypotenciálú felületnek** vagy

pedig **szintfelületnek** is nevezzük (I, 148); hogy továbbá semmi munka sem kívántatik meg, ha elektromozott testek egypotenciálú felület mentén bármiként is elmozdulnak; hogy végre az egy pontbeli erők eredője, vagy a mint nevezni szokták: az **elektromos tér intenzitása**, — minthogy (4) értelmében az érintő irányában az elektromos erő zérus értékű — mindenkor merőleges a szintfelületre, számbeli értékét pedig a (4a) képlet adja, ha t. i. P_x az illető szintfelületre merőleges.

Hozzáteszszük még, hogy **erővonalnak** nevezzük azt a görbe vonalat, mely merőlegesen éri az összes szintfelületeket; vagy más szavakkal azt a görbét, melynek érintője minden pontban merőleges a szintfelületnek ugyanezen pontbeli érintő-síkjára; ez okból iránya minden pontban az eredő erő irányával megegyezik, vagyis ugyanaz, mint az **elektromos tér iránya** az illető pontban.

Erő-cső nevét az a csőszerű tér viseli, mely a szintfelület zárt elemét áthatoló erővonalaknak a geometriai helye.

340. A potenciál egyenlő, de elég közeli értékeihez tartozó szintfelületek rendszerének egy vagy több sík metszetét megszerkesztvén, az elektromos tér tulajdonságai grafikusan is előtűntethetők. Ezek a vonalak, a mint a (4) képlet követeli, sűrűbbek ottan, ahol a tér intenzitása nagyobb s viszont a tér intenzitása az egymásra következő felületek közével fordítva arányos.

Az elektromos tér intenzitása, valamint iránya bármely helyre nézve még így is előtűntethető: *meghúzzuk az erővonalakat s megállapodunk abban, hogy számuk az illető helybeli intenzitással arányos legyen*; vagyis, ha n a szintfelület σ elemén áthaladó erővonalak száma ott, a hol az intenzitás I , legyen

$$n = \sigma I.$$

A σI szorzmányt az **erő áramlásának** (flux of force) szokás nevezni, és pedig a σ felületen átvonuló áramlásnak; meg-

állapodásunk szerint tehát az erő áramlását az illető elemen átvonuló erővonalak száma fejezi ki.

Ha már most valamilyen a felületi elemet veszünk, mely azonban nem szintfelületnek eleme, akkor a rajta átmenő áramlást megkapjuk, ha az elemnek a rajta átvonuló felületre való vetületét az intenzitásnak helybeli értékével megszorozzuk, vagy pedig, a mi ugyanaz, ha a elem felületét az elektromos erőnek a normálisa menti összetevőjével szorozzuk meg. Így, ha a normálisa s az elektromos tér közé fogott szöget α jelöli, akkor az a -n átvonuló elektromos erő áramlása

$$aI \cos \alpha. \quad (5)$$

Hogy valamely véges A felületen átmenő teljes erőáramlás kiszámítható legyen, a felületet elemekre kell bontani; az egyes elemek áramlását az (5) képlet szerint külön kiszámítván s valamennyit összeadván, megvan a keresett mennyiség.

Világos, hogy egy erőcsőnek bármely keresztmetszetén átmenő erőáramlás állandó marad, hacsak a cső valahol elektromos töltést nem fog körül.

341. Az esetben, ha az elektromos tér csupán csak egy töltött ponthoz tartozik, a szintfelületek olyan gömbfelületek, melyek középpontja a töltött pontban van; az erővonalak a pontból kiinduló sugarak, az erőcsövek pedig csúcsaikkal a töltött pontban összejövő kúpok. A középpontból r távolságban a potenciál $\frac{q}{r}$ s a tér intenzitása $\frac{q}{r^2}$; a gömbfelület σ elemén átmenő erőáramlás

$$n = \sigma \frac{q}{r^2}$$

s az egész felületen átmenő áramlás

$$N = 4\pi r^2 \frac{q}{r^2} = 4\pi q.$$

A teljes erőáramlásnak értéke tehát bármely zárt felületre

nézve, beleértve magát az elektromozott pontot is, mindenütt ugyanaz.

De ha az elektromos teret több elektromozott pont vagy test létesíti, akkor a szintfelületek többé-kevésbé bonyolódott alakot öltenek; ámde az *egy zárt felületen átmenő teljes erőáramlás mindenkor a körülfogott töltések algebrai összegével egyenlő, azt még 4π -vel megszorozván*. Abban a külön esetben, ha a körülfogott töltés zérus, a felületen átmenő áramlás értéke is zérus, és megfordítva, *ha valamely zárt felületen egy erővonal sem hatol keresztül, a felülettől körülfogott töltések algebrai összege zérus*.

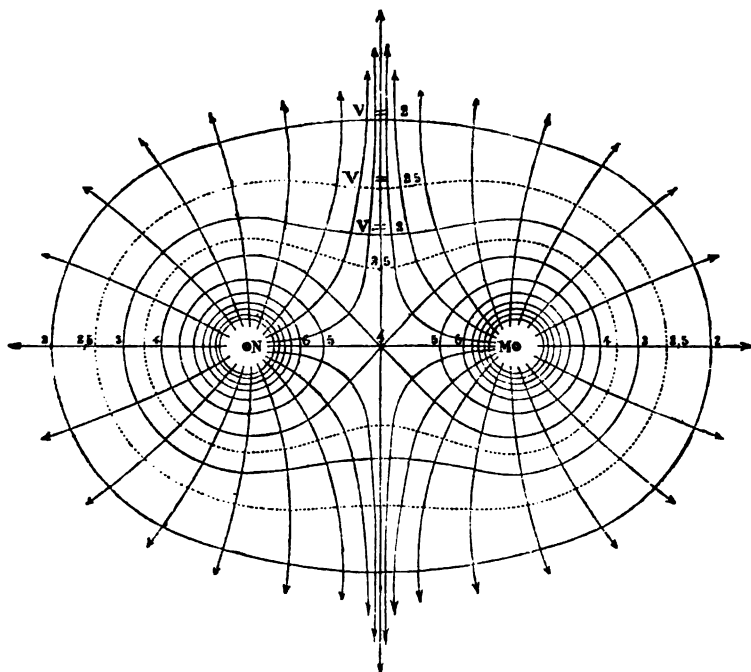
342. Belátható, hogy az egyetlen egy elektromos középponthoz tartozó elektromos térben a szintfelületek, ha messzebb és messzebb fekvő pontokat veszünk szemügyre, mindinkább összeesnek az illető pontbeli érintő-síkjaikkal s hogy egyúttal a potenciálnak hosszegységenkénti változása mindig kisebbedik. A középponttól igen messze fekvő pontokban a szintfelületek síkoknak tekinthetők; az erővonalak pedig párhuzamos egyeneseknek vehetők, úgy mint a földfelületnek nem túlnagy kiterjedésű részén a különböző pontokhoz tartozó függélyesek; és továbbá, a mint a földi nehézség terében a test nehézségét a magasságtól függetlennek vesszük, úgy vesszük állandónak a most szemügyre vett elektromos térben az intenzitást s ugyancsak állandónak a potenciálnak hosszegységenkénti változását. Az állandóság egész szigorúan véve csakis az elektromozott középponttól végtelen távolságban következik be. Ez esetben **egyenletes elektromos tér** támad.

343. Abban az esetben, ha az elektromosságot két M és N pont létesíti, melyeknek pozitív a töltések és q -val egyenlő, az M és N -től r , illetőleg r' távolságban levő P pontban a potenciál (3) szerint nyilván

$$V = q \left(\frac{1}{r} + \frac{1}{r'} \right).$$

A 644. ábra az M és N pontokon átmenő síkba eső metszetei az egypotencziálú felületeknek, és pedig a következő egyenlőközü értékeknek megfelelőleg:

$$V = 2; 2,5; 3; 3,5; 4; \dots$$



644. ábra. Egypotencziálú felületek és erővonalak.

$MN = 4$ cm és $q = 4$ vétetett; a rajzban még az erővonalak is fel vannak tüntetve.

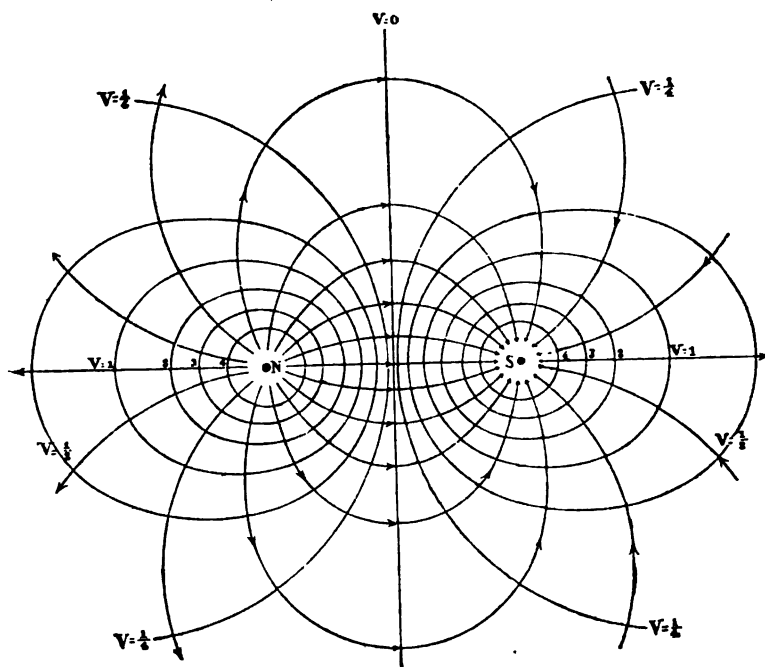
A 645. ábra ellenben azt az esetet tünteti elő, melyben N pozitív, S pedig az előbbivel egyenlő negatív töltéssel van ellátva. A potenciál most a következő:

$$V = q \left(\frac{1}{r} - \frac{1}{r'} \right).$$

Nyilvánvaló, hogy $r = r'$, vagyis az N és S -től egyenlő távolságban levő pontokra nézve $V = 0$; eszerint ezen pontok geometriai helye olyan szintfelület, mely a teret a pozitív

potenciállok s a negatív potenciállok terére osztja; az első az N , a második pedig az S oldala. A többi, a

$$V = 1/4, 1/2, 1, 2, 3, 4, \dots$$



645. ábra. Egy potenciáltól felületek és erővonalak.

értékeknek megfelelő felületek tojásdad alakúak, melyek annál jobban közelednek a gömbfelülethez, mennél közelebb vannak az egyik, vagy másik ható középponthoz. Valamennyi erővonal ezen középpontokból indul ki: egyikök az NS egyenes, a többi homorú oldalával mind feléje fordul, s annál jobban görbül, mennél inkább távolodik tőle.

344. Ha jól megértettük a potenciál jelentményét (335), legott észreveszszük, hogy ha egy bizonyos pontbeli V értékét valamely q' elektromosság-mennyiséggel megszorozzuk, úgy

ama munka kifejezését nyerjük, melyet a szerint, a mint Vq' pozitív vagy negatív, az elektromos erők végeznek, vagy a melyet ezen erőkkel szemben el kell fogyasztani, midőn ezen q' töltés a figyelembe vett pontból a végtelenbe mozdul el.

Ezt előrebecsátván, vegyünk figyelembe valamely testet, melynek pozitív töltése q' , és vizsgáljuk meg mozgását a mozdatatlannak feltételezett többi töltéshez viszonyítva (I, 16). Ha oly pontban van, melyben a többi töltéstől származó V potenciál pozitív, Vq' azon munka fog lenni, melyet az elektromos erők végrehajtanak, midőn a test a végtelenbe vitetik, hol is $V = 0$; innét kitűnik, hogy kisebb potenciálú pontok felé törekszik elmozdulni.

Ugyanez áll akkor is, midőn ez a pozitív töltésű test negatív potenciállal rendelkező pontban van, mert ekkor $Vq' < 0$ azt a munkát méri, melyet az elektromos erőkkel szemben végeznünk kellene, hogy végtelen távolságba vigyük, és ennél fogva ezek az erők azon vannak, hogy oly pontok felé mozdítsák, melyekben a negatívnek megmaradó V folyton növekedő abszolút értékeket vesz fel.

Ily módon mondjuk a gravitációval való analogia szerint, hogy *pozitív elektromos töltésű test magasabb potenciálú pontokból alacsonyabb potenciálú pontok felé igyekszik elmozdulni.*

345. Az eddig mondottakban arra az esetre szorítkoztunk, hogy az elektromosság csak annyiban mozdul el a térben, a mennyiben a vele megtöltött testek elmozdulnak, és nem tekintünk azokra az elmozdulásokra, melyeknek az elektromosság ugyanezen testek részeire vonatkozólag alávethető. Pedig tudjuk, hogy ilyen elmozdulások előfordulnak, mert láttuk, hogy a különböző testek, különösen pedig a jó vezetők, vagy vezetés (304) vagy megosztás (311) útján töltetnek meg és süttetnek ki.

Ha a levegő jól vezetné az elektromosságot, nyilvánvaló, hogy például valamely fémmel közölt bármely töltés legalább

is a légkör határáig húzódnék ; mert tudjuk, hogy az elektromosság nem marad a vezetők belsejében, hanem felületükre húzódik.

Másrészt megjegyeztük, hogy a mikor valamely elektromozott test egy másik testet vonz vagy taszít, ez utóbbi soha sincs természetes állapotban **(311)**. Ennélfogva logikus az a feltevés, hogy az elektromos hatások nem érik közvetlenül az anyagot, hanem az ezen levő elektromosságot, s csak ennek révén közlődnék az anyaggal.

E szerint az elektromos erők munkáját a testektől függetlenül is tekinthetnők, s például mondhatnók, hogy az elektromos potenciál a tér egy adott pontjában azt a munkát fejezi ki, melyet ezen erők végrehajtanak, midőn a pozitív elektromosság egysége e ponttól a végtelenbe megy át.

Két pontra vonatkozó potenciál-különbség pedig az egysegnyi töltésnek az egyik pontból a másikba való átmenete alkalmával végzett munkát fejezné ki.

Es érthetővé válik, hogy a pozitív elektromosság mindinkább az alacsonyabb potenciálú tájak felé terjedni igyekszik, a mint hogy tényleg terjed is, ha átmenetelében akadályokra nem talál, azaz ha vezetőben van.

Ebből az egyszerű megfontolásból egy tétel következik, mely azon alaptörvény következményének is tekinthető, hogy az elektromos hatások eredője valamely vezető belső pontjaiban egyenlő a zérussal **(322)**. Vagyis következik, hogy *egyen-súly esetében valamely vezetőnek úgy belső, mint felületi pontjaiban a potenciálnak egyazon értékűnek kell lennie*, és hogy ennél fogva ezen vezetőnek valamely szigetelővel érintkező felülete egypotenciálú felület tartozik lenni.

346. Következik továbbá, hogy a midőn különböző potenciálú két vezetőt fémdróttal összekötünk, a magasabb potenciálúból a másikba pozitív elektromosságnak kell mindaddig átmennie, míg az egész vezető rendszerben a potenciál egyenlővé nem vált.

Végül ugyancsak mint következményt említjük fel, hogy ha kezdetben elektromosság nélkül való két fémgolyócskát az elektromos tér olyan két pontjába helyezünk, melyekben a potenciál különböző, és ezután dróttal összekötünk, a golyócskák egyenlő és ellenkező töltést vesznek fel; ha most az elektromos tér állapotát megváltoztatjuk, pozitívva az lesz, a melyeknek helyén a potenciál előbb alacsonyabb volt, negatívvá pedig a másik, melynek helyén a potenciál magasabb volt összekötésük előtt.

XXXVIII. FEJEZET.

AZ ELEKTROMOSSÁG ELOSZTÓDÁSA A VEZETŐKBEN.

347. Tekintsünk most egy a térben elszigetelt vezető gömböt; és hogy tényleg létesíthető állapottal legyen dolgunk, képzeljük a gömböt hosszú selyemszálon felfüggesztve és pedig oly messze minden más tárgytól, hogy tőlük semmi észrevehető megosztásban nem részesüljön. Közöljünk vele Q elektromosságot, mely a szimmétrianál fogva egyenletesen osztódik el.

Eme töltésnél fogva a potenciál a gömbön kívül fekvő különböző pontokban más meg más értékeket fog felvenni, és kimutatható, hogy a középponttól való L távolságban épen azt a $\frac{Q}{L}$ értéket veszi fel, melyet felvenne, ha a Q töltés magában a középpontban volna egyesítve (I, 139). Azonban a gömbön belül fekvő pontok mindegyike egyazon potenciálon van (345), s hogy értéket megkapjuk, elegendő, ha a középpontra nézve határozzuk meg. E végből képzeljük a gömbfelületet elemekre felosztva, melyek mindegyikére a maga elemi töltése esik, és vegyük

figyelembe, hogy a keresett potenciál, melyet V_0 jelöljön, összege (336) amaz elemi potenciáloknak, melyeket a középponttól R távolságban levő ugyanannyi ponttól származottaknak tekinthetünk. Így tehát:

$$V_0 = \frac{Q}{R},$$

mely érték adott töltés mellett fordított viszonyban van a gömb sugarával.

348. S viszont, ha különböző gömböket ugyanazon V_0 potenciálra akarunk emelni, sugaraikkal arányos elektromosság-mennyiségeket ($Q = RV_0$) kell velük közölni.

Már most az olyan vezetőt, mely több elektromosságot kíván meg, mint egy másik, hogy egyazon potenciálra emeltesék, nagyobb elektromos térfogatúnak, kapacitásúnak mondjuk; valamely vezető **elektromos kapacitását** meghatározza töltésének ahhoz a potenciálhoz való viszonya, melyre ez a töltés a vezetőt emeli. Ha C -vel jelöljük, úgy:

$$C = \frac{Q}{V_0},$$

mely képlet szerint valamely vezető elektromos kapacitása kifejezi még azt az elektromosság-mennyiséget, melyet vele közölni kell, hogy potenciálja az egységgel emelkedjék.

A gömb kapacitását tehát ugyanaz a szám fejezi ki, mely a sugarát adja, s így például a tőlünk elfogadott mértékrendszer (327) szerint 1 cm sugarú gömb a kapacitás egységével rendelkezik.

Az olyan vezetőnek, mely semmi elektromos megosztásnak alávetve nincs, állandó kapacitása van, mely csakis külső felületének (324) (370) alakjától és méreteitől függ, és kimutatható, hogy geometriailag hasonló vezetőkre nézve homolog méreteikkel arányos.

349. Legyen adva bárminő két vezető egymástól akkora távolságban, hogy egymásra észrevehető megosztó hatással ne

legyenek; C és C' kapacitásaikkal arányos töltéseik legyenek Q és Q' , úgy hogy tehát (348) egyazon V potenciálón legyenek. Ha a vezetőket összekötjük egy fémdróttal, mely oly vékony, hogy kapacitása elhanyagolható, az új rendszer még mindig ugyanazon a potenciálón marad:

$$V = \frac{Q}{C} = \frac{Q'}{C'} = \frac{Q + Q'}{C + C'}$$

és következésképen kapacitása $C + C'$.

Ha azonban a szigetelt vezetőkön levő Q és Q' elektromosság-mennyiségek nem úgy állanak egymáshoz, mint a vezetők C és C' kapacitásai, akkor a vezetők potenciáljai különbözők; nevezetesen pedig

$$V = \frac{Q}{C}, \quad V' = \frac{Q'}{C'}$$

Ha tehát ez esetben is elhanyagolható kapacitású dróttal összeköttetést létesítünk közöttük, a magasabb potenciálú vezetőről elektromosság megy át a másikra (345) mindaddig, míg új egyensúlyi állapot nem jön létre; ezt az a feltétel határozza meg, hogy a potenciál új, az egész összetett vezetőre nézve állandó V'' értéket vesz fel:

$$V'' = \frac{Q + Q'}{C + C'} = \frac{VC + V'C'}{C + C'}.$$

Hogy meghatározzuk azon q illetőleg q' töltést, mely a vezetők mindegyikét emez új állapotban megilleti, csak a

$$V'' = \frac{q}{C} = \frac{q'}{C'}$$

feltételt kell felírunk, melyből

$$q = \frac{C}{C + C'}(Q + Q'); \quad q' = \frac{C'}{C + C'}(Q + Q').$$

350. Általában, ha akárhány vezető van jelen, de egymástól akkora távolságokban, hogy kölcsönös megosztó hatásuk elenyésző legyen, ha kapacitásai C, C', C'', \dots , töltéseik

Q', Q'', Q''', \dots , és ha őket igen vékony drótokkal kötjük össze, egyetlen vezetőt fognak alkotni, melynek töltése:

$$Q = Q' + Q'' + Q''' + \dots,$$

kapacitása:

$$C = C' + C'' + C''' + \dots,$$

potenciálja:

$$V = \frac{Q}{C},$$

és mivel

$$Q' = V'C', \quad Q'' = V''C'' \dots,$$

úgy:

$$VC = V'C' + V''C'' + V'''C''' + \dots \quad (1)$$

351. Érdekes kiemelnünk, hogy ugyanezen képletekre jutnánk, ha elektromos kapacitások, elektromosság-mennyiségek és potenciálok helyett hőkapacitásokat (I, 365), hőmennyiségeket és mérsékleteket tárgyalnánk. Megjegyzendő, hogy a hőtűnemények és az elektromos tűnemények között még más analógiák is vannak: így például a hő valamely vezető magasabb mérsékletű pontjaitól az alacsonyabb mérsékletűekre megy át. Azonban a míg valamely test hőkapacitása függ a test tömegétől és anyagi minőségétől és független az alakjától, addig az elektromos kapacitásra nézve éppen az ellenkező áll (348).

Egyébiránt ezek az analógiák semmiben sem derítik fel az elektromosság természetét. És még több más analógiát is állíthatunk fel.

Így például, ha egyazon vízszintes síkra több, S', S'', S''', \dots keresztmetszetű henger van téve, melyek A', A'', A''', \dots magasságokig vízzel vannak megtöltve, és ha őket igen szűk csövekkel összekötjük, a víz azokból a tartókból, melyekben magasabban áll, azokba fog átömleni, melyekben mélyebben áll, úgy hogy végre valamennyiben egyazon A magasságig emelkedik, melynek értékét az (1) alattival azonos

$$A(S' + S'' + S''' \dots) = A'S' + A''S'' + A'''S''' + \dots$$

képlet határozza meg.

Valamint ez az analógia a hő és a víz viselkedése között épen nem bizonyítja, hogy a hő valamelyes anyagmennyiség, épen úgy maga a hő- és az elektromos tűnemények közötti analógia semmiképen sem keltheti azt a vélekedést, mely szerint az elektromosság az energia egy faja volna.

Különben tartsuk szem előtt, hogy a mérséklet és az elektromos potenciál közötti analógia csak matematikai szempontból áll fen és a tűnemények természetére másféle közösség nem található; a mérséklet emelkedése a fizikai tulajdonságokban változásokat idéz elő, növeli a térfogatot, megváltoztatja a halmazállapotot, stb., míg valamely vezető burkolatba zárt test bármily magas potenciálra emelhető a nélkül, hogy valamely hatás mutatkoznék rajta (330).

352. Nyilvánvalónak vettük fel, hogy minden megosztó hatástól megóvott gömbön az elektromosság egyenletesen oszódik el (347). Ha így áll a dolog, minden felület-egység töltését, vagy a mint mondjuk, az **elektromosság sűrűségét** (ρ) megkapjuk, ha az egész Q töltést a $4\pi R^2$ felülettel elosztjuk, azaz :

$$\rho = \frac{Q}{4\pi R^2}. \quad (1)$$

Minden más esetben, midőn az elosztódás nem egyenletes, az egész töltést elosztván a felülettel, csak a sűrűség középértékét nyerjük; de ha a felületnek egy kicsiny s részét vesszük, mely egy adott pontot tartalmaz, és ha vele elosztjuk a rajta levő q töltést, úgy $q:s$ adja ezen a kicsiny tájékon a közepsűrűséget, és annál jobban meg fogja közelíteni az adott pontbeli sűrűséget, mentül kisebb s . Nyilvánvaló, hogy itt felületi sűrűségről van szó, mert képtelenség volna az elektromosságnak a vezető térfogatában való elosztódásáról szólni. Azonban a szigetelők esetében nagyon is helyén lehet a térfogat-egységenkénti töltésről is szólnunk.

353. A nem gömbalakú vezetőkön a sűrűség pontról-pontra változik, és változásának törvényét bizonyos esetekben meg-

határozhatjuk számítás útján azon tétel segítségével, hogy a potenciálnak a vezetőkön állandónak kell lennie (344); de mindig megállapítható kísérleti úton az úgynevezett *próba-korong* segítségével. Ez szigetelő markolattal ellátott vezető korongocska, melyet a megvizsgálandó pontra illesztünk és ezután a COULOMB-féle mérleg (317) álló golyócskája helyébe teszünk a végből, hogy megmérjük a mozgó golyócskára ható taszítását és ebből meghatározzuk azt az elektromosság mennyiségét, melyet a korongocska a szigetelt vezetőről elvitt, mely mennyiség (szem előtt tartva sok óvatosságot, melyekről itt nem szólunk) megközelítőleg arányos a megvizsgálandó pontban való sűrűséggel.*

354. A széteszlódás kiszámítása nagyon bonyolódott és csak kevés különös esetben volt kivihető; de mindig a tapasztalással megegyező eredményeket adott. Hogy fogalmunk legyen ezen eredményekről, példaképen azt a vezetőt tanulmányozhatjuk, mely két, a kölcsönös megosztó hatások körén kívül álló és egymással igen vékony dróttal összekötött gömbből áll. E gömbök egyazon potenciálon vannak, töltéseik pedig sugaraikkal arányosak (348), és ennél fogva elektromos sűrűségeik, az (1) alatti kifejezésből folyólag a sugarakkal egyszerű fordított viszonyban vannak. Általában, az elektromos sűrűség valamely vezető felületén nagyobb azokban a pontokban, melyekben a felület görbültebb. Így például valamely ellipszoidon az elektromosság nagyobb mennyiségben gyülemlik össze a nagy tengely végein; és ha az ellipszoid nagyon hosszúdad, az elektromos

* Az arányosságnak ez a törvénye pusztán csak tapasztalati, mert a próbakorong elmélete olyatén számításbeli nehézségekkel jár, hogy szabatos kifejtése még nem sikerült. Azonban BELTRAMI tanár teljes szigorúsággal kimutatta, hogy ha a korongocskát helyett parányi félgömböt használunk és alapját a megvizsgálandó vezetőre illesztjük, a félgömb mindenkor háromszorosát viszi el a megvizsgált területecskén az érintés előtt meglevő töltésnek. A gyakorlatban czélszerű, ha a félgömb alapja kissé homorú, hogy érintéskor köralakú széle a lehető legjobban ráilleszkedjék a vezető felületére.

sűrűség e végeken igen nagy, elannyira, hogy valamely hegyben, például egy kúp csúcsában, végtelenné kell válnia.

Ha ilyen csúcscsal ellátott vezetőt tényleg meg akarunk elektromozni, ez sehogys sem sikerül, bármilyen jól legyen is elszigetelve. Ennek oka abban rejlik, hogy a sűrűség soha sem léphet túl egy bizonyos, a levegőnek az elektromosság kiáramlását akadályozó ellenállásától függő értéket (négyzet-céntiméterenként 10 elektromosság-egységet), miként ezt a következőkben szabatosabban is ki fogjuk fejteni.

355. Tekintsünk most is egy gömböt, mert ez a legegyszerűbb és az egyedüli eset, melyhez elemi algebrai ismeretekkel hozzáférhetünk. A gömb belső pontjaiban a potenciálnak állandó értéke van, melyet a következő képlettel (347) fejeztünk ki:

$$V_o = \frac{Q}{R},$$

mely a 352. p. (1) képletével való kapcsolatban így alakul:

$$V_o = 4\pi R\rho.$$

A külső pontokban változó, és a középponttól r távolságban értéke (347):

$$V = \frac{Q}{r}.$$

A pozitív elektromosság egységével töltött részecskét, ha ezen vezető felületének közvetlen közelében van, taszítja egy olyan erő, mely a felületre merőleges s melynek nagysága a 340. p. alkalmazása révén meghatározható és pedig a következőképen:

$$\frac{V_o - V}{r - R} = \frac{Q}{Rr},$$

mely kifejezésnek $r = R$ határesetnek megfelelő értéke

$$\lim \frac{V_o - V}{r - R} = F = \frac{Q}{R^2},$$

vagy pedig 352. (1) képletének felhasználása után

$$F = 4\pi\rho. \quad (2)$$

Bebizonyítható, hogy ez a tétel általános érvényességű, vagyis hogy az elektromos tér intenzitását a vezetőkhöz igen közel levő pontokban mindig a (2) alatti képlet adja meg, melyben ρ a vezető illető pontjához tartozó elektromos sűrűséget jelenti.

356. Ezeknek, és a **342.** pontban mondottaknak nyomán megjegyezzük, hogy ha a felület-egységre ρ mennyiségű elektromosság vitetnék, az

$$F\rho = 4\pi\rho^2$$

erővel taszítatnék.

Ámde ha meg akarnók határozni a nyomást, melylyel a vezető felületén eloszlott elektromosság a levegőbe hatolni törekszik, vagyis az elektromos feszültséget: a ρ töltést nem kell a felületre rávinnünk, mert úgy is ott van, hiszen az egész töltésnek részét teszi s eme körülményt tekintve kimutatható, hogy az elektromos feszültség az előbb felírt erőnek fele, vagyis

$$T = 2\pi\rho^2.$$

E szerint az elektromos feszültség arányos az ebben a pontban meglevő elektromos sűrűség négyzetével.

Ha most figyelembe vesszük a gömbön levő elektromos sűrűségnek következő kifejezését (**355**):

$$\rho = \frac{Q}{4\pi R^2} = \frac{V}{4\pi R}$$

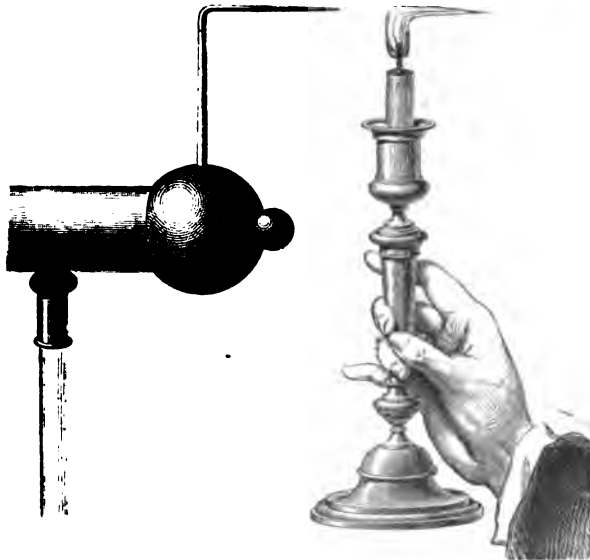
észre vesszük, hogy a sűrűség a potenciállal együtt növekszik, és növekszik akkor is, ha a sugár fogy; ennél fogva egyazon gömbre nézve a töltés erősítésével, vagyis a potenciál fokozásával bizonyos, a levegő ellenállásával még megegyeztethető maximum felé közeledik; ugyanez áll, ha változatlan potenciál, vagy változatlan töltés mellett a gömb sugarát kisebbitjük.

Mentül kisebb a gömb, az elektromosság annál könnyebben megy át a levegőbe.

Bármily alakú vezetõn a sűrűség nagyobb ott, hol a görbület erősebb (357); tehát az elektromosság-vesztés e helyeken fog bekövetkezni.

S ezzel megmagyaráztuk a csúcsok hatását.

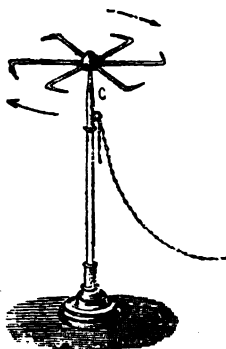
357. De teljesen eldöntetlen marad az a kérdés, hogy az elektromosság a csúcsokon ki vagy beáramlik-e a szerint, a mint pozitív vagy negatív. Mind a két esetben kézzel is érezhető lég-



646. ábra. Elektromos szél.

áram, az *elektromos szél* keletkezik, mely a gyertya-lángot oldalt fújhatja, sőt ki is olthatja. Ez a kísérlet könnyen sikerül, ha az elektromozó gép gyűjtőjét csúccsal szereljük fel (646. ábra). Nagy tévedés volna azonban az ilyen áramlásokat az elektromosság kiömlésének tekinteni; az áramlást a levegő-molekulák idézik elő, melyek a vezetővel érintkezvén, egynevé elektromosságot vesznek fel, s ennél fogva eltaszítatnak. A veze-

tőre visszahatván, ezt megmozdíthatják, miként az elektromos szélkerék nevű játékon látjuk, melyet a 647. ábra tüntet elő.



647. ábra. Elektromos szélkerék.

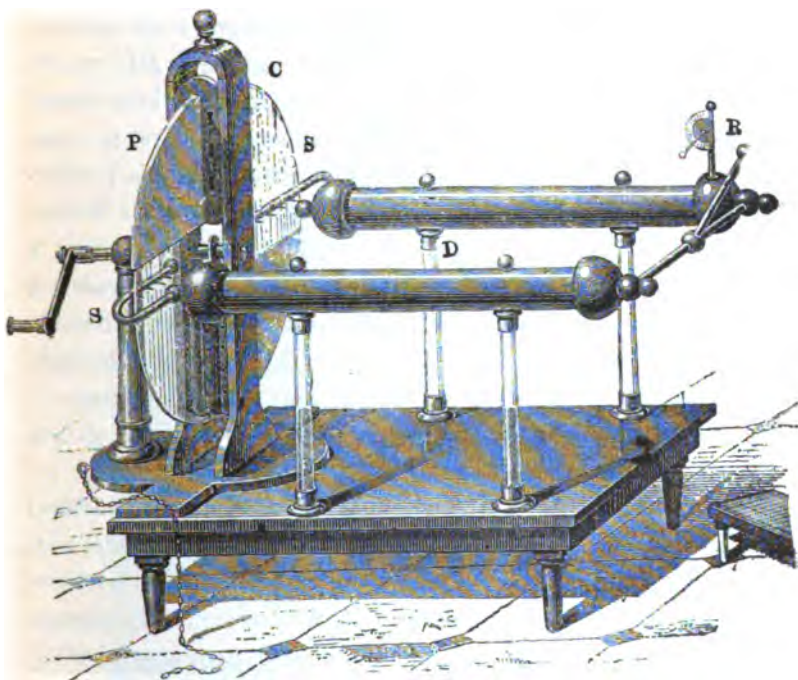
358. Egy különbség mégis mutatkozik az elektromozásnak két módja között: sötét szobában a csúcs végén szemmel látható egy fényes bojt, midőn a pozitív elektromos állapot megy át a csúcsból a levegőbe; ha pedig a negatív állapot megy át, a csúcson fénylő csillagocskák jelentkeznek. Csakhogy eme különbség okának megmagyarázásával szemben tehetetlenek vagyunk.

Ily alakokban mutatkozik a tűnemény, midőn az elektromosság vezetőről levegőbe megy át. Ha ellenben valamely vezető közelébe egy másik, akár szigetelt, akár nem szigetelt vezetőt teszünk: az elektromosságnak a felületükön való elosztódását a kölcsönös megosztás alaposan megváltoztatja; az elektromos sűrűség s ezzel együtt a feszültség is a szemközti fekvő pontokban elannyira fokozódik, hogy bizonyos távolságban a levegő ellenállását legyőzi: a levegő szétszakad s az elektromosság az egyik vezetőről a másikra szikra alakjában megy át. Ezzel még behatóbban fogunk foglalkozni; most csak annyit jegyzünk meg, hogy a midőn a szikra egy elektromozott és egy kisütött, de elszigetelt vezető között ugrik át, ez utóbbi az előbbennek elektromos állapotát veszi fel.

XXXIX. FEJEZET.

ELEKTROMOZÓ GÉPEK.

359. Mielőtt tovább mennénk, helyén való, hogy néhány elektromozó gépet megismerjünk. A közönségesebb **dörzsölve elektromozó gép** egyikét a 648. ábra mutatja. A *P* üvegkorong a *C*-vel jelölt párnák két párja között forgatható,



648. ábra. Ramsden-féle elektromozó gép.

mely párnák flanelnek és ónlemezeknek több váltakozó rétegéből állanak és selyemmel vannak borítva, vagy pedig lószőrrel átvarrott vékony bőrből valók. A korongot ily módon folytono-

san dörzsöljük és pozitív elektromossággal látjuk el. Intenzívebb elektromozás céljából a párnákat félig folyós cink-amalgámmal (3 rész cink, 2 rész kénesőre) vonjuk be.

A korongot, miként az ábrában látható, az S, S' fémfésűk két párja fogja körül, a melyek a gép DD' gyűjtőjének részét teszik. A gyűjtő jól el van szigetelve, ellenben a párnák egy láncz révén a földdel közlekednek.

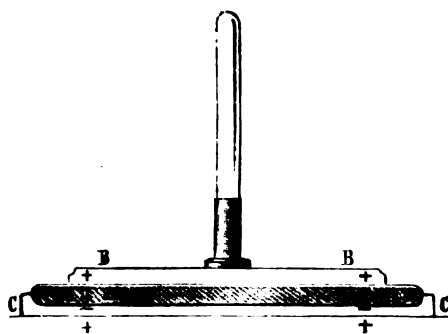
Midőn a pozitív-elektromos korong a fésűk között elhalad, a gyűjtőt megosztás útján megelektromozza.

A pozitív-elektromos állapot a messzebb fekvő tájakon nyilvánul (313), a negatív pedig a csúcsokon, honnét átmegy a levegőbe (359), a levegőből pedig a korongra s ezt részben természetes állapotba helyezi vissza. Ily módon a DD' gyűjtő pozitív-elektromossággal telik meg, miként már kimutattuk (315), s miként erről az R elektroszkóp segítségével is meggyőződhetünk. De ép oly jogosan állíthatnók, hogy a pozitív-elektromosság a korongról a levegőn és a csúcsokon át közvetlenül rámegy a korongra. Sőt a tűneményt épen ebből a szempontból kell tekintenünk, ha hívek akarunk maradni a 332. pontbeli megállapodásokhoz, melyek szerint feltettük, hogy a pozitív-elektromos állapot az elektromosság fölöslegének, a negatív pedig az elektromosság hiányának felel meg.

Ebonit-korongot és flanel-párnákat használva, a gyűjtő negatív töltést nyerne.

Ha a párnákat szigetelve tartanók és szigetelt gyűjtővel kötnők össze, a csúcsokkal felszerelt gyűjtő pedig a földdel közlekednék, nyilvánvaló, hogy a korongéval ellenkező elektromosságot gyűjthetnénk össze. Ez a berendezés némely gépben tényleg meg van valósítva, melyek leírására nem terjeszkedhetünk ki.

260. E helyett inkább a Volta-féle elektrofort fogjuk leírni. A CC fémtányérba (649. ábra) különböző gyanták megolvasztott keverékét öntjük, melyet akként hagyunk megszilárdulni, hogy



649. ábra. Volta-féle elektrofor.



650. ábra. Az elektrofor kezelése.

felülete síma maradjon (*AA*). Eztagyanta-korongot (mely helyett ebonit-korong is használható) az elektrofor *lepényének* nevezzük. Erre egy vezető korongot, úgynevezett *fedőt* (rendszerint ónlemezzel bevont fatányért) teszünk, mely valamivel kisebb és szigetelő nyéllel van ellátva (*BB*).

Hogy az elektrofor működjék, a lepényt macskaszőrrel vagy róka farkkal megveregetjük, mitől a lepény negatív elektromossá lesz, ezután ráteszszük a fedőt, melyből ujjunkkal szikrát húzunk ki (650. ábra). Végre a nyéllel felemeljük a fedőt; elegendő pozitív töltést találunk benne, hogy szép szikrát kaphassunk.

Egész könyvet kellene összeírnunk, ha elő akarnók terjesztetni mindazokat a vizsgálatokat és végnélküli vitatkozásokat, melyeknek tárgya e készülék tulajdonságai voltak; itt meg kell elégednünk igen rövid vázlattal, hogy számot adjunk működése módjáról.

A lepénynek negatív töltése van; a természetes állapotban levő és szigetelt fedőt ráteszszük. Bármily simák is az érintkeztetett felületek, a valóságban aligha érintkeznek háromnál több pontban és lehetséges, hogy emez érintkező pontokban valami kevés negatív elektromosság megy át a fedőbe.

A valóságban azonban a fedőt a lepény megosztó hatásának alávetett vezetőnek kell tekinteni. Felső lapja a megosztóval egynevűvé, tehát negatívvá, alsó lapja pedig pozitívvá válik. Ha most a földdel való közlekedést létrehozuk, a negatív elektromosság a szoba falain szétoszlik (330). Ha ezt az összeköttetést megszakítjuk és a fedőt felemeljük, pozitív töltése, mely alsó lapján visszatartatott, most szabadon szétterül az egész felületen s ezt aránylag magas potenciálra emeli. Ily módon az a munka, melylyel a két ellenkező töltést egymástól eltávolítottuk, helyzeti energiává alakult át.

Ha a fedőt felemeljük a nélkül, hogy előbb a földdel összeköttöttük volna, természetes állapotban kellene maradnia, vagy inkább a fedővel kevés pontban való érintkezése révén gyenge

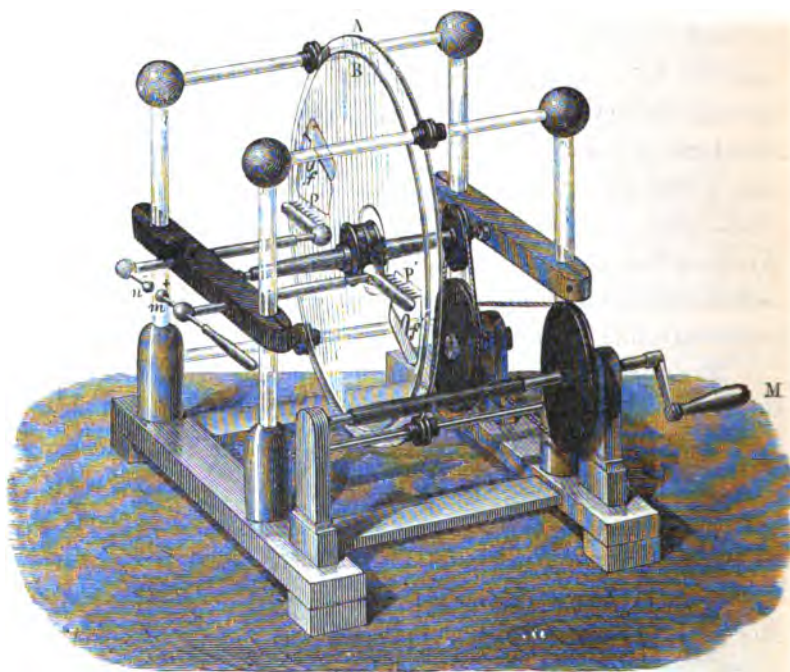
negatív töltést kellene elárulnia. Azonban ha az elektroszkóppal megvizsgáljuk, azt tapasztaljuk, hogy még ez esetben is a legtöbbször pozitív-elektromos, minek oka a szétszóródás, melynél fogva a megosztásbeli negatív elektromosság csekély része a földdel közlődik.

361. Valahányszor a lepényre tett fedőt összekötjük a földdel s ezután felemeljük, mindannyiszor pozitív-elektromossággal rendelkezünk, melyet például valamely vezetővel közölhetünk. És ha ezt a műveletet többször ismételjük, a vezetővel, bármekkora légyen is a kapacitása, annyi elektromosságot közölhetünk, a mennyi megkivántatik, hogy ugyanarra a potenciálra emelkedjék, a melyen a felemelt fedő van. Sőt ha ez a vezető üres volna, és a fedővel belülről érintenők, emennek egymásra következő töltései a külső felületre huzódnának **(321)** és potenciálját oly magasra emelnék, a milyenre szigetelésbeli körülményeinél fogva egyáltalában emelkedhetnék **(359)**.

Már most érthető, hogy alkalmas gépezettel mindezek a különböző érintések létrehozhatók és a fedő mindezeknek a mozgásoknak alávethető, vagyis hogy olyan gép szerkeszthető, mely az eredetileg dörzsölés útján vele közölt elektromosságot megsokszorozza. Az erre az elvre alapított gépek az úgynevezett **elektromos duplikátorok**, minőket **BELLI**, **BENNET**, **NICHOLSON** és mások szerkesztettek; az olvasót, ki ezeknek berendezésével meg akar ismerkedni, az illető speciális művekre utaljuk. De azóta, hogy **TOEPLER** és **HOLTZ** az ő megosztásbeli elektromos gépüket feltalálták, mindezek az eszközök már csak történelmi érdekűek.

362. Lássuk az egyszerűbb **Holtz-féle gépet**, melyet a 451. ábra tüntet elő. E gépben sellakkal bevont két üvegkorong igen közel van egymás mellett, a nélkül, hogy egymást érintenék. Az innenső, *B*, valamivel kisebb és tengelyre van szerelve, mely az *M* forgantyú, továbbá kerék és egy zsinór-áttétel segítségével gyorsan forgatható. A tulsó *A* korong mindenkor

szilárdan áll; közepében kör alakú nyílása van, melyen keresztül a tengely szabadon átmegy; van azután még két oldalt levő kimetszése, P és P' . Eme második korong tulsó lapján, és pedig a kimetszéseknek egyazon átmérő mentén fekvő szélén, két papiros fegyverzet, f és f' van felragasztva, melyek egy-egy papiros-nyelvvel vannak ellátva; e nyelvek a kimetszésben a B



651. ábra. Holtz-féle elektromozó gép.

korong forgás-irányával szemközt állanak. E korong előtt és a fegyverzeteknek megfelelőleg két fémfésű van alkalmazva, mely a földtől el van szigetelve és két fémgolyóval közlekedik; ezeken keresztül szigetelő markolatokkal ellátott fémpálczikák, vannak átdugva.

Először is az m és n golyókat érintkeztetjük, azután a fegyverzetek egyikével elektromosságot közlünk és a B korongot,

balról jobbfelé, a nyelvekkel szemben forgatjuk. A gép működését sajátoszerű sistergés árulja el. Működéséhez megkívánatik, hogy a korongok és a tartórudak igen szárazak és portól mentesek legyenek, miért is czélszerű kályhában előzetesen megmelegített téglákat alájuk tenni, vagy szintén üvegborítóval megóvni.

Tegyük fel, hogy flanelhez dörzsölt ebonit-lemez segítségével a kezdetbeli töltést az f fegyverzettel közöltük. Ez negatív lesz, és megosztás révén az egymással közlekedő és fésűkből álló vezetőre hat. A szemközt levő P fésű pozitív, a P' fésű pedig negatív elektromossá lesz; valóban, sötétben fénykévéket látunk, melyek a P csúcsokból áramlanak ki és felfelé irányulva a B korongot nyaldossák; a P' csúcsokon pedig csillagocskák fénylenek. Az ily módon a B koronggal közölt pozitív elektromosság a forgás révén felfelé, a negatív töltés pedig balról lefelé vitetik, minélfogva a B korong innenső lapjának alsó fele negatív, felső fele pozitív.

Az ekként töltött B korong az elektromozás fokozására szolgál. Nézzük ugyanis felső felét, mely az f nyelvnek szemközt megy. Negatív töltésével megosztja az f fegyverzetet: a nyelvről pozitív elektromosság áramlik ki s ennélfogva a fegyverzet negatív töltése fokozódik. Láthatjuk, hogy az f nyelvről is fénykévék áramlanak ki, épen úgy, mint a P fésűkről és a B korong hátulsó lapja is pozitívvá válik, alulról felfelé, miként az innenső lap. Ezek a pozitív töltések azután az f' fegyverzet nyelvecskéje elé érkeztén, emezen is előtűnik a csillagocskami arról tanuskodik, hogy a fegyverzetnek a P' fésűvel szemközt levő része pozitív, és ennélfogva maga a fésű, mely már is negatív volt, még erősebben negatívvá válik.

Látjuk tehát, hogy P' -től m és n -en át P -ig folytonosan kering pozitív elektromosság és hogy a folytonos forgás miatt a fegyverzetek töltései erősbülnek és ennélfogva az elektromosság keringése intenzívebbé válik, minek csak a készülék szigetelésbeli körülményei szabnak határt. De ezt a határt csakhamar

elérjük és ekkor az elektromosságnak a különböző pontok között való átmenete egyenletessé válik.

363. Ha az m és n golyók a helyett, hogy, a miként eddig feltettük, érintkeznének, fémdróttal vannak összekötve, a pozitív elektromosság ezen a dróton menne végig; m -ben a drótba lépne, n -ben pedig kilépne belőle. Az elektromosságnak ilyen átmenetét **elektromos áramnak** nevezzük; nagyon változatos tünetmények kísérik, melyekkel majd később fogunk foglalkozni. A gépet **elektromótornak** is nevezzük, mert az áramot az elektromosság mozditásával hozza létre; az m és n golyócskák az elektromotor sarkai: m a *pozitív sarka*, mert innét megy át a pozitív-elektromosság az összekötő drótba, n pedig a *negatív sarka*. Az előbbeni magasabb potenciálon van, mint az utóbbi.

Tegyük félre az összekötő drótot és húzzuk szét a gép sarkait: az áramlás a levegőn át megy végbe és a szikrák valóságos árama tör a sarkok között keresztül. Mentül nagyobb a vezetők kapacitása, annál nagyobbak, csattanósabbak és ritkábbak a szikrák, mert ekkor több elektromosság kívántatik meg, hogy a levegő ellenállásának legyőzésére megkívántató potenciálkülönbség létrejőjön, tehát több az az elektromosság is, mely az egyes szikrákat létrehozza. Nemsokára (371) látni fogjuk, hogy mi módon lehet a vezetők kapacitását nagy mértékben fokozni.

364. A Holtz-féle gépben a tengely-surlódáson és a levegő ellenállásán kívül más legyőzni való ellenállás nincs. De azért mégis kevesebb munkára van szükség, hogy adott sebességgel forgassuk, ha üresen jár, mint a mikor működik; miről aránylag könnyen meggyőződhetünk, ha mozgatasára állandó mozgató erőt, például valamely súlyt alkalmazunk. Ez esetben megvárjuk, míg beáll a dinamikai egyensúly (I, 112), midőn üresen jár, és látni fogjuk, hogy a mikor megtöltjük, lassabban jár, mígnem felveszi az ellenálló munka növekedésének megfelelő új állandó sebességet. Ha meg akarnók tartani az előbbeni

sebességén, a mozgató erőt új súly hozzáadásával növelni kellene, mely súly, megsokszorozva az esés sebességével, mértéke volna az említett elektromos áram létesítésére időegységenként elfogyasztott munkának.

Mindez előre látható volt, mert midőn a gép működik, a fésűk csúcsain fénytűnemények mutatkoznak, és az ehhez megkívántató energiát a végzett munkának kell szolgáltatnia. De ha nem tekintjük is a fénytűneményekkel járó energiát, a vezetőknak pusztá megelektromozása, miként láttuk, már magában véve is munkát kíván.

365. Hogy valamely megelektromozott vezetőnek energiáját kiszámítsuk, figyelembe kell vennünk, hogy Q elektromosság-mennyiségnek zérus-potenciálról V -re való vitelére QV munka kívántatik meg (344). De jól megjegyzendő, hogy ez csakis megközelítőleg áll abban az esetben, midőn a már meglevő V potenciálú töltés akkora, hogy Q új töltésnek hozzájárulása miatt ezt a potenciált észrevehető változás nem éri. Ha ellenben az egész elektromozásnak munkájáról van szó, meg kell gondolnunk, hogy a potenciál kezdetben zérus s csak a folyamat végén éri el a V értéket és kimutatható, hogy a dolog úgy áll, mintha a közben, hogy a vezetőre az egész Q töltés megy át, a potenciál folyvást a $\frac{V}{2}$ középpértéken maradna.

Következik tehát, hogy azon E energia, melyre valamely vezető szert tesz, midőn zérusról V potenciálra emelkedik, következő:

$$E = \frac{1}{2} QV, \quad (1)$$

vagy pedig, ha C a vezető kapacitása (348):

$$E = \frac{1}{2} CV^2, \quad (2)$$

vagy még:

$$E = \frac{Q^2}{2C}. \quad (3)$$

Az energia megmaradásának elvénél fogva ugyanezek a képletek kifejezik azt a munkát is, melyet a vezető végezhet, midőn a természetes állapotba tér vissza.

Midőn semmi megosztó hatásnak alá nem vetett gömbről van szó, a kapacitás mértéke az R sugár. Tehát ugyanazon a potenciálion levő két gömb közül (2) szerint annak van nagyobb elektromos energiája, a melyeknek nagyobb a sugara. Ha ellenben a két gömmbel egyenlő töltéseket közlünk, (3) szerint azé a kisebb, melynek sugara nagyobb.

366. Tegyük most fel, miként a **379.** pontban, hogy a V potenciálion levő és C kapacitású vezetőt egy távol levő C' kapacitású és zérus-potenciálion levő vezetővel, elhanyagolható kapacitású drót révén kötjük össze. Az új rendszer potenciálja :

$$V'' = \frac{Q}{C + C'}$$

energiája pedig :

$$E'' = \frac{1}{2} V'' Q = \frac{1}{2} \frac{Q^2}{C + C'}$$

Ennélfogva az elektromos energia a következő értékkel csökkent :

$$E - E'' = \frac{1}{2} Q^2 \left(\frac{1}{C} - \frac{1}{C + C'} \right) = \frac{1}{2} \frac{Q^2}{C} \frac{C'}{C + C'}$$

$$E - E'' = \frac{C'}{C + C'} E.$$

367. De ennek az elvesztett energiának szükségképen meg kell kerülnie valamely más alakban. És tényleg megfigyelhető, hogy az összekötő drót megmelegszi. De hogy ez sikerüljön, nagy kapacitású vezetőkhez kell folyamodnunk, melyek nagy elektromos energiára tehetnek szert a nélkül, hogy magas potenciálra emeltetniök kellene, mi a szétszóródás miatt nem volna kivihető. Megjegyzendő ugyanis, hogy habár az elektromozó gép működésének egész ideje alatt fejleszt is elektromosságot, gyűjtőjének töltése azért még sem lép túl bizonyos határt,

mely a felület alakjától és a szigetelés körülményeitől függ, mert a potenciállal együtt fokozódik a szétszóródás is, és csakhamar beáll az a pont, melynél emez kiegyenlíti a nyereséget.



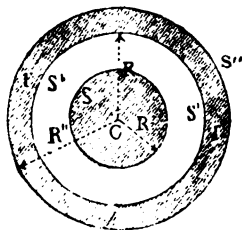
652. ábra. Elektromos egyensúly.

Elérve ezt a pontot, a potenciál változatlan marad az elektromozó gép C gyűjtőjén (652. ábra) és minden más, vele összekötött vezetón, például az S gömbön, mely vele hosszú és vékony fémdróttal közlekedik. És ekkor egyensúly áll fenn, vagyis az elektromos erők eredője az M drót bármely pontján a drót hossza mentén egyenlő zérussal.

XL. FEJEZET.

ELEKTROMOS SŰRÍTŐK.

368. Lássunk először is valamely R sugarú (653. ábra) S vezető gömböt, melyet szintén vezető, gömbalakú burkolat vesz körül, melynek belső sugara R' , külső sugara pedig R'' . Tegyük fel, hogy a burkolat természetes állapotban van, a midőn a gömbbel Q töltést közlünk: e töltés megosztás révén a burkolat S' belső felületén egyenlő és ellenkező jelű $Q' = -Q$ töltést, és S'' külső felületen ugyanazon jelű $Q'' = Q$ töltést fog gerjeszteni (325).



653. ábra. Elektromos sűrítő.

Az eme töltésektől létesített potenciálnak a C középpontban, tehát az egész gömbben is (344), a következő értéke fog lenni (347):

$$V_o = \frac{Q}{R} + \frac{Q'}{R'} + \frac{Q''}{R''}$$

$$V_o = \frac{Q}{R} \left(1 - \frac{R}{R'} \frac{R'' - R'}{R''} \right). \quad (1)$$

A burkolatban pedig a következő értéke fog lenni:

$$V_1 = \frac{Q''}{R''}$$

mert a megosztó Q -tól és az S' belső felületen levő megosztott Q' -tól származó potenciálok a burkolat minden pontjában egyenlők és ellenkező jelűek.

Ha most a burkolattal valamely más elektromosság-mennyiséget, Q''' -t közlünk, ez egészen az S'' külső felületen marad és a már ott meglevővel összegeződik. Ez esetben a potenciál a gömbben:

$$V_o' = V_o + \frac{Q'''}{R''},$$

és a burkolatban:

$$V_1' = V_1 + \frac{Q'''}{R''}.$$

Innét kitűnik, hogy a gömb és a burkolat egyazon

$$V_o - V_1 = Q \left(\frac{1}{R} - \frac{1}{R'} \right)$$

potenciálkülönbségen állandóan megmarad, bárminő is a burkolattal közölt Q''' töltés.

Ettől a töltéstől tehát teljesen független az elektromos erők munkája, melyet akkor végeznek, (338, 341), midőn az elektromosság egységét az S gömbről az I burkolatra szállítják; sőt azt állítom, hogy ez a munka egyenlő azon munkával, melyet ezek az erők az elektromosság egységének a gömbről a végtelenbe való vitelekor végeznének, és pedig azért egyenlő, mert a burkolat, a mi a belsejében levő töltéseket illeti, zérus-potenciálon levőnek tekinthető. Ugyanis a burkolat S' belső felületén kívül az S felület Q töltésétől és az S' felület Q' töltésétől létesített potenciál zérus, mert e töltések egyenlők s

ellenkező jelűek, és akként hatnak, mint ha a C középpontban volnának felhalmozva, minél fogva az elektromosság egységének a burkolatról a végtelenbe való vitelek az ezen töltésektől származó erők semmi munkát sem végeznek.

Tehát bármekkora is a burkolat potenciáljának abszolút értéke a külső pontokra vonatkozólag, a belső pontokra vonatkozólag mindenkor *zérus*.

369. Ezek a tételek, melyeket az egyközepű gömböktől határolt vezetők különös esetére állítottunk fel, általános érvényűek. Midőn több elektromozott test vezető burkolattal van körülvéve, emennek belső felületén a belsejébe zárt elektromosság-mennyiségek algebrai összegével egyenlő és ellenkező jelű elektromosság-mennyiség mutatkozik **(324)**; az ilyen megosztásbeli töltés akként osztódik el, hogy hatása a megosztó töltések hatásával összetevődven, a burkolat minden pontjában zérus-potenciált létesít.

Ez az oka, hogy a mikor szobában dolgozunk **(330)**, jogosan feltehetjük, hogy a benne levő összes töltéseknek potenciálja pontosan egyenlő zérussal minden pontban, mely a falakkal vagy a földdel közlekedik, bármekkora legyen is a külső töltése az épületnek, melyben vagyunk. És ha sikerül megmérnünk a benne levő különböző testektől származó elektromos erőknek a közben végzett munkáját, míg az elektromosság egységét a szoba valamely pontjából a falig mozdítjuk, bizonyosak lehetünk benne, hogy ugyanez a potenciál mértéke is ugyanabban a pontban.

370. És viszont az a munka, mely a szobában levő valamely vezető megelektromozására szükséges, a mely abban áll, hogy a falaktól vagy a talajtól elvont bizonyos mennyiségű elektromosságot szállítunk bele, a **365.** pont (1) képletével van kifejezve, melyben V a földnek és a vezetőknek Q töltéstől eredő potenciálja közti különbséget jelenti. Ámde meg kell jegyezni, hogy ez a potenciálkülönbség s vele együtt az elektromosság

munkája is a szoba méreteitől, alakjától s a vezetőknek benne elfoglalt helyzetétől függ, minthogy bármely vezető elektromos kapacitása nemcsak felületének terjedelmétől és alakjától függ, hanem minden környezetében levő testtől is.

371. Abban az egyszerű esetben, a midőn a gömb S felülete s az I burkolat között V potenciálkülönbséget kell létesíteni, az (5) képlet azonnal megadja az ehhez megkívántató elektromosság mennyiségét, mely nyilván

$$Q = \frac{RR'}{R' - R} V. \quad (6)$$

E szerint a V együtthatója a burkolattal körülvett gömbnek elektromos kapacitását fejezi ki. Legyen $S = 4\pi R^2$ a gömb felülete, a gömb s a burkolat közé fogott szigetelő levegőréteg vastagsága pedig $R' - R = d$, akkor ez a kapacitás még így is kifejezhető:

$$C = \frac{S}{4\pi d} \left(1 + \frac{d}{R}\right), \quad (7)$$

mely kifejezésből az olvasható ki, hogy az esetben, ha R nagy a d -hez képest, a kapacitás arányos a gömb felületével és fordítva arányos a szigetelő réteg vastagságával.

Tegyük fel, hogy kis nyílás van a burkolatban, melyen keresztül, a nélkül, hogy érintené, igen vékony drót hatol át. Ezen drót révén a belső gömb a gépből elektromossággal tölthető meg, miközben a külső burkolat a földdel közlekedésben marad; hogy ekkor a géppel elérhető legmagasabb V potenciálra megtöltsék, a (6) képlettel megadott töltést kell bele vinni. Ha ellenben úgy kellene a gömböt ugyanezen V potenciálra emelni, hogy közeléből minden vezető eltávolíttatnék, akkor erre nyilván jóval kisebb $q = RV$ töltés elegendő lenne. Eme tulajdonságánál fogva két vezetők szigetelőtől elkülönített rendszerét **sűrítő** (kondenzátor) névvel látták el; az egymástól szigetelővel elkülönített vezető a sűrítőnek **fegyverzete** (armatura).

A (6) képlet a sűrítő kapacitásának meghatározására is szolgálhat, a mennyiben a sűrítő elektromos kapacitása egyenlő az egyik fegyverzettel közlött elektromosság mennyiségének a két fegyverzet között előidézett potenciálkülönbséghez való viszonyával.

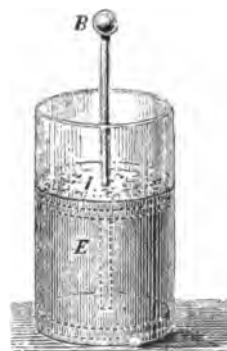
A burkolattal ellátott s a burkolat nélkül levő gömb töltéseinek viszonya, vagyis

$$\frac{Q}{q} = \frac{C}{R} = \frac{R'}{R' - R}$$

a gömbalakú gyűjtő sűrítő képességének neveztetik.

372. Azon sűrítőkre nézve, melyeknek alakja a gömbtől eltér, de a melyek két fegyverzetének egyikét a másik egészen körül fogja, a számítás a **375.** pontbeliekhez hasonló eredményekre vezet. A gyakorlatban, bár a külső fegyverzet nem fogja egészen körül a belsőt, elegendő megközelítéssel feltehető, hogy a hasonló alakú sűrítők sűrítő képessége arányos a homolog méretekkel és fordított viszonyban van a szigetelő réteg vastagságával.

A gyakorlatban a sűrítők pohár- vagy palaczk-alakúak; ezek leydeni palaczkoknak neveztetnek (654. ábra). A szigetelő réteg üveg, a fegyverzetek pedig ónlemezek, melyek az üvegre kívül-belül fel vannak ragasztva. Ha azt akarjuk, hogy nagy potenciálkülönbségen tarthatók legyenek, a fegyverzetek nem érhetnek a palaczk tetejéig, hanem kell, hogy közöttük sellakozott szél (**306**) maradjon. A palaczk belsejébe fém-pálczika vezet, mely a belső fegyverzettel jól érintkezik, kiálló vége pedig rendszerint fémgommbal (*B*) van ellátva.



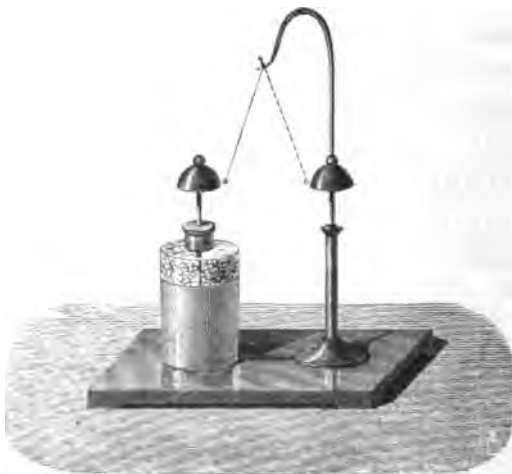
654. ábra. Leydeni palaczk.

373. A mondottak után világos, hogy a leydeni palaczk megtöltése közben a külső fegyverzetet kezünkben tartjuk és a

gombot az elektromozó gép gyűjtőjével érintkeztetjük, vagy ettől el is távolíthatjuk annyira, hogy belőle szikrák ugorjanak át (361).

Hogy a Holtz-féle gép erős szikrákat adjon, a vezetőknek (362. p. 651. ábra), miként már megjegyeztük (363), nagy kapacitásúaknak kell lenniök, tehát a földtől elszigetelt sűrítőnek fegyverzeteivel kell őket összekötni. Rendszeresen két palaczkot alkalmaznak, mindegyik sarkhoz egyet és pedig akként, hogy a belső fegyverzethez vezető pálczikákat a gömbökbe tűzik, a külső fegyverzeteket pedig egymással összekötik.

374. Ha a leydeni palaczk fegyverzetei között V potenciálkülönbséget egyszer már létrehoztuk, ez folyvást megmaradna, ha a szigetelés tökéletes volna. Tényleg azonban a

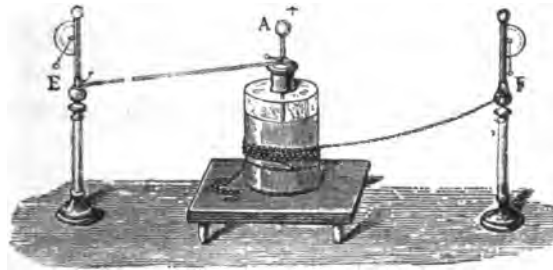


655. ábra. Elektromos harangjáték.

palaczk többféle módon veszi el töltését. Magától elvesztheti a levegőnek por-részecskéin vagy szélének felületén át való szét-szóródás révén. Apró részletekben kisüthető, ha fegyverzeteit valamilyen szigetelt vezetővel egymásután ismételve érintjük, mert a

rajta összegyülemelő elektromosság a 349. p. szabálya szerint oszlik meg. A részletes kisüléseknek ezt az egymásra következését automatikussá tehetjük a 655. ábrában látható berendezéssel. Egy fémoszlop a külső fegyverzettel közlekedik; közte és a belső fegyverzet gombja között selyemszálon kis golyócska függ, mely az elektromos hatásoknak engedve, lengő mozgást végez és a palaczkot kicsiny szikrák sorával kisüti. A két csengők révén elektromos harangjáték létesül.

375. A palaczk kisül még akkor is, ha szigetelő alapra helyezük s két fegyverzetét a földdel közlekedő vezetővel változtatva érintgetjük. Az érintett fegyverzet zérus-potenciálra száll le, a másik pedig kezdetbeli töltéséhez képest pozitív vagy negatív potenciálokra tesz szert, melyek abszolút érték szerint



656. ábra. A leydeni palaczk fokozatos kisütése.

folyvást csökkennek, mit láthatóvá is tehetünk, ha a fegyverzetek mindegyikét összekötjük egy-egy elektroszkóppal, miként a 656. ábrából kitűnik.

Az az elektromosság-mennyiség, mely egy-egy fegyverzeten minden egyes részletes kisülés után fennmarad, kiszámítható a következő módon:

Az elektromozó géppel közlekedő belső fegyverzet legyen V kezdeti potenciálon és legyen $Q = CV$ az az elektromosság-mennyiség, melyet vele közölni kellett, míg külső fegyverzete

a földdel közlekedett és ennél fogva — Q töltést kapott. Megszakítva a két összeköttetést, ezek a töltések megmaradnak. Ha ezután a belső fegyverzetet kötjük össze a földdel, megmarad a második töltés, de megváltozik az első, mert a dróttal különböző potenciálon levő két pontot kötünk össze, és a Q töltés egy részének az S gömböt bizonyára oda kell hagynia (371. p. 653. ábra). A rajta fennmaradó q_1 töltés meghatározható a következő egyenletből: -

$$\frac{q_1}{R} - \frac{q_1}{R'} - \frac{Q - q_1}{R''} = 0,$$

mely kifejezi, hogy a gömb q_1 töltésétől származó potenciál, az I burkolat belső felületének $-q_1$ töltésétől származó potenciál, valamint attól a $-(Q - q_1)$ töltéstől származó potenciál, mely az S gömbnek zérus-potenciálra való vitele után a burkolat külső felületére huzódott: a középpontban egyenlő zérussal.

Ha ezt az egyenletet feloldjuk és -

$$R'' \left(\frac{1}{R} - \frac{1}{R'} + \frac{1}{R''} \right) = K \quad (4)$$

tételek, úgy:

$$q_1 = \frac{1}{K} Q. \quad (5)$$

Az S gömb tehát, a földdel első ízben való közlekedése után, $\frac{Q}{K}$ töltést tart meg és a burkolatnak még megvan az egész $-Q$ kezdetbeli töltése; ebből a $-\frac{Q}{K}$ rész a belső felületén van meg, a maradék pedig, mely a külső felületen van, mielőtt a burkolatot a földdel kötöttük össze, a földbe vész el.

Már most ugyanazokkal a feltételekkel van dolgunk, mint kezdetben, azzal az egy különbséggel, hogy a fegyverzetek egyenlő és ellenkező töltése nem Q , hanem már csak $\frac{Q}{K}$.

Ha a gömböt másodszor is összekötjük a földdel, q_2 töltés

marad rajta, melynek értéke az (5) alatti kifejezés alkalmazásával:

$$q_2 = \frac{1}{K} q_1 = \frac{1}{K^2} Q.$$

Ezután megérintjük a burkolatot s utána a gömböt harmadikban, a mikor is a gömbön a következő töltés marad:

$$q_3 = \frac{1}{K} q_2 = \frac{1}{K^3} Q.$$

Látjuk tehát, hogy az egymásra következő töltések mértani haladványt alkotnak, melynek hányadosa $\frac{1}{K}$. És ha a külső fegyverzet vékony, például ónpapiros, úgy, hogy $R' = R''$ tehető, mikor is

$$\frac{1}{K} = \frac{R}{R'}.$$

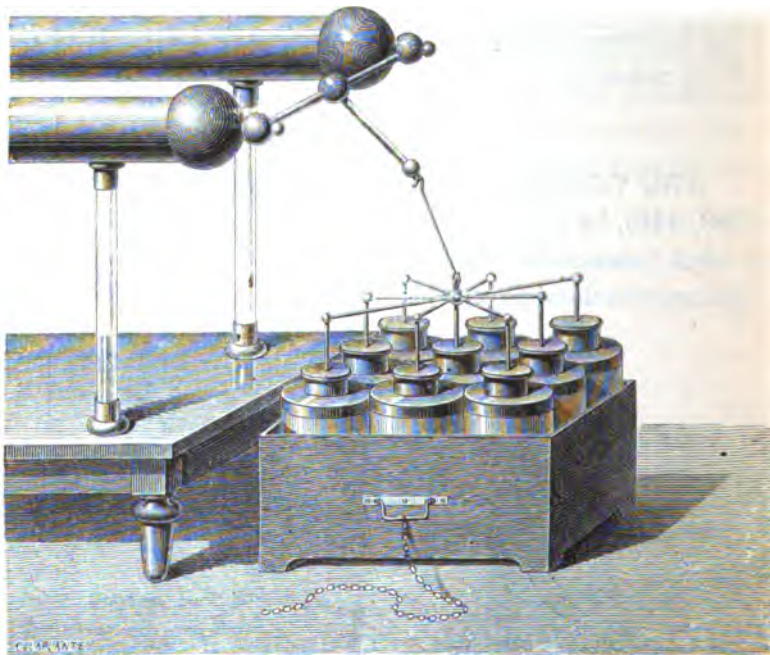
376. Valamely vezető egyszerre csaknem teljesen kívül (398, 416), ha a két fegyverzetet vezetőleg összekötjük s ekkor a rajtuk potenciális állapotban felhalmozott energiának különböző nyilvánulásai figyelhetők meg.



657. ábra. A leydeni palaczk kisütése.

Rendszerint golyókban végződő és egy vagy két szigetelő markolattal ellátott kisütőt használunk, a minőt a 657. ábrában is látunk; a külső fegyverzetet a kisütő egyik végével érintjük, másik végét pedig a belső fegyverzet gombjához közelítjük. Ekkor a levegőn keresztül szikrát látunk átütni.

377. Nyilvánvaló, hogy egyetlenegy leydeni palaczk helyett sűrítőül több ilyen palaczk is használható, melyeket **teleppé** (658. ábra) egyesítünk oly módon, hogy úgy külön a belső, mint külön a külső fegyverzeteket egymással fémileg összekötjük.



658. ábra. Elektromos telep.

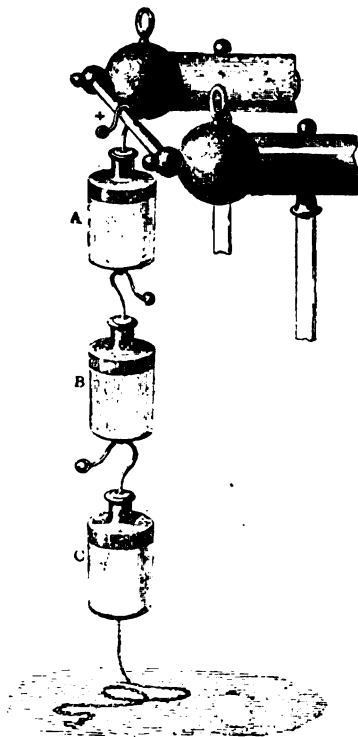
Valamely telep elektromos kapacitása egyenlő azon egyes palaczkok kapacitásainak összegével (**349**), melyekből össze van állítva; és ha a palaczkok egymás közt egyenlők, a számukkal arányos.

378. Több leydeni palaczk akkor van lánczolatos kapcsolásban, ha mindegyiknek belső fegyverzete a következőnek külső fegyverzetével van összekötve; a sornak csak az első fegyverzetét töltjük meg, az utolsót pedig a földdel kötjük össze, miként a 659. ábrán latni.

Lássuk most, vajjon ez a berendezés a hasznosabb vagy pedig a telepszerű-e.

Felteszszük, hogy zárt, egymás között egyenlő sűrítők forognak szóban, melyek elég nagy távolságban vannak egymástól arra, hogy külső fegyverzeteik kölcsönös hatása elhanyagolható legyen. Jelölje c egy-egy sűrítő kapacitását, q_1 pedig az A palaczk belső fegyverzetével közölt elektromosság mennyiségét, v_1 pedig a potenciálját, mely nyilván a gép gyűjtőjének a potenciálja. Az A sűrítő külső és B sűrítő belső fegyverzete egyazon v_2 potenciálra emelkedik, minthogy egyetlen egy vezetőt alkotnak (344); az előbbinek az üveggel érintkező oldalán — q_1 töltés jelenik meg s a megosztóval egyenlő q_1 töltés az A külsején, valamint B belső fegyverzetén elektromos kapacitásaik arányában fog eloszlani (349). Legyen továbbá c' az A -t körülfogó vezető felület kapacitása s jegyezzük meg, hogy ennek értéke épen akkora, az mintha egész tömör fémből volna; ha c a B belső fegyverzetének a kapacitása, akkor a reája áramló töltés nyilván

$$q_2 = \frac{c}{c + c'}.$$



659. ábra. Lánczolatos kapcsolás.

Ugyanílyen módon v_3 jelölni fogja B külső és C belső fegyverzetének potenciálját, q_3 pedig ez utóbbinak töltését, mely az előbbiek szerint

$$q_3 = \frac{c}{c+c'} q_2 = \left(\frac{c}{c+c'} \right)^2 q_1.$$

Az utolsó külső felület zérus potenciálon van. Így tehát (471):

$$\begin{aligned} q_1 &= c (v_1 - v_2), \\ q_2 &= c (v_2 - v_3), \\ q_3 &= c (v_3 - 0) = cv_3; \end{aligned}$$

vagyis

$$q_1 + q_2 + q_3 = cv,$$

a miből a két megelőző képlet alapján

$$q_1 \left\{ 1 + \frac{c}{c+c'} + \left(\frac{c}{c+c'} \right)^2 \right\} = cv_1.$$

Megjegyezvén, hogy c' rendesen igen kicsiny, nagy közelítéssel felírható:

$$3q_1 = cv_1,$$

s általánosságban n lánczolatossan összekötött palaczk esetében

$$q_1 = \frac{c}{n} v_1.$$

Innét kitűnik, hogy a rendszer kapacitása közelítőleg * $\frac{c}{n}$.

379. Ezt előre bocsátva, tekintsük a következő három esetet:

1. Valamely c kapacitású palaczk, melynek egyik fegyverzete a földdel, a másik pedig a v potenciálú géppel közleke-

* Ezt a képletet szigoruként közli CLAUDIUS (*Mechanische Wärmetheorie* 1879. II. köt. 122. l.), MASCART (*Traité d'électricité statique* 1876, I. köt. 266. l.) és WIEDEMANN (*Elektricität* 1863, I. köt. 115. l.). Ugyanolyannak közölte e műnek megelőző kiadása, a jelenlegi helyreigazításra BONGIOVANNI figyelmeztetése adott okot.

kedik, $q = cv$ töltést vesz fel, mihez a következő munka kívántatik meg (365):

$$E = \frac{1}{2} qv = \frac{1}{2} \frac{q^2}{c} = \frac{1}{2} cv^2. \quad (1)$$

2. Valamely n palaczkból álló telep kapacitása nc , és v' potenciálon $q' = nc v'$ töltést sűrítvén meg, a következő elektromos energiára tesz szert:

$$E' = \frac{1}{2} q'v' = \frac{1}{2} \frac{q'^2}{nc} = \frac{1}{2} nc v'^2. \quad (2)$$

3. A lánczolatosan kapcsolt n palaczknak elektromos kapacitása $\frac{c}{n}$, és ha az utolsó a földdel van összekötve, az első a v_1 potenciálú géptől $q_1 = \frac{c}{n} v_1$ töltést kapja és ezzel a következő elektromos energiát veszi fel:

$$E_1 = \frac{1}{2} q_1 v_1 = \frac{1}{2} \frac{n}{c} q_1^2 = \frac{1}{2} \frac{c}{n} v_1^2. \quad (3)$$

Látjuk tehát, hogy adott elektromosság-mennyiség, azaz $q = q' = q_1$ mellett

$$E' = \frac{E}{n}, \quad E_1 = nE;$$

és adott potenciál mellett — ez a gyakrabban előforduló eset — azaz $v = v' = v_1$ mellett

$$E' = nE, \quad E_1 = \frac{E}{n},$$

vagyis az első esetben hatásosabb a lánczolatosan kapcsolt n palaczk töltése, a másodikban pedig a telepé. De az erősebb töltés mindenkor nagyobb elektromozásbeli munkát kíván, mi teljesen megfelel az energia megmaradása elvének (I, 115).

Adott munkával kisebb vagy nagyobb mennyiségű elektromosságot gerjeszthetünk ugyan, de ennek mindenkor magasabb, illetőleg alacsonyabb potenciál fog megfelelni, egészen úgy, mint ha csak vízemelésről volna szó. Így például E_1 munkával csakis q_1 mennyiségnek felhasználásával megtölt-

hetünk n lánczolatosan kapcsolt palaczkot; ezután szigetelő markolatokkal az egyes töltött palaczkokat ugyanarra a vezető síkra helyezhetjük, s ily módon telepet állíthatunk össze, melynek belső fegyverzetein n -szer akkora töltés van; de ha ezt a telepet kisütjük, legfeljebb az E_1 munkával egyenértékű hőt kaphatjuk. Ha ugyanis (2)-ben $q' = nq_1$ tétetik, (3)-nak figyelembe vételével:

$$E' = \frac{1}{2} \frac{n^2 q_1^2}{nc} = \frac{1}{2} \frac{n}{c} q_1^2 = E_1.$$

A sűrítőből meríthető energia szempontjából tehát nincs semmi hasznunk, de igenis lehet hasznunk, ha az energiának egy bizonyos meghatározott alakjára van szükségünk, épen úgy, a mint inkább folyamodunk nyomókúthoz mint szivókúthoz (I, 246), ha vizet tetemes magasságra akarunk emelni, jóllehet a két gépnek dinamikai értéke ugyanaz. A tárgyalt eset analog példa az elektromosság terén.

Tegyük most fel, hogy valamely vezetőt v_1 potenciálra akarunk emelni, — ha például hosszú szikrákat akarunk belőle húzni — és gépünk csak $v' < v_1$ potenciálra emelkedhetik.

Töltsünk meg e végből egy n sűrítőből álló telepet, melylyel egészben véve [(2) szerint] $q' = nc v'$ töltést, palaczkonként tehát $q_1 = \frac{q'}{n} = c v'$ töltést közlünk. Ezután a nélkül, hogy kisüt-nők, állítsuk össze lánczolatosan, és ekkor az első sűrítő [(3) szerint], a következő potenciálra emelkedik:

$$v_1 = \frac{n}{c} q_1 = n v'.$$

Hogy tehát célunkat elérjük, csak egymással egyenlő sűrítőknél egy sorával kell rendelkezünk, és közülök annyit kell használatba vennünk, hogy számuk egyenlő vagy nagyobb legyen a kívánt potenciál és a gépünk potenciálja közötti viszonynál, azaz hogy

$$n \geq \frac{v_1}{v'}$$

legyen; ezután oly szerkezetet kell kigondolnunk, melynek segítségével a telepet hamarosan átalakíthatjuk lánczczá. E feladatot G. PLANTÉ elmésen oldotta meg úgynevezett **reosztátikus gépével**, melynek segítségével néhány tized milliméteres szikrának megfelelő potenciálról mintegy 30 centiméteres szikrákat létesítő potenciálra lehet átmenni.* De nyilvánvaló, hogy e hatás elérésére igen nagy mennyiségű elektromossággal kell rendelkezünk.

380. A sűrítők, azon kívül, hogy lehetővé teszik, hogy az elektromos helyzeti energia átalakulásainak tanulmányozása céljából erős töltéseket aránylag kicsiny felületeken halmozunk fel, a tudományos vizsgálatokban még egy másik fontos alkalmazásra találnak, mert módot nyújtanak igen csekély potenciálkülönbségek kimutatására és megmérésére.

Tegyük ugyanis fel, hogy valamely sűrítőnek egyik fegyverzete zérustól oly kevésbé különböző potenciálon van, hogy nem képes az elektroszkóp aranylemezeit széthajlítani. Ha ezt a fegyverzetet a másiktól eltávolítjuk, kapacitása csökken, s ha eme művelet közben meglevő töltését nem veszti el, ez elegendő arra, hogy sokkal magasabb potenciálra emelje, mely iránt az elektroszkóp már többé nem érzéketlen.

381. Hogy a fegyverzetek könnyen szét legyenek vehetők, sík korong formát szokás nekik adni; és mivel fontos, hogy a sűrítőnek nagy kapacitása legyen, annak veszélye pedig, hogy a szigetelő réteg átfuratnék (**404**), kicsiny potenciálokról lévén szó, nem forog fenn: a két fémlapot egymáshoz a lehető legközelebb viszsűk, sőt, szemközt levő lapjaikat sellakkal bevonván, egészen érintkeztetjük. Ily módon állította össze VOLTA az ő **sűrítő elektroszkópját** (660. ábra) azon vizsgálatok céljából,

* A szóban forgó feladat megoldásával JEDLIK ÁNYOS megelőzte a külföldi, a megoldásra szintén elsőséget tartó fizikusokat; l. GUILLEMIN «A mágnesség és elektromosság». Jegyzetek; 831. l. B.

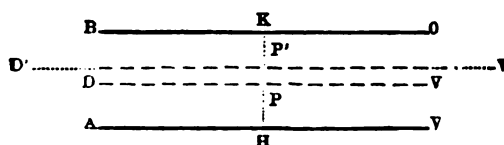
melyek nevét halhatatlanná tették (423). A sűrítőt az A és B korongok alkotják. Az első fémi összeköttetésben van az arany-



lemezekkel, a második szigetelő nyéllel van ellátva. Az aranylemezeket a C harang védi, mely egyúttal szigetelőül szolgál. Az a és b golyócskák megosztó hatással lévén a lemezekre, széthajlásukat elősegítik. Jelenleg a földdel összekötött vezető burkolatot használunk helyettük, mely az aranylemezeket az esetleges külső elektromos hatásoktól (322) megóvjá. Elég is, ha a harang nyakába tett dugó szigetelő anyagból van.

660. ábra. Sűrítő elektroszkóp.

382. A sík sűrítők ezen felül még abszolút mérésekre is valók, s ez oknál fogva elméletökkel kissé bővebben kell foglalkoznunk. Tegyük fel, hogy az A és B fegyverzetek (661. ábra) kölcsönös d távolságukhoz képest elég terjedelmesek arra



661. ábra. Sík sűrítők.

nézve, hogy a szélektől származó zavaró hatásokat elhanyagolva, egyenletesen elektromozottaknak legyenek tekinthetők; felteszszük továbbá, hogy a felső (B) a földdel közlekedik, és ennél fogva zérus-potenciálón van, míg az alsón (A) a potenciál értéke V .

Az A és B síkok egypotenciálú felületek (339), és mivel egyenletesen vannak elektromozva, az erővonalak reájuk merő-

leges egyenesek, mint például HK ; a közöttük levő többi egy-potenciálú felület egymással párhuzamos sík, mint például D és D' .

Kimutatható, hogy ez esetben az erővonalak mentén a potenciál a B -től való x távolsággal arányosan növekszik, úgy, hogy a d távolságban levő A -ba jutva, az adott V értéket veszi fel. A D síkon való értéke tehát ez:

$$V_x = \frac{x}{d} V. \quad (1)$$

Ehhez a D síkhoz tartozó P pontban levő elektromos erő (336), vagyis azon erő, mely a P -ben képzelt elektromosság-egységet P' felé mozdítani igyekszik, hol is a potenciál értéke V' , a következőleg van meghatározva:

$$F = \frac{V_x - V'}{x - x'}$$

és (1) figyelembe vételével:

$$F = \frac{V}{d};$$

értéke tehát állandó; minélfogva ugyanez az értéke fog lenni K -ban is, vagyis a B vezetőhöz igen közel fekvő pontokban. De eme pontokban a 358. p. (2) képlete szerint még

$$F = 4\pi\rho$$

által is ki van fejezve, hol ρ az elektromos sűrűség a B síkon. Ennélfogva:

$$V = 4\pi\rho d.$$

És ha eme sík területét a -val, a rajta levő elektromosság mennyiségét pedig Q -val jelöljük, úgy

$$\rho = \frac{Q}{a},$$

tehát

$$V = \frac{4\pi Qd}{a}. \quad (2)$$

A sűrítő kapacitása tehát (371):

$$C = \frac{Q}{V} = \frac{a}{4\pi d}, \quad (3)$$

vagyis arányos a korongok területével, és fordított viszonyban van az őket elválasztó szigetelő réteg d vastagságával, miként a sűrítők általános elmélete is magával hozza.

383. Hogy már most kiszámítsuk azt az F erőt, melylyel a két sík egymást vonzza, megjegyezzük, hogy a megtöltésökre szükséges munka (365):

$$E = \frac{1}{2} QV = \frac{2\pi d}{a} Q^2.$$

Ha pedig a nagyobb d' távolságban volnának, az analog munka volna:

$$E' = \frac{2\pi d'}{a} Q^2.$$

Az energia megmaradása elvénél fogva tehát a $d'-d$ úton való eltávolításukra megkivántató munka $E'-E$ fog lenni. De a két sík között az elektromos erő, miként megjegyeztük, állandó; a keresett erőt tehát megkapjuk, ha ezt a munkát a befutott úttal elosztjuk, vagyis:

$$F = \frac{E' - E}{d' - d} = \frac{2\pi}{a} Q^2. \quad (4)$$

384. Ha ezt az egyenletet Q szerint megoldjuk, úgy:

$$Q = \sqrt{\frac{Fa}{2\pi}}, \quad (5)$$

vagyis az elektromosság-mennyiség csupa abszolút egységgel mérhető mennyiség függvényében van kifejezve, nevezetesen az a területnek és azon F erőnek függvényében, a melylyel az egyik korong a másikat vonzza.

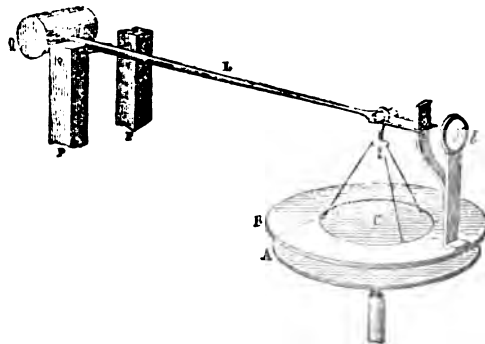
Hogy a V potenciál analog kifejezését kapjuk, csak Q -nak (5) alatti értékét kell (2)-be helyettesíteni, mikor is

$$V = d \sqrt{\frac{8\pi F}{a}}. \quad (6)$$

385. Ne feledjük, hogy a képlet levezetésében feltettük (379), hogy az elektromosságnak eloszlása a korong egész a

felületén egyenletes, és hogy a szélek közelében mutatkozó elég bonyolódott zavaró hatások elhanyagolhatók; ha tehát e képletet használnók, nem épen csekély hibákat követnénk el.

Azonban lord KELVIN (sir W. THOMSON) egy kísérleti berendezést gondolt ki, mely megengedi, hogy a képletet minden fentartás nélkül teljes szigorúsággal alkalmazzuk. Az a szerencsés gondolata támadt, hogy a *B* korongot egy sík gyűrűvel, az úgynevezett *védőgyűrűvel* (guard ring) vegye körül, mely egész pontosan a meghosszabbításában fekszik a nélkül, hogy érintené, de igen vékony fémdróttal van vele összekapcsolva; más szóval, a *B* korongnak csak egy centrális részét tette mozgé-



662. ábra. Lor. Kelvin abszolút elektrométere.

konynya, a többi fogva tartotta, úgy, hogy az illető *a* területű részen az elektromosság egyenletesen oszlik szét, miként a (6) alatti képlet kívánja. Ezt a középső *C* részt (662. ábra) azután három szállal egy ékre függesztette, mely egy, a *Q* ellensúlytól egyensúlyozott emeltyű végén fekszik. Az emeltyűkar villában végződik, melynek szárai között egy hajszál van vízszintesen kifeszítve; a szálnak, midőn a *C* korong a *B* védőgyűrű síkjában van, két kitzűött pont közé kell esnie, miről az *l* lencsével való megfigyelés révén lehet meggyőződni. Az alsó *A* korong szigetelő lábán *B*-vel párhuzamosan áll és mikrométer-csavarral fel-alá tolható oly módon, hogy a két korong közötti távolság mindenkor megmérhető.

Ezek volnának lord KELVIN abszolút elektrométerének lényeges részei. Használatakor először is A -t B -vel összeköttetésbe helyezzük, hogy egyazon potenciálon legyenek, a C korongot pedig megrakjuk a megkívántató súlyokkal, hogy a B védőgyűrűvel egyazon síkba kerüljön; ezután a BC rendszert a földdel kapcsolatban tartva, A -t megelektromozzuk. Ekkor C megosztás révén egyenletesen elektromozódik meg és vonzásnak van kitéve; és azok a p súlyok, melyeket le kell szedni, hogy a hajsza a két kitűzött pont közé essék, megadják az F erő értékét, melyet (6)-ba helyettesítvén, abszolút mértékét nyerjük azon V potenciálnak, melyre az A korong emeltetett. Nyilvánvaló, hogy az eljárás kényelmesebbé tehető az által, hogy egy tetszés szerinti p súlynak elvétele után A -t a mikrométer-csavarral addig mozditjuk el, míg a hajsza a megkívántató magasságba nem jut, s megmérjük az ennek megfelelő d távolságot.

Így oda jutunk, hogy az F erőt állandó értéken tartjuk, és ekkor a két korong közötti potenciálkülönbség egyszerűen arányossá válik d távolságukkal, mert a $\sqrt{\frac{8\pi F}{a}}$ érték egyszer s mindenkorra meghatározható állandó együtthatót tűntet elő.

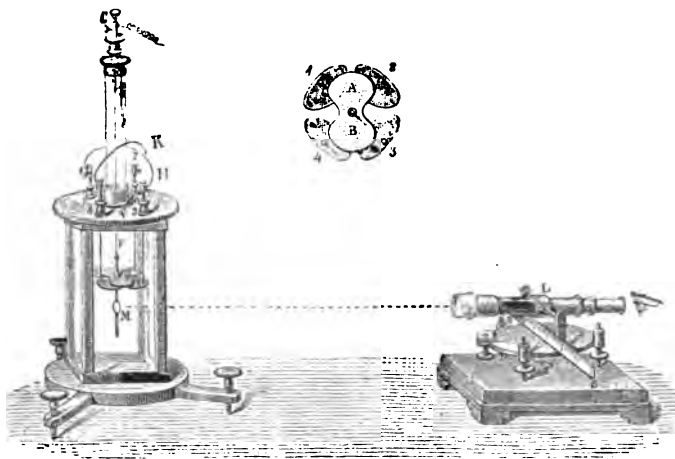
Lord KELVIN az elektrométert sokféleképen alakította át; bezárta egy fémharangba, hogy a külső elektromos hatásoktól megóvja; az elektromos vonzást súlyok helyett rugóval egyensúlyozta; nagy vagy kicsiny potenciálkülönbségek mérésére rendezte be stb. De illetően részletekre nem terjeszkedhetünk ki.

386. Leírjuk inkább a **quadráns-elektrométert**, mely más elvre van alapítva, s mely valamely potenciál meghatározását egy kitérés pusztán leolvasására redukálja.

Igen vékony CF fémszála (663. ábra) a műszer úgynevezett tűje van felfüggesztve, mely egy nyolczas-alakú vékony,

könnyű AB fémlemezről áll. A tű nyelére az M függélyes tükröcske van erősítve, melyről a kitérések messzelátóval és skálával (30) olvashatók le. Négy sárgaréz-quadráns (1, 2, 3, 4) közvetlenül a tű alatt egyazon vízszintes síkban fekszik; egymástól jól el vannak szigetelve, nem érintkeznek, de a szemközti fekvők (1 és 3 és szintén 2 és 4) igen vékony fémdrót révén közlekednek egymással. A H és K drótok *elektród* nevet viselnek.

A felfüggesztő CF drótot összekapcsoljuk egy leydenipalaczkával, vagy pedig egy oszloppal, miként később látni fogjuk; ezzel a tűt magas potenciálra emeljük. Ha a tű töltése



663 ábra. A quadráns elektrométer.

pozitív, a quadránsok megosztás útján negatívvá lesznek; de ha mindannyi közlekedik egymással és ha az egész kellőképpen szimmetrikus, akkor semmi kitérésnek sem szabad létrejönnie.

Ha ezután a H -párt a K -pártól elszigeteljük s közöttük potenciál-különbséget létesítünk, a pozitív tű azon tájék felé igyekszik, hol a potenciál alacsonyabb (34). Így tehát ha

H a földdel közlekedik és ennél fogva zérus-potenciálón van, K pedig alacsonyabb potenciálú testtel közlekedik, a tű az óramutatók irányában forog. Ha ellenben K magasabb potenciálón van mint a föld, a tű ellenkező irányban forog. De a fém-szál rugalmassága e mozgásokkal ellenkezik, minél fogva a tű csakhamar új egyensúlyi helyzetet vesz fel, és jobbra vagy balra kitérítve marad azon potenciál értékéhez képest, melyre a K elektród emeltetett. A kitérés annál nagyobb, mentül magasabb a tű potenciálja és mentül közelebb van a tű a quadránsokhoz. Ha e két mennyiséget állandóan megtartjuk, a kitérések, ha nem nagyok, arányosakká válnak a két elektród közötti potenciálkülönbséggel.

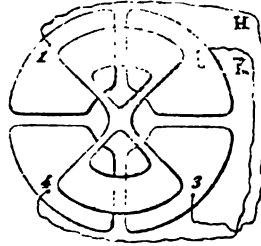
A lord KELVIN-féle quadráns-elektrométerhez van egy szerkezet, melylyel a tű potenciálja változatlanul fenttartható, és van még néhány mellékkészülék, melyek még bonyolódottabbá teszik. Iskolai czélokra azonban elegendő a 663. ábrabeli készülék, ha ablakokkal ellátott fémház védi. Használatában a messzelátó mellőzhető és a tükröske elé inkább petroleum-lángot helyezünk, s a visszavert nyalábot lencsével összegyűjtván, a láng valódi képét egy körülbelül 2 méteres skálára vetjük.

387. Tartsuk az elektrométer fémházát állandó közlekedésben a földdel. Legyen V a tű potenciálja, V_1 és V_2 pedig a H , illetőleg a K quadráns-paré (664. ábra). Az egész rendszert most két sűrítőből állónak tekinthetjük: az egyiknek fegyverzetei a tű és a H quadráns-pár, melynek potenciálkülönbsége $V - V_1$; a másikat pedig a tű és a K quadráns-pár alkotja, melyen a potenciálkülönbség $V - V_2$. A széleken az elektromosság eloszlása meglehetősen bonyolult s nehezen meghatározható törvényt követ; de a középső részekben az eloszlás elég egyenletes és arányos a borított körszelettel. Azért is, ha c az 1° -nyi körszelet kapacitása, ω szöggel való elfordulásakor az egyik sűrítő kapacitása $c\omega$ -val növekedik s a másiké pedig

ugyanannyival fogy; ennek következtében ez a kitérés az elektromos energiának csökkenését vonja maga után, mely a 365. pont (2) képlete nyomán a következő:

$$\frac{c\omega}{2}(V-V_1)^2 - \frac{c\omega}{2}(V-V_2)^2.$$

Minthogy másrészt a csavarás rugalmassági ereje a csavarás szögével — mely ez esetben ω — arányos, a rugalmassági erő munkája $\frac{\omega^2}{2}$ -vel arányos (I, 157); ezt a munkát az elektromos energia csökkenésével egyenlővé téve, ha A egy állandót jelent, kapjuk, hogy:



664. ábra. Quadráns pár.

$$\omega = A \{(V-V_1)^2 - (V-V_2)^2\}. \quad (7)$$

$V_1 = V_2$ esetre, mint már előbb mondtuk, $\omega = 0$. De ha $V_1 = -V_2$, vagyis ha a két quadráns pár egyenlő, de ellentett előjelű potenciálra töltetik, a miként nem sokára az oszloppal meg is fogjuk tenni, ekkor

$$\omega = 4A V_2 V,$$

vagyis a kitérés a V potenciáljával arányos.

XLI. FEJEZET.

A DIELEKTRIKUMOK.

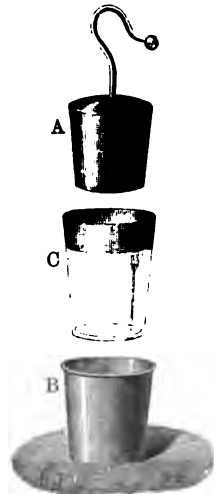
388. Eddigelé a sűrítő két fegyverzetét elkülönítő szigetelő réteget úgy tekintettük, mint az elektromosság terjedésének egyszerű akadályát. Most azonban nem egy kísérletet fogunk idézni, melyből kitűnik, hogy a szigetelő réteg a megosztás tűneményében (311) s általában az elektromos hatásoknak tovavitelében

tevékenyen részt vesz, mely hatásokat a fizikusok többsége immár a testek szomszédos részecskéi között végbemenő hatásoknak, nem pedig távolhatásoknak (I, 141) tekinti.

A szigetelőknak ilyenén magatartását tekintve, inkább dielektrikumoknak nevezik őket.

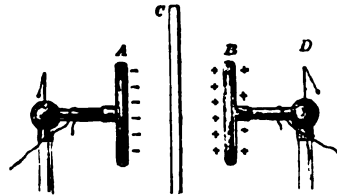
389. A *B* fémedénybe (665. ábra) pontosan beleillik *C* üvegpohár, s ebbe ismét *A* fémtest. A palaczkot összeállítván, szokott módon megtöltjük, az asztalra teszszük, belső fegyverzetét szigetelő nyéllel kivevén, az egészet szétszedjük. A szétszedett fémrészeket bátran érinthetjük; de ha a palaczkot ugyanazzal az elővigyázattal összerakjuk, és a fegyverzeteket kisütővel zárjuk, erős szikrát kapunk.

Ez a kísérlet igazolja, hogy a töltés nem a fémfegyverzeteken, hanem a szigetelőn rejlett.



665. ábra.
Szétszedhető leydeni palaczk.

390. Az *A* és *B* fémkorongok (666. ábra) között eleinte csak levegő legyen.



666. ábra.
Levegős sűrítő.

Ennek a levegős sűrítőnek *A* korongját a földdel közlekedésbe helyezvén, *B*-t a gép potenciáljára emeljük, mely a *D* ingácskának kihajlásán megbecsülhető. Ha most a géppel való közlekedést megszüntetjük, az inga kihajlása kisebbé válik, valahányszor a két korongot egymáshoz közelítjük, s ezzel a potenciál csökkenését árulja el, bár e közben a töltés nem változott.

Az inga kihajlása azonban akker is többé vagy kevésbé csökken, ha a korongokat nem közelítjük egymáshoz, hanem a helyett üveg, paraffin, ebonit, vagy másféle szigetelő lapot teszünk közéjük. Látható tehát, hogy ha a sűrítő méretei és alakja nem változnak, de változik a két fegyverzetet elválasztó szigetelő, a sűrítő kapacitása is változik.

Legyen két zárt sűrítőnk, melyek geometriailag teljesen egyenlők, de az egyikben a fegyverzetek közé például paraffin, a másikban pedig 0° hőmérsékletű és 76 cm nyomású száraz levegő töltse ki; jelöljük az elsőnek kapacitását C' -vel, az utóbbit C -vel. Helyezzük a levegős sűrítő külső fegyverzetét az elektrométer védő házával, belső fegyverzetét pedig a tűvel vezető közlekedésbe; ha a készülék kapacitása c , akkor $C+c$ kapacitású rendszert alkottunk, melyet V potenciálra

$$Q = (C+c) V$$

töltés fog emelni.

Anélkül, hogy a töltést megváltoztatnók, kössük össze a paraffinos sűrítő belső fegyverzetét a tűvel, a külsőt pedig az elektrométer házával. A potenciál ezen a $(C' + C + c)$ kapacitású rendszeren nyilván megváltozott s V' értékét a következő egyenlet adja meg:

$$Q = (C' + C + c) V'.$$

Erre a közlekedések megszüntettetnek, a tű kisüttetik s most csupán csak a levegős sűrítő, mely CV' töltést őrzött meg az előbbi kapcsolatból, helyeztetik az elektrométerrel ugyanolyan kapcsolatba; ennek folytán a potenciál V'' értékre csökken, mely

$$CV' = (C + c) V''$$

kifejezésből adódik ki.

Eme három egyenletből igen könnyen ered a következő:

$$\frac{C'}{C} = \frac{V - V''}{V''},$$

mely kifejezésben a potenciálok helyett a velők arányos ki-

téréseket (387) helyettesítvén, kiszámítható a paraffinos és ugyanolyan levegős sűrítő kapacitásainak viszonya, vagyis $C':C=D$. Ezt a viszonyt a megosztás fajlagos együtthatójának vagy pedig a szigetelő dielektromos állandójának nevezik.

A paraffinra, a petroleumra, a terpentinszeszre vonatkozólag D értéke körülbelül 2, az üvegre és a faolajra nézve 3, ebonitra nézve 2,5, kénre nézve 4.

A gázneműek dielektromos állandói között, bár nem nagy, de mindenesetre észrevehető különbségeket találtak; ezeket azután légüres térre szokták vonatkoztatni. A 0° hőmérsékletű és 76 cm nyomású levegőnek légüres térre vonatkoztatott dielektromos állandója 1,000 59.

391. Ezeket megállapítván, elég valamely sűrítő C kapacitását a dielektromos állandóval megsokszorozni, hogy megkapjuk a sűrítő kapacitását, ha a levegőt a kérdéses szigetelővel helyettesítjük. Így például a **371.** pontban tárgyalt gömbalakú sűrítőnek a kapacitása:

$$D \frac{RR'}{R'-R} \quad (1)$$

A levegős sűrítőben Q töltés, ha a külső fegyverzet a földdel közlekedik, a következő potenciált idézi elő:

$$V_o = Q \left(\frac{1}{R} - \frac{1}{R'} \right);$$

a sűrítő levegőrétegben a középponttól mért r távolságban levő P pontban — tehát $R < r < R'$ — a potenciál értéke

$$V = Q \left(\frac{1}{r} - \frac{1}{R'} \right);$$

míg ellenben az elektromosságnak ugyanazon Q mennyisége ugyanabban a sűrítőben, de másféle dielektrikummal megfelelőleg a következő potenciálokat hozza létre:

$$V'_o = \frac{Q}{D} \left(\frac{1}{R} - \frac{1}{R'} \right), \quad V' = \frac{Q}{D} \left(\frac{1}{r} - \frac{1}{R'} \right).$$

Ennek következtében az elektromos tér intenzitása r távolságban a levegőben

$$\frac{Q}{r^2},$$

a dielektrikumban pedig

$$\frac{Q}{Dr^2}.$$

Így tehát q és q' elektromosság-mennyiségek, ha D dielektromos állandójú közegben vannak, a következő erővel hatnak egymásra:

$$F'' = \frac{1}{D} \frac{qq'}{r^2}, \quad (2)$$

holott a levegőben ez az erő (327)

$$F = \frac{qq'}{r^2}.$$

Az itt adott elméleti fejtegetések kísérleti úton is igazoltak. E végből az elektrométer akként alakították át, hogy a tű és a quadránsok terpentinszeszbe voltak meríthetők, s egymásra való hatásukat úgy ebben a folyadékban, mint a levegőben meg lehetett figyelni. Ekként a készülékkel egész jól volt megállapítható, hogy az elektromos megosztás a dielektrikum szerint változik, valamint az is, hogy a megfelelő tömegmozgató hatás is módosulásban részesül.

Tekintettel erre, az elektromosság egységének a 327. pontban adott meghatározását ekként kell megadni: Elektromosság egysége az elektromosságnak az a mennyisége, mely vele egyenlő, tőle 1 cm távolságban levő mennyiséget 0° hőmérsékletű és 76 cm nyomású levegőben egy din erővel taszít.

392. Az előbbiekéből következik, hogy a nem-vezetőknek nem csupán csak szigetelés a működésük. Másrészt ismeretes, hogy az elektromos megosztásnak is alá vannak vetve, a mint ezt MARTEUCCI megmutatta; elektromozott testhez esetleges elektromosságtól teljesen megszabadított kénpálczikát

közelítvén, azt tapasztalta, hogy mindkét végén elektromossá lett, és pedig a megosztó felé forduló végén ellentett, az elforduló végén pedig egynemű elektromosságú. Megjegyzendő, hogy az elektromosság gerjesztésére bizonyos idő volt szükséges és a töltés a megosztás megszüntetése után is hosszabb ideig megmaradt. Ez tehát ép ellenkezője annak, a mit a vezetők esetében tapasztalunk. MOSSOTTI a dielektrikumoknak ezt az **elektrostatikai sarkítását** vagy **polarizációját** matematikai elmélettel magyarázta, feltételezván, hogy a dielektrikumok egymástól elszigetelt vezető részecskékből állanak. Mások ismét azt tételezik fel, hogy a dielektrikumok részecskéi állandóan elektromozott állapotban vannak, oly módon, hogy mindegyiknek két ellentett nevű sarka van s hogy az elektromos tér a részecskéket az erővonalak irányában rendezi: így válnak ezek a testek elektromosakká.

Mindkét elmélet alapján felforgatja az elektromos jelenségek ama felfogását, mely szerint ezek a hatások a távolságba, a közegnek közreműködése nélkül érvényesülnének.

393. Merő ellentétben ezzel a felfogással, MAXWELL, FARADAY véleményéhez csatlakozott. FARADAY a távolságba való hatásokat tagadta és úgy vélekedett, hogy az erő hatásának továbbvitelére valamiféle közeg szükséges, mely a hatásokat testről testre átszármaztatja; a szigetelők dielektromos tulajdonságait más szemmel nézte és megmutatta, hogy a megfigyelt tények úgy is magyarázhatók, ha elfogadjuk, hogy az elektromos erő vagy az elektromos tér intenzitása a dielektrikumokban sajátos módosulást, deformációt idéz elő, mely hasonlóan a rugalmas deformációkhoz, az elektromos erő hatása alatt fennmarad s az erővel egyszerre megszűnik. Az elektromos hatások szerinte úgy mennek végbe, mintha valamely összenyomhatatlan és rugalmas, minden tért betöltő közeg eltolódásai okoznák; a közeg rugalmassága a testtől függene, melyben foglaltatik.

Az elektromos eltolódás minden pontban arányos lenne a pontbeli elektromos erővel s a levegőben, egy szintfelületnek egy erőcsőbe eső a részén ugyanaz lenne az értéke, mint azé a Q töltése, mely ugyanezen csőnek a vezető felületén végződő részén helyet foglal; ellenben D dielektromos állandójú dielektrikumban az eltolódás értéke DQ lenne.

Így például sík levegős sűrítő elektromos ereje (382):

$$F = 4\pi\rho,$$

a fegyverzettel párhuzamos sík lap felületegységén ρ eltolódást okoz; de ha a levegő helyét oly dielektrikum foglalná el, melyre nézve az elektromos megosztás fajlagos együttthatója D , ugyanez az F erő a következő eltolódást okozná:

$$x = D\rho = D \frac{F}{4\pi}. \quad (3)$$

394. Ez az elektromos eltolódás a közegben bizonyos rugalmas ellenhatást ébresztene, melynél fogva a dielektrikum potenciális energiára tenne szert, melylyel a megelektromozás előtt nem birt; ekként az elektromos energia MAXWELL szerint nem a vezetőkön van felhalmozva, hanem a dielektromos közegben van megkötve.

Midőn a sűrítő megtöltetik, az elektromos erő s a vele állandóan arányos elektromos eltolódás zérus értékről F , illetőleg x értékekre emelkedik; ennél fogva az elektromos erő munkája a szintfelület egységén keresztül a hosszegységgel egyenlő darabon; hasonlóan a rugalmas erők munkájához, a következő:

$$\frac{Fx}{2}.$$

Ennél fogva a dielektrikum térfogategységbeli energiája a (3) képlet szerint

$$E = \frac{Fx}{2} = D \frac{F^2}{8\pi},$$

és két a területű, egymástól d távolságban levő sík közé fogott egész térfogatban

$$Ead = D \frac{F^2}{8\pi} \cdot ad, \quad (4)$$

s minthogy

$$F = \frac{V}{d},$$

ez a kifejezés a következő alakba is önthető:

$$Ead = D \frac{a}{8\pi d} V^2.$$

Visszaemlékezvén a **382.** pont (3) képletére, mely a sík kondenzátor kapacitását adja meg, azonnal kiderül, hogy a (4) képlet a sűrítő energiájára ugyanazt a $\frac{1}{2} CV^2$ értéket adja, mint a melyet a **365.** pontban egészen más úton kaptunk volt.

395. A (4) képlet a (3) alattinak tekintetbe vételével még ebben az alakban írható:

$$Ead = \frac{2\pi (xa)^2}{D} \cdot \frac{d}{a},$$

hol xa az egész elektromos eltolódást jelenti; ebben az alakjában a képlet azt tünteti elő, hogy ha az xa eltolódás változatlan marad, a dielektrikum d magasságú oszlopának meg-rövidülése a potenciális energiának csökkenésével jár s azért a belső erőknek fokozódása kíséri; ellenben az a keresztmet-szet kisebbedése az energiát növeli, miért is ez a kisebbedés csak belső erők legyőzése árán létesülhet. Az elektromozás tehát rugalmas erőket ébreszt a dielektrumban, melyeknél fogva FARADAY-nak a dolog mibenlétéről alkotott nézete szerint az erővonalak rövidülni s egyúttal egymástól oldalt távolodni törekednek. A közeg az elektromos tér irányában a feszülésnek, az erre merőleges irányban pedig az összenyomásnak valamiféle állapotában lenne. A (4) képletből ki is számítható a prizma d magasságának δ -val egyenlő meg-rövidülése közben a rugalmas erőből végzendő Ead munka,

mely erőnek e végből a felületen Ea intenzitással kell hatnia; ebből a dielektrikumban meglevő feszültségnek területegységenkénti intenzitása

$$\frac{D}{8\pi} F^2.$$

Ha $a = bc$ tételik, hasonlóképen kiszámítható az a munka, mely a cd oldalnak b -vel párhuzamos β nagyságú eltolódása közben végeztetik, mely nyilván $Ecd\beta$, a melynek elvégzésére Ecd erő szükséges, a miből kiderül, hogy az oldalt ható nyomásnak is ugyanaz az E értéke van.

Mindaz, a mit itt az egyenletes elektromos térnek egyszerűbb esetére megállapítottunk, általánosságban is érvényes; mert hiszen ezek a fejtegetések két végtelen közel fekvő szintfelület közé fogott erőcsőnek egy-egy elemi rétegére alkalmazhatók, mely esetben a cső határoló lapjai síkoknak és párhuzamosoknak, az erővonalaknak közéjük eső elemei pedig egyeneseknek és párhuzamosoknak tekinthetők.

Ámde ha ezek az erők tényleg hatnak, a dielektrikum alakjának és térfogatának az elektromozás hatása alatt meg kell változnia. Ezt többféle kísérlettel igazolni sikerült. A kísérletekről csak annyit kívánunk említeni, hogy hajszál-szűk nyakú üveggolyót vízzel megtöltvén, vízbe állították; ezt azután leydeni-palaczk módjára megtöltötték és kisütötték. Töltés közben a víz a hajszálcsőben emelkedett, a kisütés után pedig eredeti állására szállt.

Említsük még meg, hogy izotrop testek elektromozás hatása alatt kettős törésűekké válnak; ennek megmutatása végett a dielektrikumot erre alkalmas fegyverzetek révén keresztbe állított Nicol-féle hasábok (289) között erősen elektromozzuk.

396. Az eddig mondottakat MAXWELL nyomán a következőkben foglaljuk össze:

Az elektromos energiának székhelye a dielektromos közeg, melynek pontjai az elektromos erőt abban az irányban

származtatják tovább, a melyben a potenciál a leggyorsabban változik: vagyis a szintfelületekre merőlegesen, az erővonalak irányában, melyek ez okból az **elektromos megosztás vonalai**-nak is nevezhetők, mert hiszen az elektrosztatikai megosztás ezt az irányt követi.

Az energia a közeg minden pontjában valamiféle kényszer-helyzetből eredő potenciális állapotban rejlik, mely állapotnál fogva a dielektrikum minden részecskéje **sarkított**nak, vagyis oly állapotúnak tekinthető, hogy az elektromos erővonalakra merőleges lapjain egyenlően, de ellentett nevűleg töltöttnék mutatkozik.

Az elektrosztatikai sarkítás az elektromos erőtől, az erő irányában előidézett valamiféle eltolódásnak gondolható, melynek értékét az elektromos erő adja, ha $\frac{D}{4\pi}$ -vel megsokszorozzuk.

A dielektrikum térfogategységének a sarkításból eredő energiája az elektromos erőnek az eltolódással való félszorozmánya.

A sarkítást az indukció (megosztás) vonalai irányában bizonyos feszültség kíséri, mely eme vonalakra merőleges, minden irányban egyenlő nyomással kapcsolatos; a feszültség és a nyomás térfogategységenkénti értékei egy pontra nézve egyenlők egymással.

Azon elemek felülete, melyekre a dielektrikumot elbonthatónak gondoljuk, oly módon töltöttnék vehető, hogy a felületi elektromos sűrűség minden pontban az eltolódással egyenlő; így az egymásra következő elemek eme felületi töltései egymást különböztetik, kivéve a dielektrikum határoló felületeit s ennek következtében egy erőcsövön belül az elektromozás, vagy ha másképp akarjuk mondani, a megosztás csakis a cső két szélső keresztmetszetén érvényesül, hol is egyenlő, de ellentett előjelű töltések fognak mutatkozni.

Bármilyen legyen is az elektromosság természete, s bármilyen legyen is a mozgásban levő elektromosságról alkotott nézetünk: a tőlünk elektromos eltolódásnak nevezett jelenség

az elektromosságnak ugyanolyan értelmű mozgása, a minő mozgása az elektromosságnak a töltésnek egy vezető dróton való továbbitele, de avval a különbséggel, hogy míg a dielektrikumban valamiféle rugalmas hatás az, a mi a töltést az elektromos erő megszüntéig visszatartja (innét a sűrítő kisütése), addig a vezetőkön az elektromos rugalmasság folytonosan enged az erőnek, úgy, hogy bennök valóságos és állandó elektromos áramlások létesülhetnek.

Az elektromosság áramlása minden körülmények között ugyanannak a feltételnek van alávetve, mint az összenyomhatatlan folyadéké, vagyis hogy valamely zárt felületen minden pillanatban épen annyinak kell kilépnie, mint a mennyi rajta belépett.

Ennek az a folyománya, hogy az elektromosság áramlása mindenkor zárt körben megy végbe. Ugyanazon idő alatt, a melyben a sűrítő töltésére használt drót minden egyes keresztmetszetén bizonyos mennyiségű elektromosság áramlott át, a dielektrikum valamennyi keresztmetszetén, elektromos eltolódás alakjában, ugyanaz a mennyiség áramlik át; a kisülés alkalmával a dielektrikum elektromos eltolódása ellentett értelmű.

397. Az elektromos eltolódásnak változása tehát az elektromosság áramlását vonja maga után. Mindamellett ezen áramok csakis addig tartanak, a míg az eltolódás változik, mint-hogy a közeg rugalmas ellenállása az eltolódást akadályozza; azért is nem tarthatnak vég nélkül ugyanabban az irányban, mint a hogy ez a vezetőknél történik.

A dielektrikumok viselkedése mindenkor és mindenben a rugalmas testek viselkedésének megfelelő. Ha a mechanikai hatás a rugalmasság határain túlmegy, a test elszakad vagy pedig végleges alakváltozást szenved, még ha a deformálást előidéző erő meg is szűnt hatni. Így, ha két vezető potenciálkülönbsége, vagyis az őket elválasztó szigetelőben rejlő elektromos erő bizonyos határt meghalad, két eset lehetséges: a dielektrikum a hirt-

len kisüléstől áttörésvén, az elektromosságnak útát enged, vagy pedig végül is vezetővé válik. Az első eset a törékenységnak, a másik az idomíthatóságnak felel meg. Az összes gáznemű testek az első eset alá tartoznak, a folyadékok és szilárd testek — többé-kevésbé szigetelők — a második eset alá.

398. Még a rugalmas utóhatásnak (I, 163) megfelelő jelenségekre is akadunk a dielektrikumok viselkedésében. Ez az utóhatás, mint láttuk, abban áll, hogy az alakváltozás az előidéző erő intenzitása és hatásának tartama szerint, az erő hatásánál tovább tart és idővel többé-kevésbé elenyészik. Lássuk a megfelelő elektromos tünetényt.

A leydeni palaczkban a fegyverzetek közé fogott szigetelő az üveg. Töltés közben alá van vetve a deformáló hatásnak: kisüléskor azonban nem tér vissza hirtelen és teljesen eredeti állapotába, mint például a levegő. Azért is, ha két fegyverzetét fémívvvel rövid időre egymással összekötjük s azután magára hagyjuk, rövid idő múlva **utólagos töltés** jelentkezik s a palaczk új szikrát adhat s kevés vártatva egy harmadikat is. Épen úgy, a mint a rugalmas test nem szerzi vissza nyomban eredeti alakját, a mennyiben eleintén kissé deformált marad.

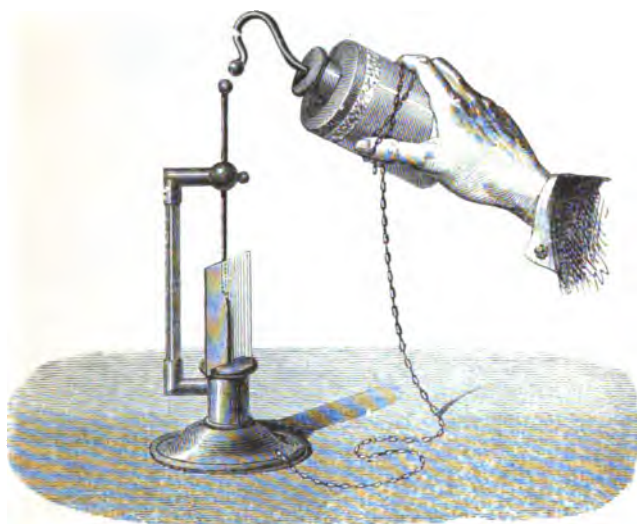
399. A mint utóvégre elszakadnak a plasztikus, valamint a rugalmas utóhatásokat feltüntető testek is, úgy a hatalmas potenciál-különbségeknek alávetett dielektrikumok végre megszűnnek ellenállani: a kisülés a belsejökben megy végbe, összetöri őket és részeiket szétveti.

Az elektromos szempontból többé-kevésbé plasztikus folyadékokban a szikra könnyen ugrik át, ha gondunk van rá, hogy a zárlatot más pontban is megszakítsuk, úgy, hogy a levegőben is keletkezzék egy szikra. A folyadékokban létesülő szikra nagyon zajos, a folyadékokat messzire szétszórja, néha összetöri az üvegedényt is, minélfogva óvatosnak kell lenni, különösen ha gyúlékony anyagokkal van dolgunk.

A szilárd testek közül a kártyapapiros, mely félvezető,

tehát szintén a plastikus testekhez hasonlítható, a 667. ábrabeli készülékben a szikrával átlyukasztható; épen így a különböző száraz falemezek is.

Az üveg közönséges mérsékleten jól szigetel; kevésbbé jól, ha meleg, s végre vezetővé válik; tehát fokozatosan elek-

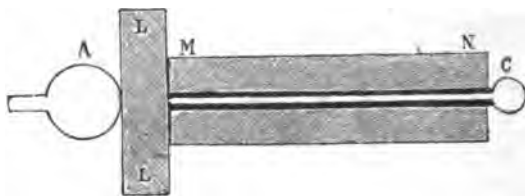


667. ábra. Kártyapapiros átlyukasztása.

tromos idomíthatóságra tesz szert, a mint szert tesz a valóságos és tulajdonképeni idomíthatóságra. Láttuk, hogy a mint el van látva utóhatású rugalmassággal, úgy elénk tárja az utólagos töltést is (402), de elektromos szivóssága szintén nem határtalan, mert a kisülés némelykor a palaczkok üvegén át esik meg s ezt keresztül lyukasztja. Hogy azonban egy üveglap átlyukasztása sikerüljön, némi gondnal kell eljárni.

Az *LL* lapot (668. ábra) gyanta és terpentínből való tapasztóval egy vastag *MN* üveghengernek egészen síma alapjára erősítjük; a hengerbe fémpálczika van dugva, mely egyik végén csúcsban, másikon *C* golyócskában végződik. Egy másik, a földdel közlekedő *A* gömböt a csúcscsal szemközt állítunk, és *C*-t

az elektromozó gép gyűjtőjéhez közelítve, szikrát ugratunk rája. Mivel ez a mechanikai hatás inkább nagy potenciál-különbséget, mint tetemes mennyiségű elektromosságot kíván meg, a



668. ábra. Üveglap átlyukasztása.

kísérletre telepek nem alkalmasak, és visszaemlékezve a 379. pontbeli fejtegetésekre, inkább lánczolatosan kapcsolt palaczkok sorához fogunk folyamodni.

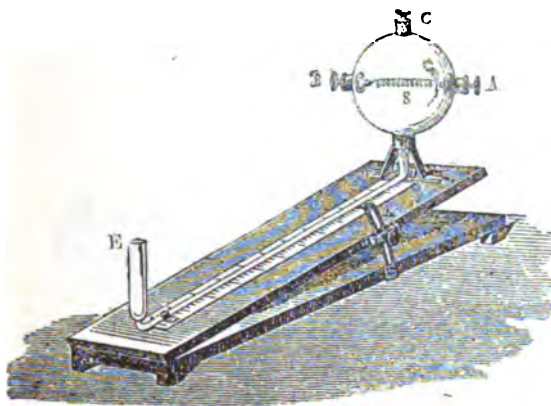
XLII. FEJEZET.

ELEKTROMOS KISÜLÉSEK.

400. A sűrítő fegyverzeteit fémívvvel összekötvén, a levegőn átugró szikra a kisütő ív természete szerint többé vagy kevésbbé fényes; igen zajos és fényes, ha ez az ív rövid és vastag fémből való; halvány és gyengécske, ha az ív hosszú és igen vékony drótból van. A potenciális energiából, mely a kisülésben molekulai energiává alakul át, az első esetben túlnyomólag a levegővel közlődik, a másodikban pedig inkább a fémdrótban alakul át hővé.

Ez a hő megmérhető, és RIESS az ő elektromos hőmértékével meg is mérte. Ez üveggömbből (669. ábra) áll, melyben az *A* és *B* csíptetők közé a spirálisban összecsavart igen vékony *S* platinadrót van kifeszítve; a csíptetők egyike rövid és vastag

dróttal a sűrítő külső fegyverzetéhez van kötve, másika pedig hasonló dróthoz van kapcsolva, melyet a kisütés létesítése végett a belső fegyverzethez közelítünk. A hosszú hajszál-szűk nyak, mely az *E* tölcserben végződik, alkohollal kevert kén-savat tartalmaz, és a vízszinteshez kisebb-nagyobb mértékben hajlítható. A *C* dugó a külső térrel való összeköttetés létesíté-



669. ábra. Elektromos hőmérő.

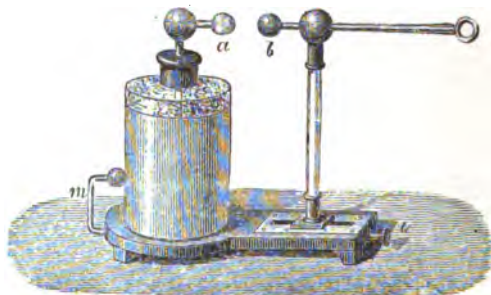
sére szolgál, a mikor is a folyadékszál bizonyos nyugalmi helyzetet vesz fel, melyet feljegyzünk. Ha az üveggömböt a *C* dugóval elzárjuk, az elzárt levegőnek nyomása a megmelegedés miatt nagyobbodik és a folyadékszálát eltolja. Ha meggondoljuk, hogy a hő igen gyorsan megy át a drótból a levegőbe, beláthatjuk, hogy a veszteségeket el szabad hanyagolni és kellő megközelítéssel feltehető, hogy a drótban fejlesztett hő arányos a folyadékszál maximális eltolódásával.

E műszerrel RRESS kimutathatta, hogy a drótban fejlesztett hő állandó viszonyban van a sűrítőtől felhalmozott elektromossággal.

401. Hogy a sűrítővel közölt különböző töltéseket összehasonlíthassuk, a **Lane-féle elektrométer**hez folyamodunk,

melyet a 670. ábra tüntet elő. Ez kicsiny leydeni-palaczk, melynek külső fegyverzete fémszalag útján egy oszloppal és a *b* golyóval közlekedik, mely utóbbi a belső fegyverzet *a* gombjától kisebb-nagyobb mértékben eltávolítható.

Ha *a* és *b* között bizonyos távolságot tűzünk ki, *b*-t zérus-potenciálón tartjuk, *a*-t pedig működésben levő elektro-



670. ábra. Lane-féle mérőpalaczk.

mozó géppel kötjük össze, a két golyó között a szikrák sora ugrik át, és az az elektromosság-mennyiség, melyet két egymásra következő szikra között a felső fegyverzettel közölni kell, állandó.

Hogy a valamely sűrítővel közölt elektromosságnak mennyiségét megmérjük, mind a két fegyverzetét elszigeteljük: az egyiket, például a belsőt, összekötjük a géppel, a külsőt pedig a LANE-palaczk *a* gombjával; *b* a földdel kapcsolandó össze.

Abban a mértékben, melyben a pozitív elektromosság a gépből a sűrítő belső felületére megy, ugyanannyi pozitív elektromosság indul ki a sűrítő külső felületéről is, de az *ab* megszakítás miatt nem hatolhat folytonosan a földbe, hanem megtölti a mérőpalaczkot s a kellő potenciálkülönbséget előidézvén, kisül; világos, hogy ugyanott minden egyes szikra alkalmával egyenlő mennyiségben megy át. Ennélfogva a sűrítő töltése közelítőleg arányos az elektrométer szikráinak számával.

402. A kisütő zárlat, melynek egyik része az elektromos hőmérő, egyik végével állandó összeköttetésben legyen a sűrítő külső fegyverzetével, másik végét pedig a szikrák meghatározott s száma után a belső felülettel kötjük össze. A kisütés átjárja a platinadrótot és a folyadékoszlop T elmozdulásával arányos hőt fejleszt benne. RIESS a $T:s^2$ viszonyt állandónak találta; a drótban fejlesztett hő tehát arányos a dróton átmenő elektromosság mennyiségének négyzetével, a miként a **365.** p. (3) képletével elméletileg már megállapítottuk.

403. Nem kell azonban szem elől téveszteni, hogy nem az egész, a sűrítő töltésére fordított energia jelen meg hő alakjában az elektromos hőmérőben: egy része szikrában vagy szikrákban nyilvánul, melyek a kisütő kör minden egyes megszakításában keletkeznek; egy másik nem csekély része azokra a szikrákra vagy fénybojtokra fordítatik, melyek a sűrítő szélén keletkeznek (**408**); végre egy része magának a sűrítőnek szigetelőjét melegíti meg.

Egészen szigorú eljáráshoz megkiváncsoltuk, hogy az egészet kaloriméterbe zárjuk és ennek megmelegedését megfigyeljük. Azonban ez az eljárás rendkívüli és talán legyőzhetetlen akadályokba ütközik, és másrészt még mindig fennmaradna a kétség, vajjon az energia egy része nem fordítatik-e azon fémek diszgregációjára, melyek között a szikra átugrik.*

Ez bizonyára nem volna alkalmas mód arra, hogy abszolút mérték szerint meghatározzuk a kilogramm-méterek számát, melyek Q elektromosság-egységnek V potenciálról zérus-potenciálra való átmenetével egyenértékűek, s hogy ekként teljesen beigazoljuk a **365.** pont (3) képletét. Erre egészen más módon juthatunk, melylyel megismerkedni lesz még alkalmunk.

* Midőn ugyanis a szikra két különböző golyó, például arany- és ezüstgolyó között ugrik át, az ezüst golyón arany találatot és viszont.

404. Mindazonáltal megjegyezzük, hogy RIESS kísérleteiből következtethetjük, hogy a kisülés egész energiája a platinadrót és a zárlat többi része között akként oszlik meg, hogy e két rész egymáshoz való viszonya független azon elektromosság-mennyiségtől, mely adott sűrítőből adott dróton át kisül.

Ugyanerre az eredményre vezetnek VILLARI kísérletei is, ki azonban a töltést a szikrában fejlesztett hővel hasonlította össze. A két fegyverzethez vastag fémdrótokat forrasztott, melyek az ő *kisütő hőmérőjéhez* vezettek. Ez léghőmérő volt, mely két oldalt rövid csővel és hosszú nyakkal ellátott üveggömbből állott; a lefelé fordított és edénykébe merülő nyakban alkalmas folyadék volt. Az oldalcsövekbe két platinadrót volt erősítve, melyek egyike szilárdan állott, másika pedig az őt tartó parafadugóban forgatható, s a gömbön kívül levő üvegpálczika segítségével az álló dróthoz közelíthető vagy ettől eltávolítható volt. Ily módon a zárlat fémi összeköttetésének folytonossága biztosítva volt, és a kisülés csakis egy szikrával jött létre a gömbben (*kisütő szikra*), vagy szintén oly módon, hogy a zárlat más pontjaiban is némi mérhető köz maradt, hol is egyidejűleg *mellékszikrák* ugrottak át. A folyadékoszlop elmozdulása itt is arányosnak vehető a szikrában gerjesztett hővel, és VILLARI, a hőmérőbeli két platinadrótot érintkeztetvén, az elmozdulásokat a LANE-féle elektrométerrel mért töltések négyzetével arányosnak találta; ha ugyan a két fegyverzet közötti potenciálkülönbség nem volt túlságos nagy, vagy túlságos kicsiny.

405. Nyilvánvaló, hogy egyetlen egy leydeni-palaczk helyett sűrítőül több ilyen palaczkot is használhatunk, melyeket **teleppé** egyesítünk oly módon, hogy úgy külön a belső, mint külön a külső fegyverzeteket egymással fémileg összekötjük.

Valamely telep elektromos kapacitása egyenlő **(349)** azon palaczkok kapacitásainak összegével, melyekből össze van állítva; és ha e palaczkok egymással egyenlők, arányos a számukkal. Azonban a **365.** pont (3) képlete szerint a munka, mely

megkivántatik, hogy valamely vezetővel adott Q töltés közöltesék, fordított viszonyban van a kapacitással; és ezzel összhangzásban RRESS azt találta, hogy a hő, melyet a kisülés vékony drótban gerjeszt, fordítva arányos a palaczkok számával, a melyekben az adott elektromosság-mennyiség szétosztva volt. Ugyanezen eredményre jutott VILLARI is, sem túlságos magas, sem túlságos alacsony potenciálokra nézve, midőn vastag kisütőzárlat alkalmazásával a kisütő szikra melegét hőmérőjével megmérte.

Azt kellene tehát következtetnünk, hogy a kisülés energiája ebben az esetben is egymással arányos részekre oszlik meg, vagyis hogy a szikrának melege, a fémi zárlat melege, a palaczk belső melege és a diszgregáció munkája adott kisütési zárlatban az egész energiának egyazon hányadrésztét teszi. Csakhogy az elkerülhetetlen hibák, melyekkel az ilyes meghatározások járnak, e törvény szigora iránt sok kétséget hagynak fenn.

406. Láttuk (366), hogy ha valamely C kapacitású és Q töltésű vezetőt egy másik, C' kapacitású vezetővel kötünk össze, az előbbeni vezető E energiája $\frac{C'}{C+C'} E$ értékkel apad. Hasonlóképen, ha K kaloria fejlődik, midőn n egyenlő palaczkból álló telepet kisütünk, melyet előzetesen a LANE-féle elektrométer s számú szikrájával töltöttünk meg: csak $\frac{n'}{n+n'}$ K kalóriát nyerünk, ha ugyanannyi s szikrával való megtöltés után belső fegyverzetét összekötjük egy n' palaczkból álló másik telepnek a belső fegyverzetével, mely ki van sűtve s melynek külső fegyverzete a földdel közlekedik. VILLARI az $n = n'$ esetre nézve, kisütő hőmérőjét a két egyenlő telep közé kapcsolván, azt találta, hogy a fejlesztett hő $\frac{K}{2}$ volt, vagyis mintegy a fele annak, mely fejlődött, midőn csak az egyik telep fegyverzetei közé csatlakoztatta. Midőn ezután mindegyik telepet külön-külön sűtötte ki,

mindegyiket $\frac{s}{2}$ számú szikrának megfelelő elektromossággal töltvén meg, mintegy $\frac{K}{4}$ kaloriát talált. Tehát úgy látszik, hogy ezek a kísérletek is az arányosságnak az előbbeni pont végén említett törvényére utalnak.

407. Ha a kisütés nagyon erős, az elektromos hőmérő drótja elolvad és végül elpárolog. A kisülés közben fejlődő hő a szigetelőt is megolvaszthatja, a melyet átjár, miként ezt legegyszerűbben zárt kénvirággal megmutathatjuk, s ily módon a fulguriteket utánozhatjuk, melyeket néha nedves rétegek fölött lévő homokos területeken találunk, s a melyeket valószínűleg a villámot alkotó természetbeli kisülés hozza létre.

408. Említettük már a sűrítők szélein képződő fénylő pamatokat; hasonlóképp, ha az üveget úgy akarjuk átlukasztani, hogy egyszerűen a kisütő két szára közé helyezzük, a kisütés nem megy át rajta, hanem inkább kigyódzva megkerüli az üveg felületét, miközben a rajta megsűrített (I, 272) heterogén anyagok rétegein végig vonul.

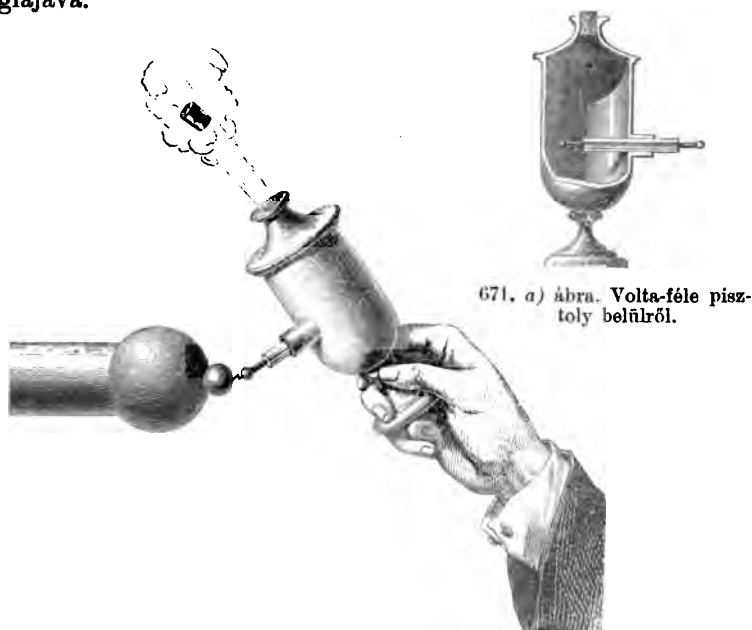
Sötétben dolgozva, ez közvetlenül megfigyelhető, vagy pedig a kisütés után akként tehetjük láthatóvá, hogy a lemezre elektroszkópos port (315) hintünk. A pozitív elektromozású lapon sárga kénscillag tűnik elő elágazó sugarakkal, a másik lapon pedig éles körvonalú vörös minium-folt. Ezek a **Lichtenberg-féle alakok**, melyeket akként is nyerhetünk, hogy gyanta-lepényen egy elektromozott testet, például egy leydeni-palaczk gombját, húzunk végig.

Hasonló jelenségek mutatkoznak egy palaczk lakkozott felületén, a külső fegyverzet széle mellett, valahányszor a palaczkot kisütjük.

Ezek a felületmenti kisülések a szigetelőt körülövező atmoszférát, és némelykor a szigetelőnek még legfelső rétegét is módosítják, minek nyomai, a Moser-féle képek módjára, előtűne-

deznek még jóval annak utána is, hogy az elektromozásnak minden nyoma eltűnt (*harmatképek*).

409. Az elektromos kisülés létrehoz még **chemiai hatások** is, melyek egynémelyike a fejlesztett hő másodrendű hatásainak tekintendő, mások ellenben közvetetlen átalakulásai az elektromos helyzeti energiának az atomok helyzeti energiájává.



671. a) ábra. Volta-féle pisztoly belülről.

671. b) ábra. A Volta-féle pisztoly elsütése.

Az első csoportba tartozik az ammoniak felbontása, úgyszintén a durranó keverékeknek (például a hidrogén és oxigén vagy egyszerűbben a világító gáz és levegő keverékének) felrobbantása, midőn szikra ugrik rajtuk keresztül.

A robbanás előidézésére a **Volta-féle pisztolyt** használjuk; ez fémedényből (671. b) ábra) áll, mely oldalt egy lakkozott üvegcsőbe illesztett vezetővel van ellátva. Az edénybe levegővel kevert kevés világító gázt vezetünk, parafadugó-

val elzárjuk, és, kézben tartva, a gombot az elektromozó gépgyűjtőjéhez közelítjük. A gombra ugró szikrával egyidejűleg létre jön egy belül átugró (671. a) ábra) szikra, mely a keveréket meggyújtja, minélfogva a dugó kihajíttatik.

E készülékhez hasonlóak az **eudiométerek**; ezek beosztott üvegharangok, melyek higanynyal vagy vízzel megtöltött felfogókádba vannak fordítva, és felső végükbe két platinadrót van forrasztva, melyek között a szikrát átugratjuk, hogy a gázkeverék vegyülése létrejöjjön s ekként chemiai elemzését végezzük.

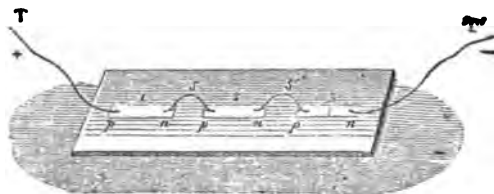
410. A puskapor meggyújtásakor a kisülést lassítani kell az által, hogy az áramkörbe kevésbé jó vezetőt, pl. nedvesített szineget kapcsolunk; különben a puskapor nem gyulad meg, hanem egyszerűen szétszóródik. Az éter azonban a földdel közlekedő fémcészikében igen gyorsan gyúl meg, ha az elektromozó gépből szikrát ugratunk beléje.

Ellenben az oxigénnek a levegő nitrogénjével való vegyülését, melyet pusztá hevítéssel nem létesíthetünk, a szikrák egész sorával elő lehet idézni; ezek száraz levegőben átugorva a salétromsav-anhidrit vöröses gőzeit hozzák létre, nedves levegőben pedig salétromsavat fejlesztenek.

411. A kisülés egészen más chemiai hatásokat is, nevezetesen szétbontásokat létesít, és pedig a nélkül, hogy szikraalakjában nyilvánulna. E tárgygyal később behatóan fogunk foglalkozni. Egyelőre tegyük a következő kísérletet. Üveglapra (672. ábra) három papiros-szeletkét fektetünk: az első jódkáliummal és keményítő csirizzel van áztatva, a második káliumszulfáttal van itatva és lakmuszszal kékre festve, a harmadik ugyanezen sóval van itatva, de curcumával sárgára festve. Az első a *T* platinadrót révén az elektromozó géppel, az utolsó egy másik *T'* drót révén a földdel közlekedik, a két közterbe pedig az *s* és *s'* platina-ívecskék vannak helyezve.

Midőn az elektromosság ezen lánczon végig fut, a *T* drót vége körül ibolyaszínű folt tűnik elő, mely a szabaddá vált

jódtól származik; a második szeletke p pontjában a lakmusz megvörösödik a kénsav hatása miatt, és a harmadik szeletke n pontjában a curcuma az ott keletkező káliumhidrát hatására megbarnul. Azokat a törvényeket, melyeknek az **elektrolízis**



672. ábra. A kisütés chemiai hatása.

eme fontos tüneménye, vagyis a vegyületeknek az elektromos árammal való chemiai szétbontása alá van vetve, később fogjuk tanulmányozni (L. Fejezet).

412. Ne hallgassuk el az ozon fejlődését; ez abban a sajátos szagban nyilvánul, mely a levegőben való kisütésekkel jár; ez a szag hasonló a foszforéhoz, a mint hogy ozon tényleg fejlődik is, ha nedves foszfordarabokat a levegőre teszünk ki. Az ozont nem tekinthetjük, mint régente, oxigén és nitrogén vegyületének, mert tiszta és száraz oxigénben átugró szikrákkal is előállítható.

A chemikusok úgy vélekednek, hogy az ozon az oxigénnek polimer módosulása, nevezetesen, hogy molekulája két atóm helyett háromból áll. Eme véleményt számos bizonyíték támogatja, de hiányzik az a közvetlen bizonyíték (I, 473), hogy az ozon sűrűsége az oxigénéhez a 3 : 2 viszonyban van, mert eddig az ozont csak nagyon hígított állapotban sikerült előállítani.

Mindazonáltal csak kevés ozonnak kell a levegővel keveredve lennie, hogy a szag érezhető legyen, hogy a szövetek megfehéredjenek, hogy a légzőszervek ingereltessenek, hogy

mindazok az oxidáció-tünemények jelentkezzenek, melyek oxigén test jelenlétében levő chlort jellemeznek.

Az ozon a forró víz mérsékletén megbomlik, s keletkezésének csak alacsony mérsékletek kedveznek; ennélfogva az olyan csendes kisütések, mint a minők a csúcsokból áramlanak ki (361), hatásosabbak a tulajdonképeni és igazi szikráknál.

Míg az ozon túlságos mennyisége veszélyes a lélekzésre nézve, addig némelyek szerint neki tulajdonítandó a levegő felélesztő hatása a buja növényzetű helyeken. Sőt az utóbbi időkben neki tulajdonították az ég azurkék színét is, nevezetesen azóta, hogy tapasztaltatott, hogy CAILLETET készülékében (I, 520) az ozonosított oxigén a folyós állapottal együtt kék színt vesz fel, mi HAUTEFEUILLE és CHAPPUIS szerint -100° -on és 125 légköri nyomáson esik meg.

413. A szikra legnagyobb hosszát, vagyis azt a távolságot, a melyen a szikra egymáshoz lassan közelített két vezető között átugrik, *ütő távolságnak* nevezzük. A vezetők többnyire kicsiny gömbök, melyeket szigetelő nyelek tartanak, s a melyek egyike szilárdan áll, másika pedig mikrométer-csavarral (I, 65) elmozdítható; az ekként összeállított műszert *szikramérőnek* nevezik.

A kisütő golyócskák dróttal vannak a különböző potenciálú két vezetőhöz, például több palaczkból álló telep fegyverzeteivel, vagy pedig az egyik a földhöz, a másik pedig az elektro-mozó géphez kapcsolva.

Az találtatott, hogy az *ütőtávolság* ama vezetők potenciálkülönbségén kívül, melyek között a kisütés történik, még a vezetők alakjától is függ; függ továbbá a gáztól, melyen keresztül a szikra átütött.

Ha közönséges levegőben dolgozva a kísérletek valamely sorában mindig ugyanazokat a golyócskákat használjuk, a szikra hossza gyorsabban nő, mint a potenciálkülönbség és úgy látszik, hogy igen nagy szikra létesítésére elegendő az 1 mm

hosszú szikrához megkívántató potenciálkülönbség 30-szorosa (MASCART), mely körülményre a villámok magyarázatában hivatkozhatunk, a nélkül, hogy a felhők között rettentő potenciálkülönbségeket kellene feltételeznünk (395).

HEYDWEILLER következő táblázata lehetővé teszi a V potenciálkülönbség abszolút $C. G. S.$ értékének meghatározását, megmérvén $18^{\circ} C.$ hőmérsékletű és 745 mm nyomású levegőben d cm ütőtávolságot, r cm sugarú fémgolyók között, feltéve, hogy a környezet részéről megosztásnak nem voltak alávetve.

$r = 2,5$		$r = 1,0$		$r = 0,5$		$r = 0,25$	
d	V	d	V	d	V	d	V
0,5	61,2	0,1	15,7	0,1	16,0	0,1	16,1
0,6	72,0	0,2	27,0	0,2	27,9	0,2	27,9
0,7	81,8	0,3	37,9	0,3	37,9	0,3	37,8
0,8	91,1	0,4	48,3	0,4	48,5	0,4	45,9
0,9	100,3	0,5	58,3	0,5	57,7	0,5	52,4
1,0	109,5	0,6	67,9	0,6	66,4	0,6	57,3
1,1	118,6	0,7	77,5	0,7	73,5	0,7	61,0
1,2	127,7	0,8	86,8	0,8	80,3	0,8	63,4
1,3	136,7	1,0	104,3	0,9	85,3	1,0	67,3
1,4	145,6	1,2	118,3	1,0	90,9	1,5	74,4
1,5	154,1	1,4	128,8	—	—	—	—
1,6	162,2	1,6	137,6	—	—	—	—

A V értéke 1 százalékkal emelendő, a nyomás minden 8 mm.-nyi növekedésére vagy a hőmérsékletnek 8° -kal való esőkkedésére.

Igen tanulságos MASCARTnak alábbi táblázata is, mely 1 cm sugarú kisütő golyók között átütő szikrák méréséből vétetett.

A két golyó távolsága	Potenciálkülönbség $C. G. S.$ egyr.	Voltokban*
0,1 cm	16,1	4 830
0,5 "	56,3	16 890
1,0 "	84,7	25 440
1,5 "	97,8	29 340
2,0 "	104,5	31 350
3 "	124	37 200
5 "	153	45 900
10 "	187	56 100
15 "	206	61 800

$$* 1 \text{ volt} = \frac{1}{300} C. G. S.$$

414. A vezetők alakjának hatása a szikrára igen bonyolódott. Általánosságban mindössze csak annyit mondhatunk, hogy a szikra azon két pont között ugrik át, melyekben az elektromos sűrűség, tehát a feszültség (355) is, abszolút érték szerint a legnagyobb.

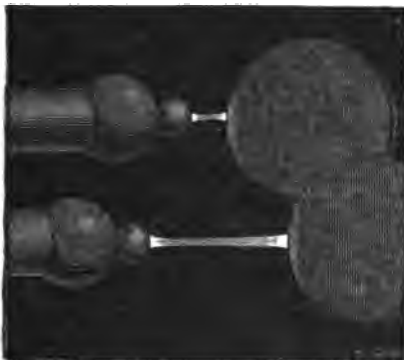
Ha a szikra két egyenlő gömb között ugrik át, minden ütő távolságnak megfelel egy bizonyos gömbátmérő, melyre nézve a potenciál-különbség a legnagyobb; és ez az átmérő annál kisebb, mentül rövidebb a szikra. Így például egy 1 mm hosszú szikra nagyobb potenciál-különbséget kíván meg, ha két gömböcske között keletkezik, mintha két sík között keletkezik; egy 10 mm hosszú szikrára nézve pedig az ellenkezőt tapasztaljuk (BAILLE).

A dolog még bonyolódottabb, ha a két vezető különböző. Ilyenkor az ütőtávolság még a kisütés irányától is függ; vagyis adott potenciál-különbség mellett a szerint változik, a mint az egyik vagy a másik vezető pozitív vagy negatív. Ilyetén különbség mindig nagyon feltűnővé válik, ha hegyes csücsöt koronggal állítunk szemközt; ekkor kicsiny potenciál-különbségek mellett az ütő távolság nagyobb, ha a csücs negatív, s az ellenkező áll nagy potenciál-különbségek mellett.

Eme sajátságokat még nem tudjuk megmagyarázni; az elektromos kisütés különben is olyan bonyolódott tünemény, hogy merészség volna, ha tanulmányozásához csak úgy rövidesen fognánk hozzá.

415. Az első bonyodalom abban áll, hogy a fémfelület kis érdessége, egy kevés por, kis oxidréteg, a kisütő felületén összesűrített levegőréteg (I, 222), mind megannyi ok, mely az egymást követő szikrákat megváltoztatja. A levegőben uszkáló por meg azt okozza, hogy a szikra egyenes, (673. ábra) ha rövid, és törött, ha hosszabb; még nagyobb ütő távolság esetében a szikra elágazik (674. ábra), sőt bojt-alakot (675. ábra a 406. lapon) vesz fel.

Második bonyodalom ím ez: Kicsiny potenciál-különbségek esetében, vagyis csekély elektromos feszültségekkel csakis a levegő jut izzásba, míg erős feszültségekkel a fémrészecskék is izzanak, miként a spektroszkóp (216) igazolja. De adott



673. ábra. Egyenes szikra.

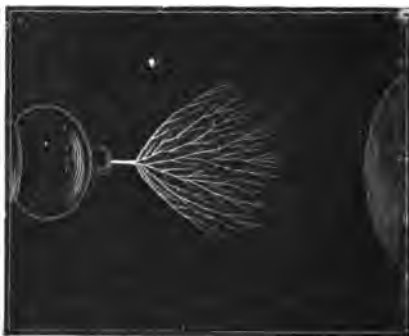
feszültség mellett hatással van még a kisülésben részes elektromosság mennyisége is, mit kimutathatunk a Holtz-féle géppel, ha sarkait változatlan távolságban hagyva, sűrítővel és a



674. ábra. Elágazó szikra.

nélkül ugratjuk át a szikrákat: az első esetben (373) fehérek, az utóbbiban violaszínűek.

A harmadik bonyodalom abban rejlik, hogy a szikra, mely annyira rövid tartamú, hogy első megtekintésre pillanatnyi tűneménynek látszik, számos tűnemény sorára bontható szét. Lássuk legalább vázlatosan ezt a szikra-elemzést.



675. ábra. Bojtalakú szikra.

416. Kössük össze valamely sűrítő két fegyverzetét a szikramérő (413) golyócskáival, melyek egymástól való távolsága kb. 1 cm legyen. Az elektromozó gépből a sűrítővel annyi elektromosságot közölhetünk, hogy a szikra ezt a távolságot átugorja. De midőn a szikra átugrott, a sűrítő még korántsem tér vissza a természetes állapotba, hanem bizonyos **maradék-töltés** van még benne. Ha ugyanis a mozgékony golyócskát a csavarral előretoljuk, egy második szikrát fogunk látni, melynek hossza az első szikra hosszának mintegy $\frac{2}{13}$ részét teszi (RIESS); látunk azután egy még kisebbet, azaz mintegy $(\frac{2}{13})^2$ hosszút, stb. Ha tehát a kisütést a közönséges módon végezzük, azaz a kisütőt (376) a sűrítő gombjáig közelítjük, mindezeknek a szikráknak egymásután kell keletkezniök.

417. De ez még nem minden : még az ütő távolságban keletkező első szikra sem egyszerű. Valóban, ha a szikrát olyan tükörben figyeljük meg, a mely a szikra hosszával párhuzamos tengely körül forog (I, 331), nem a 673. ábrabeli tüzes vonalat fogjuk látni, hanem fényes szalagot fogunk látni, melynek hosszúságából, valamint a tükör forgásbeli sebességéből meghatározható a szikra tartama, mely az ütőtávolsággal és a sűrítő kapacitásával növekszik.

A szalag képe a kisütő zárlathoz képest nagyon különböző. Ha a zárlatba üvegesövekbe zárt vízoszlopok vannak közbeiktatva, a szalag nagyszámú fényes tranzverzális vonalból áll, melyek a kisülés kezdetén szorosabbak; ez esetben tehát a szikra számos részletes kisülésből van összetéve. Folyton (676. ábra)



676. ábra. Részletes kisülésből összetett szikra.

rövidülő vagy vastagodó folyadékoszlopokkal a kisülés tartama bizonyos minimumra száll alá, és a tükörben megfigyelt szalag folytonos ragyogás képét ölti; ezután a kisülés meglassul és a szalag számos tüzes nyelvre oszlik, hogy végre, midőn az egész zárlat rövid és vastag fémből való, a 677. ábra alakját öltse; egy fotografia után van másolva, melyet FEDDERSEN köz-



677. ábra. Oszcilláló kisülés.

vetetlenül felvett, és itt világosan kivehető, hogy a szikra igen sok részletes kisülésből áll, melyek váltakozva ellenkezőek, úgy, hogy **oszcilláló kisülést** létesítenek.

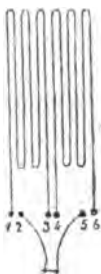
A szikrát még sokkal behatóbban is elemezték, mi azonban e rövid vázlatra is inkább csak azért szorítkoztunk, hogy a tűneménynek rendkívül bonyolódott voltát előtüntessük.

418. Még bonyolultabb a dolog, ha a kisütés zárlata több helyen meg van szakítva; ekkor mindegyiken egy-egy szikra ugrik át, és a többi között tapasztaltatott, hogy egy kicsiny meg-

szakítás hozzájárulása az ütő távolságot a helyett, hogy csökken-
tené, még inkább fokozza.

Szép a **szikracsövek** és **szikratáblák** fényjátéka; ezek úgy készülnek, hogy szigetelő lakkal üvegre ónpapiros-darabkákat vagy pedig fémszelelkéket ragasztunk, melyek több helyen meg vannak szakítva, hogy a szikrák sora révén rajzok keletkezzenek. Ez a kísérlet két szempontból tanulságos: először, mert megmagyarázza a villámokat alkotó elektromos kisüléseknek rendkívüli hosszát (389) oly módon, hogy ezeket a felhők között levő több szikra sorának tekinthetjük; másodsor mert fogalmat nyújt az elektromosság egyensúlybeli zavarának rohamos terjedéséről; nem vehető ugyanis észre semmi késedelem a sor első és utolsó szikrája között, bármily hosszú is ez a sor.

Pedig ilyen késedelem tényleg van, és WHEATSTONE meg is mérte a következő módon. Golyócskák három párja (678. ábra) egy sorban volt elhelyezve: 2 és 5 egy telep fegyverzetei-



678. ábra.



679. ábra.

Az elektromosság terjedési sebességének meghatározása.

vel, 1 és 3, valamint 4 és 6 közé 365 m hosszú rézdrót volt iktatva. A forgó tükörben megfigyelt három szikra három fényes vonal képét mutatta (679. ábra), melyek közül a középső a másik kettőhöz képest el volt tolódva. Ez azt mutatja, hogy az egyensúlybeli zavar egyidejűleg indult meg a két fegyverzetről, és a két dróton végig menve 3 és 4-hez bizonyos késedelemmel érkezett, mely $\frac{1}{1152000}$ másodpercnek találtatott, úgy, hogy az

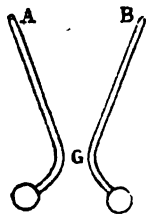
egyensúlybeli zavar másodpercenkénti $0,365 \times 1152000 = 420000$ kilométer sebességgel terjedt.

E sebesség meghatározására a sűrítők kisütésén kívül még más módszereket és más tünetényeket is felhasználtak, és a nyert számok egymástól nagyon eltérők. Így például a sebesség (másodpercenkénti kilométerekben) levegőben kifeszített rézdróthban 260000 (FELICI) és 180000 (FIZEAU és GOUNELL); szintén levegőben kifeszített vasdróthban 100000 (FIZEAU és GOUNELL), 45600 (MITCHELL) és 30000 (WALKER); guttaperchával burkolt és a tengerbe vagy a talajba sülyesztett rézdróthban 4300 (greenwichi és brüsszeli csillagászok) és 1200 (FARADAY). — A számoknak ez az eltérése nem a megfigyelések fogyatékoságából származik, hanem sok más körülményből, melyek a tünetényt bonyolítják, így például a vezető drót többé-kevésbé tökéletes elszigetelésétől és még inkább más tárgyak közellététől, melyek a drót kapacitását öregbítik, úgy, hogy valóságos sűrítőt alkotnak, melynek megtöltése kisebb-nagyobb időt kíván meg. Az említett mérésekben tehát nem is lehet szó olyas valamely **terjedésbeli sebességről**, mely ugyanazon szabatossággal van definiálva, mint például a fény vagy a hang sebessége; sőt az elméletből az következik, hogy bizonyos távolság befutására ilyen körülmények között megkívántató idő nem magával a távolsággal, hanem ennek négyzetével arányos.

419. Ha a levegőt akár a légszivattyúval, akár állandó nyomás mellett való hevítéssel megritkítjuk, az ütő távolság növekszik, vagy, a mi egyre megy, adott hosszúságú szikra létesítésére kisebb potenciál-különbség is elegendő. Ez könnyen kimutatható, ha a szikramérő golyócskái alá megmelegített téglát teszünk; ugyanez magyarázza meg a következő kísérletet is.

Ha az *A* és *B* pálczikát (680. ábra) sűrítővel felszerelt (375) Holtz-gép sarkaival kötjük össze, az első szikrákat a *G* könyökben, a későbbieket pedig mindinkább magasabban fekvő

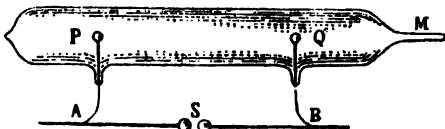
pontokban látjuk; mert az első kisütésektől megmelegített levegő felszáll és megkönnyíti az egymásra következő kisütéseket; végre azonban a pálczikák közötti távolság túlságos nagygyá válik még az ekként megritkitott levegőre nézve is, és a kisülés a *G* könyöknél újra kezdődik.



680. ábra. A kisütő szikrák helye.

Azt kell tehát következtetnünk, hogy az első szikra, mely két golyócska között átugrik, az ő melegével ugyanezen a módon megkönnyíti az egymást követő kisüléseket; és mivel minden egyes szikra magában is összetett (417), látjuk, hogy a melegítő hatás miatt valamely sűrítő maradék-töltésének (416) gyengülnie s ennél fogva a tűneménynek mindinkább bonyolódnia kell (415).

420. Hogy megmutassuk, hogy mily hatással van a levegő sűrűsége az ütő távolságra, a kisütő zárlatot *A* és *B*-ben (681. ábra) szétágaztatjuk, úgy, hogy a kisütésnek két út kínálkozik: az egyik a szikramérő *S* golyócskái között, a másik a



681. ábra. A levegő hatása az ütő távolságra.

P és *Q* golyócskák között, melyek egy tágas üvegcsőbe vannak zárva, mely az *M* csővecske révén a légszivattyúval közlekedik. A szikra ott fog átugrani, hol kisebb feszültség kívántatik meg, vagy a mint mondani szokás, a kisebb ellenállású utat fogja választani.

Abban a mértékben, melyben a levegő ritkul, az *S* gömböcskéket mindinkább közelíthetjük egymáshoz, a nélkül, hogy a cső megszűnnék a kisülés miatt világos maradni. Később még foglalkozni fogunk a csőbeli világosságának eme nagyon válto-

zatos jelenségeivel. Mindazonáltal már itt határozottan ki kell emelnünk, hogy a midőn a csőbeli levegőnek nyomása már csak néhány milliméternyi higanyoszlop (I, 219), a töltés inkább a P és Q golyók között megy át, még ha 1 méternyire is vannak egymástól, minthogy S -ben 1 centiméternyi közönséges nyomású levegőn törjön keresztül. De az elektromos ellenállás a levegő sűrűségével nem csökken határtalanul, mert az 1 mm-nél csekélyebb ritkításokban, minőket a higanyos légszivattyúval kaphatunk (I, 244, 258), már növekedőben van; és készíthetők annyira légritkított csövek is, hogy a szikra, a helyett, hogy bennük 0,5 mm-nyire levő platinaacsúcsok között ugranék át, inkább a légköri levegőben néhány centiméternyire levő szikrák között ugrik át.

Ez a kísérlet arra a feltevésre vezetett, hogy az abszolút ürőn (I, 245) az elektromosság nem hatol át; de ha arra a kellőképen még nem tanulmányozott hatásra gondolunk, mely a cső üvegéből indulhat ki, valamint egyéb körülményekre: némi kétség merül fel emez igen fontos dedukcióval szemben, mely szerint az égi terek között semmi elektromosságbeli kicserélődés nem eshetnék meg, és a Földnek, a Napnak, vagy bármely égi testnek állandó mennyiségű elektromossággal (328) kellene rendelkeznie mindaddig, míg az őt alkotó anyagmennyiséget változások nem érik.

421. Árambevezető drótokkal, az ú. n. elektródokkal felszerelt két csővel és a 681. ábrabelihez hasonló berendezéssel eldönthető, hogy egyazon körülmények között levő két légnemű közül melyik fejt ki nagyobb ellenállást a kisüléssel szemben. Ekként bizonyos különbségek állapíthatók meg; így például azt találjuk, hogy a hidrogén kisebbet fejt ki, mint a többi.

Ilyen módon még a folyadékokbeli üttávolság (399) is összehasonlíttatott a levegőbelivel s ekként meghatározták azt az adatot, mely folyadékoknak a levegőéhez viszonyított *elektromos szívóssága* névvel jelölhető meg. Terpentinre ez az adat 15, a kereskedésbeli alkoholra 8 (Masson).

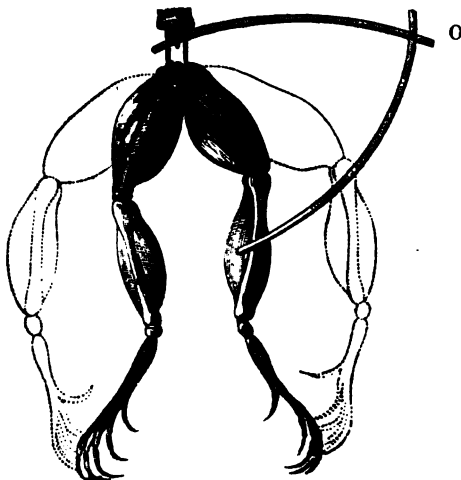
XLIII. FEJEZET.

OSZLOPOK.

422. Szóljunk végre az elektromos oszlop feltalálásáról.

Tudva van, hogy VOLTA a GALVANI-féle béka-kísérletnek tanulmányozása és megvitatása révén jutott reá.

E kísérletet könnyen ismételhetjük, ha egy nem rég megölt békának alsó felét megnyúzzuk, üveglapra helyezzük és ezután egy fémből való ív egyik végét (682. ábra) az ágyék-idegek két nyalábjába szúrjuk, másik végével pedig az egyik csomb izmait érintjük. Ha az ív *O*-ban összekapcsolt



682. ábra. Békaizmok összehúzódtása.

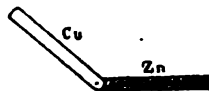
két különböző fémből, például cizinkből és rézből áll, a csomb minden érintésre megrándul. GALVANI, ki ezt a tüneményt a leydeni palaczkok előidézte megránduláshoz hasonlította, fel-

tételezte, hogy az ideg és a czomb *állati elektromossággal* megtöltött sűrítőt alkot és hogy a fémes ív pusztán kisütőként szerepel.

De VOLTA, ki észrevette, hogy a kísérlet csak két különböző fémből való ívvel sikerül jól, úgy vélekedett, hogy két különböző fém érintkezésekor valamelyes erő jelentkezik, melye fémeket ellenkező névüleg elektromozza, és hogy a fiziológiai hatás az ekként fejlesztett elektromosságnak a szerves szövetekbe való átmenetéből származik. Eme felfogásának támogatására sűrítős elektroszkópjához (381) folyamodott.

423. Nem terjeszthetjük elő VOLTA kísérletezéseinek sorát, sem pedig GALVANI-val való hosszú, igen érdekes és dicsőséges vitáját. Csak legfontosabb kísérleteire fogunk szorítkozni.

Első kísérlet. — Vegyünk egy Cu rézlemez (683. ábra) és egyik végéhez forraszszunk egy hasonló czinklemez. A czinket kezünkben tartva, érintsük a rezet az elektroszkóp alsó lapjához, mely rézből van; másik kezünkkel pedig tartsuk a felső lapot a földdel való összeköttetésben; szóval járjunk el úgy, mintha a forrasztáshely elektromozó-gép volna, melylyel a sűrítőt meg kellene tölteni.



683. ábra.
Első kísérlet.

Az aranylemezek nem válnak szét, mert az elektromozó gépünk előidézte potenciál-különbség igen csekély. De ha az alsó lappal való érintkezést megszakítjuk s ezután felemeljük a felső lapot, a lemezek szétugranak (380), és kimutathatjuk (312), hogy negatív elektromossággal vannak töltve.

Az *elektromindító erő*, vagyis az ok, mely az egymással érintkeztető két fémeket megelektromozza, olyan természetű, hogy a pozitív elektromosságot a rézről a cinkre, s innét a kézen át a földbe hajtja és ez mindaddig hat, míg a két fém között bizonyos potenciál-különbség nem jön létre; úgy, hogy a földbe átmenő elektromosság-mennyiség arányos az érintett vezető elektromos

kapacitásával, mely vezető elegendő negatív töltéssel marad ellátva arra nézve, hogy e töltés őt kellő magasságú potenciálra emelje, midőn a kapacitása csökken.

424. Második kísérlet. — Ismételjük ugyanezeket a műveleteket, de most tartsuk kezünkben a rézlemezt és a rézlapot érintsük a czinkkel. Az aranylemezek ez esetben mindig vesztég maradnak! Ennek magyarázatára VOLTÁ-val megjegyezzük, hogy a czinklemez két egyenlő és egymással ellentétes hatású, tehát egymást lerontó elektromindító erőnek van kitéve.

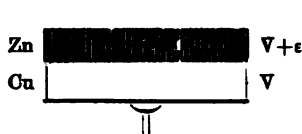
425. Harmadik kísérlet. — Ha azt akarjuk, hogy az alsó lap pozitív töltést nyerjen, kell, hogy a czink ne érintse közvetlenül, hogy ez az érintkezés az ellenkező elektromindító erőt ne ébreszsze, hanem azért mégis megkívántatik, hogy vele valamely vezető révén közlekedjék, hogy a pozitív elektromosság reája átmelessen. A czink és az alsó lap közé tehát egy vezető testet kell közbetenni, mely azonban nem *elektromotor*, azaz olyan, hogy az egyik vagy a másik fémét érintvén, nem gerjeszt olyan intenzitású elektromindító erőt, mely a két forrasztás helyén székelő erőhöz fogható volna.

VOLTA észrevette, hogy a folyós vezetők, mint a víz, a sóoldatok vagy hígított savak eme tulajdonsággal fel vannak ruházva, és a testeket két csoportba osztotta: *első osztályú vezetők*re vagy *tökéletes elektromindítók*ra, minők a fémek és *másod osztályú vezetők*re, avagy *tökéletlen elektromindítók*ra, minő a víz.

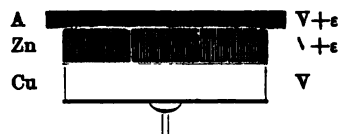
Valóban, ha a czink végét savanyított vízzel áztatott papirosba vagy vászonba takarjuk és a kettős-lemez rézét kezeinkben tartva, az alsó lapot a nedves papirossal érintjük: megtölthetjük a sűrítőt és a felső lap felemelése után az aranylemezek pozitív töltés hatására ugranak szét.

426. Ezt előre bocsátva, vegyünk rézkorongokat, czinkkorongokat és valamely sóoldattal itatott posztókarikákat. He-

lyezzünk egy ilyen rézkorongot Cu , (684. ábra) egy szigetelő tartóra s tegyünk rá egy cinkkorongot: a réz a mondottak (423) szerint negatív, a cink pedig pozitív elektromos állapotba jut. Az elektromindító erőnek az a hatása van, hogy e két test között állandó potenciál-különbséget tart fenn, de azért az elektromosság nem szűnik meg érintkező helyükön is átmenni, úgy, hogy bármi módon megelektromozhatjuk az egész rendszert, a földdel összeköthetjük a korongok egyikét vagy másikat, és ily módon megváltoztathatjuk mindegyikükön a potenciált; de a cinken mindenkor nagyobb fog lenni az értéke, mint a rézen és a két potenciál különbsége mindig állandó marad, független a fémek alakjától és érintkezésük terjedelmétől és a két fém közötti elektromindító erő mértékeül szolgál.*



684. ábra.
Czink és rézkorong.



685. ábra.
Czink-, rézkorong és nedves lap.

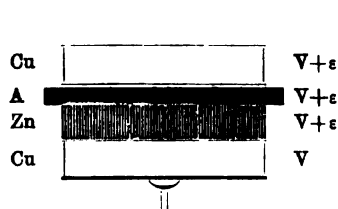
Borítsunk most a cinkre egy nedves karikát (A, 685. ábra). E két test közötti érintkezésben az elektromotoros erő VOLTA szerint, igen gyenge, és mi egyelőre egészen elhanyagoljuk és felteszszük, hogy a másodrendű vezető ugyanazon a potenciálon van, mint az alatta levő cink.

Ugyanez fog állani egy rézkorongról, melyet a posztókarikára teszünk (686. ábra); ezen is a potenciálnak ugyanaz az értéke, és a közte és az első réz között levő potenciál-különbség egyenlő az első érintkezés elektromotoros erejétől származóval. Ha tehát ϵ -nal jelöljük a potenciál-különb-

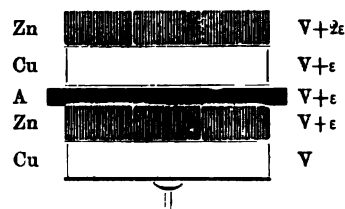
* Jól megjegyzendő, hogy az elektromindító erő nem homogén mennyiség az elektromos erővel (338) s általában a NEWTON-tól a tömegek mozgásának okául definiált (I, 68, második törvény) erővel.

séget, mely az elektromotoros erőt méri, és ha az első rézen a potenciál V , úgy a másodikon $V + \epsilon$.

De ha a rézre egy második cinket (687. ábra) teszünk, új, az előbbinivel egyenlő elektromotoros erő járul hozzá, úgy, hogy az utóbbi cink és az alatta levő réz között ugyanaz az ϵ potenciál-különbség van, és a kétszeres, vagyis 2ϵ potenciál-különbség keletkezik ugyanezen cink és az első réz között.



686. ábra.
Rézkorong posztókarikán.



687. ábra.
Két cink és egy rézlemez.

Ha ezen a módon folytatjuk az *oszlop* összeállítását rézből, cinkből és posztókarikákból, az alapja és a teteje közötti potenciál-különbséget tetszés szerint fokozhatjuk; nevezetesen a cink és réz közötti n érintkezésből, vagy mint mondani szokás, n *Volta-féle pár*ból származó elektromindító erő n -szerese a csak egy érintkezésből származónak.

427. Hogy az érintkezés tökéletesebb legyen, és hogy a felületek oxidációja megakadályoztassék, VOLTA a réz- és a cinkkorongot egymáshoz forrasztotta, miután már kimutatta volt, hogy az ón-forrasztás nem módosítja a párok potenciál-különbségét. Ezután az oszlopot három üvegrúd közé szigetelő alapra helyezte, miként a 688. ábrában látható.

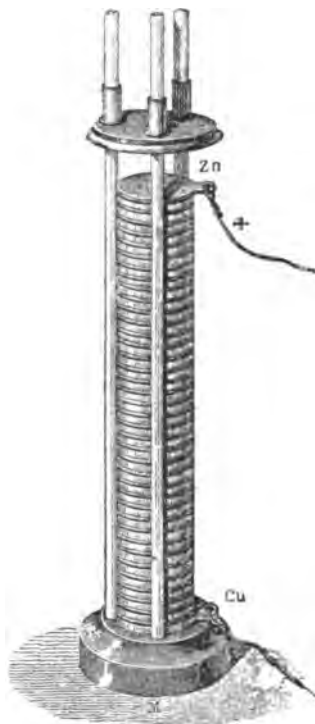
Az oszlop végeit **sarkoknak** nevezzük: pozitív vagy negatív sarknak a szerint, a mint az illető végén, midőn a másik vég a földdel közlekedik, pozitív vagy negatív elektromosság jelentkezik; az ábrában a pozitív sark az oszlop tetején, a negatív az alapján van.

Az oszlop **elektromindító erejét a két sarkán létesülő potenciálok különbsége méri**, midőn a két sark vezetővel összekapcsolva nincs. Tehát független e potenciálok abszolút értékétől (426) és ha az oszlop n párból van összerakva, n -szer akkora, mint csak egy páré.

428. Azonban bármekkora számmal vannak is az oszlop párvai, sohasem sikerül a sarkai között olyan potenciál-különbséget létesítenünk, melyek a dörzsöléstől származókhoz foghatók volnának. Csak azt említjük fel, hogy az eddigelé szerkesztett leghatalmasabb oszlopnak a WARREN DE LA RUE 3420 elemből álló oszlopának ütőtávolsága alig rúgott 1,5 mm-re. Ebből a szempontból tehát az oszlop a leggyengébb elektromozó-gépnek is alatta áll.

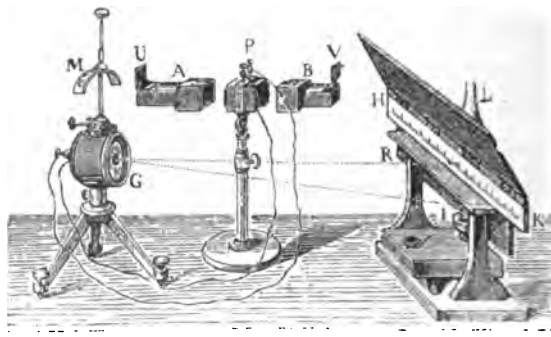
E helyett azonban olyan más hatásokat létesít, melyek az emberi szellem legbámulatosabb találmányai közé sorozzák. Ha a sarkokhoz két fémdrótot, **áramvezetőket** kapcsolunk és ezeket akár közvetlenül, akár egy másik vezető közvetítésével egymással összekötjük: az utóbbinak természetéhez képest fiziológiai, hő-, fény-, chemiai vagy mágnesi hatásokat nyerünk, melyek az elektromosság folytonos áramlásának vagyis az **elektromos áramnak** (366) köszönhetők.

429. Mindeme tüneteményeket egyenként fogjuk tanulmányozni, s mostantól fogva jó hasznát fogjuk venni az áram egy



688. ábra. Volta-féle oszlop.

olyan hatásának, melyet mindenkor felhasználhatunk annak eldöntésére, vajjon kering-e valamely vezetőben elektromosság vagy nem. Vegyünk egy galvanométert, hasonlót ahhoz, melylyel a sugárzó energia hatásait figyeltük meg (2), és a helyett, hogy két rézdrótjának végeit a *P* hő-elektromos oszloppal köt-nők össze, (miként a 689. ábra mutatja), az egyikhez erősítünk egy cinklemezt, mely savanyított vízzel nedvesített posztóval van fedve, a másikhoz pedig egy rézlemezt. Jegyezzük meg a láng képének helyét a *H* skálán, midőn a vezeték nyitva van: abban a pillanatban, melyben a nedves posztót a rézzel érint-



689. ábra. Galvanométer.

jük, kitérést fogunk megfigyelni. Ez a kitérés jobbra vagy balra járó, a szerint, a mint a cinket az egyik vagy a másik galvanométer-dróthoz kapcsoljuk és fokozódik, ha a zárlatba egy VOLTA-féle pár helyett, miként eddig tettük, az elsőhöz hasonló két, három, stb. párt iktatunk.

430. Ugyanezen eszközzel kimutathatjuk, hogy áram, vagyis az elektromosságnak folytonos átvitele létrejön abban a fémdrótban is, mely működésben levő dörzsölve elektromozó gép két sarkát (a párnákat és a gyűjtőt) köti össze. Ha ugyanis a gép pozitív sarkként szereplő szigetelt gyűjtőt össze-

kapcsoljuk a galvanométer drótjának azzal a végével, mely az előbb a rezet érintette, a párnákhoz, vagyis a negatív sarkhoz pedig azt a drótvéget kapcsoljuk, mely a cinket érintette, azt tapasztaljuk, hogy a galvanométer ugyanazon oldalra tér ki, mint az előbb, bár sokkal kisebb mértékben.

Ez esetben az áram igen gyenge, mindamellett, hogy az elektromindító erő hasonlíthatatlanul nagyobb (428) valamely oszlopénál.

De azért nem kell azt hinnünk, hogy az egyik vagy a másik esetben szereplő elektromosság különböző, vagy különböző tulajdonságokkal van felruházva: határozottan elvetendő a statikai, vagyis a gépek elektromossága, és a dinamikai, t. i. az oszlopok elektromossága közötti megkülönböztetés, melyet némelyek ez idő szerint még fenntartanak. Az elektromosság mindenkor ugyanaz, hatásainak változatossága azon különböző körülményeknek tulajdonítandó, melyek között van; épen úgy, a mint a víz is mindig ugyanaz, akár méltóságosan hömpölyögjön valamely folyam medrében, akár valamely erős nyomás miatt küzdelmesen törje magát keresztül a repedéseken.

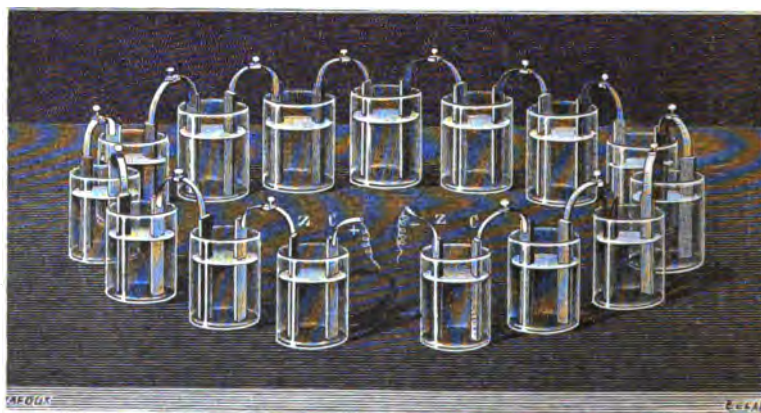
Az oszlopok árama nevezetesebb hatásokat létesít, mert jöllehet, hogy csekély potenciál-különbségektől származik, igen nagy mennyiségű elektromosság kering benne.

431. VOLTA különbözőképen rendezte be nagybecsű készülékét; a 690. ábrabeli berendezést **Volta-féle láncznak** nevezzük. Ez több pohárból áll, melyekben hígított kénsav van és a melyek cinkréz ívekkel akként közlekednek egymással, hogy mindegyik pohárba két egymásra következő ív különmemű végei merülnek. Mind a két áramvezető (428) rézdrót.

A baloldali drót vége a pozitív sark még akkor is, midőn az utolsó fém egészen rézből van, mert a cink pozitív elektromossága a folyadékon át egyszerűen a rézre áramlik (426); a jobboldali drótvég pedig a negatív sark.

Ha a két áramvezetőt összekapcsoljuk, létrejön az áram.

Az **áram iránya**, ismételve (375) megjegyezzük, nem határozható meg; de a miként kényelem kedvéért feltettük, hogy a pozitív elektromozás az elektromosság fölöslegének felel meg, épen úgy fel fogjuk tenni, hogy az áram a magasabb potenciálú pontoktól az alacsonyabb potenciálúak felé megy, hogy



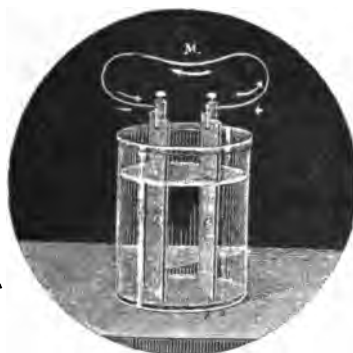
690. ábra. Volta-féle láncz.

tehát a sarkok közé iktatott vezetőt a pozitív sarktól a negatív felé futja át, és hogy az oszlop vagy láncz belsejében az ott működő elektromotoros erő hatására a negatív sarktól a pozitív felé menve fejezi be körfutását.

Ez pusztá megállapodás dolga, melyhez azonban következetesen ragaszkodunk.

432. Vegyünk ki a lánczból egy poharat, minőt a 691. ábrán látni, hol is a rézlemez C-vel, a cinklemez pedig Z-vel van jelölve; a lemezekhez réz áramvezetők vannak forrasztva. Ezek a potenciál állandó különbséget mutat, mely a párnak elektromotoros erejét méri. VOLTA úgy vélekedett, hogy az **elektromindító erő székhelye** főképen a cink és a réz összekötő pontjában, vagyis a Z pontban van. De voltak sokan, élükön FABRONI-val, kik nem járultak ehhez a magyarázathoz és

azt állították, hogy az elektromindító erő igazi székhelye a fémeknek a másodrendű vezetőkhez való érintkezése helyén van; hogy az elektromos tűnemények chemiai tűneményeknek folyományai; hogy az elektromindító erő annál nagyobb, mennyivel könnyebben támadja meg a sav a fémeket; hogy ez utóbbi a chemiai folyamat révén mindig negatív elektromossá, a sav



691. ábra. Volta-féle elem.

pedig pozitív elektromossá válik, és hogy az áramvezetőkön való potenciál-különbség azon elektromindító erők különbségéből származik, melyeket a sav chemiai hatása a rézen és a cinken gerjeszt. Ha a két lemeznek chemiai rokonsága a folyadékhoz egyenlő volna, ez a potenciál-különbség megszűnnék nyilvánulni.

433. Az oszlopnak eme **chemiai elmélete** is jól megmagyarázza VOLTA alapkísérleteit (423) és hívei olyan ügyesen védelmezték, hogy sok időn át egészen leszorította az **érintkezési elméletet**.

A chemiai elmélet jól értelmezi az alapkísérleteket.

1. Midőn ugyanis a cinket kézben tartjuk (423), hogy az elektroszkóp gyűjtő-lapját megtöltsük, kell, hogy az ujjak nedvesek legyenek és pedig VOLTA szerint azért, hogy jól vezesse-

nek a földbe; de ekkor az ujjak nedvessége chemiailag hat a czinkre, mely negativ elektromos állapotot vesz fel és ezt a rézen át átszármaztatja a gyűjtő-lapra.

2. Midőn ujjaink között a rezet tartjuk (424), a gyűjtő-lap töltést nem vesz fel, mert a kéz nedvessége alig támadja meg a rezet; de ha a kéz nedvessége helyett salétromsavat használunk, az elektroszkópon megfigyelhetjük, hogy ez a fém is, meg lévén támadva, negativvá válik.

3. A nedves vezetőnek a czink és a gyűjtő-lap közé való tétele (425) VOLTA szerint, szükséges feltétel arra, hogy a czink pozitív elektromossága ellenhatás nélkül a gyűjtő-lapra meheszen át; de az ellenkező nézetben levők azt mondják, hogy a czinknek a folyadékra való chemiai hatása a folyadékot pozitív elektromos állapotba helyezi, mely aztán átmegy a gyűjtő-lapra.

434. Eddig a két elmélet egyenlő joggal állhat meg, mert az a csekély negativ elektromozás, melyet a réz és a salétromsav közötti érintkezés létesít, nem tekinthető VOLTA nézeteivel ellentétben levőnek, ki nem tagadta, hogy az ő másodrendű vezetői szintén elektromotorok, hanem csak annyit mondott, hogy tökéletlen (422), vagyis a fémeknél jóval gyengébb elektromotorok.

De ime két kísérlet a végrehajtott sok kísérlet közül, melyekből kiderül, hogy két fém puszta érintkezésekor elektromindító erő jelenik meg, és hogy ennek hatása is van.

Első kísérlet. — Egy sűrítő elektroszkóp alsó lapja rézből, felső lapja pedig czinkből való; mind a kettőnek belső felülete jól be van lakkozva, de a külső felületek csupaszok és nagyon tiszták. Jól lesimított rézkorongot s ugyanilyen czinkkorongot, szigetelő nyeleikkel tartva, egymáshoz szoritunk, ezután szétvesszük őket és a rézkoronggal az elektroszkóp rézlapját, a czinkkoronggal pedig a czinklapot érintjük. Ezt a műveletet néhányszor ismételvén, felemeljük a sűrítő-lapot, és az aranylemezek negativ elektromosságot árulnak el.

Második kísérlet. — Egy elektrométer (386) szemközt fekvő két quadránsa vasból való és egymással vasdróttal van összekötve; a másik kettő rézből való. A pozitív elektromossággal töltött tű nyugalmi állapotban marad, ha a két quadráns-pár egymással nincs összeköttetésben; de a réz felé tér el, a mint a párok között fémes összeköttetést létesítünk. Ha pedig negatív elektromossággal van töltve, a vas felé tér el.

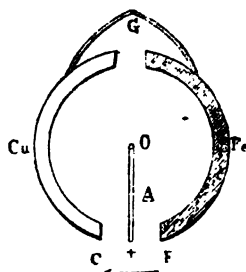
Bebizonyítottak tekinthető tehát, hogy a midőn vas és réz egymással érintkezik, körülöttük elektromos tér támad, melyben a vashoz közelebb eső pontokban a potenciál magasabb (344), mert a pozitív töltésű tű a réz felé igyekszik elmozdulni.

435. De ezzel még nincs az mondva, hogy a pusztá érintkezés az elektromozásnak hatást előidéző oka. Sőt az utóbbi kísérletnek ezen mű szerzőjétől származó módosítása ezt tagadni látszik.

Akként ismételve a kísérletet, hogy a quadránsok két párja kén-hidrogén atmoszférába legyen merítve, a pozitív elektromos tű a vas felé közeledik a helyett, hogy a rézhez közelednék, miként ezt a levegőben tette; azt kell tehát következtetnünk, hogy elegendő a környező gázt felcserélni, hogy ne csak az elektromos tér intenzitása megváltozzék, hanem még az ott működő elektromos erő is ellenkezőre változzék.

436. Lássuk, vajjon sikerül-e eme tünemény alapos értelmezése a nélkül, hogy már eleve valamely nézet felé hajolnánk. Az OA tű (692. ábra) O pont körül foroghat, pozitív elektromossággal van töltve, és a Cu réz- és Fe vas ív között áll, mely ívek G -ben érintkeznek. A levegőben a tűnek A vége C felé mozdul el, mi azt mondja, hogy az elektromos potenciálnak az FC köztérben különböző értékei vannak, nevezetesen, hogy F -től C -felé apad. A kérdés tulajdonképen annak eldöntése körül forog, vajjon a potenciálnak egyazon értéke van-e a két fémből álló vezetők minden pontjában, miként bizvást feltehetjük a megelőző fejezetekben, hol is oly nagy

potenciál-különbségekkel volt dolgunk, hogy hozzájuk képest elhanyagolhatók voltak az olyanok, minőkkel most foglalkozunk. Egyazon értéke van-e vagy nincs a potenciálnak a vason és a rézen, melyek G -ben érintkeznek? Ha bizonyosak volnánk abban, hogy a környező levegőnek semmi hatása nincs, nem mel kellene felelnünk, és kétségtelenül az érintkezési elmélet volna az igazi. A potenciálnak állandó értéke volna a réz



692. ábra. Törvények igazolás

valamennyi pontjában; de egy másik állandó értéke volna a vas pontjaiban, és hirtelen átmenne az egyik értékről a másikra a G érintkezési felületen, hol is az elektromindító erő működne. VOLTA állításai mindenben szigorúak volnának.

De mi sem bizonyítja, hogy a környező dielektrikum nem volna hatásos, sőt a kénhidrogénnal tett kísérlet (435) az ellenkezőt látszik bizonyítani.

Tudjuk azonban, hogy minden szilárd testnek felülete lég-nemű testek igen vékony sűrített rétegével van borítva, hogy megvan a saját, a környezőnél sűrűbb és általában véve más természetű atmoszférája (I, 272), minélfogva a vasat és a rezet úgy kell tekintenünk, mintha egy más anyaggal — hogy így mondjuk — lakkozva, vagy bevonva volna. Ki biztosít bennünket, hogy emez atmoszférának az alatta levő fémmel való érintkezésében nincs elektromindító erő? Tehát legalább is három érintkezést kell figyelembe venni és nem csupán a G -ben levő kapcsolatot. A potenciál igen könnyen tehet hirtelen ugrást ezen három elválasztó felület mindegyikén.

Ha azután azt az esetet tekintjük, melyben a környező közeg kénhidrogén, a dolog még bonyolódottabbá válik, mert a két fém szulfid-réteggel vonódik be, és a különböző testeket elválasztó felületek száma legalább is ötre rúg.

437. Vajjon minden érintkezéskor keletkezik az elektrom-

indító erő, vagy csak egynémelyikben? E kérdésre határozott feleletet még nem adhatunk, bár VOLTA korától napjainkig számos, nagyon beható és sokoldalú ide vágó tanulmány tétetett. Mindössze is csak annyit mondhatunk, hogy:

1. *Bárminő vezető testekből alkotott sor végein a potenciál-különbség egyes-egyedül a vezetők természetétől függ, és független sorakozásuk rendjétől, alakjuktól, érintkező felületük terjedelmétől, stb.*

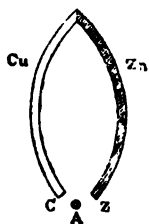
2. *Ha a láncolatban csakis első rendű vezetők vannak, a potenciál-különbség a szélső két fém végei között ugyanakkora, mint volna, ha ez a két fém közvetlenül érintkeznék egymással.* (A 692. ábrabeli tű kitérése változatlan marad, ha *G*-ben akárhány egymással érintkező fémet iktatunk közbe).

E törvényeket már VOLTA mondotta ki, s miként ezeket, úgy a tőle megállapított többi törvényt is a későbbi vizsgálatok, bármennyire javultak is a megfigyelés eszközei és a mérő műszerek, mindenkor beigazolták. Elméleti nézetei és értelmezései pedig még most is kiállják a logikai szigort, bármennyi más tényt fedeztek is fel és bármennyi más törvényt, élükön az energia megmaradása törvényével, állapítottak is meg azóta.

438. Épen eme törvénynek köszönhető, hogy sok éven át a kémiai elmélet volt az uralkodó, mert e törvény szerint képzelenség, hogy az elektromos áram, minden nyilvánulásával egyetemben, a pusztá érintkezés eredménye volna; ugyanis a kémiai elmélet szerint az áram energiája nem egyéb az atomok helyzeti energiájának (I, 337) átalakulásánál.

De azért az érintkezési elmélet még eme hatalmas ellentétessel szemben is helyt állhat. Ezt egy különös esetre vonatkozólag ki fogjuk mutatni. Tudva van, hogy a cink, midőn rézzel sárgarézvé ötvöződik, meleget fejleszt, s ebből következik, hogy a cink és a réz, midőn külön van, egymással szemben helyzeti energiával rendelkezik, hasonlóan ahhoz, melylyel a szén az oxigénnel szemben (I, 338), vagy egy súlyos test a

földdel szemben rendelkezik. Ezt előre bocsátva, elfogadható az a feltevés, hogy eme két test érintkezésekor ennek a helyzeti energiának egy része elektromos energiává alakul át, létrehozván bizonyos potenciál-különbséget, mely valamely elektromozott testnek, például *C* és *Z* között (693. ábra) *A*-ban levő valamely testnek mozgását okozhatja.



693. ábra.
Béz-czink elem.

Bizonyos, hogy ily módon a *Cu* és *Zn*-ből alkotott elempárnak bármely fémrel való zárlatával, nem volna folytonos áram nyerhető, mely folytonos hőfejlesztéssel (612) járna, vagy folytonos mechanikai munkát végezhetne. VOLTA a tény megállapítására szorítkozott: feltalálta, hogy a *Zn* és *Cu* közé szükségképen egy másodrendű vezetőt kell közbeiktatni; de az ő idejében a tudomány még nem haladt

annyira, hogy ennek igazi okáról számot adhatott volna.

Ezt tekintve szerencsésebbek vagyunk. Előttünk világos, hogy a nedves vezetőnek nem az az egyedüli feladata, hogy a potenciálokat a két fémre kiegyenlítse és ily módon az elektromindító erőnek nyilvánulnia alkalmat adjon; hanem, hogy az a jóval fontosabb hivatása van, hogy az áram fenntartására megkívántató energiát szolgáltatassa. Később (633) látni fogjuk, hogy az áram csupa fémből való zárlatban is fenállhat, és hogy ez esetben a hő szolgáltatja a megkívántató energiát.

439. Hogy azonban ezt az immár hosszúra nyúlt taglalást befejezzük, összefoglalólag szemközt állítjuk a két elméletet.

Érintkezési elmélet. — Ha két különböző fém között fémes kapcsolatot létesítünk, közöttük potenciál-különbség keletkezik; ha az ív végeit folyadékba mártjuk, a két új érintkezés ezt a különbséget kevésbé módosítja, de felvett új értéke azon ok, melynél fogva a kémiai folyamatok megkezdődnek. Ezek hatásuk közben azon vannak, hogy e különbséget megszüntessék; de a fémek érintkező helyén folyton működő elek-

tromotoros erő folytonosan helyre állítja (426), s ily módon az elektromosság áramlása keletkezik.

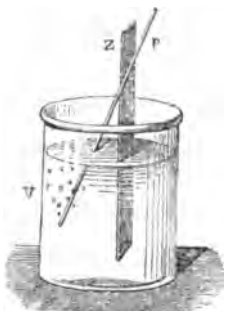
Ha a két fém a folyadékba merül a nélkül, hogy egymást érintené, chemiai hatásnak helye nincs; mert a potenciálkülönbség, melynek e hatást meg kellene indítania, még nincs létrehozva.

Chemiai elmélet. — Ha két fémlemez folyadékba merül, a chemiai folyamat, még ha nem érintkeznek is, legott megkezdődik, létrehozván bizonyos potenciálkülönbséget a folyadék és a fémek mindegyike között; de megszűnik, a mint ez a különbség bizonyos értéket ért el, mely csakis a chemiai rokonságtól függ. A két fém különböző mértékben van megtámadva, és ennél fogva, bár mind a kettő a folyadéknál alacsonyabb potenciálon van, bizonyos potenciálkülönbség van köztük és pedig magasabb potenciálon van a kevésbé megtámadt fém. Ha tehát a folyadékon kívül dróttal köttetnek össze, a potenciál kiegyenlődni igyekszik és ennél fogva nem gátolja többé a chemiai hatást, mely létesülvén, a potenciált előbbeni értékére állítja vissza és az áram tovább tart, míg nem az erőbben megtámadható fém egészen fel nem oldódik.

440. Talán furcsán hangzik, hogy chemiai folyamat nem létesülhet a nyílt áramkörben, a mikor hát tudjuk, hogy higított kénsavba tett cinkdarabkák minden további feltétel nélkül cinkszulfáttá oldódnak fel; hisz' ez a legközönségesebb módja a hidrogénfejlesztésnek. De mártsunk csak a savba chemiailag tiszta cinkpálczát a kereskedésbeli helyett és ekkor nem fogjuk tapasztalni, hogy a cink a sav hidrogénjét helyettesítene; chemiai folyamatnak még akkor sem lesz helye, ha eme cink mellett még egy rézből, platinából vagy más fémből való drótot mártunk a folyadékba. De legott megindul, a mint a két fém között érintkezés létesül (694. ábra) és mindaddig tart, míg az áramkör zárva marad, miközben hidrogénbuborékokat fejleszt, de nem a Z cinken, sem pedig a folyadékban.

hanem a másik, rendszerint kevésbbé megtámadt P fémnek a folyadékba merült részén.

Hogy a kereskedésbeli czink magától oldódik a savban, ebből azt kell következtetnünk, hogy nem egynemű valamennyi

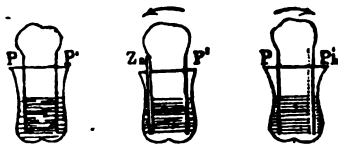


694. ábra. A chemiai folyamat megindulása.

pontjában, és hogy ennél fogva különböző fémek halmazatának tekinthető; valóban elégséges, hogy felületét amalgamozással egyneművé tegyük, hogy a tiszta czink módjára viselkedjék és egy őt érintő másik fém közreműködése nélkül a savtól ne támadtassék meg.

Innét kitűnik a telepekben használt czink amalgamozásának haszna; e nélkül haszontalanul fogyasztatnék el nyílt áramkörben is.

441. Vegyük elő ismét a galvanométert, miként a **429.** pontban. Mindegyik drótvéghez kapcsoljunk egy-egy igen tiszta platinalemezt, melyet előbb kiizzítottunk; mártsuk ezeket az azonos lemezeket megsavanyított vízbe (695. ábra): az áramnak semmi nyoma sincs (**424**). Most az egyik platina helyébe tegyünk amalgamozott czinket (696. ábra), és a galvanométer



695. ábra. 696. ábra. 697. ábra.

Áram keletkezése és a sarkítási áram.

ki fog térni; de ha az áramkört zárva hagyjuk, a kitérés fokozatosan kisebbedik, jeléül annak, hogy az áram gyengül.

Az áram gyengülésének okai különbözők: 1. A sav általánosan czinkszulfáttá és ennél fogva a rendelkezésre álló chemiai energia fogy. 2. A hidrogén ráakódik a platinára és így az

elektromosság szabad átmenetele elé akadályt gördít, vagy mint mondani szokás, növeli az áramkör *ellenállását*. 3. A platina bevonódik hidrogénnel, sőt valamennyit el is nyel belőle, s a miatt megváltozik az elektromindító erő.

Ez utóbbi könnyen kimutatható, ha a cink helyébe visszateszszük az előbb elvett platinát (693. ábra). Midőn az előbb vele zártuk az áramkört, a galvanométer semmi kitérést sem mutatott; most pedig van kitérés és pedig ellenkező irányú ahhoz képest, melyet a cinklemezzel kaptunk. Tehát az a platina, mely hidrogént nyelt el, szemben az előzetes izzitással megtisztított platinával úgy viselkedik, mint valamely fém, melyet a sáv megtámad: azt mondjuk, hogy *sarkítva* van és hogy **sarkítási áramot** ad, mely, miként látjuk, ellenkező irányú az első árammal, mely reá a hidrogént rakta. A sarkítás elektromindító ereje az oszlop zárása után azonnal keletkezik és az oszlop elektromindító erejével ellenkező, minélfogva annak áramát gyengíti.

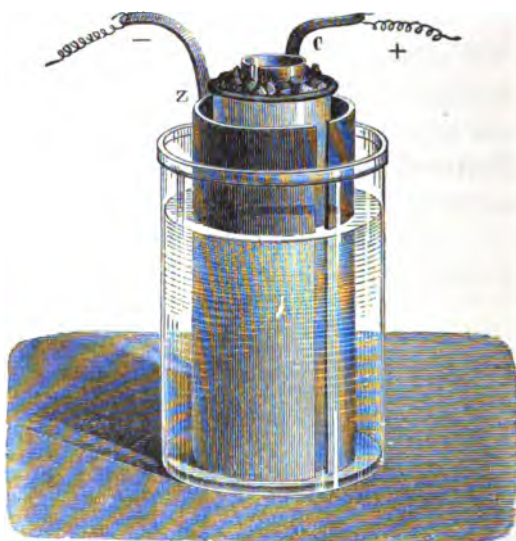
A gyengülés első oka sokkal lassabban érvényesül és a folyadék mennyiségének szaporításával, vagy ha áramnak igen hosszú ideig kell keringenie, megújításával tetemesen csökkenthető. A második ok, különösen pedig a harmadik, sokkal nyomósabb. Kiküszöbölésüknek nincs más módja, mint hogy megakadályozzuk a hidrogénnek a kevésbbé megtámadható fémre való lerakódását.

442. E végből találták fel a **kétfolyadékos elemeket**, melyek közül csak a nevezetesebbeknek leírására szorítkozunk.

A **Daniell-elemben** a két folyadék egyike hígított kénsav (1 súlyrész sav, 12 súlyrész vízre), másika pedig tömény rézgaliczoldat; az elsőbe van mártva a cink, a másikba pedig a réz; a folyadékok likacsos agyag-edénnyel vannak egymástól elválasztva. A 698. ábra egy ilyen *elemet* tüntet elő. Az edény üvegéből vagy mázas porcellánból van; a cinklemez akként van hajlítva, hogy a likacsos edényt körülfogja, mely a réz-

gáliczczal együtt a szintén hengeralakú *C* rézlemez tartalmazza. A hidrogén, mely a **csinkaszulfát** keletkezésekor szabaddá válnék, a rézsulfáttal kénsavat alkotva, a szulfát rézének helyébe lép; az ekként redukált réz a rézlemezre **rakódik** le, mely lemez tehát csak megvastagszik és nem sarkittatik.

Hogy a rézgáliczoldat ne híguljon meg, czélszerű a só kristályait rézkosárába rakni, mely a likacsos edény tetejére van helyezve.



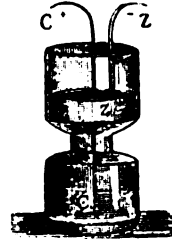
698. ábra. Daniell-elem.

Ez az elem zárt áramkörben állandóbb marad minden más elemnél. Számos módosítása közül felemlítjük az **olasz elemet**, melyet az olasz állami telegrafiában használnak (699. ábra). Ebben nincs meg a likacsos edény, mert a lassan diffundáló (I, 204) két folyadék, fajsúlybeli különbsége révén, eléggé elkülönítve marad. A fenéken levő *C* réznek szigetelővel borított áramvezetővel kell ellátva lennie, hogy a savanyított víztől, melyen keresztül megy, elszigetelve maradjon. A *Z* cink az edény szűk nyakára támaszkodik.

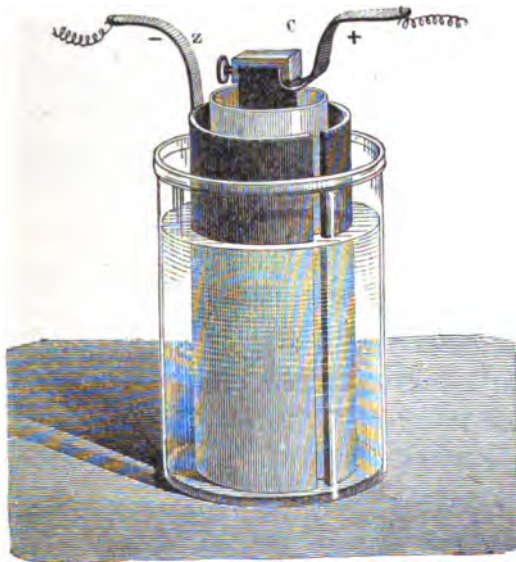
A **Minotto-elem** edénye hengeralakú; ennek fenekére van téve egy szigetelt áramvezetővel ellátott rézkorong, mely poralakú rézgáliczczal van fedve, erre ismét egy homokréteg tétetik, mely a likacsos edény szerepét játssza és egy cinkkorongot tart. Az egész savanyított vízzel van megítatva.

A két folyadék különválasztására homok helyett papirospép is használható.

443. Bár kevésbé állandók, de azért nagyobb elektromindító erejüknél fogva bizonyos esetekben nagyobb sikerrel használhatók a **Grove-típusbeli** elemek, melyekben rézsulfát helyett tömény salétromsav, réz helyett pedig egy másik, meg



699. ábra.
Olasz elem.



700. ábra. Bunsen-elem.

nem támadható vezető van. Grove platinát használt, BUNSEN-nek pedig az a szerencsés gondolata támadt, hogy e helyett az olcsó

retorta-szenet alkalmazza. A 700. ábra egy **Bunsen-elemet** ábrázol. A külső mázas edényben, *Z* az amalgámozott cink, mely hígított kénsavba (1 : 10) van mártva, utána következik a likacsos edény a salétromsavval, *C* a szénhenger vagy szénhasáb, melynek felső vége sárgaréz-szorítóba van dugva, mely szorosan odakapcsolja a szalagalakú és rézből való áramvezetőt.

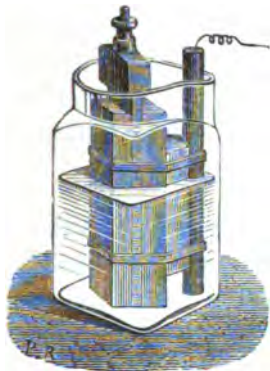
Itt a hidrogén nem rakódik le a szénre, mert a salétromsavval találkozáskor, ezt redukálja. Ily módon a salétromsav-anhidrid vöröses gőzei keletkeznek, melyek a lélekzésre ártalmasak és a fémből való műszereket pusztulással fenyegetik. Eme kigőzölgés ártalmatlanná tételére több eljárást javasoltak, így például káliumbichromátnak a salétromsavhoz való hozzáadását, vagy szintén az oszlopnak szekrénybe zárását, melyben mész van, de mindig többet ér az oszlopot jó légfűlkében vagy a szabad levegőn összeállítani és az áramot rézdróttal a laboratóriumba vezetni.

Az áram néhány órán át erős marad, míg nem a salétromsav redukciója nagyon előre halad; ezután hidrogén buborékok jelentkeznek, a szén vagy a platina sarkítva van és az áram elgyengül, sőt végtére csaknem elenyészik, mert a szénre szigetelő cinkoxid-réteg rakódik le.

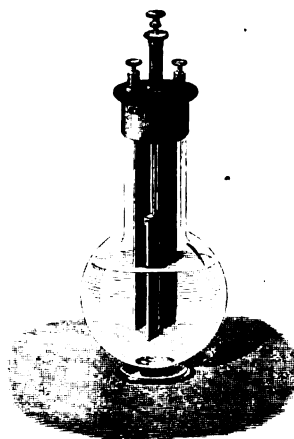
444. Fel kell említenünk még a **Leclanché-elemet** is (701. ábra), mely igen jól használható az elektromos csengőtyűkhöz és általában mindazon esetekben, melyekben az áram hosszú időközönként át megszakítva marad. A likacsos edényben retorta-szénből való hasáb van, melyet koks és barnakő egyenlő részeiből álló keverék vesz körül; a barnakövet a hidrogén redukálja, tehát a sarkítás nem jön létre. A külső edényben szalmiakoldat s egy amalgámozott cinkpálcza van.

445. A **GRENET-féle káliumbichromát-elemben** a cink és a retorta-szén egyazon folyadékba merül, melyet **BUNSEN** szerint akként nyerünk, hogy 61,82 g porrá tört bichromátból és 115,7 g kénsavból álló pépet 604,7 g vízben feloldunk. Ez erő-

sen oxidáló folyadék és ennél fogva megköti a hidrogént, de cink jelenlétében módosul. Ennél fogva a bichromát-elemeket, melyek a kigőzölgés hiánya és erős áramuk miatt igen kényelmesek, csak akkor használjuk, midőn rövid tartamú áramokra van szükségünk. Az elektromindító erő kevésbé rohamosan változik, ha az oldathoz konyhasót adunk, nevezetesen ha 1 l vízre 100 g káliumbichromátot, 100 g chlórnátriumot és 110 g kénsavat veszünk.



701. ábra. Leclanché-elem.



702. ábra. Grenet-féle elem.

Rendszerint minden elemben két szénlap van, melyek kívül fémpánttal vannak összekötve és a cinklapot csak akkor toljuk közübük, midőn azt kívánjuk, hogy a telep működjék. A cinklapoknak a telep valamennyi elemébe való gyors és egyidejű bemártására különböző szerkezetek vannak.

446. Nyilvánvaló, hogy az imént felsorolt chemiai elektromotorok, még ha áramkörük zárva nincs is, csak bizonyos időtartamon át maradhatnak állandók; másrészt érdekünkben van, hogy olyan elemmel rendelkezünk, melynek elektromindító ereje annyira állandó, hogy összehasonlításokban normális értékül használhassuk. Nyitott áramkörben eme kívá-

nalomnak a Latimer Clark-elem látszik megfelelni, melyet az angolok az elektromindító erő *normális eleméül* fogadtak el. Ez tiszta higanyból áll, mely egy pohárba van öntve és higany-szulfátnak telített czinkszulfát-oldatban való főzésétől kapott péppel van borítva, melybe ismét tiszta, desztillált czinkből való korong merül. A higanyba pedig platinadrót van mártva, mely üvegesőbe van forrasztva, hogy a péptől el legyen szigetelve. A platina és a czink két rézből való áramvezetőhöz van kapcsolva, melyeknek elseje magasabb potenciálon van, mint a másodika, és ez a potenciál-különbség, mely az elektromindító erőt méri, értékének $\frac{1}{1000}$ részénél többet soha sem változik, feltéve, hogy az elem nyitva marad és hogy mérséklete állandó. Normális értékül $15,5^{\circ}\text{C}$ -on való értékét választották, és azt tapasztalták, hogy a mérséklet 1° -nyi emelkedésekor az elektromindító erő 0,6 százalékkal csökken.

447. Tudjuk már, hogy két telep elektromindító erejének összehasonlítására legkényelmesebb eszköz a quadráns-elektrométer (417), melynek tűjét elegendő hosszú időn át állandó potenciálon tarthatjuk, ha összekötjük egy telepnek pozitív sarkával, mely telep lehet tetszés szerinti, csak jól el legyen szigetelve és néhány száz elemből álljon*, negatív sarka pedig a földdel közlekedjék.

* E célra alkalmas a ZAMBONI-féle száraz oszlop. Ez igen sok papiros-korongocskából áll, melyeknek egyik oldala ónoztva van, másik oldala pedig barnakőporral van bevonva, s melyek mindannyian egyazon módon vannak egymásra téve és jól egymáshoz vannak szorítva. A papiros, melynek hidroszkópos nedvessége van, a másodrendű vezető szerepét játsza. A pozitív sark a barnaköves oldalon, a negatív pedig az ónozott oldalon van. Néhány ezer korong esetében a két sark potenciál-különbsége tetemes és sok éven át állandó marad, ha az áramkört nyitva tartjuk; de az áram, melyet zárásakor nyerhetünk, nagyon gyenge és rövid tartamú.

Ezek az oszlopok a Bohnenberger-féle elektroszkópban is alkalmaztatnak; ez a VOLTA-féletől (412) abban különbözik, hogy gyűjtőlapja alatt csakis egy aranylemez van, mely két száraz oszlopnak két

Leolvassuk a tű kitérését, midőn a quadránsok két párja a mérendő telep sarkaival közlekedik; újra leolvassuk, midőn a párok a normális telep sarkaival közlekednek: a két leolvasás viszonya a két elektromindító erő keresett viszonyát fogja adni.

Ezek után azt kell tanulmányoznunk, hogy mi módon függ az elektromos áram az elektromindító erőtől és az áram-kört alkotó testektől. De ehhez megkívántatik, hogy előbb a mágneses tűneményekkel némileg megismerkedjünk.

XLIV. FEJEZET.

MÁGNESES TÜNEMÉNYEK.

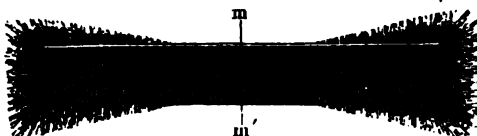
448. Mindenkinnek volt már a kezében egy **mágnes**; valószínűleg patkóalakra volt görbítve; de mindenki látta az iránytűt is, mely rombus-alakú, és szintén mágnes. Vannak még hasáb-, henger-, gyűrű- és gömbalakú mágnesek: ezek mind-megannyian **mesterséges mágnesek**, melyeket az ember aczéldarabokból, kisebb-nagyobb széntartalmú vasból készít. Ezeket meg tudjuk **mágnesezni** bizonyos, nemsokára (**489, 535**) megismertetendő módokon.

Vannak aztán **természetes mágnesek**, melyek vasbányákban találhatók; ezek egészen szabálytalan formájúak és abból a vasoxidból valók, melyet a mineralógusok **magnetitnek** neveznek, s a melynek kémiai szerkezetét az Fe_3O_4 képlet fejezi ki. De maga a kémiai szerkezet még nem csinál minden magnetitdarabból **mágnest**; ehhez valami más természeti oknak is közre kellett volt működnie.

449. A mágneses tűnemények tanulmányozása könnyebb

ellenkező sarka között függ. Az aranylemez, ha meg van elektromozva, az ellenkező nevűleg elektromos sark felé hajlik.

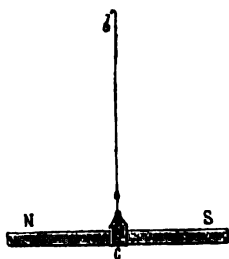
akkor, ha egy lehetőleg hosszúdad hasábalakú mágnes tulajdonságait kezdjük vizsgálgatni. Mártsuk vasreszelékbe: látjuk, hogy ez nagyobb mennyiségben tapad hozzá a végek felé,



703. ábra. Vasreszeléket vonzó mágnes rúd.

miként a 703. ábra mutatja, de épen nem tapad hozzá a középtáján. E kísérletben a két vég azonos módon viselkedik.

450. De a következő kísérletből már ki fog derülni, hogy a két végnek különböző tulajdonsága van. Távolítsunk el minden más mágnest, minden vasdarabot, és függeszszük fel a pálczát egy fonálra oly módon, hogy a szálhoz kapcsolt *C* kengyelbe (704. ábra) dugjuk. Látni fogjuk, hogy egyik vége, és pedig mindig ugyanaz a vége, makacsul észak felé fordul.



704. ábra. Lengő mágnes.

A pálcza tehát *sarkiaságot* árul el, és azokat a pontokat (703. ábra), melyek körül a legtöbb reszelék halmozódik fel, *sarkoknak* nevezzük. Bármely mágnesnek legalább két sarka van, melyeket a **456.** és **468.** pontban közelebbről meg fogunk határozni.

Megkülönböztetésül **északi sarknak** nevezzük az észak felé tekintő sarkot, és **déli sarknak** a dél felé nézőt. A különnevű sarkokat összekötő egyenest *mágneses tengelynek*, azt a tájékát pedig, melyhez a vasreszelék nem tapad, *semleges övnek* (*mm'* a 703. ábrán) nevezzük.

451. Ha figyelmesebben megvizsgáljuk mágnesünknek a Földhöz viszonyló elhelyezkedését, felismerjük, hogy tengelye

nem esik pontosan össze a csillagászati délkörrel; a két sarkon átmenő függélyes sítot **mágnesi délkörnek** nevezzük.

A csillagászati délkör és a mágnesi délkör közé fogott szög a **deklináció** (elhajlás), mely *keleti vagy nyugati*, a szerint, a mint a tű vagy rúd északi sarka a csillagászati délkörtől kelet vagy nyugat felé hajlik el.

Nálunk Magyarorszában az elhajlás jelenleg nyugati, de vidékek szerint változik, egyazon ponton pedig az idővel is.

Az obszervatoriumokban a nap meghatározott óráiban naponként rendszeresen meghatározzák a deklinációt, sőt némelyikben a meghatározás egész folytonos módon, a fotografiai úton történik. Egy lámpa fénye visszaverődik egy tükröcskéről, mely függélyes tengely körül szabadon forogható mágnesre van erősítve; visszaverődés után valamely lencserendszeren átmenve, megvilágítja az érzékeny papiros-szalag egy pontját, mely szalag a függélyes irány mentén óramű közvetítésével szabályosan gombolyodik le. Ha a deklináció állandó marad, a papirosra egyenes vonal keletkezik; ha változik, a papirosra görbe vonal rajza áll elő, mely görbéről könnyen leolvasható a nap bármely időpontjának megfelelő elhajlás.

452. Az elhajlás változásai között esetlegeseket és szabályosakat különböztetünk meg. Az esetlegesek, ha még oly kicsinyek is, váratlanul következnek be majd az egyik, majd a másik irányban; a tűnek illetén nyugtalanságából **mágnesi zivatarra** következtethetünk, mely az északi fénynyel mindig együtt jár, de néha megesik a nélkül is, hogy északi fény egyidejűleg megfigyelhető volna. Nem tekintve ezeket a zavarokat, az elhajlás szabályosan változik a nap folyamában, de 10'-nél mindig kevesebbet, és az északi sark akként mozdul el, mintha a Napot földköri látszólagos mozgásában kerülné; ezenkívül úgy látszik, hogy eme *napi* változásokra még a Hold járásának is van némi hatása.

Vannak azután a Föld keringésével kapcsolatos *évi változá-*

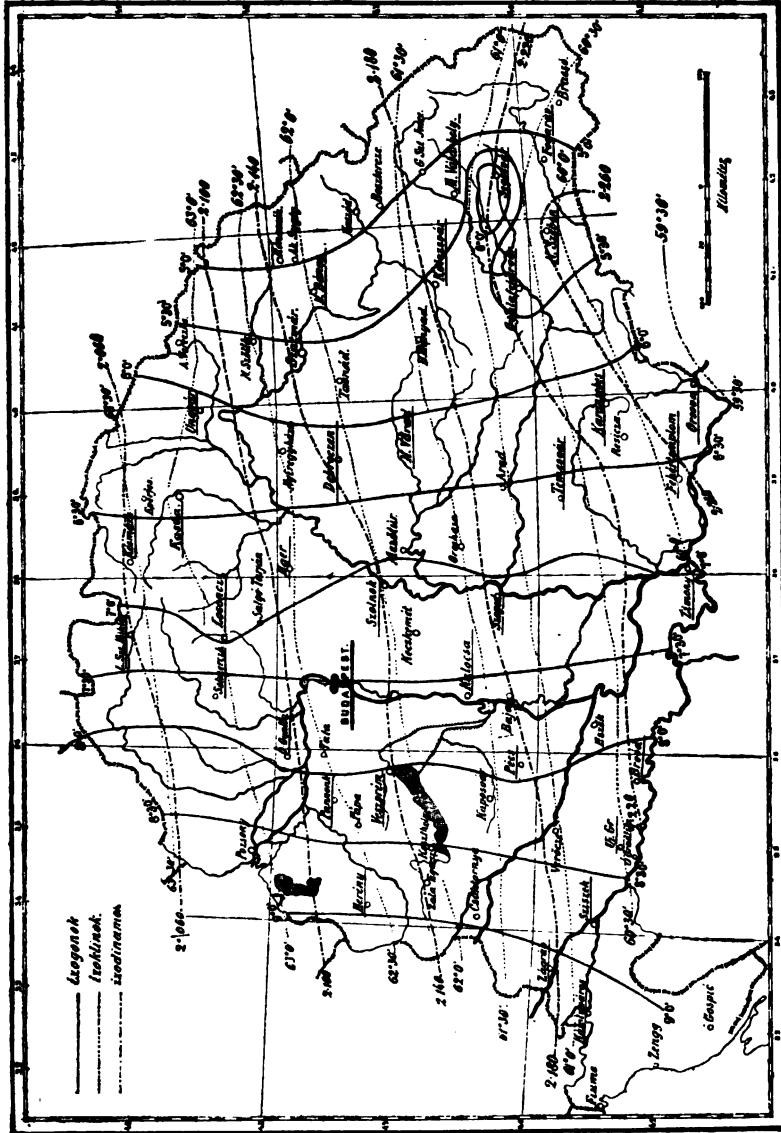
sok. De az évi közép-változás maga sem állandó, hanem körülbelül *tizenegy évi periódus*nak van alávetve, mi megfelel a napfoltok maximuma periódusának.

Ezen kívül még egy másik, 320 éves periódusnak látszik alávetve lenni. Így Párisban, midőn eme megfigyeléseket 1580-ban megkezdették, az elhajlás $11^{\circ}31'$ volt keletre, ezután folyton apadt, míg nem 1663-ban zérusra szállott alá, úgy, hogy ebben az évben a tű igazán észak felé mutatott; innét kezdve nyugatvá vált és $22^{\circ}34'$ -nyi maximális értékét 1814-ben érte el. Ez évtől kezdve évenként mintegy $8'$ -cel fogyatkozik, úgy, hogy 1985 körül — ha t. i. a változás mindig ezt a törvényt fogja követni — ismét zérussá fog válni.

Ilyetén **százados változásokat** Londonban is megfigyelték s bizonyára a földgömb minden pontján történtek, jóllehet nem voltak megfigyelhetők, mert a múlt időkben a mágnesi megfigyelések vajmi ritkák és a földmágnesség problémájának nagy tudományos jelentőségéhez képest igen silányak voltak.

453. Jelenleg a számuk folytonosan növekszik, és felhasználva az itt-ott elvéte tett megfigyeléseket is, elegendő megközelítéssel ismerjük az elhajlást a Föld különböző pontjain; ha folytonos vonallal öszekötjük mindazokat a pontokat, melyeken egyidejűleg azon értéke van, vagyis ha meghúzzuk az **izogon vonalakat**, *mágnesi térképeket* szerkeszthetünk. A következő lapon közöljük Magyarországot (705. ábra), mely KURLÄNDER Ignácznak a Magy. Tud. Akadémia megbízásából végzett megfigyeléseit tünteti elő. A térképen a megfigyelő állomások alá vannak húzva. Észre vesszük, hogy a különböző izogon vonalak, melyek telt vonallal vannak kihuzva, a délkörökhöz képest szabálytalanok, de mindannyian délről észak felé futnak.

Ehhez hasonló, de nagyobb alapmértékben rajzolt térképek segítségével a tengerész, az iránytűre tekintve, útját tetszése szerint tűzheti ki, még ha a csillagok nem is láthatók.



70 . ábra. Magyarország földmágnességi elemei az 1895. év elején.

Földmágnességi elemek értékei 1895. év elején.

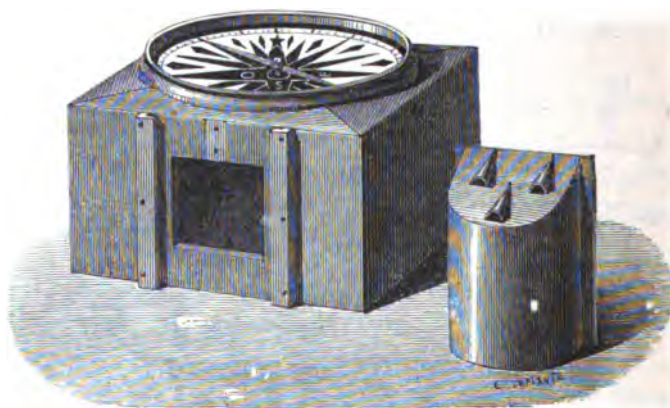
H e l y	Földrajzi hosszúság Greenwichtól	Földrajzi szélesség	Elhajlás (Nyugati)	Lehajlás	Vízszintes erősség Mm. Mg. S.
Selmeczbánya	18° 54'	48° 27'	7° 53'	63° 9'	2,0722
Kassa	21° 15'	48° 43'	6° 24'	63° 9'	2,0782
Budapest	19° 1'	47° 30'	7° 31'	62° 23'	2,1171
Zágráb	15° 59'	45° 49'	9° 3'	61° 11'	2,1779
Kolozsvár	23° 35'	46° 46'	5° 34'	61° 25'	2,1839

Az elhajlás átlagos évi változása = - 5,5'

A lehajlás = - 1,0

A vízsz. erősség = + 0,0015

454. A 706. ábra a **tengeri iránytű** szokásos alakját tünteti elő. A tű peczke hengeres doboz fenekére van erősítve, mely doboz alul meg van terhelve és Cardani-féle felfüggesztéssel föl-szerelve (I, 223), hogy a tartók bármely hajlása mellett függélyes állású maradjon. A tű a peczekre achát-kupakkal támaszkodik és egy kártyapapiros vagy csillámkorongra van erősítve, melyre a



706. ábra. Tengeri iránytű.

32 sugarú *szélrózsa* van rárajzolva. Az NS-sel (észak-dél) jelölt átmérő mindenkor magától beáll a csillagászati délkörbe, feltéve, hogy a tű akként van megerősítve, hogy ezzel az átmérővel az illető ország vagy vidék deklinációjával egyenlő szöget zárjon be. Minthogy a hajó vas-szerkezetének hatása a Földé

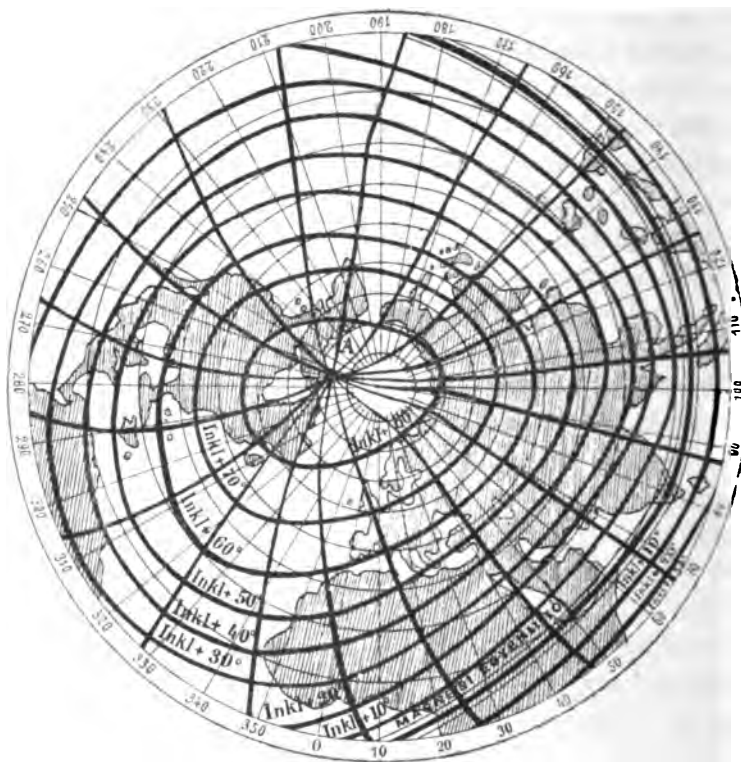
mellett elmozdulást létesítene, megkivántatik, hogy az iránytű körül alkalmas módon vastömegek helyeztessenek el, hogy ez a zavaró hatás kiegyenlítettessék.

455. Mágnespálczáknak magatartását eddigelé abban az esetben vizsgáltuk, midőn vízszintes síkban szabadon foroghatólag van egyensúlyozva. Ha azonban a súlypontjában felfüggesztett tűhöz folyamodunk, azaz olyanhoz, mely mágnesezése előtt minden lehető irányt egyaránt felvehet és megtarthat (I, 53): látni fogjuk, hogy mágnesezés után a szemhatárhoz hajló állékony egyensúlyi helyzetet vesz fel; és pedig a mi félgömbünkön mindig az északi sark hajlik alá. Azt a szöveget, melyet a mágnesi tengely a vízszintes síkkal bezár, **inklináczió**nak vagy lehajlásnak nevezzük.

Adott helyen a lehajlás is alá van vetve az elhajlás változásaihoz (452) hasonló szabályos és esetleges változásoknak, de a lehajlást Párisban csak 1671 óta figyelik meg, és ez idő óta napjainkig folytonosan csökken. A lehajlás is egyazon időpontban vidékek szerint változik, és azok a vonalak, melyek az egyidejűleg egyenlő lehajlású pontokat összekötik, **izoklin vonal**aknak neveztetnek. A 705. ábrabeli térképen e vonalak pontok sorával vannak előtűntetve.

A 707. ábrában AIRY nyomán az északi félgömb izoklin vonalai az 1880. évben 10° -nyi közökre vannak meghúzva. Látjuk, hogy egy A pont körül sorakoznak, hol is a lehajlás 90° , hol tehát a súlypontjában felfüggesztett tű függélyesen helyezkedik el. E pont egyike a **földmágneses sarkok**-nak és 1833-ban Ross kapitány Melville szigetén fedezte fel. Itt a deklinációs tű nem vesz fel határozott irányt, hanem függélyes tengelye körül közönbös egyensúlyban van, mintha sárgarézből vagy bármely más, nem mágnesezett anyagból való volna. Az izoklin vonalak közül **mágnesi egyenlítő**-nek azt nevezzük, melynek mentén a tű vízszintesen áll. A mágnesi egyenlítőn túl a tű déli sarka hajlik lefelé, s ilyenkor a lehajlást kifejező szám elé *minus*-jelet írunk.

Azok a vonalak, melyek a 707. ábrában az izoklin vonalakat átmetszve, az *A* mágnesi sarkban futnak össze, DUPERRÉY-nek úgynevezett *mágnesi délkörvonalai*. Ezek nem esnek össze az izogon-vonalakkal (453), s még sokkal kevésbé a 451. pontban meghatározott mágnesi délkörökkel, hanem azo-



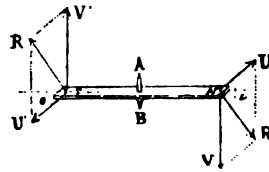
707. ábra. Az északi félgömb izoklinjai.

kat a vonalakat tüntetik elő, melyeket a Föld felületén az az útas futna be, ki deklinációs tűt vinne magával s mindig ennek az irányát követné.

456. Lássuk most, vajjon a földgömb mágnes ereje egy mágnes súlypontját haladó mozgásnak indíthatja-e? Független mozgásnak nem indíthatja, mert az acél súlyát a mágnesezés

nem változtatja meg. De nem helyezheti vízszintes mozgásba sem, mert egy hajlékony szál, melyen a mágnes rendszerint függ, pontosan függélyes irányt vesz fel még akkor is, ha nagyobb bizonyosság okáért a nehézség okozta húzást igen kicsinyre szállítjuk le az által, hogy a mágneset — parafát erősítvén reája — folyadékon usztatjuk.

Azt következtetjük tehát, hogy a Földnek egy mágnesre való hatása erőpárra (I, 48) vezethető vissza, azaz két egyenlő, ellenkező irányú és két különböző pontban támadó erő rendszerére. Eme támadás-pontokat olybá vesszszük, mint a melyek a mágnes sarkait sokkal szabatosan határozzák meg, mint a miként a 450. pontban kifejeztük; és megjegyezzük, hogy e sarkok nincsenek a pálczának egészen a végén, hanem kissé beljebb. Mivel továbbá a saját súlypontja körül forogható mágnes egyensúlyban van, midőn tengelye a mágnesi délkörben (451) fekszik és a vízszintessel a lehajlás szögét zárja be: következik, hogy az erőpár erőinek iránya épen ezzel az iránynyal egyezik meg, melyet a mágnes tengelye magától felvesz (I, 54).



Tüntessük elő (I, 33) ezeket az erőket az NR és SR' egyenesekkel (708. ábra); a függélyes irányba eső alkotóikat az NV és SV' vetületek tüntetik elő (I, 40), míg egy vízszintes síkra való NU és SU' vetületeik vízszintes alkotóikat fogják előtüntetni. A csupán a Föld hatásának alávetett mágnes tehát ugyanazon körülmények között van, mintha az NV , SV' függélyes erőpár és az NU , SU' vízszintes erőpár együttes hatásának volna alávetve.

457. Ha azt akarjuk, hogy az SN mágnesi tengely vízszintes maradjon, az első erőpárt az S pont környékén odaerősített ellensúlylyal egyensúlyozni kell, vagy a mi egyre megy.

az alátámasztó pontot a súlyponton kívül N felé kell felvenni. Az ily módon szálon függő, vagy achát-kupakkal tűhegyre támaszkodó mágnes alkotja az elhajlós vagy **deklinációs tűt**.

Ez esetben a rendszert csakis a vízszintes erőpár készleti mozgásra, és csak akkor lehet egyensúlyban, ha az erőpár karja zérus (I, 48), mi annyit tesz, hogy az NU és SU' erők egyazon egyenesben fekszenek, vagy pedig, hogy az NS tengely a mágnesi délkörben (451), az NU irányban van. Ekkor a függélyes körüli forgató nyomaték zérus; minden más esetben nem zérus és maximális értéket vesz fel, midőn a mágnes tengelye merőleges ugyanerre a délkörre.

458. Legyen U mindegyik vízszintes alkotó intenzitása, l a sarkok SN távolsága, ϑ az a szög, melylyel a tű adott pillanatban a mágnesi délkörtől eltér, úgy a forgató nyomaték, mely a tűt visszatéríteni igyekszik (I, 51), $U \sin \vartheta$ fog lenni, kicsiny eltérésekre nézve pedig $U l \vartheta$.

Ezt COULOMB az ő mérlegével (317) kísérletileg mutatta ki. A fémszálon egy kicsiny kengyel függött, melybe először is egy a megvizsgálandó mágnessel egyenlő rézpálczát tölt, s a felső felfüggesztést akként forgatta, hogy ez a pálcza a mágnesi délkörbe került. Ezután ugyanebben a helyzetben a mágnest tette a helyébe, mely tehát a mágnesi délkörben volt a nélkül, hogy a szál meg lett volna sodorva.

A felső gombbal a mágnest egymás után különböző ϑ szögekkel térítette el, és feljegyezte a szál megfelelő torzió-szögeit (I, 158). Ezek a szögek, tehát a rugalmassági erőnek nyomatékai is, melyek a Föld hatásának egyensúlyozására megkívántatnak, közelítőleg csakugyan arányosak voltak a ϑ eltérésekkel, ha ezek kicsinyek voltak, és ezek sinusaival, ha nagyok voltak.

459. Ha tehát a deklinációs tű sodratlan szálra függesztjük vagy peczekkel alátámasztjuk, kissé kimozdítjuk és ezután magára hagyjuk, a mágnesi délkörtől jobbra-balra lengéseket végez, egészen úgy, mint az inga, mely $U l \vartheta$ forgató

nyomatéknak van alávetve. Kicsiny lengéseinek tartamát a következő képlet (I, 159) fejezi ki:

$$\tau = \pi \sqrt{\frac{\mu}{U}},$$

hol μ a tűnek tehetetlenségi nyomatéka azon tengelyre vonatkozólag, mely körül lengéseit végzi.

460. E képletből megkapjuk a tű mindegyik sarkára ható vízszintes összetevő értékét:

$$U = \frac{\pi^2 l}{\tau^2} n^2 \quad (1)$$

ha ismeretes μ és l és meg van határozva a tűnek másodpercenként végzett egyszerű lengéseinek $n = 1 : \tau$ száma.

U értékéből és a lehajlás i szögéből az *NUR* derékszögű háromszög (708. ábra) segítségével legott kiszámíthatjuk az intenzitását a mágnesi eredőnek, melylyel a Föld a két sark mindegyikére hat:

$$R = \frac{U}{\cos i}. \quad (2)$$

Ha tehát a sarkok pontos helyzetét és ezzel l távolságukat ismernők, az R erő a megelőző két képlet alapján teljesen meg volna határozva irány és intenzitás szerint a δ elhajlás, az i lehajlás és a deklináció τ n lengés-számainak ismerete révén.

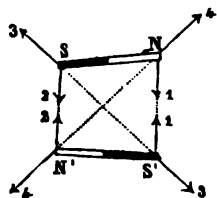
Az l távolság meghatározása általában véve nehéz dolog és másrészt egyelőre fölösleges is volna, mert R értéke l -en kívül még a tű mágnesezésének intenzitásától is függ, melyet még nem tudunk megmérni.

Ha azonban megelégszünk viszonylagos meghatározásokkal, erre nem kell tekintenünk, és csak arra kell ügyelnünk, hogy eme meghatározásokat mindig ugyanazzal a tűvel végezzük, melyet meg kell óvnunk minden hatástól, mely mágnes állapotát módosíthatná, tehát rázkódásoktól, tetemes mérsékletváltozásoktól, más mágnesekkel, vas vagy aczéldarabokkal való érintkezéstől, stb.

461. Mindaddig, míg GAUSS meg nem állapította az abszolút mértékek rendszerét, ezen a módon jártak el *R*-nek, vagy miként mondani szokták, a földmágnesség intenzitásának meghatározásában. E mérések, bármily bizonytalanok voltak is, mert a tű állandósága mindig kétséges, annak előtüntetésére valók voltak, hogy a földmágnesség intenzitása változó, olyanformán, mint az elhajlás (452) és a lehajlás (455).

Mindazonáltal ezen irány- és intenzitásbeli változások annyira csekélyek, hogy legtöbbször elhanyagolhatók. És fel is fogjuk tenni, hogy helyiségünk különböző pontjaiban és a kísérletek egész tartamában a Föld irány és nagyság szerint állandó erővel hat a mágnes mindegyik sarkára.

462. Vegyünk most két mágnest, jelöljük meg mindegyiken az északi sarkot (450), az egyiket függeszszük a szokásos szárlra, és közelítsük hozzá a másikat. Látni fogjuk, hogy az egyneű sarkok egymást taszítják, a különneűek pedig egymást vonzzák. Ennélfogva két szomszédos mágnes között négy erő hat, két vonzó és két taszító, miként ezt a 709. ábra előtünteti.



709. ábra. A mágnesek hatása egymásra.

Számuk nem is redukálható kisebbre, mert lehetetlen valamely sarkot társától elkülöníteni (470). De két igen hosszú és nagyon vékony mágnest használva, melyeknek sarkai csaknem egészen a végeken vannak, COULOMB-nak sikerült a mérlegével (317) kimutatnia, hogy az egyiknek egyik sarka a másiknak egyik sarkára a távolság négyzetével fordított viszonyban levő erővel hat.

Mindazok a következmények, melyek eme törvényből folynak, a tényekkel mindenkor összhangzásban voltak, minélfogva e törvény szigorúnak tekinthető.

463. De a két sark közötti hatás függ még a mágnesek mágnesezésének fokától, vagy mint mondani szokás, maguknak a sarkoknak intenzitásától. Ez is a sarkok közötti hatás révén

mérhető, úgy, hogy ha a sarkok intenzitásának jele m és m' , a közöttük működő erőnek intenzitása F pedig, midőn egymástól r távolságban vannak:

$$F = \frac{mm'}{r^2}. \quad (1)$$

Midőn a sarkok egynevek és ennél fogva az F erő taszító (462), m és m' -nek ugyanazon jelet tulajdonítjuk, és ekkor F pozitív; az ellenkező esetben m és m' jele különböző, és F , megállapodásainknak (326) megfelelőleg negatívvá válik. Ezenkívül pozitívnak az északi sarkot fogjuk tekinteni.

464. Ha (1)-ben $F = 1$, $r = 1$, és $m = m'$ tétetik, következik, hogy m is $= 1$. Tehát eme képlet felírásakor alattomban elfogadtuk, hogy az északi sark egysége azon északi sark, mely a vele azonos sarkot egységnyi távolságból egységnyi erővel taszít.

Valamely sark m intenzitását rendszerint valamely **mágnesség-mennyiség**nek szoktuk tulajdonítani, melyet ugyanaz az m szám fejez ki. Ha tehát a hossz, az idő és a tömeg alapegységeiül a centimétert, a másodpercet és a grammot fogadjuk el, a **mágnesség egysége** azon mágnesség-mennyiség, mely egy pontba összegyűjtve, ugyanakkora mennyiségre 1 cm távolságból 1 din erővel, azaz akkora erővel hat, mely 1 másodperczig állandó intenzitással működven, 1 cm³ vízzel másodperczenkénti 1 cm sebességet közöl.

A mágnesség-egység mérete (I, 82), vagy a mi egyre megy, a mágnessark intenzitása egységének mérete:

$$m = [r\sqrt{F}] = [LF^{1/2}] \quad (2)$$

és innét (I, 82, m):

$$m = L [L^{1/2} T^{-1} M^{1/2}] = [L^{3/2} T^{-1} M^{1/2}].$$

465. A tér bármely részét, melyben mágnesi erők hatnak, **mágnesi térnek** nevezzük.

A mágnesi tér intenzitását és irányát valamely pontban

annak az erőnek intenzitása és iránya határozza meg, mely az ebben a pontban felhalmozott pozitív mágnesség (463) egységére hat.

A tér \mathcal{H} intenzitásának méretei tehát:

$$\mathcal{H} = F : m = [F^{1/2} L^{-1}] = [L^{1/2} T^{-1} M^{1/2}] L^{-1} = [L^{-1/2} T^{-1} M^{1/2}].$$

Ha ez az erő állandó, a mágnesi tért *egyenletesnek* mondjuk. Azok után, miket a 461. pontban mondtunk, a Föld mágnesi hatásától létesített mégnessi tér néhány köbméternyi térfogatban bizvást egyenletesnek tekinthető, és e tér iránya a lehajlós tű irányával egyezik.

466. Minthogy az ilyen egyenletes térbe helyezett mágnesre két egyenlő és ellenkező irányú erő hat, melyek erőpárt alkotnak, minthogy továbbá megállapítottuk (463), hogy valamely sarkra ható erő arányos ezen sark intenzitásával: következik, hogy valamely mágnes két sarkának egyenlő és ellenkező intenzitása van.

Ha tehát az északi sark intenzitásának jele $+m$, a déli sarké $-m$. Ezt úgy fejezzük ki, hogy azt mondjuk, hogy *minden mágnesben a mágnesség algebrai összege zérus*.

Ha l jelenti a sarkok kölcsönös távolságát, az $\mathcal{H}l = ml$ szorzományt a mágnes **mágnesi nyomatékának** mondjuk.

A mágnesi nyomaték méretei nyilván a következők:

$$\mathcal{H}l = [mL] = [L^{5/2} T^{-1} M^{1/2}].$$

467. Határozzuk már most meg a földmágnesi tér intenzitását. A 460. pontban R -rel jelöltük azt az erőt, melylyel a Föld a mágnes mindegyik sarkára hat. De R -nek arányosnak kell lennie eme sarkok m intenzitásával, minél fogva:

$$R = Tm,$$

hol T azon erő, melylyel a Föld egységnyi sarkra hatna. T tehát a földmágnesi tér intenzitása (465), és a következő képlettel (460) van kifejezve:

$$T = \frac{R}{m} = \frac{U}{m \cos i} = \frac{\pi^2 \mu^2}{ml \cos i} = \frac{\pi^2 \mu^2}{\mathcal{H}l \cos i}. \quad (1)$$

Ha most a tér vízszintes összetevője H , úgy

$$H = T \cos i, \quad (2)$$

vagy szintén

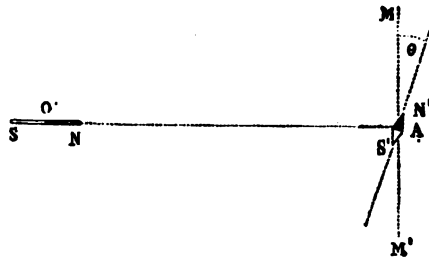
$$H = \frac{\pi^2 \mu n^2}{\mathcal{M} \mathcal{C}} \quad (3)$$

és a földmágnesi tér úgy irány, mint intenzitás szerint teljesen meg van határozva, ha ismeretesek a helynek úgynevezett **mágnesi elemei**, vagyis a δ elhajlás, az i lehajlás és a H vízszintes intenzitás.

Vannak alkalmas iránytűk (*magnetométereknek* is nevezetnek), melyek az első két mennyiséget közvetlenül megadják (*deklinométer* és *inklinométer*), a harmadik pedig a (3) alatti képlettel számítható ki, ha ismeretes az $\mathcal{M} \mathcal{C} = m l$ mágnesi nyomaték; mert μ a tehetetlenségi nyomaték, melyet meg tudunk határozni (I, 160), n pedig a függélyes körül másodpercenként végzett lengések száma, melyeket megszámálhatunk.

468. Azonban az $\mathcal{M} \mathcal{C}$ mágnesi nyomatékot kiküszöbölhetjük a (3) alatti képletből, ha a következő meghatározást tesszük:

Mágnesünket SN tengelyével (710. ábra) az MM' mágnesi délkörre merőlegesen, és pedig egy igen kicsiny $S'N'$ dekliná-



710. ábra. Két mágnes kölcsönös hatása.

ciós tűvel szemközt tartjuk; ez a tű ki fog téríteni a mágnesi délkörből. Ha ez a kitérés ϑ , és ha d a két mágnes O és A középpontja közötti távolság, úgy azt állítom, hogy nagy megközelítéssel:

$$\mathcal{N} = H \frac{d^3}{2} \operatorname{tg} \vartheta \quad (4)$$

mely értéknek a (3) alattiba való helyettesítése után:

$$H^2 = \frac{2\pi^2 \mu n^2}{d^3 \operatorname{tg} \vartheta},$$

honnét a földmágnesi tér vízszintes összetevője abszolút mértékben: *

$$H = \pi n \sqrt{\frac{2\mu}{d^3 \operatorname{tg} \vartheta}} \quad (5)$$

A (4) alatti kifejezés levezetésére először is megjegyezzük, hogy az A pontba helyezett m' sarkra az SN mágnes a következő erővel hat (463):

$$F = \frac{mm'}{\left(d - \frac{l}{2}\right)^2} - \frac{mm'}{\left(d + \frac{l}{2}\right)^2} = \frac{2dlmm'}{\left(d^2 - \frac{l^2}{4}\right)^2} = \frac{2\mathcal{N}m'}{d^3 \left(1 - \frac{l^2}{4d^2}\right)^2},$$

mely kifejezés, ha a mágnes l hossza a kicsiny d távolsághoz képest, a következővé alakul át:

$$F = \frac{2\mathcal{N}m'}{d^3}.$$

Egy másik, szintén A -ba helyezett $-m'$ sarkra pedig épen ekkora, de ellenkező erő hatna. Azonban a tű l hossza annyira csekély, hogy két sarkát a mágnes O középpontjától egyenlő a távolságban levőnek tekintjük, mely mágnes tehát a mágnesi délkörtől ϑ szöggel kitérített tűre a következő nyomaték-párral hat:

$$Fl' \cos \vartheta = -\frac{2\mathcal{N}m'l'}{d^3 \left(1 - \frac{l^2}{4d^2}\right)^2} \cos \vartheta.$$

Hogy a tű egyensúlyban maradjon, kell hogy eme forgató nyomaték egyenlő legyen a Föld hatásától származóval, mely ekként (458) van kifejezve:

* Budapesten 1895 végén a földmágnesi tér intenzitásának vízszintes összetevője 0,21256 C. G. S. rendszerbeli abszolút egység, melynek évi változása + 0,000 15.

$$Ul' \sin \vartheta = Hm'l' \sin \vartheta,$$

ennélfogva egyensúlykor kell hogy álljon :

$$\frac{2\mathcal{M}}{d^3 \left(d - \frac{l^3}{4d^3} \right)^2} \cos \vartheta = H \sin \vartheta, \quad (6)$$

mely egyenlet, ha a mágnes l hossza elenyésző a d távolsághoz képest, úgy, hogy tehát $\frac{l^3}{4d^3}$ is elenyésző az egységhez képest, a (4) alattival azonossá válik, s ezzel állításom helyessége ki van mutatva.

469. Ha azután egy mágnes mágnesi nyomatékát akarjuk meghatározni, a (4) alatti képlethez folyamodunk, melyet a (3) alattival egybevetve, kapjuk, hogy :

$$\mathcal{M} = \pi n \sqrt{\frac{\mu d^3}{2}} \operatorname{tg} \vartheta;$$

és ekkor a lengések n számának és azon ϑ szögnek megfigyelése szükséges, melyet a mágnes határoz meg, midőn egy kicsiny türe az előbbi pontban leírt módon hat.

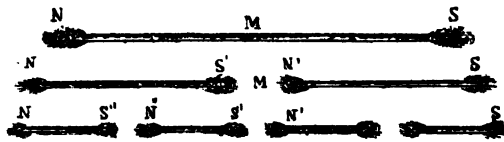
Ha a földmágnesi tér H vízszintes összetevője ismeretes elegendő az utóbbi megfigyelés, és a tehetetlenségi nyomaték ismeretére sincs szükség, mert egyszerűen a (4) alatti képlethez folyamodunk.

470. Eme képletek levezetésében úgy jártunk el, mintha valamely mágnes csupán az ő erő-centrumaira, a két sarkra volna redukálva. De azért őrizkedjünk attól a véleményedtől, hogy csakis ezekben a pontokban van tényleges székhelye a mágnesi tulajdonságoknak, vagyis, hogy csakis ezekben a pontokban van felhalmozva az ő ismeretlen okuk, melyet mágnes-ségnek nevezünk. Olyas tévedés volna ez, mintha feltételeznők, hogy valamely test egész tömege tényleg a súlypontjában volna felhalmozva.

A súlypont az egyes molekulák súlya eredőjének támadás-

pontja; hasonlóképen a sarkok a mágnesi erők eredőjének támadás-pontjai.

Mondottuk (462), hogy valamely sark soha sincs elválasztva a másik sarktól. Valóban, törjünk a közepén ketté egy mágnestűt: mindegyik félnek meglesz az ő két, semleges övtől elkülönített sarka, mit vasreszeléssel mutathatunk ki (711. ábra), vagy pedig oly módon, hogy a feleket deklinációs



711. ábra. Mágnes törése.

tűre engedjük hatni. Ha eme feleket is kettétörjük, négy teljes mágnest kapunk: mindegyiknek megvan a maga két sarka és semleges öve. És ha egy mágnesből bármily parányi darabkát törünk le, ez mindig teljes mágnes a maga két sarkával és semleges övével!

Ezt az alapvető tényt elméletileg fogva fel, indukció révén logikus a feltevés, hogy az utolsó részecskék **elemi mágnesek**, melyek viszonylagos helyzetükkel az egészletes mágnes tulajdonságait határozzák meg.

Nagyon tanulságosak a következő különös esetek.

471. Először is tegyük fel, hogy minden elemi mágnesnek egyenlő mágnesi nyomatóka (466) van, és hogy sorba vannak szedve, úgy, hogy mindegyiknek északi sarka szemközt álljon a következőnek déli sarkával; ekkor az egyes sarkoknak kifelé irányuló hatása kettenként lerontja egymást, és csak a szélső két sark marad hatásos. Egy ilyen szerkezetű szálát **szolenoidnak** nevezünk; nyilvánvaló, hogy bármi módon hajtogatjuk össze, mágnesi tere csak végeinek helyzetétől függ; és ha két vége egészen összeér, úgy, hogy **zárt szolenoidot** alkot,

minden külső hatás megszűnik és a mágnesi tér zérusra van redukálva.

A gyakorlatban annál közelebb járunk ehhez az elméleti esethez, mentül vékonyabb aczéldrótot mágnesezünk meg, és ha összehajlítható drótot veszünk és egy mágnesű közelébe viszszük, a szolenoidok eme tulajdonságait ki is mutathatjuk.

Már most a mágnesek egy nagy csoportja a különböző hosszúságú szolenoidok nyalábjából állónak tekinthető, mely szolenoidok vagy zártak, vagy ha nyíltak, végeik a mágnes felületére esnek. Az ilyen mágnesekről azt mondjuk, hogy mágnesességüknek **szolenoidális elosztása** van. Az egyes szolenoidok sarkainak összesége az úgynevezett szabad mágnességet létesíti, mely a mágnes ellentett tájékain ellenkező jelű.

472. A mágnesek egy másik igen fontos csoportjának, mint mondani szokás, **lemezes elosztású** (lamelláris) mágnessége van. Hogy erről fogalmat alkossunk, először is tudnunk kell, hogy mi értendő egy **mágneses lemezen**. Ez sík, vagy görbült vékony réteg, mely számtalan elemi mágnesből áll, melyek tengelyei merőlegesek a réteg két lapjára és akként vannak elhelyezkedve, hogy valamennyi északi sark az egyik lapon, valamennyi déli sark pedig a másik lapon van. A legegyszerűbb esetben a lemez vastagsága egyenletes és valamennyi elemi mágnesnek egyenlő nyomatéka van.

A lemezes mágnesek számtalan különböző lemeznek egymásra helyezkedéséből származatoknak tekinthetők, mely lemezek részben fedik, részben nem fedik egymást.

A szolenoidális vagy lemezes vaskos mágnesek elemzésébe nem mélyedhetünk be; meg kell elégednünk az egyszerű szolenoidok és az egyszerű lemezek elméletének valamennyire bővebb kifejtésével, mint azzal a két határ-esettel, melyhez a hosszmentileg mágnesezett rudak, illetőleg a keresztmenetileg mágnesezett lemezek kisebb-nagyobb mértékben közelednek.

473. Először is azon leszünk, hogy a potenciálnak annyira termékeny fogalmát a tünemények eme csoportjára is alkalmazzuk, mely dolog itt aligha fog nehezünkre esni, ha meggondoljuk, hogy a mágnesi hatások törvénye (463) mindenben azonos az elektromos hatások törvényével (327). Csak a «pozitív, negatív elektromosság-mennyiség» szavak helyett az «északi, déli mágnesség-mennyiség» szavakat kell mondanunk, és a következő viszonylatok nyilvánvalókká válnak.

A mágnesi potenciál, mely a mágnesi tér valamely A pontjában az ettől a ponttól $r_1, r_2, \dots r_n$ távolságban levő $m_1, m_2, m_3, \dots m_n$ intenzitású mágnessarkok rendszerétől származik, a 336. szerint a következő:

$$V = \frac{m_1}{r_1} + \frac{m_2}{r_2} + \dots + \frac{m_n}{r_n},$$

és azt a munkát fejezi ki, melyet az ezen sarkokhoz tartozó mágnesi erők végeznek, midőn egy egységnyi intenzitású északi sark A pontból a végtelen távolságba vitetik s ily módon ezen erők hatása körén kívül jut.

A potenciál-különbség két A és B pontban az a munka, melyet a mágnesi erők a pozitív (északi) mágnesség-egységnek az egyik pontból a másikba való (337) elmozdítása közben végeznek.

Azon pontok helye, melyekben a potenciálnak egyazon értéke van, egy potenciálúfelület, vagy mágnesi szintfelület (339).

Legyen e mágnesi tér két P és Q pontjában a potenciál értéke \mathcal{V}_p és \mathcal{V}_q , egymástól való igen kicsiny távolságuk d : akkor a mágnesi erő, mely a P -ben levő egységnyi északi sarkra hat, mialatt az PQ irányban végtelen kevéssel eltolódik, a (338) szerint:

$$\mathcal{F} = \lim_{d \rightarrow 0} \frac{\mathcal{V}_p - \mathcal{V}_q}{d} \quad (7).$$

A mágnesi tér intenzitása, vagyis az eredő mágnesi erő

a tér minden pontjában merőleges az illető ponton átmenő szintfelületre (341).

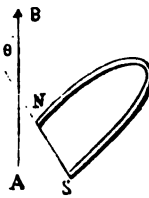
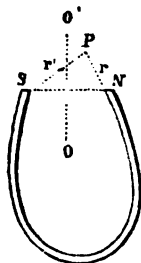
Mágnesi erővonal az, melynek mentén a mágnessark a mágnesi tér hatása alatt elmozdulni kénytelen. Az erővonalak minden pontjukban a szintfelületekre merőlegesek.

Ha \mathcal{V} a potenciál értéke P pontban, és ha P -ben m intenzitású sark van, az $E = m\mathcal{V}$ szorzomány azt a munkát fejezi ki, melyet a mágnesi erők végeznének, ha ez az m sark a P pontból végtelen távolságba menne (344). E tehát azt a mágnesi helyzeti energiát méri, melylyel a mágnesi tér P pontjában levő m sark rendelkezik.

474. Ha egyszerű szolenoiddal (471) van dolgunk, melynek végei N és S -ben (712. ábra) vannak, könnyen kiszámíthatjuk a \mathcal{V} potenciált egy tetszés szerinti P pontban, mely eme végektől r , illetőleg r' távolságban van, mert a szolenoidtól származó mágnesi tér pontosan megfelel az N és S -ben levő egyenlő és ellenkező két mágnessarknak (471). Ha tehát $+$ m és $-$ m jelenti eme sarkok intenzitását, egyszerűen:

$$\mathcal{V} = m \left(\frac{1}{r} - \frac{1}{r'} \right),$$

és a mágnesi tér tulajdonságait a 343. pontbeli 646. ábra tünteti elő.



712. ábra. Mágnesi potenciál számítása. 713. ábra. Helyzeti energia számítása.

Egyenletes mágnesi térben (465) levő szolenoid helyzeti energiáját, ha a tér intenzitása \mathcal{H} , iránya pedig AB (713. ábra), akként számítjuk ki, hogy sarkai energiájának összegét vesszük.

Legyen l az N és S sarkok távolsága, és legyenek \mathcal{V} és \mathcal{V}' az egyenletes tértől származó potenciálok N és S pontokban. A pozitív sark helyzeti energiája (473) $m\mathcal{V}$, a negatívé pedig $-m\mathcal{V}'$, összegük tehát:

$$E = m(\mathcal{V} - \mathcal{V}').$$

Azonban

$$\frac{\mathcal{V}' - \mathcal{V}}{l}$$

a (7) képlet szerint az SN iránybeli mágnesi erőt, vagyis a mágnesi térnek ezen irányba eső összetevőjét adja; ha tehát ϑ jelenti az SN és AB bezárta szöveget, úgy:

$$\frac{\mathcal{V}' - \mathcal{V}}{l} = \mathcal{H} \cos \vartheta,$$

és ennél fogva:

$$E = -ml\mathcal{H} \cos \vartheta.$$

Ha $ml = \mathcal{M}$ tételik, \mathcal{M} egy mágnes mágnesi nyomatékának tekinthető, mely mágnes sarkai N és S . És így az a helyzeti energia, melyet az F intenzitású egyenletes mágnesi tér egy mágnesnek kölcsönöz, midőn tengelye a tér irányával ϑ szöveget zár be, lészen:

$$E = -\mathcal{M}\mathcal{H} \cos \vartheta. \quad (8)$$

Mivel a helyzeti energia mindenkor átalakulni igyekszik (I, 548), itt nem lehetséges állékony egyensúly, hacsak nem abban a helyzetben, melyben az energia értéke minimum, vagyis midőn $\vartheta = 0$, mikor is $E = -\mathcal{M}\mathcal{H}$. A mágnes tehát állékony egyensúlyban akkor van, midőn tengelye a mágnesi tér irányába esik, miként eleitől kezdve láttuk, a mikor is a Földnek a mágnesűre való hatása forgott szóban.

475. Az egyszerű mágneses lemez, miként láttuk (472), nem egyéb egy igen vékony lapnál, melynek két felületén két egyenlő és ellenkező mágnesség-mennyiség egyenletesen van elosztva. Ha a felületi sűrűség fogalmát a mágnességre is kiterjesztjük, mondhatjuk, hogy mindegyik felületre nézve a mág-

nesi sűrűség mértékét megkapjuk, ha az ott levő összes mágnesség mennyiségét a felület területével elosztjuk.

Ezenkívül a **lemez intenzitásán** (j) sűrűségének (ρ) vastagságával (l) való szorzományát értjük:

$$j = \rho l.$$

Ezt előrebocsátva, a differenciális számítással kimutatható, hogy valamely j intenzitású mágneses lemeztől valamely P pontban létesített \mathfrak{V} potenciál ezen intenzitásnak és azon ω testszögnek szorzományával van kifejezve, melynek csúcsa P -ben van és a lemezt körülfogja:

$$\mathfrak{V} = j\omega \quad (1)$$

476. Ennek bebizonyítása meghaladja a tőlünk használt matematikai eszközöket, mindazonáltal kell, hogy legalább a **testszögek mérése** módjáról tiszta fogalmunk legyen.

Valamint a síkbeli szögek csúcsából leírunk egységnyi sugarú köröket és a szárak között levő ív hosszát a szög mértékeül vesszük: úgy valamely testszög csúcsa körül egységnyi sugarú gömböt képzelünk leírva, s a szög mértékeül eme gömbfelület azon részének területét vesszük, melyet a szög oldalfelülete befog.

Például a kocka testszögének mértéke $\frac{\pi}{2}$, mert három oldalfelülete a gömbön egy háromszöget határoz meg, mely az egész gömbfelületnek, vagyis, ha a sugár 1 cm, 4π cm-nek nyolczad része. Valamely ponton átmenő határtalan sík testszögnek tekinthető, melynek csúcsa, az illető pont, mértéke pedig 2π , mert félgömböt fog körül.

477. Ezt megértve, a **475. p. (1)** képletéből legott kitűnik, hogy valamely mágneses lemeztől valamely pontban létesített potenciál csakis e lemez j intenzitásától és attól az ω látszólagos nagyságtól függ, mely alatt a lemez az illető pontból látszik, úgy, hogy az egyenlő kerületű és egyenlő intenzitású lemezek, bármily alakúak is, ugyanazt a potenciált idézik elő.

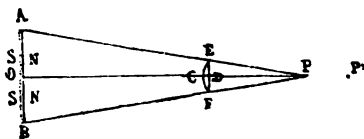
De az (1) alatti képlet nem világosít fel bennünket a potenciál jeléről, mely természetesen különböző a szerint, a mint az illető pont a lemez egyik vagy másik oldalára esik: pozitív azokra a pontokra nézve, melyekből az északi (+) felület látszik; negatív a többi pontra nézve, melyekből a déli felület (—) látszik.

Abban az esetben, ha a lemez görbe, a lemezt átlátszónak kell tekintenünk; és most pozitív jellel kell vennünk az illető pont felé néző északi felületnek látszólagos nagyságát, negatív jellel pedig a déli felület látszólagos nagyságát; ω értéket ezek algebrai összege adja meg.

Ha tehát a görbe lemez teljesen zárt görbe felület, külső pontokból a látszólagos nagysága kétszer veendő, de ellenkező jellel: tehát a zárt lemez potenciálja minden kivüle fekvő pontra nézve zérus, míg a belső pontokra nézve, melyekből az egyik felület egészen körös-körül látszik, a testszög mértéke az egységnyi sugarú egész gömb lévén, a \mathcal{V} potenciál értéke e pontok mindegyikében $4\pi j$.

478. Helyén van, hogy nagyobb világosság kedvéért és a későbbi alkalmazások czéljából a 475. p. (1) képletét, mely egy mágneses lemez potenciálját fejezi ki, egy különös esetre alkalmazzuk.

Legyen az AB lemez (714. ábra) R sugarú kör; vastagsága legyen l , és az őt alkotó elemi mágnesek (472) északi sarka



714. ábra. Mágneses lemez potenciálja.

mind azon az oldalon legyen, a melyre a P pontból tekinthetünk; P -ben az egységnyi sark jelenlétét tételezzük fel. Ez annyit tesz, hogy ezen az oldalon bizonyos m_1 mennyiségű,

P -vel egynevű mágnesség egyenletesen van elosztva a következő sűrűséggel:

$$\rho = \frac{m_1}{\pi R^2},$$

minélfogva a lemez intenzitása a (475) szerint:

$$j = \rho l = \frac{m_1 l}{\pi R^2}. \quad (2).$$

Tegyük fel, hogy P pont az O középpontban emelt merőlegesben és ugyanezen középponttól r távolságban fekszik. Képzeljük a PAB kúpot vetve, és legyen az oldala $PA = d$. Az egységnyi sugarú gömbből a kúp által kimetszett C gömbszelet mértéke (476) az AB lemeztől bezárt testszögnek, vagy mint mondani szokás, a P pontból szemlélt lemeznek *látszólagos nagysága* lesz. A C területet nyerjük, ha egy főkör 2π kerületét a szelet magasságával megsokszorozzuk, mely magasság:

$$CD = CF - DP = CP - PO \frac{PE}{PA},$$

és mivel

$$CP = PE = 1, \quad PO = r, \quad PA = d,$$

azért

$$C \text{ terület} = \omega = 2\pi \left(1 - \frac{r}{d} \right),$$

és az (1) képlet alapján:

$$\mathcal{V} = 2\pi j \left(1 - \frac{r}{d} \right) = \frac{2\pi j R^2}{d(d+r)} \quad (3),$$

mert $R^2 = d^2 - r^2$.

479. Ha a P pont helyett a lemeztől távolabb fekvő P' pontot veszszük, az $\frac{r}{d}$ viszony növekszik és ennélfogva a potenciál kisebbedik. Ha pedig közelebb fekvő pontot veszünk, a potenciál növekszik, mígnem az O középpontban, hol is $\frac{r}{d} = 0$, a következő értéket veszi fel:

$$\mathcal{V} = 2\pi j.$$

Mondottuk azonban (477), hogy a potenciál az egyik felület pontjaiban pozitív vagy negatív a szerint, a mint a pont pozitív (északi) vagy negatív (déli) felületre néz; következik tehát, hogy a lemezen keresztül menve a potenciál hirtelen $4\pi j$ -vel különbözik. Továbbá a lemez síkjában, de a lemez kerületén kívül fekvő pontokban a potenciál zérus, mert ezekből a pontokból tekintve a lemezt, látszólagos nagysága zérusra redukálódik.

480. Ha a P pontban, hol a potenciál $\mathfrak{V} = \omega j$, valamely m intenzitású sark van, az

$$E = \mathfrak{V}m = m\omega j \quad (4)$$

kifejezés az m sarknak a lemezre vonatkozó helyzeti energiáját (473) fejezi ki, vagyis az erőnek azt a munkáját fejezi ki, mely eme sarknak P pontból a végtelenbe való átmenetelekor végzendő. E munka végrehajtott munka, ha $\mathfrak{V}m$ pozitív, vagyis midőn a P -ből szemlélt felület ugyanolyan jelű mint m ; felémésztett munka az ellenkező esetben, és ekkor $\mathfrak{V}m$ abszolút értéke azt a munkát fejezi ki, mely megkiváncsoltatná, hogy az m sark a mágnesi vonzás leküzdésével P -ből végtelenbe vitessék.

Ebből következik, hogy ez a sark, ha szabadon mozoghatna, az első esetben a lemeztől távoznék, a másodikban pedig hozzája közelednék; tehát mindegyik esetben alacsonyabb potenciálú pontok felé mozdulna el, úgy, hogy akként igyekeznék elhelyezkedni, hogy helyzeti energiája minimum legyen, vagyis hogy az ellenkező nevű felülettel érintkezzék.

Az a munka, mely végeztetik midőn valamely sark valamely P pontból végtelenbe megy át, egyenlő azon munkával, mely ugyanezen pontból egy olyan másikba való átmenetkor végeztetnék, melyben a potenciál zérus: tehát sík lemez esetében a saját síkjában fekvő, de kerületén kívül eső pontba (479) való átmenetkor végeztetnék.

Így midőn az m intenzitású északi sark a déli felülettől, mely őt vonzza és melyben a potenciál $-2\pi j$, átvitetik a

lemez meghosszabbításába, hol a potenciál zérus, $2\pi jm$ munka kívántatik meg; hogy azután innét átvitessék az északi felületre, mely taszítja és a melyen a potenciál $+2\pi j$, ismét ugyanannyi munka kívántatik meg: úgy, hogy eme sarknak az első felületről a másikra való átvitele egészben véve $4\pi jm$ munkát kíván meg.

481. Ha pedig a sarkot tartanók fogva és a lemez volna mozgékony, ez utóbbi addig fordulna, míg az előbbi felé ellenkező felületét fordítaná, és az érintkezésig közelednék hozzá.

A 480. pont (4) képletben előforduló $m\omega$ szorzat az m pontból kiinduló s a lemezen áthatoló teljes \mathcal{G} erő-áramlást (340) jelenti; feltéve, hogy az ezen pontból létesített mágnesi tér a lemez negatív oldala felé irányított,

$$m\omega = -\mathcal{G}$$

tehát s (4) a következőleg alakul:

$$E = -\mathcal{G}j, \quad (5)$$

mely azt fejezi ki, hogy a mágnesi lemez potenciális energiája az intenzitásából és a rajta átmenő erő-áramlásnak szorzatából van megadva. Ez a tétel, melyet itt csak egy különös esetre állapítottunk meg, általánosan érvényes.

482. Legyen adva két mágnesi lemez, melyek intenzitásai j és j' ; ha az elsőből kiáramló teljes erő-áramlás, \mathcal{G} a másodiknak a negatív oldalán átmegy, ez utóbbinak energiája $-\mathcal{G}j'$; hasonlóképen az elsőnek energiája $-\mathcal{G}'j$, ha \mathcal{G}' a rajta átmenő, a másodikból kiinduló erő-áramlást jelenti. Minthogy ez a két mennyiség együttvéve kifejezi a mágnesi erők munkáját, mialatt a két lemez egymástól a végtelenig eltávolodik, egymás között egyenlők lesznek, vagyis

$$\mathcal{G}j' = \mathcal{G}'j$$

miből

$$\frac{\mathcal{G}}{j} = \frac{\mathcal{G}'}{j'} = \mathbf{M},$$

s így egy lemeznek a másikra vonatkozó helyzeti energiája:

$$E = -\mathcal{G}j' = -\mathcal{G}'j = \mathbf{M}jj'$$

hol M egy a rendszer geometriai viszonyaitól, vagyis körvonalak alakjától és viszonyos helyzetétől függő állandót jelent s a két lemez kölcsönös indukció-együtthatójának nevezik.

483. A kör alakú lemez potenciáljának (3) alatti kifejezéséből és a **473.** p. (7) képletének alkalmazásával most le fogjuk vezetni a P pontban (714. ábra, 458. lap) és az OP irányban ható mágnesi erőt.

E végből tekintsünk egy második P' pontot, mely O -tól és A -tól r' , illetőleg l' távolságban van, és a melyben a potenciál értéke:

$$\mathcal{V}' = 2\pi j \frac{d' - r'}{d'}.$$

Az erő középértéke ezen pontok között és a PP' irányban:

$$\mathcal{F} = \frac{\mathcal{V} - \mathcal{V}'}{r' - r} = 2\pi j \left[\frac{1}{r' - r} \left(\frac{d - r}{d} - \frac{d' - r'}{d'} \right) \right].$$

A rekesz jelben levő kifejezés, ha közös nevezővel látjuk el, a következő alakot ölti:

$$\frac{dr' - d'r}{dd'(r' - r)} = \frac{d^2 r'^2 - d'^2 r^2}{dd'(dr' + d'r)(r' - r)},$$

és mivel $d^2 = r^2 + R^2$, $d'^2 = r'^2 + R^2$:

$$\frac{R^2(r'^2 - r^2)}{dd'(dr' + d'r)(r' - r)} = \frac{R^2(r' + r)}{dd'(d'r + dr')},$$

és tekintve, hogy $r = r'$ esetében d is $= d'$, úgy:

$$\mathcal{F} = 2\pi j R^2 \lim_{r=r'} \left[\frac{r' + r}{dd'(d'r + dr')} \right] = 2\pi j R^2 \left(\frac{2r}{2d^3 r} \right),$$

$$\mathcal{F} = 2\pi j \frac{R^2}{d^3} \quad (4)$$

\mathcal{F} azt az erőt fejezi ki, melylyel a lemez az δ északi felülete elé P pontba helyezett egységnyi északi sarkra hat. Ha pedig P -ben m intenzitású sark volna, ez a következő hatásnak volna alávetve:

$$\mathcal{F}m = 2\pi j \frac{R^2}{l^3} m,$$

mely hatás vonzó vagy taszító volna a szerint, a mint m a szemközt álló felülettel különnevű vagy egynevű.

Ezt a kis számítást azért végeztük, mert a következőkben (507) fontos alkalmazását fogjuk látni. Megjegyezzük még, hogy midőn a sark P -től a lemez felé közeledik, a mágnesi erő nő, és midőn már az északi felület középpontjába esik, mikor is $l = R$, az

$$\mathcal{F}_m = \frac{2\pi jm}{R}$$

erő hat reá, mely a sarknak és köralakú lemeznek intenzitásával összetett, a sugárral fordított viszonyban van.

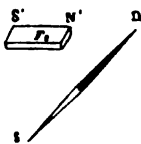
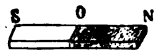
484. Eddigélő feltettük, hogy más mágnesek közelléte nem változtatja meg valamely mágnes mágnesi tulajdonságait: a sarkokat és a mágnesi nyomatékokat s velők a szabad mágnesség elosztását állandóknak tekintettük. Azonban az elektromos megosztás tanulmányozása (311) után jogos a kétség, hogy talán a mágnesség körében is van hasonló tünetény, mely esetben eddigi összes megfontolásainkat módosítanunk kell.

Az elektromos testeknek a természetes állapotban levő testekre irányuló vonzását akként magyaráztuk, hogy felismertük, hogy az utóbbiak az előbbieknél hatására elektromosakká válnak. Ugyanez esik meg a vassal és minden más testtel, melyet a mágnesek vonzanak a nélkül, hogy ő maga is mágnes volna. Vegyünk ugyanis egy vasrudacskát, melyhez a vasreszelék nem tapad, s ezután tegyük egy mágnesnek például északi sarka elé: most már tapad reá a reszelék. Ezenkívül ha valamely sn mágnestűt (715. ábra) helyezünk az SN mágnes megosztásának alávetett $S'N'$ vasrudacska végei közelébe, egyik sarka taszítatik, a másik pedig vonzatik, mint ha a vas olyan szerkezetű mágnes volna, mely az SN mágnes megosztó sarka felé ellenkező nevű sarkot fordít.

A mágnesek megosztásának alávetett vas nem csupán a reszeléket vonzza magához, hanem eltarthat még egy másik

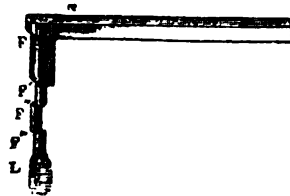
vasrudacskát is, mely maga is mágnessé válván, eltarthat egy harmadikat, és így tovább, miként a 716. ábrán látni.

A mint eltávolítjuk a mágnest, valamennyi vasdarab leesik, de leesik akkor is, ha a mágnest a helyén hagyva, a megosztó



715. ábra.

Mágnesi megosztás.



716. ábra.

sark közelébe egy másik mágnes ellenkező sarkát visszszük, mely a vasban ellenkező mágnességet gerjesztvén, az előbbeni sark hatását lerontja.

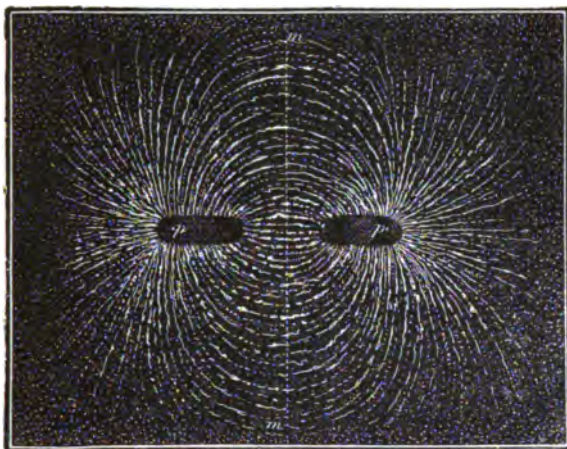
485. Általában valamely vasdarab, mely valamely mágnesi térben fekszik, mágnessé válván a tértől megosztásban, vagy a mint szintén mondjuk, **mágnesi indukcióban** részesül. Minden részecskéje elemi mágnessé (**470**) válik, melynek tengelye az erővonal érintője, vagy a mi ugyanazt mondja, melynek tengelye a mágnesi tér illető pontjában működő mágnesi erők eredőjének irányába esik. De szem előtt kell tartani, hogy ez az eredő, valamint a mágnesi tér minden tulajdonsága, nem csupán csak az indukáló mágnességtől, hanem az indukálttól is függ. Az utóbbinak hatása csak akkor hanyagolható el, ha a megosztásnak alávetett vasdarab igen kicsiny.

486. Ezt előrebecsátva, tegyünk egy mágnesre kártyapapírost s szitáljunk erre vasreszeléket; ez a p és p' sarkokban (717. ábra) összehajló szálakká tömörül össze, melyek a semleges öv környékén ívalakúak. Hogy eme **mágnesi kép** alakulását előmozdítsuk, célszerű a papírost gyengén ütögetni.

Mindegyik vasszemecske indukció révén mágnessé válik:

tengelye a mágnesi eredő irányában helyezkedik el, és a szomszédos szemecskékre hatván, ezeknek szálakká való összefüzdését előmozdítja, mely szálak az erővonalakat követik.

Sőt a mágnesi képek igen kényelmes módot nyújtanak valamely mágnesi tér megvizsgálására. Hasonlítsuk például



717. ábra. Mágnesi kép.

össze a 718. és 719. ábrabeli képeket, s azonnal szembeötlik az erővonalak különböző menete a két esetben: az elsőben az egyik mágnes északi sarkától a másiknak déli sarkához futnak, e sar-



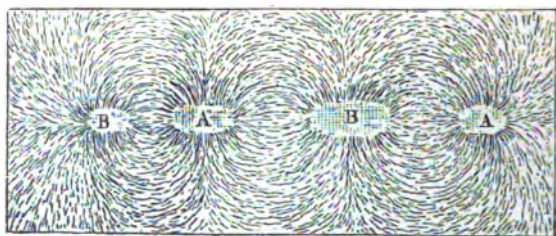
718. ábra.
Erővonalak vonzaskor.



719. ábra.
Erővonalak taszításkor.

kokat mintegy összekötik, s tudjuk, hogy ez esetben vonzás van; a másodikban az egynevű sarkoktól kiinduló erővonalak oldalt térnek, s e sarkok taszítják egymást.

Némelykor egy egyedüli rúd mágnesi képe a 720. ábrabeli alakokat veszi fel. Ez annak a jele, hogy a rúd nincsen szabályosan mágnesezve, mint a hogy mindig feltételeztük, hanem



720. ábra. Szabálytalanul mágnesezett rúd mágnesi képe.

hogy úgy tekinthető, mint több prizmatikus mágnesnek együttesége, melyek *A* és *B*-ben, az úgynevezett **váltó pontokban**, egynevé sarkaikkal érintkeznek.

487. A mágnesi indukció különböző mértékben nyilvánul a különböző vasfajokban; de nem csupán a vas, hanem elmondhatjuk, hogy minden anyag valami módon alá van vetve a mágnesi megosztásnak.

Az acél, az öntött vas, a vasnak oxidjai és minden vegyülete mágnesekké válnak megosztás révén; ezek után következik a nikel, a kobalt, a chróm, a cerium és a mangán. A többi oly gyengén mágneseződik meg, hogy észrevehető hatásokat csak rendkívül intenzív mágnesi terekben árul el, minőket az elektromos áramok létesítenek, miről később **(547)** fogunk szólni. Az ennyire intenzív terekben azután egy anyag sem marad közönbös; de nem mindegyik viseli magát a vas módjára, mert a megosztó mágnes némelyeket vonz, másokat meg taszít.

Tehát minden anyag **mágneses**; a vas módjára viselkedőket FARADAY **paragmágnesi** anyagoknak, a többit pedig, melyek élén a bizmut áll, **diamágnesi** anyagoknak nevezte **(552)**.

488. Az indukált mágnesség részint ideiglenes, vagyis a mágnesező erő megszűntével elenyészik; részint **maradandó**. A *lággyvasban* csaknem teljesen eltűnik, miért is lággyvasból csak *ideiglenes mágnesek* készíthetők.

Ellenben a közönséges vas, a benne levő tisztátalansághoz és keménységének fokához képest, jókora mennyiségű *maradék-mágnességet* tart meg még akkor is, midőn az indukáló mágnesi térből eltávolítjuk. Az aczél, különösen pedig a keményített aczél aránylag nehezen mágneseződik, de felvett mágnességének legnagyobb részét megtartja; belőle készülnek a *maradandó mágnesek*.

A mágnesi merevség (változatlanság) bizonyára határeset: nincs mágnes, mely a mágnesi tér hatása iránt egészen közönbös maradna, hanem időlegesen erősebbé vagy gyengébbé válik a szerint, a mint a megosztással gerjesztett mágnesezés a már meglevővel egyértelmű vagy ellenkező értelmű. Ezt a változékonyságot, miként a **484.** pontig tettük, csak megközelítésképen szabad elhanyagolni, és a midőn aránylag gyenge terekbe helyezett erős mágnesekkel van dolgunk.

Hogy fogalmunk legyen, hogy mennyire bonyolítja a tünevényeket, csak a következő *mágnesi paradoxont* említjük fel. Valamely erős mágnes északi sarka, míg egy gyengén mágnesezett tű északi sarkától bizonyos távolságban van, e sarkot szabályszerűen taszítja, de vonzza, ha igen közel van hozzá, mert ekkor a tűben indukált mágnesség elnyomja a tűnek már meglevő mágnességét.

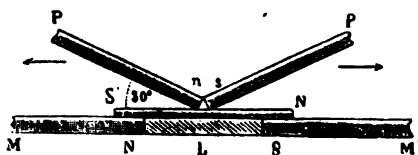
489. Valamely aczéldarab megmágnesezése czéljából elegendő az aczélt egyenletes mágnesi térbe helyezni, és ha rúdról van szó, hosszával a tér irányába fektetni. Így például vaspálczát csak bizonyos ideig az inklinációs tű (**455**) irányában kell tartani, hogy megmágneseződjék, és a Földnek eme hatása magyarázza meg, hogy egész szigorúan véve nincs s olyan vasdarab, mely nem volna mágnesezve. Továbbá az a

megfigyelés tétetett, hogy a mágnesi térben levő fém megrázása, megütése, megrezdítése megkönnyíti a megmágnesezést, mely térnek különben intenzívnek kell lennie, ha azt akarjuk, hogy a mágnes erős legyen.

A következőkben látni fogjuk, hogy az elektromos áram módot nyújt intenzív mágnesi terek létrehozására (535). Mindazonáltal felsoroljuk a mágnesezés szokottabb módjait, melyek abban állanak, hogy az aczelt mágnesekkel dörzsöljük, s így különböző pontjait változó mágnesi tér hatásának egymásután teszszük ki.

Az *egyszerű vonás* módszere szerint valamely mágnes egyik sarkát a rúd egyik végére teszszük s a rúd másik végeig húzzuk, innét leveszzük s innét az első végére teszszük, és így tovább néhányszor ismételjük ezt a rúd valamennyi lapján; azon a végén, melyet a megosztó sark elhagy, ezzel ellenkező nevű (484) sark keletkezik.

Az *elkülönített vonás* abban áll, hogy mindegyik kezünkbe egy-egy mágneset, P és P' -t (721. ábra) veszünk, az ellenkező



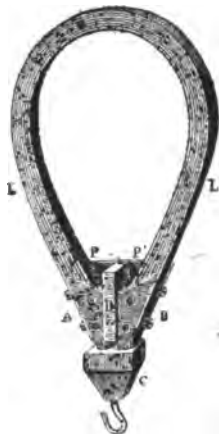
721. ábra. Mesterséges mágnesezés.

nevű n és s sarkokat a rúd közepére teszszük, s ezután egymástól széthúzva a rudon végig húzzuk, a végekről leveszzük, ismét a középre helyezzük s a műveletet ismételjük. A végeken keletkező sarkok itt is ellenkezőek azokkal, melyek őket elhagyják. A mágnesezés intenzitásának fokozására célszerű a végek alá másik két szilárdan álló mágnesnek N és S sarkait akként helyezni, hogy a mozgó sarkok hatását támogassák, miként az ábra világosan előtünteti.

A *kettős vonás* módszere szerint a rudat, miként az előbb, két szilárdon álló mágnes ellenkező sarkaira helyezzük, de a mozgó mágnesek n és s sarkait egy fadarabhoz szorítva tartjuk, s anélkül, hogy őket szétválasztanók, a rudon végig ide-oda húzzuk.

490. A legtöbb esetben a mágnesezés csak a felületi réteget hatja át, mit úgy lehet kimutatni, hogy a mágnest savba teszszük, mely eme réteget leoldván, a rudat mágnességétől megfosztja. Sőt némelykor megesik, hogy az ily módon feltárt belső rétegek ellenkező nevű sarkiaságot árulnak el.

Ez oknál fogva egyenlő súly mellett erősebbek a számos aczél-lemezből álló mágnesek, mely lemezek külön-külön mágneseztetnek meg s ezután **mágneses nyalábbá** egyesítettnek. A 722. ábra egy JAMIN-féle maradandó mágnest tüntet elő, mely patkóalakban összehajtott LL' aczéllemezekből akként van összeállítva, hogy végeik az A , illetőleg B lágyvas-tokokba vannak szorítva, mely tokokat a D sárgaréz-darab tartja össze.



722. ábra.
Jamin-féle mágnes.

491. A patkó-alak azért kényelmes, mert a két sarki felület egymáshoz közel esik, s *horgonyt* lehet rájuk tenni, vagyis egy C lágyvas-darabot, mely megosztás révén a mágnes sarkai-val ellenkező sarkokat nyervén, erősebben tapad oda és nagyobb súlyt tarthat. Nyilvánvaló, hogy valamely mágnes **teherbírása** mágnesezésének intenzitásától függ, de függ még a sarki végeknek és a horgonynak alakjától. Idővel meggyengül, különösen ha a mágnes rázkódásoknak van kitéve, vagy ha hosszabb ideig, bár gyenge, de olyan mágnesi térben fekszik, mely ellenkező mágnesezést indukál benne. Az intenzitás, s ezzel a teherbírás

is, jobban megmarad, ha gondunk van rá, hogy a mágnes saját horgonyával *fegyverezve* maradjon, mert ez esetben olyan rendszert alkot, mely a zárt szolenoidok nyalábjához (471) nagyon hasonlít. Sőt a horgonynak a mágnesre való visszahatása mágnesesítését az idővel fokozza, úgy, hogy egy napig tartó érintkezés után tapasztaljuk, hogy a teherbírás tetemesen fokozódott. De a mint a horgonyt leveszszük, legott alászáll.

492. Annyi bizonyos, hogy ha egy kellőképen keményített, jó acézból való mágnest elkészítése után hosszabb ideig nyugalomban hagyunk s más mágnesektől kellő távolságban tartunk, olyan molekulai szerkezetet vesz fel, mely állandóan megmarad, s ekként módunkban van egymással összehasonlítható mágnesi tereket létesíteni. Mindazonáltal figyelemmel kell lennünk a mérsékletre, mely egyébiránt, ha csak a légköri változásoktól függ, csak mulékony hatással van a mágnesezés intenzitására, úgy, hogy elegendő megközelítéssel használhatjuk a következő képletet:

$$\mathcal{M} = \mathcal{M}_0 (1 - at),$$

hol \mathcal{M} és \mathcal{M}_0 a t° -on, illetőleg 0° -on való mágnesi nyomatok, a pedig az acél minőségétől függő együttható.

Tudjuk már, hogy magasabb mérsékletre nézve e képlet nem állhat meg, mert a mágnesezés maradandóan gyengül s a vörös izzásban egészen eltűnik (549).

493. Mindezekről a jelenségekről azzal a feltevessel adhatunk számot, hogy a mágneses testek részecskéi mind megannyi szabályszerű elemi mágnesek. Midőn a test nincs semmi mágnesező hatásnak alávetve, ezek az elemi mágnesek, teljesen kölcsönös hatásaiknak átengedve, minden lehető módon el vannak helyezkedve, és valószínűleg zárt szolenoidokat (471) alkotnak, úgy, hogy semmi határozott irány sem érvényesül; és ekkor a test semmiféle mágnesi hatást sem mutat, nincs megmágnesezve. De midőn mágnesi térbe kerül, elemi mágne-

seinek tengelyei olyan irányt igyekeznek felvenni, a milyen irányú a mágnesi tér azokban a pontokban, melyekben ezek az elemi mágnesek vannak, mi annál intenzívebb mágnesezést von maga után, mentül inkább engednek eme hatásnak. Erre a fontos tárgyra a XLV. fejezet végén még visszatérünk.

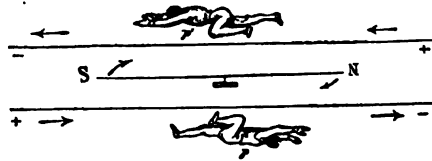
XLV. FEJEZET.

ELEKTROMÁGNESES HATÁSOK.

494. Mágnesi teret a Földön és a mágneseken kívül még az elektromos áram is létesíthet.

Az első ide vonatkozó megfigyelést ROMAGNOSI tette, de mindenki OERSTED nevével kapcsolatban említi, a ki nem mulasztotta el, hogy nyilvánosságra hozza a tőle újra fölfedezett azt a tényt, hogy a mágnesű egy, az elektromos áramtól átfutott drótra merőlegesen elhelyezkedni igyekszik.

Oersted kísérlete könnyen ismételhető. A mágnesi délkör-



723. ábra. Oersted kísérlete.

ben rézdrót (451) van kifeszítve ; egyik végével valamilyen telep egyik sarkához van kapcsolva. A legkevésbé sem téríti a közepében levő mágnesűt mindaddig, míg az áramkör nyitva van, mert a réz mágnesi tulajdonságai igen gyengék, de legott kitéríti a mágnesi délkörből, mihelyest vele az áramkört zárjuk, és a kitérés mindaddig tart, míg az áram átfutja.

A tű északi sarka a megszemélyített áram balkeze felé tér ki, vagyis a balkeze felé azon megfigyelőnek, ki az áram mentén úszva a tűre néz (723. ábra).

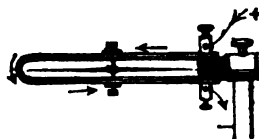
495. Ha a drót a tű fölött a mágnesi délkörre merőlegesen van kifeszítve, és ha benne az áram nyugatról kelet felé, azaz úgy kering, hogy az északi sark a balkeze felé esik, a tű megtartja természetes helyzetét, azaz nem mozdul ki a mágnesi délkörből.

Ez a kísérlet a megelőzővel egyetemben arról tanuskodik, hogy *a tű mindegyik sarkát érő hatás merőleges az áram irányára.*

496. De ha a tű felé fordított drót, mely ez esetben szigetelő réteggel van bevonva, össze van hajtva, semmi kitérés sem mutatkozik; nem mutatkozik még akkor sem, ha ágainak egyike



724. ábra.



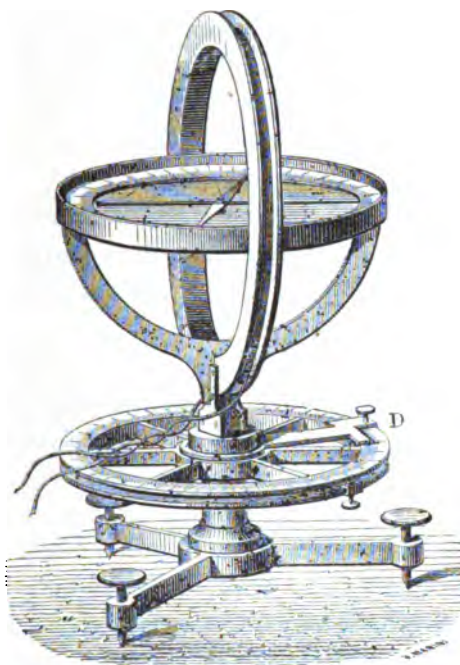
725. ábra.

Elektromos áram hatása a mágnesűre.

a helyett, hogy a másikkal párhuzamos volna, ennek közelében görbületekkel fut végig (724. ábra); ebből következik, hogy a drót minden egyes kicsiny darabjának mágnesi hatása egyértékű azzal a hatással, melyet adott irányban való vetülete (I, 40) létesítene. Hallgatagon fel van tételezve, hogy a mágnesű a görbületek síkjában van s hogy e görbületek nem nagyok.

Ha azonban a visszatérő drót a tű ellenkező oldalán fekszik, úgy, hogy az egész drót a tűt körül fogja (725. ábra), a **494.** pontbeli szabályból következik, hogy mind a két ág egyazon hatás létesítésére működik közre, és a kísérlet ezt be is igazolja, mert a kitérés nagyobb, mint a midőn csak egy ág hat.

497. Ezt előrebocsátva lássuk a 726. ábrabeli készüléket, melyet használatának módja szerint majd **sinus-galvanométer**-nek, majd **tangens-galvanométer**nek nevezünk. Ez függélyes tengely körül forgatható gyűrű-alakú keretből áll, melynek középpontjában egy igen rövid mágnesű van elhelyezve; e tü mind a két végén észre nem vehető mágnességű anyagból



726. Ábra. Galvanométer.

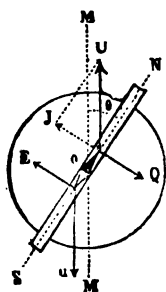
készült mutatókkal van meghosszabbítva, hogy a beosztott vízszintes körön leolvasható kitérések tágasabbak legyenek.

A függélyes tengely körül forgatható keret szögmenti elmozdulásai az alsó körnek beosztásán olvashatók le; e kör fölött a *D* alhidáda fut.

498. Először is állítsuk be a keretet a mágnesi délkörbe,

azaz forgassuk addig, míg a tű a keret síkjában marad, mikor is a felső kör zérus-osztáspontjára mutat.

Vegyünk selyemmel, kaucsukkal, vagy kellőképen szigetelő más anyaggal bevont hosszú drótot, s tekerjük egyszer a keret körül, fölös részeit pedig fonjuk össze, hogy ne létesítsenek semmi hatást a tűre (496) még akkor sem, ha áram kering bennük. Zárjunk ezzel a dróttal valamely telepet: a tű, északi sarkával a megszemélyesített áram balkeze felé (494), legott kitér. Ezután a keretet forgatva kövessük a tűt, és ekkor azt fogjuk találni, hogy a tű bizonyos állásban, mely a mágnesi délkörrel ϑ szöget zár be, az áram és a Föld egyesült hatása alatt ismét a felső kör zérus-pontjára mutat.



727. ábra. Az áram hatása a mágnesűtűre.

Legyen MM' (727. ábra) a mágnesi délkör iránya, SN pedig a keretnek és egyúttal a tűnek iránya, mely a délkörrel ϑ szöget zár be.

Mindegyik sark két erőnek van alávetve: az áramtól származónak, mely merőleges (492) SN -re s melyet Q -val fogunk jelölni, azután a Földtől származónak, mely párhuzamos a mágnesi délkörrel s melyet U -val fogunk jelölni. Bontsuk szét ez utóbbit két összetevőre: egyre, mely SN -nel párhuzamos és egyensúlyozva van, mert az O forgástengely szilárd, és egy másodikra, I -re, mely merőleges SN -re és Q -val ellenkező. Hogy egyensúly fennálljon, kell hogy

$$I = Q$$

legyen.

De $I = U \sin \vartheta$, és ha m a mágnessark intenzitása és H a földmágnesi tér vízszintes összetevője (467), úgy $U = Hm$. Hogy tehát a tű megmaradjon a keret síkjában, mely a mágnesi délkörrel ϑ szöget zár be, az áramnak mindegyik sarkra ható Q kitérítő ereje a következő feltételnek tartozik elegend tenni:

$$Q = Hm \sin \vartheta. \quad (1)$$

499. Vizsgáljuk most meg, mi módon függ ez a Q erő a mágnessark m intenzitásától, a köráram sugarától és a drót tekervényeknek a kereten való számától.

1. Cseréljük fel a készülék tűjét egy másik tűvel, a többit hagyjuk úgy, a mint van: az egyensúly a legkevésbé sincs megzavarva, mert a ϑ szög épen nem változik; ha tehát az új tű sarkainak intenzitása m' , az új erő pedig, melylyel az áram rájuk hat Q' , úgy a következő egyenletnek kell állania:

$$Q' = Hm' \sin \vartheta,$$

Innét kitűnik, hogy az áram hatása arányos a mágnessark intenzitásával.

2. Ha az eddigelé használt R sugarú keretet egy másik, R' sugarú kerettel helyettesítjük és a drótot e körül is csak egyszer vezetjük körül, azt találjuk, hogy a keretet egy másik, ϑ' helyzetbe kell állítani, ha azt akarjuk, hogy a tű a síkjában maradjon. Ha a tű igen rövid a keret átmérőjéhez képest, úgy, hogy mind a két sarkát az áram minden pontjától egyenlő távolságban levőnek tekinthessük, a kísérlet azt mutatja, hogy egyensúlykor a következő feltételnek kell állania:

$$R' \sin \vartheta' = R \sin \vartheta.$$

Ennélfogva a köráram a középpontjában levő sarkra

$$Q' = Hm \sin \vartheta' = Hm \frac{R}{R'} \sin \vartheta$$

erővel hat, mely fordított viszonyban van a sugárral, miként ez kitűnik, ha ezen egyenletet az (1) egyenletnek megfelelő tagjaival elosztjuk.

3. Ha ezután a drótot kétszer vezetjük körül, az áram hatása megkétszereződik, s általában arányos a drótnak a tű körül való tekervényei n számával.

Ennélfogva n egyenlő áram $F = nQ$ erővel hat, mely n -szerese az egyes áram Q erejének. Ha már most a telep al-

kalmas megválasztásával azt találjuk, hogy egy egyedül való áram ugyanezzel az F erővel hat, jogosan feltehetjük, hogy az előbbeni n számú áram mindegyikénél n -szerte erősebb.

Mondhatjuk tehát, hogy *az áram a saját intenzitásával (i) arányosan hat valamely mágnessarkra.*

Ezt a három törvényt a következő képlettel fejezhetjük ki:

$$F = h \frac{mi}{R}, \quad (2)$$

hol h állandó együttható.

500. Legyen F az egész $2\pi R$ hosszúságú köralakú áram hatása a kör középpontjában levő mágnessarkra; belátjuk azonnal, hogy ugyanezen kör s elemének hatása

$$F \frac{s}{2\pi R} = \frac{h}{2\pi} \frac{mi}{R^2} s$$

fog lenni, mert hiszen a köráram egyes elemei nyilván egyenlően hatnak a mágnessarokra.

Látjuk tehát, hogy a mágnessarkhoz húzott egyenesre merőleges áramelem hatása merőleges a rajta és a sarkon átmenő síkra, fordítva arányos távolságuk második hatványával, arányos az áramelem hosszával, a sark erősségével s az áram intenzitásával.

Ha az áramelem nem merőleges a sarkhoz húzott egyenesre, akkor a **496.** pontban tett megfigyelés értelmében az elemet keresztülmenő, az összekötő egyenesre merőleges síkra kell az elemet vetíteni; ha γ az áramelem s a sarkhoz húzott egyenes közé fogott szög, ez a vetület $s \cdot \sin \gamma$ s így az **áramelem elektromágnesi hatásának alaptörvényét** a következő képlet fejezi ki:

$$F_s = \frac{h}{2\pi} \frac{mi}{R^2} s \sin \gamma. \quad (3)$$

Ez *Biot-Savart* törvénye.

Megjegyezzük még, hogy míg az áramelem hatása a mágnessarkra a távolság négyzetével fordítva arányos, addig a vég-

telen hosszú egyenes áram hatása a távolsággal egyszerűen fordítva arányos.

Ez (3)-ból mennyiségtani úton kimutatható és kísérletileg is igazoltatott.

501. Az áram abszolút *C. G. S.* egységét elektromágnesi mértékben akként állapítjuk meg, hogy az elektromágnesi hatás alaptörvényét kifejező (3) képletben $\frac{h}{2\pi} = 1$ tételik, a miből

$$h = 2\pi.$$

Ezt a képletbe bevívén :

$$F = 2\pi \frac{mi}{R}. \quad (4)$$

Ha már most $i = 1$, $m = 1$ és $R = 1$ tételik, világos, hogy ezzel az az áram fogadtatott el egységül, mely 1 cm sugarú körben keringvén, a középpontban levő egységnyi mágnessarkra 2π din erőt fejt ki.

Másrészt **483.** pontban láttuk, hogy j intenzitású, köralakú mágnesi lemez az ő egyik lapjának középpontjába helyezett m sarkra akkora erővel hat, mely a (4) képletbelitől csakis az állandó együtthatóban különbözik.

Miként ebben a különös esetben, úgy általánosan is kimutatható, hogy valamely áramnak egy sarkra ható mágnesi ereje arányos azon erővel, melylyel ugyanezen sarkra az a mágnesi lemez hatna, melynek határvonala megegyezik az áramvezetőt alkotó görbével.

Megjegyezzük még, hogy a **478. p.** (2) képlete szerint az áram intenzitása ekként fejezhető ki :

$$i = \frac{m_1 l}{\pi R^2}, \quad (5)$$

mondhatjuk tehát, hogy az abszolút elektromágnesi egységgel azon áram egyenlő, mely $\pi R^2 = 1$ területű körben keringve egyértékű azon lemezzel, melynek mágnesi nyomatéka $m_1 l = 1$.

Azonban bizonyos megállapodásoknál fogva, melyekre később (575) még visszatérünk, az elektrikusok kongresszusa *gyakorlati egységül* az előbbeni egység tized részének elfogadását ajánlotta, s ezt az egységet **ampère** névvel ruházta fel; ennél fogva *10 ampère egyenértékű az abszolút C. G. S. egységgel.*

502. Az áramok mérésére közönségesen használt műszereket árammérőknek vagy galvanométereknek nevezzük.

Térjünk vissza a 726. ábrában előtüntetett műszerre, s lássuk, hogy miként kell ezt sinus-galvanométer gyanánt használni. Tekerjük fel n -szer az áramvezetőt az R sugarú keretre, zárjuk a telep áramkörét s adjuk meg a keretnek a megkívántató állást, hogy a tű a keret síkjában maradjon (727. ábra). Ha az áram intenzitása i , az n menetnek a kör középpontjában ható mágnesi ereje (501):

$$\frac{2\pi n i m}{R},$$

mely erővel a Föld mágnes hatásának a 498. p. (1) képletében kifejezett összetevője tart egyensúlyt, minél fogva:

$$\frac{2\pi n i m}{R} = H m \sin \vartheta,$$

és innét:

$$i = \frac{HR}{2\pi n} \sin \vartheta. \quad (1)$$

503. Az áram mérése hamarosabban vihető ki, ha ugyanezt az eszközt **tangens-galvanométerül** használjuk, mert a keretet meghagyjuk a mágnesi délkörben, és a felső vízszintes körön azt az α szöget olvassuk le, melylyel a tű az áram hatása miatt kitérve marad. Ha ez a szög légfeljebb 30 fok körül jár és a tű rövid, az áram intenzitása elegendő megközelítéssel arányos α tangensével.

Hogy ugyanis az egyensúly létrejöjjön, kell hogy a földi

vízszintes összetevőnek, U -nak (728. ábra), és a Q erőnek a tűre merőleges összetevői egyenlők legyenek, vagyis kell hogy

$$I = K,$$

vagyis hogy

$$U \sin \alpha = Q \cos \alpha$$

legyen. Azonban

$$U = Hm,$$

és ha elhanyagoljuk a sarknak az R sugarú köráram meneteinek síkjából való eltávolodását, úgy (507):

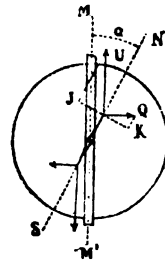
$$Q = 2\pi n \frac{im}{R}. \quad (2)$$

Helyettesítés után tehát:

$$H \sin \alpha = \frac{2\pi}{R} ni \cos \alpha,$$

vagy szintén

$$i = \frac{HR}{2\pi n} \operatorname{tg} \alpha. \quad (3)$$



(3). 728. ábra. Az áram hatása a tűre a tangensgalvanométerben.

504. Ez a képlet, valamint az 502. p. (1) képlete, ha

$$\frac{R}{2\pi n} = G \quad (4)$$

téteik, a következő alakokat veszi fel:

$$\left. \begin{aligned} i &= GH \operatorname{tg} \alpha \\ i &= GH \sin \alpha \end{aligned} \right\} \quad (5)$$

hol H a földmágnesi tér vízszintes összetevője és G a galvanométernek úgynevezett **redukáló állandója**, mely csakis a készülék méreteitől függ. Ha csak arról van szó, hogy különböző áramokat egyazon készülékkel hasonlítsunk egymással össze, úgy ezen együtttható értékét nem kell ismernünk. De ha megolvassuk a menetek n számát és gondosan megmérjük a keret R sugarát, nem nehéz ezt az értéket a (4) képlettel kiszámítani.

Ha ekkor még a földmágnesség H vízszintes összetevőjét ismerjük (468), meghatározhatjuk az **áram intenzitását abszolút mértékben**, azaz az 501. pontban meghatározott mér-

tekegységben. És az ekként kapott értékek egymással mind összehasonlíthatók, bármely időben és bármely helyen történt is a meghatározás, és bármilyen galvanométer szolgált erre a célra.

505. A redukáló együtthatónak (4) alatti kifejezését azon feltevással [499, (2)] vezettük le, hogy a tű két sarka közelítőleg a kör középpontjába esik. A tangens-galvanométerre nézve ezen felül még feltettük (503), hogy a tű sarkai nem lépnek ki az áram síkjából. A megközelítés tehát annál jobb, mentül rövidebb a tű, mentül nagyobb az áramkör sugara és mentül kisebbek a kitérései. Csakhogy ekkor a leolvasás meg van nehezítve a sarkoktól leírt ív rövidsége, illetőleg ezen ív csekély fokszáma miatt.

Említettük már (497), hogy a bajon akként segíthetünk, hogy a tűt hosszú mutatóval látjuk el; még sokkal célszerűbb, ha a tűre kis tükröcskét erősítünk: az egészet selyemszála függesztjük fel és megmérjük a szögét azon eltérésnek, melyet egy visszavert fénynyaláb szenved, miként a 30. pontban tanultuk. Ezzel a fogással, nem tekintve, hogy a mérendő szögnél kétszer akkora szöget olvasunk le, olyan helyzetbe jutunk, mintha néhány méternyi hosszú mutatót használnánk, mert ekkora lehet a tükröcske és a skála közötti távolság.

506. A reflexiós vagy tükrös galvanométerek kétféle módon alkalmazhatók: messzelátóval, miként a 30. p. 425. ábrájában látható, vagy pedig akként, hogy egy fényforrás valódi képét a skálára vetítjük, miként a 429. p. 689. ábrájában látható.

Ez utóbbi esetben a tűt homorú tükröcskével látjuk el, vagy pedig a sík tükröcske elé gyűjtő lencsét helyezünk.

A galvanométereknek, alkalmazásuk különböző eseteinek megfelelőleg, számtalan alakot adtak. Érzékenységek annál nagyobb, mentül kisebb a redukáló együtthatójuk; mert ekkor,

miként az (5) alatti képletből kitűnik, adott intenzitásnak nagyobb kitérés felel meg.

Ha azt akarjuk, hogy nagyon erős áramok is csak kicsiny kitéréseket (505) hozzanak létre, kell hogy a redukáló együtt-ható nagy legyen és hogy ennél fogva a drótnak a keret körül kevés menete legyen. Ezen kívül még a tűt a mágnesi délkörben tartó mágnesi tér erejét is fokozhatjuk oly módon, hogy a Föld irányító erejének hatását egy mágnesével öregbítjük, mely mágnest déli sarkával észak felé fordítva, a tű alá helyezzük; továbbá a galvanométeren keresztül, miként látni fogjuk (581) a mérendő áramnak csak egy részét vezethetjük.

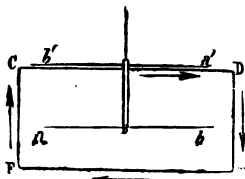
Igen gyenge áramok esetében czélszerűnek látszik, hogy a tekervények n száma nagy legyen; de ez nem mindig áll, mert a mint látni fogjuk, az áram intenzitása az áramkör hosszával csökken (605); különben a kérdés megvitatását későbbre kell hagynunk.

Ez esetben bizonyára helyén való, hogy a mágnesi tér intenzitását csökkentjük, mit úgy érhetünk el, hogy a mágnes északi sarkát észak felé fordítjuk; ilyen mágnest a 429. p. 689. ábrájában M -ben látunk. A mágnest ebben az alkalmazásában *kompenzáló mágnesnek* szokás nevezni. A szerint, a mint ezt a mágnest a tűtől távolabb vagy a tűhöz közelebb helyezzük el, a mágnesi tér intenzitása fokozódik, illetőleg csökken, s ezzel együtt csökken, illetőleg fokozódik a készülék érzékenysége.

507. Ugyanezen czél elérésére egy más fogás alkalmaztatott Nobili galvanométerében, melyben selyemszálon két tűnek *asztatikus rendszere* függ, mely két párhuzamos, de ellenkező állásban összefoglalt tűből áll. Az ab alsó tű (729. ábra) a keret tekervényei között van, míg az $a'b'$ felső tű ezeken kívül marad. Az ábrára tekintve legott látjuk (494), hogy mindegyik tekervénynek CD darabja azon van, hogy az ab és $a'b'$ sarkokat előre mozgássa, mely mozgást az EF darabnak az alsó tűre való hatása még inkább fokozza, a felső tűre való hatása pedig

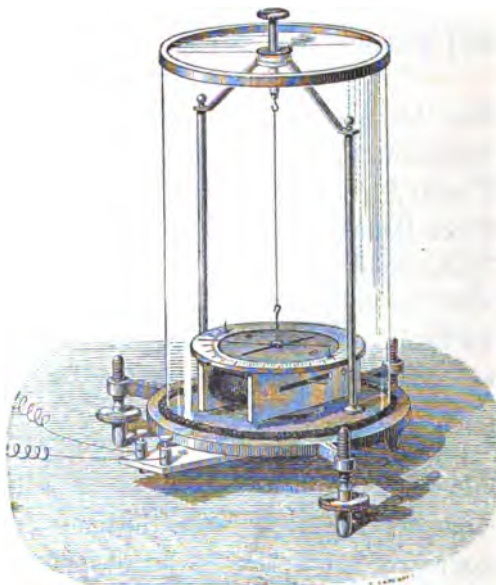
hátráltatja; csakhogy ez utóbbi hatás a nagyobb távolság miatt jóval gyengébb.

Ily módon az áram a rendszerre erősebb eltérítő hatással



729. ábra. Asztatikus tűk.

van, mint a mekkorával csakis egy tűre volna, és ugyanekkor a Föld irányító hatása nagyon meg van gyengítve.



730. ábra. Nobili galvanométere.

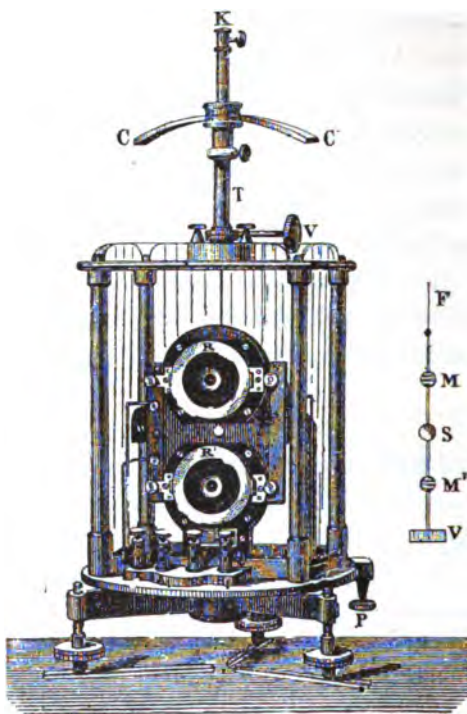
Nobili asztatikus galvanométerét a 730. ábra tünteti elő. Egy selyemgubószál a két tűt tartja; alul a selyemmel szigetelt rézdróttal körülvett keret; a drót végei két csipte-

töbe vannak szorítva. A felső tű beosztott kör fölött mozog, az alsó a tekercsben. Van egy végtelen csavar, mely fogas kerékbe kapaszkodik, hogy a keretet a függélyes irány körül forgassa, hogy a tekervények a tűkkel párhuzamos állásba jussanak. A három csavarmenetű láb, a gomb és az üvegharang nem szorul magyarázatra. Fölösleges mondanunk, hogy a készülék szerkezete nem tűr vasból való alkotó részeket.

Később a tükröcske is alkalmaztatott, és különböző alakokat adtak neki, melyeknek leírására nem terjeszkedünk ki, mert ha kezünkbe kerülnek, mindjárt látjuk, hogy mi módon működnek.

508. Lord Kelvin galvanométerében (731. ábra) az asztalikus rendszert M és M' igen vékonyka mágnesek két csoportja alkotja; egy-egy csoport tűi egyformán vannak irányítva, de a két csoport tűi ellentett irányulag vannak szilárdul összekapcsolva. K -nál megerősített selyemszálon függő vékony pálczika tartja a két mágnescsoportot s közöttük az S tükröcskét; a pálczika végén V csillámlemezke van, mely a lengéseket csillapítja. A mágnescsoportokat R és R' csévék veszik körül, melyeknek drótja A , B és A' , B' drótszorító csavarokhoz van vezetve; ha már most a két tekercsben az áramot ellentett irányulag járattuk, a két mágnescsoport egy irányban tér ki; ha pedig az áramok egy irányban keringenek, hatásaiknak csupán csak különbségét fogja a mágnesek rendszere mérni. Ez okból a készüléket **differentiális galvanométernek** nevezik. A T oszlopon fel-alá csúszthatató és forgatható CC' mágnes nemcsak az érzékenység mérséklésére szolgál, hanem arra is, hogy a tűket a menetek síkjába be lehessen állítani, ha áram még nincsen átvezetve.

Az összes tükrös galvanométerekben a szögmenti kitérések elannyira csekélyek, hogy a tangens helyett bizvást magát az ívet vehetjük, és ekkor az áram intenzitását az **504.** p. (5) képlete helyett a következő egyszerűbb fejezi ki:



731. ábra. Lord Kelvin galvanométere.

$$i = GH a, \quad (1)$$

hol $G = \frac{R}{2\pi n}$ az ismeretes redukáló együttható.

509. Eddigélé azt az esetet tekintettük, melyben a galvanométert állandó áram futja át, mely a tű mindegyik sarkára állandóan az

$$F = 2\pi n \frac{im}{R}$$

erővel (501) hat, melynél fogva az l hosszúságú és $\mathcal{M} = ml$ mágnesi nyomatékú tű, midőn az árammal párhuzamos, ettől a következő forgató nyomatékot nyeri:

$$Fl = \frac{2\pi n \mathcal{N}}{R}.$$

Tegyük most fel, hogy a tűnek zéruson való, azaz a tekervényekkel párhuzamos állásakor a galvanométerbe egy i intenzitású, de oly rövid t tartamú áramot szökkentünk, hogy a tűnek nincs elegendő ideje, hogy ezen áram tartama alatt észrevehetőleg kitérjen; lássuk tehát, hogy mely pontig fog kitérni az Flt lökő (impulzív) nyomaték hatására.

E végből felállítjuk a következő egyenletet (I, 119):

$$Flt = \mu\omega,$$

melyben ω azt a szögsebességet jelenti, melyre a tű a t idő lefolyása alatt szert tesz, μ pedig a tű tehetetlenségi nyomatéka. Ez egyenletnél fogva

$$\omega = \frac{2\pi n \mathcal{N} i t}{R\mu}. \quad (3)$$

Ezután megjegyezzük, hogy az a $\frac{\mu\omega^2}{2}$ eleven erő, melyre a tű ekként szert tesz, egészen a Föld irányító hatásának legyőzésére fordítatik, mely hatás mindegyik sarkra tényleg O -tól $Hm \sin a$ -ig változik, de az olyan csekély kitérésekre nézve, mint a minők most szóban forognak, feltehető, hogy közelítőleg O -tól Hma -ig terjed; ennélfogva a türe $H\mathcal{N}a$ forgató nyomatékkal hat, és a munkát, melyet a tű O -tól a -ig való elmozdulásakor végez, meghatározza azon háromszög területe (I, 157), melynek alapja $H\mathcal{N}a$, magassága pedig a , vagyis meghatározza

$$\frac{H\mathcal{N}a^2}{2}.$$

Ha tehát az elfogyasztott eleven erőt a végzett munkával egyenlővé tesszük, úgy (I, 119):

$$\frac{\mu\omega^2}{2} = \frac{H\mathcal{N}a^2}{2}, \quad (4)$$

vagy (3) révén:

$$\frac{4\pi^2 n^2 \mathcal{N}^2 i^2 t^2}{R^2 \mu} = Ha^2,$$

honnét

$$it = \frac{Ra}{2\pi n} \sqrt{\frac{H\mu}{\mathcal{H}\mathcal{C}}}$$

Mivel továbbá a csakis a vízszintes összetevő hatásának alávetett tű τ lengés ideje (459)

$$\tau = \pi \sqrt{\frac{\mu}{U_l}} = \pi \sqrt{\frac{\mu}{H\mathcal{H}\mathcal{C}}} = \frac{\pi}{H} \sqrt{\frac{\mu H}{\mathcal{H}\mathcal{C}}},$$

azért, az 504. p. (4) képletének figyelembe vételével:

$$it = \frac{RH}{2\pi^2 n} \tau a = \frac{GH\tau a}{\pi}, \quad (5)$$

mely egyenlet meghatározza a zéruson álló tűnek az igen rövid t ideig ható i áramtól előidézett a impulzív kitérését, feltéve, hogy ismerjük a csupán csak a H vízszintes összetevő hatására lengő tűnek τ lengésidejét és a galvanométer G redukáló együtt-hatóját. Az ilyen használatra szánt galvanométernek úgy kell berendezve lennie, hogy tüje lehetőleg lassan lengjen és lassan csillapodjék; neve ez esetben **ballisztikus galvanométer**.

510. Tegyük most fel, hogy az i intenzitású áramra egy igen rövid t_1 ideig tartó i_1 áram következik, erre ismét egy t_2 tartamú i_2 áram, és így tovább. Mindezekre az áramokra nézve áll a (3) alatti képlet, ha tartamuknak $t + t_1 + t_2 + \dots$ összege olyan kicsinynek vehető, hogy feltehető, hogy mindannyian abban az időben hatnak a tűre, míg nyugalmi helyzetét észre-vehetőleg még nem hagyta el.

A tűnek eme közvetlen egymásután következő áramok hatásától nyert szögsebessége tehát:

$$\Omega = \frac{2\pi n \mathcal{H}\mathcal{C}}{R_i \mu} (it + i_1 t_1 + i_2 t_2 + \dots)$$

vagy ha

$$it + i_1 t_1 + i_2 t_2 + \dots = \Phi \quad (6)$$

tételek:

$$\Omega = \frac{2\pi n \mathcal{H}\mathcal{C}}{R_i \mu} \Phi;$$

és a legnagyobb ϑ kitérést nyerjük, ha, miként az előbb (4) alatt, az eleven erőt egyenlővé tesszük a földi mágnesség ellenében végzett munkával:

$$\mu Q^2 = H \mathcal{N} \delta^2,$$

honnét, miként az előbb (5) alatt:

$$\phi = \frac{GH\tau}{\pi} \vartheta. \quad (7)$$

De a szóban forgó egymás után következő áramok összessége nyilván egyenértékű egy változó intenzitású és a tű lengés-idejéhez képest igen rövid tartamú árammal, a milyen volna például azon áram, mely egy drótban kering, melyen át egy leydeni palaczkot sütünk ki. Látjuk tehát, hogy a galvanométer módot nyújt az illetén mulékony áramokra vonatkozó ϕ mennyiségnek megmérésére.

511. E végből gondoskodnunk kell, hogy a drót guttapercha-burkolattal legyen elszigetelve; egyik végét egy sűrítő külső fegyverzetével és a földdel kötjük össze, másik végét pedig fémgolyócskával és szigetelő markolattal látjuk el, és ennek segítségével a sűrítő belső fegyverzetét érintjük.

Ha a sűrítőt különböző töltésekkel látjuk el vagy pedig különböző számú egyenlő palaczkból állítjuk össze, mindig azt fogjuk tapasztalni, hogy a tűnek ϑ kitérései arányosak a Q töltéssel. De (7) szerint a ϑ kitérés arányos ϕ -vel. Ebből tehát következtetjük, hogy a

$$\phi = it + i_1 t_1 + i_2 t_2 + \dots$$

kifejezés arányos a dróton átmenő Q elektromosság-mennyiséggel; írhatjuk tehát, hogy

$$Q = c\phi. \quad (8)$$

512. Hasonlóképen írhatjuk az első i áramra nézve, mely a t időn átáramló q elektromosság-mennyiségtől származik:

$$\epsilon = it \text{ és } q = c\epsilon.$$

Kimutattuk tehát, hogy:

$$it = \frac{1}{c} q,$$

honnét

$$i = \frac{1}{c} \frac{q}{t}; \quad (9)$$

látjuk tehát, hogy az áram intenzitása arányos a dróton az időegységen átmenő $\frac{q}{t}$ elektromosság-mennyiséggel.

513. A c arányossági tényező nyilván a választott mértékegységektől függ. Az időre, a hosszra és a tömegre nézve, miként eddig (I, 79), a másodpercet, a centimétert és a grammot fogjuk elfogadni. Ha ezen felül az elektromosság mennyiségének egységeül a **327.** pontban meghatározott egységet fogadjuk el, melynél fogva két egyenlő és egymástól r távolságban levő q elektromosság-mennyiség levegőben való taszításának COULOMB-féle törvénye az

$$F = \frac{q^2}{r^2} \quad (10)$$

alakot ölti, és ha végre az i intenzitásnak **501.** pontbeli, az áram mágnesi hatására alapított és az

$$i = \frac{FR}{2\pi m} = \frac{\mathcal{M}}{\pi R^2} \quad (11)$$

képlettel kifejezett meghatározásához ragaszkodunk: a c együtthatónak az egységtől különböző értéke van, mely különböző módszerek segítségével határozott meg.

Hogy erről fogalmat szerezzünk, tegyük fel, hogy egy S sugarú vezető gömb el van szigetelve s minden más testtől távol van, úgy, hogy kapacitásának (**348**) mértéke S . Töltsük ezt a gömböt mindaddig, míg az elektrométer segítségével abszolút mértékben meghatározott V potenciálra nem emelkedik. Ekkor Q elektromosság-mennyiséget közöltünk vele, melyet egy galvanométer drótján keresztül kisütvén, a galvanométerben θ impulzív kitérést létesít, mely a (7) képlet segítségével ϕ értékét, ezután a (8) képlettel c értékét szolgáltatja.

A valóságban az ilyes mérés kivitele nem olyan egyszerű, de ez az elve. Ily módon találtatott, hogy körülbelül

$$c = 3 \times 10^{10}.$$

Ha megváltoztatjuk a három alapegységet, megváltozik ez az érték is; nevezetesen azt találjuk, hogy független a tömeg-egységtől, és hogy az idő egységével egyenes, a hossz egységével pedig fordított viszonyban van, mintha valamely sebesség forogna szóban,* és ezen felül a másodpercenkénti 3×10^{10} ccentiméter érték közelítőleg megegyezik a fénysebesség (156) értékével.

Ezt az együtthatót WEBER **válságos sebesség**nek nevezte

514. Azonban a töltés egységének és az áram egységének megválasztása tetszésünktől függ. Így például mi sem gátolhat abban, hogy az áramnak (11) képlettel meghatározott egységét megtartván, az elektromosság egységét akként választjuk, hogy a c együttható (9)-ben az egységgel egyenlővé váljék. Jelöljük e -vel azt a számot, mely ezzel az új egységgel ugyanazt a töltést fejezi ki, mely az előbb q -val volt kifejezve, és a (9) alatti képlet a következővé válik:

$$i = \frac{e}{t},$$

az áram intenzitását tehát azon elektromosság-mennyiség fejezi ki, mely a vezetón az időegységben átömlik.

Ily módon e és i valamely elektromosság-mennyiséget illetőleg az áramerősséget az úgynevezett **elektromágnesi mérték rendszerben** fejezi ki, mely rendszer azon a megállapodáson alapszik, hogy COULOMB-nak a mágnesi hatásokra vonatkozó

* Hogy c valamely r távolságnak első hatványa és az időnek —1-dik hatványa, ez legott kitűnik (9)-ből, ha ebbe q -nak (10)-ből és i -nek (11)-ből vett értékét helyettesítjük, i -nek értékébe azonban előbb

az $m = r \sqrt{F}$ (464) helyettesítés teendő; ekkor $c = \frac{2\pi r}{t}$.

képletében (463) az együtthatót az egységgel egyenlővé tesszük, és valamely áram intenzitását ugyanazzal a számmal fejezzük ki, mely az egyenértékű mágnesi lemez (501) intenzitását fejezi ki.

515. De változatlanul megtarthatnók az elektromosság mennyiségének a (10) alatti képletből származó egységét is, mely képlet nem egyéb COULOMB-nak az elektromos hatásokra vonatkozó képleténél, minthogy ebben az arányosság együtthatója (327) az egységgel egyenlővé tétetett; és megváltoztathatnók az áram egységét oly módon, hogy az *egységnyi* erősségű áramot ennek az elektromosság-egységnek az időegységben való áramlása hozná létre, vagy a mi egyre megy, az áram egysége akként volna megválasztható, hogy a c együttható ismét az egységgel egyenlővé váljék. Az ekként megállapított **elektrosztatikai mértékrendszerben** jelöljük i' -vel azt a számot, mely az előbbeni áramot fejezi ki, és a (9) alatti képlet a következővé válik:

$$i' = \frac{q}{t}.$$

Nem forog fenn semmi elméleti ok, hogy inkább az egyik mint a másik mértékrendszert fogadjuk el, de a gyakorlati kényelem szempontjából az elektromágnesi rendszer alkalmasabbnak mutatkozik, minélfogva ezentúl mi is ezt fogjuk használni.

Ebben a rendszerben az áramintenzitás méretei az **513. p.** (11) és a **464. p.** (2) képlete szerint a következők:

$$\begin{aligned} i &= [LF] : [m] = [LF] : [LF^{1/2}] = \\ &= F^{1/2} = L^{1/2} T^{-1} M^{1/2} \end{aligned} \quad (12)$$

516. A q és e számok, melyek ugyanazt az elektromosság-mennyiséget elektrosztatikai, illetőleg elektromágnesi egységekben fejezik ki, a következőleg függnek össze:

$$q = ce;$$

az i' és i számok pedig, melyek ugyanazt az áramintenzitást a kétféle mértékrendszerben fejezik ki, a hasonló

$$i' = ci$$

összefüggésben vannak.

Ebből következik, hogy az elektromágnesi egységgel kifejezett töltés ($e = 1$), c elektrosztatikai egységgel volna kifejezve.

Láttuk, hogy c valamelyes sebességgel homogén mennyiség (513), sőt valószínűleg ugyanaz a sebesség, a melylyel a fény terjed.

Ez a megegyezés, úgy látszik korántsem véletlen, hanem inkább valamely természettörvény, mely törvény az elektromágnesi és a fénytűnemények közötti egyéb összefüggésekkel egyetemben oly elmélet felállítására adott indítékot, mely szerint a sugárzó energia elektromágnesi tűnemény lenne.

Azoknak, kiknek nehezökre esik megérteniök, hogy egyazon mennyiség kétféle mértékegységének viszonya miként lehet valamelyes sebesség, szolgáljon felvilágosításul a következő példa.

A Turin és Velence közötti vasutmenti távolság 415 km; de mondhatjuk azt is, hogy 10 óra.

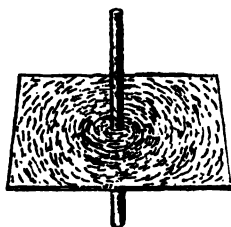
Az első esetben mértékegységül a kilométert, az utóbbiban pedig az órát vettük.

Az egyazon távolságot kifejező két szám közötti viszony sebességnek mértékszámára; és $415:10$ a Turin és Velence között közlekedő vonatnak középsebessége.

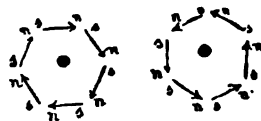
517. Eme kitérés után térjünk vissza az áramtól létesített mágnesi tér tanulmányozásához. Megvizsgálására vasreszeléket használhatunk, mely egyenes vonalú áram esetében az áramra merőleges kártyalapon körökben helyezkedik el (732. ábra). A tér erővonalai tehát körök, melyeknek középpontja az áramon van, s a melyek az áramra merőleges síkban fekszenek; ennél fogva az egypotenciálú felületek, melyeknek eme vonalakra

merőlegeseknek kell lenniök (473), az áramon át fektetett síkok lesznek.

Valamely adott pontbeli mágnesi erő tehát merőleges az ezen a ponton és az áramon át vetett síkra, miként már másutt (495) láttuk; és megengítjük, hogy az áramtól balra irányul, úgy, hogy az egyes vasrészecskékben gerjesztett sarkiaság olyan, minő a 733. ábrákban van előtüntetve, melyek-



732. ábra. Erővonalak egyenes áram körül.



733. ábra. A mágnesi erő iránya.

ben a fekete pont a lapnak az árammal való átmetszetét tünteti elő. Ha az áram alulról lép ki, a megfigyelőnek a papiroson állva kell magát képzelnie, s balkeze felé fog lenni a vele szemközt levő vasszemecskének északi sarka.

518. Ebből következik, hogy az óramutató irányában keringő köralakú áram (734. ábra) olyan mágnesi tért létesít, mely a kör belső pontjaira nézve az olvasótól a papiros felé irányul, külső pontjaira nézve pedig a papirostól az olvasó felé irányul,



734. ábra.

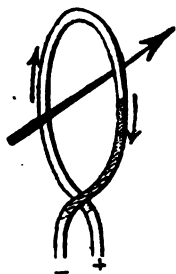


735. ábra.

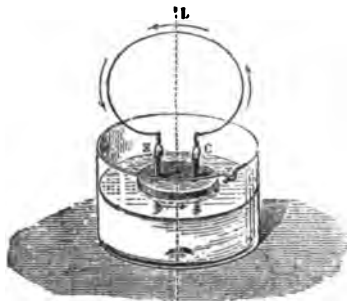
Mágnesi terek.

úgy, hogy valamely északi sark arra volna készítetve, hogy a kerület körül akként forogjon, hogy a papirosba a belső pontokon át hatoljon. Az olvasó felé fordított rész tehát megfelel az árammal egyenértékű lemez déli lapjának. Ellenben a 735. ábra

esetében, hol is az áram ellenkező irányú, a lemez is meg volna fordítva. Hogy ezekkel az irányokkal még jobban megbarátkozunk, tekintsünk a 736. ábrára is, melyben a nagy nyíl azt az irányt jelöli meg; mely felé valamely északi sark elmozdulni igyekeznék.



736. ábra. Az északi sark elmozdulása.



737. ábra. A hatás és visszahatás az áram és mágnes között.

519. Mint minden hatás (I, 91), úgy az áramnak a mágnesre való hatása is visszahatással, a mágnesnek az áramra való visszahatásával jár. Illeszszünk ugyanis egy parafakorongba egy *Z* cinklemezt (737. ábra) és egy *C* rézlemezt; kössük ezeket össze az *L* rézdróttal, s üsztassuk az egész rendszert megsavanyított vízen. Az áram a cinktől a réz felé megy a folyadékban (430), s innét a dróton át a cinkhez, miként a nyilak mutatják, tehát egyenértékű léssen mágnesi lemezzel, mely északi lapját az olvasó felé fordítja (735. ábra). És valóban, ha eleje tartjuk egy mágnesrúd déli sarkát, ez magához vonzza, ha pedig az északi sarkot fordítjuk feléje, eltávozik. Ha az áramot kezünkkel megfogjuk s beléje dugjuk a rúd északi végét, ezután pedig eleresztjük: az áram hátrál, megfordul, az északi sark felé fordítja hátulsó lapját, azaz déli lapját, ezután előre megy, mignem állékony egyensúlyi helyzetbe jut, mely helyzet a rúdra merőleges és a két sark között a középen van.

520. Mindaz, mit valamely mágnesi lemez potenciáljáról mondtunk (475), szóról szóra alkalmazható a lemezzel egyenértékű (501) áramra.

Valamely P pontban a mágnesi \mathcal{V} potenciált kifejezi az áram intenzitásának szorozmánya kerületének a P pontból látszó ω nagyságával:

$$\mathcal{V} = i\omega,$$

hol ω pozitívnak vétetik (477), ha P pontból az áramot az óramutató járásával ellenkezőleg látjuk keringeni, mikor is úgy áll a dolog, mintha P -ből az egyenértékű lemez északi lapja látszanék.

Egy P' másik pontban, melyből az áram ω' testszög alatt látszik, a potenciál:

$$\mathcal{V}' = i\omega'.$$

Tehát a munka, melyet a mágnesi erők a közben végeznek, hogy a mágnesség egysége P -ből P' -be megy át, következő:

$$\mathcal{V} - \mathcal{V}' = i(\omega - \omega').$$

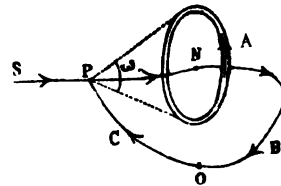
Az a munka pedig, melyet végeznünk kellene, hogy valamely m intenzitású sark az áram taszításával szemben végtelen távolságból a P pontig vitessék, a (480) szerint:

$$E = mi\omega.$$

De itt egy fontos megjegyzést kell tennünk, nevezetesen, hogy ez a munka egyáltalában nem független a befutott úttól. Értéke az úttól függetlenül csak akkor $mi\omega$, midőn nem hatolunk be az áramkörbe; de valahányszor a pozitív (északi) lapról átmegyünk a negatív (déli) lapra, ez a munka $4\pi im$ -mel öregbedik, és ugyanennyivel csökken az ellenkező irányban való átmenetben.

A dolog megértésére folyamodjunk a 738. ábrához, melyben fel van tételezve, hogy az áram pozitív lapja az olvasó balkeze felé van fordítva. Valamely északi sark, mely a baloldal

felől törekszik előre, visszataszítatik, s hogy egyenest P -be vigyük, ehhez $m\omega$ munkának végrehajtása kívántatik meg. Hogy még előbbre vigyük, a végzendő munka nagyobb fog lenni, és $2\pi im$ -mé válik, ha az áram síkjának az áramkörön belül fekvő valamely N pontjába visszszük. Hogy innét, hol is a potenciál $2\pi i$, még tovább jobbra toljuk, le kell győzni a hátulsó lap vonzását, s újra $2\pi im$ munkát kell végeznünk, ha végtelen távolságig akarjuk vinni, vagy, a mi egyre megy, ha az ABO úton át oly pontba akarjuk vinni, melyben a potenciál zérus (480), a minő pont volna például az áram síkjában fekvő, de az áramkörön kívül levő O pont. O -ból C -n át P -ig a végzendő munka ωim .



738. ábra Az áram s a mágnes kölcsönös hatása.

Ennélfogva ha az m sarkot végtelen távolságból balról F -n át N -be visszszük, a megkívántató munka $2\pi im$

N -ből A -n át O -ba $2\pi im$

O -ból C -n át P -be ωim

tehát összesen $\omega im + 4\pi im$,

holott a végtelenből P -be menve, a nélkül hogy az áramtól bekerített felületen át hatolnánk, elegendő az ωim munka.

O -ba érkeve az elfogyasztott munka $4\pi im$. Ha azonban az O -ból P -be való visszamenetkor, a helyett hogy C -n mennénk át, az áramkörön belül mennénk vissza, a hátulsó (—) lap vonzása O -ból B -n és A -n N -be menet $2\pi im$ munkát adna vissza, és N -ből P -be menet az elülső (+) lap taszítása $2\pi im - \omega im$ munkát adna vissza. Ennélfogva az egész nyereség $(4\pi - \omega)mi$ volt volna, melyet a tőlünk végzett $4\pi mi$ munkából kivonva, ωmi munkafogyasztás marad, miként a végtelenből P -be való közvetlen, az áramot körül nem fogó átmenetben.

521. Ha tehát egy északi (+) sark egyedül volna valamely árammal szemben, folytonos forgásra volna készítetve, miközben

a déli (—) lapon lépne be és a másikon lépne ki; n átmenet után a mágnesi erőtől végzett munka $4\pi nmi$ volna.

Egyenletesen mágnesezett hosszú aczéldrót hozzávetőleg szolenoidot (471) alkot, melynek hatása a két egyenlő és ellenkező sark hatására redukálódik, mely sarkok a mondottak szerint arra volnának készítetve, hogy az áram körül ellenkező irányban keringjenek, és az aczéldrót, ha nagyon hajlékony volna, az áramra rátekerődznék.

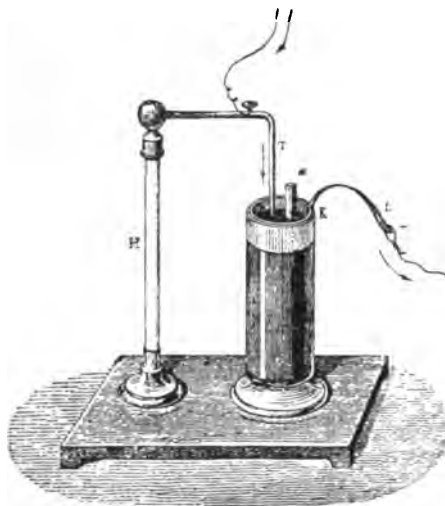
Ha a mágnes és az áram merevek, az előbbent az utóbbi körül forgatván, nem végzünk semmi munkát, mert az áram síkján a mágnes mindkét sarkának át kell mennie, és ennél fogva egyenlő és ellenkező mágnesség-mennyiségek (466) mennek át egyazon irányban és ugyanannyiszor. Ebből következik, hogy ez esetben a munka, melyet végezni kell, hogy a mágnes az áramhoz képest elmozduljon, csakis a kezdeti és a végső helyzettől függ, és független az úttól. Midőn mágnes és áram egymással szemben vannak és szabadon elmozdulhatnak, mozgásuk addig tart, míg viszonylagos egyensúlyi helyzetet vesznek fel, melyet maradandóan megtartanak.

Ha ellenben az áramkör, folyadékokból vagy egymáson elcsúsztatható részekből lévén alkotva, deformálható, úgy folytonos mozgásnak lehetősége forog fenn, mire nézve szolgáljon a következő példa.

A hengeralakú K harangban (739. ábra) higany van, melyben a platínával megterhelt a mágnespálcza úszik; ugyanabba merülnek a T és L áramvezetők. Az áramkör, melyet a higany T és K között zár, s a melyet az áramvezetőkkel összekapcsolt teleppel is zárva kell képzelnünk, az olvasó felé pozitív lapját fordítja, mert egyenértékű egy mágnesi lemez északi lapjával (518); és ha a a mágnes északi (+) sarkát tünteti elő, a mágnes, eltaszítatván, az olvasó felé közeledik s ezután a T áramvezető körül kering; ha ellenben a déli sarkot tüntet elő, a mágnes először is hátrál, hogy azután T és az üvegfal között tovább mozdulva forgását folytassa. Az ehhez megkívántató energiát, miként

látni fogjuk, a telepben végbemenő chemiai folyamatok szolgáltatják.

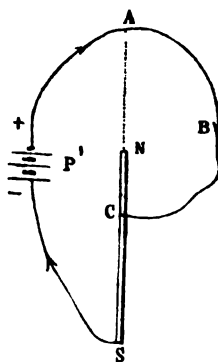
Végrehajtható az ellenkező kísérlet is, ha az áramkörnek *ABC* részét (740. ábra) az *NS* mágnes *AC* tengelye körül for-



739. ábra. Mágnes forgása az áram körül.

gékonynyá tesszük. Az ábrától előtüntetett esetben az áram a déli lapját fordítja felénk és a mágnes északi sarkát fogja körül, ennél fogva az *ABC* ív forgásnak indulva előre mozdul. Ha ezen mozgékony ívnek *A* és *C* végei a mágnes egyik sarka helyett annak mind a két sarkát fogják körül, vagy ha egyet sem fognak körül, forgás létre nem jöhet.

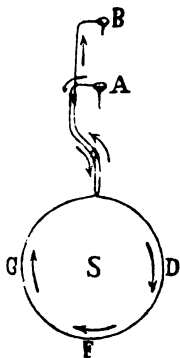
522. Az elektromos áram, a mennyiben a mágnesekre való hatásait tekintjük, épen úgy viseli magát, mint az ugyanazon kerületű s ugyanazon intenzitású mágnesi lemez. Ebből a tény-



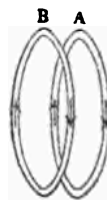
740. ábra. Áram forgása a mágnes körül.

ből az indukció révén következtethetjük, hogy *két zárt áram úgy hat egymásra, mint két egyenértékű mágnesi lemez*. A tapasztalás megerősíti ezt a következtetést.

Itt beérjük annak megmutatásával, hogy ha egy sík árammal szemben egy másik sík áramot állítunk, ezek akként igyekeznek elhelyezkedni, hogy ellenkező nevű lapjaik szemközt legyenek, s ezután, a mennyire csak lehet, közelednek egymáshoz. E célra az *AEB* rézdrót (741. ábra) használható, mely fémi érintkezés nélkül körbe van hajlítva, s a melynek végei az *A* és *B* fémcsúcsokkal vannak ellátva; ezek higanynyal meg-



741. ábra. Mozgékony kör alakú áramvezető.



742. ábra. Kör alakú vezetők elhelyezkedése.

töltött s a telep áramvezetőivel közlekedő csészikék fenekére támaszkodnak. Az ábrában az áram a déli lapját fordítja felénk, és ha egy másik áramot közelítünk feléje, ez a déli lap akként fordul, hogy a 742. ábrában előtüntetett viszonylagos helyzetet veszi fel, mely ábrában a két déli lap az olvasó balkeze felé van felvéve, és ennél fogva a *B* áram hátulsó lapja északi lap, és az *A* áram déli lapjával áll szemközt. Azt következtetjük tehát, hogy a két áram akként igyekszik párhuzamossá válni, hogy mind a kettő egyazon irányban keringjen.

523. Mágnesi térben levő *i* intenzitású áram energiája, épen úgy, mint egy mágneses lemez esetében

$$E = -\mathcal{C}i \quad (1)$$

kifejezéssel van megadva, ha \mathcal{C} a negatív oldalán belépő erőáramlást jelenti. S minthogy a potenciális energia mindig kisebbbedni törekszik, következik, hogy a *mágnesi térben elhelyezett áram úgy törekszik elhelyezkedni, hogy a negatív oldalán átmenő erő-áramlás a legnagyobb legyen.*

Ebből az is következik, hogy az áram, mely \mathcal{C}_1 áramlási helyről egy másikba vitetik, melyen az erő-áramlás \mathcal{C}_2 :

$$E_2 - E_1 = \mathcal{C}_1 i - \mathcal{C}_2 i \quad (2)$$

energiára tesz szert, a miből kiviláglik, hogy az *egy zárt áramkörnek mágneses térben való eltolása közben végzendő munkát nyerjük, ha az áramintenzitást az átvonuló erő-áramlás kisebbedésével megszorozzuk.*

524. Hasonlókép kimutatható, hogy **két áram kölcsönös energiája**, miként a mágneses lemezek esetében (482), a két áram intenzitásának *ii'* szorzományával és egy **M** együtthatóval fejezhető ki, mely utóbbi csak az áramok geometriai tulajdonságától, azaz alakjuktól és viszonylagos helyzetüktől függ, minélfogva :

$$E = -Mii' \quad (3)$$

A két áram egymáshoz közeledni törekszik olyképen, hogy **E** minimális értéket nyerjen, és hogy ennélfogva **M** maximummá váljék.

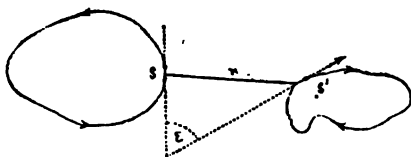
M bizonyos okoknál fogva, melyeket elő fogunk terjeszteni, a *kölcsönös indukció együtthatójának* neveztetik, és azt a munkát fejezi ki, melyet végezni kellene, hogy a két áramot, ha intenzitásuk az egység volna, egymástól igen nagy távolságba vigyük.

Kiszámítására a következő szabály szolgál. Vegyünk a két áramhoz tartozó két *s* és *s'* elemet (743. ábra); távolságuk legyen *r*, az a szög pedig, melyet bezárnának, ha önmaguk-

kal párhuzamosan elmozdítottatnának mindaddig, míg egymást metszik, legyen ε . Képezzük az

$$\frac{ss'}{r} \cos \varepsilon$$

kifejezést, s ezután hasonló kifejezéseket képezzünk az elemek minden lehető párjából, s mindezeket az integrálszámítás segít-



743. ábra. A kölcsönös indukció együttthatójának számítása.

ségével összegezzük; az így nyert összegről kimutatható, hogy épen M -mel egyenlő.

Nyilvánvaló, hogy M a hossz méretével bir, s azért is a C.G.S. rendszerben ccentiméterekkel van kifejezve.

525. Ha két egyenlő áramkör forog szóban, melyeket az áramok egyazon irányban futnak át, távolságuk kisebbedésével M növekszik, míg végre, midőn egészen összeesnek, bizonyos maximális L értéket vesz fel.

A valóságban ekkor két áram helyett csak egy áramunk volna, és a feladat fizikai feltételei teljesen meg volnának változva. Annyi azonban bizonyos, hogy helyzeti energiával azon áramkör is rendelkezik, mely egyedül van jelen a térben, és pedig azon egyedüli oknál fogva, mert áram futja át. Valóban, részei között kölcsönös hatások vannak (527. pont 745. ábra), melyek azon vannak, hogy őt deformálják, és őt határtalanul kiszélesítve deformálnák is, ha a vezető rugalmassága ennek ellen nem állana.

Kimutatható, hogy ez az energia, mely az áram belső energiájának nevezhető, ekként fejezhető ki:

$$E_o = \frac{Li^2}{2}, \quad (4)$$

hol L , mely csakis az áram geometriai tulajdonságaitól függ, az **önindukció együtthatójának** nevezetük, és kifejezi a rajta átmenő erő-áramlást, melyet a benne keringő egységnyi áram létesít.

526. Két zárt áram viszonylagos energiája bizonyára azon kölcsönhatásoktól származik, melyek a két áramkör egyes elemei között fennállanak, és már most az a kérdés, hogy mely törvény szerint van két áramelem egymásra tömegmozdító hatással? Ez rendkívül nehéz kérdés, és még nincs is teljesen megoldva, mert kísérleteket csak zárt áramokkal végezhetünk, és ennél fogva méréseinknek csakis az eredő erőket, nem pedig az elemi hatásokat, vethetjük alá.

Így például áramelem és áramelem között olyatén hatások volnának lehetségesek, mint a minők két elemi mágnes között tapasztalhatók, a nélkül, hogy ezért a zárt áram nem létesítene semmi mágnesi hatást, a mint ilyent nem létesít egy zárt szolenoid (471).

Elvégre is ez a feladat, mint az erők szétbontására vonatkozó minden feladat (I, 40), határozatlan. Végtelen sok megoldás lehetséges, és nem választhatjuk a természetnek megfelelőt, ha beigazoló kísérletnek nem vethetjük alá.

AMPÈRE volt az, a ki mindjárt OERSTED közleménye (494) után fölfedezte az áramtól átfutott vezetők kölcsönös hatásait, vagy a mint mondani szoktuk, az **elektrodinamikai hatásokat**, és a NEWTON-éhoz hasonló lágészszel kísérlet útján képes volt egyet megállapítani az elemi hatásokra vonatkozó azon végtelen sok törvény közül, melyek az eleddig megvizsgált tények mindegyikével összeférnek.

AMPÈRE elemi törvényét a következő képlet fejezi ki:

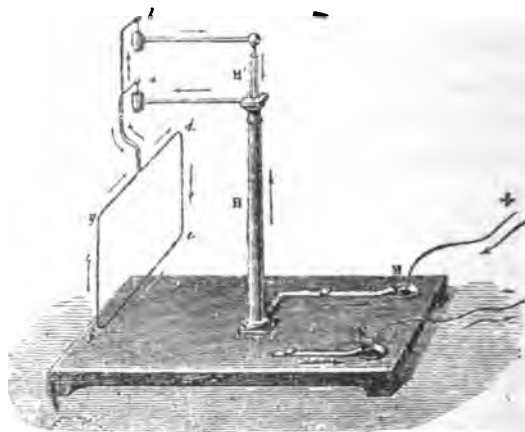
$$F = \frac{2ii'ss'}{r^2} (\cos \epsilon - \frac{3}{2} \cos \vartheta \cos \vartheta'),$$

melyben i és i' az elektromágnesi abszolút egységgel (514) mért áramintenzitások, r az s és s' hosszúságú elemek közötti távolság (743. ábra), ε az elemeknek egymással bezárt, ϑ és ϑ' pedig r -rel bezárt hajlásszöge.

AMPÈRE e törvényt induktív módon akként állapította meg, hogy bizonyos, a kísérletre nézve hozzáférhető különös esetekből indult ki és elfogadta a hatás és visszahatás egyenlőségének elvét. Eljárását nem részletezhetjük, de kísérleti bizonyítékai közül néhányat elő fogunk terjeszteni.

527. A 744. ábrabeli készülékkel könnyen kimutathatók a következő különös törvények:

1. Ha a mozgékony négyszöghöz bármiképen közelítünk egy maga-magára visszahajlitott drótot, nem veszünk észre



744. ábra. Ampère állványa.

semmi hatást, még akkor sem, ha az ágak egyike kigyózdó, ha ugyan a kigyózdások kevéssé távolodnak el a másik ágtól (miként a 496. p. 724. ábrában). Ebből tehát azt következtetjük, hogy a kigyózdó ágnak mindegyik eleme ugyanazt a hatást idézi elő, melyet a másik ágra való vetülete idézne elő; ennél-

fogva valamely elem három egymásra merőleges tengelyre való vetületével helyettesíthető.

2. Különböző két áramnak vagy egyazon áramnak egyenes vonalú és párhuzamos darabjai egymást vonzzák vagy taszítják a szerint, a mint az áramok egyenlő vagy ellenkező irányban futnak.

➡ ➡ Vonzzák egymást.

⬅ ⬅ Taszítják egymást.

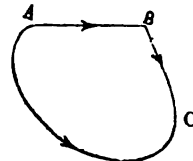
3. Két egyenes vonalú, nem párhuzamos darab egyazon irányban futó áramával párhuzamossá válni igyekszik. Ennélfogva :

➡ ➡ Vonzzák
⬅ ⬅ egymást.

➡ ➡ Taszítják
⬅ ⬅ egymást.

Hogy az eme törvényekkel meghatározott elmozdulásokat megfigyelhessük, elegendő, hogy a mozgékony négyzet egyik oldalához az áramtól átfutott drót egy egyenes darabját alkalmas módon közelítsük.

A harmadikból következik, hogy egyazon áramnak két szomszédos darabja, mint AB és BC (745. ábra), egymástól távozni igyekszik, és ennél fogva az áramvezeték, ha tökéletesen hajlékony, köralakot vesz fel, és ha ezenfelül még tágítható, mindaddig nyulik, míg a rugalmas erő az elektrodinamikai hatást nem egyensúlyozzák.

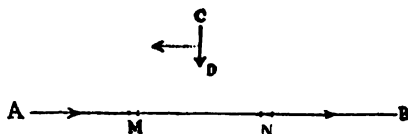


745. ábra. Szomszédos részek távolodása.

528. A szög alatt egymáshoz hajló áramokra vonatkozó ugyanezen törvényből levezethető az a hatás, melyet valamely korlátlan hosszúságú AB áram (746. ábra) egy egyenes vonalú, mozgékony CD darabra gyakorol, mely egészen AB -nek egyazon oldalán fekszik.

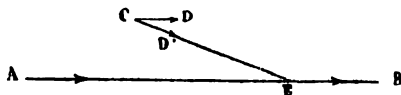
Először is tegyük fel, hogy AB vízszintes és a papiros síkjában fekszik, CD pedig legyen függélyes és feküdjék kissé hát-

rább. Nézzük, hogy az AB áramnak két kicsiny, CD -től egyenlő távolságban levő M és N darabja miféle hatással van. Az M darab vonzza CD -t, N pedig taszítja [527, (3)]; látjuk tehát, hogy CD balra elmozdulni igyekszik.



746. ábra. Áram hatása egy mozgékony darabra.

Legyen most CD (747. ábra) az AB -n átmenő vízszintes síkban. Ha AB -vel párhuzamos, ez vonzza, és ha szabad volna, érintkezésbe jönne vele. De ha a C szilárd pont körül forgé-



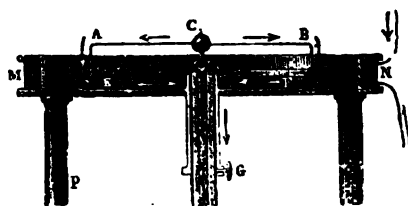
747. ábra. Áram hatása egy mozgékony darabra.

kony, a CD' helyzetbe fog jutni; itt az AE rész vonzza, az EB pedig taszítja, és ennél fogva az óramutató irányában mozog. Ha az áramok egyikének vagy másikának iránya ellenkezőre változnék, ellenkező irányban forogna.

529. Ha a szilárd AB áramot a C pont körül körvonalba hajlítjuk össze, a sugármenti CD áramvezető csak szintén forog, és az AB árammal ellenkező irányban forog, ha áramának iránya centrífugális, és megegyező irányban forog, ha árama cenzentripetális.

Ily alakban a kísérlet végre is hajtható, és pedig a 748. ábrabeli készülékkel, melyben EF higany, mely gyűrű alakú edénybe van öntve, CA és CB pedig a C csúcson egyensúlyozott sugármenti áramvezetők, mely csúcs higánynyal megtöltött csészikébe merül, melybe az áram az oszlop mentén

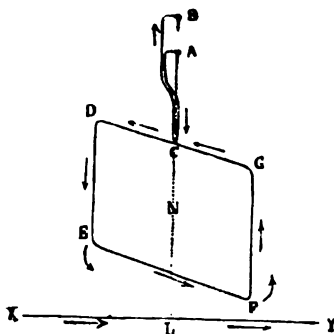
van bevezetve; az áram ketté ágazik és a folyadékon és a G gombon át visszatér a telephez. Ugyanez az áramkör gyűrűt körülövező MN barázda körül is csavaródik.



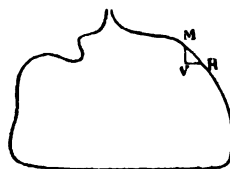
748. ábra. Áram forgása áram körül.

530. Valamely önmagába visszatérő szilárd vezető, korlátlan hosszú áram hatására, nem indul folytonos mozgásnak, hanem állékony egyensúlyi helyzetet vesz fel.

Legyen XY (749. ábra) a korlátlan hosszúságú szilárd áram, és $DEFG$ derékszögű négyszög a szilárd áramkör, mely az A és B csúcsokon BC függélyes tengely körül forgékony. A GD és EF vízszintes oldalakra kifejtett hatások ellenkezőek, mert (534) mind a kettő XY -nal párhuzamossá



749. ábra. Szilárd vezető helyzete.



750. ábra. Zárt áram elhelyezkedése.

valni igyekszik, de az első taszítást, az utóbbi pedig vonzást szenved; a közelebb fekvőre eső hatás túlnyomó lesz, hacsak a szilárd áram nincs igen nagy távolságban.

A DE hátulsó függélyes oldal a 746. ábrabeli körülmények

között van és balra mozdíttatik, az FG másik oldal ugyanazon okoknál fogva jobbra mozdíttatik. A négyszög tehát oly módon helyezkedik el, hogy alsó oldala a szilárd árammal párhuzamosossá váljék, és benne az áram ugyanazon irány felé fusson.

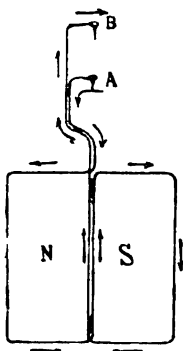
Az **527.** pontban felsorolt törvények elseje segítségével érthetővé válik, hogy hasonlóképen kell elhelyezkednie bármily alakú zárt áramnak (750. ábra), mert minden MH eleme MN függélyes és VH vízszintes összetevőjével helyettesíthető.

Egy merev áramnak egyenes vonalú áramhoz képest való illetén elhelyezkedését akként is le lehetett volna vezetni, hogy mágnesi lemezeknek tekintettük volna, melynek elemi mágnesei azon vannak, hogy északi sarkaikkal az áram baloldala (**494**) felé fordulva, az áramra merőleges irányban helyezkedjenek el. Valóban, a 749. ábrabeli négyszög-áram pozitív (északi) lapját fordítja felénk (**518**), és az XY áram baloldala szintén felénk van fordítva.

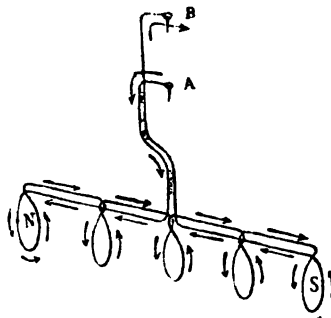
Ha az elektromos áramköröket mágnesi lemezeknek tekintjük, a mozgások és elhelyezkedések mindezen törvényei levezethetők azon tételből is, hogy a helyzeti energia minimumra (**524**) törekszik.

531. Függélyes tengely körül forgékony és zárt áramkörök, minők például a 741. és 749. ábrabeliek, állékony egyensúlyi helyzetbe jutnak pusztán a Földnek hatására is, és a mágnesi délkörre merőlegesen helyezkednek el, mintha csak a Földet keletről nyugat felé áram futná át, mert az áramkörnek az az oldala, melyben az áram leszáll, a keleti részen helyezkedik el.

Az olyan áramkör, mely a 751. ábra módjára van összehajtogatva, *asztatikus*, azaz a Földre vonatkozólag közönbös egyensúlyi helyzetben van, mit könnyen beláthatunk, ha az egyes oldalakra irányuló hatásokat elemezzük, mely hatások kettenként lerontják egymást.



751. ábra. Asztatikus áramkör.



752. ábra. Szolenoid.

532. Nyilvánvaló, hogy a Földnek a zárt áramokra való hatása ugyanilyennek mutatkoznék, ha a Föld mágnes volna, melynek észak felé van a negatív sarka, vagyis a tűnek dél felé fordított sarkával egynevezű sarka.

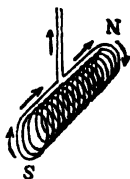
Általában a Földnek minden mágnesi hatása a következő két magyarázattal értelmezhető: a Föld vagy mágnes, vagy pedig oly áramok rendszerétől van körülveve, melyek a Nap látszólagos mozgásának irányát követik.

De ez még nem minden. Minden mágnes úgy hat, mint az áramok valamelyes rendszere; nevezetesen egy mágnesi lemez miként egy áram, mely a lemez területét futja körül, egy mágnesrúd miként az áramoknak a tengelye körül keringő rendszere. Valóban, a sík, párhuzamos és egyenlő zárt áramoknak olyatén sora, minőt a 752. ábra tüntet elő, a Föld hatására *N* végével észak felé fordul. Egyenes vonalú szilárd áram hatására pedig minden egyes áramkör ezzel az árammal párhuzamossá válni igyekszik, s ugyanazon *N* vég az áram baloldalán van.

Szóval a párhuzamos áramok ilyen rendszere mindenben úgy viseli magát, mintha szolenoidális mágnes (471) volna, s épen ezért **elektrodinamikai szolenoidnak** neveztetett.

Az a vég, melyen az áram az óramutató járásával meg egyezőleg kering, déli sark, a másik pedig északi sark. Vala-

mint két áram akként igyekszik egymással szemben elhelyezkedni, hogy keringésök egyazon irányú legyen (523), úgy két ellenkező nevű vég vonzza egymást, stb.



753. ábra.
Szolenoid.

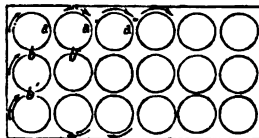
Az elektrodinamikai szolenoidok könnyebben szerkeszthetők, ha az áramvezetőt csavart vonalban hajtogatjuk össze, miként a 753. ábrában látjuk; s ekkor kényelmesen megmutathatjuk minden tulajdonságát. A két egyenes vonalú rész kiegyenlíti a csavarmenetek ferde fekvését [527, (1)].

533. Eme szolenoidok és a mágnespálczák között csak egy különbség van: az előbbiek sarkai pontosan a végeken vannak, miről meggyőződhetünk, ha mágnesi képöket (486) előállítjuk, a mágnesek sarkai pedig kissé befelé esnek (456). Eme különbségről számot adhatunk, ha a megosztás útján való mágnesezésre (484) gondolunk: egymásra rakott mágnesi lemezekből álló oszlop csak akkor tehetne szert a párhuzamos áramok rendszerének tulajdonságaival azonos tulajdonságokra, ha ezeknek a lemezeknek mágnesi merevségek (488) volna, vagyis ha egymásra nem volnának megosztó hatással.

534. AMPÈRE még tovább ment. Előrebocsátotta azt a hipotézist, hogy a mágneses testek részecskéi épen azért elemi mágnesek (493), mert maradandóan áramok futják őket körül. Midőn a test nincs megmágnesezve, ezek az elemi áramok minden gondolható irányban el vannak helyezkedve és ennél fogva kifelé való hatásaik kiegyenlítik egymást. A mágnesezés meghatározott helyzetbe tereli őket, nevezetesen párhuzamos síkokban fekvő egyazon irányú köráramok rendszerévé alakítja át. Ekkor egy adott síkban levő szomszédos áramdarabok (754. ábra) ellenkező járásúak, hatásaik tehát lerontják egymást és csakis a kerületmenti darabokat hagyják hatásosaknak, mely darabok egy egyedül való árammá tevődnek össze. A mágnes tehát szolenoiddá (532) válik, és ha nem válik tökéletes

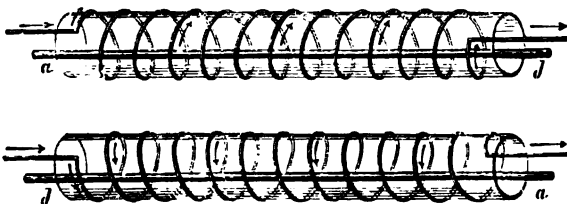
szolenoiddá, melynek sarkai pontosan a végeken vannak, úgy ez az elemi áramok kölcsönhatásainak tulajdonítandó, a melyek meggátolják, hogy emez elhelyezkedés tökéletessé váljék.

A mágnesek természetére vonatkozó ez az igen elmés hipotézis ha nem tekinthető is teljes bizonyossággal a valóság kifejezőjének (554), azért mégis teljesen számot ad a mágnesek tüneményeiről.



754. ábra.
Elemi mágnesezés.

535. Valamely vas- vagy aczéldarab vagy bármi más anyagból való test, melyet az áram terébe helyezünk, megosztás révén épen úgy mágnessé válik, mintha valamely mágnes terében volna. A vas pálczák megmágnesezésének legjobb módja abban áll, hogy a pálczát szigetelt rézdróttal körülcavarjuk és a dróton áramot vezetünk keresztül. Az északi sark emez áramtól balkézre fog gerjedni, vagyis azon az oldalon, hol az óramutató járásával ellenkező irányban kering.

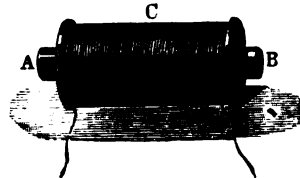


755. és 756. ábra. Mágnesezés szolenoiddal.

Kényelmesebb a drótot egy üveg- vagy papiros-cső körül csavarni (755. és 756. ábra), és czélszerű több rétegben egyenletesen körülfonni s ekként egy orsót (C, 757. ábra) készíteni, melybe az AB rudat az áram zárása előtt teszszük.

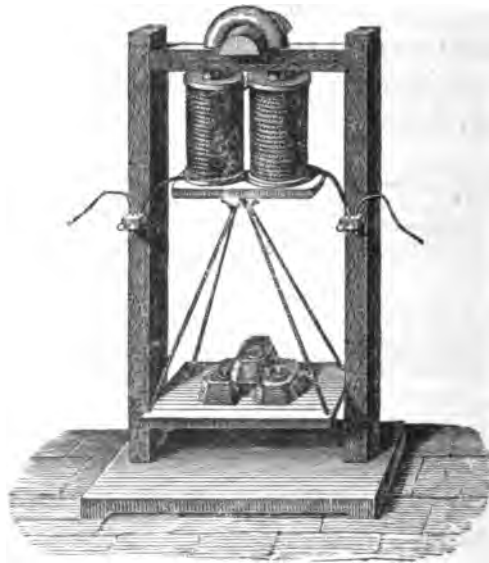
A mint az áram az orsóban kering, a rúd legott mágnessé válik s vasdarabok reátapadnak. Ha aczélból való, csaknem teljesen megtartja (488) a benne gerjesztett mágnességet még az áram megszűnése után is, és ha az orsóból kiveszszük, a

szokásos állandó mágnesek egyikével van dolgunk. De ha lágyvasból való, mágnességét csaknem teljesen elveszti, és a reá-tapadt vasdarabok mindjárt az áramkeringés megszűnte után



757. ábra. Mágnesező tekercs.

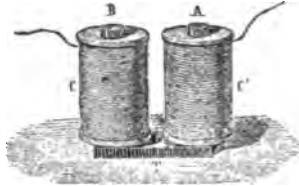
lehullanak. Ily módon hatalmas időleges mágnesre teszünk szert, melyet rendkívüli gyorsasággal hatásossá vagy hatás-talanná tehetünk. Az ilyen mágnest **elektromágnesnek** nevez-



758. ábra. Elektromágnes megterhelve.

zük. Ha azt kívánjuk, hogy nagy teherbirása **(491)** legyen, patkó alakot adunk neki, s a patkó száraira toljuk az orsókat (758. ábra), melyek úgy vannak felgombolyítva, hogy

két ellenkező nevű sark-felület keletkezzék (egyik volna az északi, a másik a déli sark); ezekre a lágyvas horgonyt illesztjük. A helyett, hogy a vasrúdat *U*-alakba görbíteniök, gyakrabban



759. ábra. Patkóalakú mágnes.

két hengert kötünk össze szintén lágyvasrúddal, mely a 759. ábrában *T*-vel van jelölve.

536. Különbséget szokás tenni valamely elektromágnes *teherbírása* és *vonzó ereje* között; az előbbenit azon erő méri, mely megkivántatik a horgony leszakítására, midőn a sark-felületekkel közvetlenül érintkezik, az utóbbi pedig a horgony eltávolítására megkivántató erő, midőn e felületekhez igen közel van a nélkül, hogy velök érintkeznék. Mind a kettő a vasmag és a horgony tömegétől, úgy szintén a formájuktól függ; főleg azonban a mágnesezés intenzitásától függnek, s ez ismét a vas minőségétől és a mágnesező erőtől, vagyis a térnek az intenzitásától, melybe a vas elhelyezve van.

537. Bocsássuk előre, hogy *n* egyenlő közökben elhelyezett *R* sugarú köráramból álló elektrodinamikai szolenoid mágnesi nyomatéka, mint hogy egy ilyen menet nyomatéka $\pi R^2 i$, nem lehet más, mint $\pi R^2 n i$; vagy általánosságban $\mathcal{M} = A n i$, ha *A* a szolenoid merőleges metszetét jelenti. Jelölje *m* annak a szabad mágnességnek a mennyiségét, melynek ugyanakkora mágnesi nyomatékú, keresztmetszetű és ugyanolyan *l* hosszúságú szolenoidális mágnesnek egyik sarki felületén lennie kell s akkor nyilván

$$m = \frac{A n i}{l}.$$

538. Emlékezzünk csak vissza (521), hogy valahányszor az i intenzitású áram körén a mágnesség egysége átmegy, az áram mágnes hatása $4\pi i$ munkát végez rajta, s azért is az egy sarknak n egyenlő áramkörön való átmenetele közben végzett munka $4\pi ni$ fog lenni; meg fogjuk már most érteni, hogy ha a sark egysége egy elektrodinamikusszolenoidba behatolván, n menetet hagyott maga mögött, az áram mágnesi munkáját nyerjük, ha kiindulása és megérkezése pontjának potenciálkülönbségét algebrailag $4\pi ni$ -vel növeljük.

Ez a különbség annál kisebb, mennél távolabb van a két pont a szolenoidnak alapjaitól s ha a szolenoid igen hosszú, el is hanyagolható. Ez esetben, elosztván a munkát a mágnes-sarknak a mágnes-erő irányában megtett d útjával, ezen erő, vagyis a szolenoid belsejében létesített mágnesi tér intenzitásaként a következő értéket nyerjük:

$$\mathcal{H}' = \frac{4\pi ni}{d}. \quad (5)$$

Minthogy ekkor a mágnesi tér egyenletes, keresztmetszetén, mely A -val egyenlő (340)

$$\mathcal{H}' = A \mathcal{H}' = 4\pi A \frac{n}{d} i \quad (6)$$

erő-áramlás hatol át.

Jegyezzük még meg, hogy a tér irányát a déli határlaptól az északihoz huzott tengely adja meg, minthogy egy északi sark ebben az irányban volna kénytelen a spirálison végig vonulni (521); intenzitása annál nagyobb, mennél messzebb vannak egymástól a nyilván ellenkező hatású határoló lapok.

539. Ha egy hosszú orsóba vasdarabot vagy más mágneses anyagot helyezünk, ez megmágnesesedik; hogy az ekként indukált mágnesezés fokát számokkal ki bírjuk fejezni, mindenekelőtt meg kell határoznunk azt, hogy mit értünk ez alatt: a mágnesezés intenzitása egy pontban. Vegyük a mágneses anyagnak eme pontban levő igen kicsiny részét tekintetbe s tart-

suk szem előtt, hogy egy kicsiny mágnes tengelyének irányával és hosszával (l), valamint sarkainak $+m$, illetőleg $-m$ intenzitásával, röviden: mágnesi nyomatékával, mely $\mathcal{M} = lm$, teljesen meg van határozva.

Már most ennek a mágnesi nyomatéknak a viszonya a mágnes térfogatához meg fogja adni a részecskétől elfoglalt pontra nézve a mágnesezés intenzitását, melyet \mathcal{J} jelöljön; ha az illető mágnes részecske térfogata v és keresztmetszete a , akkor $v = la$ és a mágnesezés intenzitása nyilván

$$\mathcal{J} = \frac{\mathcal{M}}{v} = \frac{lm}{la} = \frac{m}{a}. \quad (7)$$

Másrészt minden elemi mágnes a tér irányában van elhelyezkedve (465), mely térnek \mathcal{H} intenzitását *mágnesező erő*-nek is szoktak nevezni; a mágnesezés intenzitását ezzel az erővel osztván, kapjuk a **mágnesezési együtthatót**:

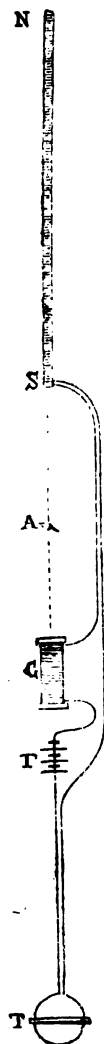
$$\kappa = \frac{\mathcal{J}}{\mathcal{H}}, \quad (8)$$

mely épen a különböző anyagok mágneseződésének a fokát méri és **mágnesfoghatóságnak**, vagy **mágnesi susceptibilitásnak** is neveztetik.

540. Egy megjegyzést kell tennünk, hogy \mathcal{H} mágnesező erő megbecsülése közben hibát ne ejtsünk. Midőn egy test mágneses térbe helyeztetik, a legtöbb esetben megtörténik, hogy a megjelenő szabad mágnesség a teret módosítja, úgy, hogy a tényleges mágnesező erő \mathcal{H} a tér eredeti \mathcal{H}' intenzitásától különbözni fog. Ennélfogva a mágnesezés intenzitása \mathcal{J} , melyet ez a test összes pontjaiban fölvesz, mágnességi susceptibilitásán kívül még az alakjától is függ. Ugyanis az alaktól függ a térre való visszahatás, mely olyan bonyolódott, hogy csak kevés esetre számítható ki, melyek között még az eredetileg egyenletesnek vett mágnesi térben hosszával a tér irányában fekvő prizmatikus hasábnak oly egyszerűnek látszó esete sincsen! Visszahatása a hasáb belső pontjaiban a mágnesező erőt csökkenteni törekszik (538) és pedig a közepe táján kevésbé, mint a végek

felé és általában annál kevésbbé, mennél nagyobb a hossza a keresztmetszet méreteihez képest.

Ha a rúd nagyon hosszú, akkor a végein jelentkező szabad mágnességnek a hatása elhanyagolható és a belső pontokban működő mágnesező erő egyenlőnek vehető azzal, mely a külső pontokra hat; föltehetjük, hogy a mágnesezés az egész hosszában egyenletes, kivéve a végeket, a hol valamivel gyengébb. Ez a föltevés annál inkább megengedhető, mennél kisebb a rúd susceptibilitása; nagyon erősen mágneses anyagra nézve azonban, a minő a vas, a hosszának a vastagságnál legalább is 500-szor akkorának kell lennie.



541. Ámde nem kell azt hinni, hogy a susceptibilitás, x egy és ugyanazon anyagra nézve állandó! Igen különböző értékeket vehet fel, a szerint, hogy milyen az anyag keménysége, tisztatlansága, hőmérséklete; de még egy adott fém-darabra, adott fizikai körülmények között sem állandó.

Annak a törvénynek a meghatározására, mely szerint a mágnesi nyomaték s vele együtt x együtt-ható a mágnesező erő növekedése közben változik, a következő kísérleti berendezés szolgálhat:

A P galvánteleg áramkörébe beiktatjuk NS és G drót tekercseket, valamint T tangens- vagy más-féle galvanométert (760. ábra); NS úgy készül, hogy hosszú csőre szigetelt rézdrótot lehetőleg egyenletesen feltekerünk.

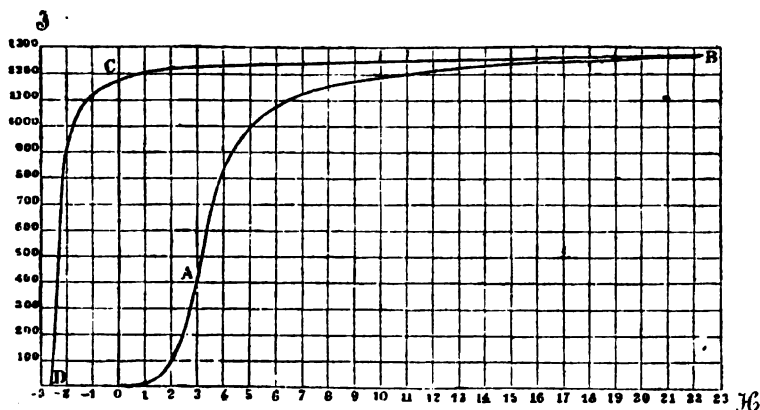
NS cső, oldalt az A mágnesűtől, tengelyével a mágnesi meridiánra merőlegesen helyezendő el, meghosszabbításába pedig G orsó oly módon, hogy a szolenoidnak a türe való hatását, akkor, a mikor

760. ábra.
A susceptibilitás változása.

ez üres, épen ellensúlyozza; ha már most a csőbe egy pálczát helyezünk el, csupán csak az ebben indukált mágnesség fog a türe hatni.

A mágnesű kitéréseit szokott módon a tükröske segítségével (512) leolvastván, a rúd mágnesi nyomatéka a 468. p. (4) képlete alapján kiszámítható, ha H helyébe a cső belsejében az áramtól létesített mágnesi térnek intenzitását helyettesítjük. Az áram mérésére szolgáló T galvanométert természetesen oly távol kell felállítani, hogy tüje NS és G mágnes hatását meg ne érezze.

542. A 761. ábra egy 30 cm hosszúságú és 0,077 cm vastagságú, közvetlenül a kísérlet előtt kiizzított lágy vas dróton végzett észlelések sorozatának eredményét tünteti elő.



761. ábra. Mágnesezés görbéje.

Az abszcissák a mágnesező erő, az ordináták pedig a megfelelő mágnesezési intenzitás $C. G. S.$ rendszerbeli értékeit ábrázolják.

A felszálló DAB ág úgy keletkezett, hogy a mágnességétől teljesen megfosztott dróton (545) 0-tól növekedő áram hatott; a görbének A -ban forduló pontja van, a mi azt jelenti, hogy \mathcal{I} , a mágnesezés intenzitása, eleinte gyorsabban, később pedig

lassabban növekedik, mint a \mathcal{H} mágnesező erő. Az A -n túl igen nagy intenzitású mágnesező erő hatása alatt a görbe az abszcissák tengelyével párhuzamossá törekszik lenni, jelezvén ezzel, hogy ha a mágnesező erő növekedik, a mágnesezés egy bizonyos határérték felé törekszik, mely a mágnesezési telítettség állapotának felel meg.

Sikerült a lágy vas, az öntött vas, az acél minden faja, a nikkelt és a kóbalt telített mágnesezését meghatározni. Az a mágnesező erő, melyen túl a mágnesezés állandónak tekinthető, a vas és a nikkelt esetében 2000 egységnél kisebb, az öntött vasra és a kóbaltra nézve pedig 4000-nél kisebb.

Úgy látszik, hogy a mágnesezés intenzitásának maximuma a lágy vasra nézve 1700, az öntött vasra s lágy acélra 1250, a nikkeltre körülbelül 450 és a kóbaltra körülbelül 1300 C.G.S. egység körül van.

A görbe mutatja, hogy a vas susceptibilitása kezdetben igen gyöngye, azután gyorsan nő, gyorsan maximumot ér el, mely az egyes fajták szerint 2—3 egységnyi mágnesező erőre 250—300-ra emelkedik s azután csökken. A nyers vasra nézve a χ maximuma nagyobb, mintegy 11 egységnyi erőnek felel meg s nem több, mint 53. A kemény acél legnagyobb susceptibilitása alig 10, a kóbalté mintegy 13, a nikkelté pedig mintegy 20 egység körül van.

A többi anyagok susceptibilitása mindig kisebb 0,00001-nél s ezekre nézve állandónak tekinthető.

Még megjegyezzük, hogy a diamágneses testekre nézve a χ negatív és mindenkor igen kicsiny, mert mindenkor kisebb, mint a bizmutra vonatkozó érték, t. i. $\frac{1}{400\,000}$.

543. Térjünk már most vissza a lágy vasnak 761. ábrában feltüntetett viselkedésére. B -től C -ig az áram egészen a zérusig folyvást gyengítettett, C -től D -ig megfordítottatott, minek következtében a mágnesi tér iránya ellenkezőre fordult. Ezen a leszálló ágon igen feltűnő a mágnesezésnek jelentéktelen csökke-

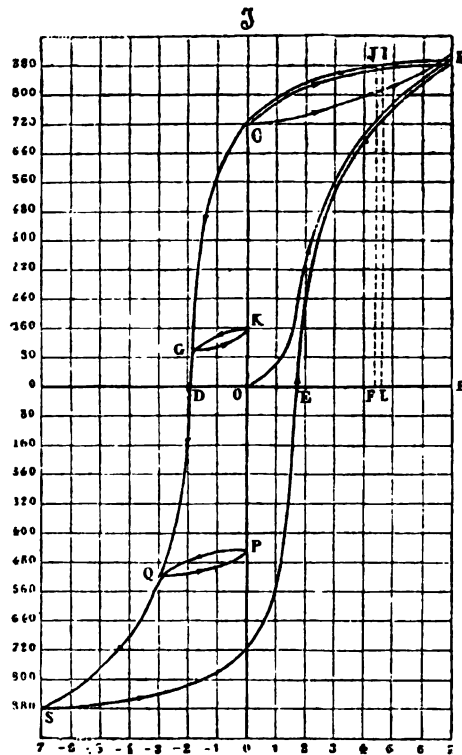
nése a mágnesező erőnek kisebbedése közben, úgy, hogy a mikor ez utóbbi zérussá lett, a megmaradó mágnesezés: OC , még mindig 1170 $C. G. S.$ egység, vagyis a legnagyobb értéknek 90%-a; de ki kell emelnünk, hogy tartóssága vajmi csekély, mert hiszen a 2,75 egységnyi OD ellentett irányú erő elegendő, hogy teljesen lerontsa. Ez az OD mintegy a mágnesezés állandóságának mértékeül tekinthető s **koerczitív erő** nevét adták volt neki. A nyers vasra nézve a koerczitív erő 5 egységre emelkedik, a kemény acélban pedig 50 egységnél nagyobbak találják.

Az állandó mágnesezést (488) tárgyalván, nem szabad szem elől téveszteni, hogy a mágnesi tér megszüntetése után is, a melybe a vasdarab elhelyeztetett volt, ez általában tovább is megmarad valamilyen mágnesező erő hatása alatt, a mely épen az ő megmaradó, de enyészőben levő mágnességétől ered. Ennek az *elmágnesítő erő*nek észrevehető a hatása a rövid darabokban, majdnem észrevehetetlen a hosszú rudakban, a zárt szolenoidból álló gyűrűben pedig semmi. Innét van, hogy míg a gyűrűvé hajlított lágy vasban, vagy pedig hosszú pálczában a maradandó mágnesség intenzitása igen nagy, addig az elektromágnes vas magvában, melynek hossza rendszeren csak 10—20-szor akkora mint a vastagsága, jóformán semmi.

544. Ha már most tanulmányozni kívánjuk azt az ellentétet, mely a különböző anyagok mágnesi állapotuk megváltozása ellenében kifejtene, jó az elmágnesítő erő hatását lehetőleg kiküszöbölni azzal, hogy hosszú drótokkal, vagy a mi még jobb, zárt gyűrűkkel kísérletezünk.

A már egyszer megszerzett mágnesi állapotnak megtartására irányuló törekvést a 761. ábra világosan tünteti elő; jól látható rajta, hogy a mágnesezés, miután B -ben maximumát elérte volt, a mágnesező tér intenzitásának jelentékeny csökkenésére is csak igen kevésre fogyatkozik; hasonlóképen a mágnesezésnek minden növelése ellen is mutatkozik bizonyos vona-

ködés, miután a mágnesezés valamennyire már megfogyatkozott. Ugyanez kiolvasható a 762. ábrából is, mely egy hosszú, több ciklikus változásnak alávetett lágy vas drótnak viselkedését írja le. Különös figyelmet érdemel a felső BC hurok, mely akkor keletkezett, midőn a mágnesező erő intenzitásának legmaga-



762. ábra. Mágnesezés görbéje.

sabb értékéről, 7 egységről 0-ra szállítottatott le s azután újra ugyanakkora értékre emeltetett; nézzük meg a másik két kisebb hurkot is, melyek G és Q pontokon akkor jöttek létre, midőn a mágnesező erő, mely most negatív volt, a 0-ig emeltetett s azután ismét eredeti értékére vitetett. A két érték között növe-

kedő mágnesezésnek a görbéje különböző az ugyanazon értékek között csökkenő mágnesezésnek a görbájától, a miből azután az következik, hogy a mágnesező erő közbul eső minden egyes értékének a mágnesezés intenzitásának két különböző értéke felel meg; továbbá a csökkenés fázisában az intenzitás nagyobb, mint a növekedés fázisában.

Látszik tehát, hogy a mágnesezés nem tart lépést a mágnesi tér változásával, hanem mindig némileg visszamarad; az összes mágneses testeken tapasztalt ilyenféle törekvés, mely-nélfogva pillanatnyi mágnességi állapotában kitaratani törekednek, EWING-től a **mágnesi hiszterézis**, mondjuk mágnesi **tétlenség** nevét nyerte.

Ezen mágnesi tétlenség miatt nincsen határozott kapcsolat az \mathcal{I} és a \mathcal{H} értékei között, minthogy adott pillanatban a mágnesezés intenzitása nemcsak a mágnesező erő ugyanezen pillanatbeli értékétől függ, hanem attól is, hogy a vizsgálat alatt álló darab miféle hatásoknak volt megelőzőleg alávetve.

Azért is, hogy az \mathcal{I} és \mathcal{H} viszonyának, a melyet mágnesi susceptibilitásnak neveztünk volt el, határozott jelentményt tulajdoníthassunk, azt úgy kell majd értenünk, hogy olyan darabra vonatkozik, mely teljesen lemágneseztetvén, első ízben vették alá a zérustól folytonosan növekedő mágnesező erő hatásának.

545. Megeshetik, hogy valamely mágneses test látszólag olyanféle **közönbös, neutrális állapotban** van, hogy a sarkiságnak semmiféle nyomát sem mutatja; pedig belseje ugyanakkor az előbb elszenvedett bánásmód miatt olyanféle állapotban lehet, hogy nagyobb hajlandósága van inkább az egyik iránybeli mágneseződésre, mint az ellentetre.

És valóban, ha a mágnesezés görbéjének leszálló ágán levő G pontot mélyebben választottuk volna meg, úgy intézhettük volna a dolgot, hogy annak a kis körfolyamatnak K csúcsa éppen a zéruspontra eshetett volna: ekkor a vas drót semmiféle mág-

nesi erőnek nem lenne alávetve, és nem volna semmiféle maradék mágnessége s még sem tért volna vissza természetes állapotba, mert hiszen csekély pozitív mágnesező erő nagyobb intenzitású mágnesezést közölt volna vele, mint ugyanakkora, de negatív mágnesező erő.

Hogy sikerüljön a testet úgy megfosztani mágnességétől, hogy kezdeti susceptibilitása az iránytól független legyen, változólag ellentett irányú mágnesezések egész sorozatának kell alávetni; ezt a műveletet a mágnesezési intenzitás oly fokán kell megkezdeni, mely minden megelőzőnél magasabb s a mágnesező erőt lassanként egészen a zérus értékig kell csökkenteni.

546. A mágnesi hiszterézis hatása miatt a mágnesezés minden ciklikus változását az energia szétszóródása kíséri; a szétszórót, t. i. hővé átalakult energia mennyiségét, ha \mathcal{H} és \mathcal{J} C. G. S. egységekben van kifejezve, erg-ekben megadja az a szám, mely a ciklust kifejező huroknak a területét méri.

A 474. pontban megállapítottuk, hogy az egyenletes mágnesi tér hatása alatt állandó egyensúlyi állapotban levő mágnes energiáját mágnesi nyomatékának a tér intenzitásával való szorzata, $-\mathcal{M}\mathcal{H}$ adja meg s ha most egy vasdarabot veszünk tekintetbe, mely \mathcal{H} intenzitású mágnesi tér megosztó hatása alatt \mathcal{J} intenzitású mágnesezést vesz fel, ennek a vasnak minden térfogategységében

$$-\mathcal{J}\mathcal{H}$$

energia fog lenni; a negatív előjel arra utal, hogy ez az energia a mágnesi tér s a vele együtt változó mágnesezési intenzitásnak minden csökkenésekor növekedik; ez a növekedés mindenkor a külső erők rovására esik, melyek a megkívántató munkát fedezik. Ennek a munkának kiszámításánál feltehető, hogy a \mathcal{H} végtelen kicsiny, 762. ábrában LF -fel ábrázolt változása közben a mágnesezés intenzitása az LI és FJ értékek átlagával egyenlő, úgy hogy az energia megfelelő elemi növekedését $LIFJ$ trapéz adja meg s ennél fogva a munka, mely a térfogategység-

nek B állapotból a C állapotba való juttatására szükséges, $HBJCO$ területtel egyenlő. Ha a rákövetkező, C -ből B -be való mágnesítés görbéje a lemágnesítésnek ugyanezen pontok közé eső görbéjével egybeesnék, az egy ciklusnak megfelelő munka zérus volna; ámde a hiszterézis miatt a két görbe nem eshetik egybe s ennek következtében a lemágnesítésre felhasznált munka nagyobb annál, mely a rákövetkező mágnesezést kísérő energiasökkenésből ered s azért is a CB ciklusnak megfelelő fogyasztás a zárt hurokkal van kifejezve és hővé alakul át.

Ugyanilyen megfontolások alkalmazhatók a nagyobb $BDSEB$ hurokra is, mely két egyenlő nagyságú, de ellentett irányú mágnesítő erő közé eső ciklusra vonatkozik, mely esetre közelítő számítással kimutatható, hogy a területe a legnagyobb mágnesezés s a koercitív erő, vagyis az OH és OD egyenesek szorzatának négyszeresével egyenlő. Értékét a -val fogjuk jelölni; feltéve azt, hogy a kis kaloria egyenértéke $4,2 \cdot 10^7$ erg, a vas sűrűsége 7,7, fajlagos hője 0,11, kiszámíthatjuk az egy mágnesezési ciklus közben fejlődő hőmérséklet-emelkedést. Ugyanis

$$-\frac{a}{4,2 \cdot 10^7 \cdot 7,7 \cdot 0,11} = \frac{281}{10^{10}} a.$$

A példaképen felemlített kiizzított lágy vasra $+7$ és -7 mágnesező erők között a kb. 7000; ámde egy egész, két ellentett irányú telítés közé eső ciklus kb. 10 000 erg-et tesz ki, s azért is mintegy 4000 ciklus volna szükséges, hogy a lágy vas hőmérséklete 1 C. fokkal emeltessék.

Az edzett vasnál egy teljes ciklusban a szétszóródás nagyobb és 16 000 erg-et érhet el; az öntött vasnál 30 000—40 000-et. Az aczélnál a széntartalommal általában növekedik, s 40 000—60 000 közé esik, a legkeményebb aczélnál pedig 117 000-re emelkedett. Az edzett nikkelre HOPKINSON 20 000-et talált, de ha kiizzította, csak 11 000-et; 2% vastartalmú kóbalt pálczára nézve pedig 1 cm³-ként 30 400 ergont.

547. A megelőző kísérletekben a mágneses anyagok ütések és bármiféle rázkódások ellenében védve voltak; minthogy a rezgések úgy a mágnesítést, mint a lemágnesítést megkönnyítik: a kicsi mágnesező erőknél megfelelő χ susceptibilitást nagyobbítják, csökkentik a koercitív erőt s vele együtt a hisztérezist is és közelítvén a leszálló görbét a mágnesezés felszálló görbéjéhez, ezek meredekebbekké válnak, úgy, hogy a hurok területe s ennek következtében az energia szétszóródása is igen kicsinyvé válik; különösen a lágy vasra nézve áll mindez, mely minden rázkódás iránt igen érzékeny, úgy, hogy csupán csak ütögetéssel majdnem tökéletesen visszavihető természetes állapotába s nem szükséges ebből a célból a váltakozó és folytonosan csökkentett mágnesezés műveletének alávétetni.

A mechanikai hatásokkal előidézett rugalmas alakváltozások a susceptibilitásra hatással vannak. MATTEUCCI vette észre először, hogy a hosszmenti nyújtásnak alávett vasban a mágnesség növekedik; de VILLARI azt a fontos fölfedezést tette, hogy ez csak addig áll, a míg a mágnesi tér intenzitása egy bizonyos értéken alul van: azontúl a nyújtásnak éppen ellentett hatása van, a mennyiben a mágnesezést kisebbiti. WIEDEMANN ismét a sodrásnak a mágnesezésre való hatását tanulmányozta igen behatóan; később pedig LORD KELVIN mindemezt igen bonyolódott jelenségeket rendszeres vizsgálatnak vetette alá s a többi között kiderítette, hogy a tranzverzális irányú mechanikai hatások a longitudinális hatásokkal ellentett eredményeket létesítenek és hogy úgy az egyik, mint a másik olyanféle susceptibilitást gerjeszt, mely más a tengelyhez párhuzamos irányban, mint a reája merőlegesben.

A nikkelen a nyújtás hatása jóval jelentékenyebb, mint a vason s nem mutatja a VILLARI-tól észrevett forduló pontot, a mennyiben mindenkor a mágnesezés csökkentésében áll, bármilyen legyen is a térnek intenzitása. A kóbalt-ellenben mutatja a Villari-féle hatást, de a vassal éppen ellenkező értelemben, a mennyiben a nyújtás gyenge mágnesi térben a

susceptibilitást kisebbíti, a nagy intenzitású térben pedig fokozza.

A rugalmas erőknél a mágnesezés intenzitására való hatását kétféleképpen berendezett kísérletek sorában vizsgálták meg: előbb állandó rugalmas alakváltozás mellett a mágnesező erőt változtatták, azután pedig állandó mágnesi térben rendszeresen változtatott mechanikai hatásoknak vetették alá a mágneses testet. A mágnesezés a két esetben nem volt ugyanaz, de a hiszterézis úgy az első, mint a második esetben érvényesült.

Ugyanis az állandó mágnesi térben első ízben nyújtott drót mágnesezése a feszítő súlylyal növekedik, elér egy maximumot s azután csökken; ha már most a feszítő erőt lassanként kisebbítjük, a mágnesezés intenzitása nem tér vissza az előbbeni megfelelő értékekre: kezdetben fokozódik, egy másik maximumot ér el s azután csökken, de intenzitása mindenkor nagyobb marad, mint a mekkora a terhelés előtt volt.

A drót feszítését két szélső határ között folytonosan és ismételve változtatván, a mágnesezés intenzitásának változása ciklikussá lesz, de a felszálló görbe mindig különbözni fog a leszállótól.

Ebben a folyamatban a nyers vason a hiszterézis sokkal határozottabban mutatkozik, mint a kiizzított vason, vagy a nikkelen.

A rugalmas erőknél igen érdekes játéka az, a mi a lemágnesezett vason észlelhető. T. i. a rugalmasság határán belül levő, a mágnesezést megelőző nyújtásnak is van hatása a mágnesi anyag susceptibilitására. Ez a viselkedés azokra a szerkezeti molekuláris változásokra emlékeztet, melyek a rugalmas alakváltozások nyomában fennmaradnak; a kísérlet megmutatta, hogy elenyészthetők azzal, ha a fémet egészen a zérusig fogyó váltakozó mágnesítéseknek, vagy pedig erős rázkódásoknak vetjük alá.

548. Nem bocsátkozhatunk be mélyebben a vas mágnesi és rugalmassági tulajdonságai között talált igen bonyolódott

kapcsolatnak fejtegetésébe; e helyett EWING-nek a mágnesi megosztást tárgyaló monografiára utalunk.

Csak jelezzük, hogy a mágnesezésnek a rugalmas hatásoktól okozott változásához a megfelelő fordított jelenség is észlelhető: a mágnesezésnek alávetett test hossza megváltozik. A jelenségek eme kölcsönössége, melyet J. J. THOMSON elméleti alapra fektetett, valamint néhány más tény is, a megfigyelést megelőzőleg volt előre mondható.

A vas, melynek susceptibilitása a gyenge mágnesi térben gyarapodik, az erősben pedig csökken, ennek megfelelőleg a VILLARI-féle ponton (547) alul levő mágnesezés hatása alatt meghosszabbodik, azon túl pedig megrövidül; a kóbalt ebben a tekintetben is a vassal épen ellenkező viselkedésű; végre a nikkell, mely bármilyen intenzitású térben, ha nyújtatik, susceptibilitásából veszít; s ennek megfelelőleg, bármilyen mágnesező erő hatásának vettessék alá, mindég rövidül.

549. Nagyon feltűnő a hőmérséklet hatása a mágnesi susceptibilitásra: adott intenzitású térnek s adott hőmérsékletnek megfelelő mágnesezés más, ha a művelet folyama alatt a hőmérséklet állandó s a mágnesi erők változnak s más, ha ez utóbbiak állandók, a hőmérséklet pedig változó. Ugyanis valamely test mágnes állapota, ha a mágnesítés előtt fölmelegítették, nem lesz olyan, mint ha a mágnesítő erők hatása közben hevítették.

Az első eljárás fokozatosan emelkedő hőmérsékletek alatt olynemű mágnesezési görbékre vezet, melyek a gyengébb mágnesező erőknél meredekebbek, erős mágnesező terekben pedig lehajlók; más szóval a melegítés kis erőkkel szemben nagyobbítja a susceptibilitást, nagy erőkkel szemben pedig csökkenti.

Igy például HOPKINSON azt találta, hogy a kovácsolt vasdarab susceptibilitása kis erőkre nézve egészen 775° -ig nagy volt, s ezen a hőmérsékleten jóval nagyobb volt, mint a hideg vasé; de már csak néhány fokkal föllebb jóval kisebbé vált s 786° alatt teljesen elenyészett.

Nagy erő hatása alatt a mágneses állapotból a nem mágnesesbe való átmenet kevésbbé hirtelen volt, de mindenkor ugyanazon hőmérséklet alatt ment végbe.

Ez a **kritikus hőmérséklet** a vizsgálat alá vett darabbal változik, de a vas és az aczél különböző fajtáira nézve 690° és 870° közé esik. A kóbalté magasabb. A nikkelé mélyebb, mint egy 300° ; ebben a fémekben a melegítés hatása az alacsonyabb hőmérsékletek alatt szembetűnőbb, mint a vasé s a susceptibilitásnak enyészése fokozatosabb.

A mágnes tulajdonság elvesztése nem az egyedüli tény, mely a molekulai szerkezetnek a kritikus hőmérséklet alatt bekövetkező mélyreható átalakulását elárulja. Egy vasdrót, vagy még jobban egy aczéldrót, ha vörös izzásig hevítjük s azután kihűlni engedjük, mint tudva van, megrövidül; de a mikor a kritikus pontra lehült, valamennyire megnyulik s azután tovább folytatja az összehuzódását: ez a pillanatnyi megnyulás hőfejtéssel jár, s ennek következtében a lehülésben kis megállapodás, sőt olykor hőmérséklet-emelkedés következik be, melyet még a kisugárzott fény is szembetűnőbbé tehet, a mennyiben az ú. n. **recalcentiára** ad alkalmat: ugyanekkor a drót mágnesessé válik. És megfordítva, azt találták, hogy ha a drót állandó hőközléssel hevítettetik, mihelyt a kritikus pont eléretett, a hőnek egy része elnyeletik s az alatt a mágnesi susceptibilitás veszendőbe megy.

Az elektromos vezetőképességnek a kritikus hőfok körüli változásai is a molekulai szerkezet megváltozására utalnak.

550. Változtassuk már most a hőmérsékletet, mialatt a mágnesi tér állandó intenzitáson tartatik. Az első fölmelegítés hatása azoktól a mágnesezési folyamatoktól függ, melyeknek a vizsgált darab megelőzőleg alá volt vetve; ez tehát lehet éppen úgy a mágnesezésnek gyarapodása, mint csökkenése s a mely akkor is megváltozott marad, a mikor a kezdeti hőmérséklet helyreállítatott. Ha tehát a hőmérsékletet két határozott hőfok

között ide-oda szöktetjük, akkor a mágnesezés minden egyes szökkenés alkalmával emelkedni fog, ha a darab mágnesező erőnek van alávetve; ellenben csökken, ha permanens mágneseségről van szó. Ezeknek a hőmérsékleti oscillációknak elegendő száma után a mágnesezés is kezd két állandó határ között ide-oda járni, melyek közül a nagyobb intenzitás a magasabb hőmérsékletnek felel meg, ha a mágnesezés gyenge, ellenben az alacsonyabbnak, ha erős.

Az efféle ciklikus változások a hiszterézis tünetényét nem mutatják, ha a kritikus hőfoktól bizonyos távolságban mennek végbe s azért is minden hőfoknak a mágnesezés intenzitásának határozott értéke felel meg (492). Nem áll ez azonban akkor, a mikor a fém közel van hozzá, hogy saját mágnesi susceptibilitását elveszítse; sőt most voltaképen két kritikus pontot fogunk találni: az egyik, a magasabb, a melegeedésnek s a mágnesi tulajdonságok elenyészésének felel meg; a másik pedig a mágnesi tulajdonságoknak a lehüléssel járó újra támadásának. A két hőmérséklet különbsége a vas és az aczél esetében rendesen nem több 10—12°-nál; de a legkeményebb aczélra nézve olykor több: a vas és a nikkelt egyik ötvényében meglepő nagy. Elég legyen megjegyezni, hogy 25% nikkelt tartalmaz. Ez az ötvény azt a furcsa dolgot példázza, hogy bár két igen erősen mágneses anyagból van összetéve, jóformán teljesen nem mágneses, ha csak 0° alá nem hűtetik, mely lehűtés után felveszi és megtartja a mágnességet és erősen mágneses marad, míg 580°-ra nem hevítettik. Az ötvény tehát mintegy 600°-nyi közön belül két tökéletesen állandó állapotban lehet, a melyek a mágnesi tulajdonságokon kívül még kohézióbeli állapotukra nézve is élesen különböznek egymástól. A drótokba kihuzott ötvény, ha nem mágneses, 30% megnyújtást meg bír és 1 mm²-kénti 80 kg terhelés alatt szakad el; de ha mágneses, csak 8%-kal nyújtható és szilárdságának modulusa 135 kg-nál nagyobb.

Ezek a tények előreláthatóvá teszik, hogy a gyengén mágneses fémek egynémelyike mágnesezhetővé válik, ha a jelenleg

előállíthatóknál mélyebb hőmérsékletekre sikerül majd őket lehűteni.

Végre arra nincsen példa, hogy a hőmérséklet hatására paramágneses test diamágnesessé válnék.

551. A mágnesi tér intenzitását mérő \mathcal{H} mágnesi erő a leg-egyszerűbben a levegőben levő pontokra, nézve határozható meg **(465)**; ugyanezt a definícióját a vas belsejében levő pontokra is kiterjesztjük. Hogy ezt tehessük, az illető pontot a vas belsejében, a mágnesi tér irányában kivájt végtelen kis keresztmetszetű rövid csatornácskába képzeljük bele, melynek falai mind-megannyi elemi szolenoidból állván, szabad mágnességgel, mely az illető pontban hatna, nem bírnak. De ha a vasban a mágnesezés irányára merőleges, végtelen szűk rést gondolunk, ennek falain a szabad mágnesség sűrűsége az **539.** pont (7) képletében kifejezett mágnességi intenzitással bír: a két fal közé fogott sark egységére $4\pi\mathcal{I}$ erővel hat, mely az előbb említett \mathcal{H} intenzitással algebrailag összeadódik. Ez az összeg:

$$\mathcal{B} = \mathcal{H} + 4\pi\mathcal{I} \quad (9)$$

a mágnesi indukció nevét viseli.

Az ezen a résen áthatoló erővonalak, melyek a két felületen levő szabad mágnességtől erednek, a vas tömegében folytatódnak, követik a mágnesezés irányát s a külső mágnesi tér erővonalaihoz csatlakozván, a mágnesezés vonalainak nevét veszik fel. Ezek a vonalak együtt az ú. n. indukció vonalakat alkotják s a felület egységén merőleges irányban áthatoló áramlásuk **(340)** mértéke nyilván \mathcal{B} .

A mágnesi indukció s a mágnesező erő viszonya:

$$\mu = \frac{\mathcal{B}}{\mathcal{H}} \quad (10)$$

a mágnesi permeabilitás, vagy mágnesi vezetőképesség nevét kapta, mely megállapodásban egységül a levegő permeabilitása fogadtatott el. Lássuk már most, hogyan lehet a \mathcal{B} és a μ

mennyiségeket közvetlenül mérni. Mindenekelőtt, visszaemlékezvén a susceptibilitásnak az 539. pontbeli meghatározására, mely

$$\kappa = \frac{\mathcal{J}}{\mathcal{H}},$$

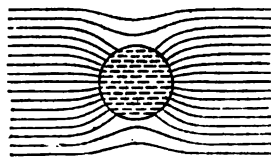
felállítjuk a következő kapcsolatot:

$$\mu = 1 + 4\pi\kappa. \quad (11)$$

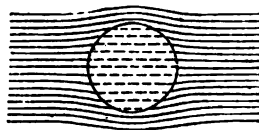
Ez a permeabilitás s a susceptibilitás közötti kapcsolatot fejezi ki s a (9) és (10) képletek összeszorzásából nyerhető.

Látjuk tehát, hogy valamely test mágnességi állapota akár a mágnesezés intenzitásával (\mathcal{J}), akár pedig a mágnesi indukcióval (\mathcal{H}) fejezhető ki; ez utóbbival a mérés még az oly esetekben is lehetségessé vált, a melyekben a mágnesezés, a minő például a zárt szolenoidot alkotó vasgyűrűnek a mágnesezése, kifelé semmiféle hatással nem bír.

552. A levegőben az indukció-áramlás az erő-áramlással megegyezik; a vasban, a nikkelen, a kóbaltban s a többi paramágneses (487) testben a permeabilitás az egységnél nagyobb, a miért is az indukció vonalai sűrűbbek, mint a levegőben; a diamágneses testekben ellenben $\mu < 1$ s ennél fogva az indukció-vonalak ritkábbak. A 763. ábra azt mutatja, hogy mily



763. ábra. Vasgolyó a mágnesi térben.



764. ábra. Diamágneses golyó.

módon változtatja meg egy lágy vas golyó az egyenletes mágnesi tér párhuzamos és egyenlő közü vonalainak elosztását: a vas golyó egyenletes mágnesezést vesz fel, mely az ő indukció-vonalaiival van kifejezve; ez utóbbiak nyilván a külső mágnesi tér erővonalainak folytatásába eső párhuzamos, egyenlő

közö (rajzunkban kipontozott) vonalak. A 764. ábra viszont a diamágneses golyó esetét tünteti elő, mely azonban oly szembe-
szökő alakban a természetben nem fordul elő, mert a bizmuténál
jóval kisebb permeabilitásnak felelne meg; a mely $-0,99982$,
már pedig ez a legkisebb ismert permeabilitás. Jegyezzük meg
azonban, hogy ezt az esetet mégis előállíthatnók, ha paramág-
neses közegben szintén paramágneses, de kisebb permeabilitású
golyót helyeznénk el.

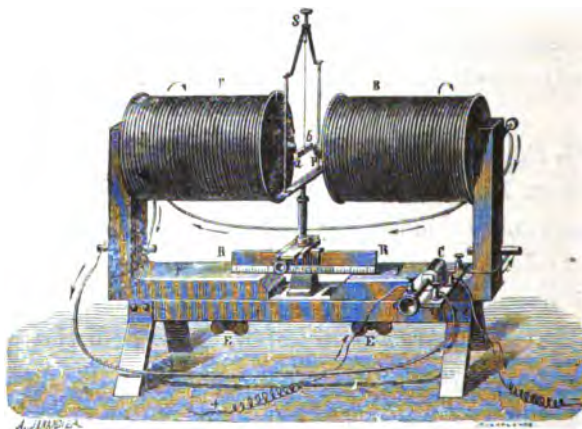
553. Egy izotróp, mágnességétől megfosztott golyó, egyen-
letes térben helyzetetvé el, különbös egyensúlyi helyzetben
marad meg, mert minden helyzetben egyenlő mágnesi energiára
tesz szert; de visszaemlékezvén arra, hogy a mágnesi energia a
mágnesi nyomatéknak a tér intenzitásával alkotott, ellentett
jellel vett szorzatával egyenlő (546), megérthető, hogy az ani-
zotróp golyó, melynek susceptibilitása nem minden irányban
ugyanaz, legnagyobb susceptibilitásának tengelyével a mágnesi
tér irányában fog törekedni elhelyezkedni, mert ekként mág-
nesi energiája értékének minimumára száll. Ellenben a diamág-
neses testekre nézve, melyek mágnesi nyomatéka negatív, az
energia értéke pozitívvá lesz s azért is a diamágneses pálczika
abba a helyzetbe törekszik jutni, melyben indukált nyomatéka
a legkisebb, vagyis az erővonalakra merőleges állásba.

Ugyanazon oknál fogva a nem egyenletes mágnesi térben
levő paramágneses testek azokba a pontokba üzetnek, a hol a
tér intenzitása nagyobb, a diamágneses testek pedig oda, a hol
az intenzitás kisebb; az előbbieket a mágnes vonzza, az utób-
biakat pedig taszítja.

Ezek a mozgások a 765. ábrában látható készülék segítsé-
gével könnyen megmutathatók, mely igen erős mágnesi tér
előállítására s a benne végbemenő igen változatos jelenségek
vizsgálására nagyon alkalmas.

A lágy vasanyagok a szintén vasból való két derék-
szögre vannak erősítve; ezek a megint csak vasból való tar-

tón csúsztathatók és toló csavarokkal reá erősíthetők, úgy, hogy a *b* sark-felületek a kívánt távolságba helyezhetők. Ez utóbbiak a két vasmag felületére helyezett vasdarabok segítségével tetszés szerinti alakra hozhatók, és sarkiságuk az áramnak az orsóokban való keringése irányával együtt felcserélhető.



765. ábra. Készülék a diamágnesség tanulmányozására.

Ha a sarkfelületek kúpalakúak és közéjük egy golyócskát függesztünk fel, megfigyelhetjük, vajjon közeledik-e ez a mágnesi tengelyhez, vagy pedig eltávozik-e tőle; ha ugyanoda pálczikát függesztünk fel, megláthatjuk, hogy tengelymentileg vagy pedig tranverzálisan helyezkedik e el: ily módon eldönthetjük, hogy *paramágneses* vagy pedig *diamágneses* testtel van-e dolgunk.

A folyadékokat eme vizsgálatnak akként vethetjük alá, hogy üvegsövekbe zárjuk, vagy pedig óraüvegekben a sarkfelületekre helyezzük, miként a 766. ábrában látható, hol is *P* valamely paramágneses, *D* pedig diamágneses folyadék magatartását tünteti elő.

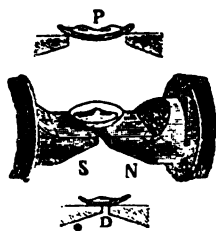
A légneműeket szappanbuborékokban vizsgálhatjuk meg, vagy pedig a sarkok közé légáramot hajtunk, melynek árnyékát lencsével ernyőre vetített napfényben láthatóvá tehetjük.

A 767. ábra a gyertya diamágneses magatartását tünteti elő. A II., III., IV. számú képek a gyertyaláng alakjának változásai; a mint a gyertyát majd feljebb, majd pedig lejjebb tartjuk a két pólus között, lángja mindig tengelymentileg helyezkedik el.

Paramágneses anyagok: vas és minden vegyülete, nikkell, kóbalt, mangán, chróm, cerium, titanium, közönséges platina; a gázak közül csakis az oxigén.

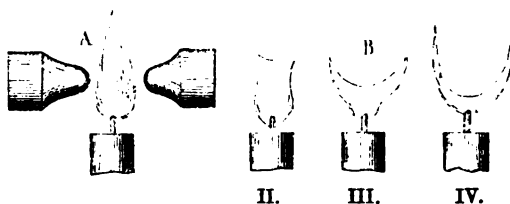
Diamágneses anyagok: bizmut, foszfor, antimón, cink, higany, ólom, ezüst, réz, arany, tiszta platina, víz, alkohol, tellur, selenium, kén, hidrogén, levegő.

A vér, mindamellett hogy vasat tartalmaz, diamágneses. Van aztán néhány anyag, mely aránylag gyenge térben ten-



766. ábra.

Polandékok vizsgálata.



767. ábra.

A gyertyaláng diamágneses magatartása.

gelymentileg helyezkedik el, míg a tér erősségének fokozásával tranzverzális helyzetet vesz fel. Ezt az anomaliát érthetővé teszik a vasnak nyomai, melyek az illetén, magukban véve diamágneses testekkel keveredve vannak: kezdetben a vas mágnessége a túlnyomó; később, az áram erősödésével, a vasrészecskék csakhamar elérik a telítési pontot (54), s az áram minden további erősítése csak annak az anyagnak diamágnességét fokozza, a mely a vasrészecskéket tartalmazza.

554. A 493. pontban előadtuk volt az elméletet, mely feltételezi, hogy a mágneses testek mind megannyi elemi mágnes-

ből állanak, s hogy a mágnesezés intenzitásának kisebb-nagyobb foka ezek irányításából ered; most hozzáteszszük, hogy ha a mágneses testek ezen részecskéi a külső erőnek szabadon engedhetnének, a telítettség bármily gyenge mágnesi térben azonnal bekövetkeznék. Ámde ezt nem tapasztaljuk s ezért is azt kell elfogadnunk, hogy minden részecske valamilyen ellenkező erőnek, az ú. n. *koerczív* erőnek van alávetve, melyről gyanítható, hogy az egész közvetlen környezet hatásának az eredője.

E feltevést: a **mágnesezés elméletét** igen szépen megvilágítják Ewing kísérletei, a melyekben egymástól egyenlő távolságban tűhegyen forogható mágnesűket állít fel s arra figyelmeztet, hogy ezek magukra hagyatván, mindenféle módon csoportosulhatnak, a nélkül, hogy kifelé bármiféle hatást kifejtenének. Az efféle csoportosulások mind megannyi különböző állapotoknak (545) felelnek meg, s a rendszer egyikből a másikba akkor megy át, ha bármely részében elegendőképen megzavartatott. Az átmenet alkalmával a tűk lengéseket végeznek s lengő mozgásuk hőt fejleszt, mely felszabadul.

Gyenge mágnesi tér hatására a tűk helyzeteikből kissé kitérülnek, melyekbe ismét visszatérnek, ha a tér intenzitása zérussá lett: ez a gyenge ideiglenes mágnesezésnek felel meg. Ha a tér intenzitása növekedik, a kitérülések is nagyobbodnak s végül bekövetkezik az is, hogy egyes csoportok felbomlanak, a mikor is a rendszer hirtelen új csoportosulásba megyen át, a melyben a tűk irányulásában a tér iránya kezd túlnyomóvá lenni; később új meg új csoportok bomlanak fel, úgy, hogy csakhamar az összes tűk majdnem párhuzamosan helyezkednek el. Ez az állapot a mágnesezési görbe meredekebb részének felel meg. Ettől kezdve a mágnesi térnek minden növekedése csak azt a már is kicsiny szöget kisebbiti egy kevéssé, melyet a tűk a tér irányával bezárnak: ez az utolsó stádium, mely a mágnesezési görbének az abszcissák tengelyével közel párhuzamos részét példázza.

Ha a második, vagy a harmadik stádiumban a tér intenzitása netán csökken, nem fognak egyszerre ugyanazon csoportok újra alakulni; de a rendszer a legközelebbi, állandó egyensúlynak megfelelő csoportosuláshoz csak fokozatosan közeledik. Ez ismét a maradék mágnesezés s a hiszterézis magyarázatát segíti elő.

A csoportok felbomlása a második stádiumban hirtelenebb, ha a rendszer homogén, vagyis ha a tűk egyenletesen vannak elrendezve, ellenben fokozatosabb, ha az elrendezés szabálytalan. Az első eset a lágy vas esete, a melyben a mágnesezés egy bizonyos ponttól kezdve rohamos, a második pedig az aczéle, mely jóval lassabban tart telítettségi állapota felé.

A hőnek a susceptibilitásra való hatását pedig a tőle előidézett két hatás magyarázza, az t. i., hogy az elemi mágneseket egymástól távolítja s rezgéseket végeztet velök: az első kölcsönös hatásaikat csökkenti s ezzel fogékonyabbakká teszi a külső hatások irányában, a második pedig az eredő nyomatókat kisebbiti. A mágnes-tulajdonságnak a kritikus ponton való elenyészését az a feltevés magyarázná, hogy a rezgő mozgások, megnövekedvén az amplitudjuk, forgó mozgásokká válnak.

A gyenge mágnesi terekben tapasztalt nagyobb susceptibilitás, valamint a koercitív erőnek a rázkódásoktól okozott csökkenése (547) az elemi mágnesek pillanatnyi eltávolításának tulajdonítandó, mely az egyes csoportok összefüggését lazítja. Ugyanilyen eszmefűzés a rugalmas alakváltozásoknak a mágnesezésre való olyannyira bonyolódott hatását is megmagyarázza.

Ebben az elméletben nincsen megadva a mágneses testek részecskéinek sarkiasságát előidéző ok s azért az AMPÈRE-féle hipotézissel (541) is megegyeztethető.

Vége a diamágnesség magyarázata arra a tényre alapítható, hogy gyengén mágneses test erősen mágneses folyadékba mérítve úgy viseli magát, mintha diamágneses volna (552). Így egy csővecske, mely higitott vaschlörüldattal van megtöltve, a

levegőben tengelymentileg helyezkedik el, ellenben midőn ugyan-ezen só sűrűbb oldatába van merítve, tranzverzális állásba jut. A tűnemény hasonló a hidrosztatikai nyomáshoz, és reá is ugyan-azt az okoskodást alkalmazhatjuk, melylyel ARCHIMEDES elvét (I, 179) fejtegettük. Ennélfogva minden test paramágnesesnek volna tekinthető, ha csak felteszszük, hogy a diamágneses testek kisebb mértékben mágnesesek az őket körülvevő közegnél.

Mivel továbbá a bizmut még a légüres térben is taszítatik, eme magyarázat megkívánja, hogy az éternek paramágneses tulajdonságai legyenek, és AMPÈRE hipotézise megkívánja, hogy az elemi áramok magában az éterben is szüntelenül keringjenek. De mindezek a feltevések kissé merészek és bizonytalanok, és mindaddig, míg az elektromosság természetét fel nem ismerjük, mindig nagyon problematikusok maradnak.

XLVI. FEJEZET.

ELEKTROMOS TELEGRAFIA.

555. Az elektromágneseknek a telegrafiára való alkalmazása bizonyára a legfontosabb a gyakorlati életre nézve. Az a gondolat, hogy az elektromos tűnemények átmenetelének rendkívüli sebessége felhasználtassék, a múlt század végére vezethető vissza; kezdetben valamely elektroszkóp kitéréseinek megfigyelésére gondoltak; azután a szikrákra, melyek egy szigetelt vonal drótja és a földdel közlekedő valamely vezető között átugranak; később az áram chemiai hatásaihoz, a galvanométerek kitéréseihez és az elektro-mágneseknek a horgonyra ható vonzásához folyamodtak. Csak az utóbbi két módszer alkalmaztatott nagyban, de a készülékek oly rendkívüli változatosságával, hogy erről csak szakmunkákból vagy a telegrafiai folyóiratok-

ból szerezhethünk alaposabb tudomást. Itt be kell érünk néhány futólagos vázlattal.

Minden telegraf-rendszer négy lényeges részből áll: a vonalból, a telepből, a jeladóból és a jelvevőből.

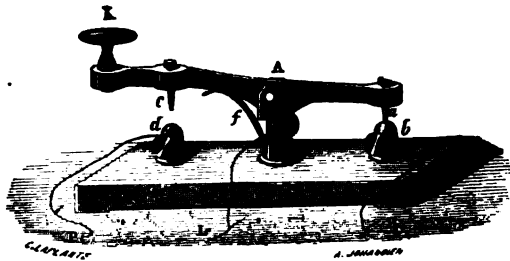
556. A telegráfvonalak levegőbeliek, földalattiak és víz-alattiak. Az elsők a vas szívósságánál és olcsóságánál fogva vas-drótból valók, mely czinkkel van bevonva, hogy meg ne rozsdásodjék, és a földbe ázott póznákra vagy az épületekre erősített porcellánszigetelők-höz van kapcsolva. A földalatti vonalak drótfajai guttaperchéval vannak szigetelve s rendszerint hozzáférhető csatornában helyeztetnek el, de ha elásatnak, fémcsövekbe illesztendők, hogy esetleges sérülésektől megóvassanak. A tengeralatti vonalakban a vezető rézdrótok nyalábjából áll, mely több guttapercharéteggel van szigetelve és szurokban áztatott kőcczel körülcavart vasdrótokkal van megóva. A 768. ábra természetes nagyságban mutatja a tranzatlanti kábel darabját, mely egészben véve 4 millió kilogrammot nyom. C-ben látjuk a hét rézdrótot, melyek az áram vezetésére szolgálnak, G-ben pedig a szigetelő burkolatokat, aztán pedig egy réteg jutaszálát; mindezek alkotják a vonal *belét*, melyet köröskörül tíz, csavarszerűleg körülfont vasdrót oltalmaz.

A telegráf-telepek általában véve DANIELL-típusbeliek, a a likacsos edény elhagyásával (442).



768. ábra. Tranzatlanti kábel.

A **jeladó fémemeltyű** (760. ábra), mely a vonallal közlekedő *A* tengely körül forgékony. Midőn a *K* markolatot vagy billentyűt benyomjuk, *c* és *d* között, tehát a *P* telep egyik sarka és az *L* vonal között is érintkezés létesül; midőn magára hagyjuk, az *f* rugó a *a* csúcsot a *b* drótszorítóval érintkezteti, mely ugyanazon állomás jelvevőjével közlekedik, a melyen a jeladó van.

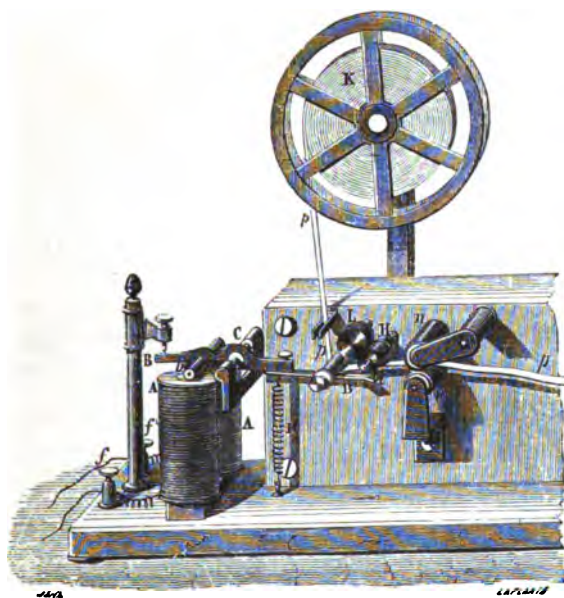


769. ábra. Jeladó.

A **Morse-féle jelvevő** (770. ábra) a *e* horgonnyal felszerelt *E* elektromágnesből áll, mely horgony egy emeltyűre van erősítve; ez a *c* tengely körül forog és a vasmagtól a *D* ellenhatású rugó tartja távol; de túlságosan nem távolodhatik el, mert egyik végével egy finom beállítású csavarba ütközik. Midőn az elektromágnes gerjesztve van, leküzdi az *r* rugó rugalmasságát, s ekkor az *e* horgony leszáll, a nélkül azonban, hogy a vasmaggal érintkezésbe jutna, mert ebben egy második finom beállítású csavar megakadályozza. — A közvetetlen érintkezést azért kell megakadályozni, mert különben a horgony a vasmaggal zárt mágnesi kört alkot, s ennek következtében a maradék mágnesség (543) olyan erős, hogy a rugó nem fogná bírni a horgonyt a mágnesező áram megszűnésekor a vasmagról leszakítani. — Midőn a horgony leszáll, az emeltyű baloldali *l* vége felemelkedik és a *ppp* papirosszalagot nyomtató festékekkel itatott hengerhez szorítja. A szalag az *R* kerékről gomolyodik le, majd a *H* hengerre szorul, melyet kulccsal felhuzható órarugó hajt. Midőn tehát az elektromos áram a

mágnesező orsóban keringve az elektromágnest gerjeszti és midőn a szalag legombolyodik, folytonos vonal nyomtatódik le, mely azonban az áramkeringés megszűntével rögtön megszakad, mert ekkor a horgony az ellenhatású *D* rugó erejének enged és az emeltyű *l* vége többé nem szorítja a szalagot a festékkal itatott hengerhez.

A szerint tehát, a mint az áram hosszabb vagy rövidebb



770. ábra. Morse-féle jelvevő.

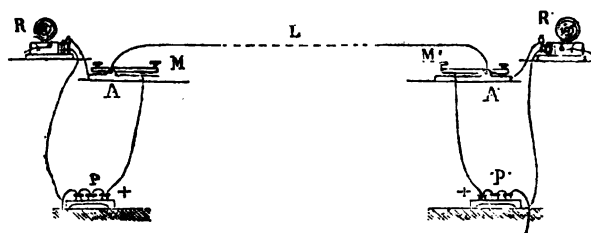
ideig zárva van, hosszabb vagy rövidebb vonalkák, azaz vonalak és pontok rajzoltatnak, melyek alkalmas betürend segítségével a sürgöny szövegének elolvasását lehetővé teszik.

A tulsó oldalon közöljük a MORSE-féle telegráf betű- és számjegyeit.

Morse-féle betűrend.

A . —	I . .	R . . .	2 . . . — —
B — . . .	K — . . —	S . . .	4 —
C —	L . — . .	T —	5
D — . .	M — —	U . . —	6 —
E .	N — .	V . . . —	7 — — . . .
F . . — .	O — — —	Z — — . .	8 — — — . .
G — — .	P . — — .	1 . — — — —	9 — — — — .
H	Q — — . . —	2 . . — — —	0 — — — — —

A 771. ábra két állomás összekapcsolásának legegyszerűbb módját tárja elénk. Ha lenyomjuk az M billentyűt, a P telep pozitív sarkát összekötjük A -val és az L vonaldróttal, mely, midőn a másik állomás jeladója nem dolgozik, vagyis M' le nincs



771. ábra. Két állomás összekapcsolása.

nyomva, az R' jeltevővel s ez ismét T' -nél a földdel közlekedik, s ennél fogva az áram a magasabb potenciálú P ponttól ehhez az alacsonyabb potenciálú ponthoz megy át.

Hasonlóképen a második állomáson a P' telep negatív sarka a földdel, pozitív sarka pedig, midőn M' van lenyomva, az L vonaldróttal, továbbá A ponton át az első állomás R jeltevőjével, ezután pedig T -nél a földdel közlekedik.

Ily módon mindegyik állomás jeltevője a másik állomástól útnak indított áram hatása révén működik.

557. A Hughes-féle telegráfnak a Morse-félével szemben az a jó oldala van, hogy a jeleket rohamosabban teszi át és a sürgönyöket közönséges betűkkel nyomtatja le, mi azonban csak jóval bonyolódottabb gépezet árán érhető el. Mind a két állomásnak a zongoráéhoz hasonló billentyűsora van, mindegyik billentyűn a betűrend egy-egy betűjével, továbbá van egy *betűs kereke* vagyis egy kicsiny kereke, melynek pereme domború mívű betűkkel van ellátva. A szalag ezalatt a kerék alatt halad tova és emerre akkor szoríttatik rá, midőn egy billentyűt lenyomnak, mi előidézi azt, hogy a kerék a megfelelő betűt fordítja a papiros felé. Ha már most az állomásokon levő betűs kereknek teljesen megegyező mozgásuk van, nyilvánvaló, hogy mind a két állomáson egyidejűleg ugyanazok a betűk nyomtattnak le. Hogy azután miként érthető el ez a megegyező mozgás és hogy a rendkívüli sebesség daczára miként tartható fenn, itt nem magyarázhatjuk meg, mert nagyon aprólékos leírásokra vezetne.

558. E helyett inkább le fogjuk írni, a CASELLI-féle **pantelegráfot**, vagyis általános telegráfot, melyen igen elmés készülékkel autográfus úton minden nyelvnek betűi és a rajzok is áttehetők.

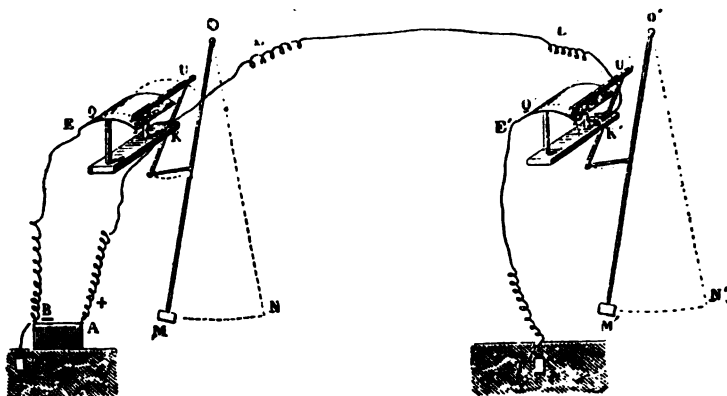
A következő leírást maga a feltaláló volt szíves rendelkezésünkre bocsátani.

«A 772. ábra vázlatban tünteti elő a készülék berendezésének lényeges részeit. A feladó állomáson az *OM* inga van felfüggesztve, az átvevő állomáson pedig egy épen ilyen *O'M'* inga. Ezen ingák lengéseit a mindjárt leírandó módon elektromágnesek tartják fenn, melyeknek horgonyait az *M* és *M'* vastömegek alkotják, továbbá két szabályozó chronométer tartja fenn.

«Mindegyik inga rúdja egy-egy hajtórúd könyöklík, mely a *K* és *K'* emeltyűket ide-oda mozditja; ezen emeltyűk mindegyike össze van kapcsolva egy-egy készülékkel, melyet a 773. ábra részletesebben tüntet elő.

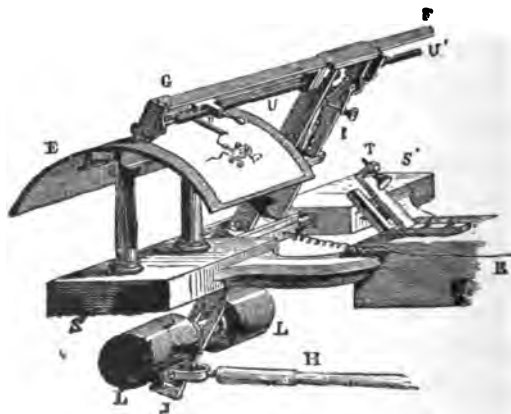
«A sürgöny eredetijét, melyet a feladó közönséges tintával

ezüstözött vagy ónozott lapra ír, az *E* fémtartóra erősítjük. Egy igen vékony platina-vesszőcske, mely az ingától kormányozott



772. ábra. Caselli-féle pantelegraf két állomása.

H hajtórúd révén mozog, köríveket fut be, melyek az *UU'* csavar hatására minden egyes lengés alkalmával mintegy $\frac{1}{8}$ milliméternyivel csuszamodnak el az *E* tartó tengelye irányában.



773. ábra. Caselli pantelegráfjának jeladó készüléke.

Ekként a csúcs a sürgöny felületét párhuzamos s egymáshoz igen közel eső vonalak sorával futja be.

«A felvevő állomáson a készülék azonos berendezésű, különbség csakis abban van, hogy a vesszőcske vasból van és hogy a tartóra helyezett papiros ammoniumnitráttal csaknem telített vízben feloldott sárga vérlúgsóval van itatva.

«A 772. ábrában látjuk, hogy a *BA* telep pozitív sarka a *K* emeltyűvel s ennek révén a platinacsúcsal közlekedik, mely csúcs a sürgöny fémi felületén csúszva a telep áramát ott helyben zárja. De valahányszor a csúcs tintavonással találkozik, mely az elektromosságot csak kissé vezeti, a helybeli áram zárata csak tökéletlen, és mivel a telep negatív sarka *T*-ben a földdel állandó összeköttetésben van, az *LL'* vonaldrótna áram szökik, mely a másik állomásra megy és a vaspálcikán át keresztülmenvén a chemiai papirosra, berlini-kék színű vonalat rajzol, *T'*-ben pedig a földbe megy.

«Ha a két inga lengését teljesen egyidejűnek tételezzük fel, könnyű megérteni, hogy a papirosra húzott kék vonalaknak úgy helyzetökre mint terjedelmökre nézve pontosan meg kell felelniök az eredetiben húzott tintavonásoknak és ennél fogva ezeknek tökéletes hasonmását kell adniok.

«Ezt az egyidejűséget a pantelegráfban ekként érjük el. Miként már említettük, az egymással közlekedő állomásokon, *MN* és *M'N'*-ben, két elektromágnes van elhelyezve. Az őket gerjesztő helybeli telepek áramkörei akkor záródnak, midőn az ingák lencséi, vagyis az *M* és *M'* lágyvastömegek, lengéseik vége felé néhány milliméternyire vannak a mágnessarkoktól. Két chronométeres szabályozó egyenlő időszakokban szakítja meg a mágnesek áramköreit s egyidejűleg a nehézség hatásának engedi át az ingákat, melyek minden lengéskor körülbelül $\frac{1}{10}$ másodpercig megállapodva látszólag folytonos mozgást végeznek.

«A fémezett lapra, melyre a sürgönyöket írjuk, a baloldali szélén függélyes tintavonás van húzva, melyet a telegramm visszaad. Ha ez az irányvonal jobbra vagy balra kezd hajolni, a felvevő állomás telegrafistája kijavítja oly módon, hogy kézzel szabályozza a chronométert, néhány fokkal jobbra vagy

balra forgatván a mutatóját egy mikrométercsavarnak, mely a chronométeres lengéseket, és ennél fogva a pantelegráf ingáinak lengéseit néhány ezred-másodpercczel gyorsítja vagy lassítja.



774. ábra. A sürgöny eredetije.



775. ábra. A sürgöny másolata.

«A 774. és 775. ábra egy sürgöny eredetijét és másolatát tünteti elő.»

559. A tengeralatti telegrafiában a jelek, a vonal nagy kapacitása miatt, nagyon lassan tevődnek át. Meg kell ugyanis gondolnunk, hogy a vonal rézvezetéből áll, mely szigetelő burkolattal, s ez ismét vezető tengervízzel van körülvéve, s belátjuk, hogy ez a rendszer nagy sűrítőt alkot. Ha ezt a sűrítőt összekapcsoljuk a teleppel, megtöltetik, s míg ez a töltés

tart, az áram *változó állapotban* van: intenzitása nem egyenlő az áramkör minden pontjában, s minden pontban az idővel változik, mielőtt a *maradandó állapotot* elérné.

A törvény, mely szerint az áram intenzitása a *változó állapotban* változik, nagyon bonyolódott, de úgy számítás, mint kísérlet útján ismeretes. Itt meg kell elégednünk, hogy általános fogalmat nyujtsunk róla. Például a Gibraltar, Malta, Szuez, Aden, Bombay, Calcutta és Singapore közötti tengeralatti vonalon legyen mindegyik állomáson egy galvanométer beiktatva; az utolsó állomás közlekedjék a földdel, az első legyen elszigetelve és legyen összekapcsolható egy telepnek például a pozitív sarkával, mely telep negatív sarka a földdel közlekedik. Abban a pillanatban, melyben az áramkör zárul, mindegyik galvanométer csaknem egyidejűleg megérzi ezt, de a kitérés az első állomáson nagyobb mint Maltában, itt nagyobb mint Szuezben, és i. t. Singaporeban eleintén a leggyengébb. Ezután eme különbségek folyton csökkennek: Gibraltarban csakhamar létrejön a végleges kitérés, kevéssel ezután Maltában, és így tovább; a vonal utolsó állomása egyúttal utoljára kapja a teljes erősségű áramot. Ez a késedelem, mely a vonal hosszának négyzetével (418) arányos, tetemessé válhatik; az Irland és Új-Skótország közötti tranzatlanti vonalon CULLEY szerint három másodpercze rúg.

Hasonló késedelem nyilvánul az áramkör megszakítása pillanatában, mielőtt az áram teljesen megszűnnék és valamennyi galvanométer zérusra térne.

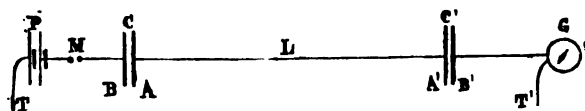
Valamely vonal üzleti értéke azonban azon sürgőnymennyiségtől függ, mely naponként áttehető, és hogy a tengertúli vonalak munkája kifizethesse a befektetés roppant költségeit, le kellett mondani a MORSE-féle telegráfról, mely ez esetben nagyon lassú, és olyan jellevőt kellett helyette alkalmazni, mely valamelyes igen gyenge áramnak mindjárt a megérkezésekor jeleket ad.

Reflexiós galvanométerek (506) igen jól megfelelnek ennek

a czélnak, ha ugyan a tű és a tükröcske igen könnyű, úgy, hogy tehetetlenségi nyomatékuk (509) kicsiny; a fénynyalábnak a pozitív vagy negatív áramoktól előidézett jobbra vagy balra való kitérései megfelelnek a Morse-féle pontoknak és vonalaknak (556).

A jellevő érzékenysége még nem elegendő, mert legott ad ugyan jeleket, de nem szűnik meg adni az áram megszakítása után is mindaddig, míg a vonal kisütve nincs. A nehézséget akként küzdötték le, hogy mindjárt a megszakítás után a vonalba ellenkező áramot vezettek, mely a vonalat semlegesíti; ezen felül még czélszerűnek mutatkozott, hogy minden egyes jel igen gyorsan egymásra következő több, egészen ötre rugó árammal adassék meg, melyek közül az első áram határozza meg a kitérés irányát.

Ezen kívül czélszerű, hogy az L vonal (776. ábra) mind a két vége a földtől elszigetelve tartassék, és pedig oly módon,



776. ábra. A vonal-drót elszigetelése.

hogy két, C és C' sűrítőnek A és A' fegyverzeteivel kapcsolatik össze, a másik két B és B' fegyverzet pedig a P teleppel az M billegtető révén, a T' földdel pedig a jellevő G galvanométer révén közlekedik. Ha kezdetben minden zérus-potenciálón van, és ha ezután M -ben létrehozzuk az összeköttetést a telep pozitív sarkával, a potenciál B -ben, s ennél fogva A -ban is emelkedik, és a pozitív elektromosság A -ból A' -ba megy át (343); de ekkor a potenciál B' -ben is emelkedik, és a G galvanométer drótján át elektromosság ömlik a földbe, mely áram csakis addig tart, míg az egyensúly létre nem jön azzal a feltétellel, hogy a potenciálnak az egész vonalon egyazon értéke van. Innét kitűnik, hogy a teleppel való maradandó érintkezés

is csak mulékony jeleket létesít, és érthető, hogy két igen rövid és váltakozó érintkezés, ha kellőképen meg van választva, nagyon rohamos elektromos hullám keletkezését idézheti elő. A jelek gyorsítására ekként választott érintkezéseket a jeladó, melynek a két különböző kitérésnek megfelelő két billentyűje van, automatikus módon végzi.

A telegrafiának ez a rendszere jelenleg annyira tökéletesítve van, hogy még az óceánon át is rendszerint 8 szó tehető át percenként, a mi, ha a szavak betűszámának és az egyes betűk jelei számának középértékét vesszük, annyit jelent, hogy a jelvevő tükröskéje percenként 120-szor tér ki.

Csakhogy a MORSE-telegráftól eltérőleg az áttett jeleknek semmi nyoma sem marad; a jelek feljegyzése a tisztviselőre van bízva. Már pedig az automatikus feljegyzés a szolgálat szabályosságára nézve rendkívül fontos. Lord KELVIN az ő *sophon recorder* nevű készülékével megoldotta a grafikus jelvevő problémáját; készülékének érzékenysége és gyorsasága megfelel a tengeralatti telegrafia kívánalmainak.

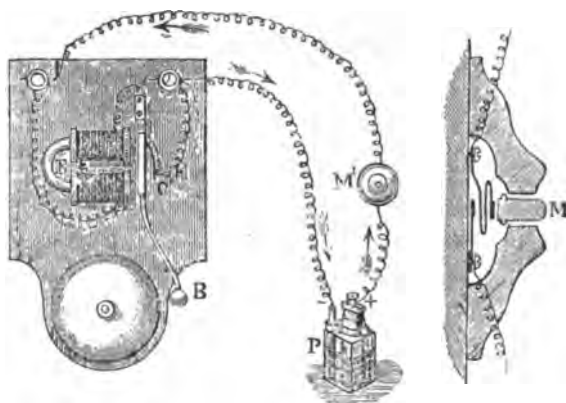
Egy igen érzékeny galvanométer tűje tükröske helyett üvegből való igen kicsiny görbe szívóval (*sophon*) van ellátva, melynek rövidebb szára tintatartóba merül, hosszabbik szára pedig hegyesre van kihúzva. A kifolyás a folyadék felületi feszültsége (I, 215) miatt nem történik magától, hanem elektromos töltés idézi elő, mely a tintatartóban levő tintával közöltetvén, a tinta a papirosszalagra szökken, mely egy óraműtől húzva a szívó csúcsa alatt halad el a nélkül, hogy ezt érintené, és pedig a csúcs elmozdulásaira merőleges irányban halad, minélfogva kigyózdó vonal keletkezik rajta.

Megoldották a többszörös telegrafia problémáját is, azaz több sürgönynek egyazon vonalon való egyidejű áttételét; de az olvasót, hogy ezzel megismerkedjék, szakmunkákra kell utalnunk.

560. Az elektromos jeladók egy másik igen hasznos alkalmazása az elektromágneseknek. Ezek rendszerint csen-

getyűk, melyek mindaddig, míg az áramkör, melynek a mágnesező orsó részét teszi, meg van szakítva, nyugton maradnak, és a zárás egész tartama alatt szólnak. A zárás nagyon sokféle módon történhetik: az áramot vagy a jelt adni kívánó egyén keze zárja vagy valamely hőmérő oszlópa, mely azt jelzi, hogy a mérséklet bizonyos határt túllépett, vagy valamely manométer, mely azt jelzi, hogy a nyomás valamely gáztartóban átlépte a kívánt értéket, stb.

Ez esetben a barnakötelepek (444) a legjobb szolgálatot teszik. Ha megnyomjuk az *M* gombot (777. ábra), az áram a



777. ábra. Elektromos csengettyű.

pozitív sarktól az *E* elektromágnes tekervényeibe, s innét egy rugóba megy át, mely a *B* verővel ellátott horgonyt kormányozza; a rugóról a *C* érintkeztetőn át visszamegy a *P* telep negatív sarkához. Az ekként gerjesztett mágnes magához húzza a horgonyt, mely a verőt a csengettyűre rántja, de ugyanekkor az áramkört *C*-ben megszakítja. E miatt azután megszűnik a vasmag vonzása, de az ellenhatású rugó révén az érintkezés *C*-ben helyreáll, és így megy ez tovább mindaddig, míg az *M* gombot leszorítva tartják.

561. Az elektromos óra egy másik alkalmazása az elektromágneseknek. Az *automatikus órákban* a telep szolgáltatja a mozgásuk fentartására megkivántató energiát, és pedig oly módon, hogy a szabályozó ingának (I, 89) minden egyes lengésekor a telep alkalmas módon zárul, a mi a megkivántató impulzusokkal látja el az ingát, mely az elektromágnes horgonyával van ellátva.

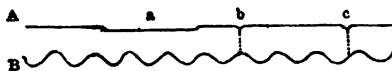
Százakra rúg az ezen elvre alapított órák száma, de az a körülmény, hogy állandó telepet kívánnak meg, már egymagában elegendőképpen megmagyarázza, hogy miért nincs elterjedt alkalmazásuk.

Czélszerűbbek az *összhangzó* (szimpatikus) *órák* (elektrochronométeres számlálók), melyek mutatói egy jó középponti óra vezérletére másodpercenként vagy szintén percenként mozognak. A középponti óra a telepet magában foglaló áramkört szabályos időközökben zárja s ekként a városban szétosztott óraművek elektromágneseit gerjeszti. Az egyes horgonyok ily módon egyidejűleg vonzatnak, és egy egyszerű emeltyűszerkezet és kerékmű közvetítésével egy lépéssel előre ugratják valamennyi mutatót.

Egy városnak vagy vasút-vonalnak különböző óráit rugók és súlyok is hajthatják, és a középponti óraműtől vezérelt **elektromos szabályozók** csakis két-három órai időközökben igazítják meg.

562. Az elektromos chronográfok igen rövid időtartamok mérésére valók. Egy bekormozott vagy pedig papirossal bevont henger egy csúcs előtt vagy pedig hegyesre kihúzott és tintát tartalmazó csővecske előtt egyenletesen forog, minélfogva folytonos vonal húzódik rajta. De a vonalat író csúcsot a horgony tartja, és midőn az elektromágnezt gerjesztjük, a henger mozgásának irányára merőlegesen eltolódik, minélfogva az *A* vonal (778. ábra) *a*-nál törést kap. Ha megmérjük a törés hosszát és ha ismerjük a forgásbeli sebességet, legott kiszámíthatjuk azt

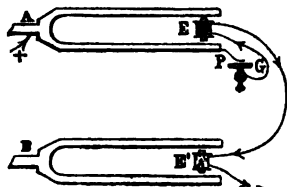
az időtartamot, melyen át az áram zárva volt; a két törés például b és c közötti távolság pedig két egymásra következő zárás közötti időt adhatja meg, stb. Ily módon becslés útján meghatározhatók még a másodperc tizedred részei is, de ismernünk kell a henger szögsebességét, már pedig tudjuk, hogy mily



778. ábra. Hangvilla rezgések nyoma.

nehéz egyenletes mozgást létrehozni. Tudjuk már, hogy hangvillával segíthetünk magunkon, mely az δ sinus-vonalát, B -t, az író csúcs vonala mellett (I, 303) rajzolja fel, s itt csak azt kell még megmondanunk, hogy a hangvillát miként lehet elektromágnesekkel huzamosan rezgésben tartani.

563. Az elektromágneses hangvillának, A -nak (779. ábra) vasból vagy aczélből kell lennie; egyik szárának végén platina-drótoeska van odaerősítve, mely a G korongocskát érintvén, az E elektromágnes áramkörét zárja, és pedig minden egyes rez-



779. ábra. Elektromágneses hangvilla.

géskor zárja, a mikor ugyanis a szárak egymástól el vannak távolodva; ennél fogva a szárak a rugalmasságukkal összehangzó impulzust nyernek, mely azon van, hogy őket ismét egymáshoz közelítse.

Ez az A *automatikus hangvilla*, más hangvillákra, például B -re hathat, a melyek vele összehangzók és melyeknek ugyanabban az áramkörben megvan a maguk E' elektromágnesese. Így mindezen műszerek fázisainak maradandósága biztosítva van, minek sok vizsgálatban nagy haszna lehet.

Egyelőre nem kell még egyéb példákatis felemlitenünk, hogy szembeötlővé váljék, hogy az elektromágnesek mennyi szolgál-

latot tesznek azokban a nagyon sokféle esetekben, midőn arról van szó, hogy távolságokon át hirtelenül és kanyargós úton jeleket adjunk, gépezetek járását szabályozzuk vagy beszüntessük.

XLVII. FEJEZET.

OHM TÖRVÉNYE.

564. Ideje immár azzal a kérdéssel foglalkoznunk, hogy mi módon függ az elektromos áram intenzitása az áramot létesítő teleptől és az áramot vezető zárlattól? Oly probléma ez, melynek úgy a gyakorlatban mint a tudományban a legnagyobb fontossága van.

Emlékezzünk vissza, hogy az áram intenzitását galvanométerrel mérjük, és hogy a tű kitéréseivel, ha igen kicsinyek, arányosnak vehetjük **(508)**.

Forduljunk tehát ismét tükrös galvanométerünkhöz **(429. p. 689. ábra)**, csökkentsük érzékenységét, hogy tűjének kitérései kicsinyekké váljanak, és állítsuk fel messze a skálától, hogy kicsiny szögmenti kitéréseknek a láng képének jól látható elmozdulásai feleljenek meg.

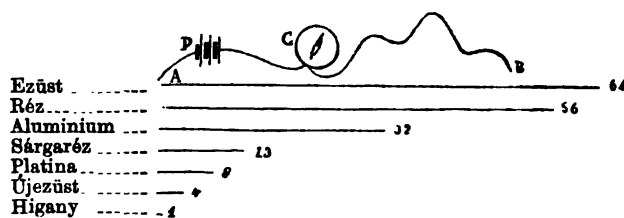
Ezen kívül emlékezzünk vissza, hogy valamely telep elektromindító erejét egymással nem érintkező két áramvezetőjének potenciál-különbsége méri, mely különbség meghatározható a quadráns-elektrométerrel **(386)**.

565. Mondjuk meg mindjárt, hogy az elektromindító erő egymagában nem elegendő az áram intenzitásának meghatározására. Láttuk ezt már akkor, midőn a galvanométeren át az elektromozó gép áramát és egy VOLTA-féle párnak áramát vezet-tük **(430)**.

Most ezt más módon, több telepnek egymással való összehasonlításával fogjuk nyilvánvalóvá tenni. Vegyünk egy lehetőleg nagy DANIELL-elemet (442) és egy kicsiny LECLANCHÉ-elemet (444). Az első megfelelően választott galvanométeren nagyobb kitérést ad, mint a másik; és mégis, ha ellenkezőleg kapcsoljuk őket össze, azaz ha a két czinket kötjük egymással össze és az ekként összeállított telep áramkörébe a galvanométert iktatjuk, kicsiny kitérést fogunk ugyan kapni, de ellenkezőt azzal, melyet a DANIELL-elem egy magában adna. Következik tehát, hogy emennek kisebb az elektromindító ereje.

Hasonlóképen két DANIELL-nek, egy kicsinynek meg egy nagynak, egyazon elektromotoros ereje van (426): ellenkezőleg kapcsolva nem adnak áramot, de a nagy egymagában nagyobb kitérést okoz mint a kicsiny.

566. Sőt mi több, egyazon telep különböző erősségű áramokat ad azon áramvezetőhöz képest, mely a telepet zárja. Kössük össze egy DANIELL-telep sarkait közvetlenül a galvanométer drótjával, és nagyobb kitérést fogunk megfigyelni mint akkor, midőn az egyik sark és a galvanométer közé még egy áramvezetőt iktatunk, különösen ha ez hosszú és vékony. Épen így járunk el, midőn az áramkörbe iktatott különböző vezetőktől létesített hatást tanulmányozzuk.



780. ábra. Vezető képességek összehasonlítása.

E végből feszítsünk ki vízszintes irányban különböző fémekből való, egyelőre egyenlő vastag drótokat. A *P* telep (780. ábra) egyik sarkát mindig egy drótnak egyik *A* végével, másik

sarkát pedig a G galvanométer drótjának egyik végével kötjük össze, a galvanométer-drót másik végét ismét a megvizsgálandó dróton addig csúsztatjuk, míg valamely meghatározott kitérést nem nyerünk.

Ha ily módon különböző fémekből való drótokkal járunk el, azt fogjuk találni, hogy egyazon kitérés létrehozására a belőlük beiktatandó darabok hosszának arányosnak kell lennie az ábrában feljegyzett számokkal, melyek azt fejezik ki, hogy például 8 m platina-drót már épen oly mértékben gyengíti meg az áramot, mint 64 m ugyanolyan vastagságú ezüst-drót.

Innét kitűnik, hogy a fémek, bár mindannyian jó elektromosság-vezetők, nem mind egyforma jó vezetők. Az ezüst *vezető képessége* a legnagyobb, a higanyé a legkisebb. Ezt még akként is fejezhetjük ki, hogy azt mondjuk, hogy a fémek, egyenlő hosszúság és keresztmetszet mellett, az áramlás ellen különböző **ellenállást** fejtenek ki: a felsoroltak közül a legkisebbet az ezüst, a legnagyobbat a higany fejtí ki.

567. Ha azután egyazon fémből való, de különböző vastagságú drótokat hasonlítunk össze, látni fogjuk, hogy egyazon hosszúság mellett a vékonyabbak nagyobb ellenállást tanúsítanak, és fordítva, hogy ugyanannak az ellenállásnak kifejtésére annál kisebb hossz elegendő, mentül vékonyabb a drót. Nevezetesen pedig a keresztmetszetekkel arányos hosszakat kell az áramkörbe iktatnunk, hogy a galvanométer egyazon hatást áruljon el. Így például, ha két rézdrót átmérője 1 és 2 mm, keresztmetszete tehát $\frac{\pi}{4}$ mm² és π mm², az első drótnak minden méterére a másiknak 4 méterét kell beiktatni.

Ha tehát valamely vezető hossza l , keresztmetszete s , k pedig fémenként változó együttható, eme vezető r ellenállását a következő képlettel fejezhetjük ki:

$$r = k \frac{l}{s}. \quad (1)$$

És mivel valamely henger **vezető képességének** mértéke az ellenállásának **viisszás értéke**, kifejezése ez :

$$r = \frac{1}{r} = \frac{1}{k} \cdot \frac{s}{l}. \quad (2)$$

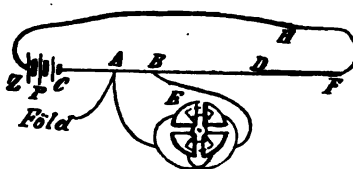
568. Ezek a képletek a nem-fémes folyadékokra is érvényesek, jóllehet bennök az elektromosság terjedése egészen más módon megy végbe, melyet a későbbiekben fogunk tanulmányozni. De az ilyen testeknek sokkal nagyobb ellenállásuk van, mint a fémeknek, úgy, hogy valamely folyadékoszlop, melynek ugyanekkora keresztmetszete van, mint egy fémdrótnak, már az utóbbinál milliószor kisebb hossz mellett is az áramot ugyanabban a mértékben gyengíti.

569. Az áram nem csupán a sarkok közé iktatott vezetőben, hanem a telep belsejében is kering, és itt is ellenállásra talál.

Ennek kimutatására csak egy czink és egy rézlemez kell savanyított vízbe mártani, mely lemezek egy galvanométer drót-végeivel vannak kapcsolatban. Abban a mértékben, melyben mélyebbre és mélyebbre merülnek, a folyós vezető keresztmetszete növekszik, a telep belső ellenállása tehát csökken, s ennél fogva az áram erősebbé válik, miként a tűnek fokozódó kitérése elárulja. Ugyanez történik, midőn egy DANIELL-elemben, mely már össze van állítva, s a melynek áramkörébe egy galvanométer van iktatva, a két folyadék lassacskán összekeveredik.

Ha pedig a két lemezt egymástól távolabb viszszzük, a folyadékréteg hossza, s ezzel az ellenállás is, növekszik, és a galvanométer kitérése kisebbé válik. Kisebbé válik akkor is, ha valamely telep folyadékjai helyett velök itatott papirosépét vagy homokot használunk, mert ekkor a vezető keresztmetszet csökken; ez magyarázza meg a MINOTTO-elem **(442)** nagy belső ellenállását.

570. Előrebocsátja a vezetők ellenállására vonatkozó eme fogalmakat, vizsgáljuk meg, hogy mekkora a **potenciál értéke az áramkör különböző pontjaiban**, mely áramkör a 781. ábrában három elemből és a sarkok közé iktatott *CFHZ* vezetől áll; ez utóbbi lehet különböző drótokból, például *CD*, *DF*, *FH*,



781. ábra. Potenciál értéke az áramkörben.

stb.-ből összetéve. E végből kössünk össze a Földdel s az elektrométer burkolatával egy tetszés szerinti pontot, például *A*-t, melyben tehát a potenciál zérus fog lenni, egy másik pontot pedig, például *B*-t, kössünk össze az *E* quadrans-elektrométerrel.

Ily módon látni fogjuk, hogy eme készülék kitérése pozitív vagy negatív potenciált árul el a szerint, a mint *B* közelebb vagy távolabb van a telep pozitív sarkától, mint *A*.

Ezenkívül a kitérés, mely a megvizsgált *A* és *B* pontbeli potenciál-különbséggel arányos, ugyanaz marad akkor is, midőn *A* pontot a Földtől elszigeteljük és a szintén elszigetelt elektrométer második párjával kötjük össze.

Látjuk tehát, hogy bármekkora legyen is a potenciál abszolút értéke, az áramvezető két pontja között való különbsége állandó.

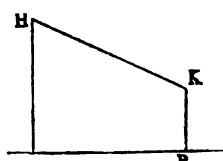
Ha azután az áramkörbe galvanométert iktatunk és az áram erősségét változtatjuk, megállapítható, hogy az áramkörnek *A* és *B* két pontja közötti eme potenciál-különbség magával az áramerősséggel arányosan növekszik.

571. Ha ezután az elektrométerrel közlekedő *A* és *B* pontok helyett más pontokat veszünk, látni fogjuk, hogy eme mű-

szer kitérései arányosak az ezen pontok között levő vezetők elektromos ellenállásával. Ha tehát a potenciál értéke A és B -ben v_a illetőleg v_b , és az AB vezető ellenállása r , az áram intenzitása pedig i , mondhatjuk, hogy:

$$v_a - v_b = cir. \quad (1)$$

Eme képletnek grafikai úton való előtűntetése végett rakjunk fel az AB vízszintesre (782. ábra) az ellenállással arányos



782. ábra. A potenciál értékének ábrázolása.

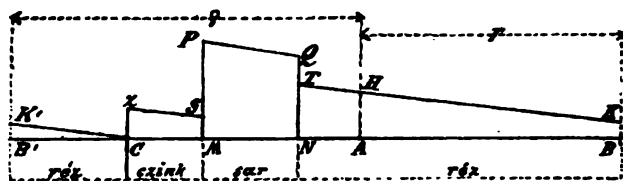
hosszakat, s mindegyik pontban emeljünk merőlegest, melynek hossza arányos az áramvezetők azon pontbeli potenciáljával; így AH arányos v_a -val, BK pedig v_b -vel, és mindegyik merőlegesek végpontjai az (1) képlet szerint a HK egyenesen fekszenek. Ez a képlet

egyenértékű tehát a következővel:

$$\overline{AH} - \overline{BK} = ciAB. \quad (2)$$

És ez mindenkor áll, midőn az áramkörön megvizsgált két pont között elektromindító erő nincs.

572. Tekintsünk most egy teljes áramkört, s egyszerűség kedvéért tegyük fel, hogy csak egy folyadékból és két fémből áll. Az AB darab (783. ábra) tüntesse elő a telepet záró réz-



783. ábra. A potenciál esése különböző vezetők láncolatában.

drót ellenállását, MN tüntesse elő a folyadék ellenállását, CM és NA pedig a folyadékba nem merített czink és rézdarab ellenállását, végre $B'C$ a rézdarab azon részének ellenállását, mely a czinkekkel össze van forrasztva. Tegyük fel, hogy közvetlenül

az összeforrasztás előtt ez a rézdarab zérus-potenciálón van tartva, miként C -ben az ábra is mutatja. Tegyük továbbá még fel, hogy B és B' a zárt áramkör egyazon pontját tünteti elő, és hogy ennél fogva a BK és $B'K'$ merőlegesek, mint a potenciál egyazon értékének előtűntetői, egyenlők.

A különmemű testek közötti minden érintkezésben elektrom-indító erő működik, mely maradandó potenciál-különbséget tart fenn. Így az ábrában CZ a réz és cink közötti, SP a cink és a sav közötti és QT a sav és a réz közötti elektromindító erőt tünteti elő.

Az AB darabra a (2) alatti képlet áll, az áramkör többi darabjaira pedig a következő analog kifejezések állanak:

$$B'K' = BK = ci \cdot B'C$$

$$CZ - MS = ci \cdot CM$$

$$MP - NQ = ci \cdot MN$$

$$NT - AH = ci \cdot NA,$$

melyek összegezése a következőre vezet:

$$BK + CZ + SP - TQ - AH = ci \cdot B'A.$$

De tekintve, hogy az elektromindító erőknek $CZ + SP - TQ$ algebrai összege egyenlő az ϵ eredő elektromindító erővel, és ha az elektromindító elemet alkotó különböző testeknek egészben való $B'A$ ellenállását ρ -val jelöljük, az előbbeni összefüggést a következő alakra hozhatjuk:

$$\epsilon - (v_a - v_b) = ci\rho \quad (3)$$

Ha ezt az 571. p. (1) képletével összegezzük, ekkor:

$$\epsilon = ci (\rho + r). \quad (4)$$

Ez a képlet kifejezi **Ohm törvényét**, mely szerint *zárt áramkörben az áram intenzitásának az összes ellenállással való szorzománya arányos az eredő elektromindító erővel*. Nyilvánvaló, hogy eme törvény akkor is áll, ha az áramkör több elektromindító elemet foglal magában.

A telep ellenállását, melyet ρ -val jelöltünk, gyakran *belső*

ellenállásnak, a sarkok közé iktatott vezetőknek r ellenállását pedig *külső ellenállásnak* nevezzük.*

573. A mi az arányosság c együtthatóját illeti, ez csakis azon egységektől függ, melyeket az i intenzitásnak, az r és ρ ellenállásoknak és az ε potenciál-különbségnek vagy elektromindító erőnek mérésére választunk; ezeket az egységeket pedig, miként mindjárt (574) részletezni fogjuk, akként választották, hogy c az egységgel egyenlővé váljék, úgy, hogy OHM törvénye, ha $\rho + r = R$ tételik, a következő egyszerűbb alakot ölti:

$$\varepsilon = ir. \quad (5)$$

Az (1) alatti képlet pedig, mely az i intenzitású áramtól átfutott r ellenállású áramvezetőnek két pontja közötti $v_a - v_b = \Delta$ potenciál-különbséget határozza meg, így alakul:

$$\Delta = iR. \quad (6)$$

És ha az áramvezetőnek azt a részét tekintjük, melyben valamely ε elektromindító erő magának az áramnak irányában hatásos, a (3) képlet a következőre vezet:

$$\Delta = \varepsilon - i\rho. \quad (7)$$

Ha a (6) és (5) alatti képletek megfelelő tagjait egymással osztjuk, kapjuk, hogy:

$$\frac{\Delta}{\varepsilon} = \frac{r}{R},$$

mi azt mondja, hogy az áramkör két pontjában való potenciál-különbség, ha eme pontok között elektromindító erő nincs, úgy viszonylik az eredő elektromindító erőhöz, miként eme két pont közötti ellenállás az összes ellenálláshoz.

574. Mielőtt tovább mennénk, nagyobb világosság kedvéért itt össze fogjuk foglalni mindazt, a mit eddigelé az elek-

* Czészerűbb elnevezések a következők: *telep*, ill. a *vezeték ellenállása*.

tromágnesi abszolút mértékrendszerről, a C. G. S. rendszerről megállapítottunk, és hivatkozással a mértékrendszerekről általában mondottakra (I, 78 és folyt.), a belőle leszármazó egységekre vonatkozó néhány fontos dolgot fogunk előterjeszteni.

Abszolút elektromágnesi egységek.

A) *Mágnesség-mennyiség.* Mivel COULOMB törvénye szerint (463):

$$F = \frac{m^2}{L^2},$$

valamely mágnesség-mennyiség méretei a következők (464):

$$m = L \sqrt{F} = L [L^{1/2} T^{-1} M^{1/2}] = [L^{3/2} T^{-1} M^{1/2}].$$

A mágnesség egységével az a sark rendelkezik, mely vele azonos sarkot 1 cm távolságból egységnyi erővel, vagyis 1 *din* erővel (I, 82) taszít.

B) *Mágnesi potenciál.* Azon E munka, melyet a mágnesi erők az m mágnesség-mennyiségen végeznek, a \mathcal{V} potenciálnak m -mel való szorzományával van kifejezve (473), tehát (I, 100):

$$\mathcal{V} = E : m = [L^2 T^{-2} M] : [L^{3/2} T^{-1} M^{1/2}] = [L^{1/2} T^{-1} M^{1/2}].$$

Két pont között akkor áll fenn a mágnesi potenciálkülönbség egysége, ha a mágnesi erők a mágnesség egységének az egyik pontból a másikba való vitelekor 1 *erg* munkát végeznek.

C) — *Mágnesi tér.* Az m mágnesség-mennyiségre ható F erő a tér azon pontjában, hol intenzitása (465) \mathcal{H} , meg van határozva az

$$F = m \mathcal{H}$$

kifejezéssel; ennél fogva

$$\mathcal{H} = F : m = [L T^{-2} M] : [L^{3/2} T^{-1} M^{1/2}] = [L^{1/2} T^{-1} M^{1/2}].$$

A mágnesi tér intenzitásának egysége a sark egységére

egységnyi erővel hat. A földmágnesi tér intenzitásának vízszintes összetevője Budapesen 0,212 56 *C. G. S.* egység, évenkénti növekedése pedig 0,000 15

D) Áram. Az áram intenzitásának elektromágnesi mértékét az 507. p. (4) képlete határozza meg:

$$i = \frac{LF}{2\pi m},$$

hol F azon erő, melyet valamely L sugarú köráram a középpontjában levő m intenzitású mágnessarkra gyakorol.

Tekintve azt, hogy 2π számbeli együttható, vagyis a három alapmennyiségre vonatkozólag 0-dik hatványú, i méretei a következő képlettel fejezhetők ki (515):

$$i = L [LT^{-2} M] : [L^{1/2} T^{-1} M^{1/2}] = [L^{1/2} T^{-1} M^{1/2}].$$

Elektromágnesi mértékben azon áram egyenlő az egységgel, mely 1 cm sugarú körben keringve, a kör középpontjában levő mágnesség-egységre 2π din erővel hat.

E) Elektromosság-mennyiség. Mivel az áram intenzitása egyenlő az idő egységben a vezető bármely keresztmetszetén átáramló elektromosság mennyiségével (515), azért:

$$e = [iT] = [L^{1/2} M^{1/2}].$$

Az elektromosság egysége azon elektromosság-mennyiség, melyet egységnyi erősségű áram 1 sec idő alatt a vezető bármely keresztmetszetén átviszen.

F) Elektromos potenciál és elektromindító erő. A potenciál az elektromos erőktől az elektromosság-egységén végzett munkát (335) fejezi ki. Méretei tehát (I, 100):

$$\epsilon = [E] : [e] = [L^2 T^{-2} M] : [L^{1/2} M^{1/2}] = [L^{3/2} T^{-2} M^{1/2}].$$

Az elektromindító erőt bizonyos potenciál-különbség méri (427), méretei tehát ugyanezek, és két pont között akkor áll fenn az elektromindító erő egysége, ha az elektromosság egységének az egyik pontból a másikba való vitele 1 erg munkát kíván meg.

G) Elektromos kapacitás. Valamely sűrítő C kapacitását (371) meghatározza az e töltésnek viszonya azon ϵ potenciál-különbséghez, melyet ez a töltés a két fegyverzet között létesít; ennél fogva:

$$C = [e] : [\epsilon] = [L^{1/2} M^{1/2}] : [L^{1/2} T^{-2} M^{1/2}] = [L^{-1} T^2].$$

Valamely sűrítő akkor rendelkezik a kapacitás egységével, midőn az egyik fegyverzetével közölt elektromosság-egység e fegyverzet potenciálját a másik fegyverzet fölé egy egységgel emeli.

H) Elektromos ellenállás. OHM törvényéből (573) azonnal kitűnik, hogy az ellenállás mértéke az ϵ elektrominyító erőnek viszonya az áram i intenzitásához. Ennél fogva:

$$r = [\epsilon] : [i] = [L^{1/2} T^{-2} M^{1/2}] : [L^{1/2} T^{-1} M^{1/2}] = [L T^{-1}],$$

honnét látjuk, hogy az ellenállás mérete ebben a mértékrendszerben megegyezik a sebesség méretével.

Az ellenállás egységével nyilván az a vezető rendelkezik, melynek végei között egységnyi potenciál-különbség állván fenn, egységnyi erősségű áram keringését engedi meg, vagyis bármely keresztmetszetén 1 sec alatt az elektromosság egysége megy át.

575. Tisztán tudományos vizsgálatokban czélszerű az ily módon a ccentiméterből, másodperczből és grammból leszármatott abszolút egységek alkalmazása. De mivel ezek a gyakorlati szükségletek szempontjából rendszerint nagyon kicsinyek, és ennél fogva oly mérésszámokkal volna dolgunk, melyek nagyságuk miatt kényelmetlenek, a következő **gyakorlati egységek** állapítottak meg, melyeket kiváló elektrikusokról neveztek el.

a) Az ellenállás egységének neve ohm, és ekként van meghatározva:

1 ohm = 10^9 elektromágnesi abszolút C.G.S. ellenállás-egység.

Szerkesztettek ugyan olyan fémvezetőket, melyeknek

ekkora ellenállásuk van, hogy azonban elkerültesse azokat a bizonytalanságokat, melyek a szilárd testeknek lassú, a második fajú rugalmassághoz (I, 163) hasonló molekulai változásaiból származhatnak, az elektrikusoknak 1881-iki kongresszusa elhatározta, hogy az ellenállás egysége egy 1 mm^2 keresztmetszetű és az olvadó jég mérsékletén levő higanyoszlop ellenállásával fejeztessék ki, mely oszlop hosszának gondos meghatározása egy nemzetközi bizottság feladatává tétetett. Az 1884-iki nemzetközi kongresszus elhatározta, hogy **törvényes ohm-úl egy 1 mm^2 keresztmetszetű és az olvadó jég mérsékletén levő 106 cm hosszú higanyoszlop ellenállása fogadtassék el.**

b) Az *áram egységének* neve **ampère**, mely a következőleg van meghatározva:

1 ampère = 10^{-1} abszolút elektromágnesi C.G.S. áramegység.

Hogy fogalmunk legyen róla, megemlítjük, hogy egy BUNSEN-elem (melynek czinkhengere 19 cm magas és 9 cm átmérőjű), ha a vezeték ellenállása elhanyagolható, 12 ampère erősségű áramot ad.*

c) Az *elektromindító erő egysége* **volt** (volta) nevet visel és 10^8 elektromágnesi abszolút C.G.S. potenciál-egységgel egyenértékű.

A **nemzetközi volt** azon elektromindító erő, mely 1 törvényes ohm ellenállású vezetékben 1 ampère erősségű áramot tart fenn, s közelítőleg egyenlő a DANIELL-elem elektromindító erejével és nagy közelítéssel $\frac{1000}{1434}$ része a LATIMER CLARK-féle minta-elem (446) elektromindító erejének, ha hőmérséklete 15° C .

Hogy két, egymástól 1 mm távolságra levő sík között leve-

* A telegrafiában használt áramok erőssége 0,001 és 0,01 ampère között változik, a világításban használt áramoké pedig 1 és 60 ampère között a szerint, a mint izzólámpákról (620) vagy ívfénylámpákról (624) van szó. Az elektrochemiai műveletekben alkalmazott áramok 1000 ampère-ig mennek.

gőben szikra ugorják át, mintegy 4000 volt-nyi potenciálkülönbség kívántatik meg (lord KELVIN).

d) Az *elektromosság egysége coulombnak* neveztetik és egyenértékű $\frac{1}{10}$ elektromágnesi abszolút C.G.S. egységgel; ez azon elektromosság-mennyiség, mely 1 ampère-nyi áramtól átfutott vezető keresztmetszetén 1 sec alatt ömlik át.

e) Az *elektromos kapacitás egységének* neve **farad** és egyenlő 10^{-9} elektromágnesi abszolút C.G.S. egységgel. Ez azon sűrítőnek a kapacitása, mely 1 coulomb töltést kíván meg, hogy a fegyverzetek potenciálkülönbsége 1 voltra emelkedjék; vagy körülbelül azon vezetőnek a kapacitása, mely 1 coulomb töltéssel a DANIELL-elem potenciáljára emelkedik.

A *farad* mintegy 1400-szorosa a földgömb kapacitásának.

576. Használtatnak még a megelőzőknél milliószor nagyobb és milliószor kisebb egységek is, melyeket akként különböztetünk meg, hogy az imént elősorolt nevek elé a **mega**, illetőleg **mikro** jelzők tételnek. Így például egy *megaohm* (megohm) az ohmnál milliószor akkora ellenállás; a *mikrofarad* a faradnál milliószor kisebb ellenállás, stb.

Egy 9 kilométer sugarú, minden más vezetőtől távol levő gömbnek kapacitása mintegy 1 *mikrofarad*, vagyis az elektromágnesi C.G.S. egységnek 10^{-15} része.

577. Nem érdek nélkül való tudnunk, hogy a gyakorlati egységek az eredeti elektromágnesi abszolút egységekből közvetlenül leszármaztathatók, ha alapegységeikül elfogadtatnak a következők:

Hosszegység: a Föld délkörének negyede, vagy szabatosabban 10 millió méter, azaz 10^9 ccentiméter.

Időegység: marad 1 sec.

Tömegegység: $\frac{1}{10^{11}}$ gramm, vagyis a milligramm százmilliomod része.

Ennélfogva, szem előtt tartva az I, 80. pont szabályát, az elméleti egységekről úgy térhetünk át a gyakorlatiakra, hogy az előbbieneket a megfelelő $\lambda = 10^9$, $\tau = 1$, $\mu = 10^{-11}$ értékekkel megsokszorozzuk.

A munka-egység ebben a rendszerben *joule* nevet visel és a kilogrammméternek $\frac{1}{9,8}$ része. Ha ugyanis visszaemlékezünk, hogy az energia mérete ($L^2 T^{-2} M$), az I, 80. pont szabályát alkalmazva azt találjuk, hogy a munkának új gyakorlati egysége:

$$\lambda^a \tau^b \mu^c = (10^9)^2 (1)^{-2} (10^{-11}) = 10^7 \text{ erg.}$$

De $1 \text{ kgm} = 980 \times 10^5 \text{ erg}$, tehát

$$1 \text{ kgm} = \frac{980 \times 10^5}{10^7} = 9,8 \text{ joule.} \quad (1)$$

Hogy 1 *coulomb* zérus-potenciálról 1 *volt* potenciálra vitessék, ehhez 1 *joule* munka kívántatik meg.

Mivel továbbá (I, 387) a kis-kaloria egyenértékű 0,427 kgm-rel, következik, hogy dinamikai értéke ebben a rendszerben:

$$I = 0,427 \times 9,8 = 4,2 \text{ (közelítőleg)} \quad (2)$$

A munkasiker (effektus) megfelelő egysége (I, 100) a *watt* mely nem más, mint a *joule* másodpercenkénti munkasikere, vagyis egyenértékű másodpercenkénti 10^7 erg-gel , és ennél fogva egy lóerő 735 *watt*

1 *ampère*, mely 1 *volt* potenciálkülönbséggel kering, 1 *watt* (vagy *voltampère*) munkasikert képvisel.

A munkasikert olykor *kilo-watt* = 1000 *watt*-tal fejezik ki. Jegyezzük még meg, hogy a mennyiben egy *watt* munkasikerrel 1 óra, tehát 3600 mp alatt 3600 *joule* munka végeztetik, ezt a munkát gyakran *óra-watt* névvel is kifejezik.

XLVIII. FEJEZET.

OHM TÖRVÉNYÉNEK ALKALMAZÁSA.

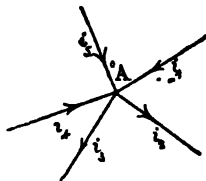
578. Eddigelé arra szorítkoztunk, hogy egy egyszerűen zárt vezetőkben, minden elágazás nélkül keringő áramot tanulmányozzunk. De a már előre bocsátott fogalmak segítségével megoldhatjuk azt a bonyolódottabb feladatot is, mely előáll, midőn több vonalas vezető egész hálózatot alkot, melynek egyes ágai-
ban bármily elektromindító erők működhetnek.

Ha a hálózat egyes ágainak ellenállása és a bennök működő elektromindító erők adva vannak, a feladat a bennök keringő áramok intenzitásának kiszámításában áll. A megoldás mindenkor kivihető **Kirchhoff két törvénye** segítségével, melyeket mindjárt le fogunk vezetni.

1. *A vezetők minden találkozó pontjában az ott összefutó áramok algebrai összege zérus.* Így a 784. ábra A pontjára nézve

$$i_1 + i_2 + i_3 + i_4 + i_5 = 0, \quad (1)$$

és ha i_1 , i_4 és i_5 pozitívnak vétetik, kell hogy a többi negatívnak vétessék. Valóban, annak az elektromosság-mennyiségnek, mely bizonyos időben ebbe a pontba érkezik, pontosan egyenlőnek kell lennie a tőle eltávozóval, mert ellenkező esetben vagy folytonosan elektromosságnak kellene ott felhalmozódnia, vagy folyton elektromosságnak kellene elvonatnia; és ez esetben az elektromos potenciál nem maradhatna ott állandó, pedig tényleg állandó marad mindaddig, míg valamennyi áram az intenzitást meg nem változtatja.



784. ábra. Egy pontban találkozó áramok.

2. Valamely zárt körületben minden egyes rész ellenállásából s az illető részen átmenő áram erősségéből alkotott sorozmányok összege egyenlő az egész körület mentén működő elektromindító erők algebrai összegével.

Tekintsük ugyanis a 785. ábrabeli sokszöget és mondjuk, hogy az A, B, C, \dots csúcsokban való potenciálók v_a, v_b, \dots , az egyes oldalak ellenállása r_1, r_2, r_3, \dots , elektromindító ereje pedig $\varepsilon_1, \varepsilon_2, \varepsilon_3, \dots$, melyek pozitívaknak veendők, ha a pozitív áramok irányában hatnak.

Az 573. p. (7) képlete szerint:

$$v_a - v_b = \varepsilon_1 - i_1 r_1$$

$$v_b - v_c = \varepsilon_2 - i_2 r_2$$

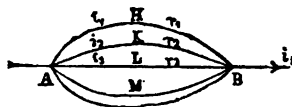
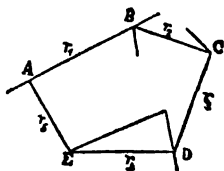
$$\dots\dots\dots$$

$$v_c - v_a = \varepsilon_5 - i_5 r_5,$$

mely egyenletek összegezése a kifejezett tételt adja:

$$i_1 r_1 + i_2 r_2 + \dots = \varepsilon_1 + \varepsilon_2 + \dots \quad (2)$$

Az (1) alatti képletet a találkozó pontokra, a (2) alatti pedig az egyes hálózemekre alkalmazván, annyi egyenletet nyerünk, a mennyi mindenkor elegendő az ismeretlen i_1, i_2, i_3, \dots értékek meghatározására.



785. ábra. Zárt hálózatban mozgó áramok. 786. ábra. Elágazó áramok.

579. A következőkben e törvényeket néhány olyan különös esetre fogjuk alkalmazni, melyeknek nagy gyakorlati hasznuk van.

Tegyük fel, hogy valamely állandó áram a helyett, hogy csak egy egyedüli vonalas vezetõn menne át, két A és B pont (786. ábra) között több elágazásra, H, K, L, \dots stb.-re talál és

több elágazó áramra oszlik, melyek azután ismét egy pontban egyesülnek. Határozzuk meg ezen elágazó áramok i_1, i_2, i_3, \dots intenzitását, feltéve, hogy az ágak r_1, r_2, r_3, \dots ellenállása és a főáram i intenzitása adva van.

Ha Δ -val jelöljük azt az állandó potenciálkülönbséget, mely A és B között maradandóan fennáll, az 573. p. (6) képletét alkalmazva kapjuk, hogy:

$$i_1 = \frac{\Delta}{r_1}, \quad i_2 = \frac{\Delta}{r_2}, \quad i_3 = \frac{\Delta}{r_3}, \quad (3)$$

honnét kitűnik, hogy az elágazó áramok intenzitásai fordított viszonyban vannak az illető ágak ellenállásával.

580. Hogy a H, K, L, \dots drótok nyalábjának ellenállását meghatározzuk, helyettesítsük a (3) alatti értékeket az

$$i = i_1 + i_2 + i_3 + \dots \quad (1)$$

képletbe, mely KIRCHHOFF első törvényét (578) fejezi ki, és ha

$$\frac{1}{r_1} + \frac{1}{r_2} + \frac{1}{r_3} + \dots = \frac{1}{r}$$

tételek, látni fogjuk, hogy az eredő képlet:

$$i = \frac{\Delta}{r} \quad (6)$$

épen OHM törvényét fejezi ki egy egyedüli r ellenállású drótra nézve, mely, ha a Δ potenciál-különbségű A és B pontok közé eme nyaláb helyébe tételnék, a főáram i intenzitásával egyenlő intenzitású áramot engedne át. Ennélfogva (567) a nyaláb együttes vezető képessége egyenlő az egyes ágak vezető képességének összegével.

Ha azután ε -nal jelöljük az elektromindító erőt, mely az áramot A felé hajtja, ρ -val pedig a B -től A -ig visszamenő vezető kapcsolat ellenállását (ide számítva a telepét is), OHM törvényét az egész áramkörre alkalmazva, kapjuk:

$$i = \frac{\varepsilon}{r + \rho}.$$

Ha a (3) és (6) alattiakból I kiküszöböltetik, úgy:

$$i_1 = i \frac{r}{r_1} = i \frac{\frac{1}{r_1}}{\frac{1}{r} + \frac{1}{r_1} + \frac{1}{r_2} + \frac{1}{r_3} + \dots},$$

vagyis valamely elágazó áram intenzitása úgy viszonylik a főáraméhoz, mint az ágnak vezető képessége az egész nyálábéhoz.

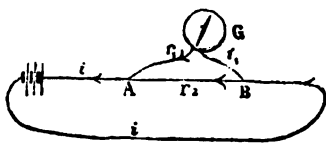
581. Abban az esetben, midőn csakis két ág van:

$$i_1 = i \frac{r_2}{r_1 + r_2},$$

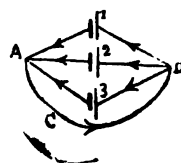
és innét

$$i = i_1 \frac{r_1 + r_2}{r_2}. \quad (5)$$

Ezt a képletet igen sokszor használjuk a galvanométriában, midőn ugyanis egy meglévő galvanométerrel nagyon erős áramokat kell mérni (506); ekkor a galvanométert az A és B pontok (787. ábra) közé *elágazásba* helyezzük; a benne keringő elágazó áram annál gyengébb, mennél kisebb a műszeren kívüli ágnak r_2 ellenállása. Ha megmérjük az elágazó áram i_1 intenzitását, és ha egyszer s mindenkorra meghatározzuk a galvanométer r_1 és a másik ág r_2 ellenállását, az (5) képlet legott megadja a főáram intenzitását.



787. ábra. Erős áramok mérése.



788. ábra. Nagylapú kapcsolat.

582. Állítsunk most össze több elemet **nagylapú kapcsolatba**, azaz egyesítsük pozitív sarkaikat egy egyedüli A pontba (788. ábra), hasonlóképen negatív sarkaikat B pontba; ezután

kössük össze A és B -t egy el nem ágazó C vezetővel, melyben elektromindító erő nem működik.

Legyen az A és B közötti potenciál-különbség Δ , az egyes elemek elektromindító ereje $\varepsilon_1, \varepsilon_2, \dots$, ellenállása pedig ρ_1, ρ_2, \dots , az 573. p. (7) képlete szerint

$$\Delta = \varepsilon_1 - i_1 \rho_1 = \varepsilon_2 - i_2 \rho_2 = \varepsilon_3 - i_3 \rho_3 = \dots$$

és (6) szerint :

$$\Delta = ir.$$

Azonban az r ellenállású ACB főágbeli i intenzitás ekként (578, (1)) van meghatározva :

$$i = i_1 + i_2 + i_3 + \dots, \quad (1)$$

tehát

$$i = \frac{\varepsilon_1}{\rho_1} + \frac{\varepsilon_2}{\rho_2} + \dots - ir \left(\frac{1}{\rho_1} + \frac{1}{\rho_2} + \dots \right) \quad (4)$$

Az esetben, midőn csak két ág van, e képletekből könnyen levezethető a három áram intenzitása :

$$\left. \begin{aligned} i &= \frac{\varepsilon_2 \rho_1 + \varepsilon_1 \rho_2}{r \rho_1 + \rho_1 \rho_2 + \rho_2 r} \\ i_1 &= \frac{\varepsilon_1 (r + \rho_2) - \varepsilon_2 r}{r \rho_1 + \rho_1 \rho_2 + \rho_2 r} \\ i_2 &= \frac{\varepsilon_2 (r + \rho_1) - \varepsilon_1 r}{r \rho_1 + \rho_1 \rho_2 + \rho_2 r} \end{aligned} \right\} \quad (5)$$

Midőn n elem forog szóban, és valamennyinek egyazon ε elektromindító ereje és ρ ellenállása van, a (4) képlet így alakul :

$$i = \frac{n\varepsilon}{\rho} - i \frac{nr}{\rho},$$

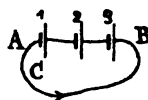
honnét

$$i = \frac{\varepsilon}{\frac{\rho}{n} + r}.$$

De ugyanezt az intenzitást nyernők az ACB vezetőben, ha csak egy ε elektromos erejű és $\frac{\delta}{n}$ ellenállású elemet használ-

nánk ; látjuk tehát, hogy nagylapúlag, vagy *egymás mellé* kapcsolt n elem ugyanazt a hatást létesíti, mint a mindegyikével megegyező elektromindító erejű egyes elem, melynek ellenállása n -szerte kisebb.

583. Ha ezeket az elemeket egymásután, vagyis **láncozatos kapcsolásban** egyesítjük, miként a 789. ábra mutatja, elektromindító erejük összegeződik (426), úgy szintén az ellen-



789. ábra. Láncozatos kapcsolat.

állásuk is ; ennélfogva ha az ekként összeállított telepet ugyanazon ACB vezetővel zárjuk, az áram intenzitása lesz :

$$j = \frac{n\varepsilon}{n\rho + r} = - \frac{\varepsilon}{\rho + \frac{r}{n}}.$$

Látjuk, hogy $j \leq i$ a szerint, a mint

$$\rho + \frac{r}{n} \leq \frac{\rho}{n} + r, \text{ vagy pedig } \rho \leq r.$$

Az áram erősebb láncozatos kapcsoláskor, ha a külső ellenállás nagyobb egy elem ellenállásánál ; az ellenkező esetben erősebb a nagylapú kapcsoláskor.

Így például nyereségesebb a láncozatos kapcsolat, ha az igen nagy ellenállású szerves szövetekbe kellene áramot vezetni ; nyereségesebb a nagylapú kapcsolat, ha rövid fémdrótot kellene izzítani. Az első esetben kicsiny elemeket is alkalmazhatunk, mert a telep nagy ellenállása még mindig elhanyagolható a vezeték igen nagy ellenállásához képest. Ellenben a második esetben célszerűbb egy egyedüli nagyfelületű elem, vagy nagylapúlag kapcsolt több elem.

584. De valamely telep n elemének még más kapcsolás-módja is lehet. Az elemekből p csoportot alkothatunk, mely csoportok mindegyikében $q = \frac{n}{p}$ számú elem nagylapúlag van kapcsolva, hogy azután az ekként összeállított csoportokat lánczolatossan kössük össze. Mindegyik csoport elektromindító ereje megegyezik egy egyedüli elem ε elektromindító erejével, ellenállása (582) pedig $\frac{\rho}{q}$. Midőn a csoportokat lánczolatossan kapcsoljuk a telep elektromindító ereje $p\varepsilon$, belső ellenállása pedig $p\frac{\rho}{q} = p^2\frac{\rho}{n}$, minélfogva, ha a telepet r ellenállású külső vezetővel zárjuk, a következő erősségű áramot nyerjük:

$$I = \frac{p\varepsilon}{\frac{p^2}{n}\rho + r} = \frac{\varepsilon}{\frac{p\rho}{n} + \frac{r}{p}}.$$

Hogy ez az áram maximális erősségű legyen, kell, hogy a

$$\frac{p\rho}{n} + \frac{r}{p}$$

összeg minimum legyen, mely összeg, ha

$$\frac{p\rho}{n} = x \text{ és } \frac{r}{p} = y$$

tétetik, ezt az alakot ölti

$$x + y.$$

Azonban

$$(x + y)^2 = (x - y)^2 + 4xy;$$

mivel pedig $xy = \frac{r\rho}{n}$ állandó, következik, hogy $(x + y)^2$ tehát

$x + y$ is akkor minimum, midőn $(x - y)^2$, mely mindig pozitív, zérussá válik, vagyis midőn $x = y$, tehát mikor

$$\frac{p\rho}{n} = \frac{r}{p},$$

vagy szintén mikor

$$r = \frac{p^2 \rho}{n} = \frac{p \rho}{q},$$

a mi azt mondja, hogy a telep ellenállásának egyenlőnek kell lennie a vezeték ellenállásával.

Megjegyzendő, hogy a telep $\frac{p \rho}{q}$ ellenállásának akkor van a lehető legnagyobb értéke, midőn $p = n$ és $q = 1$, és ekkor a maximális intenzitás feltétele: $r = n \rho$. Ha tehát a vezeték ellenállásnak ekkora vagy ennél nagyobb értéke van, nyereségebb a lánczolatos kapcsolás; ha ennél kisebb értéke van, p -t akként kell megválasztani, hogy a telep és a vezeték ellenállása közötti egyenlőség feltételének a lehető legjobban eleget tegyen. Megjegyzendő azonban, hogy eme feltétellel a legerősebb áramot nyerjük ugyan, de gazdasági szempontból nem jó eredményt érünk el.

585. Hat vezetőből álló rendszer, mely vezetők közül négy egy négyszög oldalait, kettő pedig ennek átszőgellőit alkotja, Wheatstone-féle hídnak neveztetik; az elektrikusok nagyon gyakran használják az ellenállások és az elektromindító erők mérésében. Az átszőgellők egyikében, a 790. ábrában *APB*-ben, az elektromindító erő hat; a másikba, *CD*-be, a tulajdonképeni híd, egy érzékeny *G* galvanométer van beiktatva. Rendszerint akként szabályozzuk az oldalak ellenállását, hogy a hídon semmi áram se menjen át, hogy tehát a galvanométer tűje zéruson maradjon.

KIRCHHOFF első törvénye (578) a különböző elágazó áramokra nézve a következő kapcsolatokat adja:

$$C\text{-ben:} \quad i_1 = i_3 + i_5,$$

$$D\text{-ben:} \quad i_2 + i_5 = i_4;$$

a második törvény pedig:

$$ACD\text{-ben:} \quad i_1 r_1 + i_5 r_5 = i_2 r_2,$$

$$CDB\text{-ben:} \quad i_5 r_5 + i_4 r_4 = i_3 r_3.$$

Hogy $i_5 = 0$ legyen, a három első egyenletnek a következőké kell alakulnia:

$$i_1 = i_3, \quad i_2 = i_4, \quad i_1 r_1 = i_2 r_2,$$

tehát az utolsónak ezt az alakot kell öltenie:

$$i_1 r_3 = i_2 r_4,$$

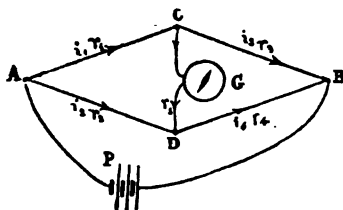
minél fogva a megfelelő tagok osztása révén megkapjuk a keresett feltételt:

$$r_1 : r_3 = r_2 : r_4. \quad (1)$$

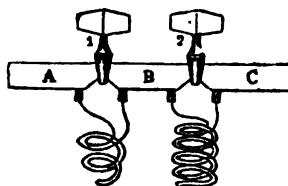
Innét, ha r_1 , r_2 és r_4 ismeretes:

$$r_3 = \frac{r_4}{r_2} r_1.$$

Helyén van itt megjegyezni, hogy bebizonyított a következő általánosabb tétel: ha egy WHEATSTONE-féle négyszögnek mind a hat ágában elektromindító erők működnek, és ha az átszögellők egyikének zárásakor és nyitásakor az áram intenzitása a másik átszögellőben nem változik, ez annyit tesz, hogy a négy oldal ellenállása között az (1) alatti feltétel áll fenn.



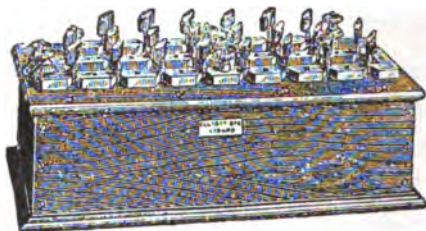
790. ábra. Wheatstone hidja.



791. ábra. Ellenállás-tekercek.

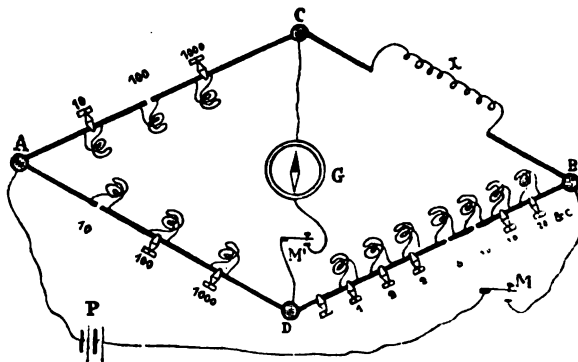
586. Az oldalakba iktatandó három ismeretes ellenállást jelenleg a műszerkészítők **ellenállás-tekercek** alakjában állítják elő, melyek már *ohm*ok szerint (575) vannak beosztva. Mindegyik tekercs selyemmel burkolt újezüst drótból áll (mert ez kevésbé van alávetve a mérséklet okozta változásoknak), mely maga-magára van hajlítva és spirálisban van összezsavarva, két vége pedig két vastag sárgarézdarabra, A és B-re (791. ábra) van forrasztva, melyek nem érintkeznek, hanem az

1 dugó segítségével tökéletes elektromos közlekedésbe helyezhetők. A sárgarézdarabok ebonitlapra vannak erősítve, mely a fedelét alkotja egy szekrénykének, melybe a tekercsek zárva vannak. Ilyen ellenállás-szekrényt látni a 792. ábrán.



792. ábra. Ellenállás-szekrény.

Midőn valamennyi dugó a lyukában van, az áram csakis a sárgarézdarabokon menvén át, elhanyagolható ellenállásra talál; ha pedig egy vagy több dugó ki van véve, a megfelelő tekercsen kell átmennie.



793. ábra. Az ellenállás mérése.

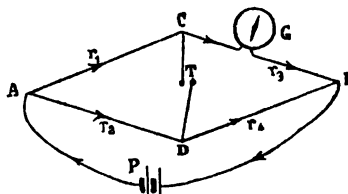
A 793. ábrából kitűnik, hogy miként iktathatók ezek a tekercsek egy WHEATSTONE-féle hid oldalába, hol is az összekapcsoló vezetőknek olyan vastagoknak kell lenniök, hogy ellenállásuk elhanyagolható legyen.

587. Valamely x ellenállás mérése akként történik, hogy ezt az ellenállást a CB oldalba r_3 helyébe iktatjuk; r_1 helyébe 100 ohmot, és r_2 helyébe 10 ohmot iktatunk be, a DB oldalba pedig a tekercseknek egy sora van illesztve, melyet **reosztát**-nak is nevezünk. Ha M kulcsot lenyomjuk, a P telep áramainak maradandó erősségű keringése legott helyre áll, s ekkor lenyomjuk a G galvanométer mellett levő M' kulcsot is. Tegyük fel, hogy az ábrában előtüntetett esetben a galvanométer jobbra tér ki; de térjen ki balra, ha BD -ben az 5 és 10-zel jelölt dugón kívül még az 1-gyel jelölt dugót is kiveszszük. Ez az **585.** p. (1) képlete szerint annyit tesz, hogy az $x = r_3$ ellenállás következő értékek között fekszik:

$$\frac{100(10+5)}{10} = 150 \text{ ohm és } \frac{100(10+5+1)}{10} = 160 \text{ ohm.}$$

Hogy nagyobb legyen a megközelítés, AC oldalban a dugót 100-ba visszateszszük és 10-ben kiveszszük, úgy, hogy mind r_1 , mind pedig r_2 egyenlő 10 ohmmal, és ekkor DB -ben a dugókat akként szedvén ki, hogy ebben az oldalban 150 ohmnál nagyobb ellenállás legyen, az x ellenállást legalább is 1 ohmnyi pontossággal határozhatjuk meg. Hogy az ohm tizedrészeit nyerjük, AD -ben 100 ohm ellenállást kell beiktatni, AC -ben pedig 10-et meghagyni, és így tovább.

588. Ha valamely galvanométer ellenállása volna meghatározandó, úgy a CD hídba (793. ábra) az ő helyébe egy T megszakítót (794. ábra) teszünk, magát a G galvanométert pedig a CB oldalba iktatjuk. Ezután a többi oldal ellenállását akként szabályozzuk, hogy a tű kitérése ugyanaz maradjon, akár helyreállítjuk T -ben az érintkezést, akár megszakítjuk. Ez annak a jele, hogy a hídban áram nem kering és hogy ennél fogva



794. ábra. Galvanométer ellenállásának mérése.

a C és D pontok egyazon potenciálon vannak, tehát teljesítve van a következő feltétel (585):

$$r_3 = \frac{r_4}{r_2} r_1,$$

mely a galvanométer r_3 ellenállásának kiszámítására szolgál.

589. Térjünk vissza az 567. pont

$$r = k \frac{l}{s} \quad (1)$$

képletére, mely egy prizmatikus vezető ellenállását fejezi ki. A k együttható **fajlagos ellenállásnak** nevezetetik és azt az ellenállást méri, melyet egy köb, melynek éle egyenlő a hossz-egységgel, az egyik lapjáról a szemközt fekvő lapra áramló elektromossággal szemben tanusít.

A fajlagos ellenállást egy tényleges ellenállásnak valamely hosszal való szorozmánya fejezi ki, mérete tehát (574, H)

$$k = L[r] = L[LT^{-1}] = [L^2 T^{-1}].$$

Az ellenállás visszaszámítás értékét $\frac{1}{k}$ -t **fajlagos vezetőképességnek** mondjuk.

A fajlagos ellenállás függ a vezető kémiai természetétől, mérsékletétől és molekulai szerkezetétől, de független a vezetőn átáramló elektromosság mennyiségétől.

Meghatározására a WHEATSTONE-féle hidhoz folyamodhatunk; meghatározzuk egy l hosszú és s keresztmetszetű vékony prizma ellenállását és az (1) alatti képletet k szerint megoldjuk. Ha elfogadjuk a törvényes ohmot (575), azaz ha feltesszük, hogy egy $l = 106$ cm hosszú és $0,01$ cm² keresztmetszetű higanyoszlop ellenállása egyenlő 10^9 C.G.S. egységgel, úgy a higany fajlagos ellenállása (1) szerint:

$$k = \frac{rs}{l} = \frac{10^7}{106} = 94\,340 \text{ C. G. S.}$$

A következő számok MATHIESSEN kísérleteiből vannak levezetve, melyek chemiaillag tiszta és 0°-ú fémeken tétettek.

A kereskedelemben előforduló fémek ellenállása mindig nagyobb, gyakran tetemesen nagyobb, minek oka más, velők ötvöződve levő fémek nyomainak tulajdonítandó.

Fajlagos ellenállások.

(MATHIESSEN szerint).

I. rovat: Fajlagos ellenállások, vagyis 1 cm³ ellenállása abszolút C.G.S. egységekben.

II. rovat: 1 m hosszú és 1 mm² keresztmetszetű drót ellenállása ohmokban.

III. rovat: Ugyanilyen drót ellenállása SIEMENS-egységekben, vagyis 1 m hosszú és 1 mm² keresztmetszetű higanyoszlop ellenállásában.

Tiszta fémek	I.	II.	III.
Higany	94 340	0,943 40	1,000 0
Ezüst, izsított	1 492	0,014 92	0,015 3
„ nyújtott	1 620	0,016 20	0,016 6
Réz, izsított	1 584	0,015 84	0,016 2
„ nyújtott	1 620	0,016 20	0,016 6
Arany, izsított	2 041	0,020 41	0,020 9
„ nyújtott	2 077	0,020 77	0,022 0
Aluminium, izsított	2 889	0,028 89	0,030 6
Czink, préselt	5 581	0,055 81	0,059 2
Platina, izsított	8 982	0,089 82	0,091 8
Vas, izsított	9 638	0,096 38	0,098 6
Nikel, izsított	12 358	0,123 58	0,131 0
Ón, préselt	13 103	0,131 03	0,314
Ólom, préselt	19 468	0,194 68	0,199
Antimon, préselt	35 209	0,352 09	0,373 2
Bismút, préselt	103 098	1,300 98	0,379 0
2 r. platina és 1 r. ezüst	2 419	0,024 19	0,025 6
Sárgaréz, nyújtott	4 834	0,048 34	0,051
Argentán, nyújtott	20 763	0,207 63	0,212
Nikkel-magánrész (84% Cu, 12% Mn, 4% Ni)	47 500	0,475 00	0,498 5
Magánrész (90% Cu, 10% Mn)	43 000	0,430 00	0,431 5
Retorta szén	alsó határ 38×10 ⁵	—	40
	felső határ 114×10 ⁵	—	120

Ha k a fajlagos ellenállás, az utolsó előtti rovat számait megkapjuk, ha k -t a következő számmal sokszorozzuk :

$$\frac{100}{(0,1)^3 \times 10^9} = 10^{-5}.$$

Megjegyezzük, hogy egyenlő méretek mellett a közhasználatú fémek között a réznek van legkisebb ellenállása, adott hossz és adott súly mellett pedig az alumíniumnak.

A telegráfrótok cínkeztet vasból vannak, mert ennek szívóssága és olcsósága felér a rézzel szemben való csekélyebb vezetőképességével. A magyar fővonalakon a drót átmérője középtértékben 5 mm és ellenállása 8 ohm kilométerenként. A mellékvonalak drótja 3 mm átmérőjű és kilométerenként 21 ohm ellenállású. A francia telegráfrót 4 mm átmérőjű és kilométerenként mintegy 10 ohm ellenállású.

590. Valamennyi fémnek ellenállása a hőmérséklettel növekszik; e növekedés a következő képlettel fejezhető ki :

$$R = r (1 + at + bt^2), \quad (2)$$

hol r az ellenállás 0° -on, az együtthatók értéke pedig BENOIR szerint a következő :

	a	b
Alumínium	0,003 876	0,000 001 320
Réz	0,003 67	0,000 000 587
Vas	0,004 516	0,000 005 828
Magnézium	0,003 870	0,000 000 863
Ezüst	0,003 972	0,000 000 687
Ón	0,004 028	0,000 005 826
Higany tégcsőben	0,000 8649	0,000 001 12
Uj ezüst	0,000 4433	0,000 000 152

A német birodalmi fizikai-technikai intézet szerint :

Nikkel-mangánréz (Cu, Mn, Ni)	0,000 015	—0,000 000 9
Mangánréz (Cu, Mn)	0,000 020	—0,000 000 6

Igen figyelemre méltó a két utolsó ötvény ellenállásának igen kicsiny változása a hőmérséklettel, a miért is igen alkalmasak ellenállási mértékek készítésére.

Az elektromos vezető képesség egyenlő lépést tart a hővezető képességgel, sőt bizonyos hőmérsékleten eme két együtt-ható viszonya a jobban vezető fémekre nézve közelítőleg egyenlő. A többinek elektromos vezető képessége mindinkább kisebbedik hővezető képességéhez képest.

De ez a viszony a mérséklettel változik, ugyanis LORENZ azt találta, hogy (a vas kivételével) minden fémre megközelítőleg áll a következő kapcsolat :

$$\frac{c}{\gamma} = \theta \times \text{const},$$

hol c a hővezető, γ az elektromos vezető tehetség, θ pedig az abszolút mérséklet; e szerint (a vas kivételével) minden fém hővezető képességének az elektromos vezető képességéhez való viszonya arányos volna az abszolút mérséklettel.

Igen érdekes az a tény, hogy rendkívül alacsony mérsékleteken a réz ellenállása igen kicsinynyé válik, elannyira, hogy úgy látszik, hogy igen közel zérussá válik, még mielőtt az abszolút zéruspontot elérné. Ha a dolog így állana, az elektromosság átmenne a rézen hőfejlesztés nélkül, mi oly tüneteket szülne, melyekről alig lehetne sejtelmünk. A réz ellenállásának d mérséklettel való ez a rohamos apadása szembeötlőbbé válik, ha a következő táblácskára tekintünk, mely WROBLEWSKY néhány kísérletének eredményét foglalja magában.

Mérséklet Celsius-fokokban	Ellenállás	Hőmérsékleti együttható α
+ 25	19.262	0,004 056
Jég olvadáspontja --- --- --- 0	17,489	0,004 286
Etilén forráspontja... --- --- --- -103	9,769	0,004 030
Nitrogén kritikus mérséklete --- --- -146	6,738	0,007 847
Nitrogén forráspontja --- --- --- -193	2,754	0,007 855
Közel a nitrogén megmerevedéséhez -201	1,655	

591. A retorta-szén ellenállása, a fémekétől eltérőleg, a mérséklet emelkedésével alábbszáll, úgy, hogy erre nézve

$$\alpha = -0,005.$$

Ennélfogva fémből és szénpálczikából olyan vezetőt állíthatnánk össze, melynek ellenállása állandó maradna. A (2) alatti képletből könnyen levezethető, hogy a kiegyenlítés elérésére 50 ohm-nyi rézre mintegy 367 ohm-nyi szén kívántatnék meg.

592. SIEMENS az ellenállásnak a mérséklettel való változását **elektromos pirométer** szerkesztésére használta fel. Ez a készülék egy WHEATSTONE-féle híd-ból áll, melynek egyik ágába platina-spirális van iktatva: ez tétetik ki a megvizsgálandó hőmérsékletnek. LANGLEY hasonló berendezést használt az ő **bolométerében**, melyet a sugárzó energiára vonatkozó vizsgálataiban a hőelektromos oszlop (2) helyett használt. Spirális helyett rendkívül finom platinadrótot alkalmazott.

593. Az a feltűnő hatás, melylyel a hő a selenium elektromos vezetőképességére van, felhasználtatott egy **elektromos fotofon** szerkesztésére, mely hatásmódjában merőben különbözik a **249.** pontban leírt fotofontól.

A megolvasztott selenium rendszerint üvegszerű külsejű s ekkor igen nagy ellenállása van; ha azonban megolvasztás után néhány órán át 220 fokon tartjuk s ezután lassan ki hagyjuk hűlni, kristályos szerkezetet vesz fel és némi vezető tehetségre tesz szert, mely a sugárzó energiának hatására, különösen pedig a zöldes-sárga sugarak hatására növekszik.

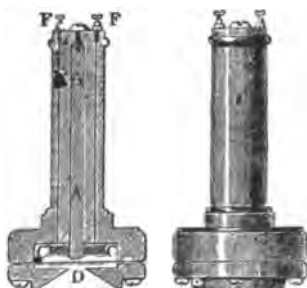
Két sárgaréz-szalag, mely egymás mellett spirálisban van összecsavarva, de igen vékony szelénréteggel van egymástól elkülönítve, valamely telep áramkörébe van iktatva, úgy, hogy az áram kénytelen átmenni a szelénrétegen. Sötétben egy ilyen készüléknek ellenállása 300 ohm volt, mely a napon mintegy a felére szállott le. Ha már most egy igen vékony tükröcskétől nagy távolságban helyezzük el és gyűjtő lencsét teszünk közbe, elérhetjük hogy a visszavert sugarak nyalábját gyűjtjük össze rajta.

Ha a tükrő mögé felállított tölcserbe beszélünk, a tükrő rezgés közben görbül, a fénynyaláb gyújtópontja elmozdul és a sze-

lén megsugárzása s ezzel ellenállása változásoknak lesz alávetve, melyek a hangforrás rezgéseivel teljes összhangzásban vannak. Most még csak az elektromos ellenállásnak emez időszakos változásait időszakos tömegmozgássá kell akként átalakítani, hogy ebből a tükör mögött adott hangok ismétlődése keletkezzék.

594. E célra BELL telefonja szolgál, melyet hosszmet-szetben a 795. ábra tüntet elő.

Az AA megmágnesezett aczélpálcza egyik végére vékony és szigetelt rézdrótból való tekercs CC van tolva, melynek F és F



795. ábra. Bell-féle telefon.

drótvégei drótszorítókkal vannak kapcsolatban. Az orsó előtt vékony vaslemez s ez előtt ismét D tölcser van, melyet fülünknek tartunk.

Tegyük fel, hogy a CC mágnesező tekercs a szelénés készülék és a telep áramkörébe van iktatva. Ha a szelén vezető tehetősége megváltozik, ezzel együtt megváltozik az áram intenzitása, tehát az áram mágnesező ereje is (541), és ennél fogva a mágnes a vaslemezt erősebben vagy gyengébben vonzza, és így a vaslemez a tükröske rezgéseit visszaadja. Általában a telefonhoz folyamodunk, valahányszor gyors időszakos változásoknak alávetett áramot vizsgálunk meg, vagy ha meg akarjuk tudni, nem áramlanak-e valamely vezetőben váltakozó irányú áramok, melyekkel szemben a galvanométer érzéketlen (686).

595. A mágnesezésnek hatása van a vas, a nikkel és a kóbalt elektromos ellenállására és pedig nagyobbítja az ellenállást, ha az ezen fémekből készült drótok a mágnesi tér irányával párhuzamosak és csökkenti, ha merőlegesek a tér irányára. A bizmút ellenállását mindig nagyobbítja és pedig a nagyobbodás több a merőleges, mint a párhuzamos irányban. A nagyobbodás különösen nagy ezen fémekben, a mennyiben 20 000 C. G. S. egységnyi mágnesi tér az ellenállást megkétszerezi. Kísérlet történt ezen ténynek a mágnesi tér intenzitásának megmérésére való felhasználásában, oly módon, hogy egy sík bizmút-spirálisnak ellenállásbeli változását mérték, mikor a tér irányára merőlegesen el volt helyezve.*

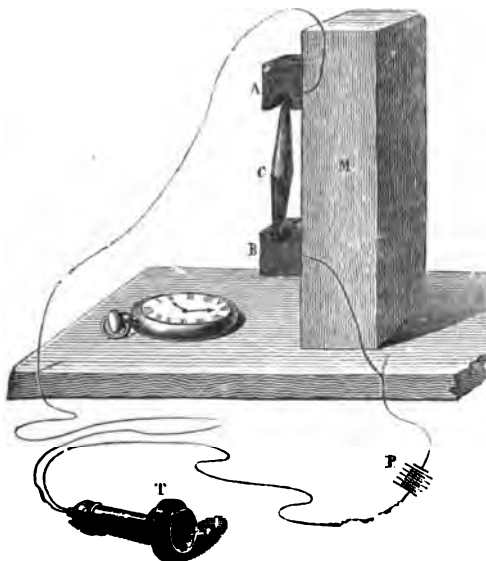
596. Fontos, hogy valamely áramkör különböző részei között tökéletes fémi érintkezés legyen, mert bármily vékony oxidréteg már akkora ellenállást fejthet ki, mint néhány méternyi fémdrót.

Még nincs kimutatva, hogy a nyomás hatással van-e valamely homogén vezetőre; de bizonyára hatással van ott, a hol két szilárd vezető érintkezik, a mi kimutatható lánczokkal, melyeket különböző nagyságú súlyok feszítenek. Két darabnak egyszerű összeérintése viszonylag nagy és minden legkisebb rázkódással tetemesen változó ellenállást fejt ki. A szorítás növekedésével az érintkezés bensőbbé válik, és az érintkező felület növekedése miatt az ellenállás gyengül.

Ezen a tényen alapszik a HUGHES-féle **mikrofon** meglepő hatása. Ez olyan készülék, mely távolságokon át átviszi a különböző hangokat, még a beszédet is, és erősíti az olyatén igen gyenge hangokat, melyek magukban véve nem volnának hallhatók. Áll egy áttevő készülékből, vagyis a tulajdonképeni mikrofonból, egy jellevőként szereplő telefonból (**594**), egy kicsiny telepből és a vonaldrótból. A 796. ábra eme különböző

* LÉNÁRD-nak ez elv alapján szerkesztett készüléke a gyakorlatban terjedni kezd. B.

készülékeket olyan berendezésben tünteti elő, hogy a *T* telefonban távolságon át hallható hang egy óra ketyegése legyen; az óra két fenyőfadeszkából álló derékszögre van téve, mely a mikrofonnak tartója. A függélyes deszkára két széndarab *AB* van erősítve, melyek közé egy szintén szénből való, két végén kihegyezett *C* pálcza van illesztve. A fa megrezdülései a pálcza



796. ábra. A telefon és mikrofon összekapcsolása.

támasztó pontjaival közlődnék és nagy mértékben megváltoztatják e pontoknak az árammal szemben való ellenállását; az áram tehát intenzitásbeli változásokban részesül, melyek megrezdítik a telefon vaslemezét. Emre rezgések intenzívebbek is lehetnek a mikrofon deszkáival közöltekénél, úgy, hogy igen gyenge hangok is, minő például a légy járásának kopogása, hallhatókká válnak.

HUGHES találmánya után a mikrofonnak nagyon változatos alakokat adtak, de mindegyikök több széndarabnak gyenge érintkezésén alapszik, és ezen alakok egyikében vagy másikkában

már igen széleskörű szolgálatot tesz az emberi társadalomnak, mert csaknem valamennyi telefonrendszernek áttevő készüléke.

597. A folyadékok fajlagos ellenállása olyanforma mód-szerekkel határozható meg, mint a szilárd testeké, melyek azonban némileg módosítandók, hogy a galván polarizáció **(654)** zavaró hatásai kiküszöböltessenek. E végből váltakozó áramokat szokás alkalmazni s a WHEATSTONE-féle hídban **(585)** galvanométer helyett telefont kapcsolnak be.

A folyadékok az elektromosságot egészen más módon vezetik, ellenállásuk igen sokkal nagyobb, és a fémek ellenállásával **(590)** ellenkezőleg annál nagyobb, mentül alacsonyabb a mér-sékletük, mi alól csak néhány folyadék, ezek között BARTOLI szerint a dietilamin ($C_4H_{11}N$) tesz kivételt.

A tiszta víz nagyon rossz vezető; annál rosszabb, mentül tisztább. KOHLRAUSCH-nak, ki a vizet platina-edényekben a leve-gővel való érintkezést kizárva párolta le és tartotta el, s a leg-aprólékosabb óvatossággal távol tartott a víztől minden idegen anyagot, valóban sikerült olyan vizet előállitania, melynek ellen-állása roppant sokkal nagyobb a közönséges lepárolt vizénél, nevezetesen fajlagos ellenállása $3,7736 \times 10^{15}$, vagyis mintegy 40000 milliószor nagyobb a higanyénál, úgy, hogy eme víznek egy milliméter hosszú oszlopa éppen olyan ellenállású, mint egy éppen olyan keresztmetszetű higanyoszlopé, mely az egész föld-gömböt övezi körül. A levegő jelenléte már elegendő volt, hogy vezető képessége 4 óra alatt 60 százalékkal növekedjék; ele-gendő volt, hogy üvegedényben tartassék el, hogy a szilikátok-ból nyomokat feloldván, vezetővé váljék.

598. A vizes oldatok ellenállása, tehát a sótartalom növe-kedésével csökken, de azután a legtöbb esetben egy bizonyos minimumot ér el, a melyen túl az ellenállás a sótartalommal együtt növekszik.

Erre nézve a következő táblázatban három példa van; az ellenállás minimuma kövér betűkkel van szedve.

Folyadékok	Gramm só 100 g oldatban	Vezető ké- pesség, ha a higanyé 10 ⁸ tétetik	Fajlagos ellen- állás 18°-on absz. C.G.S. egységekben	Sűrűség 18 C°-on
Czinkszulfát, BERTZ szerint	5	179	530×10 ⁸	1,051
	10	301	315×10 ⁸	1,107
	23.5	442	214×10⁸	1.286
	30	416	232×10 ⁸	1,379
	35	330	287×10 ⁸	—
Kénsav, KOHLEAUSCH szerint	5	1952	486×10 ⁷	1,033
	10	3665	259×10 ⁷	1,067
	30.4	6914	137×10⁷	1.224
	40	6361	149×10 ⁷	1,306
	60	3487	272×10 ⁷	1,502
Salétromsav, GROTRIAN és KOHLEAUSCH szerint	80	1032	918×10 ⁷	1,732
	5	1410	393×10 ⁷	—
	10	4310	220×10 ⁷	—
	29.7	7330	129×10⁷	1.185
	80	2500	379×10 ⁷	—

589. Hogy valamely telep hatását megítélhessük, ismer-
nünk kell, mint tudjuk, elektromindító erejét és ellenállását,
melyeket OHM képletében az **573.** pontban ϵ és ρ betűkkel
jelöltünk:

$$i = \frac{\epsilon}{\rho + r} \quad (1)$$

és a melyeket az **elem állandóinak** szoktunk nevezni.

Ennélfogva ismertetni fogunk néhányat azon számos mód-
szer közül, melyeket e két mennyiség meghatározására kigon-
doltak.

Egy önként kínálkozó módszer abban áll, hogy az elemet
 r ellenállású galvanométerrel zárjuk és megmérjük a benne
keringő áram i erősségét; ezután az áramkörbe még valamely
 r' ellenállást iktatunk s megmérjük az új i' erősséget.

Az első esetben az (1) alatti képlet áll, a másodikban pedig

$$i' = \frac{\epsilon}{\rho + r + r'};$$

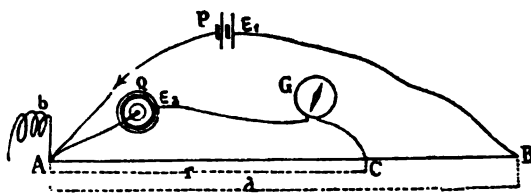
e képletekből könnyen kiszámítható ρ és ϵ :

$$\rho = \frac{i'}{i-i'} r - r', \quad \varepsilon = \frac{ii'}{i-i'} r'.$$

Azonban ez ellen a módszer ellen azt a kifogást lehet tenni, hogy a két mérés különböző áramokkal tétetik, melyek az áramkört különböző mértékben hevítik fel (612) és ennél fogva nem egyenlő mértékben változtatják meg ellenállását; e mellett még az a kétkedés is felmerülhet, hogy az elem állandói talán az áram erősségétől is függnének.

600. A kompenzációs módszer egészen állandó telepet kíván meg, melynek elektromindító ereje az összehasonlítás alapjául szolgál. És mivel zárt árammal kell dolgoznunk, legczél szerűbb a DANIELL-féle (442).

A kompenzációban valamely G galvanométeren (797. ábra) át vezetjük valamely Q elem egész áramát és az erősebb P telep



797. ábra. Kompenzációs módszer.

áramának egy elágazását, úgy, hogy a galvanométer tűje ne térjen ki.

Az AB drót egy úgynevezett **reochord**, azaz egyenletes ellenállású és egy skála előtt egyenes vonalban kifeszített vezető, úgy, hogy könnyen leolvasható, hogy mekkora rész van kirekesztve a szilárd A pont és az elágazás C pontja között, mely a drót mentén tökéletes érintkezéssel csúsztatható.

Ha az $APBC$ ág elektromotoros ereje és ellenállása ε_1 és ρ_1 , az $AQGC$ ágé pedig ε_2 és ρ_2 , végre ha a reochordnak a két elágaz-

tató pont közötti AC darabja r ellenállású, úgy a jelen esetre legott alkalmazhatjuk az 582. pont (5) képletét:

$$i_2 = \frac{\varepsilon_2 (r + \rho_1) - \varepsilon_1 r}{r\rho_1 + \rho_1\rho_2 + \rho_2 r},$$

mely megadja az áram intenzitását a galvanométerben. És ha a C pontot, miként mondtuk, úgy választjuk, hogy $i_2 = 0$ legyen, úgy:

$$\varepsilon_1 = \frac{r + \rho_1}{r} \varepsilon_2,$$

De ha a PA és PB vezetők vastagok, úgy, hogy ellenállásuk elhanyagolható, ekkor $r + \rho_1$ egyenlő a P telep ρ ellenállásának és az egész reochord a ellenállásának összegével; ekkor tehát

$$\varepsilon_1 = \frac{a + \rho}{r} \varepsilon_2 \quad (1)$$

Ha ezután a reochordhoz a b ellenállást csatoljuk, P -nek kompenzációját C -nek elmozdításával állítjuk helyre, mely elmozdításnak A és C között r' ellenállás felel meg, és miként az (1) esetben, úgy most:

$$\varepsilon_1 = \frac{a + b + \rho}{b + r'} \varepsilon_2 \quad (2)$$

mely képlet az (1) alattival egybevetve, ρ -nak kiszámítására a következő egyenletet adja

$$\frac{a + \rho}{r} = \frac{a + b + \rho}{b + r'}. \quad (3)$$

Hátra van még az ε_1 elektromindító erő meghatározása. E végből Q helyébe az összehasonlítás alapjául szolgáló DANIELL-t teszszük, melynek elektromindító erejét δ -val jelöljük, és megkeressük, hogy C pontnak mely új helyzetében nem fog a galvanométer kitérni. Ha az új AC darab ellenállása r'' , úgy:

$$\varepsilon_1 = \frac{a + \rho}{r''} \delta, \quad (4)$$

és ha ezt az egyenletet az (1) alattival egybevetjük :

$$\frac{\varepsilon_2}{\delta} = \frac{r}{r''}.$$

601. Hogy abszolút méréseket végezzünk, kell hogy egyszer s mindenkorra meghatároztuk legyen δ értékét, mi úgy történik, hogy az R ellenállású DANIELL-elemet egy R_1 ellenállású vezetővel zárjuk, melynek részét teszi egy tangens-galvanométer (501), melynek G redukáló együtthatója ismeretes, és megoldjuk a következő egyenletet :

$$GH \operatorname{tg} a = \frac{\delta}{R + R_1}.$$

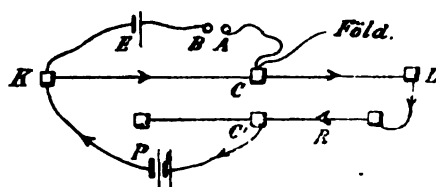
Hogy δ voltokban legyen ismeretes, kell hogy $R + R_1$ ohmokban legyen adva, és a $HG \operatorname{tg} a$ intenzitást meg kell szorozni 10-zel, hogy ampèrekben (508) ki legyen fejezve.

602. Ha az elektromindító erőt meg akarjuk mérni a nélkül, hogy a teljesen soha ki nem küszöbölhető sarkítás (441) által gyengítettnek, az elektrométerhez kell folyamodnunk : a telep sarkait összekötjük a quadráns párokkal és megfigyeljük potenciál-különbségüket.

Elmés és gyors a **Pellat módszere**. Két nagy DANIELL-ből álló P segítő-telepnek (798. ábra) árama az egyenlő részekre osztott KL reochordot (600) egész hosszában futja át, innét egy második R reochordba lép be és a C' csúsztatón át kilépve, a negatív sarkhoz tér vissza.

E egy minta-elem (például az 1,434 volt elektromindító erejű LATIMER CLARK-elem), melynek pozitív sarka K -ban az első reochord kezdőpontjával közlekedik, negatív sarka pedig a quadráns-elektrométer (386) egyik B elektródjával van összekapcsolva ; a másik A elektród a C csúsztatóval, s ennek révén a földdel közeledik. A és B közé kapilláris elektrométer (672) is kapcsolható. Egyébként mindennek jól el kell szigetelve lennie.

Először is a C csúsztatót a KL reochord 1000-es pontjára állítjuk, és a másik C' csúsztatót addig mozditjuk el, míg az elektrométer zéruson nem marad, amikor is E -nek elektromindító ereje kompenzálva van azon potenciál-különbségtől, melyet a P telep árama a K és C pontok között létesít (570), és a mely a C' csúsztatónak adott állása mellett arányos a KC drót hosszával. Ezután E helyébe az x elektromindító erejű elemet



798. ábra. Elektromindító erő mérése Pellat szerint.

tesztjük, és megkeressük, hogy mely pontra kell csúsztatni C -t, hogy azt kompenzálja; mondjuk, hogy ez a pont a skála 789-es pontja.

Az első esetben a P teleptől származó potenciál-különbség K és C között 1000-rel, most pedig 789-czel fejezhető ki; ennél fogva az ezen különbségekkel egyenlő elektromindító erők viszonya:

$$x : E = 789 : 1000$$

és ha $E = 1,457$ volt,

$$x = 0,789 \times 1,457 = 0,541 \text{ volt.}$$

603. Néhány elem elektromindító ereje *voltokban* CAZIN szerint:

VOLTA-elem (cink-réz, 432)	---	---	---	---	0,85
LECLANCHÉ-elem (barnakő, 444)	---	---	---	---	1,48
GRENET-elem (káliumbichromát, 445)	---	---	---	---	1,80
DANIELL-elem (cinkszulfát és rézszulfát, 442)	---	---	---	---	0,96
" (1/18-ra savanyított vízzel)	---	---	---	---	0,98
" (1/18-re " ")	---	---	---	---	1,08

GROVE-elem (füstölő salétromsav és $\frac{1}{8}$ -re savanyított víz, 443)	1,96
BUNSEN-elem (füstölő salétromsav és $\frac{1}{8}$ -re savanyított víz)	1,96
LATIMER-CLARK-elem (cinkszulfát és higanyszulfát)	1,43

604. Itt helyén van, hogy azokról az igen nagy ellenállású galvanométerekről szóljunk, melyek a gyakorlatban *voltmérő* néven ismeretesek és egyszerű leolvasással *voltok*ban megadják az elektromindító erőt, mely abban az áramkörben működik, a melybe be vannak iktatva. OHM törvénye (573) szerint ugyanis

$$i = \frac{\varepsilon}{\rho + r}, \quad (1)$$

mely képlet legott az

$$i = \frac{\varepsilon}{r}$$

alakot ölti, ha a galvanométer ellenállása akkora, hogy ehhez képest az elem és az áramvezetők ellenállása elhanyagolható.

Ilyes körülmények között tehát az ε elektromotoros erő arányos az áram i intenzitásával; mivel pedig valamely adott galvanométer kitérése egyes egyedül i -től függ, látjuk, hogy *voltok* szerinti tapasztalati beosztás készíthető, ha ismeretes elektromindító erejű teleppel rendelkezünk.

Az *ampèrméterek* viszont kis ellenállású galvanométerek, melyek *ampèrekre* és törtrészeikre be vannak osztva.

605. A galvanométer használatáról szólva, meg kell még magyaráznunk azt a körülményt (506), hogy az érzékenysége nézve nem mindig kívánatos, hogy a drótnak a tű körül való tekervényei számát növeljük. Emlékezzünk vissza (508), hogy az igen kicsiny kitérések arányosak az áram i intenzitásával és a tekervények n számával:

$$\alpha = Cni.$$

Ha a tekercs csak egyetlen egy vastag r ellenállású keretgyűrűből áll, (1) szerint:

$$a = C \frac{\varepsilon}{\rho + r}.$$

Ha ugyanez a gyűrű n -szerte hosszabb dróttá van kihúzva, keresztmetszete $\frac{1}{n}$ -né válik, elektromos ellenállása tehát az 567. pont (1) képlete szerint $n^2 r$ -ré válik, úgy, hogy az áram intenzitása a következő értékre száll alá:

$$i' = \frac{\varepsilon}{\rho + n^2 r},$$

és ha a drótot n tekervényben vezetjük a tű körül, az új kitérés ekként van kifejezve:

$$a' = C n i' = C \frac{\varepsilon}{\frac{\rho}{n} + n r},$$

mely érték akkor éri el maximumát (l. az 584. pontbeli levezetést), midőn $\frac{\rho}{n} = n r$, vagyis mikor a galvanométer-tekercs adott térfogata mellett az ő $n^2 r$ ellenállása egyenlő az áramkör fenmaradó részének ρ ellenállásával.

606. Mivel valamely elektromágnes tekercsének mágnesező ereje az 538. p. (5) képlete szerint szintén összetett viszonyban van a tekervények számával és az áram intenzitásával, látni való, hogy adott elektromindító erejű és ellenállású telep és áramvezetők esetében czélszerű, hogy a mágnesező tekercs ellenállása egyenlővé tétessék ezekkel az ellenállásokkal. A telegráfok gépekben czélszerűek az igen vékony drótból való sok tekervényű tekercsek, mert a vonal ellenállása igen nagy; ellenben a lakóházakban használt csengetyűkben czélszerű, hogy az elektromágneseknek vastagabb drótból való és kevesebb tekervényű orsóik legyenek.

607. Hátra van még, hogy valamely vezető kapacitásának meghatározására szolgáló némely módszert is ismertes-

sünk. Némely különös esetben a kapacitás egyszerű geometriai mérésből vezethető le. Így a kapacitása valamely gömbnek, mely minden más vezetőtől távol van, egyenlő a gömb sugarával (348). Azon R sugarú gömb kapacitása, melyet R' sugarú, vele egy középpontú gömb vesz körül (391),

$$C = D \frac{RR'}{R' - R},$$

hol D a gömbök között levő dielektrikumnak fajlagos megosztó képessége. Egy s felületű síknak kapacitása, mely sík egy épen akkora, párhuzamos és a földdel közlekedő síktól d távolságban van (482), a következő:

$$C = D \frac{s}{4\pi d},$$

ha elhanyagoljuk a kerület zavaró hatását, vagy pedig ha ezt védő-gyűrűvel (385) kiküszöböljük.

Eme képletek levezetésében elektrosztatikai mértéket (515) használtunk. Hogy elektromágnesi mértékre vezessük őket vissza, meg kell fontolnunk, hogy a C_m kapacitás mérete az elektromágnesi rendszerben (514) $[L^{-1}T^2]$, ellenben az elektrosztatikai rendszerben $C = [L]$; ennél fogva

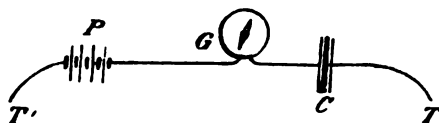
$$C_m = C [L^{-1} T^2] = C : c^2.$$

Látjuk tehát, hogy az előbbeni kifejezéseket meg kell sokszorozni eme c együttható (513) négyzetével, melyről azt tudjuk, hogy valószínűleg egyenlő a fény sebességével. Csakhogy az eddigelé tett számbeli meghatározásai nem eléggé szabatosak arra nézve, hogy redukáló együtthatóul használhatnók.

608. Jobb a kapacitásnak a galvanométerrel való közvetlen megmérése. E végből valamely P telephez (799. ábra) folyamodunk, melynek ϵ elektromindító erejét abszolút mértékben (601) ismerjük; egyik sarkát T' -ben a földdel, másik sarkát pedig a G galvanométeren át a C sűrítő egyik fegyverzetével kötjük össze, hogy ily módon megmérjük azon e elektromosság-mennyiséget, mely a sűrítőt megtölti. A kapacitás tehát:

$$C = \frac{e}{\varepsilon},$$

faradokban (575) akkor van kifejezve, ha e coulombokban, ε pedig voltokban méretett; minthogy azonban a farad a gyakorlat



799. ábra. A kapacitás közvetlen mérése.

szempontjából nagyon is nagy, inkább mikrofaradokban fejezzük ki, alkalmazván a következő képletet:

$$C = \frac{e}{\varepsilon} 10^6.$$

609. A mint a kereskedelemben előfordulnak az *ohm* másolatai (586), épen úgy meg vannak a *mikrofaradnak* és tört részeinek másolatai is. A 800. ábra egy harmad-mikrofaradot tüntet elő. Ez doboz, melynek ebonit-fődelén egy-egy drótfogóval (*A* és *B*) ellátott két sárgaréz darabot látunk; mindegyikök a sűrítő egy-egy fegyverzetével van összekötve; a sűrítő ónpapiros-lapokból áll, melyek paraffinozott papirossal vagy csillámlemezekkel vannak egymástól elkülönítve. A középben látható *S* dugó sárgarézből van, és az a célja, hogy a sűrítőt, ha nem dolgozunk vele, kisütve tartsa.



800. ábra. Mikrofarad.

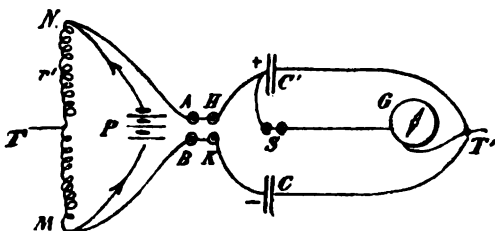
610. Ha valamely sűrítőnek kapacitása egyszer már meg van határozva, akármely másikat gyorsabban megmérhetjük összehasonlítás révén.

Két kapacitás összehasonlítására számos módszert gondoltak ki. Egyet már a 390. pontban említettünk, s eme

módszer szerint mindössze két potenciált kell az elektrométerrel összehasonlítani. Szóljunk még a lord KELVIN módszeréről is, melyhez galvanométer kívántatik meg.

Ez abban áll, hogy két sűrítővel egyenlő és ellenkező töltéseket közlünk, miközben fegyverzeteiket különböző, V illetőleg V' potenciálra emeljük; ezután eme fegyverzetek között olyatén érintkezést létesítünk, hogy telepet alkossanak (377); végre ezt a telepet kisütjük egy galvanométeren át, melynek zéruson kell maradnia, ha a két töltés valóban egyenlő volt. Ekkor a C és C' kapacitások fordított viszonyban vannak a potenciálokkal.

A helyett, hogy két potenciált mérnénk, megmérünk két ellenállást, a készüléket úgy rendezvén be, miként a 801. ábra mutatja. Valamely P telepet az r és r' ellenállás-tekercsek egy során át van zárva, mely sor egy közbenső T pontjában a föld-



801. ábra. Ellenállások összehasonlítása.

del közlekedik. Ha A -t összekötjük H -val, B -t pedig K -val, a telepek sarkai az összehasonlítandó C és C' sűrítők elszigetelt fegyverzeteivel közlekednek, minél fogva e sűrítők, melyeknek másik fegyverzete T' -ben a földdel közlekedik, megtöltetnek.

Próbálgatás útján az elágazás T pontját akként választjuk, hogy ha azután az AH és BK közlekedést megszakítjuk, a H és K közötti érintkezést pedig létrehozuk, a G galvanométer ne térjen ki, midőn lenyomjuk az S billentyűt, mely őt a szigetelt fegyverzetek párjával összeköti, míg másrészt a földdel közlekedik.

Ha a galvanométer nem tér ki, ez annyit tesz, hogy C és C' -beli töltések egymást közönbösítették. Ekkor a mondottak szerint a két kapacitás között ez a viszony áll fenn:

$$C : C' = V' : V.$$

De a *PNTM* áramkörben az M pontbeli V potenciál és az N pontbeli V' potenciál arányos (571) az r és r' ellenállásokkal, melyek eme pontok és a zérus-potenciálon levő T pont között foglaltatnak. Tehát a keresett viszony:

$$C : C' = r' : r.$$

XLIX. FEJEZET.

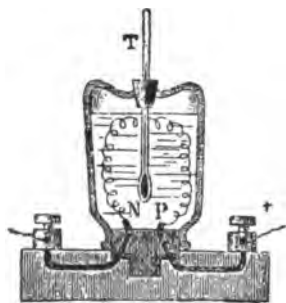
AZ ELEKTROMOS ÁRAM ÉS A HŐBELI ENERGIA.

611. Láttuk (365), hogy valahányszor magasabb potenciálú pontról alacsonyabb potenciálú pontra elektromosság megy át, ez az elektromos helyzeti energia megfogyatkozásával jár, mely energia a két pont közötti potenciál-különbséggel és az egyiktől a másikhoz átömlő elektromosság mennyiségével összetett viszonyban van. Az elektromos energiának ezt a csökkenését kiegyenlíti ugyanannyi más alakú energia, például valamely mechanikai munka, valamely halmazállapot változás, valamely chemiai folyamat, vagy pusztá hőfejlődés.

Mivel pedig az áram nem egyéb az elektromosságnak két különböző potenciálú pont közötti folytonos átmenetelésénél, nyilvánvaló, hogy a telep áramkörében az energiának folytonos átalakulása megy végbe. Épen ezzel a tárggyal fogunk most foglalkozni. Hogy pedig a dolgot a legegyszerűbb esettel kezdjük, vegyük figyelembe az államkörnek egy egészen fémből való, egészen egyenletes darabját, melyben sem mechanikai

hatások, sem a molekulai szerkezet változásai, sem chemiai folyamatok nem esnek meg, melyben tehát az egész elektromos energia hővé alakul át.

612. JOULE ezt a hőt a 802. ábrabelihez hasonló készülékkel mérte meg. Két vastag áramvezető a megvizsgálandó *NP* dróttal volt összekötve, s ez egy *T* hőmérővel együtt alkoholba volt merítve, mely kaloriméteres folyadékul szolgált.



802. ábra. Joule készüléke.

Az ekként a kaloriméterrel közölt *C* hőmennyiséget az áramkeringés *t* tartamával, ugyanezen áram *i* intenzitásának négyzetével és a drót *r* ellenállásával egyenes viszonyban levőnek találta. Ez a **Joule-féle törvény** tehát a következő egyenlettel fejezhető ki:

$$JC = i^2 r t, \quad (1)$$

hol *J* állandó együttható, mely csakis a mérték-egységektől függ, és az egységgel egyenlővé válik, ha mindent abszolút mértékben fejezünk ki, ideszámítva *C*-t is, mely ez esetben a fejlődő hővel egyenértékű ergek számát fejezi ki. Ha pedig *C* a kis-kaloriák száma, és *i* ampèrekben, *r* ohmokban és *t* másodpercekben van kifejezve, úgy megközelítőleg $J=4,2$.

613. JOULE törvénye tapasztalati úton találtatott fel, de levezethető mint OHM törvényének (573) és az energia megmaradása elvének szükséges következménye is.

Ha ugyanis *v* és *v'* a potenciálnak azon két értéke az *r* ellenállású drót *P* és *N* végein, mely értékek megkívánatnak, hogy az áram *i* intenzitású legyen, és ha $v - v' = \Delta$ tétetik, úgy OHM törvénye szerint:

$$i = \frac{\Delta}{r}. \quad (2)$$

Mivel pedig a t időtartamban v potenciálról v' potenciálra átmenő elektromosság mennyisége it , a hővé átalakuló elektromos energia :

$$E = \Delta it, \quad (3)$$

vagy ha Δ -nak (2)-ből vett értéket helyettesítjük :

$$E = i^2 r t.$$

Ha i ampèrekben, r ohmokban és t másodpercekben van kifejezve, úgy E jouleokban (577) van kifejezve.

Hogy tehát a mi vezetőkben fejlesztett kis-kalóriák C számát megkapjuk, E -t el kell osztani a kaloria mechanikai egyenértékével (577), mely 4,2, minélfogva :

$$C = \frac{E}{4,2} = \frac{5}{21} i^2 r t, \quad (1)$$

mely kifejezés, ha benne $i=1$, $r=1$ és $t=1$ tétetik, azt mondja, hogy 1 ohmnyi ellenállásban keringő 1 ampèrenyi áram 1 sec alatt $\frac{5}{21}$ kis kalóriát fejleszt. És mivel (577) a kis kaloria mechanikai egyenértéke épen 4,2 joule, mondhatjuk, hogy 1 ampère 1 ohmon átmenve, 1 másodperc alatt 1 joule hőbeli energiát fejleszt.

De (3) szerint az is áll, hogy :

$$C = \frac{5}{21} \Delta it,$$

és ha itt $\Delta=1$ volt és $it=1$ coulomb tétetik, látjuk, hogy ugyanannyi hő fejlődik, midőn 1 coulomb mennyiség 1 volt potenciálkülönbséggel áramlik (v. ö. 577).

614. Az áram a folyadékokban is fejleszt hőt, és pedig ugyancsak JOULE törvénye szerint; ennélfogva a ρ ellenállású telep folyadékjában az i erősségű áramtól t idő alatt fejlesztett kalóriák száma :

$$C' = \frac{5}{21} i^2 \rho t, \quad (4)$$

és az egész áramkörben, melynek ellenállása $R = \rho + r$, ugyanazon időben fejlesztett kalóriák száma:

$$\gamma = C + C' = \frac{5}{21} i^2 R t. \quad (5)$$

Tekintve, hogy OHM törvénye szerint az elektromindító erő:

$$\varepsilon = Ri,$$

legott látjuk, hogy eme hőmennyiség dinamikai egyenértékének kifejezése a következő alakokat ölti:

$$E' = J\gamma = 4,2 \gamma, \quad (6)$$

$$E' = Ri^2 t,$$

$$E' = \frac{\varepsilon^2}{R} t, \quad (7)$$

$$E' = \varepsilon i t. \quad (8)$$

Az energia megmaradása elvénél fogva pedig ugyanezek a képletek kifejezik azt a chemiai munkát is, melyet a chemiai erők a telepben az áram fentartására végeznek.

Ebből következik, hogy azon munka, melyet 1 coulombnak az áramkörben való keringetése megkíván, és viszont az a hőbeli energia, mely az egész áramkörben 1 coulombnak átmenetelénél fejlődik, a következő kifejezéssel van adva:

$$\frac{E'}{it} = Ri = \varepsilon. \quad (9)$$

Innét kitűnik, hogy az elektromindító erő azt a hőbeli energiát fejezi ki, mely valamely áramkörben fejlődik, midőn azon az elektromosság egysége megy át.

615. Ha az áram fejlesztette hő nem közlődnék a szomszédos testekkel, az r ellenállású fémi vezető mérséklete az idővel arányosan folytonosan emelkednék, úgy, hogy ha a vezető tömege grammokban m , fajheve pedig c , a mérséklet emelkedését a következő képlet fejezné ki:

$$\vartheta = \frac{C}{cm} = \frac{5}{21} \frac{ri^2 t}{cm},$$

és ha ugyanezen vezető keresztmetszete s , hossza l , sűrűsége d , fajlagos ellenállása pedig k , lenne még (567):

$$\vartheta = \frac{5}{21} \frac{k}{cd} \frac{i^2 t}{s^2}.$$

E szerint a melegedés gyorsasága nem függne a hosszról, a keresztmetszet négyzetével, a térfogat szerinti cd fajhővel fordított, a fajlagos ellenállással pedig egyenes viszonyban volna.

616. De ezek a képletek az elektromosság keringésének csak első pillanataiban lehetnek érvényesek, mert később már nem hanyagolható el a vezetés és sugárzás révén vesztett hő. A drót maradandó mérsékletét akként kell kiszámítanunk, hogy a vesztett hőt egyenlővé tesszük a fejlesztett hővel. Legyen e végből ϑ a maradandó mérsékletnek és a környezet mérsékletnek különbözete, h a megfelelő sugárzó képesség, a a vezető oldal-felülete s akkor

$$ha\vartheta_1 t = C,$$

miből, a **613.** pont (1) képletét is tekintetbe véve,

$$\vartheta_1 = \frac{5}{21} \frac{r}{a} \frac{i^2}{h}. \quad (4)$$

Ha R sugarú dróttal van dolgunk, ez a képlet így alakul:

$$\vartheta_1 = \frac{5}{21} \frac{k}{2\pi R^2} \frac{i^2}{h}. \quad (5)$$

Ez azt mondja, hogy adott áram és adott sugárzó képesség mellett a vékonyabb és a nagyobb fajlagos ellenállású vezetők erősebben melegszenek meg.

Valóban, vezessük át az áramot oly vezetőn, mely egyazon fémből való, de váltakozva vastag és vékony darabokból áll: látni fogjuk, hogy az utóbbiak erősebben izzanak. Vezessük át egyazon átmérőjű, de váltakozva rézből és platinából való drótokból álló lánczon: a platina fehér izzásba jó, míg a réz sötét marad (589).

617. Ha az áramkörben működő elektromindító erőt ϵ -nal, az áramkör többi részének ellenállását pedig ρ -val jelöljük, a (4) képlet a következő alakra hozható :

$$\vartheta_1 = \frac{5}{21} \frac{\epsilon^2}{ah} \frac{r}{(\rho + r)^2} \quad (6)$$

és ez szembeötlővé teszi, hogy adott vezető annál magasabb mérsékletre emelhető, mentül nagyobb az elektromindító erő és mentül kisebb a használt telep ellenállása.

Ez az oka, hogy a galvanokausztikában nagy felületű telepeket használnak ; itt izzó platina-drótokkal sebeket égetnek vagy pedig szerves szöveteket távolítanak el.

618. Itt helyén van a következő szép kísérlet. Feszítsünk ki egy vékony vasdrótot, s iktassunk belőle egy telep áramkörébe akkora hosszt, hogy ennek ellenállása annyira meggyengítse az áramot, hogy a drót épen csak hogy megmelegszen.

Abban a mértékben, melyben a közbeiktatott hosszt kisebbítjük, növekszik az áram erőssége és ezzel együtt a drót mérséklete. Midőn a kezdő vörös izzás beáll, állapotjunk meg. Ha most a drót egy részét jéggel dörzsöljük, a másik rész erősebb izzásnak indul s végre megolvad !

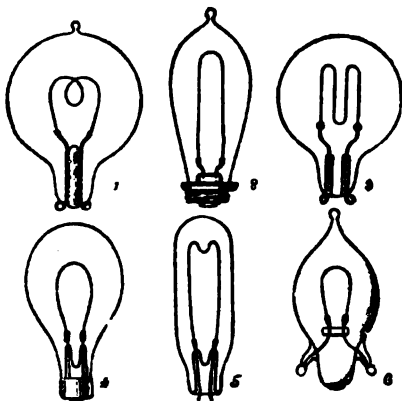
Ennek magyarázata könnyű. A jég okozta lehülés csökkenti a dörzsölt rész fajlagos ellenállását (590), és a dolog úgy áll, mintha a (6) alatti képletben ρ kisebbednék.

619. A drótok elektromos izzását robbantó töltések meggyújtására alkalmazták. A messze levő telephez vastag áramvezetők vannak kapcsolva, s ezek végei vékonyka platinadróttal vannak összekötve, melyet robbanó anyagok vesznek körül. Ha az áramkört zárjuk, eme drót meggyújtja a töltést.

620. Sok kísérlet tétetett az elektromos izzásnak világitásra való alkalmazására is. Az elektromos energia fejében nyert sugárzó energia vele mindig egyenértékű, de a szemre annál nagyobb hatással van, mentül magasabb a sugárzás mérséklete

(214), ennél fogva igen nagy fajlagos ellenállású és nagy mértékben tűzálló szilárd testet kellett keresni. Sem a platina, sem a még nehezebben olvadó platina-iridium ötvény nem vezetett jó eredményre, mert nem emelhető a kellő magasságú mérsékletre.

Ekkor a szénre gondoltak, és szívós kitartással sikerült nagyon tartós szénfonalakat készíteni, és pedig oly módon, hogy keskeny papiros szalagocskákat, különböző növényrostokat, tömény kénsavval kezelt gyapotfonalakat stb. szénporba burkolva, vörös izzásnak tették ki. A szenesített fonalakat, miután galvanikus úton előállított rézbevonat közvetítésével platinadrótokhoz for-



803. ábra. Elektromos izzó lámpák.

rasztották, üveggömbökbe zárták el, s a kivezető platinadrótokat az üvegbe beolvasztották; erre áramot bocsátottak át rajtuk s szénhidrogénben izzították a végből, hogy ez disszocziálván, a szénét a fonálra lerakja s ennek összetartását fokozza, vastagságát növelje, addig, míg a megkívánt elektromos ellenállásra szert nem tesz. Minthogy a levegőben hevített szén elég, eme gömböcskéket higanylégszivattyúval (I, 244, 258) annyira légüressé tették, hogy a nyomás akkor, a mikor a szénfonál izzó állapotban volt, 0,03 mm.-nél kisebb legyen. Így készülnek a mai nap annyira elterjedt elektromos izzó lámpák (803. ábra).

Ha a nyomás nagyobb, az üveggolyó nagyon fölmelegszik, ami energia-pazarlással jár; ha pedig a nyomás kisebb, a szén gyorsan föllengítettik, a golyó belsejét bekormozza s a lámpa élete megrövidül.

621. Az eddigelé leírt telepeket gazdasági szempontból nem lehetne az elektromos világításra alkalmazni; ezek helyett dinamo-elektromos gépek használtatnak, melyekkel később **(719)** meg fogunk ismerkedni; de úgy ezek, mint amazok alá vannak vetve Ohm törvényének, úgy, hogy a nélkül, hogy az alkalmazott áramgerjesztőnek fajával törődnünk kellene, már most kitűzhetjük a következő feladatot: meghatározandó a legnyereségesebb viszony az áramkörbe egymás után kapcsolt néhány ilyen lámpának egészben való r ellenállása és az elektromosság-gerjesztőnek és az áramvezetőknek fennmaradó ρ ellenállása között.

E végből a **617.** p. (6) képletéhez folyamodunk, mely azt mondja, hogy adott ε elektromindító erő mellett az időegységben kisugárzott $h\partial_1$ energia az ∂ maximális értékét az $\frac{r}{(\rho + r)^2}$ mennyiséggel együtt éri el, vagyis akkor éri el **(584)**, midőn $r = \rho$.

De meg kell jegyeznünk, hogy ez a maximum, s vele együtt a ∂_1 mérséklet és a világító képesség annál nagyobb értékű, mentül kisebb az áramkör összes $r + \rho$ ellenállása és mentül nagyobb az ε elektromindító erő.

Az izzólámpák rendesen két, az elektromosság forrásával közlekedő vezető közé elágazásba kapcsoltatnak s 100—50 volt potenciálkülönbségen tartatnak. E szerint n számú, egyenként r ellenállású lámpa együttes ellenállása

$$R = \frac{r}{n}.$$

622. Gazdasági szempontból a feladatot másként kellene kitűzni: az áram előállítására megkívántató energiának hányad része alakulhat át a lámpák sugárzó energiájává?

Ez a hányadrész abban az esetben, midőn az áramkörben sem mechanikai, sem chemiai munka nem végeztetik, és csupán csak hőfejlődés megy végbe, a következő :

$$\frac{r}{r + n\rho},$$

mert a ρ ellenállású vezetékreszen fejlődő i (614) hőmennyiség másodpercenként $\frac{5}{21} \rho i^2$, s az egy lámpában az elágazott $\frac{i}{n}$ áramból keletkező hőmennyiség $\frac{5}{21} r \frac{i^2}{n^2}$, s az összes n lámpában $\frac{5}{21} r \frac{i^2}{n}$.

Ennél fogva nyereségesebb az olyan kapcsolat, melyben az összes ellenállás főleg a lámpákból származik.

Mindazonáltal mindig szem előtt tartandó, hogy bizonyos mennyiségű sugárzó energiától származó világító képesség annál nagyobb, mentül magasabb a kiugárzás hőmérséklete, mit akként érhetünk el, hogy az összes ellenállást, a mennyire csak lehet, leszállítjuk, az elektromindító erőt pedig fokozzuk; de megjegyzendő, hogy bizonyos határ nem léphető túl a nélkül, hogy a szénfonál molekulai szerkezete meg ne változnék és a szén az üveggömböt, falaira lerakódván, el ne sötétítené. A leggazdaságosabb fogyasztás feltételei akként állapíttatnak meg, hogy az energia költségeit a lámpa költségeivel szembeállítjuk.

Egy 16 gyertyás lámpa rendes izzásához mintegy $\frac{1}{2}$ ampèrnyi áram szükséges, a mi 100 volt potenciálkülönbség esetén körülbelül 50 watt fogyasztásával jár; e szerint az izzó lámpa gyertyánként 3 watt-nál valamivel többet fogyaszt s átlagosan 700 órán keresztül használható. Az izzó lámpa a benne elfogyasztott energiának mintegy 0,05-részét sugározza ki világosság alakjában, holott a közönséges gyertya alig 0,003-részt; ez adatok akként határozottak meg, hogy előbb átlátszatlan s azután átlátszó kaloriméterben mérték a hőfejlést: az első esetben az összes sugárzás méretett, a másodikban pedig csak az, mely a szemre nem hat. A következő táblázat fogalmat ad az ez idő szerint használatban elterjedt

izzó lámpák egyes típusairól; megjegyezzük, hogy az *ohm*okban kifejezett ellenállások az izzó szénfonálra vonatkoznak, s hogy a hideg fonál ellenállása körülbelül kétszer akkora (591).

Gyertya	Potenciál- különbség volt	Áram- erősség ampère	Ellenállás ohm	Energia- fogyasztás watt	Gyertyánkénti fogyasztás watt
4	25	0,70	28,6	14	3,5
8	15	1,03	14,5	15,5	2,6
8	50	0,5	100	25	3,1
10	100	0,33	303	33	3,3
16	50	1,00	50	50	3,1
16	65	0,77	84,5	50	3,1
16	100	0,5	200	50	3,1
25	100	0,78	128	78	3,1
32	50	1,98	25,3	99	3,1
32	100	0,99	101	99	3,1
50	100	1,45	68,9	145	2,9
100	100	2,8	35,7	280	2,8

623. A világításnak eddigelé tekintett rendszerében a szilárd vezetők izzása van alkalmazva. Meg kell ezt különböztetni a szorosabb értelemben vett **elektromos fénytől**, mely szemközt álló s egy áramgerjesztőnek sarkaival közlekedő két szén-csúcs között képződő ívből rendkívüli fényességgel árad szét.

Ez a fény nem tévesztendő össze az elektromos szikrával (385), mert egészen más körülmények között keletkezik, mint minők között például a Holtz-gépnek sarkai közötti szikrá-áram (363) létesül. Ez a fény ugyanis mintegy harminczszorta ragyogóbb a DRUMMOND-fénynél (214), ha mintegy ötven BUNSEN-elemmel állítjuk elő, melyeknek elektromindító ereje pedig nem elegendő a legkisebb szikra előidézésére sem, ha az áramvezetők két végét mikrométer-csavarral egymáshoz egészen közel hozzuk; holott szép szikrát kapunk, ha az áramkört valamely pontban hirtelen megszakítjuk, s az ilyen megszakításbeli szikrához már 6 vagy még kevesebb BUNSEN-elemből álló telep is elegendő. A tűnemény érthetővé válik, ha meggondoljuk, hogy a megszakítás pillanatában a vezető keresztmetszete hir-

telenül megkisebbedik, és ennélfogva (616) ebben a pontban a vezető izzásba jön, sőt izzó részecskéit szanaszét szórva, el is párolog.

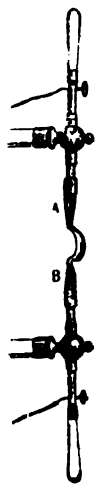
Ezt a minden irányban való szikraszórást s ezzel együtt a közönséges elektromos szikrától különböző voltát szembeötlővé tehetjük, ha valamely telep áramvezetőjét végig húzzuk egy reszelőn, mely a másik áramvezetővel már össze van kötve.

Ha valamely telep áramkörét egy higany-vályucskával zárjuk s ezután az áramvezetők egyikét a higanyból kihúzzuk, szép és csattanós szikrát figyelhetünk meg, mely a higanytól származik, mely elpárolog, izzásba jön és a levegőben elég. Ha azon áramvezető, melynek vége a higanyba merül, fémdrótból való spirális, mely függélyesen van felfüggesztve, az illetén megszakításbeli szikráknak automatikus sorozatát nyerjük, mert a tekervények, a közben, hogy az áram kering bennük, vonzzák egymást (522), tehát egymáshoz közeledve a vezető alsó végét a higanyból kiemelik. Ekkor az áram megszakad, a szikra létrejön, a tekervények megszűnnek egymást vonzani, engednek a nehézségnek és az áram ismét zárul.

624. A 804. ábrában elötüntetett készülékkel, mint előadásbeli kísérlet mutatható meg, miként buzog a fény két széncsúcs, *A* és *B* között. A csúcsokat először is érintkezésbe helyezzük, s ezután széthúzzuk, s ekkor létrejön a **Davy-féle ív**, mely szénrészecskékből álló hidnak tekinthető, a melyen át az áram rendkívül nagy ellenállásra talál, s így igen magas mérsékletre hevíti. De a két csúcs is fehér izzásig hevül fel, és épen a csúcsok árasztanak nagyobb mennyiségű fényt azon nagyobb sugárzó képességnél fogva, melylyel a szilárd testek a légneműekhez képest fel vannak ruházva. A pozitív sarkkal közlekedő csúcs erősebb izzásnak indul, mert az ív kialakása után hosszabb időn át vörös izzásban marad.

Az ív kialszik, midőn a két szén közötti távolság meghalad bizonyos határt, mely az elektromindító erővel együtt növe-

szik. Ha ez mintegy 30 voltnál nem nagyobb, az ív nem is jön létre, mert ki van mutatva, hogy a közben, hogy a szén molekulai szerkezetét változtatja, a csúcsok között mintegy 39 volt-nyi ellenkező elektromindító erő gerjed, mely hasonló a sarkítás elektromindító erejéhez (654). Azért is, hogy a fényív fennmaradhasson, a két széncsúcs között ezen elektromindító erővel egyenlő potenciálkülönbséget kell állandóan fentartani, hozzá-



804. ábra.
Davy-féle ív.

adván még az áramintenzitásnak az ív ellenállásával való szorzatát, mely ellenállás a széncsúcsok közével (az ív hosszával) növekedik.

Hogy az ívet, ha kialudt, ismét meggyújtuk, létre kell hozni az érintkezést; de a két csúcsot nem kell okvetetlenül érintkezésbe tenni, mert ha elég közel vannak egymáshoz, elegendő, ha közöttük szikrát ugratunk át az elektromozó géppel: ekkor a szénről leszakított részecskék hidat alkotnak, melyen át a telep árama megindul.

A szeneket úgy készítik, hogy igen finom porrá zúzott kokszt korommal jól összekevervén, mézga és cukorszörppel sűrű péppé gyúrnák össze; a pépet azután hengeren keresztül sajtolják, úgy mint a makarónit, pálczákra vágják és magas hőmérsékleten megkeményítik.

Mind a két szénpálca elfogy, ha a levegőben ég; és ha egyenlő vastagok, a pozitív pálca fogyása mintegy kétszerese a másikénak s ez okból az első vastagabbnak szokták választani.

A világító képesség annál nagyobb, mennél vékonyabbak a szenek; de hogy túlságosan gyors elézésök megakadályoztassék, az áramerősség arányában vastagabb hengereket szokás választani; így pl. a 4—25 ampèr-nyi áramokhoz 8—18 mm átmérőjű pozitív szenet szokás venni. Középszerű ívekhez igen alkalmasak a 8—10 mm átmérőjű szenek; 8 ampèr-nyi áram 42 volt

potenciálkülönbséggel, 5 mm hosszúságú ívben óránként 4—5 cm-nyit fogyaszt a szénből.

A kilövelt fény intenzitása az iránynyal változó; legnagyobb mintegy 45° -nyira a szenek tengelyétől. A világító energia az összes kisugárzott energiának mintegy $\frac{1}{10}$ -része; azért is az ívlámpák kedvezőbb munkasikert adnak, mint az izzó lámpák.

Légüres térben az elektromos ívet az anyagnak kettős át- vitele kíséri, mely azonban bőségesebb az áram irányában, mint az ellenkező irányban.

625. Az ív képe közvetlenül nem vizsgálható meg, mert nagy fénye elvakítja a szemet; mindazonáltal legapróbb részletei is megfigyelhetők, ha valódi képét, melyet a 805. ábra tüntet elő, lencsével fehér ernyőre vetítjük.

A fényes ívet violaszínű fényöv (aureola) veszi körül. A pozitív széncsúcs krátterszerűvé válik s a kráter fényessége mindig ugyanaz, bármilyen is legyen az áram intenzitása; ez a fényesség a szén párolgásának felel meg, mely VIOLLE szerint 3500° körül történik. A negatív szén csúcsán dudorodás támad, és pedig az áramtól tova szállított anyagból; a golyócskák ásványos salak cseppecskéiből származnak, melyek a közönséges elégségnél hamut adnának.

Az elektromos fény azon magas hőmérsékletnél fogva, melyben csaknem minden test megolvad és elpárolog, nagyon gazdag törékenyebb sugarakban, és ennél fogva nagyon alkalmas a fluoreszkálás és a chemiai hatások gerjesztésére.

Mindaddig, míg csakis a szilárd szén fényét vizsgáljuk, a színekép folytonos (214); de a fényív színekepe a szén légnemű vegyületeinek fényes vonalaival van megszakítva (243), valamint mindazon anyagok vonalaitól, melyek esetleg vele keverődve vannak; jelenleg olyan szénpálcákat is készítenek, melyek a stroncium, bárium, kalcium stb. különböző sóival

vannak készítve, s ezek azután igen alkalmasak a különböző emisszió s szinképek vetítésére.



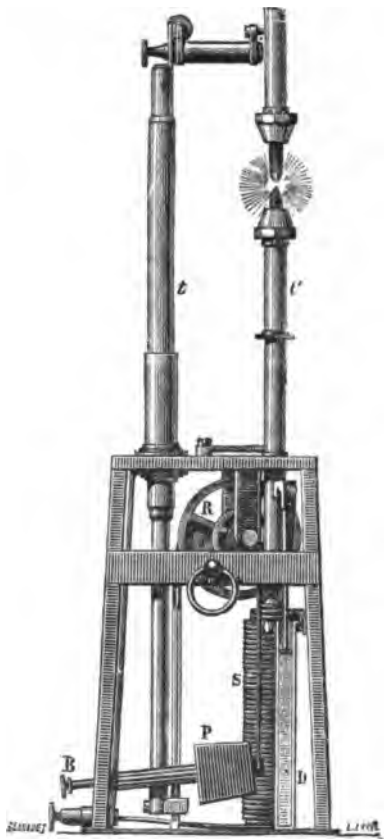
805. ábra. Elektromos ívfény.

626. Ha a két szén nagyon közel van egymáshoz, potenciálkülönbségek csökken, a fény nem állandó, a negatív csúcs szokatlanul ragyog és sajátos bűgös hang hallható. A közt a rendszer hosszára igazítván, a lámpa működése szabályszerűvé válik.

Az elektromos fény szabályozóknak az a rendeltetésök, hogy a szénket fogyasztással arányosan egymáshoz közelítsék, hogy így a fényforrás állandó maradjon; mindennek önműködőleg kell történnie. Nagyon sokféle a szerkezetök; mondhatni, hogy mindennap újakat ajánlanak. Nekünk elég, ha nagyjából felemlítünk egy-kettőt.

FOUCAULT, SERRIN stb. szabályozóiban maga a fénygerjesztő áram egy elektromágnes orsójában kering; e mágnes horgonya egy megakasztó pálczát kormányoz, mely egy óramű szélfogói között ellenhatásúlag van elhelyezve. Midőn a pálczák fogyasztásával a közöttük levő távolság növekszik, ezzel együtt az áramkör ellenállása is nő, az áram tehát gyengül, s az elektromágnes nem győzheti le többé az ellenhatású erőt, mely a gépezet mozgását szabaddá teszi. Ekkor a szénpálczák egymáshoz közelítetnek, s a pozitív kétszerte gyorsabban halad a negatív-nál (624), mindaddig, míg az áram visszanyeri azt a mágnesező erőt, mely megkivántatik, hogy a pálczák ismét a kellő távolságban tartva maradjanak.

Más szabályozókban, mint JASPAR-éban, melyet a 806. ábra tüntet elő, a széntartókat két zsinór kormányozza; ezek ellen-



806. ábra. Jaspár szabályozója.

kezőleg vannak egymással kapcsolatos két kerék körül vezetve, melyek közül az egyik kétszer akkora átmérőjű a másiknál. Van benne továbbá egy súly, a t széntartó-pálcza súlya, mely a pálczákat egymáshoz való közeledésre készíti; de ennek bizonyos pontig ellenáll az S tekercsnek mágnesi vonzása, mely az alsó t széntartó meghosszabbítására erősített lágyvas-magra hat. Midőn a távolság növekszik, a mágnesező erő gyengül és a t pálcza súlya legyőzi, hogy a felső pálczát leereszsze, az alsót pedig felemelje.

JASPAR szabályozójának járását más alkotórészek hozzákapcsolása teszi tökéletessé; ilyen például egy dugó, mely higanyon úszik s a szenek zökkenéseit enyhíti; a P ellensúly, melynek emeltyűkarja a rendelkezésre álló, az iv normális hosszát meghatározó áramhoz képest változtatható, stb.

627. Nyilvánvaló, hogy egy elektromos áramkörbe eme szabályozók közül, melyek az áram intenzitás-változásainak engedelmeskednek, csak egyet lehet beiktatni.

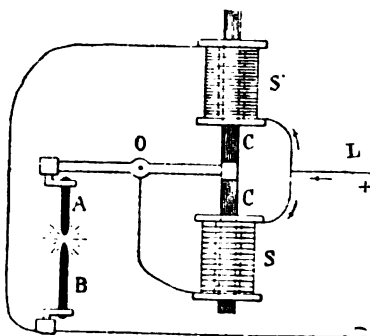
Hogy egyazon áramgerjesztőnek áramát több lámpára osztszuk szét, olyan berendezést kell használnunk, hogy a szenek ne az áram intenzitás-változásainak, hanem a fényiv ellenállás-változásainak engedelmeskedjenek, mi úgy történik, hogy az elektromágnes tekercsége a szeneken átmenő főáramnak egy gyenge elágazását vezetjük.

A két elágazó áramnak intenzitása fordított viszonyban van az ágak ellenállásával (**579**); ennél fogva a tekercs mágnesező ereje növekszik, a midőn az iv megnyulik, és legyőzi a horgony ellenhatású erejét, hogy a szenek közeledését lehetővé tegye. A készülék járását tehát nem zavarják a főáram intenzitásának változásai, melyek különben is csekélyek és rövid tartamúak.

A SIEMENS-czég differenciális lámpája egyike azoknak, melyek erre az elvre alapítva eddigelé a legjobban beváltak.

A 807. ábrából fogalmat meríthetünk róla. A főáram

L -be érkezik és két ágra oszlik; egyik része az S orsón és az A és B szeneken, másik része pedig az S orsón megy át; a két ág azután ismét összekerül. Az alsó S orsó vastag és rövid dróttal van körütekerve, a felső S' orsó pedig vékony dróttal, s ennél fogva ez utóbbin sokkal gyengébb áram megy át. Az orsók belsejében foglal helyet a lágyvas-henger, mely az O körül forgó és a felső C szenet tartó emeltyűhöz könyöklík. Az S orsó mágnesi hatása tehát a C szenet lejjebb ereszteti, az S orsóé pedig feljebb emelni igyekszik, s ennél fogva bizonyos helyzet-



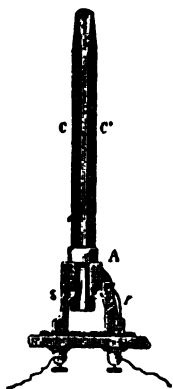
807. ábra. Siemens-féle differenciális lámpa.

ben fogják tartani, mely csakis hatásuknak viszonyától függ, mely közelítőleg meegyezik a két elágazás ellenállásának viszonyával. A fogyással lépést tart a távolság és a szenek közötti ellenállás: az S áram gyengül, az S' áram pedig erősebbé válik, a lágyvasmág tehát felemelkedik s a felső szén ez alsóhoz közeledik.

Hogy hosszú szén is legyen alkalmazható, a lámpát némileg módosítani kellett. A felső széntartó nincs változatlanul hozzáerősítve az emeltyű végéhez, hanem csak egy kicsiny kerék és fogas rúd közvetítésével tartja, úgy, hogy saját súlya miatt szabadon leereszkedhetik, midőn a vég alább száll. Nem terjeszkedhetünk ki tüzetes leírására azon elmés részle-

teknek, melyek lehetővé teszik, hogy a gépezetek eme lámpáknak egytől húszig terjedő áramkörében igen állandó fényt létesítve kitűnően működjenek.

628. Nem hagyhatjuk említés nélkül a **Jablocskov-féle gyertyákat** (808. ábra), ámbátor pislogóbb és változó színű fényt adnak; már csak azért sem, mert ezek voltak az első készülékek, melyek az utcák és terek elektromos világításának v r-



808. ábra. Jablocskov-féle gyertya.

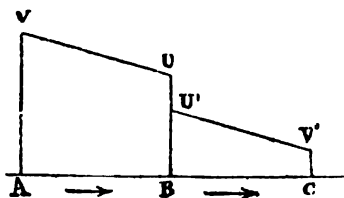
ható czélszerűségét sejtetni engedték. A C és C' két szénpálcza egymással párhuzamos és kaolin vagy gipszréteggel van egymástól elkülönítve. Az iv a gyertya csúcsán akként jön létre, hogy az áram elolvaszt egy vékonyka vasdrótot, mely összekapcsolja a széncsúcsokat, melyek izzásba jönnek és elégnak, miközben a közbetett réteg elolvad. Hogy a szénpálczák fogyása egyenletes legyen, változó irányú áramokat kell rajtuk átvezetni, melyeket valamilyen dinamo-elektromos gép szolgáltat; minthogy ezek árama időszakos, az iv ugyanilyen időszakokban kialszik; ámde az idő oly rövid, hogy a szénegőz elég meleg arra, hogy a rákövetkező áramot átvezesse s az iv újra helyreáll.

629. Az elektromos világításnak sok el nem tagadható jó oldala van, melyek már most is, midőn a legjobb áramgerjesztők, vezetők és lámpák rendszerének tanulmányozása még csak kezdetét vette, már is biztosítják a gázvilágítással szemben való, nagyobb értékét. Ez a fény elég bőséges a világító tornyok és az optikai telegrafia céljaira; összetételénél fogva leginkább megközelíti a napfényt, s ennél fogva a legalkalmasabb a szövetraktárakban s mindazon ipartelepekben, melyekben a gyártmányok színének helyes megítélése fontos: festő műhelyekben, szövőgyárakban, festékgyárakban, cukorfinomítókban, stb. Ezek a lámpák nem fertőztetik meg a levegőt az égés termékeivel,

és egyenlő világosság mellett a környezetbe csak mintegy huszad részét viszik át a világító gáz fejlesztette hőnek, s ez oknál fogva kiválóan fontosak a színházakra, iskolákra, műhelyekre s általában minden zárt helyiség megvilágításánál.

Habár nincs is teljesen kizárva a tűzveszély lehetősége, bizonyára kevésbé kell tőle tartani. Igaz ugyan, hogy az elektromos fény már megkövetelt néhány áldozatot, a mennyiben az áram néhány embert, ki egyidejűleg érintette a két áramvezetőt, agyonsujtott; de az ilyen balesetek elhárítására szolgáló eszközök egyszerűek, s másrészt a petroleum-világításnak mindig jóval több áldozata lesz.

630. JOULE törvényének levezetésében (613) az i erősségi ramnak egészen egyenletes vezetőkben való keringését tekintettük, mely vezetőkben a potenciál pontról pontra az ellenállással arányosan változik. Lássunk most olyan vezetőt,



809. ábra. A potenciál szökkenése.

melyben a potenciál egyet szökken, miként a 809. ábrában UU' tünteti elő.

Ha az AB és BC darabok ellenállását r' , illetőleg r'' -rel jelöljük, OHM törvénye szerint:

$$ir' = V - U, \quad ir'' = U - V';$$

innét:

$$i = \frac{(V - V') - (U - U')}{r' + r''},$$

vagy pedig, ha

$$V - V' = \Delta, \quad U - U' = \omega, \quad r' + r'' = r$$

tételek:

$$i = \frac{A - \omega}{r},$$

honnét:

$$A = ir + \omega.$$

A t időben az A és C pontok között elfogyasztott elektromos energiát nyerjük, ha az eme pontokbeli potenciál-különbséget az egyik pontból a másikba átömlő elektromosság mennyiségével megsokszorozzuk; így tehát:

$$E = \int i r dt = (i^2 r + i \omega) t. \quad (1)$$

Az első, vagyis az $i^2 r t$ rész az AB és BC darabokban JOULE törvényének megfelelőleg hővé alakul át; de a második, az $i \omega t$ rész, B pontban különböző tüneteményeket szülhet.

Egyelőre szorítkozzunk arra az esetre, hogy mérsékletváltozáson kívül egyebet nem idéz elő, s ekkor B -ben hőnek vagy fejlődnie, vagy elnyelelnie kell a szerint, a mint ω pozitív vagy negatív, vagyis a szerint, a mint az áram irányában haladva, az elektromos potenciál süllyed, miként az ábra mutatja, vagy pedig emelkedik.

Az ellentett irányú áramra nézve (1) így alakul:

$$E' = (i^2 r - i \omega) t. \quad (2)$$

Összegezés útján megkapjuk a **Joule-féle hatás** révén $2t$ időben fejlesztett hő kifejezését abszolút mértékben:

$$E + E' = 2i^2 r t. \quad (3)$$

Kivonás útján megkapjuk azon hő kifejezését, melynek a B pontbeli potenciál-szökkenés miatt kell fejlődnie:

$$E - E' = 2i \omega t. \quad (4)$$

631. A valóságban az egyik fémtől a másik fémhez menő áram az érintkezési pontot felhevíti vagy lehűti, a szerint, a mint az egyik vagy a másik irányban megy. Ez a **Peltier-féle tünetmény**, melyet RIESS hőmérőjével (400, 669. ábra), meg lehet mutatni, melybe a platina-spirális helyébe egy bizmut-

pálczikához forrasztott antimon-pálczika tétetik, ha egy BUNSEN-elem áramát vezetjük át rajta. Ha az áram az antimontól a bizmutba megy, az üveggömbben levő levegő felmelegszik s a mutatót előre tolja; de ha a bizmuttól az antimonba megy, megeshetik, hogy a mutató a gömb felé huzódik. A kísérlet második része nem sikerül mindenkor, mert a **Joule-féle hatás**, mely az áram bárminő iránya mellett is hőt fejleszt, azon van, hogy elfedje a **Peltier-féle hatást**.

Azonban kaloriméteres mérések teljesen beigazolták a (3) és (4) képletekben kifejezett elméleti levezetéseket, mert a kaloriméterben talált azon hőmennyiségek összege, melyek az áramnak mind a két irányban való keringésekor fejlődnek, az áram-intenzitás négyzetével, különbsége pedig egyszerűen az intenzitással találtatott arányosnak.

632. A (4) képletből a potenciál esése a két fém érintkezése helyén:

$$\omega = \frac{E - E'}{2it},$$

s legott eszünkbe juthat, hogy ez tán nem egyéb a VOLTÁ-tól feltételezett érintkezésbeli elektromindító erőnél (**439**). Mindazonáltal ω -nak ezzel a módszerrel nyert értékei merőben különböznek az elektrométer szolgáltatotta értékektől, sőt némely fémre nézve még ellenkező jelűek is.

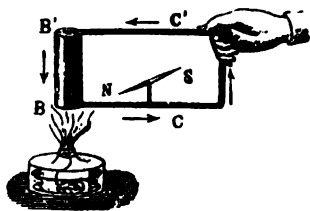
Az eltérés oka valószínűleg azon hatásnak tulajdonítandó, melylyel a környező közeg (**435**) az elektrométeres meghatározásokra van.

633. VOLTA törvényéből (**437**, (1)) következik, hogy *bármiképen összedállított fémi vezető-körben áram nem keletkezhetik*, mert ebben az érintkezésbeli elektromindító erők algebrai összege zérus.

Ez a törvény csak *ama feltétel mellett áll, hogy az egész körnek egyazon mérséklete van*. Ellenkező esetben az elektro-

mosságnak folytonos áramlása, vagyis az úgynevezett **hő-elektromos áram** jön létre.

A tűneményt **SEEBECK** fedezte föl; megmutathatjuk oly módon, hogy egy CC' rézszalagot (810. ábra) egy kicsiny BB' bizmut-pálcza végeire forrasztunk, úgy, hogy egy derékszögű négyszöget alkotunk, melynek középebe mágnes-tűt helyezünk el, és a forrasztások egyikét hevítjük. A tű kitérése áramot árul el, mely a meleg forrasztás-helyen át a bizmuttól a réz felé tart. Ha ezt a forrasztáshelyet jéggel hűtjük, a tű az ellenkező irányban tér ki.



810. ábra. Hőelektromos áram.

Rézből és antimonból való kapcsolatban az áram ellenkező: a réztől az antimon felé megy a meleg forrasztás-helyen át.

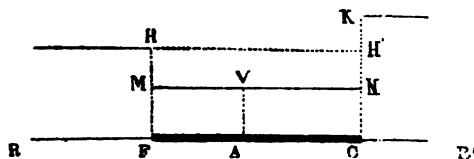
Azt a fémeket, melyek felé a meleg forrasztás-helytől kiinduló áram irányulva van, a másik fémhez képest *pozitív hőelektromosnak* mondjuk; így a réz pozitív a bizmuthoz, de negatív az antimonhoz képest, és a többi fém a következő sorba van szedve, melyben mindegyik tag pozitív az előtte levőkhöz képest, és negatív az utána következőkhöz képest.

— Bizmut	89-től 97-ig
Kóbalt	22
Argentán (pakfong)	11,75
Higany	0,418
Ólom	0
Ón	0,10
Réz, kereskedésbeli	0,10
Platina	0,9
Arany	1,20
Ezüst, tiszta	3,00
Czink, tiszta	3,7
Réz, galvanoplasztikai	3,8
Vas (zongorahúrok)	17,5
Antimon, kristályos	22,6-től 26,4-ig
Foszfor, vörös	29,7
Szelén	807

Az egyes fémekhez irt számokat az illető fémnek az ólomra vonatkoztatott és $19,5^\circ\text{C}$ -on való hőelektromos képességének nevezhetjük, és mikrovoltokban (576) kifejezi az illető fém-ből és ólomból alkotott párnak elektromindító erejét 1° -nyi mérséklet-különbség mellett, nevezetesen pedig 19 és 20°C között.

634. Az elektromindító erő, mint mindig (427), úgy most is akként értendő meghatározottnak, hogy az áramkört egy pontban, ott a hol a vezeték homogén, elvágjuk, és megmérjük az ekként szétválasztott két végen levő potenciálkülönbséget.

Nagyobb világosság kedvéért álljon itt egy grafikai szerkesztés, melyben egy vízszintes mentén számítjuk az áramkör különböző pontjai közötti ellenállásokat, és függélyesek mentén



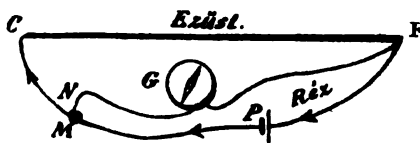
811. ábra. Hőelektromos elem.

az ezekben a pontokban meglevő potenciálokat, miként, az 571. pontban is tettük. Tekintsünk egy réz és ujezüstből való hőelektromos elemet (811. ábra) és tegyük fel, hogy RR' pontban meg van szakítva. Az F forrasztás legyen 0° -ú, a C forrasztás pedig 1° -ú. Az ujezüstbéli potenciál legyen AV , az F hideg forrasztás-hely oldalán levő réz potenciálja FH , a másik oldalon levő rézé pedig CK ; ekkor az elem elektromindító erejét $CK - FH = H'K$ tünteti elő.

635. Ha az R és R' pontok érintkeztetésével az áramkört zárjuk, az áram az $ACR'RFA$ irányban fog keringeni, vagyis a negatív fémtől (argentán) a pozitív felé a C meleg forrasztás-helyen át. De ez az áram a Peltier-féle hatást (631) fogja elő-

idézni, azaz hőt fog elnyelni a meleg forrasztás-helyen, hol potenciálja N -től K -ig emelkedik, és hőt fog fejleszteni a hidegen, hol HM -mel süllyed. A PELTIER-féle hatás tehát azon van, hogy a mérsékleteket kiegyenlítse, és ha az elemmel nem közölnénk folytonosan hőt a hőelektromos áram megszűnnék.

636. Fordítva, a PELTIER-féle tűneménytől az áramkörben gerjesztett mérséklet-különbségek azon vannak, hogy az őket létesítő árammal ellenkező irányú hőelektromos áramot létesítsenek. Ezt kimutathatjuk, ha a P BUNSEN-elem (812. ábra) áramát átvezetjük a PC és PF rézdrótok közé foglalt CF argéntán-dróton, s ezután az M higanyvályucsából kivesszük a PM áramvezetőt s helyette belemártjuk az N galvanométer-drótot. Mivel az argéntán negatív a rézhez képest, az elem



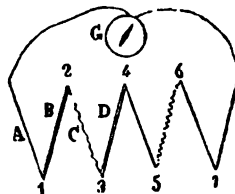
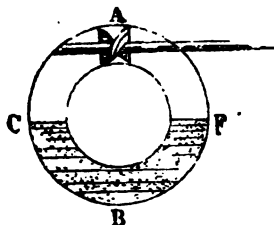
812. ábra. Az ellenkező irányú áram kimutatása.

árama ettől amahhoz átmenve alacsonyabb potenciálra esik és ennél fogva megmelegíti a C forrasztás-helyet, míg az ellenkező oknál fogva F -et lehűti. Ha tehát a BUNSEN-elem helyett a galvanométert iktatjuk be, ez hőelektromos áramot fog elárulni, mely F -től C -n át MNG felé megy, és ennél fogva a BUNSEN áramával ellenkező irányú.

637. Lássunk egy analógiát eme tűnemények és a víznek zárt vezetékben (813. ábra) való párolgása között, mely vezeték alsó részében egészen nedves homok, felső részében pedig levegő van. A homok és levegő megfelel a két fémnek, például bizmut és antimonnak, a C és F felület pedig a két forrasztásnak. Míg a mérséklet az egész vezetékben mindenütt egyenlő, a víznek nincs áramlása; de midőn C melegebb F -nél, a víz el-

párolog C -ben és a gőz lecsapódik F -ben, és a keringés mindaddig tart, míg a mérséklet-különbséget fentartjuk, és pedig akként, hogy C -be a párolgási hőt (I, 514) odavezetjük, F -től pedig elvonjuk.

Fordítva, ha kezdetben minden egyazon mérsékleten van és ha a víz keringését mechanikai úton, például valamely A -ban működő szellőztető révén idézzük elő, a víz a leszállított nyomás miatt elpárolog C -ben és meleget von el; ugyanekkor a mérséklet emelkedik F -ben, mert a gőz itt lecsapódik. A folyamat mindenben hasonló a PELTIER tűneményéhez.



813. ábra. A víz párolgása zárt vezetékekben. 814. ábra. Hőelektromos oszlop.

638. Vegyünk a végén egymáshoz forrasztott több, $A, B, C \dots$ (814. ábra) fémdarabból álló lánczolatot, mely a G galvanométer rézdrótjával van zárva. Tegyük fel, hogy emez áramkörnek ellenállása akkora, hogy ennek változásait, midőn az áramkört melegítjük, elhanyagolhatjuk, úgy, hogy az áramnak a galvanométertől eltűntetett intenzitása közelítőleg arányos legyen (604) az áramkörben gerjesztett elektromindító erők eredőjével.

Midőn minden egyazon mérsékleten van, a galvanométer zéruson marad (633). De nem fog kitérni akkor sem, ha bármennyire is hevítjük az áramkör valamely homogén darabját, feltéve, hogy (például olvadó jégbe való bemártással) egyazon mérsékleten tartjuk mindazon $1, 2, 3, \dots$ pontokat, melyekben olyan két darab ér össze, melynek molekulai szerkezetében valamiféle különbség van, származzék ez akár a kémiai alkotás-

tól, akár a keménységtől, akár a kristály-szerkezettől, nyújtástól, torziótól, stb.

Ebből tehát azt következtetjük, hogy ha a melegítés gerjeszt is potenciálkülönbségeket valamely homogén vezető különböző pontjaiban, eme különbségek olyanok, hogy a hevített pont egyik és másik oldalán kiegyenlítik egymást, úgy, hogy *az elektromindító erő zérus, bármint legyen is a homogén vezető alakja és a törvény, mely szerint benne a mérséklet pontonként változik.*

639. Emeljük most 100° -ra a forrasztások valamelyikét, például 1-et, a többit pedig tartsuk zéruson, és jegyezzük meg a galvanométer kitérését. Ezután melegítsük ezt a többit mind 100° -ra, és hűtsük 1-et 0° -ra: a galvanométernek az előbbeni-vel megegyező nagyságú, de ellenkező irányú kitérése fog lenni.

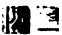
Ebből következtethetjük, hogy *ha két fém más fémeknek bármint lánczolatával van egymástól elkülönítve, egyazon mérsékleten tartva őket, az elektromindító erő ugyanakkora, mint volna az esetben, ha a két fém egymással közvetlenül érintkeznék.*

Innét kitűnik, hogy a fémek egyesítésére szolgáló forraszték minősége egészen közömbös dolog.

640. Hevitsük 100° -ra az *A* és *B* fémek forrasztás-helyét, 1-et, a többit tartsuk 100° -on és jegyezzük meg az áram intenzitását. Ezután hevitsük 100° -ra *B* és *C*-nek 2 forrasztás helyét, és a többit zéruson tartva, figyeljük meg újra az áram intenzitását. És így tovább. Emez intenzitások arányosak **(639)** azokkal az elektromindító erőkkel, melyek ugyanannyi külön-külön áramkörben gerjesztetnének, ha ezek az áramkörök csakis az illető két fémből állanának, és ezeknek két forrasztás-helye 0° és 100° -on tartatnék.

Végre ha lánczunknak egynéhány forrasztás-helyét egyidejűleg 100° -ra hevítjük és a többit 0° -on tartjuk, megállapíthatjuk, hogy *az áramkörben ható eredő elektromindító erő*

egyenlő az egyes forrasztás-helyeken ható elektromótoros erők algebrai összegével.

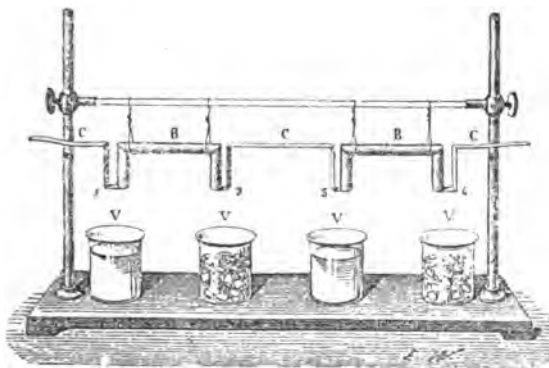
641. Most már legott megérthetjük, hogy NOBILI-nak sikerült összeállítania egy **hőelektromos oszlopot**, váltakozva össze-forrasztván két különböző fémből való pálczikákat, melyek akként voltak elrendezve, hogy valamennyi páratlan forrasztás-hely más mérsékletet vegyen fel, mint a páros forrasztás-helyek, miként a 815. ábra mutatja. 

Az oszlop elektromindító ereje arányos a párok számával, melyekből össze van állítva, és adott mérséklet-különbség mellett annál nagyobb, mentül távolabb áll egymástól a két fém a **633.** pontbeli hőelektromos sorban. Ez oknál fogva a sugárzó energia tanulm nyozására szolgáló oszlopok



815. ábra. Hőelektromos oszlop.

(2) bizmut és antimonból vannak, és valamennyi páros forrasztás-hely egy paralelepiped egyik lapja mentén, valamennyi páratlan pedig a másik lapja mentén van elhelyezve.



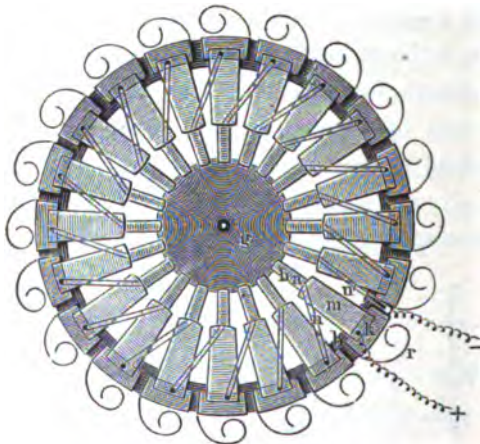
816. ábra. Hőelektromos oszlop.

A különmemű pálczikáknak csak végeiken szabad egymást érinteniök, s kívánatos, hogy a forrasztások csekély terjedelműek legyenek.

Azok az oszlopok, melyek, miként a 816. ábrabeli, használat közben folyadékokban meríttetnek, rendszerint összeforrasztott vas- és ujezüst drótokból állanak.

A hőelektromos oszlopok belső ellenállása igen csekély, s ennél fogva, ha csekély mérséklet-különbségeket akarunk kimutatni, czélszerű olyan galvanométert használni, melynek drótja vastag és rövid (605) és a tűt közelről futja körül.

Több kísérlet tétetett nagy elektromindító erejű oszlopok szerkesztésére is, melyek gyakorlati czélokra is alkalmasak volnának. A többi között felemlítjük a Noë-féle oszlopot, melyet vízszintes vetületben a 817. ábra tüntet elő.



817. ábra. A Noë-féle oszlop.

A pozitív fémül szereplő antimon és cizink-ötvényből való 20 pálczika (m) sugarasan van elrendezve, s ugyananyi ujezüst-dróthoz (n) van forrasztva, melyek negatív fémként szerepelnek. Az első pálczikához k -ban a pozitív áramvezető, az utolsó dróthoz, n' -hez, a negatív áramvezető van kapcsolva. A belső forrasztáshelyek az I réznyekek révén vezetés által hevítetnek; e nyekek beléjük vannak olvasztva, a középpont körül pedig két csillámlemez (g) közé vannak szorítva, melyek alatt egy gázláng ég. A külső forrasztás-helyek

hidegek maradnak, mert ugyanannyi kormiozott és spirálisban összegyöngyölt rézlemez (*br*) van hozzájuk forrasztva, és e emezek nagy felületök, nagy sugárzó tehetségek és a belsejökben keringő légáramnál fogva melegöket a környezetnek adják át.

Egy ilyen 20 elemből álló oszlop elektromindító ereje mintegy 2 volt s ellenállása 1 ohm, és ennél fogva három lánczolatosan kapcsolt oszloppal az elektromos áramnak minden mágnesi, chemiai és hőhatása megmutatható.

A **Clamond-oszlop** a lánczok egy sorozata, mely lánczok egy czink-antimonsegy nikkel-réz-czink ötvényből vannak összeállítva s öntöttvas henger körül vannak elrendezve; e hengerben egy koksztűzhely ég. 3000 elemből álló oszlopnak mintegy 100 volt elektromindító ereje és 15 ohm ellenállása van. Ezeket az oszlopokat itt-ott a galvanoplasztikában alkalmazták, és az elektromos fényívet (624) is előállították velök. De azok a nagy remények, melyeket az elektromos áramnak velök való olcsó előállítása iránt ébresztettek, nem nagyon alaposaknak mutatkoznak, mert ezek az oszlopok gyorsan elpusztulnak.

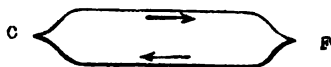
Nem hagyhatjuk említés nélkül a hőelektromosságnak a sebészetben való alkalmazását a sebekben levő lövedékek felkeresésére. A kutató-pálcza két párhuzamos fémtüből áll, melyek egymástól el annak szigetelve, s kapcsolatban vannak egy hőelektromos csiptetővel (vas-, réz elemmel) és egy galvanométerrel. Míg az áramkört a tűk között a szerves szövetek megszakítják, a galvanométer az igen gyenge elektromindítóerőhöz képest igen nagy ellenállás miatt nem tér ki; de azonnal kitér, a mint a tűhegyek az ólomgolyót érintik.

642. Immár meg kell állapítanunk a törvényt, mely szerint a hőelektromos oszlopok elektromindító ereje a mérséklettől függ. Ha a *V* edényekbe (816. ábra) hőméröket és kavarókat teszünk, és az áramot galvanométerbe vezetjük, ez az egyszerű eljárás arra a következtetésre vezet, hogy bizonyos:

határok között az elektromindító erő közelítőleg arányos a forrasztás-helyek mérséklet-különbségével.

Ily módon végre be van igazolva (2), hogy a tükrös galvanométer kitérései arányosaknak vehetők a hőelektromos oszlop két fején uralkodó mérsékletek különbségével, s hogy emez oszlop az ő különböző formáiban a legkitünőbb hőmérőként használható.

Az arányosságnak imént kifejezett törvénye a thermodynamika második törvényének (I, 538) következményeként tűnik elő, ha két fém áramkört megfordítható gépnek (I, 537) tekintjük. A C meleg forrasztás-hely (818. ábra) a hőforrástól melegséget nyer: eme melegnek egyik része az F hideg forrasztás-



818. ábra. Két fém áramköre mint megfordítható gép.

helyen át a hűtőbe ömlik, és a felvett és az átvitt hő közötti különbség alkotja az áram energiáját, mely, miként látni fogjuk, mechanikai vagy chemiai munkát végezhetne; azonban a pusztá áramkörben, melyet most szem előtt tartunk, nem végez egyebet, mint hogy legyőzi az ellenállást és JOULE törvénye (612) szerint hővé alakul át.

Ha az áram intenzitása i , és ε és ε' a C és F -ben működő elektromindító erők: a C -ben az időegység tartamában elnyelt, vagyis a hőforrástól nyert hő mennyisége $i\varepsilon$ (630), az F -ben fejlesztett és a hűtőnek átadott hő pedig $i\varepsilon'$ fog lenni; és ha r az egész áramkör ellenállása, a JOULE törvénye szerint az időegységben fejlesztett hő i^2r . Ennélfogva az

$$i^2r = i\varepsilon - i\varepsilon' \text{ vagy } ir = \varepsilon - \varepsilon'$$

kapcsolatnak kell fennállania, mely nem egyéb OHM törvényénél (573).

Másrészt a megfordítható gépekben a hőforrástól elvont hő úgy viszonylik a hűtőnek átadott hőhöz, miként a megfelelő ab-

szolut mérsékletek (I, 539). Ha tehát eme mérsékleteket s és t -vel jelöljük, úgy:

$$i\varepsilon : i\varepsilon' = s : t$$

és innét

$$\frac{\varepsilon}{s} = \frac{\varepsilon'}{t} = \frac{\varepsilon - \varepsilon'}{s - t} = \text{állandó.}$$

Az $\varepsilon - \varepsilon'$ eredő elektromindító erőnek tehát a mérséklet-különbséggel arányosnak kell lennie.

643. Mindazonáltal ez az elméleti levezetés csak megközelítőleg és csak bizonyos határok között felel meg a tényeknek. Zárjuk ugyanis egy galvanométer rézdrótját egy vasdróttal, az egyik kapcsolást tartjuk állandó mérsékleten, a másíknak mérsékletét pedig emeljük egy lánggal fokozatosan feljebb-feljebb. Ha az arányosság mindvégig fennállana, a galvanométer kitérésének határtalanul kellene növekednie; már pedig azt fogjuk látni, hogy a vörös izzást megelőzőleg bizonyos maximumot ér el, ezután folyton fogyatkozik egészen le zérusig, végre ellenkezővé válik, jelölül annak, hogy az áram ellenkező irányúvá vált.

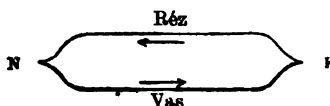
A mérséklet, melynél ez az áramfordulat beáll, függ a hideg forrasztás-hely mérsékletétől, úgy, hogy az egyik forrasztáshelyen meglevő minden t mérsékletnek megfelel a másik forrasztás-helyen egy s mérséklet, melynél áramkeringés nincs; és ez arról tanuskodik, hogy ekkor a két helyen uralkodó elektromindító erők egyenlők és ellenkezők. A vas-réz elembe ez az egyensúly 0° és 550° C, általában pedig a $t + s = 550^\circ$ mérsékletekre nézve következik be.

Ha a két mérséklet összege kisebb, az az áram a réztől a vas felé megy a meleg forrasztás-helyen át; ha nagyobb, az ellenkező irányban megy. Bizonyára kisebb akkor, midőn mind a két mérséklet $550 : 2 = 275^\circ$ -on alul van, és ekkor a vas pozitív a rézhez képest. Ha mind a kettő 275° -on felül van, a réz a vashoz képest pozitív válik.

A 275 foknyi *semleges mérséklet*en a két fém úgy viseli

magát, mintha egyazon fémnek két homogén darabja volna. Hasonlóképen viselné magát (645, (2)) a vas és a nyújtott platina 360° körül, a réz és a nyújtott platina 75° körül, stb.

644. Ezt előrebecsátva egy vas-réz áramkörben (819. ábra), melyben az N kapcsolás a semleges mérsékleten van, F pedig hidegebb, az áram a nyilak irányában, vagyis az ebben az esetben pozitív vastól a rézhez áramlik a hideg forrasztás-helyen át. De ily körülmények között, a réz negatív lévén a vashoz képest, az F -en átmenő áram alacsonyabb potenciálra száll alá,



819. ábra. Vas és réz-áramkör.

és hőt fejleszt. Honnét származik ez a hő és az áram energiája, ha N -ben a két fém semleges? Szükségképen kell, hogy vagy a rézből meríttessék, hol az áram a hidegtől a meleg felé megy, vagy a vashól, hol a melegtől a hideg felé megy, vagy mind a kettőből. Ezt az elméletileg előre megállapított tételt később kísérleti úton megerősítette az a tény, hogy a vas lehül, ha benne áram meleg pontoktól hidegek felé megy, ellenben hidegtől meleg felé menő közvetetlen áramtól megmelegszik, és hogy a réz ellenkező hőhatásokat szenved.

Ez a hőfejlesztés, vagy hőelnyelés, mely **Thomson-féle hatásnak** neveztetik, azon feltevésre készlet, hogy a fémekben a mérsékletbeli különbségeket molekulai szerkezetükben levő olyan különbségek kísérik, melyekből potenciálkülönbség származik az egyébként homogén két rész érintkezésekor is. Mindazonáltal homogén-drótban a mérsékletváltozásokból származó elektromindító erő mindenkor zérus marad (638), mert az elektromos potenciálnak egészben való esése a maximális hőmérsékletű ponton innen és túl egyenlő.

645. Ha, miként a **635.** pontban két fém ϑ hőmérséklet-nél való hőelektromos képességének nevezzük azon elektrom-indító erőt, mely ebből a két fémből alkotott áramkörben kering, midőn forrasztás-helyeik $\vartheta + \frac{1}{2}$ és $\vartheta - \frac{1}{2}$ mérsékleten vannak, úgy a következő táblázat áttekintést nyújt a hőelektromos képességekről, melyek TART meghatározásaiból vannak levezetve, és C. G. S. egységekben vannak kifejezve; ϑ jelenti az abszolút mérsékletet (I, 539).

Az ólomra vonatkozó hőelektromos képességek.

(TART szerint).

E táblában az alsó határ $\vartheta = 255^\circ$; a felső pedig $\vartheta = 689^\circ$ valamennyi fémre nézve, kivéve a kadmiumot, melyre nézve 531° , a cinket, 646° , és az argentánt, 448° .

1 mikrovolt = 100 C. G. S. egység.

$\vartheta = (t + 273)^\circ C.$

Vas	+	3063,51	—	4,87 ϑ
Aczél	+	2034,44	—	3,28 ϑ
Ötvény	95 platina és 5 iridiumból	+	772,15	—	0,55 ϑ
„	90 „ „ 10 „	+	961,82	—	1,34 ϑ
„	85 „ „ 15 „	+	880,99	—	0,63 ϑ
„	85 „ „ 15 „	+	577	minden mérsékletnél	
Izzított platina	+	239,3	—	1,10 ϑ
Platina-nikkel ötvény	+	844,3	—	1,10 ϑ
Nyújtott platina	+	464,75	—	0,75 ϑ
Magnézium	+	503,35	—	0,95 ϑ
Argentán	+	190,76	—	5,12 ϑ
Kadmium	—	905,17	+	4,29 ϑ
Czink	—	421,20	+	2,40 ϑ
Ezüst	—	195,50	+	1,50 ϑ
Arany	+	4,54	+	1,02 ϑ
Réz	—	123,35	+	0,95 ϑ
Ólom	—	0		
On	—	193,15	+	0,55 ϑ
Aluminium	—	183,47	+	0,39 ϑ
Palladium	+	355,07	—	3,59 ϑ

Nikkel 175 C°-ig	---	---	---	---	---	806,24	---	5,12 ϑ
• 250° és 310 C° között	---	---	---	---	---	15028,3	+	24,1 ϑ
• 340°-on felül	---	---	---	---	+	1090,76	---	5,12 ϑ

(BUCHANAN szerint): .

Szén	---	---	---	---	---	---	---	120,51 + 1,87 ϑ
------	-----	-----	-----	-----	-----	-----	-----	---------------------------

Kiindulva néhány hipotézisből, melyeknek fejtegetésébe nem bocsátkozunk, de a melyeknek következményei már sok kísérleti bizonyító eljárásnak vettettek alá, a megelőző tábla segítségével megfejthető bárminő különös feladat, mely az ott elősorolt fémek hőelektromos magatartására vonatkozik. Hogy határozott esettel legyen dolgunk, fel fogjuk tenni, hogy vas és réz forog szóban; a rájuk vonatkozó fejtegetések minden más fémre alkalmazhatók. Ennélfogva legyen

$$\varphi + \psi \text{ a vas hőelektromos képessége,}$$

$$\varphi' + \psi' \vartheta \text{ „ réz „ „}$$

hol φ és ψ pozitív vagy negatív számokat fejezhetnek ki.

1. Az első fémnek a másodikra vonatkozó hőelektromos képességét úgy kapjuk, hogy a következő különbséget vesszük:

$$\varphi - \varphi' + (\psi - \psi') \vartheta \quad (1)$$

és ha ez pozitívnak adódik ki, az első fém pozitív **(633)** a másodikhoz képest. Számokban kifejezve a vas-réz hőelektromos képesség:

$$3063,51 + 123,35 - 5,82\vartheta = 3186,86 - 5,82\vartheta,$$

és a vas pozitív hőelektromos a rézhez képest mindazon ϑ mérsékletekre nézve, melyekre ez a különbség pozitívnak adódik ki.

2. A semleges mérsékletet megkapjuk, ha az (1) kifejezést zérussal egyenlővé tesszük, mely egyenlőségből:

$$\vartheta = \frac{\varphi - \varphi'}{\psi' - \psi} \quad (2)$$

e szerint a vas-réz elem semleges mérséklete számokban:

$$\vartheta = \frac{3186,86}{5,82} = 548^\circ \text{ közelítőleg, vagyis } 275^\circ \text{C}.$$

3. Azt az ω elektromindító erőt, mely létrehozza a Peltier-hatást (632), úgy nyerjük, hogy az (1) alatti hőelektromos képességet megsokszorozzuk az abszolút mérséklettel:

$$\omega = [\varphi + \varphi' + (\psi - \psi') \vartheta] \vartheta, \quad (3)$$

és, miként a 632. p. egyenletéből kitetszik, ergekben azt a hőt fejezi ki, mely C. G. S. egységnyi áramnak a forrasztás-helyen való 1 másodperczig tartó átmenetelekor elnyeletik vagy fejlődik. Hőelnyelésnek akkor van helye, midőn az áram a negatív fémtől a pozitívhoz megy, fejlődésnek az ellenkező esetben.

Ha az áramnak C. G. S. egysége, vagyis 10 ampère (575, b) az olvadó jég mérsékleténél, vagyis $\vartheta_0 = 273^\circ$ -nál megy át egy vas-réz forrasztáson, úgy:

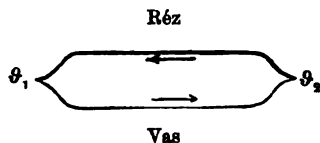
$$(3186,86 - 5,82 \times 273) 273 = 436\,254 \text{ erg per sec}, \quad (3a)$$

mely energia egyenlő (I, 387)

$$436\,254 : (42 \times 10^6) = 0,0104 \text{ kis kaloriával.}$$

Ellenben egy 100°C -on vagyis $\vartheta_1 = 373^\circ$ -on tartott vas-réz forrasztáson való átmenetkor:

$$(3186,86 - 5,82 \times 373) 373 = 378\,968 \text{ erg per sec}. \quad (3b)$$



820. ábra. Hő keletkezése és elnyelése.

Az előbbeni (3a) hőmennyiség fejlesztetik, az utóbbi (3b) elnyeletik, ha az áram a 820. ábrában levő nyilak irányában kering.

Tehát egészben véve

$$57\,286 \text{ erg per sec} \quad (3c)$$

hőmennyiség keletkezik.

4. A THOMSON-hatás (644) elhanyagolhatónak vétetik az

ólomban,* s ez az oka, hogy a különböző fémek hőelektromos képességét az ólomra vonatkoztatták. Bármely más fémbe, melynek végei ϑ_0 és ϑ_1 mérsékletűek, a ϑ_0 -tól ϑ_1 -ig menő egységi áramtól 1 *sec* alatt elnyelt hőt ergekben nyerjük, ha a két vég hőelektromos képességének különbségét a két mérséklet középértékével megsokszorozzuk; léssen tehát:

$$\psi (\vartheta_1 - \vartheta_0) \frac{\vartheta_1 + \vartheta_0}{2} = \psi \frac{\vartheta_1^2 - \vartheta_0^2}{2}. \quad (4)$$

Ha $\vartheta_0 < \vartheta_1$, hőelnyeléssel van dolgunk mindazon fémekben, melyekre nézve, miként a rézre nézve, $\psi > 0$, és hőfejléssel, a többiben, miként a vasban. Ha $\vartheta_0 > \vartheta_1$, az ellenkező történik.

Egy vas-réz elembe, melynek forrasztás helyei 0° és 100° -on vannak tartva, az áram a 820. ábrában megjelölt irányban kering. A rézben a hidegtől a meleg felé megy, s ennél fogva a (4) kifejezés a THOMSON-hatásra nézve pozitív számot ad, tehát a rézben a következő hőmennyiség nyelődik el:

$$\psi \frac{\vartheta_1^2 - \vartheta_0^2}{2} = (+0,95) \frac{373^2 - 273^2}{2} = + 30\,685 \text{ erg per sec.} \quad (4a)$$

A vasban a melegtől a hideg felé megy s ennél fogva a THOMSON-hatást erre a fémre nézve is pozitív szám fejezi ki:

$$\psi \frac{\vartheta_0^2 - \vartheta_1^2}{2} = (-4,87) \frac{273^2 - 373^2}{2} = + 157\,301 \text{ erg per sec.}$$

Egy ilyen elembe tehát a THOMSON-hatás egészben véve másodpercenként és C. G. S. áramegységenként 187 986 erg hőmennyiséget nyel el. Ha ebből levonjuk a PELTIER-hatástól a két forrasztás-helyen gerjesztett hőt, azaz 57 286 erget, látjuk, hogy emez áramegység fentartására egészben

$$130\,700 \text{ erg per sec} \quad (4b)$$

hőmennyiségnek kell eltűnnie.

* Hogy tényleg megvan, habár igen kis mértékben, ezt kimutatta HAGA és később A. BATTELLI; s ugyanolyan jelű mint a rézben.

5. Általában valamely hőelektromos áramkör elektromindító erejét a másodpercenként keringő áramegységtől származó THOMSON- és PELTIER-hatások algebrai összege méri, és abban az irányban hat, a melyben áramnak keringenie kellene, hogy egészben véve *hőelnyelés* jöjjön létre.

Két fémből álló áramkörre nézve, melyben a forrasztás-helyek $\vartheta_0 < \vartheta_1$ abszolút mérsékleten vannak, ez az elektrom-indító erő tehát ekként van kifejezve:

$$\begin{aligned}\varepsilon &= [\varphi - \varphi' + (\psi - \psi') \vartheta_1] \vartheta_1 - [\varphi - \varphi' + (\psi - \psi') \vartheta_0] \vartheta_0 + \\ &\quad + \psi' \frac{\vartheta_0^2 - \vartheta_1^2}{2} + \psi \frac{\vartheta_1^2 - \vartheta_0^2}{2} \\ &= [(\varphi - \varphi')(\vartheta_1 - \vartheta_0) + (\psi - \psi')(\vartheta_1^2 - \vartheta_0^2)] \\ &\quad - (\psi - \psi') \frac{\vartheta_1^2 - \vartheta_0^2}{2},\end{aligned}$$

vagy

$$\varepsilon = [(\varphi - \varphi') + (\psi' - \psi) \frac{\vartheta_1 + \vartheta_0}{2}] (\vartheta_1 - \vartheta_0) \quad (5)$$

és (2) tekintetbe vételével

$$\varepsilon = (\psi' - \psi) \left[\vartheta - \frac{\vartheta_1 + \vartheta_0}{2} \right] (\vartheta_1 - \vartheta_0).$$

Ebben az utolsó kifejezésben, melyben csak különbségek fordulnak elő, a mérsékletek a százfokú skálán is számíthatók. A vas-réz elemre nézve, melynek forrasztás-helyei 0° és 100° -úak, a semleges mérséklet 275° lévén, az $\varepsilon = 130\,950$ értéket nyerjük, mely összevág a (4b) alattival.

L. FEJEZET.

AZ ELEKTROMOS ÁRAM ÉS A CHEMIAI ENERGIA.

646. A fémek még akkor is, midőn cseppfolyósak, mint például a higany és a közönséges mérsékleteken levő amalgámok, továbbá a többi megolvasztott, akár tiszta, akár egymással ötvözött fémek: az elektromos áram vezetése közben az eddigelé tanulmányozott tüneteményeket tárják elénk. De midőn másodrendű vezetőben, azaz folyós vagy tézstaszerű vegyületben áll be valamelyes potenciál-különbség: nem csupán az elektromosság ömlik magasabb potenciálú pontokból alacsonyabb potenciálúakra, hanem magával vonzol súlya-mérhető anyagot is; nem csupán hővé alakul át az elektromos energia, hanem az illető testet szétbontva az atomok energiájává is.

A szétbontásnak az árammal létesített eme tüneteményét **elektrolízisnek** nevezzük (411), a szétbontott testet pedig *elektrolitnek* mondjuk. A folyadékba mártott azt a vezetőt, mely magasabb potenciálon van, tehát a melyen át az áram a folyadékba lép, *pozitív elektród* vagy *anódnak*, a másikat, melyen át az áram eltávozik, *negatív elektród* vagy *katódnak* mondjuk.

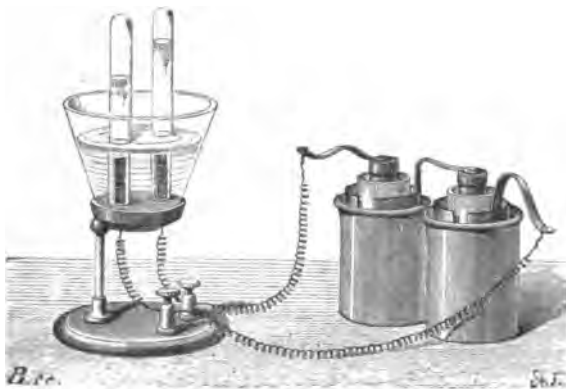
647. A szétbontás termékei (az *ionok*) nem jelentkeznek az áram átjárta egész tömegben, hanem csakis az elektródokkal való érintkezésben. És pedig *elektro-pozitív elemnek* (vagy *kationnak*) mondjuk az áram irányában menő, tehát a negatív elektródon jelentkező alkotórészt, *elektro-negatív elemnek* (vagy *anionnak*) pedig az árammal ellenkező irányban menőt.

648. Először is vessünk elektrolízis alá kevés kénsavval kevert vizet. E végből egy poharat (821. ábra) használunk, melynek

fenekén két platinalemmez megy át; kössük össze az egyik drótot egy BUNSEN-telep szénsarkával, a másik drótot pedig a cink-sarkával, úgy, hogy az előbbi legyen a pozitív elektród, az utóbbi pedig a negatív elektród; és legott gázbuborékok fognak fejlődni, melyeket az előbbi felfogó csövekben gyűjthetünk össze.

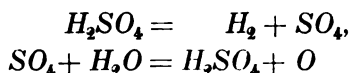
A negatív elektródon fejlődő gázt hidrogénnek fogjuk felismerni és kétszer akkora térfogatúnak fogjuk találni mint a másikon fejlődött, melyet oxigénnek ismerünk fel.

Mondhatjuk tehát, hogy a víz alkotó részeire bomlik fel, és hogy a hidrogén követi az elektromos áramot, az oxigén pedig az ellenkező irányban megy. Vannak a kik azt mondják, hogy



821. ábra. Vízbontó készülék.

a kénsav hozzákeverésének csakis az a célja, hogy az elektrolit jobb vezetővé tétessék. Mások ellenben — és talán helyesebben — azt állítják, hogy az igazi elektrolit a hígított kénsav: minden felbontott molekula fejében a negatív elektródon egy hidrogénmolekula jelenik meg, a pozitív elektródon pedig az SO_4 csoport keletkezik, mely a víz jelenlétében egy oxigénatómot felszabadítván, helyreállítja a kénsavmolekulát:



Bármiként magyarázzuk is a dolgot, mindenkor fennáll az a tény, hogy az áram átmenetele előtt vizünk volt, az átmenetele után pedig szabad hidrogénünk és oxigénünk van a hiányzó víz fejében, és hogy ennél fogva annyi chemiai helyzeti energiát nyertünk, mint a mennyi egyenértékű azzal a hővel, mely e két gáz egyesülésekor keletkeznék.

649. Kapcsoljunk az áramkörbe egy galvanométert és egy reosztátot is, hogy az ellenállást változtathassuk és az áram erősségét megmérhessük.

Mindjárt a zárás után az áram erős, de folyvást gyengül, míg nem állandó értéket vesz fel. Eme változás magyarázatát későbbre hagyva, gyűjtsük össze az állandó áram bizonyos ideig tartó átmenetelekor fejlődő gázakat, mérjük meg térfogatukat, nyomásukat és mérsékletüket, hogy ezen adatokból kiszámíthassuk tömegöket (I, 453). Ily módon megállapíthatjuk az **elektrolízis első törvényét**, mely szerint a *szétbontott víz mennyiség arányos a rajta átmenő elektromosság mennyiségével*. Ez a törvény igaznak mutatkozott valamennyi többi elektrolitre nézve is, és szigorúnak fogadható el.

E törvényre támaszkodva, az elektrolízis segítségével elektromosság-mennyiségeket mérhetünk, s ezért a 821. ábrabeli készülék, ha felfogó csövei pl. köbcentiméterekre vannak beosztva, **voltaméter** nevet nyert.

650. Ha egyszer s mindenkorra meghatároztuk, hogy 1 coulomb-nyi elektromosság átmenetele 0,000 010 38 g hidrogént fejleszt, vagy mint mondani szoktuk, ha meghatároztuk a hidrogén **elektrochemiai egyenértékét**, könnyű kiszámítani azt az elektromosság-mennyiséget, mely eme gáz adott térfogatának megfelel.

E végből normális viszonyokra (I, 453) vezetjük vissza ezt a köbcentiméterekben kifejezett térfogatot, ezután megszorozzuk a sűrűséggel (I, 211) és a szorzmányt elosztjuk az elektrochemiai egyenértékkel.

Az olvasó számításbeli gyakorlásul kimutathatja, hogy minden coulomb szabaddá tesz $0,116 \text{ cm}^3$ hidrogént és $0,058 \text{ cm}^3$ oxigént, vagyis $0,174 \text{ cm}^3$ durranógázt, s hogy ennélfogva 336 mg víznek 1 percz alatt való felbontására mintegy 60 ampère erősségű áram kívántatik meg. Az 575. p. figyelembe vételével meggyőződhetik arról is, hogy a C. G. S. rendszerben az elektrochemiai egyenérték tízszer akkora.

651. Mig a galvanométer kitérései az áramoknak valamely pillanatbeli intenzitását szolgáltatják, addig a voltaméter a kísérlet egész tartományában átmenő elektromosság mennyiségének mértékét adja. Ha azonban a voltaméterrel meghatározott coulombok számát elosztjuk az elektrolízis tartamát kifejező másodperczek számával, megkapjuk az áram átlagos erősségét ampèrekben, mely a valódi erősséggel csakis állandó áramok esetében fog összevágni.

652. A víz-voltaméter néhány hiba-forrással van összekapcsolva, melyek az elektródokon megsűrített és a folyadékban feloldott gázaktól és azon körülménytől származnak, hogy a szabaddá vált oxigén mindig ozonozva van és ennélfogva kisebb térfogatot foglal el (412). Az első baj igen kicsiny felületű elektródok alkalmazásával, a második pedig oly módon csökkenthető, hogy az elnyelt gázakat szivattyúzással kiszabadítjuk, végre a harmadik hevítéssel, vagy még jobban azzal küszöbölhető ki, hogy a vizet kénsav helyett foszforsavval savanyítjuk meg.

Azonban a víz-voltaméternél kényelmesebb, és valószínűleg szabatosabb is, az ezüst voltaméter.

Két ezüstlemez, melyeknek súlyát jól megmértük, 15 perczentes ezüstnitrát-oldatba mártunk, s átvezetjük rajtuk az áramot, melynél fogva a pozitív lemez feloldódik, a negatívra pedig ezüst rakódik le. Ezután megmossuk és megszáritjuk a lemezeket, s a mérleg segítségével meghatározzuk az egyiknek

súlybeli gyarapodását (melynek, próbaképen, egyenlőnek kell lennie a másik lemez súlybeli apadásával).

Tudva azt, hogy 1 coulomb 1,118 mg ezüstöt választ ki, vagyis hogy az ezüst elektrochemiai egyenértéke 0,001 118 g: csak ez utóbbi számmal kell a mérlegelés útján nyert grammok számát elosztani, hogy az elektroliten átment coulombok számát megkapjuk.

653. Az elektrolízis első törvénye (649) azt mondja, hogy a midőn a voltamétert állandó áram járja át, az ettől t időben végzett chemiai munka arányos az intenzitásával, i -vel; ennél fogva az elektromosságnak, miként a Peltier-féle tűnemény (630) esetében, magasabb potenciálról alacsonyabbra kell szállania, és a H potenciálkülönbség, melynek e végből a két elektród között létre kell jönnie, megsokszorozva az egyiktől a másikhoz átömlő it elektromosság-mennyiséggel, azt az elektromos energiát fejezi ki, mely t idő tartamában chemiai energiává alakul át.

De emezt annak a hőmennyiségnek mechanikai egyenértéke méri, melyet nyernénk, ha a szabaddá vált hidrogént és oxigént ismét vízzé egyesítenők.

Ha tehát a hidrogén égési heve (I, 390) a , a kaloria mechanikai egyenértéke J , a fejlődő hidrogén grammjainak száma pedig p , a szétbontáskor elfogyasztott H it elektromos energia fejében a Jap chemiai energiát nyerjük. A

$$Hit = Jap \quad (1)$$

egyenletből a

$$H = Ja\gamma \quad (2)$$

egyenletet nyerjük, melyben $\gamma = \frac{p}{it}$ nem egyéb a hidrogén elektrochemiai egyenértékénél (650).

Tekintve továbbá, hogy a gyakorlati rendszerben

$$J = 4,2, \quad a = 34\,000, \quad \gamma = 0,000\,010\,38 \text{ g,}$$

kapjuk:

$$H = 1,482 \text{ volt,}$$

azaz mintegy másfél volt.

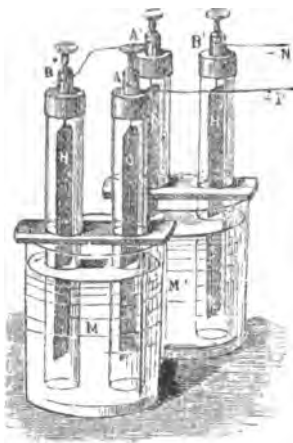
654. Ez a H potenciál-különbség, mely a chemiai munka végrehajtására megkivántatik, hozzáadódik ahhoz, a melytől a voltaméterbeli hőhatások származnak.

Lássuk létrejöttének lehető módját. Eleintén, midőn az elektródok azonosak, midőn például előzetesen kiizzított platinából (441) vannak, és midőn még nem teszik részét az áramkörnek, a platina és a környező savanyított víz között mind a két elektródra nézve ugyanaz a potenciál-különbség lesz meg. Ha a dolgoknak ez az állása maradandó volna, az elektromosságnak a potenciál esésében végzett munkája kiegyenlítettnek az emelkedésében megkivántató munka révén. Tényleg azonban úgy áll a dolog, hogy a midőn az áram kering, chemiai munka végeztetik, mely körülmény arról tanuskodik, hogy az esés nagyobb az emelkedésnél. Ennek a H különbségnek a két érintkezés módosulásától kell származnia, és természetes, hogy ezt a módosulást az elektrolizises lerakódmányoknak tulajdonítsuk.

Legelőször is a hidrogén a negatív elektródhoz tapad, sőt beléje hatol, s mintegy ötvöződik a platinával; hasonlóképen sűrűsödik meg az oxigén a pozitív elektródon. Ebben a stádiumban bizonyos mennyiségű víz szétbontásához megkivántató energia kisebb, mert az állapot-változás külső munkája (I, 463) nem végeztetik, és mert a víz elemei és a platina közötti molekulai hatások a szétbontásnak segítségére vannak. Ennélfogva a potenciálkülönbség még nem érheti el a H értéket. De idő folytával (és pedig annál nagyobb idő folytával, mentül gyengébb az áram és mentül nagyobb a platina felülete) az elektródok telítettekké válnak s nincsenek többé semmi hatással az elektrolizis termékeire, s ezek buborékokban felszállanak. Ekkor a potenciál esése elérte végleges H értékét: a két lemez úgy viselkedik, mint ha különböző fémekből való volna,

azaz *sarkítva* (441) van, s ezen felül a *sarkítás* elérte maximális értékét.

655. Ha a telepet az áramkörből kikapcsoljuk és magát a voltamétert egy galvanométer közbeiktatásával rögtön zárjuk, megmérhetjük a *másodrendű áramot*, mely a sarkítás elektromindító erejétől származik s a melyet a platinán megsűrített gázak kémiai energiája tart fenn. Abban a mértékben, a melyben ezek újra egyesülnek, az áram gyengül és végre elenyészővé válik: az elektródok depolározva vannak.



822. ábra. Grove-féle gáztelep.

Minden voltaméter tehát valószínű galvánelemmé válik, mely állandó volna, ha az elektródok telítve maradnának. S éppen ez az eset forog fenn a Grove-féle *gáztelepben* (822. ábra). Mindegyik felfogó cső tetején platínadrót megy át, melyhez platínalamez van erősítve, mely szivacsos platínával van fedve, hogy a felület nagyobb legyen. Az *O* lemez, mely pozitív elektródul szolgált, s mely ennél fogva oxigénnel van körülvéve, most a telep pozitív sarkaként szerepel.

656. Kössünk össze lánczolatosan n ilyen Grove-elemet, s zárjuk a telepet kevesebb, pl. m számú lánczolatosan kapcsolt voltaméterrel, s várjunk (649), míg az áram állandó i intenzitásra nem tesz szert. Ekkor az elektromindító erő mindegyik elemben:

$$H = Ja\gamma$$

a teleptől 1 sec alatt szolgáltatott munka:

$$nHi = nJa\gamma i,$$

a voltaméterekben végzett munka pedig:

$$mHi = mJa\gamma i.$$

A különbség az áramkörben fejlesztett hőt fogja előtűntetni.

Valamennyi elemen másodpercenként i elektromosság-mennyiség ömlik át, s mindegyikben p gramm hidrogén fejlődik, ha ez a voltaméterekhez tartozik; vagy pedig ugyanannyi hidrogén az oxigénnel ismét egyesül, ha a telephez tartozik.

Tehát az áramkörön átmenő minden elektromosság-egység fejében egyazon víztömeg bomlik fel, mindegyik voltaméterben és vegyülés útján újra keletkezik a telep mindegyik elemében.

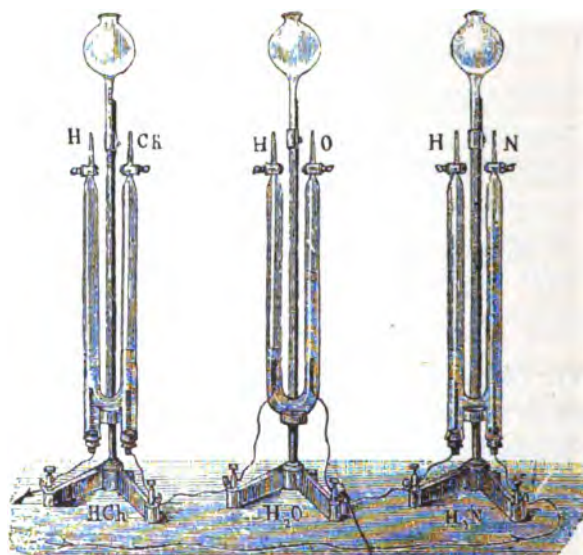
Ez a törvény még akkor is érvényes, midőn a maximális sarkítás nincs elérve. Ez esetben a 9 g víz keletkezésekor fejlődő kalóriák száma többé már nem a , hanem számuk valamely kisebb, mondjuk a' ; mert az oxigén és hidrogén nem szabadok és légneműek, hanem a platinához vannak tapadva; ennél fogva az elektromindító erő a $H' = Ja'\gamma$ értékre van leszállítva; azonban a hidrogén-mennyiség, mely az illető elemben fejlődik vagy újra vegyül, az elektromosság egységének átmenetelekor mindig γ fog lenni.

657. Ha most tetszésszerinti telepből és különböző elektroliteket tartalmazó két voltaméterből alkotunk áramkört, mindenkor beigazoltnak fogjuk találni **az elektrolizis második törvényét**, melyet FARADAY fedezett fel s mely így hangzik: *az egyazon elektromosság-mennyiség átmenetelekor szétbomló vagy vegyülő anyagok mennyisége arányos chemiai egyenértékeikkel (vagyis az illető értékességgel elosztott atómsúlyokkal).*

Előadási kísérletben e törvény a HOFMANN-féle voltaméterekkel (823. ábra) igazolható be. Mindegyikük egymással közlekedő három csőből áll, melyek közül kettő a tetején beköszörült csappal zárható el, a harmadik pedig folyadék-tartóval van ellátva. Az első voltaméterbe sósavat (HCl), a másodikba vizet (H_2O), a harmadikba ammoniakot (H_3N) teszünk. Az első és harmadik elektródjai szénből vannak és gummi-dugókkal vannak beillesztve, a másodikéi platinából, mely az üvegbe be van

forrasztva. Az áramot sokáig kell keringetni, hogy az elektrolízis termékei a folyadékokat telítsék; ezután a csapokat elzárjuk, és látni fogjuk, hogy a negatív elektródon a hidrogénnek térfogata mindenütt ugyanaz; épen ekkora térfogata van a chlórnak, félakkora az oxigénnek és harmadrésznyi a nitrogénnek.

Tudjuk azonban AVOGADRO törvényéből (I, 473), hogy a különböző gázoknak azonos körülmények között megmért



823. ábra. Hofmann-féle voltaméter.

egyenlő térfogatában egyenlő számú molekula van, és ennél fogva a molekula-súlyokkal arányos anyagmennyiség foglaltatik, mely súlyok a hidrogén, chlór, oxigén és nitrogénre nézve közelítőleg a következők :

2, 71, 32, 28.

Ennél fogva eme gázoknak voltamétereinkben fejlődött mennyisége a következő számok viszonyában van :

$$2 : 71 : \frac{32}{2} : \frac{28}{3}.$$

Másrészt chemiai egyenértékeik (melyeket úgy nyerünk, hogy atómsúlyaikat értékességükkel elosztjuk) a következő számok viszonyában vannak:

$$1 : 35,5 : \frac{16}{2} : \frac{14}{3},$$

látjuk tehát, hogy a második törvény be van igazolva.

Ha ezután megmérnök a telep czinkjeit eme szétbontás végrehajtása előtt és után, azt találnök, hogy elemeinek mindegyikében a voltaméterek egyikében fejlődő hidrogén minden grammja fejében 32,44 g (s ez épen a czink chemiai egyenértéke) fogyatkozás van.

658. Ez a második törvény módot nyújt bármely test elektrochemiai egyenértékének kiszámítására.

Ha ugyanis 1 coulomb (650) $\gamma = 0,000\,010\,38$ g hidrogént fejleszt, más testből chemiai szempontból egyenértékű súlyt fog szétbontani vagy újra vegyíteni, nevezetesen $c\gamma = 0,000\,010\,38c$ grammot, ha c az illető test chemiai egyenértéke.

Így nyerjük a 640. lapon levő táblában összeállított elektrochemiai egyenértékeket.

Hogy az elektrochemiai egyenértéket a C. G. S. rendszerben nyerjük, csak az utolsó előtti oszlopban levő számokat 10-zel kell megsokszorozni.

Nyilvánvaló, hogy 1 ampèretől 1 óra alatt szabaddá tett grammok számát úgy kapjuk, hogy az utolsó előtti oszlopban levő elektrochemiai egyenértékeket 3600-zal sokszorozzuk.

659. Miként a 653. pontban levezettük a

$$H = Ja\gamma$$

potenciál-különbséget, melynek egy víz-voltaméter elektródjai között létesülnie kell, hogy a szétbontás végbemehessen, épen

Elektrochemiai egyenértékek.

Elemek	Atóm- súly	Értékesség	Chemiai egyen- érték	Elektrochemiai egyenérték vagy gramm per coulomb	Coulomb per gramm
Hidrogén	1	1	1	0,000 010 380	96 340
Kálium	39,03	1	39,03	0,000 405 100	2 469
Nátrium	23	1	23	0,000 238 700	4 189
Arany	196,2	3	65,4	0,000 678 900	1 473
Ezüst	107,9	1	107,7	0,001 118 000	894,5
Réz { cupri-vegyületekben	63,18	2	31,59	0,000 327 900	3 050
" cupro- " " "		1	63,18	0,000 655 800	1 525
Higany { mercuri " "	199,08	2	199,9	0,001 037 000	964,3
" mercuro " "		1	199,8	0,002 077 000	482,2
On { stanni " "	117,04	4	29,35	0,000 304 600	3 283
" stanno " "		2	58,7	0,000 609 300	1 641
Vas { ferri " "	55,88	3	18,63	0,000 193 400	5 171
" ferro " "		2	27,94	0,000 290 000	3 448
Nikkel	58,6	2	29,3	0,000 304 200	3 287
Czink	64,88	2	32,44	0,000 336 700	2 970
Ólom	206,4	2	103,2	0,001 071 000	933,7
Aluminium	27,4	3	9,01	0,000 093 500	10 700
Oxigén	15,96	2	7,98	0,000 082 830	12 070
Chlór	35,37	1	35,37	0,000 367 100	2 724
Jód	126,54	1	126,54	0,001 313 400	751,4
Bróm	79,76	1	79,76	0,000 827 900	1 208
Nitrogén	14,01	3	4,6	0,000 048 470	20 629

úgy, ugyanazon megfontolások útján, bármely más elektrolitre nézve ugyanerre a képletre jutunk, melyben J a kaloria dinamikai egyenértéke, a pedig 1 g elektrolit keletkezésekor fejlődő, vagy szétbontásakor megkötött hő kalóriákban, végre γ , vagyis a hidrogén elektrochemiai egyenértéke (650) helyett γc teendő, hol c az elektrolit chemiai egyenértéke.

Ez akként fejezhető ki, hogy minden elektrolit elektromindító ereje egyenlő elektrochemiai egyenértékének képződési energiájával.

660. Ezt megállapítván, tekintsünk egy áramkört, mely fémekből és bármely két elektrolitból van alkotva; ez utóbbiak egymással, miként a két-folyadékos elemekben, közvetlenül is érintkezhetnek. Tegyük fel, hogy az elektromosság átmenetelkor az egyik szétbontást szenved, vagy hogy általában, hőbeli energiát fogyasztva kémiai energiára tesz szert, a másik pedig az ellenkező átalakuláson megy át.

Ha az első elektrolit 1 grammjának képződésekor a_1 kaloria fejlődik, az elektrolit kémiai egyenértéke pedig c_1 ; és ha a másodikra nézve a megfelelő mennyiségek a_2 és c_2 , a kémiai energiának 1 *coulomb* átmenetelétől származó csökkenése:

$$Ja_2c_2\gamma - a_1c_1J\gamma;$$

ennek fejében az áramkörben vagy a PELTIER- és THOMSON-hatások, vagy a JOULE-hatás révén hő keletkezik. Az első hatások majdnem mindig elhanyagolhatók az utóbbi mellett. De az ettől gerjesztett hőbeli energiának mértéke (614) nem egyéb az áramkörben működő elektromindító erők ε algebrai összegénél.

Ennélfogva mondhatjuk, hogy:

$$\varepsilon = (a_2c_2 - a_1c_1) J\gamma.$$

Minthogy $J = 4,2$, $\gamma = 0,000\,010\,38$, és ha Q a zárjelben foglalt mennyiséget jelenti, a melyet a kémiai reakció hevénnek szokás nevezni, nyerjük a következő értéket:

$$\varepsilon = 0,000\,043\,6\,Q. \quad (3)$$

Példaképen számítsuk ki ezzel a képlettel a DANIELL-elem elektromindító erejét. A két elektrolit a kénsav és a rézszulfát; az elsőben a hidrogén helyébe cink lép, a másodikban a réz helyébe hidrogén lép. Midőn a kénsavban 32,44 g cink, azaz kémiaiilag 1 g hidrogénnel egyenértékű cink oldódik fel, 53 000 kis kaloria fejlődik. Midőn ugyanebben a savban 31,59 g réz oldódik fel, 28 000 fejlődik, tehát az ellenkező kémiai folyamatban ugyanennyi köttetik meg. Ez esetben tehát $Q = 25\,000$; és így a DANIELL-elem elektromindító ereje:

$$\varepsilon = 1,09,$$

mely értékről, ha meggondoljuk mindazokat a hibákat, melyek a kaloriméteres mérésekben el nem kerülhetők, ha figyelembe vesszük, hogy a folyadékok töménységének foka nincsen hatás nélkül (I, 438), hogy a kaloria mechanikai egyenértékének számbeli értéke némileg még bizonytalan, stb., el kell ismernünk, hogy eléggé összevág a galvanométeres módszerekkel talált értékekkel (603).

Pontosabb mérésekből, melyeket BRAUN más galvánelemeken végzett, az derült ki, hogy a reakció-hőből levezetett elektromindító erők általában nagyobbak a tényleg megfigyeltéknél és pedig annál inkább, mennél kisebb maga az elektromindító erő. Az első esetben a kémiai energia nem alakul át egészen elektromos energiává, hanem részben az elem fölmelegítésére használdik el; a második esetben az elem lehűl s a környezettől hőt vesz fel. HELMHOLTZ kimutatta, hogy az első eset annál az elemnél következik be, melynek elektrom-indító ereje a hőmérséklettel csökken, a második pedig az ellenkező esetben: úgy hogy ha a θ abszolút hőfoknak megfelelő elektromindító erőt akarjuk megkapni, a (3) képlet második tagjából

$$\theta \frac{\Delta\varepsilon}{\Delta\theta}$$

kifejezést kell levonni, illetőleg azt hozzáadni, mely kifejezésben $\Delta\varepsilon$ az elektromindító erőnek $\Delta\theta$ hőmérsékletbeli emelkedésnek megfelelő változását jelenti. Mások szerint ennek az értéknek éppen a PELTIER-féle hatáshoz szükséges hőnek egyenértékével lenne egészen pontosan egyenlő; csak hogy a dolog még nem tekinthető kellő biztossággal megállapítottnak.

661. A rendelkezésre álló összes kalóriák az áramkörben előkerülnek, ha a telep egészen fémből való vezetővel van zárva és ha az áram semmi munkát sem végez. E kalóriák tényleg megmérték oly módon, hogy a telep mindenestül

kaloriméterbe helyeztetett; és mindenkor megtaláltattak, akár rövid és vastag volt az áramvezető, akár hosszú és igen vékony. Az első esetben csaknem az egész hő a telep belsejében fejlődött, legyőzván a telep folyadékjainak ellenállását; a második esetben a telep és a vezető között a telep ellenállásának (ρ) és a vezeték ellenállásának (r) aránya szerint oszlott meg. A DANIELL-telepben feloldott minden chemiai egyenérték-súlyú cink fejében a kaloriméternek mindenkor 25 000 kaloria adott át, melyeknek $\frac{\rho}{\rho + r}$ hányadrészt a telep, a maradék $\frac{r}{\rho + r}$ hányadrészt pedig a beiktatott vezető adta át.

Midőn azonban az áramkörben voltaméter is volt, eme rendelkezésre álló kaloriák nem mind kerültek elő a kaloriméterben: épen annyi hiányzott belőlük, mint a mennyi az elektrolízis chemiai munkájának végrehajtására megkívántatott.

662. Itt egy nagyon komoly, s a legutóbbi időkben sokszorosan megvitatott kérdés merül fel. A DANIELL-elemben rendelkezésre álló kaloriák száma 25 000, míg 1 g hidrogénnek vízből való fejlesztésére 34 000 kaloria kívántatik meg; az előbbieket 1,00 volt, az utóbbiak 1,48 volt **(653)** elektromindító erőt képviselnek. És valóban, ha egy DANIELL-elemmel egy GROVE-féle gázelemet **(655)** szemközt kapcsolunk, azt tapasztaljuk, hogy ez utóbbi kerekedik felül, mert az áram a gázelem oxigén (+) sarkától kiindulva, a DANIELL-elem rezén (+) át ennek cinkje (—) felé tart, és a gázok lassacskán eltűnnek a két fel fogó csőből.

Mi történik azonban, midőn egy egyedüli DANIELL-t egy voltaméterrel zárunk? Hogy áram keringhessen, megkívántatik, hogy az elem elektromindító ereje meghaladja a sarkítás elektromindító erejét, mert az elem energiájának kell a szétbontás chemiai munkáját végeznie s ezen felül még azt a hőt szolgáltatnia, melyet az áram az ellenállások legyőzésében

mindenkor fejleszt. Mindazonáltal ha az elem elektromindító ereje nem haladja is meg a maximális sarkítás elektromindító erejét, mégis érthető, hogy eleintén létrejöhet áram, mely az elektródokat a maximumon alul sarkítva, nem teljes szétbontást létesít mindaddig, míg az ellenkező elektromindító erők között az egyensúly helyre nem áll. Midőn a dolgok ide érlelődtek, úgy látszik, mintha minden áramnak meg kellene szűnie. Már pedig a tapasztalás ellene mond ennek a várakozásnak, mert egy **maradék-áram** mindenkor folytatja keringését.

Miként egyeztethető össze ez a tény az energia megmaradásának elvével? Igaz ugyan, hogy az áramkeringés a nélkül megy végbe, hogy a hidrogén láthatóvá válnék, mert részben oldva marad, részben elnyeli a platina, s ennél fogva egy egyenértéksúly víznek felbontása nem kívánja meg mind a 34 000 kalóriát: de azért mindenesetre mindenkor többet kíván meg, mint a mennyi kalóriát egy DANIELL szolgáltat; és másrészt a maradék-áram sohasem hiányzik; nem hiányzik a DANIELL-nél hasonlíthatatlanul kisebb elektromindító erők esetében sem.

Talán feltehető, hogy a folyadékok a fémek módjára vezetik az elektromosságot, a nélkül, hogy felbomlanának? Nem, mert ezzel ellenkezik az a jól beigazolt törvény, mely szerint miként a víz (649), úgy *minden elektrolit a rajta átmenő elektromosság mennyiségével arányos mennyiségben bontatik fel*, és ennél fogva nem engedi át még a leggyengébb áramot sem, miként valamely fém tenné, a nélkül, hogy a megfelelő felbontás létre nem jönne.

A maradék-áram magyarázatára meg kell gondolnunk, hogy az elektrolízis termékei önként odahagyják a platinát és a folyadékon át a közönséges módon diffundálnak (I, 204) és találkozásuk alkalmával ismét egyesülnek. Midőn az áram intenzitása annyira leszállott, hogy a szabaddá váló hidrogén és oxigén mennyisége egyenlővé válik az önként diffundáló mennyiségekkel, fennáll a dinamikai egyensúly, és az áram elektrolitikus átmenete egyenletesen tovább tart.

Az elektrolízis termékeinek önként való diffúzióját bizonyítja az a tény, hogy a sarkítás meggyengül s idővel egészen megszűnik még akkor is, ha a voltaméter nyitva van s magára van hagyva; továbbá minden hatás, mely a diffúciónak kedvez, mint például a kaválás, hevítés stb., gyorsítja a depolározódást.

663. Mindez jó rendben volna. De hátra van még annak a magyarázata, hogy miként létesíthetik a felbontást az igen gyenge elektromindító erők is. Az egyes molekulák két atómcsoportból (a két *ion*ból) állanak, a melyeknek külön kell válniuk, hogy azután ellenkező irányban menjenek. Az árammal együtt úszó csoportot pozitív módon elektromozottnak teszszük fel (342), az árammal szemközt menőt negatív módon elektromozottnak.*

E csoportok nem válhatnak szét, ha az elektromos ereje az elektromos térnek, melyben vannak, tehát az elektromindító erő is, nem ér el egy bizonyos értéket, a melyen alul, minden tapasztalás ellenére, úgy látszik, hogy áram nem keletkezhetik; és hogy ellenkezőleg erős áramnak kell létrejönnie, a mint ez az érték meg van haladva.

Fel kell tehát tennünk, hogy a folyadékban vagy a többinél kevésbbé összetartó molekulák vannak, vagy pedig hogy disszocziáltak vannak, úgy hogy amaz alkatrész-csoportok egy-némelyike rendetlenül kalandozik szerte-széjjel, de a legcsekélyebb hatásra legott kész határozott irányt felvenni.** A mér-

* Ha az 1 milligramm vizet alkotó hidrogénatómoknak egész pozitív elektromosságát veszteség nélkül egy gömbbel közölhetnők, s ha ugyanezt tehetnők az oxigén negatív elektromosságával, és ha a két gömb 1 kilométernyi távolságban volna egymástól: 26 800 kilogramm súlyával egyenlő erővel vonzanák egymást (HELMHOLTZ).

** 10⁻⁹ ampère erősségű áram, mely jó tűkrös galvanométer segítségével még megfigyelhető, 344 esztendőt fordítana 1 milligramm víz felbontására. Ha tehát valamely voltaméter vizében csak 1 köbmilliméter (0° és 76 cm higanyoszlopnál mért) durranó gáz volna feloldva, elemeinek, öt hetenként csak egyszer kellene az anódtól a katódhoz menniök, hogy 10⁻⁹ ampèrenél erősebb áramot adjanak (HELMHOLTZ).

séklet emelkedésével a molekulai disszociáció növekedik, növekedik tehát a szabad csoportok sebessége is, és ily módon számot adhatunk a nagyobb vezető képességről, melyre az elektrolitek szert tesznek (596).

664. *A fém mindig a negatív elektródon válik ki, a molekula többi része pedig a pozitívon.*

Ez kimutatható úgy a megolvasztott, mint a vízben feloldott vegyületekkel. Ritkán esik azonban meg, hogy az elektrolízis két terméke minden további változás nélkül jelentkeznek szabad állapotban. Legtöbbszörre vagy az oldószerre, vagy a még fel nem bontott elektrolitre, vagy a fémi elektródlemezekre hatnak, s ekként az úgynevezett **másodrendű hatásokat** idézik elő, melyek a tűneményt bonyolítják. Lássunk néhány példát.

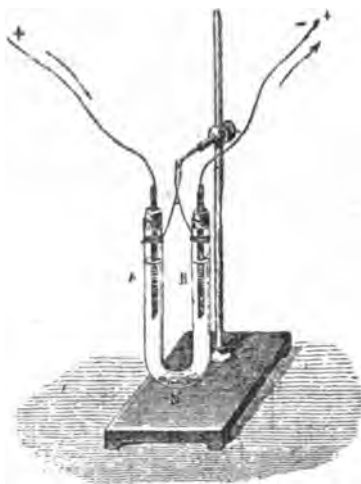
665. A megömlesztett ezüstchlorür platinalemezek között az egyik oldalon színezüstöt ad, a másik oldalon pedig a chlór platinachlorürt alkot.

A chlorürök vizes oldatából a chlór nem fejlődik legott, hanem jó része oldva marad és az oldathoz kevert szerves festőanyagokat megszínteleníti.

A szabaddá váló fém esetleg a vízre hat; így például a kálium, nátrium, stb. a negatív elektródon hidrogént fejlesztve, a megfelelő hidrátot alkotja. Előadásbeli kísérletben az áramot platina-elektrodok között *U*-alakú csövön vezetjük át, mely például káliumszulfátnak ibolyalével festett vizes oldatát tartalmazza; a fenekén kevés homok van, mely az *A* és *B* szárakban (824. ábra) levő folyadékok keverődését akadályozza. Az *A* szárban, hol az áram belép, a lé megvörösödik és az SO_4 csoportnak a vízre való hatása (648) miatt oxigén fejlődik; a *B* szárban a lé megzöldül, s miként az előbb már mondtuk, hidrogén fejlődik.

Csakis a midőn a só nagyon tömény oldatban van és a negatív elektród higanyból van, állíthatjuk elő az alkális fémek amalgámjait; és DAVY éppen ezen az úton fedezte föl e fémeket.

Ha higanyelektrodokkal szalmiak-sónak tömény oldatát melegen elektrolizáljuk, a higany, a melyen át az áram kilép, felpuffad, szivacsossá válik, mert az ammoniának nevezett NH_4 csoporttal amalgámot alkot.



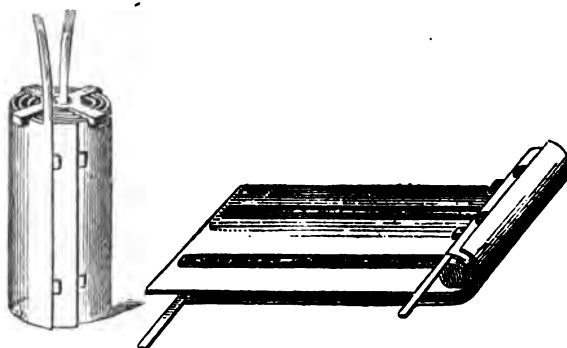
824. ábra. Sók elbontása.

666. Néha a kiválás állapotában levő oxigén (*atómos oxigén*, melynek molekulái még nem alakultak meg, melynek tehát nagyobb helyzeti energiája van) a pozitív elektród körül magára a sóra hat s ily módon oxigénben gazdagabb fénoxidok keletkeznek. Ez esik meg az ólomsókkal is: sav képződik ugyan, de jóformán semmi oxigén sem fejlődik, s helyette ólomszuper-oxid rakódik le. A színólom a másik elektródon szép kristályokban jelen meg, melyek a szálalakú elektródot körülfonva, az úgynevezett *ólomfát* alkotják.

667. Az ólomsók elektrolízisének alapulnak a másodrendű telepek, melyek jelenleg **akkumulátor** néven vannak forgalomban.

Planté telepe mindössze két ólomlemezről áll, melyek

egymás mellett össze vannak göngyölve; egymással való érintkezésüket közbetett guttapercsa-szalagok akadályozzák meg (825. ábra). E lemezek hígított kénsavba vannak állítva, és két BUNSEN-elemből álló telep áramkörében elektródokul szerepelnek; az áramot ismételve és pedig több ízben váltakozó irányban vezetjük át rajtuk. Ezt az eljárást bizonyos ideig folytatván, a másodrendű telep *formálva* van, azaz alkalmas arra, hogy magába fogadja a töltést, mely a chemiai energiának jókora készletéből áll, és pedig az egyik lemezen szuperoxid és oxigén alakjában, a másikon pedig szivacsos ólom és hidrogén alakjában, mely termékeket a sáv és a keletkezett ólomszulfát választja el egymástól.



825. ábra. Planté akkumulátora.

Ha ezután a két lemezt dróttal összekapcsoljuk, ez a chemiai energia áramot létesít, mely a drótban a szuperoxiddal borított lemeztől a másik felé irányul, mely utoljára negatív elektródként szerepelt: épen úgy, mint a GROVE-féle gáztelepben (655).

A FAURE-féle **akkumulátorban** az ólomlemezek miniumréteggel vannak bevonva, melyeknek a lemezekhez való tapadását szövetből való burkolat biztosítja. Ezen az úton a *formálás* folyamata gyorsabban megy végbe. Jelenleg olyan akkumulátorokat készítenek, melyekben lemezek helyett rostélyok

vannak, ezeknek hézagaiba az ólomoxid-pép be van préselve, s így a szövetburkolat feleslegessé válik (SCHENK és FARBAKY akkumulátora).

A másodrendű telepek nagy szolgálatokra vannak hivatva, mert, miként látni fogjuk (737), bennök kémiai energia alakjában olyan mechanikai munka halmazható fel, mely más különben nem értékesíttetnék, s mely új alakjában mindig kész, hogy a legkülönbözőbb célokra alkalmas áramot szolgáltatassa.

Az akkumulátorok töltésére használt áramoknak nem szabad bizonyos sűrűséget* meghaladniok, mely az elektródok alakjától és méreteitől függ, különben nincsen elég idő arra, hogy a megkívánt kémiai folyamatok az elektródokon végbe-menjenek s gázbuborékok fejlődnek rajtuk, a mi energia-pazarlást jelent. A töltés a különböző típusok szerint az elektród kilogrammjánként 0,5—1,5 *ampère* árammal történik; befejezve akkor van, a mikor bőséges gázfejlődés veszi kezdetét. Az akkumulátor elektromindító ereje ekkor 2,5 *volta*ig emelkedhetik, de magára hagyatván, bizonyos idő múlva 2 *volta*ra száll alá. Ha azonban a kisülés igen rohamosan történik, hirtelen száll le erre az értékre, azután hosszabban megmarad ez értéken s végül lassanként 1,8 *volta*ra apad; most hirtelen kezd csökkenni; de alig hogy ez a hirtelen apadás mutatkozni kezd, tanácsos a kisütést beszüntetni s újra tölteni az akkumulátort, mert különben a negatív elektród kevésbé vezető ólom-szulfát réteggel vonódik be, mely az akkumulátor lemezeit rongálja. Az ilyen lerakódás akkor is támad, a mikor az akkumulátorok bizonyos időn keresztül tétlenül heverték s azért is jó az akkumulátort havonként legalább egyszer újra tölteni.

A közönséges akkumulátorok kapacitását az elektród 1 kilogrammjánként 9 *óra-ampérere* becsülik s kisütéséből mintegy 32 000 *coulombot* várnak, *óra-ampèret* 3600 *coulomb-*

* Az *áramsűrűség* alatt az áramintenzitásnak az átáramlott elektródfelülethez való viszonyát értik.

bal vevén egyenlőnek. Ha a kisütéssel késlekedünk, a kapacitás, a szigetelésnek megfelelőleg többé-kevésbé csökken. Ha kisütés közben a potenciálkülönbség átlag $1,9$ volt, a lemeznek minden kilogrammja mintegy 17 óra-watt, vagyis körülbelül $60\,000$ joule hasznosított energiát ad. Ennél azonban feltételeztetett, hogy az áramintenzitás 1 kgonként 2 ampèrenél nem nagyobb, mert a túlgyors kisütéssel az effektus meglehetősen hanyatlík.

A hasznossági tényező, vagyis a kisütésnél rendelkezésre álló energia viszonya a töltésnél elnyelt energiához a jól készített akkumulátoroknál mintegy $80/100$ -ra tehető.

668. Egy másik másodrendű hatás, melyet fontos alkalmazásai miatt nem mellőzhetünk hallgatással, azon gyakori módosulásokban áll, melyek a pozitív elektródot érik. Ha például az áramot cinkszulfát semleges oldatán két amalgamozott cinklemez között vezetjük át, az elektrolízis közvetlen termékei a cink, mely az áramot követi s megvastagítja a negatív elektródot, és az SO_4 csoport, mely a pozitív elektródra akként hat, hogy minden szétbontott molekula fejében egy molekula cinkszulfátot ($ZnSO_4$) állít helyre, minélfogva az egész folyamat arra redukálódik, hogy a cinkfém az egyik lemezről egyszerűen átvitetik a másik lemezre. A kémiai energia nem szenved semmiféle módosulást, s ennélfogva a sarkítás elektromindító erejének zérusnak kellene lennie. A valóságban rendkívül gyengének mutatkozik, és pedig annál gyengébbnek, mentül jobban közelítjük meg az elméleti feltételeket, melyek megkívánják, hogy az oldatban szabad savnak vagy feloldott gázaknak nyoma se legyen (**663**).

Ugyanezek a jelenségek ismétlődnek a rézgálicznak ($CuSO_4$) rézlemezek között való elektrolízisében: a pozitív lemez a fém az SO_4 csoportnak engedi át, ez a fém pedig a negatív lemezen lerakódmányt alkot, mely porlékony, ha az áramnak nagy a sűrűsége, és összeálló, homogén a gyengébb áramok ($2\text{--}20$ milliampère cm^2 -ként) alkalmazása mellett.

Ez a rézréteg a legszabatosabban hozzásimul a lemez minden ránculatához, úgy hogy ha azután leválasztjuk, emezeknek domborúmivű hű másolatát nyerjük. Ezen alapszik a **galvanoplasztika**. A gipszből, stearinból vagy guttapercsából készített másolatot a felületén az által teszszük vezetővé, hogy mókus-szőr ecset segítségével grafitral bevonjuk, ólomszalaggal és rézdrótokkal befoglaljuk, mely utóbbiaknak a grafitral érintkezniök kell, egyébként pedig viasszal fedve vagy pecsétviassszal lakkozva kell lenniök; az egészet negatív elektródul (N, 826. ábra) Prézlemezzel szemközt tömény rézgálicz-oldatba mártjuk.

A galvanoplasztikának az iparban való számos alkalmazása közül felemlítjük a fametszeteknek a könyvnyomtatás céljaira való másolását, mely metszetek, ha közvetetlenül használatnak, számos levonatban elkopnak és mindinkább csökkenő élességű ábrákat adnak. Így a levélbélyegek nyomtatására egyetlen egy metszetnek több galvanoplasztikai másolata készül, ezek egy lapra tétetnek, s ezzel a fogással egyetlen egy levonattal egész lapja készül a levélbélyegeknek, melyek mindannyian szigorúan azonosak. A galvanoplasztika immár annyira haladt, hogy lámpaállványokat, szoborműveket, sőt egész emlékszobrokat adhat vissza.



826. ábra. Galvanoplasztikai készülék.

669. A galvanikus **aranyozás, ezüstözés és nikkelezés** ugyanazon a tüneményen alapszik.

A CHRISTOFFLE-féle edények és asztaldiszek nem egyebek sárgaréznél, mely eme folyamat segítségével többé-kevésbé vastag ezüstréteggel van bevonva. Egy edénybe, melyben 100 rész

vizre 10 rész káliumcianürtt tartalmazó oldat van, fémdrótokkal a jól megtisztított sárgaréztárgyak függesztetnek; közöttük színezüstlemezek lógnak. Ezek mindegyike valamely áramgerjesztő pozitív sarkával, amazok pedig a negatív sarkával közlekednek.

Hasonló az eljárás az aranyozásban, mikor is alkalis arany- és káliumcianüroldatot használnak, melyet mintegy 70°-on kell tartani; a galvános aranyozás alkalmazása a tűzen való aranyozás helyett nagy jótétemény a munkásokra nézve, kiket annak előtte a higanygőzök okozta gonosz betegségek érték.

A nikkelezésben az oldható elektród természetesen nikkell, az elektrolit pedig ammoniakos nikkelszulfát-oldat, igen gyengén megsavanyítva.

670. Nem érdektelen fölemlíteni, hogy valamely savtól vagy bármiféle más folyadéktól megtámadható fém megvédhető a megmaratás ellenében csupán csak az által, hogy más, a VOLTA-féle sorozat **(423)** szerint erősebben elektropozitív fémmel állandó érintkezésben tartatik. Így pl. azt ajánlották, hogy a hajók rézburkolata cinkszögek segítségével védendő meg; így az iparban sokféle szereplő üstök és kazánok cinkdarabokkal a romlás ellenében megvédelmezhetők.

671. Az elektrolízis a **metallurgiában**, vagyis a fémeknek ásványaikból való kinyerésében fontos alkalmazást lel; *nedves*, vagy *száraz* úton kerül alkalmazásba.

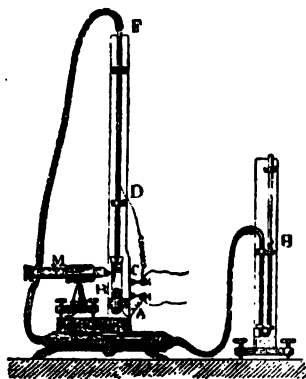
Az első eljárás jó ipari eredményt ad a réz finomításában, a tisztátalan réz vagy a réz rézgálicz oldatában pozitív elektróduál szolgál a tiszta réz, melynek olyan nagy vezetőképesége miatt értékesebb, a negatív elektródon lecsapódik.

A száraz úton való eljárás a legkedvezőbb eredményeket az aluminium előállításában adja, mely fém saját, valamint ötvényeinek fizikai és kémiai tulajdonságainál olyannyira hasz-

nos s mely, bár a természetben rendkívül el van terjedve, egészen a legutóbbi évekig olyan nehezen volt sóiból előállítható. Jelenleg az alkalmazásba vett elektrolizises eljárások folytán, ára állandóan csökken s mind gyakoriabbakká válnak a belőle készült iparczikkék. Tisztább ásványai a korund, a bauxit vagy aluminiumhidrát, és a kriolit, mely az aluminiumnak vagy a nátriumnak fluoritje. Ezek magas hőmérsékletre hevítetnek és szénelektrodok között áram hatásának vettetnek alá; az e közben alkalmazott egyes fogásokkal itt bővebben nem foglalkozhatunk.

Az árammal elő llítható magas hőmérsékleteket vasrudak és páncélok összehegesztésére használták fel; az elektromos ív alkotta kemenczében pedig a legkülönbözőbb anyagok megömleszthetők s egyes chemiai folyamatok igen magas hőmérsékletek alatt vonhatók vizsgálat alá.

672. A folyadékok felületi feszültsége (I, 199) a galván áram polarizáló hatására megváltozik; így pl. a hígított kénsavval borított higany felületi feszültsége kisebbedik, ha hidrogén vá-



827. ábra. Lippmann kapilláris elektrométere.

lik ki rajta. Ezen a tüneményen alapszik **Lippmann kapilláris elektrométere**. Alsó részén igen finoman kihúzott üvegcső *FD* (827. ábra) higanynyal van megtöltve, melynek alsó menisz-

kusa felületi feszültsége révén a fölötte levő higanyoszlopot tartja; a cső ezen vége *B* üveghengerben levő hígított kénsavba merül, mely a henger fenekén levő higanyt borítja. A csőbeli higanyoszlop *D*-nél a *DC* platinadróttal közlekedik, a henger higánya pedig az *A* platinadróttal. A meniszkus a fonálkereszt-tel ellátott *M* mikroszkópon keresztül észlelhető; a meniszkus képe a fonálkeresztbe beállítatik akkor, a mikor az *A* és *C* drótszorítók egymással fémileg közlekednek s azért a savval érintkező higanyfelületek sarkítva nincsenek.

Már most *A* és *C* között potenciálkülönbséget idézven elő oly módon, hogy *DC* negatív elektród legyen, a meniszkus a hajszálcsőben, mely mindenkor kónikus, felszökken azért, mert ha r felületi feszültség növekedik, a meniszkusnak olyan r sugarú keresztmetszetbe kell vonulnia, melyben a kapilláris nyomása (ez a nyomás az I., 199. p. (1) képlete szerint $\frac{2\tau}{r} \cos \alpha$) a higany-

oszlop hidrosztatikai nyomásával épen egyensúlyt tart. Az eltolódás a polarizációval nagyobbodik és 0,9 volt potenciálkülönbségre maximumot ír el. A készülék tehát csakis az ennél kisebb potenciálok mérésére alkalmazható, de ezen a határon belül olyan érzékeny, hogy a *milli volt*-okat megadja.

A mérés úgy történik, hogy a levegővel telt gummizsákot, mely az üvegcső felső *F* végével és *H* nyílt manométerrel közlekedik, ϵ csavarral összenyomjuk addig, míg a meniszkus a fonálkeresztbe újra be nem áll: a manométeren leolvasott nyomásból az egyszerre mindenkorra megállapított táblázat segítségével meghatározható a potenciálkülönbség. Azt találták volt, hogy a potenciálkülönbség igen közel arányos a nyomással.

Ez a készülék különösen az olyan módszerekben igen kényelmes használatú, a melyekben állandóan a zérus ponton tartandó, a minő pl. a 602. pontban előterjesztett PELLAT-féle módszer.

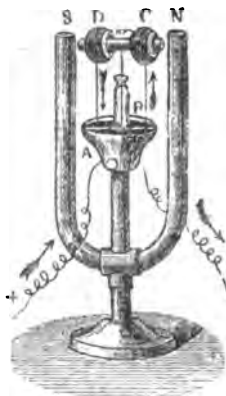
LI. FEJEZET.

AZ ELEKTROMOS ÁRAM ÉS A MECHANIKAI
ENERGIA.

673. Az energiának az elektromos árammal előidézett átalakulásait tanulmányozva, lássuk immár az ezek között levő mechanikai munkát is.

Úgy látszik, hogy az első elektromos motort DAL NEGRO gondolta ki; később igen sokféle alakban szerkesztették, de valamennyiben az elektromos áram alkalmas módon vasdarabokat mágnesez meg, hogy akár maradandó, akár időleges mágnesek hatására folytonos forgó mozgás, vagy pedig a gőzgépek dugattyújának mozgásához hasonló alternatív egyenes vonalú mozgás menjen végbe.

A 828. ábrában előtüntetett elektromágnesi motort könnyű megérteni. Az *SN* patkómágnes szárai között egy vályucska van, mely két, *A* és *B* részekre van osztva; ezekben a higany domború felülete a választó fal fölé emelkedik. Az áram *A*-ban lép be, átfutja a *C* és *D* mágnesező tekercseket és *B*-n át visszatér a telephez; ennél fogva a készülék tengelye körül forgékony lágyvashenger *C*-ben északi sarkot nyer **(535)** s az egynevű ^{828. ábra. Elektromágnesi motor.} *N* sarktól eltaszítatik, egy negyed forgást tesz, s a következő negyedforgás tartama alatt *S*-től vonzatik. De a drót, mely eddig *A*-ba merült, most *B*-be merül, az áram a tekercsekben



ellenkezővé válik s vele együtt ellenkezőkké válnak a henger sarkai, minélfogva a *C* véget az egymásra következő két negyedben *S* most eltaszítja, *N* pedig vonzza, s a henger ily módon folytatja forgását.

Az áramfordító, vagyis a *kommutátor* a gyakorlatban higany helyett fémgyűrűből áll, mely ketté van metszve és a forgás tengelyére — egymástól szigetelten — van erősítve; e gyűrűre két, az áramvezetőkkel összekötött fémrúd vagy lágy fémkefe szorul. Világosan látható ez a 829. ábrában, mely SIEMENS-nek egy mágnes-elektromos motorát tünteti elő. Egy patkómágnes *S* és *N* szárai között az *R* fogaskeréktől hajtott tengely körül a *B* lágyvasmag forgékony, a melyre a drót hosszmentileg, mint a takács vetéllőjére, van körülcsavarva.



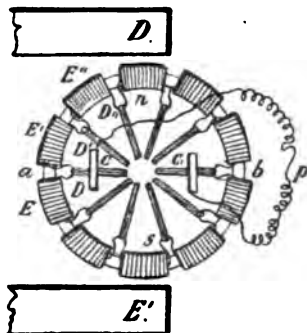
829. ábra. Siemens-féle mágnes-elektromos motor.

Nem terjeszkedünk itt ki az elektromos motorok különböző típusainak leírására, és csak a PACINOTTI-tól kigondolt berendezésre fogunk szorítkozni; ez magában foglalja a csiráját csaknem az egész bámulatra méltó haladásnak, mely néhány év alatt az elektromosság alkalmazásainak terén tétetett.

674. Pacinotti elektromágnesi gyűrűje lágyvasból van; a sok tekervényben körülötte font szigetelt rézdrót magába visszatérő vezetőt alkot; de a menetek egyenlő szakaszokban egy-egy tekercsre vannak összesűrítve. Ezek a bővebb

tekervények, melyek a 830. ábrában $D, D', D'' \dots$ betűkkel vannak jelölve, ugyanannyi fémszelethez vannak forrasztva, mely szeletek sugármentileg vannak elhelyezve s aztán derékszög alatt meghajlítva, úgy hogy minden szelet, a nélkül hogy egymással érintkeznék, egy henger felületének részét teszi, mely henger a gyűrű tengelye.

Ha a P telep áramvezetői C és C' -ben két szemközt fekvő szeletet érintenek, az áram két ágra oszlik és a vasgyűrűt akként mágnesezi meg, hogy mintegy két görbe elektromágnes keletkezik, melyeknek egynevé sarkai szemközt vannak; és ha b -ben két északi sark keletkezik, a -ban két déli sark gerjesztetik.



830. ábra. Pacinotti-féle gyűrű.

Legyen mármost a mágnesezett gyűrű egy mágnesnek \acute{E} és D sarkai közé helyezve: nyilvánvaló, hogy ha b és \acute{E} egynevék, a gyűrű az o tengely körül az óramutatóval ellenkező irányú forgásra van készítve. Forgás közben az előbbienekre következő két szelet jön érintkezésbe a C és C' áramvezetőkkel, úgy hogy a gyűrűnek polaritása a nyugvó mágnesre vonatkozólag ugyanazokban a pontokban marad meg, és a forgás tovább tart.

Ha azután gondunk van rá, hogy a szeletek egymáshoz eléggé közel legyenek, mindegyik következő érintkezés létrejöhet, még mielőtt a megelőző megszűnt volna, és így a telep áramköre soha sem szakítatik meg.

A tengelyről a mozgás akként vihető át, a miként célszerűnek mutatkozik, s így e mótorról mechanikai munkát végezteszhetünk.

675. A mi az elektromos motoroknak a gőzgépek helyett való alkalmazását illeti, megjegyezzük, hogy 1 kg telep-

beli cink energiája csak mintegy $\frac{1}{8}$ részét teszi a tűzhelyben égő 1 kg szén energiájának, és e mellett a cink 20-szorta drágább a szénnél, minélfogva a cink chemiai helyzeti energiája 120-szor annyiba kerül, mint a széné. Igaz ugyan, hogy a gőzgépek haszon-effektusa (I, 540) alig haladja meg a 10 százalékot, az elektromos motorok pedig 80 százalékot adnak, de azért a telepeknek mechanikai munka végzésére való alkalmazása bizonyára mindenkor veszteséggel járna.

Csak kivételes esetekben folyamodhatnánk a telepekhez, és pedig azért, mert az elektromos motorok térfogata kicsiny, járásuk szabályos, még ha nem ügyelünk is fel rájuk, és mert a telepek áramát rézdrót segítségével kényelmesen vihetjük át a megkívánt helyre a nélkül, hogy az átvitel egyéb módjaihoz, fogaskerekéhez, szíjjakhoz, stb. folyamodnunk kellene.

676. Az elektromos motorok segítségével nyert mechanikai munka bizonyára a telepben elfogyasztott chemiai energiának átalakulása, s ennélfogva annak a hőnek, mely az áramkörben fejlődne, ha a motor nem dolgozna, egyenértékű mennyiségben apadnia kell.

Az energia megmaradása elvének ez a következménye alkalmas kaloriméteres kísérletekkel igazoltatott be, és a FARADAY-tól fölfedezett indukció-tűnemények szükségképen való léte-
lére utal.

Tegyük ugyanis fel, hogy egy elektromágnesi motor egy galvanométerrel és a teleppel együtt R ellenállású áramkörben van. Egy i erősségű áram e körben az elektromosság egy egységének átmenetelekor (660) egészben véve Ri hőbeli energiát fejleszt, azaz a telep mindegyik elemében feloldott egy elektrochemiai egyenértéksúly cink fejében az áramkörben az Ri energiával egyenértékű hő jelenik meg. És eme hőmennyiségnek nagyobbnak kell lennie, midőn a motor nyugalomban van, mint a mikor dolgozik; ennélfogva ez utóbbi esetben az áram intenzitásának gyengülnie kell, miként a galvanométer tényleg

mutatja is. De *Ri* egyúttal az áramkörben működő elektromindító erők eredőjét is kifejezi. Ennélfogva arra a következtetésre vagyunk utalva, hogy valahányszor az elektromos áramnak vezetője valamely mágnesi tér hatásának engedelmessé válva elmozdul, és ennélfogva mechanikai munkát végez, e vezetőben elektromindító erők ébrednek, melyek az áramot fentartó elektromindító erőkkel ellentétesek.

677. Mármost természetes, hogy ugyanezek az elektromindító erők abban az esetben is gerjednek, midőn eme vezető mozgását külső erő, és ezen felül a mágnesi tér hatása létesíti: végre pedig valószínű, hogy szintúgy gerjednek akkor is, midőn ebben az elmozduló vezetőben semmi elektromindító erő sem működik.

És valóban, FARADAY kísérletei teljesen beigazolták következtetéseink jogosultságát, mely következtetéseink **Lenz** következő törvényében vannak összefoglalva;

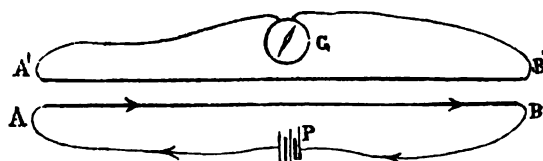
Ha valamely áram vagy mágnes közelében zárt vezetőt elmozdítunk, ebben oly áram kering, mely az áramra vagy a mágnesre visszahatván, a gerjesztő mozgásnak ellenállani igyekszik. Ugyanez a dolog történik akkor is, midőn ez a vezető vesztég marad, s helyette az áramot vagy a mágnest mozdítjuk el.

678. Ez az **elektromágnesi indukció** tüneménye. A mágnesi teret létesítő áramot *indukáló áramnak*, a viszonylagos mozgástól gerjesztettet *indukált áramnak* mondjuk; az indukáló áramnak áramkörét *elsődleges áramkörnek*, az indukált áramét pedig *másodlagosnak* nevezzük.

679. Ismételjük egyenként FARADAY kísérleteit.

A mágnesi tér származzék az *AB* egyenes vonalú áramtól (831. ábra), melyet *P* telep tart fen; vele párhuzamosan legyen kifeszítve az *A'B'* fémdrót, mely a *G* galvanométert zárja. Először is bizonyosodjunk meg abban, hogy a galvanométer kellő-

képen van elhelyezve arra nézve, hogy az áram közvetetlen hatására ne térjen ki, a mi könnyű, ha a P telep áramkörét zárjuk, míg $A'GB'$ nyitva van. Zárjuk ezután ez utóbbi áramkört is, és a galvanométer zéruson fog maradni mindaddig, míg a két zárt vezető viszonylagos helyzete nem változik, de ki fog térni mindannyiszor, midőn a két párhuzamos darabot egymáshoz közelítjük vagy egymástól távolítjuk.



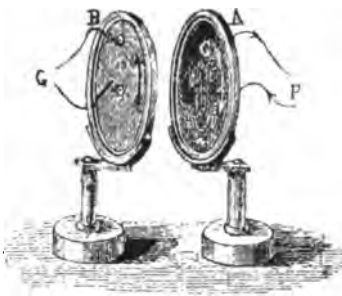
881. ábra. Elektromágnesi indukció.

A kitérés irányából megtudjuk, hogy a közelítés az indukáló árammal ellenkező irányút gerjeszt, azaz B' -től A' felé menőt; a távolítás megegyező irányú áramot indukál, azaz A' -től B' felé menőt; és emlékezzünk vissza (527), hogy az első esetben az indukált taszítja az indukálót, az utóbbiban pedig vonzza, megfelelőleg a 677. pontban kifejezett várakozásunknak.

Hogy a kitérések láthatók legyenek, kell, hogy a galvanométer igen érzékeny, a két párhuzamos darab pedig nagyon hosszú legyen.

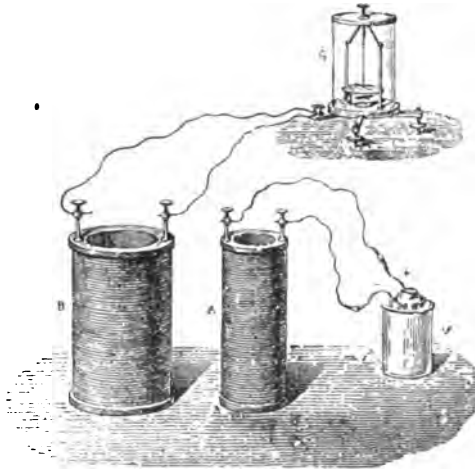
Kényelmesen nyerhetünk szembeötlőbb hatásokat, ha a két drótot spirálisokba csavarjuk. Az A sík spirális (832. ábra) legyen része a P telep áramkörének, s tegyük fel, hogy a középpontban belépő áram a kerületen akként lép ki, hogy a C lapon az óramutató irányában kering; a B spirális legyen a G galvanométerrel zárva, és ennél fogva indukált áramkörként szerepeljen. Ha A -t közelítjük, a galvanométer olyan áramról tanuskodik, mely a D lapon az óramutatóval ellenkező irányban kering, miként a nyíl mutatja; ez esetben az

áramok taszítanak egymást (527). Ha *A*-t eltávolítjuk, az indukált áram a másik áramvezetőben a középponttól a szél felé tart, tehát összevág az indukálóval, tehát vonzaná.



832. ábra. Az áramok taszítása és vonzása.

Mindez hasonlóképen kimutatható két *A* és *B* tekercscsel (833. ábra). Ha az első az utóbbiba teszszük, az indukált áram



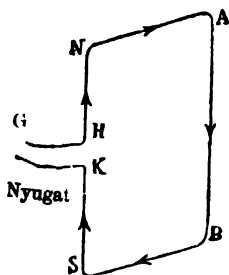
833. ábra. Indukció tekercsek.

B-ben ellenkező, ha kiveszszük, megegyező az *A*-beli indukáló árammal, miként a *G* galvanométer mutatja.

680. Tudjuk azonban, hogy valamely tekercstől származó mágnesi térnek ugyanazon tulajdonságai vannak, mint a melyek egy egyenes vonalú mágnestől származnak (532): ezzel összhangzik az a tény, hogy ha mágnest tolunk *B*-be, ebben indukált áram keletkezik, mely ellenkező az AMPÈRE szerint (534) a mágnesben keringő áramokkal; ha a mágnest kivesszük, irányban megegyező áram fog nyilvánulni.

Fölösleges tán megjegyeznünk, hogy az indukált áramok iránya úgy az egyik, mint a másik esetben ellenkezőre változik, ha a mágnest megfordítjuk.

681. A földmágnességtől származó mágnesi térben is gerjednek indukált áramok. Tudjuk már (531), hogy valamely zárt vezetőt, melyben áram kering, a föld hatása arra késztet, hogy a lehajló türe merőlegesen helyezkedjék el; és ha a függélyes körül forgékony, láttuk, hogy a mágnesi délkörre merőlegesen helyezkedik el, kelet felé fordítván azt az oldalát, melyben az áram leszáll.



834. ábra. A földi mágnességtől indukált áram kimutatása.

Fordítva, ha a *HABK* vezetőt (834. ábra) a *G*-ben levő galvanométerrel zárjuk és az *SN* függélyes oldal körül keletről nyugat felé forgatjuk, a galvanométer a nyilak irányában keringő indukált áramról tesz tanuságot, mely a forgás első negyedében a távolításbeli megegyező áramból, a forgás második negyedében pedig a közelítésbeli ellenkező áramból ered.

Ha a forgatást kiegészítjük egy teljes forgássá, először megegyező, aztán ellenkező áramot nyerünk, s ez a két áram ellenkező az előbbiekhez képest.

Ez a tűnemény jobban megmutatható, ha galvanométerrel összekötött tekercset mozditunk el alkalmas módon. De ha a galvanométer igen érzékeny, az áramkör részét tevő valamely

drótnak legcsekélyebb elmozdulása is elegendő a galvanométer kitérítésére. Ez oknál fogva az indukált áramok tanulmányozásában mindig jobb az indukáló és az indukált vezető közötti viszonylagos helyzetváltozásokat akként véghezvinni, hogy az utóbbi vesztég maradjon.

682. Indukált áramok még a mágnesi tér intenzitásának minden változására is gerjednek a nélkül, hogy bármely elmozdulás történnék. És ez is előrelátható volt, mert a tér gyengítése olyan hatású, mint ha az indukáló áram az indukált vezetőtől távoznék; a tér erősbulése pedig olyan hatású, mint a közelítés. Valóban, ha a 892. ábrabeli két sík spirális viszonylagos helyét nem változtatjuk, és ha az indukáló áram intenzitását csökkentjük, például oly módon, hogy a P telep áramkörébe még valamely pótlékellenállást bekapcsolunk: megegyező indukált áramot fogunk megfigyelni; ha ellenben ezt az intenzitást öregbítjük, ellenkező indukált áramot nyerünk.

Hasonlóképen viselkedik a 833. ábrabeli két tekercs, midőn az egyik a másikban van. És nyilvánvaló, hogy az indukáló áramnak megszakítása egyértékű a végtelenbe való távolításával, s ennél fogva megegyező áramot indukál; a zárás megfelel a végtelen távolságból való odahozásnak, és ellenkező áramot gerjeszt.

683. Hasonlóképen gerjednek az indukált áramok, midőn egy lágyvas-darab megosztás útján mágneseződik meg, mert ekkor úgy áll a dolog, mint ha egy mágneset igen nagy gyorsasággal az indukált áramkör közelébe vinnénk. Ezt tekintve, jó megtenni a következő kísérletet. Az A tekercset (833. ábra) illeszszük a B tekercsbe, míg mind a két áramkör nyitva van; zárjuk először a telep áramkörét, és a galvanométer nem fog kitérni, mert az indukált áram útja meg van szakítva; ezután zárjuk a másodlagos áramkört: most sem fogunk semmi kitérést sem látni. Mármint szakítsuk meg az indukáló áramot: megegyező irányú áramnak megfelelő kitérést fogunk meg-

figyelni. A zárásnak megfelelő ellenkező áram okozta kitérítés ellenkező irányú. Míg az elsődleges áramkör nyitva van, tegyünk beléje egy vasdarabot, mely, ha nem volna épen semmi mágnessége, semmi áramot sem indukálna; valószínű azonban, hogy kicsiny kitérést mégis elő fog idézni, mert minden vasdarab kisebb-nagyobb mértékben meg van mágneseselve; ellenben nagy kitérést fog előidézni, ha akkor teszszük be, miután a telep áramköre már zárva van; mert ekkor ez a vas megmágnesesződik s a dolog úgy áll, mintha mágnest tennénk a tekercsbe (680).

A kitérés rendkívül nagy, ha az elsődleges áramkört akkor zárjuk, midőn a vas tekercsben van; mert ez esetben a zárás és a vasnak mágnessé válásától indukált áramok hatása összegeződik.

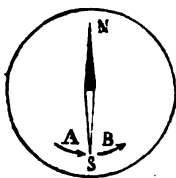
684. Tartsuk szem előtt azt a különbséget, melyet a némelyektől *elektrostatikai indukciónak* is nevezett elektromos megosztás (311), továbbá a mágnesi megosztás (mágnesi indukció, (485), melynél fogva valamely mágnesi térbe helyezett vasdarab mágnessé válik, végre a most tárgyalt elektromágnesi indukció, vagy a mint szintén nevezik, *elektrodinamikai indukció*, elénk tár. Az első kettőnek tünetényei maradandók, mert úgy a megosztásbeli elektromosság, mint a megosztásbeli (vagy indukált) mágnességnek tünetényei mindaddig tartanak, míg az elektromos illetőleg mágnesi térnek tulajdonságai a vezető illetőleg a mágnesi anyagtól elfoglalt pontokban meg nem változnak, míg az indukált áramok időlegesek, azaz csak addig tartanak, míg valamely vezetőnek egyes pontjaiban a mágnesi hatás változást szenved, és teljesen hiányzanak azon az egész időn át, melyben e hatás állandó marad, bár mekkora lévén is máskülönben az intenzitása.

685. Lássunk még néhány, a LENZ-féle törvénnyel (677) megmagyarázható kísérletet.

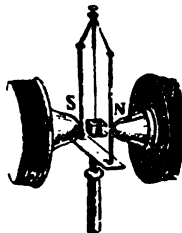
1. Valamely mágnestű lengései sokkal gyorsabban csilla-

pulnak valamely vezető közelében, mint távol minden vezetőtől; ez az oka, hogy a galvanométerek tűi rézzel vétetnek körül. Az SN tű (835. ábra) egy rézkorong fölött leng; ha valamely pillanatban a nyílak irányában leng, a B tájékon közelítésbeli áramokat indukál, melyek eltaszítják, az A tájékon pedig távolításbelieket gerjeszt, melyek vonzzák.

2. Ha a mágnes szilárdan áll és a korong leng a nyílak irányában, az A tájékot, mely a tűhöz közeledik, áramok futják át, melyek taszítást szenvednek, a B tájékot pedig oly áramok, melyek vonzatnak, úgy, hogy a korong mozgása folyvást új meg új ellenállásra talál.



835. ábra. Mágnesű csillapítása.



836. ábra. Rézkocska megállása.

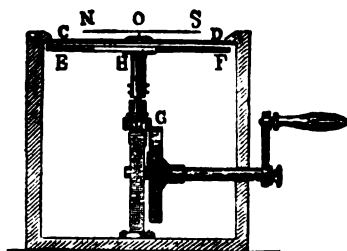
Hasonlóképen a rézből való R koczka (836. ábra), mely a felfüggesztő fonál torziója miatt igen gyorsan forog, legott megáll, ha az elektromágnest gerjesztjük, melynek S és N sarkai között a koczka forog.

3. Ha a rézkorongot forgatjuk a tű alatt, miként a 837. ábra mutatja, hol EF a korong, NS a tű, úgy a tű maga is ugyanazon irányú forgásnak indul, bár közbe van téve a CD kártya- vagy üveglap, mely meggátolja, hogy a levegő mozgása (I, 279) a tűt magával ragadja. Itt is a sarkokhoz közeledő pontokban oly áramok gerjednek, melyek a sarkokat taszítják, a távolodó pontokban pedig olyanok, melyek a sarkokat vonzzák.

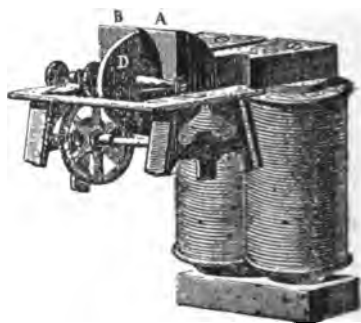
4. Hasonlóképen egy mágnes, melyet a CD lap alatt for-

gásban tartunk, a saját mozgása irányában magával ragad egy rézkorongot, mely a tű helyett az O csúcsra van felpéczkelve.

5. A D rézkorong (838. ábra) fogas kerekek rendszere révén igen gyorsan forgatható az A és B lágyvas-darabok között, melyek egy elektromágnes sark-felületeinek nyujtványai. Midőn az elektromágnes nincsen gerjesztve, nagy sebességet közlünk a koronggal, mely szabadon mozog a két vasdarab között, és a mozgás fentartására csak a csapok surlódását és a levegő ellenállását kell leküzdeni. De a mint az áram a mágnesező tekercsbe szökken, a korongot a benne gerjesztett áramok fogva tartják. Ha azután a hajtásra megkívántató munka tetemes fokozásával a forgatást mégis folytatjuk, az áramok tovább keringenek a korongban, s felmelegítik, mit egy hőmérővel vagy pedig akként mutathatunk ki, hogy a korongot könnyen olvadó anyaggal bevonjuk. Sőt ha réz helyett Wood-féle ötvényt (I, 449) használunk, melynek olvadáspontja 70° , sikerül magát a korongot megolvasztanunk. Nyilvánvaló, hogy az ekként kapott hőnek



837. ábra. A tű egyirányú forgása.



838. ábra. Korong megolvasztása.

egyenértékűnek kell lennie a munkával, melyet a mágnes és az indukált áramok közötti elektromágnesi hatások legyőzésére fordítunk.

686. Megismerkedvén eme tünetekkel, helyén van hogy némi fogalmat szerezzünk az őket kormányzó mennyileges törvényekről.

Hogy először is a megszakítás és zárásbeli áramokkal (682) foglalkozzunk, használjuk például a 679. pontban alkalmazott két sík spirálist; állítsuk őket egymással szemközt, s azt, a melyik másodlagosként szerepel, kössük össze a galvanométerrel. A galvanométer kitérése, abszolút érték szerint, úgy a megszakításbeli, mint a zárásbeli áramra nézve pontosan egyenlő. Mind a két áram oly rövid tartamú, hogy némelyek helytelenül pillanatnyiakknak nevezik; alkalmazhatjuk tehát rájuk az 509. pontbeli megfontolásokat, és arra a következtetésre jutunk, hogy úgy záráskor, mint megszakításkor a másodlagos áramkörben egyazon elektromosság-mennyiség (511) mozgattatik meg.

Ez a törvény az ezüst-voltaméterrel (652) is beigazolható, ha a másodlagos tekercs áramkörébe (833. ábra) iktatjuk s a másik tekercs indukáló áramát ismételve megszakítjuk. A két ezüst lemez súlya nem változik, mi azt mutatja, hogy az áramok két sorának chemiai hatása egymást kiegyenlíti.

De meghatározhatjuk azt az elektromosság-mennyiséget is, melyet a voltaméteren bizonyos számú megszakításbeli áram átvizs; csak azt kell megakadályozni, hogy a zárásbeliek is átmenjenek rajta, mit könnyen elérhetünk, ha zárva tartjuk a másodlagos áramkört, a midőn megszakítjuk az elsődlegest, és megszakítjuk amazt, még mielőtt emezt megnyitnók. E célra alkalmas megszakítókat szerkesztenek, melyek fogas kerekekből állanak, melyekre rugalmas nyelvek szorulnak.

687. Ha a két tekercs alakját és viszonylagos helyzetét változtatlanul megtartjuk, de a másodlagos tekercset a mérőműszerrel összekapcsoló vezetőnek változtatásával az indukáló áram intenzitását is változtatjuk, úgy a galvanométerrel vagy a voltaméterrel egyaránt kimutathatjuk, hogy *amaz elektromosság-mennyiség, mely a másodlagos áramkörben az elsődlegesnek záráskor vagy megszakításakor mozgásnak indítottatik, az indukáló áram intenzitásával egyenes, a másodlagos áramkör-ellenállásával pedig fordított viszonyban van.*

Ha tehát q azon elektromosság-mennyiség, mely az r ellenállású másodlagos áramkör minden keresztmetszetén az I intenzitású indukáló áram zárásakor vagy megszakításakor átmegy, a következő egyenletet írhatjuk fel:

$$qr = MI, \quad (1)$$

hol az M együttható csakis a két áram geometriai tulajdonságaitól függ.

Azta q' elektromosság-mennyiséget pedig, melyet ugyanazokkal a vezetőkkel ugyanabban a viszonylagos helyzetben I' intenzitású más áram zárásakor vagy megszakításakor nyerünk, hasonlóképen határozza meg a következő egyenlet:

$$q'r = MI'. \quad (2)$$

688. Ha már most az elsődleges áramkört folytonosan zárva hagyva, gondunk van rá, hogy áramának intenzitása előbbeni I értékéről az I' értékre menjen át, azt fogjuk találni, hogy ez esetben a keringésnek indított elektromosság-mennyiség éppen $q - q'$, mely mennyiség időleges áramot létesít, megegyezőt vagy ellenkezőt, a szerint a mint az indukáló áram intenzitását csökkentettük vagy pedig fokoztuk.

Ha az $I - I'$ változás τ időben megy végbe, az indukált áram átlagos intenzitása:

$$i = \frac{q - q'}{\tau} \quad (3)$$

és az indukált elektromindító erő középértéke:

$$\epsilon = ir = M \frac{I - I'}{\tau}. \quad (4)$$

Az i és ϵ emez átlagos értékei annál közelebb fognak járni a valódi értékhez, mentül kisebb a τ idő, a melyben a változás történik.

Ezen kívül megjegyezzük még, hogy míg az indukált elektromosságnak mennyisége nem függ az időtől, melyben az indukáló áram intenzitásának adott változása végbe megy, addig az

indukált áram elektromindító ereje, tehát intenzitása is, annál nagyobb, mentül rohamosabb ez a változás.

689. Tartsuk most állandó értéken az indukáló áram I intenzitását, úgy, hogy például záráskor az (1) alatti egyenlet álljon; ezután változtassuk meg az egyik vagy a másik, vagy mind a két áramkör helyzetét vagy alakját, és legyen M_1 az az érték, melyet az M együttható az új körülmények között felvesz. A záráskor indított összes elektromosság-mennyiség, q_1 , ekkor a következő egyenletnek (687) tesz eleget:

$$rq_1 = M_1 I. \quad (5)$$

Ha már most zárva tartjuk az indító áramot és a rendszert az első alakzathból ez utóbbiba viszzük át, a másodlagos áramkörben mozgásnak indított elektromosság mennyisége épen $q - q_1$. Ha tehát τ_1 a rendszer deformációjára fordított idő, ε_1 az indukált áram átlagos elektromindító ereje és i_1 az átlagos intenzitása, úgy ez esetben a következő egyenlet áll:

$$\varepsilon_1 = i_1 r = I \frac{M - M_1}{\tau_1}. \quad (6)$$

690. Ez utóbbi egyenlet és a (4) alatti arra a következtetésre vezet, hogy az indukált elektromindító erő mindenkor egyenlő azzal a sebességgel, melylyel az M kifejezés változik.

691. FELICI és NEUMANN kimutatta, hogy a megelőző képletek M együtthatójának ugyanaz az analitikai kifejezése van, mint annak, melyet a két áramkör kölcsönös indukció együtthatójának nevezünk, s a melyet az 524. pontban határoztunk volt meg.

NEUMANN ezt azon föltevással vezette le, hogy az elsődleges áramkörnek mindegyik elemétől a másodlagos áramkörnek valamely elemében indukált elektromindító erő minden pillanatban arányos a két elem viszonylagos sebességével és a viszonylagos mozgás irányában vett összetevőjével azon pondero-

motoros hatásnak (526), melylyel az első elem a másodikra hat, ha ez utóbbit egységnyi erősségű áram futná át.

Azonban nem tekintve NEUMANN feltevéseit, a kölcsönös indukció együtthatója matematikai kifejezésének meg nem ingatható kísérleti alapja van, mert FELICI azt minden feltevés nélkül csakis kísérleti úton határozta meg; módszere hasonló volt ahhoz, melyet AMPÈRE két áramelem kölcsönös ponderomotoros hatása törvényének (526) megállapítására használt.

Az 574. pont képleteit felhasználván, \mathbf{M} méretei meghatározhatók:

$$\mathbf{M} = [T \cdot \varepsilon : i] = [T (L^{3/2} T^{-2} M^{1/2}) : (L^{1/2} T^{-1} M^{1/2})] = L,$$

a mint már 524. pont végén megjegyeztük.

Ha már most a 688. pont (4) képletében $I - I' = 1$, $\varepsilon = 1$, $\tau = 1$, akkor $\mathbf{M} = 1$; az \mathbf{M} ezen mértéke a mértékek gyakorlati rendszerében HENRY nevét viseli. Ez más szóval annyit mond, hogy egy áramkör akkor van a henry-nek nevezett indukció egységének alávetve, ha az indító áramnak másodpercenként 1 amperrel való változása 1 volt elektromindító erőt indít benne.

692. Ezt előre bocsátva, emlékezzünk vissza (524), hogy két zárt, i és I intenzitású áram kölcsönös energiája ekként van kifejezve:

$$W = -\mathbf{M}iI,$$

és ha még figyelembe vesszük, hogy a (4) és (6) alatti egyenletekből a következők származnak:

$$\varepsilon i \tau = \mathbf{M} (I - I') i, \quad \varepsilon_1 i_1 \tau_1 = (\mathbf{M} - \mathbf{M}_1) I i_1,$$

úgy azt kell következtetnünk (614), hogy a másodlagos áramkörben fejlődő hőbeli energia egyenlő az indukáló és az indukált áram kölcsönös energiájának változásával.*

* Itt legalább egyet akarunk jelezni azon módszerek közül, melyek az ohm meghatározására szolgálnak; e módszer önként kínálkozik a 687. p. (1) képletének megvizsgálásából.

693. A (4) és (6) képleteket összevetvén, észreveszszük, hogy $\mathbf{M}(I-I')$ és $I(\mathbf{M}-\mathbf{M}_1)$ mennyiségek annak az erő-áramlásnak r időre eső változását fejezik ki, mely az indukáló áramból kilépve az indukált áramkör negatív oldalán belép s arra következtetünk, hogy *az indukált elektromindító erőt az a sebesség fejezi ki, melylyel az indukált vezetéken áthatoló erő-áramlás változik.*

Ez a törvény általános, s még arra az esetre is áll, a mikor az indukáló rendszer mágnesekből áll, melyeknek vagy az intenzitásuk változik, vagy pedig az indukált rendszerhez viszonyítva, eltolódásban részesülnek. Jelöljük e végből az r ellenállású vezetéken áthatoló erő-áramlásnak Δt időelemre eső változását $\Delta \mathcal{E}$ -nel, s akkor az indított ε elektromindító erő, valamint az áram i intenzitása a következő módon fejeztetik ki:

$$\varepsilon = ir = - \frac{\Delta \mathcal{E}}{\Delta t}, \quad (8)$$

s a mozgásnak indított elektromosság mennyiségét, e -t az erő-

A két áramkör alakját és viszonylagos helyzetét akként választjuk, hogy a rendszer méreteit megmérvén, ezekből ki tudjuk számítani az \mathbf{M} együtthatót, melynek mérete megegyezik a hossz méretével. \mathbf{M} -et tehát centiméterekben fogjuk kifejezni és a következő képletbe fogjuk helyettesíteni:

$$r = \mathbf{M} \frac{I}{q}$$

mely képlet a másodlagos áramkör ellenállásának a 687. p. (1) képletből származó értékét fejezi ki. Ugyanebbe helyettesítjük az indukáló áram I intenzitásának értékét, melyet a C. G. S. -rendszerben valamely galvanométerrel (504) határozhatunk meg, úgyszintén azon q elektromosság-mennyiség értékét, mely a másodlagos áramkörben az elsődlegesnek megszakításakor mozgásnak indítatik, mely mennyiség ugyanazon mérték-rendszerben galvanométer segítségével határozható meg (514). Ily módon r értékét a C. G. S. rendszerben nyerjük és a centiméterek bizonyos számának és a másodpercek valamely számának hányadosával léssen kifejezve. Hogy azután a gyakorlati rendszerre (575) menjünk át, azaz hogy meghatározzuk azon *ohm*ok számát, mely az indukált áramkör r ellenállását méri, az előbbeni értéket csak 10^9 -nel kell osztani.

áramlás változásának az ellenálláshoz való viszonyával fogja adni, vagyis

$$e = - \frac{\Delta \mathcal{C}}{r}. \quad (9)$$

Ezekben a képletekben azok az elektromindító erők veendők pozitív jellel, melyek az áramkörnek indukció következtében negatívvá lett oldalán belépő erő-áramlásnak kisebbedéséből erednek.

Hogy ezt a szabályt jobban emlékezetünkbe véssük, nem fölösleges egy külön esetre: dróttal körültekert sík keretre gondolni, mely a földmágnesség terében függélyesen, a mágnesi meridiánra merőlegesen áll és függélyes tengely körül foroghat. A föld mágneserejéből eredő, rajta áthatoló erő-áramlás a 340. pont (5) képlete szerint kiszámítható, ha a H horizontális intenzitást az áramkör S felületével megsokszorozzuk, ez alatt mindazon felületek összegét értvén, melyeket a ráma tekert drót egyes menetei bekerítenek. A tér iránya tudvalevőleg dél-északi s ha a keret a függélyes tengely körül megfordul, a fordulást gátló áram indítatik benne (677) olyan tehát, hogy a dél felé néző oldala negatívvá lesz s a rajta átmenő erő-áramlás eközben kisebbedik. Az áram erről az oldalról tekintve, az óramutató irányában fog keringeni, vagyis a keret keleti függélyes darabján leszálló fog lenni.

Jobb kezünk három első újját lebocsátván, a mutatóujj a tér irányában mutasson s a hüvelykujj a (tér irányához viszonyított) mozgás iránya felé legyen fordítva: ha a középsőujjunkt ekkor a vezeték bármely részéhez illesztjük, az ujj az indukált áramnak ezen részbeli irányát fogja megmutatni. Ez a JENKIN-től kieszelt emlékezeti szabály egyik-másik esetben hasznos szolgálatot tehet.

694. Mialatt a keretet 90° -kal elfordítjuk, azaz a mágnesi meridiánba helyezzük, a negatív oldalán áthatoló erő-áramlás HS -ről zérusra csökkent s még további $-HS$ -szel fog, ha 90° -al még tovább fordítatik; e szerint a félfordulatnak megfelelő csök-

kenése az áramlásnak $2HS$ s az r ellenállású vezetékben mozgásnak indított elektromosság mennyisége

$$e = \frac{2HS}{r}. \quad (10)$$

Ennek az elektromosságnak a mennyisége meghatározható, ha az áramkörbe ballisztikus galvanométert (509) iktatunk; s ha még r és S ismeretesek, a földmágnesség vízszintes erő-összetevője számítható ki belőle.

Ezt a módszert igen gyakran használják valamely **mágnesi tér intenzitásának meghatározására**. A ballisztikus galvanométerrel kis áramtekercset kötnek össze; H ha ismeretes, nem is kell S felületet közvetlenül ismerni. A tekercset meneteivel a tér irányára merőlegesen állítjuk s meghatározzuk ennek félfordulata közben mozgásnak indított elektromosság e' mennyiségét. A (10) képlet alapján a keresett \mathcal{H} intenzitás

$$\mathcal{H} = \frac{e'r}{2S} = \frac{e'}{e} H.$$

695. Tekintsünk most egy hosszú csövet, melyen hosszegyenként I intenzitású áramtól átáramlott n menet egyenletesen el van osztva; az **538.** pont szerint az ő A keresztmetszetén átmenő erő-áramlás

$$\mathcal{H} = 4\pi AnI. \quad (11)$$

Egy másik rézdrót, mely ezt az elektrodinamikusszolenoidot közepe táján körülfogja, n_1 -szer akkora áramlást bocsát át a keresztmetszeten, ha n_1 menetből áll; azért is ballisztikus galvanométerrel az áramkörbe zárátván, az I intenzitású áram megszakításakor megmozdított elektromosság mennyisége a (9) képlet szerint

$$e = \frac{n_1 \mathcal{H}}{r} = \frac{4\pi Ann_1 I}{r}, \quad (2)$$

és kétszer akkora lenne, ha I áram megfordítottatnék.

Mindaddig, míg a szolenoid menetei a levegőben vannak,

a belső tér intenzitása (550) $\mathcal{H} = 4\pi n_1 I$; de ha a csőbe pl. A' keresztmetszetű vashenger tétetnék, a henger belsejében az indukció a permeabilitásától függne (551) és épen $\mathcal{H} = \mu \mathcal{H}'$ lenne. Azért is az indukált áramkörön átmenő erő-áramlás, a helyett, hogy a (2)ben kifejezett értékkel bírna,

$$\mathcal{H} = n_1 \mathcal{H} (A - A' + \mu A') \quad (3)$$

értékű lesz. Ha a drót közvetlenül a vashengerre van fölcsavarva, $A' = A$ s akkor

$$\mathcal{H} = n_1 \mathcal{H} A = n_1 \mu \mathcal{H} A = 4\pi n_1 n_2 I \mu A.$$

Feltéve, hogy az indukáló áram meg is fordítatik, az n menetben mozgásnak indított elektromosság mennyisége nyilván

$$e = \frac{8\pi n n_1 I \mu A}{r},$$

mely ballisztikus galvanométerrel megmérve, a vashenger \mathcal{H} mágnesező erejének megfelelő μ permeabilitása a képletből kiszámítható.

696. Minden áramátfutotta vezető, miként már megjegyeztük, a mágnesi tértől s általában minden külső hatástól függetlenül, és csak azon pusztán tényről fogva, hogy benne áram kering, belső energiával rendelkezik. Azonban az energia megmaradásának elve szerint kell, hogy ezt az energiát a telep kémiai munkájából akkor kapta legyen, a midőn az áram benne létrejött. Ennélfogva a zárás első pillanataiban a kémiai energia nem fog egészen hővé átalakulni, mivel az áramkört illetően helyzeti energiával is el kell látnia. A **676.** pontbeli okoskodás során tehát azt következtetjük, hogy a zárás pillanatában a telepével ellenkező elektromindító erőnek kell gerjednie, melynek értéke

$$\epsilon' = L \frac{dI}{dt} \quad (12)$$

hol L az áramkör önindukciós együtthatója, dI pedig az áramintenzitásnak dt időbeli növekedése; minthogy $L I$ az áram-

tól eredő, az áram saját vezetéken átmenő erő-áramlást jelenti, s minthogy L , ha a vezetékek alakja nem változik, állandó: az egyenlet jobb oldala az erő-áramlás változásának sebességét jelenti. (693.)

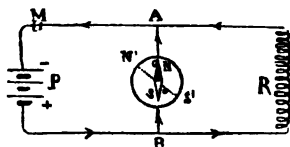
S megfordítva, midőn valamely már létrejött áramot megszakítunk, az áramkör elveszti belső energiáját, tehát ezzel egyenértékű hő fejlődik benne, s ennél fogva a telep elektromindító erejéhez indukált elektromindító erő adódik, úgy, hogy az áram mielőtt megszűnnék, az áramkörnek maga-magára való indukciójából származó áram hozzájárulása miatt, vagy miként FARADAY mondotta, a különáram (extra-áram) hozzájárulása miatt, hirtelenül erősebbé válik.

Ez esetben is a különáram fejlesztette hő egyenértékűnek találtatott a belső energiával, melyet eltűnik, s a mely $\frac{1}{2} L I^2$ szorzattal, vagyis az intenzitás négyzetének és az áramkör önindukcióbeli együtthatójának félszorozmányával kifejezettnek mondottunk (525).

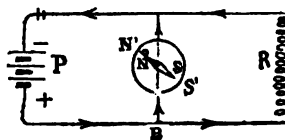
A különáram létezése többféleképen mutatható ki. Ha az áramkör egyszerűen két egyenes vonalú és párhuzamos darabból áll, az önindukció együtthatója annyira kicsiny, hogy csekély vagy semmi különáram nem keletkezik; de ha többrendbeli tekervényből áll, s még inkább, ha vasmag körül van tekerve, a különáram annyira erős, hogy a mikor egy ilyen tekercset a telep áramkörébe iktatunk, megszakításkor az izzás gyenge szikrája (623) helyett fényes és csattanós szikrát kapunk, pedig a tekercs bekapcsolásával az összes ellenállást növeltük, s ennél fogva a telep előbbeni áramának intenzitását csökkentettük.

A megszakításbeli különáram irányának megmutatására az áramkörben a P telep (839. ábra) és az R tekercs között két elágazó pontot, A és B -t választunk s ezek közé galvanométert kapcsolunk be. Tegyük fel, hogy zárt áramkör esetében az áram a nyilak irányában kering, úgy, hogy a tű az elágazó áram hatására az SN mágnesi délkörből kitérve $S'N'$ -be helyez-

kedik; akadályozzuk meg ezt a kitérést oly módon, hogy az északi sarktól balra egy kis gátat állítunk, s ezután szakítsuk meg az áramkört a telep és az elágazás között, például M -ben. A megszakítás pillanatában a tű hevesen jobbra lódul, mi arról tanúskodik, hogy R -tól A felé a telep áramával megegyező irányú áram kering. És ez a *megszakításbeli különáram*.



839. ábra. Megszakításbeli különáram.



840. ábra. Zárásbeli különáram.

Engedjük most meg, hogy a tű szabadon elmozdulhasson az áram hatására, és a midőn $N'S'$ -ben van (840. ábra), állítsunk fel N -től jobbra egy kis gátat, mely a tűnek a mágnesi délkörbe való visszatérését megakadályozza. Nyissuk a telepet és a tű vesztég fog maradni; de ha újra zárjuk, még jobban fog balra lódulni, mi annak a jele, hogy a BA ág nemcsak a telep áramának enged utat, mely áram a tűt épen $S'N'$ -be térítené, hanem utat enged még egy másik mulékony áramnak, mely BA -ban a telep áramával megegyező irányú, következőleg R -ben vele ellenkező irányú. Ez a *zárásbeli különáram*, melynek az a hatása van, hogy a zárásra következő első pillanatokban az áram gyengébb.

697. Az eddigiek után megállapított dolognak tekinthető, hogy az önindukció hatása miatt valamely orsóban az áram nem éri legott azt az I intenzitást, melyet a telep ϵ elektrom-indító ereje és az áramkör R ellenállása OHM törvénye szerint meghatároz; hanem hogy ezt csak valamicskével később éri el és kezdetben gyengébb marad.

Legyen I az áram intenzitása a változó állapot valamely pillanatában; ennek a (12) képlet szerint minden pillanatban a következő egyenletnek kell megfelelnie:

$$\varepsilon - \varepsilon' = \varepsilon - L \frac{dI_1}{dt} = RI_1,$$

s az integrálszámítás megmutatja, hogy

$$I_1 = \frac{\varepsilon}{R} \left(1 - e^{-\frac{Rt}{L}} \right) = I \left(1 - e^{-\frac{Rt}{L}} \right),$$

hol $e = 2,718\ 28 \dots$ a természetes logaritmusi rendszernek alapszáma, t az áramzárás pillanatától számított idő, I pedig az áram végleges intenzitása.

A I és I_1 különbsége az idővel rohamosan fogy, úgy, hogy annyival inkább elhanyagolható, mennél kisebb L viszonya az R -hez, mely időt jelent s az illető vezetékre nézve jellemző állandó.

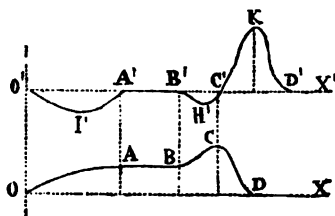
Megállapítottnak tekinthető az is, hogy a megszakítás pillanatában az intenzitás nem száll le rögtön zérusra, sőt előbb emelkedik.

Az elsődleges tekercsben (678) keringő áram illetően változásainak kell betudni, hogy a másodlagos tekercsben a megszakításkor indukált megegyező áramoknak más tulajdonságaik vannak, mint a záráskor indukált ellenkező áramoknak.

Az egyik fajta indukált áramokban keringő elektromosság mennyisége egyenlő a másik fajtabelielőkben keringőnek mennyiségével (686); de nem így az időtartamuk, mely kisebb a megszakításbeli, nagyobb a zárásbeli áramokra nézve, és ennél fogva (688) ez utóbbiak gyengébbek az előbbieneknél.

Hogy e dologról számot adjunk, számítsuk az időt az OX vízszintes irányában (841. ábra), és az indukáló áram bármely pillanatbeli intenzitását tüntessük elő erre az egyenesre merőleges hosszakkal. Az OA ív a zárásbeli különáram okozta intenzitás-változásnak törvényét tünteti elő, mely külön áram a telep áramát gyengíti, s ez utóbbit, midőn később állandó értékét elérte, az AB vízszintes egyenes tünteti elő; még később, megszakításkor, az intenzitás B -ből C -re szökik fel, mielőtt D -be, vagyis zérusra leszállana.

A felső görbe vonalak az indukált áramok intenzitásának járását tüntetik elő. Az $O'A'$ ív megfelel a zárásnak, az $A'B'$ vízszintes darab a zérus-intenzitásnak azon az időn át, melyben az indukáló áram állandó marad; a $B'H'C'$ ív a megszakításbeli különáram gerjesztette ellenkező áramot, végre $C'KD'$ a megszakításbeli megegyező áramot tünteti elő; ez utóbbiban a $C'KD'$ területtel arányos elektromosság-mennyiség kering.



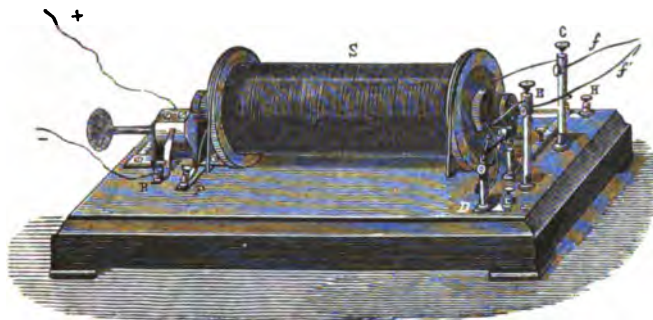
841. ábra. A különáram ábrázolása.

mely egyenlő azon mennyiségek összegével, melyek ellenkező irányban keringenek és az $O'A'$ és $B'H'C'$ területekkel arányosak. Nyilvánvaló tehát, hogy a K merőlegesnek nagyobbnak kell lennie a többieknek és hogy ennél fogva a megszakításbeli megegyező áramnak nagyobb intenzitásúnak kell lennie a zárásbeli ellenkező áramnál.

698. A záraskor és megszakításkor indukált áramok igen rövid tartama az oka, hogy az indukció elektromindító ereje igen nagy (688), az elektromótoros gépekéhez fogható; ennél fogva az indukált tekercs drót végein egy pillanatra oly nagy elektromos potenciál-különbség létesül, mely elegendő lehet arra, hogy néhány ccentiméteres szikrákat ugrasson át, míg az elsődleges áramkörbe iktatott telep elektromindító ereje egymagában még egy század-milliméteres szikra létrehozására sem elegendő.

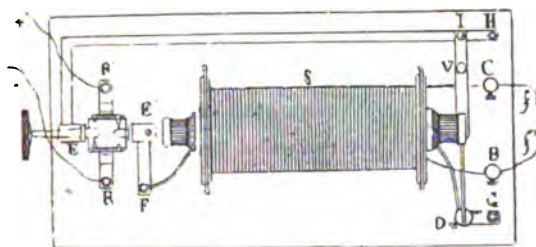
Mivel továbbá a megszakításbeli elektromindító erő nagyobb a zárásbelinél, az indukált vezető végei közötti üttávolságnak (413) is nagyobbnak kell lennie az első esetben.

699. Mindezek a tények pompásan kimutathatók a **Ruhmkorff-féle géppel**, melyet egészében a 842. ábra, alaprajzában pedig a 843. ábra tüntet elő.



842. ábra. A Ruhmkorff-féle gép.

Az indukáló tekercs lehetőleg vastag rézdrótból áll, s egy vasdrót-nyalábot övez körül, őt magát pedig az indukált tekercs övezi körül, mely jól elszigetelt vékony drótnak néhány ezernyi tekervényéből áll.



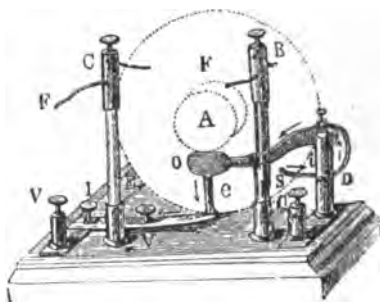
843. ábra. A Ruhmkorff-féle gép alaprajza.

Az indukáló drót végei a D és F drótszorítóhoz vannak kapcsolva, az indukált drót végei pedig az üveglábakra erősített B és C drótfogóhoz.

A telep áramvezetői R és R' -ben egy *kommutátor*ba vannak bekapcsolva, mely lehetővé teszi vagy az $R'E'$ és RE , vagy

pedig az $R'E$ és RE' kapcsolatokat s így az áramkeringésnek az elsődleges tekercsben tetszés szerint való megfordítását.

Tegyük fel, hogy a kommutátor akként van állítva, hogy E' a telep pozitív sarkával közlekedik; ekkor az áram E' -ből F -be, innét az indukáló tekercsbe megy és a D fémoszlopocskához és a rezgő megszakítóhoz (844. ábra) érkezik; ez az o



844. ábra. A Ruhmkorff-féle gép rezgő megszakítója.

kicsiny lágyvas-kalapácsból áll, mely a vasdrótokból való A magnak horgonyaként szerepel és D -vel egy rézrugó révén közlekedik; a mikor a vasmag nem vonzza, az e üllőre támaszkodik.

A telep árama tehát D -től az o kalapácschoz s innét az e üllőhöz megy, és a VIE részalagon R -ben a kommutátorhoz visszatér (843. ábra). De ekkor a vasmag mágnessé válik, fel-emeli a kalapácsot; de minthogy ekkor az áram megszakadt, a kalapács visszaesik az üllőre; de ebben a pillanatban az áram ismét létrejön, azután újra megszakad és így tovább.

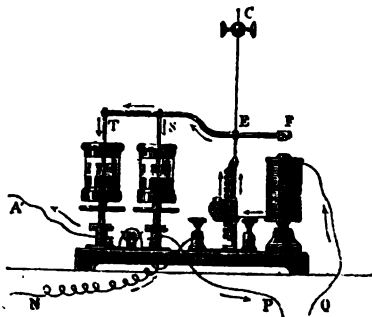
Ily módon a megszakítások és zárások rohamosan követik egymást; mindegyikük létrehozza a másodlagos tekercsben a megfelelő indukált áramot, mely a B és C drótszorító közé iktatott bármely vezetõn átvezethetõ.

700. Ha az f és f' közötti zárlat meg van szakítva, a megszakítás helyén szikrák ugranak át (698); és kimutatható, hogy

egyazon indukáló áram mellett az ütőtávolság kisebb, ha elveszszük a vasdrót-nyalábot, mely mágnessé válván, az indukciót fokozza.

Ha a másodlagos áramkör megszakítása nem lép túl bizonyos határt, egy-egy szikra úgy záraskor, mint a megszakításkor keletkezik; de ezen a határon túl csak megszakításkor keletkezik, és pedig a nagyobb elektromindító erőnél fogva (698), melynek növelését előmozdítják mindazok a körülmények, melyek az elsődleges áram megsztűnését gyorsítják.

Az üllő és a kalapács között a különáram (696) vaskos szikrái ugranak át; és hogy emez áramnak tartama csökkenjen, arra gondoltak, hogy az elsődleges áram szigetelő folyadékokban, például alkohol vagy terpentinolajban szakíttassék meg; és valóban, eme fogással sikerült az indukált áramkör ütőtávolságát növelni.

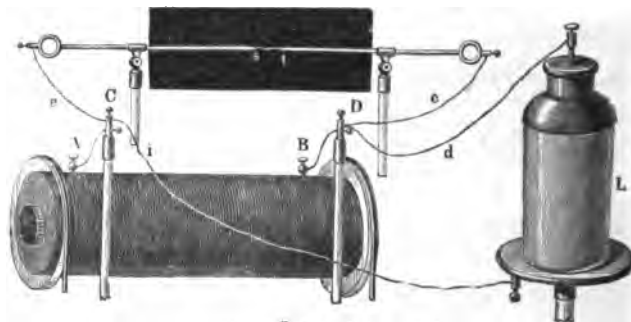


845. ábra. Foucault megszakítója.

Nagyon hatásos a Foucault megszakítója (845. ábra), mely egy egészen külön, 2—3 Daniell-elemmel gerjesztett kicsiny elektromágnessel dolgozik. Az áram Q -n át lép be, átfutja a mágnesező spirálist, ezután az E függélyes rugón és az S platina-csúcson át egy edényke higanyába lép, mely a visszavezető P dróttal van kapcsolatban; ily módon az elektromágnes, legyőzve az E rugó ellenhatású erejét, vonzza az F lágyvashorgonyt, és az FT emeltyű lengéseket végez, melyek annál

gyorsabbak, mentül mélyebben van a C ellensúly (I, 121). Azonban ez az emeltyű T -ben egy második platina-csúccsal is el van látva, mely szintén egy edényke higanyába merül, s ekként időszakosan megszakittatik a *Ruhmkorff*-féle gépet gerjesztő áram, mely N -en át az E rugóba megy s az A' dróton át visszatér a telephez, miután a gép elsődleges tekercsét átfutotta volna. A megszakítások alkoholban történnek, mely az edényké higanyát borítja.

701. A megszakításbeli indukált áram tartama még inkább apad, s ezzel a nyerhető szikrák még hosszabbakká válnak, ha az indukáló tekercs végeit egy sűrítő két fegyverzetével kapcsol-



846. Ábra. Űtőtávolság mérése.

juk össze; mert ezt a sűrítőt a megszakításbeli különáram megtölti, és a midőn kisül, a tekercsbe egy rohamos, a telepével ellenkező áramot szökkent, mely meggyorsítja a vasnyaláb mágnességének megszűnését. Ez a sűrítő sok ónpapiros-lapból áll, melyek paraffinozott papiros-lapokkal váltakoznak és a gép-alapzatába vannak rejtve.

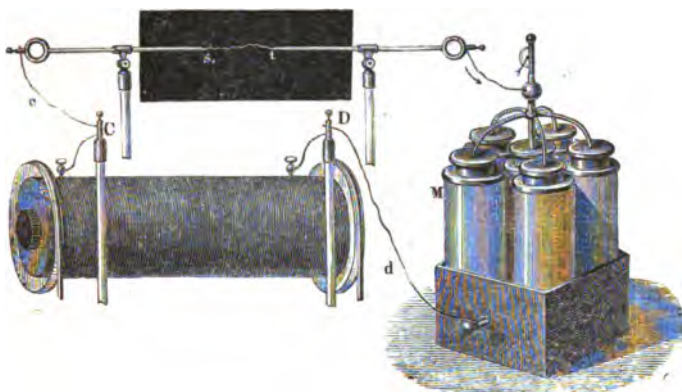
Mindezen javítások segítségével sikerült félméter hosszú kisüléseket létesíteni, melyek élő testen átmenve, bizonyára halálosak volnának. Sőt *SPORTISWOODE* azt állítja, hogy hatalmas tekercsével sikerült 1,08 m. hosszú szikrákat is előállítania.

702. Az indukált áramkör C és D drótszorítóit az c és e vezetők segítségével összekapcsolhatjuk valamely st kisütővel

(846. ábra), hogy kényelmesen megmérhessük az ütőtávolságot; ily módon példával kimutatható, hogy az ilyes nagy potenciál-különbségek esetében az ütőtávolság nagyobb, midőn az s pozitív vég csúcsos, a t negatív vég pedig korong (414).

Ha a C és D csíptetők ezenfelül még valamely L sűrítő fegyverzeteivel közlekednek, látni fogjuk, hogy a szikrák megrovidülnek, de fényesebbekké és csattanósabbakká válnak.

703. Hogy a RUHMKORFF-géppel valamely telepet megtöltsünk, a kísérletet a 847. ábrában előtűntetett módon kell elrendezni, azaz a fegyverzetek egyikével közlekedő áramvezetőkben *st* megszakítást kell hagyni, hogy kizárjuk (700) a zárásbeli



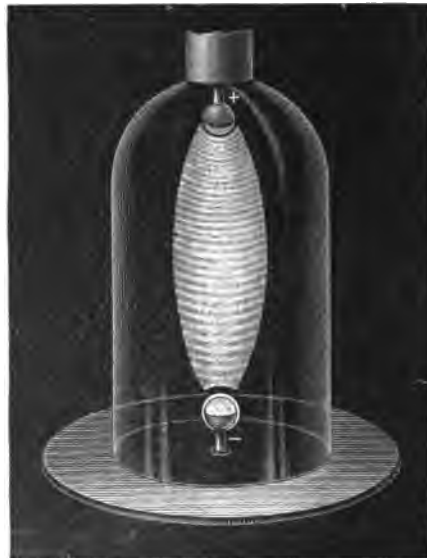
847. ábra. Telep töltése a Ruhmkorff-féle géppel.

áramokat; mert máskülönben a megszakítónak minden egyes lengésekor egyenlő és ellenkező elektromosság-mennyiségek (686) érkeznének a fegyverzetekre és a telep nem töltetné meg.

704. A RUHMKORFF-gép kiválóan alkalmas a ritkított gázokban való kísérletek tanulmányozására. E végből légszivattyú tányérjának közepébe fémgömböt illesztünk, mely az indukált tekercs egyik sarkával közlekedik; a tányért lebo-

ritjuk a hengeres haranggal, mely a tetején másik gömbbel van ellátva; ez a másik sarkkal közlekedik.

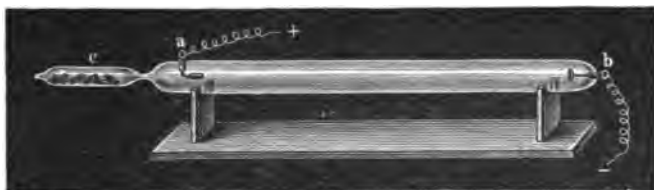
Mérsékelt ritkításkor néhány violaszínű hosszmenti sáv köti össze a két gömböt, melyek az egymást követő sok kisülés-től származnak s a melyek képei a retinán megmaradnak s ennél fogva összeolvadnak. Ha a levegőt tovább szivattyúzzuk, e sávok kiszélesednek és elmosódnak; ezután a harang egészen megtelik csaknem egyenletes csillámlással; végre 2 mm. higany-oszlop nyomásán alul a tűnemény a 848. ábra képét mutatja.



488. ábra. Elektromos szikra a ritkított gázban.

A negatív elektródot lilaszínű fényburok veszi körül; a pozitívtól rétegezett fénynek vörös színű kévéje indul ki; a kétféle fényt sötét köz választja el, mely a ritkítással szélesbedik. miközben a negatív elektródot környező aureola szintén kiszélesbedik. A rétegződés könnyebben képződik, ha a harangba kevés étergőzt, vagy terpentingőzt vezetünk. Azonban eme tűnemények létesítéséhez jó légszivattyú kívántatik, vagy pedig higany-légszivattyúhoz kell folyamodni.

705. A ki ilyennel nem rendelkezik, szerezze meg legalább a 849. ábrában előtűntetett csövet, mely rendkívül tanulságos. E csőnek két elektródja van, *a* és *b*, melyek az üvegbe vannak forrasztva; ezenkívül a *c* csövecskével közlekedik, melyben marókáli van. Midőn a cső a lehető legjobban kiszivattyúztatott, a marókálit melegen tartották, s ezután légmentesen elzárták. A következő lehűléskor a káli még inkább tökéletesíti ezt a szélső ritkítást, mert a visszamaradó vízgőzöket elnyeli. Ezzel a fogással az ekként megritkított levegő ellenállása jóval a minimumon alul (420) van, és ha a csövet, miként a 420. pont-



849. ábra. Crookes-féle cső.

ban tettük, elágazásba kapcsoljuk, a kisülés inkább a szabad levegőn át megy végbe, hacsak a kisütő gömbjei nagyon szét húzva nincsenek.

Ha most a kálit *c*-ben lassacskán hevítjük, parányi vízgőzt bocsát ki, és a cső belsejében fehéres színű gyenge ragyogás mutatkozik, mely a negatív elektródtól indul ki. Ugyanekkor a cső falai az üveg színezete szerint almazöld vagy azúr színben élénken fluoreszkálnak (252). Ha a kálit tovább hevítve, a vízgőz sűrűségét növeljük, a fluoreszkálás gyengül és a pozitív elektródról felhő válik le, melyet egy második, harmadik felhő követ; ekként keletkeznek a rétegek, melyek fokozatosan mind finomabbakká válnak, a minthogy a sötét köz és vele együtt a negatív fény is szűkebbre szorul, míg végre a kisülés bíborszínű szál alakjában megy át.

Ha ezután a kálit hűlni és a vízgőzt ismét elnyelni engedjük, a pozitív fényszál kiszélesbül és rétegeket tüntet elő,

melyek eleintén sűrűn vannak, azután ritkábbakká válnak, s a melyek a káli felé húzódnak, mintha csak az üveg zöld fluoreszkálásától üzetnének erre; ez a fluoreszkálás a másik végen gerjed, folytonosan tovább terjed, és midőn az utolsó pozitív felhőt is elűzte, a cső egész falát beborítja.

706. Itt tehát két jól megkülönböztethető állapot van. A pozitív fény túlnyomó a mérsékelt ritkításokban bizonyos határig, mely a légneműnek maximális vezető képességével (420) látszik összeesni. Ezen túl, egészen a legnagyobb fokú ritkításig, a negatív fény kerekedik felül.

A kisülésnek ez a két formája többféleképen különbözik egymástól. A pozitív fény a cső görbületeit követve, a negatív elektródot keresi, úgy, hogy kacskaringós csöveket készítenek, melyek tartalma mintegy 3 mm. nyomásra van ritkítva, és tüzes vonásokkal virágokat, neveket, stb. mutatnak.

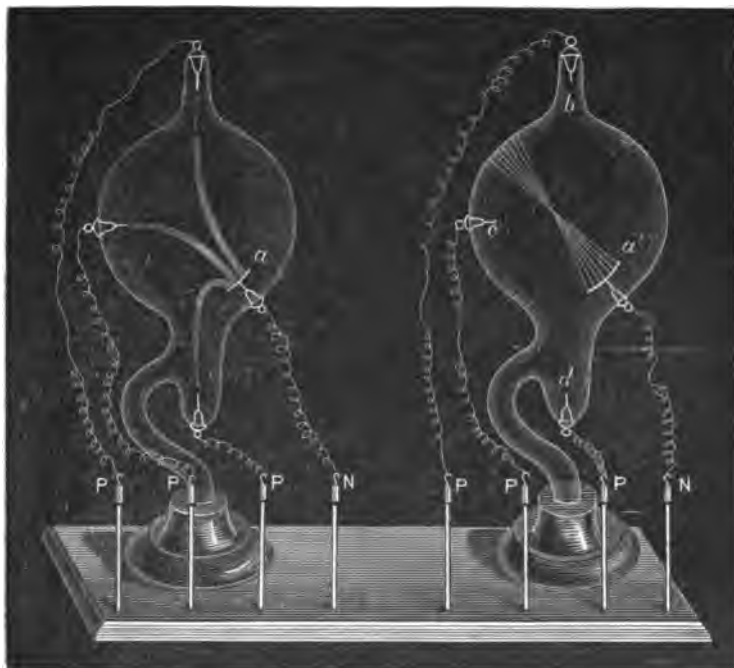
A negatív fény egyenes vonalban, elektródjára merőlegesen megy, a nélkül, hogy a másik elektród hollétével törődnék, és a hol az üvegnek neki megy, fluoreszkálást gerjeszt.

707. Ez a különböző magatartás szembeötlővé válik Crookes csöveiben, melyek közül néhányat le fogunk írni.

Két üveggömb, mindegyikének három túalakú drót elektródja van, *b*, *c* és *d* (850. ábra), melyek a pozitív elektróddal közlekednek, és egy homorú elektródja *a*, mely a negatív elektródhoz van kapcsolva. Az első golyóban a meghagyott nyomás 2 mm-nél nagyobb, a másodikban egy milliimod atmoszférán (0,00076 mm. higanyoszlop) alul van. Az elsőben három ív jelen meg, melyek a pozitív elektródoktól a negatív felé tartanak; a másodikban a homorú elektródtól egyenes vonalú sugarak indulnak ki, melyek az elektród középpontjában kereszteződnek s a szemközt levő falon szép fluoreszkáló foltot idéznek elő.

708. Ha a negatív elektródtól kiinduló sugarak útjokban akadályra találunk, ennek árnyékát a szemközti levő falra vetik, a mi igen csinosan megmutatható a 851. ábrabeli készülékkel, melyben a pozitív elektród gamós kapocscsal ellátott *b* keresztet tart.

■ Midőn a kereszt fel van állítva, árnyéka *cd* éles körvonalak-

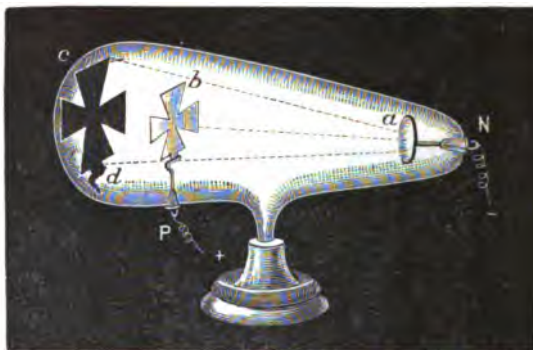


850. ábra. Crookes-féle csövek.

ban tűnik elő az üveg ragyogó alapján. Ha azután lebuktatjuk, az árnyék helyén a gyengébb fényű alapon világos kereszt tűnik elő, mi arról tanúskodik, hogy az üvegnek fénygerjesztő tulajdonsága idővel meggyengül, épen úgy, a mint szemünk retinája elfárad és az ellentétféle képek érzetét kelti fel bennünk (163).

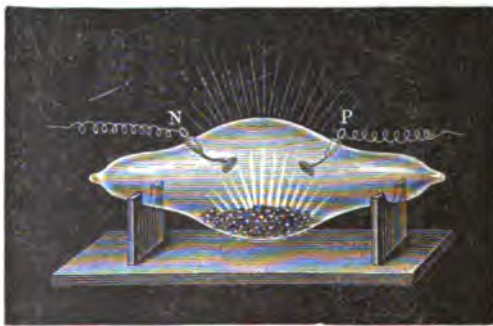
A különböző anyagok foszforeszkálása rendkívüli fényes-

séggel nyilvánul, ha ez anyagokat kiszivattyúzott és elektródokkal felszerelt golyócskába teszszük (852. ábra).



851. ábra Crookes-féle cső.

A kalciumszulfid kékes fényt áraszt, az égetett korall zöldet vagy hússzínűt, a spodumen (aluminium és lítiumszilikát) aranyárgát, a rubin ragyogó vöröset, a gyémánt zöldet stb.



852. ábra. Fluoreszkálás a Crookes-féle csőben.

709. De a negatív elektródról kiinduló sugarak kaloreszkálást (250) is létesítenek: izzóvá tesznek és megolvasztanak egy platina lemezt, melyen összegyülemlenek. A lemez *b*-ben (853. ábra), a negatív sarokkal közlekedő és aluminiumból való

a homorú-tükör középpontjában van; a pozitív sark a gömb tetején lévő P csúcscsal közlekedik.

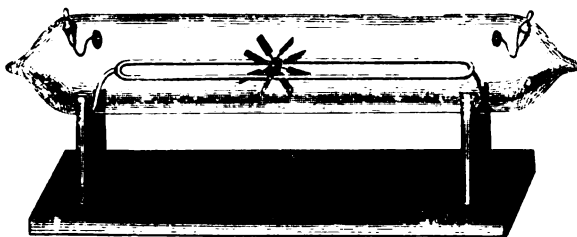
710. Az elektromos energia eme fajának egyéb átalakulásai között ott van a mechanikai munka is. A 854. ábrabeli csőben levő, üvegsínekre tett csillámkerék a kisülés hatására forgásnak indul és a pozitív sark felé gördül.

711. CROOKES úgy vélekedett, hogy eme szép kísérletek, melyek egynémelyike HITTORF-tól származik, úgy tekinthetők, mint a bizonyítékai annak a már FARADAY-tól kifejezett véleménynek, hogy az anyagnak a szilárd, folyós és légnemű halmazállapoton kívül még egy negyedik halmazállapota van.

A légneműeknek elmélete szerint, melyet a XII. és XXIV. fejezetben foglalatosan előterjesztettünk, az egyes molekuláknak



853. ábra. Kaloreszkálás a Crookes-féle csőben.



854. ábra. Csillámkerék forgása a Crookes-féle csőben.

egymásra következő két ütközése közötti szabad mozgása a ritkítással növekszik, és kiszámítható, hogy a légköri nyomás milliomod részénél kisebb nyomás alatt ez a szabad mozgás

néhány ccentiméternyi, tehát a CROOKES-féle csövek méreteihez fogható lehet. Ekkor a különböző légnemű anyagok megkülönböztető tulajdonságai már elmosódnak; a belső surlódás nem marad többé független a nyomástól, hanem ezzel együtt csökken; a molekulák túlnyomó része átfuthatja az edényt egyik végétől a másikig a nélkül, hogy más molekulákba ütköznék: CROOKES szerint így esik meg, hogy a nyert impulzus őket eltaszítja, és midőn az útjukban levő különböző akadályokba ütköznek, foszforeszkálást, hevítést és mechanikai munkát létesítenek, miközben nyert eleven erejüket elvesztik.

CROOKES a képzelt negyedik halmazállapotot **sugárzó anyagnak** nevezi. De csak kevés fizikus fogadta el eszméit, ámbár, az igazat megvallva, nincs bennök semmi, a mi visszatarthatna attól, hogy megkülönböztessük azokat a körülményeket, melyek között a légneműeket rendszerint figyeljük meg, azoktól a körülményektől, melyek között akkor vannak, midőn valamely adott térben jelenlevő molekulák annyira meg vannak ritkítva, hogy jóformán sohasem találkoznak egymással.

712. De vannak, a kik még azt is tagadják, hogy a foszforeszkálást, a hevítést és a mechanikai munkát a légneműek molekuláinak ütközése okozza, s e helyett azt állítják, hogy eme tünetmények azoktól a részecskéktől származnak, melyek az elektródról leszakittatnak s minden irányban szétszóródnak; és ennek bizonyosságául felhozzák, hogy a cső falai idővel tükröző platina-, arany- vagy ezüstréteggel vonódnak be, ha a negatív elektród ezekből a fémekből van, és hogy még az alumínium is, bár a továbbvitelnek észrevehető jeleit nem árulja el, szintén érdessé válik, ha hosszú időn át használjuk negatív elektródnak.

Valószínű, hogy az igazság a középúton jár, de mindekkoráig csak vajmi kevés bizonyosat tudunk a ritkított légneműek fényárasztásának eme ragyogó, változatos és igen bonyolódott tünetményéről.

713. Az elektromosságnak a gázokban való tovaterjedése más módon megy végbe, mint a fémekben és az elektrolitekben való terjedése. A fémekben molekuláról molekulára megy át; az elektrolitekben a molekulákat széthasítja és ezek alkotórészeivel együtt mozog tova; a gázokban az egész molekula viszi magával az elektromosságot.

Az egyszerű vezetés, úgyszintén az elektrolízis révén való terjedés legott megkezdődik, a mint a fém vagy a folyadék két pontja között hacsak a legcsekélyebb potenciál-különbség is van, míg az átvitel révén való terjedés csak akkor kezdődik meg, ha ez a különbség bizonyos határt ért el, mely azon körülmények szerint változik, melyek között a légneműek vannak (419).

714. De bármiként essék is meg a terjedés, az áramot tovaterjesztő anyag mindig ugyanazoknak a mágnesi hatásoknak van alávetve, úgy hogy ha egy elektromágnes sarkai közé mérsékelt ritkítású csövet helyezünk, a fénynyaláb épen úgy mozdul el és változtatja alakját, mintha hajlékony áramvezető volna; úgy helyezkedik el (522), hogy az áram a mágnest gerjesztő árammal párhuzamosan kering benne. A fénynyaláb az 521. pontbeli kísérlet módjára forgó mozgást is vehet fel. E kísérlethez tojásdad üvegedényt veszünk (855. ábra), melynek felekébe vastagfalu, fölül zárt üvegcső van beforrasztva (*H*). Az edény tetején drót-alakú (*n*), lent pedig gyűrűalakú (*m*), a csövet körülövező elektróddal van ellátva: a csőbe lágvas-henger (*H*) nyúlik, mely egy elektromágnesnek sark-



855. ábra. A fénynyaláb forgása.

felületére van téve. Ily módon a vas e felület megnyujtása, és ha a felület északi, a leszálló indukciós kisülések balról jobbra forognak a harang és a megfigyelő között. Valószínű, hogy ez kicsinyben való mása az **északi fény** tünetményének, mely némelyek szerint az elektromosságnak a légkör felsőbb rétegeiben való terjedéséből, és pedig a nagy mágnesként szereplő földnek hatása alatt való terjedéséből áll.

715. Eddigelé feltettük, hogy pozitív fénynyel (**704**) van dolgunk, mely hajlítható, de a végein mozdatatlan fémdrót módjára viseli magát; e végek itt az elektródok volnának. A negatív fény is, mely az igen nagy mértékben megritkított légne műekben túlnyomó (**706**), ugyanazoknak a mágnesi hatásoknak engedelmeskedik, azzal az egy különbséggel, hogy több hajlékony fémdrót módjára viselkedik, mely drótok egyik vége a negatív elektródon kénytelen maradni, másik végük pedig az üvegfal bármely pontjára támaszkodhatik.

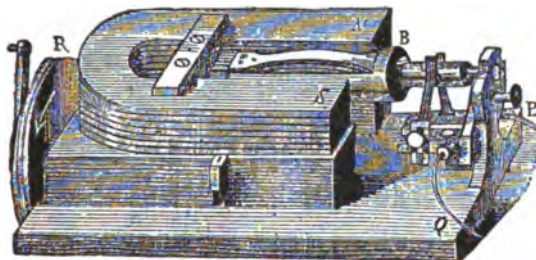
716. Valamely csövön váltakozó kisülések is járhatnak át, mint például abban az esetben, melyben a cső egy jó RUHMKORFF-gép (**700**) áramkörét zárja, a melyben semmi más megszakítás nincs; vagy a midőn nincsenek elektródjai, de végeit az indukált tekercsnek két sarkával közlekedő két stanniol-gyűrű övezi körül; vagy szintén a mikor elektródjai eme sarkokkal közlekedvén; egy üveglap a csövet két szakaszra osztja. Mindegyik esetben, a képeknek a retinán való maradandósága miatt, a világítás folytonosnak látszik, de forgó tükörben legott észrevehető, hogy az orsó különböző kisüléseinek megfelelőleg időszakos; de tükör nélkül is felismerhetők a váltakozva ellenkező jelű kisülések, mert mind a két elektródot körülövezi a nagyon is jellemző negatív fény (**704**). Ha most egy csövet, melyet váltakozó kisülések járnak át, eletromágnes hatásának teszünk ki, fénye két részre oszlik, mely részek a fal két ellenkező pontja felé tartanak. Ily módon felismerhetjük valamely sűrítő osz-

czilláló kisülését (417), ha a sűrítőt csekély ellenállású ívvel zárjuk.

Elhagyjuk, bár nem szívesen, az elektromosságnak a gázokban való terjedését illető vonzó fejezetét, melyre vonatkozólag napról-napra szaporodnak az ügyes és éleselméjű bűvárok sokat ígérő megfigyelései.

717. A mágnes-elektromos gépek általában megfordíthatók. Minden elektromos motor, mely elektromos áram révén munkát végezhet, egyúttal áram fejlesztésére is használható, ha mechanikai energiát viszünk beléje.

Vegyük pl. SIEMENS mótort (673) és tegyük fel, hogy a $P-Q$ (856. ábra) irányban átvezetett áram a kereket a nyíl



856. ábra. Siemens mótora.

irányában forgatja. Kapcsoljuk ki most a telepet s alkalmazzunk a kerékre mechanikai erőt, mely azt ugyanabban az irányban forgatja: a készülék elektromosság gerjesztőjeként, elektromótorként fog hatni, melynek P a pozitív-, Q pedig a negatív sarka (767). Az áramot fémdróttal zárván, az áramok sora fog benne keringeni és pedig valamennyi ugyanegy irány felé.

718. Az elektromos motorokat, midőn áramgerjesztőkül használtatnak, **mágnes-elektromos gépeknek** nevezzük.

Az ilyen gépek berendezése nagyon sokféle. NOBILI több

maradandó mágnes sarkai között ellenkezőleg kapcsolt elektromágnezt lengetett; CLARKE a maradandó mágnes előtt két elektromágnezt indított forgásnak; PIRN ellenben szilárdan tartotta az elektromágnezt s mágneseket forgattatott előtte. Mind-egyik esetben alkalmas összeköttetést hoztak létre a tekercsek végei és az áramvezetők között, úgy hogy ezeket a közelítésbeli és távolodásbeli indukált áramok egyazon irányban fussák át.

719. Nyilvánvaló, hogy a marandó mágnesek helyett telepekkel gerjesztett elektromágnesek voltak használhatók, és ha ez a lépés egyszer már megtétetett, közeljáró volt az a gondolat, hogy az elektromágneseket maga az indukció-fejlesztette áram gerjeszsze. Az indukáló mágnesek vasmagvaiban ugyanis mindig van kevés maradék-mágnesség, mely elegendő, hogy gyenge indukált áramokat ébresztszen; ezek pedig, a mágnesező tekercsekben keringvén, a maradék mágnességet fokozzák, minél fogva a következő áramok már erősebbekké válnak, és a gép a hajtására fordított mechanikai munka fejében maga-magát fokozza.

Itt is, miként a megosztásbeli elektromozó gépek esetében (362), az áram fentartására megkívántató energiát a mechanikai munka szolgáltatja, ellenben a hidroelettromos telepekben a chemiai energia, a hőelektromos telepekben pedig a hő szolgáltatja.

Ez oknál fogva ezek az áramgerjesztőket **dinamo-elettromos gépeknek** nevezték el.

Épen ily jogosan így lehetne nevezni azokat is, melyeknek szerkezetében maradandó mágnesek szerepelnek; de a megkülönböztetés kedvéért szokásos ez utóbbiakat inkább **mágnes-elettromos gépeknek** nevezni.

720. A mechanikai munka fejlesztette áramokat jó ideje használják az elektroterapeutikában, hogy a beteg tagokban létesített rángatásokkal a szervek működését éleszszerék. De ha nem tekintjük azt az itt-ott tett néhány kísérletet, hogy világító

tornyok fényforrásául szolgáljanak, ezelőtt húsz évvel még korántsem volt nyilvánvaló az iparban való alkalmazhatóságuk, és pedig a csak valamennyire is hatásos mágnes-elektromos gépek túlságos súlya és tetemes költsége miatt.

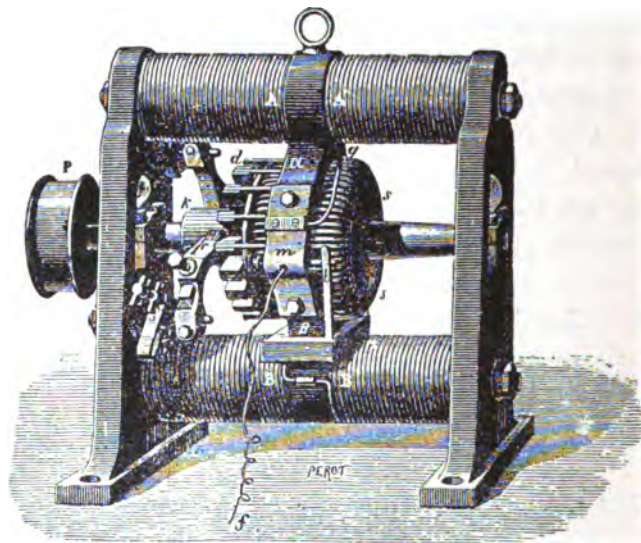
Elvitázhatatlan érdeme GRAMME-nak, hogy az elektromosság alkalmazásainak megadta ezt az impulzust, melynek révén jelenleg az ipar teljes átalakulásának korát éljük. Tény az, hogy GRAMME, akár ismerte a PACINOTTI-től 1863-ban leírt gyűrűt, akár nem, felismerte emez elmés készüléknek egész fontosságát, és hatalmas és fejlődésre képes gépet tudott belőle csinálni, míg PACINOTTI, ki szintén felismerte működésének minden részletét, kezdetleges állapotában hagyta.

GRAMME után százával termettek a gépek új meg új mintáinak szerkesztői; nagy sokasága fogamzott meg az eszméknek, hogy miként lehetne felhasználni eme gépeket úgy a világításra, mint a galvanoplasztikára, metallurgiára, telegrafiára, kocsik és hajók mozgatására, az energiának távolságokra való átvitelére.

721. A GRAMME-féle gép egy mintáját a 857. ábra tünteti elő. Ez 2—3 lóerőt (I, 99) kíván meg, és midőn gyűrűje perczenként 920-at fordul, 1200 CARCEL (19) erősségű fényt adhat, Ellenállása 0,36 *ohm*, s elektromindító ereje, perczenkénti 1200 fordulat esetében 66 *volt*. Előbb leírjuk s azután adunk számot működése módjáról.

Az indukáló rendszer két elektromágnesből, AB és $A'B'$ -ből áll, a melyekre a drótok akként vannak körületekerve, hogy két egynevű sark, A és A' úgyszintén B és B' , egymással szemközt legyen. A szemközt levő sarkoknak az α és β lágyvas-nyújtványai vannak, melyek a nélkül, hogy egymással érintkeznének, a PACINOTTI-féle gyűrűt körül fogják. Ennek tekervényei ugyanannyi egymástól elszigetelt lemezzel vannak összekötve, s e lemezek a k hengert alkotják, melyre a két áramgyűjtő seprő, vagyis a gépnek két sarka szorul. Az egyiket c -ben látjuk, a másik a k hengeren túl van.

A gyűrűt gépszij forgatja, mely gőzgépről, hidraulikus kerékről, vagy bármely más mechanikai motorról a *P* szijdobra van vetve; az *AB* és *A'B'*-ben levő maradék-mágnesesség indukált áramokat gerjeszt a gyűrűben, melyeket a két seprő



857. ábra. Gramm-féle gép.

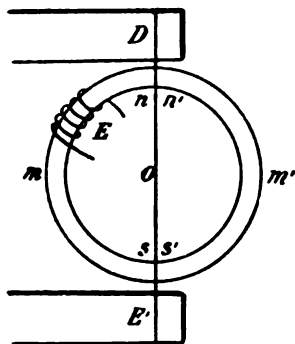
összegyűjt és folytonos áramot alkot. Ez a *c* és *f* közé iktatott tetszés szerinti vezetőt átfutva, a *g* dróton és az *A'*, *B'*, *B*, *A* spirálisokon át a másik, az ábrában nem látható seprőhöz tér vissza.

722. Hogy a folytonos áram keletkezését megértsük, tekintsük az *mm'* lágyvas gyűrűt (858. ábra), mely egy mágnesnek *É* és *D* sarkai között van. E gyűrű megosztás útján van mágnesezve, úgy hogy két félkör alakú *nms* és *n'm's'* mágnest alkot, melyeknek egynevéű sarkai szemközt vannak, semleges övei pedig *m* és *m'*-ben vannak. Az AMPÈRE-féle áramok (534) tehát a jobb- és a baloldali félben ellenkező irányban keringenek,

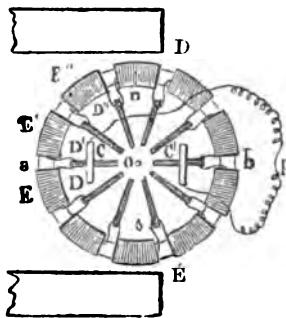
úgy hogy az E kicsiny spirálisban, mely a gyűrű mentén csúszik, a közeledésbeli áram, m -től n -be, megegyező a távolodásbeli árammal n' -ből m' -be, s ennél fogva ellenkező a közeledésbeli árammal m' -ből s' -be, úgyszintén a távolodásbelivel s -től m -be.

Valóban, ha a spirálist egy galvanométerrel zárjuk, annyi áramfordulást mutathatunk ki, a hányszor az m és m' semleges öveken átmegyünk.

Nilvánvaló, hogy ugyanez a dolog esik meg, ha az E spirális a gyűrűre van erősítve, s ez a spirálist magával viven, O középpontja körül forog, mert az nn' és ss' indukált sarkok a térben vesztve maradnak.

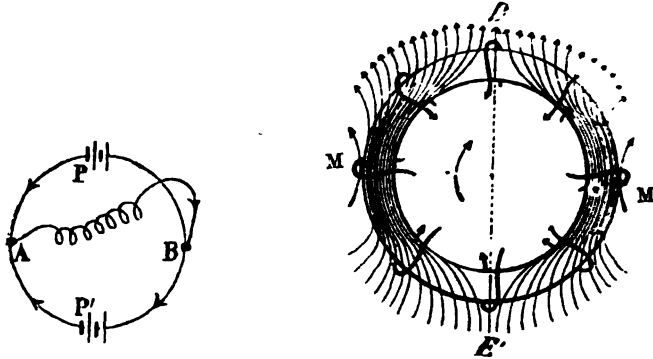


858. ábra. A folytonos áram keletkezése.



859. ábra. A felszerelt gyűrű.

Ezt megértve, lássuk a 859. ábrát; ebben az egész gyűrű fel van szerelve az egyes tekercsekbe foglalt spirálisaival, melyek nyulványai a C és C' seprőket érintik, midőn a semleges övbe kerülnek. A seprők p drót révén egymással közlekednek. Midőn a gyűrű forog, az elektromindító erők, melyek valamennyi felső tekervényben indukáltatnak, egymással megegyezők, és ellenkezők az alsó tekervényekben indukáltakal, úgy hogy a rendszer egyenértékű két nagylapúlagnak (582) összekapcsolt P és P' teleppel (860. ábra).



860. ábra. Nagylapulag összekapcsolt telep. 861. ábra. A jég térfogati változása.

723. Minthogy a vastömeg belsejében is indíthatnak áramok, s a belőlük keletkező hő a mozgató munka rovására tisztán kárba vész: arra törekedtek, hogy ezek az áramok ne keringhessenek, mit a többi között úgy értek el, hogy a gyűrűt lakkozott vasdrótok kötegéből állították elő. Eme fogás ellenére is a mágnesi hiszterézis miatt a gép működése közben mindenkor energia szétszóródásával jár.

A következőkben nem fogjuk figyelembe venni ezt az energia-veszteséget, s ezzel fel fogjuk tenni, hogy az a munka, mely a géppel zárt áramkör esetében állandó sebesség fentartása végett közlendő, nyílt áramkör esetében megkívántató munkát épen csak annyival múlja felül, mint a mennyi a gyűrű és a mágnes közötti mágnesi hatások leküzdésére megkívántatik, és hogy ez ennél fogva az áramkörben, JOULE törvénye szerint egészen hővé alakul át.

Ha W -vel jelöljük eme munkatöbbletet időegységenként, R -rel pedig az áramkör összes ellenállását, úgy az i átlagos intenzitást a következő képletből kapjuk:

$$Ri^2 = W.$$

és ha figyelembe vesszük, hogy ez még így is írható:

$$Ri = \frac{W}{i}, \quad (1)$$

észreveszszük, hogy Ri , vagyis az átlagos elektromindító erő **(614)** ez esetben is egyenlő azzal a munkával, mely az elektromosság egységének az áramkörön való átvitelére megkívántatik.

Az elektromindító erő másrészt még a mágnes-elektromos indukció törvényeiből is levezethető, és pedig a következő okoskodással:

Az indukáló mágnes sarki felületeiből kiáramló erő-áramlás két egyenlő részre oszolva \mathcal{N} indukció-áramlás **(551)** alakjában, majdnem teljesen a gyűrű belsején vonul át (861. ábra); már most mialatt valamely drót-kör az M semleges övből, hol is az erő-áramlás $\frac{1}{2} \mathcal{N}$, a másik m' semleges övbe, hol $-\frac{1}{2} \mathcal{N}$ áramlást talál, átvitetik, az eközben rajta átvonult erő-áramlásnak változása \mathcal{N} . Jelezván τ -val egy teljes keringés idejét, a szóban levő erő-áramlás változásának átlagos sebessége, s ennek következtében a spirális menetében gerjesztett elektromindító erőnek átlagos értéke **(693)**, $\mathcal{N} : \frac{\tau}{2}$; minthogy pedig a félgyűrűt körülvevő $\frac{\nu}{2}$ számú menet egymásután — lánczolatosan — van kapcsolva, az egész elektromindító erő

$$\epsilon = \frac{\nu \mathcal{N}}{\tau} C. G. S. = \nu N \mathcal{N} . 10^{-8} \text{ volt}, \quad (2)$$

ha N a fordulatok másodpercenkénti számát jelenti, mire nézve elég az **575. c)** pontjában foglaltakra utalnunk.

Az áram átlagos intenzitása

$$i = 10^{-8} \frac{\nu N \mathcal{N}}{R} \text{ ampère}, \quad (3)$$

ha R ohmokban van kifejezve.

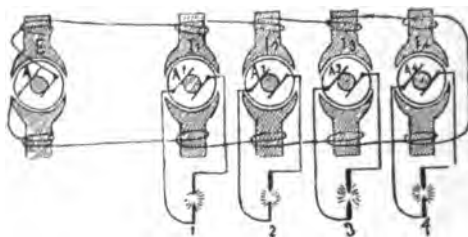
Eszerint a gépbe szállítandó energiának másodpercenkénti mennyisége, ha i intenzitású áram kívántatik, az (1) képlet szerint

$$W = \epsilon i = 10^{-8} \nu N \mathcal{N} \text{ watt}. \quad (4)$$

724. Látjuk ezekből a képletekből, hogy ha a gyűrűn áthaloló \mathcal{C} indukció-áramlás állandó lenne, elegendő volna N sebességet állandó fokon tartani, hogy az elektromotor mindenben állandó galvántelephez hasonlóan viselkedjék.

Ha azután a sebességet megváltoztatnók, úgy az áram i intenzitása, mint az elektromindító erő s az adott intenzitás elérésére megkívántató W hatások vele arányosan változnék, miként az (1), (2) és (3) képletekből kiviláglik.

Ezek a föltételek közelítőleg igazoltak a mágneselektromos gépeknél (**719**), melyek mágnesi terét állandó mágnesek létesítik, valamint a független gerjesztésű gépeknél is, a melyek-



862. ábra. Gerjesztő gép.

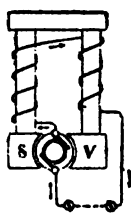
ben t. i. a teret létrehozó mágnesek telepek, akkumulátorok vagy külön kis dinamógépek áramával gerjesztetnek; a legutóbb említett gerjesztési mód a 862. ábrában van feltüntetve, hol E a többi dinamók elektromágneseit gerjeszti, s ez okból **gerjesztő** (excitator) gépnek is nevezik.

Ha ellenben **öngerjesztésű dinamo gépről** van szó, vagyis olyanról, melynek eletromágneseit a gyűrűben keringő áram gerjeszti, a milyen épen a **721.** pontban leírt GRAMME-féle gép, az ilyenben a tér intenzitása \mathcal{C} s vele együtt \mathcal{C} erő-áramlás nem állandók, hanem a mágnesező áram i intenzitásával növekedik; minthogy pedig ez utóbbi a vezeték ellenállásától függ, azonnal belátható, hogy az ilyen gép viselkedése alaposan különbözik a telepekéétől.

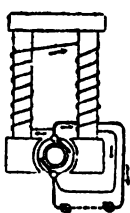
Az elektromindító erő tehát nem egyszerűen arányos a

sebességgel, hanem erősebb arányban növekszik, melyet az a törvény határoz meg, a melyik szerint a \mathcal{H} mágnesi tér a mágnesező árammal változik. Tudjuk (542), hogy \mathcal{H} nem növekszik határtalanul i -vel, hanem a mágnesi telítésnek megfelelő maximális érték felé törekszik, miért is i -nek csakis ezen a határon túl fekvő értékeire nézve viselkednék a dinamó-elektromos gép egészen úgy, mint egy mágnes-elektromos gép, vagy pedig mint egy telep. Az innen fekvő értékekre nézve a dinamó-elektromos gép magatartása más; mert a külső ellenállásnak mindennemű növekedése azonkívül, hogy az áramot gyengíti, miként egy telep esetében is történnék, ezzel együtt az indukció \mathcal{E} áramlását, tehát az elektromindító erőt is csökkenti, miként a (2) alatti képletből kitűnik.

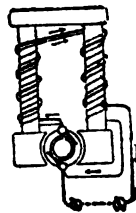
Ez a dolog állása a főáramú gerjesztés esetében, mely a 863. ábrában van előtűntetve; az ilyen gépben a teret létesítő



863. ábra.
Főáramú gerjesztés.



864. ábra.
Elágazó gerjesztés.



865. ábra.
Vegyes gerjesztés.

elektromágnesek tekercsei a gyűrű után vannak kapcsolva, úgy, hogy a géptől létre hozott egész áram megy át rajtuk. Jegyezzük meg, hogy a gyűrűt, vagyis a gerjesztő mágnes sarkai között forgó, rézdrótokkal borított vasszerkezetet — könnyen érthető okból — horgonynak, vagy fegyverzetnek nevezik.

Az elágazó gerjesztés, mely a 864. ábrában látható, abban áll, hogy a horgony tekercseiben indukált áram kétfelé ágazik: egyik rész a vezetébe áramlik a külső használatra, a másik pedig az elektromágnes tekercsein megy át s létrehozza a mágnesező teret. Ha a vezeték ellentállása növekedik, növe-

kedik a mágnesező áram s vele együtt az indukált elektrom-indító erő is.

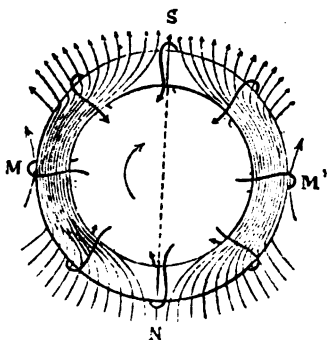
Könnyen megérthető, hogy a gerjesztés eme két módjának czélszerű egyesítésével többé-kevésbbé tökéletes kiegyenlítés érhető el. A gerjesztő mágnes két külön tekercscsel van bevonva; az egyik, kis ellenállású a külső vezetékbe van bekapcsolva, a másik nagy ellenállású, a főáram elágazását veszi fel, a mint a 865. ábrában jól látható. Ez a két tekercs oly arány szerint készíthető, hogy egy adott forgássebességtől kezdve az elektrom-indító erő a külső vezeték ellenállásától jóformán teljesen független marad. Az ilyen dinamogépet **vegyes gerjesztésűnek** mondják, vagy pedig angol műszóval élve *compound gépnek*.

725. Ámde 96 áramlásnak függetlensége a külső vezetékbeli ellenállástól sohasem teljes, még a független gerjesztésű gépek esetében sem; ennek oka az **indukált horgony visszahatásában** rejlik, a melyet most kifejtetni kívánunk.

A 866. ábrában előtüntetett erő-áramlásnak maximuma a gyűrűnek a mágnesi tér irányára merőleges két metszetében M és M' -ben van; az ezen tájon áthaladó tekercseken az erő-áramlás jóformán a maga teljességében, minden változás nélkül hatol át s azért is a bennök indukált elektromindító erő zérus (**693**); legnagyobb az erő-áramlás változása s vele együtt az indított elektromótoros erő is az $M-M'$ -re merőleges NS átmérőn áthaladó tekercsekben. Mindez a független gerjesztésű gépen igazolható, ha fegyverzete nyílt áramvezetékben forog, azért, mert ez esetben a gyűrű egyik felében indukált elektromindító erők épen egyenlők és ellentettek a másik félben indukáltakkal s ennél fogva a tekercsekben áramok nem keringhetnek s nem mágnesezhetik a gyűrűt.

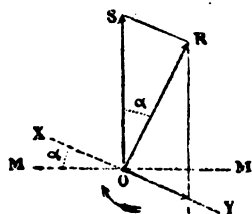
Ha ellenben a C és C' seprűk p fémdrót révén (**722.** pont 859. ábra) vezetőleg közlekednek, az indított áram mágnesező ereje a gyűrűben két teljes mágnest gerjeszt, melyek sarkaikkal az elágazó a és b pontokban épen szemben állanak egymással, a mint már különben a **674.** pontban megállapítottuk volt. Az

ennek a mágnesezésnek megfelelő erő-áramlás ezekben rohamosan változik, mert hiszen épen ezen pontokban változtatja előjelét. Ennek aztán az a következménye, hogy a szomszédos ED és $E'D'$ tekercsekben egymástól jelentékenyen különböző elektromindító erők indukáltak, s az erős indukció miatt a seprűk s a kollektor megfelelő lemezei között erős szikrák támadnak. A szikrák, melyek a kollektort veszélyeztetik, akként kerülhetők ki, ha a seprőket a forgás irányában kis szöggel eltoljuk, és pedig abba a helyzetbe, a hol az indukált s az indukáló erő-áramlás eredőjének minimuma van.



866. ábra.

Az indukált horgony visszahatásának értelmezése.



867. ábra.

A seprűk ezen helyzetén átmenő XY átmérő, mely az OS -sel arányos indukáló mágnesi tér, MM' semleges vonalával α szöget zár be, mindenkor az OI indukált tér irányába esik, mert hiszen ebben az irányban vannak az áramvezető seprők és merőleges lesz az OR eredő tér irányára, minthogy az áramlás változásának a minimuma épen ide esik; ennél fogva kell, hogy álljon:

$$OR = OS \cdot \cos \alpha.$$

Látjuk tehát, hogy az eredő tér intenzitása mindenkor kisebb, mint az indukálóé s ép ezt a csökkentést szokás az indukált visszahatásának nevezni. Minthogy ez a gépnek

hatásfokát leszállítja, czélszerű azt kisebbiteni, és pedig oly módon, hogy az indukáló tér intenzitását jóval nagyobbá tesszük az indukált tértől elérhető maximumnál.

726. Hogy valamely dinamogép elektromindító erejét előre megállapíthassuk, a **723.** pont (2) képletében előforduló, a gyűrűn áthaloló \mathcal{C} áramlás értékét kell ismernünk. Ennek meghatározása czéljából az elektromos áramkörhöz hasonlítható **mágnesi áramkört** fogunk kifejteni, arra törekedvén, hogy ez utóbbira az OHM-féle törvényhez hasonló kifejezést találjunk.

E végből képzeljünk el egy A keresztmetszetű vasgyűrűt, melyre i áramot szállító rézdrót n sik menete van feltekerve; alkalmazván az **538.** pontbeli okoskodást, arra az eredményre jutunk, hogy mialatt a sark egysége a gyűrű l hosszára elosztott menetek belsején áthalad, a \mathcal{H} mágnesi erő munkája

$$\mathcal{H}l = 4\pi ni \text{ C. G. S. ;}$$

de az **551.** pont (10) képlete szerint

$$\mathcal{H} = \frac{\mathcal{B}}{\mu} = \frac{\mathcal{C}}{\mu A},$$

a miből a következő képletre jutunk :

$$4\pi ni = \mathcal{C} \frac{l}{\mu A}. \quad (1)$$

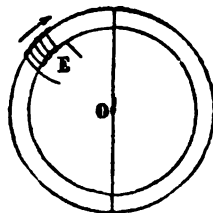
Már most az OHM-féle törvény azt mondja, hogy az elektromindító erő az elektromos áram az ellenállás szorozmányával egyenlő; ha kifejezésünkben az egyenlet baloldalát *magnetomotoros* v. *mágnesindító erőnek* nevezzük, azonnal szembeötlik, hogy ez az indukció \mathcal{C} áramlásának egy másik mennyiséggel, t. i.

$$\mathcal{P} = \frac{l}{\mu A} \quad (2)$$

viszonynyal való szorzatával egyenlő, mely utóbbi mennyiség a mágnesi áramkör *mágnesi ellenállásának* nevezhető. Ez épen úgy, mint az elektromos ellenállás, az áramkör hosszával arányos és fordítva arányos a keresztmetszettel. A μ együttható

pedig, melyet mágnesi permeabilitásnak neveztünk volt el (551), az elektromos vezetőképességgel hasonlítható össze, azonban azzal a lényeges megkülönböztetéssel, hogy míg az elektromos vezetőképesség az elektromindító erőtől független, a permeabilitás a mágnesindító erővel változik.

Ha a gyűrű csak részben van mágnesező menetekkel borítva, itt-ott egy-egy erővonal kilép az E tekercsből a levegőbe (868. ábra); de olyan kevés, hogy a mágneserő áramlása a gyűrűben állandónak vehető s az (1) képlet ez esetben is alkalmazható.



868. ábra. Részben mágnesező menetekkel borított gyűrű.

Ezek a fejtegetések bármily alakú mágnesi körökre is alkalmazhatók, megjegyezvén azonban, hogy ezekre nézve a KIRCHHOFF képletei (578) is érvényesek, vagyis hogy elágazó pontban a mágnesi áramlások összege zérus, és hogy

$$\mathcal{R}_1 = \frac{l_1}{\mu_1 A_1}, \quad \mathcal{R}_2 = \frac{l_2}{\mu_2 A_2}, \quad \mathcal{R}_3 = \frac{l_3}{\mu_3 A_3},$$

mágnesi ellenállású elágazásokra nézve, ha $\mathcal{R}_1, \mathcal{R}_2, \mathcal{R}_3, \dots$ áramlások hatolnak át rajtuk, állanak a következő képletek:

$$4\pi ni = \mathcal{R}_1 \mathcal{I}_1 + \mathcal{R}_2 \mathcal{I}_2 + \mathcal{R}_3 \mathcal{I}_3 + \dots \text{ C. G. S. } \quad (3)$$

727. A dinamo-elektromos gép e szerint úgy tekinthető, mint két zárt áramkör kapcsolata, melyek mindegyikén egymástól különböző áramlás vonul át: a mágnesi indukció áramlása s az elektromosság áramlása, mely nem egyéb, mint az elektromos áram; a köztük fenálló kapcsolatot az (1) képlet fejezi ki.

A mágnesi kört a következő részek alkotják: a gerjesztő elektromágnesek vasmagvai az őket összekapcsoló vasrúddal, a vasmagvak sarki nyúlványai, az indukált fegyverzetben rejlő vasgyűrű, végre pedig a sarkfelületek s a vasgyűrű között levő

hézag, melynek permeabilitása, minthogy levegővel és rézzel van kitöltve, az egységgel egyenlő. Az indukció áramlásának nincsen ugyan teljesen egyező értéke mindezen részekben, a mennyiben egy része a levegőben árad szét ott, a hol a mágnesező tekercsek végződnek s még több a gyengén mágneses anyagokat magába foglaló térben. Ámde közelítőleg elfogadhatjuk, hogy értéke az indukáló mágnesek minden részében \mathcal{H} -nel egyenlő, s hogy az armatúrán áthatoló hasznosított \mathcal{H} áramlás, a mely a dinamo elektromindító erejét megszabja, az \mathcal{H}' áramlásnak állandó törtrésze, noha a valóságban az áram intenzitásától függ (725). Azért is, ha k az egységnél nagyobb számot jelent.

$$\mathcal{H}' = k\mathcal{H}.$$

k értéke a ballisztikus galvanométer segítségével meghatározható; a galvanométer áramkörébe kapcsolt réz drótkörrel előbb az induktor vasmagvát, azután a fegyverzet vasgyűrűjét fogjuk körül: a dinamo elektromos áram körében zárt vagy megszakított áram okozta kitérések viszonya megadja a keresett viszonyszámot.

Továbbá fölvehető, hogy az egységnyi permeabilitásu hézagon szintén ugyanazon \mathcal{H} áramlás hatol át. A többi részek keresztmetszetei, úgy szintén hosszai közvetlenül méretnek meg, permeabilitásuk úgy határozandó meg, a hogy a 695. pontban megmutattuk.

Ezen adatok segítségével megállapíthatnak az áram különböző intenzitásainak megfelelőleg a gyűrű, a gerjesztő elektromágnes s a hézag mágnesi ellenállásai, melyek \mathcal{R} , \mathcal{R}' és \mathcal{R}'' betűkkel jelöltessenek; ezek most a (3) képletben kifejezett összefüggésnek kielégítő mértékben megfelelnek s így a gép elektromótoros erejét meghatározó áramlás értéke a következő:

$$\mathcal{H} = \frac{4\pi ni}{\mathcal{R} + \frac{\mathcal{R}'}{k} + \mathcal{R}''} \text{ C. G. S.} \quad (4)$$

Ámde szem előtt kell tartani, hogy ez az áramlás a maradék-mágnesség miatt nem enyészik el teljesen, ha i zérussá lett:

másrészt pedig azt, hogy az indukált armatúra visszahatása (725) miatt a valóságban kisebb értékű és pedig annál kisebb, mennél nagyobb a fegyverzetben keringő áram intenzitása.

Ha i ampèrekben van kifejezve, a jobb oldal 10-zel osztandó s így a (2) képlet szerint az elért elektromindító erő

$$\varepsilon = \frac{4\pi n i N}{\varepsilon R + \varepsilon R'' + k \varepsilon R'} \cdot 10^{-9} \text{ volt.} \quad (5)$$

Ennek a képletnek grafikai előtűntetése a **dinamo jellemző görbéje**, vagy **karakterisztikája** nevét viseli. Az intenzitás i értékeit legtöbbször az abscissákkal, az ε értékeit pedig az ordinátákkal szokták ábrázolni s igen czélszerű, ha ugyanaz a hossz jelent *egy ampèret* és *egy voltot*. Ez a közelítő jellemző görbe előre elkészíthető, miután a képletbe jövő különböző értékeket az épen most mondott módon megjelöltük, s ekkor a gép-szerkesztőt a dinamogép tervezésében vezetheti.

De gyakrabban szokták már kész dinamogépek jellemző görbéit tapasztalati úton megszerkeszteni. E végből elektrométerrel, vagy voltaméterrel megméri a dinamo drótszorítói között a P potenciálkülönbséget, az u. n. *sarkfeszültséget*, és pedig a külső áram különböző I intenzitásainak megfelelőleg a mit akként érnek el, hogy a vezeték R ellenállását változtatják.

728. Ha ρ , r és R a fegyverzet, a mágnesező tekercsek s a külső áramvezeték ellenállásait jelentik, a folytatólagos kapcsolású dinamo (863. ábra) esetében állanak a következő kifejezések:

$$I = i \quad (1a)$$

$$\varepsilon = I(\rho + r + R) \quad (2a)$$

$$P = IR = \varepsilon - I(\rho + r). \quad (3a)$$

A mellékzárlatú gép esetében (864. ábra) jegyezzük meg mindenekelőtt, hogy az áramszedő seprűkből jövő áram intenzitása $j = I + i$, mely áram a két vezeték részben R és r ellenállást talál, s azért az összes ellenállás (580)

$$\rho + \frac{rR}{r+R}$$

s minthogy

$$I = \frac{r}{R} i, \quad (1b)$$

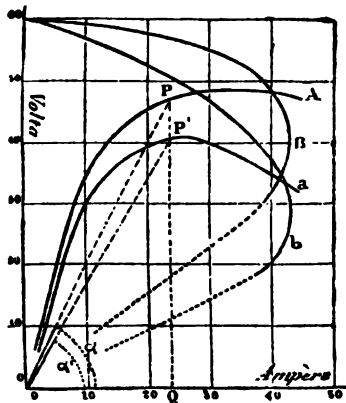
a gép elektromindító ereje

$$\varepsilon = (I + i) \left(\rho + \frac{rR}{r+R} \right) = IR\rho \left(\frac{1}{\rho} + \frac{1}{r} + \frac{1}{R} \right), \quad (2b)$$

a sarkfeszültség pedig

$$P = IR = \varepsilon - IR\rho \left(\frac{1}{r} + \frac{1}{R} \right). \quad (3b)$$

Idézzük most példaképen a 869. ábrabeli négy görbét, melyek abszcissái a külső I áramintenzitást adják meg; azonfelül jegyezzük még meg, hogy A és B görbék ordinátái az ε elektrom-



869. ábra. A dinamo jellemző görbéje.

indító erőt jelentik s azért *teljes karakterisztikáknak* neveztetnek, ellenben a és b ordinátái a sarkfeszültséggel egyenlők, s ez okból *külső karakterisztika* a nevök. A és a a főárammal gerjesztett gépre, B és b pedig mellékzárlatu gépre vonatkozik.

A főárammal gerjesztett gép karakterisztikái, a maradék mágnesség miatt, valamivel a zérus pont fölött veszik kezdető-

ket s menetök eleintén egyenes, minthogy az indukció áramlása majdnem arányos a mágnesező áram i intenzitásával; azután, a maximális elektromindító erőnek mintegy $\frac{2}{3}$ -án kanyarodnak, az abszcissák tengelyével közel párhuzamos irányt vesznek fel, végül pedig lebocsátkoznak.

A karakterisztikának illetén esését, mely a különböző gépeknél kisebb vagy nagyobb, az indukált horgony reakciójának és az áramszedőknek adandó szögmenti eltolásnak (725) tulajdonították.

Az áramkör ellenállása, mely egy adott elektromindító erőnek felel meg s melyet a teljes karakterisztika P pontjával kívánunk jelezni, könnyen megkapható, ha OP és PQ egyeneseket meghuzzuk, a mennyiben azonnal világos, hogy ez az ellenállás

$$\varepsilon : I = \overline{PQ} : \overline{OQ} = \operatorname{tg} \alpha.$$

A vezeték ellenállása hasonlóan kapható a külső karakterisztikából, és pedig:

$$R = P : I = \overline{P'Q} : \overline{OQ} = \operatorname{tg} \alpha'.$$

Nagyobbítván az ellenállást, s vele együtt $\operatorname{tg} \alpha$ -t, I áramintenzitás kisebbedik s a P pont a görbén mozogván, a kezdet felé közeledik, míg OP a görbe érintőjévé nem válik: ekkor az ellenállás legkisebb változása az elektromindító erő igen nagy változását vonja maga után.

Látható tehát, hogy a gép jó járása, különösen akkor, ha pl. egymásután kapcsolt ívlámpákat táplál, megkívánja, hogy a gép a görbe forduló pontjának, vagy még jobb, a maximum felé közeledő pontok valamelyikének megfelelő működésben tartassék.

A mellékzárlatulag gerjesztett gépek karakterisztikái, B és b az ordináták tengelyének ama pontjából indulnak ki, mely a külső vezeték megszakításának felel meg (ez a pont a nem zárt gép sarkfeszültségét adja); a görbék mutatják, hogy az elektromindító erő, ha az ellenállás kisebbedik, mint pl. akkor, mikor egymás mellé kapcsolt izzólámpákat gyújt ki a gép,

eleintén lassan, később valamivel rohamosabban kisebbedik: később a görbék kanyarodnak s a kezdő pont felé kezdenek tartani, akkor t. i., a mikor a külső vezeték ellenállása kicsiny ellenállású, s e miatt az áramszedőkből jövő áram jóformán egészen rajta halad át s az indukáló elektromágnesek mágnes-sége gyengévé válik.

Ezek a görbék, épen úgy mint az előbbiek, megadják az egyes pontoknak megfelelő ellenállásokat s megmutatják azt is, hogy a mellékzárlatu gép működése a karakterisztikának csakis első, a lefelé való kanyarodást megelőző részén lehet állandó.

729. A dinamogépben fölemésztett W_m mechanikai energiának egy része a surlódás, a levegő ellenállása, a gép fémtömegében indított önmagukba visszatérő áramok — elősdi áramoknak hívják! — és a mágnesi hiszterézis révén kárba vész: egy másik része, W_e a vezetők mentén elektromos energiává alakul át; ámde ebből is elvész valami, a mennyiben a fegyverzet s a mágnesező tekercsek spirálisaiiban hővé alakul át. E szerint a rendelkezésre még fenmaradó energia

$$W_u = PI$$

A dinamogép ipari hatásfokát $W_u : W_m$ méri, vagyis a rendelkezésre álló energiának viszonya a mechanikai energiához, mely kedvező esetekben 80—90%-ot tesz.

Elektromos hatásfok nevét a $W_u : W_e$ viszony, vagyis a rendelkezésre álló elektromos energiának a teljes elektromos energiához való viszonya kapta. A főáramgép esetében ez $P : \epsilon$, a mellékzárlatura pedig $PI : \epsilon j = PI : \epsilon (I + i)$, mely 96%-ra emelkedhetik.

730. A 675. pontban láttuk, hogy e gépek, legalább ez idő szerint, nem alkalmasak arra, hogy telepek áramával táplálva, mechanikai munkát végezzenek. Most egy példával fogjunk megmutatni, hogy mily haszonnal jár az ellenkező eljárás, azaz mechanikai munkát közölni velök, hogy ennek fejében áramot nyerjünk.

Hasonlítsuk össze a GRAMME-gépet a BUNSEN-teleppel, tehát a legerősebb teleppel. Legyen a gép belső ellenállása $\rho + r = 0,35$ ohm és perczenkénti 1200 forgásnak megfelelő elektromindító ereje $\varepsilon = 66$ volt; egy nagy BUNSEN-elem állandói pedig egyre-másra $\rho_1 = 0,07$ ohm és $\varepsilon_1 = 2$ volt. Lássuk, hogy hány ilyen elemre van szükségünk, ha olyan telepet össze akarunk állítani, melynek állandói megegyeznek a felvett GRAMME-gép állandóival; mert ez esetben akár az egyik, akár a másik áramgerjesztőt zárjuk egyazon vezetővel, az áramnak ugyanaz lesz az intenzitása és a vezetőben ugyanaz az energia fog fejlődni, a mint hogy ugyanaz az energia kívánatik meg ahhoz is, hogy a két készüléket egyenlő időn át működtessük.

Legyen az alkalmazandó elemek összes száma $n = pq$; lánczolatosan p csoportot kell összekötnünk, mely csoportok mindegyike q nagylapúlap kapcsolt elemből áll (584). Az ekként összeállított telep elektromindító ereje $p\varepsilon_1$ és mivel a feltétel szerint

$$p\varepsilon_1 = \varepsilon,$$

így:

$$p = \frac{\varepsilon}{\varepsilon_1} = \frac{66}{2} = 33;$$

a telep ellenállása pedig $\frac{p\rho_1}{q}$, s kell hogy

$$\frac{p\rho_1}{q} = \rho + r$$

legyen; innét

$$\frac{p\rho_1}{q} = \rho + r, \quad q = \frac{p\rho_1}{\rho + r} = \frac{33 \times 0,07}{0,35} = 6,6;$$

de tegyük, hogy csak 6-tal egyenlő, a miből következik, hogy $n = 33 \times 6 = 198$ elem kívánatnék meg.

Gondoljuk már most meg, hogy mennyi időbe és fáradságba kerül egy ilyen telep összeállítása, hogy mennyi bajt okoz kigőzölgéseivel, hogy nem hosszú időközökben meg kell újítani az összes savakat és a czinkeket; viszont tekintsük a dinamo-

elektromos gépet, mely csak néhány köbdecziméternyi tért foglal el, és használatra mindenkor kész, különösen ha gáz- vagy vízmotor hajtja.

De a telep energiája még sokkal költségesebb is, mi a **675.** pontbelihez hasonló számítás útján könnyen kimutatható, s mit különben a közvetlen tapasztalat, szem előtt tartva itt is a befektetett tőke törlesztését, szintén beigazolt. Elég, ha felemlítjük, hogy 400 CARCEL-erejű elektromos fény fentartása óránként legalább 20 koronába kerülne, míg a géppel legfeljebb 2 koronába; sőt a költség 60 fillérre is le volna szállítható, ha egész éven át minden éjjel világítana.

731. Nincs tehát kétség benne, hogy kényelem, gyorsaság és gazdaság szempontjából a dinamo-elektromos gépek nagyon sokkal nyereségesebb áramgerjesztők a telepeknél. Miután az áramfejlesztés eme gyakorlati eszközének birtokába jutottunk, az elektromos világítás ipari szempontból lehetővé vált, úgyszintén az elektrochemiai műveletek is. Sőt még a mechanikai munka is, bármily paradoxnak lássék, az elektromosság révén gazdaságosabbá válhatik.

Gondoljunk ugyanis arra a mérhetetlen munkamennyiségre, mely hegyi patakjaink zuhatagaiban, folyóink áramlásában, árapályaink időszakos felszín-különbségében fel van halmozva; arra a nagy chemiai energiára, mely tőzeg-mezőinkben, a mi hőforrásainkban rejlik: oly munka ez, mely ránk nézve kárba vész, vagy használatlanul hever, mert az ipari középpontoktól távoleső pontokba van lokalizálva. Nos, eme munka, ha nem is egészében, de legalább jó részben hasznunkra fordítható, ha az elektromosság közvetítésével műhelyeinkbe, lakásainkba vezetjük. Mindössze is csak két mágneselektromos gépet kell összekapcsolnunk, melyek közül az egyik felveszi a mechanikai energiát, és áramfejlesztőként működén, áramát egy vezető mentén a második gépnek adja át, mely elektromos motorként szerepelvén, mechanikai munkát végezhet.

Bizonyos, hogy ez utóbbi gép nem adja vissza az egész energiát, melyet az első gép felvett, mert ennek egy része út közben áramhő alakjában elvész; mindazonáltal megeshetik, hogy a megérkező munka kiegyenlíti a szállítás költségeit, melyeket ez esetben azon tőkének kamatai tüntetnek elő, mely a gépekbe és a vezetékbe van fektetve.

732. Az energia átvitel problémája általánosan ekként tűzhető ki. Bizonyos pontban bármily alakú energiának, mechanikai, hőbeli vagy chemiai energiának állandó forrása van: ezt az energiát kisebb-nagyobb távolságban levő pontban akarjuk értékesíteni. Az első pontban áramfejlesztőt állítunk fel, mely az adott alakú energiának felvételére alkalmas, és egyazon áramkörbe iktatjuk azon készülékkel, mely az áramot felfogván, a második pontban az energiát a kívánt alakban adja vissza; ez a második készülék lehet elektromos motor, lehet a lámpák valamely rendszere, lehet galvanoplasztikai fürdő, stb.

Egyszerűség kedvéért nem tekintve a surlódásokban kárba vesztett energiát és csakis az elektromos áramkörben szereplőt véve figyelembe, legyen W_1 a *hajtómunka*, vagyis az a munka, melyet az áramfejlesztő másodpercenként felvesz, és W_2 a *haszonmunka*, vagyis az az energia, melyet az áramfelfogó szintén másodpercenként visszaad.

Ha továbbá az első készülék elektromindító ereje ε_1 , az áramkörbeli áram intenzitása, melyet állandónak fogunk feltenni, i , úgy az a W_1 energia, mely az i elektromosság-mennyiség potenciálját az ε_1 értékkel emeli, (630) szerint:

$$W_1 = \varepsilon_1 i. \quad (1)$$

Hasonlóképen a második készülékre nézve azt a W_2 energiát, melyet az i elektromosság-mennyiség szolgáltat, midőn potenciálja ε_2 értékkel alászáll, a következőképen fejezhetjük ki:

$$W_2 = \varepsilon_2 i. \quad (2)$$

Ha azután az áramkör összes ellenállása R , OHM törvénye szerint kapjuk, hogy:

$$Ri = \varepsilon_1 - \varepsilon_2, \quad (3)$$

a vezetõben fejlesztett hõbeli energia (614) pedig JOULE törvénye szerint:

$$Ri^2 = (\varepsilon_1 - \varepsilon_2)i,$$

vagy szintén (1) és (2) figyelembe vételével:

$$W_1 - W_2 = Ri^2. \quad (4)$$

733. Ezek az egyenletek elegendõk a probléma hozzávetõleges fejtegetésére.

Az elsõ kettõbõl azonnal megkapjuk a hasznomunkának a hajtómunkához való viszonyát, vagy a mint mondani szokás, a hatásfokot:

$$\alpha = \frac{W_2}{W_1} = \frac{\varepsilon_2}{\varepsilon_1}, \quad (5)$$

mely tehát annál nagyobb, mentül közelebb jár egymáshoz a két elektromindító erõ, és független az áramkör ellenállásától, úgy hogy a munka-átvitelre telegráfdrótot is használhatunk.

Ez a dedukció, mely elsõ pillanatra talán furcsának látszik, nagyon is természetes; mert mindenben analog az elektrolízis második törvényével (657), mely arra tanított, hogy bárminõ legyen is az áramkör, minden egyenérték czink fejében, mely a telep mindegyik elemében feloldódik, mindegyik elektrolitból egy egyenérték bomlik fel.

Azonban gyakorlati jelentőségében nem szabad tévednünk: ne higgyük, hogy az energia-átvitel gyakorlati kivitelében az áramkör ellenállása közönbös. Mert ha igaz is, hogy a két készülék adott elektromindító ereje mellett, az elsõ állomásról útnak indított minden kilogramméter fejében a második állomáson minden esetben annak ugyan az a hányadrésze érkezik meg, bármily távol legyen is: nem kevésbé igaz az is, hogy a távolságnak, vagy jobban mondva az ellenállásnak növekedésével eme hányadrésznyi kilogramméter átvitele hosszabb időt fog kívánni: vagy más szóval: habár a hatásfok nem

függ is az ellenállástól, annál inkább függ tőle a haszonmunka. Hogy erről meggyőződjünk, csak a (2) egyenletre kell tekintenünk, mely azt mondja, hogy a haszonmunka arányos az áram erősségével, emez pedig, a (3) egyenlet szerint, fordított viszonyban van az ellenállással.

Így ha olyan átvivő rendszert állítunk fel, mely 1 km távolságra 20 lóerőt visz át, és azután a távolságot a hatásfok kára nélkül annyira meg akarók nagyobbítani, hogy az áramkör ellenállása megkétszereződjék: már csak 10 lóerő volna átvihető.

Ha azonban a hatásfok csökkenése nélkül meghatározott haszonmunkára akarunk szert tenni, megkivántatnék, hogy az ellenállás növekedésével az elektromindító erők értéke is növekedjék; nevezetesen pedig megkivántatnék, hogy mind a kettő az ellenállás négyzetgyökeivel arányosan változzék, mert a (4) és (5) egyenletekből:

$$W_1 - W_2 = W_2 \left(\frac{1}{a} - 1 \right) = \frac{(\varepsilon_1 - \varepsilon_2)^2}{R} = \left(\frac{\varepsilon_1}{\sqrt{R}} - \frac{\varepsilon_2}{\sqrt{R}} \right)^2.$$

Az elmélet tehát arra a következtetésre vezet, hogy bármekkora legyen is az ellenállás, úgy a haszonmunka, mint a hatásfok változatlan marad, ha a két készülék elektromindító ereje kellőképpen növekszik.

De a gyakorlatban ez a dedukció is csalékonynak mutatkozik, mert az elektromindító erők nem léphetnek túl bizonyos határt, melyet a gépek és a vonalak szigetelésbeli viszonyai szabnak, s a melyen túl az elektromosság szétszóródnék s ezzel az elektromos energia is elpredálódnék a helyett, hogy a második állomásra érkeznek, nem is számítva azokat a komoly veszedelmeket, melyekkel az ilyen túlságos magas potenciálokon tartott vonalak járnak.

Sőt a legelső dolog, melylyel tisztába kell jönnünk, éppen annak a maximális értéknek a meghatározása, melyet az ε_1 elektromindító erő büntetlenül felvehet, s mely érték a gép

szerkezetétől és a vonal szigetelésétől függ. Ha ez a maximum egyszer már meg van állapítva, a sebességet akként kell majd szabályozni, hogy ennek az értéknek a lehető legnagyobb közelségében megmaradjunk.

Ugyanis, a (2) és (3) egyenletekből:

$$W_2 = \frac{\varepsilon_2 (\varepsilon_1 - \varepsilon_2)}{R}, \quad (6)$$

mely egyenlet az (5) alattinak figyelembe vételével így alakul:

$$W_2 = \frac{\varepsilon_1^2}{R} a (1 - a); \quad (7)$$

s innét kitűnik, hogy adott a hatásfok mellett nyereséges, hogy ε_1 értékét a lehető legnagyobb választjuk.

734. Ha tehát az első gépnek ε_1 elektromindító ereje adva van, lássuk, hogy mi a második készülék legalkalmasabb elektromindító ereje. Állítom, hogy adott ellenálláson át a *haszonmunka akkor legnagyobb, midőn a felfogó készülék elektromindító ereje egyenlő a hajtó készülék elektromindító erejének felével.*

Tekintve ugyanis, hogy a (6) egyenletben:

$$\varepsilon_2 (\varepsilon_1 - \varepsilon_2) = \frac{\varepsilon_1^2}{4} - \left(\varepsilon_2 - \frac{\varepsilon_1}{2} \right)^2,$$

azonnal észrevehető, hogy állandó ε_1 mellett W_2 akkor éri el maximális értékét, midőn

$$\left(\varepsilon_2 - \frac{\varepsilon_1}{2} \right)^2 = 0, \text{ vagyis midőn } \varepsilon_2 = \frac{1}{2} \varepsilon_1.$$

Ez esetben a hatásfok:

$$a = \frac{\varepsilon_2}{\varepsilon_1} = \frac{1}{2}.$$

Ha nagyobb hatásfokot akarnánk nyerni, kellene, hogy $\varepsilon_2 > \frac{1}{2} \varepsilon_1$ legyen, de ekkor az átvitel lassabban megy végbe, miként a **732.** pontban már mondtuk.

735. Minthogy (6) szerint:

$$R = \frac{\epsilon_2 (\epsilon_1 - \epsilon_2)}{W_2},$$

azonos módon kimutatható, hogy adott W_2 haszonmunkát adott ϵ_1 elektromindító erővel a lehető legnagyobb ellenálláson át akkor nyerünk, midőn a felfogó készülék elektromindító ereje

$\epsilon_2 = \frac{1}{2} \epsilon_1$; és ez a maximális ellenállás:

$$R = \frac{\epsilon_1}{4W_2},$$

a hatásfok pedig még mindig egyenlő egy féllal.

736. És most könnyű megérteni, hogy megoldható a következő feladat is: miként lehet tetszés szerinti energiamennyiséget bármekkora távolságra adott hatásfokkal átvenni.

A (7) egyenlet, ha a következő alakra hozzuk:

$$R = \frac{\epsilon_1^2}{W_2} a (1 - a), \quad (1)$$

arra tanít, hogy mentül nagyobb az a hatásfok annál kisebbnek kell lennie az összes R ellenállásnak. Ez azonban a vonal r ellenállásából és a két készülék ρ_1 és ρ_2 belső ellenállásából áll:

$$R = r + \rho_1 + \rho_2.$$

A mi r -t illeti, ez bármekkora távolságra nézve oly kicsinyre szállítható le, a milyenre csak akarjuk, mert csak elegendőleg nagy keresztmetszetű vezetőt kell választanunk. A mi pedig a belső ellenállásokat illeti, megjegyezzük, hogy az elektromindító erő a drót meneteinek számával arányos (723); ha tehát kívánjuk, hogy a szigeteléssel összeférő maximális elektromindító erő éressék el, kell, hogy az indukált drótnak bizonyos hossza legyen, és hogy ellenállása mégis igen kicsiny legyen, a drótot nagyon vastagnak kell vennünk. Ennélfogva roppant nagy gépet kell szerkesztenünk; vagy pedig több kicsiny gépet,

melyek mindegyikének elektromindító ereje ε_1 , akként kell összekapcsolnunk, a mint több elemet szoktunk nagylapúlag (582) összekötni a végből, hogy a telep belső ellenállását csökkentsük.

Látjuk tehát, hogy tudományos szempontból az energia átvitelének problémája minden esetben megoldható, mert csak nagy keresztmetszetű vonalhoz és nagylapúlag kapcsolt nagy számú géphez kell folyamodnunk.

Az egész csak a költségnek és a pénzügyi szempontoknak kérdése. De az alapos számvetés kimutatja, hogy a nyereség korántsem olyan fényes, mint a milyennek ígérkezett; és ha némelyeknek az a szép álma, mely szerint a mozgó erő néhány száz kilométerre szállíttassék, és például a Niagara-zuhatang rengeteg energiája Boston, New-York és Philadelphiában értékesíttessék, tényleg igen közel van a megvalósuláshoz: ez igen magas, nyílt vonalakon tapasztalat szerint még szállítható potenciálók alkalmazása révén fog megtörténni, melyek azonban nem a folytonos áramú dinamogépekben gerjesztetnek. A következő fejezetben megmutatjuk, hogy a munkának elektromos energia alakjában nagy távolságra való szállítása a váltakozó áramoktól várható.

737. Helyén van, hogy megjegyezzük, hogy munkaszünet idején, azaz rendszerint éjjel, a mechanikai munka végrehajtására szánt folytonos áramú dinamo-elektromos gépek elektromos fényt szolgáltathatnak a nélkül, hogy a lámpák költségein kívül más kiadást megkívánnának; vagy pedig összegyűjthetjük az energiát a nyugalom óráiban, akkumulátorokat töltvén meg (670), melyek szükség idején annak több, mint felét visszaadják.

Arra is gondoltak, hogy célszerű volna az akkumulátorokat egy középponti műhelyben megtölteni és azután házhoz szállítani, sőt e célra iparvállalat is alakult; de a tett kísérletekből kiderült, hogy sokkal alkalmasabb az energiát vezetők

segítségével szétosztani, épen úgy, a mint gazdaságosabb a világító gázt csövekben szétvezetni, semmint arra való edényekben összenyomva házhoz hordani, és a nagy garral megalakult társulat szép csendben feloszlott.

LII. FEJEZET.

VÁLTAKOZÓ ÁRAMOK ÉS ELEKTROMOS REZGÉSEK.

738. A földi mágnesség H vízszintes intenzitású terében álló függélyes kereten, ha szigetelt rézdróttal van körülfonva, mely összesen S felületet kerít be,

$$\mathcal{H}_0 = HS$$

mágnesi erő-áramlás hatol át, ha a keret a tér irányára merőleges; de ha a keret síkja a merőleges helyzettel α szöget zár be, az áthatoló áramlás

$$\mathcal{H} = \mathcal{H}_0 \cos \alpha.$$

Ha a keret a függélyes körül

$$\omega = \frac{\alpha}{t} = \frac{2\pi}{T}$$

állandó szögsebességgel forog (26. I), a mágnesi tértől a τ idő alatt indukált elektromindító erő értéke

$$\varepsilon = \omega \mathcal{H}_0 \sin \omega \tau,$$

vagy ha $\omega \mathcal{H}_0 = \mathcal{E}$ tétetik,

$$\varepsilon = \mathcal{E} \sin \omega t, \quad (2)$$

a mint a 693. pontban adott szabályból az I. kötet 24. pontjában közölt számítás mintájára könnyen levezethető.

Ezen kívül még az önindukció elektromindító ereje fog a vezetékben fölgerjesztetni (696), melynek t időbeli értékét ε' -nal jelölván, ha a vezeték ellenállása R , az áram i intenzitása t időben az OHM-féle törvény értelmében

$$\varepsilon - \varepsilon' = iR,$$

képlettel van meghatározva; vagy pedig, tekintettel a 696. pont (2) és (12) képleteire

$$\mathcal{E} \sin \omega t - L \frac{di}{dt} = iR. \quad (3)$$

Az integrálszámítás ezen egyenletnek következő megoldását adja:

$$i = I \sin (\omega t - \varphi), \quad (4)$$

mely képletben

$$\operatorname{tg} \varphi = \frac{\omega L}{R}, \quad (5)$$

$$I = \frac{\mathcal{E}}{\sqrt{R^2 + \omega^2 L^2}} = \frac{\mathcal{E}}{R} \cos \varphi. \quad (6)$$

Az áram tehát *hullámzatos, sinusoidális* (4) s ugyanilyen az elektromindító erő is és ugyanaz a T periodusa van; ámde míg az utóbbinak akkor van maximuma, mikor $\alpha = \frac{\pi}{2}$, vagyis a mikor a keret a tér irányában van: addig az áramintenzitás maximuma $\alpha = \frac{\pi}{2} + \varphi$ értékre következik be, vagyis a mikor a keret a tér irányával φ szöget bezáró helyzetbe fordult.

Az áramintenzitás tehát az elektromindító erőhöz képest késedelemben van, és (5) képletből látható, hogy az eltérés ω szögsebességgel és L önindukcióbeli állandóval együtt növekedik, ellenben fogy, ha az ellenállás növekedik. Ha $R = 0$, $\operatorname{tg} \varphi = \infty$ és $\varphi = \frac{\pi}{2}$; ha $R = \infty$, vagyis a nyitott áramkör esetében $\varphi = 0$.

Azonfelül látjuk, hogy az áram intenzitása az önindukció hatása miatt oly módon szenved kisebbedést, mintha az ellenállás R helyett

$$\sqrt{R^2 + \omega^2 L^2}$$

lenne.

Ezt a kifejezést **látszólagos ellenállásnak** vagy **impe-**

dancziának nevezik. Értéke L együtthatótól és $T = \frac{2\pi}{\omega}$ periódustól függ s előállítható mint olyan derékszögű háromszög átfogója, melyben R és $\omega L = \frac{2\pi M}{T}$ a befogók.

739. Az olyanféle áram, melynek intenzitását a (4) képlet fejezi ki s általában minden időszakos (periodikus) áram, vagy mint közönségesen nevezik: a **váltakozó áram**, melynek iránya minden félperiodusban megváltozik, galvanométerrel nem mérhető, mert a mágnesűvel egyenlő, de ellentett irányú lökéseket közöl.

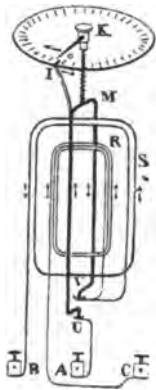
Hogy ezeket megmérjük, meg kell határozni az áramtól adott τ időben az ellenállás egységében fejlesztett hő mennyiségét; ez a JOULE-féle törvény értelmében minden időpillanatban az i intenzitás négyzetével arányos lévén, a fejlesztett hőmennyiség dinamikai egyenértékét a fejlesztés t tartamával elosztjuk s a hányadosból, vagyis i^2 átlagos értékéből második gyököt vonunk; ez megadja az áramintenzitásnak azt az I_e értékét, melylyel egy állandó áramnak bírnia kellene, hogy ugyanezt a hatást létesítse.

A váltakozó áram átlagos négyzetéből vont második gyök az áram **hatásos intenzitásának** neveztetik.

740. A hatásos intenzitás még úgy is mérhető, hogy a váltakozó áramot önindukció-mentes (önmagára hajlított) r ellenállású drótba bocsátjuk, s annak A pontját a quadráns-elektrométer egyik quadráns párjával, B pontját pedig az elektrométer tűjével közlekedtetjük: a maradandó kitérés az A és B közötti potenciálkülönbség négyzetének átlagos értékével arányos.

741. Azonkívül az **elektrodinamométer**hez is folyamodhatunk; a 870. ábra a készüléket SIEMENS-től adott formájában tünteti elő. S dróttekeres függélyes helyzetben van megerősítve

és B drótszorítóban meg V higanyos csészikében végződik. M rézdrótból hajlított négyyszög K gombhoz erősített sodratlan selyemszálon függ és végei U és V higanyos csészikékbe merülnek; azonfelül egy lágy bronz spirális, mely a selyemszálat körülveszi, az S -re merőleges helyzetben tartja: ekkor I muta-



870. ábra. Elektrodinamométer.

tónak a beosztásnak éppen a zéruspontjára kell beállania. A két áramkör, ha t. i. az áramot A és B drótszorítókon a készülékbe bevezetjük, egymással párhuzamos helyzetbe törekszik jutni (522) s az I mutató, bármilyen legyen is az áram iránya, mindig az óramutató járásával ellenkező irányban fog kimozdulni; mérés közben azonban a K gomb segítségével, melyhez a lágy spirális erősítve van, mindig visszahozzuk a O -sal jelzett helyzetbe. A szög, melylyel e végből a rugót meg kell sodorni, arányos a rugalmas erővel s így az elektrodinamikus hatással is, mely utóbbi a váltakozó áram intenzitásának átlagos négyzetével arányos. A második, R -rel megjelölt álló tekercs, mely C és V -ben végződik, több menetből áll és gyengébb áramok mérésére használtatik.

742. Ha az áram sinusoidális, a mint pl. a (4) képlet kifejezi, hatásos intenzitása I_e , számítás szerint egyenlő $\sqrt{2}$ -vel osztott maximális intenzitásával, vagyis

$$I_e = \frac{I}{\sqrt{2}}.$$

És hasonlóképen a periodusos elektromindító erő átlagos félnégyzete **hatásos elektromindító erő** nevét viseli; ha az elektromindító erő sinusoidális, lesz tehát

$$\mathcal{E}_e = \frac{\mathcal{E}}{\sqrt{2}}.$$

A hatásos elektromindító erő \mathcal{E} értéke nyerhető, ha I_e s a látszólagos ellenállás (6) képletből vett értékének szorzatát alakítjuk; még a quadránselektrométerrel is meghatározható, mint 740. pontban jeleztük, értékét egyenlőnek vevén amaz állandó elektromindító erőével, mely ugyanazt a kitérést létesíti.

Jegyezzük meg, hogy az elektromindító erő \mathcal{E} maximuma a fiziológiai hatások intenzitását határozza meg, épen úgy, a mint I maximális intenzitás a mágnesező hatást létesíti; a dinamikai és a hőhatások ellenben \mathcal{E}_e és I_e értékektől függenek.

743. Feltételezve azt, hogy a váltakozó áram összes energiája alakul át hővé, munkasikere, vagyis az időegységben átalakuló energia (614) nyilván

$$W = RI_e^2 = \frac{RI^2}{2},$$

és a (6) képletet is tekintetbe véve:

$$W = \frac{I\mathcal{E}}{2} \cos \varphi = \frac{1}{2} \frac{\mathcal{E}^2}{R_1 + \frac{\omega^2 L^2}{R}}$$

Látható tehát, hogy az önindukció a munkasikert csökkenti és pedig annál nagyobb mértékben, mennél nagyobb a megfelelő φ fázisbeli késedelem, s végre $\varphi = \frac{\pi}{2}$ értékre, vagyis ha a késés a periodus negyedrésszével egyenlő, zérussá lesz.

A munkasiker még az áramkör ellenállásától is függ, és pedig oly módon, hogy adott szögsebességre és adott önindukcióra a nevezőnek minimuma az értékét maximálissá teszi, azaz akkor, ha

$$R = \omega L,$$

s a mennyiben ekkor (5) képlet szerint $\operatorname{tg} \varphi = 1$, azaz $\varphi = \frac{\pi}{4}$, látjuk, hogy a munkasiker akkor éri el maximális értékét, ha a késedelem a periodus nyolczadrészsével egyenlő.

744. Az elektromótoros erő fokozása végett, mint a **738.** pont (1) és (2) képleteiből kiolvasható, az áramkör S felületének nagyinak kell lennie, vagyis igen sok menetből álló indukált tekercset kell használni; erős mágnesi terekhez kell folyamodni, tehát hatalmas elektromágnesekkel kell a tereket előállítani, s indukció-áramlásukat a tekercsekbe tett vasmagvakkal az indukált drótokon összesűriteni; végre nagy forgási sebességeket kell alkalmazásba venni.

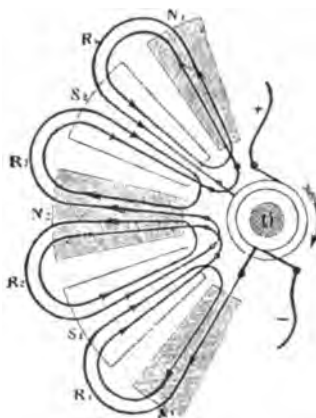
745. A **717.** pont 856. ábrájában látható kis SIEMENS-féle gép igen alkalmas váltakozó áramok előállítására, a mennyiben e végből csak a kummutátort két egymástól szigetelt fémgűrűvel kell helyettesíteni s az indukált tekercs két végét ezekkel, s ekként az áramszedő seprűkkel vezetőleg összekötni. Ámde ez a berendezés túlságos nagy forgássebességet kívánna meg, hogy a kellő *szaporaság* (*frequentia*), vagyis a *váltakozások másodpercenkénti száma* eléressék, mely a gyakorlatban 100 körül szokott lenni. Ez okból az indukált rendszert több egyenlő tekercsből szokás készíteni, melyek egymásután lépnek a váltakozó irányu mágnesi keretbe.

A 871. ábra segítségével könnyen alkothatunk magunknak helyes fogalmat a váltakozó áramú dinamogépről, vagy mint manapság mondják: az *alternátorról*. R_1, R_2, \dots négyet jelent azon n tekercsből, melyek az O tengely körül forgó kerékre vannak erősítve, oly módon, hogy n állandó árammal gerjesztett elektromágnesnek váltakozó sarki felületei: $N_1, S_1, N_2, S_2, \dots$ előtt elhaladjanak. Az összes indukció-áramlás, mely a tekercseken az ábrában elötüntetett állásukban áthatol, algebrailag véve zérussal egyenlő, s növekedik, a mint a tekercsek ebből a helyzetből kimozdulnak: maximummá lesz, a mikor a tekercsek a sarki felületekkel épen szembe kerülnek, azután pedig újra zérussá lesz, előjelet változtat, ezzel a jellel ismét maximummá válik, ha a rákövetkező, az előbbenivel ellentett sarkkal áll szembe, és így tovább.

Ennek megfelelőleg az elektromótoros erő, mely az áramlás változásával egyenlő (693), a sarkok között való átmenetel pillanatában előjelet cserél s a közbeni állásokban maximális értékek között ingadozik; egy periodus az egymásra következő egyenű — pl. S_1 és S_2 — sarkok előtti átvonulásnak felel meg, úgy hogy ha a kerék n' fordulatot tesz másodperczenként s n tekercset hord, a szaporaság $\frac{nn'}{2}$.

Minthogy az egymásra következő tekercsekben az elektromindító erők minden pillanatban ellenkező előjelűek, a rézdrótok a rajzban látható módon vannak összekapcsolva. A tekercsek lánczolatának végei két (egymástól elszigetelt) gyűrűhöz vannak hozzáferrasztva, melyekről a seprűk szikrák nélkül szedik fel az áramokat, a miért is könnyebb magasabb potenciálokkal dolgozni, mint a folytonos áramú gépeknél.

Így például azok a dinamogépek, melyek Tivoliból Rómába változó áramokat küldenek, 5000 volt sarkfeszültséggel dolgoznak s így azután aránylag gyenge, a 25 kilométernyi vezetékben kevés hőfejlesztő árammal lehetséges Rómába 1000 gőzlóerőnél nagyobb energiát szállítani.



871. ábra. Alternátor.

746. Minthogy a magas potenciálú áramok nem hasznosíthatók közvetlenül a közönséges ipari alkalmazásokban, s mert az emberre nézve veszedelmesek, összeegyeztetvén az átvitel olcsóságát a gyakorlat követelményeivel: ezeket az áramokat alacsonyabb potenciálú s nagyobb intenzitású ára-

mokká alakítják át, vagy mint általánosan mondják, *transzformálják*. Ennél azonban arra kell törekedni, hogy a két tényező szorozmánya, mely elektromos hatásfokukat méri, állandó maradjon; más szóval oly átalakítást, *transzformációt* kell keresni, mely az energiának legkisebb szétszóródásával jár.

A váltakozó áram **transzformátorai** indukciós készülékek, melyek ugyanoly elven alapulnak, mint a **RUHMKORFF**-féle gép (699), de az elsődleges áramot ezzel ellenkezőleg, a több menetből álló tekercsbe kapják, minthogy most az a cél, hogy ennek drótvégein alkalmazott periodikusan változó potenciálkülönbség helyett a másik tekercsből alacsonyabb elektromindító erőt kapjunk. Minthogy a másodrendű áramnak intenzitása nagyobb, az elsődleges tekercs drótja vékonyabb lehet a másodlagosnál, a nélkül hogy fölmelegednék.

A transzformátor vasmagva, a helyett, hogy hengeralakú volna, igen célszerűen magába zárt gyűrűből áll, minek az a következménye, hogy egyenlő tömeg mellett az indukció áramlása sokkal nagyobb intenzitású (726) s ennél fogva sokkal kedvezőbb hatásfokkal végzi az átalakítást. A vasmagnak egymástól lakkal vagy paraffinnal szigetelt drótokból, avagy pedig lemezekből kell állania, hogy a mágnesi áramlásra merőleges áramok, melyek a vasmagot az energia rovására fölmelegítenék, ne keringhessenek benne. A transzformátor egyik legegyszerűbb s egyúttal legkitünőbb típusa a *Zipernowski-Déry-Bláthy*-féle transzformátor; a vékony drótból gyűrűvé font vasmagot 6 vastag rézdrótból és 6 vékony rézdrótból készült tekercs veszi körül, melyek egymással váltakozván, a szaporán változó mágnesi tér indukciója rendkívül előnyösen van kihasználva.

Legyen n_1 és n_2 az elsődleges, illetőleg a másodlagos tekercsek összes meneteinek a száma; i_1 és i_2 pedig az egy pillanatban bennök áramló intenzitások; \mathcal{C} az indukció áramlásnak egy meneten áthatoló intenzitása; végre $\mathcal{R} = \frac{l}{\mu A}$ a vasmagnak ugyanazon pillanatbeli mágnesi ellenállása (726). A mág-

nesindító erőt az ellenállás s az indukció áramlásának szorzatával egyenlítő, kapjuk, hogy

$$4\pi (n_1 i_1 + n_2 i_2) = \mathcal{R} \mathcal{E}. \quad (1)$$

Ha \mathcal{E} változik, a két áramkörben e_1 és e_2 elektromindító erők gerjesztetnek, melyek a menetek számával, továbbá az \mathcal{E} változásának sebességével arányosak; e szerint felírhatjuk a következő kifejezéseket:

$$e_1 = n_1 \frac{\Delta \mathcal{E}}{\Delta t}, \quad e_2 = n_2 \frac{\Delta \mathcal{E}}{\Delta t}, \quad (3)$$

melyekből

$$e_2 = \frac{n_2}{n_1} e_1, \quad (3)$$

s ha még felteszszük, hogy a másodrendű tekercs r_2 ellenállású önindukciómentes egyszerű vezetővel van zárva, árama az elektromindító erővel egyfázisú lesz, a miért is minden pillanatban

$$e_2 = r_2 i_2. \quad (4)$$

Másrészt, minthogy a jól készült transzformátorban a hisztérezis és az élődi áramok okozta veszteségek elhanyagolhatók, az elsődleges tekercscsel közölt W munkamennyiségnek az elsődleges és a másodlagos tekercs meneteiben s ez utóbbinak áramkörében, ha ez t. i. egyszerű ellenállásból, pl. izzólámpák-ból áll, hő alakjában kell megjelenennie.

Legyen r_1 és r_2 az elsődleges, s ill. a másodlagos tekercs ellenállása, j_1 és j_2 a bennök áramló hatásos intenzitás (739), akkor

$$W = r_1 j_1^2 + r_2 j_2^2. \quad (6)$$

Ámde r_1 olyan kicsinynek választható, hogy az elsődleges tekercsben elpredált energia az egésznek igen kicsi törtrésze; ezt elhanyagolván, közelítőleg áll:

$$W = r_2 j_2^2. \quad (7)$$

Ámde az elsődleges tekercs drótszorítóin a sarkfeszültség az OHM-féle törvény szerint

$$v = e_1 + r_1 i_1, \quad (8)$$

s a parányi τ időelemben szállított energia :

$$v i_1 \tau = (e_1 i_1 + r_1 i_1^2) \tau.$$

Minthogy azonban a második tag elhanyagolható,

$$v = e_1,$$

és a (3) és (4) képletek tekintetbe vétele után :

$$r_2 i_2 = \frac{n_2}{n_1} v.$$

747. Látjuk tehát, hogy a másodlagos áramnak körülbelül az az intenzitása, melylyel bírna, ha áramkörében egy olyan elektromindító erő hatna, mely az elsődleges tekercs drótszoritóin ható potenciálkülönbségnek $\frac{n_2}{n_1}$ -szerese. És minthogy a másodrendű tekercs ellenállása mindenkor elenyésző kicsiny a teljes r_2 ellenálláshoz képest, a tekercs végei között a potenciálkülönbség mindenkor $\frac{n_2}{n_1} v$ -vel egyenlőnek vehető.

Elegendő tehát, ha az elsődleges tekercs sarkai között állandó potenciálkülönbséget tartunk fenn, hogy a másodlagos tekercs végei között is a gyakorlatban állandónak tekinthessük, bár a zárlat ellenállását meglehetősen nagy határok között változtatjuk is.

A transzformátor eme tulajdonságát a fény elosztásánál értékesítik, a mennyiben a másodlagos tekercs áramkörébe zárt több lámpa kigyújtható vagy eloltható, a nélkül, hogy a többiek jó működése legkisebb mértékben is zavartatnék. E végből bizonyos számú transzformátor elsődleges tekercsei a váltakozó áramú gép vezetékébe egymással párhuzamosan (egymás mellé) kapcsolatnak, melyek mindegyike most az elosztásnak mintegy második középpontjának tekinthető; a másodlagos tekercsek vezetékébe, egymással párhuzamosan, bekapcsolatnak az izzólámpák.

Most már elég, ha az alternátor elektromágneseit gerjesztő áram állandó, hogy az összes transzformátorok gerjesztő tekercsein — s ennél fogva a másodrendű tekercseiben is — állandó legyen a potenciálkülönbség, bármekkora legyen is a bekapcsolt lámpák száma, természetesen feltéve azt, hogy együttes ellenállásuk a másodlagos tekercs ellenállásához képest elég nagy.

748. Jegyezzük meg, hogy a v potenciál és az i_1 áram fázisa nem egyenlő s hogy ez utóbbinak az elmaradása fokozatosan növekedik, ha több és több lámpa kioltatik, vagyis ha a másodlagos áram csökken. Ezzel lépést tartva, kisebbedik a transzformátorral közölt energia-mennyiség is (**743**), noha sarkai között állandó potenciálkülönbség tartatik fenn.

Ha valamennyi lámpa kioltatott, $i_2 = 0$ s az egy meneten áthatoló indukció-áramlás az (1) képlet szerint

$$\mathcal{C} = \frac{4\pi n_1 i_1}{\mathcal{R}}$$

s az elsődleges tekercs összes n_1 menetén áthatoló áramlás $n_1 \mathcal{C}$.

Ekkor a (2) képlet

$$e_1 = \frac{4\pi n_1^2}{\mathcal{R}} \frac{di_1}{dt_1}$$

alakot ölt, melyben

$$v = V \sin \frac{2\pi\tau}{T}, \text{ és } \mathbf{L} = \frac{4\pi n_1^2}{\mathcal{R}}$$

helyettesítéseket tévén, a (8) képletből a következő keletkezik:

$$V \sin \frac{2\pi\tau}{T} = \mathbf{L} \frac{di}{dt} + r_1 i_1,$$

ez pedig a **738.** pont (3) képletével megegyező. Minthogy ez esetben a mágnesi ellenállás nagyon kicsiny, az önindukcióbeli állandó, \mathbf{L} , s vele együtt az elektromos áramkör látszólagos ellenállása oly nagygyá lesz, hogy az áram átmenetelét mintegy meggátolja és pedig a nélkül, hogy energiát fogyasztana, a mint ez önindukciómentes ellenállásban megtörténék.

Kitűnik tehát, hogy a vezetékbe kapcsolt nagy önindukciójú tekercs a váltakozó áramot mintegy elfojtja.

749. Ha a váltakozó áramok nem világításra, hanem mechanikai munka végzésére alkalmazandók, az alternátort (745) kell elővenni, mely gép épen úgy megfordítható, mint bármely más dinamo s mótorként hat, ha elektromágnesét egy külön folytonos áram gerjeszti s indukált rendszerén váltakozó áram vezettetik keresztül. De hogy az alternátor a bevezetett áramtól foroghasson, azaz hogy *áramevő*ként (receptor) használható legyen, az áramfejlesztő géppel *egyenlő járásúnak* kell lennie, mert különben az álló sarkok s a váltakozólag mágnesezett tekercsek egymásra hatása a helyett, hogy a gépet járátná, a forgást épen megakaszthatná.

Azért is, mielőtt az ilyen egyenlő járású, vagy mint nevezni szokták, **szinkrónikus mótorkba** a váltakozó áramot bebo-csátának, oly forgássebességet kell velök közölni, hogy a forgásnak kedvező hatások összege nagyobb legyen, mint a gátló hatásoké; azonfelül még az a kellemetlenség jár velök, hogy az ellenálló munkának hirtelen növekedése az együttes járásból (fázisból) kizökkenti s a gép esetleg megáll.

750. Ellenben önmaguktól megindúlnak az u. n. **forgó mágnesi terű mótorkok**, melyek FERRARIS ama megfigyelésén alapulnak, hogy két egymásra merőleges, a *sinus* törvénye szerint változó intenzitású mágnesi tér állandó intenzitású és egyenletes sebességgel forgó mágnesi térré tevődik össze, ha egy negyed periodus-különbség van köztük. Ez olyan módon történne, mint a hogy két egymásra merőleges egyenes vonalú rezgés egyenletes körmozgássá tevődik össze (290).

Vezető korong, vagy önmagába zárt (gyűrűalakú) tekercs a térre merőleges tengelyen a forgó mágnesi tér hatására forgásnak indul, úgy mint a 685. pontbeli 5. kísérletben a forgó mágnes fölött elhelyezett rézkorong.

Ezt az eszmét gyakorlatilag értékesítették. A Majna-Frank-

furtban a kiállításon egy forgó mágnesi terű gép volt látható, mely egy szivattyú révén kis vízesést táplált. Az ehhez szükséges energiát 175 km távolságból, a Neckar mellett levő Lauffenből kapta. Lauffenben 300 lóerejű turbina egy olyan alternátort forgatott, melynek két indukált rendszere volt; ez utóbbiak egymáshoz képest úgy voltak elhelyezve, hogy váltakozó áramok között a kívánt fáziskülönbség létesüljön. A 150 *volt*-nyi hatásos elektromindító erejű alternátor két váltakozó áramát két transzformátor 20,000 *volt* potenciálkülönbségre emelte, úgy hogy az áramok 3 mm vastag, levegőben kifeszített és jól szigetelt rézdrótokon Frankfurtba voltak vezethetők. Frankfurtban a magas potenciálkülönbség transzformátorok révén 100 *volt*-ra átalakítatván, a sarkokon $\frac{3}{4}$ része annak az energiának volt átvehető, melyet a lauffeni turbina az elektromos rendszerrel közölt volt. Ez az energia 1000 lámpát táplált s működtette az említett kis vízesést.

751. Mielőtt az elektromosság alkalmazásainak terét elhagynók, ki akarjuk emelni, hogy a **telefon (594)**, épen úgy, mint a többi mágneselektromos készülékek, szintén megfordítható.

Megismerkedtünk a **telefonnal** mint jellevő készülékkel, midőn egy telep s egy mikrofon **(596)** áramkörébe van iktatva. Hogy azonban az élőszót távolságokra vigyük át, nincs szükségünk telepre és mikrofonra; csak két azonos telefont kell egy zárt áramkörbe iktatnunk, a melyek közül az egyik jeladó, a másik pedig jellevőként szerepel.

Az elsőnek tölcseire előtt létrehozott hangok megrezdítik a vaslemezt, melynek rezgései a mágnes mágnességében módosulásokat idéznek elő, s ily módon az áramkörben áramokat indukálnak. Az indukált áramok meg a maguk részéről ugyanazzal a ritmussal módosítják a második készülék mágnesét, minél fogva ez kisebb-nagyobb mértékben vonzza a maga vaslemezét, mely neki mintegy horgonyúl szolgál, és a mely a

másik lemez rezgéseit a levegővel közölve adja vissza. Mi sem lehet ennél egyszerűbb.

Eme telefonos rendszernek szabályszerű működését megzavarják az áramkörben esetlegesen indukált áramok, melyek vagy a telegráfrótoktól, vagy a légköri elektromosságtól származnak, s a melyek jóval erősebbek a készülék áramainál, s ezekkel összegyűlve dübörgést létesítenek, mely megakadályozza az áttett beszéd megértését. E bajon akként segíthetünk, hogy az odamenő drótot a visszatérővel szorosan egymás mellett vezetjük, úgy hogy az áramkörben esetleg indukált elektromosindító erők mindenkor kettenként egyenlők és ellenkezők legyenek.

A telefonban indított áramok oly gyengék, hogy 1 cm térfogatú durranó gáz csak 19 év alatt volna képes voltaméterben (649) fejleszteni és egy kis kaloria energiája PELLAT szerint elegendő volna arra, hogy a telefont 10000 esztendőn keresztül állandóan hallható hangzásban tartsa.

A telefon áramai e szerint sokkal gyengébbek, semhogy a telegrafjelvevő készülékét mozgásnak indíthatnák; másrészt, ha a telegraf vezetékének önindukciója alkalmas módon nagyobbíttatik, várható, hogy az ezen készülékeken átbocsátott áramok intenzitása nem hirtelen, hanem fokozatosan változóvá lesz, mely a telefonon átmenvén, olyan lágy és lassú rezgéseket okoz benne, hogy azok a fülre nem hatnak. Ezt a körülményt felhasználva, sikerült megoldani a problémát, hogy milyen módon lehet egy és ugyanazon a vonalon egyszerre telegrafálni és telefonálni.

752. Érintettük volt már (417), hogy a sűrítő kisülése rezgésszerű jelleget ölthet; most a dolgot kissé közelebbről fogjuk megvizsgálni. A töltéssel a két fegyverzet között létrehozott potenciálkülönbség az elektromosságot OHM törvénye szerint a fémeiktől s a szikrától alkotott kisülési ívbe űzi; bár a szikra rendkívül rövid tartamú, mégis igen sok, hozzá képest végtelen kicsiny időközre bonthatónak képzelhetjük. Már az első pillanattól kezdve, a mikor az elektromosság az íven át kezd áramlani,

csökken a potenciálkülönbség s vele az áramintenzitás is, úgy hogy az ellentett elektromindító erő, mely az áram megindulásának pillanatában támadni kezd, csakhamar fölülkerekedik, ellentett irányú áramot indít, mely ismét az eredetivel egy irányú áram létrejöttének okává lesz, s így tovább. Ámde hogy az áramkörben ezek az **elektromos rezgések** létrejöhessenek, kell, hogy a különáram elég erős legyen arra, hogy a megelőző áramot leküzdhesse, vagyis kell, hogy az önindukció egy bizonyos értéket meghaladjon, mely az áramkör elektromos ellenállásától és a sűrítő kapacitásától függ, a mint az a következő okoskodásból ki fog derülni.

Legyen e annak az elektromosságnak a mennyisége, mely τ időpillanatban a C kapacitású sűrítő fegyverzetei között V potenciálkülönbséget létesít, azaz legyen (371)

$$e = CV. \quad (1)$$

A töltésnek Δe elektromosság mennyiséggel $\Delta \tau$ időben bekövetkező kisebbedése az ívbeli áram intenzitásául a következő értéket adja (514):

$$i = \frac{\Delta e}{\Delta t}, \quad (2)$$

mely az áramkör R ellenállásával megszoroztatván, az elektromindító erők összegével lesz egyenlő, azaz (748):

$$iR = v - L \frac{di}{dt}, \quad (3)$$

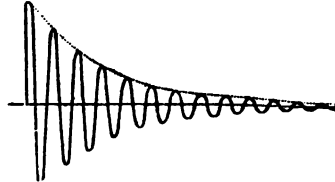
hol v a t időbeli potenciálkülönbséget, L pedig az önindukció együtthatóját jelenti.

Ebből az egyenletből az integrálszámítás segítségével levezethető, hogy két eset lehetséges, a szerint, a mint

$$R \geq \sqrt{\frac{4L}{C}}.$$

753. Az első esetre nézve a számítás azt adja, hogy az áram i intenzitása nem változtat előjelet: azonnal maximális

értéket veszen föl, s erről lassanként a zérusra csökken, miként a 872. ábrában a kipontozott vonal mutatja. Ámde az áram a valóságban legtöbbször még sem állandó, hanem szakadozott,



872. ábra. Kisülés jelváltozás nélkül.

a mennyiben az ív kisül, mielőtt az elektromosságnak ideje lett volna a fegyverzetekről leáramlania.

754. A második esetben az áram i intenzitása előjelét időszakosan változtatja: egyenlő időközű, izochron rezgéseket végez, melyeknek tágassága azonban folytonosan fogy, a mint ezt különben a rajzbeli folytonos görbe előtünteti.

A számítás azonfelül megmutatja még azt is, hogy egy rezgés ideje

$$T = \frac{2\pi\sqrt{CL}}{\sqrt{1 - \frac{CR^2}{4L}}}. \quad (4)$$

Az R ellenállásra vonatkozólag meg kell jegyezni, hogy ezek a nagy szaporaságú áramok nem egyenletesen haladnak át a vezetőnek egész keresztmetszetén, mint az állandó, vagy a lassan változó áramok: a vezető felületén nagyobb a sűrűségek s így, ha csak a vezető keresztmetszete nem igen kicsiny, a (hengeralakúnak képzelt) vezető tengelyéig egyáltalában nem jutnak, úgy hogy az ellenállás reájuk nézve megnövekedettnek tekintendő. Ennek daczára a nevező második tagja, ha vastagabb fémes vezetőkről van szó, elhanyagolható s azért is az elektromos rezgés ideje a következő egyszerűbb képlettel is kifejezhető:

$$T = 2\pi \sqrt{CL}. \quad (5)$$

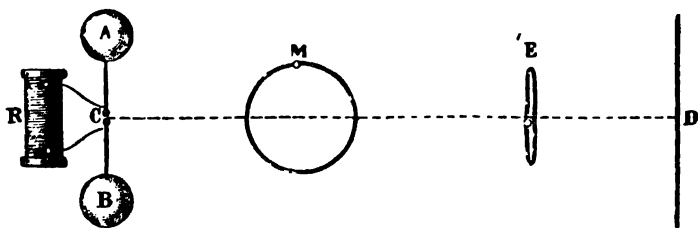
755. A C kapacitás a felülettel arányos, a fegyverzetek távolságával pedig fordítva arányos. Az önindukció együtt-hatója növekszik, ha a vezetőket alkotó spirális nagyobb, vagy ha a menetek száma nagyobb; de jó lesz ez utóbbiról megjegyezni, hogy ily rohamosan változó áramokról lévén szó, nem növekedik, ha vasmaggal béleljük ki, mert bármily finom elosztású legyen is a vasmag, a felső rétegben indukált áramok a tekercsen átmenő áram hatását semlegesítik s a vas nem mágneseződik.

756. Egy *mikrofarad*-nyi kapacitás egy *henry*-vel egyenlő önindukción keresztül kisütve, másodpercenként 157 rezgést adna. LODGE-nek tényleg sikerült igen nagy battériák és igen nagy tekercsek segítségével elektromos rezgéseket létesítenie, melyek a hangrezgésekkel összehasonlíthatók, a mennyiben másodpercenként számuk csak 500 volt; másrészt a két szigetelt golyócska között átugró szikra oly szapora rezgéseket idéz elő, hogy másodpercenkénti számuk 4000 millió körül van.

757. Ezek az elektromos rezgések **Hertz kísérletei** révén rendkívüli fontosságra emelkedtek. Ugyanis annak a régi kérdésnek kísérleti megoldására vezettek, hogy az elektromos hatásoknak időre van szükségök az elterjedésre s HERTZ-nek sikerült is ugyancsak ezen rezgések felhasználásával a tovaterjedés sebességét meghatározni. Elvben elegendő volna egy sűrítőt záró, szikraközzel bíró elsődleges vezetővel szemben egy második kis megszakítással bíró vezetőket felállítani s meghatározni, hogy mekkora késedelemmel követi az indukált szikra az indukálót; ámde ez a késedelem a valóságban olyan rendkívül kicsiny, hogy közvetetlen mérés alá nem vonható. HERTZ arra a gondolatra jött, hogy a haladó elektromos hullámokat épen úgy, mint a hanghullámokat, álló hullámokká alakítsa át (I., 304), és pedig az által, hogy fémfelületről visszaverődötteti őket, s meg-

méri két egymásra következő csomónak egymástól való távolságát, mely tudvalevőleg a hullámhossz felével egyenlő. A hullámhosszt λ -val jelölven s a T rezgés-időt az (5) képletből kiszámítván, azonnal megkapjuk (I, 282), hogy a terjedés sebessége $v = \frac{\lambda}{T}$.

758. Az elektromos hullámok gerjesztésére HERTZ vibrátort használt; ez két fémpálczikából állott, melyek C -nél (873. ábra) kis fémgolyókban végződtek s azonfelül mindegyikök nagy fémgolyóval — A és B — (vagy pedig 40 cm^2 területű fémlappal) közlekedett, hogy az önindukció, s ezzel a rezgésidő szabályozható legyen.



873. ábra. Hertz kísérlete.

A fémpálczikákat RUHMKORFF-féle tekercs sarkaival összekötvén, C -ben szikrák fognak átütni; hogy az elektromos rezgések tényleg létesülhessenek, a szikráknak hirtelen kell a levegőn átütniök, épen úgy, a mint az ingát hirtelen el kell bocsátanunk, ha azt akarjuk, hogy lengjen, és nem tartóztatnunk a mozgását. Azért is a golyócskáknak jól csiszoltaknak kell lenniök, mert különben az elektromosság az érdességeken keresztül fokozatosan áramlana ki; a hirtelen kisülés létrejöttét nagyon előmozdítja az, ha a szikrát olaj alatt engedjük átütni. A szikrát azonkívül más szikrából jövő világosságtól kell védeni; HERTZ ugyanis fölfedezte, hogy az ibolyántúli fénynek az a hatása, hogy fokozatos kisülést létesít, különösen a negatív elektródon.

A tekercs, bár közlekedésben van a vibrátorral, nem hat zavarólag, mert összehasonlíthatatlanul nagyobb önindukciójánál fogva nem képes ilyen szapora rezgéseket gerjeszteni.

759. A vibrátor minden egyes rezgése két hullámrendszert létesít: egy elektromos, és egy mágneses hullámrendszert, s a tér minden pontjában a megfelelő hatások erre alkalmas készülékekkel tanulmányozhatók. Az elektromos erő vonalai a vibrátor AB tengelyén átmenő síkokban vannak s A és B gömbök középpontjait kötik össze. A mágnesi erővonalak ellenben a tengelyre merőlegesek.

Ebben az időszakosan váltakozó térben bármily két fémdarab, pl. két kulcs vagy pénzdarab között szikrácskák ütnek át. De hogy a tér tulajdonságait tüzetesen tanulmányozhassa, HERTZ rézdrótból hajlitott gyűrűt használt, melynek kis szikráköze mikrométeres csavarral szabályozható volt. A benne megjelenő szikrácskák a rezonanciához (I, 317) analog tünemény útján jönnek létre s azért sokkal bőségebbek, ha a gyűrű — a **rezonátor** — méretei olyanok, hogy ugyanolyan periodusú elektromos rezgéseket engednek meg, mint a vibrátor.

A midőn a rezonátor az E -ben látható helyzetet foglalja el, vagyis ha középpontja CD egyenesben van, síkja pedig erre az egyenesre merőleges, akkor a szikrákat az elektrostatikai indukció létesíti s legnagyobbak akkor, ha a szikraközön átmenő átmérő a vibrátor tengelyével párhuzamos; ha az átmérő erre az irányra merőleges, a szikrák teljesen kimaradnak.

Ha ellenben a mágnesi erő vonalait öleli át a rezonátor, áramlásuk időszakos változása váltakozó áramot gerjeszt, mely bármilyen irányítás esetében is ad szikrákat; a hatás legnagyobb az M helyzetben, a mikor a rezonátor síkja a tengelyt magában foglalja.

760. A vibrátor tengelyével párhuzamos D fémfal a hullámokat visszaveri. Ha a rezonátort CD vonal irányában önmagával párhuzamos helyzetben eltoljuk, egyenlő közökben

maximális és minimális hatás pontjait fogjuk találni, egész hasonlóan a tranzverzálisan rezgő kötél csomóíhoz és hegyvölgyeihez.

Az ekként lemért hullámhosszt a kiszámított rezgési idővel elosztván, a sebesség értékéül mintegy 3×10^{10} C.G.S. találtatott: olyan érték, mely a fény terjedésssebességének értéke körül jár.

Azonban SARASIN és DE LA RIVE különböző nagyságú rezonátorokkal kísérletezván, azt fedezték volt fel, hogy ezekkel különböző hosszúságú hullámhosszak adódnak és pedig mindig a rezonátor periodusának megfelelő hullámhosszal.

Az első önként kínálkozó magyarázat az volna, hogy a vibrátor minden hullámhosszaságú rezgéseket végez, hogy mintegy folytonos szinképet sugároz ki; azonban valószínűbbnek tetszik a következő körülményen alapuló magyarázat.

A vibrátor elektromos rezgései valamint az elektromos ellenállás miatt, mely az energiát hővé alakítja át, úgy pedig — és különösen — azért, mert az energia a környező éterbe kisugároztatik, erősen csillapulnak; a rezgések tágasságai, mint a 872. ábrában elő van tüntetve, gyorsan kisebbednek, úgy, hogy a 10-dik már csak $\frac{1}{14}$ -része az elsőnek. Ellenben a rezonátor, minthogy alakja zárt, kifelé csak igen kevés energiát sugároz, a miért is rezgései olyan tartósak, hogy ezernyi is megolvasható belőle, mielőtt a tágassága kezdeti értéknek $\frac{1}{10}$ -re csökkent volna.

Ez a körülmény megmagyarázza a SARASIN és DE LA RIVE-től megfigyelt tényt. Ugyanis abban a legkedvezőtlenebb esetben, a mikor a vibrátor összes rezgései azonnal csillapúlnak, úgy, hogy csak egyetlen egy impulzus indul ki belőle: ez a rezonátorra úgy hat, mintha csak egy lökést közölne vele, melyből rezegni kezd a rákövetkező lökés, melyet a visszaverődött hullámtól kap, a rezgésben tovább fogja tartani, ha oly távolságra esik a faltól, melyben a két impulzus egyező fázisban van. Ha ellenben a visszavert impulzus ellentett fázissal érkezik a rezonátorhoz, azaz ha a félrezgések páratlan számával

elkésve, a rezonátort, hogy úgy mondjuk, elhallgattatja, s a szikrák elmaradnak. Beláthatjuk tehát, hogy a visszaverő faltól mért távolsága ama pontoknak, melyekben a rezonátor szikrázása maximális vagy minimális, a rezonátor méreteitől, nem pedig a vibrátortól kell, hogy függjön.

Az oly tényleges esetekben, a mikor a vibrátor csekély számú, mindinkább kisebbedő rezgést végez, a rezonátorra való hatás nyilván nagyobb lesz, ha a vibrátorral megegyező rezgésbe helyezkedik.

761. A fémfalban a hozzáérkező elektromos hullámtól indukált váltakozó áram minden pillanatban ellentett irányú a benne gerjesztett elektromos eltolódással, s ennek következtében a falon csomó támad; s tényleg, ha a rezonátort E helyzetben a fal kellő közelébe helyezzük, szikrák nem fognak mutatkozni, de ha a hullámhossz negyedrésszével távolítjuk, maximumot találunk, mert ezen a helyen a haladó és a visszatérő hullám okozta elektromos eltolódások megegyezők.

Ellenben nem támadnak ezen a helyen szikrák, ha a rezonátort az M -ben láthatóhoz hasonlóan irányítjuk, vagyis akkor, a mikor a rezonátor síkja a mágnesi erővonalakra merőleges s a szikra-útja az elektromos erővonalak irányába esik, mert ebben az esetben a beeső és a visszavert mágnesi erő-áramlás az áramkör ellenkező oldalain hatol be; minthogy e kettő egymással közel egyenlő, egymást megsemmisíti.

A csomókban, vagyis a faltól a félhullámhossznak egész sokszorosáival egyenlő távolságokban az elektromos eltolódások ellentettek s így az E -nél látható módon irányításban nincsen szikra, az M irányítás pedig maximális szikrázást indít meg, mert a mágnesi erő-áramlások ellentettek ugyan, de ellentett oldalakon lépven be, indukáló hatásuk összeadódik.

762. A vibrátorból kiinduló elektromos hullámok, a térben elterjedvén, természetes, hogy a távolsággal gyengülnek. De ha a vibrátor parabolás hengerré hajlított fémlemez gyújtó vonalá-

ban helyeztetik el, ennek a *tükörnek* felületéről visszavert hullámok párhuzamos nyalábot alkotnak s azért is nagyobb távolságig tartják meg intenzitásukat; ha az *elektromos sugaraknak* ezen nyalábja egy második, az elsővel szemben felállított hasonló parabolás tükörre esnék, a nyaláb a gyújtóvonalban épen úgy gyűjtetik össze, miként az akusztikában és optikában láttuk volt. HERTZ ezen kísérletében használt vibrátor 2—3 cm átmérőjű, 20—40 cm között változtatható hosszúságú két rézhengerből állott, melyek a végeiken ülő 3—4 cm átmérőjű gölyókkal állottak szemben. A legkisebb hullámhossz mintegy 30 cm volt. A rezonátor, mely ebben a kísérletben a második tükör gyújtó vonalában helyeztetik el, a vibrátorhoz hasonló berendezésű volt: két egyenlő hosszúságú fémdrót, melyeknek egymással szemben álló végeikből két szigetelt drót vezetett a tükörbe vágott nyíláson keresztül a tükör mögött levő szikráúthoz, hol is a megfigyelést kényelmesen lehetett végezni.

763. Mindaddig, míg a tükrök optikai tengelyei egybeesnek, a rezonátor élénk szikrákat ad, melyek akkor sem szűnnek meg, ha a sugárnyaláb útjába szigetelő testeket helyezünk, de azonnal kimaradnak, mihelyt vezető lapokat állítunk a két tükör közé. Az elektromos hullámok tehát átmennek a szigetelőkön, átmennek pl. a faajtókon, falakon; fémek, vagy másodrendű vezetők azonban útjokat vágják. Feltartják őket fémdrótból készített rácsok is, ha a drótok a tükrök gyújtó vonalával párhuzamosak; de a szikrák ismét megjelennek, ha a drótok ehhez az irányhoz hajlanak s teljes fényöket szerzik vissza, mihelyt a drótok a vibrátorra merőlegesek. A fémrács tehát épen úgy viselkedik az elektromos sugarakkal szemben, mint a turmalin (277) az egyenes vonalban sarkított fénysugarak irányában.

Ha a tükrök egyikét a párhuzamos helyzetből fokozatosan elfordítjuk, annyira, hogy gyújtó vonala végül a másikéra merőleges: a rezonátor szikrái folyton gyengülnek s végre tel-

jesen eltűnnek. A két tükör tehát az optikai polarizátor és analízátor (275) módjára viselkedik.

764. Eldöntendő, hogy az elektromos erőnek eme sugarai szenvednek-e törést is, vagy nem: HERTZ a két tükör közé hatalmas szurokprizmát állított fel, élével párhuzamosan a vibrátorhoz és a rezonátorhoz s azt tapasztalta, hogy a szikrák csakis akkor jelentek meg újra, a mikor a rezonátort tartó tükör optikai tengelye az első tükör optikai tengelyével egy bizonyos szöget zárt be. A rendszert a minimális elhajlításra állítván be, a szikrák a legfényesebbeknek mutatkoztak; a tükrök tengelyétől alkotott szög ekkor 22° , a prizma törő szöge pedig 30° lévén, a szurok törésmutatóját erre a hullámhosszra vonatkozólag 1,69-nek találta.

Később RIGHI, kisebb, 2—3 cm-nyi hullámhosszakkal dolgozván, a tükrök, a prizma s az összes többi készülékek méreteit jelentékenyen leszállíthatta s igen érdekes kísérleteket tett az elektromos sugarak teljes visszaverődésére, interferenciájára és diffrakciójára vonatkozólag. Tükrői, prizmái és lencsői akkorák voltak, a minőket az optikában szoktunk használni.

Be van tehát bizonyítva, hogy az elektromos hullámok ugyanolyan törvényeket követnek, mint a fényhullámok; ez most már arra indít bennünket, hogy megvizsgáljuk, vajjon ez a kétféle hullámzás nem egy és ugyanazon közegnek: az éternek a mozgása-e?

A HERTZ-féle vibrátorból kiinduló hullám hengeralakú, de nagy távolságban síknak vehető s a hullámfelületen, mely a terjedés irányára merőleges, az elektromos erő periodikusan változó s a vibrátor tengelyével párhuzamos; ez a hullám saját irányába eső elektromos eltolódást okoz, melynek időszakos változásait szintén periodikus mágnesi erő kíséri; ez az erő a hullám síkjába esik, az elektromos erőre pedig merőleges.

A tünemény e szerint mindenben hasonló az egyenes vonalban sarkított fény terjedéséhez.

765. HERTZ hires kísérleteit mintegy 20 évvel megelőzőleg, MAXWELL fejtette ki az ő elektromágneses fényelméletét.

Már a **394.** pontban jeleztük volt, hogy az elektrosztatikai hatások MAXWELL szerint a dielektromos közegben rugalmas reakciót támasztanak, melynek következtében ebben, valamint a vezetőekben az elektromos energia potenciális alakban marad vissza. Másrészt azt tartja MAXWELL, hogy bár hol is hasson a mágneses erő, ott mindig energia létezik; már most néhány hipotéziséből azt vezeti le, hogy az energiának ez a fajtája a közeg valamiféle mozgásából áll és értéke térfogategységenként

$$-\frac{\mathcal{H}^2 \mathcal{B}}{8\pi},$$

hol a tér intenzitása (\mathcal{H}) és a mágnesezési indukció (\mathcal{B}) ugyanazon irányúak.

Megállapította továbbá, hogy ez az ő mágnességi és elektromossági elmélete megegyezik a fény hullámzási elméletével, mely semmi egyebet nem tételez fel, mint olyan közegnek a létezését, mely képes az energia két fajának befogadására.

Ezután azoknak a feltételeknek a megállapítására tér át, melyek mellett a D dielektromos állandójú és μ mágnességi permeabilitású közegben egy elektromágnesi háborgás tovaterjed s azt találja, hogy a tovaterjedés sebességét a következő kifejezés határozza meg:

$$v = \frac{1}{\sqrt{D\mu}}. \quad (6)$$

Ha a közeg a levegő, mértékrendszerül pedig az elektrosztatikai **(515)** fogadtatik el, azaz $D=1$ és $\mu=1:c^2$, úgy $v=c$, vagyis a tovaterjedési sebességre nézve az derül ki, hogy a WEBER-féle kritikus sebességgel **(513)** egyenlő; sőt, ez az egyenlőség az elektromágnesi mértékrendszerben is fennáll, mert ebben $\mu=1$, D pedig $=1:c^2$.

Már most arra az álláspontra helyezkedvén, hogy a fény elektromágnesi háborgása ugyanannak a közegnek, mely az

elektromos és mágnesi hatásokat továbbítja, v -nek a fényterjedés sebességének kell lennie; másrészt c az elektromosság elektromágnesi egységében foglalt elektrosztatikai egységeknek a száma, mely egészen másféle módszerek segítségével határozatattik meg (513), mint a fényterjedés sebessége. Ennek a két mennyiségnek az egyenlősége tehát a MAXWELL-től felállított elmélet javára tanuskodik; HERTZ kísérletei pedig, melyek az elektromágnesi jelenségek terjedésének sebességét közvetlenül mérhetővé tették, fényesen igazolják.

766. Visszaemlékezvén arra, hogy a hullámozó mozgás terjedésének sebessége valamely rugalmas közegben (I, 289) a közeg rugalmassági modulusának a közeg sűrűségével való hányadosából vont négyzetgyökkel van kifejezve, a (6) képlet azt gyaníttatja, hogy a mágnesi permeabilitás, μ az éter sűrűségéül tekinthető, egészen azon a módon, a mint a dielektromos állandónak visszás értéke, $1 : D$ az elektromos eltolódástól (394) okozott rugalmasságot méri. A μ és D abszolút értékei ismeretlenek, de meghatározhatók a levegőre vonatkoztatott értékeik; másrészt tudva van, hogy a fénynek levegőbeli és más anyagbeli terjedésssebességei a törésmutatókkal fordítva arányosak (190), úgy, hogy ha μ a törésmutató, akkor kell, hogy legyen

$$n^2 = D\mu.$$

Már most a különböző gázok s az összes szilárd és folyós anyagok permeabilitása — kivéve a néhány erősen mágneses anyagot — a levegő permeabilitásához képest, mely az elektromágnesi mértékrendszerben 1, rendkívül csekély; ebből következik, hogy mindezen anyagok dielektromos állandóinak a törésmutatóik második hatványával arányosaknak kell lenniök.

Néhány testre nézve a kísérleti adatok és ezen elméleti fejtegetések között a megegyezés igen kielégítő, másokra nézve kevésbé. Ámde ez eltérésnek elfogadható magyarázatát találjuk, ha szem előtt tartjuk, mily óriási a különbség az elektro-

mos hullámok s a fényhullámok hossza között, melyeket a D , illetőleg n meghatározása végett mérnünk kellett s ha fontolóra vesszük azt a homályt, melyben a fénydiszperzió jelensége még mai nap is rejtőzik (191), mely szerint a rövidebb hullámok lassabban terjednek, mint a hosszúak, de nem mindig, még a látható szinkép határán belül sem, mert hiszen egyes színes anyagok anomális diszperziót mutatnak (174).

767. Az elektromágnesi fényelmélet mint egyik következményt azt hozza magával, hogy a szigetelőknek átlátszóknak kell lenniök, mert az energia nem szóródik szét bennök, a miért is az elektromágneses hullámoknak végtelenig kell bennök elterjedniök.

A vezetőkben ellenben a háborgás nem áll egyszerű elektromos eltolódásból, hanem valóságos áramból, mely alkalmas arra, hogy az elektromos energiát a fajlagos ellenállás arányában eloszssa; azért is a vezetők, ha nem verik vissza, kell hogy elnyeljék a hullámokat: vagyis átlátszatlanoknak kell lenniök.

És valóban, a legtöbb átlátszó szilárd test szigetelő, s az összes jó vezetők átlátszatlanok. Az elektrolitekre vonatkozólag, melyek bár az áramot átbocsátják, mégis átlátszók, MAXWELL a következőket jegyzi meg: A fényhullámokban az elektromos erő oly rohamossággal változtatja irányát, mely mellett föltehető, hogy nincsen idő a molekulák szétválasztására, tehát nincsen valóságos vezetés, nincsen energia-szétaszóródás s ennél fogva fénynyelés sem.

768. Az előbbiek e szerint egész világosan arra utalnak, hogy a fény minden valószínűség szerint elektromos tünemény. Hogy sugárzást előidézzünk, csak elég rövid időszakú elektromos hullámokat kell gerjesztenünk; im az a feladat kínálkozik, hogy meghatározzuk annak az áramkörnek méreteit, mely a látható szinkép hullámaival (187) összemérhető hullámokat indítana útnak, vagyis olyanokat, melyek hossza 60×10^{-6} cm körül van. Minthogy a 754. pont (5) képlete szerint a rezgésidő

$T = 2\pi \sqrt{CL}$, a terjedés sebessége pedig a **765.** pont (6) képlete szerint $v = 1 : \sqrt{D\mu}$, a hullámhossznak értéke

$$\lambda = Tv = 2\pi \sqrt{\frac{C}{D} \frac{L}{\mu}} = 60.10^{-6}.$$

Látható tehát, hogy ennek az áramkörnek olyan (elektrostatikai mértékrendszerben mért) kapacitással s olyan (elektromágnesi egységgel mért) indukcióval kellene bírnia, hogy geometriai középárányosuknak mintegy 10 milliomodrész centiméter értékűnek kellene lennie, vagyis az atomokkal egy méretűnek! Ez már valószínűvé teszi, hogy a retinát ingerlő éterhullámok tényleg az atomok elektromos rezgéseiből eredhetnek. Mindeddig nem sikerült másodpercenként 4000 milliónál több elektromos rezgést előállítani s ezek is csak igen rövid ideig voltak fenttarthatók. Hogy állandóan tudjunk 1 milliomod rész másodpercenként százmilliónyi rezgést fentartani, melyeket látásunk már észrevesz, arra más módot nem ismerünk, mint a melegítést; ez a mód azonban minden más, csak nem gazdaságos, mert hiszen a világosság alakjában felhasznált energia a felhasznált energiának rendkívül kicsiny tört része.

Más valamilyen folyamatot kell tehát találni, mely az energiáknak bármely formáját állandóan, minden másféle átalakulás kizárásával elektromos rezgéssé alakítsa át: hogy ez tényleg lehetséges, azt a természet a szent-jánosbogáron megmutatta (**225**). Sokan, közöttük TESLA, fáradoznak ebben az irányban; de bármily káprázatosak legyenek TESLA kísérletei, kétséges, hogy a követett út csakugyan el fog-e a kitűzött célhoz vezetni.

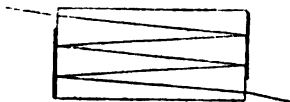
769. Térjünk át néhány tünemény leírására, melyben a fény elektromos és mágneses erők hatása alatt módosulásban részesül.

Első sorban a **mágneses forgató sarkítás** áll, melyet FARADAY az ő súlyos üvegén fedezett volt fel, s a melyet azután mások minden szilárd, folyós és gázalakú anyagon megtaláltak

volt. A tűnemény abban áll, hogy az illető anyagokon átmenő fénynek sarkítási síkja megforgattatik, ha mágneses tér hatásának vannak alávetve.

A kísérlet az 553. pontbeli 765. ábrában látható elektromágnes segítségével ismételhető, melynek két vasmagva ebből a célból hosszában át van fúrva. *H*-ban sarkító Nicol-féle hasáb (276) van, *I*-ben pedig az elemző Nicol-hasáb, mely egy körbeosztáson járó mutatóval van ellátva; a hasábok közé tétetik a vizsgálat alá veendő anyag. Mielőtt az elektromágnest fölgerjesztenők, a két Nicol-hasábot keresztbe állítjuk, úgy hogy a fény útja el legyen vágva; mihelyt az elektromágnest fölgerjesztjük, a fény újra előtűnik s hogy eloltsuk, az analizátort el kell fordítani.

Általában *pozitív irányban*, vagyis abban az irányban kell a hasábot forgatni, a mely irányban a gerjesztő áram a mágne-



874. ábra. A sugár többszörös visszaverése.

sező tekercsben kering, ha diamágneses anyagról van szó; paramágneses anyagok esetében *negatív irányban*, vagyis az előbbivel ellentétesen kell az analizátort elfordítani. Mindamellet vannak kivételek is.

Az áramot megfordítván, egyenlő, de ellentett irányú forgatást észlelünk; de ellentétben azzal, a mi a kvarcz s egyéb forgató képességgel felruházott anyagok esetében történik, a fényugarak terjedésének irányát megváltoztatván, a forgatás iránya nem változik.

Ennek az a következménye, hogy a forgatás nagyobbodik, ha a sugarat a 874. ábrában feltüntetett módon többszörösen visszaverődtetjük. A forgatás szöge azon kívül, hogy az anyagtól függ, a sugár irányában mért mágnesi tér intenzitásával

arányos az áthatolt anyag hosszával. Úgy hogy egy adott anyagra és adott hullámhosszra VERDET törvénye érvényes, mely szerint *a polarizáció síkjának a sugáron felvett két pont közötti elforgatása arányos az ezen pontok mágnesi potenciáljának különbségével.* Ha tehát ϑ a forgatás szögét, V_a és V_b a két pont mágnesi potenciálját jelenti, felírható, hogy:

$$\vartheta = \omega (V_a - V_b)$$

hol ω az u. n. **Verdet-féle állandó**, mely a test mágnesi forgató képességét határozza meg. Az állandó értéke közelítőleg arányos a hullámhossz négyzetének visszas értékével.

A nátrium fényére nézve 18° hőmérsékletű vízben ARONS szerint

$$\omega = 0,013' = \frac{0,013\pi}{180 \times 60} = 3,78 \times 10^{-6},$$

ugyanarra a fényre nézve a szénszulfidban, 18° hőmérséklet alatt (RAYLEIGH szerint)

$$\omega = 0,042' = \frac{0,042\pi}{180 \times 60} = 12,22 \times 10^{-6},$$

t° hőmérsékleten pedig

$$\omega_t = \omega \{1 - 0,00104 (t - 18) - 0,000015 (t^2 - 324)\}.$$

A vizsgálatnak alávetett valamennyi gázban a forgatás pozitív; KUNDT és RÖNTGEN szerint az oxigénben a VERDET-féle állandó $3,322 \times 10^{-6}$, a hidrogénben $4,023 \times 10^{-6}$, a nitrogénben $3,870 \times 10^{-6}$ s a szénoxidban $7,060 \times 10^{-6}$.

Ez adatok segítségével kiszámítható, hogy a fénynek a meridián mentén 253 km-t kellene befutnia, hogy a polarizáció síkja a földmágnesség hatása alatt 1° -kal megforgattassék.

770. A mágneserőnek egy másik hatását a fényre KERR fődözte fel, t. i. azt, hogy a tükrözővé tett **mágnesi sarkfelület-ről visszaverődő fény polarizáció síkja módosíttatik.** A leg-egyszerűbb eset az, hogy a sarki felület sík legyen s hogy az egyenes vonalban sarkított fény merőlegesen esik rája. Ilyenkor,

ha az elektromágnes nincsen fölgerjesztve, a visszavert fény-sugár az elemző Nicol-hasábbal tökéletesen kioltatható; de ha az áram záratik, a fény átjön s hogy újra kioltassék, kis szöggel kell az elemző hasábot megforgatni, és pedig a mágnesező árammal ellentett irányban (e szerint az északi sark jobbra kanyarodó forgatást létesít). RIGHI azt észlelte, hogy a kioltás nem tökéletes, a mennyiben az egyenesben polározott fény a fölgerjesztett mágnes sarkán való merőleges visszaverődés következtében elliptikusan polározott fénynyé alakul át.

Észrevették továbbá azt is, hogy a forgatás a hullámhosszal növekedik.

A megmágnesezett nikkal és kóbalt is megforgatja a rajtuk visszaverődő fény sarkítási síkját, és pedig a vassal egyértelműleg. Ha a vas sarkfelületét aranylemez-kével borítjuk, mágnesi forgató polarizáció nincsen többé, a mi arra utal, hogy a felületi rétegbe való behatolás hozza létre. Végül KUNDT-nak sikerült vékony átlátszó vaslemez-kéket készítenie, és megállapította, hogy bennök, ha mágnesi térbe helyeztetnek, a polarizáció síkja a mágnesező áram irányában elforgattatik.

771. Ha az egyenesen polározott fényt a terjedés irányára merőleges, időszakosan változó elektromos eltolódásnak tekintjük, a forgatás eme jelenségei arra figyelmeztetnek, hogy a mágneses tér abban a közegben, melyben az ilyenfajta váltakozó áramok tovaterjednek, ezekre az áramokra s a mágnesi térre merőleges elektromos erőket ébreszt; az ekként gerjesztett erő-től okozott elektromos eltolódás az eredetivel összeadódván, eredő váltakozó áram jön létre, mely az eredeti áramiránynyal szöget zár be.

772. A Hall-féle tűnemény elektromos mássa emez optikai jelenségeknek, melyek azt tárták fel, hogy váltakozó elektromos eltolódásoknak alávetett közegekben a mágnesi tér tranzverzális elektromos erőket ébreszt. HALL négyszögletes fémlapon keresztül *A* és *B* pontok között (875. ábra) elektromos áramot

bocsátott, s két egyenlő potenciálú pontját, D és H pontokat galvanométerrel kötötte össze, mely ekkor nem tért ki; de ha az áram irányára merőleges mágnesi teret állított elő, D és H pontokból áram ágazódott el. Ha ezen áram intenzitását a galvanométer i értéket ad, s ha r a vezetőknek H és D közötti ellenállása, akkor az ezen pontok között létesülő elektromos potenciálkülönbség

$$ir = V;$$

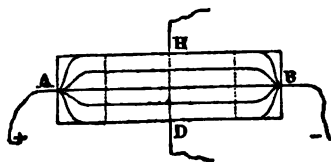
ha továbbá \mathcal{H} mágnesi a tér intenzitása, I a főáram intenzitása, l pedig a fémlemez vastagsága, ez adatok s a potenciál között a következő kapcsolat találtatott:

$$\frac{Vl}{I\mathcal{H}} = C,$$

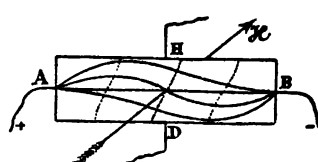
hol C az illető fém anyagi minőségétől függő állandó.

$C \times 10^{16}$ értékeül a, $20^\circ C$. hőmérsékleten HALL a következő adatokat kapta:

Réz	---	---	---	---	---	520	Kóbalt	---	---	---	+	2460
Czink	---	---	---	---	+	820	Nikkel	---	---	---	---	14740
Vas	---	---	---	---	+	7850	Bismút	---	---	---	---	8580000
Lágy aczél	---	---	---	---	+	12060	Antimón	---	---	---	+	114000
Edzett	---	---	---	---	+	33000	Arany	---	---	---	---	660



875. ábra.



876. ábra.

A Hall-féle tűnemény.

A + előjel azokat a fémeket illeti, melyekben az elágaztatott áram H -ból a galvanométeren keresztül D felé halad, vagyis abban az irányban, a melyben a nyíllal (876. ábra) megadott irányú mágnesi tér ponderomótoros hatása az AB áram vezetőjét mozgatni törekszik.

A 875. ábrában az elektromos áramlás vonalai folytonosan vannak kihúzva, az elektromos potenciál vonalai pedig ki-pontozva.

A mágnesi tér hatása alatt a vonalak eme két rendszere a 876. ábrában látható módon torzul, mely rajz egy negatív fémnek, a minő a bizmút, felel meg.

Ezzel a folytonos áramokra ahhoz hasonló hatás van be-bizonyítva, a minőt KERR kísérletei a rohamosan váltakozó ára-mokra nézve — a melyek MAXWELL elmélete szerint a fényt alkotják — feltártak volt. Ámde az összehasonlíthatóság ennél tovább nem terjed, minthogy a HALL-féle C állandó értékei a fényt alkotó elektromágnesi hullámokra már nem érvényesek. Így C a vasra nézve pozitív, a nikkelle nézve pedig negatív, míg ellenben eme fémek mágnes-optikai tulajdonságai megegyezők; azonkívül C a bizmútra nézve a legnagyobb, a melyen pedig mindeddig a legcsekélyebb mágnes-optikai hatást sem lehetett fölfedezni.

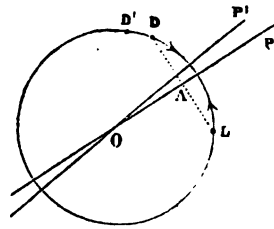
773. Említettük volt már a KERR-től fölfedezett **elektro-mos kettős törést**. Ennek megmutatása végett két NICOL-hasáb közé párhuzamos falú üvegdezsába szénszulfidot öntünk, s egy sűrítő fegyverzeteivel közlekedő két fémlemezket mártunk be-léje, úgy, hogy a sarkító hasábból jövő fény épen közöttük menjen át. Most a Nicol-hasábokat keresztbe állítván, a sűrítőt megtöltjük: az elemző prizma tere nyomban megvilágosodik s a chromatikus polarizáció (283) tüneményét mutatja, épen úgy, mintha a hasábok között a tengelylyel párhuzamosan hasított kettős törő lemez foglaltatnék. KERR megállapította, hogy a rendes s a rendkívüli sugár útkülönbsége a fénytől áthatolt dielektrikum minden centiméterére az elektromos tér intenzi-tásának második hatványával arányos.

A szénszulfid úgy hat, mint a tér irányában nyújtott üveg s mindazon folyadékok, melyek ugyanúgy viselkedtek, poziti-voknak vétettek; mások, a minők pl. zsíros olajok, melyek a tér

irányában összenyomott üveg módjára hatnak, negatívoknak neveztettek.

774. A mágnességnek s az elektromosságnak előbbiekben tárgyalt hatásai a fényre, arra utalnak, hogy a legkülönbözőbb anyagi közegek olyanféle módosulásokat szenvednek, melyeknél fogva bennök a hullámok terjedése különböző lesz, a szerint, a mint az elektromos eltolódások, melyek a hullámfelületre mindig merőlegesek, egyik vagy másik irányban történtek.

Egyenes vonalban sarkított fénynyaláb, mint a **297**-ben láttuk, két ellentett irányúlag körben sarkított nyalábból eredőnek tekinthető, s azért elégséges, ha a jobbra kanyarodó áramokra nézve (877. ábra *D*) a mágnesi permeabilitás (μ) nagyobb, mint a balra kanyarodókra (*L*) nézve, hogy az elsőkre nézve a terjedési sebesség, azaz $v = 1/\sqrt{\mu D}$ kisebbé váljék s ennek következtében a kilépő fény kitérése a belépőhöz képest *POP'* szöggel balfelé elfordítva legyen. LODGE megjegyezte, hogy ez valószínűleg a hiszterézis következtében történik, mert hiszen ez okozza, hogy a mágnesi permeabilitásnak különbözőnek kell lennie a szerint, a mint a körbeli összetevő (circularis componens) a mágnesező árammal egyértelműleg a mágnesi indukciót nagyobbítani törekszik, vagy ellenkezőleg.



877. ábra. A sarkítási sík elfordítása.

Egészen hasonló módon adhatunk számot az elektromos kettőtörésről is, ha az egyenesben sarkított fénynyalábot ezúttal két egyenes vonalúlag, de egymásra merőleges síkokban sarkított fénynyaláb eredőjének tekintjük (**290**).

Ugyanis a dielektrikumok is mutatnak hiszterézist az elektromos hatásokkal szemben, s ennél fogva a D állandónak különböző értékűnek kell lennie a szerint, a mint a hullámozgásbeli eltolódások az előzőleg létező elektromos térre merőlegesek, avagy párhuzamosak vele.

Mindamellett tanácsos szem előtt tartani, hogy ez a Lodge-től eredő magyarázat komoly ellenvetésekkel találkozott s a mint általában még igen-igen messze vagyunk attól, hogy részletesen tudjunk számot adni mindarról, a mit a mágneses és elektromos erőknek a fénytüneményekre való hatásából eddig felismertünk.

A fény elektromágnesi elmélete azonban már is biztos kísérleti alapon nyugszik, úgy hogy az optika az elektromosság tanának egyik fejezetévé kezd válni.

775. Ennek a bámulatos elméletnek kísérleti igazolása viszont elterjesztette MAXWELL-nek az elektromos hatásokra vonatkozólag kifejtett eszméit: utat tör magának az a meggyőződés, hogy a jelenségek eme csoportjáról alkotott s ez idő szerint megszokott összes képzeiteinket el kell hagynunk. A vezetőket úgy képzeltük volt magunknak, hogy ők az elektromos áramot alkotó mozgásnak tovább vivői s azt képeltük, hogy a szigetelő közeg ennek a mozgásnak szétszóródása ellenében gátat emel. Ma viszont inkább ama nézet felé hajlunk, hogy az elektromos s a mágnesi energia éppen ebben a közegben rejtőzik s az ő működése révén terjed tova s hogy mihelyt a vezető drót felületéhez érkezik, lassan beléje hatolván, hővé alakul át.

Folytonos áramok esetében a hő a drót egész keresztmetszetében, egyenletesen fejlődik, de a váltakozó áramok esetében a hőfejlődés annál csekélyebb mélységig hatol, mennél szaporábban ismétlődnek az áramok, úgy hogy az igen rövid időszakú váltakozás esetében a fémbe le nem győzhető akadályra találunk s az egész jelenség csupán csak a felületen megy végbe, melynek most mindössze csak az a feladata, hogy az energiának a terjedésében vezetékül szolgáljon.

LIII. FEJEZET.

LÉGKÖRI ELEKTROMOSSÁG.

776. Már eléggé el volt terjedve az a sejtelen, hogy a villámok elektromos kisülések, midőn 1752-ben FRANKLIN sugalmazására DALIBARD-nak sikerült valósággal a földre levezetnie a felhők elektromosságát, és pedig csúcsban végződő magas vaspózna segítségével; nem sokára ezután maga FRANKLIN is, egy viharos napon, magasra bocsátott sárkányának kenderzsinégéből, a melyet óvatosságból selyemszalaggal toldott volt meg, a hozzá közelített kulccsal elektromos szikrát csalt ki. Másrészt az ezután tett számos kísérletből, melyeknek RICHMANN áldozatul esett, mert villámcsapástól halt meg, teljes bizonyossággal kitűnt, hogy a zivataros felhők elektromossággal vannak megterhelve.

777. A felhők számtalan vízcseppecskéből állanak, melyek mind megannyi apró, elektromozott és rosszabb vezető közegben szétszórt vezetőknél tekinthetők. Vannak, a kik elektromosságuk okául a növényi életet, vannak a kik a párolgást, vannak a kik a vízcseppecskéknek a magas légrétegekben levő jégreszecskékhez való dörzsölődését* tekintik; végre vannak, a kik a légköri elektromosság szülő okául nagyobb valószínűséggel, azt az alacsonyabb potenciált fogadják el, a melyen a föld a saját légkörével szemben van (788). De nem lehetetlen, hogy ezek a különböző körülmények mind közreműködnek.

* SOHNKE jénai tanárt megelőzve, már LUVINI tanár állított fel, FARADAY-nak egy régi kísérletére támaszkodva, illetén elméletet a légköri elektromosság eredetére nézve.

Midőn a cseppecskék nagyobb cseppekké egyesülnek, a felhő potenciálja emelkedik,* és a szomszédos felhőkétől és az alatta levő talajától olyannyira különbözővé válhatik, hogy legyőzi a levegő ellenállását. Az első esetben **villám**, az utóbbiban **villámcsapás** (mennykőcsapás) keletkezik.

778. Kisüléskor csakis a felhő felületén levő elektromosság áramlik át; de a belső részek egyensúlya meg van zavarva, s egymás között más kisülések létesülnek, mignem új egyensúly jön létre. Ily módon magyarázható meg a dörgés zaja, melynek tartamát különben még annak is tulajdoníthatjuk, hogy a dűbörgés a felhőkön vagy hegyeken visszaverődik.

A villámnak tartama mindig rövidebb egy ezred másodpercénél, bár a képeknek a retinán való maradandósága miatt az ellenkező volna feltehető. Erről meggyőződhetünk, ha egy korongot, melynek felváltva fehér és fekete kimetszései vannak, gyorsan forgatunk; folytonos megvilágításban szürkének látszik, de mindenkor mozdulatlanak látszik, ha villám világítja meg: ez azt bizonyítja, hogy a villám kevesebb ideig tart, mint a mennyi megkivántatik, hogy egy fekete kimetszés egy fehérnek a helyébe jusson.

779. ARAGO a **villámoknak három osztályát** különbözteti meg. A *vonalas villámok* kigyódzó tüzes vonalak (**415**, **673. ábra**), melyeknek hossza meghatározható, ha távolságát levezetjük azon időből, mely alatt a dörgés a megfigyelőnek füléig ér (**I, 289**), és megmérjük a végpontjaitól befogott szö-

* Ha ugyanis elhanyagoljuk a kölcsönös megosztásokat, r sugarú és v potenciálú n gömböcskének összes töltése nvr fog lenni; s ez a töltés, ha a gömböcskék egyesüléséből származó egyetlen gömbön, tehát $\sqrt[3]{n}$ sugarú gömbön van elosztva, e gömböt az

$$\frac{nvr}{r \sqrt[3]{n}} = v \sqrt[3]{n^2}$$

potenciálra emeli, mely érték, ha $n > 1$, nagyobb v -nél.

get. 12 km-től 15 km-ig terjedő hosszaik roppant nagyoknak tűnhetnek elő azokhoz a szikrákhoz képest, melyeket laboratóriumainkban létesítünk, de eme hosszakat érthetővé teszik a levegőnek eme magasságokban való kisebb sűrűsége (420), a közbeeső felhők (418) és az a tény, melynél fogva bizonyos határon túl az ütőtávolság sokkal gyorsabban növekszik a potenciál-különbségnél (413).

A második osztálybeli villámok valamely felhőnek vagy az egész felületét, vagy minden körvonalát világítják meg, és vagy belső kisüléseknek, vagy szintén a közvetetlen meglátás elől elrejtett kisüléseknek szokták őket tulajdonítani. Ide tartoznak azok a villogások is, melyek valószínűleg a horizont alatt lezajló viharoktól származnak és sokkal messzebb vannak, semhogy dörgésüket meghallhatnók.

A gömbalakú villámokról azt mondják, hogy tűzgolyók, melyek lassan mozognak és szétpattanva eltűnnek; de félő, hogy eme tűnemény megfigyelői, a tudományban járatlan emberek, csalódásoknak vannak alávetve és hogy leírásaik az ijedt képzeletet tükröztetik vissza; ennél fogva vannak, a kik még kétségbe is vonják az ilyen kisülések létét.

780. Ha meg akarjuk határozni kisebb-nagyobb valószínűségét annak, hogy a villám adott pontba lecsap, figyelembe kell venni mindazokat a körülményeket, melyekről láttuk (413), hogy az ütőtávolságra hatással vannak.

Egyenlő vezető képesség mellett minden egyéb körülménynél nagyobb hatással van a nagy víztömegekkel való közlekedés és a környező pontok fölé való emelkedés.

Hogy valamely épületet megóvjunk, jól szem előtt kell tartanunk, hogy a károk ott állanak elő, hol az elektromosság terjedése, akár a csekély vezető képesség, akár az anyag kicsiny átmetszete miatt, ellenállásra talál; ily helyeken törés-zúzás, izzítás, olvasztás és gyújtás jöhet létre, míg a csekély ellenállású pontokban az egész hatás gyenge melegítésre szorítkozik.

781. FRANKLIN villámhárítója a végén kihegyezett fém-rúd, mely az épület tetejére van helyezve és vastag fémi vezető révén az állandó talajvízzel vagy legalább a maradandóan nedves talajjal, s ezen az úton a tengerrel közlekedik. Feladata rendszerint az, hogy megakadályozza a rohamos kisüléseket, azaz hogy ezeket lassú kisülésekké alakítsa át, melyek éj idején fénypamat (358) alakját öltik, melyek mindenben megegyeznek a Szent Elmo tűzével, melyet a tengerészek az árboczok csúcsain látnak. De midőn az elektromos egyensúly nagyon rohamosan bomlik fel, úgy hogy a lassú kiáramlásnak nincs elég ideje, hogy végbemehessen: a megosztó felhőhöz közelebb levő villámhárítónak, mely a földdel jobb összeköttetésben van, mint az épület többi részei, az a második feladata van, hogy az épületet megvédje, mert az elektromosságnak kisebb ellenállású utat nyit.

Első feladatának jobban megfelelhet, ha csúcsa túlalakú, miért is azelőtt a villámhárítók csúcsait platinából készítették, hogy az oxidáció miatt el ne pusztuljanak. De mivel később kiderült, hogy a megóvó hatás daczára a villám épen úgy lecsaphat, s lecsapás után a csúcsot, vékonysága és a platina nagy fajlagos ellenállása miatt, megolvasztja: jelenleg czélszerűbbnek vélik, hogy a villámhárító rézkúpban végződjék, melynek csúcsszöge 30° . Mások ellenben jobbnak vélik, ha több szétágazó csúcsban végződik.

Fontos az, hogy a csúcs és a talaj között folytonos vezető (rendszerint vasból való) legyen, melylyel az épület fémtömegei közlekedjenek, és hogy a nedves talajjal való kapcsolata jó és tökéletes legyen, városokban pedig a víz- és gázvezetékek legyenek összekötve. Le kell küzdeni azt a nagyon is elterjedt balvéleményt, hogy a villám robbanást okozhat. A gázcsövek elég vastagok arra, hogy tetemesen meg ne melegedjenek, és ha megmelegednének is, a gáz csak akkor robbanhat fel, ha levegővel van keverve.

782. Mindez igen jól menne, ha állandó, vagy pedig lassan változó áramok forognának szóban; ámde a hirtelen kisülés esetében, kivált ha rezgésszerű — a villám pedig ilyen — nem szabad szem előtt téveszteni egy másik igen fontos tényezőt t. i. az önindukciót (**738**), mely az elektromosság átáramlásának a tulajdonképeni ellenállásnál jóban nagyobb akadályt emelvén, az **oldallagos kisülések** keletkezésére adhat alkalmat, a mi a következőkben igen könnyen bebizonyítható.

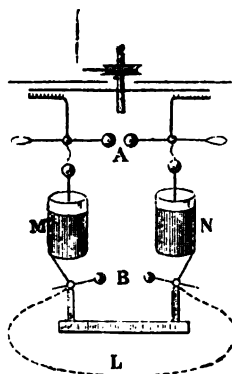
Egy telep kisütőjéből a hozzája közelített vezetőbe a kisülés pillanatában szikra csap át; minthogy ezt már jó régen felismerték, a kisütőt (**376.** pont 657. ábra) szigetelő nyéllel látták el.

Ha a kisütő gömbjeit hosszú, selyemmel szigetelt fémdrót-tal összekötjük, a kisülés pillanatában szikrák fognak jelentkezni mindenütt, a hol a drót kereszteződik.

Ha a kisütőhöz kötött drót oly hosszú, hogy az egész szobán, melyben a kísérletek folynak, körülfut: a kisülés pillanatában bármely pontjából szikra húzható, még ha a víz- és gázvezetékekkel is közlekedik; sőt ez utóbbi vezetőkben is kicsalhatók szikrák a kisülés pillanatában, valamint az olyan vezetőkben is, melyek a vezetékekhez közel állanak, a nélkül, hogy közvetlenül érintenék.

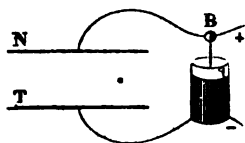
Igen tanulságos a 878. ábrában előtüntetett kísérleti berendezés, mely 878. ábra. Oldallagos kisülés. LODGE-től ered. A mellett látható a HOLTZ-féle gép két kisütő golyója, melyek *M* és *N* leyden palaczkok belső fegyverzeteivel közlekednek; a külső fegyverzetek az ú. n. általános kisütő golyóival vannak vezetőleg összekötve, mely utóbbiak közé még *L* vezető drót van közbekapcsolva.

Míg a palaczkok töltetnek, a gépből jövő folytonos és lassú áramlás *L*-ben elektromos áramot okoz s *B*-ben szikrák nem

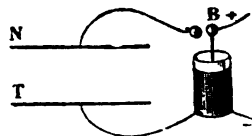


láthatók. De ha a belső fegyverzetek között a potenciál a megkívántató értékre emelkedik, s *A*-ban szikra üt át, *B*-ben egy második szikra csap át, bár a külső fegyverzetek elektromosságának az *L* vezető út áll rendelkezésére, melynek ellenállása pedig összehasonlíthatatlanul kisebb, mint *B* szikraúté.

A távolság, melyre a *B* golyók egymástól állíthatók a nélkül, hogy a szikrák elmaradnának, az *L* vezető ellenállásától, de sokkal inkább önindukcióbeli állandójától függ, és a mi különösen feltűnő, jóval meghaladhatja az *A* szikraút hosszát.

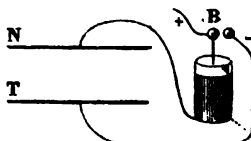


879. ábra. Lodge kísérlete a lassú kisülés példázására.



880. ábra. Lodge kísérlete a hirtelen kisülés példázására.

Ezzel szembeeszköen meg van mutatva, mily alaposan különböző egymástól a lassú s a hirtelen kisülések viselkedése: az előbbiek egyszerűen az OHM-féle törvényt követik, az utóbbiakat ellenben az önindukció jelentékenyen feltartóztatja;



881. ábra. Lodge kísérlete a hirtelen kisülés példázására.

ugyanígy a villám útja a telepek áramának útjától igen különbözővé lehet.

Hogy megmutassa a két előállható esetet, LODGE a 879., 880. és 881. ábrában előállított kísérleteket gondolta ki. *N* és *T* szigetelt fémlemezek a felhőt s a földet ábrázolják, mely utóbbira különböző árgyak állítandók, ú. m. kupolácska, kúp,

gömb, csúcs, láng stb. eff. Most tölteni kezdjük a *B* palaczkot, a gép felé a $+$ és $-$ jelek mellett álló drótokat közlekedtetvén. Az első esetben a csúcs és a láng útát nyit az elektromosságnak, s ekként megvédi a többi tárgyakat; a másik két esetben ellenben a golyók között *B*-nél átütő szikra a lemezek között hirtelen kisülést okoz s az ott álló tárgyak bármelyikébe csaphat a szikra, még akkor is, ha az alsó laptól el van szigetelve.

783. Már ez a néhány észrevétel is elegendő arra, hogy a **781.** pontban leírt villámhárító nyújtotta védelem hatásossága iránt kétséget támaszszon.

Megeshetik, hogy a felhő hirtelen kisülése a villámhárító nyársába s ugyanakkor az épület valamely más pontjába sújt le; valamint megeshetik az is, hogy a villám nem a villámhárító vezetésén, hanem egészen más, összehasonlíthatatlanul nagyobb ellenállású úton szalad le a talajba.

Talán arra a gondolatra is juthatnánk, hogy a védelem legbiztosabb eszköze az lenne, ha az egész épületet fémburkolattal vennők körül, mely ekkor, mint FARADAY ketrecze (**322**), minden elektrosztatikai hatás alól elvonatnék. Csakhogy jó lesz meg nem feledkezni arról, hogy ez a törvény csak akkor áll, a mikor az elektromos egyensúly már el van érve, a mennyiben a belső pontokban igenis vannak elektromos hatások, mialatt az elektromosság gyülemlik; ha más nem, hát hő fejlődik. Tehát éppen nem kell hinni, hogy villámcsapás pillanatában egy fémház belsejében mi sem érezhető: a falak mindenesetre melegegnek, s ha puskapor vagy dinamit van benne, ez bizony felrobbanhat. Mindamellet a felrobbanás veszedelme elhárítható, ha a falaknak bizonyos vastagságuk van, de még ez esetben is tanácsos a puskaorraktárak falait, tetőzetét, padlóját vastag fémlemezzel kibélelni. Voltaképen nyereségesebb lenne az egész épületet a talajtól elszigetelve fölépíteni, mert kicsiny kapacitásánál fogva a felhőétől igen kevésbé különböző potenciálra töltődnek s így sokkal kisebb mennyiségű elektromosság áramlana

rajta keresztül; ámde az ilyen fémmel burkolt s a talajtól szigetelt épület égi háború idején a mellette elmenőkre s a környező épületekre nézve, igen veszedelmessé válnék.

784. Másrészt emlékezzünk csak vissza arra, hogy ha az elektromos hatásoknak eredőjét a belső pontokban zérusra akarjuk leszállítani, nem szükséges a vezető burkolatnak folytonosnak lennie: elég, ha bő fémhálóból készül; emlékezzünk vissza továbbá arra is, hogy a háló az egyensúly hirtelen bomlásakor a körülfogott testekre nézve védő ernyőként is szolgálhat, a mennyiben a rendkívül szaporán váltakozó elektromos eltolódások a vezetőnek csupán csak a legfelső rétegére szorítkoznak s rá fogunk jönni azokra a gyakorlati szabályokra, melyeket MELSENS Brüsszel városházának megvédésében követett volt.

A fémháló vas drótokból, vagy még jobban, csövekből vagy szalagokból készült, melyek a háztető gerinczén, párkányzatán, továbbá a falazat minden kiugró részén, és kiszögellésén végigfutnak. A víz- és gázvezetékek közlekedésbe helyeztetik a hálózat tal a házba való belépése helyén s általában minden pontján, mely a hálózat közelébe jut; ugyanez történik az esőgyűjtő csatornákkal és csövekkel, valamint az épületben levő minden nagyobb fémtárggyal is, még pedig úgy, hogy ez utóbbiak mindkét vége köttetik a hálózathoz. A hálózat s a talaj között számos közlekedés állítatik elő, mely közlekedés terjedelmes fémlapok révén egészen a talajvizig (kutak, források, folyók) terjesztetik ki. A hálózat igen sok csúcscsal láttatik el, melyek nem hosszúak ugyan, de mindenfelé, különösen pedig az épület kiemelkedő részeire vannak elosztva.

De mindenek felett mindent el kell követni arra nézve, hogy a talajjal való közlekedés lehetőleg tökéletes, jó karban legyen, mert e nélkül a villámhárító mit sem használ, sőt esetleg veszedelmes.

785. Hogy a légkör az ő elektromos állapotának jeleit adja, ahhoz nem szükséges, hogy viharos felhők legyenek jelen a szemhatár fölött.

Ezt BECCARIA példája nyomán akként mutatták ki, hogy vezető és a talajtól elszigetelt póznákat állítottak fel, melyeknek alsó vége elektroszkóppal volt összekötve.

Az ilyen póznák, igen kevés kivétellel, pozitívoknak mutatkoztak, midőn az ég tiszta volt, vagy más szavakkal jó időben mindig magasabb potenciálon levőknek találtattak, mint az alattuk levő talaj, de potenciáljuk az idővel nagyon változó volt.

Egyazon időpontban két szomszédos pózna közül a magasabbiknak magasabb potenciálja is van.

Hogy ezt a kísérletet kellőképen megmagyarázzuk, emlékezzünk vissza, hogy a midőn egy szigetelt vezető az elektromos megosztásnak van alávetve (311), az ellenkező nevű két állapotot vesz fel, melyeket egy semleges öv választ el. Ha a pózna alsó vége pozitívnak mutatkozik, ebből azt kell következtetnünk, hogy a légkör felső rétegei pozitív elektromosak a földfelülethez képest, vagy pedig hogy a föld negatív a légköréhez képest.

Ha a póznát elektrométerrel (417) kötjük össze, a műszer kitérései a talaj és a pózna közötti potenciál-különbség mértékét szolgáltatják. Ha a pózna matematikai csúcspontban végződne, az elektromosság itt nem maradhatna egyensúlyban, kivéve ha a csúcsra semmiféle elektromos erő sem hatna; azaz ha a potenciálnak ugyanazon értéke volna a póznán és a térnek közvetlenül a pózna csúcsa fölött levő pontjában.

Azonban az anyagi csúcsok, melyeket készíthetünk, sohasem tökéletesek, még a legfinomabb varrótűké sem; ennél fogva a vezető póznának potenciálja valamiképp mindig alacsonyabb, mint a tér, melybe belenyúl.

786. A potenciál valódi értéke a levegőnek adott pontjában a legjobban meghatározható a VOLTA-tól kigondolt módon. Az illető pontba egy fémlámpa lángját helyezzük, a lámpát az elektrométerrel drót révén összekötjük, a földtől pe-

dig elszigeteljük. A láng hatásosabb a csúcsoknál, mert a belőle elszálló égési termékek magukkal viszik az elektromosságot, melylyel a vezető felülete töltve van, s ez mindaddig tart, míg potenciálja nem egyezik meg azon pontokéval, melyekbe az égési termékek, a gázok kiömlenek.

Lámpa helyett kényelmesebben használható egy kicsiny mécs, melynek kanócza ólomnitráttal itatott papiros tekercsből áll. Lord KELVIN javaslatára használható még egy fémedény is, mely szigetelő lábakon áll (306, 630. ábra), vizet tartalmaz, és csővel van ellátva, melyen a víz cseppenként kifolyik.

Az elektromos egyensúly akkor jön létre, a midőn az edény a kifolyás nyílása körül uralkodó potenciált vette fel; ezt a quadráns-elektrométerrel határozzuk meg, mely egyrészt a talajjal, másrészt vékony drót révén az edénnyel közlekedik.

Ily módon a légkörben levő megvizsgált pont és a talaj közötti potenciál-különbség ismeretére jutunk. E különbség függ a levegő elektromosságától és mindazon elektromosság-mennyiségektől, melyek eme pontra hatással vannak, és a talaj különböző egyenetlenségein vagy a felhőkön szétosztva lehetnek, vagy pedig a légköri áramoktól továbbítottnak. De a mikor az ég derült, állandóan pozitív, és a talaj fölé való emelkedéssel együtt növekszik.*

787. Ha az elektrométer tükröskéje elé petroleumlángot teszünk s ennek képét gyűjtőlencsével fotográfus papirosra vetítjük, melyet óramű függélyes irányban mozgat: megkaphatjuk azt a görbét, mely kifejezi a potenciál naponkénti változásának törvényét.

Az e fajta folytonos megfigyelésekből, melyek ez idő szerint néhány obszervatoriumban tétetnek, kitűnt, hogy egymás-

* Érdekes megjegyezni, hogy PALMIERI ellenkezőleg mindig azt találta, hogy a Vezuv obszervatóriumán a potenciál alacsonyabb, mint Capodimonte-ben, s itt alacsonyabb, mint Nápolyban.

hoz közel eső pontokban a változás törvénye nem nagyon különböző; de napról napra és országról országra igen bonyolódott és változó, elannyira, hogy a Collège de France-on kétségbe vonták a QUETELET-től jelzett naponkénti két maximumot és minimumot, míg más állomásokon szembeötlő volt.

788. Hogy minden egyéb hatás kizárásával, tisztán csak a levegő elektromossága essék mérés alá, az észlelés alá vett pontot meghatározott méretű és alakú, öregszemű hálóval veszik körül s ezt a földbe levezetik: ez most a külső megosztás ellenében védő ernyőként szerepel* s a levegő, a hálón szabadon átáramolván, a pontot a légkör illető pontbeli potenciáljára emeli.

Ha már most az ilyen megfigyelésekből eredő görbét a légkörben szabadon álló pontéval összehasonlítjuk, amabban ez utóbbinak minden, vagy majdnem minden rohamos változását megtaláljuk; de nem úgy a lassú változásokat, melyek ennek naponkénti két maximumát és minimumát föltárják.

Arra vagyunk tehát készítetve, hogy a potenciálnak szabad légkörbeli lassú és időszakos változásait az egész légkörben, főképen pedig a felső rétegekben végbemenő mozgásoknak tulajdonítsuk, a hirtelen változásokról pedig azt tételezzük fel, hogy ezek inkább a helyi mozgásokból erednek, melyek csakis a vizsgálatnak alávetett pont szomszédságában mennek végbe. Innét van, hogy ez utóbbira minden véletlen, mely a környező testeken megesik, hatalmasan érvényesül.

* Kiszámítható, hogy R sugarú vezető gömbbe zárt levegő, ha térfogategységenként ρ töltése van, a gömb középpontjában a

$$V = 2\pi\rho R^2$$

potenciált létesíti.

Ha tehát a burkolat s ennek középpontja közötti potenciálkülönbséget abszolút mértékekben meghatározzuk, ebből a burkolatba zárt levegő elektromos sűrűségére legott a következő értéket kapjuk:

$$\rho = \frac{V}{2\pi R^2}.$$

789. Az elektrikusoknak 1884-iki nemzetközi kongresszusa azt ajánlotta, hogy a kormányok támogassák az illetén állandó feljegyzéseket, mert ezek nélkül nem remélhető, hogy hozzáférhessünk a **légköri elektromosság** szövevényes és még igen rejtelmes **problémájának** megoldásához, melyet LORD KELVIN felfogása nyomán, záradécul a következőkben fogunk vázolni.

A Föld az ő tengereivel, növényzettel borított kontinenseivel, vízzel nedvesített szirteivel nagy vezetőnek tekinthető, légköre pedig szigetelő burkolatnak, melyben helylyel-közzel apró vezetők vannak szétszórva; ilyenek volnának a repülő madarak, a lehulló kövek, gyümölcsök és falevelek, a felhőket alkotó vízcseppecskék, az esőcseppek, a patakok és a zuhogóktól elváló cseppek.

Ha tehát nem tekintünk valamelyes helyi tünetenyre, az egész Földnek adott pillanatban egyazon elektromos potenciálion kell lennie **(345)**. Ezzel nem azt mondjuk, hogy az elektromos viszonyoknak mindenütt ugyanazoknak kell lenniök; megeshetik, hogy némely vidékeken a pozitív, másokon meg a negatív elektromos állapot uralkodik, a melyeket semleges vonalak különítenek el.

Ha azonban a Föld nem volna semmi külső hatásnak alávetve és ha gömbalakú volna, az elektromosságnak egyenletesen kellene rajta elosztva lennie.

A lapos ellipszoid alak mellett az elektromos sűrűség az egyenlítőn mintegy $\frac{1}{300}$ -dal volna nagyobb, mint a sarkokon **(354)**. De a hegyek, a fák, az épületek és a tenger hullámai bizonyára annyira bonyolítják a konfigurációját, hogy a sűrűségnek, tehát a Föld különböző pontjain uralkodó elektromos feszültségnek **(356)** is a kiszámítása az analízis hatalma körén messze kívül esik.

Mindenesetre nem nagyot tévednénk, ha feltennők, hogy az egy bizonyos, valamennyire terjedelmes vidéken tényleg fel-

halmozott elektromosság mennyisége egyenlő azzal a mennyiséggel, mely ugyanezen a vidéken meg volna, ha a Föld egy csapásra annyira kisímúlna, mint az óceán, a mikor csendes.

Ha a Föld az egyedüli vezető volna, mely szigetelő térben jelen van, egész felületének egynevezetűleg elektromosnak kellene lennie, és pedig egészen negatívnak kellene lennie, mert megfigyeltetett (786), hogy a mikor az ég tiszta, az elektromos potenciál általában véve fokozatosan emelkedik, ha a tenger színétől fölfelé emelkedünk.

De a Föld, a Hold, a bolygók, a meteoritek és a csillagok társaságában van, s legott felmerül a kérdés, vajjon a Föld és a többi égi test között nincsenek-e elektromos hatások?

A dolog valószínű ugyan, de nem bizonyos. Valóban, nagyon is meglehet, hogy a Föld akként szerepel, mint a belső fegyverzete egy nagy sűrítőnek, melynek szigetelő rétege a levegő alacsonyabb rétegei volnának, míg a magasabb és kevésbé sűrű, tehát vezető (420) rétegek alkotnák a külső fegyverzetet, melynek a Föld negatív töltésével abszolút érték szerint egyenlő pozitív töltése volna. Ez esetben a Föld elektromos hatásainak eredője a többi bolygóra zérus volna.

Van még egy harmadik lehetséges eset, sőt úgy látszik, a valóságnak ez felel meg; nevezetesen hogy a talajtól néhány kilométernyire többé-kevésbé elektromozott légtömegek kalandoznak ide s tova még akkor is, midőn a légkör egészen átlátszó és tiszta. Eme hipotézis javára válik az a tény, hogy a légkör különböző pontjainak potenciáljai igen rohamos változásoknak vannak alávetve, melyek nem maradnak egymással arányosak.

Igaz, hogy az ilyen légtömegek elektromossága jó időben csaknem mindig pozitívnak mutatkozik; de azt épen nem tudhatjuk, vajjon képes-e a talaj negatív elektromosságát egyensúlyozni*, s még kevésbé tudjuk a székhelyét megjelölni.

* Nem fölösleges, hogy emlékezetbe idézzük a 353. pontban mondottakat, azaz hogy bárminő is a Föld potenciálja, jogosan feltehet-

Már ez a vázlat is elegendő arra, hogy méltán kételkedjünk a napi és évi időszakosság bizonyos törvényeinek értékében, melyeket a földgömb egynéhány pontján, legfeljebb két óránként tett megfigyelések alapján állítottak fel, és hogy belássuk a különböző helyeken egymással összehasonlítható műszerekkel tett folytonos és egyidejű megfigyelések egész sorának nagy fontosságát.


A dolog rendkívül bonyolódottá válik rossz időben. A vízgőz felszáll a Föld negatív töltésével s összekeverődik a pozitív elektromos levegővel, miből majd az egyik, majd a másik elektromos állapot származhatik. Valóban, borult időben az elektrométerek igen gyenge pozitív kitéréseket, és nem ritkán negatívakat adnak.

A gőz azután a felhőket alkotó cseppecskékben sűrűsödik össze, s ekkor összegyűjti az illető tájék levegőjének szétszórta elektromosságát. Összegyűjti, de lecsapódásakor nem hozza létre; ez ellenmondásban volna az elektromosság megmaradása törvényével (328).* Az ekként alkotott felhők, azonkívül hogy megvan nekik a maguk töltése, szert tesznek még azokra az indukált töltésekre, melyeket a talaj, a többi felhő és a környező levegőnek megosztása létesít; azután meg szétszakadhatnak több felhőre, s ez érthetővé teszi, hogy e felhők majd pozití-

juk, hogy mindig zérusnak vehető, a midőn egy szoba belsejében dolgozunk.

* Úgy látszik, hogy PALMIERI is eme felfogás felé hajlik. Szerinte a párolgás elektromozással jár, de a vízgőz, melynek igen nagy kapacitása van, csak szertelentül gyenge potenciált árul el, mely azonban intenzívvé válik, midőn a gőz vízzé alakul át. Csak neki magának sikerült laboratóriumban kimutatni a negatív elektromosságát annak a víznek, melyből gőz fejlődik, továbbá pozitív elektromosságnak fejlődését a légnemű állapotból a folyósba való ellenkező átmenetben. Kíváncsú volna, hogy mások is megtegyék eme kísérleteket ugyanazokkal a készülékekkel, melyekhez a tiszteletre méltó nápolyi fizikus folyamodott.

tivak, majd negatívak a szerint, a mint az alsó vagy a felső részről váltak le. Némely felhő esővé alakul át, mások a hegyekbe kapaszkodnak, mások megint a szélről továbbítottnak vagy szikrákat adnak. A dolgokat ekként fogva fel, számtalan körülmény merül tehát fel, melyben viharos időjáráskor az elektromos tűnemények hatalma gyökerezik.



BETÜRENDES NÉV- ÉS TÁRGYMUTATÓ.

- Abszolút áramegység elektromág-**
nesi mértékben 477
 — elektrométer 375, 376
 — törésmutató 47
Achromatikus hasáb 160
 — lencse 163
Achromatizmus 159—163
Aczéldarab megmágnesezése 467—
469
AIRY G. 441
Akkumulátor 647—650
Aktinikus sugarak 223
Alapkísérletek 412, 413, 422, 423
Alkalmazkodó képesség 101
Állati elektromosság 413
Állócsillagok színe 235, 236
Állomások összekapcsolása 538
Alternátor 724, 725
Ametrop szem 102
AMICI hasábjai 156, 213
AMPÈRE állványa 502
 — hipotézise 534
 — szabálya 472
 — törvénye 501—504
Ampère mint gyakorlati egység 478
 — mint áramegység 560
Ampèrméterek 588
Anelektromos test 302
ANGSTRÖM 233
Anód 630
Anomális színszórás 158, 216
Aplanatikus lencse 74
ARAGO 140, 179, 267, 754
Aram 558
 — egysége 560
Áramelem elektromágnesi hatásá-
nak alaptörvénye 476
Áram és mágnes kölcsönös hatása
494—498
 — fordulat 623
 — forgása áram körül 505
 — gyengülés okai 428, 429
 — hatása áramra 505
 — — mágnestűre 472, 474—476.
 479
 — — mozgékony darabra 504
 — intenzitás elektromágnesi mér-
 téke 558
 — iránya 420
 — keletkezése 428
 — kör önindukció együtthatója
 674
 — vezeték 407
 — vevő 730
Áramok kölcsönös energiája 499
 — taszítása és vonzása 661
Áramsűrűség 649
Aranylemezes elektroszkóp 305
Argon 237
ARNOLDSTEN 299
Árnyékok elmélete 7, 192
 — nagy nyílás esetében 200

ARONS 747
 Asztatikus áramkör 506, 507
 — tűk 428
 Asztigmatizmus 103
 Atherinán anyag 205
 — test 4
 Átlátszatlan test 4
 Átlátszó test 4, 226, 227
 Átmenő fény 184
 Áttetsző test 4
 Automatikus hangvilla 548
 — óra 547

 BAILLE 404
 Ballisztikus galvanométer 486
 Balra forgató kristály 290
 BARTHOLINUS, ERASMUS 252
 BARTOLI 582
 BASSELLI 628
 BECCARIA 761
 BECQUEREL 244, 277
 Beesés szöge 23
 Beeső energia 5
 BELL 242, 579
 BELL 351
 Belső ellenállás 552, 556
 — pontok potenciálja 359
 BELTRAMI 343
 BENNET 351
 BENOIT 576
 BIOT 167, 298
 — készüléke 264
 BIOT-SAVART törvénye 476
 BOHNENBERGER-féle elektroszkóp
 434, 435
 Bojtalaku szikra 406
 Bolométer 578
 BONGIOVANNI 368
 BOYLE 314
 Brachymetrop szem 101
 BRADLEY 137
 BREWSTER-féle nagyító 117
 — — törvény 263
 BROCH 290

BUCHANAN 626
 BUNSEN 616
 BUNSEN-elem 431, 432, 602, 631
 — féle fotométer 15
 — — lángzó 216, 220, 232
 Bűvös lámpa 114

 Cæsium színe 220
 CAILLETET 402
 CAMPANI-féle negatív okulár 120, 124
 CARCEL-lámpa 17, 712
 CASELLI-féle pantelegráf 539—542
 CAUCHY 212
 CAVENDISH 311
 CAZIN 587
 CHAPPIUS 402
 Chemiai elmélet 421, 427
 — folyamat megindulása 427, 428
 — hatás 399—401
 CHRISTOFFLE-féle edények 651
 Chlorofil színe 249
 Chromatikus eltérés 163
 — sarkítás 272—276
 Ciliar-izmok 96
 CLAMOND-oszlop 621
 CLARKE 694
 CLAUSIUS 368
 Compound gépek 702
 CORNU 140, 238
 Corona 233
 Cosinus-törvény 12
 COULOMB 311, 313, 314, 489, 490
 — mérlege 311—313, 315, 444
 — törvénye 313, 314, 317, 446, 489,
 490, 557
 Coulomb mintelektromos egység 561
 CROOKES-féle csövek 685—690
 — — radiométer 270
 Csillagászati messzelátó 127—133
 — távcső nagyítása 129, 130
 — — világossága 130
 Csillagok szikrázása 48, 179
 Csillámkerék forgása 689
 Csomópontok 81

- Csúcsok hatása 343—346
 CULLEY 543
 Czentrális sugarak 56, 76
 Czentrált rendszer 75

DALIBARD 753
DAL NEGRO 655
 Daltonizmus 147
DANIELL-elem 429, 430, 550, 560,
 561, 585, 586, 643, 644
 — — elektromindító ereje 641, 642
DAVY 646
 — féle iv 603, 604
DE LAMBRE 136
DE LA PROVOSTAYÉ 19, 20
DE LA RIVE 738
 Délibáb 51
 Déli sark 436
 Deklináció 437
 Deklinációs tű 444
 Deklinométer 449
DESAINS 19, 20
 Diakausztikus felület 55
 Diamágneses golyó 528
 — testek 530, 531
 Diamágnesi anyagok 466
 Diamágnesség tanulmányozása
 529—534
 Diathermanitás 4
 Dielektrikum 380, 384—389
 — térfogategységbeli energiája 385
 Dielektromos állandó 382
 Differenciális galvanométer 483
 Diffrakció 192, 200—206
 — szűk résen 205
 Diffrakciós csikok 204, 209
 Diffúzió 5
 Dinamo-elektromos gépek 694, 698—
 704
 Dinamo jellemző görbéje 707—710
 Dinamogép ipari hatásfoka 710,
 714—717
 Dioprikai objektív 109
DIPPEL 127

DOLLOND-féle negatív okulár 121
 Domború tükrök 39, 40
DOPPLER elve 237, 238
 Doublet 118, 120
DRAPER 214
DRUMMOND-féle fény 114, 214, 229,
 232, 602
DULONG 20, 21
DUPERREY 442
 Durranó keverékek felrobbantása 399

 Edényhártya 96
 Egyéb kapcsolások 569, 570
 Egyenes látás 101
 — látású spektroszkóp 213, 214
 — szikra 405
 Egyenes vonalú sarkítás 281, 751
 Egyenletes elektromos tér 332
 — mágnesi tér 448
 Egyenlő oldalú hasáb 51, 52
 Egynás mellé kapcsolás 568
 Egy pontba futó áramok 563
 Egypotenciálú felületek 329, 333, 334
 Egyszerű fény egysége 215
 — mágneses lemez 456
 — nagyító 115, 116
 — szín 143
 — vonás 468
 Egyszínű fény 143
 Egytengelyű kristályok 256
 Elágazó áramok 564, 565
 Elektrochemiai egyenérték 632, 633,
 640
 — kiszámítása 639
 Elektród 377, 630
 Elektrodinamikai hatások 501
 — indukció 664
 — szolenoid 507, 508
 Elektrodinamométer 721, 722
 Elektrolit 630
 Elektrolízis 630
 — törvényei 632, 637
 Elektromágnes megterhelve 510
 — es fényelmélet 742—748

- Elektromágneses hangvilla 548
 Elektromágnesi absz. mértékrend-
 szer 556
 — indukczió 659, 660
 — mértékrendszer 489
 — motor 655
 Elektromindító erő 413, 640
 — — egysége 560
 — — mérése 586, 587
 — — székhelye 423
 Elektromos állapot 301, 305, 306, 325
 — áram 417
 — chronograf 547
 — csengettyű 546
 — duplikátor 351
 — egyensúly 357
 — ellenállás 359
 — eltolódás 385
 — erő 329
 — és fénysugarak közös törvényei
 741
 — fény 602—608
 — fényszabályozók 607
 — feszültség 344
 — fotofon 578
 — harangjáték 362, 363
 — hatásfok 710, 714—717
 — hőmérő 392, 393
 — izzólámpák 599—602
 — jeladók 545, 546
 — kapacitás 338—340, 559
 — — egysége 561
 — kettős törés 750, 751
 — megosztás 307—309, 317—320
 — — vonalai 388
 — óra 547
 — pirométer 578
 — potenciál 325—329, 332—337
 — — és elektromindító erő 558
 — rezgések 733, 734
 — sarkítás 635, 636
 — sugarak 740
 — szabályozók 547
 — szél 345
 Elektromos szélkerék 346
 — szikra 346
 — szívósság 411
 — tartó 304
 — telep 366
 — tér 328
 — — ábrázolása 330
 — — intenzitása 330, 344
 — — iránya 330
 — töltés 311
 — vezető képesség 577
 — vonzás és taszítás 304
 Elektromosság 301
 — azonossága 419
 — egysége 320, 383, 561
 — eloszlása 316
 — eloszlása a vezetők felületén 315,
 316
 — közlődése 311
 — megmaradása 322
 — mivolta 321, 322
 — mennyisége 310, 558
 — sebessége 408, 409
 — sűrűsége 341, 342
 — szétszóródása 304
 — terjedése a gázokban 691
 — vezető testek 302
 Elektromozó gép 347, 348
 Elektro-negatív elem 630
 — pozitív elem 630
 Elektrosztatikai abszolút rendszer 321
 — indukczió 307, 664
 — mértékrendszer 490
 — sarkítás 384
 Elektroszkóp 302
 Elektroszkópos por 309
 Elkülönített vonás 468
 Elágazó áramok 564—466
 — gerjesztés 701
 — szikra 405
 Elem állandóinak meghatározása
 583, 584
 Elemek a Nap atmoszférájában 233,
 234

- Elemek elektromindító ereje 587,
 588
 Elemi mágnesek 452
 Elemző mészpát 261
 Elhajlás 437
 — változásai 437, 438
 Ellenállás 551, 552
 — egysége 559, 560
 — mérése 572, 573
 — szekrény 572
 — tekercsek 571
 Ellenállások összehasonlítása 592
 Ellentétbeli hatások 148, 149
 Ellipszisben sarkított fény 285
 — való sarkítás 286, 287
 Ellipszisszerű sarkítás 282
 Elmágnesező erő 517
 Elnyelésbeli szinkép 225, 228
 Elnyelő képesség 231, 240
 Előidéző 248
 Elsődleges áramkör 659
 Első gyújtópont 58, 77, 78
 — gyújtósík 58, 59
 — gyújtótávolság 80
 Elsősztályú vezetők 414
 Elsőrendű szinkép 207, 209
 Elterítés meghatározása 154
 — minimuma 53
 EMDEN 215
 Emisszió-elmélet 166
 Emmetrop szem 101
 Energia átvitelének problémája
 713—719
 Érintkezési elmélet 421, 426, 427
 Erő-áramlás 330—332, 461
 Erő-cső 330, 331
 Erővonal 330, 465
 Erővonalak egyenes áram körül 492
 Erős áramok mérése 566
 Északi félgömb izoklinjai 442
 — fény 692
 — sark 436
 Eudiométerek 400
 Expozíció 248
 Ezüstsó felbontása 246
 Ezüstvoltaméter 633
 Fajhő meghatározás-módja 22
 Fajlagos ellenállás 574, 575
 — forgató képesség 298, 299
 — vezetőképesség 574
 Farad mint elektromos egység 561
 FARADAY 316, 384, 386, 409, 466,
 637, 658, 659, 675, 689, 745,
 753
 — fakamrája 316
 — ketrecze 759
 — kísérletei 659—661
 FARBAKY 649
 Fata morgana 50
 FAURE-féle akkumulátor 648, 649
 Fehér csillagok 235
 — szín keletkezése 144
 Fegyverzet 360, 701
 Félárnyék 8, 9
 Felbontás gyenge elektromindító
 erővel 645, 646
 FELICI 409, 669, 670
 Feloldó képesség 127
 Félszemmel látott koczka 108
 Felszerelt összetett mikroszkóp 124,
 125
 Felületi szín 159
 Félvezető testek 303
 Fémek spektruma 215
 Fémes visszaverődés 288
 Fémfelületek sugárzó tehetsége 19
 Fény aberrációja 137, 138
 Fény egyenes vonalú terjedése 6
 Fényegység 17
 Fényesség 14, 216
 Fényhajlás 192
 — szórás 196
 Fényintenzitás 173
 Fénynyaláb fogása 691
 Fénysebesség meghatározása 137—
 141
 — absz. C. G. S. rendszerben 141

- Fény visszaverődése 177
 Ferde sugarak esése 11
 FERRARIS 99, 730
 Festékek keverése 224
 FIZEAU 189, 409
 — kísérlete 139
 Fluoreszkálás 244, 245
 Folyadékok fajlagos ellenállása 582, 583
 — törésmutatói 136
 Folytonos áram keletkezése 697
 — szinkép 214
 Fonálkereszt állása 132
 Fonálkeresztos diafragma 131
 Forgató sarkítás 289
 Forgó mágnesi terű motorok 730
 — tükrök alkalmazása 27
 Foszforszkálás 239, 243
 Fotografálás 247—250
 Fotofon 242, 243
 Fotometria 14
 FOUCAULT 141, 171, 607
 — kísérlete 140
 — megszakítója 681
 FOURIER 20
 Főáramú gerjesztés 701
 Főbeesési szög 288
 Főgyújtópont 31
 Föld hatása a mágnesre 443
 Földi messzelátó 132, 133
 Földmágneses sarkok 441
 Földmágnesi tér intenzitása 448
 — vízszintes összetevője 450
 Földmágnesség intenzitása 445, 446
 — meghatározása 449, 450
 Földmágnességi elemek értékei 440
 Földnek gyűjtő szerepe 323, 324
 Főmetszet 252
 Főpont 79
 Fősíkok 78, 79
 FRANKLIN 753
 — villámhárítója 756
 FRAUNHOFER-féle rács 207, 208, 210
 FRAUNHOFER-féle vonalak 151, 154, 163, 176, 212, 214, 219, 222
 — féle vonalaknak megfelelő hullámhosszak 175
 FRESNEL 188, 190, 267, 268
 — féle elemi övek 192—199
 — — okulármikrométer 174, 197
 — féle paralelepiped 287, 288
 — tükrök 168, 172
 Fulguritek 398
 Független gerjesztésű gépek 700
 GALILEI 136
 — féle okulár 115
 — — messzelátó 122, 133, 134, 294
 GALVANI 412, 413
 Galvanikus aranyozás, ezüstözés
 nikkelezés 651, 652
 Galvanokausztika 598
 Galvanométer 418, 473, 480—487
 — ellenállásának mérése 573
 — használata 589
 Galvanoplasztika 650, 651
 GAUSS 79, 446
 — elmélete a vastag lencséről
 75—95
 Gazdaságos fogyasztás feltételei 601, 602
 Gázok törésmutatója 156
 GLAZEBROOK 255
 Goniométer 28
 GOUNELL 409
 Gömbalakú villámok 755
 Gömbtükrök 30—32
 Gömbi eltérés 74
 Görbe tükrök 30
 Görbületi középpont 65
 GRAMME-féle gép 695—697
 — — — összehasonlítása a
 BUNSEN-teleppel 711
 GREGORY-féle teleszkóp 135
 GRENET-elem 432, 433
 GRIMALDI 168
 GROVE-elem 431

- GROVE-féle gázelem 643
 — gáztelep 636
 Gyakorlati egységek 559—562
 Gyantaelektromosság 305
 Gyújtófelület 31
 Gyújtópont 43, 77
 Gyújtósík 32, 36, 77, 78
 Gyújtótávolság 68
 Gyújtótávolságok viszonya 85
 Gyújtótávolságra vonatkozó törvények 82
 Gyújtótűkrök 43
 Gyűjtő lencsék 64, 65
 Gyűjtő meniszkus 65, 92
- HAGA** 628
HALL 748—750
 — — féle tűnemény 747
 Hangvilla-rezgések nyoma 548
 Harmadrendű színekép 207
 Harmatképek 399
HARTING 127
HARTNACK 127
 Hasadó lapok színe 185
 Határszög 49
 Hatás és visszahatás 493
 Hatásfok 714—717
 Hatásos elektromindító erő 722—724
 — intenzitás 721
HAUTEFEUILLE 402
HEFNER-ALTENECK 17
 Heliostat 28
HELMHOLTZ 126, 149, 176, 642, 645
 Henry indukció egység 670
HERSCHEL kvarczkristályai 297
 — féle teleszkóp 135
HERTZ 742, 743
 — kísérletei 735, 742
 — féle rezonátor 737—739
 — — vibrátor 736—739, 741
HEYDWEILLER 403
 Hidrogén színeképe 220, 221
HITTORF 689
- HOFMANN-féle** voltaméter 637, 638
 Holdfogyatkozás 9
HOLTZ-féle elektromozó gép 351—355, 362, 405, 409, 602, 757
 Homocentrikus nyaláb 54
 — sugarak 56
 Homogén sugarak 143
HOPKINSON 521
 Horgony 701
 Horopter 108
 Hosszegység 561
 Hőelektromos áram 614
 — csiptető 621
 — képesség 615, 625—627
 — oszlop 1, 2, 617—621
 Hőelektromosság 614
 Hő és fény sugárzása 3
 Hőhatások 40, 41
 Hőmérséklet hatása a mágnesi susceptibilitásra 524—526
HUGHES 580
 — féle telegráf 539
HUGGINS 238
 Hullám-elmélet 166
 — felület 255
 — hossz meghatározása 174, 210, 211
 — — számítása 175, 176
 — — mintája 258
 — pólusa 191
 Hullámzatos áram 720
HUYGENS 192, 237, 255
 — elve 190, 191
 — szabálya 255, 256, 258
 — féle negatív okulár 115, 120, 132
 Hypermetrop szem 101
- Ideghártya 96
 Ideiglenes mágnesek 467
 Idioelektromos test 302
 Időegység 561
 Immerzió 127
 Impedancia 721
 Indukáló áram 659

- Indukált áram 659, 662—664
 — áramok tulajdonságai 677, 678
 — elektromindító erő intenzitása 671, 672
 — horgony visszahatása 702, 703
 — mágnesség 467
 Indukció-tekercek 661
 — vonalak 527
 Inklináció 441
 Inklinométer 449
 Interferencia 168
 — csikok 169
 — keletkezése 172, 173
 — vékony lemezen 180
 Irányzó vonal 131
 Irradiáció 706
 Ívfény tulajdonságai 605
 Izlandi pát 252
 Izochromatikus csik 186
 Izogon vonalak 438
 Izoklin vonalak 441
 Izomhártya 96
- JABLOCSKOV-féle gyertya** 610
JAMIN-féle mágnes 469
JANSEN 234
JASPAR szabályozója 607, 608
 Jeladó 536
 Jobbra forgató kristály 290
 Joule mint munkaegység 562
JOULE-féle hatás 611, 612, 641
 — féle törvény 594—597, 622
 — készüléke 594
 Jupiter és holdjai 136
- Kaleidoszkóp** 29
 Káliumbichromát-elem 423, 433
 Kálium színe 218, 219
 Kaloreszkálás 243
 — a Crookes-féle csőben 689
 Kapacitás közvetlen mérése 590, 591
 Kapacitások összehasonlítása 591—593
- Káprázatbeli képek 148
 Karakterisztika 707
 Kausztika 31
 Katakauztikus felület 55
 Katód 630
 Katoptrikai objektív 109
 Katoptrikus messzelátó 134
KELVIN lord (Sir W. THOMSON) 375, 376, 522, 561, 762
 — — galvanométere 483, 484
 — hipotézise a légköri elektromosságról 764—767
 — syphon recorderja 545
 Képállandósítás 248, 249
 — és tárgy nagysága 86
 — függése a gyújtótávolságtól 110, 111
 Képek világossága 75
 Képelmozdulás mozgó tükrökben 26
 Képszerkesztés 94, 95, 115
 — a lencsén 60, 61, 71, 83
 — síktükrökkel 26
 Kép világossága 127
 Kereszteződő nicol 273
 Kereszthullámok 167
KERR 747, 750
 Kétfolyadékos elemek 429—432
 Kétszálú elektroszkóp 302, 306
 Kétszer-domború lencsék 64, 90
 — homorú lencse 65, 90
KETTLER 156
 Kéttengelyű kristályok 258, 278—280
 Kettős csillagok színe 236
 — törés 252
 — — a mészpátban 259, 260
 Kettőstörő hasáb 260, 265
 — közeg 252
 Kettős vonás 469
 Kevert-színek 145
 Kicsiny elmozdulások mérése 27
 Kiegészítő színek 144
 Kihűlés törvénye 20, 21
 Kilepő sugár szerkesztése 80
 Kilowatt 562

- Kinntartás 248, 249
 KIRCHHOFF 232, 233, 267, 705
 — törvényei 563—565
 Kistűlés chemiai hatásai 400
 — ritkított gázokban 683
 Kistűléskor keletkező hő 395, 397
 Kisűtő 365, 366
 — hőmérő 396
 — szikra 396
 Koercitiv erő 517, 532
 KOHLRAUSCH 582
 Kollektor lencse 116
 Kollimator 152
 Kommutátor 679
 Kompenzációs módszer 584—586
 Kompenzáló mágnes 481
 Kondenzátor 360
 — lencse 116
 Konjugált pontok 32—37, 39, 57, 63, 77
 — — mintaeqyenlete 56, 57
 — — szerkesztése 36, 38, 40
 — síkok 36, 58, 76
 Kormozott felületek 19
 Korong megolvasztása 666
 Kozmikus éter 166
 Kölcsönös indukció együttthatója 499, 500, 669
 — megosztásbeli együtttható 462
 Kölcsönösség törvénye 47
 Köralakú áramvezető 498
 Körben sarkított fény 284
 Körös sarkítás 283, 244
 Kőso átlátszósága 226, 227
 Közeg hatása 171
 Kritikus hőmérséklet 525
 Kristálylencse 96
 Kristály tengelye 252
 Közeleső pont 101
 KUNDT 747, 748
 KURLÄNDER IGNÁCZ 437
 Különáram 675, 676
 — ábrázolása 678
 Különbség a diffrakciós és a ha-
 sáb adta színekpek között 211, 212
 — az elektromozás két módja közt 346
 Külső ellenállás 556
 — karakterisztika 708
 Lánczolatos kapcsolás 367, 568
 LANE-féle elektrométer 393, 394, 396, 397
 — — mérőpalaczk 394
 LANGLEY 222, 223, 578
 — bolométère 578
 LAPLACE 167
 LATIMER CLARK-féle mintaelem 434, 560, 586
 Látás két szemmel 108
 Látásbeli csalódások 105, 706
 Látásszög 104
 Látásvonal 100
 Látható színekép határa 176
 Látszólagos ellenállás 720
 — kép 25
 — nagysága a tárgyaknak 100
 LAURENT polarimétère 293—295
 LECLANCHÉ-elem 432, 433, 550
 Legkisebb permeabilitás 529
 Léggör elektromos állapotának jelei 760, 761
 Léggöri elektromosság mivolta 764—767
 — sugártörés 48
 Légneműek hatása a kisűtésre 410, 411
 — színekpe 216
 Légtűkrözés 50, 51
 Lehajlás (mágnesi) 441
 Lemez intenzitása 457
 Lemezes elosztás 453
 Lencserendszer elemei 118, 119
 Lencse sarkalatos pontjai 88—94
 Lencsék mintaképlete 65
 — szerkesztése 161—164
 — világossága 75

- LENZ törvénye 659
 — törvényével magyarázható kísér-
 letek 664—666
 Levegő elektromossága 763
 Levegőréteg okozta szín 185
 Levegős sűrítő 380, 381
 Leydeni palaczk 361—371
 — — kapcsolása 367—370
 — — kisütése 363, 365
 LICHTENBERG-féle alakok 398
 LIPPMANN 250
 — kapilláris elektrométere 653, 654
 LISTING 81
 Lithium színe 218
 LOCATELLI-féle lámpa 226, 227
 LOCKYER 220, 238
 LODGE 735, 751, 752
 — kísérletei 757, 758
 LUCAS F. 216

 Mágnes-elektromos gépek 693, 694
 — forgása áram körül 497
 — sarkai 443
 Mágnesek hatása egymásra 446
 Mágneses forgató sarkítás 745
 — lemez 453
 — — energiája 461, 462
 — — potenciálja 458—460
 — megosztás következményei 463,
 464
 — nyaláb 469
 — tengely 436
 Mágnesezés elmélete 532—534
 — görbéje 515, 518, 520, 521
 — intenzitása 512
 — szolenoiddal 509
 — telítettsége 516
 — vonalai 527
 Mágnesezési egyíthető 513
 Mágnesező erő 513
 — tekercs 510
 Mágnesi áramkör 704
 — délkör 437
 — délkörvonalak 442
 Mágnesi egyenlítő 441
 — ellenállás 704
 — erővonal 455
 — helyzeti energia 455, 456
 — hiszterézis 519
 — indukció 464, 527
 — kép 464—466
 — körök 705
 — merevség 467
 — nyomaték 448
 — — meghatározása 451
 — permeabilitás 527
 — paradoxon 467
 — potenciál 454, 455, 557
 — sarkfelületről visszaverődő fény
 747
 — sűrűség 457
 — tér 447, 491, 492, 557
 — — intenzitásának méretei 448,
 — — — meghatározása 673
 — taszítás és vonzás 446
 — térképek 438
 — tétlenség 519
 — zivatar 437
 Mágnesség egysége 447
 — mennyiség 447, 557
 Mágnességi susceptibilitás 513, 516
 Mágnesű csillapítása 665
 Magnetit 435
 Magnetométer 449
 Magnetomótoros erő 704
 Magyarország mágnesi térképe 439
 Majna-frankfurti kiállítás 731
 MALUS 262, 271
 Maradandó állapot 543
 — mágnesek 467
 Maradék-áram 643, 644
 — mágnesség 467
 — töltés 406
 MARIOTTE-féle folt 97
 MASCOART 176, 222, 255, 368, 403
 Második gyújtópont 58, 77, 78
 — gyújtósík 58, 59
 — gyújtótávolság 80

- Másodlagos áramkör 659
 Másodosztályú vezetők 414
 Másodrendű áram 636
 — hatások 646
 — színekép 207, 209
 MASSON 411
 MATHIESSEN 575
 MATTEUCCI 383, 522
 MAXWELL 384, 385, 742—744, 750, 752
 — elmélete 387—390
 Megaohm 561
 Megfelelő pontok a szemben 107
 Megosztásbeli elektromos gép 351—355
 Megosztásbeli elektromozás 307
 — fajlagos együttható 382
 Megszakításbeli áramok 667
 — különáram 676, 678
 Melegedés 239
 Mellékszárak 396
 — szivárvány 165
 Melléktengely 71
 MELLONI 19, 227
 MELSSENS 760
 Merőleges sugarak 10, 11
 Mértékrendszerek kapcsolata 491
 Mesterséges mágnesek 435
 Mészpát-hasáb 253
 Mészpát törésmutatói 254
 Messzelátó optikai tengelye 131
 Metallurgia 652, 653
 Mező-lencse 124
 MICHELSON 141
 Mikrofarad 561, 591
 Mikrofon 580, 581
 Mikroszkóp 122—127
 Mikroszkópi tárgy mérése 126, 127
 MINOTTO-elem 431, 552
 MITCHELL 409
 Monochromatikus fény 143
 — — okozta csíkok 201
 MORSE-féle betűk és számok 538
 — jellevő 536, 537
 MORSE telegraf 536, 543
 MOSER-féle képek 398
 MOSSOTTI 384
 Mulékony áramok mérése 487, 488
 Myop szem 101
 Nagy ellenállású galvanométer 588
 Nagyítás 37
 Nagylapú kapcsolás 566—668
 Napmikroszkóp 112
 Napfogyatkozás 9
 Nap színeképe 142, 143
 Nátrium színeképe 218
 — gőz színeképe 229
 Negatív elektromosság 305, 306
 — kép 247
 — kristályok 256, 257
 — okulár 115
 Negyedhullámos csillám 284
 NEUMANN 669, 670
 Neutrális állapot 519
 NEWCOMB 141
 NEWTON 35, 143, 166, 167, 182, 216, 274, 277, 317, 415, 501
 — képlete 35
 — kihűlési törvénye 20, 21
 — féle színes gyűrűk 186—190
 — teleszkóp 135
 NICHOLSON 351
 NICOL hasábjá 265, 266
 Nitrogén színeképe 221
 NOBERT-féle vonalcsoport 128
 NOBILI 619, 693
 — galvanométere 481, 482
 NOË-féle oszlop 620
 Normális elem 434
 — szem 102
 — színekép 212
 NÖRREMBERG-féle sarkító készülék 277
 NYRÉN 141
 Objektív alaptulajdonságainak meghatározása 110

- ØRSTED** 501
 — kísérlete 471
OHM törvénye 555, 588, 594, 596, 600, 611, 704, 732
 Ohm mint gyakorlati egység 559, 560
 Ohm meghatározása 670, 671
 Okulár 109, 114
 — nagyítása 116
 Olasz elem 430, 431
 Oldallagos kistülések 757, 758
 Ólomfa 647
 Optikai csalódások 705, 706
 — középpont 71, 87
 — műszerek 109
 — tengely 65
 Órawatt 562
 Orsószerű szerkezet 270
 Orthochromatikus lemez 250
 Oszcilláló kistülés 407
 Oxigén színe 221
 Ozon fejlődése 401, 402

Öngerjesztésű dinamo gépek 700
 Önindukció együtthatója 501
 Önindukciós együttható 674
 Összetett árnyék 8
 — mikroszkóp 123—127
 — — nagyítása 125, 126
 — műszerek 122
 Összhangzó óra 547
 Öthasábos rendszer 159
 Ötvény színe 219, 220
 Ötvények mennyileges elemzése 220

PACINOTTI 695
 — féle gyűrű 656, 657
PALMIERI 762, 766
 Papiros átlukasztása 391
 Parallaktikus hiba 28
 Paramágneses testek 530, 531
 Paramágnesi anyagok 466
 Párhuzamos főmetszet 273
PASTEUR 296

 Patkóalakú mágnes 469, 470, 511
PELLAT 732
 — féle módszer 586, 654
PELTIER-féle hatás 613, 615, 616, 627—629, 641, 643
 — — tűnemény 612, 616, 617, 634
 Penetráló tehetség 127
PETIT 20, 21
PIUTTI 296
PIXII 694
PLANTÉ 371
 — akkumulátora 468
 — telepe 647, 648
PLÜCKER-féle cső 217, 221
POISSON 199
 Polarizált fény 261
 Poliprizmán keletkező színek 157
 Potenciál 328
 — értéke 357—360, 761, 762
 — — az áramkörben 553—556
 — különbség 336
 Pozitív elektromosság 305
 — — útja 335, 336
 — kép 249
 — kristályok 256, 257
 — okulár 114, 115
PREZBIOPIA 103
 Próba-korong 342
 Protuberanciák 234, 235
 Pupilla 96
 Puskaapor meggyújtása 400
PYROPHORUS NOCTILUCUS 223

QUADRÁNS elektrométer 376—379
 Quadráns pár 379
QUESTLET 763

RADIOMÉTER 240—242
RAMSDEN 347
 — pozitív okulárja 120
RAYLEIGH 747
 Recalescentia 525
 Redukáló állandó 479
 Redukált szem 99

- Reflexiós galvanométer 1, 480
 Relatív zérus-potenciál 329
 Rendes kép 253
 — sugár 253
 — törésmutató 254
 Rendkívüli kép 253
 — sugár 253
 — törésmutató 254
 Reochord 584
 Reostatikus gép 371
 Részben sarkított fény 262
 Részletes kistűlés 407
 — színszórás 157, 158
 Retina színe 97
 Réz-czink elem 426
 Rézkocska megállása 665
 RICHMANN 753
 RIESS 392, 393, 395, 396, 397
 RITCHIE-féle fotométer 16
 RIGHI 295, 741, 748
 Ritkított gázokban való kistűlések
 683, 684
 Robbanáskor keletkező hő 246
 Robbantó töltések meggyújtása 598
 ROEMER 136
 ROMAGNOSI 471
 Ross kapitány 441
 Rossz vezető test 303
 RÖNTGEN 747
 Rövidlító szem 101, 102
 ROWLAND 233
 Rugalmas erők hatása a mágne-
 sezésre 523
 RÜHLMANN 156
 RUHMKORFF-féle gép 679, 692
 — — — rezgő megszakítója 680
 Saccharimétria 298—300
 Saját árnyék 7
 Salétromsav-anhidrid színeképe 229
 SARASIN 738
 Sárga csillagok 235
 — folt 97
 Sarkalatos pontok 81
 Sarkalatos pontok meghatározása
 85, 86
 — tulajdonságok 76
 Sarkfeszültség 707
 Sarkítás elmélete 268—272
 — síkja 261
 — szöge 263
 Sarkítási áram 428, 429
 Sarkító készülék alapja 292
 — mint elemző 264
 Sarkított fény 260
 — fény interferenciája 267
 Sarkok intenzitása 446
 Sávós színekép 216
 SAVART 222
 Schematikus szem 98, 99
 SOHNKE 649
 SCHMITZ 299
 SCHOCH 237
 SEEBROOK 614
 Semleges öv 436
 Seprők alkotta kereszt 279
 SIEMENS 578
 — féle differenciális lámpa 608,
 609
 — — elektrodinamométer 721, 722
 — — gép 724
 — — mágnes-elektromos motor 656
 — motora 693
 Síkdomború lencse 65, 91
 — homorú lencse 65, 91, 92
 Sík sűrítők 372—374
 Siftűkör 25—28
 — képe 26
 Sinus-galvanométer 478
 SOHNKE 753
 Sók elbontása 646, 647
 Sötét kamara 111, 112, 245
 — kereszt 276
 — sugarak 222
 — test 3
 — testek láthatóvá tétele 5
 Spektrométer 152
 Spektroszkóp felszerelése 217, 218

- SPOTTISWOODE 682
 STEFAN-féle törvény 21
 Strontium színeképe 219
 STOKES 255
 Sugár 4
 — elnyelés 5
 — eltérítése 53
 Sugártörés 43
 — a hasábban 52, 53
 — a lencsében 63
 — görbe felületen 54—58
 — magyarázata 157, 158
 Sugártörés törvényei 44, 45
 Sugárzás törvénye 11, 12
 Sugárzó anyag 690
 — energia intenzitása 10
 — — szerepe 246, 247
 — — tanulmányozása 2, 3
 — — terjedési sebessége 136
 — képesség 12, 13, 18, 19, 231
 Sűrítők kapacitása 361, 373, 374
 Sűrítő 360
 — képesség 361
 Sűrítők kapacitása 361, 373, 374
 Sűrítő elektroszkóp 371, 372
 Szaporaság 724
 Száraz oszlop 434
 Szaruhártya 96
 Százados változások 438
 Szélrózsza 440
 Szembibor 97
 Szemgolyó 96
 Szemkör 129, 130
 Szemlencse 109
 Szemüveg 102
 — fontossága 103
 Szent Elmó tüze 756
 Szerkezetbeli változások 239
 Szédészedhető leydeni palack 380
 Szétszórt fény 5
 Szigetelő testek 303, 304
 Szikra, elektromos 346
 — alakja 404—406
 — csövek 408
 Szikra mérő 402
 — táblák 408
 Színek érzete 177
 Színek fotográfálása 250, 251
 Színeltérés 162
 Színes gyűrűk osztályozása 188
 — sarkítás 272—276
 Színérzet 146, 149
 Színérzetek elmélete 145—147
 Színkép keletkezése 142
 — megfordítása 229, 230, 232
 — színei és egyesítésök 143
 Színképek összehasonlítása 211, 212
 Színképelemzés 219—222
 Színkép változása 220
 Szinkronikus motorok 730
 Színszórás 142, 178
 Színtelen testek 228
 Színtelenítés 159—163
 Színtévesztés 147
 Színtfelület 330
 Szivárvány 164, 165
 — hártya 96
 Szkiptikon 114
 Szolenoidális elosztás 453
 Szomszédos részek távolodása 503
 Szórási kör 107
 Szóró lencsék 65
 — meniszkus 65, 93
 Szögtekör 28, 29
 Sztereoszkóp 108, 109
 Szubjektív tünetmények 147, 148
 Szűk rés 204, 205
 TAIT 625
 Tangens galvanométer 473, 478
 Tárgy és kép a lencsén 73, 74
 — — — helyzete 66—69
 Tárgy látszólagos nagysága 100
 Tárgylencse (objektív) 109
 Távcső berendezése 131
 Távolság pont 101
 Távolságok megtérítése 107
 Telefon 579, 731

- Telegráfrótok átmérője és ellen-állása 576
 Telegrafia 534
 Telegráf-telepek 575
 — vonalak 535
 Telepszerű kapcsolás 367
 Teleptöltés RUHMKORFF-féle géppel 683
 Teljes erő-áramlás 331
 — karakterisztika 708
 — megvilágítás 7
 — színészórás 155
 — — mértéke 155
 — visszaverődés 49, 50, 286
 Tellurikus vonalak 234
 TESLA kísérletei 745
 Tengeralatti telegrafia 542—545
 Tengeri iránytű 440
 Természetes fény szerkezete 286
 — mágnesek 435
 Testszögek mérése 457
 THALÉN 233
 Theodolit 24
 Thermochrozis 4, 227
 THOMSON-féle hatás 624, 627—629, 641
 Tiszta átlátszó test 4
 Tiszta látás feltétele 101
 — — távolsága 103, 104
 Tiszta színkép 150
 Tivoliban dolgozó gépek 725
 TOEPLER 351
 Többszörös képek 30
 — telegrafia 545
 Tökéletes elektromindítók 414
 Tökéletlen elektromindítók 414
 Tömegegység 561
 Törés 5
 Törési szög 43
 — — szerkesztése 45, 46
 Törésmutatók 155
 Törés párhuzamos lapokon 46
 Törésszög mérése 153, 154
 Törvényes ohm 560
 Transzformátor 726
 Tranzatlanti kábel 535
 TUCHSCHMID 300
 Turmalin 266, 267
 — csiptető 267
 Tükrös galvanométer 480
 Utólagos töltés 390
 Üres üveghasáb 151
 Útőtávolság 402, 403
 — mérése 682
 — növekedése 409, 410
 Üveg átlátszósága 228
 Üvegelektromosság 305
 Üveghasáb 51—54
 Üvegházak 228
 Üveglap átlýukasztása 391, 392
 Üvegnedv 97
 Young 192, 268
 Vakfolt 97
 Valódi kép 32
 — — szemléltetése 38
 Válságos sebesség 489
 Váltakozó áram 721
 — áramú gép 725
 — — transzformátorok 727—730
 Váltó pontok 466
 Változó állapot 543
 Vas- és rézáramkör 624
 Vasgolyó a mágnesi térben 528
 Vasreszeléket vonzó mágnesrúd 436
 Vegyes gerjesztés 702
 Végtelenül vékony lencsék 65, 93
 Vékony lemezek színei 179—184
 VERDET törvénye 747
 — féle állandó 747
 VERNON-HARCOURT 17
 VERY 223
 Vérszínű csillagok 235
 Vetett árnyék 7, 9
 Vetítő készülék 113
 Vezető energiája 355—357
 — felmelegedése 596, 597

- Vezető kapacitásának meghatározása 589—591
 Vezető képesség 551, 552
 — test 302, 303
 Világító képesség 14
 — test 3
 Világos kereszt 276
 — kamara 52
 — ruha használata 224
 Villámcsapás 754
 Villámhárító használata 759
 — féle hatás 522
 VILLARI 19, 396, 397, 522
 Villogás 755
 VIOLLE 216
 — -féle fényegység 18
 Viszonylagos törésmutató 45
 Visszafordulásbeli mutató 46
 Visszás mutató 46
 Visszaverő képesség 42
 — rács 222
 Visszaverődés 5
 — szöge 23
 — törvénye 23, 24
 Vízbontás 631, 632
 Vízhasáb 161
 Víznedv 97
 Vízvoltage 633
 Volt mint elektromindító erő egy-
 sége 560
 Voltampère 562
 VOLTA 371, 412—414, 416 422
 — féle elektrofor 348—351
 — — elem 421
 — — láncz 419, 420
 — — oszlop 416, 417
 — — — elektromindító ereje 417
 VOLTA-féle pár 416. 549
 VOLTA-féle pisztoly 399, 400
 — — sorozat 652
 — — törvények 425
 Volta-ív taszítása 531
 Vonal-drót elszigetelése 544
 Vonalas oszlop 221
 — rés diffrakciós csíkjai 206
 — színekép 216
 — villám 754
 Vörös csillagok 235
 WALKER 409
 WARREN DE LA RUE 417
 Watt mint a munkasiker egysége 562
 WEBER, H. F. 214
 WEBER 489
 WHEATSTONE 140, 408
 — -féle híd 570—572, 574, 578
 — féle négyszög 571
 WIEDEMANN 368, 522
 WIENER 250
 WOLLASTON 118, 150
 WOOD-féle ösvény 666
 WROBLEWSKY 577
 WÜLLNER 221
 ZAMBONI-féle száraz oszlop 434
 Zárásbeli áramok 667
 — különáram 676, 678
 Zárt területen mozgó áramok 564
 — szolenoid 452
 ZIPERNOWSKI-DÉRY-BLÁTHY-féle
 transzformátor 726
 Zérus-potenciál 329

BESZÁMOLÓ

A TERMÉSZETTUDOMÁNYI KÖNYVKIADÓ-VÁLLALAT NYOLCZADIK, 1893—1895. ÉVI CZIKLUSÁRÓL.

Társulatunk könyvkiadó vállalata e kötettel befejezi a nyolczadik három éves ciklust, életének huszonnegyedik esztendejét, a mely századnegyed alatt immár 56 kötet munkával gazdagította természettudományi irodalmunkat.

Maga az épen lefolyt nyolczadik ciklus a következő könyvilletményeket szolgáltatta ki aláíróinak:

HERMAN OTTÓ: *Az északi madárhegyek tájáról*, 75 képpel, 3 színes táblával és 1 térképpel, 36·5 íven ;

SZABÓ JÓZSEF, *Előadások a geológia köréből*, 197 képpel, 4 műlappal és 2 térképpel, 24·5 íven.

DE CANDOLLE: *Termesztett növényeink eredete*, fordította PAVLICSEK SÁNDOR, revideálta MÁGÓCSY-DIETZ SÁNDOR, 61 képpel, 33·25 íven ;

RECLUS E.: *A patak élete*, fordította HENTALLER ELMA, revideálta SCHAFARZIK FERENCZ, 16 képpel, 11·5 íven ;

GRABER V.: *Az állatok mechanikai műszerei*, fordította THANOFFER LAJOS, revideálta ENTZ GÉZA és PASZLAUSZKY JÓZSEF, 315 rajzzal, 26·5 íven.

RÖTTI A.: *A fizika elemei*, I., II. kötet, fordította CZÓGLER ALAJOS, revideálta és a fordítást kiegészítette BARTONIEK GÉZA, 881 rajzzal, 3 színes műlappal és 1 térképpel, 94 íven.

A lefolyt ciklus hét kötet könyvilletménye tehát 225 rendes 8° íven jelent meg 1545 rajzzal, 7 színes táblával és 4 tér-

képpel, csinos angol vászonkötésben. E szerint a diszes kiállítású és oly bőven illusztrált könyvilletményeknek egy-egy íve az aláíróknak mindössze 6 krajczárjába kerül. Az illusztrált természettudományi munkák a külföldön 11—15 krajczárba kerülnek nyomtatott ívenként. Valóban Társulatunk az évi díjakat a munkáknak minden tekintetben gondos és a kor színvonalán álló kiállítására fordította.

A ciklus befejezéseig e könyvilletményeket 1760 példányban rendelték meg. Kulturális szempontból érdekes tudnunk, kikből áll Társulatunknak ez a könyvpártoló, majdnem állandó derék testülete; s azért a ciklus előrajza értelmében összeállítottuk az aláírók statisztikáját s egyszersmind közöljük a nyolczadik ciklus pártoló tagjainak betűrendes névsorát.

A nyolczadik ciklus pártoló tagjai polgári állásuk szerint a következőkép oszlanak meg:

Hölgyek	---	---	---	---	---	30	az egésznek	2	%-a
Tanárok, szaktudósok	---	---	---	---	---	302	"	17	"
Egyesületek, intézetek	---	---	---	---	---	295	"	17	"
Orvosok, gyógyszerészek	---	---	---	---	---	293	"	17	"
Birtokosok, gazdák, erdészek	---	---	---	---	---	260	"	15	"
Jogászok, ügyvédek, bírák	---	---	---	---	---	242	"	14	"
Mérnökök, szakhivatalnokok	---	---	---	---	---	148	"	8	"
Kereskedők, iparosok, gyárosok	---	---	---	---	---	60	"	3	"
Lelkészek	---	---	---	---	---	46	"	2	"
Tanítók	---	---	---	---	---	37	"	2	"
Főrangúak	---	---	---	---	---	31	"	2	"
Magánzók, katonák, írók	---	---	---	---	---	16	"	1	"

Budapest, 1895 december 15.

*A K. M. Természettudományi Társulat
titkársága.*

**A Természettudományi Könyvkiadó-Vállalat nyolcozadik,
1893—1895. évi ciklusának pártoló tagjai.**

- | | |
|--|--|
| Abt Antal e. tanár, Kolozsvár | Baja, Állami tanítóképző |
| Ács Albert gyógyszer., Sz.-Fehérvár | • Cisterci r. főgymnázium |
| Acsay Antal tanár, Bpest | • Városi polg. iskola |
| Aczél László tanfelügyelő, N.-Szőlős | • Áll. képezdei önképzőkör |
| Adda Viktor orvos, N.-Tapolcsány | • Kaszinó |
| Adler Adolf ügyvéd, N.-Károly | Bajor József gazdatiszt, Rácz-Almás |
| Adorján Miklós tanár, Csurgó | Bakó János orvos, Ipolyság |
| Ajtay K. Endre orvos, Sz.-Somlyó | • Károly birtokos, Buza |
| Akna-Szlatina, M. k. főbányahivatal | Bakóczy János lelk., H. Böszörmény |
| Alföldi Dávid ügyvéd, Eger | Bakonyi Géza min. titkár, Bpest |
| Allaga Ottó ügyvéd, Baja | Balás Árpád ig. tanár, M.-Óvár |
| Alsó-Lendva, Polgári fiúiskola | • Ödön gyógyszer., Debreczen |
| Altdörfer Viktor tanár, Sopron | Balassa Fer. orv., A.-Szombathfalva |
| Amberger Gyula. zárdafőn., Radna | • István tanár, Bihar-Diószeg |
| Báró Ambrózy István, Malonya | Bálint S. állattári őrségéd, Kolozsvár |
| Ambrózy Béla mérnök, Újvidék | Balló Lajos gyógyszer., L.-Szt.-Miklós |
| Ambrús Mór tanár, Losonc | Balogh Gábor százados, Baja |
| Ambrús Sánd. szolgabíró, Szeghalom | • János birtokos, Tövis † |
| Angéli József tanító, Komárom | • Károly tanár, Szabadka |
| Angyal Pál joghallg., Pécs | • Vilmos erdőgyak., Ungvár |
| Antalfy Zsiros József ügyv., Módos | Bán Gyula orvos, Kőtegyán |
| Anyos Lajos hivat., Rév-Komárom | Bánffay Simon közjegyző, Pécs |
| Apt Ödön birtokos, Kis-Halom | Bánffy-Hunyad, M. k. áll. iskolák |
| Arad, Áll. főreálisk. ifjús. könyvtára | Bánóczy Gizella tanítónő, Győr |
| • Kir. főgimn. • • | Baranyay Gyula ig. tanár, N.-Szőlős |
| • Állami tanítóképezde | Baranyi Balázs tanár, Jászberény |
| • Kölcsény-egyesület | Barcza Kálmán ügyvéd, Veszprém |
| • Kaszinó-egyesület | • László birtokos, Csáb-Rendek |
| Arányi Ágost tanár, Kecskemét | Barkassy Géza min. o.-tan., Bpest |
| Aranyossy Miksa tanár, Bpest | Barla Károly ref. lelkész, A.-Segesd |
| Arató Frigyes tanár, Szeged | Barna Sándor méhészt., Szabadka |
| Arató Gyula erdész, Bpest | Bartha György birtokos, Bokszeg |
| Áronffy Ernő • Rima-Brezó | • Zsigmond tanár, N.-Enyed |
| Árvay Lajos jegyző, Z.-Tapolca | Bartal Ferencz birtokos, Kis-Lúcs |
| Aszód, gimnáziumi könyvtár | Bartoniek Géza ig.-tanár, Bpest |
| Avéd Jákó tanár, Gyulafehérvár | Baruch Mór orvos, Nyiregyháza |
| Bácskay Béla orvos, Arad | Báthory István orvos, Bpest |
| • Izidor gazdálk., P.-Homok | Báthory Sándor ügyvéd, Debreczen |
| Badzey László főorvos, M.-Sziget | Gróf Batthányi Ervin, Bpest |

- Batta Ignác birtokos, Nyiregyháza
 Bauer Gyula bányászhallg., Selmecz
 Bäumel Ede tanár, Sopron
 Bayer Antal gyógyszer., Bpest
 • György gyógyszer., Kis-Jenő
 Beauregard Lajos orvos, Bécs
 Bedő Dénes tanár, Sz.-Keresztúr
 Bejczy Sándor birtokos, Rum
 Beke Antal orgon., H.-Böszörmény
 Békeffy Gyula ügyvéd, Szabadka
 Békés, Ev. ref. gimnázium
 Békés-Csaba, Kaszinó-egylet
 • • Megyei tanító-egyesület
 Békési Gyula t. főigazg., Debreczen
 Beliczay Béla birtokos, Bpest
 Benczúr Dénes e. m. tanár, Bpest
 Bende Andor mérnök, Zágráb
 Bendl Godofr. gazd. int., Mezőhegyes
 Benedicty Gyula gyógyszer., Békés
 Benka Gyula ig.-tanár, Szarvas
 Benkő Imre tanár, N.-Kőrös
 Benkő Benedek áll. főnök, M.-Ludas
 • Lajos főorvos, A.-Marót
 Beöthy Zsolt e. tanár, Bpest
 Berczeller Imre orvos, Bpest
 Bereczk Pét. gyógyszer., H.-Vásárhely
 Bereczky Gyula erdész, Bpest
 Bereczki Máté gyümölcsész, Kovácsah.
 Beretzky Endre orvos, Kőbánya
 Beregszász, Állami reáliskola
 Berencsy László orvos, Nemes-Ócsa
 Berendy Béla erdőgondnok, Bpest
 Berényi János tanár, Zilah
 Berg Antal postafőtiszt, Bpest
 Berger Ignác mérnök, Tokaj
 Berghofer Ákos tanár, Gyula
 Berghoffer Károly nevelő, Gyömrő
 Berinkei Bálint hivat., R.-Komárom
 Berkes Sándor orvos, Gyula
 Berkó István gyógyszer., Ipolyság
 Berkovits Zsigmond orvos, N.-Várad
 Bernáth Béla orsz. képviselő, Bpest
 Bernáth Elemér tanácselnök, Kassa
 • Kálmán mérnök, Szeged
 Bernauer Zsigmond chemikus, Bpest
 Bernolák Máté gyógyszer., Beszterceb.
 Bertalanffy Viktor gyógyszer., Vasvár
 Berthóty Károly tanár, Fiume
 Béry Lajos hivat., Szombathely †
 Berzsényi Gerő ügyvéd, Lengyeltóti
 • Gyula erdészgyak., Keszthely
 Besztercze, Polgári fiúiskola
 Beszterceb., M. k. erdőt. szakkönyvt.
 • Kir. főgimnázium
 • Kir. főgimn. ifjúsági könyvtár
 Gróf Bethlen István, Kolozsvár
 Bezerédy Dénes birtokos, Istvánfa
 Bihari János s. lelkész, B.-Ujfalu
 Binder Laura tanítónő, Kolozsvár
 Bíró Gyula tanár, Kolozsvár
 Bittó Béla birtokos, Bpest
 Blaskovits Gyula birtokos, N.-Bánya
 Bobest István ügyvéd, M.-Óvár
 Bóbita Endre tanár, Kassa
 Bóday Aladár ellenőr, R.-Komárom
 Bodnár Gyula mérnök, Debreczen
 Bódogh Ferenc gyógyszer., Kecskemét
 Bodoki Kálmán mérnök, Gyoma
 • Mihály gyógyszer., Gyula
 Bodolay László tanár, M.-Tur †
 Bodor Jenő erdőrendező, Kolozsvár
 Boér Jenő orvos, Tövis
 Bogyó Samu tanár, Bpest
 Bokros Elek orsz. képvis. Bpest †
 Boleman István orvos, Bpest
 • János orvos, Léva
 Bolgár Endre alispán, Ipolyság
 Bolner Károly ügyvéd, Tokaj
 Bontó Gerg. áld. pap, S.-A.-Újnyeli
 Boór Jenő lelkész, Hosszúfalu
 Boros Gyula gyógyszer., B.-Újfalu
 Borosnyay Dániel ügyvéd, Brassó
 Borszéký Somamin. oszt. tan., Bpest
 Bothár Emil tanár, Besztercebánya
 • Samu orvos, •
 Bottka Antal birtokos, Bodrog
 • Győző ügyvéd, A.-Marót
 Böhm Miklós tanár, Kétegyháza

- Brassó, Róm. kath. főgimnázium
 • Középkerek. isk. igazgatósága
 Braun Pál gyógyszer., Keszthely
 Brázay Kálmán kereskedő, Bpest
 Brengarten Henrik főjegyző, Palota
 Brenner Lajos tanár, Veszprém
 • Vilmos főmérnök, Bpest
 Breuer Pál gyógyszerész, M.-Lápos
 Brogyányi Gyula fogalm., Zombor
 Bruckmann János állatorv., Bonyhád
 Buda Ádám birtokos, Rea
 Bpest, Közp. posta-távirda-igazgat.
 • Közl. min. p. és táv. szakoszt.
 • Orsz. m. k. statiszt. hivatal
 • Stefánia Yacht-egylet
 • Tabáni népisk. könyvtár
 • II. ker. polg. leányiskola
 • II. polg. és középkerek. isk.
 • Posta és táv. tanf. igazgatósága
 • Országos kaszinó
 • M. k. állatorvosi tanintézet
 • Kir. egyet. kath. főgimnázium
 • M. k. tanárkép. gyak. főgimn.
 • Állami el. és polg. isk. tanító-
 képző int. ifj. olvasóköre
 • Egyet. gyógyszerész hallgatók
 segítő és önképző köre
 • Orsz. tisztviselők egyesülete
 • V. ker. polg. leányiskola
 • Ref. főgimn. önképző köre
 • M. kir. honv. Ludov. akadémia
 • Kegyesrendi főgimnázium
 • VII. ker. gimnázium
 • VII. ker. nagydíófa-u. iskola
 • Egyet. vegytani intézet
 • VI. k. áll. tan.nő-képző (2 p.)
 • IX. k. polg. és középkerek. isk.
 • Kazinczy-utcai elemi iskola
 • VI. ker. polgrái iskola
 • Műegyetemi könyvtár
 • Budai tanító-egylet
 • II. ker. áll. főreáliskola
 • M. tud. akadémia
 • M. mérnök- és építész-egylet
- Bpest II. ker. áll. tanítónőképezde
 • Nemzeti kaszinó
 • Tisztviselőtelepi kaszinó
 • III. ker. népkönyvtár
 Buday Ákos gyógyszer., S.-A.-Újhely
 • Béla mérnök, Bpest
 • József birtokos, Debreczen
 • Mór orvos, Zsarnócza
 • Zádor főmérnök, Bpest
 Bugát Ferencz mérn., Nóg.-Megyer
 Burány Ernő gazdasz, Csém
 Burchard Konrád főrendi tag, Bpest
 Burdás János erdész, Csornoholova
 Burkovits Lajos tanár, Keszthely
 Busbak Ádám birtokos, Losoncz
 Búza János tanár, Sárospatak
 Buzáth Ferencz gyógyszer., Beregszász
 Büchl Károly mérnök, Debreczen
 Campianu György tanító, Kuvin
 Chernel István birtokos, Kőszeg
 Chován Károly tanár, Szarvas
 Chyzer Kornel min. tanácsos, Bpest
 Gróf Crouy Endre birtokos, Vác
 Cukor Lajos orvos, N.-Károly
 Csabay Imre ig.-tanár, Kecske-mét
 Csáktornya, Áll. tanítóképezde
 • Népiskolai könyvtár
 • Polgári iskola
 Csáky József gazd. intéző, Szalka
 Csáki Róbert tisztviselő, Bpest
 Csanak József kereskedő, Debreczen
 Csapó Lajos birtokos, S.-A.-Újhely
 • Ödön tanító, Csajágh
 Csapodi Ferencz körj., Sz.-Győrök
 • István e. rk. tanár, Bpest
 Csausz Lajos birtokos, Gyula
 Csebra József tanító, Királyság
 Cséby Lajos gyógyszer., Duna-Adony
 Cseh Károly közeg. felügyelő, Bpest †
 • Lajos geologus, Selmecz
 Csepcsányi Béla gyógyszer., Újpest
 Cserhádi Jenő mérnök, Bpest
 Csernus László tanár, S.-A.-Újhely †
 Csernyus Allán birt., Alsó-Bodony

- Cservenyák György, gysz. B.-Gyarm.
 Csiby Lőrincz erdőm., Beszterceb.
 Csigó Pál birtokos, Z.-Gulács †
 Csik Gyula főerdész, Karád
 Csik-Somlyó, Gimnázium
 Csincsek Flóris lelkész, Nustár
 Csippék János gyógyszer., Tapolcsány
 Csiszár Árpád gyógyszer., Z.-Szinna
 Csizik Kár. ny. p. ü. főtanács., Bpest
 Csók Lajos birt., Közép-P.-Bogárd
 Csolnoky Jenő tanársegéd, Bpest
 Csomasz Béla ügyv. jelölt, Veszprém
 Csonka Pál mérnök, Szentes
 Csopay László tanár, Bpest
 Csorba Edéné úrnő, Kaposvár
 Csorna, Premontreiek könyvtára
 Csurgó, Ev. ref. főgimn. könyvtára
 Czacher Gusztáv gazdát., Ercsi
 Czárán Gyula birtokos, Monyásza
 Czehe K. Aladár gyógyszer., Oklánd
 Czettler Gyula gyógyszer., Bpest
 Czibulka Soma erdőgondn., Polhora
 Czibur Bertalan gyógyszer., N.-Mihály
 Czingell László gyógyszer., Heves
 Czirer József birtokos, Kátoly
 Czirer Lajos sorhajóhadnagy, Pécs †
 Czollner Vince gyógyszer., Pozsony
 Czvajna József igazg. tan., Besztercze
 Daitz Ede orvos, Felka
 Danielisz Károly birtokos, Szentes
 Darvas Imre igazgató, Dobrest
 Dax Adolf mérnök, Kolozsvár
 Debreczen, Róm. kath. gimnázium
 • Ref. főiskola könyvtára
 • • • fizikai szertára
 • Főreáliskola
 • M. k. gazdasági tanintézet
 • Orvos-gyógyszerész egyesület
 • Ev. ref. tanítótanintézet
 • Kereskedelmi akadémia
 Decsy Dezső gyógyszer., Szabadka
 Deér Endre gyógyszer., Aszód
 Gróf Dégenfeld Gusztáv, Téglás
 Dékány Ráfél igazgató, Bpest †
 Demeter Kálm. tanár, H.-Vásárhely
 Dérer Mihály mérnök, Z.-Brezó
 Derzsi Gábor főerdész, Zilah
 Deszkásy Boldizsár jogtan., Sopron
 Deutsch Adolf birtokos, Gyöngyös
 • Ernő orvosjelölt, Bpest
 • Zsigmond könyvtára,
 Déva, Áll. főreálisk. tanári könyvtára
 • • • önképzőköre
 • Nemzeti kaszinó
 Dezsőffy Béla birt. Szt.-Márton-Káta
 • Emil főszolgabíró, N.-Káta
 • Géza kir. táblai bíró, Bpest
 • Gyula ny. pleb., Sz.-M.-Káta
 Diel Ede gazdatiszt, Juliamajor
 Dietz Lajos tanár, Kassa
 Diós-Győr, Vasgyári kaszinó
 Diósy Ede könyvelő, Komárom
 Dirner Gusztáv orvos, Bpest
 • Lajos • •
 Dobiecki Sánd. vas. főfelügy., Debr.
 Doctorics Sándor árvasz. üln. Sopron
 Doczkalik Jenő nevelő, A.-Metzenzéf
 Dókus Gyulam. főjegyz., S.-A.-Újhely
 Domokos József bányatiszt, M.-Újvár
 Dorner Andor nagyker., Barcs telep
 Dóry Dénes birt., Paradicsompuszta
 • József • Dombóvár
 • Vilmos gazdatiszt, Leperd
 Dövényi Pál ügyvéd, Székelyhid
 Draskóczy Gábor tanár, M.-Sziget
 Drucker Jenő gazda, Vörösvár
 Dubsky Fer. pénzt., Cs.-Sándorfalva
 Dudich Endre orvos, N.-Salló
 Duka Marcel kat. felügyelő, Szeged
 Dunky Fer. fényképész, Kolozsvár
 Dunst Ferencz plebános, Keszthely
 Edvi István csendőrhadn., N.-Bánya
 Edvy Sándor pü. szemlést., B.-Gyarm.
 Egán Lajos hivatalnok, Drág
 Eger, Törzs-kaszinó
 • Állami reáliskola
 • • • ifj. könyvtára
 Ehrlich Henr. nagybérlő, Fegyvern.

- Eibach Emil főkönyvelő, Pécs
 Eisenhut Kálm. gazdat., Therezovác
 Eiszdorfer Gusztáv gyógyszer., Bpest
 Elekes Károly tanár, N.-Enyed
 Eltscher Simon « Nyiregyháza
 Emich Gusztáv képviselő, Bpest
 Entz Géza m. e. tanár, Bpest
 Eösz Ferencz gazd. tanácsos, Bpest
 Báró Eötvös Loránd, Bpest
 Eperjes, Kir. kath. főgimnázium
 « Ev. colleg. magy. társaság
 Er-Diószeg, M. k. vinczellériskola
 Erdélyi Géza gyógyszer., Csacza
 Gróf Erdődy György, Gyepű-Füzes
 Erdődy Imre tanár, Bpest
 Erdős Jenő gyógyszer. Boglár
 Erdősi Gyula ügyvéd, Kalocsa
 Erkel János mérnök, Gyula
 Ernuszt Kelemen birtokos, Olad
 Erős Rezső gazdatiszt, Mikófalva
 Erreth Lajos orvos, Pécs
 Ertl Heribert tanító, Nándorvölgy
 Erzsébetváros, Gimnázium
 Esztergom, Főgimn. ifj. könyvtára
 « Reáliskola
 Gróf Eszterházy Kálmán, Gyalu
 Exner Leó tanár, H.-M.-Vásárhely
 Fábián Lajos Mór tanár, Debreczen
 Fábry Árpád orvos, Rudóbánya
 Faludy Géza orvosjelölt, Bpest
 « Károly jegyző, Cs.-Apáca
 Fanta Adolf orvos, Sz.-Fehérvár
 Faragó Gyula főmérnök, Szeged
 Farahó János birtokos, Kopács
 Farkas Fer. gazd. intéző, P.-Anyafa
 « Gyula birtokos, Simánd
 « « ig. tanító, Turcz
 « János orvos, Sz.-Fehérvár
 « Ödön birtokos, Imreháza
 « Sándor gyógyszer., Baja
 « « « Szentes
 Faschler László tanár, Tata †
 Faulháber Oszkár doh. tiszt, Szulok
 Fáy Árpád birtokos, B.-Gyarmat
 Fáy Béla birtokos, Dédács
 Báró Fechtig Imre, Tisza-Ugh
 Fehértemplom, Főgimn. ifj. könyvt.
 Feiler Mihály szerkesztő, Pécs
 Báró Feilitzsch Arthur, Kolozsvár
 Fejér Dávid orvos, Gy.-Szt.-Miklós
 Fejes Lajos gyógyszer., Kun-Ágota
 Fejős Dezső gyógyszer., Dunaföldvár
 Fekete Berta tanítónő, Bpest
 « János tanító, B.-Hunyad
 « Lajos birtokos, Bpest
 Félegyházy Ágoston titkár, Bpest
 Felső-Lövő, Tanintézetek
 Fényes Dezső tanár, Arad
 Ferencsik Ödön erdész, N.-Várad
 Ferenczy István tanár, N.-Szeben
 « József tanár, Nyitra
 « László birtokos, Bpest
 « Zoltán gyógyszer., Szeged
 Fest Béla gyógyszer., Bpest
 Fialowsky Lajos tanár, Bpest
 Figura József erdész, H.-Perezsteg
 Finta Lajos mérnök, Öcsöd
 Finy Béla gyógyszer., Bpest
 Fischer Samu chemikus, Bpest
 « Zsigmond birtokos, P.-Martfű
 Fittler Béla ügyvéd, Sz.-Fehérvár
 Fiume, Áll. keresk. Akadémia
 « M. k. tengerészeti hatóság
 Flatt Károly gazdász, Élesd
 Fleischer Gusztáv kereskedő, Kassa
 Florián János birtokos, Szamosújvár
 Flóth F. Adolf szolgabíró, Bethlen
 Fluk Ádám táblai tan.-eln., Temesv.
 Fodor Balázs építész, Temes-Ságh
 « József e. tanár, Bpest
 Fogarasi Béla tanár, N.-Enyed
 Gróf Forgách István, N.-Szaláncz
 Forgách József jószágkorm., Kassa
 Gróf Forgách László, Mándok
 Fornét Gyula m. aljegyző, Rimasz
 Forray Ferencz tanító, Zenta
 Forster Géza birtokos, Bpest
 « Gyula min. tanácsos, Bpest

- Forster István birtokos, Zomba
 • Kálmán min. titkár, Bpest
 Földes Bella tanítónő, Gurahoncz
 • János főerdőg., N.-Palánka
 Földi János főerdész, Bpest
 Fraenkel Sándor ügyvéd, Bpest
 Fraknoi Vilmos püspök, Róma
 Frank Kiss István chem., Kolozsvár
 Freyinger Lajos közjegyző, Vác
 Friedman Benő birtokos, Rév
 Friedrich Istv. kasznár, Félégyháza
 Frits József gyógyszer., Tolcsa
 Frivaldszky János igazg. őr Bpest †
 Fröhlich Izidor e. tanár, Bpest
 Fromm Antal gazdatiszt, Gyömrő
 Fuchs Ádám ig. tanár, Pécs
 • Ármin gazda, R.-Keresztúr
 • Géza gazdálkodó, Újfalva
 Fuss Nándor gyógyszer., A.-Lendva
 Fülöp Antal plébános, Suúr
 Gabányi Endre mérnök, Kolozsvár
 Gál Elemér mérnök, N.-Várad
 • Ernő jogtudor, Baja
 • Gaszton birtokos, Bpest
 Gálffy Endre törzsorv., Kolozsvár
 Gallik Géza gyógyszer., Kassa
 Gálócsy Árpád mérnök, Bpest
 Ganczaugh Mikl. szolgab., Besenyő
 Gänger Mór orvos, Czibakháza
 Garán János • Székelyhid
 Garda Dezső mérnök, Királyháza
 • János erdőgyak., Szászrégen
 Gáspár János m. aljegyző, N.-Enyed
 • József távirdatiszt, Szeged
 Gasparik Pál erdősz, Tenke
 Gavallér Lajos ügyvéd, M.-Sziget
 Gecsányi Gusztáv tanár, Sopron
 Geittner József kereskedő, Bpest
 Gelléri Szabó János ügyv., •
 Genersich Antal e. tanár, Bpest
 Geng József gazdat., P.-Fácánkert
 Geöcze Imre kohótiszt, Aranyidka
 Gergelyi Imre orvos, Gyöngyös †
 Gergely Károly táblab., Sz.-Fehérvár
 Gerster Miklós iparfelügy., Bpest
 Ghyczy Géza akad. igazgató, Bpest
 Gleiman Kálmán orvos, Z.-Brezó
 Glósz Bernát Kálmán orvos, Eger
 Gobetzky József gyógyszer., Eszék
 Gockler Lajos tanító N.-Becakerek
 Goldberger Lajos chemikus, Bpest
 Golián Kár. kohófőn., Kapnikbánya
 Gombos Gyula gazda, Kisbér
 Gonda Balázs ref. lelkész, Berczel †
 Gothard Jenő birtokos, Herény
 Gömöry Gusztáv keresk., Dobsina
 • Sándor tkp. jegyző, Kecskemét
 Görgői Arthur tábornok, Visegrád
 Gócsi Máté ügyv. jel., Duna-Adony
 Gráf Nándor tisztviselő, Bpest
 Gréger Géza erdősz, Visk
 Grittner Albert mérnök, Bpest
 Grössinger József áll.-főnök, Bpest
 Grötschel Imre tkp. igazgató, •
 Grüner Ádám pénztárn., Ó-Kanizsa
 Grünwald István tanár, Bpest
 Gschwindt Mihály gyáros, •
 Gubányi József birtokos, Pilis
 Gulácsy Béla mérnök, Bpest
 Gunde Henrik tanár, Újvidék
 Gúta József tanár, Besztercebánya
 Guttmann Izidor chemik., Szerencs
 Gyarmathy Zsig. inspektor, Hunyad
 Gyömörey Vincze birtokos, Ukk
 Gyönk, Ref. gimnázium
 Győr, Áll. Főreálisk. igazgatósága
 • • • ifj. könyvtára
 • Áll. polg. leányiskola
 Györgyei Miklós birtokos, P.-Kürt
 Györke István főerdész, Kolozsvár
 • Lajos tanár, Fogaras
 Györki Lajos orvos, Kölesd
 Győr-Szt. Márton, Pannonh. könyvt.
 Gyula-Fejérvár, Kath. gimnázium
 Gyulai Pál főrendi tag, Bpest
 Gyurmán Andor tanár, •
 Gyúge Benjámin gépész, T.-Ságh
 Haberern Jon. Pál e. m. tanár, Bpest

- Háckl István gazd. intéző, Monyoró
 Haidekker Béla ügyvéd, Szegszárd
 Haitsch Samu tanár, Selmecz
 Hajdú-Böszörmény, Gimnázium
 Hajdú Gyula műszaki tan., Bpest
 Hajdú-Szoboszló, Polgári iskola
 Hajnal Albert orvos, Kígyós
 • Endre ügyv., Sopron
 • István orvos, Békés
 Hajnos Gyula orvos, Bpest
 • Sándor hivatalnok, Bpest
 Halász Ágost vegyész, •
 • Árpád tanár, Mákó
 • Elemér birtokos, Csány
 • Géza alerdőfelügyelő, Pécs
 • László igazg. tanár, Lőcse
 Halka Dániel erdész, H.-Sz.-György
 Halmi János tanár, H.-M.-Vásárhely
 Hamaliár Károly gysz., R.-Szombat
 Hambor József s. lelkész, Kis-Szeben
 Hanák Kolos ügyvéd, Gyöngyös
 Händel Vilmos birtokos, Selmecz
 Hankó Ödön főorvos, Deés
 Hanthó István ezr. orv., Kecskemét
 Hanusz István ig. tanár, •
 Haraszi Tivadar bérlő, K.-Sz.-Márt.
 Harmath Gergely tanár, Debreczen
 • Lajos ügyvéd, Brassó
 Hauser Béla birtokos, P.-Bojár
 Hauszmann Fer. tkp. főtiszt, Bpest
 Havas Ágost erdőmester, Zircz
 Hazslinszky Károly gyógyszer., Bpest
 Héder János törv. bír., M.-Sziget
 Hegedűs Miklós mérnök, Felbár
 • János honv. főtörzsorvos Bpest
 • József jószágigazgató, •
 • Károly igazg. tanár, •
 • Sándor orsz. képviselő, •
 Haeger Czeczilia tanítónő, N.-Ilonda
 Hegyfok Kabos plébános, Turkeve
 Hegyessy Sándor ügyvéd, Csoltó
 Hellebronth Géza birt., Tisza-Roff
 Heller Ágost ak. főkönyvtárn., Bpest
 • Jakab orvos, M.-Sziget
 Helvey Adolf ügyvéd, Petris †
 Hemmen Mátyás ispán, Hódos
 Hencz Antal építész, Keszthely
 Hannel Kár. kaszn., Domokosmajor
 Herbst Ferencz isp., Lovászpataka
 Herchl János tanár, Kassa
 Hercz Mór gyógyszer., Miskolcz †
 Herczogh Hugó iskola-igazg., Szerb-
 Nagy-Szent-Miklós
 Heringh Sándor gyógyszer., N.-Várad
 • Zsigmond ügyvéd, Sopron
 Hermán Mih. ügyv., Szatm.-Németi
 Hidasi J. gyógyszer., Bács-Bresztóvacz
 Hidegh Kálmán tanár, Arad
 Hinger Tivadar ur. tiszt., Rakonczás
 Hirschmann Ferdin. tanár, Pozsony
 Hochstrasser Ján. ügyv., N.-Kikinda
 Hocz Gábor p. ü. biztos, Bpest
 Hódinka Ágoston tanár, Sárospatak
 Hódm.-Vásárh., Ev. ref. főgimnáz.
 Hofer Károly igazg. tanár, Bpest
 Hoffer Samu ezredorvos, Gyula
 Hoffmann Károly ügyvéd, Késmárk
 Hoffmann könyvkeres., Bpest (2 p.)
 Holdházy János püspök, Győr
 Holl Jenő p. ü. biztos, Munkács
 Holzinger Lajos jegyző, N.-Komlós
 Hopf János kanonok, Kalocsa
 Hopp Ferencz kereskedő, Bpest
 Horn Gyula orvosnöv., Bpest
 Hornyay Béla orvos, S. A. Ujhely
 Hort Erzsébet tanítónő, Szeged
 Hortobágyi Zsigm. tanár, Pancsova
 Horváth Béla mérnök, Miskolcz
 • Ferencz tanító, Z.-Tapolca
 • Géza ügyvéd, Tata
 • Imre gyógyszerész, Tarczal
 • Jeromos tanár, Baja
 • János ügyvéd, Szentés †
 • Kálmán gyógyszer., Kaba
 • Károly orvos, Debreczen
 • • közjegyző, Orosháza
 • László igazgató, Pozsony
 • Mihály orvos, Kecskemét

- Houchard Fer. p. ü. titk., Gomba
 Hógyes Endre e. tanár, Bpest
 Hönig Frigyes gyáros, Arad
 Hősz Mihály orvos, Nagylak
 Hubert Aladár erdész, Rezsőpart
 Hubert Vilmos ügyvéd, Léva
 Huchthausen Vilm. inspekt., Kéthely
 Huffner Tivadar igazgató, Nagyág
 Gr. Hugonnay Kálm. t.-sz. bíró Bpest
 Hunyady Lajos birtokos, Szakál
 Husz Ármin tanár, Eperjes
 Huszár Károly gyógyszer., Keszthely
 Hutya Ferencz tanár, Bpest
 Igaly Béla hivatalnok R.-Palota
 Igló, Főgimnázium
 • Tanítóképezde
 Ignits Boldizsár áldoz., Szt.-Gothárd
 Ihász Lajos birtokos, Hathalom
 Illés Dezső ügyvédjelölt, Veszprém
 Illés Ignác ezredorvos, Keszthely
 Ilosvay Lajos m. e. tanár, Bpest
 Imecs Béla főerdész, B.-Apátfalva
 Imre Dénes erdőrend, Gy.-Szt.-Mikl.
 • József orvos, H.-M.-Vásárhely
 • Miklós ügyvéd, Eger
 • Sándor gyógyszer., Bácsföldvár
 Ince Kálm. k. uti felügy., M.-Vásárh.
 Inczedy Dénes igazgató, Pécs
 Inkey Béla főgeológus, Bpest
 Institoris Antal kereskedő, Arad
 Issekutz László orvos, Arad
 Ivánka István birtokos, Palást
 • Pál főszolgabíró, Monor
 Iványi Ernő orvos, Bpest
 Jaeger Vilma tanítónő, Dobsina
 Jakab Géza tanár, Homonna
 • István postatiszt, Kassa
 • József erdész, Gy.-Szt.-Miklós
 Jákó Jenő erdész, Zsarnócza
 Jákói Géza főerdész, Ugod
 Jális Géza nagykereskedő, Bpest
 Jancsó Lajos gazdat., Micskepuszta
 Jármay Gyula gyógyszer. Bpest
 • Jenő mérnök, Bpest
 Jászberény, közs. kath. főgimn.
 Jaszencsák Sándor tanár, Debreczen
 Jedlik Ányos ny. e. tanár, Győr †
 Jelfy János ügyvéd, Arad
 Jellachich Károly orvos, Dárda
 Jendrassik Ernő e. tanár, Bpest
 Jeney Béla hivatalnok, Debreczen
 Jenovay Dezső ügyv., K.-Félegyháza
 Jeszenák Ráfael tanár, Losoncz
 Jeszenszky Béla birtokos, Temesvár
 • Sándor közjegyző, Beszterczeb.
 Jezerniczky Ákos mérnök, Szeged
 Jobszty Gyula alispán, Beregszász
 Ifj. Jókai Mór min. titkár, Bpest †
 Jóna László gyógyszer., Nyir-Bakta
 Joós Lajos bányatiszt, Felső-Bánya
 Jordán Ferencz főorvos, Bpest
 Józsa Fábán orvos, Alsó-Lendva
 Jóna Károly körorvos, Kocs
 Juchó Ferencz orvos, V.-Hunyad
 Jura János járásbíró, F.-Visó
 Jurányi Lajos e. tanár, Bpest
 Jurkovits Otm. járásb., N.-Mikl.
 Just Ferencz mérnök, Bpest
 Kabdebó Lajos tanár, Arad
 Kácsér Zsigm. ügyvéd, N.-Kikinda
 Kádek István igazgató, Privigye
 Káldy Gyula orvosjelölt, Bpest
 Kalecsinszky Sándor chemik., Bpest
 Kállay István tanár, Debreczen
 Kálmán Béla járásorvos, Kassa
 • Sándor tanító, Szécsény
 Kálnay Zoltán mérnök, Nyiregyháza
 Kalocsa Viktor postatiszt, Mező-Túr
 Kaposvár, Főgimn. ifj. könyvtára
 • Nemzeti kaszinó
 • Főgimn. tanári könyvtár
 Kapuvár, Kaszinó-egylet
 • Polgári iskola
 Karai Sándor tanár, Debreczen
 Karácson Gyula főjegyző, Zombor
 Kardos Károly tanár, M.-Sziget
 Karika Béla gyógyszer., Tata †
 Karkovány Ákos m. e. hallg., Bpest

- Kármán Mór e. tanár, Bpest
 Karpf Lajos tanár, N.-Szombat
 Karsay Jolán igazg. tanítónő, Győr
 • Lajos gazdatiszt, Ürmény
 • Zoltán orvos, Német-Bogsán
 Kassa, Kath. főgimn. igazgatósága
 • M. K. posta és távirda igazg.
 • Állami főreáliskola
 • Gazd. tanintézet olvasóköre
 Katona Lajos mérnök, Z.-Brezó
 Katz G. könyvkereskedő Bpest
 Kauffmann Kamill bányakap., Bpest
 Kecskemét, Tanító testület
 • Ref. főgimnázium
 • Polgári leányiskola
 Kégl János jogász, Bpest
 Kelemen Mihály főtörzsorvos, Pécs
 Keleti Gusztáv igazgató, Bpest
 Keller Ferencz állomásfőnök, Sárosp
 • Károly főtanító, N.-Perkátá
 Báró Kemény Domokos, Malomfalva
 • • László, Tövis
 • • Pál, Mező-Záh
 • • Ödön, Alsó-Jára
 Kempelen Imre birtokos, Moha
 Kende Péter alispán, Ungvár
 • Zsigmond birtokos, N.-Geőcz
 Kenessey Pongrácz ügyv., Veszprém
 Keő Jenő mérnök, Rév-Komárom
 Képes Ferencz r. kap., Abrudbánya
 Kerbolt László körorvos, Sárosp
 Keresztyén Albert orvos, M.-Kászony
 Kerner Pál ezredorvos, Trenosén
 Kerpely Antal min. tanács., Bpest
 Kertész Lipót orvos, Dombóvár
 Kertscher Sándor tanító, Késmárk
 Késmárk, Ev. lyceum könyvtára
 • Szepesi orvos-gyógysz. egylet
 • Kaszinó
 Keszler Pál gyógyszer., N.-Bocskó
 Keszthely, Prem. főgimn. tan. kvár
 • Gazdasági tanintézet
 Kétili Károly e. tanár, Bpest
 Kézsmárszky Tivadar e. tanár, Bpest
 Kherndl Antal m. e. tanár, Bpest
 • Imre birtokos, Z.-N.-Récse
 Kikindai Aladár mérnök, Kalocsa
 • Béla gazdász, N.-Kikinda
 Kilián Fr. könyvtáros, Bpest (10 p.)
 Kim Andor gazdatiszt, Felső-Ireg
 Kintzig Béla m. e. hallg., Bpest
 Király József tanár, N.-Szalonta (2p.)
 • István orvos, B.-Bicske
 Kirchknopf András tanár, Kassa
 Kirchmayer Gerő birt., K.-Enyiczke
 Kirchner Mih. gyógyszer., Komárom
 Kiss Andor körjegyző, Gladna
 • Endre táblabíró, Debreczen
 • Ferencz tiszttartó, Kapriora
 • Gyula gyógyszer., H.-M.-Vásárh.
 • • jegyző, Óverbász
 • János igazgató, Bpest
 • László tanár, Halas
 • Sándor gyógyszer., N.-Kőrös
 Kisfaludy Sándor birt., B.-Tomaaj †
 Kis-Kun-Halas, Gimnázium
 Kismarton, Eszterházy könyvtár
 • Áll. polg. isk. könyvtára
 Kisujazállás, Gimnázium
 Kiszelly Ervin tanár, Késmárk
 Klacskó Lajos tanító, Almaszeghuta
 Kléh István igazgató, Bpest
 Klein Ede tanár, Késmárk
 • Fülöp orvos, Bpest
 • Gyula m. e. tanár, Bpest
 • Pál tanár, Késmárk
 • Samu tanár, Dobsina
 Klimm Mihály m. e. tnr., Bpest
 Klinovszky Albert gyógyszer., Zággráb
 Klotzbach István gondnok, Ercsi
 Klöckner P. könyvtáros, Sz.-Fehérvár
 Klug Nándor e. tanár, Bpest
 Kluge Ferencz ispán, Szt.-János
 Koch Antal e. tanár, Bpest
 • Ferencz tanársegéd, Kolozsvár
 Kócsy J. főerdőmest., S.-Szt.-György
 Kocsis János tanár, Kaposvár
 Kojnok Tamás erdész, Rezsőpart

Koleszár János plébános, Perlasz

• Lajos igazgató, B.-Hunyad

Kollár Péter árvasz. tlnök, Eszterg.
Kolozsmonostor, Gazdas. tanintézet

• Gazd. int. ifjúság olvasó köre

Kolozsvár, Polg. fiú-isk. igazgatósága

• M. k. középisk. tanárképezde

• Közs. felsőbb leányiskola

• Állami tanítóképezde

• Áll. tanítókép. önképzőköre

• M. kir. posta és távirtd. igazg.

• Ev. ref. colleg. könyvtára

• Keresk. akadémia

• • • ifj. könyvtára

• Orvoshallgatók segélyegylete

• Ref. tanodai ifj. olvasó egyesület

• Egyetemi vegytani intézet

• Áll. tanítónőképezde

Kolumbán Áron lelkész, Kötegyán

Koller Gyula orvos, Bpest

Komárom, Szt.-Ben.-r. kath. gimn.

• megyei könyvtár

Komáromy Károly gazdat., P.-Csike

• Lajos mérnök, Szentcs

Kondor Sándor bányat., Rézbánya

Konkoly Miklós m. i. igazgató, Bpest

Konrád Márk ig. tanár, N.-Várad

Konsch Ignác tanár, N.-Várad

Kopp Lajos tanár, Bpest

Korányi Lajos gyógyszer., Bpest

Korbély József mérnök, B.-Ujfal

Gróf Kornis Emil, Jakabháza

Kornstein Lajos orvos, N.-Várad

Koós Gábor tanár, Bpest

Korach Jakab hivatalnok, Orló

Kósa Miklós tisztartó, Csurgó

Kosinsky Viktor igazgató, Tarczal

Kossa Dezső orsz. képvis., Siklós

Kossuth Lajos, Turin †

Kossutány Tamás tanár, M.-Óvár

Koszorús István orvos, Gál

Kosztka Károly hivatalnok, Szentcs

Kótányi Manó • Szeged

Kóti Jeremiás tanító, H.-Hadház

Kovács Antal orvostud., Kunhegyes

Kovács Antal orvos, Jászkiás †

• Béla tanár, Kolozsvár

• Eduárd birtokos, Mikola

• Elek közjegyző, Nyiregyháza

• Géza fogalmazó, N.-Bánya

• Imre chemikus, Bpest

• István tanár, Lőcse

• József orvos, Salgó-Tarján

• • tanár, Homonna

• • főorvos, Szeged

• • e. tanár, Bpest

• Károly gazdaszizt., Pécs

Kovács • birtokos, Szürthe

Kovács Lajos üzletvezető, Bpest

• Pál erdőgyakn., N.-Borosnyó

• Sebestyén End. főorv., Ipolyság

Kovácsy János főmérnök, Bpest

Kozlik János birtokos, Moson

Kökényesdy Mihály ügyv., M.-Sziget

Kölber Alajos gyáros, Bpest

Kölessey Ferencz főorvos, Szatmár

Kölesvölgyi Józ. ügyv., Szombathely

Könczöl Józ. hittanhallg., Innsbruck

König Gyula m. e. tanár, Bpest

Körmend, Kaszinó

Körmendy Imre ügyvéd, Bpest

Körmendi Lajos áll. főnök. Z.-Brezó

Kövér Kálmán orvos, Bpest

Kövesligethy Radó e. rk. tanár, Bpest

Krausz Arthur orvos, Bpest

• József könyvtáros, Veszprém

Krécsy Béla tanár, Bpest

Kreizler Zsigm. keresk., Sz.-Fehérv.

Krenner József e. tanár, Bpest

Kriegler Antal tan., T.-Szt.-Márton

Kristyórá János iparos, Arad

Kriza Agoston p. ü. biztos, Vác

Kroczeffszky Adolf gyógyszer., Eszék

Krudy Gyula ügyvéd, Nyiregyháza

Kubatovics Jakab tan., Szabadka

Kugler János ügyvéd, Bpest

Kubinyi Mórné, Besztercebánya

Kulin Ferencz gyógyszer., T.-Nána

- Kulin Géza gyógyszer., Bpest
 Kuliszeky Ernő tanfelfüg., M.-Óvár
 Kulizsák Ferencz százados, Gyula
 Kun-Félegyháza, Tanítóképző-int.
 Kun István főerdész, Munkács
 • Kálmán törv. bír., Miskolcz
 • Mór gyógyszer., K.-Félegyháza
 Kun-Szt.-Miklós, Kassina
 • Ev. ref. gimnázium
 Kunc Adolf praelátus, Csorna
 Kunfalvy István sz. bír., Nyiregyh.
 Kursinszky László tanító, Debreczen
 Kussinszky Arn. hittanár, Jászóvár
 Kürschák József tanár, Bpest
 Lacsony Gyula főmérnök, Karczag
 Lagler Béla állomásfőnök, Gáta
 Laky Mátyás tanár, Temesvár
 Lannm Ármán gazdát., Feketepusztá
 Lampel Róbert könyvkeres. Bpest
 Láng Frigyes orvos, Zombor
 Láng Gusztáv tanár, B.-Csaba
 Lányi Gyula ügyvéd, Pozsony
 Laszberg Rudolf gróf, alispán, Győr
 László Ede tanár, Bpest
 Latinovits János birtokos, Katymár
 Lauch János tanár, Temesvár
 Lázárné Szitkey Korn. urh., Nádudv.
 Lázár Géza magánzó, Terebes
 Lechner Károly e. tanár, Bpest
 Lederer Ábrahám ig. tanár. Bpest
 Lederer Gusztáv járásbíró, Gyula
 Leibnitz Antal tanító, Ókanizsa
 Leipniker Ernő chemikus, Bpest
 Leitgeb Imre birtokos, Derecske
 Lejtényi György gazd. int., Bábolna
 Lendl Adolf tanár, Bpest
 Lengyel Antal tisztv., Szolnok
 • Béla e. tanár, Bpest
 • István tisztv., Bpest
 • Lajos körorvos, Nagy-Dobos
 • Samu birtokos, Miskolcz
 Lépes Péter tanár, Karánsebes
 Lévai állami tanítóképezde
 Lévy Simon tanácsnok, Palics
 Leviczky Albert erdész, Bpest
 Lichtscheindl Gy. pénzt., N.-Láng
 Link József művezető, Szeged
 Linsbauer Rezső orvosj., Bpest
 Linter Ákos állatorvos, Tenke
 Lintner I. m. á. v. vezérfelügy., Bpest
 Lippai állami polgári iskola
 Lippe Ödön gyógyszer., Tarnaméra
 Liptay Béla báró, Bpest
 • Sándor m. e. tanár, Bpest
 Liptó-Szt.-Miklósi polg. iskola
 Liptó-Ujvár, Főerdő-hivatal
 • Tanítóegylet
 Lóczy Lajos e. tanár, Bpest
 Loncsár József tanár, Szalatnak
 Lonkay Antal erdész, Kakasfalu
 Loósz József árvaszéki elnök, Kassa
 Lopusny Kornél tisztv., Szászrégen
 Losonczy főgimnázium
 Losteiner Károly orvos, Kompolt
 Lovrich Gyula főorvos, Nagybánya
 Lowieser Mihály tisztv., Ittvarnok
 Löcherer Andor birtokos, Bpest
 • Lőrincz főorvos, S.-A.-Ujhely
 Löcsei főreáliskola
 Lörenthey Imre tanár, Bpest
 Lőrinczy Imre telekk.-v., Szamosujv.
 Lőte József e. tanár, Kolozsvar
 Lövy Adolf könyvtáros, Miskolcz
 • M. könyvtáros, Szatmár (2 p.)
 Löw Gusztáv forg. főnök, Bpest
 Luby Géza orsz. képvis., Nagy-Ar
 Id. Luczenbacher Pál fő. tag, Bpest
 Lugosi erdőigazgatóság
 Lukács Antal birt., Mezőkovácsháza
 Lukács Imre orvos, Mezőtúr
 Lurya Géza orvosjelölt, Bpest
 Lux Elek plébános, Plavnicza
 Madarász Gyula muzeumi őr, Bpest
 Mágócsy-Dietz Sándor tanár, Bpest
 Magurányi József ügyvéd, Esztergom
 Magyar Károly orvos, N.-Becskerek
 Magyar Kossa S. birt., T.-Szt.-Márt.
 Magyar-Ovár, Kegyesrendi gimn.

- Magyar-Óvár, Kegyesrendi társház
 • Gazdasági akadémia
 • Kazinczy-kör
 Majer Sándor gyógyszer., Esztergom
 Majláth Antónia urhölgy, Bpest
 • István m. aljegyző, A.-Marót
 Makó, Kaszinó
 • Tanító egyesület
 Makra Péter plébános, Sánta
 Makróczy Ferenc tanár, Nagyvárád
 Málnásy Ferenc tanár, Pancsova
 Margó Tivadar e. tanár, Bpest
 Máriássy Ferenc birt., Márkusfalva
 Márki János közjegyző, Gyula
 Markó László főorvos, Miskolc
 Markovits József ügyvéd, Kőszeg
 Markutz József építész, Bpest +
 Mármaros-szigeti tanítóképző
 Marosújvári főbányahivatal
 Marosvásárhely, Ref. kollégium
 • Társalgó egyesület
 Marsovszky Miklós műhelyf., Zágráb
 Martin Sándorné urhölgy, Bpest
 Márton Domokos orvos, Szinna
 • Géza orvos, B.-Almás
 • Zsigmond gazdatiszt, Szénás
 Mártonfi Lajos tanár, Marosújvár
 Masirevics György mérnök, Bpest
 Mathiász József tanító, Nagymihály
 Matkovics Lajos főszolgabíró, Zenta
 Mátyus Endre gyógyszer., Leibitz
 Maurer Adolf könyvtáros, Kassa(2p.)
 • Mihály tanító, Arad
 Medreczky István tanár, Ungvár
 Medve Kálmán ügyvéd, Debreczen
 Medveczky Sándor gyógyszer., Léva
 Megay Gyula orvos, Zalatna
 Melkner Kálm. tanító, Mezőhegyes
 Menner Ottó gyógyszer., Bpest
 Mentler Károly gyógyszer. Karád
 Mentovich Ferenc tanár, N.-Kőrös
 Meskó Márton gyógyszer., Mezőberény
 Mészáros Ignác mérnök, Paks
 Meszéna Lajos urad. intéző, Perbete
 Metszősy Sándor orvos, Besenyszög
 Metzenzéfi népiskola
 Mezey Mihály közjegyző, Nagyvárád
 Mezihradszky K. orv., Szombathely
 Mezőhegyes, Ménesbirtok
 • Kaszinó
 Mezőtúr, Ev. ref. gimnázium
 • Közp. olvasó-egyesület
 • Ref. Tanítótanárság
 Mihailovics Mihály jegyző, Bács
 Mihalkovics Géza e. tanár, Bpest
 Mihályik Izidor igazg. tanár, Bpest
 Miklós Gergely tanár, Bpest
 Miklós Lajos főerdész, Brád
 Miklovics Bálint lelk. H.-M.-Vásárh.
 Mikola Kálmán tanár, Bpest
 Mikolik Sándor e. hallg., Péterhegy
 Miller Gyula tanár, M.-Sziget
 Minczér Ede kasznár, Letkés
 Miskolcz, Ev. ref. gimnázium
 • Polgári iskola
 Mitaky Sándor birtokos, Dános
 Moczkovcsák D. gyógyszer., N.-Becsak.
 Módly Krizsó tanár, Szombathely
 Modori tanítóképző
 Mókó Károly tanár, N.-Rőcze
 Molnár Evelin tanítónő, Makó
 • Ferenc gazdatiszt, Sárpentele
 • István urad. felügy., Körmend
 • Károly közjegyző, Hajmáskér
 • Lajos gazdatiszt, Győrök
 Mórász József ügyvéd, Esztergom
 Morelli Gusztáv tanár, Bpest
 Morva Kálmán mérnök, B.-Vasvári
 Mózer Ede bányagondnok, Dubnik
 Möszt Gusztáv tanár, Kassa
 Munkácsi gimnázium
 Munkácsy Pál orvos, N. Bocsó
 Muraközy L. gyógyszer., Debreczen
 Murányi Károly erdőgond., Bálint
 Musinszky G. műfestő, Hollóháza
 Mühle Árpád műkertész, Temesvár
 Müller Dezső gyógyszer., Újpest
 Müllner Pál k. r. kormányzó, Bpest

Münnichshöfer K. gazdatiszt, Valkó
 Nádhera Pál főerdész, Esztergom
 Nádosy Kálmán birtokos, Görögál
 Nágel Sándor tanár, Baja
 Nagy Béla gyógyszer., Déva

- Dezső m. e. tanár, Bpest
- Elek gyáros, Sepsi-Szt.-György
- Gusztáv tanár, Sárospatak
- Gyula bérlő, N.-Hantos
- Istvänné urhölgy, Z.-Radvány
- István akad. tag, Horpács
- József ügyvéd, Halmi
- Károly orvos, Kispeszt
- Károly erdőmester, Besztercze
- „ tanár, Csáktornya
- László tanító, Solt
- László tanár, Bpest
- Mihály tisztviselő, Győr
- Miklós tanár, Petrozsény
- Miklós gyógyszer., B.-Hunyad
- Miklós tisztviselő, Torda
- Pál birtokos, Csepreg

Nagy-Bányai főgimnázium

Nagy-Becserek, Főgimnázium

- „ Kaszinó

Nagy-Enyed, Bethlen-főtanoda

- „ Tanítóképezde

Nagy-Kállói főreáliskola

Nagy-Károly, Főgimnázium

- „ Régi kaszinó

Nagy-Kátai Társaskör

Nagy-Kikindai gimnázium

Nagy-Kőrösi ref. főgimnázium

Nagy-Szalontai lelkészegylet

Nagy-Szebeni postakönyvtár

Nagy-Szöllősi polgári iskola

Nagy-Várad, Távirtdaigazgatóság

- „ Főreáliskola
- „ Közs. népiskola
- „ Bihari orvosegylet

Nánay Sándor tanító, B.-Füred

Návay Aladár fogalmazó, Bpest

Nedeczky Rezső honv. főhadn., Bpest

Neisár Károly tisztviselő, Bpest

Nemes Félix ig. tanár, Aszód

Nemes Ferencz főszolgab., Kőrmend

Nemesszeghy Jenő h. szárad., Bpest

Németh Pál birt., H.-M.-Vásárhely

Némethy Mihály tisztv., Erzsébetv.

Neppel Ferencz birtokos, Abony

Neuberger Lajos ispán, Pécs

Neumann Antal ügyvéd, Bpest

- „ Jenő tanár, Szarvas

Nicolits Lázár mérnök, Zágráb

Niertit Béla gyógyszer., Szabadka

Nitsner Pál gyáros, Szegzárd

Noszlopy Bálint számvevő, Pápa

Novák Emil gazdatiszt, Királyság

- „ József orvos, Szabadka

Novelly Imre vezérfelügy., Bpest

Novotny Lajos főorvos, Bpest

Nunkovics Sándoraljárásb., Letenye

Nyiredy Géza tanár, Kolozsvár

- „ Jenő tanársegéd, M.-Óvár

Nyiregyháza, Ág. ev. gimnázium

- „ Kaszinó

Nyiry Bertalan gyógyszer., Bpest

- „ György gyógyszer., Nagyvárad

Nyitrai főgimnázium

Nyitrai Ottó erdőgyak., Sokolovac

Óbudai tanuló-utczai iskola

Olofsohn Gusztáv állomásf., Kaposv.

Oraviczei polgári iskola

Orbay Antal főorvos, Bpest

Ordódy I. Károly birt., Markófalva

Orlovsky Gyula erdőgond., Zernest

Ormándy Miklós igazg., S.-A.-Ujhely

Ormódy Lajos főügynök, Debreczen

Ortutay Béla birtokos, Arad

Osterlamm Ernő erdőszgy., Gyulav.

Osztrogonácz János tanár, Szabadka

Osztróluczky Gyula tanár, Selmező

Ottó Sándor főmérnök, Sz.-Németi

Óváry Sándor ispán, Iklód

Ötömösy Gyula ügyész, N.-Bánya

Ötvös Károly jegyző, B.-Udvari

Pacher Donát ig. tanár, Kőszeg

Pákozdi Károly orvos, Bpest

- Pál Károly kereskedő, Bpest
 Palczer Ernő házfőnök, N.-Károly
 Pallay Lajos ügyvéd N.-Várad
 Pallér Kelemen igazg., Sz.-Fehérvár
 Pálos Konrád főerd., Szinyérvárallja
 Pályi Sándor pénztárnok, Szob
 Pamper Imre ügyvéd, Nezsider
 Pancsova, Állami főgimnázium
 Pándi István ügyvéd, Kigyós
 Pap Elemér aljárásb., Rév-Komárom
 Pap Gyula orvos, Bpest
 • Imre ref. lelk., H.-M.-Vásárhely
 • • mérnök, Miskolcz
 • János házfőnök, Szeged
 • József tanár, Ujvidék
 • Károly ref. lelkész, Bpest
 • Samu orvos, Bpest
 • Tibor jogtanár, M.-Sziget
 Pápa, Szt.-Benedek-r. gimnázium
 • Ref. főisk. könyvtára
 Papanek Ferencz s. lelkész, Bpest
 Pápay János tanító, Debreczen
 Papszász Károly orsz. képvis., Bpest
 Parcsietich Mihály tanító, Bezdán
 Páthy Károly igazgató, Kecskemét
 Paszlavszky József tanár, Bpest
 Pásztor Bertalan ügyvéd, Eger
 Pataky Jenő orvos, Sárvár
 Péter Béla tanár, Kolosmonostor
 Pattantyús Ábr., M. orvos, Illava
 Pávai Vajna Gábor főorvos, Pozsony
 Péch Antal bányaig., Selmecz †
 • Dezső főerdész M.-Vásárhely
 • József min. o. tanácsos, Bpest
 Pécs, Állami főreáliskola
 • • • Eötvös önk. kör
 • Közs. népt. tantest. könyvtára
 • M. k. posta és távirdaigazg.
 • Róm. kath. főgimnázium
 • Nemzeti kaszinó
 Pécsi Dani orvos, Túrkeve
 Péchy Imre igazgató, Bpest
 • László mérnök, Miskolcz
 Pekanovits Imre főmérn., N.-Várad
 Pekár Lajos főesp., Losoncz-Tamási
 • Mihály orvosjelölt, Bpest
 Penkert Mihály gyógyszer., Székelyhid
 Péntek Farkas tanár, Keszthely
 Perczel Lajos birtokos, Kis-Kajdács
 Perényi Antal igazgató, Veszprém
 Pertik Ottó e. tanár, Bpest
 Peschke Károly mérnök, Baja
 Péter János tanár, Pécs
 • Mihály ref. lelkész, Kis-Azar
 Péterffy Antal ügyvéd, Arad
 Péterfi Zsigmond főmérn., Kolozsvár
 Pethő Gyula kir. főgeológus, Bpest
 Petrovits Miksa mérnök, Kossuth
 Piltz Ádám kereskedő, Mezőberény
 Pintér Mihály kasznár, Héraháza
 Pinterits Károly tanár, Zombor
 Pláner József körorvos, Bpest
 Pleszkáts Imre pénztárnok, Sárvár
 Plósz Sándor államtitkár, Bpest
 Pócsy György közjegyző, Kecskemét
 Podhraczký Fer. gyógyszer, Szalonta
 Bárány Podmaniczky Géza, Kis-Kartal
 • • Horác, Bótrágy
 Podolin, Kegyesr. gimnázium
 Pogány Gyula tanár, Ungvár
 • Károly törvysz. eln., M.-Vásárh.
 Pókay Dezső ispán, Málak
 Pokorny Lajos gyógyszer., Losoncz
 • Tódor mérnök, Bpest
 Polinszky Emil vezérfelügy., Kassa
 Politzer Géza gazdatiszt, N.-Korpad
 Pollák Simon kereskedő, Szeged
 Pongrácz Géza gyógyszer., P.-Ladány
 • Jenő gazdász, P.-Szt.-Tornya
 Poór Endre gyógyszer., Makó
 • Imre orvos, Bpest
 Popper István mérnök, Bpest
 Póra Ferencz tanár, •
 Pósch Gyula ügyvéd, •
 • József önkéntes, Zadovinek
 • Zsigmond tanár, Keszthely
 Posztoczky Károly birt., Ráczalmás
 Potásy János tanár, N.-Várad

Pozsony, Toldy-kör

- M. k. posta- és távirteleigazg.
- Kir. kath. főgimn. ifj. könyvtár
- Ág. ev. lyceum könyvtára

Prágay Károly ügyvéd, Győr †

Práger Frigyes mérnök, N.-Várad

Pramenics Ferencz hivataln., Sárosd

Princzinger M. tanító, Ó-Szt.-Anna

Priviczky Ede főaranyv. Kőrmöcz

Privigye, Kath. gimnázium

Privorszky Alajos tanár, Eger

Procopp Jenő orvos, Mexico

Prokes Ignác tanár, Szabadka

Báró Prónay Gábor, Acsa

Puhala Adolf mérnök, Kolozsvár

Pukács Antal erdőszámvivő, Apatin

Pulszky Fer. ny. múz. igazg. Bpest

- Garibaldi mérnök, •

Rác István tanár, Bpest

- Jenő gyógyszer., Miskolcz

Rátz László tanár, Bpest

Radnóti Dezső tisztviselő, Kolosvár

Báró Radvánszky Béla, Sajó-Kaza

Radvány István birtokos, Miskolcz

Raisz Gedeon közeg. felügy., Bpest

Rajnai Béla orvosjelölt, Bpest

Rajtsányi B. Imre birtokos, Baja

Rajzinger Sánd. gyógyszer., Dorog

Rakodczay S. hétszemélynök, Zágráb

Rákos Gyula gyógyszer., S.-Tarján

Rákosi Béla orvos, Bpest

Rakovszky Géza orsz. képvis., Bpest

Raksányi Kálmán jegyző, Irsa

Rappensberger Vilh. igazg., Óvár

Ráta József főorvos, Zombor

Ráth Arnold tanár, Bpest

Rauchbauer Józ. ig. tanár, Trencs.

Reichenhaller Kálmán tanár, Bpest

Reim Kálmán hivatalnok, Tisza-Roff

Reischl Venczel hivataln., Keszthely

Rekvényi Attila gyógyszer., B.-Borsod

Resicza, Polgári népiskola

Réthy Mór m. e. tanár, Bpest

Révai Leó könyvtáros, Bpest

Révai testvérek könyvk., Bpest (3 p.)

Rezsőfy Gy. jászágfelügy., Csorna

Rhédey Ferencz rajzt., Csáktornya

Rhénes Imre orvos, Ujfehértó

Richter Lajos nevelő, Bpest

Riedt Imre gyógyszer., Sárvár

Rimaszombat, Főgimnázium

Ringelhann Gy. tiszt., Gyulamező

Robitzek Sándor főmérnök, Bpest

Rombauer Emil ig. tanár, Brassó

Róna Zeigmond assistens, Bpest

Rónay Alajos mérnök, Kis-Zombor †

- Antal főerdőtanácsos, Ungvár

Rósa Imre földbirtokos, Kunhalom

Rosenwasser Miksa orvos, Tarczal

Rottler József tanár, N.-Szt.-Miklós

Rozmanits Timót tanár, N.-Károly

Rózsashegy, Főgimnázium

Rózsashegyi Alad. e. tanár, Kolozsv.

Rozsnyay Kálmán gyógyszer., Arad

Rozsnyó, Ev. főgimnázium

- Községi iskola

Roxer Vilh. kat. felügyelő, Kassa

Rögler Mihály ispán, Békés

Röser János tanár, Bpest

- Miklós birtokos, •

Rösler Béla tanár, Temesvár

Rudy Béla orvos, Bács-Bresztovác

Ruffy Pál m. főjegyz., Aranyos-Marót

Ruisz Gyula gazdatiszt, Mezőhegyes

Rumbach Dezső m. e. h., Bpest

Ruttkay Kálmán mérnök, T.-Roff

Ruzitska Béla tanársegéd, Kolozsvár

Safáry Irma ig. tanítónő, Lőcse

- János urad. ispán, Gyulavári

Sághi József tanító, Kisbér

Sailer Károly orvos, Liker

Salgó-Tarján, Kaszinó-egylet

- • Aczélgári tiszt. kaszinó

Sallai Izor hivatalnok, Szombathely

Sántay Sándor v. főfelügy., Bpest

Sárdi Ilona tanítónő, Deés

Sárkány Károly birtokos, Csetnek

Sárospatak, Főisk. ifj. könyvtára

- Sárospatak, Főisk. nagy könyvtár
 Sáska Mihály mérnök, Bpest
 Saskeőy Fer. plébános, I.-Litke
 Sassy János orvos, Miskolcz
 S.-A.-Ujhely, Gimnáziumi könyvtár
 Sauska Jenőné úrnő, Bar
 Saxlehner Árpád birtokos, Bpest
 " Kálmán " "
 Say Győző altábornagy, Fehérvár
 Schafarzik Ferencz geológus, Bpest
 Schenek István ny. tanár, Bpest
 Schidek Ágoston tanító, N.-Écska
 Schipper Gyula " Szakálháza
 Schleiminger László orvos, T.-Füred
 Schmidt Károly gyógyszer., Huszt
 " Sándor m. e. tanár, Bpest
 Schneller Guszt. hiv., Kőrösmező
 Scholtz Lajos tanár, Bpest
 Schopper Gyula gyógyszer., Oravicza
 Schönbeck Ignác gazdat., Baráti
 Schröder Károly igazgató, Kőrmöcz
 Schuchné Zányi Janka úrnő, Bpest
 Schulek Béla gysz., K.-Szt.-Miklós
 Schuler Imre közrakt. gondn., Bpest
 Schuller Alajosné úrnő, Bpest
 Schultz Vendel tanár, Pápa
 Schürger Adolf orvos, Alcsút
 " József ezredorvos, Ungvár
 Schützenberger End. orvos, Földvár
 Schwarz Károly könyvtáros, Sopron
 Schwartz Ottó bányat., Selmecz
 Sebess Lajos orvos, Tenke
 Séllei Imre " Kun-Madaras
 Selmecz, Kath. gimnázium
 " M. k. bány. s. erd. akadémia
 Semsey Andor, birtokos, Bpest
 " Béla mérnök "
 Sepsi-Szt.-György, Collegium
 " " Polgári fiú-iskola
 Serly Gusztáv m. főorvos, N.-Károly
 Seyler Vilmos gazdatiszt, Tapsony
 Sierbán János " M.-Czernya
 Sigmund Elek m. e. hallg., Bpest
 Simay Mihály erdőőr, Tenke
 Simig Rezső tisztartó, Kalocsa
 Simkó Lajos orvos, Szenicz
 Simonffy Imre kir. tan., Debreczen
 Simonyi Béla főügyész, Ar.-Marót
 " Elemér járásbíró, Illava
 Singer és Wolfner könyvk., Bpest (2p)
 Sinka Ferencz építész, Esztergom
 Sipeky Béla birtokos, Borsicz
 Sipos János jegyző, Csernátfalva
 Siposs László törv. széki bíró, Győr
 Sipőcz István gyógyszer., Pécs
 Skrbek Károly erdőész, F.-Turesek
 Solcz Miksa erdőgondn., Rimabrezó
 Soltész Károly főorvos, Diósgyőr
 Somogyi Aladár tanár, Bpest
 " Géza mérnök, Rimaszombat
 " Lajos árvaszéki tln., Kaposvár
 " Rudolf tanár, Bpest †
 Somorja, Polgári iskola
 Sopron, Kaszinó-egylet
 " Gazdasági egyesület
 " M. kir. posta és távirat igazg.
 " M. k. 18. honv. gyalog feldand.
 " Ev. lyceum könyvtára
 " Magyar társaság
 " M. k. főreáliskola
 " Áll. fels. leányiskola
 Sörös Lujza úrnő, Bpest
 Sötét Sámuel chemikus, M.-Telegd
 Stassik Fer. ügyv., N.-Becskekerek
 Staub Móricz tanár, Bpest
 Stauroczky Lajos gysz., Báttaszék
 Stéger Antal erdőész, Szászkabánya
 Steierlein Gábor igazgató, Kőszeg
 Steiner Lajos ügyvéd, Szegszárd
 Steinmayer J. jószágigazg., Bpest
 Stelczér Imre szolgabíró, Téth
 Stépán Gábor földbirt., Málcza
 Stiller Bertalan e. tanár, Bpest
 Straub Sándor tanár, Bpest
 Streitman András tanár, Jászberény
 Stromp Gyula tanár, Sopron
 Strosz Ernő orvos, Zombolya
 Suppan Vilmos ig. tanár, Bpest

- Sümege, Reáliskola
 Süteő István, R.-Szombat
 Sváb Károly főrendi tag, Bpest
 Szabadka, Főgimn. tanári könyvtára
 • ifj. könyvtára
 • Nemzeti kaszinó
 • Közkönyvtár
 Szabó Aurél ügyvéd, M.-Sziget
 • Dénes e. tanár, Kolozsvár
 • „ birtokos, Z.-Tapolca
 • Ede tanár, Pápa
 • Elemér ezredorv., Veszprém
 • Fer. k. r. házf., Kecskemét †
 • „ igazgató tanár, Siklós
 • „ orvos, N.-Várad
 • János p. ü. fővigy., Pancsova
 • József o. tanár, Bpest †
 • „ tanár, Győr
 • Kálmán keresk., Debreczen
 • „ igazgató, „
 • Menyhért ügyvéd, Szentes
 • Miklós kereskedő, Debreczen
 • Sámuel tanár, Kolozsvár
 • Sándor kereskedő, Debreczen
 Száhlender Károly igazg., N.-Várad
 Szakolca, Gimnázium
 Szakvály Lipót titkár, Főherceglak
 Szalay Antal birtokos, Arad
 • János gazd. e. titkár, Szolnok
 • József birtokos, P.-Jánosháza
 • Lipót gyógyszer., Diósgyőr
 Szallos János gyógyszer., Dombóvár
 Szamosújvár, M. k. áll. gimnázium
 Szántó Albert gazdat., Szász-Galacz
 Szánthó Endre tanár, M.-Vásárhely
 Szaploneczay Ist., gazdat. Öreglak
 Szarkásy János erdőgondn., S.-Szob
 Szartorisz Ferencz tanár, Selmecz
 Szarvassi Margit tanítónő, Bpest
 Szász Károly ref. püspök, Bpest
 Szászsebes, Erdőhivatal
 Szászváros, Ev. ref. Kun-tanoda
 Szatmár, Kir. főgimnázium
 Szatmár János v. felügyelő, Arad
 Szatmár Mihály mérnök, Arad
 Szathmár Sámuel tanár, Szatmár
 Szauder Miklós mérnök, Apatin
 Szavkay Ede tanár, Bpest
 Gr. Széchényi Béla, Bpest
 Szeged, Állami főreáliskola
 • Közs. fels. leányiskola
 • Csongrádi tanító-egylet
 • Főgimnázium
 • Somogyi könyvtár
 • 5. honv. gyalog ezred tisztikar
 Szegedi Kálmán ügyvéd, Békés
 Szegheő Géza mérnök, Szeged
 Szegváry Ernő „ Bpest
 Szegzárd, Polgári iskola
 Székely Adolf főerdész, Alsó-Kubin
 • Károly tanár, Baja
 Székelykeresztur, Tanítóképezde
 • „ Unitárius gimnázium
 Sz.-Udvarhely, Ref. collégium
 • „ Kir. áll. főreáliskola
 Székelyhidv. Vikt. p. ü. bizt., Enyed
 Székes-Fehérvár, Kath. főgimnáz.
 • „ Vörösmarty kör
 • „ Főreáliskola
 Székely István tanár, Zombor
 Szekula Katinka úrhölgy, Mohács
 Szelényi Gizella tanítónő, Aszód
 • Jenő vegyész, Salgó-Tarján
 • Károly tanársegéd, Bpest
 Szélessy László s. lelkesz. Dubnicz
 Széll Hugó tkp. pénztárnok, Sz.-Igló
 Szemző László birtokos, Bpest
 Szenczy Győző ig. tanár, Baja
 Szendy Antal ügyvéd, Szolnok †
 Szenes Adolf tanár, Resiczabánya
 Szenicz, Polgári iskola
 Szeniczey Ödön orsz. képvis., Bpest
 Szentes, Városi gimnázium
 Szentirmay Alajos főmérnök, Déva
 Szentkirályi Kálm. birt., Szt.-Márton
 Szentpéteri Sám. lelkesz. Pelsőcz
 Szigethy Ignác orvos, Szíll
 • István tanár, Sz.-Udvarhely

Sziklay Alfonz tisztv., Aranyidka
 Szikszay Vikt. hivataln., Bikfalva
 Szilágyi Ferencz tsz. bíró, Micske
 • Zsigmond főmérn., Beregszász
 Sz.-Somlyó, Kath. püsp. gimnázium
 Szilárd István mérnök, Arad
 • János tisztartó, Hont-Szob
 Szilassy Etelka úrnő, Maglód
 • György birtokos, Bábolna
 Szilasi Jakab chemikus, Bpest
 Szily Dezső birtokos, Ollár
 • Kálmán akad. főtitkár, Bpest
 Szirmay Balam. birt., A.-Körtvélyes
 Szita István ispán, Pécs
 Szivák Imre orsz. képvis., Bpest,
 Szkalla Ferencz g.-tiszt, Alcsút
 Szkókán Sándor tanár, Temesvár
 Szkurka Andor állatorvos, B.-Újfalu
 Szilávy József koronaőr, Bpest
 Szmetka L. Ödön tanár, N.-Várad
 Szmik Antal mérnök, Pancsova
 Szohor Pál tanácsos, Nyiregyháza
 Szolnok, Községi tanító-testület
 Szombathely, Főgimn. tan. könyvt.
 • Vasmegyei kaszinó
 • Polgári leányiskola
 Szombathelyi Győző birt., Koltha
 Szontágh Ábrahám orvos, Bpest
 • Miklós orvos, Uj-Tátrafüred
 • Pál birtokos, Bpest
 • Tamás geológus, Bpest
 Szöcs Mikl. erdőfelügy., Temesvár
 Szöllősi Samu üzletv., Szombatfalva
 Szőnyeghy János orvos, Bécs
 Sztankay Ábrahám tudor, Bát
 Sztérényi Hugó tanár, Bpest
 Szurmó Ambrus tanár, N.-Kőrös
 Szutrély Lipót ügyvéd, Baja
 Szűts Béla mérnök, Bpest
 Szy Zsigm. könyvelő, Böszörmény
 Tabak Pál körjegyző, Csoknya
 Tabódy Jenő m. főjegyző, Ungvár
 Takács Benedek orvos, Szombathely
 • Endre e. m. tanár, Bpest |

Takács József tanár, Veszprém
 Tallós Jenő mérnök, P.-Ladány
 Tamássy Géza gyógyszer., B.-Újfalu +
 Tarcsay József körjegyző, S.-Kéthely
 Tarczy Dezső ügyvéd, Pápa
 Tarnay • erd. gyakn., N.-Szöllős
 Tata, Gimnázium könyvtára
 Tatár Zoltán mérnök, N.-Várad
 Tauffer Jenő főorvos, Temesvár
 • Károly gyógyszer., Bpest
 • Vilmos e. tanár, •
 Téchy József orvos, K.-Szt.-Miklós
 Técsy Kálmán szolgab., M.-Lápos
 Tedeschi Borbála e. hallg., Zürich
 Téglás Gábor igazgató, Déva
 Telbisz György tanár, Zsombolya
 Gróf Teleky Awéd, Drassó
 Temesvár, Délm. orsz. term.-tud. társ.
 • Áll. főreálisk. ifj. könyvtára
 • M. k. posta és távirat igazg.
 • Áll. főreálisk. tanári könyvtár
 • Áll. felsőbb leányiskola
 • Nyilv. I. fokú ipariskola
 • M. k. állami tanítóképezde
 Temesváry Rezső orvos, Bpest
 Ternyei Ferencz tanár, •
 Terray Lajos orvos, Breznóbánya
 Tersztyánszky And. birt., Ipolykeszi
 Téry Ödön közeg. felügyelő, Bpest
 Teschler György tanár, Kőrmöcs
 Thaly Zsigmond v. felügyelő, Bpest
 Than Károly főrendi tag, •
 Thanhoffer Lajos e. tanár, •
 Thirring Gusztáv tisztviselő, Bpest
 Thoroczkay Sánd. birt., T.-György
 Thuránszky Irén igazgató, Bpest
 Thuróczy Károly orvos, Nyitra
 Tihor Mór hivatalnok, Rakamaz
 Timár Ján. gazd. felügy., Nármanfa
 Timon Béla mérnök, Eger
 Tipka Antal tanár, Szabadka
 Tisza László orsz. képvis., Bpest
 Titel, Áll. polgári iskola
 Tóbiás Endréné tanítónő, Kassa

- Tóbiás Miklós főerdész, Belényes
 Tókos Sándor ref. esperes, Vajasd
 Toldi Lajos könyvtáros, Buda
 Tollée Gyula gdtiszt, K.-Komárom
 Tolnay Lajos orsz. képvis., Bpest
 Tomaschek Antal mérnök, „
 Tomasovits Gyula százados, „
 Tombor Győző gyógyszer., Zsolna
 Tomm Béla orvos, Bihar-Udvári
 Tónay Tivadar gdtiszt, Sárospatak
 Topscher Samu bányatan., Kőrmöcs
 Torda, Kaszinó
 „ Unitárius gimnázium
 „ Állami polgári iskola
 Tornallja, Gömöri egyh.-m. könyvt.
 Tóth Gyula lelkész, Tarna-Méra
 „ Imre főorvos, Selmece
 „ Jenő tanár, Kolozsvár
 „ József Sándor felügyelő, Bpest
 „ Kálmán birt., Pa-Orgovány
 „ „ gazd. intéző, Nyiregyháza
 „ Károly hittanár, Csurgó
 „ „ mérnök, Szegszárd
 K. Tóth Mihály mérnök Uj-Pest
 Tóth Zsigm. gysz., K.-Sz.-Miklós
 Tóthfalussy Ödön gyógyszer., Majsa
 Török Aurél e. tanár, Bpest
 „ Gyula gyógyszer., Bpest
 „ József kir. tanács., Debreczen
 „ „ gyógyszer., Bpest
 „ Sándor „ „
 Török-Szt-Miklós, Kaszinó
 Tóttósy Sándor tisztartó, Kompol
 Trencsén, Kaszinó
 Tritz Lőrincz tanító, Merczfalva
 Trsztyánszky László erdész, Pécsvár.
 Tuka Antal tanító, Selmece
 Turnovszky Jenő orvos, Bpest
 Turóc-Szt-Márton, Olvasó-Egylet
 Udvargy Géza lelkész, Bács-Topolya
 Ugróczy Kálmán ügyvéd, Kalocsa
 Ujj János mérnök, Kis-Jenő
 Ujfalussy Zolt. főhadn., Nyiregyháza
 Ujházy Kálmán gyógyszer., Miskolc
 Ujlaky Fer. birtokos, Szepes-Igló
 Ujlaky István erdész, Sárospatak
 Ujvidék, Polgári iskola
 Unger Géza körorvos, Köttse
 Ungvár, Társas-kör
 „ Kath. főgimnázium
 Urai Sándor lelkész, Ujpalota
 Uram László ispán, Csorvás
 Ursziny Károly gyógyszer., N.-Kálló
 „ László gyógyszer., Mezőberény
 Urszinyi Zsigm. gysz., Tornallja
 Űrmöcsy Kálmán tanár, Kőrmöcs
 Vác, Kaszinó-kör
 „ Kegyes tanítórendi főgimn.
 Vadas Jenő tanár, Selmece
 Vadász Emil gazdálkodó, Debreczen
 „ József tanár, Kassa
 Vadona János birtokos, Fiume
 Vagner József kanonok, Nyitra
 Vajda Ferencz orvos, S.-Tarján
 „ Ignác „ Bpest
 Vajna István birtokos, N.-Enyed
 Valovics Fer. gazdat. Csobánka
 „ Gyula m. főorv., N.-Kikinda
 Vály István számtiszt, Czibakháza
 Vámos Dezső tanár, Bpest
 Vámosy Mihály tanár, Bpest
 Vangel Jenő e. m. tanár, Bpest
 Vanke Imre gazdat., Esztergom
 Várady Lajos birtokos, Kis-Körös
 „ László orvos, Bpest
 „ Zoltán chemikus, Bpest
 Varannó, Közs. isk. tantestület
 Varga Bertalan keresk., Kassa
 Varga Pál plébános, Rába-Patona
 „ „ orvos, Tolna
 „ Zsigm. főorvos, Sz.-Fehérvár
 Vargha Antal gyógyszer., Battonya
 Vargha Lajos tanár, Szombathely
 Várnay Imre ügyvéd, Zsombolya
 Vásárhelyi Béla birtokos, Arad
 „ Imre birtokos, Szomor
 „ László „ Lőkősháza
 Vass Sándor orvos, Arad

- Vass Gusztáv v. felügyelő, Arad
 Vaszkó György tanár, Bpest
 Vaymár Miklós orvos, Pozsony +
 Vécsei Géza gyógyszer., N.-Jécsa
 Vecsey Zoltán birtokos, Debreczen
 Végh Endre „ Rábakövesd
 Véghess Sándorné úrnő, Tisza-Süly
 Velits Ödön polgármester, Torda
 Vén Mihály, lelkész, Bikfalva
 Veninger Ferencz főmérnök, Bpest
 Verebély László e. m. tanár, „
 Vermes Lajos tanár, Szabadka
 Versényi Károly gdtiszt, Besenyő
 Versetz, Áll. főreáliskola
 Véssey Mihály földbirt., Vése
 Veszperényi Józ. orvos, N.-Mihály
 Veszprém, Róm. kath. főgimnázium
 „ Kath. főgimn. ifj. könyvtára
 Vetro Lajos ügyv. jel., H.-M.-Vásárh.
 Vida Károly igazgató, Csurgó
 Vinceze Árpád gyógyszer., S.-Szob
 Vízkelety Sánd. hivataln., Komárom
 Vladár Emil birtokos, Kladzány
 Vnutskó Ferencz mérnök, N.-Bánya
 Voitek Manóbérlő, M.-Sámsond
 Vojnits Döme tanár, Esztergom
 Vojtek Lajos mérnök, Eszék
 Vojtovits Bert. építész, Nyiregyh.
 Vörös Sándor igazg., K.-Monostor
 Vörösmarty Kálm. számv., Ujszász
 Vörösváry Béla tanár, Kispeszt
 Wachsmann Fer. v. felügy., Bpest
 Wagenhuber Korn. tanító, Csákovár
 Wagner I. Ágoston tanító, Arad
 „ Dániel orvos, Tápió-Szele
 Waldherr József tanár, Versecz
 Wartha Vincze m. e. tanár, Bpest
 Weber Jakab hivatalnok, „
 Wein Károly gyárigazg., Késmárk
 Weisz Gáspár birtokos, Tiszafüred
 „ Miksa birtokos, Munkács +
 Weresmarthy M. m. jegyző, Gödöllő
 Widder Mór gazdatiszt, A.-Széplak
 Gróf Wilozek Ede, Erdőkürt
 Báró Wildburg Aladár, B.-Illye
 Williger Márton gyógyszer., Zomba
 Winkler Albert főorvos, N.-Enyed
 „ Gyula nevelő, Nágocs
 Winter József tanár, Losonc
 Wintner Géza mérnök, Komárom
 Wirtzfeld Béla orvos, Kunhegyes
 Wodetzky József tanár, Szabadka
 Wolff Gyula gyógyszer., Torda
 Wolf Jakab ügyvéd, N.-Kikinda
 Würtzler Vilmos főellenőr, Bpest
 Záboji Gusztáv tanító, Kis-Kőrös
 Zachár István alerdőfelügy., Bpest
 Zágráb, M. k. posta és távirtda igazg.
 Zala-Egerszeg, Polgári iskola
 Zalányi Farkas birt., Veresegyháza
 Zalár István orvos, Borsód
 Závody Albin törvysz. bír., Szegszárd
 Zeidner H. könyvtáros, Brassó
 Zelovich Kornél mérnök, Bpest
 Zemányi János birtokos, T.-Tepliez
 Zenta, Gazdakör
 „ Községi gimnázium
 Zeyk Gábor birtokos, Diód
 „ Károly „ Ajton
 Ziffer Hugó tisztviselő, Bpest
 Zombor, Főgimnázium
 „ Városi könyvtár,
 Zorkóczy Samu tanár, Pozsony
 Zöldy János orvos, Gyula
 Zvér Endre tanár, Szeged
 Zseltvay Simon lelkész, Nyágova
 Zsigárdi Flóra tanítónő, Galantha
 Zsigárdy Gyula ügyvéd, Galantha
 Zsigmondy Béla mérnök, Bpest
 „ Géza „ „
 Zsilinszky Mihály államtitk. Bpest
 Zsindely István tanár, Sárospatak
 Zsombolya, Kaszinó-egylet
 Zsótér Andor birtokos, Óbecse

A Kir. Magy. Természettudományi Társulat

kiadványaiból még az alant jegyzett munkák kaphatók.

A művek megrendelhetők a Természettudományi Társulat titkárságánál (Budapest, VII., Erzsébet-körút 1. sz.). A nagyobb számok a bolti árat, a kisebb számok a társulati tagoktól vagy az Akadémia könyvkiadó vállalatának pártoló tagjaitól fizetendő összeget jelentik. Ha a könyv ára postautalványon előre beérkezik, a megrendelt munkák bérmentve küldetnek meg. A megrendelésnél elegendő a művek előtt levő sorszáma hivatkozni.

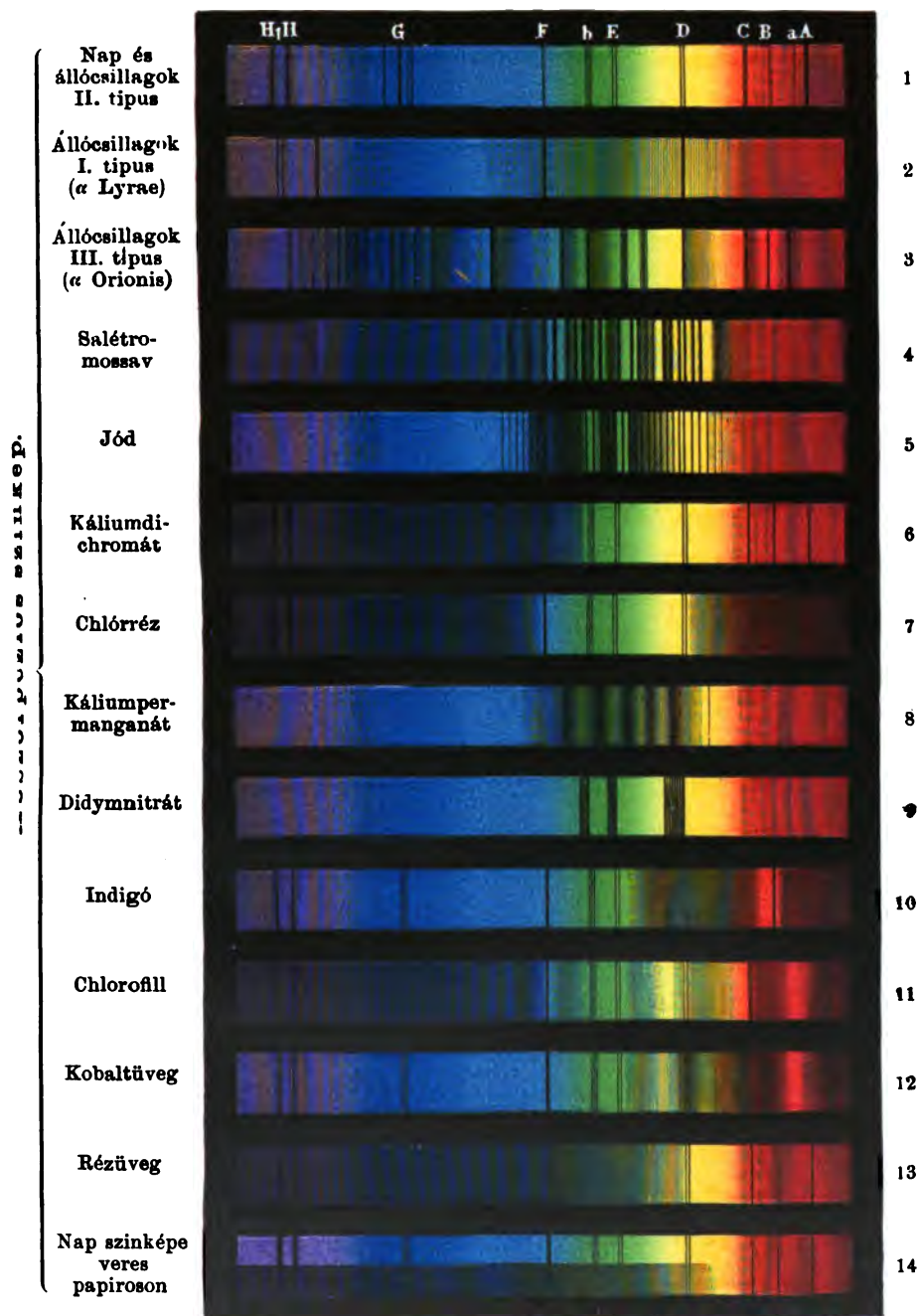
1. **Bartsch**, A sodró-állatkák (Rotatoria) 4 műlappal. 2—1.50 frt.
2. **Békessy**, A tejgazdaság és a sajtkészítés, 202 rajzzal, 2—1.50 frt.
3. **Brehm**, Az északi sarktól az egyenlítőig; 37 rajz, 17 műlap 7—6 frt
4. **Chemiai Folyóirat**, 1895. évfolyam. 3 frt.
5. **Csanády-Plósz**, Borászat könyve. 5—4 frt.
6. **Csopey-Kuppis**, A világforgalom, 131 rajzzal. 3.50—3 frt.
7. **Czöglér**, A fizika története életrajzokban, arcképekkel. 2 kötet. 8—6 frt.
8. — A fizikai egységek. 2—1.50 frt.
9. **Daday**, Magyarországi Cladocerák magánrajza, 4 táblával. 2—1.50 frt.
10. — A magyarországi Myriopodák magánrajza, 4 táblával. 2—1.50 frt.
11. — A magyar állattani irodalom ismertetése 1880—1890-ig. 2—1.50 frt.
12. — Rovartani műszótár. Ára 70—50 kr.
13. **Darvai**, Űstökösök, meteorok, 58 rajzzal. 1.60—1.30 frt.
14. **Darwin**, Az ember származása, 78 fametszettel. 2 kötet. 8—6 frt.
15. **De Candolle**, Termesztett növényeink eredete, 64 képpel. 4—3.50 frt.
16. **Emery**, A növények élete, 432 ábrával és műlappal. 8—6 frt.
17. **Emlékkönyv** a Természettudományi Társulat félszázados jubileumára, 150 rajzzal és 6 tábla műlappal. 7—5 frt.
18. **Entz**, Tanulmányok a véglények köréből, I. kötet. 6—4 frt.
19. **Erisman**, Népszerű egészségtan. 2.50—2 frt.
20. **Filarszky**, A charafélék, 20 ábra, 5 tábla rajzzal. 2—1.50 frt.
21. **Gothard**, A fotográfia gyakorlata és alkalmazása, 40 rajzzal. 1.20—1 frt.
22. **Greguss**, Összegyűjtött értekezései. 2.50—2 frt.
23. **Grittner**, Szénelemezések. 80—50 kr.
24. **Guillemin**, A mágnesség és elektromosság, 579 rajzzal. 7—6 frt.
25. **Hartmann**, A majmok, 57 rajzzal. 2—1.50 frt.
26. **Hazslinszky**, A magyar birodalom zuzmóflórája. 2—1.50 frt.
27. — A magyar birodalom mohflórája. 2—1.50 frt.
28. **Hegyfoky**, A májusi meteorológiai viszonyok Magyarországon. 2.50—2 frt.
29. — A szél iránya hazánkban, 18 rajzzal, 5 térkép. 2—1.50 frt.
30. **Heller**, Az időjárás, 31 rajzzal. 2.50—2 frt.
31. — A fizika története a XIX. században. I. kötet. 5—4 frt.
32. **Hensch**, Az okszerű talajművelés, 117 rajzzal. 2—1.50 frt.
33. **Herman**, A magyar halászat könyve, 2 kötet, 290 rajzzal és 21 műlappal. 12—8 frt.

34. **Herman**, A halgazdaság rövid foglalatja, 43 képpel. 1.50—1.20 frt.
35. — Az északi madárhegyek tájáról, 75 képpel és 3 színes táblával. 5—4.50 frt.
36. — Magyarország pókfaunája, 3 kötetben, 10 táblával (csak a II. és III. kötet kapható 6 frtért.)
37. — **Petényi J. S.** a magyar tud. madártan megalapítója, arcképpel és színes műlappal. 4—3 frt.
38. **Houzeau**, A csillagászat történelmi jellemvonásai, 5 rajzzal. 3—2.50 frt.
39. **Ilosvay**, A chemia alapelvei, 70 rajzzal. 3—2.50 frt.
40. — A torjai bűdösbarlang 80—50 kr.
41. **Inkey**, Nagyág földtani és bányászati viszonyai. 23 rajzzal. 2.50—2 frt.
42. **Jablonowski**, A szőlő betegségei és ellenségei, 3 színes táblával és 76 rajzzal. 2.50—2 frt., kötve 50 krral drágább.
43. **Johnson**, Miből lesz a termés. 2.25—2 frt.
44. **Kirándulók** zsebkönyve, 70 rajzzal. 1.80—1.50 frt.
45. **Kosutány**, Magyarország dohányai. II., III. rész kapható 1—0.50 frt.
46. — Ungarns Tabaksorten. 60 kr.
47. **Krenner**, A dobsinai jégbarlang, 6 színes táblával. 1.50 frt.
48. **Krümmler**, Az óceán, 66 rajzzal. 2—1.50 frt.
49. **László**, Magyarországi agyagok chemiai elemzése. 70—50 kr.
50. **Lengyel**, Tájékoztató a Természettud. Közlönyhöz. 1—0.50 frt.
51. **Lóczy**, Khina és népe, 200 rajzzal és térképpel. 10—8 frt.
52. **Lubbock**, A virág, a termés és a levél, 122 rajzzal. 1.20—1 frt.
53. **Petrovits**, Homoki szőlők telepítése és művelése. Ára 1.70—1.20 frt.
54. **Pungur**, A magyarországi tücsökfélék, 6 tábla rajzzal. 2.50—2 frt.
55. **Reclus**, A Föld és életjelenségei, csak a 2. kötet kapható 5 frtért.
56. — A hegyek története, 18 képpel. 1.50—1.20 frt.
57. — A patak élete, 16 képpel. 1.50—1.20 frt.
58. **Rudolf** trónörökös, Tizenöt nap a Dunán. 1.80—1.50 frt.
59. **Schenzl**, Útmutató meteoritek megfigyelésére, 2 rajzzal. 10 kr.
60. — Magyarország földmágnességi viszonyai. 9—7 frt.
61. — Útmutatás földmágnességi helymeghatározásokra, 113 rajz. 2—1.50 frt.
62. **Schmidt**, A drágakövek, 2 kötet. 53 rajzzal. 4—3.50 frt.
63. **Simonkai**, Erdély edényes flórája. 5—4 frt.
64. **Simonyi**, A sarkvidéki fölfedezések története, 51 rajzzal. 2.20—2 frt.
65. **Smith**, A tápszerekről, 18 fametszettel. 2.70—2.50 frt.
66. **Stahlberger**, Az árapály a fumei öbölben, 8 táblával. 2—1.50 frt.
67. **Szabó**, Előadások a geológia köréből, 201 képpel és műlapokkal. 3.50—3 frt.
68. **Szilasi**, Czukrok. Czukros anyagok megvizsgálása. 1.50—1 frt.
69. **Szilágyi**, Magyarország természettud. és matematikai könyvészete, 1472-től 1885-ig. (Száz arannyal jutalmazott pályamű.) 4—3 frt.
70. **Természettudományi előadások V—X.** kötete, 1 frt 50 kr-ával.
71. **Természettudományi Közlöny I—XXVII.** kötete 96 frt.
72. **Topinard**, Anthropológia, 52 ábrával. 4.40—4 frt.
73. **Ulbricht**, Adatok a must- és borelemzés módszereihez. 1—0.50 frt.
74. **Várgel**, Állatok konzerválása gyűjtemények számára. 1—0.70 frt.
75. **Wartha**, Az agyagárúkról, 103 rajzzal és 25 műlappal. 3—2.50 frt.

[illegible][illegible][illegible]

1. *Chlorophyll a* and *Chlorophyll b* were determined by the method of Arar and Collins (1971) using a Shimadzu 1010 spectrophotometer. The concentration of chlorophylls was expressed as $\mu\text{g mL}^{-1}$ of the sample.

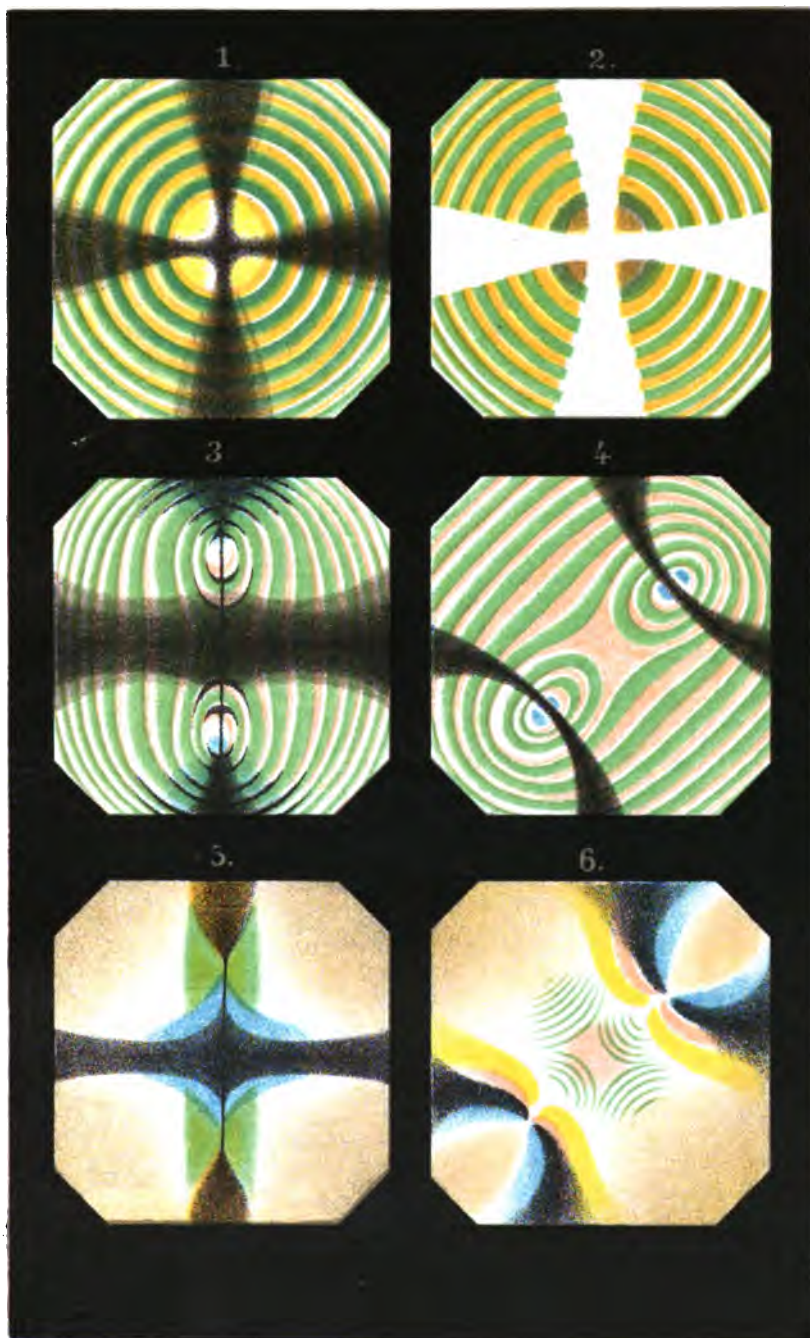
II. Tábla.



Vöweg Frigyes és fia, Braunschweig.



III Tábla.





This book should be returned to
the Library on or before the last date
stamped below.

A fine of five cents a day is incurred
by retaining it beyond the specified
time.

Please return promptly.

